

VÝŠKOVÝ SYSTÉM Bpv SOUŘADNICOVÝ SYSTÉM S-JTSK

Číslo změny:	Obsah změny:	Datum změny:
01	-	-
02	-	-
03	-	-

Objednatel:



Správa železniční dopravní cesty, s.o.
Dlážděná 1003/7, 110 00 Praha 1

Zpracovatel:



ČESKÉ VYSOKÉ UČENÍ TECHNICKÉ V PRAZE
FAKULTA STAVEBNÍ - KATEDRA OCELOVÝCH KONSTRUKCÍ
THÁKUROVA 7
166 29 PRAHA 6

Vypracoval:

Ing. Jan Žitný

HIP:

doc. Ing. Pavel Ryjáček, Ph.D.

Název akce:

Metody expertního hodnocení železničních mostů
a stanovení predikčních postupů (5003120024)

Číslo akce ČVUT:

8301704A088

Stupeň dokumentace:

UTR

Název části:

C - Přepočty mostních objektů

Měřítko:

-

C.5.1 - Přepočet zatížitelnosti mostu v TU 821, km 1,508 - Kralupy

Datum:

06/2018

Název přílohy:

Přepočet zatížitelnosti mostu - konstrukce K02

Číslo přílohy:

C.5.1



Metody expertního hodnocení železničních mostů a stanovení predikčních postupů (5003120024)



C.5.1 Přepočet zatížitelnosti mostu v TU 821, km 1,508 - Kralupy - K02

Zodpovědný řešitel:

doc. Ing. Pavel Ryjáček, Ph.D.

Řešitel:

Ing. Jan Žitný a kol.

Datum:

31.5.2018

Obsah

1.	IDENTIFIKAČNÍ ÚDAJE	3
2.	ÚVOD	3
3.	ZÁKLADNÍ ÚDAJE O MOSTĚ	4
3.1.	IDENTIFIKAČNÍ ÚDAJE	4
3.2.	CHARAKTERISTIKA MOSTU	5
3.3.	TECHNICKÝ POPIS MOSTNÍ KONSTRUKCE	7
4.	ZÍSKANÉ PODKLADY A PRŮZKUMY	8
5.	STATICKÁ ANALÝZA KONSTRUKCE	9
5.1.	POPIS NUMERICKÉHO MODELU	9
5.2.	MATERIÁLOVÉ VLASTNOSTI	12
5.3.	ROZBOR ZATÍŽENÍ	13
5.3.1.	ZS1 – Zatížení stálé G1	13
5.3.2.	ZS2 – Ostatní stálé zatížení G2	14
5.3.3.	ZS3 – Ostatní stálé zatížení G3 (Odstranitelné části mostu)	15
5.3.4.	ZS4 – Proměnné zatížení chodníku a lávky CH	16
5.3.5.	Posouzení nutnosti provedení dynamické analýzy	17
	ZS5 – Zatížení traťovou třídou C3/50	19
5.3.6.	ZS6 – Zatížení modelem LM71	20
	ZS7 – Brzdné a rozjezdové síly B	21
5.3.7.	ZS8 – Zatížení větrem W-P	22
5.3.8.	ZS9 – Boční ráz S	26
5.3.9.	ZS10 – Odstředivá síla C	27
	ZS11 – Rovnoměrná složka teploty T-N	28
	ZS12 – Nerovnoměrná složka teploty T-N	29
5.4.	KOMBINAČNÍ PŘEDPIS	30
5.4.1.	Kombinační předpis pro posudek ztráty stability EQU	30
5.4.2.	Kombinační předpis pro přechodnost C3/60	30
5.4.3.	Kombinační předpis pro zatížitelnost UIC	31
5.5.	VÝPOČET KONSTRUKCE	32
5.5.1.	Kritické prvky	32
5.5.2.	Vzpěrné délky	33
5.6.	VÝSTUPY Z MODELU	38
5.6.1.	Vybrané vnitřní síly	38
5.6.2.	Deformace	46
5.7.	POSOUZENÍ KONSTRUKCE	47
5.7.1.	EQU – ztráta stability	47
5.7.2.	MSÚ – mezní stav únosnosti	48
5.7.3.	MSÚ – mezní stav únosnosti – připojení oblouku na hlavní nosník	49
6.	ZÁVĚR	55
7.	VÝSLEDNÉ HODNOTY ZATÍŽITELNOSTI	56
7.1.	PŘEHLED ZATÍŽITELNOSTI ČÁSTÍ KONSTRUKCE	56
7.2.	TABULKA ZATÍŽITELNOSTI	57
8.	PŘÍLOHA 1 – POSUDKY ROZHODUJÍCÍCH PRVKŮ	58
8.1.	PRŮŘEZY A PRŮŘEZOVÉ CHARAKTERISTIKY	58
8.2.	VNITŘNÍ SÍLY NA PRUTECH	99
8.3.	KOMBINACE ZATÍŽENÍ PRO PŘECHODNOST C3/70	146
8.4.	KOMBINACE ZATÍŽENÍ PRO ZATÍŽITELNOST UIC71	151
8.5.	POSOUZENÍ PRUTŮ NA MSÚ PRO KOMBINACI NA PŘECHODNOST C3	156
8.6.	PŘECHODNOST C3/70 – SOUHRN	197

8.7.	STANOVENÍ ZATÍŽITELNOSTI PRO KOMBINACI S UIC71	200
8.8.	ZATÍŽITELNOST UIC71 – SOUHRN	241

1. Identifikační údaje

Objednatel: Správa železniční dopravní cesty, státní organizace

se sídlem: Praha 1, Nové Město, Dlážděná 1003/7, PSC 110 00

jednající: Bc. Jiří Svobodou, náměstkem GŘ pro provozuschopnost dráhy

IČ: 70994234

DIČ: CZ70994234

Zapsaný: V obchodním rejstříku u Městského soudu v Praze, oddíl A, vložka 48384

Zhotovitel: ČVUT v Praze, Fakulta stavební

se sídlem: Thákurova 7/2077, 166 29 Praha 6

jednající: prof. Ing Jiří Máca, CSc.

IČ: 68407700

DIČ: CZ68407700

Zapsaný: Živnostenský list: Obvodní úřad městské části Praha 6, spis. zn. ŽO/11315/2008/Rec/2

2. Úvod

Předmětem přepočtu je zjistit přechodnost a zatížitelnost mostu v TU 821, km 1,508 – Kralupy nad Vltavou – K02. Přepočet je uvažován s ohledem na korozní oslabení a materiálové parametry oceli, získané ze zkoušek vzorků odebraných na konstrukci mostu.

3. Základní údaje o mostě

3.1. Identifikační údaje

Umístění mostu:	Kralupy nad Vltavou (okres Mělník);
Staničení objektu	km 1,508
Traťový úsek, definiční úsek	TU 0821Kralupy nad Vltavou – Neratovice DU 02 – Kralupy nad Vltavou – Chvatěruby
Údaje o koleji na mostě:	jednokolejná trať, kolejnice S49 na mostnicích. Kolej je na mostě v přímé, přechodnici i ve směrovém oblouku (šikmost oblouku pravá).
Druh nosné konstrukce:	1., 5. - 7. pole – Konstrukce trámová, komorová, uzavřená z předpjatého betonu (dodatečně). 2. - 4. pole – Konstrukce ocelová, spojitá, plnostěnná, trámová s obloukem (Langrův nosník), svařovaná, spoje prvků nýtové místy šroubové, s dolní mostovkou.
Popis spodní stavby:	Železobetonové opěry, betonové pilíře obložené kamenem. Křídla šikmá železobetonová.
Počet mostních otvorů:	7
Délka přemostění:	265,55 m
Délka mostu:	280,20 m
Rozpětí nosné konstrukce:	18,00 + 42,00 + 81,00 + 42,00 + 3x27,00
Světlost kolmá:	11,00 + 28,80 + 54,20 + 30,10 + 20,95 + 21,59 + 23,00
Stavební výška:	předpjatá pole – 2,29 m ocelová pole – 1,62 m
Počet kolejí na mostě:	1
Směrové poměry na mostě:	most v přímé ve třetím poli, na začátku i na konci ve směrovém oblouku
Stávající železniční svršek:	kolejnice tvaru S49 na podkladnicích uložených na mostnicích
Přemostovaná překážka:	v mostním otvoru č.1: účelová komunikace nezpevněná v mostním otvoru č.2 až 3: trvalý vodní tok (Vltava) v mostním otvoru č.4: trvalý vodní tok (Vltava), cyklostezka v mostním otvoru č.5 až č.7: inundace
Volná výška pod mostem:	v mostním otvoru č.1: 5,40 m v mostním otvoru č.2 až 4: 13,40 m v mostním otvoru č.5 až č.7: 5,80 m
Mostní průjezdný průřez	MPP 2,2
Volná šířka na mostě:	4,4m
Úhel křížení s překázkou:	49°36'
Šířka mostu:	7,56 m

Šikmost mostu: začátek: 47°52', střed: 49°36', konec: 51°20'
Rychlost na mostě: 50/60 km/h
Stavební stav stáv. objektu: nosná konstrukce: K2, spodní stavba: S2
Rok výstavby: 1964

3.2. Charakteristika mostu

Mostní objekt z roku 1964 převádí jednokolejnou železniční trať Kralupy nad Vltavou – Neratovice přes Vltavu a její inundační území. Most má celkem 7 polí, pro jejichž překonání je použito 5 nosných konstrukcí. V prvním poli se nachází konstrukce trémová, komorová, uzavřená, prostě uložená z dodatečně předpjatého betonu (K01), ve druhém až čtvrtém poli se nachází konstrukce ocelová, spojitá, plnostěnná, trémová s obloukem (Langrův nosník), svařovaná, spoje prvků nýtové místy šroubové, s dolní mostovkou (K02), v pátém až sedmém poli se nachází konstrukce trémová, komorová, uvařená, prostě uložená z dodatečně předpjatého betonu (K03, K04, K05). Opěry jsou železobetonové s šikmými železobetonovými křídly. Pilíře jsou železobetonové obložené kamenem.

Trať je ve třetím poli na konstrukci K02 v přímé v navazujících polích je trať v přechodnici a směrovém oblouku. Na mostě je VMP 2,2. Uložení mostu je šikmé.

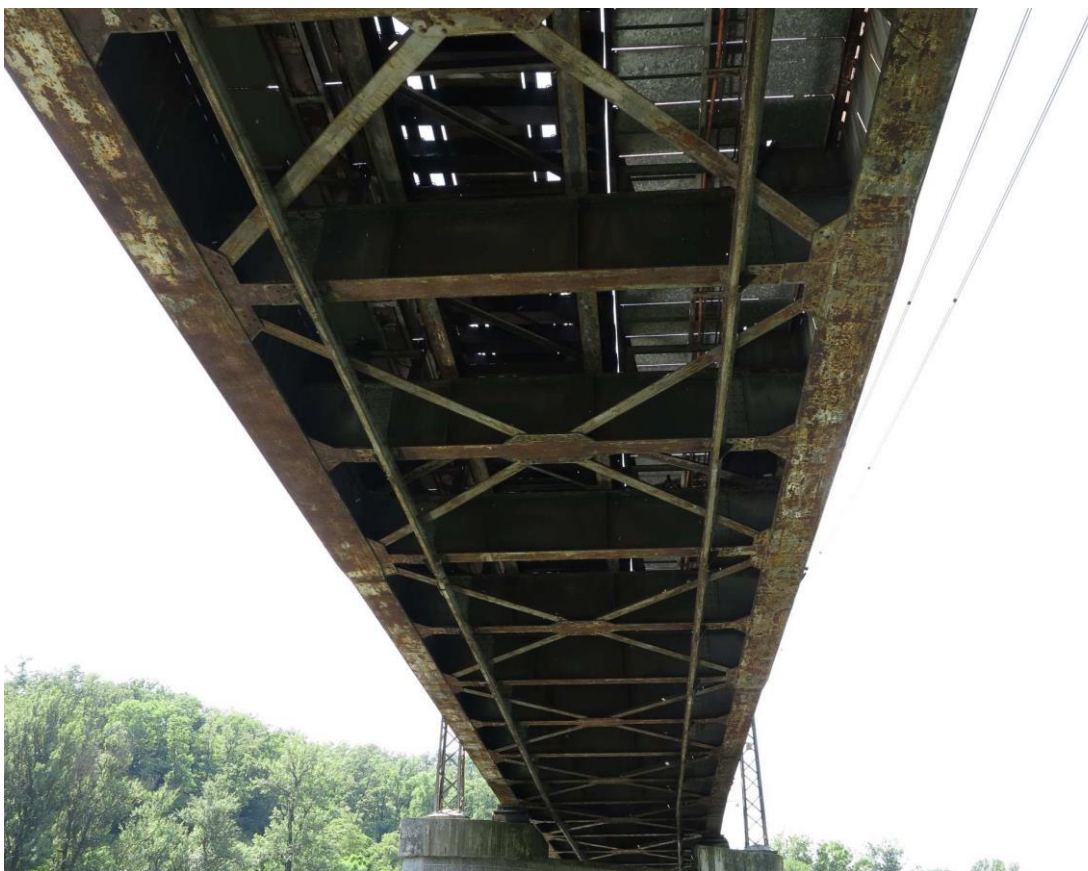
Na železobetonových polích je kolej uložena v kolejovém loži, na ocelové konstrukci je otevřený mostní svršek s mostnicemi a pochozími plechy. Trať je elektrifikována, ocelové příhradové stožáry trakčního vedení jsou uloženy na horních plochách úložných prahů pilířů rozšířených mimo půdorys nosné konstrukce.



Obr. 3.1 Příčný pohled na konstrukci K02



Obr. 3.2 Pohledy na most



Obr. 3.3 Pohled na most ze spodu

3.3. Technický popis mostní konstrukce

Stávající železniční jednokolejná mostní konstrukce o sedmi mostní otvorech má celkovou délku mostu 280,20 m. Mostní konstrukce je tvořena v prvním a pátém až sedmém mostním otvoru trémovou, komorovou konstrukcí z dodatečně předpjatého betonu a v druhém až čtvrtém otvoru ocelovou trémovou konstrukcí s dolní mostovkou ve čtvrtém poli vyztuženou obloukem (Langrův nosník).

Konstrukce v prvním poli K01 je tvořena trémovými komorovými nosníky z dodatečně předpjatého betonu. Nosník je prostě uložen na obou koncích šikmě. Šířka nosné konstrukce je 4,30 m, rozpětí 18,00 m a délka 19,80 m. Chodníkové konzoly stejně jako římsy jsou vlevo i vpravo železobetonové. Na opěře O1 je konstrukce uložena na ocelová, vahadlová, pohyblivá, válcová ložiska (1x válec). Na pilíři P1 je konstrukce uložena na ocelová, vahadlová, pevná, stolicová ložiska. Kolmá světlost otvoru je 11,00 m a pole přemostňuje nepevněnou účelovou komunikaci.

Konstrukce K02 se nachází ve druhé až čtvrtém poli. Konstrukce je ocelová, spojitá, plnostěnná, trémová v prostředním poli vyztužená obloukem (Langrův nosník), svařovaná, spoje prvků nýtové místy šroubové, s dolní prvkovou mostovkou. Konstrukce je šikmo uložená, na začátku $47^{\circ}52'$, ve středu $49^{\circ}36'$, na konec $51^{\circ}20'$. Šířka nosné konstrukce je 7,56 m, výška 2,88 m (bez oblouku), rozpětí 42,00 m + 81,00 m + 42,00 m o celkové délce 166,20 m.

Hlavní nosníky jsou tvořeny plnostěnnými svařovanými plnostěnnými nosníky s obloukem o délce 166,20 m, výšce 2,88 m a jsou od sebe osově vzdáleny 6,40 m. Příčníky jsou plnostěnné svařované s nýtovanými spoji o délce 6,38 m a výšce 1,00 m. Osová vzdálenost příčníků je v krajních polích 3,00 m a v hlavním poli 3,75 m. Podélníky jsou plnostěnné, svařované, s nýtovými místy šroubovými spoji. Délka podélníků je v krajních polích 6,00 m a v hlavním poli 7,50 m. Podélníky jsou od sebe osově vzdáleny 1,80 m. Výška podélníků se liší v závislosti na převýšení koleje na mostě. Ve druhé poli má levý podélník výšku 405 mm a pravý 475 mm, ve třetím poli jsou oba podélníky vysoké 420 mm a ve čtvrtém poli je levý podélník vysoký 400 mm a pravý má proměnnou výšku 460-490 mm. Podélné dolní ztužení hlavních nosníků je tvořeno zdvojenými L profily. Příčné ztužení podélníků je tvořeno U profily a podélné L profily.

Uložení konstrukce K02 je na pilířích P01, P03 a P04 pomocí ocelových, vahadlových, pohyblivých, válcových ložisek (2x válec). Na pilíři P02 je konstrukce uložena na ocelová, vahadlová, pevná, stolicová ložiska.

Konstrukce K03, K04 a K05 nacházející se v pátém až sedmém poli jsou shodné. Nosná konstrukce je tvořena trémovými, komorovými, uzavřenými nosníky z dodatečně předpjatého betonu. Šířka nosné konstrukce je 4,30 m, rozpětí všech polí je 27,0 m a délka 28,60 m. Chodníkové konzoly i římsy jsou vpravo i vlevo železobetonové. Na začátku pole je konstrukce uložena na ocelová, vahadlová, pohyblivá, válcová ložiska (1x válec). Na konci pole je konstrukce uložena na ocelová, vahadlová, pevná, stolicová ložiska.

Spodní stavba je tvořena železobetonovými opěrami a železobetonovými pilíři obloženými kamenem. Opěra O1 má výšku dřívku 4,35 m, kolmou šířku opěry 4,86 a šikmou 6,82 m, železobetonová závěrná zídka má výšku 2,00 m. Vlevo se nachází šikmé železobetonové křídlo a svah za křídlem je nepevněný. Vlevo se nachází rovnoběžné, železobetonové křídlo, které přechází v opěrnou zeď k mostnímu objektu. Dřík pilíř P01 je železobetonový obložený kamenem vysoký 4,10 m. Celková výška pilíře s železobetonovým úložným prahem je 5,50 m, šířka 14,90 m a délka 3,15 – 3,50 m. Úložný práh je 1,05 – 1,40 m vysoký. Dřík pilíř P02 je železobetonový obložený kamenem vysoký 7,10 m. Celková výška pilíře

s železobetonovým úložným prahem je 8,10 m, šířka 14,86 m a délka 3,15 – 3,50 m. Úložný práh je 1,00 m vysoký. Dřík pilíř P03 je železobetonový obložený kamenem vysoký 7,10 m. Celková výška pilíře s železobetonovým úložným prahem je 8,10 m, šířka 14,86 m a délka 3,15 – 3,50 m. Úložný práh je 1,00 m vysoký. Dřík pilíř P04 je železobetonový obložený kamenem vysoký 4,90 m do otvoru č.4 a 4,65 m do otvoru č.5. Celková výška pilíře s železobetonovým úložným prahem je 5,90 m do otvoru č.4 a 5,35 do otvoru č.5, šířka 14,85 m a délka 3,15 – 3,50 m. Úložný práh je vysoký 1,00 m do otvoru č.4 a 0,70 m do otvoru č.5. Dřík pilíř P05 je železobetonový obložený kamenem vysoký 4,80 m. Celková výška pilíře s železobetonovým úložným prahem je 5,50 m, šířka 10,64 m a délka 2,65 – 3,00 m. Úložný práh je 0,70 m vysoký. Dřík pilíř P06 je železobetonový obložený kamenem vysoký 4,90 m. Celková výška pilíře s železobetonovým úložným prahem je 5,60 m, šířka 10,64 m a délka 2,65 – 3,00 m. Úložný práh je 0,70 m vysoký. Opěra O2 má výšku dříku 5,50 m, kolmou šířku opěry 4,76 a šikmou 5,20 m, železobetonová závěrná zídka má výšku 2,85 m. Vlevo i vpravo se nachází šikmé železobetonové křídlo.

4. Získané podklady a průzkumy

K mostní konstrukci byla dohledána následující dokumentace, provedené průzkumy:

- TU 0821 km 1,508 – Nosná konstrukce, výkresová dokumentace dle provedení (1960)
- Prováděcí projekt – Statický výpočet (1960)
- Posouzení mostovky mostu v km 1,3/7 trati Kralupy n. Vlt. – Neratovice (1984)
- Protokol o podrobné prohlídce TU 0821 km 1,508 (provedené dle vyhlášky MD č. 177/95 Sb., a předpisu SŽDC S5 Správa mostních objektů) z roku 2016
- Zkušební protokol č. 17/12133/104 – s výsledky materiálových zkoušek
- Zpráva o provedení tvrdoměrných zkoušek
- Statická a dynamická ověřovací zkouška mostu v km 1,508 na trati Kralupy nad Vltavou – Neratovice „Chvatěrubák“

Další podklady byly:

- Korozní průzkum zpracovatele
- Fotodokumentace, vlastní měření zpracovatele

5. Statická analýza konstrukce

5.1. Popis numerického modelu

Rozhodujícím kritériem pro volbu metodiky výpočtu bylo respektování prostorového spolupůsobení jednotlivých konstrukčních prvků, vyplývající z dispozičního uspořádání a konstrukčních detailů. Proto je statický přepoččet a výpočet zatížitelnosti hlavní ocelové nosné konstrukce pro všechny prvky proveden na prostorovém modelu v programu CSI Bridge 2017.

Možným výsledkem výpočtu přímo v systému CSI Bridge je získání vnitřních sil v libovolném bodě konstrukce od jednotlivých zatěžovacích stavů, skupin zatěžovacích stavů, základní lineární kombinace těchto skupin zatěžovacích stavů dle zvoleného předpisu či přímo obálku z těchto lineárních kombinací. Pro větší přehlednost a snadnější kontrolu budou dále z výsledků výpočtu vyhledávány extrémní hodnoty vnitřních sil, deformací či reakcí po jednotlivých skupinách zatěžovacích stavů. Tyto hodnoty jsou výpočtové provozní a bez případných dynamických účinků.

Základní lineární kombinace těchto skupin zatěžovacích stavů dle zvoleného předpisu, obálka z těchto lineárních kombinací, posouzení a stanovení zatížitelnosti ve zvolených bodech konstrukce bude provedenou v tabulkách v programu MS EXCEL. Zde bude do výpočtu zaveden jak součinitel zatížení, tak dynamický součinitel, součinitel korozního oslabení.

Zatížitelnost bude stanovena z napětí – normálového, smykového, srovnávacího a dále z přetvoření konstrukce. Všechny výpočty včetně stanovení průřezových charakteristik oslabených průřezů budou provedeny strojně.

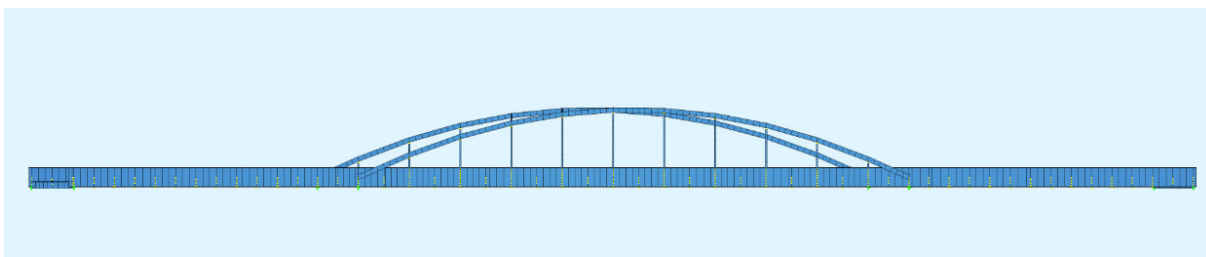
Problematika stanovení jediného dynamického součinitele pro svislé nahodilé krátkodobé zatížení konstrukce vlakem UIC-71 pro prvky konstrukce namáhané současně globálními i lokálními účinky zatížení.

Průřezové a materiálové charakteristiky odpovídají hodnotám zjištěným při podrobném diagnostickém průzkumu konstrukce použitým materiálům.

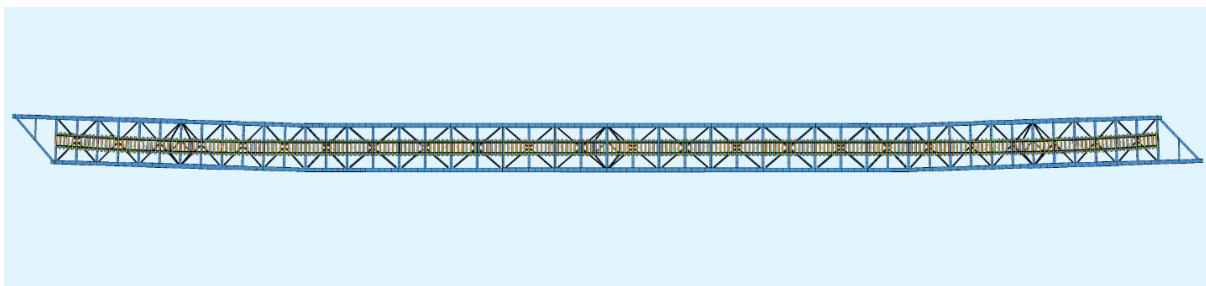
Model konstrukce byl vytvořen z prutových a plošných prvků.

Ocelová nosná konstrukce byla namodelována v prostoru tak, aby chování modelu co nejpriléhavěji reprezentovalo skutečné chování dané konstrukce při působení vnějšího zatížení.

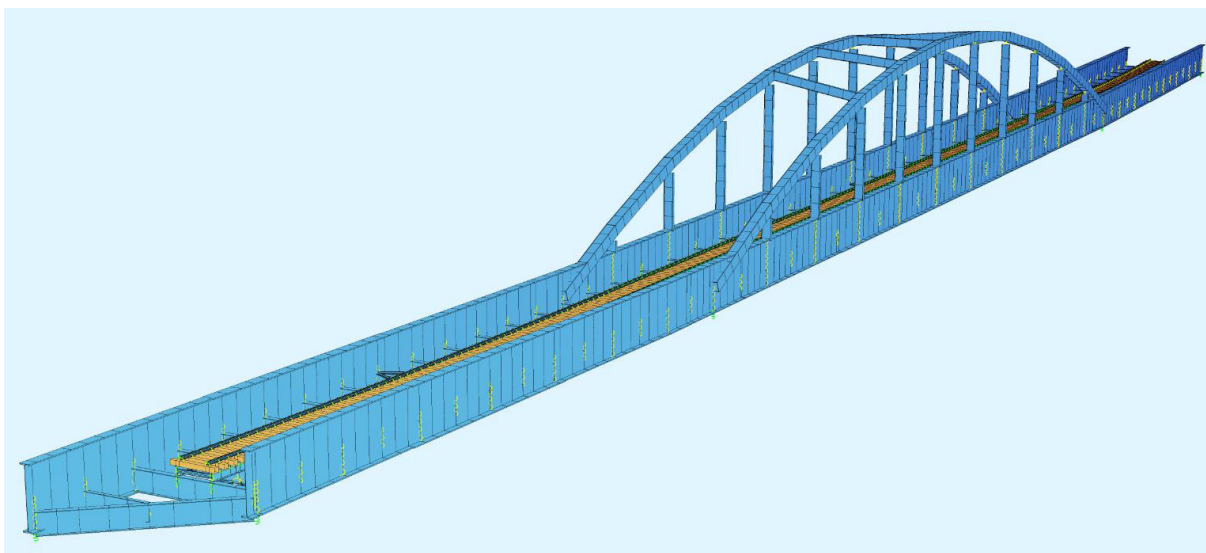
Uvolnění vazeb v podporových uzlech plně respektuje možné vůle v ložiscích. Geometrický prutový model byl vytvořen tak, aby podchytil všechny prostorové vazby prutů co nejpriléhavěji vzhledem ke skutečnému provedení konstrukce. V modelu byla využita možnost zadávání prutů excentricky umístěných vzhledem ke své geometrické ose. Excentrické připojení prutů do uzlů je provedeno různými typy tuhých vazeb. Pro pojezd konstrukce zatěžovacím schématem UIC-71 byly modelovány kolejnice s mostnicemi.



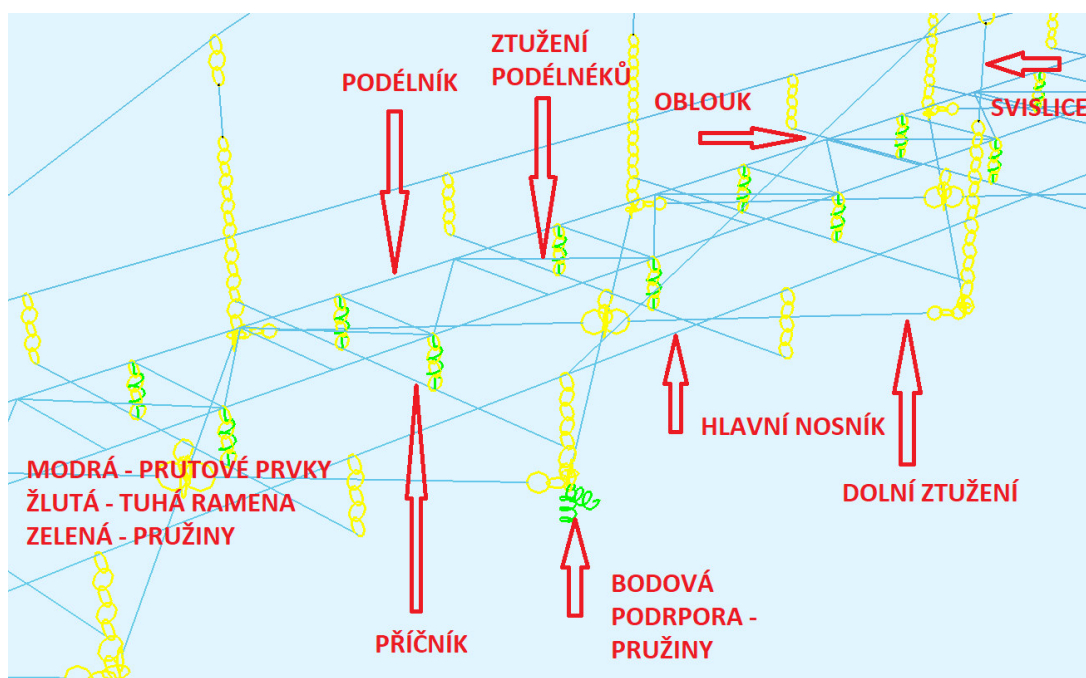
Obrázek 5-1 Pohled na výpočetní model



Obrázek 5-2 Půdorysný pohled na výpočetní model



Obrázek 5-3 Axonometrický pohled na výpočetní model

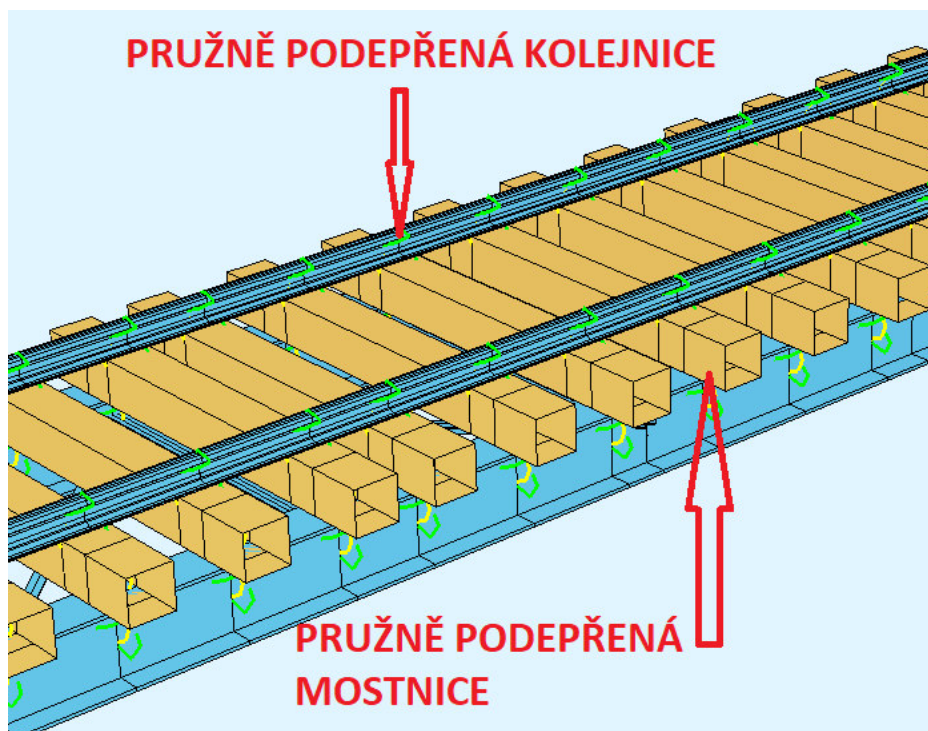


Obrázek 5-4 Popis prvků

Hlavní nosníky, oblouk, příčníky, svislice, podélníky a výztuha hlavního nosníku jsou modelovány prutově. Spodní ztužení, brzdné ztužení a ztužení podélníků jsou pruty, které přenášejí pouze tah a tlak. Svislice jsou na koncích uloženy kloubově.

Ložiska jsou modelována bodově pomocí pružin, v příčném směru mají pro výpočet zatížení teplotou a větrem sníženou tuhost tak, aby dovozovala jistý příčný posun.

Spojení prvků je buď tuhé (příčník-hlavní nosník, příčník-dolní ztužení, hlavní nosník-svislice) nebo tuhé ve svislém směru a pružné ve vodorovném (příčník-podélník, mostnice-podélník, kolejnice-mostnice).



Obrázek 5-5 Mostní svršek

5.2. Materiálové vlastnosti

Na konstrukci byla provedena sada zkoušek za účelem stanovení parametrů základního materiálu. Byla odebrána celkem 3 zkušební tělesa, která pak následně byla dělena na více vzorků pro různé typy zkoušek. Místa odběru byla koncipována tak, aby nepoškodila existující konstrukci a zároveň poskytla informaci o parametrech různých prvků, se členěním na plechy a profily, které mohou mít různé parametry.

Na Mostě byly odebrány celkem tři vzorky, dva z koncových výztuh nosníků na osách 50 a 50'. Dále byl jeden odebrán z konce vodorovného ztužidla v poli 47-48.

Dále byly provedeny tvrdoměrné zkoušky přímo na konstrukci.

Pro zhodnocení návrhové hodnoty byla použita metodika z ČSN EN ISO 13822. Celkový počet vzorků byl 3, přičemž pro stanovení variačního součinitele byl použit výsledek ze skupiny tvrdoměrných zkoušek z hodnocení pevnosti oceli, který reprezentuje celou konstrukci, nikoliv jen lokální místa a výsledek z tahových zkoušek.

Ve výpočtu byla použita **nižší hodnota meze kluzu $f_{yd}=213,6$ MPa**, což je postup je na straně bezpečné. I tak ale vede k lehce příznivějším hodnotám než použití hodnot z MP.

Vyhodnocení návrhové pevnosti uvádí následující tabulka:

Tabulka 5.1 Stanovení návrhové hodnoty

ČSN EN ISO 13822, NA 2.6							
	Var. souč. dle tvrdosti			Var. souč. dle tahovek			
Počet vzorků	n = 8 ks			n = 8 ks			
	vzorky	f_y	$(x_i - m_x)^2$	vzorky	f_y	$(x_i - m_x)^2$	
Vzorky	1	356	534,8	1	356	534,8	
	2	332	0,8	2	332	0,8	
	3	414	6581,3	3	414	6581,3	
	4	279	2902,5	4	279	2902,5	
	5	306	722,3	5	306	722,3	
	6	285	2292,0	6	285	2292,0	
	7	339	37,5	7	339	37,5	
	8	352	365,8	8	352	365,8	
	Σ		13436,9	Σ		13436,9	
aritmetický průměr	$m_x = 332,9$			$m_x = 332,9$			
směrodatná odchylka	$s_x = 43,81$			$s_x = 43,81$			
variační koeficient	$V_x = s_x/m_x = 0,11$			$V_x = s_x/m_x = 0,132$			
návrhová hodnota	$X_d = m_x \cdot (1 - k_n \cdot V_x) / \gamma_r$			$X_d = m_x \cdot (1 - k_n \cdot V_x) / \gamma_r$			
souč. dle NA.2	$k_n = 1,74$			$k_n = 1,74$			
Směrná úroveň spolehlivosti	$\beta = 3,8$			$\beta = 3,8$			
	$\gamma_R = 1,16$			$\gamma_R = 1,20$			
Návrhová mez kluzu	$f_{yd} = 232,1$ MPa			$f_{yd} = 213,6$ MPa			

5.3. Rozbor zatížení

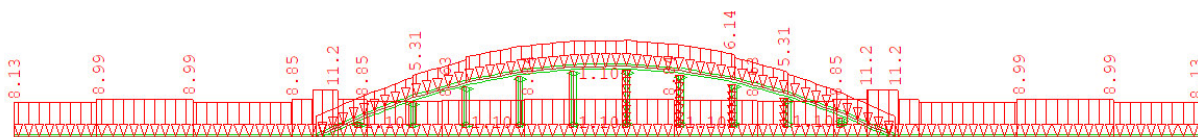
5.3.1. ZS1 – Zatížení stálé G1

Vlastní tíha konstrukce je programem generována automaticky na základě zadaných průřezových a materiálových charakteristik prvků. Pro zohlednění hmotnosti součástí NK mostu (mj. styčnickové plechy, příložky, nýty, příhradové či rámové spojky členěných prutů, konstrukční podružné nenosné prvky,...), neobsažených v prostorovém modelu, byla základní objemová tíha konstrukční oceli $\rho = 7,850 \text{ kN} / \text{m}^3$ ve výpočetním modelu v programovém systému uměle navýšena konstrukčním součinitelem $s = 1,10$ tak, aby výsledně bylo dosaženo alespoň přibližně skutečné (reálné) hmotnosti hlavní NK mostu.

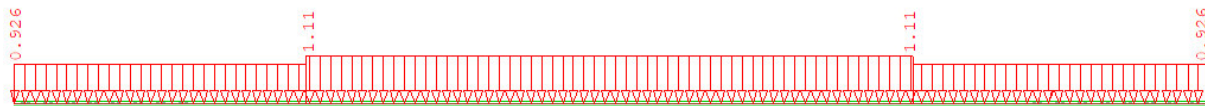
Dílčí součinitel zatížení: nepříznivý účinek – bez zbytkové životnosti $\gamma_{G,\text{sup}} = 1,25$

Príznivý účinek $\gamma_{G,\text{inf}} = 1,00$

Charakteristická objemová tíha oceli – upravená $\rho_{k,\text{fin}} = s * \rho_k = 1.1 * 78.50 = 86.35 \text{ kN/m}^3$



Obrázek 5-6 Zatížení hlavních nosných prvků

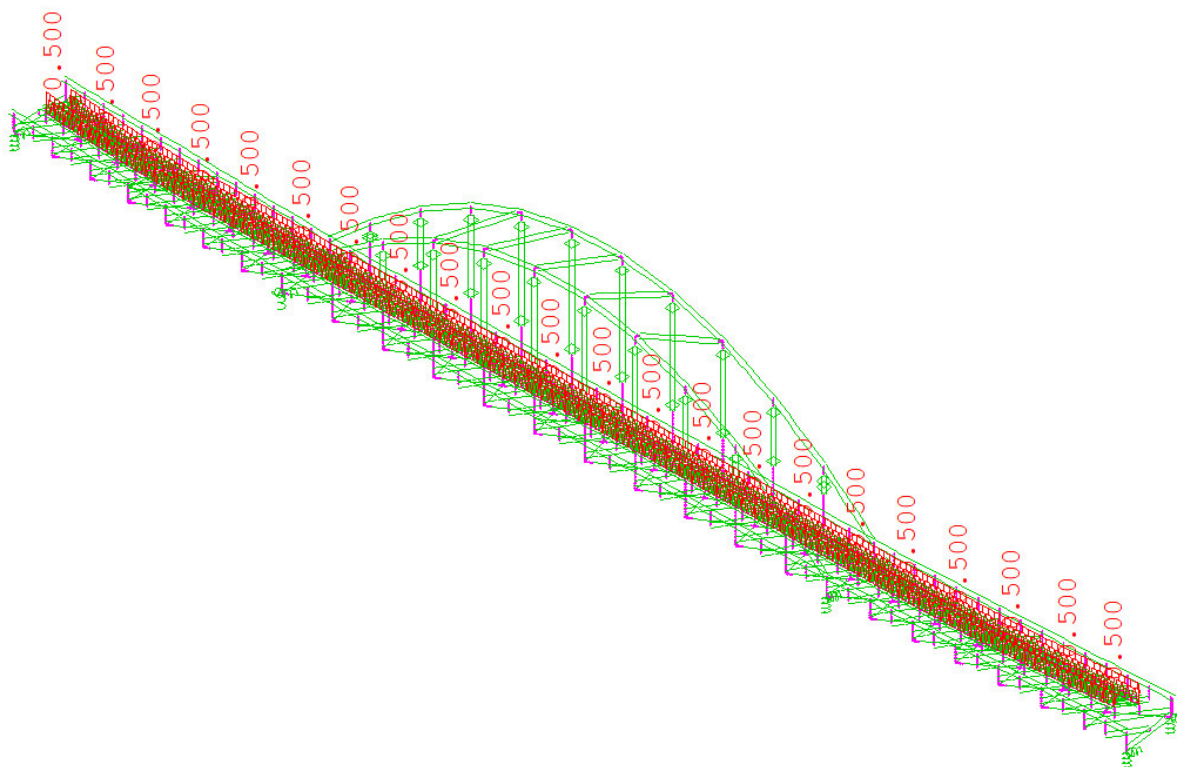


Obrázek 5-7 Zatížení podélníků

5.3.2. ZS2 – Ostatní stálé zatížení G2

Mostní svršek: kolejnice a mostnice byly modelovány, upevňovadla, pojistné úhelníky, podlaha na mostnicích - 100 kg/m. Na každý podélník 50 kg/m tj. 0,5 kN/m.

Dílčí součinitel zatížení:	nepříznivý účinek – bez zbytkové životnosti	$\gamma_{G0,sup} = \mathbf{1,30}$
	Příznivý účinek	$\gamma_{G0,inf} = \mathbf{1,00}$



Obrázek 5-8 Zatížení ostatním stálým zatížením

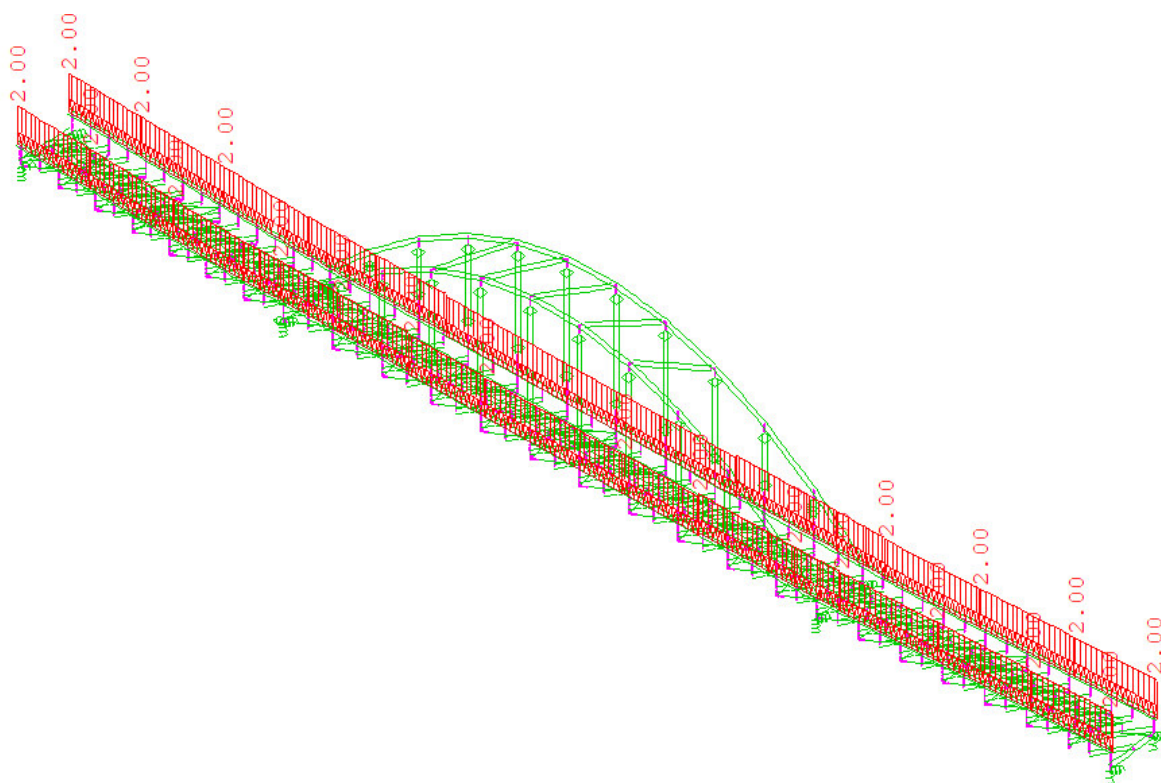
5.3.3. ZS3 – Ostatní stálé zatížení G3 (Odstranitelné části mostu)

V úrovni mostovky:

(podlaha na chodnicích, podporové konzoly chodníků). Zatížení je přes konzoly přenášeno do styčnicku hlavního nosníku. Je uvažováno s následujícími hodnotami zatížení (jedna strana mostu):

Celkové zatížení odstranitelnými částmi mostu = **2,0 kN/m²** (jedna strana mostu)

Dílčí součinitel zatížení:	nepříznivý účinek – bez zbytkové životnosti	$\gamma_{G0,sup} = 1,30$
	Příznivý účinek	$\gamma_{G0,inf} = 1,00$



Obrázek 5-9 Zatížení odstranitelnými částmi mostu

5.3.4. ZS4 – Proměnné zatížení chodníku a lávky CH

Průjezdny mostní profil nedovoluje současnou přítomnost chodců a kolejové dopravy na mostě, z tohoto důvodu bylo zatížení chodníků chodci zanedbáno.

5.3.5. Posouzení nutnosti provedení dynamické analýzy

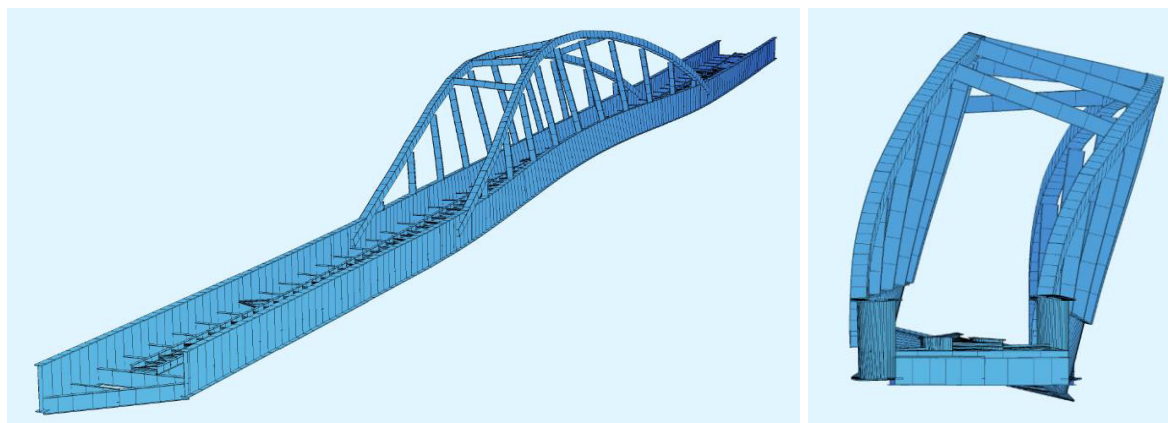
Po posouzení kritéria nutnosti dynamické odezvy je nutné zjištění 1. vlastní frekvence nezátíženého mostu.

Na konstrukci K02 byla ve dnech 31.10. až 1.11.2017 provedena dynamická zatěžovací zkouška. Z dynamické zatěžovací zkoušky byly vyhodnoceny následující vlastní frekvence.

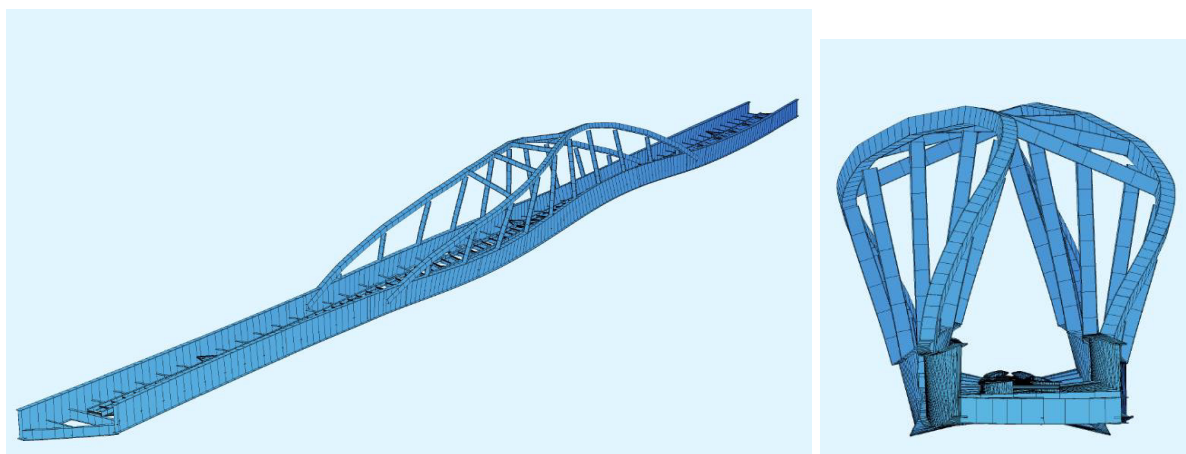
Tabulka 5.2 Vyhodnocené vlastní frekvence kmitání

Poř. č. (j)	Vlastní frekvence f_0 [Hz] $U_{k=2,0}$	Orientační popis charakteru vlastního tvaru
(1)	1.40 ± 0.06	1.tvar vodorov. příčného kmit. mostu
(2)	2.41 ± 0.06	2.tvar vodorov. příčného kmit. mostu
(3)	3.48 ± 0.06	svislý ohybový tvar kmitání mostu
(4)	4.08 ± 0.06	kroutivý tvar kmitání krajních polí mostu
(5)	4.17 ± 0.06	kroutivý tvar kmitání krajních polí mostu
(6)	4.67 ± 0.06	svislý ohybový tvar kmitání krajních polí mostu
(7)	5.35 ± 0.06	svislý ohybový tvar kmitání mostu

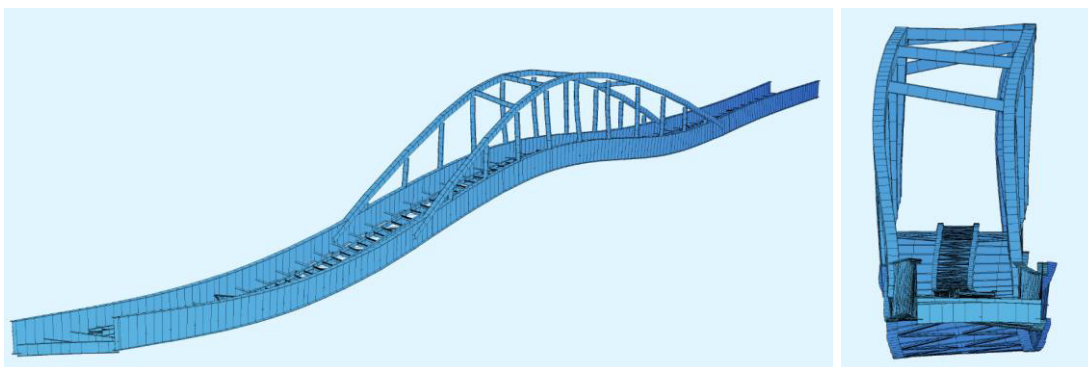
Následující jsou první tři vlastní tvary kmitání.



Obrázek 5-10 1. vlastní tvar (1,40 Hz) – Příčné kmitání mostu



Obrázek 5-11 2. vlastní tvar (2,41 Hz) – Příčné kmitání mostu



Obrázek 5-12 3. vlastní tvar (3,48 Hz) – Kmitání ve svislé směru

Vlastní tvar kmitání, který může být buzen železniční dopravou byl využit pro posouzení použití dynamické analýzy. Pro tento účel byla vyhodnocena aktivovaná hmota mostu od jednotlivých vlastních tvarů ve všech směrech. Prvním vlastním tvar, který může být buzen železniční dopravou je 3. vlastní tvar s vlastní frekvencí 3,48 Hz.

Tabulka 5.3 Aktivovaná hmota od jednotlivých vlastních tvarů

Číslo	Vlastní frkvence	Aktivovaná hmota [%]			
		X[%]	Y[%]	Z[%]	celkem [%]
1	1.4	0.02	26.30	0.00	8.20
2	2.41	0.01	0.15	0.29	7.67
3	3.48	10.43	0.00	16.00	26.53

Náhradní délka pro spojitý nosník s prostředním polem vyztuženým langrovým trámem se stanoví následovně:

- Hlavní pole: $L_{\Phi,2} = 81/2 = 40,5 \text{ m}$
- Spojitý nosník: $L_m = 1/n \cdot (L_1 + L_2 + L_3) = 1/3 \cdot (42 + 40,5 + 41) = 41,5 \text{ m}$
 $L_{\Phi} = k \cdot L_m = 1,3 \cdot 41,5 = 53,95 \text{ m}$
 $L_{\Phi} = \max(53,95; 40,5) = \mathbf{53,95 \text{ m}}$

Pro tratě s provozní rychlostí nižší než 200 km/h musí 1. vlastní frekvence dle ČSN EN 1991-2 6.10 splňovat následující limity:

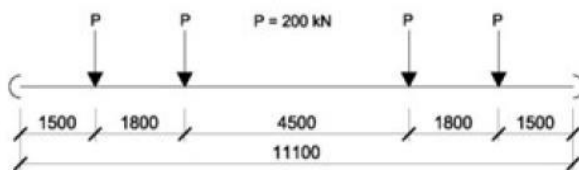
- Spodní limit: $n_{0,\min} \geq 23,58 L_{\Phi}^{-0,592} = 23,58 \cdot 53,95^{-0,592} = 2,22 \text{ Hz}$
- Horní limit: $n_{0,\max} \leq 94,76 L_{\Phi}^{-0,748} = 94,76 \cdot 53,95^{-0,748} = 4,80 \text{ Hz}$
- $n_0 = 3,48 \text{ Hz} \geq n_{0,\min} = 2,22 \text{ Hz}$
- $n_0 = 3,48 \text{ Hz} \leq n_{0,\max} = 4,80 \text{ Hz}$

OK

OK

První vlastní frekvence buzená kolejovou dopravou splňuje limity a není tudíž nutné provádět dynamickou analýzu konstrukce. Dostačující je statická analýza s použitím dynamických součinitelů pro standardně udržovanou kolej (Φ_3 pro model zatížení LM71 a Φ_{T1} pro ověření přechodnosti C3/60)

ZS5 – Zatížení trat'ovou třídou C3/50



Obrázek 5-13 Zatěžovací schéma referenčního vozu C3/60

Je uvažována excentricita zatížení vlivem nerovnoměrného naložení vozů dle ČSN EN 1991-2 o velikosti +/- 80 mm.

Dynamické součinitele pro stanovení přechodnosti – uvažuje se standardně udržovaná kolej.

Pomocí modulu pohyblivé zatížení byla konstrukce pojeta, dále byly vygenerovány rozhodující zatěžovací stavy pro posuzované prvky dle příčinkové čáry. Ty byly použity pro obálkovou kombinaci.

Dílčí součinitel zatížení:	nepříznivý účinek – bez zbytkové životnosti	$\gamma_{P,\text{sup}} = \mathbf{1,30}$
	Příznivý účinek	$\gamma_{P,\text{inf}} = \mathbf{0,00}$

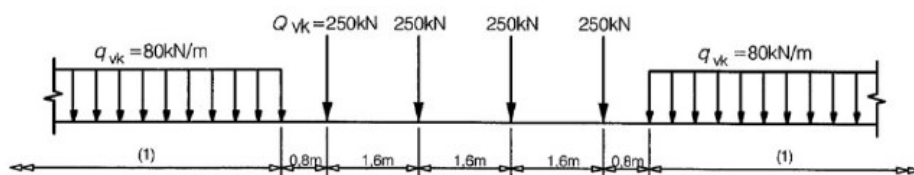
Klasifikační součinitel: $\alpha = \mathbf{1,0}$

Dynamický součinitel Φ_{T1} pro standardně udržovanou kolej:

$$\phi_{T1} = 1 + \phi' + \phi'', \text{ avšak } 1,05 \leq \phi_{T1} \leq 2,00.$$

- Hlavní nosník: spojitý nosník 42+81+42m, prostřední pole vyztuženo langrovým trámem
 $L_{\Phi} = 1,3 \cdot (42 + 81,5 + 42) / 3 = 71,8 \text{ m}$
 $\Phi_{TI} = 1,05$
- Oblouk: ztužující nosník Langrova trámu
 $L_{\Phi} = 81 / 2 = 40,5 \text{ m}$
 $\Phi_{TI} = 1,07$
- Závěsy: podélná vzdálenost závěsů $L = 7,5 \text{ m}$
 $L_{\Phi} = 4 \cdot 7,5 = 30,0 \text{ m}$
 $\Phi_{TI} = 1,09$
- Příčník: délka příčníku $L = 6,4 \text{ m}$
 $L_{\Phi} = 2 \cdot 6,4 = 12,8 \text{ m}$
 $\Phi_{TI} = 1,38$
- Koncový příčník:
 $L_{\Phi} = 3,6 \text{ m}$
 $\Phi_{TI} = 1,56$
- Podélník krajní pole: spojitě podepřený $L = 3,0 \text{ m}$
 $L_{\Phi} = 3 \cdot 3,0 = 9,0 \text{ m}$
 $\Phi_{TI} = 1,47$
- Podélník hlavní pole: spojitě podepřený $L = 3,75 \text{ m}$
 $L_{\Phi} = 3 \cdot 3,75 = 11,25 \text{ m}$
 $\Phi_{TI} = 1,41$

5.3.6. ZS6 – Zatížení modelem LM71



Obrázek 5-14 Zatěžovací schéma modelu LM71

Bylo uvažováno rovnoměrné rozdělení sil mezi dva podélníky a zároveň roznos osamělého břemena na sousední mostnice.

Je uvažována excentricita zatížení vlivem nerovnoměrného naložení vozů dle ČSN EN 1991-2 o velikosti +/- 80 mm.

Dynamické součinitele pro stanovení zatížitelnosti – uvažuje se standardně udržovaná kolej.

Pomocí modulu pohyblivé zatížení byla konstrukce pojeta, dále byly vygenerovány rozhodující zatěžovací stavy pro posuzované prvky dle příčinkové čáry. Ty byly použity pro obálkovou kombinaci.

Dílčí součinitel zatížení:	nepříznivý účinek – bez zbytkové životnosti	$\gamma_{P,\text{sup}} = \mathbf{1,30}$
	Příznivý účinek	$\gamma_{P,\text{inf}} = \mathbf{0,00}$

Klasifikační součinitel: $\alpha = 1,0$

Dynamický součinitel Φ_3 pro standardně udržovanou kolej:

$$\Phi_3 = \frac{2,16}{\sqrt{L_\Phi - 0,2}} + 0,73 \quad \text{v rozmezí } 1,05 \leq \Phi_3 \leq 2,0$$

- Hlavní nosník: spojitý nosník 42+81+42m, prostřední pole vyztuženo lagrovým trámem
 $L_{\Phi} = 1,3 \cdot (42 + 81,5/2 + 42) / 3 = 53,95 \text{ m}$
 $\Phi_3 = 1,05$
- Oblouk: ztužující nosník Langrova trámu
 $L_{\Phi} = 81/2 = 40,5 \text{ m}$
 $\Phi_3 = 1,08$
- Závěsy: podélná vzdálenost závěsů $L = 7,5 \text{ m}$
 $L_{\Phi} = 4 \cdot 7,5 = 30,0 \text{ m}$
 $\Phi_3 = 1,14$
- Příčník: délka příčníku $L = 6,4 \text{ m}$
 $L_{\Phi} = 2 \cdot 6,4 = 12,8 \text{ m}$
 $\Phi_3 = 1,37$
- Koncový příčník:
 $L_{\Phi} = 3,6 \text{ m}$
 $\Phi_3 = 2,00$
- Podélník krajní pole: spojitě podepřený $L = 3,0 \text{ m}$
 $L_{\Phi} = 3 \cdot 3,0 = 9,0 \text{ m}$
 $\Phi_3 = 1,50$
- Podélník hlavní pole: spojitě podepřený $L = 3,75 \text{ m}$
 $L_{\Phi} = 3 \cdot 3,75 = 11,25 \text{ m}$
 $\Phi_3 = 1,41$

ZS7 – Brzdné a rozjezdové síly B

Charakteristická hodnota zatížení rozjezdovými a brzdnými silami se uvažuje podle kap.6.5.3 v ČSN EN 1991-2, působí v úrovni temene kolejnic v podélném směru koleje a je rovnoměrně rozložené po příčinné délce $L_{a,b}$ a působí vždy současně s příslušným svislým proměnným zatížením železniční dopravou. Pro stanovení zatížitelnosti a přechodnosti je rozhodující konstrukce s dilatačními zařízeními na obou koncích mostu kde tedy veškerá brzdná a rozjezdová síla musí být přenesena konstrukci. Pro model nezatížený vlak lze toto zatížení zanedbat.

Dílčí součinitel zatížení:	nepříznivý účinek – bez zbytkové životnosti	$\gamma_{P,sup} = 1,30$
	Příznivý účinek	$\gamma_{P,inf} = 0,00$

Klasifikační součinitel $\alpha = 1,00$

Dynamické účinky – Φ_3 neuvažují se

Příčinná délka (vzdálenost os dilatačních zařízení) $L_{a,b} = 165$ m

Charakteristická hodnota zatížení (vodorovně v podélném směru):

Rovnoměrné zatížení – rozjezdová síla $Q_{lak} = \min(1000; 33 * 165) = 1000$ kN

Rovnoměrné zatížení - brzdná síla $Q_{lbk} = \min(6000 ; 20 * 165) = 3300$ kN

Rozhoduje brzdná síla $Q_{lbk} = 3300$ kN

Spojité podélné rovnoměrné zatížení (ve směru X) na 1 kolejnici v modelu (celkem 2x):

$q_{lbk} = 20$ kN/m

Poznámka:

Pokud budoucí hodnota zatížitelnosti NK mostu ZLM71 bude menší než 1,00, je možné úměrně určené zatížitelnosti ZLM71 redukovat i účinky zatížení od rozjezdových a brzdných sil. Výslednou hodnotu zatížitelnosti ZLM71 je v tomto případě nutné určit iterační formou výpočtu.

5.3.7. ZS8 – Zatížení větrem W-P

Most se nachází v nadmořské výšce 165 m. n. m., jeho výška je 9,0 m a drsnost terénu v dané lokalitě je 0,0 m, jelikož se most nachází nad řekou.

Tabulka 5.4 Tabulka rychlostí větru v dané lokalitě poskytnuta ČHMÚ

Kralupy nad Vltavou - 165 m n. m., výška 9.0 m, drsnost 0 m, $v_{b,0} = 21.5$ m/s								
Směr větru	S	SV	V	JV	J	JZ	Z	SZ
50letá rychlost větru [m/s]	11.7	4.7	8.2	13.9	10.6	8.8	13.3	20.5
Intenzita horizontální turbulence [%]	27.7	58.8	29.8	14.5	46.6	81.4	45.4	14.4



Obrázek 5-15 směr mostu oproti větru severozápadní

Střední rychlost větru $v_m(z) = 20,5$ m/s

Intenzita turbulence $I_v(z) = 14,4$ %

Maximální dynamický tlak $q_p(z) = [1 + 7 \cdot I_v(z)] \cdot 0,5 \cdot \rho \cdot v_m(z)^2 =$
 $[1 + 7 \cdot 0,144] \cdot 0,5 \cdot 1,25 \cdot 20,5^2 = 0,527$ kN/m²

Dílčí součinitel zatížení: nepříznivý účinek – bez zbytkové životnosti $\gamma_{W,sup} = 1,35$

Příznivý účinek $\gamma_{W,inf} = 0,00$

Most bez dopravy – hlavní nosník

Vítr napříč mostu na konstrukci (směr x dle normy):

Poměr $b/d_{dot} = 7,048/2,870 = 2,46$

Součinitel $c_{fx} = 1,78$

Tlak větru $f_{wx} = c_{fx} \cdot q_p(z) = 0,94$ kN/m²

Most bez dopravy – langrův trám

Vítr napříč mostu na konstrukci (směr x dle normy):

Použije se postup pro rovinnou příhradu (metoda M4) dle ČSN EN 1991-1-4 čl. 7.11:



$$A = 63,7 \text{ m}^2$$



$$A = 449,1 \text{ m}^2$$

Součinitel plnosti $\phi = 63,7/449,1 = 0,14$

Součinitel $c_{fx} = 1,75$

Tlak větru $f_{wx} = c_{fx} \cdot q_p(z) = 1,92 \text{ kN/m}^2$

Most s dopravou – hlavní nosník

Vítr napříč mostu na konstrukci (směr x dle normy):

Uvažuje se pás vozidel výšky 4,0 m.

Poměr $b/d_{dot} = 7,048/5,87 = 1,20$

Součinitel $c_{fx} = 2,18$

Tlak větru $f_{wx} = c_{fx} \cdot q_p(z) = 1,15 \text{ kN/m}^2$

Most s dopravou – langrův trám

Vítr napříč mostu na konstrukci (směr x dle normy):

Použije se postup pro rovinnou příhradu (metoda M4) dle ČSN EN 1991-1-4 čl. 7.11:

Uvažuje se pás vozidel výšky 4,0 m.



$$A = 47,3 \text{ m}^2$$



$$A = 240,6 \text{ m}^2$$

Součinitel plnosti $\phi = 47,3/240,6 = 0,20$

Součinitel $c_{fx} = 1,64$

Tlak větru $f_{wx} = c_{fx} \cdot q_p(z) = 0,86 \text{ kN/m}^2$

Tabulka 5.5 Zatížení jednotlivých prvků větrem

	Most bez dopravy			Most s dopravou		
	f_{wx}	h	w_x	f_{wx}	h	w_x
	[kN/m ²]	[m]	[kN/m]	[kN/m ²]	[m]	[kN/m]
Hlavní nosník	1.77	2.87	5.08	2.17	5.87	12.74
Výztužný oblouk	1.74	0.2	0.35	1.63	0.2	0.33
Svislice	1.74	0.68	1.18	1.63	0.68	1.11

Součinitel zatížení: $\gamma_{F,W} = 1,35$.

Podélný vítr (směr y dle normy):

Se pro plnostěnné nosníky uvažuje jako 25 % sil od větru napříč mostu (směr x dle normy).

Svislý vítr (směr z dle normy):

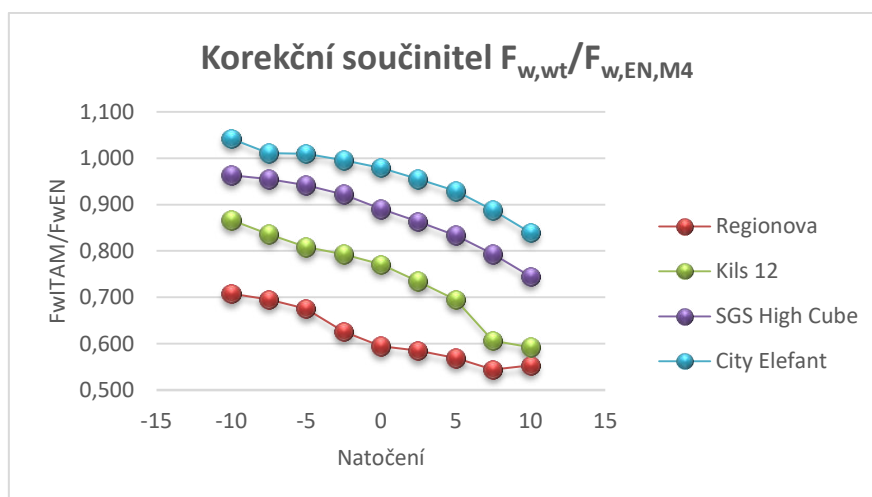
Tato síla má dle normy ČSN EN 1991-1-4 významné účinky pouze tehdy, jestliže je stejného řádu jako stálé zatížení (zatížení vlastní tíhou). Součinitel zatížení je uvažován dle grafu 8.6 pro maximální odklon větru $\pm 6^\circ$. Součinitel zatížení je uvažován pro všechny části, s vlivem i bez vlivu dopravy stejnou hodnotou 0,8.

Tlak větru $f_{wz} = c_{fx} \cdot q_p(z) = 0,8 \cdot 0,527 = 0,42 \text{ kN/m}^2$

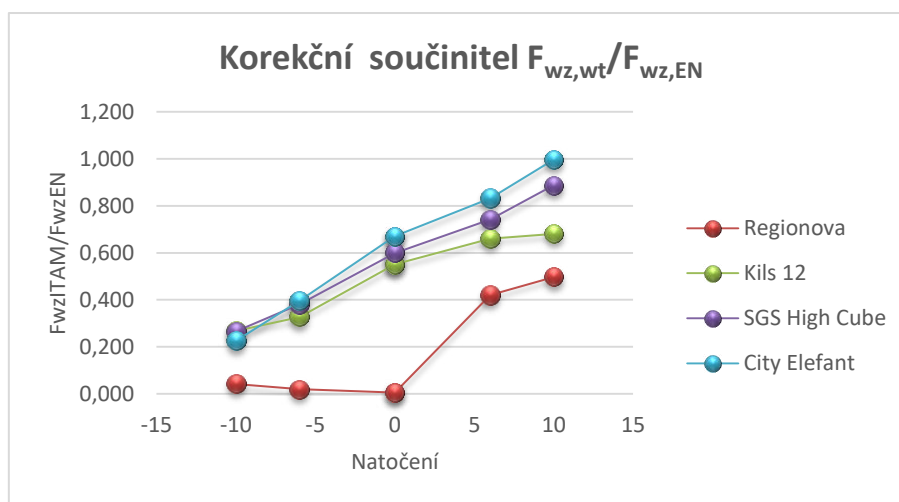
Zatížení bude aplikováno jako svislé zatížení na hlavní nosníky.

Redukce zatížení větrem

Podle výsledků měření ve větrném tunelu je ale reálná hodnota nižší, jak je vidět na grafu na obrázku. Vzhledem k tomu, že na trati nejedí kontejnerová doprava ani příměstské dvoupatrové jednotky, uvaží se poměr korekční součinitel pro svislé a vodorovné zatížení pro soupravu KILS 12. Most se nachází nad řekou, a tudíž se uvažuje maximální odklon větru od vodorovné směru $\pm 5^\circ$. Korekční součinitel se pro hlavní nosníky uvaží pro most s dolní prvkovou mostovkou.



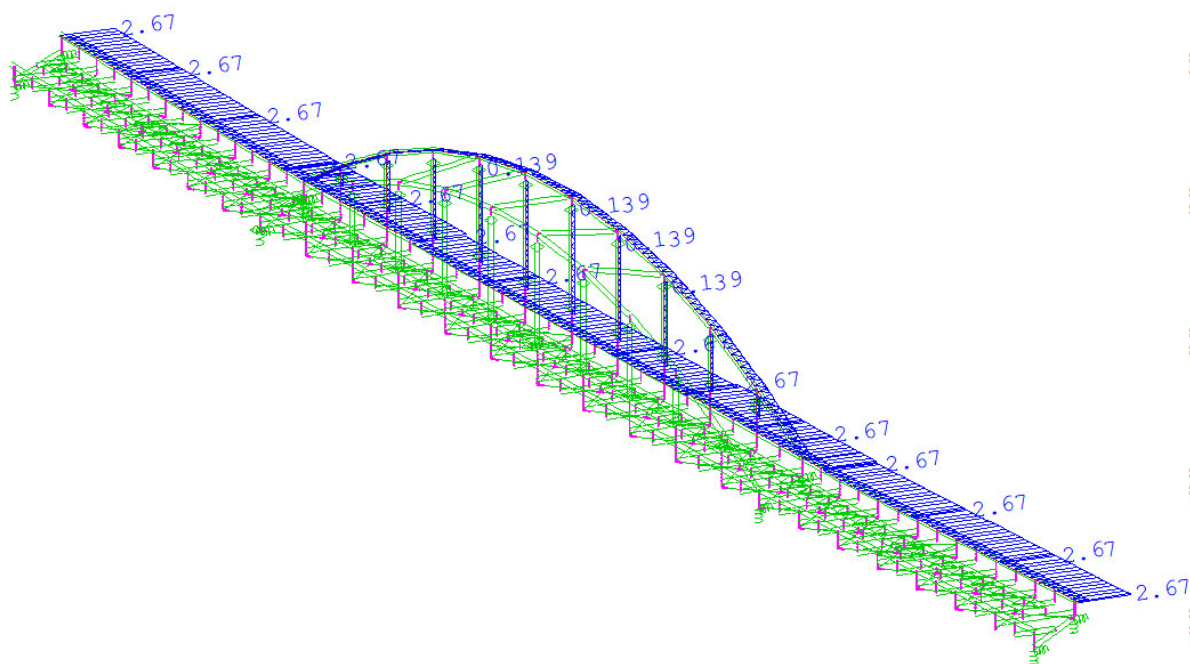
Obrázek 5-16 Korekční součinitel ve vodorovném směru



Obrázek 5-17 Korekční součinitel ve svislém směru

Celková korekce zatížení větrem při účinku dopravy je 0,81 a pro svislý směr 0,66.

Pro mosty starší než 30 let se uváží kombinační součinitel pro vítr když je dominantním zatížením doprava $\psi_0 = 0,5$.



Obrázek 5-18 Zatížení mostu větrem při přítomnosti dopravy

5.3.8. ZS9 – Boční ráz S

Dílčí součinitel zatížení:	nepříznivý účinek – bez zbytkové životnosti	$\gamma_{P,sup} = 1,30$
	Příznivý účinek	$\gamma_{P,inf} = 0,00$

Klasifikační součinitel $\alpha = 1,00$

Dynamické účinky – $\Phi 3$ neuvažují se

Charakteristická hodnota zatížení bočním rázem se uvažuje dle kap 6.5.2 v ČSN EN 1991-2.

Boční ráz působí jako vodorovná osamělá síla v úrovni temene kolejnice kolmo na osu koleje a uvažuje se současně se svislým proměnným zatížením železniční dopravou.

V podélném směru je možné toto zatížení rozdělit na 3 kolejnicové podpory (podkladnice, pražce) dle obr. 6.4 v ČSN EN 1991-2 v poměru 25 % + 50 % + 25 %.

V příčném směru je toto zatížení možné rozdělit, v souladu s čl. A.2.2.24 SMĚRNICE, na oba podélníky stejným poměrem.

Charakteristická hodnota zatížení:

Osamělá zatížení – základní zatížení v ose koleje $Q_{vk} = 100 \text{ kN}$

Osamělá zatížení – příčně (ve směru Y) v úrovni TK na 1 kolejnici v modelu (celkem 2x):

$Q_{vk} = 50 \text{ kN}$

Poznámka:

Pokud budoucí hodnota zatížitelnosti NK mostu ZLM71 bude menší než 1,00, je možné úměrně určené zatížitelnosti ZLM71 redukovat i účinky zatížení od bočního rázu. Výslednou hodnotu zatížitelnosti ZLM71 je v tomto případě nutné určit iterační formou výpočtu.

5.3.9. ZS10 – Odstředivá síla C

V prvním a třetím poli se kolej na mostě nachází ve směrovém oblouku a přechodnici. Poloměr oblouku na prvním poli je $R=350$ m a převýšením 44 mm, na třetím poli se trať nachází ve směrovém oblouku o poloměru $R=300$ m s převýšením 44 mm. Provozní rychlost na trati je 60 km/h.

Dílčí součinitel zatížení:	nepříznivý účinek – bez zbytkové životnosti	$\gamma_{P, \text{sup}} = \mathbf{1,30}$
	Příznivý účinek	$\gamma_{P, \text{inf}} = \mathbf{0,00}$

Charakteristická hodnota zatížení odstředivými silami je:

$$Q_{tk} = \frac{V^2}{a \times r} (f \times Q_{vk}) = \frac{V^2}{127r} (f \times Q_{vk}) \quad (6.17)$$

$$q_{tk} = \frac{v^2}{a \times r} (f \times q_{vk}) = \frac{V^2}{127r} (f \times q_{vk}) \quad (6.18)$$

kde Q_{tk} , q_{tk} jsou charakteristické hodnoty odstředivých sil [kN, kN/m];

Q_{vk}, q_{vk} charakteristické hodnoty svislých zatížení stanovených v 6.3 (kromě případného zvýšení pro dynamické účinky) pro modely zatížení 71, SW/0, SW/2 a "nezatížený vlak". Pro model zatížení HSLM se má charakteristická hodnota odstředivé síly stanovit použitím modelu zatížení 71;

f je redukční součinitel (viz dále):

v maximální rychlost podle 6.5.1(5) [m/s]:

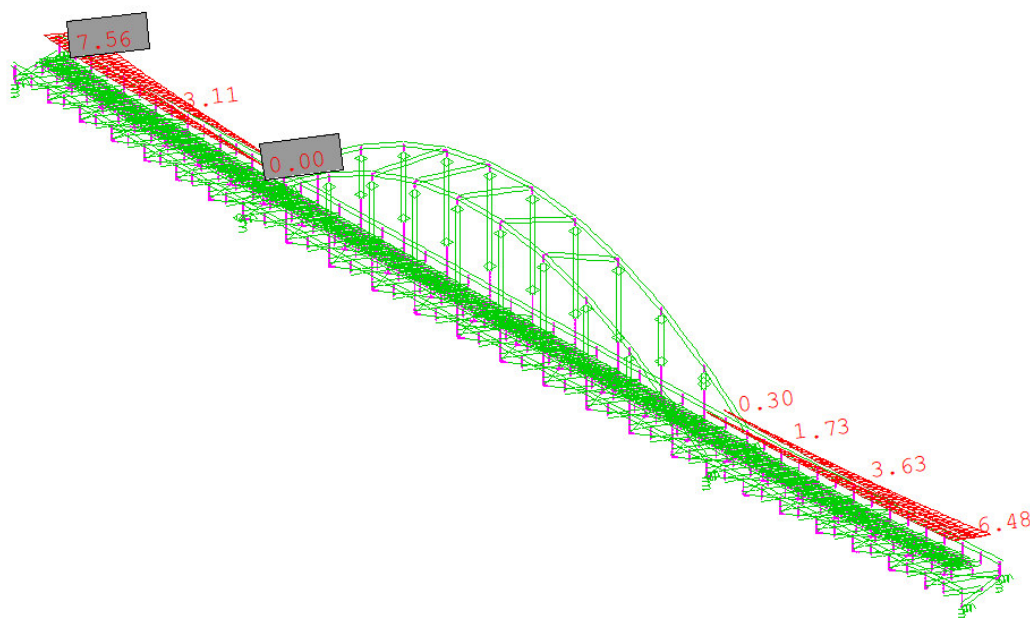
V maximální rychlost podle 6.5.1(5) [km/h];

g gravitační zrychlení [$9,81 \text{ m/s}^2$];

r poloměr zakřivení oblouku [m].

Redukční součinitel se pro traťovou rychlost 60 km/h neuvažuje.

Pro oblouky se proměnnou křivostí se uvažuje střední hodnota poloměru r .



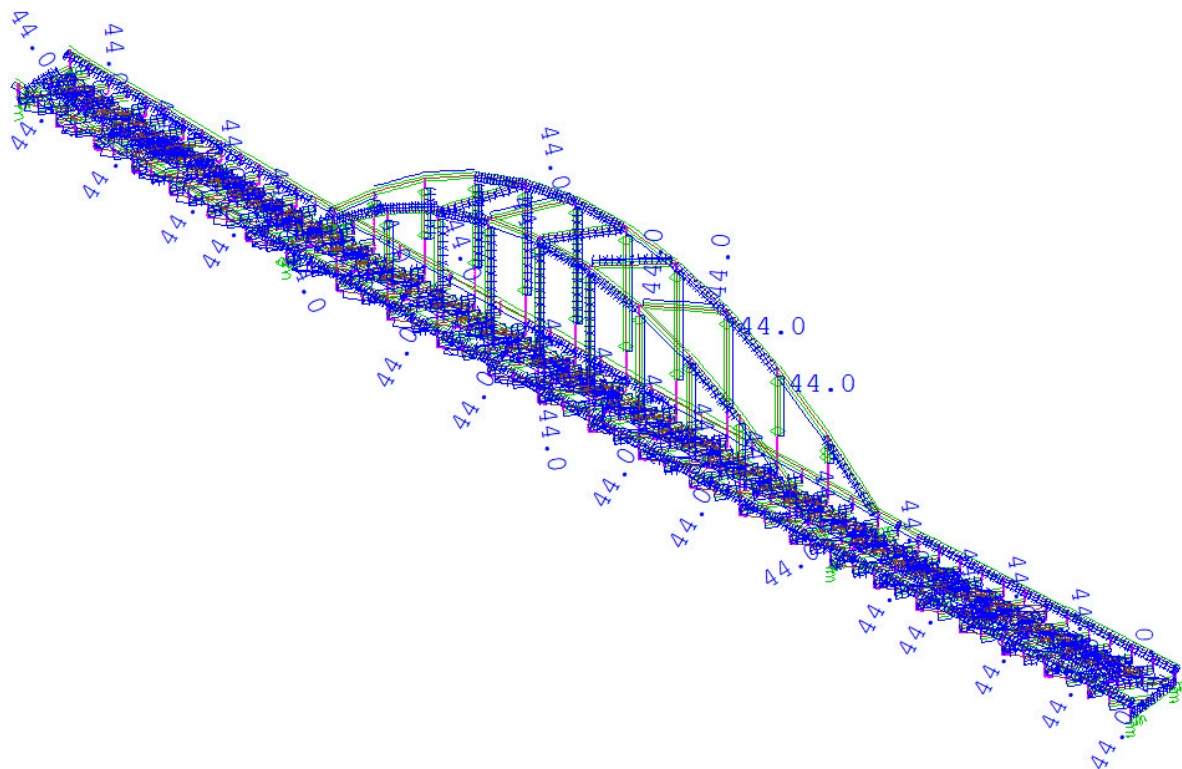
Obrázek 5-19 Odstředivé síly v prvním a třetím poli

ZS11 – Rovnoměrná složka teploty T-N

Dílčí součinitel zatížení:	nepříznivý účinek – bez zbytkové životnosti	$\gamma_{T, \text{sup}} = \mathbf{1,35}$
	Příznivý účinek	$\gamma_{T, \text{inf}} = \mathbf{0,00}$

Zatížení teplotou se zadává do modelu přímo jako oteplení (+) či ochlazení (-) příslušných prutů ve stupních o níže specifikovanou hodnotu. Hodnoty a označení - viz ČSN EN 1991-1-5.

- | | |
|--|---|
| - předpokládaná výchozí teplota NK při osazení | $T_0 = +10,0\text{ }^{\circ}\text{C}$ |
| - minimální hodnota teploty vzduchu ve stínu pro místo stavby | $T_{\min} = -30,0\text{ }^{\circ}\text{C}$ |
| - maximální hodnota teploty vzduchu ve stínu pro místo stavby | $T_{\max} = +38,0\text{ }^{\circ}\text{C}$ |
| - minimální rovnoměrná složka teploty mostu | $T_{e,\min} = -30,0 - 3 = -33,0\text{ }^{\circ}\text{C}$ |
| - maximální rovnoměrná složka teploty mostu | $T_{e,\max} = +38,0 + 16,0 = +54,0\text{ }^{\circ}\text{C}$ |
| - maximální rozsah záporných teplot – charakteristická hodnota | $\Delta T_{N,\text{con},k} = -(10,0 - (-33,0)) = -43,0\text{ }^{\circ}\text{C}$ |
| - návrhová hodnota | $\Delta T_{N,\text{con},d} = -43,0 - 20,0 = -63,0\text{ }^{\circ}\text{C}$ |
| - maximální rozsah kladných teplot – charakteristická hodnota | $\Delta T_{N,\text{exp},k} = +(54,0 - 10,0) = +44,0\text{ }^{\circ}\text{C}$ |
| - návrhová hodnota | $\Delta T_{N,\text{exp},d} = +44,0 + 20,0 = +64,0\text{ }^{\circ}\text{C}$ |
| - součinitel délkové tepelné roztažnosti NK mostu | $\alpha_{st} = 1.200\text{ E-}05\text{ }^{\circ}\text{C}^{-1}$ |



Obrázek 5-20 Zatížení charakteristickou rovnoměrnou složkou teploty

ZS12 – Nerovnoměrná složka teploty T-N

Dílčí součinitel zatížení: nepříznivý účinek – bez zbytkové životnosti $\gamma_{T,\text{sup}} = 1,35$

Příznivý účinek $\gamma_{T,\text{inf}} = 0,00$

- typ NK mostu dle ČSN EN 1991-1-5: 1 – ocelová

- použije se postup dle čl.6.1.4.1 ČSN EN 1991-1-5 (rozdíl v rovnoměrné složce teploty mezi horním a dolním povrchem NK)

charakteristická hodnota zatížení:

dolní povrch teplejší

horní vlákna hlavního nosníku, oblouky, ztužení oblouku: -13,0 °C

horní povrch teplejší

horní vlákna hlavního nosníku, oblouky, ztužení oblouku: 18,0 °C

Současné působení rovnoměrné a nerovnoměrné složky:

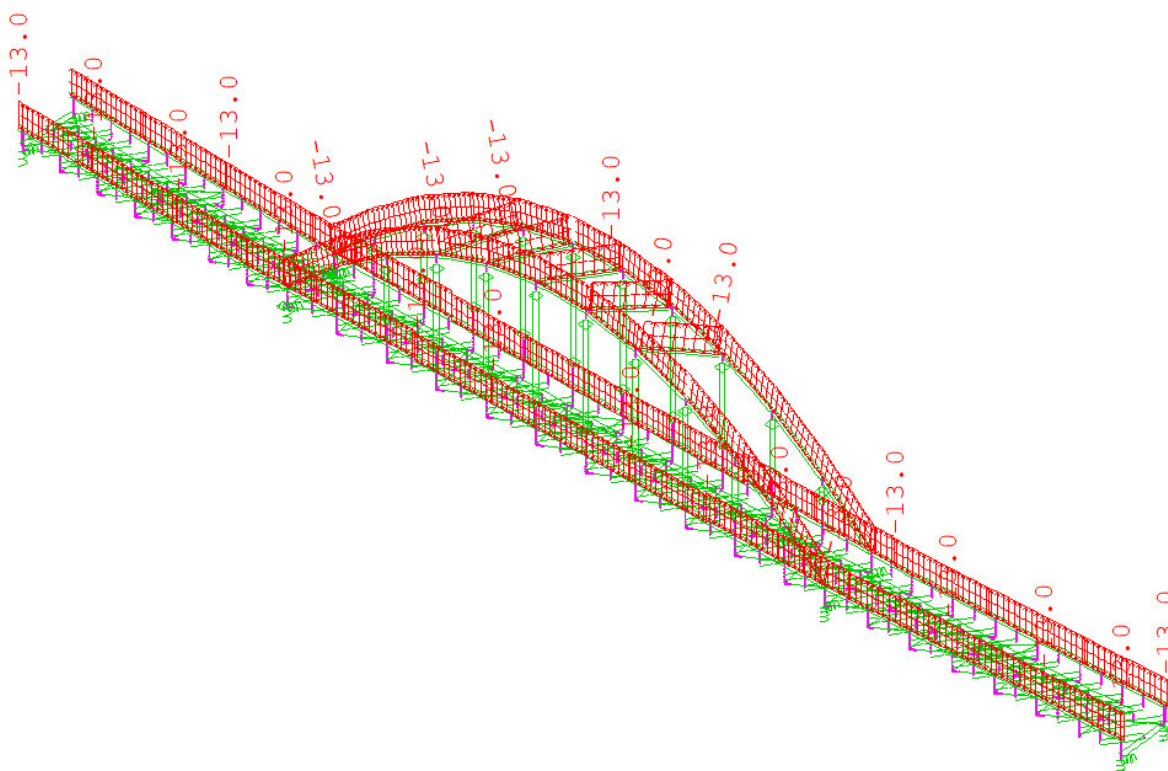
Pokud bude nutné uvažovat současně rovnoměrnou i rozdílovou složku teploty, bude nutné uvážit jejich nejnepříznivější vzájemnou kombinaci dle kap.6.1.5:

$$\Delta T_{M, \text{heat}} \text{ (nebo } \Delta T_{M, \text{cool}}) + \omega_N \Delta T_{N, \text{exp}} \text{ (nebo } \Delta T_{M, \text{con}})$$

$$\omega_M \Delta T_{M, \text{heat}} \text{ (nebo } \Delta T_{M, \text{cool}}) + \Delta T_{N, \text{exp}} \text{ (nebo } \Delta T_{N, \text{con}})$$

$$\omega_N = 0,35$$

$$\omega_M = 0,75$$



Obrázek 5-21 Zatížení nerovnoměrnou složkou teploty

5.4. Kombinační předpis

5.4.1. Kombinační předpis pro posudek ztráty stability EQU

Stálé zatížení vlastní tíhou a mostním svrškem $\gamma_F = 0,95$

Zatížení větrem $\gamma_F = 1,35$

Zatížení nezatíženým vlakem $\gamma_F = 1,00$

Zatížení prázdným vlakem je uvažováno hodnotou 10kN/m mostu a je rozděleno rovnoměrně do obou podélníků. Toto zatížení je uvažováno v kombinaci z důvodu, že stav zatížení větrem obsahuje významnou složku od zatížení vlaku a je tedy s pohyblivým zatížením uvažována spolu.

5.4.2. Kombinační předpis pro přechodnost C3/60

ZATĚŽ. STAV	G	P	O	B	S	CH	W-P	T-E	T-N	K	RL	R2	R3	R4	R5	R6	POPIS
	STÁLÉ	UIC 71	ODSTŘEDIVÁ SILA	BRZDNÉ A ROZJ. SILY	BOČNÍ RÁZ	REVIZNÍ CHODNÍKY	VÍTR	ROVNOMĚR. TEPLOTA	NEROVNOMĚR. TEPLOTA	BEZSTYK. KOLEJ	REVIZNÍ LÁVKY	PŘECHODNOST C3-70	REZERVA	REZERVA	REZERVA	REZERVA	
KOMBINACE č.	-	-	-	-	-	-	-	-	-	-	-	-	-	-	-	-	
21	1.00		0.40	0.80	0.40		0.50	0.60				0.80					
22	1.00		0.80	0.40	0.80		0.50	0.60				0.80					
23	1.00		0.40	0.80	0.40		0.50	0.60				0.40					
24	1.00		0.80	0.40	0.80		0.50	0.60				0.40					
25	0.85		0.50	1.00	0.50		0.50	0.60				1.00					
26	0.85		1.00	0.50	1.00		0.50	0.60				1.00					
27	0.85		0.50	1.00	0.50		0.50	0.60				0.50					
28	0.85		1.00	0.50	1.00		0.50	0.60				0.50					
29	0.85		0.40	0.80	0.40		0.50	0.60				0.80					
30	0.85		0.80	0.40	0.80		0.50	0.60				0.80					
31	0.85		0.40	0.80	0.40		0.50	0.60				0.40					
32	0.85		0.80	0.40	0.80		0.50	0.60				0.40					
33	0.85		0.40	0.80	0.40		0.50	0.60				0.80					
34	0.85		0.80	0.40	0.80		0.50	0.60				0.80					
35	0.85		0.40	0.80	0.40		0.50	0.60				0.40					
36	0.85		0.80	0.40	0.80		0.50	0.60				0.40					
37	0.85		0.40	0.80	0.40		1.00	0.60				0.80					
38	0.85		0.80	0.40	0.80		1.00	0.60				0.80					
39	0.85		0.40	0.80	0.40		1.00	0.60				0.40					
40	0.85		0.80	0.40	0.80		1.00	0.60				0.40					
41	0.85		0.40	0.80	0.40		0.50	1.00				0.80					
42	0.85		0.80	0.40	0.80		0.50	1.00				0.80					
43	0.85		0.40	0.80	0.40		0.50	1.00				0.40					
44	0.85		0.80	0.40	0.80		0.50	1.00				0.40					

5.4.3. Kombinační předpis pro zatížitelnost UIC

ZATĚŽ. STAV	G	P	O	B	S	CH	W-P	T-E	T-N	K	RL	R2	R3	R4	R5	R6	POPIS
	STÁLÉ	UIC 71	ODSTŘEDIVÁ SILA	BRZDNÉ A ROZJ. SILY	BOČNÍ RÁZ	REVIZNÍ CHODNÍKY	VÍTR	ROVNOMĚR. TEPLOTA	NEROVNOMĚR. TEPLOTA	BEZSTYK. KOLEJ	REVIZNÍ LÁVKY	PŘECHODNOST C3-70	REZERVA	REZERVA	REZERVA	REZERVA	
KOMBINACE č.	-	-	-	-	-	-	-	-	-	-	-	-	-	-	-	-	
21	1.00	0.80	0.40	0.80	0.40		0.50	0.60									
22	1.00	0.80	0.80	0.40	0.80		0.50	0.60									
23	1.00	0.40	0.40	0.80	0.40		0.50	0.60									
24	1.00	0.40	0.80	0.40	0.80		0.50	0.60									
25	0.85	1.00	0.50	1.00	0.50		0.50	0.60									
26	0.85	1.00	1.00	0.50	1.00		0.50	0.60									
27	0.85	0.50	0.50	1.00	0.50		0.50	0.60									
28	0.85	0.50	1.00	0.50	1.00		0.50	0.60									
29	0.85	0.80	0.40	0.80	0.40		0.50	0.60									
30	0.85	0.80	0.80	0.40	0.80		0.50	0.60									
31	0.85	0.40	0.40	0.80	0.40		0.50	0.60									
32	0.85	0.40	0.80	0.40	0.80		0.50	0.60									
33	0.85	0.80	0.40	0.80	0.40		0.50	0.60									
34	0.85	0.80	0.80	0.40	0.80		0.50	0.60									
35	0.85	0.40	0.40	0.80	0.40		0.50	0.60									
36	0.85	0.40	0.80	0.40	0.80		0.50	0.60									
37	0.85	0.80	0.40	0.80	0.40		1.00	0.60									
38	0.85	0.80	0.80	0.40	0.80		1.00	0.60									
39	0.85	0.40	0.40	0.80	0.40		1.00	0.60									
40	0.85	0.40	0.80	0.40	0.80		1.00	0.60									
41	0.85	0.80	0.40	0.80	0.40		0.50	1.00									
42	0.85	0.80	0.80	0.40	0.80		0.50	1.00									
43	0.85	0.40	0.40	0.80	0.40		0.50	1.00									
44	0.85	0.40	0.80	0.40	0.80		0.50	1.00									

5.5. Výpočet konstrukce

5.5.1. Kritické prvky

Na základě kombinace MSÚ byly stanoveny pro každý průřez kritické prvky pro maximální a minimální účinky od ohybových momentů M_y a M_z , normálové síly N a posouvající síly ve svislém směru V_z . Celkem bylo posouzeno 41 průřezů a pro každý průřez osm prvků dle maximálního účinku vnitřních sil.

Tabulka 5.6 Seznam průřezů a kritických prvků

OZNAČENÍ	PRVEK	TYP PRŮŘEZU
HN_01	HLAVNÍ NOSNÍK 1	SVAŘOVANÝ I NOSNÍK
HN_02	HLAVNÍ NOSNÍK 2	SVAŘOVANÝ I NOSNÍK
HN_03A	HLAVNÍ NOSNÍK 3A	SVAŘOVANÝ I NOSNÍK
HN_03B	HLAVNÍ NOSNÍK 3B	SVAŘOVANÝ I NOSNÍK
HN_04	HLAVNÍ NOSNÍK 4	SVAŘOVANÝ I NOSNÍK
HN_05	HLAVNÍ NOSNÍK 5	SVAŘOVANÝ I NOSNÍK
HN_06	HLAVNÍ NOSNÍK 6	SVAŘOVANÝ I NOSNÍK
P_1	PŘÍČNÍK 1	SVAŘOVANÝ I NOSNÍK
P_2	PŘÍČNÍK 2	SVAŘOVANÝ I NOSNÍK
P_3	PŘÍČNÍK 3	SVAŘOVANÝ I NOSNÍK
P_4	PŘÍČNÍK 4	SVAŘOVANÝ I NOSNÍK
P_5	PŘÍČNÍK 5	SVAŘOVANÝ I NOSNÍK
B_1	BRZDNÉ ZTUŽIDLO 1	VÁLCOVANÝ PRŮŘEZ
B_2	BRZDNÉ ZTUŽIDLO 2	VÁLCOVANÝ PRŮŘEZ
B_3	BRZDNÉ ZTUŽIDLO 3	VÁLCOVANÝ PRŮŘEZ
B_4	BRZDNÉ ZTUŽIDLO 4	VÁLCOVANÝ PRŮŘEZ
K_1	ZTUŽENÍ OBLOUKU	SVAŘOVANÝ I NOSNÍK
O_1	OBLOUK 1	SVAŘOVANÁ KOMORA
O_2	OBLOUK 2	SVAŘOVANÁ KOMORA
O_3	OBLOUK 3	SVAŘOVANÁ KOMORA
D_1	PODÉLNÍK 1	SVAŘOVANÝ I NOSNÍK
D_2	PODÉLNÍK 2	SVAŘOVANÝ I NOSNÍK
D_3	PODÉLNÍK 3	SVAŘOVANÝ I NOSNÍK
D_4	PODÉLNÍK 4	SVAŘOVANÝ I NOSNÍK
D_5	PODÉLNÍK 5	SVAŘOVANÝ I NOSNÍK
D_6	PODÉLNÍK 6	SVAŘOVANÝ I NOSNÍK
D_7	PODÉLNÍK 7	SVAŘOVANÝ I NOSNÍK
D_8	PODÉLNÍK 8	SVAŘOVANÝ I NOSNÍK
D_9	PODÉLNÍK 9	SVAŘOVANÝ I NOSNÍK
D_10	PODÉLNÍK 10	SVAŘOVANÝ I NOSNÍK
S_1	SVISLICE	SVAŘOVANÝ I NOSNÍK
T_1	ZTUŽIDLA PODÉLNÍKŮ 1	VÁLCOVANÝ PRŮŘEZ
T_2	ZTUŽIDLA PODÉLNÍKŮ 2	VÁLCOVANÝ PRŮŘEZ
T_3	ZTUŽIDLA PODÉLNÍKŮ 3	VÁLCOVANÝ PRŮŘEZ
T_4	ZTUŽIDLA PODÉLNÍKŮ 4	VÁLCOVANÝ PRŮŘEZ
Z_1	DOLNÍ ZTUŽENÍ 1	VÁLCOVANÝ PRŮŘEZ
Z_2	DOLNÍ ZTUŽENÍ 2	VÁLCOVANÝ PRŮŘEZ
Z_3	DOLNÍ ZTUŽENÍ 3	VÁLCOVANÝ PRŮŘEZ
Z_4	DOLNÍ ZTUŽENÍ 4	VÁLCOVANÝ PRŮŘEZ
Z_5	DOLNÍ ZTUŽENÍ 5	VÁLCOVANÝ PRŮŘEZ
Z_6	DOLNÍ ZTUŽENÍ 6	VÁLCOVANÝ PRŮŘEZ

Charakteristiku jednotlivých průřezů jsou v příloze.

5.5.2. Vzpěrné délky

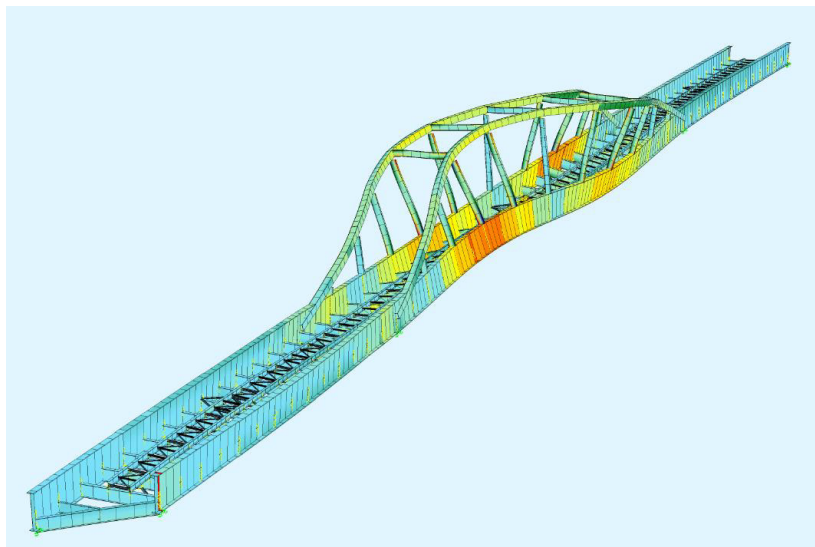
U některých prvků nelze snadno určit jejich vzpěrné délky pro vybočení v tlaku, z tohoto důvodu byla provedena globální i lokální stabilitní analýza.

Vzpěrná délka byla zjištěna na základě vzorce pro kritickou sílu.

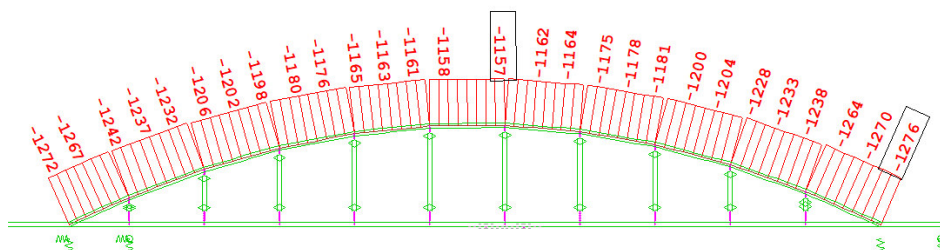
$$F_{cr} = \pi^2 \cdot \frac{E \cdot I}{L_{cr}^2}$$

Kritická síla byla stanovena z kritického součinitele a působící tlakové síly

Výztužný oblouk:



Obrázek 5-22 První tvar vybočení oblouku v příčném směru



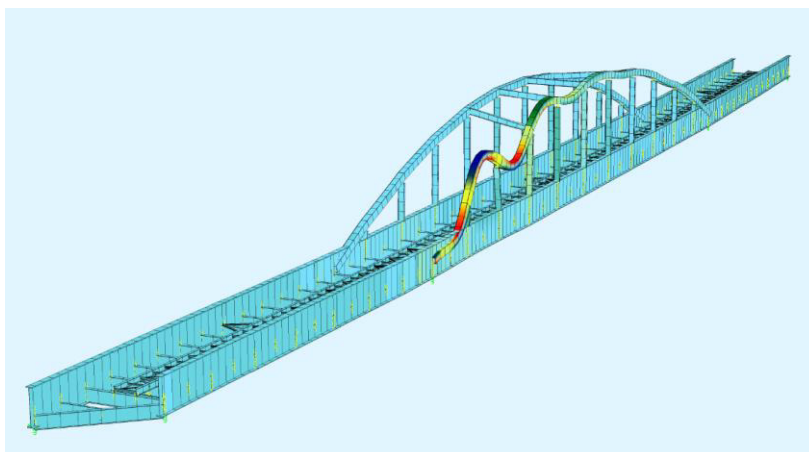
Obrázek 5-23 Působící normálová síla na oblouku

$$N = 1276 \text{ kN}$$

$$K_{z-z} = 23.9$$

$$I_z = 3.376 \cdot 10^{-3} \text{ m}^4$$

$$L_{cr} = (E \cdot I_z \cdot \pi^2 / K_{z-z} \cdot N)^{0.5} = 15.1 \text{ m}$$



Obrázek 5-24 První tvar vybočení oblouku ve svislém směru

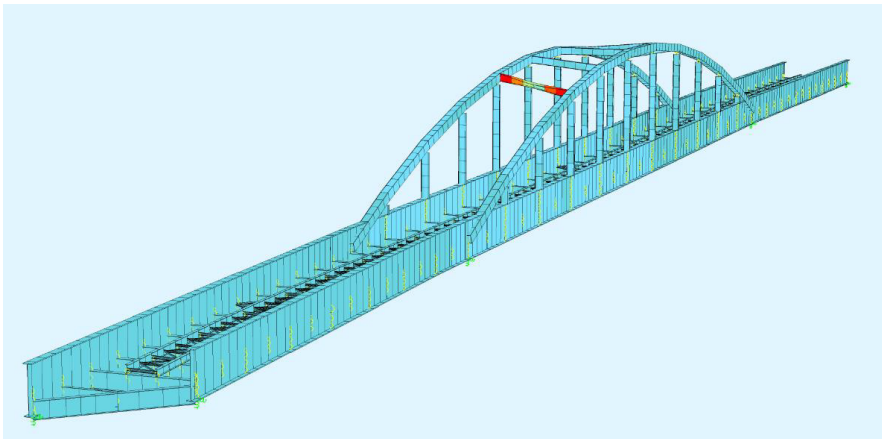
$$N = 1276 \text{ kN}$$

$$K_{y-y} = 116,6$$

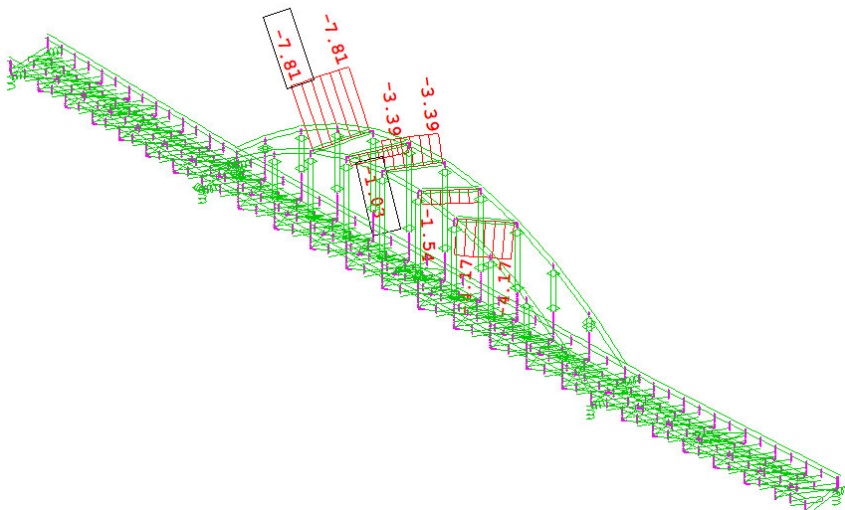
$$I_y = 3.493 \text{e-}3 \text{ m}^4$$

$$L_{cr} = (E * I_y * \pi^2 / K_{y-y} * N)^{0.5} = 7,0 \text{ m}$$

Příčná výztuha oblouku:



Obrázek 5-25 První tvar vybočení příčné výztuhy oblouku



Obrázek 5-26 Působící normálová síla v příčné výztuze

$$N = 7,81 \text{ kN}$$

$$K_{Z-Z} = 282,0$$

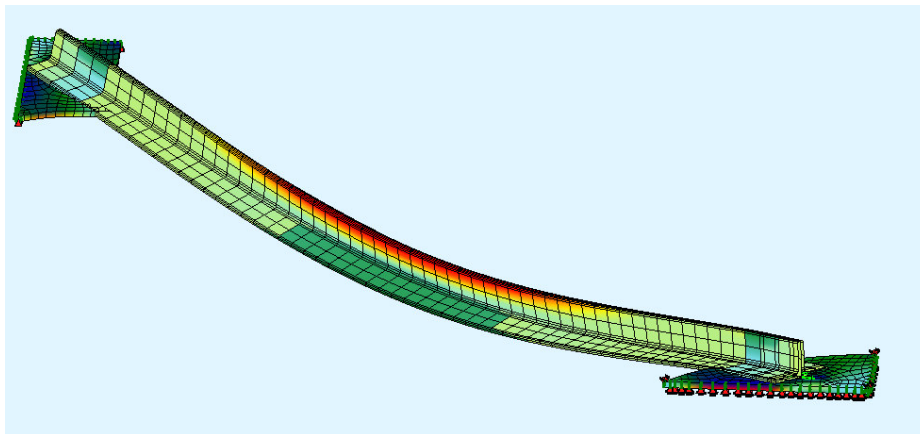
$$I_z = 2.671 \text{e-}5 \text{ m}^4$$

$$L_{cr} = (E^* I_z \pi^2 / K_{z-z}^* N)^{0.5} = 5,0 \text{ m}$$

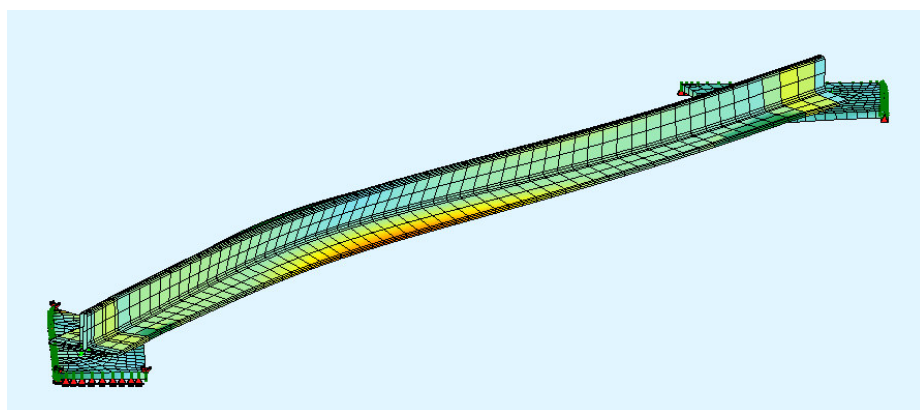
Vodorovné ztužující prvky:

Pro vodorovné ztužující prvky, jako spodní ztužení hlavních nosníků, ztužení podélníků či brzdné ztužení, byly vytvořeny speciální modely zohledňující ukotvení nýty k plechu, tuhost plechů a tuhost nýtů. Pro každý prvek byl vytvořen speciální model a byl stanoven součinitel kritického napětí a vyhodnocena kritická délka v obou směrech.

Plech byl na hranách, kde se stýká s konstrukcí, podepřen ve svislém a vodorovném směru a rotační pružinovou liniovou podporou simulující polotuhé propojení styčnickového plechu s pásnicí prvku na který je ukotven. Tuhost každého nýtu byla uvažována dle jeho plochy a smykového modulu pružnosti. U každého prvku byla uvažována imperfekce až 5 cm. Prvek byl zatížen osovou silou o velikosti 10 kN.



Obrázek 5-27 První tvar vybočení vodorovné výztuhy



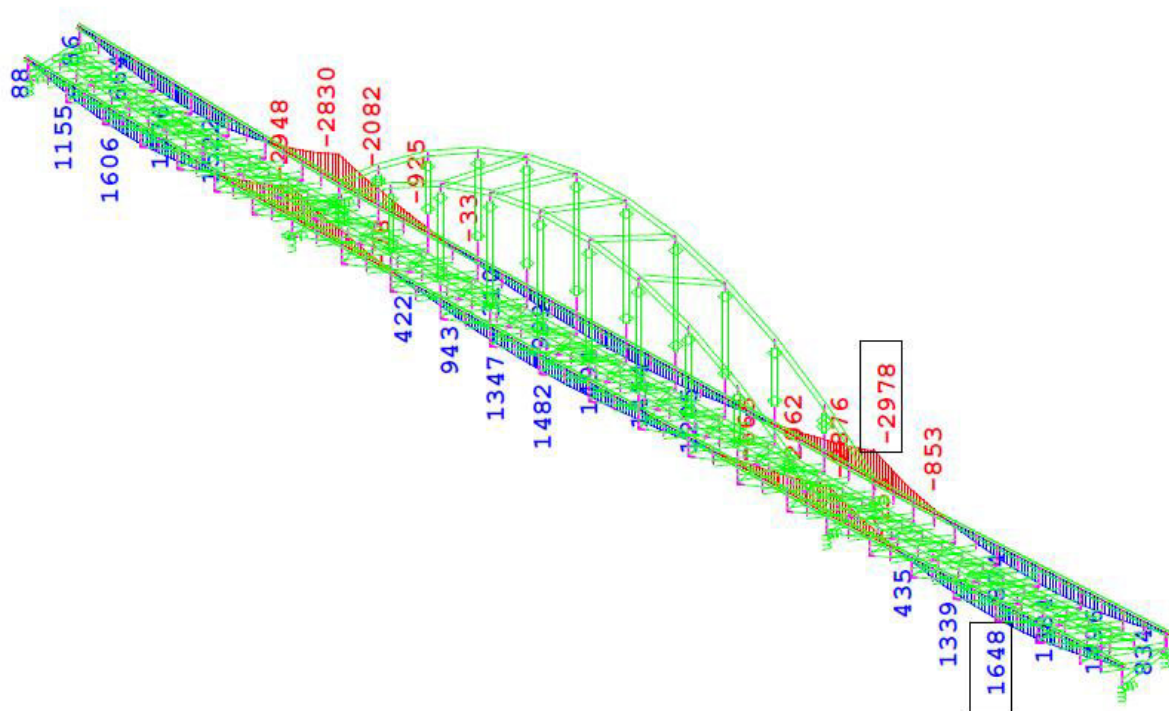
Obrázek 5-28 Druhý tvar vybočení vodorovné výztuhy

Tabulka 5.7 Výsledné vzpěrné délky prutů

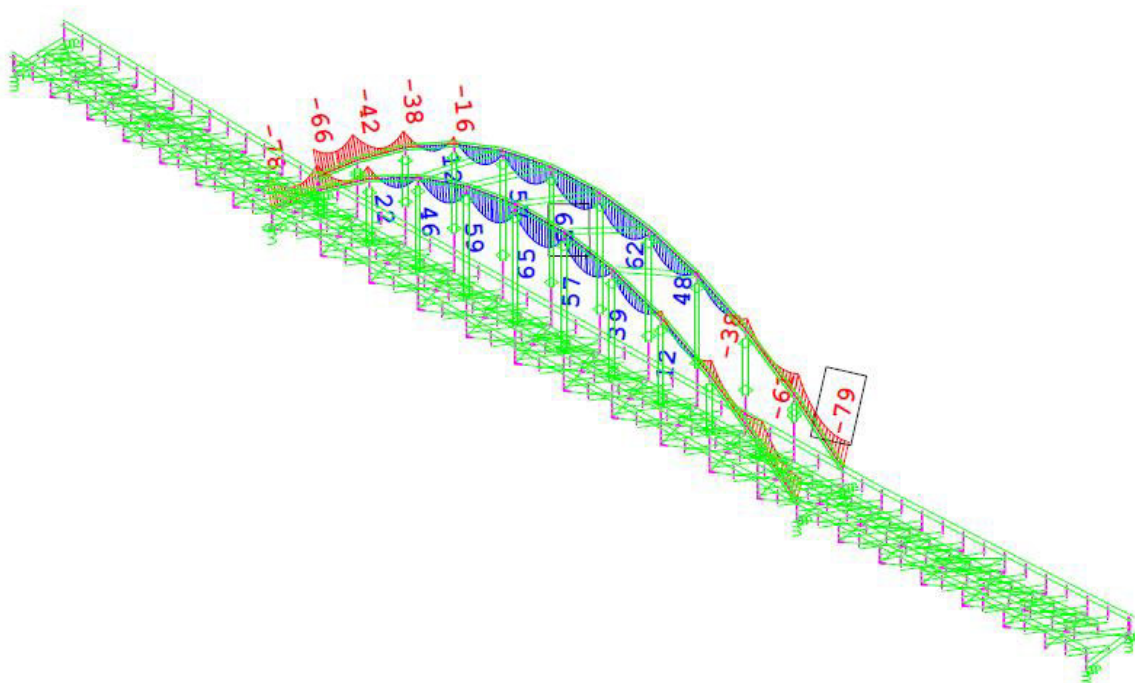
Prvek	N	f_{y-y}	f_{z-z}	I_y	I_z	$L_{cr,y-y}$	$L_{cr,z-z}$
	[kN]	[-]	[-]	[m ⁴]	[m ⁴]	[m]	[m]
Z_1	10	295.49	659.33	1.44E-05	2.72E-05	3.18	2.93
Z_2	10	216.58	459.72	9.44E-06	1.74E-05	3.01	2.80
Z_3	10	103.02	164.43	3.53E-06	6.59E-06	2.67	2.88
Z_4	10	112.13	227.84	4.13E-06	7.96E-06	2.76	2.69
Z_5	10	172.33	369.33	7.35E-06	1.37E-05	2.97	2.77
Z_6	10	65.68	108.93	2.54E-06	4.82E-06	2.83	3.03
B_1	10	100.32	309.38	3.53E-06	6.59E-06	2.70	2.10
B_2	10	79.16	248.16	2.54E-06	4.82E-06	2.58	2.01
B_3	10	42.18	84.26	2.78E-07	2.78E-07	1.17	0.83
B_4	10	297.23	423.83	7.35E-06	1.37E-05	2.26	2.59
T_1	10	25.78	54.84	2.78E-07	2.78E-07	1.49	1.03
T_2	10	251.56	81.75	3.64E-06	4.31E-07	1.73	1.04
T_3	10	465.84	210.83	9.24E-06	8.50E-07	2.03	0.91
T_4	10	987.44	163.7	7.28E-06	1.74E-06	1.24	1.48

5.6. Výstupy z modelu

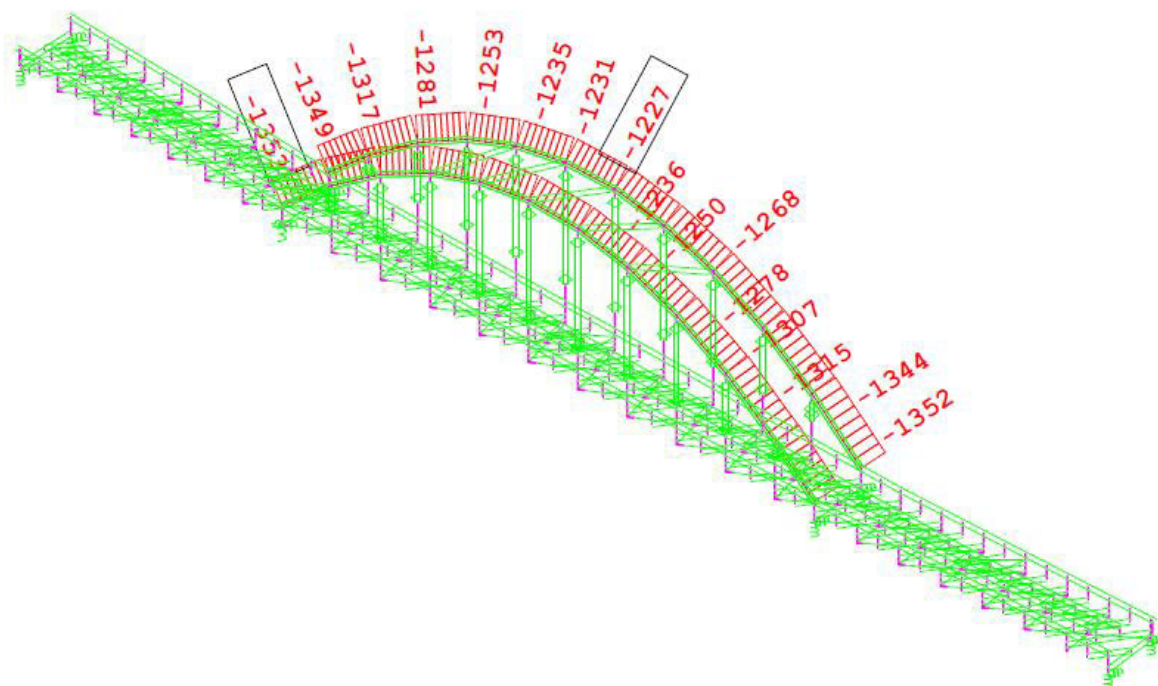
5.6.1. Vybrané vnitřní síly



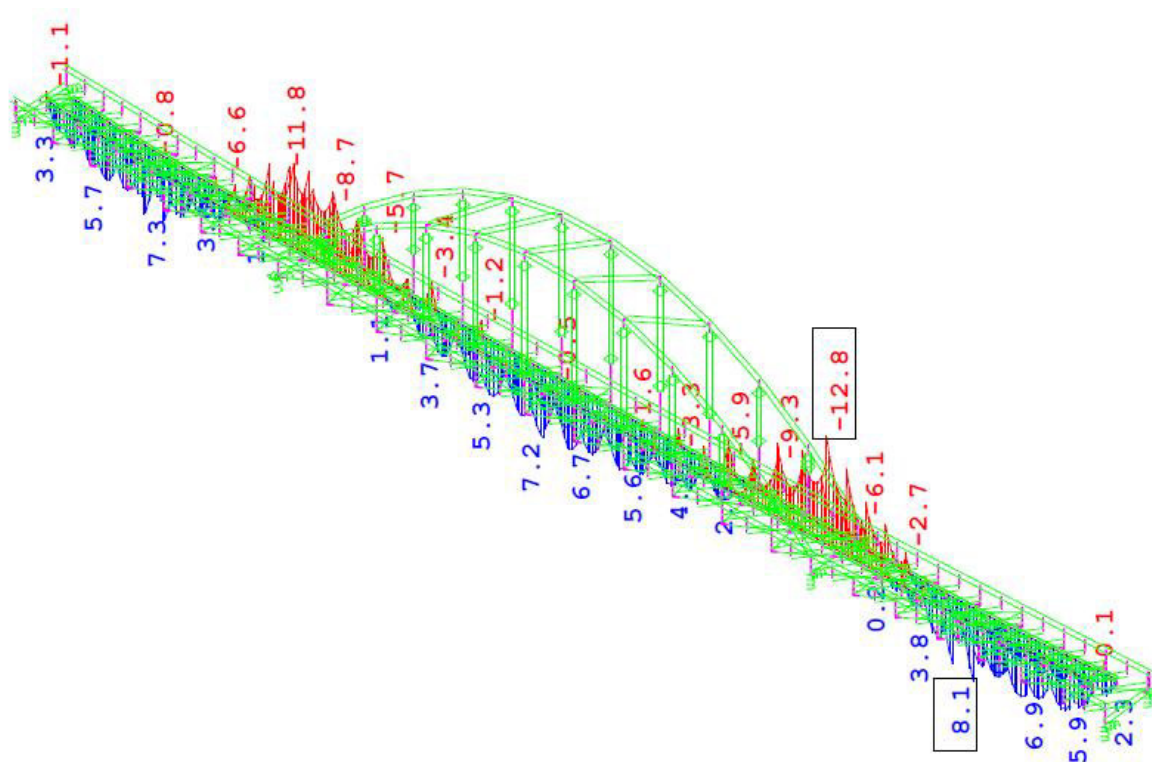
Obrázek 5-29 Moment M_y na hlavních nosnících od vlastní tíhy



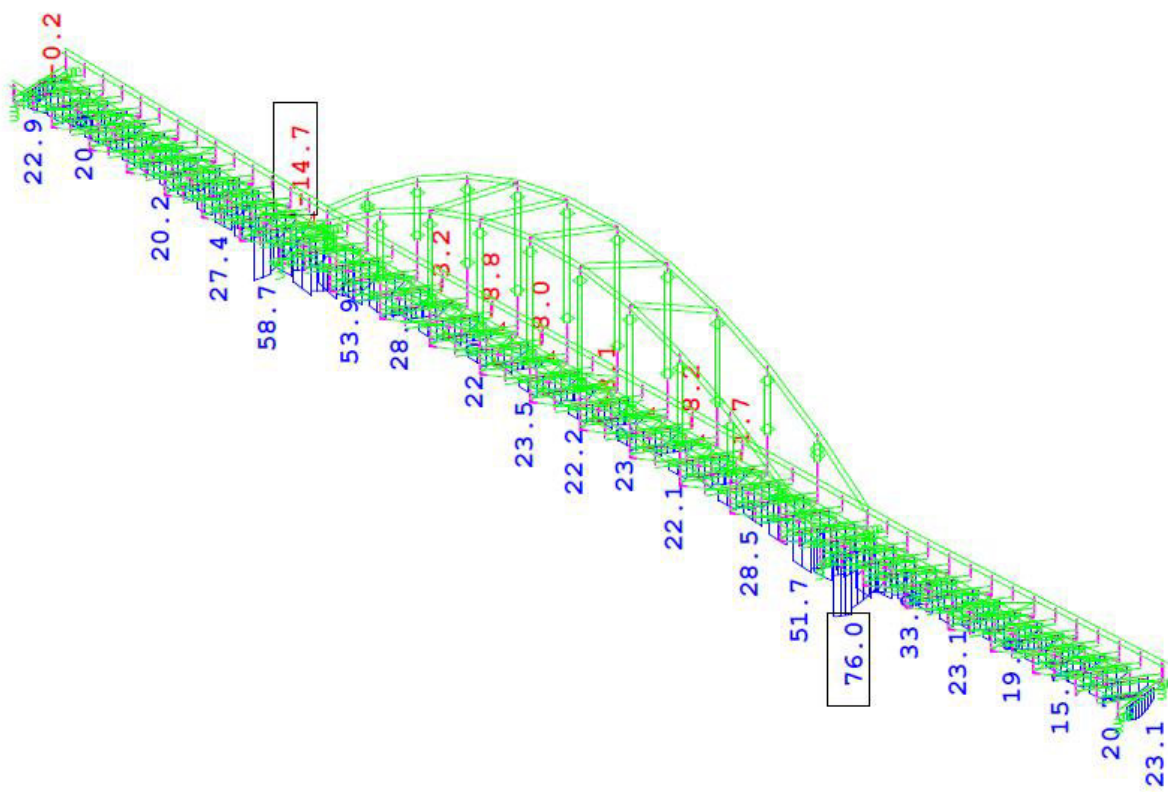
Obrázek 5-30 Moment M_y na výztužném oblouku od vlastní tíhy



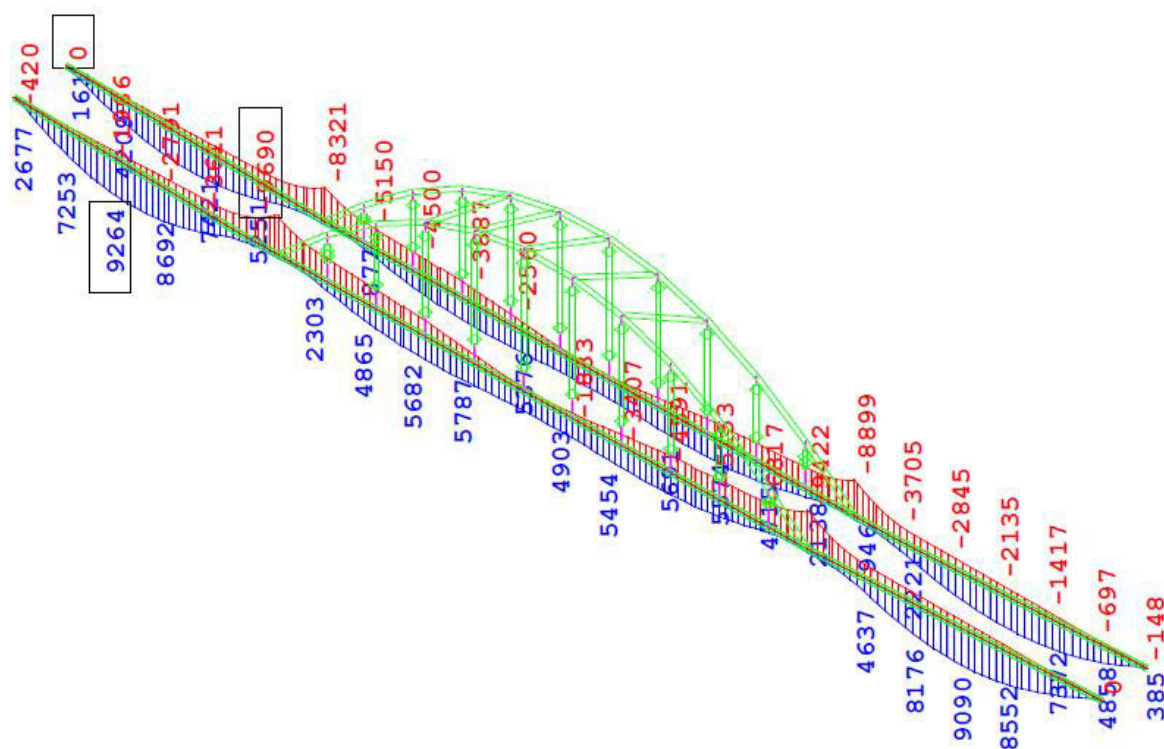
Obrázek 5-31 Normálová síla N na oblouku od vlastní tíhy



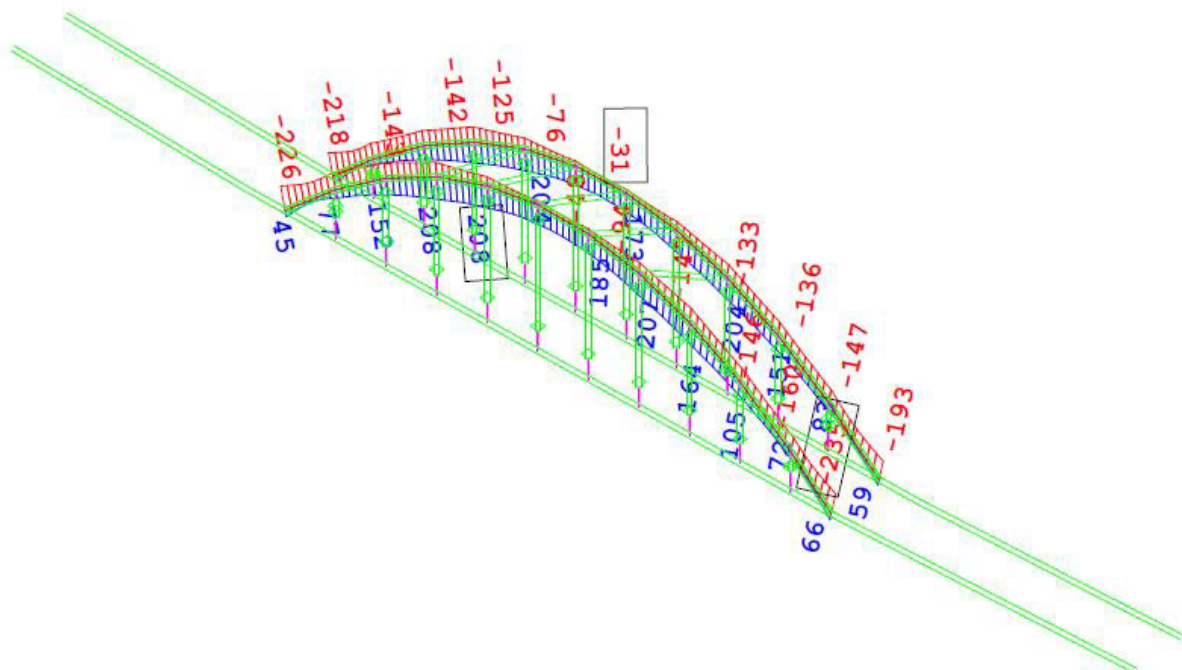
Obrázek 5-32 Ohybový moment M_y na podélníku od vlastní tíhy



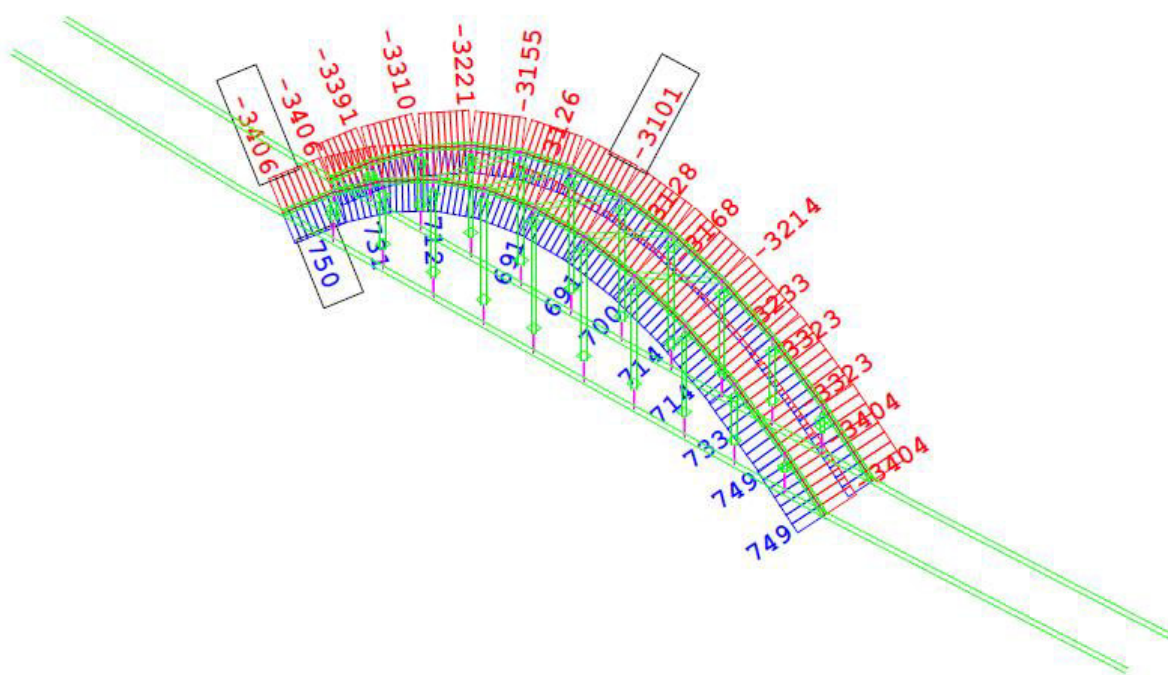
Obrázek 5-33 Ohybový moment M_y na příčniku od vlastní tíhy



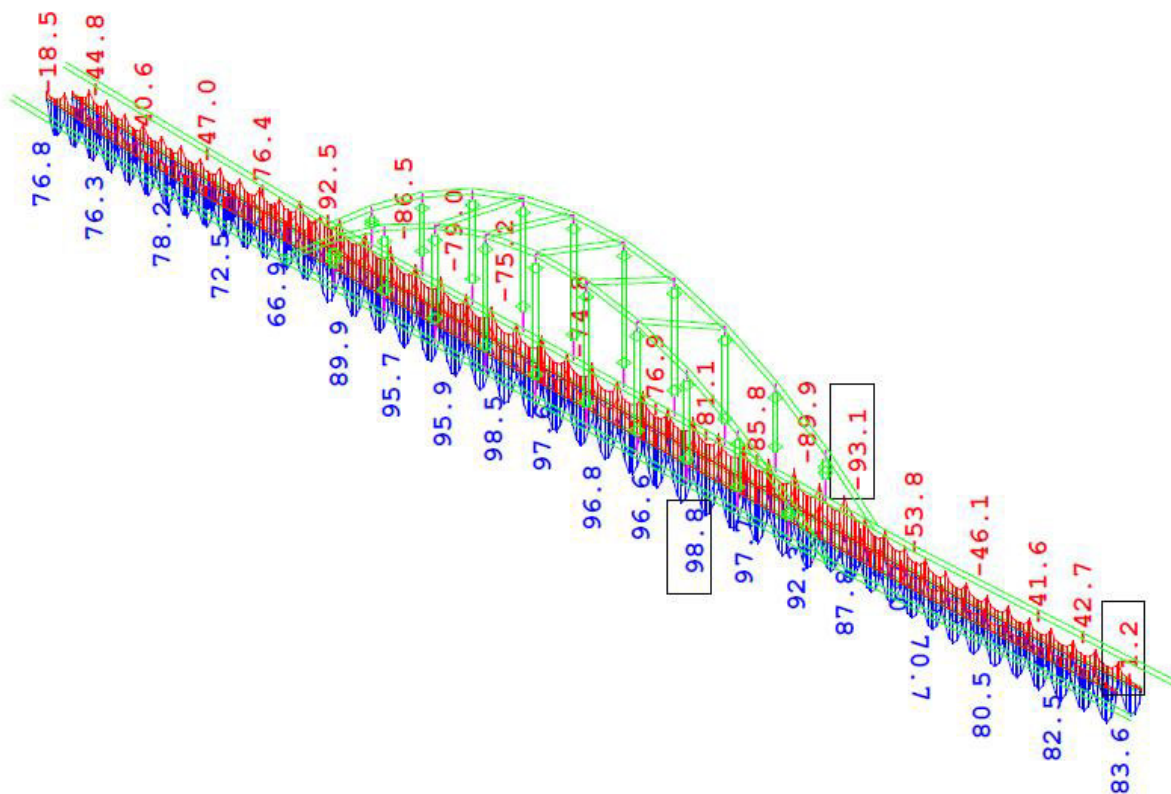
Obrázek 5-34 Obálka ohybových momentů M_y na hlavním nosníku od UIC71



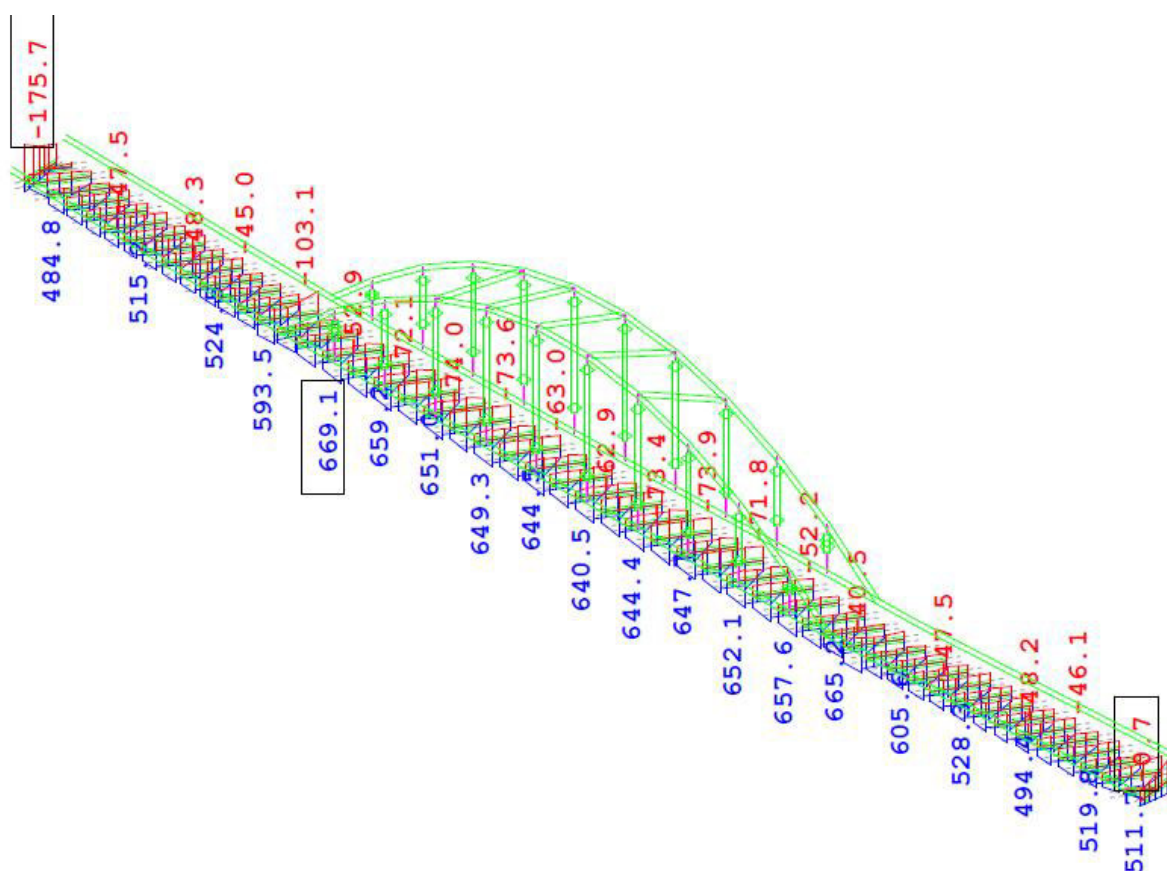
Obrázek 5-35 Obálka ohybových momentů M_y na oblouku od UIC71



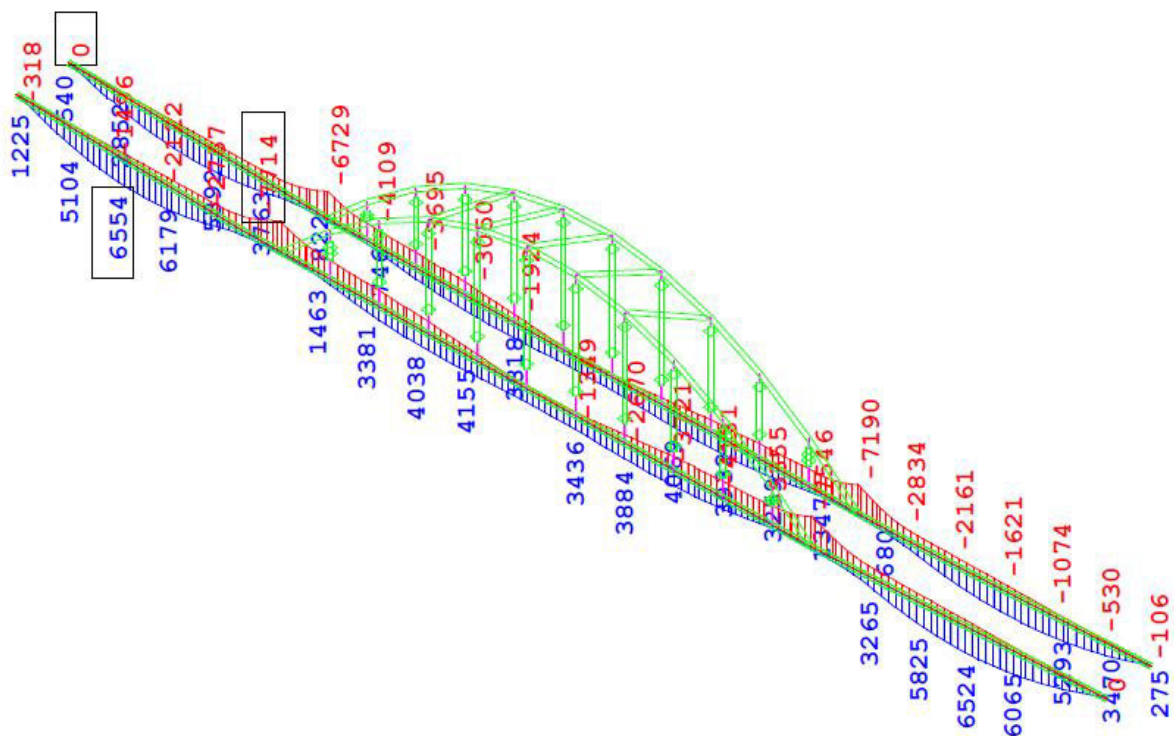
Obrázek 5-36 Obálka normálových sil N na oblouku od UIC71



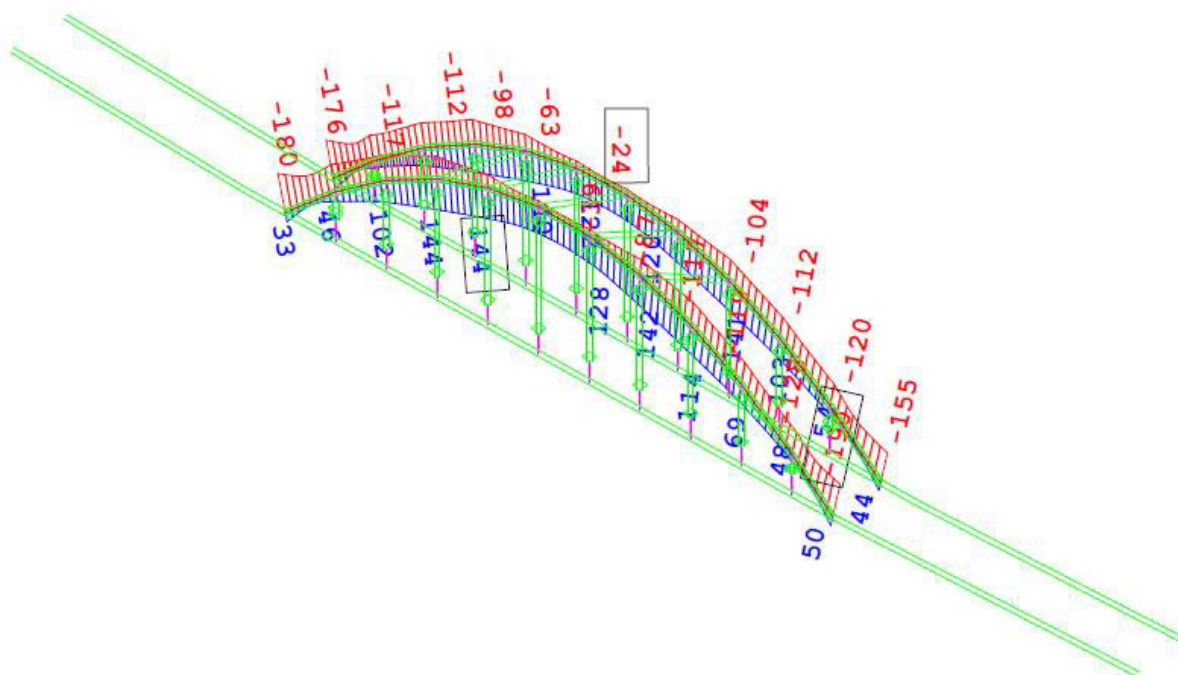
Obrázek 5-37 Obálka ohybových momentů M_y na podélníku od UIC71



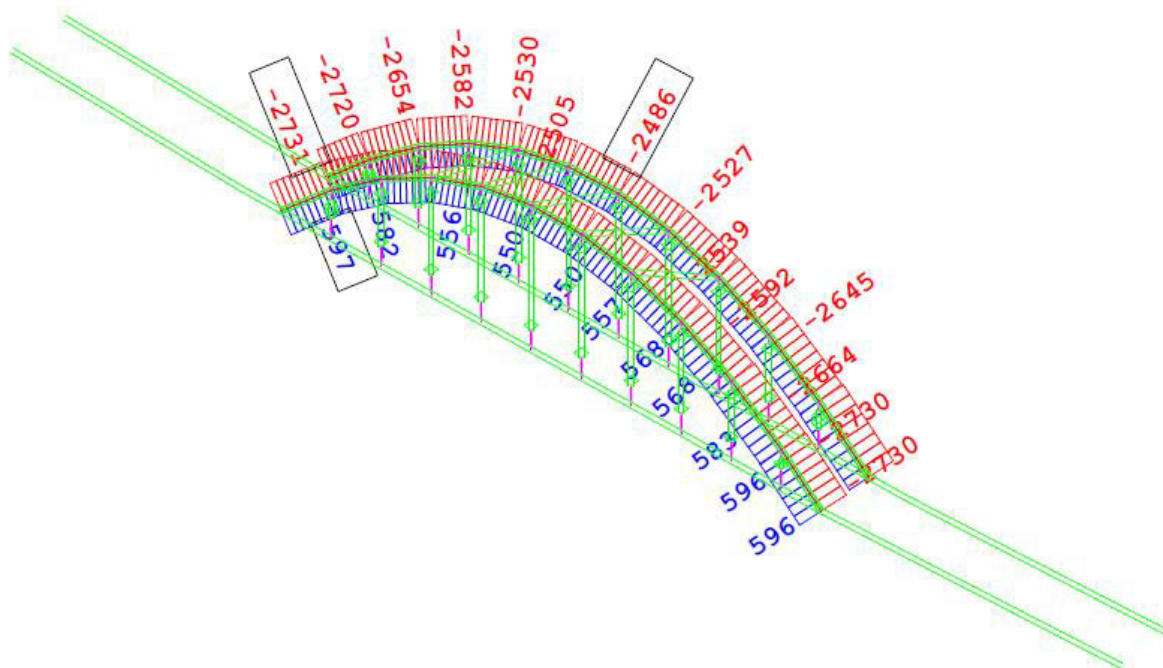
Obrázek 5-38 Obálka ohybových momentů M_y na příčniku od UIC71



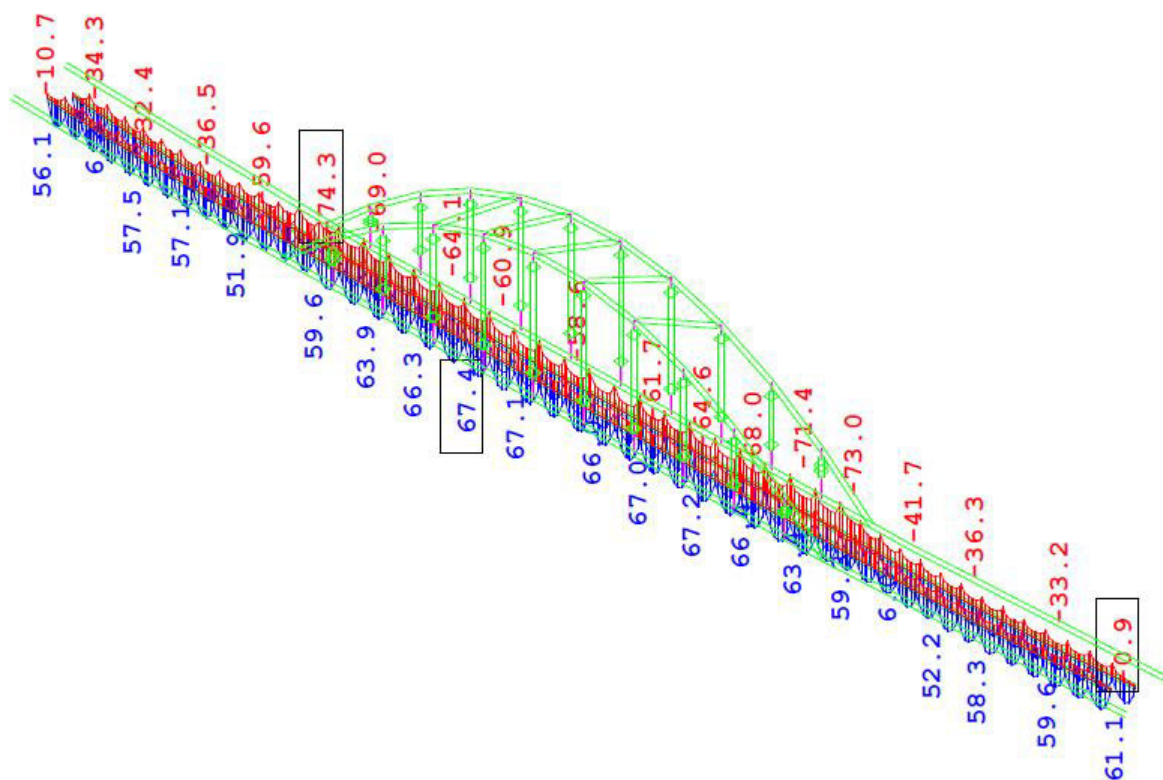
Obrázek 5-39 Obálka ohybových momentů M_y na hlavním nosníku od C3/50



Obrázek 5-40 Obálka ohybových momentů M_y na oblouku od C3/50

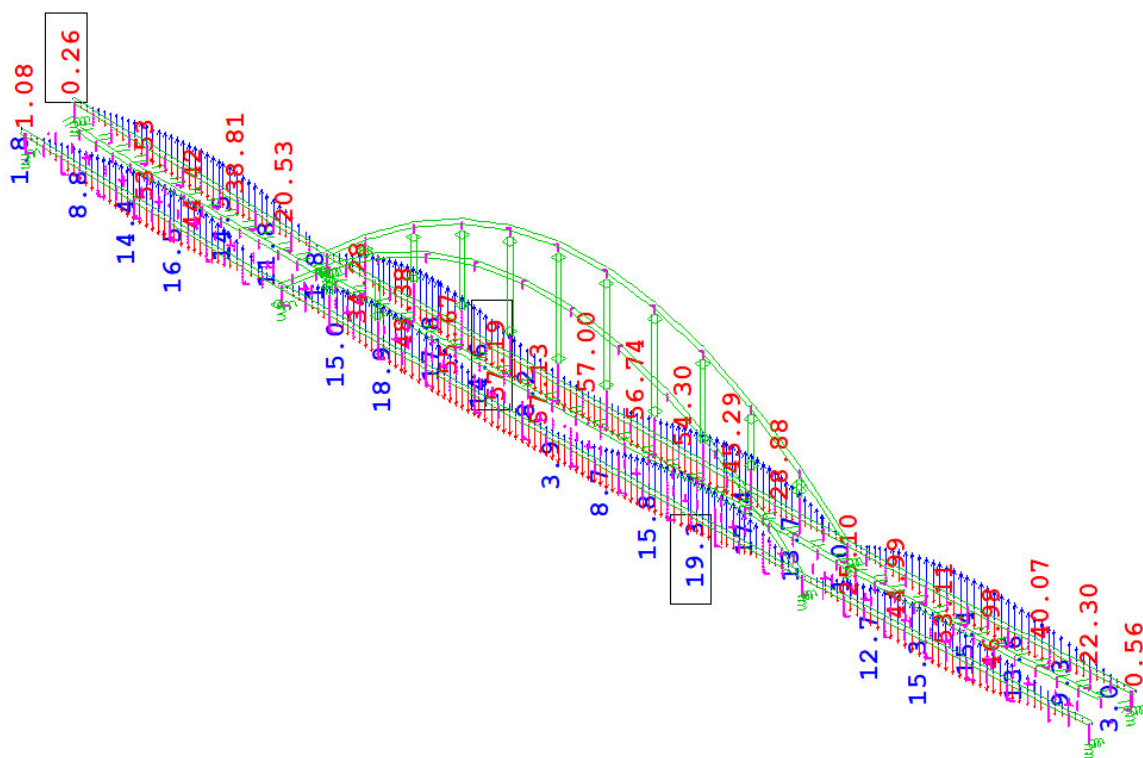


Obrázek 5-41 Obálka normálových sil N na oblouku od C3/50



Obrázek 5-42 Obálka ohybových momentů M_y na podélníku od C3/50

5.6.2. Deformace

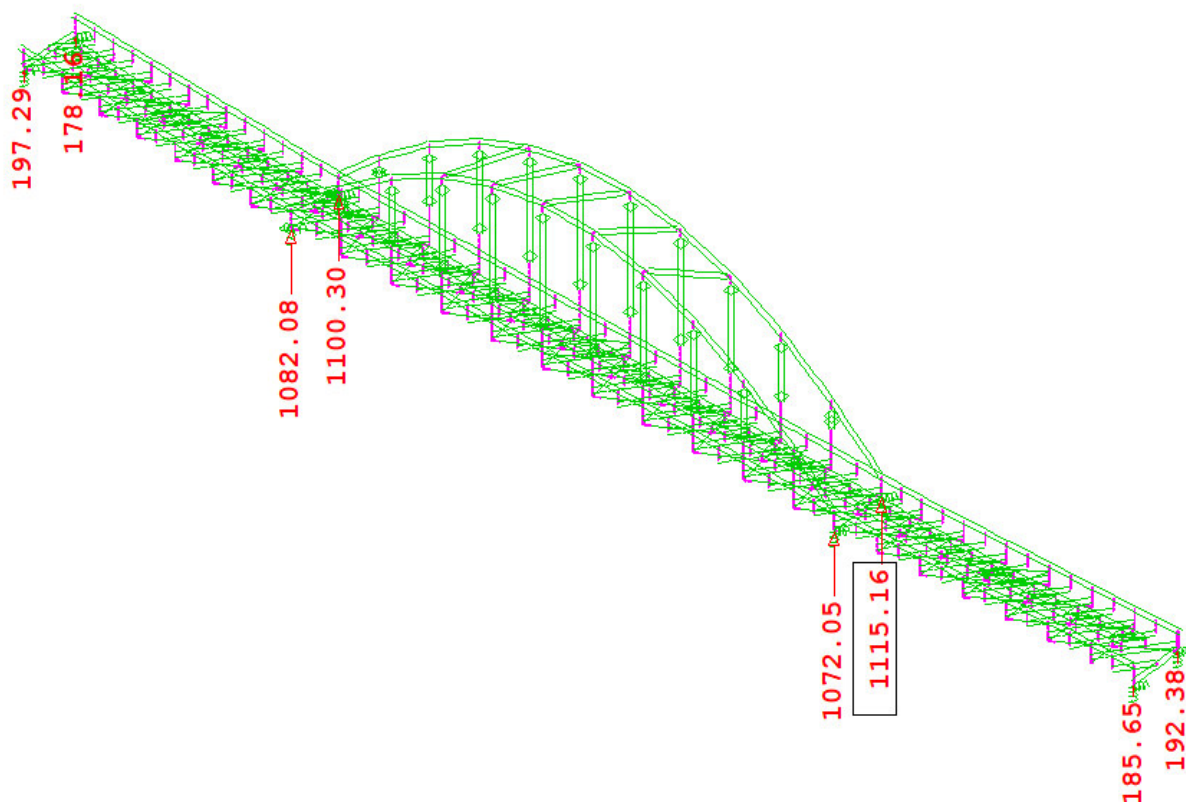


Obrázek 5-44 Obálka svislých deformací od UIC71

5.7. Posouzení konstrukce

5.7.1. EQU – ztráta stability

Jelikož v mezním stavu EQU (ztráta stability) vycházejí minimální reakce v ložiscích v tlaku s hodnotou 178,16 kN, most na tento stav s rezervou vyhovuje.



Obrázek 5-45 Reakce v mezním stavu překlpení EQU

5.7.2. MSÚ – mezní stav únosnosti

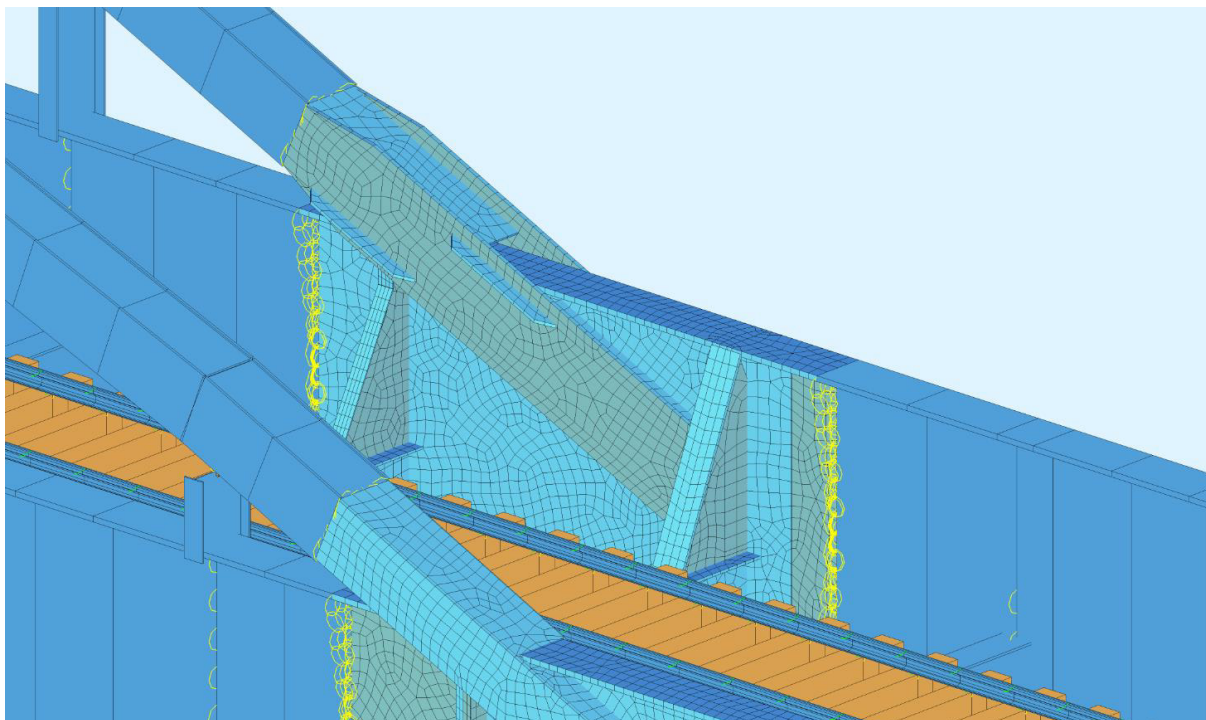
Konstrukce byla v MSÚ nejprve posouzena přímo ve výpočetním software, a to jednak za pomoci přímých hodnot napětí, vycházejících z vnitřních sil, dále pak současně za pomoci integrovaného posuzovacího modulu. Zde byly upraveny použité koeficienty, součinitele zatížení a vzpěrné délky tak, aby odpovídaly realitě. Tento posudek se použil k ladění výpočetního modelu a stanovení extrémních prvků.

Pro každý prvek na konstrukci byl pak následně proveden klasický posudek pomocí interního systému pro posuzování prvků. Kritické prvky byly pro každý průřez stanoveny na maximálním zatížení z kombinace MSÚ v softwaru. Celkem bylo posouzeno 41 prvků.

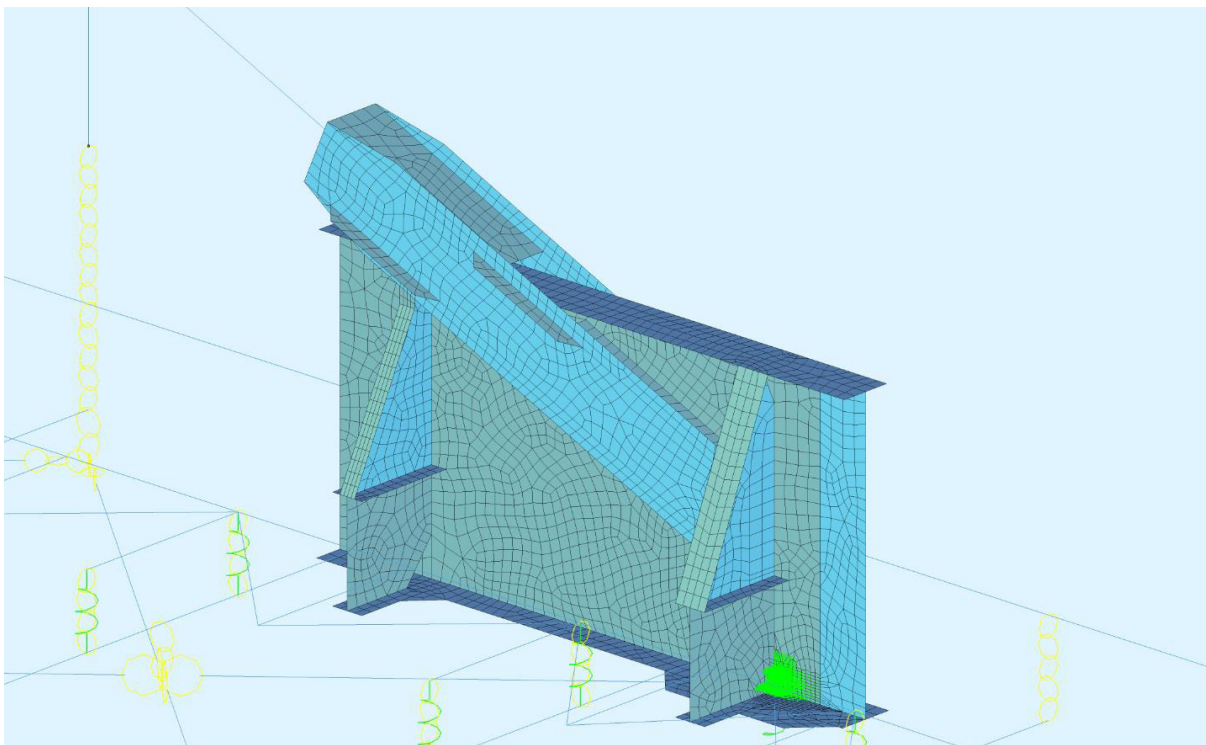
Vstupy a výstupy s posudky jsou dále uvedeny v příloze 1.

5.7.3. MSÚ – mezní stav únosnosti – připojení oblouku na hlavní nosník

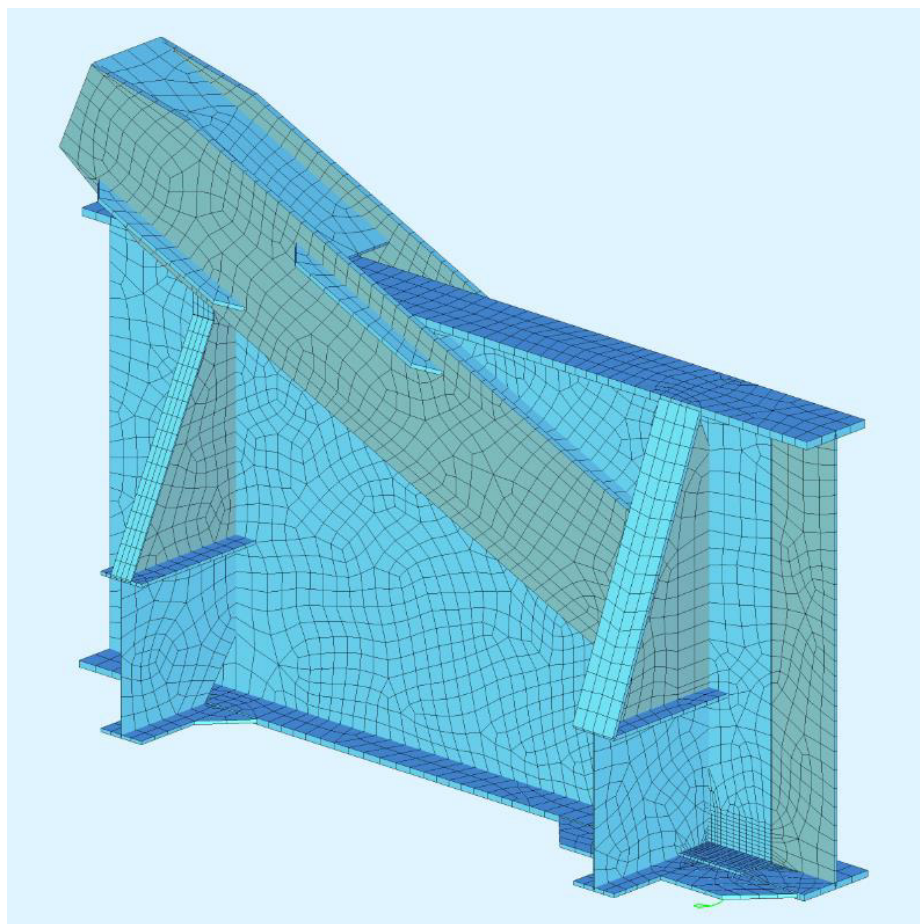
Pro ověření detailu připojení výztužného oblouku na hlavní nosník byl vytvořen speciální model. Styčník stávající se z hlavního nosníku, výztužného oblouku, příčníků, svislých výztuh a styčnických plechů pro vodorovné ztužení byl vymodelován pomocí plošných prvků a osazen do globálního prutového modelu. Byla spočtena obálka napětí na plošných prvcích od mezního stavu únosnosti s využitím zatížení od UIC71 vynásobených součinitelem zatížitelnosti.



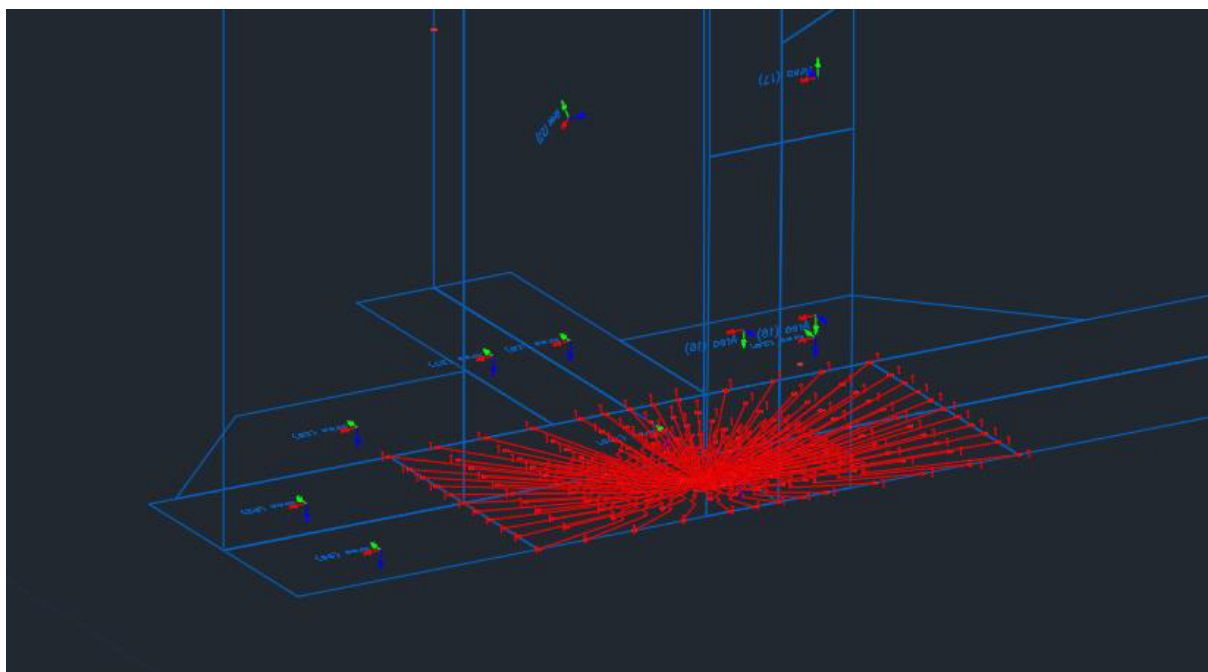
Obrázek 5-46 Model styčnicků osazených do globálního modelu konstrukce



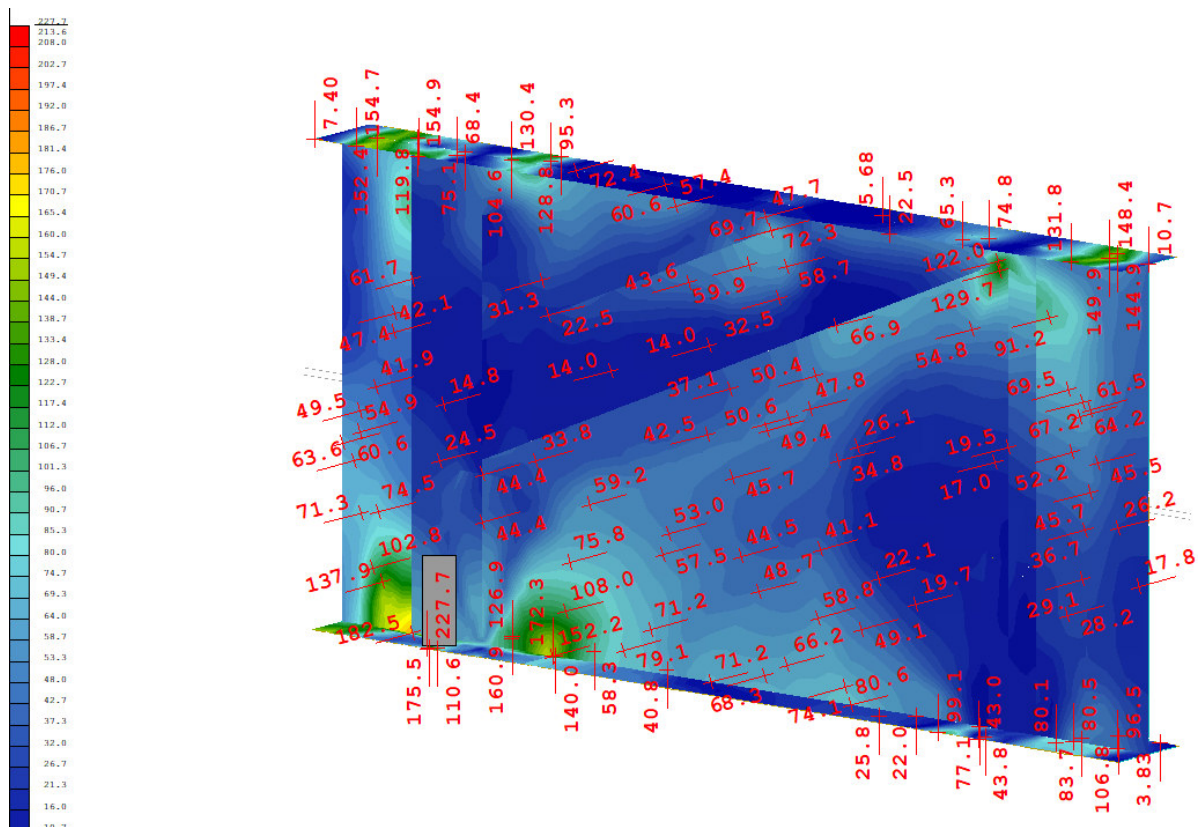
Obrázek 5-47 Střednicové schéma modelu styčnicků s okrajovými podmínkami



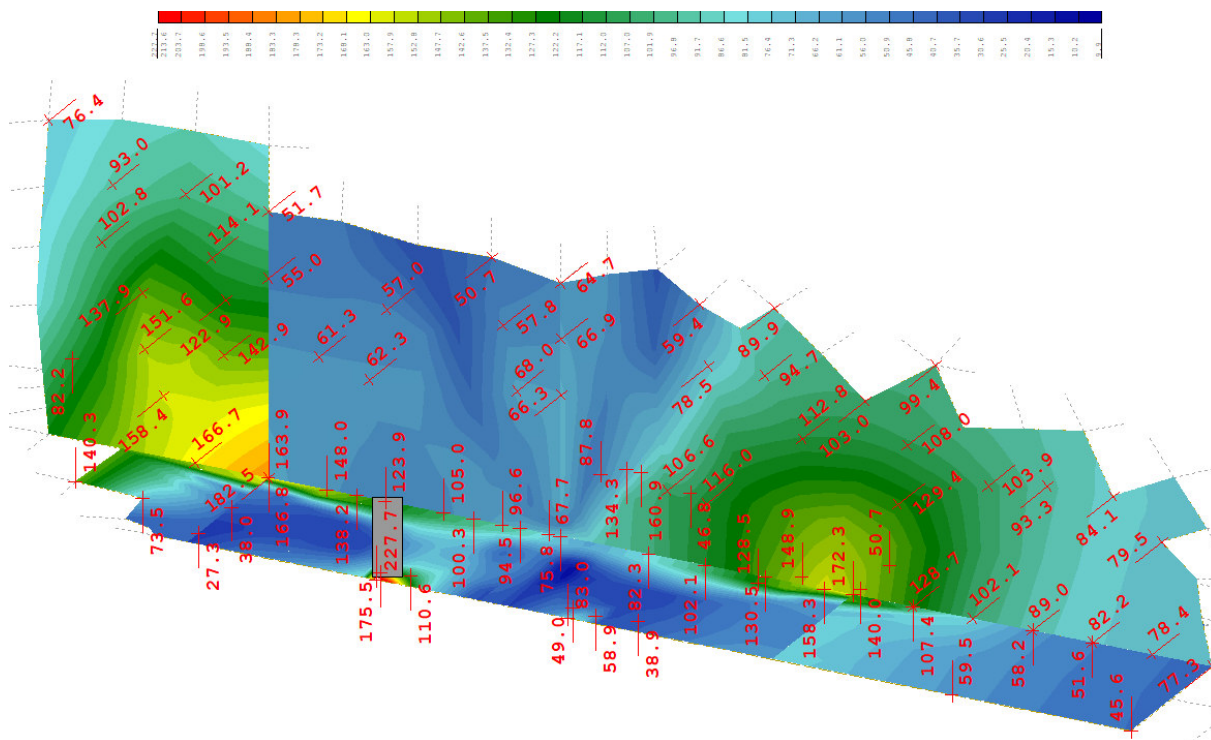
Obrázek 5-48 Render detailu styčniku



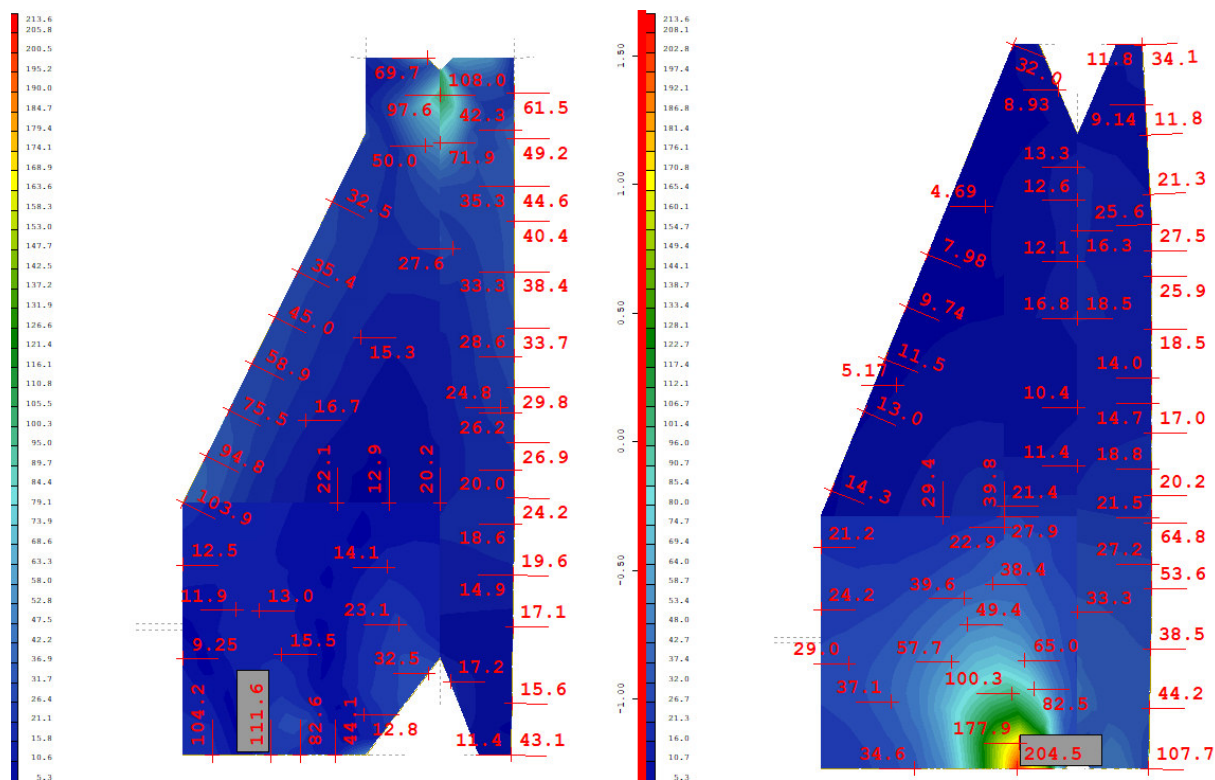
Obrázek 5-49 Detail napojení okolí bodového uložení konstrukce na okolní plošné prvky pomocí pružin



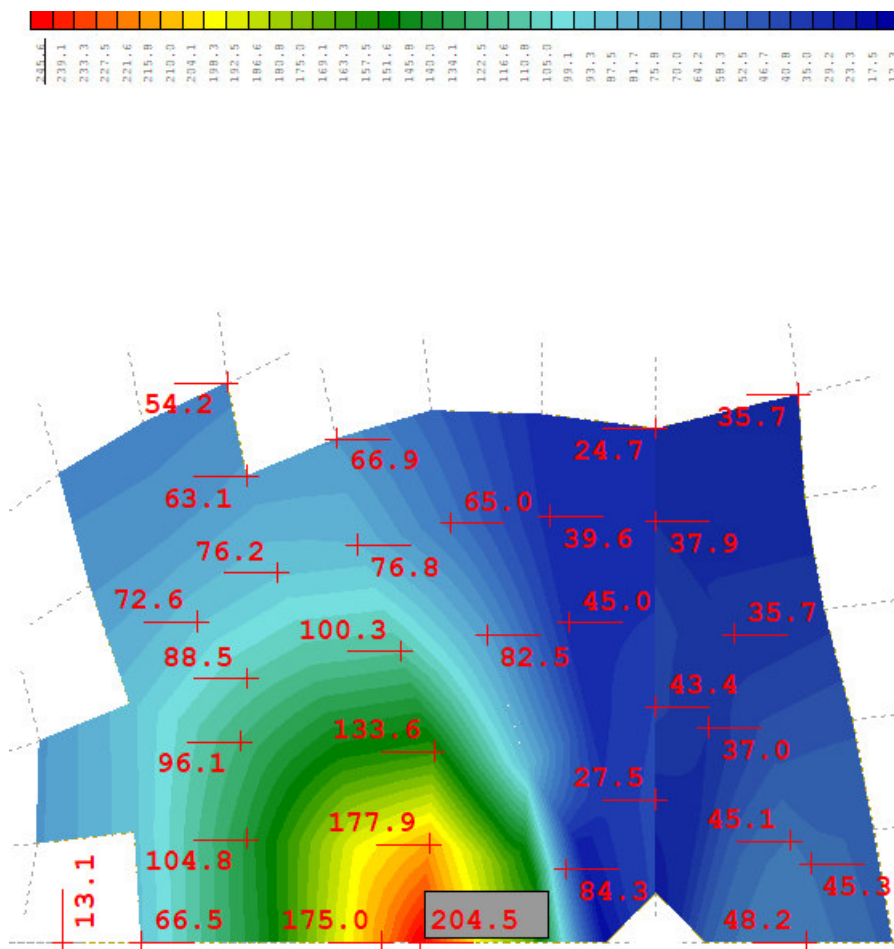
Obrázek 5-50 Srovnávací napětí na hlavním nosníku na styčniku od MSÚ kombinace UIC71



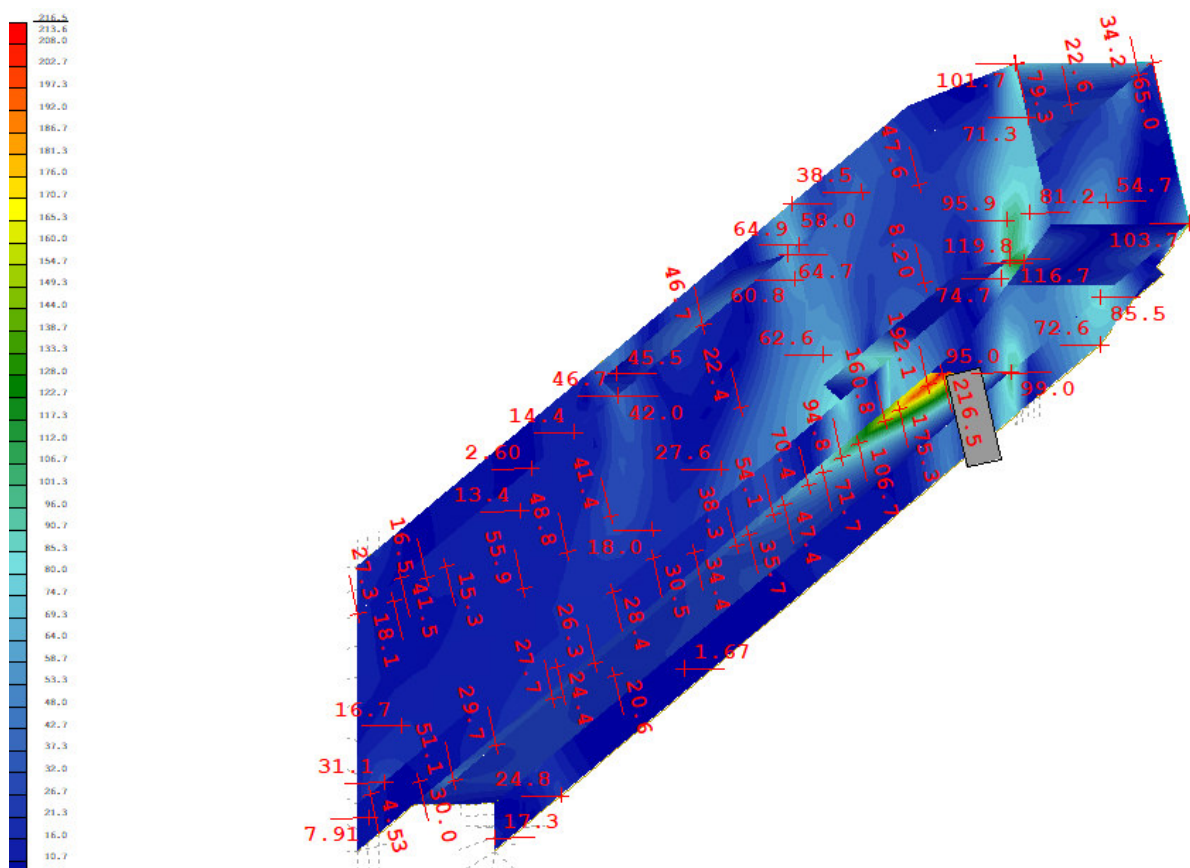
Obrázek 5-51 Detail singularity v místě konce ložiskového plechu



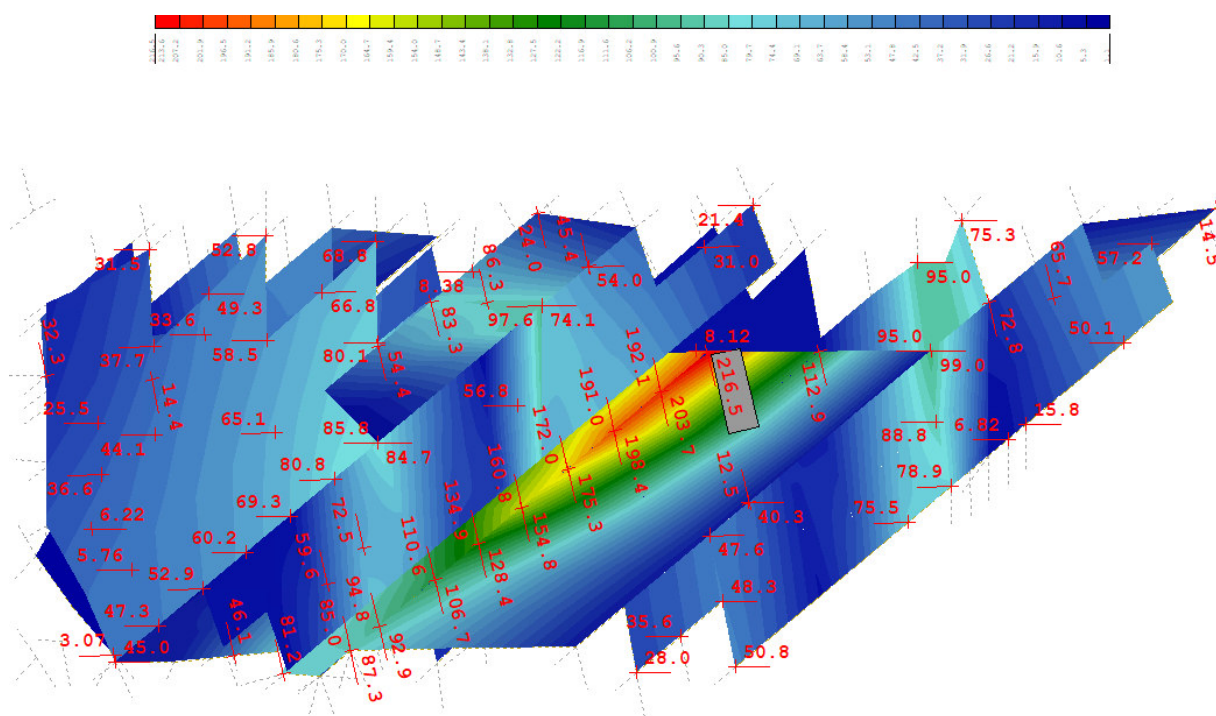
Obrázek 5-52 Srovnávací napětí na výztuhách v místě styčnicku od MSÚ kombinace UIC71



Obrázek 5-53 Detail v místě styčnicku výztuhy hlavního nosníku a spodní pásnice



Obrázek 5-54 Srovnávací napětí na na oblouku v místě styčnicku od MSÚ kombinace UIC71

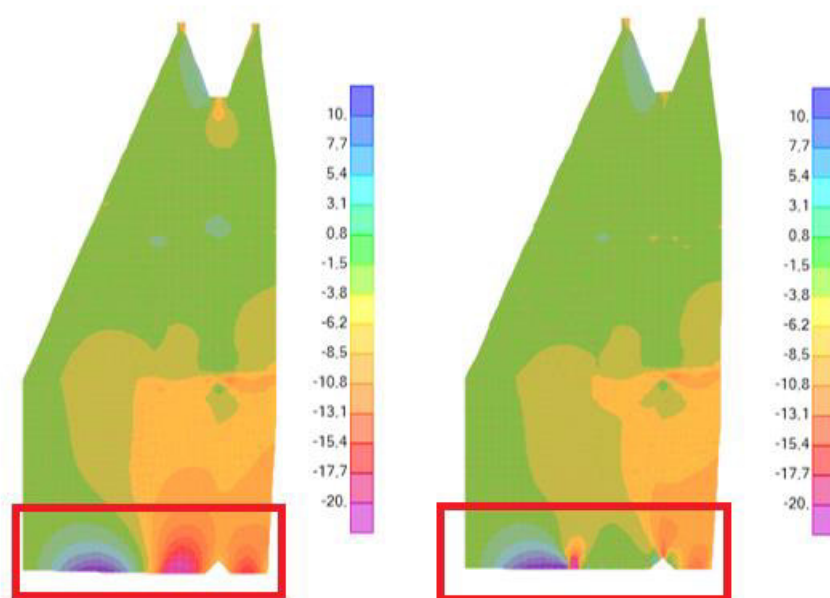


Obrázek 5-55 Detail singularity v místě napojení spodní pásnice komorového nosníku na stojinu hlavního nosníku

Srovnávací napětí na styčnicku nepřesahuje mez kluzu 213,6 MPa s výjimkou singularit, na hlavním nosníku v místě konce pružného podepření styčnickového plechu, na oblouku v místě průniku spodní pásnice komorového nosníku se stojinou hlavního nosníku a na výztuze hlavního nosníku.

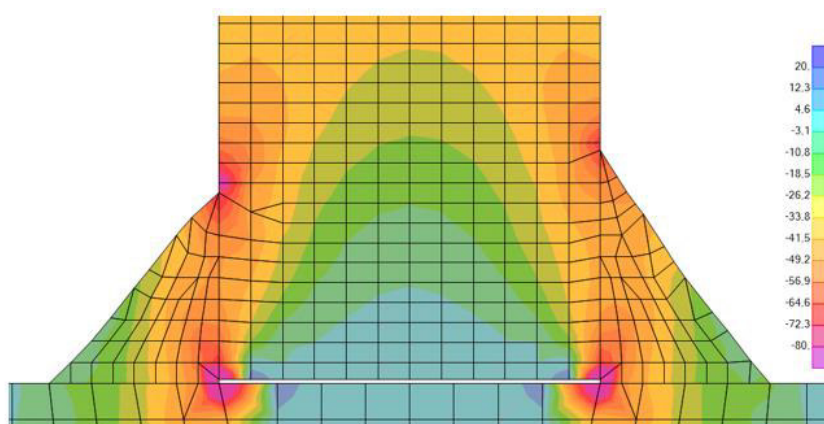
Přesto v místě uložení kde dochází k napojení výztuhy hlavního nosníku na jeho spodní pásnici je patrné, že i s opomenutím singularity, je relativně velká oblast namáhána tlakovým napětím blízké mezi kluzu. Tento detail na reálném konstrukci vykazuje problémy ve formě únavových trhlin ve svaru mezi stojinou a dolní pásnicí zárodku příčníku.

Pokud se zaměříme na napětí v tomto detailu s již vzniklou trhlinou a bez trhliny, je patrné velký úbytek lokálních napětí v daném místě po vzniku trhliny ve svaru.



Obrázek 5-56 Napětí v kritickém detailu, vlevo: bez trhliny, vpravo: s trhlinou

Kromě relativně velkého rozkmitu napětí v daném místě lze vzniku únavové trhliny přisoudit nedokonalý průvar, který ponechal mezeru mezi stojinou a dolní pásnicí a tím došlo k další kumulaci napětí v místě, která se po letech projevila jako únavová trhlina.



Obrázek 5-57 Detail nedokonale provařeného svaru stojiny na dolní pásnici

Toto je systémová chyba na celé konstrukci a vyžaduje si konstrukční zásahy.

6. Závěr

Při přepočtu nosné konstrukce bylo zjištěno, že konstrukce nevyhovuje pro neomezenou dobu životnosti z hlediska stávající přechodnostní třídy C3/60. Z tohoto důvodu byla snížena přechodnostní třída na C3/50 pro kterou již konstrukce vyhovuje s neomezenou dobou životnosti.

Co se týče únavových trhlin v místě podporových příčníků nad mezilehlými podporami, je doporučeno, do dvou let konstrukci v daném místě odtížit pomocí hydraulických lisů, provést vydrážkování svaru v celé délce postižené oblasti a provést nové svary s plným průvarem. Přesné umístění únavových trhlin ve svarech je uvedeno v diagnostické zprávě.

Lze konstatovat, že konstrukce může být po odstranění závad užívána bez zbytkové životnosti na přechodnost C3/50.

V Praze dne 31.5.2018 za tým řešitelů



.....
doc. Ing. Pavel Ryjáček, Ph.D.

A handwritten signature in black ink, which appears to read 'Jan Žitný', is written above the name.

.....
Ing. Jan Žitný

7. Výsledné hodnoty zatížitelnosti

7.1. Přehled zatížitelnosti částí konstrukce

Poř. č.	Prvek (vě. umístění)	DETAIL	NAMÁHÁNÍ	k _i	typ	L _p	δ	L _D	viz. tabulka	Pozn.	Z _{UIC}
1	2	3	4	5	6	7	8	9	10	11	12
1	HN_01	Hlavní nosník 1	Ohyb	-	S	-	1.050	53.95	12.1		1.134
2	HN_02	Hlavní nosník 2	Ohyb	-	S	-	1.050	53.95	12.2		1.194
3	HN_03A	Hlavní nosník 3A	Ohyb	-	S	-	1.050	53.95	12.3		0.881
4	HN_03B	Hlavní nosník 3B	Ohyb	-	S	-	1.050	53.95	12.4		0.813
5	HN_04	Hlavní nosník 4	Ohyb	-	S	-	1.050	53.95	12.5		1.321
6	HN_05	Hlavní nosník 5	Ohyb	-	S	-	1.050	53.95	12.6		1.558
7	HN_06	Hlavní nosník 6	Ohyb	-	S	-	1.050	53.95	12.7		1.786

Poř. č.	Prvek (vě. umístění)	DETAIL	NAMÁHÁNÍ	k _i	typ	L _p	δ	L _D	viz. tabulka	Pozn.	Z _{UIC}
1	2	3	4	5	6	7	8	9	10	11	12
8	P_1	Příčník 1	Ohyb	-	S	-	2.000	6.9	12.8		>5
9	P_2	Příčník 2	Ohyb	-	S	-	2.000	3.6	12.9		1.257
10	P_3	Příčník 3	Ohyb	-	S	-	1.370	8.80	12.10		1.223
11	P_4	Příčník 4	Ohyb	-	S	-	1.370	8.8	12.11		1.132
12	P_5	Příčník 5	Ohyb	-	S	-	1.370	8.8	12.12		1.069

Poř. č.	Prvek (vě. umístění)	DETAIL	NAMÁHÁNÍ	k _i	typ	L _p	δ	L _D	viz. tabulka	Pozn.	Z _{UIC}
1	2	3	4	5	6	7	8	9	10	11	12
13	B_1	Brzdné ztužidlo 1	Osová síla	-	S	-	1.790	2.7	12.13		0.883
14	B_2	Brzdné ztužidlo 2	Osová síla	-	S	-	1.790	1.56	12.14		0.840
15	B_3	Brzdné ztužidlo 3	Osová síla	-	S	-	1.790	2.3	12.15		2.682
16	B_4	Brzdné ztužidlo 4	Osová síla	-	S	-	1.790	2.40	12.16		>5

Poř. č.	Prvek (vě. umístění)	DETAIL	NAMÁHÁNÍ	k _i	typ	L _p	δ	L _D	viz. tabulka	Pozn.	Z _{UIC}
1	2	3	4	5	6	7	8	9	10	11	12
17	K_1	Výztuha oblouku	Ohyb	-	S	-	1.650	5.9	12.17		3.089

Poř. č.	Prvek (vě. umístění)	DETAIL	NAMÁHÁNÍ	k _i	typ	L _p	δ	L _D	viz. tabulka	Pozn.	Z _{UIC}
1	2	3	4	5	6	7	8	9	10	11	12
18	O_1	Oblouk 1	Osová síla	-	S	-	1.080	40.5	12.18		2.244
19	O_2	Oblouk 2	Osová síla	-	S	-	1.080	40.5	12.19		2.034
20	O_3	Oblouk 3	Osová síla	-	S	-	1.080	40.5	12.20		1.499

Poř. č.	Prvek (vě. umístění)	DETAIL	NAMÁHÁNÍ	k _i	typ	L _p	δ	L _D	viz. tabulka	Pozn.	Z _{UIC}
1	2	3	4	5	6	7	8	9	10	11	12
21	D_1	Podélník 1	Ohyb	-	S	-	1.500	9	12.21		1.639
22	D_2	Podélník 2	Smyk	-	S	-	1.500	9	12.22		1.033
23	D_3	Podélník 3	Ohyb	-	S	-	1.500	9	12.23		1.437
24	D_4	Podélník 4	Ohyb	-	S	-	1.500	9	12.24		1.298
25	D_5	Podélník 5	Ohyb	-	S	-	1.500	9	12.25		1.422
26	D_6	Podélník 6	Ohyb	-	S	-	1.500	9.00	12.26		0.862
27	D_7	Podélník 7	Ohyb	-	S	-	1.410	11.25	12.27		0.961
28	D_8	Podélník 8	Ohyb	-	S	-	1.500	9	12.28		1.554
29	D_9	Podélník 9	Smyk	-	S	-	1.500	9	12.29		1.583
30	D_10	Podélník 10	Smyk	-	S	-	1.500	9	12.30		1.226

Poř. č.	Prvek (vě. umístění)	DETAIL	NAMÁHÁNÍ	k _i	typ	L _p	δ	L _D	viz. tabulka	Pozn.	Z _{UIC}
1	2	3	4	5	6	7	8	9	10	11	12
31	S_1	Svislice	Osová síla	-	S	-	1.140	8.5	12.31		>5

Poř. č.	Prvek (vě. umístění)	DETAIL	NAMÁHÁNÍ	k _i	typ	L _p	δ	L _D	viz. tabulka	Pozn.	Z _{UIC}
1	2	3	4	5	6	7	8	9	10	11	12
32	T_1	Ztužení podélníků 1	Osová síla	-	S	-	2.000	2.40	12.32		0.924
33	T_2	Ztužení podélníků 2	Osová síla	-	S	-	2.000	1.8	12.33		3.318
34	T_3	Ztužení podélníků 3	Osová síla	-	S	-	2.000	1.8	12.34		3.134
35	T_4	Ztužení podélníků 4	Osová síla	-	S	-	2.000	1.8	12.35		3.980

Poř. č.	Prvek (vě. umístění)	DETAIL	NAMÁHÁNÍ	k _i	typ	L _p	δ	L _D	viz. tabulka	Pozn.	Z _{UIC}
1	2	3	4	5	6	7	8	9	10	11	12
36	Z_1	Dolní ztužení 1	Osová síla	-	S	-	1.790	4.16	12.36		1.145
37	Z_2	Dolní ztužení 2	Osová síla	-	S	-	1.790	4.16	12.37		1.507
38	Z_3	Dolní ztužení 3	Osová síla	-	S	-	1.790	3.75	12.38		1.175
39	Z_4	Dolní ztužení 4	Osová síla	-	S	-	1.790	4.16	12.39		1.216
40	Z_5	Dolní ztužení 5	Osová síla	-	S	-	1.790	4.16	12.40		1.213
41	Z_6	Dolní ztužení 6	Osová síla	-	S	-	1.790	4.16	12.41		1.048

7.2. Tabulka Zatížitelnosti

A. Identifikace mostu

TÚ (číslo, název): **821 Kralupy – Neratovice**

km: 1,508

B. Identifikace části mostu

část mostu: **nosná konstrukce** / poř. číslo (ve směru staničení): **K02**, pod kolejí č. **1**

C. Doplnující data pro část mostu

Kategorie zatížitelnosti: **C**

Výpočetní model: **prutový, deskostěnový**

Geometrie koleje, uvažovaná v přepočtu pro část mostu v jejím profilu (ve směru staničení):

	na začátku	uprostřed	na konci
poloměr oblouku	350 [m]	přímá [m]	300 [m]
převýšení koleje	44 [mm]	0 [mm]	44 [mm]
excentricita vůči ose mostu	0 [m]	0 [m]	0 [m]

Popis závad uvažovaných v přepočtu:

Datum zjištění zpracovaného stavu mostu - orgány SŽDC: ...---.../.../... - zpracovatelem přepočtu: ...---.../.../...

Poř. č.	Prvek (vč. umístění)	DETAIL	NAMÁHÁNÍ	k_i	typ	L_p	δ	L_D	viz. tabulka	Pozn.	Z_{UIC}
1	2	3	4	5	6	7	8	9	10	11	12
4	HN_03B	Hlavní nosník 3B	Ohyb	-	S	-	1.050	53.95	12.4		0.813
12	P_5	Příčník 5	Ohyb	-	S	-	1.370	8.8	12.12		1.069
14	B_2	Brzdné ztužidlo 2	Osová síla	-	S	-	1.790	1.56	12.14		0.840
17	K_1	Výztuha oblouku	Ohyb	-	S	-	1.650	5.9	12.17		3.089
20	O_3	Oblouk 3	Osová síla	-	S	-	1.080	40.5	12.20		1.499
26	D_6	Podélník 6	Ohyb	-	S	-	1.500	9	12.26		0.862
31	S_1	Svislice	Osová síla	-	S	-	1.140	8.5	12.31		>5
32	T_1	Ztužení podélníků 1	Osová síla	-	S	-	2.000	2.4	12.32		0.924
41	Z_6	Dolní ztužení 6	Osová síla	-	S	-	1.790	4.16	12.41		1.048

Dne: 31/5/18

zatížitelnost určil: Pavel Ryjáček

Dne:

do databáze zadal:

8. Příloha 1 – Posudky rozhodujících prvků

8.1. Průřezy a průřezové charakteristiky

TAB 1 1 ZÁKLADNÍ PRŮŘEZOVÉ CHARAKTERISTIKY

POSUDEK: 1 PRŮŘEZ: HN_01
OZNAČENÍ: HN_01 POPIS: HLAVNÍ NOSNÍK 1

PRUT i X[m]
j

SOUČINITEL KOROZE k = 1,00

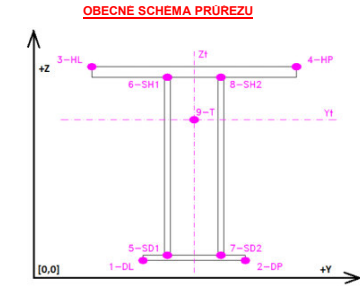
TAB A						PLNÝ PRŮŘEZ, ATYPICKÉ OTVORY					BÉŽNÉ OTVORY PRO ŠROUBY ČI NYTY					OSLABENÍ PRŮŘEZU PRO NAMÁHÁNÍ VNITŘNÍ SILOU									
č.část	b	h	y	z	poznámka	č.část	b	h	y	z	Nx-	Nx+	My-	My+	Mz-	Mz+	poznámka								
1	(mm)	(mm)	(mm)	(mm)	legenda 3	1	(mm)	(mm)	(mm)	(mm)	(-)	(+)	(-)	(+)	(-)	(+)	legenda								
1	500,0	50,0	275,0	2845,0	0	21	0,0	0,0	0,0	0,0	NE	ANO	NE	ANO	NE	ANO	2								
2	15,0	2770,0	275,0	1435,0	0	22	0,0	0,0	0,0	0,0	NE	ANO	NE	ANO	NE	ANO	2								
3	550,0	50,0	275,0	25,0	0	23	0,0	0,0	0,0	0,0	NE	ANO	NE	ANO	NE	ANO	2								
4	0,0	0,0	0,0	0,0	0	24	0,0	0,0	0,0	0,0	NE	ANO	NE	ANO	NE	ANO	2								
5	0,0	0,0	0,0	0,0	0	25	0,0	0,0	0,0	0,0	NE	ANO	NE	ANO	NE	ANO	2								
6	0,0	0,0	0,0	0,0	0	26	0,0	0,0	0,0	0,0	NE	ANO	NE	ANO	NE	ANO	2								
7	0,0	0,0	0,0	0,0	0	27	0,0	0,0	0,0	0,0	NE	ANO	NE	ANO	NE	ANO	2								
8	0,0	0,0	0,0	0,0	0	28	0,0	0,0	0,0	0,0	NE	ANO	NE	ANO	NE	ANO	2								
9	0,0	0,0	0,0	0,0	0	29	0,0	0,0	0,0	0,0	NE	ANO	NE	ANO	NE	ANO	2								
10	0,0	0,0	0,0	0,0	0	30	0,0	0,0	0,0	0,0	NE	ANO	NE	ANO	NE	ANO	2								
11	0,0	0,0	0,0	0,0	0	31	0,0	0,0	0,0	0,0	NE	ANO	NE	ANO	NE	ANO	2								
12	0,0	0,0	0,0	0,0	0	32	0,0	0,0	0,0	0,0	NE	ANO	NE	ANO	NE	ANO	2								
13	0,0	0,0	0,0	0,0	0	33	0,0	0,0	0,0	0,0	NE	ANO	NE	ANO	NE	ANO	2								
14	0,0	0,0	0,0	0,0	0	34	0,0	0,0	0,0	0,0	NE	ANO	NE	ANO	NE	ANO	2								
15	0,0	0,0	0,0	0,0	0	35	0,0	0,0	0,0	0,0	NE	ANO	NE	ANO	NE	ANO	2								
16	0,0	0,0	0,0	0,0	0	36	0,0	0,0	0,0	0,0	NE	ANO	NE	ANO	NE	ANO	2								
17	0,0	0,0	0,0	0,0	0	37	0,0	0,0	0,0	0,0	NE	ANO	NE	ANO	NE	ANO	2								
18	0,0	0,0	0,0	0,0	0	38	0,0	0,0	0,0	0,0	NE	ANO	NE	ANO	NE	ANO	2								
19	0,0	0,0	0,0	0,0	0	39	0,0	0,0	0,0	0,0	NE	ANO	NE	ANO	NE	ANO	2								
20	0,0	0,0	0,0	0,0	0	40	0,0	0,0	0,0	0,0	NE	ANO	NE	ANO	NE	ANO	2								

TAB C - SOUŘADNICE KRITICKÝCH BODŮ PRŮŘEZU PRO POSUDEK NAPĚTÍ									
1-DL		2-DP		3-HL		4-HP			
y ₁	z ₁	y ₂	z ₂	y ₃	z ₃	y ₄	z ₄		
(mm)	(mm)	(mm)	(mm)	(mm)	(mm)	(mm)	(mm)		
0,0	0,0	550,0	0,0	25,0	2870,0	525,0	2870,0		
5-SD1		6-SH1		7-SD2		8-SH2			
y ₅	z ₅	y ₆	z ₆	y ₇	z ₇	y ₈	z ₈		
(mm)	(mm)	(mm)	(mm)	(mm)	(mm)	(mm)	(mm)		
267,5	50,0	282,5	50,0	267,5	2820,0	282,5	2820,0		

LEGENDA 1:
1-DL bod 1- dolní vlákná průřezu, levý okraj
2-DP bod 2- dolní vlákná průřezu, pravý okraj
3-HL bod 3- horní vlákná průřezu, levý okraj
4-HP bod 4- horní vlákná průřezu, pravý okraj
5-SD1 bod 5- dolní vlákná stěny 1
6-SH1 bod 6- horní vlákná stěny 1
7-SD2 bod 7- dolní vlákná stěny 2
8-SH2 bod 8- horní vlákná stěny 2
9-T bod 9- těžiště plného průřezu

TAB D PRŮŘEZOVÉ CHARAKTERISTIKY OSLABENÉHO PRŮŘEZU A _{x,z,ef} , W _{x,z,ef} V KRITICKÝCH BODECH PRŮŘEZU PRO POSUDEK NAPĚTÍ						
BOD	A _{x,ef} -pro Nx- [mm ²]	A _{x,ef} -pro Nx+ [mm ²]	W _{y,ef} -pro My- [mm ³]	W _{y,ef} -pro My+ [mm ³]	W _{z,ef} -pro Mz- [mm ³]	W _{z,ef} -pro Mz+ [mm ³]
1-DL	9,405E+04	9,405E+04	9,361E+07	9,361E+07	4,418E+06	4,418E+06
2-DP	9,405E+04	9,405E+04	9,361E+07	9,361E+07	-4,418E+06	-4,418E+06
3-HL	9,405E+04	9,405E+04	-8,884E+07	-8,884E+07	4,859E+06	4,859E+06
4-HP	9,405E+04	9,405E+04	-8,884E+07	-8,884E+07	-4,859E+06	-4,859E+06
5-SD1	9,405E+04	9,405E+04	9,708E+07	9,708E+07	1,620E+08	1,620E+08
6-SH1	9,405E+04	9,405E+04	9,708E+07	9,708E+07	-1,620E+08	-1,620E+08
7-SD2	9,405E+04	9,405E+04	-9,197E+07	-9,197E+07	1,620E+08	1,620E+08
8-SH2	9,405E+04	9,405E+04	-9,197E+07	-9,197E+07	-1,620E+08	-1,620E+08
9-T	9,405E+04	9,405E+04	-	-	-	-

LEGENDA 2:
b rozměr proužku (otvoru) ve směru osy y
h rozměr proužku (otvoru) ve směru osy z
y,z souřadnice těžiště proužku (otvoru)
N_x normálová síla- tlak
N_x normálová síla- tah
M_{y+} svíslý ohybový moment- kladný
M_{y-} svíslý ohybový moment- záporný
M_{z+} vodorovný ohybový moment- kladný
M_{z-} vodorovný ohybový moment- záporný
y₁...y₈ y-ová souřadnice kritických bodů 1,...,8 pro posudek napětí
z₁...z₈ z-ová souřadnice kritických bodů 1,...,8 pro posudek napětí
y_t y-ová souřadnice těžiště průřezu
z_t z-ová souřadnice těžiště průřezu
f_y mez kluzu oceli

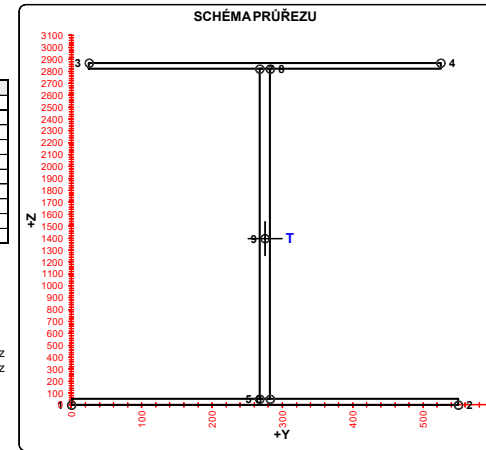


LEGENDA 3:
0 ... neobsazeno
1 ... část průřezu
2 ... běžný otvor
3 ... atypický otvor

TAB E		
BOD	t ₀ (mm)	f ₀ [MPa]
1-DL	-	213,6
2-DP	-	213,6
3-HL	-	213,6
4-HP	-	213,6
5-SD1	15,0	213,6
6-SH1	15,0	213,6
7-SD2	15,0	213,6
8-SH2	15,0	213,6
9-T	15,0	213,6

H = 2870,0 mm
H₀ = 2770,0 mm
A_{xz} = 41550,0 mm²

TAB B VÝSLEDNÉ PRŮŘEZOVÉ CHARAKTERISTIKY- PLNÝ PRŮŘEZ				
část	b	h	y	z
č.	(mm)	(mm)	(mm)	(mm)
1	500,0	50,0	275,0	2845,0
2	15,0	2770,0	275,0	1435,0
3	550,0	50,0	275,0	25,0
4	0,0	0,0	0,0	0,0
5	0,0	0,0	0,0	0,0
6	0,0	0,0	0,0	0,0
7	0,0	0,0	0,0	0,0
8	0,0	0,0	0,0	0,0
9	0,0	0,0	0,0	0,0
10	0,0	0,0	0,0	0,0
11	0,0	0,0	0,0	0,0
12	0,0	0,0	0,0	0,0
13	0,0	0,0	0,0	0,0
14	0,0	0,0	0,0	0,0
15	0,0	0,0	0,0	0,0
16	0,0	0,0	0,0	0,0
17	0,0	0,0	0,0	0,0
18	0,0	0,0	0,0	0,0
19	0,0	0,0	0,0	0,0
20	0,0	0,0	0,0	0,0
y _t = 275,0 mm		S _{y,8-SH1} = 3,774E+07 mm ³		
z _t = 1397,5 mm		S _{y,6-SH1} = 3,774E+07 mm ³		
A _x = 9,405E+04 mm ²		S _{y,7-SD2} = 3,619E+07 mm ³		
I _x = 1,308E+11 mm ⁴		S _{y,8-SH2} = 3,619E+07 mm ³		
I _y = 1,215E+09 mm ⁴		I _y = 4,687E+07 mm ⁴		
S _{x,z,t} = 5,136E+07 mm ³		I _x = 0,000E+00 mm ⁴		
W _{x,1-DL} = 9,361E+07 mm ³		W _{x,1-DL} = 4,418E+06 mm ³		
W _{x,2-DP} = 9,361E+07 mm ³		W _{x,2-DP} = -4,418E+06 mm ³		
W _{x,3-HL} = -8,884E+07 mm ³		W _{x,3-HL} = 4,859E+06 mm ³		
W _{x,4-HP} = -8,884E+07 mm ³		W _{x,4-HP} = -4,859E+06 mm ³		
W _{x,5-SD1} = 9,708E+07 mm ³		W _{x,5-SD1} = 1,620E+08 mm ³		
W _{x,6-SH1} = 9,708E+07 mm ³		W _{x,6-SH1} = -1,620E+08 mm ³		
W _{x,7-SD2} = -9,197E+07 mm ³		W _{x,7-SD2} = 1,620E+08 mm ³		
W _{x,8-SH2} = -9,197E+07 mm ³		W _{x,8-SH2} = -1,620E+08 mm ³		



TAB 12 ZÁKLADNÍ PRŮŘEZOVÉ CHARAKTERISTIKY

POSUDEK: 2 PRŮŘEZ: HN_02
OZNAČENÍ: HN_02 POPIS: HLAVNÍ NOSNÍK 2

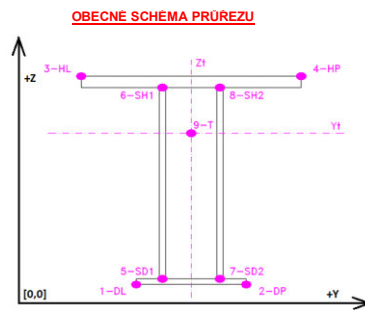
PRUT i X[m] j

SOUČINITEL KOROZE k = 1,00

TAB A							PLNÝ PRŮŘEZ , ATYPICKÉ OTVORY				BÉŽNÉ OTVORY PRO ŠROUBY ČI NYTY				OSLABENÍ PRŮŘEZU PRO NAMAHÁNÍ VNITŘNÍ SILOU							
část	b	h	y	z	poznámka	otvor	b	h	y	z	Nx- [-]	Nx+ [+]	My- [-]	My+ [+]	Mz- [-]	Mz+ [+]	poznámka					
Č.	(mm)	(mm)	(mm)	(mm)	legenda 3		(mm)	(mm)	(mm)	(mm)							legenda 3					
1	600,0	50,0	325,0	2845,0	0	21	0,0	0,0	0,0	0,0	NE	ANO	NE	ANO	NE	ANO	2					
2	15,0	2770,0	325,0	1435,0	0	22	0,0	0,0	0,0	0,0	NE	ANO	NE	ANO	NE	ANO	2					
3	650,0	50,0	325,0	25,0	0	23	0,0	0,0	0,0	0,0	NE	ANO	NE	ANO	NE	ANO	2					
4	0,0	0,0	0,0	0,0	0	24	0,0	0,0	0,0	0,0	NE	ANO	NE	ANO	NE	ANO	2					
5	0,0	0,0	0,0	0,0	0	25	0,0	0,0	0,0	0,0	NE	ANO	NE	ANO	NE	ANO	2					
6	0,0	0,0	0,0	0,0	0	26	0,0	0,0	0,0	0,0	NE	ANO	NE	ANO	NE	ANO	2					
7	0,0	0,0	0,0	0,0	0	27	0,0	0,0	0,0	0,0	NE	ANO	NE	ANO	NE	ANO	2					
8	0,0	0,0	0,0	0,0	0	28	0,0	0,0	0,0	0,0	NE	ANO	NE	ANO	NE	ANO	2					
9	0,0	0,0	0,0	0,0	0	29	0,0	0,0	0,0	0,0	NE	ANO	NE	ANO	NE	ANO	2					
10	0,0	0,0	0,0	0,0	0	30	0,0	0,0	0,0	0,0	NE	ANO	NE	ANO	NE	ANO	2					
11	0,0	0,0	0,0	0,0	0	31	0,0	0,0	0,0	0,0	NE	ANO	NE	ANO	NE	ANO	2					
12	0,0	0,0	0,0	0,0	0	32	0,0	0,0	0,0	0,0	NE	ANO	NE	ANO	NE	ANO	2					
13	0,0	0,0	0,0	0,0	0	33	0,0	0,0	0,0	0,0	NE	ANO	NE	ANO	NE	ANO	2					
14	0,0	0,0	0,0	0,0	0	34	0,0	0,0	0,0	0,0	NE	ANO	NE	ANO	NE	ANO	2					
15	0,0	0,0	0,0	0,0	0	35	0,0	0,0	0,0	0,0	NE	ANO	NE	ANO	NE	ANO	2					
16	0,0	0,0	0,0	0,0	0	36	0,0	0,0	0,0	0,0	NE	ANO	NE	ANO	NE	ANO	2					
17	0,0	0,0	0,0	0,0	0	37	0,0	0,0	0,0	0,0	NE	ANO	NE	ANO	NE	ANO	2					
18	0,0	0,0	0,0	0,0	0	38	0,0	0,0	0,0	0,0	NE	ANO	NE	ANO	NE	ANO	2					
19	0,0	0,0	0,0	0,0	0	39	0,0	0,0	0,0	0,0	NE	ANO	NE	ANO	NE	ANO	2					
20	0,0	0,0	0,0	0,0	0	40	0,0	0,0	0,0	0,0	NE	ANO	NE	ANO	NE	ANO	2					

TAB C- SOURADNICE KRITICKÝCH BODŮ PRŮŘEZU PRO POSUDEK NAPĚTÍ							
1-DL	2-DP	3-HL	4-HP	5-SD1	6-SH1	7-SD2	8-SH2
y ₁	z ₁	y ₂	z ₂	y ₃	z ₃	y ₄	z ₄
(mm)	(mm)	(mm)	(mm)	(mm)	(mm)	(mm)	(mm)
0,0	0,0	650,0	0,0	25,0	2870,0	625,0	2870,0
y ₅	z ₅	y ₆	z ₆	y ₇	z ₇	y ₈	z ₈
(mm)	(mm)	(mm)	(mm)	(mm)	(mm)	(mm)	(mm)
317,5	50,0	332,5	50,0	317,5	2820,0	332,5	2820,0

LEGENDA 1:
1-DL bod 1- dolní vlákná průřezu, levý okraj
2-DP bod 2- dolní vlákná průřezu, pravý okraj
3-HL bod 3- horní vlákná průřezu, levý okraj
4-HP bod 4- horní vlákná průřezu, pravý okraj
5-SD1 bod 5- dolní vlákná stěny 1
6-SH1 bod 6- horní vlákná stěny 1
7-SD2 bod 7- dolní vlákná stěny 2
8-SH2 bod 8- horní vlákná stěny 2
9-T bod 9- těžiště plného průřezu



LEGENDA 3:
0 ... neobsazeno
1 ... část průřezu
2 ... běžný otvor
3 ... atypický otvor

TAB D PRŮŘEZOVÉ CHARAKTERISTIKY OSLABENÉHO PRŮŘEZU A _{x,ef} , W _{y,ef} a W _{z,ef} V KRITICKÝCH BODECH PRŮŘEZU PRO POSUDEK NAPĚTÍ							
BOD	A _{x,ef} -pro Nx+ [mm ²]	A _{x,ef} -pro Nx- [mm ²]	W _{y,ef} -pro My- [mm ³]	W _{y,ef} -pro My+ [mm ³]	W _{z,ef} -pro Mz- [mm ³]	W _{z,ef} -pro Mz+ [mm ³]	
1-DL	1,041E+05	1,041E+05	1,076E+08	1,076E+08	6,292E+06	6,292E+06	
2-DP	1,041E+05	1,041E+05	1,076E+08	1,076E+08	-6,292E+06	-6,292E+06	
3-HL	1,041E+05	1,041E+05	-1,026E+08	-1,026E+08	6,817E+06	6,817E+06	
4-HP	1,041E+05	1,041E+05	-1,026E+08	-1,026E+08	-6,817E+06	-6,817E+06	
5-SD1	1,041E+05	1,041E+05	1,115E+08	1,115E+08	2,727E+08	2,727E+08	
6-SH1	1,041E+05	1,041E+05	1,115E+08	1,115E+08	-2,727E+08	-2,727E+08	
7-SD2	1,041E+05	1,041E+05	-1,062E+08	-1,062E+08	2,727E+08	2,727E+08	
8-SH2	1,041E+05	1,041E+05	-1,062E+08	-1,062E+08	-2,727E+08	-2,727E+08	
9-T	1,041E+05	1,041E+05	-	-	-	-	

LEGENDA 2:
b rozměr proužku (otvoru) ve směru osy y
h rozměr proužku (otvoru) ve směru osy z
y,z souřadnice těžiště proužku (otvoru)
N_x normálová síla- tlak
N_x normálová síla- tah
M_y svislý ohybový moment- kladný
M_y svislý ohybový moment- záporný
M_z vodorovný ohybový moment- kladný
M_z vodorovný ohybový moment- záporný
y₁,...,y₈ y-ová souřadnice kritických bodů 1,...,8 pro posudek napětí
z₁,...,z₈ z-ová souřadnice kritických bodů 1,...,8 pro posudek napětí
y_t y-ová souřadnice těžiště průřezu
z_t z-ová souřadnice těžiště průřezu
f_y mez kluzu oceli

A_x průřezová plocha- plný průřez
I_y moment setrvačnosti k ose y- plný průřez
I_z moment setrvačnosti k ose z- plný průřez
I_t moment tuhosti průřezu v prostém kroucení
I_o výsečový moment setrvačnosti
S_{y,9} statický moment celého průřezu k těžišťové ose y- plný průřez
S_{y,5-SD1 (7-SD2)} statický moment části průřezu pod bodem 5-SD1 (7-SD2) k těžišťové ose y- plný průřez
S_{y,6-SH1 (8-SH2)} statický moment části průřezu nad bodem 6-SH1 (8-SH2) k těžišťové ose y- plný průřez
W_{y,1..8} svislý průřezový modul průřezu v kritických bodech 1..8- plný průřez
A_{x,ef} průřezová plocha- oslabený průřez
W_{y,1..8,ef} svislý průřezový modul průřezu v kritických bodech 1..8- oslabený průřez
W_{z,1..8,ef} vodorovný průřezový modul průřezu v kritických bodech 1..8- oslabený průřez
H výška celého průřezu
H_w výška stěny průřezu
A_{vz} plocha stěny ve smyku od Vz

TAB E			
BOD	t _w [mm]	f _y [MPa]	f _u [MPa]
1-DL	-	213,6	327,1
2-DP	-	213,6	327,1
3-HL	-	213,6	327,1
4-HP	-	213,6	327,1
5-SD1	15,0	213,6	327,1
6-SH1	15,0	213,6	327,1
7-SD2	15,0	213,6	327,1
8-SH2	15,0	213,6	327,1
9-T	15,0	213,6	327,1

H = 2870,0 mm
H_w = 2770,0 mm
A_{vz} = 41550,0 mm²

TAB B VYSLEDNÉ PRŮŘEZOVÉ CHARAKTERISTIKY- PLNÝ PRŮŘEZ					
část	b	h	y	z	poznámka
Č.	(mm)	(mm)	(mm)	(mm)	legenda 3
1	600,0	50,0	325,0	2845,0	0
2	15,0	2770,0	325,0	1435,0	0
3	650,0	50,0	325,0	25,0	0
4	0,0	0,0	0,0	0,0	0
5	0,0	0,0	0,0	0,0	0
6	0,0	0,0	0,0	0,0	0
7	0,0	0,0	0,0	0,0	0
8	0,0	0,0	0,0	0,0	0
9	0,0	0,0	0,0	0,0	0
10	0,0	0,0	0,0	0,0	0
11	0,0	0,0	0,0	0,0	0
12	0,0	0,0	0,0	0,0	0
13	0,0	0,0	0,0	0,0	0
14	0,0	0,0	0,0	0,0	0
15	0,0	0,0	0,0	0,0	0
16	0,0	0,0	0,0	0,0	0
17	0,0	0,0	0,0	0,0	0
18	0,0	0,0	0,0	0,0	0
19	0,0	0,0	0,0	0,0	0
20	0,0	0,0	0,0	0,0	0
y _t = 325,0 mm			S _{y,5-SD1} = 4,472E+07 mm ³		
z _t = 1401,1 mm			S _{y,6-SH1} = 4,472E+07 mm ³		
A _x = 1,041E+05 mm ²			S _{y,7-SD2} = 4,332E+07 mm ³		
I _y = 1,507E+11 mm ⁴			S _{y,8-SH2} = 4,332E+07 mm ³		
I _z = 2,045E+09 mm ⁴			I _t = 5,520E+07 mm ⁴		
S _{y,9-T} = 5,842E+07 mm ³			I _x = 0,000E+00 mm ⁴		
W _{y,1-SD1} = 1,076E+08 mm ³			W _{z,1-SD1} = 6,2392E+06 mm ³		
W _{y,2-SD2} = 1,076E+08 mm ³			W _{z,2-SD2} = -6,2392E+06 mm ³		
W _{y,3-SH1} = -1,026E+08 mm ³			W _{z,3-SH1} = 6,817E+06 mm ³		
W _{y,4-SH2} = -1,026E+08 mm ³			W _{z,4-SH2} = -6,817E+06 mm ³		
W _{y,5-SD3} = 1,115E+08 mm ³			W _{z,5-SD3} = 2,727E+08 mm ³		
W _{y,6-SH1} = 1,115E+08 mm ³			W _{z,6-SH1} = -2,727E+08 mm ³		
W _{y,7-SD4} = -1,062E+08 mm ³			W _{z,7-SD4} = 2,727E+08 mm ³		
W _{y,8-SH2} = -1,062E+08 mm ³			W _{z,8-SH2} = -2,727E+08 mm ³		

TAB 13 ZÁKLADNÍ PRŮŘEZOVÉ CHARAKTERISTIKY

POSUDEK: 3 PRŮŘEZ: HN_03A
OZNAČENÍ: HN_03A POPIS: HLAVNÍ NOSNÍK 3A

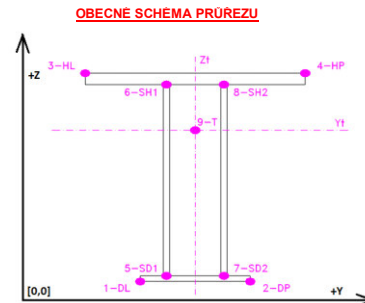
PRUT i X[m] j

SOUČINITEL KOROZE k = 1,00

TAB A PLNÝ PRŮŘEZ , ATYPICKÉ OTVORY										BÉŽNÉ OTVORY PRO ŠROUBY ČI NYTY										OSLABENÍ PRŮŘEZU PRO NAMAHÁNÍ VNITŘNÍ SÍLOU									
část	b	h	y	z	poznámka	otvor	b	h	y	z	Nx-	Nx+	My-	My+	Mz-	Mz+	poznámka												
Č.	(mm)	(mm)	(mm)	(mm)	legenda 3	Č.	(mm)	(mm)	(mm)	(mm)	(mm)	(mm)	(mm)	(mm)	(mm)	(mm)	legenda 3												
1	500,0	50,0	275,0	2835,0	0	21	0,0	0,0	0,0	0,0	NE	ANO	NE	ANO	NE	ANO	2												
2	30,0	2770,0	275,0	1425,0	0	22	0,0	0,0	0,0	0,0	NE	ANO	NE	ANO	NE	ANO	2												
3	550,0	40,0	275,0	20,0	0	23	0,0	0,0	0,0	0,0	NE	ANO	NE	ANO	NE	ANO	2												
4	0,0	0,0	0,0	0,0	0	24	0,0	0,0	0,0	0,0	NE	ANO	NE	ANO	NE	ANO	2												
5	0,0	0,0	0,0	0,0	0	25	0,0	0,0	0,0	0,0	NE	ANO	NE	ANO	NE	ANO	2												
6	0,0	0,0	0,0	0,0	0	26	0,0	0,0	0,0	0,0	NE	ANO	NE	ANO	NE	ANO	2												
7	0,0	0,0	0,0	0,0	0	27	0,0	0,0	0,0	0,0	NE	ANO	NE	ANO	NE	ANO	2												
8	0,0	0,0	0,0	0,0	0	28	0,0	0,0	0,0	0,0	NE	ANO	NE	ANO	NE	ANO	2												
9	0,0	0,0	0,0	0,0	0	29	0,0	0,0	0,0	0,0	NE	ANO	NE	ANO	NE	ANO	2												
10	0,0	0,0	0,0	0,0	0	30	0,0	0,0	0,0	0,0	NE	ANO	NE	ANO	NE	ANO	2												
11	0,0	0,0	0,0	0,0	0	31	0,0	0,0	0,0	0,0	NE	ANO	NE	ANO	NE	ANO	2												
12	0,0	0,0	0,0	0,0	0	32	0,0	0,0	0,0	0,0	NE	ANO	NE	ANO	NE	ANO	2												
13	0,0	0,0	0,0	0,0	0	33	0,0	0,0	0,0	0,0	NE	ANO	NE	ANO	NE	ANO	2												
14	0,0	0,0	0,0	0,0	0	34	0,0	0,0	0,0	0,0	NE	ANO	NE	ANO	NE	ANO	2												
15	0,0	0,0	0,0	0,0	0	35	0,0	0,0	0,0	0,0	NE	ANO	NE	ANO	NE	ANO	2												
16	0,0	0,0	0,0	0,0	0	36	0,0	0,0	0,0	0,0	NE	ANO	NE	ANO	NE	ANO	2												
17	0,0	0,0	0,0	0,0	0	37	0,0	0,0	0,0	0,0	NE	ANO	NE	ANO	NE	ANO	2												
18	0,0	0,0	0,0	0,0	0	38	0,0	0,0	0,0	0,0	NE	ANO	NE	ANO	NE	ANO	2												
19	0,0	0,0	0,0	0,0	0	39	0,0	0,0	0,0	0,0	NE	ANO	NE	ANO	NE	ANO	2												
20	0,0	0,0	0,0	0,0	0	40	0,0	0,0	0,0	0,0	NE	ANO	NE	ANO	NE	ANO	2												

TAB C- SOURADNICE KRITICKÝCH BODŮ PRŮŘEZU PRO POSUDEK NAPĚTÍ							
1-DL	2-DP	3-HL	4-HP	5-SD1	6-SH1	7-SD2	8-SH2
y ₁	z ₁	y ₂	z ₂	y ₃	z ₃	y ₄	z ₄
(mm)	(mm)	(mm)	(mm)	(mm)	(mm)	(mm)	(mm)
0,0	0,0	550,0	0,0	25,0	2860,0	525,0	2860,0
y ₅	z ₅	y ₆	z ₆	y ₇	z ₇	y ₈	z ₈
(mm)	(mm)	(mm)	(mm)	(mm)	(mm)	(mm)	(mm)
260,0	40,0	290,0	40,0	260,0	2810,0	290,0	2810,0

LEGENDA 1:
1-DL bod 1- dolní vlákná průřezu, levý okraj
2-DP bod 2- dolní vlákná průřezu, pravý okraj
3-HL bod 3- horní vlákná průřezu, levý okraj
4-HP bod 4- horní vlákná průřezu, pravý okraj
5-SD1 bod 5- dolní vlákná stěny 1
6-SH1 bod 6- horní vlákná stěny 1
7-SD2 bod 7- dolní vlákná stěny 2
8-SH2 bod 8- horní vlákná stěny 2
9-T bod 9- těžiště plného průřezu



LEGENDA 3:
0 ... neobsazeno
1 ... část průřezu
2 ... běžný otvor
3 ... atypický otvor

TAB D PRŮŘEZOVÉ CHARAKTERISTIKY OSLABENÉHO PRŮŘEZU A _{x,ef} , W _{y,ef} a W _{z,ef} V KRITICKÝCH BODECH PRŮŘEZU PRO POSUDEK NAPĚTÍ							
BOD	A _{x,ef} -pro Nx- [mm ²]	A _{x,ef} -pro Nx+ [mm ²]	W _{y,ef} -pro My- [mm ³]	W _{y,ef} -pro My+ [mm ³]	W _{z,ef} -pro Mz- [mm ³]	W _{z,ef} -pro Mz+ [mm ³]	
1-DL	1,301E+05	1,301E+05	1,002E+08	1,002E+08	3,933E+06	3,933E+06	
2-DP	1,301E+05	1,301E+05	1,002E+08	1,002E+08	-3,933E+06	-3,933E+06	
3-HL	1,301E+05	1,301E+05	-1,043E+08	-1,043E+08	4,327E+06	4,327E+06	
4-HP	1,301E+05	1,301E+05	-1,043E+08	-1,043E+08	-4,327E+06	-4,327E+06	
5-SD1	1,301E+05	1,301E+05	1,030E+08	1,030E+08	7,211E+07	7,211E+07	
6-SH1	1,301E+05	1,301E+05	1,030E+08	1,030E+08	-7,211E+07	-7,211E+07	
7-SD2	1,301E+05	1,301E+05	-1,081E+08	-1,081E+08	7,211E+07	7,211E+07	
8-SH2	1,301E+05	1,301E+05	-1,081E+08	-1,081E+08	-7,211E+07	-7,211E+07	
9-T	1,301E+05	1,301E+05	-	-	-	-	

LEGENDA 2:
b rozměr proužku (otvoru) ve směru osy y
h rozměr proužku (otvoru) ve směru osy z
y,z souřadnice těžiště proužku (otvoru)
N_x normálová síla- tlak
N_x normálová síla- tah
M_y svislý ohybový moment- kladný
M_y svislý ohybový moment- záporný
M_z vodorovný ohybový moment- kladný
M_z vodorovný ohybový moment- záporný
y₁,...,y₈ y-ová souřadnice kritických bodů 1,...,8 pro posudek napětí
z₁,...,z₈ z-ová souřadnice kritických bodů 1,...,8 pro posudek napětí
y_t y-ová souřadnice těžiště průřezu
z_t z-ová souřadnice těžiště průřezu
f_y mez kluzu oceli

A_x průřezová plocha- plný průřez
I_y moment setrvačnosti k ose y- plný průřez
I_z moment setrvačnosti k ose z- plný průřez
I_y moment tuhosti průřezu v prostém kroucení
I_z moment setrvačnosti
S_{y,9} statický moment celého průřezu k těžišťové ose y- plný průřez
S_{y,5-SD1 (7-SD2)} statický moment části průřezu pod bodem 5-SD1 (7-SD2) k těžišťové ose y- plný průřez
S_{y,6-SH1 (8-SH2)} statický moment části průřezu nad bodem 6-SH1 (8-SH2) k těžišťové ose y- plný průřez
W_{y,1..8} svislý průřezový modul průřezu v kritických bodech 1..8- plný průřez
A_{x,ef} průřezová plocha- oslabený průřez
W_{y,1..8,ef} svislý průřezový modul průřezu v kritických bodech 1..8- oslabený průřez
W_{z,1..8,ef} vodorovný průřezový modul průřezu v kritických bodech 1..8- oslabený průřez
H výška celého průřezu
H_w výška stěny průřezu
A_{yz} plocha stěny ve smyku od Vz

TAB E	t _w	f _y	f _{yk}
BOD	(mm)	(MPa)	(MPa)
1-DL	-	213,6	327,1
2-DP	-	213,6	327,1
3-HL	-	213,6	327,1
4-HP	-	213,6	327,1
5-SD1	30,0	213,6	327,1
6-SH1	30,0	213,6	327,1
7-SD2	30,0	213,6	327,1
8-SH2	30,0	213,6	327,1
9-T	30,0	213,6	327,1

H = 2860,0 mm
H_w = 2770,0 mm
A_{yz} = 83100,0 mm²

TAB B VÝSLEDNÉ PRŮŘEZOVÉ CHARAKTERISTIKY- PLNÝ PRŮŘEZ					
část	b	h	y	z	poznámka
č.	(mm)	(mm)	(mm)	(mm)	legenda
1	500,0	50,0	275,0	2835,0	0
2	30,0	2770,0	275,0	1425,0	0
3	550,0	40,0	275,0	20,0	0
4	0,0	0,0	0,0	0,0	0
5	0,0	0,0	0,0	0,0	0
6	0,0	0,0	0,0	0,0	0
7	0,0	0,0	0,0	0,0	0
8	0,0	0,0	0,0	0,0	0
9	0,0	0,0	0,0	0,0	0
10	0,0	0,0	0,0	0,0	0
11	0,0	0,0	0,0	0,0	0
12	0,0	0,0	0,0	0,0	0
13	0,0	0,0	0,0	0,0	0
14	0,0	0,0	0,0	0,0	0
15	0,0	0,0	0,0	0,0	0
16	0,0	0,0	0,0	0,0	0
17	0,0	0,0	0,0	0,0	0
18	0,0	0,0	0,0	0,0	0
19	0,0	0,0	0,0	0,0	0
20	0,0	0,0	0,0	0,0	0
<hr/>					
Y _t =		275,0 mm	S _{y,9-SH1} =		3,164E+07 mm ³
Z _t =		1458,4 mm	S _{y,6-SH1} =		3,164E+07 mm ³
A _x =		1,301E+05 mm ²	S _{y,7-SD2} =		3,442E+07 mm ³
I _y =		1,461E+11 mm ⁴	S _{y,8-SH2} =		3,442E+07 mm ³
I _z =		1,082E+09 mm ⁴	I _z =		5,750E+07 mm ⁴
S _{y,1-7} =		6,182E+07 mm ³	I _{yz} =		0,000E+00 mm ⁶
W _{y,1-SH1} =		1,002E+08 mm ³	W _{y,1-SD} =		3,933E+06 mm ³
W _{y,6-SH1} =		1,002E+08 mm ³	W _{y,6-SH1} =		-3,933E+06 mm ³
W _{y,9-SH1} =		-1,043E+08 mm ³	W _{y,9-SH1} =		4,327E+06 mm ³
W _{y,10-SH1} =		-1,043E+08 mm ³	W _{y,10-SH1} =		-4,327E+06 mm ³
W _{y,6-SD1} =		1,030E+08 mm ³	W _{y,6-SD1} =		7,211E+07 mm ³
W _{y,6-SH1} =		1,030E+08 mm ³	W _{y,6-SH1} =		-7,211E+07 mm ³
W _{y,7-SD2} =		-1,081E+08 mm ³	W _{y,7-SD2} =		7,211E+07 mm ³
W _{y,8-SD2} =		-1,081E+08 mm ³	W _{y,8-SD2} =		-7,211E+07 mm ³

TAB 1.4 ZÁKLADNÍ PRŮŘEZOVÉ CHARAKTERISTIKY

POSUDEK: 4 PRŮŘEZ: HN_03B
OZNAČENÍ: HN_03B POPIS: HLAVNÍ NOSNÍK 3B

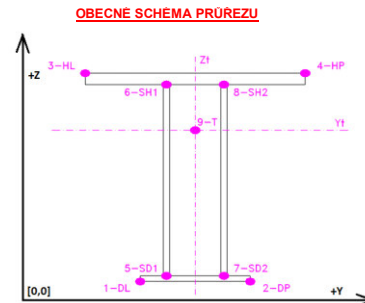
PRUT i X[m]
j

SOUČINITEL KOROZE k = 1,00

TAB A PLNÝ PRŮŘEZ , ATYPICKÉ OTVORY							BÉŽNÉ OTVORY PRO ŠROUBY ČI NYTY				OSLABENÍ PRŮŘEZU PRO NAMAHÁNÍ VNITŘNÍ SILOU							
část	b	h	y	z	poznámka	otvor	b	h	y	z	Nx-	Nx+	My-	My+	Mz-	Mz+	poznámka	
Č.	(mm)	(mm)	(mm)	(mm)	legenda 3	Č.	(mm)	(mm)	(mm)	(mm)	-	-	-	-	-	-	legenda	
1	500,0	50,0	275,0	2835,0	0	21	0,0	0,0	0,0	0,0	NE	ANO	NE	ANO	NE	ANO	2	
2	20,0	2770,0	275,0	1425,0	0	22	0,0	0,0	0,0	0,0	NE	ANO	NE	ANO	NE	ANO	2	
3	550,0	40,0	275,0	20,0	0	23	0,0	0,0	0,0	0,0	NE	ANO	NE	ANO	NE	ANO	2	
4	0,0	0,0	0,0	0,0	0	24	0,0	0,0	0,0	0,0	NE	ANO	NE	ANO	NE	ANO	2	
5	0,0	0,0	0,0	0,0	0	25	0,0	0,0	0,0	0,0	NE	ANO	NE	ANO	NE	ANO	2	
6	0,0	0,0	0,0	0,0	0	26	0,0	0,0	0,0	0,0	NE	ANO	NE	ANO	NE	ANO	2	
7	0,0	0,0	0,0	0,0	0	27	0,0	0,0	0,0	0,0	NE	ANO	NE	ANO	NE	ANO	2	
8	0,0	0,0	0,0	0,0	0	28	0,0	0,0	0,0	0,0	NE	ANO	NE	ANO	NE	ANO	2	
9	0,0	0,0	0,0	0,0	0	29	0,0	0,0	0,0	0,0	NE	ANO	NE	ANO	NE	ANO	2	
10	0,0	0,0	0,0	0,0	0	30	0,0	0,0	0,0	0,0	NE	ANO	NE	ANO	NE	ANO	2	
11	0,0	0,0	0,0	0,0	0	31	0,0	0,0	0,0	0,0	NE	ANO	NE	ANO	NE	ANO	2	
12	0,0	0,0	0,0	0,0	0	32	0,0	0,0	0,0	0,0	NE	ANO	NE	ANO	NE	ANO	2	
13	0,0	0,0	0,0	0,0	0	33	0,0	0,0	0,0	0,0	NE	ANO	NE	ANO	NE	ANO	2	
14	0,0	0,0	0,0	0,0	0	34	0,0	0,0	0,0	0,0	NE	ANO	NE	ANO	NE	ANO	2	
15	0,0	0,0	0,0	0,0	0	35	0,0	0,0	0,0	0,0	NE	ANO	NE	ANO	NE	ANO	2	
16	0,0	0,0	0,0	0,0	0	36	0,0	0,0	0,0	0,0	NE	ANO	NE	ANO	NE	ANO	2	
17	0,0	0,0	0,0	0,0	0	37	0,0	0,0	0,0	0,0	NE	ANO	NE	ANO	NE	ANO	2	
18	0,0	0,0	0,0	0,0	0	38	0,0	0,0	0,0	0,0	NE	ANO	NE	ANO	NE	ANO	2	
19	0,0	0,0	0,0	0,0	0	39	0,0	0,0	0,0	0,0	NE	ANO	NE	ANO	NE	ANO	2	
20	0,0	0,0	0,0	0,0	0	40	0,0	0,0	0,0	0,0	NE	ANO	NE	ANO	NE	ANO	2	

TAB C- SOURADNICE KRITICKÝCH BŮD PRŮŘEZU PRO POSUDEK NAPĚTÍ							
1-DL	2-DP	3-HL	4-HP	5-SD1	6-SH1	7-SD2	8-SH2
y ₁	z ₁	y ₂	z ₂	y ₃	z ₃	y ₄	z ₄
(mm)	(mm)	(mm)	(mm)	(mm)	(mm)	(mm)	(mm)
0,0	0,0	550,0	0,0	25,0	2860,0	525,0	2860,0
y ₅	z ₅	y ₆	z ₆	y ₇	z ₇	y ₈	z ₈
(mm)	(mm)	(mm)	(mm)	(mm)	(mm)	(mm)	(mm)
265,0	40,0	285,0	40,0	265,0	2810,0	285,0	2810,0

LEGENDA 1:
1-DL bod 1- dolní vlákná průřezu, levý okraj
2-DP bod 2- dolní vlákná průřezu, pravý okraj
3-HL bod 3- horní vlákná průřezu, levý okraj
4-HP bod 4- horní vlákná průřezu, pravý okraj
5-SD1 bod 5- dolní vlákná stěny 1
6-SH1 bod 6- horní vlákná stěny 1
7-SD2 bod 7- dolní vlákná stěny 2
8-SH2 bod 8- horní vlákná stěny 2
9-T bod 9- těžiště plného průřezu



LEGENDA 3:
0 ... neobsazeno
1 ... část průřezu
2 ... běžný otvor
3 ... atypický otvor

TAB D PRŮŘEZOVÉ CHARAKTERISTIKY OSLABENÉHO PRŮŘEZU A _{x,ef} , W _{y,ef} a W _{z,ef} V KRITICKÝCH BODECH PRŮŘEZU PRO POSUDEK NAPĚTÍ							
BOD	A _{x,ef} -pro Nx+ [mm ²]	A _{x,ef} -pro Nx- [mm ²]	W _{y,ef} -pro My+ [mm ³]	W _{y,ef} -pro My- [mm ³]	W _{z,ef} -pro Mz+ [mm ³]	W _{z,ef} -pro Mz- [mm ³]	
1-DL	1,024E+05	1,024E+05	8,749E+07	8,749E+07	3,917E+06	3,917E+06	
2-DP	1,024E+05	1,024E+05	8,749E+07	8,749E+07	-3,917E+06	-3,917E+06	
3-HL	1,024E+05	1,024E+05	-9,219E+07	-9,219E+07	4,309E+06	4,309E+06	
4-HP	1,024E+05	1,024E+05	-9,219E+07	-9,219E+07	-4,309E+06	-4,309E+06	
5-SD1	1,024E+05	1,024E+05	8,994E+07	8,994E+07	1,077E+08	1,077E+08	
6-SH1	1,024E+05	1,024E+05	8,994E+07	8,994E+07	-1,077E+08	-1,077E+08	
7-SD2	1,024E+05	1,024E+05	-9,562E+07	-9,562E+07	1,077E+08	1,077E+08	
8-SH2	1,024E+05	1,024E+05	-9,562E+07	-9,562E+07	-1,077E+08	-1,077E+08	
9-T	1,024E+05	1,024E+05	-	-	-	-	

LEGENDA 2:
b rozměr proužku (otvoru) ve směru osy y
h rozměr proužku (otvoru) ve směru osy z
y,z souřadnice těžiště proužku (otvoru)
N_x normálová síla- tlak
N_x normálová síla- tah
M_y svislý ohybový moment- kladný
M_y svislý ohybový moment- záporný
M_z vodorovný ohybový moment- kladný
M_z vodorovný ohybový moment- záporný
y₁,...,y₈ y-ová souřadnice kritických bodů 1,...,8 pro posudek napětí
z₁,...,z₈ z-ová souřadnice kritických bodů 1,...,8 pro posudek napětí
y_t y-ová souřadnice těžiště průřezu
z_t z-ová souřadnice těžiště průřezu
f_y mez kluzu oceli

A_x průřezová plocha- plný průřez
I_y moment setrvačnosti k ose y- plný průřez
I_z moment setrvačnosti k ose z- plný průřez
I_y moment tuhosti průřezu v prostém kroucení
I_z moment setrvačnosti
S_{y,9} statický moment celého průřezu k těžišťové ose y- plný průřez
S_{y,5-SD1 (7-SD2)} statický moment části průřezu pod bodem 5-SD1 (7-SD2) k těžišťové ose y- plný průřez
S_{y,6-SH1 (8-SH2)} statický moment části průřezu nad bodem 6-SH1 (8-SH2) k těžišťové ose y- plný průřez
W_{y,1,8} svislý průřezový modul průřezu v kritických bodech 1..8- plný průřez
A_{x,ef} průřezová plocha- oslabený průřez
W_{y,1,8,ef} svislý průřezový modul průřezu v kritických bodech 1..8- oslabený průřez
W_{z,1,8,ef} vodorovný průřezový modul průřezu v kritických bodech 1..8- oslabený průřez
H výška celého průřezu
H_w výška stěny průřezu
A_{vz} plocha stěny ve smyku od Vz

TAB E	t _w	f _y	f _u
BOD	(mm)	(MPa)	(MPa)
1-DL	-	213,6	327,1
2-DP	-	213,6	327,1
3-HL	-	213,6	327,1
4-HP	-	213,6	327,1
5-SD1	20,0	213,6	327,1
6-SH1	20,0	213,6	327,1
7-SD2	20,0	213,6	327,1
8-SH2	20,0	213,6	327,1
9-T	20,0	213,6	327,1

H = 2860,0 mm
H_w = 2770,0 mm
A_{vz} = 55400,0 mm²

TAB B VÝSLEDNÉ PRŮŘEZOVÉ CHARAKTERISTIKY- PLNÝ PRŮŘEZ					
Část	b	h	y	z	poznámka
Č.	(mm)	(mm)	(mm)	(mm)	legenda
1	500,0	50,0	275,0	2835,0	0
2	20,0	2770,0	275,0	1425,0	0
3	550,0	40,0	275,0	20,0	0
4	0,0	0,0	0,0	0,0	0
5	0,0	0,0	0,0	0,0	0
6	0,0	0,0	0,0	0,0	0
7	0,0	0,0	0,0	0,0	0
8	0,0	0,0	0,0	0,0	0
9	0,0	0,0	0,0	0,0	0
10	0,0	0,0	0,0	0,0	0
11	0,0	0,0	0,0	0,0	0
12	0,0	0,0	0,0	0,0	0
13	0,0	0,0	0,0	0,0	0
14	0,0	0,0	0,0	0,0	0
15	0,0	0,0	0,0	0,0	0
16	0,0	0,0	0,0	0,0	0
17	0,0	0,0	0,0	0,0	0
18	0,0	0,0	0,0	0,0	0
19	0,0	0,0	0,0	0,0	0
20	0,0	0,0	0,0	0,0	0
$y_t = 275,0 \text{ mm}$			$S_{y,9-SH1} = 3,184\text{E}+07 \text{ mm}^3$		
$z_t = 1467,4 \text{ mm}$			$S_{y,6-SH1} = 3,184\text{E}+07 \text{ mm}^3$		
$A_x = 1,024\text{E}+05 \text{ mm}^2$			$S_{y,7-SD2} = 3,419\text{E}+07 \text{ mm}^3$		
$I_y = 1,284\text{E}+11 \text{ mm}^4$			$S_{y,8-SH2} = 3,419\text{E}+07 \text{ mm}^3$		
$I_z = 1,077\text{E}+09 \text{ mm}^4$			$I_z = 3,995\text{E}+07 \text{ mm}^4$		
$S_{y,9-T} = 5,222\text{E}+07 \text{ mm}^3$			$I_{z0} = 0,000\text{E}+00 \text{ mm}^4$		
$W_{y,1-DL} = 8,749\text{E}+07 \text{ mm}^3$			$W_{y,1-DL} = 3,917\text{E}+06 \text{ mm}^3$		
$W_{y,6-SH1} = 8,749\text{E}+07 \text{ mm}^3$			$W_{y,6-SH1} = -3,917\text{E}+06 \text{ mm}^3$		
$W_{y,7-SD2} = -9,219\text{E}+07 \text{ mm}^3$			$W_{y,7-SD2} = 4,309\text{E}+06 \text{ mm}^3$		
$W_{y,8-SH2} = -9,219\text{E}+07 \text{ mm}^3$			$W_{y,8-SH2} = -4,309\text{E}+06 \text{ mm}^3$		
$W_{y,9-SH1} = 8,994\text{E}+07 \text{ mm}^3$			$W_{y,9-SH1} = 1,077\text{E}+08 \text{ mm}^3$		
$W_{y,6-SH1} = 8,994\text{E}+07 \text{ mm}^3$			$W_{y,6-SH1} = -1,077\text{E}+08 \text{ mm}^3$		
$W_{y,7-SD2} = -9,562\text{E}+07 \text{ mm}^3$			$W_{y,7-SD2} = 1,077\text{E}+08 \text{ mm}^3$		
$W_{y,8-SH2} = -9,562\text{E}+07 \text{ mm}^3$			$W_{y,8-SH2} = -1,077\text{E}+08 \text{ mm}^3$		

TAB 1 5 ZÁKLADNÍ PRŮŘEZOVÉ CHARAKTERISTIKY

POSUDEK: 5 PRŮŘEZ: HN_04
OZNAČENÍ: HN_04 POPIS: HLAVNÍ NOSNÍK 4

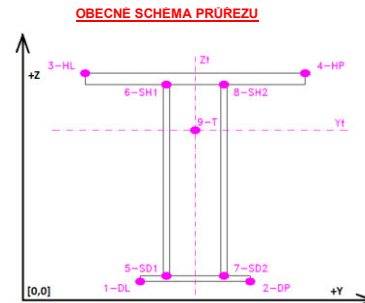
PRUT i X[m] j

SOUČINITEL KOROZE k = 1,00

TAB A							PLNÝ PRŮŘEZ , ATYPICKÉ OTVORY				BÉŽNÉ OTVORY PRO ŠROUBY ČI NYTY				OSLABENÍ PRŮŘEZU PRO NAMAHÁNÍ VNITŘNÍ SILOU						
část	b	h	y	z	poznámka	otvor	b	h	y	z	Nx-	Nx+	My-	My+	Mz-	Mz+	poznámka				
č.	(mm)	(mm)	(mm)	(mm)	legenda 3	č.	(mm)	(mm)	(mm)	(mm)	-	-	-	-	-	-	legenda				
1	500,0	50,0	275,0	2835,0	0	21	0,0	0,0	0,0	0,0	NE	ANO	NE	ANO	NE	ANO	2				
2	18,0	2770,0	275,0	1425,0	0	22	0,0	0,0	0,0	0,0	NE	ANO	NE	ANO	NE	ANO	2				
3	550,0	40,0	275,0	20,0	0	23	0,0	0,0	0,0	0,0	NE	ANO	NE	ANO	NE	ANO	2				
4	0,0	0,0	0,0	0,0	0	24	0,0	0,0	0,0	0,0	NE	ANO	NE	ANO	NE	ANO	2				
5	0,0	0,0	0,0	0,0	0	25	0,0	0,0	0,0	0,0	NE	ANO	NE	ANO	NE	ANO	2				
6	0,0	0,0	0,0	0,0	0	26	0,0	0,0	0,0	0,0	NE	ANO	NE	ANO	NE	ANO	2				
7	0,0	0,0	0,0	0,0	0	27	0,0	0,0	0,0	0,0	NE	ANO	NE	ANO	NE	ANO	2				
8	0,0	0,0	0,0	0,0	0	28	0,0	0,0	0,0	0,0	NE	ANO	NE	ANO	NE	ANO	2				
9	0,0	0,0	0,0	0,0	0	29	0,0	0,0	0,0	0,0	NE	ANO	NE	ANO	NE	ANO	2				
10	0,0	0,0	0,0	0,0	0	30	0,0	0,0	0,0	0,0	NE	ANO	NE	ANO	NE	ANO	2				
11	0,0	0,0	0,0	0,0	0	31	0,0	0,0	0,0	0,0	NE	ANO	NE	ANO	NE	ANO	2				
12	0,0	0,0	0,0	0,0	0	32	0,0	0,0	0,0	0,0	NE	ANO	NE	ANO	NE	ANO	2				
13	0,0	0,0	0,0	0,0	0	33	0,0	0,0	0,0	0,0	NE	ANO	NE	ANO	NE	ANO	2				
14	0,0	0,0	0,0	0,0	0	34	0,0	0,0	0,0	0,0	NE	ANO	NE	ANO	NE	ANO	2				
15	0,0	0,0	0,0	0,0	0	35	0,0	0,0	0,0	0,0	NE	ANO	NE	ANO	NE	ANO	2				
16	0,0	0,0	0,0	0,0	0	36	0,0	0,0	0,0	0,0	NE	ANO	NE	ANO	NE	ANO	2				
17	0,0	0,0	0,0	0,0	0	37	0,0	0,0	0,0	0,0	NE	ANO	NE	ANO	NE	ANO	2				
18	0,0	0,0	0,0	0,0	0	38	0,0	0,0	0,0	0,0	NE	ANO	NE	ANO	NE	ANO	2				
19	0,0	0,0	0,0	0,0	0	39	0,0	0,0	0,0	0,0	NE	ANO	NE	ANO	NE	ANO	2				
20	0,0	0,0	0,0	0,0	0	40	0,0	0,0	0,0	0,0	NE	ANO	NE	ANO	NE	ANO	2				

TAB C- SOURADNICE KRITICKÝCH BODŮ PRŮŘEZU PRO POSUDEK NAPĚTÍ			
1-DL	2-DP	3-HL	4-HP
y ₁	z ₁	y ₂	z ₂
(mm)	(mm)	(mm)	(mm)
0,0	0,0	550,0	0,0
25,0	2860,0	525,0	2860,0
5-SD1	6-SH1	7-SD2	8-SH2
y ₅	z ₅	y ₆	z ₆
(mm)	(mm)	(mm)	(mm)
266,0	40,0	284,0	40,0
266,0	2810,0	284,0	2810,0

LEGENDA 1:
1-DL bod 1- dolní vlákná průřezu, levý okraj
2-DP bod 2- dolní vlákná průřezu, pravý okraj
3-HL bod 3- horní vlákná průřezu, levý okraj
4-HP bod 4- horní vlákná průřezu, pravý okraj
5-SD1 bod 5- dolní vlákná stěny 1
6-SH1 bod 6- horní vlákná stěny 1
7-SD2 bod 7- dolní vlákná stěny 2
8-SH2 bod 8- horní vlákná stěny 2
9-T bod 9- těžiště plného průřezu



LEGENDA 3:
0 ... neobsazeno
1 ... část průřezu
2 ... běžný otvor
3 ... atypický otvor

TAB D PRŮŘEZOVÉ CHARAKTERISTIKY OSLABENÉHO PRŮŘEZU A _{x,ef} , W _{y,ef} a W _{z,ef} V KRITICKÝCH BODECH PRŮŘEZU PRO POSUDEK NAPĚTÍ					
BOD	A _{x,ef} -pro Nx [mm ²]	A _{x,ef} -pro Nx+ [mm ²]	W _{y,ef} -pro My- [mm ³]	W _{y,ef} -pro My+ [mm ³]	W _{z,ef} -pro Mz- [mm ³]
1-DL	9,686E+04	9,686E+04	8,493E+07	8,493E+07	3,916E+06
2-DP	9,686E+04	9,686E+04	8,493E+07	8,493E+07	-3,916E+06
3-HL	9,686E+04	9,686E+04	-8,979E+07	-8,979E+07	4,307E+06
4-HP	9,686E+04	9,686E+04	-8,979E+07	-8,979E+07	-4,307E+06
5-SD1	9,686E+04	9,686E+04	8,730E+07	8,730E+07	1,196E+08
6-SH1	9,686E+04	9,686E+04	8,730E+07	8,730E+07	-1,196E+08
7-SD2	9,686E+04	9,686E+04	-9,314E+07	-9,314E+07	1,196E+08
8-SH2	9,686E+04	9,686E+04	-9,314E+07	-9,314E+07	-1,196E+08
9-T	9,686E+04	9,686E+04	-	-	-

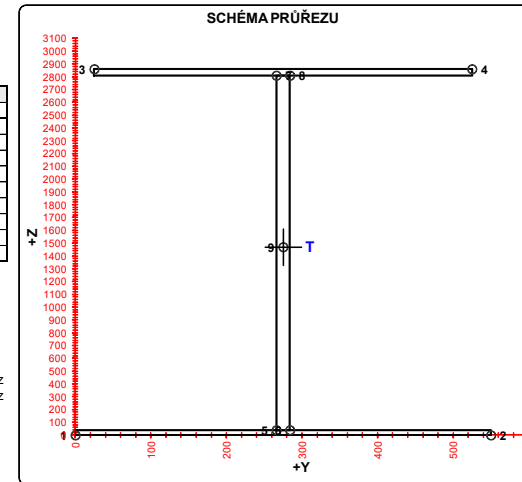
LEGENDA 2:
b rozměr proužku (otvoru) ve směru osy y
h rozměr proužku (otvoru) ve směru osy z
y,z souřadnice těžiště proužku (otvoru)
N_x normálová síla- tlak
N_x normálová síla- tah
M_y svislý ohybový moment- kladný
M_y svislý ohybový moment- záporný
M_z vodorovný ohybový moment- kladný
M_z vodorovný ohybový moment- záporný
y₁,...,y₈ y-ová souřadnice kritických bodů 1,...,8 pro posudek napětí
z₁,...,z₈ z-ová souřadnice kritických bodů 1,...,8 pro posudek napětí
y_t y-ová souřadnice těžiště průřezu
z_t z-ová souřadnice těžiště průřezu
f_y mez kluzu oceli

A_x průřezová plocha- plný průřez
I_y moment setrvačnosti k ose y- plný průřez
I_z moment setrvačnosti k ose z- plný průřez
I_t moment tuhosti průřezu v prostém kroucení
I_o výšeový moment setrvačnosti
S_{y,9} statický moment celého průřezu k těžišťové ose y- plný průřez
S_{y,5-SD1 (7-SD2)} statický moment části průřezu pod bodem 5-SD1 (7-SD2) k těžišťové ose y- plný průřez
S_{y,6-SH1 (8-SH2)} statický moment části průřezu nad bodem 6-SH1 (8-SH2) k těžišťové ose y- plný průřez
W_{y,1..8} svislý průřezový modul průřezu v kritických bodech 1..8- plný průřez
A_{x,ef} průřezová plocha- oslabený průřez
W_{y,1..8,ef} svislý průřezový modul průřezu v kritických bodech 1..8- oslabený průřez
W_{z,1..8,ef} vodorovný průřezový modul průřezu v kritických bodech 1..8- oslabený průřez
H výška celého průřezu
H_w výška stěny průřezu
A_{vz} plocha stěny ve smyku od Vz

TAB E	t _w	f _y	f _u
BOD	(mm)	(MPa)	(MPa)
1-DL	-	213,6	327,1
2-DP	-	213,6	327,1
3-HL	-	213,6	327,1
4-HP	-	213,6	327,1
5-SD1	18,0	213,6	327,1
6-SH1	18,0	213,6	327,1
7-SD2	18,0	213,6	327,1
8-SH2	18,0	213,6	327,1
9-T	18,0	213,6	327,1

H = 2860,0 mm
H_w = 2770,0 mm
A_{vz} = 49860,0 mm²

TAB B VÝSLEDNÉ PRŮŘEZOVÉ CHARAKTERISTIKY- PLNÝ PRŮŘEZ						
část	b	h	y	z	poznámka	
Č.	(mm)	(mm)	(mm)	(mm)	legenda 3	
1	500,0	50,0	275,0	2835,0	0	
2	18,0	2770,0	275,0	1425,0	0	
3	550,0	40,0	275,0	20,0	0	
4	0,0	0,0	0,0	0,0	0	
5	0,0	0,0	0,0	0,0	0	
6	0,0	0,0	0,0	0,0	0	
7	0,0	0,0	0,0	0,0	0	
8	0,0	0,0	0,0	0,0	0	
9	0,0	0,0	0,0	0,0	0	
10	0,0	0,0	0,0	0,0	0	
11	0,0	0,0	0,0	0,0	0	
12	0,0	0,0	0,0	0,0	0	
13	0,0	0,0	0,0	0,0	0	
14	0,0	0,0	0,0	0,0	0	
15	0,0	0,0	0,0	0,0	0	
16	0,0	0,0	0,0	0,0	0	
17	0,0	0,0	0,0	0,0	0	
18	0,0	0,0	0,0	0,0	0	
19	0,0	0,0	0,0	0,0	0	
20	0,0	0,0	0,0	0,0	0	
y _t = 275,0 mm S _{x,9} = 3,190E+07 mm ³						
z _t = 1469,8 mm S _{y,9} = 3,190E+07 mm ³						
A _x = 9,686E+04 mm ² S _{x,7-SD2} = 3,413E+07 mm ³						
I _y = 1,248E+11 mm ⁴ S _{y,6-SH2} = 3,413E+07 mm ³						
I _z = 1,077E+09 mm ⁴ I _o = 3,795E+07 mm ⁴						
S _{x,1..7} = 5,029E+07 mm ³ I _o = 0,000E+00 mm ⁴						
W _{y,1-DL} = 8,493E+07 mm ³ W _{y,1-DL} = 3,916E+06 mm ³						
W _{y,2-DP} = 8,493E+07 mm ³ W _{y,2-DP} = -3,916E+06 mm ³						
W _{y,3-HL} = -8,979E+07 mm ³ W _{y,3-HL} = 4,307E+06 mm ³						
W _{y,4-HP} = -8,979E+07 mm ³ W _{y,4-HP} = -4,307E+06 mm ³						
W _{y,5-SD1} = 8,730E+07 mm ³ W _{y,5-SD1} = 1,196E+08 mm ³						
W _{y,6-SH1} = 8,730E+07 mm ³ W _{y,6-SH1} = -1,196E+08 mm ³						
W _{y,7-SD2} = -9,314E+07 mm ³ W _{y,7-SD2} = 1,196E+08 mm ³						
W _{y,8-SH2} = -9,314E+07 mm ³ W _{y,8-SH2} = -1,196E+08 mm ³						



TAB 1 6

POSUDEK:	6	PRŮŘEZ:	HN_05
OZNAČENÍ:	HN 05	POPIS:	HLAVNÍ NOSNÍK 5

PRUT	X[m]
i	i

SOUČINITEL KOROZE $k = 1,00$

TAB A						PLYN PRŮŘEZ, ATYPICKÉ OTVORY					BEŽNÉ OTVORY PRO ŠROUBY ČI NYTY					OSLABENÍ PRŮŘEZU PRO NAMAHANÍ VNITŘNÍ SILOU						
Část	b	h	y	z	otvor	b	h	y	z	Nx-	Nx+	My-	My+	Mz-	Mz+	poznámka						
č.	[mm]	[mm]	[mm]	[mm]	č.	[mm]	[mm]	[mm]	[mm]	[-]	[+]	[-]	[+]	[-]	[+]	legenda 3						
1	500,0	40,0	299,9	2840,0	21	0,0	0,0	0,0	0,0	NE	ANO	NE	ANO	NE	ANO	2						
2	18,0	2770,0	299,9	1435,0	22	0,0	0,0	0,0	0,0	NE	ANO	NE	ANO	NE	ANO	2						
3	599,9	50,0	300,0	25,0	23	0,0	0,0	0,0	0,0	NE	ANO	NE	ANO	NE	ANO	2						
4	0,0	0,0	0,0	0,0	24	0,0	0,0	0,0	0,0	NE	ANO	NE	ANO	NE	ANO	2						
5	0,0	0,0	0,0	0,0	25	0,0	0,0	0,0	0,0	NE	ANO	NE	ANO	NE	ANO	2						
6	0,0	0,0	0,0	0,0	26	0,0	0,0	0,0	0,0	NE	ANO	NE	ANO	NE	ANO	2						
7	0,0	0,0	0,0	0,0	27	0,0	0,0	0,0	0,0	NE	ANO	NE	ANO	NE	ANO	2						
8	0,0	0,0	0,0	0,0	28	0,0	0,0	0,0	0,0	NE	ANO	NE	ANO	NE	ANO	2						
9	0,0	0,0	0,0	0,0	29	0,0	0,0	0,0	0,0	NE	ANO	NE	ANO	NE	ANO	2						
10	0,0	0,0	0,0	0,0	30	0,0	0,0	0,0	0,0	NE	ANO	NE	ANO	NE	ANO	2						
11	0,0	0,0	0,0	0,0	31	0,0	0,0	0,0	0,0	NE	ANO	NE	ANO	NE	ANO	2						
12	0,0	0,0	0,0	0,0	32	0,0	0,0	0,0	0,0	NE	ANO	NE	ANO	NE	ANO	2						
13	0,0	0,0	0,0	0,0	33	0,0	0,0	0,0	0,0	NE	ANO	NE	ANO	NE	ANO	2						
14	0,0	0,0	0,0	0,0	34	0,0	0,0	0,0	0,0	NE	ANO	NE	ANO	NE	ANO	2						
15	0,0	0,0	0,0	0,0	35	0,0	0,0	0,0	0,0	NE	ANO	NE	ANO	NE	ANO	2						
16	0,0	0,0	0,0	0,0	36	0,0	0,0	0,0	0,0	NE	ANO	NE	ANO	NE	ANO	2						
17	0,0	0,0	0,0	0,0	37	0,0	0,0	0,0	0,0	NE	ANO	NE	ANO	NE	ANO	2						
18	0,0	0,0	0,0	0,0	38	0,0	0,0	0,0	0,0	NE	ANO	NE	ANO	NE	ANO	2						
19	0,0	0,0	0,0	0,0	39	0,0	0,0	0,0	0,0	NE	ANO	NE	ANO	NE	ANO	2						
20	0,0	0,0	0,0	0,0	40	0,0	0,0	0,0	0,0	NE	ANO	NE	ANO	NE	ANO	2						

TAB. C - SOUHRNNICE KRITICKÝCH BODŮ PRŮZEU PRO POSUDEK NAPĚTÍ							
1-DL		2-DP		3-HL		4-HP	
y_1 (mm)	z_1 (mm)	y_2 (mm)	z_2 (mm)	y_3 (mm)	z_3 (mm)	y_4 (mm)	z_4 (mm)
0.0	0.0	599.9	0.0	49.9	2860.0	549.9	2860.0
5-SD1		6-SH1		7-SD2		8-SH2	
y_5 (mm)	z_5 (mm)	y_6 (mm)	z_6 (mm)	y_7 (mm)	z_7 (mm)	y_8 (mm)	z_8 (mm)
290.9	50.0	308.9	50.0	280.9	2820.0	308.9	2820.0

LEGENDA 1:

1-DL	bod 1- dolní vlákná průřezu, levý okraj
2-DP	bod 2- dolní vlákná průřezu, pravý okraj
3-HL	bod 3- horní vlákná průřezu, levý okraj
4-HP	bod 4- horní vlákná průřezu, pravý okraj
5-SD1	bod 5- dolní vlákná stěny 1
6-SH1	bod 6- horní vlákná stěny 1
7-SD2	bod 7- dolní vlákná stěny 2
8-SH2	bod 8- horní vlákná stěny 2
9-T	bod 9- těžiště plného průřezu

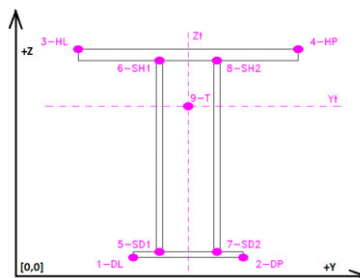
TAB. 4		PRŮŘEZOVÉ CHARAKTERISTIKY OSLABĚNÉHO PRŮŘEŽU A_{red} , W_{red} a W_{red} V KRITICKÝCH BODECH PRŮŘEŽU PRO POSUDEK NAPĚTÍ					
BOD	Ax. ef. pro N_z [mm ²]	Ax. ef. pro N_z [mm ²]	Wy. ef. pro M_z [mm ³]	Wy. ef. pro M_z [mm ³]	Wz. ef. pro M_z [mm ³]	Wz. ef. pro M_z [mm ³]	
1-DL	9.986E+04	9.986E+04	9.977E+07	9.977E+07	4.393E+06	4.393E+06	
2-DP	9.986E+04	9.986E+04	9.977E+07	9.977E+07	-4.393E+06	-4.393E+06	
3-HL	9.986E+04	9.986E+04	-8.231E+07	-8.231E+07	5.271E+06	5.271E+06	
4-HP	9.986E+04	9.986E+04	-8.231E+07	-8.231E+07	-5.271E+06	-5.271E+06	
5-SD1	9.986E+04	9.986E+04	1.038E+08	1.038E+08	1.463E+08	1.463E+08	
6-SH1	9.986E+04	9.986E+04	1.038E+08	1.038E+08	-1.465E+08	-1.465E+08	
7-SD2	9.986E+04	9.986E+04	-8.446E+07	-8.446E+07	1.463E+08	1.463E+08	
8-SH2	9.986E+04	9.986E+04	-8.446E+07	-8.446E+07	-1.465E+08	-1.465E+08	
9-LT	9.986E+04	9.986E+04					

LEGENDA 2:

b	rozměr proužku (otvoru) ve směru osy y
h	rozměr proužku (otvoru) ve směru osy z
y,z	souřadnice těžiště proužku (otvoru)
N _n	normálová síla- tlak
N _t	normálová síla- tah
M _{xy}	svislý ohybový moment- kladný
M _{yz}	svislý ohybový moment- záporný
M _{xx}	vodorovný ohybový moment- kladný
M _{zz}	vodorovný ohybový moment- záporný
y1,...,y8	y-ová souřadnice kritických bodů 1,...,8 pro posudek napětí
z1,...,z8	z-ová souřadnice kritických bodů 1,...,8 pro posudek napětí
y _i	y-ová souřadnice těžiště průřezu
z _i	z-ová souřadnice těžiště průřezu
k _v	mez kluzu oceli

A_x	průřezová plocha- plný průřez	$H =$	2860,0 mm
I_y	moment setrvačnosti k ose y- plný průřez	$H_w =$	2770,0 mm ⁴
I_z	moment setrvačnosti k ose z- plný průřez	$A_{vz} =$	49860,0 mm ²
I_x	moment tuhosti průřezu v prostém kroucení		
I_{y_0}	výšeový moment setrvačnosti		
S_{y_0}	statický moment celého průřezu k těžištové ose y- plný průřez		
$S_{y,5SD1}$ (7-SD2)	statický moment části průřezu pod bodem 5-SD1 (7-SD2) k těžištové ose y- plný průřez		
$S_{y,6SH1}$ (8-SH2)	statický moment části průřezu nad bodem 6-SH1 (7-SH2) k těžištové ose y- plný průřez		
$W_{y1,8-0}$	svislý průřezový modul průřezu v kritických bodech 1.8- plný průřez		
A_{x0}	průřezová plocha- oslabený průřez		
$W_{y1,8-0}$	svislý průřezový modul průřezu v kritických bodech 1.8- oslabený průřez		
$W_{z1,8-0}$	vodorovný průřezový modul průřezu v kritických bodech 1.8- oslabený průřez		
I_{x0}	moment celého průřezu		
H_u	výška stěny průřezu		
A_{vz}	plocha stěny ve smyku od Vz		

OBEČNĚ SCHÉMA PRŮŘEZU

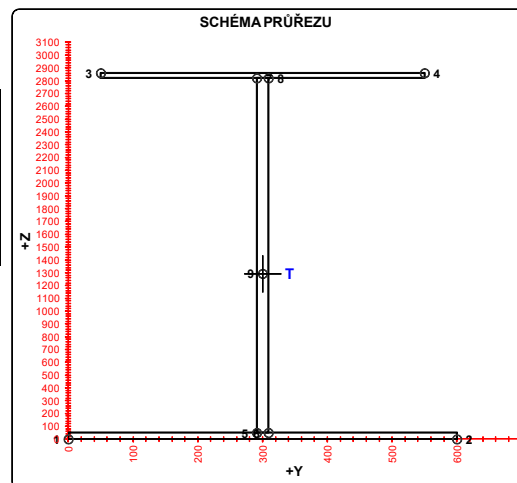


LEGENDA 3:

0 ... neobsazeno
1 ... část průřezu
2 ... běžný otvor
3 ... atypický otvor

TAB. B		VÝSLEDNÉ PRŮŘEZOVÉ CHARAKTERISTIKY - PLYN PRŮŘEZ			
čísť	b [mm]	h [mm]	y [mm]	z [mm]	2 poznámka legenda 3
1	500,0	40,0	299,9	2840,0	0
2	18,0	2770,0	299,9	1435,0	0
3	599,9	50,0	300,0	25,0	0
4	0,0	0,0	0,0	0,0	0
5	0,0	0,0	0,0	0,0	0
6	0,0	0,0	0,0	0,0	0
7	0,0	0,0	0,0	0,0	0
8	0,0	0,0	0,0	0,0	0
9	0,0	0,0	0,0	0,0	0
10	0,0	0,0	0,0	0,0	0
11	0,0	0,0	0,0	0,0	0
12	0,0	0,0	0,0	0,0	0
13	0,0	0,0	0,0	0,0	0
14	0,0	0,0	0,0	0,0	0
15	0,0	0,0	0,0	0,0	0
16	0,0	0,0	0,0	0,0	0
17	0,0	0,0	0,0	0,0	0
18	0,0	0,0	0,0	0,0	0
19	0,0	0,0	0,0	0,0	0
20	0,0	0,0	0,0	0,0	0
y ₁ = 300,0 mm			S _{y, 5.501} = 3.803E+07 mm ⁴		
z ₁ = 1292,8 mm			S _{y, 5.501H} = 3.803E+07 mm ⁴		
A ₁ = 9,986E+04 mm ²			S _{y, 7.502} = 3.094E+07 mm ⁴		
I ₁ = 1,290E+11 mm ⁴			S _{y, 7.502H} = 3.094E+07 mm ⁴		
I ₂ = 1,318E+09 mm ⁴			I ₂ = 4.105E+07 mm ⁴		
S _{y, 2.1} = 5,193E+07 mm ⁴			I _{2c} = 0.000E+00 mm ⁴		
W _{y, 1.0L} = 9,977E+07 mm ³			W _{y, 2.1.0L} = 4,393E+06 mm ³		
W _{y, 2.0P} = 9,977E+07 mm ³			W _{y, 2.1.0P} = -4,393E+06 mm ³		
W _{y, 3.HL} = -8,231E+07 mm ³			W _{y, 2.1.HL} = 5,271E+06 mm ³		
W _{y, 4.HP} = -8,231E+07 mm ³			W _{y, 2.4.HP} = -5,271E+06 mm ³		
W _{x, 4.S01} = 1,038E+08 mm ³			W _{x, 5.S01} = 1,463E+08 mm ³		
W _{x, 5.S01H} = 1,038E+08 mm ³			W _{x, 6.S01} = -1,465E+08 mm ³		
W _{x, 7.S01} = -8,446E+07 mm ³			W _{x, 7.S02} = 1,463E+08 mm ³		
W _{x, 8} = -8,446E+07 mm ³			W _{x, 9} = -1,465E+08 mm ³		

SCHÉMA PRŮŘEZU



TAB 17 ZÁKLADNÍ PRŮŘEZOVÉ CHARAKTERISTIKY

POSUDEK: 7 **PRŮŘEZ:** HN_06
OZNAČENÍ: HN_06 **POPIS:** HLAVNÍ NOSNÍK 6

PRUT	X[m]
i	j

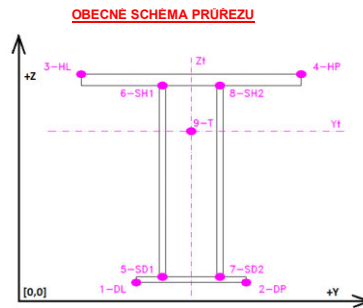
SOUČINITEL KOROZE $k = 1,00$

TAB A							TAB B							TAB C							TAB D						
PLNÝ PRŮŘEZ , ATYPICKÉ OTVORY							BEŽNÉ OTVORY PRO ŠROUBY CI NYTY							OSLABENÍ PRŮŘEZU PRO NAMAHI VNIŘNÍ SILOU													
Část	b	h	y	z	poznámka	otvor	b	h	y	z	Nx-	Nx+	My-	My+	Mz-	Mz+	poznámka										
č.	[mm]	[mm]	[mm]	[mm]	legenda 3	č.	[mm]	[mm]	[mm]	[mm]	[-]	[-]	[-]	[-]	[-]	[-]	legenda 3										
1	500,0	40,0	324,9	2840,0	0	21	0,0	0,0	0,0	0,0	NE	ANO	NE	ANO	NE	ANO	2										
2	18,0	2770,0	324,9	1435,0	0	22	0,0	0,0	0,0	0,0	NE	ANO	NE	ANO	NE	ANO	2										
3	649,9	50,0	325,0	25,0	0	23	0,0	0,0	0,0	0,0	NE	ANO	NE	ANO	NE	ANO	2										
4	0,0	0,0	0,0	0,0	0	24	0,0	0,0	0,0	0,0	NE	ANO	NE	ANO	NE	ANO	2										
5	0,0	0,0	0,0	0,0	0	25	0,0	0,0	0,0	0,0	NE	ANO	NE	ANO	NE	ANO	2										
6	0,0	0,0	0,0	0,0	0	26	0,0	0,0	0,0	0,0	NE	ANO	NE	ANO	NE	ANO	2										
7	0,0	0,0	0,0	0,0	0	27	0,0	0,0	0,0	0,0	NE	ANO	NE	ANO	NE	ANO	2										
8	0,0	0,0	0,0	0,0	0	28	0,0	0,0	0,0	0,0	NE	ANO	NE	ANO	NE	ANO	2										
9	0,0	0,0	0,0	0,0	0	29	0,0	0,0	0,0	0,0	NE	ANO	NE	ANO	NE	ANO	2										
10	0,0	0,0	0,0	0,0	0	30	0,0	0,0	0,0	0,0	NE	ANO	NE	ANO	NE	ANO	2										
11	0,0	0,0	0,0	0,0	0	31	0,0	0,0	0,0	0,0	NE	ANO	NE	ANO	NE	ANO	2										
12	0,0	0,0	0,0	0,0	0	32	0,0	0,0	0,0	0,0	NE	ANO	NE	ANO	NE	ANO	2										
13	0,0	0,0	0,0	0,0	0	33	0,0	0,0	0,0	0,0	NE	ANO	NE	ANO	NE	ANO	2										
14	0,0	0,0	0,0	0,0	0	34	0,0	0,0	0,0	0,0	NE	ANO	NE	ANO	NE	ANO	2										
15	0,0	0,0	0,0	0,0	0	35	0,0	0,0	0,0	0,0	NE	ANO	NE	ANO	NE	ANO	2										
16	0,0	0,0	0,0	0,0	0	36	0,0	0,0	0,0	0,0	NE	ANO	NE	ANO	NE	ANO	2										
17	0,0	0,0	0,0	0,0	0	37	0,0	0,0	0,0	0,0	NE	ANO	NE	ANO	NE	ANO	2										
18	0,0	0,0	0,0	0,0	0	38	0,0	0,0	0,0	0,0	NE	ANO	NE	ANO	NE	ANO	2										
19	0,0	0,0	0,0	0,0	0	39	0,0	0,0	0,0	0,0	NE	ANO	NE	ANO	NE	ANO	2										
20	0,0	0,0	0,0	0,0	0	40	0,0	0,0	0,0	0,0	NE	ANO	NE	ANO	NE	ANO	2										

TAB. C - SOURADNICE KRITICKÝCH BODŮ PRŮZRUČNÉHO PROSUDEKŮ NAPĚTÍ							
1-DL		2-DP		3-HL		4-HP	
y_1 (mm)	z_1 (mm)	y_2 (mm)	z_2 (mm)	y_3 (mm)	z_3 (mm)	y_4 (mm)	z_4 (mm)
0,0	0,0	649,9	0,0	74,9	2860,0	574,9	2860,0
5-SD1		6-SH1		7-SD2		8-SH2	
y_5 (mm)	z_5 (mm)	y_6 (mm)	z_6 (mm)	y_7 (mm)	z_7 (mm)	y_8 (mm)	z_8 (mm)
315,9	90,0	333,9	50,0	315,9	2820,0	333,9	2820,0

LEGENDA 1:

1-DL	bod 1- dolní vlákna průřezu, levý okraj
2-DP	bod 2- dolní vlákna průřezu, pravý okraj
3-HL	bod 3- horní vlákna průřezu, levý okraj
4-HP	bod 4- horní vlákna průřezu, pravý okraj
5-SD1	bod 5- dolní vlákna stěny 1
6-SH1	bod 6- horní vlákna stěny 1
7-SD2	bod 7- dolní vlákna stěny 2
8-SH2	bod 8- horní vlákna stěny 2
9-T	bod 9- těžiště plného průřezu



LEGENDA 3:

0 ... neobsazeno

1 ... část průřezu

2 ... běžný otvor

3 ... atypický otvor

PRŮŘEZOVÉ CHARAKTERISTIKY OSLABENÉHO PRŮŘEZU $A_{\text{pr.}} W_{\text{pr.}}$ a $W_{\text{pr.}}$ V KRITICKÝCH BODECH PRŮŘEZU PRO POSUDEK NAPĚTÍ							
BOD	Ax. ef. pro Nx [mm ²]	Ax. ef. pro Nx [mm ²]	Wy. ef. pro My [mm ³]	Wy. ef. pro My [mm ³]	Wz. ef. pro Mz [mm ³]	Wz. ef. pro Mz [mm ³]	Wz. ef. pro Mz [mm ³]
1-DL	1,024E+05	1,024E+05	1,053E+08	1,053E+08	4,807E+06	4,807E+06	4,807E+06
2-DP	1,024E+05	1,024E+05	1,053E+08	1,053E+08	-4,806E+06	-4,806E+06	-4,806E+06
3-HL	1,024E+05	1,024E+05	-8,317E+07	-8,317E+07	6,248E+06	6,248E+06	6,248E+06
4-HP	1,024E+05	1,024E+05	-8,317E+07	-8,317E+07	-6,248E+06	-6,248E+06	-6,248E+06
5-SD1	1,024E+05	1,024E+05	1,097E+08	1,097E+08	1,734E+08	1,734E+08	1,734E+08
6-SH1	1,024E+05	1,024E+05	1,097E+08	1,097E+08	-1,737E+08	-1,737E+08	-1,737E+08
7-SD2	1,024E+05	1,024E+05	-8,330E+07	-8,330E+07	1,734E+08	1,734E+08	1,734E+08
8-SH2	1,024E+05	1,024E+05	-8,330E+07	-8,330E+07	-1,737E+08	-1,737E+08	-1,737E+08
9-T	1,024E+05	1,024E+05	-	-	-	-	-

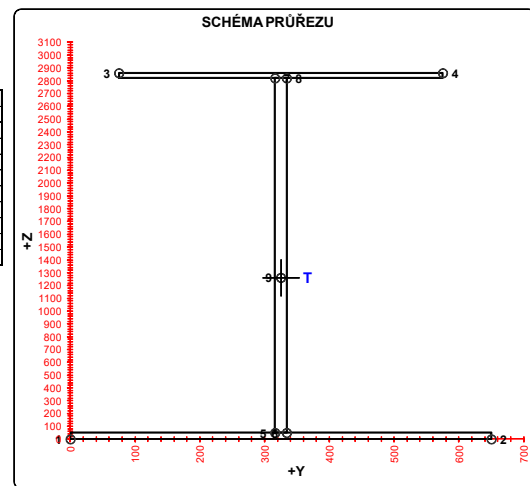
LEGENDA 2:

b	rozměr proužku (otvoru) ve směru osy y
h	rozměr proužku (otvoru) ve směru osy z
y,z	souřadnice těžiště proužku (otvoru)
N _n	normálová síla- tlak
N _u	normálová síla- tah
M _{y+}	svislý ohybový moment- kladný
M _{y-}	svislý ohybový moment- záporný
M _{z+}	vodorovný ohybový moment- kladný
M _{z-}	vodorovný ohybový moment- záporný
y1,...,y8	y-ová souřadnice kritických bodů 1,...,8 pro posudek napětí
z1,...,z8	z-ová souřadnice kritických bodů 1,...,8 pro posudek napětí
y _i	y-ová souřadnice těžiště průřezu
z _i	z-ová souřadnice těžiště průřezu
f _y	mez kluzu oceli

TAB E	t_w	f_f	f_u
BOD	[mm]	[MPa]	[MPa]
1-DL	-	213,6	327,1
2-DP	-	213,6	327,1
3-HL	-	213,6	327,1
4-HP	-	213,6	327,1
5-SD1	18,0	213,6	327,1
6-SH1	18,0	213,6	327,1
7-SD2	18,0	213,6	327,1
8-SH2	18,0	213,6	327,1
9-T	18,0	213,6	327,1

A_x	průřezová plocha- plný průřez	$H =$	2860,0 mm
I_y	moment setrvačnosti k ose y- plný průřez	$H_w =$	2770,0 mm ⁴
I_z	moment setrvačnosti k ose z- plný průřez	$A_{vz} =$	49860,0 mm ²
I_t	moment tuhosti průřezu v prostém kroucení		
$S_{y,9}$	výškový moment setrvačnosti		
$S_{y,9-SD1}$ (7-SD2)	statický moment celého průřezu k těžišové ose y- plný průřez		
$S_{y,9-6SH1}$ (8-SH2)	statický moment části průřezu nad bodem 6-SH1 (8-SH2) k těžišové ose y- plný průřez		
$W_{y1,1.8}$	vislý průřezový modul průřezu v kritických bodech 1.8- plný průřez		
$A_{x,ef}$	průřezová plocha- oslabený průřez		
$W_{y1,1.8,ef}$	vislý průřezový modul průřezu v kritických bodech 1.8- oslabený průřez		
$W_{z1,1.8,ef}$	vodorovný průřezový modul průřezu v kritických bodech 1.8- oslabený průřez		
H	výška celého průřezu		
H_w	výška stěny průřezu		
A_{vz}	plocha stěny ve smyku od Vz		

TAB. B		VÝSLEDNÉ PRŮŘEZOVÉ CHARAKTERISTIKY - PLYN PRŮŘEZ			
číslo	b	h	y	z	poznámka
část	[mm]	[mm]	[mm]	[mm]	legenda 3
1	500,0	40,0	324,9	2840,0	0
2	18,0	2770,0	324,9	1435,0	0
3	649,9	50,0	325,0	25,0	0
4	0,0	0,0	0,0	0,0	0
5	0,0	0,0	0,0	0,0	0
6	0,0	0,0	0,0	0,0	0
7	0,0	0,0	0,0	0,0	0
8	0,0	0,0	0,0	0,0	0
9	0,0	0,0	0,0	0,0	0
10	0,0	0,0	0,0	0,0	0
11	0,0	0,0	0,0	0,0	0
12	0,0	0,0	0,0	0,0	0
13	0,0	0,0	0,0	0,0	0
14	0,0	0,0	0,0	0,0	0
15	0,0	0,0	0,0	0,0	0
16	0,0	0,0	0,0	0,0	0
17	0,0	0,0	0,0	0,0	0
18	0,0	0,0	0,0	0,0	0
19	0,0	0,0	0,0	0,0	0
20	0,0	0,0	0,0	0,0	0
y₁	325,0 mm		S_{1,300}	4,020E+07 mm³	
z₁	1261,9 mm		S_{1,301}	4,020E+07 mm³	
A₁	1,024E+05 mm²		S_{1,700}	3,156E+07 mm³	
I_y	1,329E+11 mm⁴		S_{1,800}	3,156E+07 mm³	
I_x	1,562E+09 mm⁴		I_z	4,313E+07 mm⁴	
S_{1,200}	5,341E+07 mm³		I_{xy}	0,000E+00 mm⁴	
W_{1,100}	1,053E+08 mm³		W_{1,100}	4,807E+06 mm³	
W_{1,200}	1,053E+08 mm³		W_{1,200}	-4,806E+06 mm³	
W_{1,300}	-8,317E+07 mm³		W_{1,300}	6,248E+06 mm³	
W_{1,400}	-8,317E+07 mm³		W_{1,400}	-6,248E+06 mm³	
W_{1,500}	1,097E+08 mm³		W_{1,500}	1,734E+08 mm³	
W_{1,600}	1,097E+08 mm³		W_{1,600}	-1,737E+08 mm³	
W_{1,700}	-8,530E+07 mm³		W_{1,700}	1,734E+08 mm³	
W_{1,800}	-8,530E+07 mm³		W_{1,800}	-1,737E+08 mm³	



TAB 1 8 ZÁKLADNÍ PRŮŘEZOVÉ CHARAKTERISTIKY

POSUDEK: 8
OZNAČENÍ: P_1

PRŮŘEZ: P_1
POPIS: PŘÍČNÍK 1

PRUT i
X[m] j

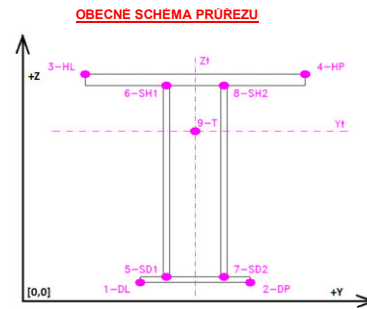
SOUČINITELE KOROZE k = 1,00

TAB A							PLNÝ PRŮŘEZ, ATYPICKÉ OTVORY							BÉŽNÉ OTVORY PRO ŠROUBY ČI NYTY							OSLABENÍ PRŮŘEZU PRO NAMAHÁNÍ VNITŘNÍ SILOU						
část	b	h	y	z	poznámka	otvor	b	h	y	z	Nx-	Nx+	My-	My+	Mz-	Mz+	poznámka										
č.	(mm)	(mm)	(mm)	(mm)	legenda 3	č.	(mm)	(mm)	(mm)	(mm)	(-)	(+)	(-)	(+)	(-)	(+)	legenda 2										
1	200,0	12,0	100,0	794,0	0	21	0,0	0,0	0,0	0,0	NE	ANO	NE	ANO	NE	ANO	2										
2	8,0	776,0	100,0	400,0	0	22	0,0	0,0	0,0	0,0	NE	ANO	NE	ANO	NE	ANO	2										
3	200,0	12,0	100,0	6,0	0	23	0,0	0,0	0,0	0,0	NE	ANO	NE	ANO	NE	ANO	2										
4	0,0	0,0	0,0	0,0	0	24	0,0	0,0	0,0	0,0	NE	ANO	NE	ANO	NE	ANO	2										
5	0,0	0,0	0,0	0,0	0	25	0,0	0,0	0,0	0,0	NE	ANO	NE	ANO	NE	ANO	2										
6	0,0	0,0	0,0	0,0	0	26	0,0	0,0	0,0	0,0	NE	ANO	NE	ANO	NE	ANO	2										
7	0,0	0,0	0,0	0,0	0	27	0,0	0,0	0,0	0,0	NE	ANO	NE	ANO	NE	ANO	2										
8	0,0	0,0	0,0	0,0	0	28	0,0	0,0	0,0	0,0	NE	ANO	NE	ANO	NE	ANO	2										
9	0,0	0,0	0,0	0,0	0	29	0,0	0,0	0,0	0,0	NE	ANO	NE	ANO	NE	ANO	2										
10	0,0	0,0	0,0	0,0	0	30	0,0	0,0	0,0	0,0	NE	ANO	NE	ANO	NE	ANO	2										
11	0,0	0,0	0,0	0,0	0	31	0,0	0,0	0,0	0,0	NE	ANO	NE	ANO	NE	ANO	2										
12	0,0	0,0	0,0	0,0	0	32	0,0	0,0	0,0	0,0	NE	ANO	NE	ANO	NE	ANO	2										
13	0,0	0,0	0,0	0,0	0	33	0,0	0,0	0,0	0,0	NE	ANO	NE	ANO	NE	ANO	2										
14	0,0	0,0	0,0	0,0	0	34	0,0	0,0	0,0	0,0	NE	ANO	NE	ANO	NE	ANO	2										
15	0,0	0,0	0,0	0,0	0	35	0,0	0,0	0,0	0,0	NE	ANO	NE	ANO	NE	ANO	2										
16	0,0	0,0	0,0	0,0	0	36	0,0	0,0	0,0	0,0	NE	ANO	NE	ANO	NE	ANO	2										
17	0,0	0,0	0,0	0,0	0	37	0,0	0,0	0,0	0,0	NE	ANO	NE	ANO	NE	ANO	2										
18	0,0	0,0	0,0	0,0	0	38	0,0	0,0	0,0	0,0	NE	ANO	NE	ANO	NE	ANO	2										
19	0,0	0,0	0,0	0,0	0	39	0,0	0,0	0,0	0,0	NE	ANO	NE	ANO	NE	ANO	2										
20	0,0	0,0	0,0	0,0	0	40	0,0	0,0	0,0	0,0	NE	ANO	NE	ANO	NE	ANO	2										

TAB C-SOURADNICE KRITICKÝCH BODŮ PRŮŘEZU PRO POSUDEK NAPĚTÍ							
1-DL	2-DP	3-HL	4-HP	5-SD1	6-SH1	7-SD2	8-SH2
y ₁	z ₁	y ₂	z ₂	y ₃	z ₃	y ₄	z ₄
(mm)	(mm)	(mm)	(mm)	(mm)	(mm)	(mm)	(mm)
0,0	0,0	200,0	0,0	0,0	800,0	200,0	800,0
y ₅	z ₅	y ₆	z ₆	y ₇	z ₇	y ₈	z ₈
(mm)	(mm)	(mm)	(mm)	(mm)	(mm)	(mm)	(mm)
96,0	12,0	104,0	12,0	96,0	788,0	104,0	788,0

LEGENDA 1:

- 1-DL bod 1- dolní vlákna průřezu, levý okraj
- 2-DP bod 2- dolní vlákna průřezu, pravý okraj
- 3-HL bod 3- horní vlákna průřezu, levý okraj
- 4-HP bod 4- horní vlákna průřezu, pravý okraj
- 5-SD1 bod 5- dolní vlákna stěny 1
- 6-SH1 bod 6- horní vlákna stěny 1
- 7-SD2 bod 7- dolní vlákna stěny 2
- 8-SH2 bod 8- horní vlákna stěny 2
- 9-T bod 9- těžiště plného průřezu



LEGENDA 3:

- 0 ... neobsazeno
- 1 ... část průřezu
- 2 ... běžný otvor
- 3 ... atypický otvor

TAB D PRŮŘEZOVÉ CHARAKTERISTIKY OSLABENÉHO PRŮŘEZU A _{x,ef} , W _{y,ef} a W _{z,ef} V KRITICKÝCH BODECH PRŮŘEZU PRO POSUDEK NAPĚTÍ							
BOD	A _{x,ef} -pro Nx+ [mm ²]	A _{x,ef} -pro Nx- [mm ²]	W _{y,ef} -pro My+ [mm ³]	W _{y,ef} -pro My- [mm ³]	W _{z,ef} -pro Mz+ [mm ³]	W _{z,ef} -pro Mz- [mm ³]	
1-DL	1,101E+04	1,101E+04	2,642E+06	2,642E+06	1,603E+05	1,603E+05	
2-DP	1,101E+04	1,101E+04	2,642E+06	2,642E+06	-1,603E+05	-1,603E+05	
3-HL	1,101E+04	1,101E+04	-2,642E+06	-2,642E+06	1,603E+05	1,603E+05	
4-HP	1,101E+04	1,101E+04	-2,642E+06	-2,642E+06	-1,603E+05	-1,603E+05	
5-SD1	1,101E+04	1,101E+04	2,723E+06	2,723E+06	4,008E+06	4,008E+06	
6-SH1	1,101E+04	1,101E+04	2,723E+06	2,723E+06	-4,008E+06	-4,008E+06	
7-SD2	1,101E+04	1,101E+04	-2,723E+06	-2,723E+06	4,008E+06	4,008E+06	
8-SH2	1,101E+04	1,101E+04	-2,723E+06	-2,723E+06	-4,008E+06	-4,008E+06	
9-T	1,101E+04	1,101E+04	-	-	-	-	

LEGENDA 2:

- b rozměr proužku (otvoru) ve směru osy y
- h rozměr proužku (otvoru) ve směru osy z
- y,z souřadnice těžiště proužku (otvoru)
- N_x normálová síla- tlak
- N_x normálová síla- tah
- M_y svislý ohybový moment- kladný
- M_y svislý ohybový moment- záporný
- M_z vodorovný ohybový moment- kladný
- M_z vodorovný ohybový moment- záporný
- y₁,...,y₈ y-ová souřadnice kritických bodů 1,...,8 pro posudek napětí
- z₁,...,z₈ z-ová souřadnice kritických bodů 1,...,8 pro posudek napětí
- y_t y-ová souřadnice těžiště průřezu
- z_t z-ová souřadnice těžiště průřezu
- f_y mez kluzu oceli

- A_x průřezová plocha- plný průřez
- I_y moment setrvačnosti k ose y- plný průřez
- I_z moment setrvačnosti k ose z- plný průřez
- I_x moment tuhosti průřezu v prostém kroucení
- I_{xy} výseřový moment setrvačnosti
- S_{y,9} statický moment celého průřezu k těžišťové ose y- plný průřez
- S_{y,5-SD1 (7-SD2)} statický moment části průřezu pod bodem 5-SD1 (7-SD2) k těžišťové ose y- plný průřez
- S_{y,6-SH1 (8-SH2)} statický moment části průřezu nad bodem 6-SH1 (8-SH2) k těžišťové ose y- plný průřez
- W_{y,1..8} svislý průřezový modul průřezu v kritických bodech 1..8- plný průřez
- A_{x,ef} průřezová plocha- oslabený průřez
- W_{y,1..8,ef} svislý průřezový modul průřezu v kritických bodech 1..8- oslabený průřez
- W_{z,1..8,ef} vodorovný průřezový modul průřezu v kritických bodech 1..8- oslabený průřez
- H výška celého průřezu
- h výška stěny průřezu
- A_{yz} plocha stěny ve smyku od Vz

TAB E	t _w	f _y	f _{yk}
BOD	(mm)	(MPa)	(MPa)
1-DL	-	213,6	327,1
2-DP	-	213,6	327,1
3-HL	-	213,6	327,1
4-HP	-	213,6	327,1
5-SD1	8,0	213,6	327,1
6-SH1	8,0	213,6	327,1
7-SD2	8,0	213,6	327,1
8-SH2	8,0	213,6	327,1
9-T	8,0	213,6	327,1

H = 800,0 mm
h = 776,0 mm
A_{yz} = 6208,0 mm²

TAB B VÝSLEDNÉ PRŮŘEZOVÉ CHARAKTERISTIKY- PLNÝ PRŮŘEZ					
část	b	h	y	z	poznámka
Č.	(mm)	(mm)	(mm)	(mm)	legenda
1	200,0	12,0	100,0	794,0	0
2	8,0	776,0	100,0	400,0	0
3	200,0	12,0	100,0	6,0	0
4	0,0	0,0	0,0	0,0	0
5	0,0	0,0	0,0	0,0	0
6	0,0	0,0	0,0	0,0	0
7	0,0	0,0	0,0	0,0	0
8	0,0	0,0	0,0	0,0	0
9	0,0	0,0	0,0	0,0	0
10	0,0	0,0	0,0	0,0	0
11	0,0	0,0	0,0	0,0	0
12	0,0	0,0	0,0	0,0	0
13	0,0	0,0	0,0	0,0	0
14	0,0	0,0	0,0	0,0	0
15	0,0	0,0	0,0	0,0	0
16	0,0	0,0	0,0	0,0	0
17	0,0	0,0	0,0	0,0	0
18	0,0	0,0	0,0	0,0	0
19	0,0	0,0	0,0	0,0	0
20	0,0	0,0	0,0	0,0	0
y _t = 100,0 mm			S _{y,SD1} = 9,456E+05 mm ³		
z _t = 400,0 mm			S _{y,SH1} = 9,456E+05 mm ³		
A _x = 1,101E+04 mm ²			S _{y,SD2} = 9,456E+05 mm ³		
I _y = 1,057E+09 mm ⁴			S _{y,SH2} = 9,456E+05 mm ³		
I _z = 1,603E+07 mm ⁴			I _{xy} = 3,620E+06 mm ⁴		
S _{y,1..7} = 1,548E+06 mm ³			I _{yz} = 0,000E+00 mm ⁴		
W _{y,1..8} = 2,642E+06 mm ³			W _{y,1..8} = 1,603E+05 mm ³		
W _{y,1..8} = 2,642E+06 mm ³			W _{y,1..8} = -1,603E+05 mm ³		
W _{y,1..8} = -2,642E+06 mm ³			W _{y,1..8} = 1,603E+05 mm ³		
W _{y,1..8} = -2,642E+06 mm ³			W _{y,1..8} = -1,603E+05 mm ³		
W _{y,1..8} = 2,723E+06 mm ³			W _{y,1..8} = 4,000E+06 mm ³		
W _{y,1..8} = 2,723E+06 mm ³			W _{y,1..8} = -4,000E+06 mm ³		
W _{y,1..8} = -2,723E+06 mm ³			W _{y,1..8} = 4,000E+06 mm ³		
W _{y,1..8} = -2,723E+06 mm ³			W _{y,1..8} = -4,000E+06 mm ³		

TAB 19 ZÁKLADNÍ PRŮŘEZOVÉ CHARAKTERISTIKY

POSUDEK: 9 PRŮŘEZ: P_2
OZNAČENÍ: P_2 POPIS: PŘÍČNÍK 2

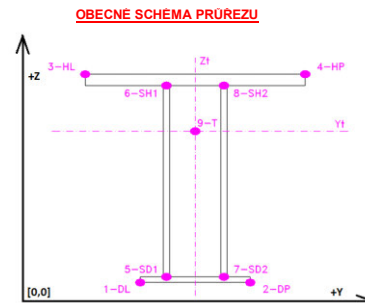
PRUT i X[m] j

SOUČINITEL KOROZE k = 1,00

TAB A							PLNÝ PRŮŘEZ , ATYPICKÉ OTVORY							BÉŽNÉ OTVORY PRO ŠROUBY ČI NYTY							OSLABENÍ PRŮŘEZU PRO NAMAHÁNÍ VNITŘNÍ SILOU						
část	b	h	y	z	poznámka	otvor	část	b	h	y	z	Nx-	Nx+	My-	My+	Mz-	Mz+	poznámka									
Č.	(mm)	(mm)	(mm)	(mm)	legenda 3	Č.	(mm)	(mm)	(mm)	(mm)	z	(-)	(-)	(-)	(-)	(-)	(-)	legenda 3									
1	300,0	22,0	150,0	991,0	0	21	0,0	0,0	0,0	0,0	0,0	NE	ANO	NE	ANO	NE	ANO	2									
2	10,0	958,0	150,0	501,0	0	22	0,0	0,0	0,0	0,0	0,0	NE	ANO	NE	ANO	NE	ANO	2									
3	300,0	22,0	150,0	11,0	0	23	0,0	0,0	0,0	0,0	0,0	NE	ANO	NE	ANO	NE	ANO	2									
4	0,0	0,0	0,0	0,0	0	24	0,0	0,0	0,0	0,0	0,0	NE	ANO	NE	ANO	NE	ANO	2									
5	0,0	0,0	0,0	0,0	0	25	0,0	0,0	0,0	0,0	0,0	NE	ANO	NE	ANO	NE	ANO	2									
6	0,0	0,0	0,0	0,0	0	26	0,0	0,0	0,0	0,0	0,0	NE	ANO	NE	ANO	NE	ANO	2									
7	0,0	0,0	0,0	0,0	0	27	0,0	0,0	0,0	0,0	0,0	NE	ANO	NE	ANO	NE	ANO	2									
8	0,0	0,0	0,0	0,0	0	28	0,0	0,0	0,0	0,0	0,0	NE	ANO	NE	ANO	NE	ANO	2									
9	0,0	0,0	0,0	0,0	0	29	0,0	0,0	0,0	0,0	0,0	NE	ANO	NE	ANO	NE	ANO	2									
10	0,0	0,0	0,0	0,0	0	30	0,0	0,0	0,0	0,0	0,0	NE	ANO	NE	ANO	NE	ANO	2									
11	0,0	0,0	0,0	0,0	0	31	0,0	0,0	0,0	0,0	0,0	NE	ANO	NE	ANO	NE	ANO	2									
12	0,0	0,0	0,0	0,0	0	32	0,0	0,0	0,0	0,0	0,0	NE	ANO	NE	ANO	NE	ANO	2									
13	0,0	0,0	0,0	0,0	0	33	0,0	0,0	0,0	0,0	0,0	NE	ANO	NE	ANO	NE	ANO	2									
14	0,0	0,0	0,0	0,0	0	34	0,0	0,0	0,0	0,0	0,0	NE	ANO	NE	ANO	NE	ANO	2									
15	0,0	0,0	0,0	0,0	0	35	0,0	0,0	0,0	0,0	0,0	NE	ANO	NE	ANO	NE	ANO	2									
16	0,0	0,0	0,0	0,0	0	36	0,0	0,0	0,0	0,0	0,0	NE	ANO	NE	ANO	NE	ANO	2									
17	0,0	0,0	0,0	0,0	0	37	0,0	0,0	0,0	0,0	0,0	NE	ANO	NE	ANO	NE	ANO	2									
18	0,0	0,0	0,0	0,0	0	38	0,0	0,0	0,0	0,0	0,0	NE	ANO	NE	ANO	NE	ANO	2									
19	0,0	0,0	0,0	0,0	0	39	0,0	0,0	0,0	0,0	0,0	NE	ANO	NE	ANO	NE	ANO	2									
20	0,0	0,0	0,0	0,0	0	40	0,0	0,0	0,0	0,0	0,0	NE	ANO	NE	ANO	NE	ANO	2									

TAB C- SOURADNICE KRITICKÝCH BODŮ PRŮŘEZU PRO POSUDEK NAPĚTÍ							
1-DL		2-DP		3-HL		4-HP	
y ₁	z ₁	y ₂	z ₂	y ₃	z ₃	y ₄	z ₄
(mm)	(mm)	(mm)	(mm)	(mm)	(mm)	(mm)	(mm)
0,0	0,0	300,0	0,0	0,0	1002,0	300,0	1002,0
5-SD1		6-SH1		7-SD2		8-SH2	
y ₅	z ₅	y ₆	z ₆	y ₇	z ₇	y ₈	z ₈
(mm)	(mm)	(mm)	(mm)	(mm)	(mm)	(mm)	(mm)
145,0	22,0	155,0	22,0	145,0	980,0	155,0	980,0

LEGENDA 1:
1-DL bod 1- dolní vlákná průřezu, levý okraj
2-DP bod 2- dolní vlákná průřezu, pravý okraj
3-HL bod 3- horní vlákná průřezu, levý okraj
4-HP bod 4- horní vlákná průřezu, pravý okraj
5-SD1 bod 5- dolní vlákná stěny 1
6-SH1 bod 6- horní vlákná stěny 1
7-SD2 bod 7- dolní vlákná stěny 2
8-SH2 bod 8- horní vlákná stěny 2
9-T bod 9- těžiště plného průřezu



LEGENDA 3:
0 ... neobsazeno
1 ... část průřezu
2 ... běžný otvor
3 ... atypický otvor

TAB D PRŮŘEZOVÉ CHARAKTERISTIKY OSLABENÉHO PRŮŘEZU A _{x,ef} , W _{y,ef} a W _{z,ef} V KRITICKÝCH BODECH PRŮŘEZU PRO POSUDEK NAPĚTÍ							
BOD	A _{x,ef} -pro Nx [mm ²]	A _{x,ef} -pro Nx+ [mm ²]	W _{y,ef} -pro My- [mm ³]	W _{y,ef} -pro My+ [mm ³]	W _{z,ef} -pro Mz- [mm ³]	W _{z,ef} -pro Mz+ [mm ³]	
1-DL	2,278E+04	2,278E+04	7,789E+06	7,789E+06	-6,605E+05	6,605E+05	
2-DP	2,278E+04	2,278E+04	7,789E+06	7,789E+06	-6,605E+05	-6,605E+05	
3-HL	2,278E+04	2,278E+04	-7,789E+06	-7,789E+06	6,605E+05	6,605E+05	
4-HP	2,278E+04	2,278E+04	-7,789E+06	-7,789E+06	-6,605E+05	-6,605E+05	
5-SD1	2,278E+04	2,278E+04	8,147E+06	8,147E+06	1,982E+07	1,982E+07	
6-SH1	2,278E+04	2,278E+04	8,147E+06	8,147E+06	-1,982E+07	-1,982E+07	
7-SD2	2,278E+04	2,278E+04	-8,147E+06	-8,147E+06	1,982E+07	1,982E+07	
8-SH2	2,278E+04	2,278E+04	-8,147E+06	-8,147E+06	-1,982E+07	-1,982E+07	
9-T	2,278E+04	2,278E+04	-	-	-	-	

LEGENDA 2:
b rozměr proužku (otvoru) ve směru osy y
h rozměr proužku (otvoru) ve směru osy z
y,z souřadnice těžiště proužku (otvoru)
N_x normálová síla- tlak
N_x normálová síla- tah
M_y svislý ohybový moment- kladný
M_y svislý ohybový moment- záporný
M_z vodorovný ohybový moment- kladný
M_z vodorovný ohybový moment- záporný
y₁,...,y₈ z-ová souřadnice kritických bodů 1,...,8 pro posudek napětí
z₁,...,z₈ y-ová souřadnice kritických bodů 1,...,8 pro posudek napětí
y_t z-ová souřadnice těžiště průřezu
z_t y-ová souřadnice těžiště průřezu
f_y mez kluzu oceli

A_x průřezová plocha- plný průřez
I_y moment setrvačnosti k ose y- plný průřez
I_z moment setrvačnosti k ose z- plný průřez
I_y moment tuhosti průřezu v prostém kroucení
I_z moment setrvačnosti
S_{y,9} statický moment celého průřezu k těžišťové ose y- plný průřez
S_{y,5-SD1 (7-SD2)} statický moment části průřezu pod bodem 5-SD1 (7-SD2) k těžišťové ose y- plný průřez
S_{y,6-SH1 (8-SH2)} statický moment části průřezu nad bodem 6-SH1 (8-SH2) k těžišťové ose y- plný průřez
W_{y,1..8} svislý průřezový modul průřezu v kritických bodech 1..8- plný průřez
A_{x,ef} průřezová plocha- oslabený průřez
W_{y,1..8,ef} svislý průřezový modul průřezu v kritických bodech 1..8- oslabený průřez
W_{z,1..8,ef} vodorovný průřezový modul průřezu v kritických bodech 1..8- oslabený průřez
H výška celého průřezu
H_w výška stěny průřezu
A_{yz} plocha stěny ve smyku od Vz

TAB E	t _w	f _y	f _{yk}
BOD	(mm)	(MPa)	(MPa)
1-DL	-	213,6	327,1
2-DP	-	213,6	327,1
3-HL	-	213,6	327,1
4-HP	-	213,6	327,1
5-SD1	10,0	213,6	327,1
6-SH1	10,0	213,6	327,1
7-SD2	10,0	213,6	327,1
8-SH2	10,0	213,6	327,1
9-T	10,0	213,6	327,1

H = 1002,0 mm
H_w = 958,0 mm
A_{yz} = 9580,0 mm²

TAB B VÝSLEDNÉ PRŮŘEZOVÉ CHARAKTERISTIKY- PLNÝ PRŮŘEZ					
část	b	h	y	z	poznámka
Č.	(mm)	(mm)	(mm)	(mm)	legenda
1	300,0	22,0	150,0	991,0	0
2	10,0	958,0	150,0	501,0	0
3	300,0	22,0	150,0	11,0	0
4	0,0	0,0	0,0	0,0	0
5	0,0	0,0	0,0	0,0	0
6	0,0	0,0	0,0	0,0	0
7	0,0	0,0	0,0	0,0	0
8	0,0	0,0	0,0	0,0	0
9	0,0	0,0	0,0	0,0	0
10	0,0	0,0	0,0	0,0	0
11	0,0	0,0	0,0	0,0	0
12	0,0	0,0	0,0	0,0	0
13	0,0	0,0	0,0	0,0	0
14	0,0	0,0	0,0	0,0	0
15	0,0	0,0	0,0	0,0	0
16	0,0	0,0	0,0	0,0	0
17	0,0	0,0	0,0	0,0	0
18	0,0	0,0	0,0	0,0	0
19	0,0	0,0	0,0	0,0	0
20	0,0	0,0	0,0	0,0	0
y _t = 150,0 mm			S _{y,1..8} = 3.234E+06 mm ³		
z _t = 501,0 mm			S _{z,1..8} = 3.234E+06 mm ³		
A _x = 2.278E+04 mm ²			S _{y,7..802} = 3.234E+06 mm ³		
I _y = 3.903E+09 mm ⁴			S _{z,8..802} = 3.234E+06 mm ³		
I _z = 9.908E+07 mm ⁴			I _x = 2.644E+06 mm ⁴		
S _{y,8..7} = 4.381E+06 mm ³			I _{yz} = 0.000E+00 mm ⁴		
W _{y,1..8} = 7.789E+06 mm ³			W _{z,1..8} = 6.605E+05 mm ³		
W _{y,1..81} = 7.789E+06 mm ³			W _{z,1..81} = -6.605E+05 mm ³		
W _{y,1..82} = -7.789E+06 mm ³			W _{z,1..82} = 6.605E+05 mm ³		
W _{y,1..83} = -7.789E+06 mm ³			W _{z,1..83} = -6.605E+05 mm ³		
W _{y,1..84} = 8.147E+06 mm ³			W _{z,1..84} = 1.982E+07 mm ³		
W _{y,1..85} = 8.147E+06 mm ³			W _{z,1..85} = -1.982E+07 mm ³		
W _{y,1..86} = -8.147E+06 mm ³			W _{z,1..86} = 1.982E+07 mm ³		
W _{y,1..87} = -8.147E+06 mm ³			W _{z,1..87} = -1.982E+07 mm ³		

TAB 1 10 ZÁKLADNÍ PRŮŘEZOVÉ CHARAKTERISTIKY

POSUDEK: 10
OZNAČENÍ: P_3

PRŮŘEZ: P_3
POPIS: PŘÍČNÍK 3

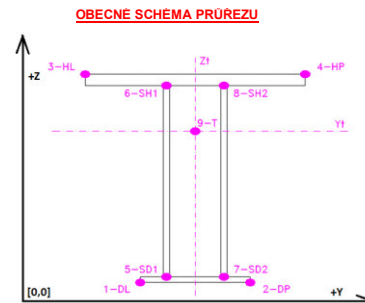
PRUT i
X[m] j

SOUČINITEL KOROZE k = 1,00

TAB A							PLNÝ PRŮŘEZ , ATYPICKÉ OTVORY				BEŽNÉ OTVORY PRO ŠROUBY ČI NYTY				OSLABENÍ PRŮŘEZU PRO NAMAHÁNÍ VNITŘNÍ SÍLOU							
část	b	h	y	z	poznámka	otvor	b	h	y	z	Nx-	Nx+	My-	My+	Mz-	Mz+	poznámka					
č.	(mm)	(mm)	(mm)	(mm)	legenda 3	č.	(mm)	(mm)	(mm)	(mm)	-	+	-	+	-	+	legenda					
1	300,0	20,0	150,0	990,0	0	21	0,0	0,0	0,0	0,0	NE	ANO	NE	ANO	NE	ANO	2					
2	10,0	960,0	150,0	500,0	0	22	0,0	0,0	0,0	0,0	NE	ANO	NE	ANO	NE	ANO	2					
3	300,0	20,0	150,0	10,0	0	23	0,0	0,0	0,0	0,0	NE	ANO	NE	ANO	NE	ANO	2					
4	0,0	0,0	0,0	0,0	0	24	0,0	0,0	0,0	0,0	NE	ANO	NE	ANO	NE	ANO	2					
5	0,0	0,0	0,0	0,0	0	25	0,0	0,0	0,0	0,0	NE	ANO	NE	ANO	NE	ANO	2					
6	0,0	0,0	0,0	0,0	0	26	0,0	0,0	0,0	0,0	NE	ANO	NE	ANO	NE	ANO	2					
7	0,0	0,0	0,0	0,0	0	27	0,0	0,0	0,0	0,0	NE	ANO	NE	ANO	NE	ANO	2					
8	0,0	0,0	0,0	0,0	0	28	0,0	0,0	0,0	0,0	NE	ANO	NE	ANO	NE	ANO	2					
9	0,0	0,0	0,0	0,0	0	29	0,0	0,0	0,0	0,0	NE	ANO	NE	ANO	NE	ANO	2					
10	0,0	0,0	0,0	0,0	0	30	0,0	0,0	0,0	0,0	NE	ANO	NE	ANO	NE	ANO	2					
11	0,0	0,0	0,0	0,0	0	31	0,0	0,0	0,0	0,0	NE	ANO	NE	ANO	NE	ANO	2					
12	0,0	0,0	0,0	0,0	0	32	0,0	0,0	0,0	0,0	NE	ANO	NE	ANO	NE	ANO	2					
13	0,0	0,0	0,0	0,0	0	33	0,0	0,0	0,0	0,0	NE	ANO	NE	ANO	NE	ANO	2					
14	0,0	0,0	0,0	0,0	0	34	0,0	0,0	0,0	0,0	NE	ANO	NE	ANO	NE	ANO	2					
15	0,0	0,0	0,0	0,0	0	35	0,0	0,0	0,0	0,0	NE	ANO	NE	ANO	NE	ANO	2					
16	0,0	0,0	0,0	0,0	0	36	0,0	0,0	0,0	0,0	NE	ANO	NE	ANO	NE	ANO	2					
17	0,0	0,0	0,0	0,0	0	37	0,0	0,0	0,0	0,0	NE	ANO	NE	ANO	NE	ANO	2					
18	0,0	0,0	0,0	0,0	0	38	0,0	0,0	0,0	0,0	NE	ANO	NE	ANO	NE	ANO	2					
19	0,0	0,0	0,0	0,0	0	39	0,0	0,0	0,0	0,0	NE	ANO	NE	ANO	NE	ANO	2					
20	0,0	0,0	0,0	0,0	0	40	0,0	0,0	0,0	0,0	NE	ANO	NE	ANO	NE	ANO	2					

TAB C- SOURADNICE KRITICKÝCH BODŮ PRŮŘEZU PRO POSUDEK NAPĚTÍ							
1-DL	2-DP	3-HL	4-HP	5-SD1	6-SH1	7-SD2	8-SH2
y ₁	z ₁	y ₂	z ₂	y ₃	z ₃	y ₄	z ₄
(mm)	(mm)	(mm)	(mm)	(mm)	(mm)	(mm)	(mm)
0,0	0,0	300,0	0,0	0,0	1000,0	300,0	1000,0
y ₅	z ₅	y ₆	z ₆	y ₇	z ₇	y ₈	z ₈
(mm)	(mm)	(mm)	(mm)	(mm)	(mm)	(mm)	(mm)
145,0	20,0	155,0	20,0	145,0	980,0	155,0	980,0

LEGENDA 1:
1-DL bod 1- dolní vlákná průřezu, levý okraj
2-DP bod 2- dolní vlákná průřezu, pravý okraj
3-HL bod 3- horní vlákná průřezu, levý okraj
4-HP bod 4- horní vlákná průřezu, pravý okraj
5-SD1 bod 5- dolní vlákná stěny 1
6-SH1 bod 6- horní vlákná stěny 1
7-SD2 bod 7- dolní vlákná stěny 2
8-SH2 bod 8- horní vlákná stěny 2
9-T bod 9- těžiště plného průřezu



LEGENDA 3:
0 ... neobsazeno
1 ... část průřezu
2 ... běžný otvor
3 ... atypický otvor

TAB D PRŮŘEZOVÉ CHARAKTERISTIKY OSLABENÉHO PRŮŘEZU $A_{x,ef}$, $W_{y,ef}$ a $W_{z,ef}$ V KRITICKÝCH BODECH PRŮŘEZU PRO POSUDEK NAPĚTÍ							
BOD	$A_{x,ef}$ -pro Nx- [mm ²]	$A_{x,ef}$ -pro Nx+ [mm ²]	$W_{y,ef}$ -pro My- [mm ³]	$W_{y,ef}$ -pro My+ [mm ³]	$W_{z,ef}$ -pro Mz- [mm ³]	$W_{z,ef}$ -pro Mz+ [mm ³]	
1-DL	2,160E+04	2,160E+04	7,238E+06	7,238E+06	6,005E+05	6,005E+05	
2-DP	2,160E+04	2,160E+04	7,238E+06	7,238E+06	-6,005E+05	-6,005E+05	
3-HL	2,160E+04	2,160E+04	-7,238E+06	-7,238E+06	6,005E+05	6,005E+05	
4-HP	2,160E+04	2,160E+04	-7,238E+06	-7,238E+06	-6,005E+05	-6,005E+05	
5-SD1	2,160E+04	2,160E+04	7,539E+06	7,539E+06	1,802E+07	1,802E+07	
6-SH1	2,160E+04	2,160E+04	7,539E+06	7,539E+06	-1,802E+07	-1,802E+07	
7-SD2	2,160E+04	2,160E+04	-7,539E+06	-7,539E+06	1,802E+07	1,802E+07	
8-SH2	2,160E+04	2,160E+04	-7,539E+06	-7,539E+06	-1,802E+07	-1,802E+07	
9-T	2,160E+04	2,160E+04	-	-	-	-	

LEGENDA 2:
b rozměr proužku (otvoru) ve směru osy y
h rozměr proužku (otvoru) ve směru osy z
y,z souřadnice těžiště proužku (otvoru)
N_x normálová síla- tlak
N_x normálová síla- tah
M_y svislý ohybový moment- kladný
M_y svislý ohybový moment- záporný
M_z vodorovný ohybový moment- kladný
M_z vodorovný ohybový moment- záporný
y₁,...,y₈ z-ová souřadnice kritických bodů 1,...,8 pro posudek napětí
z₁,...,z₈ y-ová souřadnice kritických bodů 1,...,8 pro posudek napětí
y_t z-ová souřadnice těžiště průřezu
z_t y-ová souřadnice těžiště průřezu
f_y mez kluzu oceli

A_x průřezová plocha- plný průřez
I_y moment setrvačnosti k ose y- plný průřez
I_z moment setrvačnosti k ose z- plný průřez
I_y moment tuhosti průřezu v prostém kroucení
I_z moment setrvačnosti
S_{y,9} statický moment celého průřezu k těžišťové ose y- plný průřez
S_{y,5-SD1 (7-SD2)} statický moment části průřezu pod bodem 5-SD1 (7-SD2) k těžišťové ose y- plný průřez
S_{y,6-SH1 (8-SH2)} statický moment části průřezu nad bodem 6-SH1 (8-SH2) k těžišťové ose y- plný průřez
W_{y,1,8} svislý průřezový modul průřezu v kritických bodech 1..8- plný průřez
A_{x,ef} průřezová plocha- oslabený průřez
W_{y,1,8,ef} svislý průřezový modul průřezu v kritických bodech 1..8- oslabený průřez
W_{z,1,8,ef} vodorovný průřezový modul průřezu v kritických bodech 1..8- oslabený průřez
H výška celého průřezu
H_w výška stěny průřezu
A_{vz} plocha stěny ve smyku od Vz

TAB E	t _w	f _y	f _{yk}
BOD	(mm)	(MPa)	(MPa)
1-DL	-	213,6	327,1
2-DP	-	213,6	327,1
3-HL	-	213,6	327,1
4-HP	-	213,6	327,1
5-SD1	10,0	213,6	327,1
6-SH1	10,0	213,6	327,1
7-SD2	10,0	213,6	327,1
8-SH2	10,0	213,6	327,1
9-T	10,0	213,6	327,1

H = 1000,0 mm
H_w = 960,0 mm
A_{vz} = 960,0 mm²

TAB B VÝSLEDNÉ PRŮŘEZOVÉ CHARAKTERISTIKY- PLNÝ PRŮŘEZ					
část	b	h	y	z	poznámka
Č.	(mm)	(mm)	(mm)	(mm)	legenda
1	300,0	20,0	150,0	990,0	0
2	10,0	960,0	150,0	500,0	0
3	300,0	20,0	150,0	10,0	0
4	0,0	0,0	0,0	0,0	0
5	0,0	0,0	0,0	0,0	0
6	0,0	0,0	0,0	0,0	0
7	0,0	0,0	0,0	0,0	0
8	0,0	0,0	0,0	0,0	0
9	0,0	0,0	0,0	0,0	0
10	0,0	0,0	0,0	0,0	0
11	0,0	0,0	0,0	0,0	0
12	0,0	0,0	0,0	0,0	0
13	0,0	0,0	0,0	0,0	0
14	0,0	0,0	0,0	0,0	0
15	0,0	0,0	0,0	0,0	0
16	0,0	0,0	0,0	0,0	0
17	0,0	0,0	0,0	0,0	0
18	0,0	0,0	0,0	0,0	0
19	0,0	0,0	0,0	0,0	0
20	0,0	0,0	0,0	0,0	0
y _t = 150,0 mm			S _{y,9-SD1} = 2,940E+06 mm ³		
z _t = 500,0 mm			S _{y,6-SH1} = 2,940E+06 mm ³		
A _x = 2,160E+04 mm ²			S _{y,7-SD2} = 2,940E+06 mm ³		
I _y = 3,619E+09 mm ⁴			S _{y,8-SH2} = 2,940E+06 mm ³		
I _z = 9,008E+07 mm ⁴			I _z = 1,920E+06 mm ⁴		
S _{y,4-T} = 4,092E+06 mm ³			I _z = 0,000E+00 mm ⁴		
W _{y,1-DL} = 7,238E+06 mm ³			W _{y,1-DL} = 6,005E+05 mm ³		
W _{y,2-DP} = 7,238E+06 mm ³			W _{y,2-DP} = -6,005E+05 mm ³		
W _{y,3-HL} = -7,238E+06 mm ³			W _{y,3-HL} = 6,005E+05 mm ³		
W _{y,4-HP} = -7,238E+06 mm ³			W _{y,4-HP} = -6,005E+05 mm ³		
W _{y,5-SD1} = 7,539E+06 mm ³			W _{y,5-SD1} = 1,802E+07 mm ³		
W _{y,6-SH1} = 7,539E+06 mm ³			W _{y,6-SH1} = -1,802E+07 mm ³		
W _{y,8-SD2} = -7,539E+06 mm ³			W _{y,8-SD2} = 1,802E+07 mm ³		
W _{y,9-SD1} = -7,539E+06 mm ³			W _{y,9-SD1} = -1,802E+07 mm ³		

TAB 1 11 ZÁKLADNÍ PRŮŘEZOVÉ CHARAKTERISTIKY

POSUDEK: 11 PRŮŘEZ: P_4
OZNAČENÍ: P_4 POPIS: PŘÍČNÍK 4

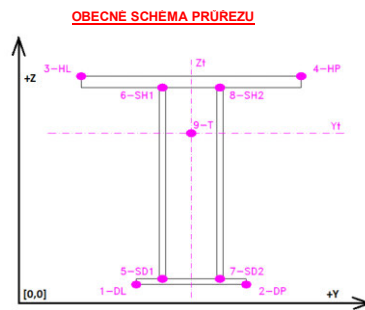
PRUT i X[m]
j

SOUČINTEL KOROZE k = 1,00

TAB A							PLNÝ PRŮŘEZ , ATYPICKÉ OTVORY							BÉŽNÉ OTVORY PRO ŠROUBY ČI NYTY							OSLABENÍ PRŮŘEZU PRO NAMAHÁNÍ VNITŘNÍ SÍLOU						
část	b	h	y	z	poznámka	otvor	b	h	y	z	Nx-	Nx+	My-	My+	Mz-	Mz+	poznámka										
č.	(mm)	(mm)	(mm)	(mm)	legenda 3	č.	(mm)	(mm)	(mm)	(mm)	-	-	-	-	-	-	legenda 3										
1	320,0	25,0	160,0	987,5	0	21	0,0	0,0	0,0	0,0	NE	ANO	NE	ANO	NE	ANO	2										
2	12,0	950,0	160,0	500,0	0	22	0,0	0,0	0,0	0,0	NE	ANO	NE	ANO	NE	ANO	2										
3	320,0	25,0	160,0	12,5	0	23	0,0	0,0	0,0	0,0	NE	ANO	NE	ANO	NE	ANO	2										
4	0,0	0,0	0,0	0,0	0	24	0,0	0,0	0,0	0,0	NE	ANO	NE	ANO	NE	ANO	2										
5	0,0	0,0	0,0	0,0	0	25	0,0	0,0	0,0	0,0	NE	ANO	NE	ANO	NE	ANO	2										
6	0,0	0,0	0,0	0,0	0	26	0,0	0,0	0,0	0,0	NE	ANO	NE	ANO	NE	ANO	2										
7	0,0	0,0	0,0	0,0	0	27	0,0	0,0	0,0	0,0	NE	ANO	NE	ANO	NE	ANO	2										
8	0,0	0,0	0,0	0,0	0	28	0,0	0,0	0,0	0,0	NE	ANO	NE	ANO	NE	ANO	2										
9	0,0	0,0	0,0	0,0	0	29	0,0	0,0	0,0	0,0	NE	ANO	NE	ANO	NE	ANO	2										
10	0,0	0,0	0,0	0,0	0	30	0,0	0,0	0,0	0,0	NE	ANO	NE	ANO	NE	ANO	2										
11	0,0	0,0	0,0	0,0	0	31	0,0	0,0	0,0	0,0	NE	ANO	NE	ANO	NE	ANO	2										
12	0,0	0,0	0,0	0,0	0	32	0,0	0,0	0,0	0,0	NE	ANO	NE	ANO	NE	ANO	2										
13	0,0	0,0	0,0	0,0	0	33	0,0	0,0	0,0	0,0	NE	ANO	NE	ANO	NE	ANO	2										
14	0,0	0,0	0,0	0,0	0	34	0,0	0,0	0,0	0,0	NE	ANO	NE	ANO	NE	ANO	2										
15	0,0	0,0	0,0	0,0	0	35	0,0	0,0	0,0	0,0	NE	ANO	NE	ANO	NE	ANO	2										
16	0,0	0,0	0,0	0,0	0	36	0,0	0,0	0,0	0,0	NE	ANO	NE	ANO	NE	ANO	2										
17	0,0	0,0	0,0	0,0	0	37	0,0	0,0	0,0	0,0	NE	ANO	NE	ANO	NE	ANO	2										
18	0,0	0,0	0,0	0,0	0	38	0,0	0,0	0,0	0,0	NE	ANO	NE	ANO	NE	ANO	2										
19	0,0	0,0	0,0	0,0	0	39	0,0	0,0	0,0	0,0	NE	ANO	NE	ANO	NE	ANO	2										
20	0,0	0,0	0,0	0,0	0	40	0,0	0,0	0,0	0,0	NE	ANO	NE	ANO	NE	ANO	2										

TAB C-SOURADNICE KRITICKÝCH BODŮ PRŮŘEZU PRO POSUDEK NAPĚTÍ									
1-DL		2-DP		3-HL		4-HP			
y ₁	z ₁	y ₂	z ₂	y ₃	z ₃	y ₄	z ₄		
(mm)	(mm)	(mm)	(mm)	(mm)	(mm)	(mm)	(mm)		
0,0	0,0	320,0	0,0	0,0	1000,0	320,0	1000,0		
5-SD1		6-SH1		7-SD2		8-SH2			
y ₅	z ₅	y ₆	z ₆	y ₇	z ₇	y ₈	z ₈		
(mm)	(mm)	(mm)	(mm)	(mm)	(mm)	(mm)	(mm)		
154,0	25,0	166,0	25,0	154,0	975,0	166,0	975,0		

LEGENDA 1:
1-DL bod 1- dolní vlákná průřezu, levý okraj
2-DP bod 2- dolní vlákná průřezu, pravý okraj
3-HL bod 3- horní vlákná průřezu, levý okraj
4-HP bod 4- horní vlákná průřezu, pravý okraj
5-SD1 bod 5- dolní vlákná stěny 1
6-SH1 bod 6- horní vlákná stěny 1
7-SD2 bod 7- dolní vlákná stěny 2
8-SH2 bod 8- horní vlákná stěny 2
9-T bod 9- těžiště plného průřezu



LEGENDA 3:
0 ... neobsazeno
1 ... část průřezu
2 ... běžný otvor
3 ... atypický otvor

TAB D PRŮŘEZOVÉ CHARAKTERISTIKY OSLABENÉHO PRŮŘEZU A _{x,ef} , W _{y,ef} a W _{z,ef} V KRITICKÝCH BODECH PRŮŘEZU PRO POSUDEK NAPĚTÍ									
BOD	A _{x,ef} -pro Nx [mm ²]	A _{x,ef} -pro Nx+ [mm ²]	W _{y,ef} -pro My- [mm ³]	W _{y,ef} -pro My+ [mm ³]	W _{z,ef} -pro Mz- [mm ³]	W _{z,ef} -pro Mz+ [mm ³]			
1-DL	2,740E+04	2,740E+04	9,321E+06	9,321E+06	8,542E+05	8,542E+05			
2-DP	2,740E+04	2,740E+04	9,321E+06	9,321E+06	-8,542E+05	-8,542E+05			
3-HL	2,740E+04	2,740E+04	-9,321E+06	-9,321E+06	8,542E+05	8,542E+05			
4-HP	2,740E+04	2,740E+04	-9,321E+06	-9,321E+06	-8,542E+05	-8,542E+05			
5-SD1	2,740E+04	2,740E+04	9,812E+06	9,812E+06	2,278E+07	2,278E+07			
6-SH1	2,740E+04	2,740E+04	9,812E+06	9,812E+06	-2,278E+07	-2,278E+07			
7-SD2	2,740E+04	2,740E+04	-9,812E+06	-9,812E+06	2,278E+07	2,278E+07			
8-SH2	2,740E+04	2,740E+04	-9,812E+06	-9,812E+06	-2,278E+07	-2,278E+07			
9-T	2,740E+04	2,740E+04	-	-	-	-			

LEGENDA 2:
b rozměr proužku (otvoru) ve směru osy y
h rozměr proužku (otvoru) ve směru osy z
y,z souřadnice těžiště proužku (otvoru)
N_x normálová síla- tlak
N_x normálová síla- tah
M_y svislý ohybový moment- kladný
M_y svislý ohybový moment- záporný
M_z vodorovný ohybový moment- kladný
M_z vodorovný ohybový moment- záporný
y₁,...,y₈ y-ová souřadnice kritických bodů 1,...,8 pro posudek napětí
z₁,...,z₈ z-ová souřadnice kritických bodů 1,...,8 pro posudek napětí
y_t y-ová souřadnice těžiště průřezu
z_t z-ová souřadnice těžiště průřezu
f_y mez kluzu oceli

A_x průřezová plocha- plný průřez
I_y moment setrvačnosti k ose y- plný průřez
I_z moment setrvačnosti k ose z- plný průřez
I_y moment tuhosti průřezu v prostém kroucení
I_z výsečový moment setrvačnosti
S_{y,9} statický moment celého průřezu k těžišťové ose y- plný průřez
S_{y,5-SD1 (7-SD2)} statický moment části průřezu pod bodem 5-SD1 (7-SD2) k těžišťové ose y- plný průřez
S_{y,6-SH1 (8-SH2)} statický moment části průřezu nad bodem 6-SH1 (8-SH2) k těžišťové ose y- plný průřez
W_{y,1..8} svislý průřezový modul průřezu v kritických bodech 1..8- plný průřez
A_{x,ef} průřezová plocha- oslabený průřez
W_{y,1..8,ef} svislý průřezový modul průřezu v kritických bodech 1..8- oslabený průřez
W_{z,1..8,ef} vodorovný průřezový modul průřezu v kritických bodech 1..8- oslabený průřez
H výška celého průřezu
H_w výška stěny průřezu
A_{vz} plocha stěny ve smyku od Vz

TAB E			
BOD	t _w [mm]	f _y [MPa]	f _{yk} [MPa]
1-DL	-	213,6	327,1
2-DP	-	213,6	327,1
3-HL	-	213,6	327,1
4-HP	-	213,6	327,1
5-SD1	12,0	213,6	327,1
6-SH1	12,0	213,6	327,1
7-SD2	12,0	213,6	327,1
8-SH2	12,0	213,6	327,1
9-T	12,0	213,6	327,1

H = 1000,0 mm
H_w = 950,0 mm
A_{vz} = 11400,0 mm²

TAB B VÝSLEDNÉ PRŮŘEZOVÉ CHARAKTERISTIKY- PLNÝ PRŮŘEZ					
část	b	h	y	z	poznámka
Č.	(mm)	(mm)	(mm)	(mm)	legenda
1	320,0	25,0	160,0	987,5	0
2	12,0	950,0	160,0	500,0	0
3	320,0	25,0	160,0	12,5	0
4	0,0	0,0	0,0	0,0	0
5	0,0	0,0	0,0	0,0	0
6	0,0	0,0	0,0	0,0	0
7	0,0	0,0	0,0	0,0	0
8	0,0	0,0	0,0	0,0	0
9	0,0	0,0	0,0	0,0	0
10	0,0	0,0	0,0	0,0	0
11	0,0	0,0	0,0	0,0	0
12	0,0	0,0	0,0	0,0	0
13	0,0	0,0	0,0	0,0	0
14	0,0	0,0	0,0	0,0	0
15	0,0	0,0	0,0	0,0	0
16	0,0	0,0	0,0	0,0	0
17	0,0	0,0	0,0	0,0	0
18	0,0	0,0	0,0	0,0	0
19	0,0	0,0	0,0	0,0	0
20	0,0	0,0	0,0	0,0	0
y _t = 160,0 mm			S _{y,9-SH1} = 3.900E+06 mm ³		
z _t = 500,0 mm			S _{y,9-SH1} = 3.900E+06 mm ³		
A _t = 2.740E+04 mm ²			S _{y,9-SH2} = 3.900E+06 mm ³		
I _y = 4.661E+09 mm ⁴			S _{y,9-SH2} = 3.900E+06 mm ³		
I _y = 1.367E+08 mm ⁴			I _y = 3.881E+06 mm ⁴		
S _{y,9-T} = 5.254E+06 mm ³			I _z = 0.000E+00 mm ⁴		
W _{y,1-01} = 9.321E+06 mm ³			W _{y,1-01} = 8.542E+06 mm ³		
W _{y,2-02} = 9.321E+06 mm ³			W _{y,2-02} = 8.542E+06 mm ³		
W _{y,3-03} = -9.321E+06 mm ³			W _{y,3-03} = 8.542E+06 mm ³		
W _{y,4-04} = -9.321E+06 mm ³			W _{y,4-04} = -8.542E+06 mm ³		
W _{y,5-05} = 9.812E+06 mm ³			W _{y,5-05} = 2.278E+07 mm ³		
W _{y,6-06} = 9.812E+06 mm ³			W _{y,6-06} = -2.278E+07 mm ³		
W _{y,7-07} = -9.812E+06 mm ³			W _{y,7-07} = 2.278E+07 mm ³		
W _{y,8-08} = -9.812E+06 mm ³			W _{y,8-08} = -2.278E+07 mm ³		

TAB 1 ¹²

POSUDEK: 12 **PRŮŘEZ:** P_5
OZNAČENÍ: P 5 **POPIS:** PŘÍČNÍK 5

PRUT	X[m]
i	i

SOUČINITEL KOROZE $k = 1,00$

TAB A							TAB B							TAB C						
PLNY PRŮŘEZ , ATYPICKÉ OTVORY							BEŽNÉ OTVORY PRO SROUBY ČI NYTY							OSLABENÍ PRŮŘEZU PRO NAMAHANÍ VNITŘNÍ SILOU						
Část	b	h	y	z	poznámka	otvor	b	h	y	z	Nx-	Nx+	My-	My+	Mz-	Mz+	poznámka			
č.	[mm]	[mm]	[mm]	[mm]	legenda 3	č.	[mm]	[mm]	[mm]	[mm]	[-]	[+]	[-]	[+]	[-]	[+]	legenda 3			
1	320,0	22,0	160,0	991,0	0	21	0,0	0,0	0,0	0,0	NE	ANO	NE	ANO	NE	ANO	2			
2	10,0	958,0	160,0	501,0	0	22	0,0	0,0	0,0	0,0	NE	ANO	NE	ANO	NE	ANO	2			
3	320,0	22,0	160,0	11,0	0	23	0,0	0,0	0,0	0,0	NE	ANO	NE	ANO	NE	ANO	2			
4	0,0	0,0	0,0	0,0	0	24	0,0	0,0	0,0	0,0	NE	ANO	NE	ANO	NE	ANO	2			
5	0,0	0,0	0,0	0,0	0	25	0,0	0,0	0,0	0,0	NE	ANO	NE	ANO	NE	ANO	2			
6	0,0	0,0	0,0	0,0	0	26	0,0	0,0	0,0	0,0	NE	ANO	NE	ANO	NE	ANO	2			
7	0,0	0,0	0,0	0,0	0	27	0,0	0,0	0,0	0,0	NE	ANO	NE	ANO	NE	ANO	2			
8	0,0	0,0	0,0	0,0	0	28	0,0	0,0	0,0	0,0	NE	ANO	NE	ANO	NE	ANO	2			
9	0,0	0,0	0,0	0,0	0	29	0,0	0,0	0,0	0,0	NE	ANO	NE	ANO	NE	ANO	2			
10	0,0	0,0	0,0	0,0	0	30	0,0	0,0	0,0	0,0	NE	ANO	NE	ANO	NE	ANO	2			
11	0,0	0,0	0,0	0,0	0	31	0,0	0,0	0,0	0,0	NE	ANO	NE	ANO	NE	ANO	2			
12	0,0	0,0	0,0	0,0	0	32	0,0	0,0	0,0	0,0	NE	ANO	NE	ANO	NE	ANO	2			
13	0,0	0,0	0,0	0,0	0	33	0,0	0,0	0,0	0,0	NE	ANO	NE	ANO	NE	ANO	2			
14	0,0	0,0	0,0	0,0	0	34	0,0	0,0	0,0	0,0	NE	ANO	NE	ANO	NE	ANO	2			
15	0,0	0,0	0,0	0,0	0	35	0,0	0,0	0,0	0,0	NE	ANO	NE	ANO	NE	ANO	2			
16	0,0	0,0	0,0	0,0	0	36	0,0	0,0	0,0	0,0	NE	ANO	NE	ANO	NE	ANO	2			
17	0,0	0,0	0,0	0,0	0	37	0,0	0,0	0,0	0,0	NE	ANO	NE	ANO	NE	ANO	2			
18	0,0	0,0	0,0	0,0	0	38	0,0	0,0	0,0	0,0	NE	ANO	NE	ANO	NE	ANO	2			
19	0,0	0,0	0,0	0,0	0	39	0,0	0,0	0,0	0,0	NE	ANO	NE	ANO	NE	ANO	2			
20	0,0	0,0	0,0	0,0	0	40	0,0	0,0	0,0	0,0	NE	ANO	NE	ANO	NE	ANO	2			

TAB. C - SOUHRADNICE KRITICKÝCH BODU PRŮREZU PRO POSUDEK NAPĚTÍ							
1-DL		2-DP		3-HL		4-HP	
y_1 (mm)	z_1 (mm)	y_2 (mm)	z_2 (mm)	y_3 (mm)	z_3 (mm)	y_4 (mm)	z_4 (mm)
0,0	0,0	320,0	0,0	0,0	1002,0	320,0	1002,0
5-SD1		6-GH1		7-SD2		8-SH2	
y_5 (mm)	z_5 (mm)	y_6 (mm)	z_6 (mm)	y_7 (mm)	z_7 (mm)	y_8 (mm)	z_8 (mm)
155,0	22	165,0	22,0	155,0	980,0	165,0	980,0

LEGENDA 1:

1-DL	bod 1- dolní vlákná průřezu, levý okraj
2-DP	bod 2- dolní vlákná průřezu, pravý okraj
3-HL	bod 3- horní vlákná průřezu, levý okraj
4-HP	bod 4- horní vlákná průřezu, pravý okraj
5-SD1	bod 5- dolní vlákná stěny 1
6-SH1	bod 6- horní vlákná stěny 1
7-SD2	bod 7- dolní vlákná stěny 2
8-SH2	bod 8- horní vlákná stěny 2
9-T	bod 9- těžiště plného průřezu

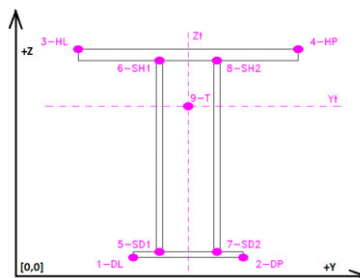
TAB. 4 PRŮŘEZOVÉ CHARAKTERISTIKY OSLABĚNÉHO PRŮŘEŽU $A_{p,200}$, $W_{pl,200}$ a W_{pl} V KRITICKÝCH BODECH PRŮŘEŽU PRO POSUDEK NAPĚTÍ						
SOD	Ax. ex. pro Nz [mm ²]	Ax. ex. pro Nx [mm ²]	Wy. ex. pro Nz [mm ³]	Wy. ex. pro Nx [mm ³]	Wz. ex. pro Nz [mm ³]	Wz. ex. pro Nx [mm ³]
-1-DL	2,366E+04	2,366E+04	8,211E+06	8,211E+06	7,514E+05	7,514E+05
-2-DP	2,366E+04	2,366E+04	8,211E+06	8,211E+06	-7,514E+05	-7,514E+05
-3-HL	2,366E+04	2,366E+04	-8,211E+06	-8,211E+06	7,514E+05	7,514E+05
-4-HP	2,366E+04	2,366E+04	-8,211E+06	-8,211E+06	-7,514E+05	-7,514E+05
-5-SD1	2,366E+04	2,366E+04	8,588E+06	8,588E+06	2,405E+07	2,405E+07
-6-SH1	2,366E+04	2,366E+04	8,588E+06	8,588E+06	-2,405E+07	-2,405E+07
-7-SD2	2,366E+04	2,366E+04	-8,588E+06	-8,588E+06	2,405E+07	2,405E+07
-8-SH2	2,366E+04	2,366E+04	-8,588E+06	-8,588E+06	-2,405E+07	-2,405E+07
-8-T	2,366E+04	2,366E+04				

LEGENDA 2:

b	rozměr proužku (otvoru) ve směru osy y
h	rozměr proužku (otvoru) ve směru osy z
y,z	souřadnice těžiště proužku (otvoru)
N_x	normálová síla- tlak
N_y	normálová síla- tah
M_{x+}	svislý ohybový moment- kladný
M_{x-}	svislý ohybový moment- záporný
M_{y+}	vodorovný ohybový moment- kladný
M_{y-}	vodorovný ohybový moment- záporný
y1.....y8	y-ová souřadnice kritických bodů 1.....8 pro posudek napětí
z1.....z8	z-ová souřadnice kritických bodů 1.....8 pro posudek napětí
y_i	y-ová souřadnice těžiště průřezu
z_i	z-ová souřadnice těžiště průřezu
f_k	mez kluzu oceli

A_x	průřezová plocha- plný průřez	$H =$	1002,0 mm
I_y	moment setrvačnosti k ose y- plný průřez	$I_w =$	958,0 mm ⁴
I_z	moment setrvačnosti k ose z- plný průřez	$A_{vz} =$	9580,0 mm ²
I_y	moment tuhosti průřezu v prostém kroucení		
I_{ϕ}	vyšeřový moment setrvačnosti		
S_y	statický moment celého průřezu k těžiškové ose y- plný průřez		
$S_{y,5SD1}$ (7-SD2)	statický moment části průřezu pod bodem 5-SD1 (7-SD2) k těžiškové ose y- plný průřez		
$S_{y,6SH1}$ (8-SH2)	statický moment části průřezu nad bodem 6-SH1 (7-SH2) k těžiškové ose y- plný průřez		
$W_{y1,8-8}$	svislý průřezový modul průřezu v kritických bodech 1.8- plný průřez		
$A_{x,8}$	průřezová plocha- oslabený průřez		
$W_{y1,8-8}$	svislý průřezový modul průřezu v kritických bodech 1.8- oslabený průřez		
$W_{x1,8-8}$	vodorovný průřezový modul průřezu v kritických bodech 1.8- oslabený průřez		
H	výška celého průřezu		
H_u	výška stěny průřezu		
A_{vz}	plocha stěny ve smyku od Vz		

OBEČNĚ SCHÉMA PRŮŘEZU

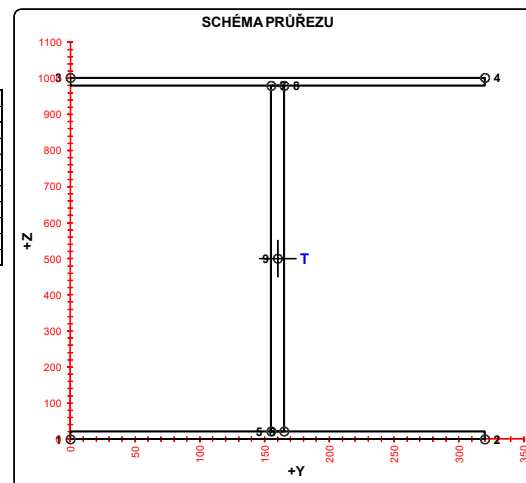


LEGENDA 3:

0 ... neobsazeno
1 ... část průřezu
2 ... běžný otvor
3 ... atypický otvor

TAB. B		VÝSLEDNÉ PRŮŘEZOVÉ CHARAKTERISTIKY - PLYN PRŮŘEZ			
číslo	b	h	y	z	poznámka
číslo	[mm]	[mm]	[mm]	[mm]	legenda 3
1	320,0	22,0	160,0	991,0	0
2	10,0	958,0	160,0	501,0	0
3	320,0	22,0	160,0	11,0	0
4	0,0	0,0	0,0	0,0	0
5	0,0	0,0	0,0	0,0	0
6	0,0	0,0	0,0	0,0	0
7	0,0	0,0	0,0	0,0	0
8	0,0	0,0	0,0	0,0	0
9	0,0	0,0	0,0	0,0	0
10	0,0	0,0	0,0	0,0	0
11	0,0	0,0	0,0	0,0	0
12	0,0	0,0	0,0	0,0	0
13	0,0	0,0	0,0	0,0	0
14	0,0	0,0	0,0	0,0	0
15	0,0	0,0	0,0	0,0	0
16	0,0	0,0	0,0	0,0	0
17	0,0	0,0	0,0	0,0	0
18	0,0	0,0	0,0	0,0	0
19	0,0	0,0	0,0	0,0	0
20	0,0	0,0	0,0	0,0	0
y ₁	160,0	mm	S _{y, 1-201}	3.450E+06	mm ⁴
z ₁	501,0	mm	S _{y, 2-201}	3.450E+06	mm ⁴
A ₁	2,366E+04	mm ²	S _{y, 7-202}	3.450E+06	mm ⁴
I _x	4,114E+09	mm ⁴	S _{y, 8-202}	3.450E+06	mm ⁴
I _y	1,202E+08	mm ⁴	I _x	2.591E+06	mm ⁴
S _{x, 1-1}	4,597E+06	mm ³	I _y	0.000E+00	mm ⁴
W _{x, 1-01}	8,211E+06	mm ³	W _{x, 1-01}	7,814E+05	mm ³
W _{x, 2-02}	8,211E+06	mm ³	W _{x, 2-02}	-7,814E+05	mm ³
W _{x, 3-03}	-8,211E+06	mm ³	W _{x, 3-03}	7,814E+05	mm ³
W _{x, 4-04}	8,211E+06	mm ³	W _{x, 4-04}	-7,814E+05	mm ³
W _{x, 5-05}	8,888E+06	mm ³	W _{x, 5-05}	2,405E+07	mm ³
W _{x, 6-06}	8,888E+06	mm ³	W _{x, 6-06}	-2,405E+07	mm ³
W _{x, 7-07}	-8,888E+06	mm ³	W _{x, 7-07}	2,405E+07	mm ³
W _{x, 8-08}	-8,888E+06	mm ³	W _{x, 8-08}	-2,405E+07	mm ³

SCHÉMA PRŮŘEZU



TAB 1 13 ZÁKLADNÍ PRŮŘEZOVÉ CHARAKTERISTIKY

POSUDEK: 13
OZNAČENÍ: B_1

PRŮŘEZ: B_1
POPIS: BRZDNÉ ZTUŽIDLO 1

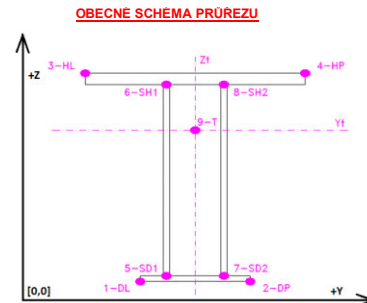
PRUT i
X[m] j

SOUČINITELE KOROZE k = 1,00

TAB A PLNÝ PRŮŘEZ, ATYPICKÉ OTVORY							BÉŽNÉ OTVORY PRO ŠROUBY ČI NYTY							OSLABENÍ PRŮŘEZU PRO NAMAHÁNÍ VNITŘNÍ SILOU						
část	b	h	y	z	poznámka	otvor	b	h	y	z	Nx-	Nx+	My-	My+	Mz-	Mz+	poznámka			
Č.	(mm)	(mm)	(mm)	(mm)	legenda 3	Č.	(mm)	(mm)	(mm)	(mm)	(mm)	(mm)	(mm)	(mm)	(mm)	(mm)	legenda 3			
1	20,0	90,0	100,0	55,0	0	21	0,0	0,0	0,0	0,0	NE	ANO	NE	ANO	NE	ANO	2			
2	200,0	10,0	100,0	5,0	0	22	0,0	0,0	0,0	0,0	NE	ANO	NE	ANO	NE	ANO	2			
3	0,0	0,0	0,0	0,0	0	23	0,0	0,0	0,0	0,0	NE	ANO	NE	ANO	NE	ANO	2			
4	0,0	0,0	0,0	0,0	0	24	0,0	0,0	0,0	0,0	NE	ANO	NE	ANO	NE	ANO	2			
5	0,0	0,0	0,0	0,0	0	25	0,0	0,0	0,0	0,0	NE	ANO	NE	ANO	NE	ANO	2			
6	0,0	0,0	0,0	0,0	0	26	0,0	0,0	0,0	0,0	NE	ANO	NE	ANO	NE	ANO	2			
7	0,0	0,0	0,0	0,0	0	27	0,0	0,0	0,0	0,0	NE	ANO	NE	ANO	NE	ANO	2			
8	0,0	0,0	0,0	0,0	0	28	0,0	0,0	0,0	0,0	NE	ANO	NE	ANO	NE	ANO	2			
9	0,0	0,0	0,0	0,0	0	29	0,0	0,0	0,0	0,0	NE	ANO	NE	ANO	NE	ANO	2			
10	0,0	0,0	0,0	0,0	0	30	0,0	0,0	0,0	0,0	NE	ANO	NE	ANO	NE	ANO	2			
11	0,0	0,0	0,0	0,0	0	31	0,0	0,0	0,0	0,0	NE	ANO	NE	ANO	NE	ANO	2			
12	0,0	0,0	0,0	0,0	0	32	0,0	0,0	0,0	0,0	NE	ANO	NE	ANO	NE	ANO	2			
13	0,0	0,0	0,0	0,0	0	33	0,0	0,0	0,0	0,0	NE	ANO	NE	ANO	NE	ANO	2			
14	0,0	0,0	0,0	0,0	0	34	0,0	0,0	0,0	0,0	NE	ANO	NE	ANO	NE	ANO	2			
15	0,0	0,0	0,0	0,0	0	35	0,0	0,0	0,0	0,0	NE	ANO	NE	ANO	NE	ANO	2			
16	0,0	0,0	0,0	0,0	0	36	0,0	0,0	0,0	0,0	NE	ANO	NE	ANO	NE	ANO	2			
17	0,0	0,0	0,0	0,0	0	37	0,0	0,0	0,0	0,0	NE	ANO	NE	ANO	NE	ANO	2			
18	0,0	0,0	0,0	0,0	0	38	0,0	0,0	0,0	0,0	NE	ANO	NE	ANO	NE	ANO	2			
19	0,0	0,0	0,0	0,0	0	39	0,0	0,0	0,0	0,0	NE	ANO	NE	ANO	NE	ANO	2			
20	0,0	0,0	0,0	0,0	0	40	0,0	0,0	0,0	0,0	NE	ANO	NE	ANO	NE	ANO	2			

TAB C-SOURADNICE KRITICKÝCH BODŮ PRŮŘEZU PRO POSUDEK NAPĚTÍ			
1-DL	2-DP	3-HL	4-HP
y ₁	z ₁	y ₂	z ₂
(mm)	(mm)	(mm)	(mm)
0,0	0,0	200,0	0,0
5-SD1	6-SH1	7-SD2	8-SH2
y ₅	z ₅	y ₇	z ₇
(mm)	(mm)	(mm)	(mm)
90,0	10,0	110,0	10,0

LEGENDA 1:
1-DL bod 1- dolní vlákná průřezu, levý okraj
2-DP bod 2- dolní vlákná průřezu, pravý okraj
3-HL bod 3- horní vlákná průřezu, levý okraj
4-HP bod 4- horní vlákná průřezu, pravý okraj
5-SD1 bod 5- dolní vlákná stěny 1
6-SH1 bod 6- horní vlákná stěny 1
7-SD2 bod 7- dolní vlákná stěny 2
8-SH2 bod 8- horní vlákná stěny 2
9-T bod 9- těžiště plného průřezu



LEGENDA 3:
0 ... neobsazeno
1 ... část průřezu
2 ... běžný otvor
3 ... atypický otvor

TAB D PRŮŘEZOVÉ CHARAKTERISTIKY OSLABENÉHO PRŮŘEZU A _{x,ef} , W _{y,ef} a W _{z,ef} V KRITICKÝCH BODECH PRŮŘEZU PRO POSUDEK NAPĚTÍ						
BOD	A _{x,ef} -pro Nx [mm ²]	A _{x,ef} -pro Nx+ [mm ²]	W _{y,ef} -pro My- [mm ³]	W _{y,ef} -pro My+ [mm ³]	W _{z,ef} -pro Mz- [mm ³]	W _{z,ef} -pro Mz+ [mm ³]
1-DL	3,800E+03	3,800E+03	1,255E+05	1,255E+05	6,727E+04	6,727E+04
2-DP	3,800E+03	3,800E+03	1,255E+05	1,255E+05	-6,727E+04	-6,727E+04
3-HL	3,800E+03	3,800E+03	-5,048E+04	-5,048E+04	6,727E+05	6,727E+05
4-HP	3,800E+03	3,800E+03	-5,048E+04	-5,048E+04	-6,727E+05	-6,727E+05
5-SD1	3,800E+03	3,800E+03	1,927E+05	1,927E+05	6,727E+05	6,727E+05
6-SH1	3,800E+03	3,800E+03	1,927E+05	1,927E+05	-6,727E+05	-6,727E+05
7-SD2	3,800E+03	3,800E+03	-5,048E+04	-5,048E+04	6,727E+05	6,727E+05
8-SH2	3,800E+03	3,800E+03	-5,048E+04	-5,048E+04	-6,727E+05	-6,727E+05
9-T	3,800E+03	3,800E+03	-	-	-	-

LEGENDA 2:
b rozměr proužku (otvoru) ve směru osy y
h rozměr proužku (otvoru) ve směru osy z
y,z souřadnice těžiště proužku (otvoru)
N_x normálová síla- tlak
N_x normálová síla- tah
M_y svislý ohybový moment- kladný
M_y svislý ohybový moment- záporný
M_z vodorovný ohybový moment- kladný
M_z vodorovný ohybový moment- záporný
y₁,...,y₈ y-ová souřadnice kritických bodů 1,...,8 pro posudek napětí
z₁,...,z₈ z-ová souřadnice kritických bodů 1,...,8 pro posudek napětí
y₁ y-ová souřadnice těžiště průřezu
z₁ z-ová souřadnice těžiště průřezu
f_y mez kluzu oceli

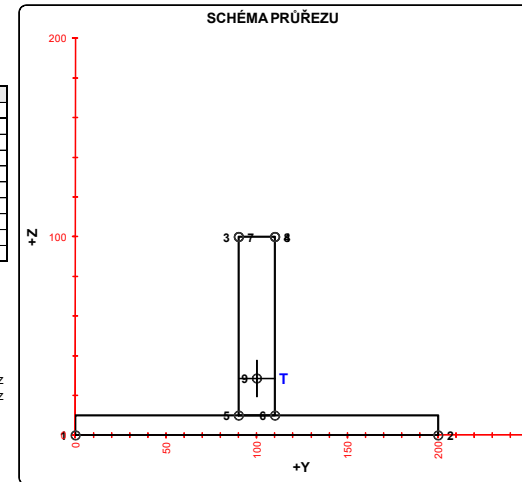
A_x průřezová plocha- plný průřez
I_y moment setrvačnosti k ose y- plný průřez
I_z moment setrvačnosti k ose z- plný průřez
I_x moment tuhosti průřezu v prostém kroucení
I_{xy} výsečový moment setrvačnosti
S_{y,9} statický moment celého průřezu k těžišťové ose y- plný průřez
S_{y,5-SD1 (7-SD2)} statický moment části průřezu pod bodem 5-SD1 (7-SD2) k těžišťové ose y- plný průřez
S_{y,6-SH1 (8-SH2)} statický moment části průřezu nad bodem 6-SH1 (8-SH2) k těžišťové ose y- plný průřez
W_{y,1..8} svislý průřezový modul průřezu v kritických bodech 1..8- plný průřez
A_{x,ef} průřezová plocha- oslabený průřez
W_{y,1..8,ef} svislý průřezový modul průřezu v kritických bodech 1..8- oslabený průřez
W_{z,1..8,ef} vodorovný průřezový modul průřezu v kritických bodech 1..8- oslabený průřez
H výška celého průřezu
H_w výška stěny průřezu
A_{vz} plocha stěny ve smyku od Vz

TAB E	t _w	f _y	f _u
BOD	(mm)	(MPa)	(MPa)
1-DL	-	213,6	327,1
2-DP	-	213,6	327,1
3-HL	-	213,6	327,1
4-HP	-	213,6	327,1
5-SD1	20,0	213,6	327,1
6-SH1	20,0	213,6	327,1
7-SD2	20,0	213,6	327,1
8-SH2	20,0	213,6	327,1
9-T	20,0	213,6	327,1

H = 100,0 mm
H_w = 90,0 mm
A_{vz} = 1800,0 mm²

TAB B VÝSLEDNÉ PRŮŘEZOVÉ CHARAKTERISTIKY- PLNÝ PRŮŘEZ						
část	b	h	y	z	poznámka	
Č.	(mm)	(mm)	(mm)	(mm)	legenda 3	
1	20,0	90,0	100,0	55,0	0	
2	200,0	10,0	100,0	5,0	0	
3	0,0	0,0	0,0	0,0	0	
4	0,0	0,0	0,0	0,0	0	
5	0,0	0,0	0,0	0,0	0	
6	0,0	0,0	0,0	0,0	0	
7	0,0	0,0	0,0	0,0	0	
8	0,0	0,0	0,0	0,0	0	
9	0,0	0,0	0,0	0,0	0	
10	0,0	0,0	0,0	0,0	0	
11	0,0	0,0	0,0	0,0	0	
12	0,0	0,0	0,0	0,0	0	
13	0,0	0,0	0,0	0,0	0	
14	0,0	0,0	0,0	0,0	0	
15	0,0	0,0	0,0	0,0	0	
16	0,0	0,0	0,0	0,0	0	
17	0,0	0,0	0,0	0,0	0	
18	0,0	0,0	0,0	0,0	0	
19	0,0	0,0	0,0	0,0	0	
20	0,0	0,0	0,0	0,0	0	

y ₁ = 100,0 mm	S _{y,5-SD1} = 4,737E+04 mm ³
z ₁ = 28,7 mm	S _{y,6-SH1} = 4,737E+04 mm ³
A _x = 3,800E+03 mm ²	S _{y,7-SD2} = 7,276E-12 mm ³
I _x = 3,600E+06 mm ⁴	S _{y,8-SH2} = 0,000E+00 mm ³
I _y = 6,727E+06 mm ⁴	I _x = 3,067E+05 mm ⁴
S _{y,9-T} = 5,086E+04 mm ³	I _y = 0,000E+00 mm ⁴
W _{y,1-DL} = 1,255E+05 mm ³	W _{y,1-DL} = 6,727E+04 mm ³
W _{y,2-DP} = 1,255E+05 mm ³	W _{y,2-DP} = -6,727E+04 mm ³
W _{y,3-HL} = -5,048E+04 mm ³	W _{y,3-HL} = 6,727E+05 mm ³
W _{y,4-HP} = -5,048E+04 mm ³	W _{y,4-HP} = -6,727E+05 mm ³
W _{y,5-SD1} = 1,927E+05 mm ³	W _{y,5-SD1} = 6,727E+05 mm ³
W _{y,6-SH1} = 1,927E+05 mm ³	W _{y,6-SH1} = -6,727E+05 mm ³
W _{y,7-SD2} = -5,048E+04 mm ³	W _{y,7-SD2} = 6,727E+05 mm ³
W _{y,8-SH2} = -5,048E+04 mm ³	W _{y,8-SH2} = -6,727E+05 mm ³



TAB 1 14 ZÁKLADNÍ PRŮŘEZOVÉ CHARAKTERISTIKY

POSUDEK: 14 PRŮŘEZ: B_2
OZNAČENÍ: B_2 POPIS: BRZDNÉ ZTUŽIDLO 2

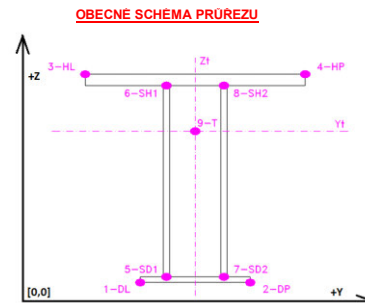
PRUT X[m]
i j

SOUČINITEL KOROZE k = 1,00

TAB A							PLNÝ PRŮŘEZ , ATYPICKÉ OTVORY							BÉŽNÉ OTVORY PRO ŠROUBY ČI NYTY							OSLABENÍ PRŮŘEZU PRO NAMAHÁNÍ VNITŘNÍ SILOU						
část	b	h	y	z	poznámka	otvor	b	h	y	z	Nx-	Nx+	My-	My+	Mz-	Mz+	poznámka										
	(mm)	(mm)	(mm)	(mm)	legenda 3	č.	(mm)	(mm)	(mm)	(mm)	[-]	[+]	[-]	[+]	[-]	[+]	legenda										
1	20,0	80,0	90,0	50,0	0	21	0,0	0,0	0,0	0,0	NE	ANO	NE	ANO	NE	ANO	2										
2	180,0	10,0	90,0	5,0	0	22	0,0	0,0	0,0	0,0	NE	ANO	NE	ANO	NE	ANO	2										
3	0,0	0,0	0,0	0,0	0	23	0,0	0,0	0,0	0,0	NE	ANO	NE	ANO	NE	ANO	2										
4	0,0	0,0	0,0	0,0	0	24	0,0	0,0	0,0	0,0	NE	ANO	NE	ANO	NE	ANO	2										
5	0,0	0,0	0,0	0,0	0	25	0,0	0,0	0,0	0,0	NE	ANO	NE	ANO	NE	ANO	2										
6	0,0	0,0	0,0	0,0	0	26	0,0	0,0	0,0	0,0	NE	ANO	NE	ANO	NE	ANO	2										
7	0,0	0,0	0,0	0,0	0	27	0,0	0,0	0,0	0,0	NE	ANO	NE	ANO	NE	ANO	2										
8	0,0	0,0	0,0	0,0	0	28	0,0	0,0	0,0	0,0	NE	ANO	NE	ANO	NE	ANO	2										
9	0,0	0,0	0,0	0,0	0	29	0,0	0,0	0,0	0,0	NE	ANO	NE	ANO	NE	ANO	2										
10	0,0	0,0	0,0	0,0	0	30	0,0	0,0	0,0	0,0	NE	ANO	NE	ANO	NE	ANO	2										
11	0,0	0,0	0,0	0,0	0	31	0,0	0,0	0,0	0,0	NE	ANO	NE	ANO	NE	ANO	2										
12	0,0	0,0	0,0	0,0	0	32	0,0	0,0	0,0	0,0	NE	ANO	NE	ANO	NE	ANO	2										
13	0,0	0,0	0,0	0,0	0	33	0,0	0,0	0,0	0,0	NE	ANO	NE	ANO	NE	ANO	2										
14	0,0	0,0	0,0	0,0	0	34	0,0	0,0	0,0	0,0	NE	ANO	NE	ANO	NE	ANO	2										
15	0,0	0,0	0,0	0,0	0	35	0,0	0,0	0,0	0,0	NE	ANO	NE	ANO	NE	ANO	2										
16	0,0	0,0	0,0	0,0	0	36	0,0	0,0	0,0	0,0	NE	ANO	NE	ANO	NE	ANO	2										
17	0,0	0,0	0,0	0,0	0	37	0,0	0,0	0,0	0,0	NE	ANO	NE	ANO	NE	ANO	2										
18	0,0	0,0	0,0	0,0	0	38	0,0	0,0	0,0	0,0	NE	ANO	NE	ANO	NE	ANO	2										
19	0,0	0,0	0,0	0,0	0	39	0,0	0,0	0,0	0,0	NE	ANO	NE	ANO	NE	ANO	2										
20	0,0	0,0	0,0	0,0	0	40	0,0	0,0	0,0	0,0	NE	ANO	NE	ANO	NE	ANO	2										

TAB C- SOURADNICE KRITICKÝCH BODŮ PRŮŘEZU PRO POSUDEK NAPĚTÍ							
1-DL	2-DP	3-HL	4-HP	5-SD1	6-SH1	7-SD2	8-SH2
y ₁	z ₁	y ₂	z ₂	y ₃	z ₃	y ₄	z ₄
(mm)	(mm)	(mm)	(mm)	(mm)	(mm)	(mm)	(mm)
0,0	0,0	180,0	0,0	80,0	90,0	100,0	90,0
y ₅	z ₅	y ₆	z ₆	y ₇	z ₇	y ₈	z ₈
(mm)	(mm)	(mm)	(mm)	(mm)	(mm)	(mm)	(mm)
80,0	10,0	100,0	10,0	80,0	90,0	100,0	90,0

LEGENDA 1:
1-DL bod 1- dolní vlákná průřezu, levý okraj
2-DP bod 2- dolní vlákná průřezu, pravý okraj
3-HL bod 3- horní vlákná průřezu, levý okraj
4-HP bod 4- horní vlákná průřezu, pravý okraj
5-SD1 bod 5- dolní vlákná stěny 1
6-SH1 bod 6- horní vlákná stěny 1
7-SD2 bod 7- dolní vlákná stěny 2
8-SH2 bod 8- horní vlákná stěny 2
9-T bod 9- těžiště plného průřezu



LEGENDA 3:
0 ... neobsazeno
1 ... část průřezu
2 ... běžný otvor
3 ... atypický otvor

TAB D PRŮŘEZOVÉ CHARAKTERISTIKY OSLABENÉHO PRŮŘEZU A _{x,ef} , W _{y,ef} a W _{z,ef} V KRITICKÝCH BODECH PRŮŘEZU PRO POSUDEK NAPĚTÍ						
BOD	A _{x,ef} -pro Nx- [mm ²]	A _{x,ef} -pro Nx+ [mm ²]	W _{y,ef} -pro My- [mm ³]	W _{y,ef} -pro My+ [mm ³]	W _{z,ef} -pro Mz- [mm ³]	W _{z,ef} -pro Mz+ [mm ³]
1-DL	3,400E+03	3,400E+03	9,870E+04	9,870E+04	5,459E+04	5,459E+04
2-DP	3,400E+03	3,400E+03	9,870E+04	9,870E+04	-5,459E+04	-5,459E+04
3-HL	3,400E+03	3,400E+03	-4,048E+04	-4,048E+04	4,913E+05	4,913E+05
4-HP	3,400E+03	3,400E+03	-4,048E+04	-4,048E+04	-4,913E+05	-4,913E+05
5-SD1	3,400E+03	3,400E+03	1,597E+05	1,597E+05	4,913E+05	4,913E+05
6-SH1	3,400E+03	3,400E+03	1,597E+05	1,597E+05	-4,913E+05	-4,913E+05
7-SD2	3,400E+03	3,400E+03	-4,048E+04	-4,048E+04	4,913E+05	4,913E+05
8-SH2	3,400E+03	3,400E+03	-4,048E+04	-4,048E+04	-4,913E+05	-4,913E+05
9-T	3,400E+03	3,400E+03	-	-	-	-

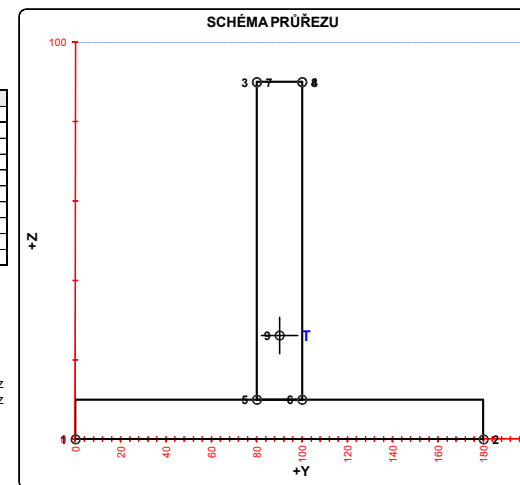
LEGENDA 2:
b rozměr proužku (otvoru) ve směru osy y
h rozměr proužku (otvoru) ve směru osy z
y,z souřadnice těžiště proužku (otvoru)
N_x normálová síla- tlak
N_x normálová síla- tah
M_y svislý ohybový moment- kladný
M_y svislý ohybový moment- záporný
M_z vodorovný ohybový moment- kladný
M_z vodorovný ohybový moment- záporný
y₁,...,y₈ z-ová souřadnice kritických bodů 1,...,8 pro posudek napětí
z₁,...,z₈ y-ová souřadnice kritických bodů 1,...,8 pro posudek napětí
y_t y-ová souřadnice těžiště průřezu
z_t z-ová souřadnice těžiště průřezu
f_y mez kluzu oceli

A_x průřezová plocha- plný průřez
I_y moment setrvačnosti k ose y- plný průřez
I_z moment setrvačnosti k ose z- plný průřez
I_y moment tuhosti průřezu v prostém kroucení
I_z moment setrvačnosti
S_{y,9} statický moment celého průřezu k těžišťové ose y- plný průřez
S_{y,5-SD1 (7-SD2)} statický moment části průřezu pod bodem 5-SD1 (7-SD2) k těžišťové ose y- plný průřez
S_{y,6-SH1 (8-SH2)} statický moment části průřezu nad bodem 6-SH1 (8-SH2) k těžišťové ose y- plný průřez
W_{y,1,8} svislý průřezový modul průřezu v kritických bodech 1..8- plný průřez
A_{x,ef} průřezová plocha- oslabený průřez
W_{y,1,8,ef} svislý průřezový modul průřezu v kritických bodech 1..8- oslabený průřez
W_{z,1,8,ef} vodorovný průřezový modul průřezu v kritických bodech 1..8- oslabený průřez
H výška celého průřezu
H_w výška stěny průřezu
A_{yz} plocha stěny ve smyku od Vz

TAB E	t _w	f _y	f _{yk}
BOD	(mm)	(MPa)	(MPa)
1-DL	-	213,6	327,1
2-DP	-	213,6	327,1
3-HL	-	213,6	327,1
4-HP	-	213,6	327,1
5-SD1	20,0	213,6	327,1
6-SH1	20,0	213,6	327,1
7-SD2	20,0	213,6	327,1
8-SH2	20,0	213,6	327,1
9-T	20,0	213,6	327,1

H = 90,0 mm
H_w = 80,0 mm
A_{yz} = 1600,0 mm²

TAB B VÝSLEDNÉ PRŮŘEZOVÉ CHARAKTERISTIKY- PLNÝ PRŮŘEZ						
část	b	h	y	z	poznámka	
Č.	(mm)	(mm)	(mm)	(mm)	legenda 3	
1	20,0	80,0	90,0	50,0	0	
2	180,0	10,0	90,0	5,0	0	
3	0,0	0,0	0,0	0,0	0	
4	0,0	0,0	0,0	0,0	0	
5	0,0	0,0	0,0	0,0	0	
6	0,0	0,0	0,0	0,0	0	
7	0,0	0,0	0,0	0,0	0	
8	0,0	0,0	0,0	0,0	0	
9	0,0	0,0	0,0	0,0	0	
10	0,0	0,0	0,0	0,0	0	
11	0,0	0,0	0,0	0,0	0	
12	0,0	0,0	0,0	0,0	0	
13	0,0	0,0	0,0	0,0	0	
14	0,0	0,0	0,0	0,0	0	
15	0,0	0,0	0,0	0,0	0	
16	0,0	0,0	0,0	0,0	0	
17	0,0	0,0	0,0	0,0	0	
18	0,0	0,0	0,0	0,0	0	
19	0,0	0,0	0,0	0,0	0	
20	0,0	0,0	0,0	0,0	0	
y _t	90,0 mm	S _{y,9-SH1} = 3,812E+04 mm ³				
z _t	26,2 mm	S _{y,6-SH1} = 3,812E+04 mm ³				
A _x	3,400E+03 mm ²	S _{y,7-SD2} = 0,000E+00 mm ³				
I _y	2,584E+06 mm ⁴	S _{y,8-SH2} = 0,000E+00 mm ³				
I _z	4,913E+06 mm ⁴	I _y = 2,733E+05 mm ⁴				
S _{y,9-T}	4,073E+04 mm ³	I _z = 0,000E+00 mm ⁴				
W _{y,1-DL}	9,870E+04 mm ³	W _{y,1-DL} = 5,459E+04 mm ³				
W _{y,2-DP}	9,870E+04 mm ³	W _{y,2-DP} = -5,459E+04 mm ³				
W _{y,3-HL}	-4,048E+04 mm ³	W _{y,3-HL} = 4,913E+05 mm ³				
W _{y,4-HP}	-4,048E+04 mm ³	W _{y,4-HP} = -4,913E+05 mm ³				
W _{y,5-SD1}	1,597E+05 mm ³	W _{y,5-SD1} = 4,913E+05 mm ³				
W _{y,6-SH1}	1,597E+05 mm ³	W _{y,6-SH1} = -4,913E+05 mm ³				
W _{y,7-SD2}	-4,048E+04 mm ³	W _{y,7-SD2} = 4,913E+05 mm ³				
W _{y,8-SH2}	-4,048E+04 mm ³	W _{y,8-SH2} = -4,913E+05 mm ³				



TAB 1 15 ZÁKLADNÍ PRŮŘEZOVÉ CHARAKTERISTIKY

POSUDEK: 15 PRŮŘEZ: B_3
OZNAČENÍ: B_3 POPIS: BRZDNÉ ZTUŽIDLO 3

PRUT i X[m]
j

SOUČINITEL KOROZE k = 1,00

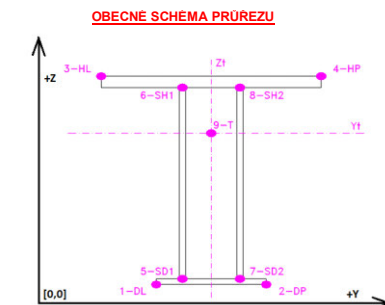
TAB A PLNÝ PRŮŘEZ , ATYPICKÉ OTVORY										BÉŽNÉ OTVORY PRO ŠROUBY ČI NYTY					OSLABENÍ PRŮŘEZU PRO NAMAHÁNÍ VNITŘNÍ SÍLOU				
část	b	h	y	z	poznámka	otvor	b	h	y	z	Nx-	Nx+	My-	My+	Mz-	Mz+	poznámka		
Č.	(mm)	(mm)	(mm)	(mm)	legenda 3	Č.	(mm)	(mm)	(mm)	(mm)							legenda 3		
1	70,0	8,0	35,0	66,0	0	21	0,0	0,0	0,0	0,0	NE	ANO	NE	ANO	NE	ANO	2		
2	8,0	62,0	66,0	31,0	0	22	0,0	0,0	0,0	0,0	NE	ANO	NE	ANO	NE	ANO	2		
3	0,0	0,0	0,0	0,0	0	23	0,0	0,0	0,0	0,0	NE	ANO	NE	ANO	NE	ANO	2		
4	0,0	0,0	0,0	0,0	0	24	0,0	0,0	0,0	0,0	NE	ANO	NE	ANO	NE	ANO	2		
5	0,0	0,0	0,0	0,0	0	25	0,0	0,0	0,0	0,0	NE	ANO	NE	ANO	NE	ANO	2		
6	0,0	0,0	0,0	0,0	0	26	0,0	0,0	0,0	0,0	NE	ANO	NE	ANO	NE	ANO	2		
7	0,0	0,0	0,0	0,0	0	27	0,0	0,0	0,0	0,0	NE	ANO	NE	ANO	NE	ANO	2		
8	0,0	0,0	0,0	0,0	0	28	0,0	0,0	0,0	0,0	NE	ANO	NE	ANO	NE	ANO	2		
9	0,0	0,0	0,0	0,0	0	29	0,0	0,0	0,0	0,0	NE	ANO	NE	ANO	NE	ANO	2		
10	0,0	0,0	0,0	0,0	0	30	0,0	0,0	0,0	0,0	NE	ANO	NE	ANO	NE	ANO	2		
11	0,0	0,0	0,0	0,0	0	31	0,0	0,0	0,0	0,0	NE	ANO	NE	ANO	NE	ANO	2		
12	0,0	0,0	0,0	0,0	0	32	0,0	0,0	0,0	0,0	NE	ANO	NE	ANO	NE	ANO	2		
13	0,0	0,0	0,0	0,0	0	33	0,0	0,0	0,0	0,0	NE	ANO	NE	ANO	NE	ANO	2		
14	0,0	0,0	0,0	0,0	0	34	0,0	0,0	0,0	0,0	NE	ANO	NE	ANO	NE	ANO	2		
15	0,0	0,0	0,0	0,0	0	35	0,0	0,0	0,0	0,0	NE	ANO	NE	ANO	NE	ANO	2		
16	0,0	0,0	0,0	0,0	0	36	0,0	0,0	0,0	0,0	NE	ANO	NE	ANO	NE	ANO	2		
17	0,0	0,0	0,0	0,0	0	37	0,0	0,0	0,0	0,0	NE	ANO	NE	ANO	NE	ANO	2		
18	0,0	0,0	0,0	0,0	0	38	0,0	0,0	0,0	0,0	NE	ANO	NE	ANO	NE	ANO	2		
19	0,0	0,0	0,0	0,0	0	39	0,0	0,0	0,0	0,0	NE	ANO	NE	ANO	NE	ANO	2		
20	0,0	0,0	0,0	0,0	0	40	0,0	0,0	0,0	0,0	NE	ANO	NE	ANO	NE	ANO	2		

1-DL		2-DP		3-HL		4-HP	
y ₁	z ₁	y ₂	z ₂	y ₃	z ₃	y ₄	z ₄
(mm)	(mm)	(mm)	(mm)	(mm)	(mm)	(mm)	(mm)
62,0	0,0	70,0	0,0	0,0	70,0	70,0	70,0
5-SD1		6-SH1		7-SD2		8-SH2	
y ₅	z ₅	y ₆	z ₆	y ₇	z ₇	y ₈	z ₈
(mm)	(mm)	(mm)	(mm)	(mm)	(mm)	(mm)	(mm)
62,0	0,0	70,0	0,0	62,0	62,0	70,0	62,0

LEGENDA 1:
1-DL bod 1- dolní vlákná průřezu, levý okraj
2-DP bod 2- dolní vlákná průřezu, pravý okraj
3-HL bod 3- horní vlákná průřezu, levý okraj
4-HP bod 4- horní vlákná průřezu, pravý okraj
5-SD1 bod 5- dolní vlákná stěny 1
6-SH1 bod 6- horní vlákná stěny 1
7-SD2 bod 7- dolní vlákná stěny 2
8-SH2 bod 8- horní vlákná stěny 2
9-T bod 9- těžiště plného průřezu

TAB D PRŮŘEZOVÉ CHARAKTERISTIKY OSLABENÉHO PRŮŘEZU A _{x,ef} , W _{y,ef} a W _{z,ef} V KRITICKÝCH BODECH PRŮŘEZU PRO POSUDEK NAPĚTÍ						
BOD	A _{x,ef} -pro Nx [mm ²]	A _{x,ef} -pro Nx+ [mm ²]	W _{y,ef} -pro My- [mm ³]	W _{y,ef} -pro My+ [mm ³]	W _{z,ef} -pro Mz- [mm ³]	W _{z,ef} -pro Mz+ [mm ³]
1-DL	1,056E+03	1,056E+03	9,765E+03	9,765E+03	-3,891E+04	-3,891E+04
2-DP	1,056E+03	1,056E+03	9,765E+03	9,765E+03	-2,368E+04	-2,368E+04
3-HL	1,056E+03	1,056E+03	-2,368E+04	-2,368E+04	9,766E+03	9,766E+03
4-HP	1,056E+03	1,056E+03	-2,368E+04	-2,368E+04	-2,368E+04	-2,368E+04
5-SD1	1,056E+03	1,056E+03	9,765E+03	9,765E+03	-3,891E+04	-3,891E+04
6-SH1	1,056E+03	1,056E+03	9,765E+03	9,765E+03	-2,368E+04	-2,368E+04
7-SD2	1,056E+03	1,056E+03	-3,890E+04	-3,890E+04	-3,891E+04	-3,891E+04
8-SH2	1,056E+03	1,056E+03	-3,890E+04	-3,890E+04	-2,368E+04	-2,368E+04
9-T	1,056E+03	1,056E+03	-	-	-	-

LEGENDA 2:
b rozměr proužku (otvoru) ve směru osy y
h rozměr proužku (otvoru) ve směru osy z
y,z souřadnice těžiště proužku (otvoru)
N_x normálová síla- tlak
N_x normálová síla- tah
M_y svislý ohybový moment- kladný
M_y svislý ohybový moment- záporný
M_z vodorovný ohybový moment- kladný
M_z vodorovný ohybový moment- záporný
y₁,...,y₈ z-ová souřadnice kritických bodů 1,...,8 pro posudek napětí
z₁,...,z₈ y-ová souřadnice kritických bodů 1,...,8 pro posudek napětí
y_t y-ová souřadnice těžiště průřezu
z_t z-ová souřadnice těžiště průřezu
f_y mez kluzu oceli



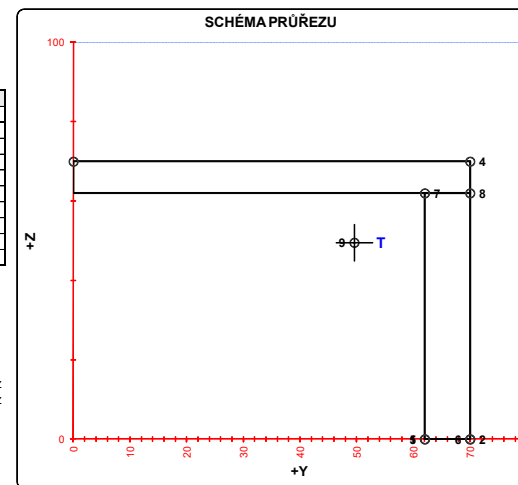
LEGENDA 3:
0 ... neobsazeno
1 ... část průřezu
2 ... běžný otvor
3 ... atypický otvor

TAB E	t _w	f _y	f _t
BOD	(mm)	(MPa)	(MPa)
1-DL	-	213,6	327,1
2-DP	-	213,6	327,1
3-HL	-	213,6	327,1
4-HP	-	213,6	327,1
5-SD1	8,0	213,6	327,1
6-SH1	8,0	213,6	327,1
7-SD2	8,0	213,6	327,1
8-SH2	8,0	213,6	327,1
9-T	8,0	213,6	327,1

A_x průřezová plocha- plný průřez
I_y moment setrvačnosti k ose y- plný průřez
I_z moment setrvačnosti k ose z- plný průřez
I_t moment tuhosti průřezu v prostém kroucení
I_o výšeový moment setrvačnosti
S_{y,9} statický moment celého průřezu k těžišťové ose y- plný průřez
S_{y,5-SD1 (7-SD2)} statický moment části průřezu pod bodem 5-SD1 (7-SD2) k těžišťové ose y- plný průřez
S_{y,6-SH1 (8-SH2)} statický moment části průřezu nad bodem 6-SH1 (8-SH2) k těžišťové ose y- plný průřez
W_{y,1..8} svislý průřezový modul průřezu v kritických bodech 1..8- plný průřez
A_{x,ef} průřezová plocha- oslabený průřez
W_{y,1..8,ef} svislý průřezový modul průřezu v kritických bodech 1..8- oslabený průřez
W_{z,1..8,ef} vodorovný průřezový modul průřezu v kritických bodech 1..8- oslabený průřez
H výška celého průřezu
H_w výška stěny průřezu
A_{vz} plocha stěny ve smyku od Vz

TAB B VÝSLEDNÉ PRŮŘEZOVÉ CHARAKTERISTIKY- PLNÝ PRŮŘEZ						
část	b	h	y	z	poznámka	
Č.	(mm)	(mm)	(mm)	(mm)	legenda 3	
1	70,0	8,0	35,0	66,0	0	
2	8,0	62,0	66,0	31,0	0	
3	0,0	0,0	0,0	0,0	0	
4	0,0	0,0	0,0	0,0	0	
5	0,0	0,0	0,0	0,0	0	
6	0,0	0,0	0,0	0,0	0	
7	0,0	0,0	0,0	0,0	0	
8	0,0	0,0	0,0	0,0	0	
9	0,0	0,0	0,0	0,0	0	
10	0,0	0,0	0,0	0,0	0	
11	0,0	0,0	0,0	0,0	0	
12	0,0	0,0	0,0	0,0	0	
13	0,0	0,0	0,0	0,0	0	
14	0,0	0,0	0,0	0,0	0	
15	0,0	0,0	0,0	0,0	0	
16	0,0	0,0	0,0	0,0	0	
17	0,0	0,0	0,0	0,0	0	
18	0,0	0,0	0,0	0,0	0	
19	0,0	0,0	0,0	0,0	0	
20	0,0	0,0	0,0	0,0	0	

y _t = 49,6 mm	S _{y,5-SD1} = 0,000E+00 mm ³
z _t = 49,6 mm	S _{y,6-SH1} = -5,457E-12 mm ³
A _x = 1,056E+03 mm ²	S _{y,7-SD2} = 9,203E+03 mm ³
I _y = 4,839E+05 mm ⁴	S _{y,8-SH2} = 9,203E+03 mm ³
I _z = 4,840E+05 mm ⁴	I _t = 2,252E+04 mm ⁴
S _{y,9-T} = 9,822E+03 mm ³	I _o = 0,000E+00 mm ⁴
W _{y,1-DL} = 9,765E+03 mm ³	W _{y,1-DL} = -3,891E+04 mm ³
W _{y,2-DP} = 9,765E+03 mm ³	W _{y,2-DP} = -2,368E+04 mm ³
W _{y,3-HL} = -2,368E+04 mm ³	W _{y,3-HL} = 9,766E+03 mm ³
W _{y,4-HP} = -2,368E+04 mm ³	W _{y,4-HP} = -2,368E+04 mm ³
W _{y,5-SD1} = 9,765E+03 mm ³	W _{y,5-SD1} = -3,891E+04 mm ³
W _{y,6-SH1} = 9,765E+03 mm ³	W _{y,6-SH1} = -2,368E+04 mm ³
W _{y,7-SD2} = -3,890E+04 mm ³	W _{y,7-SD2} = -3,891E+04 mm ³
W _{y,8-SH2} = -3,890E+04 mm ³	W _{y,8-SH2} = -2,368E+04 mm ³



TAB 1 16 ZÁKLADNÍ PRŮŘEZOVÉ CHARAKTERISTIKY

POSUDEK: 16 PRŮŘEZ: B_4
OZNAČENÍ: B_4 POPIS: BRZDNÉ ZTUŽIDLO 4

PRUT i X[m] j

SOUČINITEL KOROZE k = 1,00

TAB A							OSLABENÍ PRŮŘEZU PRO NAMAHÁNÍ VNITŘNÍ SILOU											
PLNÝ PRŮŘEZ , ATYPICKÉ OTVORY							BÉŽNÉ OTVORY PRO ŠROUBY ČI NYTY											
část	b	h	y	z	poznámka	otvor	část	b	h	y	z	Nx-	Nx+	My-	My+	Mz-	Mz+	poznámka
Č.	(mm)	(mm)	(mm)	(mm)	legenda 3	Č.	(mm)	(mm)	(mm)	(mm)		[-]	[-]	[-]	[-]	[-]	[-]	legenda
1	24,0	108,0	120,0	66,0	0	21	0,0	0,0	0,0	0,0	0,0	NE	ANO	NE	ANO	NE	ANO	2
2	240,0	12,0	120,0	6,0	0	22	0,0	0,0	0,0	0,0	0,0	NE	ANO	NE	ANO	NE	ANO	2
3	0,0	0,0	0,0	0,0	0	23	0,0	0,0	0,0	0,0	0,0	NE	ANO	NE	ANO	NE	ANO	2
4	0,0	0,0	0,0	0,0	0	24	0,0	0,0	0,0	0,0	0,0	NE	ANO	NE	ANO	NE	ANO	2
5	0,0	0,0	0,0	0,0	0	25	0,0	0,0	0,0	0,0	0,0	NE	ANO	NE	ANO	NE	ANO	2
6	0,0	0,0	0,0	0,0	0	26	0,0	0,0	0,0	0,0	0,0	NE	ANO	NE	ANO	NE	ANO	2
7	0,0	0,0	0,0	0,0	0	27	0,0	0,0	0,0	0,0	0,0	NE	ANO	NE	ANO	NE	ANO	2
8	0,0	0,0	0,0	0,0	0	28	0,0	0,0	0,0	0,0	0,0	NE	ANO	NE	ANO	NE	ANO	2
9	0,0	0,0	0,0	0,0	0	29	0,0	0,0	0,0	0,0	0,0	NE	ANO	NE	ANO	NE	ANO	2
10	0,0	0,0	0,0	0,0	0	30	0,0	0,0	0,0	0,0	0,0	NE	ANO	NE	ANO	NE	ANO	2
11	0,0	0,0	0,0	0,0	0	31	0,0	0,0	0,0	0,0	0,0	NE	ANO	NE	ANO	NE	ANO	2
12	0,0	0,0	0,0	0,0	0	32	0,0	0,0	0,0	0,0	0,0	NE	ANO	NE	ANO	NE	ANO	2
13	0,0	0,0	0,0	0,0	0	33	0,0	0,0	0,0	0,0	0,0	NE	ANO	NE	ANO	NE	ANO	2
14	0,0	0,0	0,0	0,0	0	34	0,0	0,0	0,0	0,0	0,0	NE	ANO	NE	ANO	NE	ANO	2
15	0,0	0,0	0,0	0,0	0	35	0,0	0,0	0,0	0,0	0,0	NE	ANO	NE	ANO	NE	ANO	2
16	0,0	0,0	0,0	0,0	0	36	0,0	0,0	0,0	0,0	0,0	NE	ANO	NE	ANO	NE	ANO	2
17	0,0	0,0	0,0	0,0	0	37	0,0	0,0	0,0	0,0	0,0	NE	ANO	NE	ANO	NE	ANO	2
18	0,0	0,0	0,0	0,0	0	38	0,0	0,0	0,0	0,0	0,0	NE	ANO	NE	ANO	NE	ANO	2
19	0,0	0,0	0,0	0,0	0	39	0,0	0,0	0,0	0,0	0,0	NE	ANO	NE	ANO	NE	ANO	2
20	0,0	0,0	0,0	0,0	0	40	0,0	0,0	0,0	0,0	0,0	NE	ANO	NE	ANO	NE	ANO	2

TAB C- SOURADNICE KRITICKÝCH BODŮ PRŮŘEZU PRO POSUDEK NAPĚTÍ			
1-DL	2-DP	3-HL	4-HP
y ₁	z ₁	y ₂	z ₂
(mm)	(mm)	(mm)	(mm)
0,0	0,0	240,0	0,0
108,0	12,0	132,0	120,0
5-SD1	6-SH1	7-SD2	8-SH2
y ₅	z ₅	y ₇	z ₇
(mm)	(mm)	(mm)	(mm)
108,0	12,0	132,0	120,0

LEGENDA 1:
1-DL bod 1- dolní vlákná průřezu, levý okraj
2-DP bod 2- dolní vlákná průřezu, pravý okraj
3-HL bod 3- horní vlákná průřezu, levý okraj
4-HP bod 4- horní vlákná průřezu, pravý okraj
5-SD1 bod 5- dolní vlákná stěny 1
6-SH1 bod 6- horní vlákná stěny 1
7-SD2 bod 7- dolní vlákná stěny 2
8-SH2 bod 8- horní vlákná stěny 2
9-T bod 9- těžiště plného průřezu

TAB D PRŮŘEZOVÉ CHARAKTERISTIKY OSLABENÉHO PRŮŘEZU A _{x,ef} , W _{y,ef} a W _{z,ef} V KRITICKÝCH BODECH PRŮŘEZU PRO POSUDEK NAPĚTÍ					
BOD	A _{x,ef} -pro Nx [mm ²]	A _{x,ef} -pro Nx+ [mm ²]	W _{y,ef} -pro My- [mm ³]	W _{y,ef} -pro My+ [mm ³]	W _{z,ef} -pro Mz- [mm ³]
1-DL	5,472E+03	5,472E+03	2,169E+05	2,169E+05	1,162E+05
2-DP	5,472E+03	5,472E+03	2,169E+05	2,169E+05	-1,162E+05
3-HL	5,472E+03	5,472E+03	-8,723E+04	-8,723E+04	1,162E+06
4-HP	5,472E+03	5,472E+03	-8,723E+04	-8,723E+04	-1,162E+06
5-SD1	5,472E+03	5,472E+03	3,330E+05	3,330E+05	1,162E+06
6-SH1	5,472E+03	5,472E+03	3,330E+05	3,330E+05	-1,162E+06
7-SD2	5,472E+03	5,472E+03	-8,723E+04	-8,723E+04	1,162E+06
8-SH2	5,472E+03	5,472E+03	-8,723E+04	-8,723E+04	-1,162E+06
9-T	5,472E+03	5,472E+03	-	-	-

LEGENDA 2:
b rozměr proužku (otvoru) ve směru osy y
h rozměr proužku (otvoru) ve směru osy z
y,z souřadnice těžiště proužku (otvoru)
N_x normálová síla- tlak
N_x normálová síla- tah
M_y svislý ohybový moment- kladný
M_y svislý ohybový moment- záporný
M_z vodorovný ohybový moment- kladný
M_z vodorovný ohybový moment- záporný
y₁,...,y₈ y-ová souřadnice kritických bodů 1,...,8 pro posudek napětí
z₁,...,z₈ z-ová souřadnice kritických bodů 1,...,8 pro posudek napětí
y_t y-ová souřadnice těžiště průřezu
z_t z-ová souřadnice těžiště průřezu
f_y mez kluzu oceli

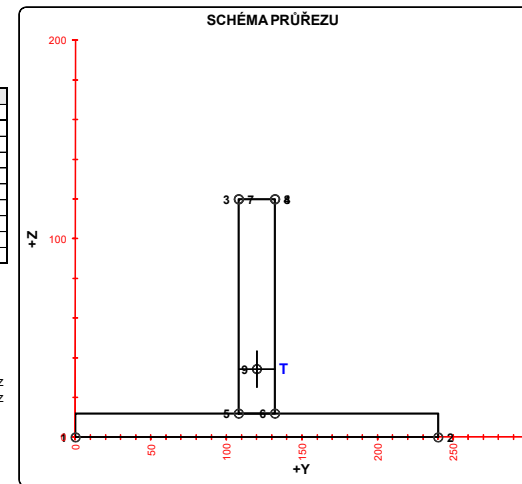
A_x průřezová plocha- plný průřez
I_y moment setrvačnosti k ose y- plný průřez
I_z moment setrvačnosti k ose z- plný průřez
I_t moment tuhosti průřezu v prostém kroucení
I_e výsečový moment setrvačnosti
S_{y,9} statický moment celého průřezu k těžišťové ose y- plný průřez
S_{y,5-SD1 (7-SD2)} statický moment části průřezu pod bodem 5-SD1 (7-SD2) k těžišťové ose y- plný průřez
S_{y,6-SH1 (8-SH2)} statický moment části průřezu nad bodem 6-SH1 (8-SH2) k těžišťové ose y- plný průřez
W_{y,1-8} svislý průřezový modul průřezu v kritických bodech 1..8- plný průřez
A_{x,ef} průřezová plocha- oslabený průřez
W_{y,1,8,ef} svislý průřezový modul průřezu v kritických bodech 1..8- oslabený průřez
W_{z,1,8,ef} vodorovný průřezový modul průřezu v kritických bodech 1..8- oslabený průřez
H výška celého průřezu
H_w výška stěny průřezu
A_{vz} plocha stěny ve smyku od Vz

TAB E	t _w	f _y	f _t
BOD	(mm)	(MPa)	(MPa)
1-DL	-	213,6	327,1
2-DP	-	213,6	327,1
3-HL	-	213,6	327,1
4-HP	-	213,6	327,1
5-SD1	24,0	213,6	327,1
6-SH1	24,0	213,6	327,1
7-SD2	24,0	213,6	327,1
8-SH2	24,0	213,6	327,1
9-T	24,0	213,6	327,1

H = 120,0 mm
H_w = 108,0 mm
A_{vz} = 2592,0 mm²

TAB B VÝSLEDNÉ PRŮŘEZOVÉ CHARAKTERISTIKY- PLNÝ PRŮŘEZ						
část	b	h	y	z	poznámka	
Č.	(mm)	(mm)	(mm)	(mm)	legenda 3	
1	24,0	108,0	120,0	66,0	0	
2	240,0	12,0	120,0	6,0	0	
3	0,0	0,0	0,0	0,0	0	
4	0,0	0,0	0,0	0,0	0	
5	0,0	0,0	0,0	0,0	0	
6	0,0	0,0	0,0	0,0	0	
7	0,0	0,0	0,0	0,0	0	
8	0,0	0,0	0,0	0,0	0	
9	0,0	0,0	0,0	0,0	0	
10	0,0	0,0	0,0	0,0	0	
11	0,0	0,0	0,0	0,0	0	
12	0,0	0,0	0,0	0,0	0	
13	0,0	0,0	0,0	0,0	0	
14	0,0	0,0	0,0	0,0	0	
15	0,0	0,0	0,0	0,0	0	
16	0,0	0,0	0,0	0,0	0	
17	0,0	0,0	0,0	0,0	0	
18	0,0	0,0	0,0	0,0	0	
19	0,0	0,0	0,0	0,0	0	
20	0,0	0,0	0,0	0,0	0	

y_t = 120,0 mm S_{y,9} = 8,185E+04 mm³
z_t = 34,4 mm S_{y,5-SD1} = 8,185E+04 mm³
A_x = 5,472E+03 mm² S_{y,7-SD2} = 2,910E+11 mm³
I_y = 7,465E+06 mm⁴ S_{y,8-SH2} = 2,919E+11 mm³
I_z = 1,395E+07 mm⁴ I_e = 6,359E+05 mm⁴
S_{y,1-8} = 8,789E+04 mm³ I_e = 0,000E+00 mm⁴
W_{y,1-DL} = 2,169E+05 mm³ W_{y,1-DL} = 1,162E+05 mm³
W_{y,2-DP} = 2,169E+05 mm³ W_{y,2-DP} = -1,162E+05 mm³
W_{y,3-HL} = -8,723E+04 mm³ W_{y,3-HL} = 1,162E+06 mm³
W_{y,4-HP} = -8,723E+04 mm³ W_{y,4-HP} = -1,162E+06 mm³
W_{y,5-SD1} = 3,330E+05 mm³ W_{y,5-SD1} = 1,162E+06 mm³
W_{y,6-SH1} = 3,330E+05 mm³ W_{y,6-SH1} = -1,162E+06 mm³
W_{y,7-SD2} = -8,723E+04 mm³ W_{y,7-SD2} = 1,162E+06 mm³
W_{y,8-SH2} = -8,723E+04 mm³ W_{y,8-SH2} = -1,162E+06 mm³



TAB 1 17 ZÁKLADNÍ PRŮŘEZOVÉ CHARAKTERISTIKY

POSUDEK: 17 PRŮŘEZ: K_1
OZNAČENÍ: K_1 POPIS: ZTUŽENÍ OBLOUKU

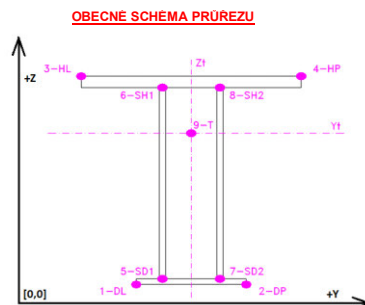
PRUT i X[m] j

SOUČINITEL KOROZE k = 1,00

TAB A							PLNÝ PRŮŘEZ , ATYPICKÉ OTVORY				BEŽNÉ OTVORY PRO ŠROUBY ČI NYTY				OSLABENÍ PRŮŘEZU PRO NAMAHÁNÍ VNITŘNÍ SÍLOU						
část	b	h	y	z	poznámka	otvor	b	h	y	z	Nx-	Nx+	My-	My+	Mz-	Mz+	poznámka				
č.	(mm)	(mm)	(mm)	(mm)	legenda 3	č.	(mm)	(mm)	(mm)	(mm)	(-)	(-)	(-)	(-)	(-)	(-)	legenda 3				
1	200,0	20,0	100,0	580,0	0	21	0,0	0,0	0,0	0,0	NE	ANO	NE	ANO	NE	ANO	2				
2	10,0	550,0	100,0	295,0	0	22	0,0	0,0	0,0	0,0	NE	ANO	NE	ANO	NE	ANO	2				
3	200,0	20,0	100,0	10,0	0	23	0,0	0,0	0,0	0,0	NE	ANO	NE	ANO	NE	ANO	2				
4	0,0	0,0	0,0	0,0	0	24	0,0	0,0	0,0	0,0	NE	ANO	NE	ANO	NE	ANO	2				
5	0,0	0,0	0,0	0,0	0	25	0,0	0,0	0,0	0,0	NE	ANO	NE	ANO	NE	ANO	2				
6	0,0	0,0	0,0	0,0	0	26	0,0	0,0	0,0	0,0	NE	ANO	NE	ANO	NE	ANO	2				
7	0,0	0,0	0,0	0,0	0	27	0,0	0,0	0,0	0,0	NE	ANO	NE	ANO	NE	ANO	2				
8	0,0	0,0	0,0	0,0	0	28	0,0	0,0	0,0	0,0	NE	ANO	NE	ANO	NE	ANO	2				
9	0,0	0,0	0,0	0,0	0	29	0,0	0,0	0,0	0,0	NE	ANO	NE	ANO	NE	ANO	2				
10	0,0	0,0	0,0	0,0	0	30	0,0	0,0	0,0	0,0	NE	ANO	NE	ANO	NE	ANO	2				
11	0,0	0,0	0,0	0,0	0	31	0,0	0,0	0,0	0,0	NE	ANO	NE	ANO	NE	ANO	2				
12	0,0	0,0	0,0	0,0	0	32	0,0	0,0	0,0	0,0	NE	ANO	NE	ANO	NE	ANO	2				
13	0,0	0,0	0,0	0,0	0	33	0,0	0,0	0,0	0,0	NE	ANO	NE	ANO	NE	ANO	2				
14	0,0	0,0	0,0	0,0	0	34	0,0	0,0	0,0	0,0	NE	ANO	NE	ANO	NE	ANO	2				
15	0,0	0,0	0,0	0,0	0	35	0,0	0,0	0,0	0,0	NE	ANO	NE	ANO	NE	ANO	2				
16	0,0	0,0	0,0	0,0	0	36	0,0	0,0	0,0	0,0	NE	ANO	NE	ANO	NE	ANO	2				
17	0,0	0,0	0,0	0,0	0	37	0,0	0,0	0,0	0,0	NE	ANO	NE	ANO	NE	ANO	2				
18	0,0	0,0	0,0	0,0	0	38	0,0	0,0	0,0	0,0	NE	ANO	NE	ANO	NE	ANO	2				
19	0,0	0,0	0,0	0,0	0	39	0,0	0,0	0,0	0,0	NE	ANO	NE	ANO	NE	ANO	2				
20	0,0	0,0	0,0	0,0	0	40	0,0	0,0	0,0	0,0	NE	ANO	NE	ANO	NE	ANO	2				

TAB C- SOURADNICE KRITICKÝCH BODŮ PRŮŘEZU PRO POSUDEK NAPĚTÍ			
1-DL	2-DP	3-HL	4-HP
y ₁	z ₁	y ₂	z ₂
(mm)	(mm)	(mm)	(mm)
0,0	0,0	200,0	0,0
5-SD1	6-SH1	7-SD2	8-SH2
y ₅	z ₅	y ₆	z ₆
(mm)	(mm)	(mm)	(mm)
95,0	20,0	105,0	20,0
95,0	570,0	105,0	570,0

LEGENDA 1:
1-DL bod 1- dolní vlákná průřezu, levý okraj
2-DP bod 2- dolní vlákná průřezu, pravý okraj
3-HL bod 3- horní vlákná průřezu, levý okraj
4-HP bod 4- horní vlákná průřezu, pravý okraj
5-SD1 bod 5- dolní vlákná stěny 1
6-SH1 bod 6- horní vlákná stěny 1
7-SD2 bod 7- dolní vlákná stěny 2
8-SH2 bod 8- horní vlákná stěny 2
9-T bod 9- těžiště plného průřezu



LEGENDA 3:
0 ... neobsazeno
1 ... část průřezu
2 ... běžný otvor
3 ... atypický otvor

TAB D PRŮŘEZOVÉ CHARAKTERISTIKY OSLABENÉHO PRŮŘEZU A _{x,ef} , W _{y,ef} a W _{z,ef} V KRITICKÝCH BODECH PRŮŘEZU PRO POSUDEK NAPĚTÍ					
BOD	A _{x,ef} -pro Nx- [mm ²]	A _{x,ef} -pro Nx+ [mm ²]	W _{y,ef} -pro My- [mm ³]	W _{y,ef} -pro My+ [mm ³]	W _{z,ef} -pro Mz- [mm ³]
1-DL	1,350E+04	1,350E+04	2,674E+06	2,674E+06	2,671E+05
2-DP	1,350E+04	1,350E+04	2,674E+06	2,674E+06	-2,671E+05
3-HL	1,350E+04	1,350E+04	-2,674E+06	-2,674E+06	2,671E+05
4-HP	1,350E+04	1,350E+04	-2,674E+06	-2,674E+06	-2,671E+05
5-SD1	1,350E+04	1,350E+04	2,868E+06	2,868E+06	5,342E+06
6-SH1	1,350E+04	1,350E+04	2,868E+06	2,868E+06	-5,342E+06
7-SD2	1,350E+04	1,350E+04	-2,868E+06	-2,868E+06	5,342E+06
8-SH2	1,350E+04	1,350E+04	-2,868E+06	-2,868E+06	-5,342E+06
9-T	1,350E+04	1,350E+04	-	-	-

LEGENDA 2:
b rozměr proužku (otvoru) ve směru osy y
h rozměr proužku (otvoru) ve směru osy z
y,z souřadnice těžiště proužku (otvoru)
N_x normálová síla- tlak
N_x normálová síla- tah
M_y svislý ohybový moment- kladný
M_y svislý ohybový moment- záporný
M_z vodorovný ohybový moment- kladný
M_z vodorovný ohybový moment- záporný
y₁,...,y₈ z-ová souřadnice kritických bodů 1,...,8 pro posudek napětí
z₁,...,z₈ y-ová souřadnice kritických bodů 1,...,8 pro posudek napětí
y_t y-ová souřadnice těžiště průřezu
z_t z-ová souřadnice těžiště průřezu
f_y mez kluzu oceli

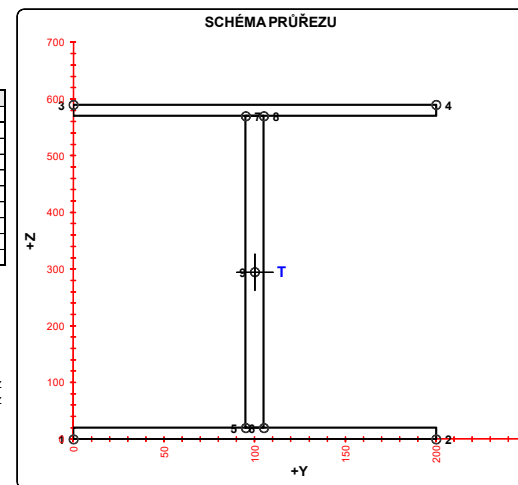
A_x průřezová plocha- plný průřez
I_y moment setrvačnosti k ose y- plný průřez
I_z moment setrvačnosti k ose z- plný průřez
I_y moment tuhosti průřezu v prostém kroucení
I_z moment setrvačnosti
S_{y,9} statický moment celého průřezu k těžišťové ose y- plný průřez
S_{y,5-SD1 (7-SD2)} statický moment části průřezu pod bodem 5-SD1 (7-SD2) k těžišťové ose y- plný průřez
S_{y,6-SH1 (8-SH2)} statický moment části průřezu nad bodem 6-SH1 (8-SH2) k těžišťové ose y- plný průřez
W_{y,1..8} svislý průřezový modul průřezu v kritických bodech 1..8- plný průřez
A_{x,ef} průřezová plocha- oslabený průřez
W_{y,1..8,ef} svislý průřezový modul průřezu v kritických bodech 1..8- oslabený průřez
W_{z,1..8,ef} vodorovný průřezový modul průřezu v kritických bodech 1..8- oslabený průřez
H výška celého průřezu
H_w výška stěny průřezu
A_{vz} plocha stěny ve smyku od Vz

TAB E	t _w	f _y	f _{yk}
BOD	(mm)	(MPa)	(MPa)
1-DL	-	213,6	327,1
2-DP	-	213,6	327,1
3-HL	-	213,6	327,1
4-HP	-	213,6	327,1
5-SD1	10,0	213,6	327,1
6-SH1	10,0	213,6	327,1
7-SD2	10,0	213,6	327,1
8-SH2	10,0	213,6	327,1
9-T	10,0	213,6	327,1

H = 590,0 mm
H_w = 550,0 mm
A_{vz} = 5500,0 mm²

TAB B VÝSLEDNÉ PRŮŘEZOVÉ CHARAKTERISTIKY- PLNÝ PRŮŘEZ						
část	b	h	y	z	poznámka	
Č.	(mm)	(mm)	(mm)	(mm)	legenda 3	
1	200,0	20,0	100,0	580,0	0	
2	10,0	550,0	100,0	295,0	0	
3	200,0	20,0	100,0	10,0	0	
4	0,0	0,0	0,0	0,0	0	
5	0,0	0,0	0,0	0,0	0	
6	0,0	0,0	0,0	0,0	0	
7	0,0	0,0	0,0	0,0	0	
8	0,0	0,0	0,0	0,0	0	
9	0,0	0,0	0,0	0,0	0	
10	0,0	0,0	0,0	0,0	0	
11	0,0	0,0	0,0	0,0	0	
12	0,0	0,0	0,0	0,0	0	
13	0,0	0,0	0,0	0,0	0	
14	0,0	0,0	0,0	0,0	0	
15	0,0	0,0	0,0	0,0	0	
16	0,0	0,0	0,0	0,0	0	
17	0,0	0,0	0,0	0,0	0	
18	0,0	0,0	0,0	0,0	0	
19	0,0	0,0	0,0	0,0	0	
20	0,0	0,0	0,0	0,0	0	

y _t = 100,0 mm	S _{y,9-SH1} = 1,140E+06 mm ³
z _t = 295,0 mm	S _{y,6-SH1} = 1,140E+06 mm ³
A _x = 1,350E+04 mm ²	S _{y,7-SD2} = 1,140E+06 mm ³
I _y = 7,887E+08 mm ⁴	S _{y,8-SH2} = 1,140E+06 mm ³
I _z = 2,671E+07 mm ⁴	I _z = 1,250E+06 mm ⁴
S _{y,9-T} = 1,518E+06 mm ³	I _z = 0,000E+00 mm ⁴
W _{y,1-DL} = 2,674E+06 mm ³	W _{y,1-DL} = 2,671E+05 mm ³
W _{y,2-DP} = 2,674E+06 mm ³	W _{y,2-DP} = -2,671E+05 mm ³
W _{y,3-HL} = -2,674E+06 mm ³	W _{y,3-HL} = 2,671E+05 mm ³
W _{y,4-HP} = -2,674E+06 mm ³	W _{y,4-HP} = -2,671E+05 mm ³
W _{y,5-SD1} = 2,868E+06 mm ³	W _{y,5-SD1} = 5,342E+06 mm ³
W _{y,6-SH1} = 2,868E+06 mm ³	W _{y,6-SH1} = -5,342E+06 mm ³
W _{y,7-SD2} = -2,868E+06 mm ³	W _{y,7-SD2} = 5,342E+06 mm ³
W _{y,8-SH2} = -2,868E+06 mm ³	W _{y,8-SH2} = -5,342E+06 mm ³



TAB 1 18 ZÁKLADNÍ PRŮŘEZOVÉ CHARAKTERISTIKY

POSUDEK: 18
OZNAČENÍ: O_1

PRŮŘEZ: O_1
POPIS: OBLOUK 1

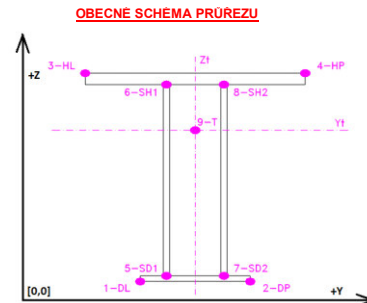
PRUT i
X[m] j

SOUČINITEL KOROZE k = 1,00

TAB A							PLNÝ PRŮŘEZ , ATYPICKÉ OTVORY							BÉŽNÉ OTVORY PRO ŠROUBY ČI NYTY							OSLABENÍ PRŮŘEZU PRO NAMAHÁNÍ VNITŘNÍ SÍLOU						
část	b	h	y	z	poznámka	otvor	b	h	y	z	Nx-	Nx+	My-	My+	Mz-	Mz+	poznámka										
č.	(mm)	(mm)	(mm)	(mm)	legenda 3	č.	(mm)	(mm)	(mm)	(mm)	-	-	-	-	-	-	legenda 3										
1	30,0	680,0	15,0	340,0	0	21	0,0	0,0	0,0	0,0	NE	ANO	NE	ANO	NE	ANO	2										
2	30,0	680,0	595,0	340,0	0	22	0,0	0,0	0,0	0,0	NE	ANO	NE	ANO	NE	ANO	2										
3	550,0	30,2	305,0	664,9	0	23	0,0	0,0	0,0	0,0	NE	ANO	NE	ANO	NE	ANO	2										
4	550,0	25,2	305,0	12,4	0	24	0,0	0,0	0,0	0,0	NE	ANO	NE	ANO	NE	ANO	2										
5	0,0	0,0	0,0	0,0	0	25	0,0	0,0	0,0	0,0	NE	ANO	NE	ANO	NE	ANO	2										
6	0,0	0,0	0,0	0,0	0	26	0,0	0,0	0,0	0,0	NE	ANO	NE	ANO	NE	ANO	2										
7	0,0	0,0	0,0	0,0	0	27	0,0	0,0	0,0	0,0	NE	ANO	NE	ANO	NE	ANO	2										
8	0,0	0,0	0,0	0,0	0	28	0,0	0,0	0,0	0,0	NE	ANO	NE	ANO	NE	ANO	2										
9	0,0	0,0	0,0	0,0	0	29	0,0	0,0	0,0	0,0	NE	ANO	NE	ANO	NE	ANO	2										
10	0,0	0,0	0,0	0,0	0	30	0,0	0,0	0,0	0,0	NE	ANO	NE	ANO	NE	ANO	2										
11	0,0	0,0	0,0	0,0	0	31	0,0	0,0	0,0	0,0	NE	ANO	NE	ANO	NE	ANO	2										
12	0,0	0,0	0,0	0,0	0	32	0,0	0,0	0,0	0,0	NE	ANO	NE	ANO	NE	ANO	2										
13	0,0	0,0	0,0	0,0	0	33	0,0	0,0	0,0	0,0	NE	ANO	NE	ANO	NE	ANO	2										
14	0,0	0,0	0,0	0,0	0	34	0,0	0,0	0,0	0,0	NE	ANO	NE	ANO	NE	ANO	2										
15	0,0	0,0	0,0	0,0	0	35	0,0	0,0	0,0	0,0	NE	ANO	NE	ANO	NE	ANO	2										
16	0,0	0,0	0,0	0,0	0	36	0,0	0,0	0,0	0,0	NE	ANO	NE	ANO	NE	ANO	2										
17	0,0	0,0	0,0	0,0	0	37	0,0	0,0	0,0	0,0	NE	ANO	NE	ANO	NE	ANO	2										
18	0,0	0,0	0,0	0,0	0	38	0,0	0,0	0,0	0,0	NE	ANO	NE	ANO	NE	ANO	2										
19	0,0	0,0	0,0	0,0	0	39	0,0	0,0	0,0	0,0	NE	ANO	NE	ANO	NE	ANO	2										
20	0,0	0,0	0,0	0,0	0	40	0,0	0,0	0,0	0,0	NE	ANO	NE	ANO	NE	ANO	2										

TAB C-SOURADNICE KRITICKÝCH BODŮ PRŮŘEZU PRO POSUDEK NAPĚTÍ									
1-DL		2-DP		3-HL		4-HP			
y ₁	z ₁	y ₂	z ₂	y ₃	z ₃	y ₄	z ₄		
(mm)	(mm)	(mm)	(mm)	(mm)	(mm)	(mm)	(mm)		
0,0	0,0	610,0	0,0	0,0	680,0	610,0	680,0		
5-SD1		6-SH1		7-SD2		8-SH2			
y ₅	z ₅	y ₆	z ₆	y ₇	z ₇	y ₈	z ₈		
(mm)	(mm)	(mm)	(mm)	(mm)	(mm)	(mm)	(mm)		
0,0	25,0	610,0	25,0	0,0	649,8	610,0	649,8		

LEGENDA 1:
1-DL bod 1- dolní vlákná průřezu, levý okraj
2-DP bod 2- dolní vlákná průřezu, pravý okraj
3-HL bod 3- horní vlákná průřezu, levý okraj
4-HP bod 4- horní vlákná průřezu, pravý okraj
5-SD1 bod 5- dolní vlákná stěny 1
6-SH1 bod 6- horní vlákná stěny 1
7-SD2 bod 7- dolní vlákná stěny 2
8-SH2 bod 8- horní vlákná stěny 2
9-T bod 9- těžiště plného průřezu



LEGENDA 3:
0 ... neobsazeno
1 ... část průřezu
2 ... běžný otvor
3 ... atypický otvor

TAB D PRŮŘEZOVÉ CHARAKTERISTIKY OSLABENÉHO PRŮŘEZU A _{x,ef} , W _{y,ef} a W _{z,ef} V KRITICKÝCH BODECH PRŮŘEZU PRO POSUDEK NAPĚTÍ									
BOD	A _{x,ef} -pro Nx- [mm ²]	A _{x,ef} -pro Nx+ [mm ²]	W _{y,ef} -pro My- [mm ³]	W _{y,ef} -pro My+ [mm ³]	W _{z,ef} -pro Mz- [mm ³]	W _{z,ef} -pro Mz+ [mm ³]			
1-DL	7,124E+04	7,124E+04	1,364E+07	1,364E+07	1,378E+07	1,378E+07			
2-DP	7,124E+04	7,124E+04	1,364E+07	1,364E+07	-1,378E+07	-1,378E+07			
3-HL	7,124E+04	7,124E+04	-1,464E+07	-1,464E+07	1,378E+07	1,378E+07			
4-HP	7,124E+04	7,124E+04	-1,464E+07	-1,464E+07	-1,378E+07	-1,378E+07			
5-SD1	7,124E+04	7,124E+04	1,468E+07	1,468E+07	1,378E+07	1,378E+07			
6-SH1	7,124E+04	7,124E+04	1,468E+07	1,468E+07	-1,378E+07	-1,378E+07			
7-SD2	7,124E+04	7,124E+04	-1,612E+07	-1,612E+07	1,378E+07	1,378E+07			
8-SH2	7,124E+04	7,124E+04	-1,612E+07	-1,612E+07	-1,378E+07	-1,378E+07			
9-T	7,124E+04	7,124E+04	-	-	-	-			

LEGENDA 2:
b rozměr proužku (otvoru) ve směru osy y
h rozměr proužku (otvoru) ve směru osy z
y,z souřadnice těžiště proužku (otvoru)
N_x normálová síla- tlak
N_x normálová síla- tah
M_y svislý ohybový moment- kladný
M_y svislý ohybový moment- záporný
M_z vodorovný ohybový moment- kladný
M_z vodorovný ohybový moment- záporný
y₁,...,y₈ z-ová souřadnice kritických bodů 1,...,8 pro posudek napětí
z₁,...,z₈ y-ová souřadnice kritických bodů 1,...,8 pro posudek napětí
y_t z-ová souřadnice těžiště průřezu
z_t y-ová souřadnice těžiště průřezu
f_y mez kluzu oceli

A_x průřezová plocha- plný průřez
I_y moment setrvačnosti k ose y- plný průřez
I_z moment setrvačnosti k ose z- plný průřez
I_y moment tuhosti průřezu v prostém kroucení
I_z moment setrvačnosti
S_{y,9} statický moment celého průřezu k těžišťové ose y- plný průřez
S_{y,5-SD1 (7-SD2)} statický moment části průřezu pod bodem 5-SD1 (7-SD2) k těžišťové ose y- plný průřez
S_{y,6-SH1 (8-SH2)} statický moment části průřezu nad bodem 6-SH1 (8-SH2) k těžišťové ose y- plný průřez
W_{y,1..8} svislý průřezový modul průřezu v kritických bodech 1..8- plný průřez
A_{x,ef} průřezová plocha- oslabený průřez
W_{y,1..8,ef} svislý průřezový modul průřezu v kritických bodech 1..8- oslabený průřez
W_{z,1..8,ef} vodorovný průřezový modul průřezu v kritických bodech 1..8- oslabený průřez
H výška celého průřezu
H_w výška stěny průřezu
A_{yz} plocha stěny ve smyku od Vz

TAB E	t _w	f _y	f _{yk}
BOD	(mm)	(MPa)	(MPa)
1-DL	-	213,6	327,1
2-DP	-	213,6	327,1
3-HL	-	213,6	327,1
4-HP	-	213,6	327,1
5-SD1	60,0	213,6	327,1
6-SH1	60,0	213,6	327,1
7-SD2	60,0	213,6	327,1
8-SH2	60,0	213,6	327,1
9-T	60,0	213,6	327,1

H = 680,0 mm
H_w = 624,8 mm
A_{yz} = 37489,8 mm²

TAB B VÝSLEDNÉ PRŮŘEZOVÉ CHARAKTERISTIKY- PLNÝ PRŮŘEZ									
část	b	h	y	z	poznámka				
Č.	(mm)	(mm)	(mm)	(mm)	legenda 3				
1	30,0	680,0	15,0	340,0	0				
2	30,0	680,0	595,0	340,0	0				
3	550,0	30,2	305,0	664,9	0				
4	550,0	25,2	305,0	12,4	0				
5	0,0	0,0	0,0	0,0	0				
6	0,0	0,0	0,0	0,0	0				
7	0,0	0,0	0,0	0,0	0				
8	0,0	0,0	0,0	0,0	0				
9	0,0	0,0	0,0	0,0	0				
10	0,0	0,0	0,0	0,0	0				
11	0,0	0,0	0,0	0,0	0				
12	0,0	0,0	0,0	0,0	0				
13	0,0	0,0	0,0	0,0	0				
14	0,0	0,0	0,0	0,0	0				
15	0,0	0,0	0,0	0,0	0				
16	0,0	0,0	0,0	0,0	0				
17	0,0	0,0	0,0	0,0	0				
18	0,0	0,0	0,0	0,0	0				
19	0,0	0,0	0,0	0,0	0				
20	0,0	0,0	0,0	0,0	0				
						y _t = 305,0 mm	S _{y,9-SH1} = 5,211E+06 mm ³		

TAB 1 19 ZÁKLADNÍ PRŮŘEZOVÉ CHARAKTERISTIKY

POSUDEK: 19 PRŮŘEZ: O_2
OZNAČENÍ: O_2 POPIS: OBLOUK 2

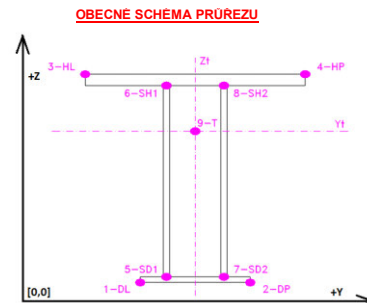
PRUT i X[m] j

SOUČINITEL KOROZE k = 1,00

TAB A							PLNÝ PRŮŘEZ , ATYPICKÉ OTVORY				BÉŽNÉ OTVORY PRO ŠROUBY ČI NYTY				OSLABENÍ PRŮŘEZU PRO NAMAHÁNÍ VNITŘNÍ SÍLOU						
část	b	h	y	z	poznámka	otvor	b	h	y	z	Nx-	Nx+	My-	My+	Mz-	Mz+	poznámka				
Č.	(mm)	(mm)	(mm)	(mm)	legenda 3	Č.	(mm)	(mm)	(mm)	(mm)	-[-]	-[-]	-[-]	-[-]	-[-]	-[-]	legenda 3				
1	25,0	680,0	12,5	340,0	0	21	0,0	0,0	0,0	0,0	NE	ANO	NE	ANO	NE	ANO	2				
2	25,0	680,0	587,5	340,0	0	22	0,0	0,0	0,0	0,0	NE	ANO	NE	ANO	NE	ANO	2				
3	550,0	25,0	300,0	12,5	0	23	0,0	0,0	0,0	0,0	NE	ANO	NE	ANO	NE	ANO	2				
4	550,0	25,0	300,0	667,5	0	24	0,0	0,0	0,0	0,0	NE	ANO	NE	ANO	NE	ANO	2				
5	0,0	0,0	0,0	0,0	0	25	0,0	0,0	0,0	0,0	NE	ANO	NE	ANO	NE	ANO	2				
6	0,0	0,0	0,0	0,0	0	26	0,0	0,0	0,0	0,0	NE	ANO	NE	ANO	NE	ANO	2				
7	0,0	0,0	0,0	0,0	0	27	0,0	0,0	0,0	0,0	NE	ANO	NE	ANO	NE	ANO	2				
8	0,0	0,0	0,0	0,0	0	28	0,0	0,0	0,0	0,0	NE	ANO	NE	ANO	NE	ANO	2				
9	0,0	0,0	0,0	0,0	0	29	0,0	0,0	0,0	0,0	NE	ANO	NE	ANO	NE	ANO	2				
10	0,0	0,0	0,0	0,0	0	30	0,0	0,0	0,0	0,0	NE	ANO	NE	ANO	NE	ANO	2				
11	0,0	0,0	0,0	0,0	0	31	0,0	0,0	0,0	0,0	NE	ANO	NE	ANO	NE	ANO	2				
12	0,0	0,0	0,0	0,0	0	32	0,0	0,0	0,0	0,0	NE	ANO	NE	ANO	NE	ANO	2				
13	0,0	0,0	0,0	0,0	0	33	0,0	0,0	0,0	0,0	NE	ANO	NE	ANO	NE	ANO	2				
14	0,0	0,0	0,0	0,0	0	34	0,0	0,0	0,0	0,0	NE	ANO	NE	ANO	NE	ANO	2				
15	0,0	0,0	0,0	0,0	0	35	0,0	0,0	0,0	0,0	NE	ANO	NE	ANO	NE	ANO	2				
16	0,0	0,0	0,0	0,0	0	36	0,0	0,0	0,0	0,0	NE	ANO	NE	ANO	NE	ANO	2				
17	0,0	0,0	0,0	0,0	0	37	0,0	0,0	0,0	0,0	NE	ANO	NE	ANO	NE	ANO	2				
18	0,0	0,0	0,0	0,0	0	38	0,0	0,0	0,0	0,0	NE	ANO	NE	ANO	NE	ANO	2				
19	0,0	0,0	0,0	0,0	0	39	0,0	0,0	0,0	0,0	NE	ANO	NE	ANO	NE	ANO	2				
20	0,0	0,0	0,0	0,0	0	40	0,0	0,0	0,0	0,0	NE	ANO	NE	ANO	NE	ANO	2				

TAB C - SOURADNICE KRITICKÝCH BŮD PRŮŘEZU PRO POSUDEK NAPĚTÍ							
1-DL		2-DP		3-HL		4-HP	
y ₁	z ₁	y ₂	z ₂	y ₃	z ₃	y ₄	z ₄
(mm)	(mm)	(mm)	(mm)	(mm)	(mm)	(mm)	(mm)
0,0	0,0	600,0	0,0	0,0	680,0	600,0	680,0
5-SD1		6-SH1		7-SD2		8-SH2	
y ₅	z ₅	y ₆	z ₆	y ₇	z ₇	y ₈	z ₈
(mm)	(mm)	(mm)	(mm)	(mm)	(mm)	(mm)	(mm)
0,0	25,0	600,0	25,0	0,1	655,0	600,0	655,0

LEGENDA 1:
1-DL bod 1- dolní vlákná průřezu, levý okraj
2-DP bod 2- dolní vlákná průřezu, pravý okraj
3-HL bod 3- horní vlákná průřezu, levý okraj
4-HP bod 4- horní vlákná průřezu, pravý okraj
5-SD1 bod 5- dolní vlákná stěny 1
6-SH1 bod 6- horní vlákná stěny 1
7-SD2 bod 7- dolní vlákná stěny 2
8-SH2 bod 8- horní vlákná stěny 2
9-T bod 9- těžiště plného průřezu



LEGENDA 3:
0 ... neobsazeno
1 ... část průřezu
2 ... běžný otvor
3 ... atypický otvor

TAB D PRŮŘEZOVÉ CHARAKTERISTIKY OSLABENÉHO PRŮŘEZU A _{x,ef} , W _{y,ef} a W _{z,ef} V KRITICKÝCH BODECH PRŮŘEZU PRO POSUDEK NAPĚTÍ					
BOD	A _{x,ef} -pro Nx- [mm ²]	A _{x,ef} -pro Nx+ [mm ²]	W _{y,ef} -pro My- [mm ³]	W _{y,ef} -pro My+ [mm ³]	W _{z,ef} -pro Mz- [mm ³]
1-DL	6,151E+04	6,151E+04	1,253E+07	1,253E+07	1,168E+07
2-DP	6,151E+04	6,151E+04	1,253E+07	1,253E+07	-1,168E+07
3-HL	6,151E+04	6,151E+04	-1,253E+07	-1,253E+07	1,168E+07
4-HP	6,151E+04	6,151E+04	-1,253E+07	-1,253E+07	-1,168E+07
5-SD1	6,151E+04	6,151E+04	1,353E+07	1,353E+07	1,168E+07
6-SH1	6,151E+04	6,151E+04	1,353E+07	1,353E+07	-1,168E+07
7-SD2	6,151E+04	6,151E+04	-1,353E+07	-1,353E+07	1,169E+07
8-SH2	6,151E+04	6,151E+04	-1,353E+07	-1,353E+07	-1,168E+07
9-T	6,151E+04	6,151E+04	-	-	-

LEGENDA 2:
b rozměr proužku (otvoru) ve směru osy y
h rozměr proužku (otvoru) ve směru osy z
y,z souřadnice těžiště proužku (otvoru)
N_x normálová síla- tlak
N_x normálová síla- tah
M_y svislý ohybový moment- kladný
M_y svislý ohybový moment- záporný
M_z vodorovný ohybový moment- kladný
M_z vodorovný ohybový moment- záporný
y₁,...,y₈ y-ová souřadnice kritických bodů 1,...,8 pro posudek napětí
z₁,...,z₈ z-ová souřadnice kritických bodů 1,...,8 pro posudek napětí
y_t y-ová souřadnice těžiště průřezu
z_t z-ová souřadnice těžiště průřezu
f_y mez kluzu oceli

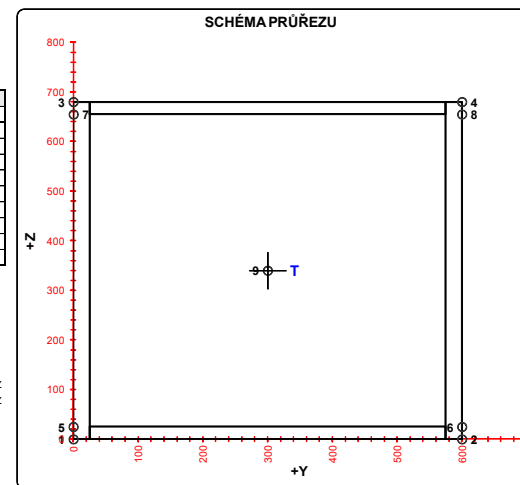
A_x průřezová plocha- plný průřez
I_y moment setrvačnosti k ose y- plný průřez
I_z moment setrvačnosti k ose z- plný průřez
I_y moment tuhosti průřezu v prostém kroucení
I_z moment setrvačnosti
S_{y,9} statický moment celého průřezu k těžišťové ose y- plný průřez
S_{y,5-SD1 (7-SD2)} statický moment části průřezu pod bodem 5-SD1 (7-SD2) k těžišťové ose y- plný průřez
S_{y,6-SH1 (8-SH2)} statický moment části průřezu nad bodem 6-SH1 (8-SH2) k těžišťové ose y- plný průřez
W_{y,1..8} svislý průřezový modul průřezu v kritických bodech 1..8- plný průřez
A_{x,ef} průřezová plocha- oslabený průřez
W_{y,1..8,ef} svislý průřezový modul průřezu v kritických bodech 1..8- oslabený průřez
W_{z,1..8,ef} vodorovný průřezový modul průřezu v kritických bodech 1..8- oslabený průřez
H výška celého průřezu
H_w výška stěny průřezu
A_{vz} plocha stěny ve smyku od Vz

TAB E	t _w	f _y	f _{yk}
BOD	(mm)	(MPa)	(MPa)
1-DL	-	213,6	327,1
2-DP	-	213,6	327,1
3-HL	-	213,6	327,1
4-HP	-	213,6	327,1
5-SD1	50,0	213,6	327,1
6-SH1	50,0	213,6	327,1
7-SD2	50,0	213,6	327,1
8-SH2	50,0	213,6	327,1
9-T	50,0	213,6	327,1

H = 680,0 mm
H_w = 630,0 mm
A_{vz} = 31499,5 mm²

TAB B VÝSLEDNÉ PRŮŘEZOVÉ CHARAKTERISTIKY- PLNÝ PRŮŘEZ							
část	b	h	y	z	poznámka		
Č.	(mm)	(mm)	(mm)	(mm)	legenda 3		
1	25,0	680,0	12,5	340,0	0		
2	25,0	680,0	587,5	340,0	0		
3	550,0	25,0	300,0	12,5	0		
4	550,0	25,0	300,0	667,5	0		
5	0,0	0,0	0,0	0,0	0		
6	0,0	0,0	0,0	0,0	0		
7	0,0	0,0	0,0	0,0	0		
8	0,0	0,0	0,0	0,0	0		
9	0,0	0,0	0,0	0,0	0		
10	0,0	0,0	0,0	0,0	0		
11	0,0	0,0	0,0	0,0	0		
12	0,0	0,0	0,0	0,0	0		
13	0,0	0,0	0,0	0,0	0		
14	0,0	0,0	0,0	0,0	0		
15	0,0	0,0	0,0	0,0	0		
16	0,0	0,0	0,0	0,0	0		
17	0,0	0,0	0,0	0,0	0		
18	0,0	0,0	0,0	0,0	0		
19	0,0	0,0	0,0	0,0	0		
20	0,0	0,0	0,0	0,0	0		

y _t =	300,0 mm	S _{y,9-SH1} =	4,914E+06 mm ³
z _t =	340,0 mm	S _{y,9-SH1} =	4,914E+06 mm ³
A _x =	6,151E+04 mm ²	S _{y,7-SD2} =	4,913E+06 mm ³
I _y =	4,262E+09 mm ⁴	S _{y,9-SH1} =	4,913E+06 mm ³
I _z =	3,505E+09 mm ⁴	I _z =	1,282E+07 mm ⁴
S _{y,9-T} =	7,394E+06 mm ³	I _z =	0,000E+00 mm ⁴
W _{y,1-DL} =	1,253E+07 mm ³	W _{y,1-DL} =	1,168E+07 mm ³
W _{y,2-DP} =	1,253E+07 mm ³	W _{y,2-DP} =	-1,168E+07 mm ³
W _{y,3-HL} =	-1,253E+07 mm ³	W _{y,3-HL} =	1,168E+07 mm ³
W _{y,4-HP} =	-1,253E+07 mm ³	W _{y,4-HP} =	-1,168E+07 mm ³
W _{y,5-SD1} =	1,353E+07 mm ³	W _{y,5-SD1} =	1,168E+07 mm ³
W _{y,6-SH1} =	1,353E+07 mm ³	W _{y,6-SH1} =	-1,168E+07 mm ³
W _{y,7-SD2} =	-1,353E+07 mm ³	W _{y,7-SD2} =	1,169E+07 mm ³
W _{y,8-SH2} =	-1,353E+07 mm ³	W _{y,8-SH2} =	-1,168E+07 mm ³



TAB 1 20 ZÁKLADNÍ PRŮŘEZOVÉ CHARAKTERISTIKY

POSUDEK: 20 PRŮŘEZ: O_3
OZNAČENÍ: O_3 POPIS: OBLOUK 3

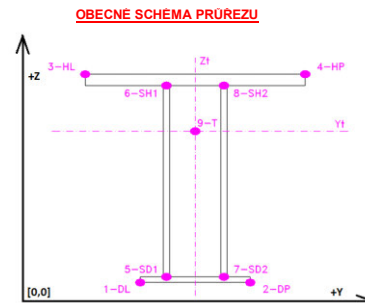
PRUT i X[m] j

SOUČINITEL KOROZE k = 1,00

TAB A							PLNÝ PRŮŘEZ , ATYPICKÉ OTVORY				BÉŽNÉ OTVORY PRO ŠROUBY ČI NYTY				OSLABENÍ PRŮŘEZU PRO NAMAHÁNÍ VNITŘNÍ SILOU						
část	b	h	y	z	poznámka	otvor	b	h	y	z	Nx-	Nx+	My-	My+	Mz-	Mz+	poznámka				
Č.	(mm)	(mm)	(mm)	(mm)	legenda 3	Č.	(mm)	(mm)	(mm)	(mm)	(-)	(+)	(-)	(+)	(-)	(+)	legenda 3				
1	25,0	680,0	12,5	340,0	0	21	0,0	0,0	0,0	0,0	NE	ANO	NE	ANO	NE	ANO	2				
2	25,0	680,0	587,5	340,0	0	22	0,0	0,0	0,0	0,0	NE	ANO	NE	ANO	NE	ANO	2				
3	550,0	20,0	300,0	670,0	0	23	0,0	0,0	0,0	0,0	NE	ANO	NE	ANO	NE	ANO	2				
4	550,0	20,0	300,0	10,0	0	24	0,0	0,0	0,0	0,0	NE	ANO	NE	ANO	NE	ANO	2				
5	0,0	0,0	0,0	0,0	0	25	0,0	0,0	0,0	0,0	NE	ANO	NE	ANO	NE	ANO	2				
6	0,0	0,0	0,0	0,0	0	26	0,0	0,0	0,0	0,0	NE	ANO	NE	ANO	NE	ANO	2				
7	0,0	0,0	0,0	0,0	0	27	0,0	0,0	0,0	0,0	NE	ANO	NE	ANO	NE	ANO	2				
8	0,0	0,0	0,0	0,0	0	28	0,0	0,0	0,0	0,0	NE	ANO	NE	ANO	NE	ANO	2				
9	0,0	0,0	0,0	0,0	0	29	0,0	0,0	0,0	0,0	NE	ANO	NE	ANO	NE	ANO	2				
10	0,0	0,0	0,0	0,0	0	30	0,0	0,0	0,0	0,0	NE	ANO	NE	ANO	NE	ANO	2				
11	0,0	0,0	0,0	0,0	0	31	0,0	0,0	0,0	0,0	NE	ANO	NE	ANO	NE	ANO	2				
12	0,0	0,0	0,0	0,0	0	32	0,0	0,0	0,0	0,0	NE	ANO	NE	ANO	NE	ANO	2				
13	0,0	0,0	0,0	0,0	0	33	0,0	0,0	0,0	0,0	NE	ANO	NE	ANO	NE	ANO	2				
14	0,0	0,0	0,0	0,0	0	34	0,0	0,0	0,0	0,0	NE	ANO	NE	ANO	NE	ANO	2				
15	0,0	0,0	0,0	0,0	0	35	0,0	0,0	0,0	0,0	NE	ANO	NE	ANO	NE	ANO	2				
16	0,0	0,0	0,0	0,0	0	36	0,0	0,0	0,0	0,0	NE	ANO	NE	ANO	NE	ANO	2				
17	0,0	0,0	0,0	0,0	0	37	0,0	0,0	0,0	0,0	NE	ANO	NE	ANO	NE	ANO	2				
18	0,0	0,0	0,0	0,0	0	38	0,0	0,0	0,0	0,0	NE	ANO	NE	ANO	NE	ANO	2				
19	0,0	0,0	0,0	0,0	0	39	0,0	0,0	0,0	0,0	NE	ANO	NE	ANO	NE	ANO	2				
20	0,0	0,0	0,0	0,0	0	40	0,0	0,0	0,0	0,0	NE	ANO	NE	ANO	NE	ANO	2				

TAB C- SOURADNICE KRITICKÝCH BŮD PRŮŘEZU PRO POSUDEK NAPĚTÍ							
1-DL		2-DP		3-HL		4-HP	
y ₁	z ₁	y ₂	z ₂	y ₃	z ₃	y ₄	z ₄
(mm)	(mm)	(mm)	(mm)	(mm)	(mm)	(mm)	(mm)
0,0	0,0	600,0	0,0	0,0	680,0	600,0	680,0
5-SD1		6-SH1		7-SD2		8-SH2	
y ₅	z ₅	y ₆	z ₆	y ₇	z ₇	y ₈	z ₈
(mm)	(mm)	(mm)	(mm)	(mm)	(mm)	(mm)	(mm)
0,0	20,0	600,0	20,0	0,0	660,0	600,0	660,0

LEGENDA 1:
1-DL bod 1- dolní vlákná průřezu, levý okraj
2-DP bod 2- dolní vlákná průřezu, pravý okraj
3-HL bod 3- horní vlákná průřezu, levý okraj
4-HP bod 4- horní vlákná průřezu, pravý okraj
5-SD1 bod 5- dolní vlákná stěny 1
6-SH1 bod 6- horní vlákná stěny 1
7-SD2 bod 7- dolní vlákná stěny 2
8-SH2 bod 8- horní vlákná stěny 2
9-T bod 9- těžiště plného průřezu



LEGENDA 3:
0 ... neobsazeno
1 ... část průřezu
2 ... běžný otvor
3 ... atypický otvor

TAB D PRŮŘEZOVÉ CHARAKTERISTIKY OSLABENÉHO PRŮŘEZU A _{x,ef} , W _{y,ef} a W _{z,ef} V KRITICKÝCH BODECH PRŮŘEZU PRO POSUDEK NAPĚTÍ					
BOD	A _{x,ef} -pro Nx [mm ²]	A _{x,ef} -pro Nx+ [mm ²]	W _{y,ef} -pro My- [mm ³]	W _{y,ef} -pro My+ [mm ³]	W _{z,ef} -pro Mz- [mm ³]
1-DL	5,600E+04	5,600E+04	1,090E+07	1,090E+07	1,122E+07
2-DP	5,600E+04	5,600E+04	1,090E+07	1,090E+07	-1,122E+07
3-HL	5,600E+04	5,600E+04	-1,090E+07	-1,090E+07	1,122E+07
4-HP	5,600E+04	5,600E+04	-1,090E+07	-1,090E+07	-1,122E+07
5-SD1	5,600E+04	5,600E+04	1,158E+07	1,158E+07	1,122E+07
6-SH1	5,600E+04	5,600E+04	1,158E+07	1,158E+07	-1,122E+07
7-SD2	5,600E+04	5,600E+04	-1,158E+07	-1,158E+07	1,122E+07
8-SH2	5,600E+04	5,600E+04	-1,158E+07	-1,158E+07	-1,122E+07
9-T	5,600E+04	5,600E+04	-	-	-

LEGENDA 2:
b rozměr proužku (otvoru) ve směru osy y
h rozměr proužku (otvoru) ve směru osy z
y,z souřadnice těžiště proužku (otvoru)
N_x normálová síla- tlak
N_x normálová síla- tah
M_y svislý ohybový moment- kladný
M_y svislý ohybový moment- záporný
M_z vodorovný ohybový moment- kladný
M_z vodorovný ohybový moment- záporný
y₁,...,y₈ y-ová souřadnice kritických bodů 1,...,8 pro posudek napětí
z₁,...,z₈ z-ová souřadnice kritických bodů 1,...,8 pro posudek napětí
y_t y-ová souřadnice těžiště průřezu
z_t z-ová souřadnice těžiště průřezu
f_y mez kluzu oceli

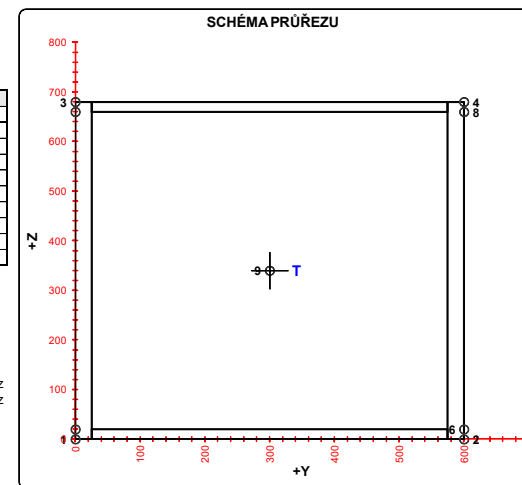
A_x průřezová plocha- plný průřez
I_y moment setrvačnosti k ose y- plný průřez
I_z moment setrvačnosti k ose z- plný průřez
I_y moment tuhosti průřezu v prostém kroucení
I₀ výsečový moment setrvačnosti
S_{y,9} statický moment celého průřezu k těžišťové ose y- plný průřez
S_{y,5-SD1 (7-SD2)} statický moment části průřezu pod bodem 5-SD1 (7-SD2) k těžišťové ose y- plný průřez
S_{y,6-SH1 (8-SH2)} statický moment části průřezu nad bodem 6-SH1 (8-SH2) k těžišťové ose y- plný průřez
W_{y,1..8} svislý průřezový modul průřezu v kritických bodech 1..8- plný průřez
A_{x,ef} průřezová plocha- oslabený průřez
W_{y,1..8,ef} svislý průřezový modul průřezu v kritických bodech 1..8- oslabený průřez
W_{z,1..8,ef} vodorovný průřezový modul průřezu v kritických bodech 1..8- oslabený průřez
H výška celého průřezu
H_w výška stěny průřezu
A_{vz} plocha stěny ve smyku od Vz

TAB E	t _w	f _y	f ₀
BOD	(mm)	(MPa)	(MPa)
1-DL	-	213,6	327,1
2-DP	-	213,6	327,1
3-HL	-	213,6	327,1
4-HP	-	213,6	327,1
5-SD1	50,0	213,6	327,1
6-SH1	50,0	213,6	327,1
7-SD2	50,0	213,6	327,1
8-SH2	50,0	213,6	327,1
9-T	50,0	213,6	327,1

H = 680,0 mm
H_w = 640,0 mm
A_{vz} = 32000,0 mm²

TAB B VÝSLEDNÉ PRŮŘEZOVÉ CHARAKTERISTIKY- PLNÝ PRŮŘEZ							
část	b	h	y	z	poznámka		
Č.	(mm)	(mm)	(mm)	(mm)	legenda 3		
1	25,0	680,0	12,5	340,0	0		
2	25,0	680,0	587,5	340,0	0		
3	550,0	20,0	300,0	670,0	0		
4	550,0	20,0	300,0	10,0	0		
5	0,0	0,0	0,0	0,0	0		
6	0,0	0,0	0,0	0,0	0		
7	0,0	0,0	0,0	0,0	0		
8	0,0	0,0	0,0	0,0	0		
9	0,0	0,0	0,0	0,0	0		
10	0,0	0,0	0,0	0,0	0		
11	0,0	0,0	0,0	0,0	0		
12	0,0	0,0	0,0	0,0	0		
13	0,0	0,0	0,0	0,0	0		
14	0,0	0,0	0,0	0,0	0		
15	0,0	0,0	0,0	0,0	0		
16	0,0	0,0	0,0	0,0	0		
17	0,0	0,0	0,0	0,0	0		
18	0,0	0,0	0,0	0,0	0		
19	0,0	0,0	0,0	0,0	0		
20	0,0	0,0	0,0	0,0	0		

y _t =	300,0 mm	S _{y,9-SH1} =	3,961E+06 mm ³
z _t =	340,0 mm	S _{y,9-SH1} =	3,961E+06 mm ³
A _x =	5,600E+04 mm ²	S _{y,7-SD2} =	3,959E+06 mm ³
I _y =	3,707E+09 mm ⁴	S _{y,9-SH1} =	3,959E+06 mm ³
I _z =	3,367E+09 mm ⁴	I ₀ =	1,002E+07 mm ⁴
S _{y,9-T} =	6,520E+06 mm ³	I ₀ =	0,000E+00 mm ⁴
W _{y,1-DL} =	1,090E+07 mm ³	W _{y,1-DL} =	1,122E+07 mm ³
W _{y,2-DP} =	1,090E+07 mm ³	W _{y,2-DP} =	-1,122E+07 mm ³
W _{y,3-HL} =	-1,090E+07 mm ³	W _{y,3-HL} =	1,122E+07 mm ³
W _{y,4-HP} =	-1,090E+07 mm ³	W _{y,4-HP} =	-1,122E+07 mm ³
W _{y,5-SD1} =	1,158E+07 mm ³	W _{y,5-SD1} =	1,122E+07 mm ³
W _{y,6-SH1} =	1,158E+07 mm ³	W _{y,6-SH1} =	-1,122E+07 mm ³
W _{y,7-SD2} =	-1,158E+07 mm ³	W _{y,7-SD2} =	1,122E+07 mm ³
W _{y,8-SH2} =	-1,158E+07 mm ³	W _{y,8-SH2} =	-1,122E+07 mm ³



TAB 1 21 ZÁKLADNÍ PRŮŘEZOVÉ CHARAKTERISTIKY

POSUDEK: 21 PRŮŘEZ: D_1
OZNAČENÍ: D_1 POPIS: PODÉLNÍK 1

PRUT i X[m] j

SOUČINITEL KOROZE k = 1,00

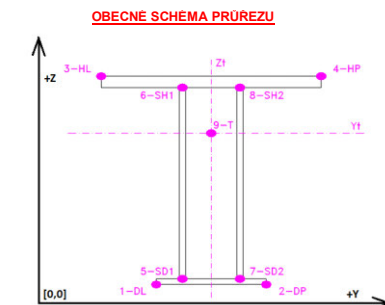
TAB A							PLNÝ PRŮŘEZ , ATYPICKÉ OTVORY							BEŽNÉ OTVORY PRO ŠROUBY ČI NYTY							OSLABENÍ PRŮŘEZU PRO NAMAHÁNÍ VNITŘNÍ SÍLOU						
část	b	h	y	z	poznámka	otvor	b	h	y	z	Nx-	Nx+	My-	My+	Mz-	Mz+	poznámka										
Č.	(mm)	(mm)	(mm)	(mm)	legenda 3	Č.	(mm)	(mm)	(mm)	(mm)	-	-	-	-	-	-	legenda 3										
1	220,0	16,0	110,0	466,0	0	21	0,0	0,0	0,0	0,0	NE	ANO	NE	ANO	NE	ANO	2										
2	10,0	442,0	110,0	237,0	0	22	0,0	0,0	0,0	0,0	NE	ANO	NE	ANO	NE	ANO	2										
3	220,0	16,0	110,0	8,0	0	23	0,0	0,0	0,0	0,0	NE	ANO	NE	ANO	NE	ANO	2										
4	0,0	0,0	0,0	0,0	0	24	0,0	0,0	0,0	0,0	NE	ANO	NE	ANO	NE	ANO	2										
5	0,0	0,0	0,0	0,0	0	25	0,0	0,0	0,0	0,0	NE	ANO	NE	ANO	NE	ANO	2										
6	0,0	0,0	0,0	0,0	0	26	0,0	0,0	0,0	0,0	NE	ANO	NE	ANO	NE	ANO	2										
7	0,0	0,0	0,0	0,0	0	27	0,0	0,0	0,0	0,0	NE	ANO	NE	ANO	NE	ANO	2										
8	0,0	0,0	0,0	0,0	0	28	0,0	0,0	0,0	0,0	NE	ANO	NE	ANO	NE	ANO	2										
9	0,0	0,0	0,0	0,0	0	29	0,0	0,0	0,0	0,0	NE	ANO	NE	ANO	NE	ANO	2										
10	0,0	0,0	0,0	0,0	0	30	0,0	0,0	0,0	0,0	NE	ANO	NE	ANO	NE	ANO	2										
11	0,0	0,0	0,0	0,0	0	31	0,0	0,0	0,0	0,0	NE	ANO	NE	ANO	NE	ANO	2										
12	0,0	0,0	0,0	0,0	0	32	0,0	0,0	0,0	0,0	NE	ANO	NE	ANO	NE	ANO	2										
13	0,0	0,0	0,0	0,0	0	33	0,0	0,0	0,0	0,0	NE	ANO	NE	ANO	NE	ANO	2										
14	0,0	0,0	0,0	0,0	0	34	0,0	0,0	0,0	0,0	NE	ANO	NE	ANO	NE	ANO	2										
15	0,0	0,0	0,0	0,0	0	35	0,0	0,0	0,0	0,0	NE	ANO	NE	ANO	NE	ANO	2										
16	0,0	0,0	0,0	0,0	0	36	0,0	0,0	0,0	0,0	NE	ANO	NE	ANO	NE	ANO	2										
17	0,0	0,0	0,0	0,0	0	37	0,0	0,0	0,0	0,0	NE	ANO	NE	ANO	NE	ANO	2										
18	0,0	0,0	0,0	0,0	0	38	0,0	0,0	0,0	0,0	NE	ANO	NE	ANO	NE	ANO	2										
19	0,0	0,0	0,0	0,0	0	39	0,0	0,0	0,0	0,0	NE	ANO	NE	ANO	NE	ANO	2										
20	0,0	0,0	0,0	0,0	0	40	0,0	0,0	0,0	0,0	NE	ANO	NE	ANO	NE	ANO	2										

TAB C- SOURADNICE KRITICKÝCH BODŮ PRŮŘEZU PRO POSUDEK NAPĚTÍ							
1-DL		2-DP		3-HL		4-HP	
y ₁	z ₁	y ₂	z ₂	y ₃	z ₃	y ₄	z ₄
(mm)	(mm)	(mm)	(mm)	(mm)	(mm)	(mm)	(mm)
0,0	0,0	220,0	0,0	0,0	474,0	220,0	474,0
5-SD1		6-SH1		7-SD2		8-SH2	
y ₅	z ₅	y ₆	z ₆	y ₇	z ₇	y ₈	z ₈
(mm)	(mm)	(mm)	(mm)	(mm)	(mm)	(mm)	(mm)
105,0	16,0	115,0	16,0	105,0	458,0	115,0	458,0

LEGENDA 1:
1-DL bod 1- dolní vlákná průřezu, levý okraj
2-DP bod 2- dolní vlákná průřezu, pravý okraj
3-HL bod 3- horní vlákná průřezu, levý okraj
4-HP bod 4- horní vlákná průřezu, pravý okraj
5-SD1 bod 5- dolní vlákná stěny 1
6-SH1 bod 6- horní vlákná stěny 1
7-SD2 bod 7- dolní vlákná stěny 2
8-SH2 bod 8- horní vlákná stěny 2
9-T bod 9- těžiště plného průřezu

TAB D PRŮŘEZOVÉ CHARAKTERISTIKY OSLABENÉHO PRŮŘEZU A _{x,ef} , W _{y,ef} a W _{z,ef} V KRITICKÝCH BODECH PRŮŘEZU PRO POSUDEK NAPĚTÍ						
BOD	A _{x,ef} -pro Nx [mm ²]	A _{x,ef} -pro Nx+ [mm ²]	W _{y,ef} -pro My- [mm ³]	W _{y,ef} -pro My+ [mm ³]	W _{z,ef} -pro Mz- [mm ³]	W _{z,ef} -pro Mz+ [mm ³]
1-DL	1,146E+04	1,146E+04	1,862E+06	1,862E+06	2,585E+05	2,585E+05
2-DP	1,146E+04	1,146E+04	1,862E+06	1,862E+06	-2,585E+05	-2,585E+05
3-HL	1,146E+04	1,146E+04	-1,862E+06	-1,862E+06	2,585E+05	2,585E+05
4-HP	1,146E+04	1,146E+04	-1,862E+06	-1,862E+06	-2,585E+05	-2,585E+05
5-SD1	1,146E+04	1,146E+04	1,997E+06	1,997E+06	5,686E+06	5,686E+06
6-SH1	1,146E+04	1,146E+04	1,997E+06	1,997E+06	-5,686E+06	-5,686E+06
7-SD2	1,146E+04	1,146E+04	-1,997E+06	-1,997E+06	5,686E+06	5,686E+06
8-SH2	1,146E+04	1,146E+04	-1,997E+06	-1,997E+06	-5,686E+06	-5,686E+06
9-T	1,146E+04	1,146E+04	-	-	-	-

LEGENDA 2:
b rozměr proužku (otvoru) ve směru osy y
h rozměr proužku (otvoru) ve směru osy z
y,z souřadnice těžiště proužku (otvoru)
N_x normálová síla- tlak
N_x normálová síla- tah
M_y svislý ohybový moment- kladný
M_y svislý ohybový moment- záporný
M_z vodorovný ohybový moment- kladný
M_z vodorovný ohybový moment- záporný
y₁,...,y₈ y-ová souřadnice kritických bodů 1,...,8 pro posudek napětí
z₁,...,z₈ z-ová souřadnice kritických bodů 1,...,8 pro posudek napětí
y_t y-ová souřadnice těžiště průřezu
z_t z-ová souřadnice těžiště průřezu
f_y mez kluzu oceli



LEGENDA 3:
0 ... neobsazeno
1 ... část průřezu
2 ... běžný otvor
3 ... atypický otvor

TAB E			
BOD	t _w [mm]	f _y [MPa]	f _{yk} [MPa]
1-DL	-	213,6	327,1
2-DP	-	213,6	327,1
3-HL	-	213,6	327,1
4-HP	-	213,6	327,1
5-SD1	10,0	213,6	327,1
6-SH1	10,0	213,6	327,1
7-SD2	10,0	213,6	327,1
8-SH2	10,0	213,6	327,1
9-T	10,0	213,6	327,1

A_x průřezová plocha- plný průřez
I_y moment setrvačnosti k ose y- plný průřez
I_z moment setrvačnosti k ose z- plný průřez
I_y moment tuhosti průřezu v prostém kroucení
I_z moment tuhosti průřezu v prostém kroucení
S_{y,9} statický moment celého průřezu k těžišťové ose y- plný průřez
S_{y,5-SD1 (7-SD2)} statický moment části průřezu pod bodem 5-SD1 (7-SD2) k těžišťové ose y- plný průřez
S_{y,6-SH1 (8-SH2)} statický moment části průřezu nad bodem 6-SH1 (8-SH2) k těžišťové ose y- plný průřez
W_{y,1,8} svislý průřezový modul průřezu v kritických bodech 1..8- plný průřez
A_{x,ef} průřezová plocha- oslabený průřez
W_{y,1,8,ef} svislý průřezový modul průřezu v kritických bodech 1..8- oslabený průřez
W_{z,1,8,ef} vodorovný průřezový modul průřezu v kritických bodech 1..8- oslabený průřez
H výška celého průřezu
H_w výška stěny průřezu
A_{yz} plocha stěny ve smyku od Vz

TAB B VÝSLEDNÉ PRŮŘEZOVÉ CHARAKTERISTIKY- PLNÝ PRŮŘEZ					
část	b	h	y	z	poznámka
č.	(mm)	(mm)	(mm)	(mm)	legenda 3
1	220,0	16,0	110,0	466,0	0
2	10,0	442,0	110,0	237,0	0
3	220,0	16,0	110,0	8,0	0
4	0,0	0,0	0,0	0,0	0
5	0,0	0,0	0,0	0,0	0
6	0,0	0,0	0,0	0,0	0
7	0,0	0,0	0,0	0,0	0
8	0,0	0,0	0,0	0,0	0
9	0,0	0,0	0,0	0,0	0
10	0,0	0,0	0,0	0,0	0
11	0,0	0,0	0,0	0,0	0
12	0,0	0,0	0,0	0,0	0
13	0,0	0,0	0,0	0,0	0
14	0,0	0,0	0,0	0,0	0
15	0,0	0,0	0,0	0,0	0
16	0,0	0,0	0,0	0,0	0
17	0,0	0,0	0,0	0,0	0
18	0,0	0,0	0,0	0,0	0
19	0,0	0,0	0,0	0,0	0
20	0,0	0,0	0,0	0,0	0
y _t = 110,0 mm			S _{y,1-9} = 8,061E+05 mm ³		
z _t = 237,0 mm			S _{y,10-20} = 8,061E+05 mm ³		
A _x = 1,146E+04 mm ²			S _{y,1-20} = 8,061E+05 mm ³		
I _y = 4,413E+08 mm ⁴			S _{y,1-20} = 8,061E+05 mm ³		
I _z = 2,843E+07 mm ⁴			I _y = 7,481E+05 mm ⁴		
S _{y,1-7} = 1,050E+06 mm ³			I _z = 0,000E+00 mm ⁴		
W _{y,1-9} = 1,862E+06 mm ³		W _{y,1-9} = 2,585E+05 mm ³			
W _{y,10-20} = 1,862E+06 mm ³		W _{y,10-20} = -2,585E+05 mm ³			
W _{z,1-9} = -1,862E+06 mm ³		W _{z,1-9} = 2,585E+05 mm ³			
W _{z,10-20} = -1,862E+06 mm ³		W _{z,10-20} = -2,585E+05 mm ³			
W _{x,1-9} = 1,997E+06 mm ³		W _{x,1-9} = 5,686E+06 mm ³			
W _{x,10-20} = 1,997E+06 mm ³		W _{x,10-20} = -5,686E+06 mm ³			
W _{y,1-9} = -1,997E+06 mm ³		W _{y,1-9} = 5,686E+06 mm ³			
W _{y,10-20} = -1,997E+06 mm ³		W _{y,10-20} = -5,686E+06 mm ³			

TAB 1 22 ZÁKLADNÍ PRŮŘEZOVÉ CHARAKTERISTIKY

POSUDEK: 22 PRŮŘEZ: D_2
OZNAČENÍ: D_2 POPIS: PODÉLNÍK 2

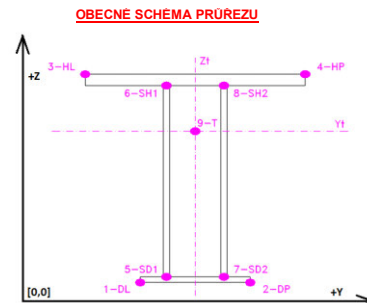
PRUT i X[m] j

SOUČINITEL KOROZE k = 1,00

TAB A							PLNÝ PRŮŘEZ , ATYPICKÉ OTVORY				BÉŽNÉ OTVORY PRO ŠROUBY ČI NYTY				OSLABENÍ PRŮŘEZU PRO NAMAHÁNÍ VNITŘNÍ SÍLOU							
část	b	h	y	z	poznámka	otvor	část	b	h	y	z	Nx-	Nx+	My-	My+	Mz-	Mz+	poznámka				
č.	(mm)	(mm)	(mm)	(mm)	legenda 3	č.	(mm)	(mm)	(mm)	(mm)		(mm)	(mm)	(mm)	(mm)	(mm)	(mm)	legenda 3				
1	220,0	16,0	110,0	392,0	0	21	0,0	0,0	0,0	0,0	0,0	NE	ANO	NE	ANO	NE	ANO	2				
2	10,0	368,0	110,0	200,0	0	22	0,0	0,0	0,0	0,0	0,0	NE	ANO	NE	ANO	NE	ANO	2				
3	220,0	16,0	110,0	8,0	0	23	0,0	0,0	0,0	0,0	0,0	NE	ANO	NE	ANO	NE	ANO	2				
4	0,0	0,0	0,0	0,0	0	24	0,0	0,0	0,0	0,0	0,0	NE	ANO	NE	ANO	NE	ANO	2				
5	0,0	0,0	0,0	0,0	0	25	0,0	0,0	0,0	0,0	0,0	NE	ANO	NE	ANO	NE	ANO	2				
6	0,0	0,0	0,0	0,0	0	26	0,0	0,0	0,0	0,0	0,0	NE	ANO	NE	ANO	NE	ANO	2				
7	0,0	0,0	0,0	0,0	0	27	0,0	0,0	0,0	0,0	0,0	NE	ANO	NE	ANO	NE	ANO	2				
8	0,0	0,0	0,0	0,0	0	28	0,0	0,0	0,0	0,0	0,0	NE	ANO	NE	ANO	NE	ANO	2				
9	0,0	0,0	0,0	0,0	0	29	0,0	0,0	0,0	0,0	0,0	NE	ANO	NE	ANO	NE	ANO	2				
10	0,0	0,0	0,0	0,0	0	30	0,0	0,0	0,0	0,0	0,0	NE	ANO	NE	ANO	NE	ANO	2				
11	0,0	0,0	0,0	0,0	0	31	0,0	0,0	0,0	0,0	0,0	NE	ANO	NE	ANO	NE	ANO	2				
12	0,0	0,0	0,0	0,0	0	32	0,0	0,0	0,0	0,0	0,0	NE	ANO	NE	ANO	NE	ANO	2				
13	0,0	0,0	0,0	0,0	0	33	0,0	0,0	0,0	0,0	0,0	NE	ANO	NE	ANO	NE	ANO	2				
14	0,0	0,0	0,0	0,0	0	34	0,0	0,0	0,0	0,0	0,0	NE	ANO	NE	ANO	NE	ANO	2				
15	0,0	0,0	0,0	0,0	0	35	0,0	0,0	0,0	0,0	0,0	NE	ANO	NE	ANO	NE	ANO	2				
16	0,0	0,0	0,0	0,0	0	36	0,0	0,0	0,0	0,0	0,0	NE	ANO	NE	ANO	NE	ANO	2				
17	0,0	0,0	0,0	0,0	0	37	0,0	0,0	0,0	0,0	0,0	NE	ANO	NE	ANO	NE	ANO	2				
18	0,0	0,0	0,0	0,0	0	38	0,0	0,0	0,0	0,0	0,0	NE	ANO	NE	ANO	NE	ANO	2				
19	0,0	0,0	0,0	0,0	0	39	0,0	0,0	0,0	0,0	0,0	NE	ANO	NE	ANO	NE	ANO	2				
20	0,0	0,0	0,0	0,0	0	40	0,0	0,0	0,0	0,0	0,0	NE	ANO	NE	ANO	NE	ANO	2				

TAB C-SOURADNICE KRITICKÝCH BODŮ PRŮŘEZU PRO POSUDEK NAPĚTÍ									
1-DL		2-DP		3-HL		4-HP			
y ₁	z ₁	y ₂	z ₂	y ₃	z ₃	y ₄	z ₄		
(mm)	(mm)	(mm)	(mm)	(mm)	(mm)	(mm)	(mm)		
0,0	0,0	220,0	0,0	0,0	400,0	220,0	400,0		
5-SD1		6-SH1		7-SD2		8-SH2			
y ₅	z ₅	y ₆	z ₆	y ₇	z ₇	y ₈	z ₈		
(mm)	(mm)	(mm)	(mm)	(mm)	(mm)	(mm)	(mm)		
105,0	16,0	115,0	16,0	105,0	384,0	115,0	384,0		

LEGENDA 1:
1-DL bod 1- dolní vlákná průřezu, levý okraj
2-DP bod 2- dolní vlákná průřezu, pravý okraj
3-HL bod 3- horní vlákná průřezu, levý okraj
4-HP bod 4- horní vlákná průřezu, pravý okraj
5-SD1 bod 5- dolní vlákná stěny 1
6-SH1 bod 6- horní vlákná stěny 1
7-SD2 bod 7- dolní vlákná stěny 2
8-SH2 bod 8- horní vlákná stěny 2
9-T bod 9- těžiště plného průřezu



LEGENDA 3:
0 ... neobsazeno
1 ... část průřezu
2 ... běžný otvor
3 ... atypický otvor

TAB D PRŮŘEZOVÉ CHARAKTERISTIKY OSLABENÉHO PRŮŘEZU A _{x,ef} , W _{y,ef} a W _{z,ef} V KRITICKÝCH BODECH PRŮŘEZU PRO POSUDEK NAPĚTÍ									
BOD	A _{x,ef} -pro Nx [mm ²]	A _{x,ef} -pro Nx+ [mm ²]	W _{y,ef} -pro My- [mm ³]	W _{y,ef} -pro My+ [mm ³]	W _{z,ef} -pro Mz- [mm ³]	W _{z,ef} -pro Mz+ [mm ³]			
1-DL	1,072E+04	1,072E+04	1,506E+06	1,506E+06	2,584E+05	2,584E+05			
2-DP	1,072E+04	1,072E+04	1,506E+06	1,506E+06	-2,584E+05	-2,584E+05			
3-HL	1,072E+04	1,072E+04	-1,506E+06	-1,506E+06	2,584E+05	2,584E+05			
4-HP	1,072E+04	1,072E+04	-1,506E+06	-1,506E+06	-2,584E+05	-2,584E+05			
5-SD1	1,072E+04	1,072E+04	1,637E+06	1,637E+06	5,685E+06	5,685E+06			
6-SH1	1,072E+04	1,072E+04	1,637E+06	1,637E+06	-5,685E+06	-5,685E+06			
7-SD2	1,072E+04	1,072E+04	-1,637E+06	-1,637E+06	5,685E+06	5,685E+06			
8-SH2	1,072E+04	1,072E+04	-1,637E+06	-1,637E+06	-5,685E+06	-5,685E+06			
9-T	1,072E+04	1,072E+04	-	-	-	-			

LEGENDA 2:
b rozměr proužku (otvoru) ve směru osy y
h rozměr proužku (otvoru) ve směru osy z
y,z souřadnice těžiště proužku (otvoru)
N_x normálová síla- tlak
N_x normálová síla- tah
M_y svislý ohybový moment- kladný
M_y svislý ohybový moment- záporný
M_z vodorovný ohybový moment- kladný
M_z vodorovný ohybový moment- záporný
y₁,...,y₈ y-ová souřadnice kritických bodů 1,...,8 pro posudek napětí
z₁,...,z₈ z-ová souřadnice kritických bodů 1,...,8 pro posudek napětí
y_t y-ová souřadnice těžiště průřezu
z_t z-ová souřadnice těžiště průřezu
f_y mez kluzu oceli

A_x průřezová plocha- plný průřez
I_y moment setrvačnosti k ose y- plný průřez
I_z moment setrvačnosti k ose z- plný průřez
I_y moment tuhosti průřezu v prostém kroucení
I_z výšeový moment setrvačnosti
S_{y,9} statický moment celého průřezu k těžišťové ose y- plný průřez
S_{y,5-SD1 (7-SD2)} statický moment části průřezu pod bodem 5-SD1 (7-SD2) k těžišťové ose y- plný průřez
S_{y,6-SH1 (8-SH2)} statický moment části průřezu nad bodem 6-SH1 (8-SH2) k těžišťové ose y- plný průřez
W_{y,1..8} svislý průřezový modul průřezu v kritických bodech 1..8- plný průřez
A_{x,ef} průřezová plocha- oslabený průřez
W_{y,1..8,ef} svislý průřezový modul průřezu v kritických bodech 1..8- oslabený průřez
W_{z,1..8,ef} vodorovný průřezový modul průřezu v kritických bodech 1..8- oslabený průřez
H výška celého průřezu
H_w výška stěny průřezu
A_{yz} plocha stěny ve smyku od Vz

TAB E	t _w	f _y	f _{yk}
BOD	(mm)	(MPa)	(MPa)
1-DL	-	213,6	327,1
2-DP	-	213,6	327,1
3-HL	-	213,6	327,1
4-HP	-	213,6	327,1
5-SD1	10,0	213,6	327,1
6-SH1	10,0	213,6	327,1
7-SD2	10,0	213,6	327,1
8-SH2	10,0	213,6	327,1
9-T	10,0	213,6	327,1

H = 400,0 mm
H_w = 368,0 mm
A_{yz} = 3680,0 mm²

TAB B VÝSLEDNÉ PRŮŘEZOVÉ CHARAKTERISTIKY- PLNÝ PRŮŘEZ					
část	b	h	y	z	poznámka
č.	(mm)	(mm)	(mm)	(mm)	legenda 3
1	220,0	16,0	110,0	392,0	0
2	10,0	368,0	110,0	200,0	0
3	220,0	16,0	110,0	8,0	0
4	0,0	0,0	0,0	0,0	0
5	0,0	0,0	0,0	0,0	0
6	0,0	0,0	0,0	0,0	0
7	0,0	0,0	0,0	0,0	0
8	0,0	0,0	0,0	0,0	0
9	0,0	0,0	0,0	0,0	0
10	0,0	0,0	0,0	0,0	0
11	0,0	0,0	0,0	0,0	0
12	0,0	0,0	0,0	0,0	0
13	0,0	0,0	0,0	0,0	0
14	0,0	0,0	0,0	0,0	0
15	0,0	0,0	0,0	0,0	0
16	0,0	0,0	0,0	0,0	0
17	0,0	0,0	0,0	0,0	0
18	0,0	0,0	0,0	0,0	0
19	0,0	0,0	0,0	0,0	0
20	0,0	0,0	0,0	0,0	0
y _t = 110,0 mm			S _{y,5-SD1} = 6,758E+05 mm ³		
z _t = 200,0 mm			S _{z,5-SD1} = 6,758E+05 mm ³		
A _x = 1,072E+04 mm ²			S _{y,2-SD2} = 6,758E+05 mm ³		
I _x = 3,012E+08 mm ⁴			S _{z,2-SD2} = 6,758E+05 mm ³		
I _y = 2,843E+07 mm ⁴			I _x = 7,234E+06 mm ⁴		
S _{y,3-SD2} = 8,451E+05 mm ³			I _y = 0,000E+00 mm ⁴		
W _{y,1-SD1} = 1,506E+06 mm ³			W _{y,1-SD1} = 2,584E+05 mm ³		
W _{y,2-SD2} = 1,506E+06 mm ³			W _{z,2-SD2} = -2,584E+05 mm ³		
W _{y,3-SD2} = -1,506E+06 mm ³			W _{y,3-SD2} = 2,584E+05 mm ³		
W _{y,4-SD2} = -1,506E+06 mm ³			W _{z,4-SD2} = -2,584E+05 mm ³		
W _{z,1-SD1} = 1,637E+06 mm ³			W _{z,1-SD1} = 5,685E+06 mm ³		
W _{z,2-SD2} = 1,637E+06 mm ³			W _{z,2-SD2} = -5,685E+06 mm ³		
W _{z,3-SD2} = -1,637E+06 mm ³			W _{z,3-SD2} = 5,685E+06 mm ³		
W _{z,4-SD2} = -1,637E+06 mm ³			W _{z,4-SD2} = -5,685E+06 mm ³		

TAB 1 23 ZÁKLADNÍ PRŮŘEZOVÉ CHARAKTERISTIKY

POSUDEK: 23 PRŮŘEZ: D_3
OZNAČENÍ: D_3 POPIS: PODÉLNÍK 3

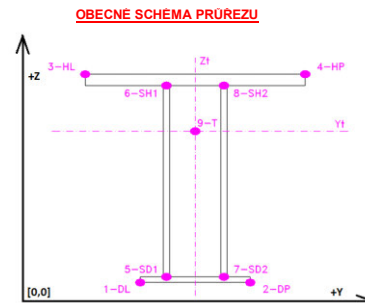
PRUT i X[m] j

SOUČINITEL KOROZE k = 1,00

TAB A							PLNÝ PRŮŘEZ , ATYPICKÉ OTVORY							BEŽNÉ OTVORY PRO ŠROUBY ČI NYTY							OSLABENÍ PRŮŘEZU PRO NAMAHÁNÍ VNITŘNÍ SÍLOU						
část	b	h	y	z	poznámka	otvor	b	h	y	z	Nx-	Nx+	My-	My+	Mz-	Mz+	poznámka										
č.	(mm)	(mm)	(mm)	(mm)	legenda 3	č.	(mm)	(mm)	(mm)	(mm)	(-)	(+)	(-)	(+)	(-)	(+)	legenda										
1	220,0	16,0	110,0	466,0	0	21	0,0	0,0	0,0	0,0	NE	ANO	NE	ANO	NE	ANO	2										
2	10,0	442,0	110,0	237,0	0	22	0,0	0,0	0,0	0,0	NE	ANO	NE	ANO	NE	ANO	2										
3	220,0	16,0	110,0	8,0	0	23	0,0	0,0	0,0	0,0	NE	ANO	NE	ANO	NE	ANO	2										
4	0,0	0,0	0,0	0,0	0	24	0,0	0,0	0,0	0,0	NE	ANO	NE	ANO	NE	ANO	2										
5	0,0	0,0	0,0	0,0	0	25	0,0	0,0	0,0	0,0	NE	ANO	NE	ANO	NE	ANO	2										
6	0,0	0,0	0,0	0,0	0	26	0,0	0,0	0,0	0,0	NE	ANO	NE	ANO	NE	ANO	2										
7	0,0	0,0	0,0	0,0	0	27	0,0	0,0	0,0	0,0	NE	ANO	NE	ANO	NE	ANO	2										
8	0,0	0,0	0,0	0,0	0	28	0,0	0,0	0,0	0,0	NE	ANO	NE	ANO	NE	ANO	2										
9	0,0	0,0	0,0	0,0	0	29	0,0	0,0	0,0	0,0	NE	ANO	NE	ANO	NE	ANO	2										
10	0,0	0,0	0,0	0,0	0	30	0,0	0,0	0,0	0,0	NE	ANO	NE	ANO	NE	ANO	2										
11	0,0	0,0	0,0	0,0	0	31	0,0	0,0	0,0	0,0	NE	ANO	NE	ANO	NE	ANO	2										
12	0,0	0,0	0,0	0,0	0	32	0,0	0,0	0,0	0,0	NE	ANO	NE	ANO	NE	ANO	2										
13	0,0	0,0	0,0	0,0	0	33	0,0	0,0	0,0	0,0	NE	ANO	NE	ANO	NE	ANO	2										
14	0,0	0,0	0,0	0,0	0	34	0,0	0,0	0,0	0,0	NE	ANO	NE	ANO	NE	ANO	2										
15	0,0	0,0	0,0	0,0	0	35	0,0	0,0	0,0	0,0	NE	ANO	NE	ANO	NE	ANO	2										
16	0,0	0,0	0,0	0,0	0	36	0,0	0,0	0,0	0,0	NE	ANO	NE	ANO	NE	ANO	2										
17	0,0	0,0	0,0	0,0	0	37	0,0	0,0	0,0	0,0	NE	ANO	NE	ANO	NE	ANO	2										
18	0,0	0,0	0,0	0,0	0	38	0,0	0,0	0,0	0,0	NE	ANO	NE	ANO	NE	ANO	2										
19	0,0	0,0	0,0	0,0	0	39	0,0	0,0	0,0	0,0	NE	ANO	NE	ANO	NE	ANO	2										
20	0,0	0,0	0,0	0,0	0	40	0,0	0,0	0,0	0,0	NE	ANO	NE	ANO	NE	ANO	2										

TAB C- SOURADNICE KRITICKÝCH BODŮ PRŮŘEZU PRO POSUDEK NAPĚTÍ									
1-DL		2-DP		3-HL		4-HP			
y ₁	z ₁	y ₂	z ₂	y ₃	z ₃	y ₄	z ₄		
(mm)	(mm)	(mm)	(mm)	(mm)	(mm)	(mm)	(mm)		
0,0	0,0	220,0	0,0	0,0	474,0	220,0	474,0		
5-SD1		6-SH1		7-SD2		8-SH2			
y ₅	z ₅	y ₆	z ₆	y ₇	z ₇	y ₈	z ₈		
(mm)	(mm)	(mm)	(mm)	(mm)	(mm)	(mm)	(mm)		
105,0	16,0	115,0	16,0	105,0	458,0	115,0	458,0		

LEGENDA 1:
1-DL bod 1- dolní vlákná průřezu, levý okraj
2-DP bod 2- dolní vlákná průřezu, pravý okraj
3-HL bod 3- horní vlákná průřezu, levý okraj
4-HP bod 4- horní vlákná průřezu, pravý okraj
5-SD1 bod 5- dolní vlákná stěny 1
6-SH1 bod 6- horní vlákná stěny 1
7-SD2 bod 7- dolní vlákná stěny 2
8-SH2 bod 8- horní vlákná stěny 2
9-T bod 9- těžiště plného průřezu



LEGENDA 3:
0 ... neobsazeno
1 ... část průřezu
2 ... běžný otvor
3 ... atypický otvor

TAB D PRŮŘEZOVÉ CHARAKTERISTIKY OSLABENÉHO PRŮŘEZU $A_{x,ef}$, $W_{y,ef}$ a $W_{z,ef}$ V KRITICKÝCH BODECH PRŮŘEZU PRO POSUDEK NAPĚTÍ						
BOD	$A_{x,ef}$ -pro Nx [mm ²]	$A_{x,ef}$ -pro Nx+ [mm ²]	$W_{y,ef}$ -pro My- [mm ³]	$W_{y,ef}$ -pro My+ [mm ³]	$W_{z,ef}$ -pro Mz- [mm ³]	$W_{z,ef}$ -pro Mz+ [mm ³]
1-DL	1,146E+04	1,146E+04	1,862E+06	1,862E+06	2,585E+05	2,585E+05
2-DP	1,146E+04	1,146E+04	1,862E+06	1,862E+06	-2,585E+05	-2,585E+05
3-HL	1,146E+04	1,146E+04	-1,862E+06	-1,862E+06	2,585E+05	2,585E+05
4-HP	1,146E+04	1,146E+04	-1,862E+06	-1,862E+06	-2,585E+05	-2,585E+05
5-SD1	1,146E+04	1,146E+04	1,997E+06	1,997E+06	5,686E+06	5,686E+06
6-SH1	1,146E+04	1,146E+04	1,997E+06	1,997E+06	-5,686E+06	-5,686E+06
7-SD2	1,146E+04	1,146E+04	-1,997E+06	-1,997E+06	5,686E+06	5,686E+06
8-SH2	1,146E+04	1,146E+04	-1,997E+06	-1,997E+06	-5,686E+06	-5,686E+06
9-T	1,146E+04	1,146E+04	-	-	-	-

LEGENDA 2:
b rozměr proužku (otvoru) ve směru osy y
h rozměr proužku (otvoru) ve směru osy z
y,z souřadnice těžiště proužku (otvoru)
N_x normálová síla- tlak
N_x normálová síla- tah
M_y svislý ohybový moment- kladný
M_y svislý ohybový moment- záporný
M_z vodorovný ohybový moment- kladný
M_z vodorovný ohybový moment- záporný
y₁,...,y₈ y-ová souřadnice kritických bodů 1,...,8 pro posudek napětí
z₁,...,z₈ z-ová souřadnice kritických bodů 1,...,8 pro posudek napětí
y_t y-ová souřadnice těžiště průřezu
z_t z-ová souřadnice těžiště průřezu
f_y mez kluzu oceli

A_x průřezová plocha- plný průřez
I_y moment setrvačnosti k ose y- plný průřez
I_z moment setrvačnosti k ose z- plný průřez
I_t moment tuhosti průřezu v prostém kroucení
I_o výseřový moment setrvačnosti
S_{y,9} statický moment celého průřezu k těžišťové ose y- plný průřez
S_{y,5-SD1 (7-SD2)} statický moment části průřezu pod bodem 5-SD1 (7-SD2) k těžišťové ose y- plný průřez
S_{y,6-SH1 (8-SH2)} statický moment části průřezu nad bodem 6-SH1 (8-SH2) k těžišťové ose y- plný průřez
W_{y,1..8} svislý průřezový modul průřezu v kritických bodech 1..8- plný průřez
A_{x,ef} průřezová plocha- oslabený průřez
W_{y,1..8,ef} svislý průřezový modul průřezu v kritických bodech 1..8- oslabený průřez
W_{z,1..8,ef} vodorovný průřezový modul průřezu v kritických bodech 1..8- oslabený průřez
H výška celého průřezu
H_w výška stěny průřezu
A_{vz} plocha stěny ve smyku od Vz

TAB E	t _w	f _y	f _u
BOD	(mm)	(MPa)	(MPa)
1-DL	-	213,6	327,1
2-DP	-	213,6	327,1
3-HL	-	213,6	327,1
4-HP	-	213,6	327,1
5-SD1	10,0	213,6	327,1
6-SH1	10,0	213,6	327,1
7-SD2	10,0	213,6	327,1
8-SH2	10,0	213,6	327,1
9-T	10,0	213,6	327,1

H = 474,0 mm
H_w = 442,0 mm
A_{vz} = 4420,0 mm²

TAB B VÝSLEDNÉ PRŮŘEZOVÉ CHARAKTERISTIKY- PLNÝ PRŮŘEZ					
část	b	h	y	z	poznámka
č.	(mm)	(mm)	(mm)	(mm)	legenda
1	220,0	16,0	110,0	466,0	0
2	10,0	442,0	110,0	237,0	0
3	220,0	16,0	110,0	8,0	0
4	0,0	0,0	0,0	0,0	0
5	0,0	0,0	0,0	0,0	0
6	0,0	0,0	0,0	0,0	0
7	0,0	0,0	0,0	0,0	0
8	0,0	0,0	0,0	0,0	0
9	0,0	0,0	0,0	0,0	0
10	0,0	0,0	0,0	0,0	0
11	0,0	0,0	0,0	0,0	0
12	0,0	0,0	0,0	0,0	0
13	0,0	0,0	0,0	0,0	0
14	0,0	0,0	0,0	0,0	0
15	0,0	0,0	0,0	0,0	0
16	0,0	0,0	0,0	0,0	0
17	0,0	0,0	0,0	0,0	0
18	0,0	0,0	0,0	0,0	0
19	0,0	0,0	0,0	0,0	0
20	0,0	0,0	0,0	0,0	0
<hr/>					
y ₁ = 110,0 mm		S _{x,3801} = 8,061E+05 mm ³			
z ₁ = 237,0 mm		S _{x,3801} = 8,061E+05 mm ³			
A _x = 1,146E+04 mm ²		S _{y,3802} = 8,061E+05 mm ³			
I _x = 4,413E+08 mm ⁴		S _{x,3802} = 8,061E+05 mm ³			
I _y = 2,843E+07 mm ⁴		I _y = 7,451E+05 mm ⁴			
S _{x,3803} = 1,050E+06 mm ³		I _{xy} = 0,000E+00 mm ⁴			
W _{y1,3801} = 1,862E+06 mm ³		W _{x1,3801} = 2,585E+05 mm ³			
W _{y2,3802} = 1,862E+06 mm ³		W _{x2,3802} = -2,585E+05 mm ³			
W _{y3,3803} = -1,862E+06 mm ³		W _{x3,3803} = 2,585E+05 mm ³			
W _{y4,3804} = -1,862E+06 mm ³		W _{x4,3804} = -2,585E+05 mm ³			
W _{y5,3805} = 1,997E+06 mm ³		W _{x5,3805} = 5,686E+06 mm ³			
W _{y6,3806} = 1,997E+06 mm ³		W _{x6,3806} = -5,686E+06 mm ³			
W _{y7,3807} = -1,997E+06 mm ³		W _{x7,3807} = 5,686E+06 mm ³			
W _{y8,3808} = -1,997E+06 mm ³		W _{x8,3808} = -5,686E+06 mm ³			

TAB 1 24 ZÁKLADNÍ PRŮŘEZOVÉ CHARAKTERISTIKY

POSUDEK: 24 PRŮŘEZ: D_4
OZNAČENÍ: D_4 POPIS: PODÉLNÍK 4

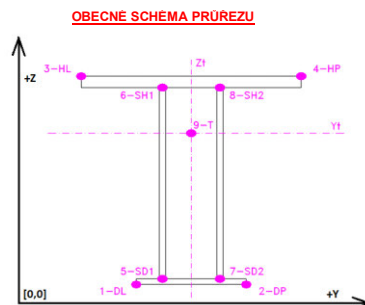
PRUT i X[m] j

SOUČINITEL KOROZE k = 1,00

TAB A							PLNÝ PRŮŘEZ , ATYPICKÉ OTVORY							BÉŽNÉ OTVORY PRO ŠROUBY ČI NYTY							OSLABENÍ PRŮŘEZU PRO NAMAHÁNÍ VNITŘNÍ SÍLOU						
část	b	h	y	z	poznámka	otvor	b	h	y	z	Nx-	Nx+	My-	My+	Mz-	Mz+	poznámka										
Č.	(mm)	(mm)	(mm)	(mm)	legenda 3	Č.	(mm)	(mm)	(mm)	(mm)	-	-	-	-	-	-	legenda 3										
1	220,0	16,0	110,0	453,0	0	21	0,0	0,0	0,0	0,0	NE	ANO	NE	ANO	NE	ANO	2										
2	10,0	429,0	110,0	230,5	0	22	0,0	0,0	0,0	0,0	NE	ANO	NE	ANO	NE	ANO	2										
3	220,0	16,0	110,0	8,0	0	23	0,0	0,0	0,0	0,0	NE	ANO	NE	ANO	NE	ANO	2										
4	0,0	0,0	0,0	0,0	0	24	0,0	0,0	0,0	0,0	NE	ANO	NE	ANO	NE	ANO	2										
5	0,0	0,0	0,0	0,0	0	25	0,0	0,0	0,0	0,0	NE	ANO	NE	ANO	NE	ANO	2										
6	0,0	0,0	0,0	0,0	0	26	0,0	0,0	0,0	0,0	NE	ANO	NE	ANO	NE	ANO	2										
7	0,0	0,0	0,0	0,0	0	27	0,0	0,0	0,0	0,0	NE	ANO	NE	ANO	NE	ANO	2										
8	0,0	0,0	0,0	0,0	0	28	0,0	0,0	0,0	0,0	NE	ANO	NE	ANO	NE	ANO	2										
9	0,0	0,0	0,0	0,0	0	29	0,0	0,0	0,0	0,0	NE	ANO	NE	ANO	NE	ANO	2										
10	0,0	0,0	0,0	0,0	0	30	0,0	0,0	0,0	0,0	NE	ANO	NE	ANO	NE	ANO	2										
11	0,0	0,0	0,0	0,0	0	31	0,0	0,0	0,0	0,0	NE	ANO	NE	ANO	NE	ANO	2										
12	0,0	0,0	0,0	0,0	0	32	0,0	0,0	0,0	0,0	NE	ANO	NE	ANO	NE	ANO	2										
13	0,0	0,0	0,0	0,0	0	33	0,0	0,0	0,0	0,0	NE	ANO	NE	ANO	NE	ANO	2										
14	0,0	0,0	0,0	0,0	0	34	0,0	0,0	0,0	0,0	NE	ANO	NE	ANO	NE	ANO	2										
15	0,0	0,0	0,0	0,0	0	35	0,0	0,0	0,0	0,0	NE	ANO	NE	ANO	NE	ANO	2										
16	0,0	0,0	0,0	0,0	0	36	0,0	0,0	0,0	0,0	NE	ANO	NE	ANO	NE	ANO	2										
17	0,0	0,0	0,0	0,0	0	37	0,0	0,0	0,0	0,0	NE	ANO	NE	ANO	NE	ANO	2										
18	0,0	0,0	0,0	0,0	0	38	0,0	0,0	0,0	0,0	NE	ANO	NE	ANO	NE	ANO	2										
19	0,0	0,0	0,0	0,0	0	39	0,0	0,0	0,0	0,0	NE	ANO	NE	ANO	NE	ANO	2										
20	0,0	0,0	0,0	0,0	0	40	0,0	0,0	0,0	0,0	NE	ANO	NE	ANO	NE	ANO	2										

TAB C- SOURADNICE KRITICKÝCH BODŮ PRŮŘEZU PRO POSUDEK NAPĚTÍ							
1-DL	2-DP	3-HL	4-HP	5-SD1	6-SH1	7-SD2	8-SH2
y ₁	z ₁	y ₂	z ₂	y ₃	z ₃	y ₄	z ₄
(mm)	(mm)	(mm)	(mm)	(mm)	(mm)	(mm)	(mm)
0,0	0,0	220,0	0,0	0,0	461,0	220,0	461,0
y ₅	z ₅	y ₆	z ₆	y ₇	z ₇	y ₈	z ₈
(mm)	(mm)	(mm)	(mm)	(mm)	(mm)	(mm)	(mm)
105,0	16,0	115,0	16,0	105,0	445,0	115,0	445,0

LEGENDA 1:
1-DL bod 1- dolní vlákná průřezu, levý okraj
2-DP bod 2- dolní vlákná průřezu, pravý okraj
3-HL bod 3- horní vlákná průřezu, levý okraj
4-HP bod 4- horní vlákná průřezu, pravý okraj
5-SD1 bod 5- dolní vlákná stěny 1
6-SH1 bod 6- horní vlákná stěny 1
7-SD2 bod 7- dolní vlákná stěny 2
8-SH2 bod 8- horní vlákná stěny 2
9-T bod 9- těžiště plného průřezu



LEGENDA 3:
0 ... neobsazeno
1 ... část průřezu
2 ... běžný otvor
3 ... atypický otvor

TAB D PRŮŘEZOVÉ CHARAKTERISTIKY OSLABENÉHO PRŮŘEZU A _{x,ef} , W _{y,ef} a W _{z,ef} V KRITICKÝCH BODECH PRŮŘEZU PRO POSUDEK NAPĚTÍ							
BOD	A _{x,ef} -pro Nx [mm ²]	A _{x,ef} -pro Nx+ [mm ²]	W _{y,ef} -pro My- [mm ³]	W _{y,ef} -pro My+ [mm ³]	W _{z,ef} -pro Mz- [mm ³]	W _{z,ef} -pro Mz+ [mm ³]	
1-DL	1,133E+04	1,133E+04	1,798E+06	1,798E+06	2,585E+05	2,585E+05	
2-DP	1,133E+04	1,133E+04	1,798E+06	1,798E+06	-2,585E+05	-2,585E+05	
3-HL	1,133E+04	1,133E+04	-1,798E+06	-1,798E+06	2,585E+05	2,585E+05	
4-HP	1,133E+04	1,133E+04	-1,798E+06	-1,798E+06	-2,585E+05	-2,585E+05	
5-SD1	1,133E+04	1,133E+04	1,932E+06	1,932E+06	5,686E+06	5,686E+06	
6-SH1	1,133E+04	1,133E+04	1,932E+06	1,932E+06	-5,686E+06	-5,686E+06	
7-SD2	1,133E+04	1,133E+04	-1,932E+06	-1,932E+06	5,686E+06	5,686E+06	
8-SH2	1,133E+04	1,133E+04	-1,932E+06	-1,932E+06	-5,686E+06	-5,686E+06	
9-T	1,133E+04	1,133E+04	-	-	-	-	

LEGENDA 2:
b rozměr proužku (otvoru) ve směru osy y
h rozměr proužku (otvoru) ve směru osy z
y,z souřadnice těžiště proužku (otvoru)
N_x normálová síla- tlak
N_x normálová síla- tah
M_y svislý ohybový moment- kladný
M_y svislý ohybový moment- záporný
M_z vodorovný ohybový moment- kladný
M_z vodorovný ohybový moment- záporný
y₁,...,y₈ y-ová souřadnice kritických bodů 1,...,8 pro posudek napětí
z₁,...,z₈ z-ová souřadnice kritických bodů 1,...,8 pro posudek napětí
y_t y-ová souřadnice těžiště průřezu
z_t z-ová souřadnice těžiště průřezu
f_y mez kluzu oceli

A_x průřezová plocha- plný průřez
I_y moment setrvačnosti k ose y- plný průřez
I_z moment setrvačnosti k ose z- plný průřez
I_y moment tuhosti průřezu v prostém kroucení
I_z moment setrvačnosti
S_{y,9} statický moment celého průřezu k těžišťové ose y- plný průřez
S_{y,5-SD1 (7-SD2)} statický moment části průřezu pod bodem 5-SD1 (7-SD2) k těžišťové ose y- plný průřez
S_{y,6-SH1 (8-SH2)} statický moment části průřezu nad bodem 6-SH1 (8-SH2) k těžišťové ose y- plný průřez
W_{y,1,8} svislý průřezový modul průřezu v kritických bodech 1..8- plný průřez
A_{x,ef} průřezová plocha- oslabený průřez
W_{y,1,8,ef} svislý průřezový modul průřezu v kritických bodech 1..8- oslabený průřez
W_{z,1,8,ef} vodorovný průřezový modul průřezu v kritických bodech 1..8- oslabený průřez
H výška celého průřezu
H_w výška stěny průřezu
A_{yz} plocha stěny ve smyku od Vz

TAB E	t _w	f _y	f _{yk}
BOD	(mm)	(MPa)	(MPa)
1-DL	-	213,6	327,1
2-DP	-	213,6	327,1
3-HL	-	213,6	327,1
4-HP	-	213,6	327,1
5-SD1	10,0	213,6	327,1
6-SH1	10,0	213,6	327,1
7-SD2	10,0	213,6	327,1
8-SH2	10,0	213,6	327,1
9-T	10,0	213,6	327,1

H = 461,0 mm
H_w = 429,0 mm
A_{yz} = 4290,0 mm²

TAB B VÝSLEDNÉ PRŮŘEZOVÉ CHARAKTERISTIKY- PLNÝ PRŮŘEZ							
část	b	h	y	z	poznámka		
Č.	(mm)	(mm)	(mm)	(mm)	legenda 3		
1	220,0	16,0	110,0	453,0	0		
2	10,0	429,0	110,0	230,5	0		
3	220,0	16,0	110,0	8,0	0		
4	0,0	0,0	0,0	0,0	0		
5	0,0	0,0	0,0	0,0	0		
6	0,0	0,0	0,0	0,0	0		
7	0,0	0,0	0,0	0,0	0		
8	0,0	0,0	0,0	0,0	0		
9	0,0	0,0	0,0	0,0	0		
10	0,0	0,0	0,0	0,0	0		
11	0,0	0,0	0,0	0,0	0		
12	0,0	0,0	0,0	0,0	0		
13	0,0	0,0	0,0	0,0	0		
14	0,0	0,0	0,0	0,0	0		
15	0,0	0,0	0,0	0,0	0		
16	0,0	0,0	0,0	0,0	0		
17	0,0	0,0	0,0	0,0	0		
18	0,0	0,0	0,0	0,0	0		
19	0,0	0,0	0,0	0,0	0		
20	0,0	0,0	0,0	0,0	0		
					y _t = 110,0 mm	S _{y,5-SD1} = 7,832E+05 mm ³	
					z _t = 230,5 mm	S _{y,6-SH1} = 7,832E+05 mm ³	
					A _x = 1,133E+04 mm ²	S _{y,7-SD2} = 7,832E+05 mm ³	
					I _y = 4,145E+08 mm ⁴	S _{y,8-SH2} = 7,832E+05 mm ³	
					I _z = 2,843E+07 mm ⁴	I _z = 7,437E+05 mm ⁴	
					S _{y,9-T} = 1,013E+06 mm ³	I _z = 0,000E+00 mm ⁴	

TAB 1 25 ZÁKLADNÍ PRŮŘEZOVÉ CHARAKTERISTIKY

POSUDEK: 25 PRŮŘEZ: D_5
OZNAČENÍ: D_5 POPIS: PODÉLNÍK 5

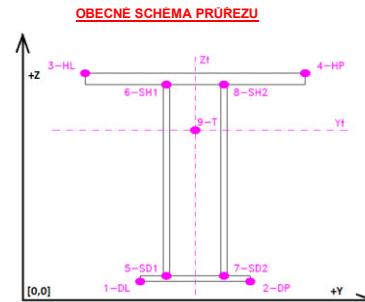
PRUT i X[m] j

SOUČINITEL KOROZE k = 1,00

TAB A							PLNÝ PRŮŘEZ , ATYPICKÉ OTVORY							BÉŽNÉ OTVORY PRO ŠROUBY ČI NYTY							OSLABENÍ PRŮŘEZU PRO NAMAHÁNÍ VNITŘNÍ SÍLOU						
část	b	h	y	z	poznámka	otvor	část	b	h	y	z	Nx-	Nx+	My-	My+	Mz-	Mz+	poznámka									
Č.	(mm)	(mm)	(mm)	(mm)	legenda 3	Č.	(mm)	(mm)	(mm)	(mm)		-	-	-	-	-	-	legenda									
1	220,0	16,0	110,0	435,0	0	21	0,0	0,0	0,0	0,0	0,0	NE	ANO	NE	ANO	NE	ANO	2									
2	10,0	411,0	110,0	221,5	0	22	0,0	0,0	0,0	0,0	0,0	NE	ANO	NE	ANO	NE	ANO	2									
3	220,0	16,0	110,0	8,0	0	23	0,0	0,0	0,0	0,0	0,0	NE	ANO	NE	ANO	NE	ANO	2									
4	0,0	0,0	0,0	0,0	0	24	0,0	0,0	0,0	0,0	0,0	NE	ANO	NE	ANO	NE	ANO	2									
5	0,0	0,0	0,0	0,0	0	25	0,0	0,0	0,0	0,0	0,0	NE	ANO	NE	ANO	NE	ANO	2									
6	0,0	0,0	0,0	0,0	0	26	0,0	0,0	0,0	0,0	0,0	NE	ANO	NE	ANO	NE	ANO	2									
7	0,0	0,0	0,0	0,0	0	27	0,0	0,0	0,0	0,0	0,0	NE	ANO	NE	ANO	NE	ANO	2									
8	0,0	0,0	0,0	0,0	0	28	0,0	0,0	0,0	0,0	0,0	NE	ANO	NE	ANO	NE	ANO	2									
9	0,0	0,0	0,0	0,0	0	29	0,0	0,0	0,0	0,0	0,0	NE	ANO	NE	ANO	NE	ANO	2									
10	0,0	0,0	0,0	0,0	0	30	0,0	0,0	0,0	0,0	0,0	NE	ANO	NE	ANO	NE	ANO	2									
11	0,0	0,0	0,0	0,0	0	31	0,0	0,0	0,0	0,0	0,0	NE	ANO	NE	ANO	NE	ANO	2									
12	0,0	0,0	0,0	0,0	0	32	0,0	0,0	0,0	0,0	0,0	NE	ANO	NE	ANO	NE	ANO	2									
13	0,0	0,0	0,0	0,0	0	33	0,0	0,0	0,0	0,0	0,0	NE	ANO	NE	ANO	NE	ANO	2									
14	0,0	0,0	0,0	0,0	0	34	0,0	0,0	0,0	0,0	0,0	NE	ANO	NE	ANO	NE	ANO	2									
15	0,0	0,0	0,0	0,0	0	35	0,0	0,0	0,0	0,0	0,0	NE	ANO	NE	ANO	NE	ANO	2									
16	0,0	0,0	0,0	0,0	0	36	0,0	0,0	0,0	0,0	0,0	NE	ANO	NE	ANO	NE	ANO	2									
17	0,0	0,0	0,0	0,0	0	37	0,0	0,0	0,0	0,0	0,0	NE	ANO	NE	ANO	NE	ANO	2									
18	0,0	0,0	0,0	0,0	0	38	0,0	0,0	0,0	0,0	0,0	NE	ANO	NE	ANO	NE	ANO	2									
19	0,0	0,0	0,0	0,0	0	39	0,0	0,0	0,0	0,0	0,0	NE	ANO	NE	ANO	NE	ANO	2									
20	0,0	0,0	0,0	0,0	0	40	0,0	0,0	0,0	0,0	0,0	NE	ANO	NE	ANO	NE	ANO	2									

TAB C- SOURADNICE KRITICKÝCH BODŮ PRŮŘEZU PRO POSUDEK NAPĚTÍ							
1-DL		2-DP		3-HL		4-HP	
y ₁	z ₁	y ₂	z ₂	y ₃	z ₃	y ₄	z ₄
(mm)	(mm)	(mm)	(mm)	(mm)	(mm)	(mm)	(mm)
0,0	0,0	220,0	0,0	0,0	443,0	220,0	443,0
5-SD1		6-SH1		7-SD2		8-SH2	
y ₅	z ₅	y ₆	z ₆	y ₇	z ₇	y ₈	z ₈
(mm)	(mm)	(mm)	(mm)	(mm)	(mm)	(mm)	(mm)
105,0	16,0	115,0	16,0	105,0	427,0	115,0	427,0

LEGENDA 1:
1-DL bod 1- dolní vlákná průřezu, levý okraj
2-DP bod 2- dolní vlákná průřezu, pravý okraj
3-HL bod 3- horní vlákná průřezu, levý okraj
4-HP bod 4- horní vlákná průřezu, pravý okraj
5-SD1 bod 5- dolní vlákná stěny 1
6-SH1 bod 6- horní vlákná stěny 1
7-SD2 bod 7- dolní vlákná stěny 2
8-SH2 bod 8- horní vlákná stěny 2
9-T bod 9- těžiště plného průřezu



LEGENDA 3:
0 ... neobsazeno
1 ... část průřezu
2 ... běžný otvor
3 ... atypický otvor

TAB D PRŮŘEZOVÉ CHARAKTERISTIKY OSLABENÉHO PRŮŘEZU A _{x,ef} , W _{y,ef} a W _{z,ef} V KRITICKÝCH BODECH PRŮŘEZU PRO POSUDEK NAPĚTÍ						
BOD	A _{x,ef} -pro Nx [mm ²]	A _{x,ef} -pro Nx+ [mm ²]	W _{y,ef} -pro My- [mm ³]	W _{y,ef} -pro My+ [mm ³]	W _{z,ef} -pro Mz- [mm ³]	W _{z,ef} -pro Mz+ [mm ³]
1-DL	1,115E+04	1,115E+04	1,711E+06	1,711E+06	2,584E+05	2,584E+05
2-DP	1,115E+04	1,115E+04	1,711E+06	1,711E+06	-2,584E+05	-2,584E+05
3-HL	1,115E+04	1,115E+04	-1,711E+06	-1,711E+06	2,584E+05	2,584E+05
4-HP	1,115E+04	1,115E+04	-1,711E+06	-1,711E+06	-2,584E+05	-2,584E+05
5-SD1	1,115E+04	1,115E+04	1,844E+06	1,844E+06	5,686E+06	5,686E+06
6-SH1	1,115E+04	1,115E+04	1,844E+06	1,844E+06	-5,686E+06	-5,686E+06
7-SD2	1,115E+04	1,115E+04	-1,844E+06	-1,844E+06	5,686E+06	5,686E+06
8-SH2	1,115E+04	1,115E+04	-1,844E+06	-1,844E+06	-5,686E+06	-5,686E+06
9-T	1,115E+04	1,115E+04	-	-	-	-

LEGENDA 2:
b rozměr proužku (otvoru) ve směru osy y
h rozměr proužku (otvoru) ve směru osy z
y,z souřadnice těžiště proužku (otvoru)
N_x normálová síla- tlak
N_x normálová síla- tah
M_y svislý ohybový moment- kladný
M_y svislý ohybový moment- záporný
M_z vodorovný ohybový moment- kladný
M_z vodorovný ohybový moment- záporný
y₁,...,y₈ y-ová souřadnice kritických bodů 1,...,8 pro posudek napětí
z₁,...,z₈ z-ová souřadnice kritických bodů 1,...,8 pro posudek napětí
y_t y-ová souřadnice těžiště průřezu
z_t z-ová souřadnice těžiště průřezu
f_y mez kluzu oceli

A_x průřezová plocha- plný průřez
I_y moment setrvačnosti k ose y- plný průřez
I_z moment setrvačnosti k ose z- plný průřez
I_y moment tuhosti průřezu v prostém kroucení
I_z moment setrvačnosti
S_{y,9} statický moment celého průřezu k těžišťové ose y- plný průřez
S_{y,5-SD1 (7-SD2)} statický moment části průřezu pod bodem 5-SD1 (7-SD2) k těžišťové ose y- plný průřez
S_{y,6-SH1 (8-SH2)} statický moment části průřezu nad bodem 6-SH1 (8-SH2) k těžišťové ose y- plný průřez
W_{y,1,8} svislý průřezový modul průřezu v kritických bodech 1..8- plný průřez
A_{x,ef} průřezová plocha- oslabený průřez
W_{y,1,8,ef} svislý průřezový modul průřezu v kritických bodech 1..8- oslabený průřez
W_{z,1,8,ef} vodorovný průřezový modul průřezu v kritických bodech 1..8- oslabený průřez
H výška celého průřezu
H_w výška stěny průřezu
A_{vz} plocha stěny ve smyku od Vz

TAB E	t _w	f _y	f _u
BOD	(mm)	(MPa)	(MPa)
1-DL	-	213,6	327,1
2-DP	-	213,6	327,1
3-HL	-	213,6	327,1
4-HP	-	213,6	327,1
5-SD1	10,0	213,6	327,1
6-SH1	10,0	213,6	327,1
7-SD2	10,0	213,6	327,1
8-SH2	10,0	213,6	327,1
9-T	10,0	213,6	327,1

H = 443,0 mm
H_w = 411,0 mm
A_{vz} = 4110,0 mm²

TAB B VÝSLEDNÉ PRŮŘEZOVÉ CHARAKTERISTIKY- PLNÝ PRŮŘEZ							
část	b	h	y	z	poznámka		
Č.	(mm)	(mm)	(mm)	(mm)	legenda 3		
1	220,0	16,0	110,0	435,0	0		
2	10,0	411,0	110,0	221,5	0		
3	220,0	16,0	110,0	8,0	0		
4	0,0	0,0	0,0	0,0	0		
5	0,0	0,0	0,0	0,0	0		
6	0,0	0,0	0,0	0,0	0		
7	0,0	0,0	0,0	0,0	0		
8	0,0	0,0	0,0	0,0	0		
9	0,0	0,0	0,0	0,0	0		
10	0,0	0,0	0,0	0,0	0		
11	0,0	0,0	0,0	0,0	0		
12	0,0	0,0	0,0	0,0	0		
13	0,0	0,0	0,0	0,0	0		
14	0,0	0,0	0,0	0,0	0		
15	0,0	0,0	0,0	0,0	0		
16	0,0	0,0	0,0	0,0	0		
17	0,0	0,0	0,0	0,0	0		
18	0,0	0,0	0,0	0,0	0		
19	0,0	0,0	0,0	0,0	0		
20	0,0	0,0	0,0	0,0	0		
						y _t = 110,0 mm	S _{y,5-SD1} = 7,515E+05 mm ³
						z _t = 221,5 mm	S _{y,6-SH1} = 7,515E+05 mm ³
						A _x = 1,115E+04 mm ²	S _{y,7-SD2} = 7,515E+05 mm ³
						I _y = 3,789E+08 mm ⁴	S _{y,8-SH2} = 7,515E+05 mm ³
						I _z = 2,843E+07 mm ⁴	I _y = 7,377E+05 mm ⁴
						S _{y,9-T} = 9,827E+05 mm ³	I _z = 0,000E+00 mm ⁴
						W _{y,1-DL} = 1,711E+06 mm ³	W _{y,1-DL} = 2,584E+05 mm ³
						W _{y,2-DP} = 1,711E+06 mm ³	W _{y,2-DP} = -2,584E+05 mm ³
						W _{y,3-HL} = -1,711E+06 mm ³	W _{y,3-HL} = 2,584E+0

SOUČINITEL KOROZE $k = 1,00$

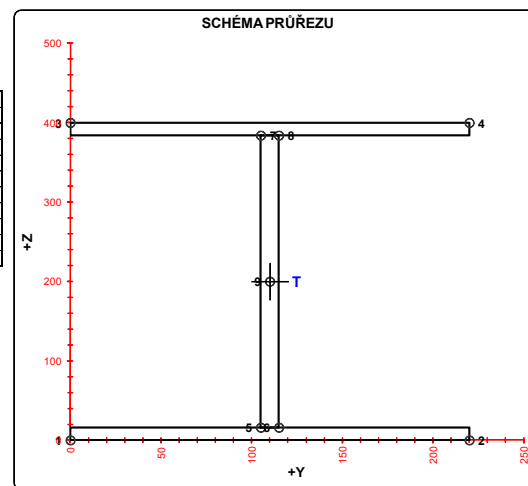
$Y_1 =$	110.0 mm	$S_{1,1800} =$	6.758E+05 mm ³
$Z_1 =$	200.0 mm	$S_{1,1801} =$	6.758E+05 mm ³
$A_1 =$	1.072E+04 mm ²	$S_{1,1802} =$	6.758E+05 mm ³
$I_1 =$	3.012E+08 mm ⁴	$S_{1,1803} =$	6.758E+05 mm ³
$I_2 =$	2.843E+07 mm ⁴	$I_3 =$	7.234E+05 mm ⁴
$S_{1,1804} =$	8.451E+05 mm ³	$I_4 =$	0.000E+00 mm ⁴
$W_{1,100} =$	1.506E+06 mm ³	$W_{1,101} =$	2.584E+05 mm ³
$W_{1,200} =$	1.506E+06 mm ³	$W_{1,201} =$	-2.584E+05 mm ³
$W_{1,300} =$	-1.506E+06 mm ³	$W_{1,301} =$	2.584E+05 mm ³
$W_{1,400} =$	-1.506E+06 mm ³	$W_{1,401} =$	-2.584E+05 mm ³
$W_{1,500} =$	1.637E+06 mm ³	$W_{1,501} =$	5.685E+06 mm ³
$W_{1,600} =$	1.637E+06 mm ³	$W_{1,601} =$	-5.685E+06 mm ³
$W_{1,700} =$	-1.637E+06 mm ³	$W_{1,701} =$	5.685E+06 mm ³
$W_{1,800} =$	-1.637E+06 mm ³	$W_{1,801} =$	-5.685E+06 mm ³

LEGENDA 3:

- 0 ... neobsazeno
- 1 ... část průřezu
- 2 ... běžný otvor
- 3 ... atypický otvor

TAB E	t_w	f_y	f_c
BOD	[mm]	[MPa]	[MPa]
1-DL	-	213,6	327,1
2-DP	-	213,6	327,1
3-HL	-	213,6	327,1
4-HP	-	213,6	327,1
5-SD1	10,0	213,6	327,1
6-SH1	10,0	213,6	327,1
7-SD2	10,0	213,6	327,1
8-SH2	10,0	213,6	327,1
9-T	10,0	213,6	327,1

A_x	průřezová plocha- plný průřez	$H =$	400,0 mm
I_y	moment setrvačnosti k ose y- plný průřez	$H_w =$	368,0 mm
I_z	moment setrvačnosti k ose z- plný průřez	$A_{vz} =$	3680,0 mm ²
I_y	moment tuhosti průřezu v prostém kroucení		
I_{ϕ}	výšeový moment setrvačnosti		
$S_{y,9}$	statický moment celého průřezu k těžištové ose y- plný průřez		
$S_{y,5-SD1}$ (7-SD2)	statický moment části průřezu pod bodem 5-SD1 (7-SD2) k těžištové ose y- plný průřez		
$S_{y,6-SH1}$ (8-SH2)	statický moment části průřezu nad bodem 6-SH1 (8-SH2) k těžištové ose y- plný průřez		
$W_{y1..8}$	výš. průřezový modul průřezu v kritických bodech 1..8- plný průřez		
$A_{x,ef}$	průřezová plocha- oslabený průřez		
$W_{y1..8,ef}$	výš. průřezový modul průřezu v kritických bodech 1..8- oslabený průřez		
$W_{z1..8,ef}$	vodorovný průřezový modul průřezu v kritických bodech 1..8- oslabený průřez		
H	výška celého průřezu		
H_w	výška stěny průřezu		
A_{vz}	průřez stěny ve směru od I/z		



TAB 1 27 ZÁKLADNÍ PRŮŘEZOVÉ CHARAKTERISTIKY

POSUDEK: 27 PRŮŘEZ: D_7
OZNAČENÍ: D_7 POPIS: PODÉLNÍK 7

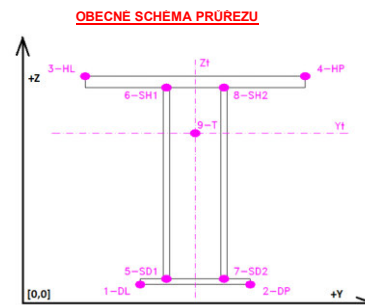
PRUT i X[m]
j

SOUČINITEL KOROZE k = 1,00

TAB A							PLNÝ PRŮŘEZ , ATYPICKÉ OTVORY							BEŽNÉ OTVORY PRO ŠROUBY ČI NYTY							OSLABENÍ PRŮŘEZU PRO NAMAHÁNÍ VNITŘNÍ SÍLOU						
Část	b	h	y	z	poznámka	otvor	Č.	b	h	y	z	Nx-	Nx+	My-	My+	Mz-	Mz+	poznámka									
č.	(mm)	(mm)	(mm)	(mm)	legenda 3	č.	(mm)	(mm)	(mm)	(mm)	(mm)	(-)	(-)	(-)	(-)	(-)	(-)	legenda 3									
1	250,0	18,0	125,0	411,0	0	21	0,0	0,0	0,0	0,0	0,0	NE	ANO	NE	ANO	NE	ANO	2									
2	10,0	384,0	125,0	210,0	0	22	0,0	0,0	0,0	0,0	0,0	NE	ANO	NE	ANO	NE	ANO	2									
3	250,0	18,0	125,0	9,0	0	23	0,0	0,0	0,0	0,0	0,0	NE	ANO	NE	ANO	NE	ANO	2									
4	0,0	0,0	0,0	0,0	0	24	0,0	0,0	0,0	0,0	0,0	NE	ANO	NE	ANO	NE	ANO	2									
5	0,0	0,0	0,0	0,0	0	25	0,0	0,0	0,0	0,0	0,0	NE	ANO	NE	ANO	NE	ANO	2									
6	0,0	0,0	0,0	0,0	0	26	0,0	0,0	0,0	0,0	0,0	NE	ANO	NE	ANO	NE	ANO	2									
7	0,0	0,0	0,0	0,0	0	27	0,0	0,0	0,0	0,0	0,0	NE	ANO	NE	ANO	NE	ANO	2									
8	0,0	0,0	0,0	0,0	0	28	0,0	0,0	0,0	0,0	0,0	NE	ANO	NE	ANO	NE	ANO	2									
9	0,0	0,0	0,0	0,0	0	29	0,0	0,0	0,0	0,0	0,0	NE	ANO	NE	ANO	NE	ANO	2									
10	0,0	0,0	0,0	0,0	0	30	0,0	0,0	0,0	0,0	0,0	NE	ANO	NE	ANO	NE	ANO	2									
11	0,0	0,0	0,0	0,0	0	31	0,0	0,0	0,0	0,0	0,0	NE	ANO	NE	ANO	NE	ANO	2									
12	0,0	0,0	0,0	0,0	0	32	0,0	0,0	0,0	0,0	0,0	NE	ANO	NE	ANO	NE	ANO	2									
13	0,0	0,0	0,0	0,0	0	33	0,0	0,0	0,0	0,0	0,0	NE	ANO	NE	ANO	NE	ANO	2									
14	0,0	0,0	0,0	0,0	0	34	0,0	0,0	0,0	0,0	0,0	NE	ANO	NE	ANO	NE	ANO	2									
15	0,0	0,0	0,0	0,0	0	35	0,0	0,0	0,0	0,0	0,0	NE	ANO	NE	ANO	NE	ANO	2									
16	0,0	0,0	0,0	0,0	0	36	0,0	0,0	0,0	0,0	0,0	NE	ANO	NE	ANO	NE	ANO	2									
17	0,0	0,0	0,0	0,0	0	37	0,0	0,0	0,0	0,0	0,0	NE	ANO	NE	ANO	NE	ANO	2									
18	0,0	0,0	0,0	0,0	0	38	0,0	0,0	0,0	0,0	0,0	NE	ANO	NE	ANO	NE	ANO	2									
19	0,0	0,0	0,0	0,0	0	39	0,0	0,0	0,0	0,0	0,0	NE	ANO	NE	ANO	NE	ANO	2									
20	0,0	0,0	0,0	0,0	0	40	0,0	0,0	0,0	0,0	0,0	NE	ANO	NE	ANO	NE	ANO	2									

TAB C- SOURADNICE KRITICKÝCH BODŮ PRŮŘEZU PRO POSUDEK NAPĚTÍ							
1-DL		2-DP		3-HL		4-HP	
y ₁	z ₁	y ₂	z ₂	y ₃	z ₃	y ₄	z ₄
(mm)	(mm)	(mm)	(mm)	(mm)	(mm)	(mm)	(mm)
0,0	0,0	250,0	0,0	0,0	420,0	250,0	420,0
5-SD1		6-SH1		7-SD2		8-SH2	
y ₅	z ₅	y ₆	z ₆	y ₇	z ₇	y ₈	z ₈
(mm)	(mm)	(mm)	(mm)	(mm)	(mm)	(mm)	(mm)
120,0	18,0	130,0	18,0	120,0	402,0	130,0	402,0

LEGENDA 1:
1-DL bod 1- dolní vlákná průřezu, levý okraj
2-DP bod 2- dolní vlákná průřezu, pravý okraj
3-HL bod 3- horní vlákná průřezu, levý okraj
4-HP bod 4- horní vlákná průřezu, pravý okraj
5-SD1 bod 5- dolní vlákná stěny 1
6-SH1 bod 6- horní vlákná stěny 1
7-SD2 bod 7- dolní vlákná stěny 2
8-SH2 bod 8- horní vlákná stěny 2
9-T bod 9- těžiště plného průřezu



LEGENDA 3:
0 ... neobsazeno
1 ... část průřezu
2 ... běžný otvor
3 ... atypický otvor

TAB D PRŮŘEZOVÉ CHARAKTERISTIKY OSLABENÉHO PRŮŘEZU A _{x,ef} , W _{y,ef} a W _{z,ef} V KRITICKÝCH BODECH PRŮŘEZU PRO POSUDEK NAPĚTÍ						
BOD	A _{x,ef} -pro Nx+ [mm ²]	A _{x,ef} -pro Nx- [mm ²]	W _{y,ef} -pro My+ [mm ³]	W _{y,ef} -pro My- [mm ³]	W _{z,ef} -pro Mz+ [mm ³]	W _{z,ef} -pro Mz- [mm ³]
1-DL	1,284E+04	1,284E+04	1,957E+06	1,957E+06	3,753E+05	3,753E+05
2-DP	1,284E+04	1,284E+04	1,957E+06	1,957E+06	-3,753E+05	-3,753E+05
3-HL	1,284E+04	1,284E+04	-1,957E+06	-1,957E+06	3,753E+05	3,753E+05
4-HP	1,284E+04	1,284E+04	-1,957E+06	-1,957E+06	-3,753E+05	-3,753E+05
5-SD1	1,284E+04	1,284E+04	2,141E+06	2,141E+06	9,381E+06	9,381E+06
6-SH1	1,284E+04	1,284E+04	2,141E+06	2,141E+06	-9,381E+06	-9,381E+06
7-SD2	1,284E+04	1,284E+04	-2,141E+06	-2,141E+06	9,381E+06	9,381E+06
8-SH2	1,284E+04	1,284E+04	-2,141E+06	-2,141E+06	-9,381E+06	-9,381E+06
9-T	1,284E+04	1,284E+04	-	-	-	-

LEGENDA 2:
b rozměr proužku (otvoru) ve směru osy y
h rozměr proužku (otvoru) ve směru osy z
y,z souřadnice těžiště proužku (otvoru)
N_x normálová síla- tlak
N_x normálová síla- tah
M_y svislý ohybový moment- kladný
M_y svislý ohybový moment- záporný
M_z vodorovný ohybový moment- kladný
M_z vodorovný ohybový moment- záporný
y₁,...,y₈ y-ová souřadnice kritických bodů 1,...,8 pro posudek napětí
z₁,...,z₈ z-ová souřadnice kritických bodů 1,...,8 pro posudek napětí
y_t y-ová souřadnice těžiště průřezu
z_t z-ová souřadnice těžiště průřezu
f_y mez kluzu oceli

A_x průřezová plocha- plný průřez
I_y moment setrvačnosti k ose y- plný průřez
I_z moment setrvačnosti k ose z- plný průřez
I_t moment tuhosti průřezu v prostém kroucení
I_o výsečový moment setrvačnosti
S_{y,9} statický moment celého průřezu k těžišťové ose y- plný průřez
S_{y,5-SD1 (7-SD2)} statický moment části průřezu pod bodem 5-SD1 (7-SD2) k těžišťové ose y- plný průřez
S_{y,6-SH1 (8-SH2)} statický moment části průřezu nad bodem 6-SH1 (8-SH2) k těžišťové ose y- plný průřez
W_{y,1..8} svislý průřezový modul průřezu v kritických bodech 1..8- plný průřez
A_{x,ef} průřezová plocha- oslabený průřez
W_{y,1..8,ef} svislý průřezový modul průřezu v kritických bodech 1..8- oslabený průřez
W_{z,1..8,ef} vodorovný průřezový modul průřezu v kritických bodech 1..8- oslabený průřez
H výška celého průřezu
H_w výška stěny průřezu
A_{vz} plocha stěny ve smyku od Vz

TAB E	t _w	f _y	f _u
BOD	(mm)	(MPa)	(MPa)
1-DL	-	213,6	327,1
2-DP	-	213,6	327,1
3-HL	-	213,6	327,1
4-HP	-	213,6	327,1
5-SD1	10,0	213,6	327,1
6-SH1	10,0	213,6	327,1
7-SD2	10,0	213,6	327,1
8-SH2	10,0	213,6	327,1
9-T	10,0	213,6	327,1

H = 420,0 mm
H_w = 384,0 mm
A_{vz} = 3840,0 mm²

TAB B VÝSLEDNÉ PRŮŘEZOVÉ CHARAKTERISTIKY- PLNÝ PRŮŘEZ							
část	b	h	y	z	poznámka		
Č.	(mm)	(mm)	(mm)	(mm)	legenda 3		
1	250,0	18,0	125,0	411,0	0		
2	10,0	384,0	125,0	210,0	0		
3	250,0	18,0	125,0	9,0	0		
4	0,0	0,0	0,0	0,0	0		
5	0,0	0,0	0,0	0,0	0		
6	0,0	0,0	0,0	0,0	0		
7	0,0	0,0	0,0	0,0	0		
8	0,0	0,0	0,0	0,0	0		
9	0,0	0,0	0,0	0,0	0		
10	0,0	0,0	0,0	0,0	0		
11	0,0	0,0	0,0	0,0	0		
12	0,0	0,0	0,0	0,0	0		
13	0,0	0,0	0,0	0,0	0		
14	0,0	0,0	0,0	0,0	0		
15	0,0	0,0	0,0	0,0	0		
16	0,0	0,0	0,0	0,0	0		
17	0,0	0,0	0,0	0,0	0		
18	0,0	0,0	0,0	0,0	0		
19	0,0	0,0	0,0	0,0	0		
20	0,0	0,0	0,0	0,0	0		
						y _t = 125,0 mm	S _{y,9-SH1} = 9,045E+05 mm ³
						z _t = 210,0 mm	S _{y,6-SH1} = 9,045E+05 mm ³
						A _x = 1,284E+04 mm ²	S _{y,7-SD2} = 9

TAB 1 28 ZÁKLADNÍ PRŮŘEZOVÉ CHARAKTERISTIKY

POSUDEK: 28 PRŮŘEZ: D_8
OZNAČENÍ: D_8 POPIS: PODÉLNÍK 8

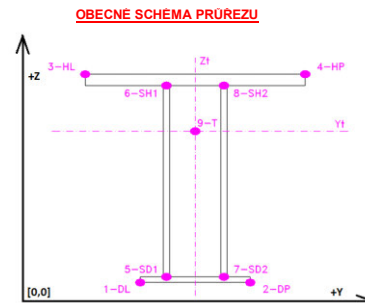
PRUT i X[m] j

SOUČINITEL KOROZE k = 1,00

TAB A						PLNÝ PRŮŘEZ , ATYPICKÉ OTVORY				BEŽNÉ OTVORY PRO ŠROUBY ČI NYTY				OSLABENÍ PRŮŘEZU PRO NAMAHÁNÍ VNITŘNÍ SÍLOU							
Část	b	h	y	z	poznámka	otvor	b	h	y	z	Nx-	Nx+	My-	My+	Mz-	Mz+	poznámka				
č.	(mm)	(mm)	(mm)	(mm)	legenda 3	č.	(mm)	(mm)	(mm)	(mm)	(-)	(+)	(-)	(+)	(-)	(+)	legenda				
1	220,0	16,0	110,0	471,0	0	21	0,0	0,0	0,0	0,0	NE	ANO	NE	ANO	NE	ANO	2				
2	10,0	447,0	110,0	239,5	0	22	0,0	0,0	0,0	0,0	NE	ANO	NE	ANO	NE	ANO	2				
3	220,0	16,0	110,0	8,0	0	23	0,0	0,0	0,0	0,0	NE	ANO	NE	ANO	NE	ANO	2				
4	0,0	0,0	0,0	0,0	0	24	0,0	0,0	0,0	0,0	NE	ANO	NE	ANO	NE	ANO	2				
5	0,0	0,0	0,0	0,0	0	25	0,0	0,0	0,0	0,0	NE	ANO	NE	ANO	NE	ANO	2				
6	0,0	0,0	0,0	0,0	0	26	0,0	0,0	0,0	0,0	NE	ANO	NE	ANO	NE	ANO	2				
7	0,0	0,0	0,0	0,0	0	27	0,0	0,0	0,0	0,0	NE	ANO	NE	ANO	NE	ANO	2				
8	0,0	0,0	0,0	0,0	0	28	0,0	0,0	0,0	0,0	NE	ANO	NE	ANO	NE	ANO	2				
9	0,0	0,0	0,0	0,0	0	29	0,0	0,0	0,0	0,0	NE	ANO	NE	ANO	NE	ANO	2				
10	0,0	0,0	0,0	0,0	0	30	0,0	0,0	0,0	0,0	NE	ANO	NE	ANO	NE	ANO	2				
11	0,0	0,0	0,0	0,0	0	31	0,0	0,0	0,0	0,0	NE	ANO	NE	ANO	NE	ANO	2				
12	0,0	0,0	0,0	0,0	0	32	0,0	0,0	0,0	0,0	NE	ANO	NE	ANO	NE	ANO	2				
13	0,0	0,0	0,0	0,0	0	33	0,0	0,0	0,0	0,0	NE	ANO	NE	ANO	NE	ANO	2				
14	0,0	0,0	0,0	0,0	0	34	0,0	0,0	0,0	0,0	NE	ANO	NE	ANO	NE	ANO	2				
15	0,0	0,0	0,0	0,0	0	35	0,0	0,0	0,0	0,0	NE	ANO	NE	ANO	NE	ANO	2				
16	0,0	0,0	0,0	0,0	0	36	0,0	0,0	0,0	0,0	NE	ANO	NE	ANO	NE	ANO	2				
17	0,0	0,0	0,0	0,0	0	37	0,0	0,0	0,0	0,0	NE	ANO	NE	ANO	NE	ANO	2				
18	0,0	0,0	0,0	0,0	0	38	0,0	0,0	0,0	0,0	NE	ANO	NE	ANO	NE	ANO	2				
19	0,0	0,0	0,0	0,0	0	39	0,0	0,0	0,0	0,0	NE	ANO	NE	ANO	NE	ANO	2				
20	0,0	0,0	0,0	0,0	0	40	0,0	0,0	0,0	0,0	NE	ANO	NE	ANO	NE	ANO	2				

TAB C- SOURADNICE KRITICKÝCH BODŮ PRŮŘEZU PRO POSUDEK NAPĚTÍ							
1-DL		2-DP		3-HL		4-HP	
y ₁	z ₁	y ₂	z ₂	y ₃	z ₃	y ₄	z ₄
(mm)	(mm)	(mm)	(mm)	(mm)	(mm)	(mm)	(mm)
0,0	0,0	220,0	0,0	0,0	479,0	220,0	479,0
5-SD1		6-SH1		7-SD2		8-SH2	
y ₅	z ₅	y ₆	z ₆	y ₇	z ₇	y ₈	z ₈
(mm)	(mm)	(mm)	(mm)	(mm)	(mm)	(mm)	(mm)
105,0	16,0	115,0	16,0	105,0	463,0	115,0	463,0

LEGENDA 1:
1-DL bod 1- dolní vlákná průřezu, levý okraj
2-DP bod 2- dolní vlákná průřezu, pravý okraj
3-HL bod 3- horní vlákná průřezu, levý okraj
4-HP bod 4- horní vlákná průřezu, pravý okraj
5-SD1 bod 5- dolní vlákná stěny 1
6-SH1 bod 6- horní vlákná stěny 1
7-SD2 bod 7- dolní vlákná stěny 2
8-SH2 bod 8- horní vlákná stěny 2
9-T bod 9- těžiště plného průřezu



LEGENDA 3:
0 ... neobsazeno
1 ... část průřezu
2 ... běžný otvor
3 ... atypický otvor

TAB D PRŮŘEZOVÉ CHARAKTERISTIKY OSLABENÉHO PRŮŘEZU A _{x,ef} , W _{y,ef} a W _{z,ef} V KRITICKÝCH BODECH PRŮŘEZU PRO POSUDEK NAPĚTÍ					
BOD	A _{x,ef} -pro Nx+ [mm ²]	A _{x,ef} -pro Nx- [mm ²]	W _{y,ef} -pro My- [mm ³]	W _{y,ef} -pro My+ [mm ³]	W _{z,ef} -pro Mz- [mm ³]
1-DL	1,151E+04	1,151E+04	1,887E+06	1,887E+06	2,585E+05
2-DP	1,151E+04	1,151E+04	1,887E+06	1,887E+06	2,585E+05
3-HL	1,151E+04	1,151E+04	-1,887E+06	-1,887E+06	2,585E+05
4-HP	1,151E+04	1,151E+04	-1,887E+06	-1,887E+06	2,585E+05
5-SD1	1,151E+04	1,151E+04	2,022E+06	2,022E+06	5,686E+06
6-SH1	1,151E+04	1,151E+04	2,022E+06	2,022E+06	-5,686E+06
7-SD2	1,151E+04	1,151E+04	-2,022E+06	-2,022E+06	5,686E+06
8-SH2	1,151E+04	1,151E+04	-2,022E+06	-2,022E+06	-5,686E+06
9-T	1,151E+04	1,151E+04	-	-	-

LEGENDA 2:
b rozměr proužku (otvoru) ve směru osy y
h rozměr proužku (otvoru) ve směru osy z
y,z souřadnice těžiště proužku (otvoru)
N_x normálová síla- tlak
N_x normálová síla- tah
M_y svislý ohybový moment- kladný
M_y svislý ohybový moment- záporný
M_z vodorovný ohybový moment- kladný
M_z vodorovný ohybový moment- záporný
y₁,...,y₈ y-ová souřadnice kritických bodů 1,...,8 pro posudek napětí
z₁,...,z₈ z-ová souřadnice kritických bodů 1,...,8 pro posudek napětí
y_t y-ová souřadnice těžiště průřezu
z_t z-ová souřadnice těžiště průřezu
f_y mez kluzu oceli

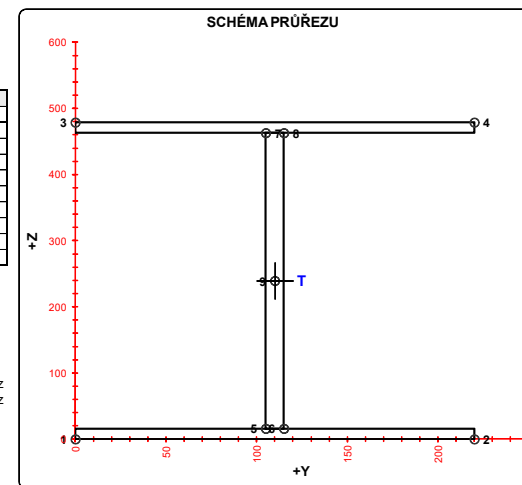
A_x průřezová plocha- plný průřez
I_y moment setrvačnosti k ose y- plný průřez
I_z moment setrvačnosti k ose z- plný průřez
I_y moment tuhosti průřezu v prostém kroucení
I_z výsekový moment setrvačnosti
S_{y,9} statický moment celého průřezu k těžišťové ose y- plný průřez
S_{y,5-SD1 (7-SD2)} statický moment části průřezu pod bodem 5-SD1 (7-SD2) k těžišťové ose y- plný průřez
S_{y,6-SH1 (8-SH2)} statický moment části průřezu nad bodem 6-SH1 (8-SH2) k těžišťové ose y- plný průřez
W_{y,1..8} svislý průřezový modul průřezu v kritických bodech 1..8- plný průřez
A_{x,ef} průřezová plocha- oslabený průřez
W_{y,1..8,ef} svislý průřezový modul průřezu v kritických bodech 1..8- oslabený průřez
W_{z,1..8,ef} vodorovný průřezový modul průřezu v kritických bodech 1..8- oslabený průřez
H výška celého průřezu
H_w výška stěny průřezu
A_{yz} plocha stěny ve smyku od Vz

TAB E	t _w	f _y	f _{yk}
BOD	(mm)	(MPa)	(MPa)
1-DL	-	213,6	327,1
2-DP	-	213,6	327,1
3-HL	-	213,6	327,1
4-HP	-	213,6	327,1
5-SD1	10,0	213,6	327,1
6-SH1	10,0	213,6	327,1
7-SD2	10,0	213,6	327,1
8-SH2	10,0	213,6	327,1
9-T	10,0	213,6	327,1

H = 479,0 mm
H_w = 447,0 mm
A_{yz} = 4470,0 mm²

TAB B VÝSLEDNÉ PRŮŘEZOVÉ CHARAKTERISTIKY- PLNÝ PRŮŘEZ						
část	b	h	y	z	poznámka	
Č.	(mm)	(mm)	(mm)	(mm)	legenda 3	
1	220,0	16,0	110,0	471,0	0	
2	10,0	447,0	110,0	239,5	0	
3	220,0	16,0	110,0	8,0	0	
4	0,0	0,0	0,0	0,0	0	
5	0,0	0,0	0,0	0,0	0	
6	0,0	0,0	0,0	0,0	0	
7	0,0	0,0	0,0	0,0	0	
8	0,0	0,0	0,0	0,0	0	
9	0,0	0,0	0,0	0,0	0	
10	0,0	0,0	0,0	0,0	0	
11	0,0	0,0	0,0	0,0	0	
12	0,0	0,0	0,0	0,0	0	
13	0,0	0,0	0,0	0,0	0	
14	0,0	0,0	0,0	0,0	0	
15	0,0	0,0	0,0	0,0	0	
16	0,0	0,0	0,0	0,0	0	
17	0,0	0,0	0,0	0,0	0	
18	0,0	0,0	0,0	0,0	0	
19	0,0	0,0	0,0	0,0	0	
20	0,0	0,0	0,0	0,0	0	

y_t = 110,0 mm S_{y,9} = 8,149E+05 mm³
z_t = 239,5 mm S_{z,9} = 8,149E+05 mm³
A_x = 1,151E+04 mm² S_{y,7-SD2} = 8,149E+05 mm³
I_y = 4,519E+08 mm⁴ S_{y,6-SH2} = 8,149E+05 mm³
I_z = 2,843E+07 mm⁴ I_z = 7,497E+05 mm⁴
S_{y,1..8} = 1,065E+06 mm³ I_z = 0,000E+00 mm⁴
W_{y,1-DL} = 1,887E+06 mm³ W_{y,1-DL} = 2,585E+05 mm³
W_{y,2-DP} = 1,887E+06 mm³ W_{y,2-DP} = -2,585E+05 mm³
W_{y,3-HL} = -1,887E+06 mm³ W_{y,3-HL} = 2,585E+05 mm³
W_{y,4-HP} = -1,887E+06 mm³ W_{y,4-HP} = -2,585E+05 mm³
W_{y,5-SD1} = 2,022E+06 mm³ W_{y,5-SD1} = 5,686E+06 mm³
W_{y,6-SH1} = 2,022E+06 mm³ W_{y,6-SH1} = -5,686E+06 mm³
W_{y,7-SD2} = -2,022E+06 mm³ W_{y,7-SD2} = 5,686E+06 mm³
W_{y,8-SH2} = -2,022E+06 mm³ W_{y,8-SH2} = -5,686E+06 mm³



TAB 1 29 ZÁKLADNÍ PRŮŘEZOVÉ CHARAKTERISTIKY

POSUDEK: 29 PRŮŘEZ: D_9
OZNAČENÍ: D_9 POPIS: PODÉLNÍK 9

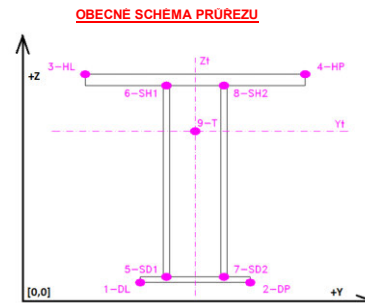
PRUT i X[m] j

SOUČINITEL KOROZE k = 1,00

TAB A PLNÝ PRŮŘEZ , ATYPICKÉ OTVORY										BÉŽNÉ OTVORY PRO ŠROUBY ČI NYTY					OSLABENÍ PRŮŘEZU PRO NAMAHÁNÍ VNITŘNÍ SÍLOU				
část	b	h	y	z	poznámka	otvor	b	h	y	z	Nx-	Nx+	My-	My+	Mz-	Mz+	poznámka		
Č.	(mm)	(mm)	(mm)	(mm)	legenda 3	Č.	(mm)	(mm)	(mm)	(mm)							legenda 3		
1	220,0	16,0	110,0	483,0	0	21	0,0	0,0	0,0	0,0	NE	ANO	NE	ANO	NE	ANO	2		
2	10,0	459,0	110,0	245,5	0	22	0,0	0,0	0,0	0,0	NE	ANO	NE	ANO	NE	ANO	2		
3	220,0	16,0	110,0	8,0	0	23	0,0	0,0	0,0	0,0	NE	ANO	NE	ANO	NE	ANO	2		
4	0,0	0,0	0,0	0,0	0	24	0,0	0,0	0,0	0,0	NE	ANO	NE	ANO	NE	ANO	2		
5	0,0	0,0	0,0	0,0	0	25	0,0	0,0	0,0	0,0	NE	ANO	NE	ANO	NE	ANO	2		
6	0,0	0,0	0,0	0,0	0	26	0,0	0,0	0,0	0,0	NE	ANO	NE	ANO	NE	ANO	2		
7	0,0	0,0	0,0	0,0	0	27	0,0	0,0	0,0	0,0	NE	ANO	NE	ANO	NE	ANO	2		
8	0,0	0,0	0,0	0,0	0	28	0,0	0,0	0,0	0,0	NE	ANO	NE	ANO	NE	ANO	2		
9	0,0	0,0	0,0	0,0	0	29	0,0	0,0	0,0	0,0	NE	ANO	NE	ANO	NE	ANO	2		
10	0,0	0,0	0,0	0,0	0	30	0,0	0,0	0,0	0,0	NE	ANO	NE	ANO	NE	ANO	2		
11	0,0	0,0	0,0	0,0	0	31	0,0	0,0	0,0	0,0	NE	ANO	NE	ANO	NE	ANO	2		
12	0,0	0,0	0,0	0,0	0	32	0,0	0,0	0,0	0,0	NE	ANO	NE	ANO	NE	ANO	2		
13	0,0	0,0	0,0	0,0	0	33	0,0	0,0	0,0	0,0	NE	ANO	NE	ANO	NE	ANO	2		
14	0,0	0,0	0,0	0,0	0	34	0,0	0,0	0,0	0,0	NE	ANO	NE	ANO	NE	ANO	2		
15	0,0	0,0	0,0	0,0	0	35	0,0	0,0	0,0	0,0	NE	ANO	NE	ANO	NE	ANO	2		
16	0,0	0,0	0,0	0,0	0	36	0,0	0,0	0,0	0,0	NE	ANO	NE	ANO	NE	ANO	2		
17	0,0	0,0	0,0	0,0	0	37	0,0	0,0	0,0	0,0	NE	ANO	NE	ANO	NE	ANO	2		
18	0,0	0,0	0,0	0,0	0	38	0,0	0,0	0,0	0,0	NE	ANO	NE	ANO	NE	ANO	2		
19	0,0	0,0	0,0	0,0	0	39	0,0	0,0	0,0	0,0	NE	ANO	NE	ANO	NE	ANO	2		
20	0,0	0,0	0,0	0,0	0	40	0,0	0,0	0,0	0,0	NE	ANO	NE	ANO	NE	ANO	2		

TAB C- SOURADNICE KRITICKÝCH BODŮ PRŮŘEZU PRO POSUDEK NAPĚTÍ			
1-DL	2-DP	3-HL	4-HP
y ₁	z ₁	y ₂	z ₂
(mm)	(mm)	(mm)	(mm)
0,0	0,0	220,0	0,0
5-SD1	6-SH1	7-SD2	8-SH2
y ₅	z ₅	y ₇	z ₇
(mm)	(mm)	(mm)	(mm)
105,0	16,0	115,0	16,0

LEGENDA 1:
1-DL bod 1- dolní vlákná průřezu, levý okraj
2-DP bod 2- dolní vlákná průřezu, pravý okraj
3-HL bod 3- horní vlákná průřezu, levý okraj
4-HP bod 4- horní vlákná průřezu, pravý okraj
5-SD1 bod 5- dolní vlákná stěny 1
6-SH1 bod 6- horní vlákná stěny 1
7-SD2 bod 7- dolní vlákná stěny 2
8-SH2 bod 8- horní vlákná stěny 2
9-T bod 9- těžiště plného průřezu



LEGENDA 3:
0 ... neobsazeno
1 ... část průřezu
2 ... běžný otvor
3 ... atypický otvor

TAB D PRŮŘEZOVÉ CHARAKTERISTIKY OSLABENÉHO PRŮŘEZU $A_{x,ef}$, $W_{y,ef}$ a $W_{z,ef}$ V KRITICKÝCH BODECH PRŮŘEZU PRO POSUDEK NAPĚTÍ						
BOD	$A_{x,ef}$ -pro Nx [mm ²]	$A_{x,ef}$ -pro Nx+ [mm ²]	$W_{y,ef}$ -pro My- [mm ³]	$W_{y,ef}$ -pro My+ [mm ³]	$W_{z,ef}$ -pro Mz- [mm ³]	$W_{z,ef}$ -pro Mz+ [mm ³]
1-DL	1,163E+04	1,163E+04	1,946E+06	1,946E+06	2,585E+05	2,585E+05
2-DP	1,163E+04	1,163E+04	1,946E+06	1,946E+06	-2,585E+05	-2,585E+05
3-HL	1,163E+04	1,163E+04	-1,946E+06	-1,946E+06	2,585E+05	2,585E+05
4-HP	1,163E+04	1,163E+04	-1,946E+06	-1,946E+06	-2,585E+05	-2,585E+05
5-SD1	1,163E+04	1,163E+04	2,082E+06	2,082E+06	5,687E+06	5,687E+06
6-SH1	1,163E+04	1,163E+04	2,082E+06	2,082E+06	-5,687E+06	-5,687E+06
7-SD2	1,163E+04	1,163E+04	-2,082E+06	-2,082E+06	5,687E+06	5,687E+06
8-SH2	1,163E+04	1,163E+04	-2,082E+06	-2,082E+06	-5,687E+06	-5,687E+06
9-T	1,163E+04	1,163E+04	-	-	-	-

LEGENDA 2:
b rozměr proužku (otvoru) ve směru osy y
h rozměr proužku (otvoru) ve směru osy z
y,z souřadnice těžiště proužku (otvoru)
N_x normálová síla- tlak
N_x normálová síla- tah
M_y svislý ohybový moment- kladný
M_y svislý ohybový moment- záporný
M_z vodorovný ohybový moment- kladný
M_z vodorovný ohybový moment- záporný
y₁,...,y₈ y-ová souřadnice kritických bodů 1,...,8 pro posudek napětí
z₁,...,z₈ z-ová souřadnice kritických bodů 1,...,8 pro posudek napětí
y_t y-ová souřadnice těžiště průřezu
z_t z-ová souřadnice těžiště průřezu
f_y mez kluzu oceli

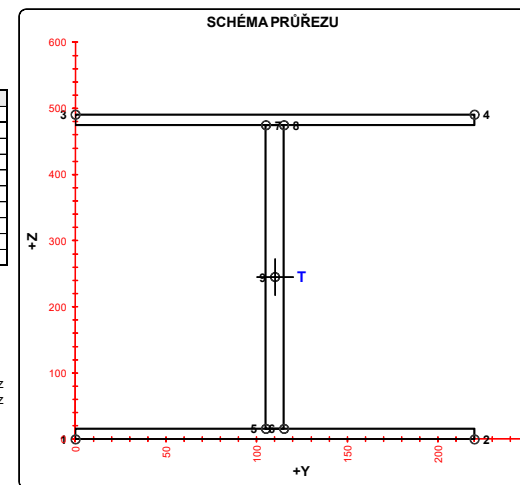
A_x průřezová plocha- plný průřez
I_y moment setrvačnosti k ose y- plný průřez
I_z moment setrvačnosti k ose z- plný průřez
I_y moment tuhosti průřezu v prostém kroucení
I_z výšeový moment setrvačnosti
S_{y,9} statický moment celého průřezu k těžišťové ose y- plný průřez
S_{y,5-SD1 (7-SD2)} statický moment části průřezu pod bodem 5-SD1 (7-SD2) k těžišťové ose y- plný průřez
S_{y,6-SH1 (8-SH2)} statický moment části průřezu nad bodem 6-SH1 (8-SH2) k těžišťové ose y- plný průřez
W_{y,1,8} svislý průřezový modul průřezu v kritických bodech 1..8- plný průřez
A_{x,ef} průřezová plocha- oslabený průřez
W_{y,1,8,ef} svislý průřezový modul průřezu v kritických bodech 1..8- oslabený průřez
W_{z,1,8,ef} vodorovný průřezový modul průřezu v kritických bodech 1..8- oslabený průřez
H výška celého průřezu
H_w výška stěny průřezu
A_{yz} plocha stěny ve smyku od Vz

TAB E	t _w	f _y	f _{yk}
BOD	(mm)	(MPa)	(MPa)
1-DL	-	213,6	327,1
2-DP	-	213,6	327,1
3-HL	-	213,6	327,1
4-HP	-	213,6	327,1
5-SD1	10,0	213,6	327,1
6-SH1	10,0	213,6	327,1
7-SD2	10,0	213,6	327,1
8-SH2	10,0	213,6	327,1
9-T	10,0	213,6	327,1

H = 491,0 mm
H_w = 459,0 mm
A_{yz} = 4590,0 mm²

TAB B VÝSLEDNÉ PRŮŘEZOVÉ CHARAKTERISTIKY- PLNÝ PRŮŘEZ						
část	b	h	y	z	poznámka	
Č.	(mm)	(mm)	(mm)	(mm)	legenda 3	
1	220,0	16,0	110,0	483,0	0	
2	10,0	459,0	110,0	245,5	0	
3	220,0	16,0	110,0	8,0	0	
4	0,0	0,0	0,0	0,0	0	
5	0,0	0,0	0,0	0,0	0	
6	0,0	0,0	0,0	0,0	0	
7	0,0	0,0	0,0	0,0	0	
8	0,0	0,0	0,0	0,0	0	
9	0,0	0,0	0,0	0,0	0	
10	0,0	0,0	0,0	0,0	0	
11	0,0	0,0	0,0	0,0	0	
12	0,0	0,0	0,0	0,0	0	
13	0,0	0,0	0,0	0,0	0	
14	0,0	0,0	0,0	0,0	0	
15	0,0	0,0	0,0	0,0	0	
16	0,0	0,0	0,0	0,0	0	
17	0,0	0,0	0,0	0,0	0	
18	0,0	0,0	0,0	0,0	0	
19	0,0	0,0	0,0	0,0	0	
20	0,0	0,0	0,0	0,0	0	

y_t = 110,0 mm S_{y,9} = 8,360E+05 mm³
z_t = 245,5 mm S_{y,5-SD1} = 8,360E+05 mm³
A_x = 1,163E+04 mm² S_{y,7-SD2} = 8,360E+05 mm³
I_y = 4,778E+08 mm⁴ S_{y,6-SH1} = 8,360E+05 mm³
I_z = 2,843E+07 mm⁴ I_z = 7,537E+05 mm⁴
S_{y,9,T} = 1,099E+06 mm³ I_z = 0,000E+00 mm⁴
W_{y,1-DL} = 1,946E+06 mm³ W_{y,1-DL} = 2,585E+05 mm³
W_{y,2-DP} = 1,946E+06 mm³ W_{y,2-DP} = -2,585E+05 mm³
W_{y,3-HL} = -1,946E+06 mm³ W_{y,3-HL} = 2,585E+05 mm³
W_{y,4-HP} = -1,946E+06 mm³ W_{y,4-HP} = -2,585E+05 mm³
W_{y,5-SD1} = 2,082E+06 mm³ W_{y,5-SD1} = 5,687E+06 mm³
W_{y,6-SH1} = 2,082E+06 mm³ W_{y,6-SH1} = -5,687E+06 mm³
W_{y,7-SD2} = -2,082E+06 mm³ W_{y,7-SD2} = 5,687E+06 mm³
W_{y,8-SH2} = -2,082E+06 mm³ W_{y,8-SH2} = -5,687E+06 mm³



TAB 130 ZÁKLADNÍ PRŮŘEZOVÉ CHARAKTERISTIKY

POSUDEK: 30 PRŮŘEZ: D_10
OZNAČENÍ: D_10 POPIS: PODÉLNÍK 10

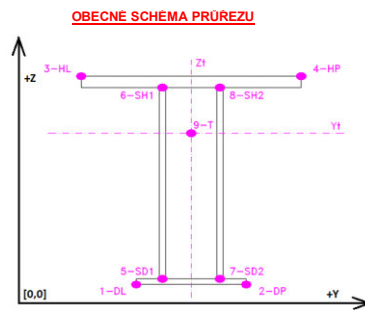
PRUT i X[m]
j

SOUČINITEL KOROZE k = 1,00

TAB A							PLNÝ PRŮŘEZ , ATYPICKÉ OTVORY							BĚŽNÉ OTVORY PRO ŠROUBY ČI NYTY							OSLABENÍ PRŮŘEZU PRO NAMAHÁNÍ VNITŘNÍ SILOU						
část	b	h	y	z	poznámka	otvor	b	h	y	z	Nx-	Nx+	My-	My+	Mz-	Mz+	poznámka										
č.	(mm)	(mm)	(mm)	(mm)	legenda 3	č.	(mm)	(mm)	(mm)	(mm)	(-)	(-)	(-)	(-)	(-)	(-)	legenda 3										
1	220,0	16,0	110,0	483,0	0	21	0,0	0,0	0,0	0,0	NE	ANO	NE	ANO	NE	ANO	2										
2	10,0	459,0	110,0	245,5	0	22	0,0	0,0	0,0	0,0	NE	ANO	NE	ANO	NE	ANO	2										
3	220,0	16,0	110,0	8,0	0	23	0,0	0,0	0,0	0,0	NE	ANO	NE	ANO	NE	ANO	2										
4	0,0	0,0	0,0	0,0	0	24	0,0	0,0	0,0	0,0	NE	ANO	NE	ANO	NE	ANO	2										
5	0,0	0,0	0,0	0,0	0	25	0,0	0,0	0,0	0,0	NE	ANO	NE	ANO	NE	ANO	2										
6	0,0	0,0	0,0	0,0	0	26	0,0	0,0	0,0	0,0	NE	ANO	NE	ANO	NE	ANO	2										
7	0,0	0,0	0,0	0,0	0	27	0,0	0,0	0,0	0,0	NE	ANO	NE	ANO	NE	ANO	2										
8	0,0	0,0	0,0	0,0	0	28	0,0	0,0	0,0	0,0	NE	ANO	NE	ANO	NE	ANO	2										
9	0,0	0,0	0,0	0,0	0	29	0,0	0,0	0,0	0,0	NE	ANO	NE	ANO	NE	ANO	2										
10	0,0	0,0	0,0	0,0	0	30	0,0	0,0	0,0	0,0	NE	ANO	NE	ANO	NE	ANO	2										
11	0,0	0,0	0,0	0,0	0	31	0,0	0,0	0,0	0,0	NE	ANO	NE	ANO	NE	ANO	2										
12	0,0	0,0	0,0	0,0	0	32	0,0	0,0	0,0	0,0	NE	ANO	NE	ANO	NE	ANO	2										
13	0,0	0,0	0,0	0,0	0	33	0,0	0,0	0,0	0,0	NE	ANO	NE	ANO	NE	ANO	2										
14	0,0	0,0	0,0	0,0	0	34	0,0	0,0	0,0	0,0	NE	ANO	NE	ANO	NE	ANO	2										
15	0,0	0,0	0,0	0,0	0	35	0,0	0,0	0,0	0,0	NE	ANO	NE	ANO	NE	ANO	2										
16	0,0	0,0	0,0	0,0	0	36	0,0	0,0	0,0	0,0	NE	ANO	NE	ANO	NE	ANO	2										
17	0,0	0,0	0,0	0,0	0	37	0,0	0,0	0,0	0,0	NE	ANO	NE	ANO	NE	ANO	2										
18	0,0	0,0	0,0	0,0	0	38	0,0	0,0	0,0	0,0	NE	ANO	NE	ANO	NE	ANO	2										
19	0,0	0,0	0,0	0,0	0	39	0,0	0,0	0,0	0,0	NE	ANO	NE	ANO	NE	ANO	2										
20	0,0	0,0	0,0	0,0	0	40	0,0	0,0	0,0	0,0	NE	ANO	NE	ANO	NE	ANO	2										

TAB C- SOURADNICE KRITICKÝCH BODŮ PRŮŘEZU PRO POSUDEK NAPĚTÍ							
1-DL		2-DP		3-HL		4-HP	
y ₁	z ₁	y ₂	z ₂	y ₃	z ₃	y ₄	z ₄
(mm)	(mm)	(mm)	(mm)	(mm)	(mm)	(mm)	(mm)
0,0	0,0	220,0	0,0	0,0	491,0	220,0	491,0
5-SD1		6-SH1		7-SD2		8-SH2	
y ₅	z ₅	y ₆	z ₆	y ₇	z ₇	y ₈	z ₈
(mm)	(mm)	(mm)	(mm)	(mm)	(mm)	(mm)	(mm)
105,0	16,0	115,0	16,0	105,0	475,0	115,0	475,0

LEGENDA 1:
1-DL bod 1- dolní vlákná průřezu, levý okraj
2-DP bod 2- dolní vlákná průřezu, pravý okraj
3-HL bod 3- horní vlákná průřezu, levý okraj
4-HP bod 4- horní vlákná průřezu, pravý okraj
5-SD1 bod 5- dolní vlákná stěny 1
6-SH1 bod 6- horní vlákná stěny 1
7-SD2 bod 7- dolní vlákná stěny 2
8-SH2 bod 8- horní vlákná stěny 2
9-T bod 9- těžiště plného průřezu



LEGENDA 3:
0 ... neobsazeno
1 ... část průřezu
2 ... běžný otvor
3 ... atypický otvor

TAB D PRŮŘEZOVÉ CHARAKTERISTIKY OSLABENÉHO PRŮŘEZU A _{x,ef} , W _{y,ef} a W _{z,ef} V KRITICKÝCH BODECH PRŮŘEZU PRO POSUDEK NAPĚTÍ						
BOD	A _{x,ef} -pro Nx [mm ²]	A _{x,ef} -pro Nx+ [mm ²]	W _{y,ef} -pro My- [mm ³]	W _{y,ef} -pro My+ [mm ³]	W _{z,ef} -pro Mz- [mm ³]	W _{z,ef} -pro Mz+ [mm ³]
1-DL	1,163E+04	1,163E+04	1,946E+06	1,946E+06	2,585E+05	2,585E+05
2-DP	1,163E+04	1,163E+04	1,946E+06	1,946E+06	-2,585E+05	-2,585E+05
3-HL	1,163E+04	1,163E+04	-1,946E+06	-1,946E+06	2,585E+05	2,585E+05
4-HP	1,163E+04	1,163E+04	-1,946E+06	-1,946E+06	-2,585E+05	-2,585E+05
5-SD1	1,163E+04	1,163E+04	2,082E+06	2,082E+06	5,687E+06	5,687E+06
6-SH1	1,163E+04	1,163E+04	2,082E+06	2,082E+06	-5,687E+06	-5,687E+06
7-SD2	1,163E+04	1,163E+04	-2,082E+06	-2,082E+06	5,687E+06	5,687E+06
8-SH2	1,163E+04	1,163E+04	-2,082E+06	-2,082E+06	-5,687E+06	-5,687E+06
9-T	1,163E+04	1,163E+04	-	-	-	-

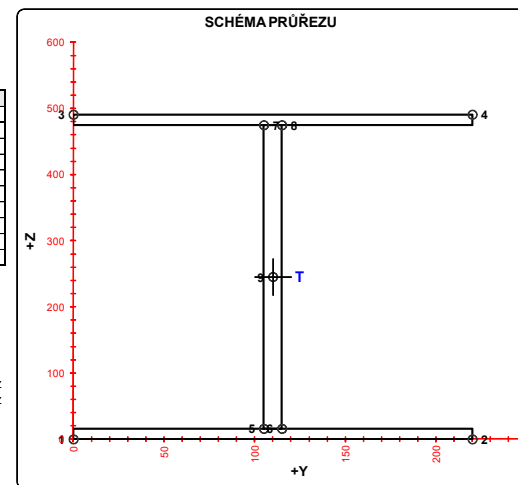
LEGENDA 2:
b rozměr proužku (otvoru) ve směru osy y
h rozměr proužku (otvoru) ve směru osy z
y,z souřadnice těžiště proužku (otvoru)
N_x normálová síla- tlak
N_x normálová síla- tah
M_y svislý ohybový moment- kladný
M_y svislý ohybový moment- záporný
M_z vodorovný ohybový moment- kladný
M_z vodorovný ohybový moment- záporný
y₁,...,y₈ y-ová souřadnice kritických bodů 1,...,8 pro posudek napětí
z₁,...,z₈ z-ová souřadnice kritických bodů 1,...,8 pro posudek napětí
y_t y-ová souřadnice těžiště průřezu
z_t z-ová souřadnice těžiště průřezu
f_y mez kluzu oceli

A_x průřezová plocha- plný průřez
I_y moment setrvačnosti k ose y- plný průřez
I_z moment setrvačnosti k ose z- plný průřez
I_y moment tuhosti průřezu v prostém kroucení
I_z moment setrvačnosti
S_{y,9} statický moment celého průřezu k těžišťové ose y- plný průřez
S_{y,5-SD1 (7-SD2)} statický moment části průřezu pod bodem 5-SD1 (7-SD2) k těžišťové ose y- plný průřez
S_{y,6-SH1 (8-SH2)} statický moment části průřezu nad bodem 6-SH1 (8-SH2) k těžišťové ose y- plný průřez
W_{y,1,8} svislý průřezový modul průřezu v kritických bodech 1..8- plný průřez
A_{x,ef} průřezová plocha- oslabený průřez
W_{y,1,8,ef} svislý průřezový modul průřezu v kritických bodech 1..8- oslabený průřez
W_{z,1,8,ef} vodorovný průřezový modul průřezu v kritických bodech 1..8- oslabený průřez
H výška celého průřezu
H_w výška stěny průřezu
A_{yz} plocha stěny ve smyku od Vz

TAB E	t _w	f _y	f _u
BOD	(mm)	(MPa)	(MPa)
1-DL	-	213,6	327,1
2-DP	-	213,6	327,1
3-HL	-	213,6	327,1
4-HP	-	213,6	327,1
5-SD1	10,0	213,6	327,1
6-SH1	10,0	213,6	327,1
7-SD2	10,0	213,6	327,1
8-SH2	10,0	213,6	327,1
9-T	10,0	213,6	327,1

H = 491,0 mm
H_w = 459,0 mm
A_{yz} = 4590,0 mm²

TAB B VÝSLEDNÉ PRŮŘEZOVÉ CHARAKTERISTIKY- PLNÝ PRŮŘEZ							
část	b	h	y	z	poznámka		
Č.	(mm)	(mm)	(mm)	(mm)	legenda 3		
1	220,0	16,0	110,0	483,0	0		
2	10,0	459,0	110,0	245,5	0		
3	220,0	16,0	110,0	8,0	0		
4	0,0	0,0	0,0	0,0	0		
5	0,0	0,0	0,0	0,0	0		
6	0,0	0,0	0,0	0,0	0		
7	0,0	0,0	0,0	0,0	0		
8	0,0	0,0	0,0	0,0	0		
9	0,0	0,0	0,0	0,0	0		
10	0,0	0,0	0,0	0,0	0		
11	0,0	0,0	0,0	0,0	0		
12	0,0	0,0	0,0	0,0	0		
13	0,0	0,0	0,0	0,0	0		
14	0,0	0,0	0,0	0,0	0		
15	0,0	0,0	0,0	0,0	0		
16	0,0	0,0	0,0	0,0	0		
17	0,0	0,0	0,0	0,0	0		
18	0,0	0,0	0,0	0,0	0		
19	0,0	0,0	0,0	0,0	0		
20	0,0	0,0	0,0	0,0	0		
						y _t = 110,0 mm	S _{y,9-SH1} = 8,360E+05 mm ³
						z _t = 245,5 mm	S _{y,6-SH1} = 8,360E+05 mm ³
						A _x = 1,163E+04 mm ²	S _{y,7-SD2} = 8,360E+05 mm ³
						I _y = 4,778E+08 mm ⁴	S _{y,8-SH2} = 8,360E+05 mm ³
						I _z = 2,843E+07 mm ⁴	I _z = 7,537E+05 mm ⁴
						S _{y,9-T} = 1,099E+06 mm ³	I _z = 0,000E+00 mm ⁴
						W _{y,1-DL} = 1,946E+06 mm ³	W _{y,1-DL} = 2,585E+05 mm ³
						W _{y,2-DP} = 1,946E+06 mm ³	W _{y,2-DP} = -2,585E+05 mm ³
						W _{y,3-HL} = -1,946E+06 mm ³	W _{y,3-HL} = 2,585E+05 mm ³
						W _{y,4-HP} = -1,946E+06 mm ³	W _{y,4-HP} = -2,585E+05 mm ³
						W _{y,5-SD1} = 2,082E+06 mm ³	W _{y,5-SD1} = 5,687E+06 mm ³
						W _{y,6-SH1} = 2,082E+06 mm ³	W _{y,6-SH1} = -5,687E+06 mm ³
						W _{y,7-SD2} = -2,082E+06 mm ³	W _{y,7-SD2} = 5,687E+06 mm ³
						W _{y,8-SH2} = -2,082E+06 mm ³	W _{y,8-SH2} = -5,687E+06 mm ³



TAB 131 ZÁKLADNÍ PRŮŘEZOVÉ CHARAKTERISTIKY

POSUDEK: 31 PRŮŘEZ: S_1
OZNAČENÍ: S_1 POPIS: SVISLICE

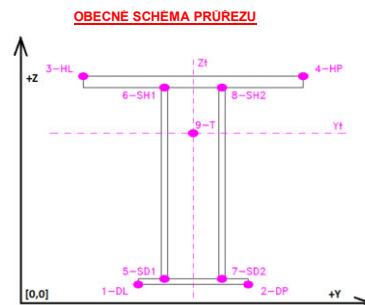
PRUT i X[m] j

SOUČINITEL KOROZE k = 1,00

TAB A						PLNÝ PRŮŘEZ , ATYPICKÉ OTVORY						BÉŽNÉ OTVORY PRO ŠROUBY ČI NYTY						OSLABENÍ PRŮŘEZU PRO NAMAHÁNÍ VNITŘNÍ SÍLOU					
část	b	h	y	z	poznámka	část	b	h	y	z	Nx-	Nx+	My-	My+	Mz-	Mz+	poznámka						
č.	(mm)	(mm)	(mm)	(mm)	legenda 3	č.	(mm)	(mm)	(mm)	(mm)	[-]	[-]	[-]	[-]	[-]	[-]	legenda 3						
1	200,0	18,0	100,0	577,0	0	21	0,0	0,0	0,0	0,0	NE	ANO	NE	ANO	NE	ANO	2						
2	10,0	550,0	100,0	293,0	0	22	0,0	0,0	0,0	0,0	NE	ANO	NE	ANO	NE	ANO	2						
3	200,0	18,0	100,0	9,0	0	23	0,0	0,0	0,0	0,0	NE	ANO	NE	ANO	NE	ANO	2						
4	0,0	0,0	0,0	0,0	0	24	0,0	0,0	0,0	0,0	NE	ANO	NE	ANO	NE	ANO	2						
5	0,0	0,0	0,0	0,0	0	25	0,0	0,0	0,0	0,0	NE	ANO	NE	ANO	NE	ANO	2						
6	0,0	0,0	0,0	0,0	0	26	0,0	0,0	0,0	0,0	NE	ANO	NE	ANO	NE	ANO	2						
7	0,0	0,0	0,0	0,0	0	27	0,0	0,0	0,0	0,0	NE	ANO	NE	ANO	NE	ANO	2						
8	0,0	0,0	0,0	0,0	0	28	0,0	0,0	0,0	0,0	NE	ANO	NE	ANO	NE	ANO	2						
9	0,0	0,0	0,0	0,0	0	29	0,0	0,0	0,0	0,0	NE	ANO	NE	ANO	NE	ANO	2						
10	0,0	0,0	0,0	0,0	0	30	0,0	0,0	0,0	0,0	NE	ANO	NE	ANO	NE	ANO	2						
11	0,0	0,0	0,0	0,0	0	31	0,0	0,0	0,0	0,0	NE	ANO	NE	ANO	NE	ANO	2						
12	0,0	0,0	0,0	0,0	0	32	0,0	0,0	0,0	0,0	NE	ANO	NE	ANO	NE	ANO	2						
13	0,0	0,0	0,0	0,0	0	33	0,0	0,0	0,0	0,0	NE	ANO	NE	ANO	NE	ANO	2						
14	0,0	0,0	0,0	0,0	0	34	0,0	0,0	0,0	0,0	NE	ANO	NE	ANO	NE	ANO	2						
15	0,0	0,0	0,0	0,0	0	35	0,0	0,0	0,0	0,0	NE	ANO	NE	ANO	NE	ANO	2						
16	0,0	0,0	0,0	0,0	0	36	0,0	0,0	0,0	0,0	NE	ANO	NE	ANO	NE	ANO	2						
17	0,0	0,0	0,0	0,0	0	37	0,0	0,0	0,0	0,0	NE	ANO	NE	ANO	NE	ANO	2						
18	0,0	0,0	0,0	0,0	0	38	0,0	0,0	0,0	0,0	NE	ANO	NE	ANO	NE	ANO	2						
19	0,0	0,0	0,0	0,0	0	39	0,0	0,0	0,0	0,0	NE	ANO	NE	ANO	NE	ANO	2						
20	0,0	0,0	0,0	0,0	0	40	0,0	0,0	0,0	0,0	NE	ANO	NE	ANO	NE	ANO	2						

TAB C- SOURADNICE KRITICKÝCH BODŮ PRŮŘEZU PRO POSUDEK NAPĚTÍ			
1-DL	2-DP	3-HL	4-HP
y ₁	z ₁	y ₂	z ₂
(mm)	(mm)	(mm)	(mm)
0,0	0,0	200,0	0,0
5-SD1	6-SH1	7-SD2	8-SH2
y ₅	z ₅	y ₆	z ₆
(mm)	(mm)	(mm)	(mm)
95,0	18,0	105,0	18,0
95,0	568,0	105,0	568,0

LEGENDA 1:
1-DL bod 1- dolní vlákná průřezu, levý okraj
2-DP bod 2- dolní vlákná průřezu, pravý okraj
3-HL bod 3- horní vlákná průřezu, levý okraj
4-HP bod 4- horní vlákná průřezu, pravý okraj
5-SD1 bod 5- dolní vlákná stěny 1
6-SH1 bod 6- horní vlákná stěny 1
7-SD2 bod 7- dolní vlákná stěny 2
8-SH2 bod 8- horní vlákná stěny 2
9-T bod 9- těžiště plného průřezu



LEGENDA 3:
0 ... neobsazeno
1 ... část průřezu
2 ... běžný otvor
3 ... atypický otvor

TAB D PRŮŘEZOVÉ CHARAKTERISTIKY OSLABENÉHO PRŮŘEZU A _{x,ef} , W _{y,ef} a W _{z,ef} V KRITICKÝCH BODECH PRŮŘEZU PRO POSUDEK NAPĚTÍ					
BOD	A _{x,ef} -pro Nx [mm ²]	A _{x,ef} -pro Nx+ [mm ²]	W _{y,ef} -pro My- [mm ³]	W _{y,ef} -pro My+ [mm ³]	W _{z,ef} -pro Mz- [mm ³]
1-DL	1,270E+04	1,270E+04	2,456E+06	2,456E+06	2,405E+05
2-DP	1,270E+04	1,270E+04	2,456E+06	2,456E+06	2,405E+05
3-HL	1,270E+04	1,270E+04	-2,456E+06	-2,456E+06	2,405E+05
4-HP	1,270E+04	1,270E+04	-2,456E+06	-2,456E+06	2,405E+05
5-SD1	1,270E+04	1,270E+04	2,617E+06	2,617E+06	4,809E+06
6-SH1	1,270E+04	1,270E+04	2,617E+06	2,617E+06	-4,809E+06
7-SD2	1,270E+04	1,270E+04	-2,617E+06	-2,617E+06	4,809E+06
8-SH2	1,270E+04	1,270E+04	-2,617E+06	-2,617E+06	-4,809E+06
9-T	1,270E+04	1,270E+04	-	-	-

LEGENDA 2:
b rozměr proužku (otvoru) ve směru osy y
h rozměr proužku (otvoru) ve směru osy z
y,z souřadnice těžiště proužku (otvoru)
N_x normálová síla- tlak
N_x normálová síla- tah
M_y svislý ohybový moment- kladný
M_y svislý ohybový moment- záporný
M_z vodorovný ohybový moment- kladný
M_z vodorovný ohybový moment- záporný
y₁,...,y₈ z-ová souřadnice kritických bodů 1,...,8 pro posudek napětí
z₁,...,z₈ y-ová souřadnice kritických bodů 1,...,8 pro posudek napětí
y_t y-ová souřadnice těžiště průřezu
z_t z-ová souřadnice těžiště průřezu
f_y mez kluzu oceli

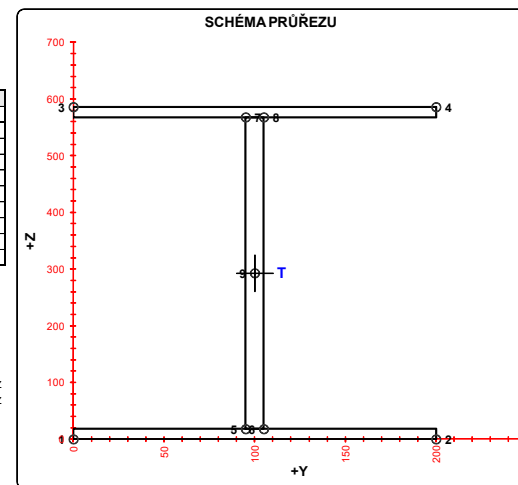
A_x průřezová plocha- plný průřez
I_y moment setrvačnosti k ose y- plný průřez
I_z moment setrvačnosti k ose z- plný průřez
I_y moment tuhosti průřezu v prostém kroucení
I_z moment setrvačnosti
S_{y,9} statický moment celého průřezu k těžišťové ose y- plný průřez
S_{y,5-SD1 (7-SD2)} statický moment části průřezu pod bodem 5-SD1 (7-SD2) k těžišťové ose y- plný průřez
S_{y,6-SH1 (8-SH2)} statický moment části průřezu nad bodem 6-SH1 (8-SH2) k těžišťové ose y- plný průřez
W_{y,1..8} svislý průřezový modul průřezu v kritických bodech 1..8- plný průřez
A_{x,ef} průřezová plocha- oslabený průřez
W_{y,1..8,ef} svislý průřezový modul průřezu v kritických bodech 1..8- oslabený průřez
W_{z,1..8,ef} vodorovný průřezový modul průřezu v kritických bodech 1..8- oslabený průřez
H výška celého průřezu
H_w výška stěny průřezu
A_{vz} plocha stěny ve smyku od Vz

TAB E	t _w	f _y	f _u
BOD	(mm)	(MPa)	(MPa)
1-DL	-	213,6	327,1
2-DP	-	213,6	327,1
3-HL	-	213,6	327,1
4-HP	-	213,6	327,1
5-SD1	10,0	213,6	327,1
6-SH1	10,0	213,6	327,1
7-SD2	10,0	213,6	327,1
8-SH2	10,0	213,6	327,1
9-T	10,0	213,6	327,1

H = 586,0 mm
H_w = 550,0 mm
A_{vz} = 5500,0 mm²

TAB B VÝSLEDNÉ PRŮŘEZOVÉ CHARAKTERISTIKY- PLNÝ PRŮŘEZ						
část	b	h	y	z	poznámka	
Č.	(mm)	(mm)	(mm)	(mm)	legenda 3	
1	200,0	18,0	100,0	577,0	0	
2	10,0	550,0	100,0	293,0	0	
3	200,0	18,0	100,0	9,0	0	
4	0,0	0,0	0,0	0,0	0	
5	0,0	0,0	0,0	0,0	0	
6	0,0	0,0	0,0	0,0	0	
7	0,0	0,0	0,0	0,0	0	
8	0,0	0,0	0,0	0,0	0	
9	0,0	0,0	0,0	0,0	0	
10	0,0	0,0	0,0	0,0	0	
11	0,0	0,0	0,0	0,0	0	
12	0,0	0,0	0,0	0,0	0	
13	0,0	0,0	0,0	0,0	0	
14	0,0	0,0	0,0	0,0	0	
15	0,0	0,0	0,0	0,0	0	
16	0,0	0,0	0,0	0,0	0	
17	0,0	0,0	0,0	0,0	0	
18	0,0	0,0	0,0	0,0	0	
19	0,0	0,0	0,0	0,0	0	
20	0,0	0,0	0,0	0,0	0	

y _t = 100,0 mm	S _{y,9-SH1} = 1,022E+06 mm ³
z _t = 293,0 mm	S _{y,6-SH1} = 1,022E+06 mm ³
A _x = 1,270E+04 mm ²	S _{y,7-SD2} = 1,022E+06 mm ³
I _y = 7,196E+08 mm ⁴	S _{y,8-SH2} = 1,022E+06 mm ³
I _z = 2,405E+07 mm ⁴	I _z = 9,609E+05 mm ⁴
S _{y,9-T} = 1,401E+06 mm ³	I _z = 0,000E+00 mm ⁴
W _{y,1-DL} = 2,456E+06 mm ³	W _{y,1-DL} = 2,405E+05 mm ³
W _{y,2-DP} = 2,456E+06 mm ³	W _{y,2-DP} = -2,405E+05 mm ³
W _{y,3-HL} = -2,456E+06 mm ³	W _{y,3-HL} = 2,405E+05 mm ³
W _{y,4-HP} = -2,456E+06 mm ³	W _{y,4-HP} = -2,405E+05 mm ³
W _{y,5-SD1} = 2,617E+06 mm ³	W _{y,5-SD1} = 4,809E+06 mm ³
W _{y,6-SH1} = 2,617E+06 mm ³	W _{y,6-SH1} = -4,809E+06 mm ³
W _{y,7-SD2} = -2,617E+06 mm ³	W _{y,7-SD2} = 4,809E+06 mm ³
W _{y,8-SH2} = -2,617E+06 mm ³	W _{y,8-SH2} = -4,809E+06 mm ³



TAB 1 ³²

POSUDEK: 32
OZNAČENÍ: T_1

PRUT	X[m]
i	j

SOUČINITEL KOROZE	k =	1,00
--------------------------	------------	-------------

TAB A						PLNÝ PRŮŘEZ, ATYPICKÉ OTVORY					BEŽNÉ OTVORY PRO ŠROUBY CI NYTY				OSLABENÍ PRŮŘEZU PRO NAMAHÁNÍ VNITŘNÍ SILOU						
část	b	h	y	z	poznámka	otvor	b	h	y	z	Nx-	Nx+	My-	My+	Mz-	Mz+	poznámka				
č.	[mm]	[mm]	[mm]	[mm]	legenda 3	č.	[mm]	[mm]	[mm]	[mm]	[-]	[-]	[-]	[-]	[-]	[-]	legenda 3				
1	70,0	8,0	35,0	66,0	0	21	0,0	0,0	0,0	0,0	NE	ANO	NE	ANO	NE	ANO	2				
2	8,0	62,0	66,0	31,0	0	22	0,0	0,0	0,0	0,0	NE	ANO	NE	ANO	NE	ANO	2				
3	0,0	0,0	0,0	0,0	0	23	0,0	0,0	0,0	0,0	NE	ANO	NE	ANO	NE	ANO	2				
4	0,0	0,0	0,0	0,0	0	24	0,0	0,0	0,0	0,0	NE	ANO	NE	ANO	NE	ANO	2				
5	0,0	0,0	0,0	0,0	0	25	0,0	0,0	0,0	0,0	NE	ANO	NE	ANO	NE	ANO	2				
6	0,0	0,0	0,0	0,0	0	26	0,0	0,0	0,0	0,0	NE	ANO	NE	ANO	NE	ANO	2				
7	0,0	0,0	0,0	0,0	0	27	0,0	0,0	0,0	0,0	NE	ANO	NE	ANO	NE	ANO	2				
8	0,0	0,0	0,0	0,0	0	28	0,0	0,0	0,0	0,0	NE	ANO	NE	ANO	NE	ANO	2				
9	0,0	0,0	0,0	0,0	0	29	0,0	0,0	0,0	0,0	NE	ANO	NE	ANO	NE	ANO	2				
10	0,0	0,0	0,0	0,0	0	30	0,0	0,0	0,0	0,0	NE	ANO	NE	ANO	NE	ANO	2				
11	0,0	0,0	0,0	0,0	0	31	0,0	0,0	0,0	0,0	NE	ANO	NE	ANO	NE	ANO	2				
12	0,0	0,0	0,0	0,0	0	32	0,0	0,0	0,0	0,0	NE	ANO	NE	ANO	NE	ANO	2				
13	0,0	0,0	0,0	0,0	0	33	0,0	0,0	0,0	0,0	NE	ANO	NE	ANO	NE	ANO	2				
14	0,0	0,0	0,0	0,0	0	34	0,0	0,0	0,0	0,0	NE	ANO	NE	ANO	NE	ANO	2				
15	0,0	0,0	0,0	0,0	0	35	0,0	0,0	0,0	0,0	NE	ANO	NE	ANO	NE	ANO	2				
16	0,0	0,0	0,0	0,0	0	36	0,0	0,0	0,0	0,0	NE	ANO	NE	ANO	NE	ANO	2				
17	0,0	0,0	0,0	0,0	0	37	0,0	0,0	0,0	0,0	NE	ANO	NE	ANO	NE	ANO	2				
18	0,0	0,0	0,0	0,0	0	38	0,0	0,0	0,0	0,0	NE	ANO	NE	ANO	NE	ANO	2				
19	0,0	0,0	0,0	0,0	0	39	0,0	0,0	0,0	0,0	NE	ANO	NE	ANO	NE	ANO	2				
20	0,0	0,0	0,0	0,0	0	40	0,0	0,0	0,0	0,0	NE	ANO	NE	ANO	NE	ANO	2				

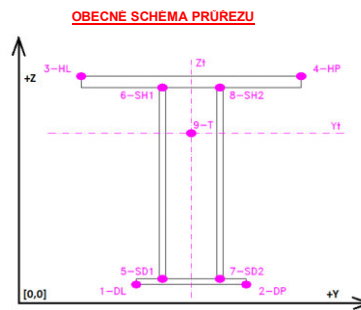
TAB. B		VÝSLEDNÉ PRŮŘEZOVÉ CHARAKTERISTIKY - PLYN PRŮŘEZ			
čís.	b (mm)	h (mm)	y (mm)	z (mm)	poznámka legenda 3
1	70,0	8,0	35,0	66,0	0
2	8,0	62,0	66,0	31,0	0
3	0,0	0,0	0,0	0,0	0
4	0,0	0,0	0,0	0,0	0
5	0,0	0,0	0,0	0,0	0
6	0,0	0,0	0,0	0,0	0
7	0,0	0,0	0,0	0,0	0
8	0,0	0,0	0,0	0,0	0
9	0,0	0,0	0,0	0,0	0
10	0,0	0,0	0,0	0,0	0
11	0,0	0,0	0,0	0,0	0
12	0,0	0,0	0,0	0,0	0
13	0,0	0,0	0,0	0,0	0
14	0,0	0,0	0,0	0,0	0
15	0,0	0,0	0,0	0,0	0
16	0,0	0,0	0,0	0,0	0
17	0,0	0,0	0,0	0,0	0
18	0,0	0,0	0,0	0,0	0
19	0,0	0,0	0,0	0,0	0
20	0,0	0,0	0,0	0,0	0

$y_1 =$	49.6 mm	$S_{y1-Sy1} =$	0.000E+00 mm ²
$z_1 =$	49.6 mm	$S_{y1-Sz1} =$	-1.819E-12 mm ²
$A_1 =$	1.056E+03 mm ²	$S_{z1-Sz1} =$	9.203E+03 mm ²
$I_{y1} =$	4.839E+05 mm ⁴	$S_{y1-Iy1} =$	9.203E+03 mm ²
$I_{z1} =$	4.840E+05 mm ⁴	$S_{z1-Iz1} =$	2.252E+04 mm ²
$S_{x1-y1} =$	9.822E+03 mm ³	$I_{x1} =$	0.000E+00 mm ⁴
$W_{y1-1} =$	9.765E+03 mm ³	$W_{x1-SL} =$	-3.891E+04 mm ³
$W_{y1-2} =$	9.765E+03 mm ³	$W_{x1-2SP} =$	-2.368E+04 mm ³
$W_{x1-3} =$	-2.368E+04 mm ³	$W_{x1-4SP} =$	9.766E+03 mm ³
$W_{x1-4} =$	-2.368E+04 mm ³	$W_{x1-5SP} =$	-2.368E+04 mm ³
$W_{x1-6SP} =$	9.765E+03 mm ³	$W_{x1-6SP1} =$	-3.891E+04 mm ³
$W_{x1-7SP} =$	9.765E+03 mm ³	$W_{x1-6SP1} =$	-2.368E+04 mm ³
$W_{x1-8SP} =$	-3.890E+04 mm ³	$W_{x1-7SP1} =$	-3.891E+04 mm ³
$W_{x1-9SP} =$	-3.890E+04 mm ³	$W_{x1-7SP1} =$	-2.368E+04 mm ³

TAB. C - SOUDARNICE KRITICKÝCH BODU PREREZU PRO POSUDEK NAPĚTÍ							
1-DL		2-DP		3-HL		4-HP	
y_1 (mm)	z_1 (mm)	y_2 (mm)	z_2 (mm)	y_3 (mm)	z_3 (mm)	y_4 (mm)	z_4 (mm)
62,0	0,0	70,0	0,0	0,0	70,0	70,0	70,0
5-SD1		6-SH1		7-SD2		8-SH2	
y_1 (mm)	z_1 (mm)	y_2 (mm)	z_2 (mm)	y_7 (mm)	z_7 (mm)	y_8 (mm)	z_8 (mm)
62,0	0,0	70,0	0,0	62,0	62,0	70,0	62,0

LEGENDA 1:

1-DL	bod 1- dolní vlákná průřezu, levý okraj
2-DP	bod 2- dolní vlákná průřezu, pravý okraj
3-HL	bod 3- horní vlákná průřezu, levý okraj
4-HP	bod 4- horní vlákná průřezu, pravý okraj
5-SD1	bod 5- dolní vlákná stěny 1
6-SH1	bod 6- horní vlákná stěny 1
7-SD2	bod 7- dolní vlákná stěny 2
8-SH2	bod 8- horní vlákná stěny 2
9-T	bod 9- těžiště plného průřezu



LEGENDA 3:

0 ... neobsazeno

1 ... část průřezu

2 ... běžný otvor

3 ... atypický otvor

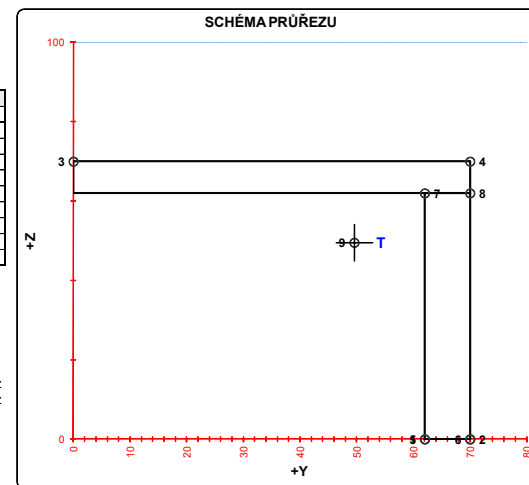
Tab. ID	PRŮZŘEVÝE CHARAKTERISTIKY OSLABENÉHO PRŮŘEŽU $A_{s,eq}$, $W_{s,eq}$ a $W_{pl,eq}$ KRYTICKÝCH BODECH PRŮŘEŽU PRO POSUDEK NAPĚTÍ									
BOD	Ax. of. pro [mm] ²	Ax. of. pro [mm ²]	Wy. of. pro [mm ³]	Wy. of. pro [mm ³]	Wy. of. pro [mm ³]	Wy. of. pro [mm ³]	Wz. of. pro [mm ³]	Wz. of. pro [mm ³]	Wz. of. pro [mm ³]	Wz. of. pro [mm ³]
1-DL	1,056E+03	1,056E+03	9,765E+03	9,765E+03	-	-	-3,891E+04	-	-3,891E+04	-
2-DP	1,056E+03	1,056E+03	9,765E+03	9,765E+03	-	-	-2,368E+04	-	-2,368E+04	-
3-HL	1,056E+03	1,056E+03	-2,368E+04	-2,368E+04	-	-	9,766E+03	-	9,766E+03	-
4-HP	1,056E+03	1,056E+03	-2,368E+04	-2,368E+04	-	-	-2,368E+04	-	-2,368E+04	-
5-SD1	1,056E+03	1,056E+03	9,765E+03	9,765E+03	-	-	-3,891E+04	-	-3,891E+04	-
6-SH1	1,056E+03	1,056E+03	9,765E+03	9,765E+03	-	-	-2,368E+04	-	-2,368E+04	-
7-S12	1,056E+03	1,056E+03	-3,890E+04	-3,890E+04	-	-	-3,891E+04	-	-3,891E+04	-
8-SH2	1,056E+03	1,056E+03	-3,890E+04	-3,890E+04	-	-	-2,368E+04	-	-2,368E+04	-
9-T1	1,056E+03	1,056E+03	-	-	-	-	-	-	-	-

TAB E	t_w	f_y	f_u
BOD	[mm]	[MPa]	[MPa]
1-DL	-	213,6	327,1
2-DP	-	213,6	327,1
3-HL	-	213,6	327,1
4-HP	-	213,6	327,1
5-SD1	8,0	213,6	327,1
6-SH1	8,0	213,6	327,1
7-SD2	8,0	213,6	327,1
8-SH2	8,0	213,6	327,1
9-T	8,0	213,6	327,1

LEGENDA 2:

b	rozměr proužku (otvoru) ve směru osy y
h	rozměr proužku (otvoru) ve směru osy z
y, z	souřadnice těžiště proužku (otvoru)
N_n	nármálová síla- tlak
N_t	nármálová síla- tah
M_{y+}	svislý ohybový moment- kladný
M_{y-}	svislý ohybový moment- záporný
M_{z+}	vodorovný ohybový moment- kladný
M_{z-}	vodorovný ohybový moment- záporný
y1,...,y8	y-ová souřadnice kritických bodů 1,...,8 pro posudek napětí
z1,...,z8	z-ová souřadnice kritických bodů 1,...,8 pro posudek napětí
y_i	y-ová souřadnice těžiště průřezu
z_i	z-ová souřadnice těžiště průřezu
f_t	mez kluzu oceli

A_x	průřezová plocha- plný průřez	$H =$	70,0 mm
I_y	moment setrvačnosti k ose y- plný průřez	$H_v =$	62,0 mm ⁴
I_z	moment setrvačnosti k ose z- plný průřez	$A_{vz} =$	495,9 mm ⁴
I_t	moment tuhosti průřezu v prostém kroucení		
S_{y_0}	výškový moment setrvačnosti		
S_{y_0}	statický moment celého průřezu k těžištové ose y- plný průřez		
S_{y_5-SD1} (7-SD2)	statický moment části průřezu pod bodem 5-SD1 (7-SD2) k těžištové ose y- plný průřez		
S_{y_6-SH1} (8-SH2)	statický moment části průřezu nad bodem 6-SH1 (8-SH2) k těžištové ose y- plný průřez		
$W_{y1..8}$	světlý průřezový modul průřezu v kritických bodech 1..8- plný průřez		
$A_{x,ef}$	průřezová plocha- oslabený průřez		
$W_{y1..8,ef}$	světlý průřezový modul průřezu v kritických bodech 1..8- oslabený průřez		
$W_{z1..8,ef}$	vodorovný průřezový modul průřezu v kritických bodech 1..8- oslabený průřez		
H	výška celého průřezu		
H_w	výška stěny průřezu		
A_{vz}	plocha stěny ve smyku od Vz		



TAB 1 33 ZÁKLADNÍ PRŮŘEZOVÉ CHARAKTERISTIKY

POSUDEK: 33 PRŮŘEZ: T_2
OZNAČENÍ: T_2 POPIS: ZTUŽIDLA PODÉLNÍKŮ 2

PRUT i X[m] j

SOUČINITEL KOROZE k = 1,00

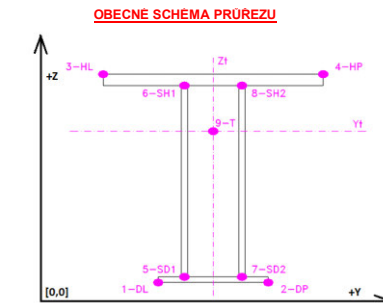
TAB A PLNÝ PRŮŘEZ , ATYPICKÉ OTVORY							BÉŽNÉ OTVORY PRO ŠROUBY ČI NYTY							OSLABENÍ PRŮŘEZU PRO NAMAHÁNÍ VNITŘNÍ SILOU						
část	b	h	y	z	poznámka	otvor	b	h	y	z	Nx-	Nx+	My-	My+	Mz-	Mz+	poznámka			
Č.	(mm)	(mm)	(mm)	(mm)	legenda 3	Č.	(mm)	(mm)	(mm)	(mm)							legenda 3			
1	55,0	10,0	27,5	115,0	0	21	0,0	0,0	0,0	0,0	NE	ANO	NE	ANO	NE	ANO	2			
2	55,0	10,0	27,5	5,0	0	22	0,0	0,0	0,0	0,0	NE	ANO	NE	ANO	NE	ANO	2			
3	7,0	100,0	3,5	60,0	0	23	0,0	0,0	0,0	0,0	NE	ANO	NE	ANO	NE	ANO	2			
4	0,0	0,0	0,0	0,0	0	24	0,0	0,0	0,0	0,0	NE	ANO	NE	ANO	NE	ANO	2			
5	0,0	0,0	0,0	0,0	0	25	0,0	0,0	0,0	0,0	NE	ANO	NE	ANO	NE	ANO	2			
6	0,0	0,0	0,0	0,0	0	26	0,0	0,0	0,0	0,0	NE	ANO	NE	ANO	NE	ANO	2			
7	0,0	0,0	0,0	0,0	0	27	0,0	0,0	0,0	0,0	NE	ANO	NE	ANO	NE	ANO	2			
8	0,0	0,0	0,0	0,0	0	28	0,0	0,0	0,0	0,0	NE	ANO	NE	ANO	NE	ANO	2			
9	0,0	0,0	0,0	0,0	0	29	0,0	0,0	0,0	0,0	NE	ANO	NE	ANO	NE	ANO	2			
10	0,0	0,0	0,0	0,0	0	30	0,0	0,0	0,0	0,0	NE	ANO	NE	ANO	NE	ANO	2			
11	0,0	0,0	0,0	0,0	0	31	0,0	0,0	0,0	0,0	NE	ANO	NE	ANO	NE	ANO	2			
12	0,0	0,0	0,0	0,0	0	32	0,0	0,0	0,0	0,0	NE	ANO	NE	ANO	NE	ANO	2			
13	0,0	0,0	0,0	0,0	0	33	0,0	0,0	0,0	0,0	NE	ANO	NE	ANO	NE	ANO	2			
14	0,0	0,0	0,0	0,0	0	34	0,0	0,0	0,0	0,0	NE	ANO	NE	ANO	NE	ANO	2			
15	0,0	0,0	0,0	0,0	0	35	0,0	0,0	0,0	0,0	NE	ANO	NE	ANO	NE	ANO	2			
16	0,0	0,0	0,0	0,0	0	36	0,0	0,0	0,0	0,0	NE	ANO	NE	ANO	NE	ANO	2			
17	0,0	0,0	0,0	0,0	0	37	0,0	0,0	0,0	0,0	NE	ANO	NE	ANO	NE	ANO	2			
18	0,0	0,0	0,0	0,0	0	38	0,0	0,0	0,0	0,0	NE	ANO	NE	ANO	NE	ANO	2			
19	0,0	0,0	0,0	0,0	0	39	0,0	0,0	0,0	0,0	NE	ANO	NE	ANO	NE	ANO	2			
20	0,0	0,0	0,0	0,0	0	40	0,0	0,0	0,0	0,0	NE	ANO	NE	ANO	NE	ANO	2			

TAB C- SOURADNICE KRITICKÝCH BODŮ PRŮŘEZU PRO POSUDEK NAPĚTÍ			
1-DL	2-DP	3-HL	4-HP
y ₁	z ₁	y ₂	z ₂
(mm)	(mm)	(mm)	(mm)
0,0	0,0	55,0	0,0
5-SD1	6-SH1	7-SD2	8-SH2
y ₅	z ₅	y ₇	z ₇
(mm)	(mm)	(mm)	(mm)
0,0	10,0	7,0	110,0

LEGENDA 1:
1-DL bod 1- dolní vlákná průřezu, levý okraj
2-DP bod 2- dolní vlákná průřezu, pravý okraj
3-HL bod 3- horní vlákná průřezu, levý okraj
4-HP bod 4- horní vlákná průřezu, pravý okraj
5-SD1 bod 5- dolní vlákná stěny 1
6-SH1 bod 6- horní vlákná stěny 1
7-SD2 bod 7- dolní vlákná stěny 2
8-SH2 bod 8- horní vlákná stěny 2
9-T bod 9- těžiště plného průřezu

TAB D PRŮŘEZOVÉ CHARAKTERISTIKY OSLABENÉHO PRŮŘEZU A _{x,ef} , W _{y,ef} a W _{z,ef} V KRITICKÝCH BODECH PRŮŘEZU PRO POSUDEK NAPĚTÍ						
BOD	A _{x,ef} -pro Nx [mm ²]	A _{x,ef} -pro Nx+ [mm ²]	W _{y,ef} -pro My- [mm ³]	W _{y,ef} -pro My+ [mm ³]	W _{z,ef} -pro Mz- [mm ³]	W _{z,ef} -pro Mz+ [mm ³]
1-DL	1,798E+03	1,798E+03	6,524E+04	6,524E+04	2,897E+04	2,897E+04
2-DP	1,798E+03	1,798E+03	6,524E+04	6,524E+04	-1,427E+04	-1,427E+04
3-HL	1,798E+03	1,798E+03	-6,524E+04	-6,524E+04	2,897E+04	2,897E+04
4-HP	1,798E+03	1,798E+03	-6,524E+04	-6,524E+04	-1,427E+04	-1,427E+04
5-SD1	1,798E+03	1,798E+03	7,825E+04	7,825E+04	2,897E+04	2,897E+04
6-SH1	1,798E+03	1,798E+03	7,825E+04	7,825E+04	4,715E+04	4,715E+04
7-SD2	1,798E+03	1,798E+03	-7,825E+04	-7,825E+04	2,897E+04	2,897E+04
8-SH2	1,798E+03	1,798E+03	-7,825E+04	-7,825E+04	4,715E+04	4,715E+04
9-T	1,798E+03	1,798E+03	-	-	-	-

LEGENDA 2:
b rozměr proužku (otvoru) ve směru osy y
h rozměr proužku (otvoru) ve směru osy z
y,z souřadnice těžiště proužku (otvoru)
N_x normálová síla- tlak
N_x normálová síla- tah
M_y svislý ohybový moment- kladný
M_y svislý ohybový moment- záporný
M_z vodorovný ohybový moment- kladný
M_z vodorovný ohybový moment- záporný
y₁,...,y₈ y-ová souřadnice kritických bodů 1,...,8 pro posudek napětí
z₁,...,z₈ z-ová souřadnice kritických bodů 1,...,8 pro posudek napětí
y_t y-ová souřadnice těžiště průřezu
z_t z-ová souřadnice těžiště průřezu
f_y mez kluzu oceli



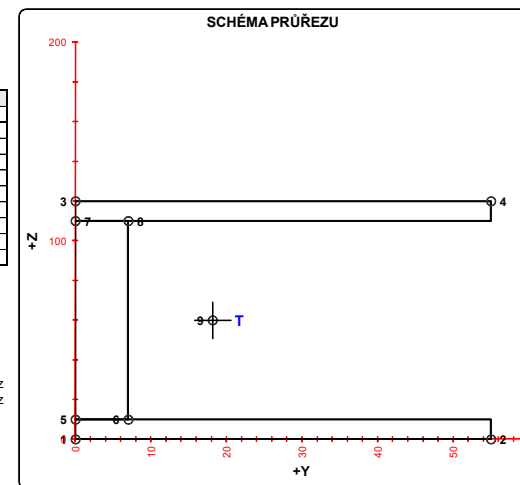
LEGENDA 3:
0 ... neobsazeno
1 ... část průřezu
2 ... běžný otvor
3 ... atypický otvor

TAB E			
BOD	t _w [mm]	f _y [MPa]	f _t [MPa]
1-DL	-	213,6	327,1
2-DP	-	213,6	327,1
3-HL	-	213,6	327,1
4-HP	-	213,6	327,1
5-SD1	7,0	213,6	327,1
6-SH1	7,0	213,6	327,1
7-SD2	7,0	213,6	327,1
8-SH2	7,0	213,6	327,1
9-T	7,0	213,6	327,1

A_x průřezová plocha- plný průřez
I_y moment setrvačnosti k ose y- plný průřez
I_z moment setrvačnosti k ose z- plný průřez
I_t moment tuhosti průřezu v prostém kroucení
I_o výšeový moment setrvačnosti
S_{y,9} statický moment celého průřezu k těžišťové ose y- plný průřez
S_{y,5-SD1 (7-SD2)} statický moment části průřezu pod bodem 5-SD1 (7-SD2) k těžišťové ose y- plný průřez
S_{y,6-SH1 (8-SH2)} statický moment části průřezu nad bodem 6-SH1 (8-SH2) k těžišťové ose y- plný průřez
W_{y,1..8} svislý průřezový modul průřezu v kritických bodech 1..8- plný průřez
A_{x,ef} průřezová plocha- oslabený průřez
W_{y,1..8,ef} svislý průřezový modul průřezu v kritických bodech 1..8- oslabený průřez
W_{z,1..8,ef} vodorovný průřezový modul průřezu v kritických bodech 1..8- oslabený průřez
H výška celého průřezu
H_w výška stěny průřezu
A_{vz} plocha stěny ve smyku od Vz

TAB B VÝSLEDNÉ PRŮŘEZOVÉ CHARAKTERISTIKY- PLNÝ PRŮŘEZ						
část	b	h	y	z	poznámka	
Č.	(mm)	(mm)	(mm)	(mm)	legenda 3	
1	55,0	10,0	27,5	115,0	0	
2	55,0	10,0	27,5	5,0	0	
3	7,0	100,0	3,5	60,0	0	
4	0,0	0,0	0,0	0,0	0	
5	0,0	0,0	0,0	0,0	0	
6	0,0	0,0	0,0	0,0	0	
7	0,0	0,0	0,0	0,0	0	
8	0,0	0,0	0,0	0,0	0	
9	0,0	0,0	0,0	0,0	0	
10	0,0	0,0	0,0	0,0	0	
11	0,0	0,0	0,0	0,0	0	
12	0,0	0,0	0,0	0,0	0	
13	0,0	0,0	0,0	0,0	0	
14	0,0	0,0	0,0	0,0	0	
15	0,0	0,0	0,0	0,0	0	
16	0,0	0,0	0,0	0,0	0	
17	0,0	0,0	0,0	0,0	0	
18	0,0	0,0	0,0	0,0	0	
19	0,0	0,0	0,0	0,0	0	
20	0,0	0,0	0,0	0,0	0	

y _t = 18,2 mm	S _{y,9-SH1} = 3,019E+04 mm ³
z _t = 60,0 mm	S _{y,6-SH1} = 3,019E+04 mm ³
A _x = 1,798E+03 mm ²	S _{y,7-SD2} = 3,019E+04 mm ³
I _y = 3,914E+06 mm ⁴	S _{y,8-SH2} = 3,019E+04 mm ³
I _z = 5,258E+05 mm ⁴	I _t = 4,785E+04 mm ⁴
S _{y,9-T} = 3,894E+04 mm ³	I _o = 0,000E+00 mm ⁴
W _{y,1-DL} = 6,524E+04 mm ³	W _{y,1-DL} = 2,897E+04 mm ³
W _{y,2-DP} = 6,524E+04 mm ³	W _{y,2-DP} = -1,427E+04 mm ³
W _{y,3-HL} = -6,524E+04 mm ³	W _{y,3-HL} = 2,897E+04 mm ³
W _{y,4-HP} = -6,524E+04 mm ³	W _{y,4-HP} = -1,427E+04 mm ³
W _{y,5-SD1} = 7,825E+04 mm ³	W _{y,5-SD1} = 2,897E+04 mm ³
W _{y,6-SH1} = 7,825E+04 mm ³	W _{y,6-SH1} = 4,715E+04 mm ³
W _{y,7-SD2} = -7,825E+04 mm ³	W _{y,7-SD2} = 2,897E+04 mm ³
W _{y,8-SH2} = -7,825E+04 mm ³	W _{y,8-SH2} = 4,715E+04 mm ³



TAB 1 34 ZÁKLADNÍ PRŮŘEZOVÉ CHARAKTERISTIKY

POSUDEK: 34 PRŮŘEZ: T_3
OZNAČENÍ: T_3 POPIS: ZTUŽIDLA PODÉLNÍKŮ 3

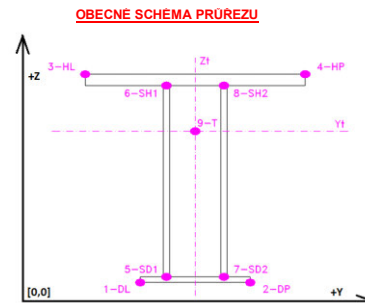
PRUT i X[m]
j

SOUČINITELE KOROZE k = 1,00

TAB A							PLNÝ PRŮŘEZ, ATYPICKÉ OTVORY							BÉŽNÉ OTVORY PRO ŠROUBY ČI NYTY							OSLABENÍ PRŮŘEZU PRO NAMAHÁNÍ VNITŘNÍ SILOU						
Část	b	h	y	z	poznámka	otvor	b	h	y	z	Nx-	Nx+	My-	My+	Mz-	Mz+	poznámka										
č.	(mm)	(mm)	(mm)	(mm)	legenda 3		(mm)	(mm)	(mm)	(mm)	(-)	(+)	(-)	(+)	(-)	(+)	legenda										
1	65,0	11,4	32,5	154,3	0	21	0,0	0,0	0,0	0,0	NE	ANO	NE	ANO	NE	ANO	2										
2	65,0	11,4	32,5	5,7	0	22	0,0	0,0	0,0	0,0	NE	ANO	NE	ANO	NE	ANO	2										
3	7,5	137,2	3,7	80,0	0	23	0,0	0,0	0,0	0,0	NE	ANO	NE	ANO	NE	ANO	2										
4	0,0	0,0	0,0	0,0	0	24	0,0	0,0	0,0	0,0	NE	ANO	NE	ANO	NE	ANO	2										
5	0,0	0,0	0,0	0,0	0	25	0,0	0,0	0,0	0,0	NE	ANO	NE	ANO	NE	ANO	2										
6	0,0	0,0	0,0	0,0	0	26	0,0	0,0	0,0	0,0	NE	ANO	NE	ANO	NE	ANO	2										
7	0,0	0,0	0,0	0,0	0	27	0,0	0,0	0,0	0,0	NE	ANO	NE	ANO	NE	ANO	2										
8	0,0	0,0	0,0	0,0	0	28	0,0	0,0	0,0	0,0	NE	ANO	NE	ANO	NE	ANO	2										
9	0,0	0,0	0,0	0,0	0	29	0,0	0,0	0,0	0,0	NE	ANO	NE	ANO	NE	ANO	2										
10	0,0	0,0	0,0	0,0	0	30	0,0	0,0	0,0	0,0	NE	ANO	NE	ANO	NE	ANO	2										
11	0,0	0,0	0,0	0,0	0	31	0,0	0,0	0,0	0,0	NE	ANO	NE	ANO	NE	ANO	2										
12	0,0	0,0	0,0	0,0	0	32	0,0	0,0	0,0	0,0	NE	ANO	NE	ANO	NE	ANO	2										
13	0,0	0,0	0,0	0,0	0	33	0,0	0,0	0,0	0,0	NE	ANO	NE	ANO	NE	ANO	2										
14	0,0	0,0	0,0	0,0	0	34	0,0	0,0	0,0	0,0	NE	ANO	NE	ANO	NE	ANO	2										
15	0,0	0,0	0,0	0,0	0	35	0,0	0,0	0,0	0,0	NE	ANO	NE	ANO	NE	ANO	2										
16	0,0	0,0	0,0	0,0	0	36	0,0	0,0	0,0	0,0	NE	ANO	NE	ANO	NE	ANO	2										
17	0,0	0,0	0,0	0,0	0	37	0,0	0,0	0,0	0,0	NE	ANO	NE	ANO	NE	ANO	2										
18	0,0	0,0	0,0	0,0	0	38	0,0	0,0	0,0	0,0	NE	ANO	NE	ANO	NE	ANO	2										
19	0,0	0,0	0,0	0,0	0	39	0,0	0,0	0,0	0,0	NE	ANO	NE	ANO	NE	ANO	2										
20	0,0	0,0	0,0	0,0	0	40	0,0	0,0	0,0	0,0	NE	ANO	NE	ANO	NE	ANO	2										

TAB C-SOURADNICE KRITICKÝCH BODŮ PRŮŘEZU PRO POSUDEK NAPĚTÍ									
1-DL		2-DP		3-HL		4-HP			
y ₁	z ₁	y ₂	z ₂	y ₃	z ₃	y ₄	z ₄		
(mm)	(mm)	(mm)	(mm)	(mm)	(mm)	(mm)	(mm)		
0,0	0,0	65,0	0,0	0,0	160,0	65,0	160,0		
5-SD1		6-SH1		7-SD2		8-SH2			
y ₅	z ₅	y ₆	z ₆	y ₇	z ₇	y ₈	z ₈		
(mm)	(mm)	(mm)	(mm)	(mm)	(mm)	(mm)	(mm)		
0,0	11,4	7,5	11,4	0,0	148,6	7,5	148,6		

LEGENDA 1:
1-DL bod 1- dolní vlákná průřezu, levý okraj
2-DP bod 2- dolní vlákná průřezu, pravý okraj
3-HL bod 3- horní vlákná průřezu, levý okraj
4-HP bod 4- horní vlákná průřezu, pravý okraj
5-SD1 bod 5- dolní vlákná stěny 1
6-SH1 bod 6- horní vlákná stěny 1
7-SD2 bod 7- dolní vlákná stěny 2
8-SH2 bod 8- horní vlákná stěny 2
9-T bod 9- těžiště plného průřezu



LEGENDA 3:
0 ... neobsazeno
1 ... část průřezu
2 ... běžný otvor
3 ... atypický otvor

TAB D PRŮŘEZOVÉ CHARAKTERISTIKY OSLABENÉHO PRŮŘEZU A _{x,ef} , W _{y,ef} a W _{z,ef} V KRITICKÝCH BODECH PRŮŘEZU PRO POSUDEK NAPĚTÍ									
BOD	A _{x,ef} -pro Nx- [mm ²]	A _{x,ef} -pro Nx+ [mm ²]	W _{y,ef} -pro My- [mm ³]	W _{y,ef} -pro My+ [mm ³]	W _{z,ef} -pro Mz- [mm ³]	W _{z,ef} -pro Mz+ [mm ³]			
1-DL	2,511E+03	2,511E+03	1,226E+05	1,226E+05	4,964E+04	4,964E+04			
2-DP	2,511E+03	2,511E+03	1,226E+05	1,226E+05	-2,322E+04	-2,322E+04			
3-HL	2,511E+03	2,511E+03	-1,226E+05	-1,226E+05	4,964E+04	4,964E+04			
4-HP	2,511E+03	2,511E+03	-1,226E+05	-1,226E+05	-2,322E+04	-2,322E+04			
5-SD1	2,511E+03	2,511E+03	1,430E+05	1,430E+05	4,964E+04	4,964E+04			
6-SH1	2,511E+03	2,511E+03	1,430E+05	1,430E+05	7,781E+04	7,781E+04			
7-SD2	2,511E+03	2,511E+03	-1,430E+05	-1,430E+05	4,964E+04	4,964E+04			
8-SH2	2,511E+03	2,511E+03	-1,430E+05	-1,430E+05	7,781E+04	7,781E+04			
9-T	2,511E+03	2,511E+03	-	-	-	-			

LEGENDA 2:
b rozměr proužku (otvoru) ve směru osy y
h rozměr proužku (otvoru) ve směru osy z
y,z souřadnice těžiště proužku (otvoru)
N_x normálová síla- tlak
N_x normálová síla- tah
M_y svislý ohybový moment- kladný
M_y svislý ohybový moment- záporný
M_z vodorovný ohybový moment- kladný
M_z vodorovný ohybový moment- záporný
y₁,...,y₈ z-ová souřadnice kritických bodů 1,...,8 pro posudek napětí
z₁,...,z₈ y-ová souřadnice kritických bodů 1,...,8 pro posudek napětí
y_t y-ová souřadnice těžiště průřezu
z_t z-ová souřadnice těžiště průřezu
f_y mez kluzu oceli

A_x průřezová plocha- plný průřez
I_y moment setrvačnosti k ose y- plný průřez
I_z moment setrvačnosti k ose z- plný průřez
I_y moment tuhosti průřezu v prostém kroucení
I_z výsekový moment setrvačnosti
S_{y,9} statický moment celého průřezu k těžišťové ose y- plný průřez
S_{y,5-SD1 (7-SD2)} statický moment části průřezu pod bodem 5-SD1 (7-SD2) k těžišťové ose y- plný průřez
S_{y,6-SH1 (8-SH2)} statický moment části průřezu nad bodem 6-SH1 (8-SH2) k těžišťové ose y- plný průřez
W_{y,1,8} svislý průřezový modul průřezu v kritických bodech 1..8- plný průřez
A_{x,ef} průřezová plocha- oslabený průřez
W_{y,1,8,ef} svislý průřezový modul průřezu v kritických bodech 1..8- oslabený průřez
W_{z,1,8,ef} vodorovný průřezový modul průřezu v kritických bodech 1..8- oslabený průřez
H výška celého průřezu
H_w výška stěny průřezu
A_{vz} plocha stěny ve smyku od Vz

TAB E	t _w	f _y	f _{yk}
BOD	(mm)	(MPa)	(MPa)
1-DL	-	213,6	327,1
2-DP	-	213,6	327,1
3-HL	-	213,6	327,1
4-HP	-	213,6	327,1
5-SD1	7,5	213,6	327,1
6-SH1	7,5	213,6	327,1
7-SD2	7,5	213,6	327,1
8-SH2	7,5	213,6	327,1
9-T	7,5	213,6	327,1

H = 160,0 mm
H_w = 137,2 mm
A_{vz} = 1029,1 mm²

TAB B VÝSLEDNÉ PRŮŘEZOVÉ CHARAKTERISTIKY- PLNÝ PRŮŘEZ					
část	b	h	y	z	poznámka
Č.	(mm)	(mm)	(mm)	(mm)	legenda
1	65,0	11,4	32,5	154,3	0
2	65,0	11,4	32,5	5,7	0
3	7,5	137,2	3,7	80,0	0
4	0,0	0,0	0,0	0,0	0
5	0,0	0,0	0,0	0,0	0
6	0,0	0,0	0,0	0,0	0
7	0,0	0,0	0,0	0,0	0
8	0,0	0,0	0,0	0,0	0
9	0,0	0,0	0,0	0,0	0
10	0,0	0,0	0,0	0,0	0
11	0,0	0,0	0,0	0,0	0
12	0,0	0,0	0,0	0,0	0
13	0,0	0,0	0,0	0,0	0
14	0,0	0,0	0,0	0,0	0
15	0,0	0,0	0,0	0,0	0
16	0,0	0,0	0,0	0,0	0
17	0,0	0,0	0,0	0,0	0
18	0,0	0,0	0,0	0,0	0
19	0,0	0,0	0,0	0,0	0
20	0,0	0,0	0,0	0,0	0
<hr/>					
y _t = 20,7 mm			S _{y,5-SD1} = 5,504E+04 mm ³		
z _t = 80,0 mm			S _{y,5-SD1} = 5,504E+04 mm ³		
A _t = 2,511E+03 mm ²			S _{y,5-SD2} = 5,504E+04 mm ³		
I _y = 9,809E+06 mm ⁴			S _{y,5-SD3} = 5,504E+04 mm ³		
I _x = 1,028E+06 mm ⁴			I _x = 8,343E+04 mm ⁴		
S _{y,5-7} = 7,269E+04 mm ³			I _x = 0,000E+00 mm ⁴		
W _{y,1-01} = 1,226E+05 mm ³			W _{x,1-01} = 4,964E+04 mm ³		
W _{y,2-02} = 1,226E+05 mm ³			W _{x,2-02} = -2,322E+04 mm ³		
W _{y,3-01} = -1,226E+05 mm ³			W _{x,3-01} = 4,964E+04 mm ³		
W _{y,4-02} = -1,226E+05 mm ³			W _{x,4-02} = -2,322E+04 mm ³		
W _{y,5-01} = 1,430E+05 mm ³			W _{x,5-01} = 4,964E+04 mm ³		
W _{y,6-02} = 1,430E+05 mm ³			W _{x,6-02} = 7,781E+04 mm ³		
W _{y,7-01} = -1,430E+05 mm ³			W _{x,7-01} = 4,964E+04 mm ³		
W _{y,8-02} = -1,430E+05 mm ³			W _{x,8-02} = 7,781E+04 mm ³		

TAB 135 ZÁKLADNÍ PRŮŘEZOVÉ CHARAKTERISTIKY

POSUDEK: 35 PRŮŘEZ: T_4
OZNAČENÍ: T_4 POPIS: ZTUŽIDLA PODÉLNÍKŮ 4

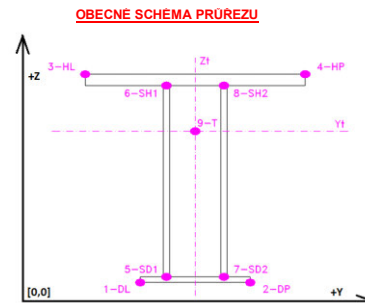
PRUT i X[m] j

SOUČINITEL KOROZE k = 1,00

TAB A PLNÝ PRŮŘEZ , ATYPICKÉ OTVORY						BEŽNÉ OTVORY PRO ŠROUBY ČI NYTY						OSLABENÍ PRŮŘEZU PRO NAMAHÁNÍ VNITŘNÍ SÍLOU					
část	b	h	y	z	poznámka	část	b	h	y	z	Nx-	Nx+	My-	My+	Mz-	Mz+	poznámka
Č.	(mm)	(mm)	(mm)	(mm)	legenda 3	Č.	(mm)	(mm)	(mm)	(mm)	(mm)	(mm)	(mm)	(mm)	(mm)	(mm)	legenda 3
1	55,0	10,0	82,5	115,0	0	21	0,0	0,0	0,0	0,0	NE	ANO	NE	ANO	NE	ANO	2
2	55,0	10,0	82,5	5,0	0	22	0,0	0,0	0,0	0,0	NE	ANO	NE	ANO	NE	ANO	2
3	7,0	100,0	58,5	60,0	0	23	0,0	0,0	0,0	0,0	NE	ANO	NE	ANO	NE	ANO	2
4	55,0	10,0	27,5	115,0	0	24	0,0	0,0	0,0	0,0	NE	ANO	NE	ANO	NE	ANO	2
5	55,0	10,0	27,5	5,0	0	25	0,0	0,0	0,0	0,0	NE	ANO	NE	ANO	NE	ANO	2
6	7,0	100,0	51,5	60,0	0	26	0,0	0,0	0,0	0,0	NE	ANO	NE	ANO	NE	ANO	2
7	0,0	0,0	0,0	0,0	0	27	0,0	0,0	0,0	0,0	NE	ANO	NE	ANO	NE	ANO	2
8	0,0	0,0	0,0	0,0	0	28	0,0	0,0	0,0	0,0	NE	ANO	NE	ANO	NE	ANO	2
9	0,0	0,0	0,0	0,0	0	29	0,0	0,0	0,0	0,0	NE	ANO	NE	ANO	NE	ANO	2
10	0,0	0,0	0,0	0,0	0	30	0,0	0,0	0,0	0,0	NE	ANO	NE	ANO	NE	ANO	2
11	0,0	0,0	0,0	0,0	0	31	0,0	0,0	0,0	0,0	NE	ANO	NE	ANO	NE	ANO	2
12	0,0	0,0	0,0	0,0	0	32	0,0	0,0	0,0	0,0	NE	ANO	NE	ANO	NE	ANO	2
13	0,0	0,0	0,0	0,0	0	33	0,0	0,0	0,0	0,0	NE	ANO	NE	ANO	NE	ANO	2
14	0,0	0,0	0,0	0,0	0	34	0,0	0,0	0,0	0,0	NE	ANO	NE	ANO	NE	ANO	2
15	0,0	0,0	0,0	0,0	0	35	0,0	0,0	0,0	0,0	NE	ANO	NE	ANO	NE	ANO	2
16	0,0	0,0	0,0	0,0	0	36	0,0	0,0	0,0	0,0	NE	ANO	NE	ANO	NE	ANO	2
17	0,0	0,0	0,0	0,0	0	37	0,0	0,0	0,0	0,0	NE	ANO	NE	ANO	NE	ANO	2
18	0,0	0,0	0,0	0,0	0	38	0,0	0,0	0,0	0,0	NE	ANO	NE	ANO	NE	ANO	2
19	0,0	0,0	0,0	0,0	0	39	0,0	0,0	0,0	0,0	NE	ANO	NE	ANO	NE	ANO	2
20	0,0	0,0	0,0	0,0	0	40	0,0	0,0	0,0	0,0	NE	ANO	NE	ANO	NE	ANO	2

TAB C- SOURADNICE KRITICKÝCH BŮD PRŮŘEZU PRO POSUDEK NAPĚTÍ			
1-DL	2-DP	3-HL	4-HP
y ₁	z ₁	y ₂	z ₂
(mm)	(mm)	(mm)	(mm)
0,0	0,0	110,0	0,0
5-SD1	6-SH1	7-SD2	8-SH2
y ₅	z ₅	y ₇	z ₇
(mm)	(mm)	(mm)	(mm)
48,0	10,0	62,0	10,0

LEGENDA 1:
1-DL bod 1- dolní vlákná průřezu, levý okraj
2-DP bod 2- dolní vlákná průřezu, pravý okraj
3-HL bod 3- horní vlákná průřezu, levý okraj
4-HP bod 4- horní vlákná průřezu, pravý okraj
5-SD1 bod 5- dolní vlákná stěny 1
6-SH1 bod 6- horní vlákná stěny 1
7-SD2 bod 7- dolní vlákná stěny 2
8-SH2 bod 8- horní vlákná stěny 2
9-T bod 9- těžiště plného průřezu



LEGENDA 3:
0 ... neobsazeno
1 ... část průřezu
2 ... běžný otvor
3 ... atypický otvor

TAB D PRŮŘEZOVÉ CHARAKTERISTIKY OSLABENÉHO PRŮŘEZU A _{x,ef} , W _{y,ef} a W _{z,ef} V KRITICKÝCH BODECH PRŮŘEZU PRO POSUDEK NAPĚTÍ					
BOD	A _{x,ef} -pro Nx [mm ²]	A _{x,ef} -pro Nx+ [mm ²]	W _{y,ef} -pro My- [mm ³]	W _{y,ef} -pro My+ [mm ³]	W _{z,ef} -pro Mz- [mm ³]
1-DL	3,596E+03	3,596E+03	1,305E+05	1,305E+05	4,066E+04
2-DP	3,596E+03	3,596E+03	1,305E+05	1,305E+05	-4,066E+04
3-HL	3,596E+03	3,596E+03	-1,305E+05	-1,305E+05	4,066E+04
4-HP	3,596E+03	3,596E+03	-1,305E+05	-1,305E+05	-4,066E+04
5-SD1	3,596E+03	3,596E+03	1,565E+05	1,565E+05	3,194E+05
6-SH1	3,596E+03	3,596E+03	1,565E+05	1,565E+05	-3,194E+05
7-SD2	3,596E+03	3,596E+03	-1,565E+05	-1,565E+05	3,194E+05
8-SH2	3,596E+03	3,596E+03	-1,565E+05	-1,565E+05	-3,194E+05
9-T	3,596E+03	3,596E+03	-	-	-

LEGENDA 2:
b rozměr proužku (otvoru) ve směru osy y
h rozměr proužku (otvoru) ve směru osy z
y,z souřadnice těžiště proužku (otvoru)
N_x normálová síla- tlak
N_x normálová síla- tah
M_y svislý ohybový moment- kladný
M_y svislý ohybový moment- záporný
M_z vodorovný ohybový moment- kladný
M_z vodorovný ohybový moment- záporný
y₁,...,y₈ y-ová souřadnice kritických bodů 1,...,8 pro posudek napětí
z₁,...,z₈ z-ová souřadnice kritických bodů 1,...,8 pro posudek napětí
y_t y-ová souřadnice těžiště průřezu
z_t z-ová souřadnice těžiště průřezu
f_y mez kluzu oceli

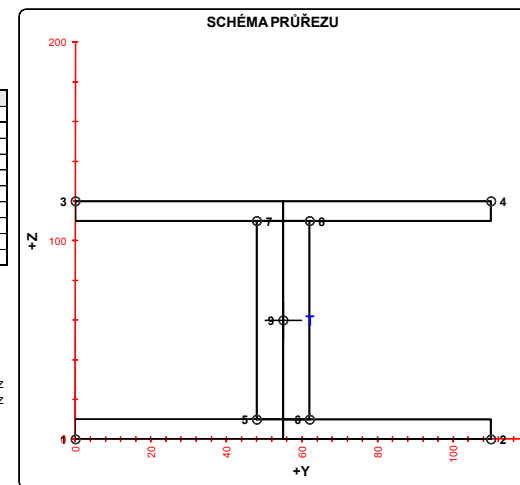
A_x průřezová plocha- plný průřez
I_y moment setrvačnosti k ose y- plný průřez
I_z moment setrvačnosti k ose z- plný průřez
I_t moment tuhosti průřezu v prostém kroucení
I_o výsečový moment setrvačnosti
S_{y,9} statický moment celého průřezu k těžišťové ose y- plný průřez
S_{y,5-SD1 (7-SD2)} statický moment části průřezu pod bodem 5-SD1 (7-SD2) k těžišťové ose y- plný průřez
S_{y,6-SH1 (8-SH2)} statický moment části průřezu nad bodem 6-SH1 (8-SH2) k těžišťové ose y- plný průřez
W_{y,1,8} svislý průřezový modul průřezu v kritických bodech 1..8- plný průřez
A_{x,ef} průřezová plocha- oslabený průřez
W_{y,1,8,ef} svislý průřezový modul průřezu v kritických bodech 1..8- oslabený průřez
W_{z,1,8,ef} vodorovný průřezový modul průřezu v kritických bodech 1..8- oslabený průřez
H výška celého průřezu
H_w výška stěny průřezu
A_{yz} plocha stěny ve smyku od Vz

TAB E	t _w	f _y	f _u
BOD	(mm)	(MPa)	(MPa)
1-DL	-	213,6	327,1
2-DP	-	213,6	327,1
3-HL	-	213,6	327,1
4-HP	-	213,6	327,1
5-SD1	14,0	213,6	327,1
6-SH1	14,0	213,6	327,1
7-SD2	14,0	213,6	327,1
8-SH2	14,0	213,6	327,1
9-T	14,0	213,6	327,1

H = 120,0 mm
H_w = 100,0 mm
A_{yz} = 1400,6 mm²

TAB B VÝSLEDNÉ PRŮŘEZOVÉ CHARAKTERISTIKY- PLNÝ PRŮŘEZ					
část	b	h	y	z	poznámka
Č.	(mm)	(mm)	(mm)	(mm)	legenda 3
1	55,0	10,0	82,5	115,0	0
2	55,0	10,0	82,5	5,0	0
3	7,0	100,0	58,5	60,0	0
4	55,0	10,0	27,5	115,0	0
5	55,0	10,0	27,5	5,0	0
6	7,0	100,0	51,5	60,0	0
7	0,0	0,0	0,0	0,0	0
8	0,0	0,0	0,0	0,0	0
9	0,0	0,0	0,0	0,0	0
10	0,0	0,0	0,0	0,0	0
11	0,0	0,0	0,0	0,0	0
12	0,0	0,0	0,0	0,0	0
13	0,0	0,0	0,0	0,0	0
14	0,0	0,0	0,0	0,0	0
15	0,0	0,0	0,0	0,0	0
16	0,0	0,0	0,0	0,0	0
17	0,0	0,0	0,0	0,0	0
18	0,0	0,0	0,0	0,0	0
19	0,0	0,0	0,0	0,0	0
20	0,0	0,0	0,0	0,0	0

y _t =	55,0 mm	S _{y,9-SH1} =	6,037E+04 mm ³
z _t =	60,0 mm	S _{y,6-SH1} =	6,037E+04 mm ³
A _x =	3,596E+03 mm ²	S _{y,7-SD2} =	6,037E+04 mm ³
I _y =	7,829E+06 mm ⁴	S _{y,8-SH2} =	6,037E+04 mm ³
I _z =	2,236E+06 mm ⁴	I _o =	1,643E+05 mm ⁴
S _{y,9-T} =	7,789E+04 mm ³	I _o =	0,000E+00 mm ⁴
W _{y,1-DL} =	1,305E+05 mm ³	W _{y,1-DL} =	4,066E+04 mm ³
W _{y,2-DP} =	1,305E+05 mm ³	W _{y,2-DP} =	-4,066E+04 mm ³
W _{y,3-HL} =	-1,305E+05 mm ³	W _{y,3-HL} =	4,066E+04 mm ³
W _{y,4-HP} =	-1,305E+05 mm ³	W _{y,4-HP} =	-4,066E+04 mm ³
W _{y,5-SD1} =	1,565E+05 mm ³	W _{y,5-SD1} =	3,194E+05 mm ³
W _{y,6-SH1} =	1,565E+05 mm ³	W _{y,6-SH1} =	-3,194E+05 mm ³
W _{y,7-SD2} =	-1,565E+05 mm ³	W _{y,7-SD2} =	3,194E+05 mm ³
W _{y,8-SH2} =	-1,565E+05 mm ³	W _{y,8-SH2} =	-3,194E+05 mm ³



TAB 1 36 ZÁKLADNÍ PRŮŘEZOVÉ CHARAKTERISTIKY

POSUDEK: 36 PRŮŘEZ: Z_1
OZNAČENÍ: Z_1 POPIS: DOLNÍ ZTUŽENÍ 1

PRUT i X[m]
j

SOUČINITEL KOROZE k = 1,00

TAB A							PLNÝ PRŮŘEZ , ATYPICKÉ OTVORY							BEŽNÉ OTVORY PRO ŠROUBY ČI NYTY							OSLABENÍ PRŮŘEZU PRO NAMAHÁNÍ VNITŘNÍ SÍLOU						
část	b	h	y	z	poznámka	otvor	b	h	y	z	Nx-	Nx+	My-	My+	Mz-	Mz+	poznámka										
Č.	(mm)	(mm)	(mm)	(mm)	legenda 3	Č.	(mm)	(mm)	(mm)	(mm)	-	+	-	+	-	+	legenda										
1	280,0	15,0	140,0	7,5	0	21	0,0	0,0	0,0	0,0	NE	ANO	NE	ANO	NE	ANO	2										
2	30,0	125,0	140,0	77,5	0	22	0,0	0,0	0,0	0,0	NE	ANO	NE	ANO	NE	ANO	2										
3	0,0	0,0	0,0	0,0	0	23	0,0	0,0	0,0	0,0	NE	ANO	NE	ANO	NE	ANO	2										
4	0,0	0,0	0,0	0,0	0	24	0,0	0,0	0,0	0,0	NE	ANO	NE	ANO	NE	ANO	2										
5	0,0	0,0	0,0	0,0	0	25	0,0	0,0	0,0	0,0	NE	ANO	NE	ANO	NE	ANO	2										
6	0,0	0,0	0,0	0,0	0	26	0,0	0,0	0,0	0,0	NE	ANO	NE	ANO	NE	ANO	2										
7	0,0	0,0	0,0	0,0	0	27	0,0	0,0	0,0	0,0	NE	ANO	NE	ANO	NE	ANO	2										
8	0,0	0,0	0,0	0,0	0	28	0,0	0,0	0,0	0,0	NE	ANO	NE	ANO	NE	ANO	2										
9	0,0	0,0	0,0	0,0	0	29	0,0	0,0	0,0	0,0	NE	ANO	NE	ANO	NE	ANO	2										
10	0,0	0,0	0,0	0,0	0	30	0,0	0,0	0,0	0,0	NE	ANO	NE	ANO	NE	ANO	2										
11	0,0	0,0	0,0	0,0	0	31	0,0	0,0	0,0	0,0	NE	ANO	NE	ANO	NE	ANO	2										
12	0,0	0,0	0,0	0,0	0	32	0,0	0,0	0,0	0,0	NE	ANO	NE	ANO	NE	ANO	2										
13	0,0	0,0	0,0	0,0	0	33	0,0	0,0	0,0	0,0	NE	ANO	NE	ANO	NE	ANO	2										
14	0,0	0,0	0,0	0,0	0	34	0,0	0,0	0,0	0,0	NE	ANO	NE	ANO	NE	ANO	2										
15	0,0	0,0	0,0	0,0	0	35	0,0	0,0	0,0	0,0	NE	ANO	NE	ANO	NE	ANO	2										
16	0,0	0,0	0,0	0,0	0	36	0,0	0,0	0,0	0,0	NE	ANO	NE	ANO	NE	ANO	2										
17	0,0	0,0	0,0	0,0	0	37	0,0	0,0	0,0	0,0	NE	ANO	NE	ANO	NE	ANO	2										
18	0,0	0,0	0,0	0,0	0	38	0,0	0,0	0,0	0,0	NE	ANO	NE	ANO	NE	ANO	2										
19	0,0	0,0	0,0	0,0	0	39	0,0	0,0	0,0	0,0	NE	ANO	NE	ANO	NE	ANO	2										
20	0,0	0,0	0,0	0,0	0	40	0,0	0,0	0,0	0,0	NE	ANO	NE	ANO	NE	ANO	2										

TAB C- SOURADNICE KRITICKÝCH BODŮ PRŮŘEZU PRO POSUDEK NAPĚTÍ			
1-DL	2-DP	3-HL	4-HP
y ₁	z ₁	y ₂	z ₂
(mm)	(mm)	(mm)	(mm)
0,0	0,0	280,0	0,0
0,0	0,0	125,0	140,0
0,0	0,0	155,0	140,0
5-SD1	6-SH1	7-SD2	8-SH2
y ₅	z ₅	y ₆	z ₆
(mm)	(mm)	(mm)	(mm)
125,0	15,0	155,0	15,0
125,0	140,0	155,0	140,0

LEGENDA 1:
1-DL bod 1- dolní vlákná průřezu, levý okraj
2-DP bod 2- dolní vlákná průřezu, pravý okraj
3-HL bod 3- horní vlákná průřezu, levý okraj
4-HP bod 4- horní vlákná průřezu, pravý okraj
5-SD1 bod 5- dolní vlákná stěny 1
6-SH1 bod 6- horní vlákná stěny 1
7-SD2 bod 7- dolní vlákná stěny 2
8-SH2 bod 8- horní vlákná stěny 2
9-T bod 9- těžiště plného průřezu

TAB D PRŮŘEZOVÉ CHARAKTERISTIKY OSLABENÉHO PRŮŘEZU A _{x,ef} , W _{y,ef} a W _{z,ef} V KRITICKÝCH BODECH PRŮŘEZU PRO POSUDEK NAPĚTÍ					
BOD	A _{x,ef} -pro Nx [mm ²]	A _{x,ef} -pro Nx+ [mm ²]	W _{y,ef} -pro My- [mm ³]	W _{y,ef} -pro My+ [mm ³]	W _{z,ef} -pro Mz- [mm ³]
1-DL	7,950E+03	7,950E+03	3,620E+05	3,620E+05	1,980E+05
2-DP	7,950E+03	7,950E+03	3,620E+05	3,620E+05	-1,980E+05
3-HL	7,950E+03	7,950E+03	-1,475E+05	-1,475E+05	1,848E+06
4-HP	7,950E+03	7,950E+03	-1,475E+05	-1,475E+05	-1,848E+06
5-SD1	7,950E+03	7,950E+03	5,748E+05	5,748E+05	1,848E+06
6-SH1	7,950E+03	7,950E+03	5,748E+05	5,748E+05	-1,848E+06
7-SD2	7,950E+03	7,950E+03	-1,475E+05	-1,475E+05	1,848E+06
8-SH2	7,950E+03	7,950E+03	-1,475E+05	-1,475E+05	-1,848E+06
9-T	7,950E+03	7,950E+03	-	-	-

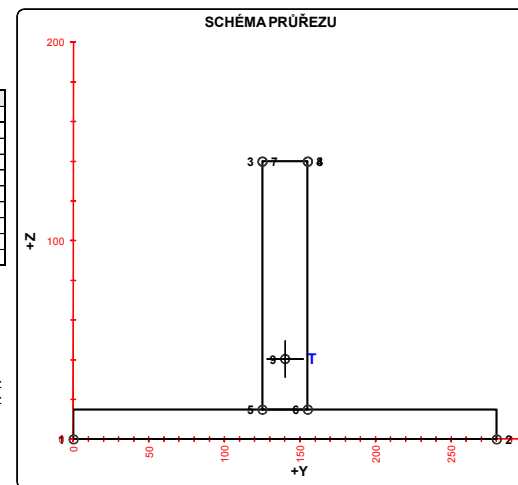
LEGENDA 2:
b rozměr proužku (otvoru) ve směru osy y
h rozměr proužku (otvoru) ve směru osy z
y,z souřadnice těžiště proužku (otvoru)
N_x normálová síla- tlak
N_x normálová síla- tah
M_y svislý ohybový moment- kladný
M_y svislý ohybový moment- záporný
M_z vodorovný ohybový moment- kladný
M_z vodorovný ohybový moment- záporný
y₁,...,y₈ y-ová souřadnice kritických bodů 1,...,8 pro posudek napětí
z₁,...,z₈ z-ová souřadnice kritických bodů 1,...,8 pro posudek napětí
y_t y-ová souřadnice těžiště průřezu
z_t z-ová souřadnice těžiště průřezu
f_y mez kluzu oceli

A_x průřezová plocha- plný průřez
I_y moment setrvačnosti k ose y- plný průřez
I_z moment setrvačnosti k ose z- plný průřez
I_t moment tuhosti průřezu v prostém kroucení
I_o výseřový moment setrvačnosti
S_{y,9} statický moment celého průřezu k těžišťové ose y- plný průřez
S_{y,5-SD1 (7-SD2)} statický moment části průřezu pod bodem 5-SD1 (7-SD2) k těžišťové ose y- plný průřez
S_{y,6-SH1 (8-SH2)} statický moment části průřezu nad bodem 6-SH1 (8-SH2) k těžišťové ose y- plný průřez
W_{y,1,8} svislý průřezový modul průřezu v kritických bodech 1..8- plný průřez
A_{x,ef} průřezová plocha- oslabený průřez
W_{y,1,8,ef} svislý průřezový modul průřezu v kritických bodech 1..8- oslabený průřez
W_{z,1,8,ef} vodorovný průřezový modul průřezu v kritických bodech 1..8- oslabený průřez
H výška celého průřezu
H_w výška stěny průřezu
A_{vz} plocha stěny ve smyku od Vz

TAB E	t _w	f _y	f _u
BOD	(mm)	(MPa)	(MPa)
1-DL	-	213,6	327,1
2-DP	-	213,6	327,1
3-HL	-	213,6	327,1
4-HP	-	213,6	327,1
5-SD1	30,0	213,6	327,1
6-SH1	30,0	213,6	327,1
7-SD2	30,0	213,6	327,1
8-SH2	30,0	213,6	327,1
9-T	30,0	213,6	327,1

H = 140,0 mm
H_w = 125,0 mm
A_{vz} = 3750,0 mm²

TAB B VÝSLEDNÉ PRŮŘEZOVÉ CHARAKTERISTIKY- PLNÝ PRŮŘEZ					
část	b	h	y	z	poznámka
Č.	(mm)	(mm)	(mm)	(mm)	legenda 3
1	280,0	15,0	140,0	7,5	0
2	30,0	125,0	140,0	77,5	0
3	0,0	0,0	0,0	0,0	0
4	0,0	0,0	0,0	0,0	0
5	0,0	0,0	0,0	0,0	0
6	0,0	0,0	0,0	0,0	0
7	0,0	0,0	0,0	0,0	0
8	0,0	0,0	0,0	0,0	0
9	0,0	0,0	0,0	0,0	0
10	0,0	0,0	0,0	0,0	0
11	0,0	0,0	0,0	0,0	0
12	0,0	0,0	0,0	0,0	0
13	0,0	0,0	0,0	0,0	0
14	0,0	0,0	0,0	0,0	0
15	0,0	0,0	0,0	0,0	0
16	0,0	0,0	0,0	0,0	0
17	0,0	0,0	0,0	0,0	0
18	0,0	0,0	0,0	0,0	0
19	0,0	0,0	0,0	0,0	0
20	0,0	0,0	0,0	0,0	0
y _t	140,0 mm	S _{x,9}	1,387E+05 mm ³		
z _t	40,5 mm	S _{y,9}	1,387E+05 mm ³		
A _x	7,950E+03 mm ²	S _{x,7-SD2}	0,000E+00 mm ³		
I _y	1,467E+07 mm ⁴	S _{y,8-SH2}	0,000E+00 mm ³		
I _z	2,772E+07 mm ⁴	I _o	1,440E+06 mm ⁴		
S _{y,9}	1,484E+05 mm ³	I _o	0,000E+00 mm ⁴		
W _{y,1-DL}	3,620E+05 mm ³	W _{y,1-DL}	1,980E+05 mm ³		
W _{y,2-DP}	3,620E+05 mm ³	W _{y,2-DP}	-1,980E+05 mm ³		
W _{y,3-HL}	-1,475E+05 mm ³	W _{y,3-HL}	1,848E+06 mm ³		
W _{y,4-HP}	-1,475E+05 mm ³	W _{y,4-HP}	-1,848E+06 mm ³		
W _{y,5-SD1}	5,748E+05 mm ³	W _{y,5-SD1}	1,848E+06 mm ³		
W _{y,6-SH1}	5,748E+05 mm ³	W _{y,6-SH1}	-1,848E+06 mm ³		
W _{y,7-SD2}	-1,475E+05 mm ³	W _{y,7-SD2}	1,848E+06 mm ³		
W _{y,8-SH2}	-1,475E+05 mm ³	W _{y,8-SH2}	-1,848E+06 mm ³		



TAB 1 ³⁷

POSUDEK: 37 **PRŮŘEZ:** Z_2
OZNAČENÍ: Z 2 **POPIS:** DOLNÍ ZTUŽENÍ 2

PRUT	X[m]
i	i

SOUČINITEL KOROZE $k = 1,00$

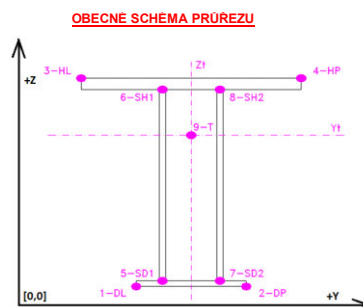
TAB A						PLNÝ PRŮŘEZ, ATYPICKÉ OTVORY						BEŽNÉ OTVORY PRO ŠROUBY ČI NYTY				OSLABENÍ PRŮŘEZU PRO NAMAHANÍ VNITŘNÍ SILOU					
Část č.	b [mm]	h [mm]	y [mm]	z [mm]	poznámka legenda 3	otvor č.	b [mm]	h [mm]	y [mm]	z [mm]	Nx- [-]	Nx+ [-]	My- [-]	My+ [-]	Mz- [-]	Mz+ [-]	poznámka legenda 3				
1	24,0	118,0	130,0	71,0	0	21	0,0	0,0	0,0	0,0	NE	ANO	NE	ANO	NE	ANO	2				
2	260,0	12,0	130,0	6,0	0	22	0,0	0,0	0,0	0,0	NE	ANO	NE	ANO	NE	ANO	2				
3	0,0	0,0	0,0	0,0	0	23	0,0	0,0	0,0	0,0	NE	ANO	NE	ANO	NE	ANO	2				
4	0,0	0,0	0,0	0,0	0	24	0,0	0,0	0,0	0,0	NE	ANO	NE	ANO	NE	ANO	2				
5	0,0	0,0	0,0	0,0	0	25	0,0	0,0	0,0	0,0	NE	ANO	NE	ANO	NE	ANO	2				
6	0,0	0,0	0,0	0,0	0	26	0,0	0,0	0,0	0,0	NE	ANO	NE	ANO	NE	ANO	2				
7	0,0	0,0	0,0	0,0	0	27	0,0	0,0	0,0	0,0	NE	ANO	NE	ANO	NE	ANO	2				
8	0,0	0,0	0,0	0,0	0	28	0,0	0,0	0,0	0,0	NE	ANO	NE	ANO	NE	ANO	2				
9	0,0	0,0	0,0	0,0	0	29	0,0	0,0	0,0	0,0	NE	ANO	NE	ANO	NE	ANO	2				
10	0,0	0,0	0,0	0,0	0	30	0,0	0,0	0,0	0,0	NE	ANO	NE	ANO	NE	ANO	2				
11	0,0	0,0	0,0	0,0	0	31	0,0	0,0	0,0	0,0	NE	ANO	NE	ANO	NE	ANO	2				
12	0,0	0,0	0,0	0,0	0	32	0,0	0,0	0,0	0,0	NE	ANO	NE	ANO	NE	ANO	2				
13	24,0	0,0	0,0	0,0	0	33	0,0	0,0	0,0	0,0	NE	ANO	NE	ANO	NE	ANO	2				
14	0,0	0,0	0,0	0,0	0	34	0,0	0,0	0,0	0,0	NE	ANO	NE	ANO	NE	ANO	2				
15	0,0	0,0	0,0	0,0	0	35	0,0	0,0	0,0	0,0	NE	ANO	NE	ANO	NE	ANO	2				
16	0,0	0,0	0,0	0,0	0	36	0,0	0,0	0,0	0,0	NE	ANO	NE	ANO	NE	ANO	2				
17	0,0	0,0	0,0	0,0	0	37	0,0	0,0	0,0	0,0	NE	ANO	NE	ANO	NE	ANO	2				
18	0,0	0,0	0,0	0,0	0	38	0,0	0,0	0,0	0,0	NE	ANO	NE	ANO	NE	ANO	2				
19	0,0	0,0	0,0	0,0	0	39	0,0	0,0	0,0	0,0	NE	ANO	NE	ANO	NE	ANO	2				
20	0,0	0,0	0,0	0,0	0	40	0,0	0,0	0,0	0,0	NE	ANO	NE	ANO	NE	ANO	2				

TAB. B		VÝSLEDNÉ PRŮŘEZOVÉ CHARAKTERISTIKY - PLYN PRŮŘEZ				
část	b	b	y	z	poznámka	
č.	[mm]	[mm]	[mm]	[mm]	legenda 3	
1	24,0	118,0	130,0	71,0	0	
2	260,0	12,0	130,0	6,0	0	
3	0,0	0,0	0,0	0,0	0	
4	0,0	0,0	0,0	0,0	0	
5	0,0	0,0	0,0	0,0	0	
6	0,0	0,0	0,0	0,0	0	
7	0,0	0,0	0,0	0,0	0	
8	0,0	0,0	0,0	0,0	0	
9	0,0	0,0	0,0	0,0	0	
10	0,0	0,0	0,0	0,0	0	
11	0,0	0,0	0,0	0,0	0	
12	0,0	0,0	0,0	0,0	0	
13	0,0	0,0	0,0	0,0	0	
14	0,0	0,0	0,0	0,0	0	
15	0,0	0,0	0,0	0,0	0	
16	0,0	0,0	0,0	0,0	0	
17	0,0	0,0	0,0	0,0	0	
18	0,0	0,0	0,0	0,0	0	
19	0,0	0,0	0,0	0,0	0	
20	0,0	0,0	0,0	0,0	0	
$y_1 =$	130,0 mm		$S_{x,SO1} =$	9,649E+04 mm ³		
$z_1 =$	36,9 mm		$S_{x,SOH} =$	9,649E+04 mm ³		
$A_x =$	5,962E+03 mm ²		$S_{x,7SO2} =$	1,455E+11 mm ³		
$I_x =$	9,596E+06 mm ⁴		$S_{x,8SO2} =$	0,000E+00 mm ³		
$I_{x1} =$	1,771E+07 mm ⁴		$I_x =$	6,935E+05 mm ³		
$S_{x,17} =$	1,040E+05 mm ³		$I_{x0} =$	0,000E+00 mm ³		
$W_{x,10L} =$	2,598E+05 mm ³		$W_{x,10L} =$	1,362E+05 mm ³		
$W_{x,2RP} =$	2,598E+05 mm ³		$W_{x,2RP} =$	-1,362E+05 mm ³		
$W_{x,3HL} =$	-1,031E+05 mm ³		$W_{x,3HL} =$	1,478E+06 mm ³		
$W_{x,4HP} =$	-1,031E+05 mm ³		$W_{x,4HP} =$	-1,478E+06 mm ³		
$W_{x,5SO1} =$	3,849E+05 mm ³		$W_{x,5SO1} =$	1,476E+06 mm ³		
$W_{x,6SH1} =$	3,849E+05 mm ³		$W_{x,6SH1} =$	-1,476E+06 mm ³		
$W_{x,7SO2} =$	-1,031E+05 mm ³		$W_{x,7SO2} =$	1,476E+06 mm ³		
$W_{x,8SO2} =$	-1,031E+05 mm ³		$W_{x,8SO2} =$	-1,476E+06 mm ³		

TAB. C - SOUHRNNICE KRITICKÝCH BODŮ PRŮZEU PRO POSUDEK NAPĚTÍ							
1-DL		2-DP		3-HL		4-HP	
y_1 (mm)	z_1 (mm)	y_2 (mm)	z_2 (mm)	y_3 (mm)	z_3 (mm)	y_4 (mm)	z_4 (mm)
0.0	0.0	260.0	0.0	118.0	130.0	142.0	130.0
5-SD1		6-SH1		7-SD2		8-SH2	
y_5 (mm)	z_5 (mm)	y_6 (mm)	z_6 (mm)	y_7 (mm)	z_7 (mm)	y_8 (mm)	z_8 (mm)
118.0	12.0	142.0	0.0	118.0	130.0	142.0	130.0

LEGENDA 1:

1-DL	bod 1- dolní vlákná průřezu, levý okraj
2-DP	bod 2- dolní vlákná průřezu, pravý okraj
3-HL	bod 3- horní vlákná průřezu, levý okraj
4-HP	bod 4- horní vlákná průřezu, pravý okraj
5-SD1	bod 5- dolní vlákná stěny 1
6-SH1	bod 6- horní vlákná stěny 1
7-SD2	bod 7- dolní vlákná stěny 2
8-SH2	bod 8- horní vlákná stěny 2
9-T	bod 9- těžiště plného průřezu



LEGENDA 3:

0 ... neobsazeno

1 ... část průřezu

2 ... běžný otvor

3 ... atypický otvor

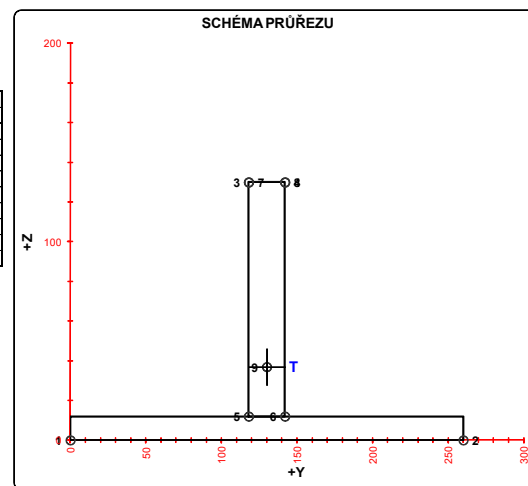
TAB. 4		PRŮZVOČNÉ CHARAKTERISTIKY OSLABENÉHO PRŮZVUKU $A_{w,eq}$, $W_{p,eq}$ a $W_{z,eq}$ V KRITICKÝCH BODECH PRŮZVUKU PRO POSUDEK NAPĚTÍ					
BOD	Ax.эф. про. №: [mm2]	Ax.эф. про. №: [mm2]	Wy.эф. про. №: [mm2]	Wy.эф. про. №: [mm2]	Wz.эф. про. №: [mm2]	Wz.эф. про. №: [mm2]	
1-DL	5.952E+03	5.952E+03	2.598E+05	2.598E+05	1.362E+05	1.362E+05	
2-DP	5.952E+03	5.952E+03	2.598E+05	2.598E+05	-1.362E+05	-1.362E+05	
3-HL	5.952E+03	5.952E+03	-1.031E+05	-1.031E+05	1.476E+06	1.476E+06	
4-HP	5.952E+03	5.952E+03	-1.031E+05	-1.031E+05	-1.476E+06	-1.476E+06	
5-S01	5.952E+03	5.952E+03	3.849E+05	3.849E+05	1.476E+06	1.476E+06	
6-SH1	5.952E+03	5.952E+03	3.849E+05	3.849E+05	-1.476E+06	-1.476E+06	
7-S02	5.952E+03	5.952E+03	-1.031E+05	-1.031E+05	1.476E+06	1.476E+06	
8-SH2	5.952E+03	5.952E+03	-1.031E+05	-1.031E+05	-1.476E+06	-1.476E+06	
9-L1	5.952E+03	5.952E+03					

TAB E	t_w	f_y	f_c
BOD	[mm]	[MPa]	[MPa]
1-DL	-	213,6	327,1
2-DP	-	213,6	327,1
3-HL	-	213,6	327,1
4-HP	-	213,6	327,1
5-SD1	24,0	213,6	327,1
6-SH1	24,0	213,6	327,1
7-SD2	24,0	213,6	327,1
8-SH2	24,0	213,6	327,1
9-T	24,0	213,6	327,1

LEGENDA 2:

b	rozměr proužku (otvoru) ve směru osy y
h	rozměr proužku (otvoru) ve směru osy z
y, z	souřadnice těžiště proužku (otvoru)
N_n	normálová síla- tlak
N_t	normálová síla- tah
M_{y+}	svislý ohybový moment- kladný
M_{y-}	svislý ohybový moment- záporný
M_{z+}	vodorovný ohybový moment- kladný
M_{z-}	vodorovný ohybový moment- záporný
y1,....,y8	y-ová souřadnice kritických bodů 1,....,8 pro posudek napětí
z1,....,z8	z-ová souřadnice kritických bodů 1,....,8 pro posudek napětí
y_i	y-ová souřadnice těžiště průřezu
z_i	z-ová souřadnice těžiště průřezu
f_y	mez kluzu oceli

A_x	průřezová plocha- plný průřez	$H =$	130,0 mm
I_y	moment setrvačnosti k ose y- plný průřez	$H_w =$	118,0 mm
I_z	moment setrvačnosti k ose z- plný průřez	$A_{wz} =$	2832,0 mm ²
I_t	moment tuhosti průřezu v prostém kroucení		
$S_{y,9}$	výšeový moment setrvačnosti		
$S_{y,9}$	statický moment celého průřezu k těžiškové ose y- plný průřez		
$S_{y,5-SD1}$ (7-SD2)	statický moment části průřezu pod bodem 5-SD1 (7-SD2) k těžiškové ose y- plný průřez		
$S_{y,6-SH1}$ (8-SH2)	statický moment části průřezu nad bodem 6-SH1 (8-SH2) k těžiškové ose y- plný průřez		
$W_{y1..8}$	1. sv. průřezový modul průřezu v kritických bodech 1..8- plný průřez		
$A_{x,ef}$	průřezová plocha- oslabený průřez		
$W_{y1..8,ef}$	1. sv. průřezový modul průřezu v kritických bodech 1..8- oslabený průřez		
$W_{z1..8,ef}$	vodorovný průřezový modul průřezu v kritických bodech 1..8- oslabený průřez		
H	výška celého průřezu		
H_w	výška stěny průřezu		
A_{wz}	plocha stěny ve smyku od 1/2		



TAB 1 38 ZÁKLADNÍ PRŮŘEZOVÉ CHARAKTERISTIKY

POSUDEK: 38
OZNAČENÍ: Z_3

PRŮŘEZ: Z_3
POPIS: DOLNÍ ZTUŽENÍ 3

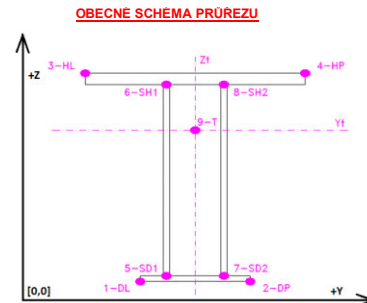
PRUT i
X[m] j

SOUČINITELE KOROZE k = 1,00

TAB A							PLNÝ PRŮŘEZ, ATYPICKÉ OTVORY							BÉŽNÉ OTVORY PRO ŠROUBY ČI NYTY							OSLABENÍ PRŮŘEZU PRO NAMAHÁNÍ VNITŘNÍ SILOU						
část	b	h	y	z	poznámka	otvor	b	h	y	z	Nx-	Nx+	My-	My+	Mz-	Mz+	poznámka										
č.	(mm)	(mm)	(mm)	(mm)	legenda 3	č.	(mm)	(mm)	(mm)	(mm)	-	-	-	-	-	-	legenda 3										
1	20,0	90,0	100,0	55,0	0	21	0,0	0,0	0,0	0,0	NE	ANO	NE	ANO	NE	ANO	2										
2	200,0	10,0	100,0	5,0	0	22	0,0	0,0	0,0	0,0	NE	ANO	NE	ANO	NE	ANO	2										
3	0,0	0,0	0,0	0,0	0	23	0,0	0,0	0,0	0,0	NE	ANO	NE	ANO	NE	ANO	2										
4	0,0	0,0	0,0	0,0	0	24	0,0	0,0	0,0	0,0	NE	ANO	NE	ANO	NE	ANO	2										
5	0,0	0,0	0,0	0,0	0	25	0,0	0,0	0,0	0,0	NE	ANO	NE	ANO	NE	ANO	2										
6	0,0	0,0	0,0	0,0	0	26	0,0	0,0	0,0	0,0	NE	ANO	NE	ANO	NE	ANO	2										
7	0,0	0,0	0,0	0,0	0	27	0,0	0,0	0,0	0,0	NE	ANO	NE	ANO	NE	ANO	2										
8	0,0	0,0	0,0	0,0	0	28	0,0	0,0	0,0	0,0	NE	ANO	NE	ANO	NE	ANO	2										
9	0,0	0,0	0,0	0,0	0	29	0,0	0,0	0,0	0,0	NE	ANO	NE	ANO	NE	ANO	2										
10	0,0	0,0	0,0	0,0	0	30	0,0	0,0	0,0	0,0	NE	ANO	NE	ANO	NE	ANO	2										
11	0,0	0,0	0,0	0,0	0	31	0,0	0,0	0,0	0,0	NE	ANO	NE	ANO	NE	ANO	2										
12	0,0	0,0	0,0	0,0	0	32	0,0	0,0	0,0	0,0	NE	ANO	NE	ANO	NE	ANO	2										
13	0,0	0,0	0,0	0,0	0	33	0,0	0,0	0,0	0,0	NE	ANO	NE	ANO	NE	ANO	2										
14	0,0	0,0	0,0	0,0	0	34	0,0	0,0	0,0	0,0	NE	ANO	NE	ANO	NE	ANO	2										
15	0,0	0,0	0,0	0,0	0	35	0,0	0,0	0,0	0,0	NE	ANO	NE	ANO	NE	ANO	2										
16	0,0	0,0	0,0	0,0	0	36	0,0	0,0	0,0	0,0	NE	ANO	NE	ANO	NE	ANO	2										
17	0,0	0,0	0,0	0,0	0	37	0,0	0,0	0,0	0,0	NE	ANO	NE	ANO	NE	ANO	2										
18	0,0	0,0	0,0	0,0	0	38	0,0	0,0	0,0	0,0	NE	ANO	NE	ANO	NE	ANO	2										
19	0,0	0,0	0,0	0,0	0	39	0,0	0,0	0,0	0,0	NE	ANO	NE	ANO	NE	ANO	2										
20	0,0	0,0	0,0	0,0	0	40	0,0	0,0	0,0	0,0	NE	ANO	NE	ANO	NE	ANO	2										

TAB C-SOURADNICE KRITICKÝCH BODŮ PRŮŘEZU PRO POSUDEK NAPĚTÍ							
1-DL		2-DP		3-HL		4-HP	
y ₁	z ₁	y ₂	z ₂	y ₃	z ₃	y ₄	z ₄
(mm)	(mm)	(mm)	(mm)	(mm)	(mm)	(mm)	(mm)
0,0	0,0	200,0	0,0	90,0	100,0	110,0	100,0
5-SD1		6-SH1		7-SD2		8-SH2	
y ₅	z ₅	y ₆	z ₆	y ₇	z ₇	y ₈	z ₈
(mm)	(mm)	(mm)	(mm)	(mm)	(mm)	(mm)	(mm)
90,0	10,0	110,0	10,0	90,0	100,0	110,0	100,0

LEGENDA 1:
1-DL bod 1- dolní vlákná průřezu, levý okraj
2-DP bod 2- dolní vlákná průřezu, pravý okraj
3-HL bod 3- horní vlákná průřezu, levý okraj
4-HP bod 4- horní vlákná průřezu, pravý okraj
5-SD1 bod 5- dolní vlákná stěny 1
6-SH1 bod 6- horní vlákná stěny 1
7-SD2 bod 7- dolní vlákná stěny 2
8-SH2 bod 8- horní vlákná stěny 2
9-T bod 9- těžiště plného průřezu



LEGENDA 3:
0 ... neobsazeno
1 ... část průřezu
2 ... běžný otvor
3 ... atypický otvor

TAB D PRŮŘEZOVÉ CHARAKTERISTIKY OSLABENÉHO PRŮŘEZU A _{x,ef} , W _{y,ef} a W _{z,ef} V KRITICKÝCH BODECH PRŮŘEZU PRO POSUDEK NAPĚTÍ							
BOD	A _{x,ef} -pro Nx [mm ²]	A _{x,ef} -pro Nx+ [mm ²]	W _{y,ef} -pro My- [mm ³]	W _{y,ef} -pro My+ [mm ³]	W _{z,ef} -pro Mz- [mm ³]	W _{z,ef} -pro Mz+ [mm ³]	
1-DL	3,800E+03	3,800E+03	1,255E+05	1,255E+05	6,727E+04	6,727E+04	
2-DP	3,800E+03	3,800E+03	1,255E+05	1,255E+05	-6,727E+04	-6,727E+04	
3-HL	3,800E+03	3,800E+03	-5,048E+04	-5,048E+04	6,727E+05	6,727E+05	
4-HP	3,800E+03	3,800E+03	-5,048E+04	-5,048E+04	-6,727E+05	-6,727E+05	
5-SD1	3,800E+03	3,800E+03	1,927E+05	1,927E+05	6,727E+05	6,727E+05	
6-SH1	3,800E+03	3,800E+03	1,927E+05	1,927E+05	-6,727E+05	-6,727E+05	
7-SD2	3,800E+03	3,800E+03	-5,048E+04	-5,048E+04	6,727E+05	6,727E+05	
8-SH2	3,800E+03	3,800E+03	-5,048E+04	-5,048E+04	-6,727E+05	-6,727E+05	
9-T	3,800E+03	3,800E+03	-	-	-	-	

LEGENDA 2:
b rozměr proužku (otvoru) ve směru osy y
h rozměr proužku (otvoru) ve směru osy z
y,z souřadnice těžiště proužku (otvoru)
N_x normálová síla- tlak
N_x normálová síla- tah
M_y svislý ohybový moment- kladný
M_y svislý ohybový moment- záporný
M_z vodorovný ohybový moment- kladný
M_z vodorovný ohybový moment- záporný
y₁,...,y₈ z-ová souřadnice kritických bodů 1,...,8 pro posudek napětí
z₁,...,z₈ y-ová souřadnice kritických bodů 1,...,8 pro posudek napětí
y₁ y-ová souřadnice těžiště průřezu
z₁ z-ová souřadnice těžiště průřezu
f_y mez kluzu oceli

A_x průřezová plocha- plný průřez
I_y moment setrvačnosti k ose y- plný průřez
I_z moment setrvačnosti k ose z- plný průřez
I_x moment tuhosti průřezu v prostém kroucení
I_{xy} výsečový moment setrvačnosti
S_{y,9} statický moment celého průřezu k těžišťové ose y- plný průřez
S_{y,5-SD1 (7-SD2)} statický moment části průřezu pod bodem 5-SD1 (7-SD2) k těžišťové ose y- plný průřez
S_{y,6-SH1 (8-SH2)} statický moment části průřezu nad bodem 6-SH1 (8-SH2) k těžišťové ose y- plný průřez
W_{y,1..8} svislý průřezový modul průřezu v kritických bodech 1..8- plný průřez
A_{x,ef} průřezová plocha- oslabený průřez
W_{y,1..8,ef} svislý průřezový modul průřezu v kritických bodech 1..8- oslabený průřez
W_{z,1..8,ef} vodorovný průřezový modul průřezu v kritických bodech 1..8- oslabený průřez
H výška celého průřezu
H_w výška stěny průřezu
A_{vz} plocha stěny ve smyku od Vz

TAB E	t _w	f _y	f _u
BOD	(mm)	(MPa)	(MPa)
1-DL	-	213,6	327,1
2-DP	-	213,6	327,1
3-HL	-	213,6	327,1
4-HP	-	213,6	327,1
5-SD1	20,0	213,6	327,1
6-SH1	20,0	213,6	327,1
7-SD2	20,0	213,6	327,1
8-SH2	20,0	213,6	327,1
9-T	20,0	213,6	327,1

H = 100,0 mm
H_w = 90,0 mm
A_{vz} = 1800,0 mm²

TAB B VÝSLEDNÉ PRŮŘEZOVÉ CHARAKTERISTIKY- PLNÝ PRŮŘEZ									
část	b	h	y	z	poznámka				
Č.	(mm)	(mm)	(mm)	(mm)	legenda 3				
1	20,0	90,0	100,0	55,0	0				
2	200,0	10,0	100,0	5,0	0				
3	0,0	0,0	0,0	0,0	0				
4	0,0	0,0	0,0	0,0	0				
5	0,0	0,0	0,0	0,0	0				
6	0,0	0,0	0,0	0,0	0				
7	0,0	0,0	0,0	0,0	0				
8	0,0	0,0	0,0	0,0	0				
9	0,0	0,0	0,0	0,0	0				
10	0,0	0,0	0,0	0,0	0				
11	0,0	0,0	0,0	0,0	0				
12	0,0	0,0	0,0	0,0	0				
13	0,0	0,0	0,0	0,0	0				
14	0,0	0,0	0,0	0,0	0				
15	0,0	0,0	0,0	0,0	0				
16	0,0	0,0	0,0	0,0	0				
17	0,0	0,0	0,0	0,0	0				
18	0,0	0,0	0,0	0,0	0				
19	0,0	0,0	0,0	0,0	0				
20	0,0	0,0	0,0	0,0	0				
						y ₁ =	100,0 mm	S _{y,5-SD1} =	4,737E+04 mm ³
						z ₁ =	28,7 mm	S _{y,6-SH1} =	4,737E+04 mm ³
						A _x =	3,800E+03 mm ²	S _{y,7-SD2} =	7,276E-12 mm ³
						I _x =	3,600E+06 mm ⁴	S _{y,8-SH2} =	0,000E+00 mm ³
						I _y =	6,727E+06 mm ⁴	I _x =	3,067E+05 mm ⁴

TAB 1 ³⁹

POSUDEK: 39 **PRŮŘEZ:** Z_4
OZNAČENÍ: Z 4 **POPIS:** DOLNÍ ZTUŽENÍ 4

PRUT	X[m]
i	i

SOUČINITEL KOROZE $k = 1,00$

TAB A						PLNÝ PRŮŘEZ, ATYPICKÉ OTVORY						BEŽNÉ OTVORY PRO ŠROUBY ČI NYTY				OSLABENÍ PRŮŘEZU PRO NAMAHANÍ VNITŘNÍ SILOU					
Část č.	b [mm]	h [mm]	y [mm]	z [mm]	poznámka legenda 3	otvor č.	b [mm]	h [mm]	y [mm]	z [mm]	Nx- [-]	Nx+ [-]	My- [-]	My+ [-]	Mz- [-]	Mz+ [-]	poznámka legenda 3				
1	24,0	85,0	100,0	56,0	0	21	0,0	0,0	0,0	0,0	NE	ANO	NE	ANO	NE	ANO	2				
2	200,0	12,0	100,0	6,0	0	22	0,0	0,0	0,0	0,0	NE	ANO	NE	ANO	NE	ANO	2				
3	0,0	0,0	0,0	0,0	0	23	0,0	0,0	0,0	0,0	NE	ANO	NE	ANO	NE	ANO	2				
4	0,0	0,0	0,0	0,0	0	24	0,0	0,0	0,0	0,0	NE	ANO	NE	ANO	NE	ANO	2				
5	0,0	0,0	0,0	0,0	0	25	0,0	0,0	0,0	0,0	NE	ANO	NE	ANO	NE	ANO	2				
6	0,0	0,0	0,0	0,0	0	26	0,0	0,0	0,0	0,0	NE	ANO	NE	ANO	NE	ANO	2				
7	0,0	0,0	0,0	0,0	0	27	0,0	0,0	0,0	0,0	NE	ANO	NE	ANO	NE	ANO	2				
8	0,0	0,0	0,0	0,0	0	28	0,0	0,0	0,0	0,0	NE	ANO	NE	ANO	NE	ANO	2				
9	0,0	0,0	0,0	0,0	0	29	0,0	0,0	0,0	0,0	NE	ANO	NE	ANO	NE	ANO	2				
10	0,0	0,0	0,0	0,0	0	30	0,0	0,0	0,0	0,0	NE	ANO	NE	ANO	NE	ANO	2				
11	0,0	0,0	0,0	0,0	0	31	0,0	0,0	0,0	0,0	NE	ANO	NE	ANO	NE	ANO	2				
12	0,0	0,0	0,0	0,0	0	32	0,0	0,0	0,0	0,0	NE	ANO	NE	ANO	NE	ANO	2				
13	0,0	0,0	0,0	0,0	0	33	0,0	0,0	0,0	0,0	NE	ANO	NE	ANO	NE	ANO	2				
14	0,0	0,0	0,0	0,0	0	34	0,0	0,0	0,0	0,0	NE	ANO	NE	ANO	NE	ANO	2				
15	0,0	0,0	0,0	0,0	0	35	0,0	0,0	0,0	0,0	NE	ANO	NE	ANO	NE	ANO	2				
16	0,0	0,0	0,0	0,0	0	36	0,0	0,0	0,0	0,0	NE	ANO	NE	ANO	NE	ANO	2				
17	0,0	0,0	0,0	0,0	0	37	0,0	0,0	0,0	0,0	NE	ANO	NE	ANO	NE	ANO	2				
18	0,0	0,0	0,0	0,0	0	38	0,0	0,0	0,0	0,0	NE	ANO	NE	ANO	NE	ANO	2				
19	0,0	0,0	0,0	0,0	0	39	0,0	0,0	0,0	0,0	NE	ANO	NE	ANO	NE	ANO	2				
20	0,0	0,0	0,0	0,0	0	40	0,0	0,0	0,0	0,0	NE	ANO	NE	ANO	NE	ANO	2				

TAB. C - SOUHRNNICE KRITICKÝCH BODŮ PRŮZEU PRO POSUDEK NAPĚTÍ							
1-DL		2-DP		3-HL		4-HP	
y_1 (mm)	z_1 (mm)	y_2 (mm)	z_2 (mm)	y_3 (mm)	z_3 (mm)	y_4 (mm)	z_4 (mm)
0.0	0.0	200.0	0.0	88.0	100.0	112.0	100.0
5-SD1		6-SH1		7-SD2		8-SH2	
y_5 (mm)	z_5 (mm)	y_6 (mm)	z_6 (mm)	y_7 (mm)	z_7 (mm)	y_8 (mm)	z_8 (mm)
88.0	12.0	112.0	0.0	88.0	100.0	112.0	100.0

LEGENDA 1:

1-DL	bod 1- dolní vlákná průřezu, levý okraj
2-DP	bod 2- dolní vlákná průřezu, pravý okraj
3-HL	bod 3- horní vlákná průřezu, levý okraj
4-HP	bod 4- horní vlákná průřezu, pravý okraj
5-SD1	bod 5- dolní vlákná stěny 1
6-SH1	bod 6- horní vlákná stěny 1
7-SD2	bod 7- dolní vlákná stěny 2
8-SH2	bod 8- horní vlákná stěny 2
9-T	bod 9- těžiště plného průřezu

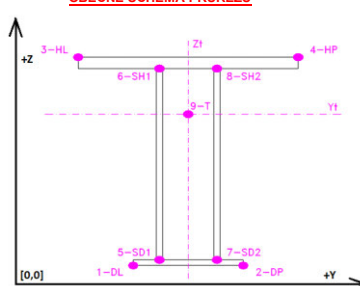
Tab. D	PRŮŘEZOVÉ CHARAKTERISTIKY OSLABĚNÝCH PRŮŘEZŮ A_{red} , W_{red} a W_{pl} V KRITICKÝCH BODECH PRŮŘEZŮ PRO POSUDEK NAPĚTÍ									
BOD	Ax. ef. pro N ₁ [mm ²]	Ax. ef. pro N ₂ [mm ²]	Wy. ef. pro M ₁ [mm ³]	Wy. ef. pro M ₂ [mm ³]	Wz. ef. pro M ₁ [mm ³]	Wz. ef. pro M ₂ [mm ³]	Wy. ef. pro M ₃ [mm ³]	Wz. ef. pro M ₃ [mm ³]	Wy. ef. pro M ₄ [mm ³]	Wz. ef. pro M ₄ [mm ³]
1-DL	4,512E+03	4,512E+03	1,428E+05	1,428E+05	8,101E+04	8,101E+04				
2-DP	4,512E+03	4,512E+03	1,428E+05	1,428E+05	-8,101E+04	-8,101E+04				
3-HL	4,512E+03	4,512E+03	-5,950E+04	-5,950E+04	6,751E+05	6,751E+05				
4-HP	4,512E+03	4,512E+03	-5,950E+04	-5,950E+04	-6,751E+05	-6,751E+05				
5-SD1	4,512E+03	4,512E+03	2,413E+05	2,413E+05	6,751E+05	6,751E+05				
6-SH1	4,512E+03	4,512E+03	2,413E+05	2,413E+05	-6,751E+05	-6,751E+05				
7-SD2	4,512E+03	4,512E+03	-5,950E+04	-5,950E+04	6,751E+05	6,751E+05				
8-SH2	4,512E+03	4,512E+03	-5,950E+04	-5,950E+04	-6,751E+05	-6,751E+05				
9-L1	4,512E+03	4,512E+03								

LEGENDA 2:

b	rozměr proužku (otvoru) ve směru osy y
h	rozměr proužku (otvoru) ve směru osy z
y,z	souřadnice těžiště proužku (otvoru)
N_x	normálová síla- tlak
N_y	normálová síla- tah
M_{x+}	svislý ohybový moment- kladný
M_{x-}	svislý ohybový moment- záporný
M_{y+}	vodorovný ohybový moment- kladný
M_{y-}	vodorovný ohybový moment- záporný
y1.....y8	y-ová souřadnice kritických bodů 1.....8 pro posudek napětí
z1.....z8	z-ová souřadnice kritických bodů 1.....8 pro posudek napětí
y_i	y-ová souřadnice těžiště průřezu
z_i	z-ová souřadnice těžiště průřezu
f_k	mez kluzu oceli

A_x	průřezová plocha- plný průřez	$H =$	100,0 mm
I_y	moment setrvačnosti k ose y- plný průřez	$H_w =$	88,0 mm
I_z	moment setrvačnosti k ose z- plný průřez	$A_{vz} =$	2112,0 mm ²
I_y	moment tuhosti průřezu v prostém kroucení		
$I_{\phi y}$	vyseřový moment setrvačnosti		
S_y	statický moment celého průřezu k těžištové ose y- plný průřez		
$S_{y,5SD1}$ (7-SD2)	statický moment části průřezu pod bodem 5-SD1 (7-SD2) k těžištové ose y- plný průřez		
$S_{y,6SH1}$ (8-SH2)	statický moment části průřezu nad bodem 6-SH1 (8-SH2) k těžištové ose y- plný průřez		
$W_{y1,8-SD1}$	svislý průřezový modul průřezu v kritických bodech 1.-8. plný průřez		
$A_{x,8-SD1}$	průřezová plocha- oslabený průřez		
$W_{y1,8-SD1}$	svislý průřezový modul průřezu v kritických bodech 1.-8. oslabený průřez		
$W_{x1,8-SD1}$	vodorovný průřezový modul průřezu v kritických bodech 1.-8. oslabený průřez		
H	výška celého průřezu		
H_w	výška stěny průřezu		
A_{vz}	plocha stěny ve smyku od Vz		

OBEČNĚ SCHÉMA PRŮŘEZU

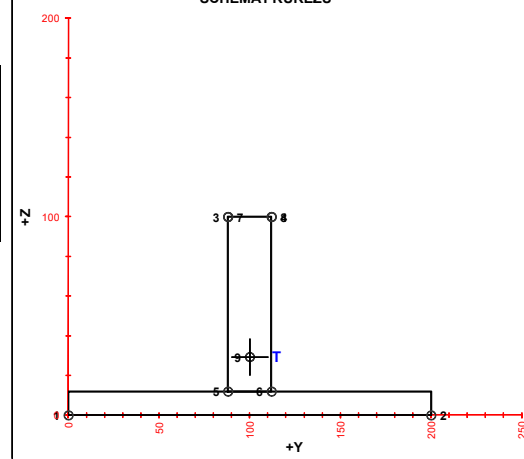


LEGENDA 3:

0 ... neobsazeno
1 ... část průřezu
2 ... běžný otvor
3 ... atypický otvor

TAB. B		VÝSLEDNÉ PRŮŘEZOVÉ CHARAKTERISTIKY - PLYN PRŮŘEZ			
čísť	b	h	y	z	poznámka
	[mm]	[mm]	[mm]	[mm]	legenda 3
1	24,0	88,0	100,0	56,0	0
2	200,0	12,0	100,0	6,0	0
3	0,0	0,0	0,0	0,0	0
4	0,0	0,0	0,0	0,0	0
5	0,0	0,0	0,0	0,0	0
6	0,0	0,0	0,0	0,0	0
7	0,0	0,0	0,0	0,0	0
8	0,0	0,0	0,0	0,0	0
9	0,0	0,0	0,0	0,0	0
10	0,0	0,0	0,0	0,0	0
11	0,0	0,0	0,0	0,0	0
12	0,0	0,0	0,0	0,0	0
13	0,0	0,0	0,0	0,0	0
14	0,0	0,0	0,0	0,0	0
15	0,0	0,0	0,0	0,0	0
16	0,0	0,0	0,0	0,0	0
17	0,0	0,0	0,0	0,0	0
18	0,0	0,0	0,0	0,0	0
19	0,0	0,0	0,0	0,0	0
20	0,0	0,0	0,0	0,0	0
y ₁	100,0	mm	S _{y, 5.301}	5,617E+04	mm ⁴
z ₁	29,4	mm	S _{y, 5.301}	5,617E+04	mm ⁴
A ₁	4,512E+03	mm ²	S _{y, 7.502}	1,455E+11	mm ⁴
I _x	4,200E+06	mm ⁴	S _{y, 8.502}	0,000E+00	mm ⁴
I _y	8,101E+06	mm ⁴	I _x	5,207E+05	mm ⁴
S _{x, 1}	5,981E+04	mm ³	I _y	0,000E+00	mm ⁴
W _{x, 1.01}	1,428E+05	mm ³	W _{x, 1.01}	8,101E+04	mm ³
W _{x, 2.02}	1,428E+05	mm ³	W _{x, 2.02}	-8,101E+04	mm ³
W _{y, 3.01}	-5,950E+04	mm ³	W _{y, 3.01}	6,751E+05	mm ³
W _{y, 4.02}	5,950E+04	mm ³	W _{y, 4.02}	-6,751E+05	mm ³
W _{x, 5.01}	2,413E+05	mm ³	W _{x, 5.01}	6,751E+05	mm ³
W _{x, 6.01}	2,413E+05	mm ³	W _{x, 6.01}	-6,751E+05	mm ³
W _{y, 7.01}	-5,950E+04	mm ³	W _{y, 7.01}	6,751E+05	mm ³
W _{y, 8.01}	5,950E+04	mm ³	W _{y, 8.01}	-6,751E+05	mm ³

SCHÉMA PRŮŘEZU



TAB 1 ⁴⁰

POSUDEK: 40 **PRŮŘEZ:** Z_5
OZNAČENÍ: Z 5 **POPIS:** DOLNÍ ZTUŽENÍ 5

PRUT	X[m]
i	i

SOUČINITEL KOROZE $k = 1,00$

TAB A					PLNÝ PRŮŘEZ, ATYPICKÉ OTVORY					BEŽNÉ OTVORY PRO ŠROUBY ČI NYTY					OSLABENÍ PRŮŘEZU PRO NAMAHÁNÍ VNITŘNÍ SILOU						
Část č	b [mm]	h [mm]	y [mm]	z [mm]	otvor č	b [mm]	h [mm]	y [mm]	z [mm]	Nx- [-]	Nx+ [-]	My- [-]	My+ [-]	Mz- [-]	Mz+ [-]	poznámka legenda 3					
1	24,0	108,0	120,0	66,0	21	0,0	0,0	0,0	0,0	NE	ANO	NE	ANO	NE	ANO	2					
2	240,0	12,0	120,0	6,0	22	0,0	0,0	0,0	0,0	NE	ANO	NE	ANO	NE	ANO	2					
3	0,0	0,0	0,0	0,0	23	0,0	0,0	0,0	0,0	NE	ANO	NE	ANO	NE	ANO	2					
4	0,0	0,0	0,0	0,0	24	0,0	0,0	0,0	0,0	NE	ANO	NE	ANO	NE	ANO	2					
5	0,0	0,0	0,0	0,0	25	0,0	0,0	0,0	0,0	NE	ANO	NE	ANO	NE	ANO	2					
6	0,0	0,0	0,0	0,0	26	0,0	0,0	0,0	0,0	NE	ANO	NE	ANO	NE	ANO	2					
7	0,0	0,0	0,0	0,0	27	0,0	0,0	0,0	0,0	NE	ANO	NE	ANO	NE	ANO	2					
8	0,0	0,0	0,0	0,0	28	0,0	0,0	0,0	0,0	NE	ANO	NE	ANO	NE	ANO	2					
9	0,0	0,0	0,0	0,0	29	0,0	0,0	0,0	0,0	NE	ANO	NE	ANO	NE	ANO	2					
10	0,0	0,0	0,0	0,0	30	0,0	0,0	0,0	0,0	NE	ANO	NE	ANO	NE	ANO	2					
11	0,0	0,0	0,0	0,0	31	0,0	0,0	0,0	0,0	NE	ANO	NE	ANO	NE	ANO	2					
12	0,0	0,0	0,0	0,0	32	0,0	0,0	0,0	0,0	NE	ANO	NE	ANO	NE	ANO	2					
13	0,0	0,0	0,0	0,0	33	0,0	0,0	0,0	0,0	NE	ANO	NE	ANO	NE	ANO	2					
14	0,0	0,0	0,0	0,0	34	0,0	0,0	0,0	0,0	NE	ANO	NE	ANO	NE	ANO	2					
15	0,0	0,0	0,0	0,0	35	0,0	0,0	0,0	0,0	NE	ANO	NE	ANO	NE	ANO	2					
16	0,0	0,0	0,0	0,0	36	0,0	0,0	0,0	0,0	NE	ANO	NE	ANO	NE	ANO	2					
17	0,0	0,0	0,0	0,0	37	0,0	0,0	0,0	0,0	NE	ANO	NE	ANO	NE	ANO	2					
18	0,0	0,0	0,0	0,0	38	0,0	0,0	0,0	0,0	NE	ANO	NE	ANO	NE	ANO	2					
19	0,0	0,0	0,0	0,0	39	0,0	0,0	0,0	0,0	NE	ANO	NE	ANO	NE	ANO	2					
20	0,0	0,0	0,0	0,0	40	0,0	0,0	0,0	0,0	NE	ANO	NE	ANO	NE	ANO	2					

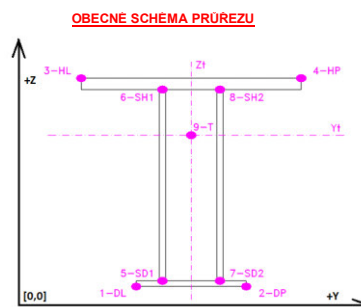
TAB. B		VÝSLEDNÉ PRŮŘEZOVÉ CHARAKTERISTIKY - PLYN PRŮŘEZ			
čísť	b [mm]	h [mm]	y [mm]	z [mm]	poznámka legenda 3
1	24,0	108,0	120,0	66,0	0
2	240,0	12,0	120,0	6,0	0
3	0,0	0,0	0,0	0,0	0
4	0,0	0,0	0,0	0,0	0
5	0,0	0,0	0,0	0,0	0
6	0,0	0,0	0,0	0,0	0
7	0,0	0,0	0,0	0,0	0
8	0,0	0,0	0,0	0,0	0
9	0,0	0,0	0,0	0,0	0
10	0,0	0,0	0,0	0,0	0
11	0,0	0,0	0,0	0,0	0
12	0,0	0,0	0,0	0,0	0
13	0,0	0,0	0,0	0,0	0
14	0,0	0,0	0,0	0,0	0
15	0,0	0,0	0,0	0,0	0
16	0,0	0,0	0,0	0,0	0
17	0,0	0,0	0,0	0,0	0
18	0,0	0,0	0,0	0,0	0
19	0,0	0,0	0,0	0,0	0
20	0,0	0,0	0,0	0,0	0

y ₁ = 120,0 mm	S _{y, 5-201} = 8,185E+04 mm ⁴
z ₁ = 34,4 mm	S _{y, 5-201} = 8,185E+04 mm ⁴
A ₁ = 5,472E+03 mm ²	S _{y, 7-202} = -2,910E-11 mm ⁴
I _y = 7,465E+06 mm ⁴	S _{y, 8-202} = 0,000E+00 mm ⁴
I _z = 1,395E+07 mm ⁴	I _z = 6,359E+05 mm ⁴
S _{y, 1-4} = 8,789E+04 mm ⁴	I _z = 0,000E+00 mm ⁴
W _{y, 1-201} = 2,169E+05 mm ³	W _{y, 1-201} = 1,162E+05 mm ³
W _{y, 2-201} = 2,169E+05 mm ³	W _{y, 2-201} = -1,162E+05 mm ³
W _{y, 3-201} = -8,723E+04 mm ³	W _{y, 3-201} = 1,162E+05 mm ³
W _{y, 4-201} = -8,723E+04 mm ³	W _{y, 4-201} = -1,162E+05 mm ³
W _{z, 1-201} = 3,330E+05 mm ³	W _{z, 5-201} = 1,162E+06 mm ³
W _{z, 6-201} = 3,330E+05 mm ³	W _{z, 6-201} = -1,162E+06 mm ³
W _{z, 7-201} = -8,723E+04 mm ³	W _{z, 7-201} = 1,162E+06 mm ³
W _{z, 8-201} = -8,723E+04 mm ³	W _{z, 8-201} = -1,162E+06 mm ³

TAB. C - SOUHRNNICE KRITICKÝCH BODŮ PRŮZEU PRO POSUDEK NAPĚTÍ							
1-DL		2-DP		3-HL		4-HP	
y_1 (mm)	z_1 (mm)	y_2 (mm)	z_2 (mm)	y_3 (mm)	z_3 (mm)	y_4 (mm)	z_4 (mm)
0.0	0.0	240.0	0.0	108.0	120.0	132.0	120.0
5-SD1		6-SH1		7-SD2		8-SH2	
y_5 (mm)	z_5 (mm)	y_6 (mm)	z_6 (mm)	y_7 (mm)	z_7 (mm)	y_8 (mm)	z_8 (mm)
108.0	12.0	132.0	0.0	108.0	120.0	132.0	120.0

LEGENDA 1:

1-DL	bod 1- dolní vlákná průřezu, levý okraj
2-DP	bod 2- dolní vlákná průřezu, pravý okraj
3-HL	bod 3- horní vlákná průřezu, levý okraj
4-HP	bod 4- horní vlákná průřezu, pravý okraj
5-SD1	bod 5- dolní vlákná stěny 1
6-SH1	bod 6- horní vlákná stěny 1
7-SD2	bod 7- dolní vlákná stěny 2
8-SH2	bod 8- horní vlákná stěny 2
9-T	bod 9- těžiště plného průřezu



LEGENDA 3:

- 0 ... neobsazeno
- 1 ... část průřezu
- 2 ... běžný otvor
- 3 ... atypický otvor

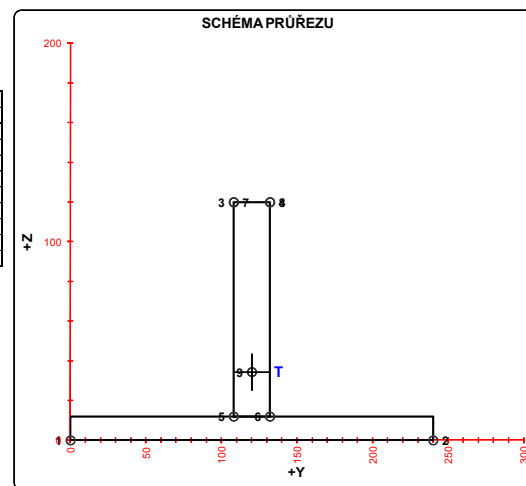
TAB. 4 PRŮŘEZOVÉ CHARAKTERISTIKY OSLABĚNÝCH PRŮŘEZŮ $A_{\text{pr.}}, W_{\text{pr.}} \pm W_{\text{pr.}}$ V KRITICKÝCH BODECH PRŮŘEZŮ PRO POSUDEK NAPĚTÍ						
BOD	Ax. ef. pro N _{pr.} [mm ²]	Ax. ef. pro N _{slab.} [mm ²]	Wy. ef. pro M _{pr.} [mm ³]	Wy. ef. pro M _{slab.} [mm ³]	Wz. ef. pro M _{pr.} [mm ³]	Wz. ef. pro M _{slab.} [mm ³]
1-DL	5,472E+03	5,472E+03	2,169E+05	2,169E+05	1,162E+05	1,162E+05
2-OP	5,472E+03	5,472E+03	2,169E+05	2,169E+05	-1,162E+05	-1,162E+05
3-HL	5,472E+03	5,472E+03	-8,723E+04	-8,723E+04	1,162E+06	1,162E+06
4-HP	5,472E+03	5,472E+03	-8,723E+04	-8,723E+04	-1,162E+06	-1,162E+06
5-SO1	5,472E+03	5,472E+03	3,330E+05	3,330E+05	1,162E+06	1,162E+06
6-SH1	5,472E+03	5,472E+03	3,330E+05	3,330E+05	-1,162E+06	-1,162E+06
7-SO2	5,472E+03	5,472E+03	-8,723E+04	-8,723E+04	1,162E+06	1,162E+06
8-SH2	5,472E+03	5,472E+03	-8,723E+04	-8,723E+04	-1,162E+06	-1,162E+06
9-L1	5,472E+03	5,472E+03				

LEGENDA 2:

b	rozměr proužku (otvoru) ve směru osy y
h	rozměr proužku (otvoru) ve směru osy z
y,z	souřadnice těžiště proužku (otvoru)
N_x	normálová síla- tlak
N_y	normálová síla- tah
M_{x+}	svislý ohybový moment- kladný
M_{x-}	svislý ohybový moment- záporný
M_{y+}	vodorovný ohybový moment- kladný
M_{y-}	vodorovný ohybový moment- záporný
y1.....y8	y-ová souřadnice kritických bodů 1.....8 pro posudek napětí
z1.....z8	z-ová souřadnice kritických bodů 1.....8 pro posudek napětí
y_i	y-ová souřadnice těžiště průřezu
z_i	z-ová souřadnice těžiště průřezu
f_k	mez kluzu oceli

A_x	průřezová plocha- plný průřez	$H =$	120,0 mm
I_y	moment setrvačnosti k ose y- plný průřez	$H_w =$	108,0 mm
I_z	moment setrvačnosti k ose z- plný průřez	$A_{wz} =$	2592,0 mm ²
I_y	moment tuhosti průřezu v prostém kroucení		
I_{ϕ}	výšeový moment setrvačnosti		
$S_{y,9}$	statický moment celého průřezu k těžištové ose y- plný průřez		
$S_{y,5-SD1}$ (7-SD2)	statický moment části průřezu pod bodem 5-SD1 (7-SD2) k těžištové ose y- plný průřez		
$S_{y,6-SH1}$ (8-SH2)	statický moment části průřezu nad bodem 6-SH1 (8-SH2) k těžištové ose y- plný průřez		
$W_{y1..8}$	svislý průřezový modul průřezu v kritických bodech 1..8- plný průřez		
$A_{x,ef}$	průřezová plocha- oslabený průřez		
$W_{y1..8,ef}$	svislý průřezový modul průřezu v kritických bodech 1..8- oslabený průřez		
$W_{z1..8,ef}$	vodorovný průřezový modul průřezu v kritických bodech 1..8- oslabený průřez		
H	výška celého průřezu		
H_w	výška stěny průřezu		
A_{σ}	plocha stěny ve směvu od Vz		

TAB E	t_w	f_y	f_c
BOD	[mm]	[MPa]	[MPa]
1-DL	-	213,6	327,1
2-DP	-	213,6	327,1
3-HL	-	213,6	327,1
4-HP	-	213,6	327,1
5-SD1	24,0	213,6	327,1
6-SH1	24,0	213,6	327,1
7-SD2	24,0	213,6	327,1
8-SH2	24,0	213,6	327,1
9-T	24,0	213,6	327,1



SOUČINITEL KOROZE $k = 1,00$

TAB. B		VÝSLEDNÉ PRŮŘEZOVÉ CHARAKTERISTIKY - PLNY PRŮŘEZ			
č.	b [mm]	h [mm]	y [mm]	z [mm]	poznámky legenda
1	20,0	80,0	90,0	50,0	0
2	180,0	10,0	90,0	5,0	0
3	0,0	0,0	0,0	0,0	0
4	0,0	0,0	0,0	0,0	0
5	0,0	0,0	0,0	0,0	0
6	0,0	0,0	0,0	0,0	0
7	0,0	0,0	0,0	0,0	0
8	0,0	0,0	0,0	0,0	0
9	0,0	0,0	0,0	0,0	0
10	0,0	0,0	0,0	0,0	0
11	0,0	0,0	0,0	0,0	0
12	0,0	0,0	0,0	0,0	0
13	0,0	0,0	0,0	0,0	0
14	0,0	0,0	0,0	0,0	0
15	0,0	0,0	0,0	0,0	0
16	0,0	0,0	0,0	0,0	0
17	0,0	0,0	0,0	0,0	0
18	0,0	0,0	0,0	0,0	0
19	0,0	0,0	0,0	0,0	0
20	0,0	0,0	0,0	0,0	0

$Y_1 =$	90.0 mm	$S_{1,1,501} =$	$3.812E+04 \text{ mm}^3$
$Z_1 =$	26.2 mm	$S_{1,1,502} =$	$3.812E+04 \text{ mm}^3$
$A_1 =$	$3.400E+03 \text{ mm}^2$	$S_{1,1,503} =$	$-7.276E-12 \text{ mm}^3$
$I_1 =$	$2.584E+06 \text{ mm}^4$	$S_{1,1,504} =$	$0.000E+00 \text{ mm}^3$
$I_1 =$	$4.913E+06 \text{ mm}^4$	$k_1 =$	$2.733E+05 \text{ mm}^4$
$S_{1,1,505} =$	$4.073E+04 \text{ mm}^3$	$k_1 =$	$0.000E+00 \text{ mm}^4$
$W_{1,1,501} =$	$9.870E+04 \text{ mm}^3$	$W_{1,1,506} =$	$5.459E+04 \text{ mm}^3$
$W_{1,1,502} =$	$9.870E+04 \text{ mm}^3$	$W_{1,1,507} =$	$-5.459E+04 \text{ mm}^3$
$W_{1,1,503} =$	$-0.448E+04 \text{ mm}^3$	$W_{1,1,508} =$	$4.913E+05 \text{ mm}^3$
$W_{1,1,504} =$	$-0.448E+04 \text{ mm}^3$	$W_{1,1,509} =$	$-4.913E+05 \text{ mm}^3$
$W_{1,1,505} =$	$1.597E+05 \text{ mm}^3$	$W_{1,1,510} =$	$4.913E+05 \text{ mm}^3$
$W_{1,1,506} =$	$1.597E+05 \text{ mm}^3$	$W_{1,1,511} =$	$-4.913E+05 \text{ mm}^3$
$W_{1,1,507} =$	$-0.448E+04 \text{ mm}^3$	$W_{1,1,512} =$	$4.913E+05 \text{ mm}^3$
$W_{1,1,508} =$	$-0.448E+04 \text{ mm}^3$	$W_{1,1,513} =$	$-4.913E+05 \text{ mm}^3$

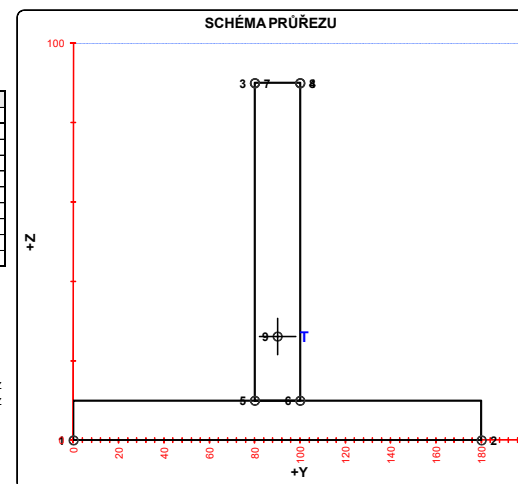
LEGENDA 3:

- 0 ... neobsazeno
- 1 ... část průřezu
- 2 ... běžný otvor
- 3 ... atypický otvor

TAB. 4 PRŮŘEZOVÉ CHARAKTERISTIKY OSLABĚNÝCH PRŮŘEZŮ $A_{s,eq}$, $W_{pl,y}$ a $W_{pl,z}$ V KRITICKÝCH BODECH PRŮŘEZŮ PRO POSUDEK NAPĚTÍ							
BOD	Ax. ef. pro N _y [mm ²]	Ax. ef. pro N _z [mm ²]	Wy. ef. pro My [mm ³]	Wy. ef. pro Mz [mm ³]	Wz. ef. pro My [mm ³]	Wz. ef. pro Mz [mm ³]	
1-DL	3.400E+03	3.400E+03	9.870E+04	9.870E+04	5.459E+04	5.459E+04	
2-DP	3.400E+03	3.400E+03	9.870E+04	9.870E+04	-5.459E+04	-5.459E+04	
3-HL	3.400E+03	3.400E+03	-4.048E+04	-4.048E+04	4.913E+05	4.913E+05	
4-HP	3.400E+03	3.400E+03	-4.048E+04	-4.048E+04	-4.913E+05	-4.913E+05	
5-S01	3.400E+03	3.400E+03	1.597E+05	1.597E+05	4.913E+05	4.913E+05	
6-SH1	3.400E+03	3.400E+03	1.597E+05	1.597E+05	-4.913E+05	-4.913E+05	
7-S02	3.400E+03	3.400E+03	-4.048E+04	-4.048E+04	4.913E+05	4.913E+05	
8-SH2	3.400E+03	3.400E+03	-4.048E+04	-4.048E+04	-4.913E+05	-4.913E+05	
9-L1	3.400E+03	3.400E+03					

TAB E	t_w	f_y	f_c
BOD	[mm]	[MPa]	[MPa]
1-DL	-	213,6	327,1
2-DP	-	213,6	327,1
3-HL	-	213,6	327,1
4-HP	-	213,6	327,1
5-SD1	20,0	213,6	327,1
6-SH1	20,0	213,6	327,1
7-SD2	20,0	213,6	327,1
8-SH2	20,0	213,6	327,1
9-T	20,0	213,6	327,1

A_x	průřezová plocha- plný průřez	$H =$	90,0 mm
I_y	moment setrvačnosti k ose y- plný průřez	$H_w =$	80,0 mm
I_z	moment setrvačnosti k ose z- plný průřez	$A_{wz} =$	1600,0 mm ²
I_y	moment tuhosti průřezu v prostém kroucení		
I_{ϕ}	výšeový moment setrvačnosti		
$S_{y,9}$	statický moment celého průřezu k těžištové ose y- plný průřez		
$S_{y,5-SD1}$ (7-SD2)	statický moment části průřezu pod bodem 5-SD1 (7-SD2) k těžištové ose y- plný průřez		
$S_{y,6-SH1}$ (8-SH2)	statický moment části průřezu nad bodem 6-SH1 (8-SH2) k těžištové ose y- plný průřez		
$W_{y1..8}$	svislý průřezový modul průřezu v kritických bodech 1..8- plný průřez		
$A_{x,ef}$	průřezová plocha- oslabený průřez		
$W_{y1..8,ef}$	svislý průřezový modul průřezu v kritických bodech 1..8- oslabený průřez		
$W_{z1..8,ef}$	vodorovný průřezový modul průřezu v kritických bodech 1..8- oslabený průřez		
H	výška celého průřezu		
H_w	výška stěny průřezu		
A_{σ}	plocha stěny ve směru od Vz		



8.2. Vnitřní síly na prutech

TAB		2,1 1-10		VNITŘNÍ SÍLY Nx, My, Mz, Vz - ZÁKLADNÍ SKUPINY ZATĚŽOVACÍCH STAVŮ																																		
ZATÍŽENÍ:				G1		STÁLÉ																																
POSUDEK		POSUZOVANÝ PRŮŘEZ			VNITŘNÍ SÍLY		CHARAKTERISTICKÉ HODNOTY ZATÍŽENÍ																NÁVRHOVÉ HODNOTY ZATÍŽENÍ															
Č.	OZN.PRUTU	PRŮŘEZ	POPIS	PRUT - X	VELIKOST	JEDNOTKY	N _{max}	ZS č.	N _{min}	ZS č.	M _{max}	ZS č.	M _{min}	ZS č.	M _{max}	ZS č.	M _{min}	ZS č.	V _{max}	ZS č.	V _{min}	ZS č.	N _{max}	ZS č.	N _{min}	ZS č.	M _{max}	ZS č.	M _{min}	ZS č.	M _{max}	ZS č.	M _{min}	ZS č.	V _{max}	ZS č.	V _{min}	ZS č.
1	HN_01	HN_01	HLAVNÍ NOSNÍK 1	PRUT	Nx	[kN]	7,4		-90,7		-90,7		-3,2	7,4		-43,9	7,4	-3,2	9,2		-113,4		-113,4		-4,0	9,2		-54,9	9,2	-4,0								
				i	My	[kNm]	1140,7	G1	1140,7	G1	1140,7	G1	-1839,0	G1	-1046,3	G1	-443,1	G1	-1814,5	G1	-1839,0	G1	1425,9	G1	1425,9	G1	1425,9	G1	-2298,7	G1	-1307,9	G1						
				X [m]	Mz	[kNm]	14,1		0,8		0,8		9,2	14,1		-16,1	-11,0	9,2	17,6		1,0		1,0		11,5	17,6		-20,2	-13,7	11,5								
				j	Vz	[kN]	306,0		123,2		123,2		-284,4	284,4		-236,9	306,0	-284,4	382,5		154,0		154,0		-355,5	356,1		-296,1	382,5	-355,5								
2	HN_02	HN_02	HLAVNÍ NOSNÍK 2	PRUT	Nx	[kN]	-20,8		-90,7		-47,9		-36,1	-47,9		-63,0	-36,1	-55,2	-20,8		-113,4		-59,8		-36,1	-59,8		-78,8	-45,2	-69,1								
				i	My	[kNm]	1632,9	G1	1140,4	G1	1632,9	G1	1015,6	G1	1632,9	G1	1392,4	G1	1015,6	G1	1039,1	G1	1632,9	G1	1425,4	G1	2041,2	G1	1015,6	G1	2041,2	G1						
				X [m]	Mz	[kNm]	6,4		0,8		6,4		1,8	6,4		-8,4	1,8	-2,5	6,4		1,0		8,0		1,8	8,0		-10,5	2,3	-3,1								
				j	Vz	[kN]	127,2		123,2		16,3		127,2	16,3		-82,8	127,2	-130,8	127,2		154,0		20,3		127,2	20,3		-103,5	159,1	-163,5								
3	HN_03A	HN_03A	HLAVNÍ NOSNÍK 3A	PRUT	Nx	[kN]	1226,1		-81,5		1214,8		-5,2	-15,6	-5,2	-5,2	-15,6	1532,6		-101,9		1214,8		-6,6	-19,5	-6,6	-19,5		-6,6	-19,5								
				i	My	[kNm]	-1786,3	G1	-2717,5	G1	-1786,3	G1	-2814,0	G1	-2785,6	G1	-2814,0	G1	-2785,6	G1	-2232,8	G1	-3396,9	G1	-1786,3	G1	-3517,5	G1	-3481,9	G1	-3517,5	G1						
				X [m]	Mz	[kNm]	17,1		10,3		-1,1		-18,4	17,1		-18,4	-18,4	17,1	21,4		12,8		-1,1		-23,0	21,4		-23,0	-23,0	21,4								
				j	Vz	[kN]	357,9		344,2		191,8		357,9	-331,8	357,9	357,9	-331,8	447,4	430,3	191,8	447,4		430,3		191,8	447,4		-414,8	447,4	-414,8								
4	HN_03B	HN_03B	HLAVNÍ NOSNÍK 3B	PRUT	Nx	[kN]	1214,8		-81,5		1169,1		-5,2	-15,6	-5,2	-5,2	-15,6	1518,5		-101,9		1169,1		-6,6	-19,5	-6,6	-19,5		-6,6	-19,5								
				i	My	[kNm]	-1028,5	G1	-2556,9	G1	-1028,5	G1	-2646,3	G1	-2630,2	G1	-2646,3	G1	-2630,2	G1	-1285,6	G1	-3196,1	G1	-1028,5	G1	-3307,9	G1	-3287,8	G1	-3307,9	G1						
				X [m]	Mz	[kNm]	12,8		9,1		0,1		-14,0	12,8		-14,0	-14,0	12,8	16,0		11,3		0,1		-17,5	16,0		-17,5	16,0									
				j	Vz	[kN]	352,3		338,6		191,1		352,3	-326,2	352,3	352,3	-326,2	440,4	423,3	191,1	440,4		423,3		191,1	440,4		-407,8	440,4	-407,8								
5	HN_04	HN_04	HLAVNÍ NOSNÍK 4	PRUT	Nx	[kN]	1169,1		1071,9		1124,5		1085,3	1071,9		1162,2	1169,1	1085,3	1461,4		1071,9		1405,6		1356,7	1339,9		1452,7	1461,4	1356,7								
				i	My	[kNm]	467,7	G1	-924,6	G1	467,7	G1	-1388,8	G1	-924,6	G1	-650,9	G1	-1085,5	G1	-1388,8	G1	584,7	G1	-924,6	G1	584,7	G1	-1736,0	G1	-1155,8	G1						
				X [m]	Mz	[kNm]	9,9		9,9		-2,3		-1,0	9,9		-10,1	0,1	-1,0	12,4		9,9		-2,9		12,4		-12,6	0,1	-1,2									
				j	Vz	[kN]	191,1		149,9		119,8		-187,3	149,9		-171,1	191,1	-187,3	238,9		149,9		149,7		-234,2	187,4		-213,8	238,9	-234,2								
6	HN_05	HN_05	HLAVNÍ NOSNÍK 5	PRUT	Nx	[kN]	1117,2		1047,4		1084,3		1055,2	1047,4		1048,1	1103,9	1052,1	1396,5		1047,4		1355,4		1319,0	1309,2		1310,1	1379,8	1315,1								
				i	My	[kNm]	1263,9	G1	-33,4	G1	1263,9	G1	-33,7	G1	-33,4	G1	720,2	G1	584,1	G1	296,4	G1	1579,9	G1	-33,4	G1	1579,9	G1	-42,2	G1	-41,7	G1						
				X [m]	Mz	[kNm]	7,8		7,8		-1,0		-7,5	7,8		-7,7	2,0	-0,1	9,7		7,8		-1,2		-9,4	9,7		-9,6	2,4	-0,1								
				j	Vz	[kN]	123,7		117,4		-72,2		-116,5	117,4		-82,9	123,7	-129,9	154,6		117,4		-90,3		-145,6	146,8		-103,7	154,6	-162,3								
7	HN_06	HN_06	HLAVNÍ NOSNÍK 6	PRUT	Nx	[kN]	1092,4		1049,3		1092,4		1052,3	1049,3		1056,8	1052,3	1059,8	1365,5		1049,3		1365,5		1052,3	1311,6		1320,9	1315,3	1324,7								
				i	My	[kNm]	1399,5	G1	1243,8	G1	1399,5	G1	1021,8	G1	1243,8	G1	1234,0	G1	1021,8	G1	1035,3	G1	1749,4	G1	1243,8	G1	1749,4	G1	1021,8	G1	1554,7	G1						
				X [m]	Mz	[kNm]	6,5		6,5		-2,7		-0,8	6,5		-6,7	-0,8	0,6	8,2		6,5		-3,4		-0,8	8,2		-8,3	-1,1	0,7								
				j	Vz	[kN]	85,9		43,9		30,9		85,9	43,9		-44,7	85,9	-84,0	107,4		43,9		38,6		85,9	54,9		-55,9	107,4	-105,0								
8	P_1	P_1	PŘÍČNÍK 1	PRUT	Nx	[kN]	-1,4		-1,5		-1,5		-1,5	-1,5		-1,4	-1,5	-1,4	-1,4		-1,9		-1,9		-1,9	-1,9		-1,8	-1,9	-1,8								
				i	My	[kNm]	2,2	G1	-0,2	G1	2,2	G1	-0,2	G1	-0,2	G1	-0,2	G1	-0,2	G1	2,2	G1	-0,2	G1	2,7	G1	-0,2	G1	-0,2	G1	-0,2	G1						
				X [m]	Mz	[kNm]	0,1		0,1		-0,1		0,1	0,1		-0,1	0,1	0,1	0,1		0,1		-0,1		0,1		-0,1	0,1	-0,1									
				j	Vz	[kN]	2,1		2,1		-0,1		2,1	2,1		-2,0	2,1	-2,0	2,1		2,7		-0,1		2,7		-2,5	2,7	-2,5									
9	P_2	P_2	PŘÍČNÍK 2	PRUT	Nx	[kN]	19,1		-23,1		19,1		13,3	-21,7		-21,7	-21,6	-21,7	23,8		-28,9		23,8		13,3	-27,1		-27,1	-27,0	-27,1								
				i	My	[kNm]	21,4	G1	8,9	G1	21,4	G1	7,4	G1	8,5	G1	20,9	G1	13,0	G1	8,5	G1	26,8	G1	11,1	G1	26,8	G1	7,4	G1	10,7	G1						
				X [m]	Mz	[kNm]	2,4		-0,2		-0,1		1,0	2,4		-2,4	0,4	2,4	3,0		-0,3		-0,1		1,0	3,0		-3,1	0,4	3,0								
				j	Vz	[kN]	9,1		-9,9		2,5		-7,2	-10,5		-7,8	9,1	-10,5	11,4		-12,4		3,2		-7,2	-13,1		-9,8	11,4	-13,1								
10	P_3	P_3	PŘÍČNÍK 3	PRUT	Nx	[kN]	18,9		-37,4		2,5		-37,4	-1,9		-5,8	-37,3	-30,3	23,6		-46,7		3,1		-37,4	-2,4		-7,2	-46,7	-37,9								
				i	My	[kNm]	41,3	G1	13,9	G1	41,3	G1	2,0	G1	6,5	G1	18,4	G1	2,6	G1	5,0	G1	51,6	G1	17,4	G1	51,6	G1	2,0	G1	8,1	G1						
				X [m]	Mz	[kNm]	4,3		-1,7		-2,8		2,8	4,3		-6,1	-0,2	3,0	5,4		-2,1		-3,5		2,8	5,4		-7,6	-0,3	3,8								
				j	Vz	[kN]	12,6		-10,6		-11,7		-12,5	-10,2		-7,5	12,6	-13,9	15,8		-13,2		-14,6		-12,5	-12,8		-9,4	15,8	-17,4								
HORNÍ DÍLČÍ SOUČINITEL ZATÍŽENÍ (VČETNĚ ROZPTYLU NOMINÁLNÍCH HODNOT)							γ _{sup}	1,00		1,00		1,00		1,00		1,00		1,00		1,25		1,25		1,25		1,25		1,25		1,25								
DOLNÍ DÍLČÍ SOUČINITEL ZATÍŽENÍ (VČETNĚ ROZPTYLU NOMINÁLNÍCH HODNOT)							γ _{inf}	1,00		1,00		1,00		1,00		1,00		1,00		1,00		1,00		1,00		1,00		1,00		1,00								

TAB		2,1		1-10		VNITŘNÍ SÍLY Nx, My, Mz, Vz - ZÁKLADNÍ SKUPINY ZATĚŽOVACÍCH STAVŮ																																
ZATÍŽENÍ:		G2		STÁLÉ																																		
POSUDEK		POSUZOVANÝ PRŮŘEZ			VNITŘNÍ SÍLY		CHARAKTERISTICKÉ HODNOTY ZATÍŽENÍ																NÁVRHOVÉ HODNOTY ZATÍŽENÍ															
Č.	OZN.PRUTU	PRŮŘEZ	POPIS	PRUT - X	VELIČINA	JEDNOTKY	N _{x,max}	ZS č.	N _{x,min}	ZS č.	M _{y,max}	ZS č.	M _{y,min}	ZS č.	M _{z,max}	ZS č.	M _{z,min}	ZS č.	V _{z,max}	ZS č.	V _{z,min}	ZS č.	N _{x,max}	ZS č.	N _{x,min}	ZS č.	M _{y,max}	ZS č.	M _{y,min}	ZS č.	M _{z,max}	ZS č.	M _{z,min}	ZS č.	V _{z,max}	ZS č.	V _{z,min}	ZS č.
1	HN_01	HN_01	HLAVNÍ NOSNÍK 1	PRUT	Nx	[kN]	-0,6		-2,4		-2,4		-1,2		-0,6		-2,4		-1,4		-1,2		-0,6		-3,0		-3,0		-1,5		-0,8		-3,0		-1,7		-1,5	
				i	My	[kNm]	-51,3	G2	54,1	G2	54,1	G2	-56,9	G2	-25,2	G2	-3,3	G2	-51,4	G2	-56,9	G2	-51,3	G2	67,7	G2	67,7	G2	-71,1	G2	-31,5	G2	-4,2	G2	-64,3	G2	-71,1	G2
				X [m]	Mz	[kNm]	-0,2		0,0		0,0		0,2		0,4		-0,5		0,3		0,2		-0,2		0,0		0,0		0,3		0,5		-0,6		0,4		0,3	
				j	Vz	[kN]	10,1		4,4		4,4		-10,5		10,1		-9,4		10,9		-10,5		10,1		5,6		5,6		-13,1		12,6		-11,8		13,7		-13,1	
2	HN_02	HN_02	HLAVNÍ NOSNÍK 2	PRUT	Nx	[kN]	-1,6		-2,9		-1,9		-1,6		-1,8		-2,9		-2,4		-2,8		-1,6		-3,6		-2,3		-1,6		-2,3		-3,6		-3,0		-3,5	
				i	My	[kNm]	42,5	G2	64,4	G2	70,1	G2	42,5	G2	69,0	G2	64,4	G2	54,1	G2	54,6	G2	42,5	G2	80,5	G2	87,6	G2	42,5	G2	86,2	G2	80,5	G2	67,7	G2	68,3	G2
				X [m]	Mz	[kNm]	0,0		-0,3		0,0		0,0		0,2		-0,3		0,0		0,0		0,0		-0,4		0,0		0,0		0,3		-0,4		0,0		0,0	
				j	Vz	[kN]	4,1		-3,3		0,0		4,1		-0,6		-3,3		4,4		-5,0		4,1		-4,1		0,0		4,1		-0,7		-4,1		5,6		-6,2	
3	HN_03A	HN_03A	HLAVNÍ NOSNÍK 3A	PRUT	Nx	[kN]	27,2		-1,5		26,9		-1,5		-1,5		-0,9		-1,5		-1,5		34,0		-1,9		26,9		-1,9		-1,9		-1,2		-1,9		-1,9	
				i	My	[kNm]	-87,7	G2	-89,4	G2	-60,1	G2	-92,9	G2	-92,9	G2	-85,5	G2	-89,4	G2	-92,9	G2	-109,6	G2	-111,7	G2	-60,1	G2	-116,2	G2	-116,2	G2	-106,8	G2	-111,7	G2	-116,2	G2
				X [m]	Mz	[kNm]	-0,5		0,4		0,1		0,6		0,6		-0,6		0,4		0,6		-0,6		0,6		0,1		0,8		0,8		-0,8		0,6		0,8	
				j	Vz	[kN]	7,6		12,5		5,6		-11,9		-11,9		11,6		12,5		-11,9		9,4		15,6		5,6		-14,9		-14,9		14,5		15,6		-14,9	
4	HN_03B	HN_03B	HLAVNÍ NOSNÍK 3B	PRUT	Nx	[kN]	26,9		-1,5		25,7		-1,5		-1,5		-0,9		-1,5		-1,5		33,6		-1,9		25,7		-1,9		-1,9		-1,2		-1,9		-1,9	
				i	My	[kNm]	-59,9	G2	-83,5	G2	-36,2	G2	-87,3	G2	-87,3	G2	-80,0	G2	-83,5	G2	-87,3	G2	-74,8	G2	-104,4	G2	-36,2	G2	-109,2	G2	-109,2	G2	-100,0	G2	-104,4	G2	-109,2	G2
				X [m]	Mz	[kNm]	0,1		0,4		0,0		0,5		0,5		-0,5		0,4		0,5		0,1		0,5		0,0		0,6		0,6		-0,6		0,5		0,6	
				j	Vz	[kN]	5,6		12,5		5,9		-11,9		-11,9		11,6		12,5		-11,9		7,0		15,6		5,9		-14,9		-14,9		14,5		15,6		-14,9	
5	HN_04	HN_04	HLAVNÍ NOSNÍK 4	PRUT	Nx	[kN]	25,7		24,2		24,2		24,9		24,2		25,2		25,7		24,9		32,1		24,2		30,2		31,1		30,3		31,5		32,1		31,1	
				i	My	[kNm]	-38,3	G2	9,8	G2	9,8	G2	-47,0	G2	-28,3	G2	-21,2	G2	-38,3	G2	-47,0	G2	-47,8	G2	9,8	G2	12,3	G2	-58,7	G2	-35,4	G2	-26,5	G2	-47,8	G2	-58,7	G2
				X [m]	Mz	[kNm]	0,0		0,0		0,0		-0,1		0,3		-0,3		0,0		-0,1		0,0		0,0		0,1		-0,1		0,3		-0,3		0,0		-0,1	
				j	Vz	[kN]	5,9		-2,6		-2,6		-5,9		3,8		-5,7		5,9		-5,9		7,4		-2,6		-3,3		-7,4		4,7		-7,1		7,4		-7,4	
6	HN_05	HN_05	HLAVNÍ NOSNÍK 5	PRUT	Nx	[kN]	24,3		23,3		23,7		23,8		23,3		23,4		24,3		23,5		30,3		23,3		29,6		29,7		29,1		29,3		30,3		29,4	
				i	My	[kNm]	13,6	G2	-2,2	G2	31,2	G2	-3,4	G2	-2,2	G2	18,1	G2	13,6	G2	5,5	G2	16,9	G2	-2,2	G2	39,0	G2	-4,3	G2	-2,7	G2	22,7	G2	16,9	G2	6,9	G2
				X [m]	Mz	[kNm]	0,1		0,2		0,0		-0,2		0,2		-0,2		0,1		0,0		0,1		0,2		-0,1		-0,3		0,3		-0,3		0,1		0,0	
				j	Vz	[kN]	3,2		2,6		-1,9		-2,9		2,6		-1,6		3,2		-3,4		3,9		2,6		-2,3		-3,6		3,3		-2,0		3,9		-4,2	
7	HN_06	HN_06	HLAVNÍ NOSNÍK 6	PRUT	Nx	[kN]	24,2		23,0		24,2		23,1		23,0		23,5		23,1		23,6		30,2		23,0		30,2		23,1		28,8		29,4		28,9		29,5	
				i	My	[kNm]	36,6	G2	31,6	G2	36,6	G2	24,7	G2	31,6	G2	32,2	G2	24,7	G2	25,8	G2	45,8	G2	31,6	G2	45,8	G2	24,7	G2	39,5	G2	40,3	G2	30,9	G2	32,2	G2
				X [m]	Mz	[kNm]	-0,1		0,2		-0,1		0,0		0,2		-0,2		0,0		0,0		-0,1		0,2		-0,1		0,0		0,2		-0,2		0,0		0,0	
				j	Vz	[kN]	0,1		0,4		0,1		2,2		0,4		-0,5		2,2		-2,3		0,1		0,4		0,1		2,2		0,6		-0,7		2,8		-2,9	
8	P_1	P_1	PŘÍČNÍK 1	PRUT	Nx	[kN]	0,0		0,0		0,0		0,0		0,0		0,0		0,0		0,0		0,0		0,0		0,0		0,0		0,0		0,0		0,0		0,0	
				i	My	[kNm]	0,0	G2	0,0	G2	0,1	G2	0,0	G2	0,0	G2	0,0	G2	0,0	G2	0,0	G2	0,0	G2	0,0	G2	0,1	G2	0,0	G2	0,0	G2	0,0	G2	0,0	G2	0,0	G2
				X [m]	Mz	[kNm]	0,0		0,0		0,0		0,0		0,0		0,0		0,0		0,0		0,0		0,0		0,0		0,0		0,0		0,0		0,0		0,0	
				j	Vz	[kN]	0,0		0,0		0,1		0,0		0,0		0,0		0,1		0,0		0,0		0,0		0,0		0,1		0,0		0,0		0,1		0,0	
9	P_2	P_2	PŘÍČNÍK 2	PRUT	Nx	[kN]	1,0		-1,0		-0,9		-0,7		-0,9		-0,9		-1,0		-1,0		1,3		-1,3		-1,2		-0,8		-1,2		-1,2		-1,3		-1,2	
				i	My	[kNm]	0,6	G2	0,7	G2	1,7	G2	-0,5	G2	0,7	G2	1,7	G2	0,7	G2	-0,1	G2	0,8	G2	0,9	G2	2,1	G2	-0,6	G2	0,9	G2	2,1	G2	0,9	G2	-0,1	G2
				X [m]	Mz	[kNm]	0,0		0,0		-0,1		0,0		0,1		-0,1		0,0		0,0		0,0		0,0		-0,1		0,0		0,1		-0,1		0,0		0,0	
				j	Vz	[kN]	0,1		0,8		-0,7		0,0		-0,7		0,8		-0,9		0,8		-0,9		0,2		1,0		-0,9		0,0		-0,9		1,0		-1,1	
10	P_3	P_3	PŘÍČNÍK 3	PRUT	Nx	[kN]	0,2		-1,9		0,0		0,0		0,0		-0,2		-1,9		-1,5		0,2		-2,4		0,0		0,0		0,0		-0,3		-2,3		-1,9	
				i	My	[kNm]	2,8	G2	2,8	G2	3,6	G2	1,0	G2	1,0	G2	1,4	G2	1,1	G2	1,1	G2	3,5	G2	3,6	G2	4,5	G2	1,0	G2	1,2	G2	1,8	G2	1,4	G2	1,3	G2
				X [m]	Mz	[kNm]	0,0		0,0		-0,1		0,2		0,2		-0,2		-0,1		0,1		0,1		-0,1		-0,1		0,2		0,2		-0,2		-0,1		0,1	
				j	Vz	[kN]	-0,1		-1,7		-1,5		-1,4		-1,4		-1,3		1,7		-1,7		-0,2		-2,1		-1,9		-1,4		-1,8		-1,6		2,1		-2,2	
HORNÍ DÍLČÍ SOUČINTEL ZATÍŽENÍ (VČETNĚ ROZPTYLU NOMINÁLNÍCH HODNOT)							γ _{sup}	1,00		1,00		1,00		1,00		1,00		1,00		1,00		1,25		1,25		1,25		1,25		1,25		1,25		1,25		1,25		
DOLNÍ DÍLČÍ SOUČINTEL ZATÍŽENÍ (VČETNĚ ROZPTYLU NOMINÁLNÍCH HODNOT)							γ _{inf}	1,00		1,00		1,00		1,00		1,00		1,00		1,00		1,00		1,00		1,00		1,00		1,00		1,00		1,00		1,00		

TAB		2,1		1-10		VNITŘNÍ SÍLY Nx, My, Mz, Vz - - ZÁKLADNÍ SKUPINY ZATĚŽOVACÍCH STAVŮ																																		
ZATÍŽENÍ:		G3		STÁLÉ																																				
POSUDEK		POSUZOVANÝ PRŮŘEZ			VNITŘNÍ SÍLY		CHARAKTERISTICKÉ HODNOTY ZATÍŽENÍ																NÁVRHOVÉ HODNOTY ZATÍŽENÍ																	
Č.	OZN.PRUTU	PRŮŘEZ	POPIS	PRUT - X	VELIČINA	JEDNOTKY	N _{x,max}	ZS č.	N _{x,min}	ZS č.	M _{y,max}	ZS č.	M _{y,min}	ZS č.	M _{z,max}	ZS č.	M _{z,min}	ZS č.	V _{z,max}	ZS č.	V _{z,min}	ZS č.	N _{x,max}	ZS č.	N _{x,min}	ZS č.	M _{y,max}	ZS č.	M _{y,min}	ZS č.	M _{z,max}	ZS č.	M _{z,min}	ZS č.	V _{z,max}	ZS č.	V _{z,min}	ZS č.		
1	HN_01	HN_01	HLAVNÍ NOSNÍK 1	PRUT	Nx	[kN]	-0,2		-7,1		-7,1		-0,6		-0,2		-6,5		-0,2		-0,6		-0,2		-8,8		-8,8		-0,7		-0,3		-8,1		-0,3		-0,7			
				i	My	[kNm]	-216,1	G3	201,7	G3	201,7	G3	-216,6	G3	-105,8	G3	-18,2	G3	-216,1	G3	-216,6	G3	-216,1	G3	252,1	G3	252,1	G3	252,1	G3	-270,8	G3	-132,2	G3	-22,7	G3	-270,1	G3	-270,8	G3
				X [m]	Mz	[kNm]	-1,0		0,1		0,1		0,8		1,4		-2,0		-1,0		0,8		-1,0		0,2		0,2		1,0		1,8		-2,4		-1,2		1,0			
				j	Vz	[kN]	45,0		16,2		16,2		-41,6		39,8		-32,3		45,0		-41,6		45,0		20,2		20,2		-52,0		49,8		-40,3		56,3		-52,0			
2	HN_02	HN_02	HLAVNÍ NOSNÍK 2	PRUT	Nx	[kN]	-3,0		-7,6		-5,3		-7,6		-5,3		-7,5		-6,4		-7,6		-3,0		-9,5		-6,6		-7,6		-6,6		-9,3		-8,0		-9,5			
				i	My	[kNm]	254,5	G3	195,9	G3	263,5	G3	186,4	G3	263,5	G3	232,6	G3	189,4	G3	186,4	G3	254,5	G3	244,9	G3	329,3	G3	186,4	G3	329,3	G3	290,7	G3	236,7	G3	233,0	G3		
				X [m]	Mz	[kNm]	0,2		-0,1		0,8		-0,2		0,8		-0,8		0,2		-0,2		0,2		-0,1		1,1		-0,2		1,1		-1,0		0,2		-0,2			
				j	Vz	[kN]	-3,3		-15,2		2,7		-16,4		2,7		-9,2		16,8		-16,4		-3,3		-19,1		3,4		-16,4		3,4		-11,5		20,9		-20,6			
3	HN_03A	HN_03A	HLAVNÍ NOSNÍK 3A	PRUT	Nx	[kN]	109,1		-3,1		108,0		-1,4		-1,8		-1,4		-1,4		-1,8		136,4		-3,8		108,0		-1,8		-2,2		-1,8		-1,8		-2,2			
				i	My	[kNm]	-341,3	G3	-349,0	G3	-232,6	G3	-362,4	G3	-354,8	G3	-362,4	G3	-362,4	G3	-354,8	G3	-426,6	G3	-436,2	G3	-232,6	G3	-453,0	G3	-443,6	G3	-453,0	G3	-453,0	G3	-443,6	G3		
				X [m]	Mz	[kNm]	-1,7		1,2		0,0		-1,9		1,8		-1,9		-1,9		1,8		-2,1		1,5		0,0		-2,4		2,2		-2,4		-2,4		2,2			
				j	Vz	[kN]	33,3		51,0		25,0		52,4		-48,5		52,4		52,4		-48,5		41,7		63,7		25,0		65,5		-60,6		65,5		65,5		-60,6			
4	HN_03B	HN_03B	HLAVNÍ NOSNÍK 3B	PRUT	Nx	[kN]	108,0		-3,1		103,0		-1,4		-1,8		-1,4		-1,4		-1,8		135,0		-3,8		103,0		-1,8		-2,2		-1,8		-1,8		-2,2			
				i	My	[kNm]	-231,6	G3	-325,1	G3	-137,8	G3	-337,9	G3	-332,2	G3	-337,9	G3	-337,9	G3	-332,2	G3	-289,5	G3	-406,4	G3	-137,8	G3	-422,3	G3	-415,2	G3	-422,3	G3	-422,3	G3	-415,2	G3		
				X [m]	Mz	[kNm]	0,0		1,1		0,0		-1,5		1,3		-1,5		-1,5		1,3		0,0		1,4		0,0		-1,8		1,6		-1,8		-1,8		1,6			
				j	Vz	[kN]	25,0		50,0		24,6		51,4		-47,5		51,4		51,4		-47,5		31,3		62,5		24,6		64,3		-59,3		64,3		64,3		-59,3			
5	HN_04	HN_04	HLAVNÍ NOSNÍK 4	PRUT	Nx	[kN]	103,0		98,3		98,7		100,1		99,4		102,6		103,0		100,1		128,8		98,3		123,4		125,1		124,3		128,3		128,8		125,1			
				i	My	[kNm]	-145,5	G3	38,2	G3	38,7	G3	-182,5	G3	-127,2	G3	-92,5	G3	-145,5	G3	-182,5	G3	-181,9	G3	38,2	G3	48,4	G3	-228,2	G3	-158,9	G3	-115,6	G3	-181,9	G3	-228,2	G3		
				X [m]	Mz	[kNm]	0,0		0,1		-0,1		-0,1		1,0		-1,1		0,0		-0,1		0,1		0,1		-0,2		-0,2		1,3		-1,4		0,1		-0,2			
				j	Vz	[kN]	24,6		-13,8		13,7		-24,6		19,9		-19,8		24,6		-24,6		30,8		-13,8		17,1		-30,8		24,8		-24,7		30,8		-30,8			
6	HN_05	HN_05	HLAVNÍ NOSNÍK 5	PRUT	Nx	[kN]	98,3		93,9		95,8		95,2		95,2		95,6		97,0		94,2		122,9		93,9		119,8		119,0		119,0		119,4		121,2		117,8			
				i	My	[kNm]	53,8	G3	69,7	G3	127,9	G3	-14,9	G3	-14,9	G3	-13,4	G3	52,7	G3	19,6	G3	67,2	G3	69,7	G3	159,8	G3	-18,6	G3	-18,6	G3	-16,7	G3	65,9	G3	24,5	G3		
				X [m]	Mz	[kNm]	-0,2		-0,8		-0,1		0,8		0,8		-0,8		0,2		0,0		-0,3		-0,8		-0,1		1,0		1,0		-1,0		0,3		0,0			
				j	Vz	[kN]	-7,3		-10,0		-9,4		14,2		14,2		-13,9		16,2		-17,2		-9,1		-10,0		-11,8		17,8		17,8		-17,3		20,3		-21,5			
7	HN_06	HN_06	HLAVNÍ NOSNÍK 6	PRUT	Nx	[kN]	96,3		93,6		95,8		93,9		93,6		94,0		93,9		94,3		120,4		93,6		119,8		117,1		117,5		117,4		117,4		117,8			
				i	My	[kNm]	142,9	G3	126,4	G3	143,3	G3	99,9	G3	126,4	G3	125,1	G3	99,9	G3	102,0	G3	178,6	G3	126,4	G3	179,1	G3	99,9	G3	157,9	G3	156,4	G3	124,8	G3	127,5	G3		
				X [m]	Mz	[kNm]	-0,2		0,6		0,3		-0,1		0,6		-0,6		-0,1		0,0		-0,3		0,6		0,4		-0,1		0,8		-0,8		-0,1		0,0			
				j	Vz	[kN]	3,9		5,8		-3,8		11,7		5,8		-5,8		11,7		-11,1		4,9		5,8		-4,8		11,7		7,2		-7,2		14,6		-13,9			
8	P_1	P_1	PŘÍČNÍK 1	PRUT	Nx	[kN]	-0,2		-0,2		-0,2		-0,2		-0,2		-0,2		-0,2		-0,2		-0,2		-0,3		-0,3		-0,3		-0,3		-0,3		-0,3		-0,3			
				i	My	[kNm]	0,1	G3	0,0	G3	0,2	G3	0,0	G3	0,0	G3	0,0	G3	0,0	G3	0,1	G3	0,1	G3	-0,1	G3	0,3	G3	-0,1	G3	-0,1	G3	-0,1	G3	-0,1	G3	0,1	G3		
				X [m]	Mz	[kNm]	0,0		0,0		0,0		0,0		0,0		0,0		0,0		0,0		0,0		0,0		0,0		0,0		0,0		0,0		0,0		0,0			
				j	Vz	[kN]	-0,1		0,1		-0,1		0,1		0,1		-0,1		0,1		-0,1		-0,1		0,1		-0,1		0,1		0,1		-0,1		0,1		-0,1			
9	P_2	P_2	PŘÍČNÍK 2	PRUT	Nx	[kN]	3,8		-2,4		3,8		-2,4		-2,3		-2,3		-2,3		-2,4		4,8		-3,1		4,8		-3,1		-2,9		-2,9		-2,8		-3,1			
				i	My	[kNm]	1,0	G3	-0,3	G3	1,0	G3	-0,3	G3	-0,3	G3	0,2	G3	-0,2	G3	-0,3	G3	1,2	G3	-0,4	G3	1,2	G3	-0,4	G3	0,3	G3	-0,2	G3	-0,4	G3				
				X [m]	Mz	[kNm]	0,2		0,1		0,2		0,1		0,3		-0,3		0,0		0,1		0,2		0,1		0,2		0,1		0,3		-0,4		0,0		0,1			
				j	Vz	[kN]	0,0		-0,5		0,0		-0,5		-0,4		-0,4		0,4		-0,5		-0,1		-0,6		-0,6		-0,1		-0,6		-0,5		-0,5		0,5		-0,6	
10	P_3	P_3	PŘÍČNÍK 3	PRUT	Nx	[kN]	1,4		-5,1		0,4		-5,1		-0,5		-0,8		-0,8		0,4		1,7		-6,4		0,5		-6,4		-0,6		-1,1		-1,1		0,5			
				i	My	[kNm]	0,2	G3	-1,7	G3	2,2	G3	-1,8	G3	-0,7	G3	0,7	G3	0,7	G3	2,2	G3	0,3	G3	-2,2	G3	2,7	G3	-2,2	G3	-0,8	G3	0,9	G3	0,9	G3	2,7	G3		
				X [m]	Mz	[kNm]	0,2		-0,2		-0,2		0,3		0,4		-0,6		-0,6		-0,2		0,2		-0,3		-0,3		0,4		0,6		-0,7		-0,7		-0,3			
				j	Vz	[kN]	-0,2		-0,1		-0,3		-0,1		0,4		0,7		0,7		-0,3		-0,2		-0,1		-0,3		-0,1		0,5		0,9		0,9		-0,3			
HORNÍ DÍLČÍ SOUČINITEL ZATÍŽENÍ (VČETNÉ ROZPTYLU NOMINÁLNÍCH HODNOT)							γ _{sup}	1,00	1,00	1,00	1,00	1,00	1,00	1,00	1,00	1,00	1,00	1,00	1,00	1,25	1,25	1,25	1,25	1,25	1,25	1,25	1,25	1,25	1,25	1,25	1,25	1,25	1,25	1,25	1,25	1,25	1,25	1,25		
DOLNÍ DÍLČÍ SOUČINITEL ZATÍŽENÍ (VČETNÉ ROZPTYLU NOMINÁLNÍCH HODNOT)							γ _{inf}	1,00	1,00	1,00	1,00	1,00	1,00	1,00	1,00	1,00	1,00	1,00	1,00	1,00	1,00	1,00	1,00	1,00	1,00	1,00	1,00	1,00	1,00	1,00	1,00	1,00	1,00	1,00	1,00	1,00	1,00	1,00	1,00	

TAB 2,1 1-10 VNITŘNÍ SÍLY N_x , M_y , M_z , V_z - ZÁKLADNÍ SKUPINY ZATĚŽOVACÍCH STAVŮ

ZATÍŽENÍ: G **STÁLÉ A NAHODILÉ DLOUHODOBÉ ZATÍŽENÍ - ZS01 - ZS05**

POSUDEK	POSUZOVANÝ PRŮŘEZ			VNITŘNÍ SÍLY		CHARAKTERISTICKÉ HODNOTY JEDNOTLIVÝCH ZATÍŽENÍ					NÁVRHOVÉ HODNOTY ZATÍŽENÍ - SUMA STÁLÉ A DLOUHODOBÉ NAHODILÉ																	
	Č.	OZN.PRUTU	PRŮŘEZ	POPIS	PRUT - X	VELIČINA	JEDNOTKY	ZS01	ZS02	ZS03	ZS04	ZS05	N _{x,max}	ZS č.	N _{x,min}	ZS č.	M _{y,max}	ZS č.	M _{y,min}	ZS č.	M _{z,max}	ZS č.	M _{z,min}	ZS č.	V _{z,max}	ZS č.	V _{z,min}	ZS č.
1	HN_01	HN_01	HLAVNÍ NOSNÍK 1	PRUT i X [m] j	N _x	[kN]	-90,7	-2,4	-7,1	0,0	0,0	8,4	G	-125,2	G	-125,2	G	-6,2	G	8,2	G	-66,1	G	7,3	G	-6,2	G	
					M _y	[kNm]	-1839,0	-56,9	-216,6	0,0	0,0	1158,5		1745,7		1745,7		-2640,6		-1471,6		-580,8		-2602,5		-2640,6		
					M _z	[kNm]	-16,1	-0,5	-2,0	0,0	0,0	16,5		1,2		1,2		12,7		19,9		-23,2		-14,6		12,7		
					V _z	[kN]	306,0	10,9	45,0	0,0	0,0	437,6		179,8		179,8		-420,6		418,4		-348,2		452,4		-420,6		
2	HN_02	HN_02	HLAVNÍ NOSNÍK 2	PRUT i X [m] j	N _x	[kN]	-90,7	-2,9	-7,6	0,0	0,0	-25,3	G	-126,5	G	-68,8	G	-45,3	G	-68,7	G	-91,7	G	-56,2	G	-82,1	G	
					M _y	[kNm]	1632,9	70,1	263,5	0,0	0,0	1930,0		1750,8		2458,2		1244,5		2456,8		2111,7		1573,8		1600,2		
					M _z	[kNm]	-8,4	-0,3	0,8	0,0	0,0	6,6		0,5		9,1		1,6		9,3		-11,9		2,5		-3,4		
					V _z	[kN]	-130,8	-5,0	16,8	0,0	0,0	128,0		130,8		23,7		114,9		23,0		-119,1		185,5		-190,2		
3	HN_03A	HN_03A	HLAVNÍ NOSNÍK 3A	PRUT i X [m] j	N _x	[kN]	1226,1	27,2	109,1	0,0	0,0	1703,0	G	-107,6	G	1349,7	G	-10,2	G	-23,6	G	-9,5	G	-10,2	G	-23,6	G	
					M _y	[kNm]	-2814,0	-92,9	-362,4	0,0	0,0	-2769,1		-3944,8		-2078,9		-4086,7		-4041,7		-4077,3		-4082,2		-4041,7		
					M _z	[kNm]	-18,4	-0,6	-1,9	0,0	0,0	18,7		14,9		-1,1		-24,6		24,4		-26,2		-24,9		24,4		
					V _z	[kN]	357,9	12,5	52,4	0,0	0,0	498,5		509,6		222,4		498,0		-490,2		527,4		528,5		-490,2		
4	HN_03B	HN_03B	HLAVNÍ NOSNÍK 3B	PRUT i X [m] j	N _x	[kN]	1214,8	26,9	108,0	0,0	0,0	1687,2	G	-107,6	G	1297,8	G	-10,2	G	-23,6	G	-9,5	G	-10,2	G	-23,6	G	
					M _y	[kNm]	-2646,3	-87,3	-337,9	0,0	0,0	-1650,0		-3706,9		-1202,5		-3839,3		-3812,2		-3830,2		-3834,6		-3812,2		
					M _z	[kNm]	-14,0	-0,5	-1,5	0,0	0,0	16,1		13,2		0,2		-18,7		18,2		-19,9		-18,8		18,2		
					V _z	[kN]	352,3	12,5	51,4	0,0	0,0	478,6		501,3		221,7		489,7		-482,0		519,1		520,2		-482,0		
5	HN_04	HN_04	HLAVNÍ NOSNÍK 4	PRUT i X [m] j	N _x	[kN]	1169,1	25,7	103,0	0,0	0,0	1622,3	G	1194,4	G	1559,3	G	1512,9	G	1494,5	G	1612,5	G	1622,3	G	1512,9	G	
					M _y	[kNm]	-1388,8	-47,0	-182,5	0,0	0,0	354,9		-876,6		645,3		-2022,9		-1350,1		-955,7		-1586,6		-2022,9		
					M _z	[kNm]	-10,1	0,3	-1,1	0,0	0,0	12,5		10,1		-3,0		-1,5		14,0		-14,3		0,2		-1,5		
					V _z	[kN]	191,1	5,9	24,6	0,0	0,0	277,1		133,5		163,6		-272,3		217,0		-245,6		277,1		-272,3		
6	HN_05	HN_05	HLAVNÍ NOSNÍK 5	PRUT i X [m] j	N _x	[kN]	1117,2	24,3	98,3	0,0	0,0	1549,8	G	1164,6	G	1504,8	G	1467,8	G	1457,4	G	1458,8	G	1531,4	G	1462,3	G	
					M _y	[kNm]	1263,9	31,2	127,9	0,0	0,0	1664,1		34,2		1778,7		-65,0		-63,0		906,2		812,9		401,9		
					M _z	[kNm]	7,8	0,2	0,8	0,0	0,0	9,5		7,3		-1,4		-8,6		11,1		-10,9		2,8		-0,1		
					V _z	[kN]	-129,9	-3,4	-17,2	0,0	0,0	149,4		110,1		-104,4		-131,4		167,9		-123,0		178,8		-188,0		
7	HN_06	HN_06	HLAVNÍ NOSNÍK 6	PRUT i X [m] j	N _x	[kN]	1092,4	24,2	96,3	0,0	0,0	1516,1	G	1165,9	G	1515,4	G	1169,3	G	1457,4	G	1467,8	G	1461,6	G	1472,0	G	
					M _y	[kNm]	1399,5	36,6	143,3	0,0	0,0	1973,8		1401,7		1974,3		1146,4		1752,2		1739,2		1433,0		1453,8		
					M _z	[kNm]	-6,7	-0,2	0,6	0,0	0,0	7,8		7,4		-3,1		-0,9		9,2		-9,4		-1,2		0,8		
					V _z	[kN]	85,9	-2,3	11,7	0,0	0,0	112,4		50,2		33,9		99,8		62,7		-63,8		124,8		-121,8		
8	P_1	P_1	PŘÍČNÍK 1	PRUT i X [m] j	N _x	[kN]	-1,5	0,0	-0,2	0,0	0,0	-1,7	G	-2,2	G	-2,2	G	-2,2	G	-2,2	G	-2,1	G	-2,2	G	-2,1	G	
					M _y	[kNm]	2,2	0,1	0,2	0,0	0,0	2,2		-0,3		3,1		-0,3		-0,3		-0,3		-0,3		-0,2		
					M _z	[kNm]	-0,1	0,0	0,0	0,0	0,0	0,1		0,2		-0,1		0,2		0,2		-0,2		0,2		-0,2		
					V _z	[kN]	2,1	0,1	-0,1	0,0	0,0	2,0		2,8		-0,2		2,8		2,8		-2,6		2,9		-2,6		
9	P_2	P_2	PŘÍČNÍK 2	PRUT i X [m] j	N _x	[kN]	-23,1	1,0	3,8	0,0	0,0	29,9	G	-33,2	G	27,4	G	9,5	G	-31,2	G	-31,2	G	-31,1	G	-31,4	G	
					M _y	[kNm]	21,4	1,7	1,0	0,0	0,0	28,8		11,7		30,1		6,4		11,2		28,5		17,0		10,2		
					M _z	[kNm]	-2,4	0,1	-0,3	0,0	0,0	3,2		-0,2		0,0		1,1		3,4		-3,5		0,4		3,0		
					V _z	[kN]	-10,5	-0,9	-0,5	0,0	0,0	11,6		-11,9		2,2		-7,8		-14,5		-11,2		12,9		-14,8		
10	P_3	P_3	PŘÍČNÍK 3	PRUT i X [m] j	N _x	[kN]	-37,4	-1,9	-5,1	0,0	0,0	25,6	G	-55,5	G	3,6	G	-43,8	G	-3,0	G	-8,5	G	-50,1	G	-39,3	G	
					M _y	[kNm]	41,3	3,6	2,2	0,0	0,0	55,4		18,8		58,8		0,7		8,5		25,7		5,5		10,3		
					M _z	[kNm]	-6,1	-0,2	-0,6	0,0	0,0	5,7		-2,4		-3,9		3,3		6,2		-8,5		-1,1		3,6		
					V _z	[kN]	-13,9	-1,7	0,7	0,0	0,0	15,5		-15,4		-16,8		-14,0		-14,1		-10,1		18,8		-19,9		
HORNÍ DÍLČÍ SOUČINITEL ZATÍŽENÍ (VČETNĚ ROZPTYLU NOMINÁLNÍCH HODNOT)						γ _{sup}	1,25	1,25	1,25	1,25	1,25																	
DOLNÍ DÍLČÍ SOUČINITEL ZATÍŽENÍ (VČETNĚ ROZPTYLU NOMINÁLNÍCH HODNOT)						γ _{inf}	1,00	1,00	1,00	1,00	1,00																	

TAB 2,2 1-10 VNITŘNÍ SÍLY Nx, My, Mz, Vz - ZÁKLADNÍ SKUPINY ZATĚŽOVACÍCH STAVŮ

ZATÍŽENÍ: P UIC 71

POSUDEK				POSUZOVANÝ PRŮŘEZ			VNITŘNÍ SÍLY		CHARAKTERISTICKÉ HODNOTY ZATÍŽENÍ																NÁVRHOVÉ HODNOTY ZATÍŽENÍ																8	Ld
Č.	OZN.PRUTU	PRŮŘEZ	POPIS	PRUT - X	VELIČINA	JEDNOTKY	N _{max}	ZS č.	N _{min}	ZS č.	M _{y,max}	ZS č.	M _{y,min}	ZS č.	M _{z,max}	ZS č.	M _{z,min}	ZS č.	V _{z,max}	ZS č.	V _{z,min}	ZS č.	N _{max}	ZS č.	N _{min}	ZS č.	M _{y,max}	ZS č.	M _{y,min}	ZS č.	M _{z,max}	ZS č.	M _{z,min}	ZS č.	V _{z,max}	ZS č.	V _{z,min}	ZS č.	[-]	[m]		
1	HN_01	HN_01	HLAVNÍ NOSNÍK 1	PRUT	Nx	[kN]	243,2		-397,8		-88,8		149,4		-53,7		-257,8		26,0		33,7		316,2		-517,1		-115,4		194,3		-69,8		-335,2		33,8		43,8		1,05	53,950		
				i	My	[kNm]	-3803,6	P	-2460,8	P	8584,9	P	-6280,4	P	-2424,2	P	41,2	P	-5179,7	P	-5562,3	P	-4944,7	P	-3199,0	P	11160,4	P	-8164,5	P	-3151,4	P	53,6	P	-6733,7	P	-7231,0	P	1,05	53,950		
				X [m]	Mz	[kNm]	-20,1		21,3		9,4		6,7		56,4		-63,3		13,1		8,9		-26,1		27,8		12,2		8,7		73,3		-82,3		17,0		11,6		1,05	53,950		
				j	Vz	[kN]	134,2		87,3		407,9		-819,5		720,0		-867,2		1180,0		-1131,1		174,5		113,4		530,2		-1065,3		936,0		-1127,3		1534,0		-1470,5		1,05	53,950		
					Nx	[kN]	165,6		-470,5		-307,1		165,6		-113,7		-280,3		-138,4		-82,4		215,3		-611,6		-399,2		215,3		-147,9		-364,4		-179,9		-107,2		1,05	53,950		
2	HN_02	HN_02	HLAVNÍ NOSNÍK 2	i	My	[kNm]	-2645,4	P	8141,5	P	9727,5	P	-2645,4	P	4985,6	P	4876,0	P	3896,4	P	3737,3	P	-3439,0	P	10583,9	P	12645,7	P	-3439,0	P	6481,3	P	6338,8	P	4805,3	P	4858,4	P	1,05	53,950		
				X [m]	Mz	[kNm]	-7,9		13,5		17,7		-7,9		52,5		-59,2		6,0		4,9		-10,2		17,5		23,0		-10,2		68,2		-76,9		7,8		6,4		1,05	53,950		
				j	Vz	[kN]	-118,7		-325,0		168,5		-118,7		-165,9		-54,4		647,1		-690,6		-154,3		-422,5		219,1		-154,3		-215,7		-70,7		841,2		-897,7		1,05	53,950		
				PRUT	Nx	[kN]	3175,3		-411,7		484,7		-13,0		-210,9		-106,8		5,9		-27,2		4127,9		-535,2		630,1		-16,9		-274,2		-138,8		7,6		-35,3		1,05	53,950		
				i	My	[kNm]	-3125,6	P	-2932,7	P	883,5	P	-9614,6	P	-7102,6	P	-6637,0	P	-8850,9	P	-9055,3	P	-4063,2	P	-3812,6	P	1148,6	P	#####	P	-9233,4	P	-8628,1	P	#####	P	#####	P	1,05	53,950		
3	HN_03A	HN_03A	HLAVNÍ NOSNÍK 3A	X [m]	Mz	[kNm]	-35,8		19,9		20,9		48,6		86,1		-83,9		25,3		34,7		-46,5		25,8		27,1		63,2		111,9		-109,0		32,9		45,1		1,05	53,950		
				j	Vz	[kN]	360,9		187,0		113,6		-1197,4		-929,1		901,6		1316,8		-1256,6		469,2		243,1		147,7		-1556,7		-1207,8		1711,8		-1633,6		1,05	53,950				
				PRUT	Nx	[kN]	3150,3		-411,7		267,1		-12,7		-225,8		-100,8		5,9		-27,2		4095,4		-535,2		347,2		-16,5		-293,5		-131,1		7,6		-35,3		1,05	53,950		
				i	My	[kNm]	-1775,1	P	-2847,9	P	2575,4	P	-9049,8	P	-6532,6	P	-6184,2	P	-8228,6	P	-8461,8	P	-2307,6	P	-3702,3	P	3348,0	P	#####	P	-8492,3	P	-8039,4	P	#####	P	#####	P	1,05	53,950		
				X [m]	Mz	[kNm]	-6,2		16,8		12,5		37,0		65,2		-63,3		25,9		27,4		-8,1		21,8		16,3		48,1		84,7		-82,3		33,7		35,7		1,05	53,950		
4	HN_03B	HN_03B	HLAVNÍ NOSNÍK 3B	j	Vz	[kN]	201,4		187,0		389,0		-1193,5		-959,3		922,7		1316,8		-1256,6		261,9		243,1		505,8		-1551,6		-1247,1		1199,5		1711,8		-1633,6		1,05	53,950		
				PRUT	Nx	[kN]	3052,0		-656,0		976,2		2193,7		1760,5		1807,4		891,2		696,1		3967,6		-852,8		1269,1		2851,8		2288,7		2349,6		1158,6		904,9		1,05	53,950		
				i	My	[kNm]	-56,8	P	-1031,3	P	5901,8	P	-6936,4	P	-92,8	P	129,7	P	-2002,4	P	-2873,2	P	-73,9	P	-1340,7	P	7672,3	P	-7717,3	P	-120,6	P	168,6	P	-2603,2	P	-3735,2	P	1,05	53,950		
				X [m]	Mz	[kNm]	-15,0		-7,3		1,8		-1,1		52,6		-53,3		0,5		-8,9		-19,5		-9,5		2,3		-1,4		68,4		-69,2		0,7		-11,6		1,05	53,950		
				j	Vz	[kN]	-286,3		-162,5		16,2		-219,1		417,1		-407,7		821,0		-850,8		-372,2		-211,2		21,0		-284,9		542,2		-530,0		1067,3		-1106,0		1,05	53,950		
5	HN_04	HN_04	HLAVNÍ NOSNÍK 4	PRUT	Nx	[kN]	2955,3		-622,5		1340,9		1871,0		1947,2		2176,3		2013,6		1686,5		3941,9		-809,2		1743,1		2432,3		2531,4		2829,2		2617,7		2192,5		1,05	53,950		
				i	My	[kNm]	1195,6	P	449,3	P	6076,0	P	-4820,7	P	-398,8	P	1774,4	P	-1620,4	P	-805,0	P	1554,3	P	584,1	P	7898,8	P	-6266,9	P	-518,5	P	2306,7	P	-2106,6	P	-1046,6	P	1,05	53,950		
				X [m]	Mz	[kNm]	-10,0		-1,8		-5,5		-6,7		36,3		-32,3		-7,6		-6,5		-13,0		-2,3		-7,2		-8,7		47,2		-42,0		-9,8		-8,5		1,05	53,950		
				j	Vz	[kN]	-115,4		-45,9		-187,5		-137,8		178,5		-213,7		582,4		-577,8		-150,0		-59,7		-243,7		-179,1		232,1		-277,8		757,2		-751,2		1,05	53,950		
					Nx	[kN]	2876,5		-622,5		1641,4		1221,0		2218,6		2179,5		1890,9		1896,4		3739,4		-809,2		2133,8		1587,3		2884,2		2833,4		2458,1		2465,4		1,05	53,950		
6	HN_05	HN_05	HLAVNÍ NOSNÍK 5	PRUT	Nx	[kN]	2754,2		598,2		5369,4		-2687,9		2099,6		2380,1		-300,8		-174,1		3580,4		777,7		6980,2		-3494,2		2729,5		3094,1		-391,1		-226,3		1,05	53,950		
				i	My	[kNm]	-9,3		-7,2		1,8		25,8		-26,3		1,3		-1,5		-12,1		1,3		-9,4		2,4		33,5		-34,1		1,7		-1,9		1,05	53,950				
				X [m]	Mz	[kNm]	58,4		-45,9		-228,8		277,7		194,5		-181,4		561,9		-571,6		75,9		-59,7		-297,5		361,1		252,8		-235,8		730,5		-743,1		1,05	53,950		
				j	Vz	[kN]	5,1		-10,7		-7,5		1,1		-9,8		-8,0		-7,6		-4,9		6,6		-14,0		-9,7		1,5		-12,8		-10,4		-9,9		-6,4		2,00	6,900		
					Nx	[kN]	-7,5	P	-1,5	P	64,2	P	-36,8	P	-1,0	P	-0,8	P	-0,4	P	-0,2	P	-9,8	P	-2,0	P	83,4	P	-47,8	P	-1,2	P	-1,1	P	-0,6	P	-0,2	P	2,00	6,900		
7	P_1	P_1	PŘÍČNÍK 1	X [m]	Mz	[kNm]	0,2		0,7		-0,1		0,4		0,8		-0,8		0,8		-0,6		0,3		0,9		-0,2		0,5		1,1		-1,0		1,0		-0,8		2,00	6,900		
				j	Vz	[kN]	9,0		13,2		28,0		15,9		24,9		-17,2		28,0		-20,9		11,8		17,2		36,3		20,6		32,4		-22,3		36,4		-27,2		2,00	6,900		
				PRUT	Nx	[kN]	432,3		-279,3		-131,9		-279,3		-106,7		-58,3		-194,0		-209,6		561,9		-363,0		-171,5		-363,0		-138,8		-75,7		-252,3		-272,5		2,00	3,600		
				i	My	[kNm]	218,0	P	-351,4	P	754,8	P	-351,4	P	16,8	P	68,4	P	0,9	P	-72,8	P	283,3	P	-456,8	P	981,2	P	-456,8	P	21,8	P	88,9	P	1,1	P	-94,6	P	2,00	3,600		
				X [m]	Mz	[kNm]	0,3		7,8		-7,9		7,8		19,8		-17,1		7,4		-7,4		0,3		10,1		-10,3		10,1		25,8		-22,2		9,6		-9,6		2,00	3,600		
8	P_2	P_2	PŘÍČNÍK 2	j	Vz	[kN]	29,6		-41,7		-335,1		-41,7		-23,1		-30,6		430,9		-396,5		38,5		-54,3		-435,6		-54,3		-30,1		-39,8		560,2		-515,4		2,00	3,600		
				PRUT	Nx	[kN]	166,4		-313,0		9,7		-137,4		-19,0		-15,8		-219,0		-175,2		216,4		-406,9		12,6		-178,7		-24,7		-20,6		-284,7		-227,8		1,37	8,800		
				i	My	[kNm]	210,4	P	476,4	P	739,0	P	-62,2	P	97,1	P	132,2	P	241,3	P	212,9	P	273,5	P	619,3	P	960,7	P	-80,8	P	126,2	P	171,9	P	313,7	P	276,8	P	1,37	8,800		
				X [m]	Mz	[kNm]	2,6		-1,7		0,6		5,0		22,2		-23,5		-4,0		6,6		3,4		-2,2		0,8		6,5		28,8		-30,5		-5,2		8,6		1,37	8,800		
				j	Vz	[kN]	-10,2		-281,1		-335,0		-2,0		-93,8		-138,4		360,9		-383,3		-13,2		-365,4		-435,4		-2,7		-121,9		-179,9		469,2		-498,3		1,37	8,800		
9	P_3	P_3	PŘÍČNÍK 3		Nx	[kN]	166,4		-313,0		9,7		-137,4		-19,0		-15,8		-219,0		-175,2		216,4																			

TAB		2,3		1-10		VNITŘNÍ SÍLY Nx, My, Mz, Vz - ZÁKLADNÍ SKUPINY ZATĚŽOVACÍCH STAVŮ																																
ZATÍŽENÍ:		O		ODSTŘEDIVÁ SÍLA																																		
POSUDEK		POSUZOVANÝ PRŮŘEZ			VNITŘNÍ SÍLY		CHARAKTERISTICKÉ HODNOTY ZATÍŽENÍ																NÁVRHOVÉ HODNOTY ZATÍŽENÍ															
Č.	OZN.PRUTU	PRŮŘEZ	POPIS	PRUT - X	VELIČINA	JEDNOTKY	N _{x,max}	ZS č.	N _{x,min}	ZS č.	M _{y,max}	ZS č.	M _{y,min}	ZS č.	M _{z,max}	ZS č.	M _{z,min}	ZS č.	V _{z,max}	ZS č.	V _{z,min}	ZS č.	N _{x,max}	ZS č.	N _{x,min}	ZS č.	M _{y,max}	ZS č.	M _{y,min}	ZS č.	M _{z,max}	ZS č.	M _{z,min}	ZS č.	V _{z,max}	ZS č.	V _{z,min}	ZS č.
1	HN_01	HN_01	HLAVNÍ NOSNÍK 1	PRUT	Nx	[kN]	87,6		-80,0		87,6		-80,0		11,8		87,6		10,0		-80,0		113,9		-104,0		113,9		-104,0		15,3		113,9		13,0		-104,0	
				i	My	[kNm]	475,2	0	-309,1	0	475,2	0	-309,1	0	100,1	0	475,2	0	-216,2	0	-309,1	0	617,7	0	-401,8	0	617,7	0	-401,8	0	130,1	0	617,7	0	-281,1	0	-401,8	0
				X [m]	Mz	[kNm]	-5,1		5,2		-5,1		5,2		6,6		-5,1		2,1		5,2		-6,6		6,7		-6,6		6,7		8,6		-6,6		2,7		6,7	
				j	Vz	[kN]	30,1		-50,9		30,1		-50,9		-42,5		30,1		54,2		-50,9		39,2		-66,2		39,2		-66,2		-55,2		39,2		70,4		-66,2	
2	HN_02	HN_02	HLAVNÍ NOSNÍK 2	PRUT	Nx	[kN]	87,6		-56,9		86,2		-56,9		0,0		65,9		87,6		23,2		113,9		-74,0		112,1		-74,0		0,0		85,7		113,9		30,1	
				i	My	[kNm]	475,5	0	-353,2	0	575,5	0	-353,2	0	0,0	0	516,2	0	475,5	0	399,3	0	618,1	0	-459,2	0	748,2	0	-459,2	0	0,0	0	671,0	0	618,1	0	519,0	0
				X [m]	Mz	[kNm]	-5,1		-3,7		-4,7		-3,7		0,0		-16,6		-5,1		-4,9		-6,6		-4,8		-6,1		-4,8		0,0		-21,5		-6,6		-6,3	
				j	Vz	[kN]	30,1		-26,6		-2,2		-26,6		0,0		-21,1		30,1		-29,7		39,2		-34,6		-2,8		-34,6		0,0		-27,4		39,2		-38,6	
3	HN_03A	HN_03A	HLAVNÍ NOSNÍK 3A	PRUT	Nx	[kN]	18,0		-81,8		13,5		-81,8		6,0		18,0		6,0		-81,8		23,4		-106,4		17,6		-106,4		7,8		23,4		7,8		-106,4	
				i	My	[kNm]	-272,5	0	-475,9	0	342,8	0	-475,9	0	-391,9	0	-272,5	0	-391,9	0	-475,9	0	-354,2	0	-618,6	0	445,6	0	-618,6	0	-509,4	0	-354,2	0	-509,4	0	-618,6	0
				X [m]	Mz	[kNm]	-2,6		1,8		1,4		1,8		13,1		-2,6		13,1		1,8		-3,3		2,3		1,8		2,3		17,1		-3,3		17,1		2,3	
				j	Vz	[kN]	18,0		-53,8		-44,3		-53,8		56,3		18,0		56,3		-53,8		23,4		-70,0		-57,6		-70,0		73,2		23,4		73,2		-70,0	
4	HN_03B	HN_03B	HLAVNÍ NOSNÍK 3B	PRUT	Nx	[kN]	16,9		-81,8		13,5		-81,8		6,0		0,0		6,0		-81,8		21,9		-106,4		17,6		-106,4		7,8		0,0		7,8		-106,4	
				i	My	[kNm]	-205,9	0	-451,1	0	321,9	0	-451,1	0	-365,2	0	0,0	0	-365,2	0	-451,1	0	-267,7	0	-586,4	0	418,5	0	-586,4	0	-474,8	0	0,0	0	-474,8	0	-586,4	0
				X [m]	Mz	[kNm]	1,9		1,8		1,4		1,8		10,3		0,0		10,3		1,8		2,4		2,3		1,8		2,3		13,3		0,0		13,3		2,3	
				j	Vz	[kN]	17,4		-53,8		-44,3		-53,8		56,3		0,0		56,3		-53,8		22,6		-70,0		-57,6		-70,0		73,2		0,0		73,2		-70,0	
5	HN_04	HN_04	HLAVNÍ NOSNÍK 4	PRUT	Nx	[kN]	22,5		-26,4		-16,6		-25,5		-26,4		-25,5		11,5		-25,5		29,2		-34,3		-21,6		-33,2		-34,3		-33,2		14,9		-33,2	
				i	My	[kNm]	129,1	0	-212,2	0	187,3	0	-255,8	0	-212,2	0	-255,8	0	-146,9	0	-255,8	0	167,8	0	-275,8	0	243,5	0	-332,6	0	-275,8	0	-332,6	0	-190,9	0	-332,6	0
				X [m]	Mz	[kNm]	1,8		2,7		1,5		-0,1		2,7		-0,1		0,2		-0,1		2,4		3,5		2,0		-0,2		3,5		-0,2		0,3		-0,2	
				j	Vz	[kN]	13,7		-16,0		-16,8		-17,0		-16,0		-17,0		14,4		-17,0		17,8		-20,7		-21,9		-22,2		-20,7		-22,2		18,8		-22,2	
6	HN_05	HN_05	HLAVNÍ NOSNÍK 5	PRUT	Nx	[kN]	19,3		-23,6		-9,7		-23,6		-23,6		19,3		19,3		-9,7		25,1		-30,6		-12,7		-30,6		-30,6		25,1		25,1		-12,7	
				i	My	[kNm]	0,4	0	-90,7	0	79,9	0	-90,7	0	-90,7	0	0,4	0	0,4	0	79,9	0	0,5	0	-117,9	0	103,9	0	-117,9	0	-117,9	0	0,5	0	0,5	0	103,9	0
				X [m]	Mz	[kNm]	-0,5		1,6		0,8		1,6		1,6		-0,5		-0,5		0,8		-0,6		2,0		1,0		2,0		2,0		-0,6		-0,6		1,0	
				j	Vz	[kN]	9,5		-12,1		-13,0		-12,1		-12,1		9,5		9,5		-13,0		12,3		-15,7		-16,9		-15,7		-15,7		12,3		12,3		-16,9	
7	HN_06	HN_06	HLAVNÍ NOSNÍK 6	PRUT	Nx	[kN]	12,0		-16,0		-6,3		12,0		-15,5		12,0		-6,3		2,0		15,5		-20,8		-8,1		15,5		-20,1		15,5				2,5	
				i	My	[kNm]	-49,2	0	23,7	0	50,9	0	-49,2	0	34,4	0	-49,2	0	50,9	0	-36,6	0	-64,0	0	30,8	0	66,2	0	-64,0	0	44,7	0	-64,0	0	66,2	0	-47,5	0
				X [m]	Mz	[kNm]	-0,9		0,1		-0,7		-0,9		0,3		-0,9		-0,7		-0,4		-1,1		0,2		-0,9		-1,1		0,4		-1,1		-0,9		-0,5	
				j	Vz	[kN]	1,4		-3,7		2,6		1,4		-3,8		1,4		2,6		-4,8		1,8		-4,8		3,4		1,8		-4,9		1,8		3,4		-6,2	
8	P_1	P_1	PŘÍČNÍK 1	PRUT	Nx	[kN]	1,6		-1,8		-1,8		1,6		-1,8		0,0		-1,8		0,0		2,1		-2,4		-2,4		2,1		-2,4		0,0		-2,4		0,0	
				i	My	[kNm]	-0,9	0	-0,3	0	3,1	0	-2,6	0	3,1	0	0,0	0	-0,3	0	0,0	0	-1,1	0	-0,4	0	4,0	0	-3,4	0	4,0	0	0,0	0	-0,4	0	0,0	0
				X [m]	Mz	[kNm]	0,1		0,0		0,2		0,2		0,2		0,0		0,0		0,0		0,1		0,0		0,2		0,2		0,2		0,0		0,0		0,0	
				j	Vz	[kN]	1,3		1,5		1,5		1,3		1,5		0,0		1,5		0,0		1,6		1,9		1,9		1,6		1,9		0,0		1,9		0,0	
9	P_2	P_2	PŘÍČNÍK 2	PRUT	Nx	[kN]	78,2		-96,1		78,2		-96,1		-51,9		73,6		78,2		-66,5		101,7		-124,9		101,7		-124,9		-67,5		95,7		101,7		-86,4	
				i	My	[kNm]	56,9	0	-98,7	0	56,9	0	-98,7	0	-17,2	0	-10,9	0	56,9	0	-15,7	0	73,9	0	-128,3	0	73,9	0	-128,3	0	-22,3	0	-14,2	0	73,9	0	-20,4	0
				X [m]	Mz	[kNm]	0,3		2,2		0,3		2,2		5,3		-5,0		0,3		-3,5		0,4		2,9		0,4		2,9		6,9		-6,5		0,4		-4,6	
				j	Vz	[kN]	8,2		-10,1		8,2		-10,1		6,8		4,3		8,2		-13,0		10,6		-13,1		10,6		-13,1		8,9		5,6		10,6		-16,9	
10	P_3	P_3	PŘÍČNÍK 3	PRUT	Nx	[kN]	11,0		-18,0		-18,0		11,0		11,0		-7,0		-7,0		-18,0		14,2		-23,4		-23,4		14,2		14,2		-9,0		-9,0		-23,4	
				i	My	[kNm]	-19,1	0	22,3	0	22,3	0	-19,1	0	-19,1	0	10,7	0	10,7	0	22,3	0	-24,8	0	28,9	0	28,9	0	-24,8	0	-24,8	0	13,9	0	13,9	0	28,9	0
				X [m]	Mz	[kNm]	6,1		1,4		1,4		6,1		6,1		-4,2		-4,2		1,4		7,9		1,9		1,9		7,9		7,9		-5,5		-5,5		1,9	
				j	Vz	[kN]	16,3		-15,3		-15,3		16,3		16,5		-15,3		16,5		-15,3		21,2		-19,9		-19,9		21,2		21,2		21,5		21,5		-19,9	
HORNÍ DÍLČÍ SOUČINITEL ZATÍŽENÍ (VČETNÉ ROZPTYLU NOMINÁLNÍCH HODNOT)							γ _{sup}	1,00		1,00		1,00		1,00		1,00		1,00		1,00		1,30		1,30		1,30		1,30		1,30		1,30		1,30		1,30		
DOLNÍ DÍLČÍ SOUČINITEL ZATÍŽENÍ (VČETNÉ ROZPTYLU NOMINÁLNÍCH HODNOT)							γ _{inf}	0,00		0,00		0,00		0,00		0,00		0,00		0,00		0,00		0,00		0,00		0,00		0,00		0,00		0,00		0,00		

TAB		2,4		1-10		VNITŘNÍ SÍLY Nx, My, Mz, Vz - ZÁKLADNÍ SKUPINY ZATĚŽOVACÍCH STAVŮ																																	
ZATÍŽENÍ:				B		BRZDNÉ A ROZJ. SÍLY																																	
POSUDEK		POSUZOVANÝ PRŮŘEZ				VNITŘNÍ SÍLY		CHARAKTERISTICKÉ HODNOTY ZATÍŽENÍ																NÁVRHOVÉ HODNOTY ZATÍŽENÍ															
Č.	OZN.PRUTU	PRŮŘEZ	POPIS	PRUT - X	VELIČINA	JEDNOTKY	N _{x,max}	ZS č.	N _{x,min}	ZS č.	M _{y,max}	ZS č.	M _{y,min}	ZS č.	M _{z,max}	ZS č.	M _{z,min}	ZS č.	V _{z,max}	ZS č.	V _{z,min}	ZS č.	N _{x,max}	ZS č.	N _{x,min}	ZS č.	M _{y,max}	ZS č.	M _{y,min}	ZS č.	M _{z,max}	ZS č.	M _{z,min}	ZS č.	V _{z,max}	ZS č.	V _{z,min}	ZS č.	
1	HN_01	HN_01	HLAVNÍ NOSNÍK 1	PRUT	Nx	[kN]	281,3		-297,8		-258,9		-297,8		-297,8		-287,3		281,3		-287,3		365,7		-387,1		-336,6		-387,1		-387,1		-373,4		365,7		-373,4		
				i	My	[kNm]	-87,9	B	-825,3	B	85,9	B	-825,3	B	-825,3	B	-713,3	B	-87,9	B	-713,3	B	-114,3	B	-1072,9	B	111,7	B	-1072,9	B	-1072,9	B	-927,3	B	-114,3	B	-927,3	B	
				X [m]	Mz	[kNm]	17,9		34,4		14,1		34,4		34,4		-24,9		17,9		-24,9		23,3		44,7		18,3		44,7		44,7		-32,4		23,3		-32,4		
				j	Vz	[kN]	9,6		-18,3		-3,7		-18,3		-18,3		-22,3		9,6		-22,3		12,5		-23,8		-4,8		-23,8		-23,8		-29,0		12,5		-29,0		
2	HN_02	HN_02	HLAVNÍ NOSNÍK 2	PRUT	Nx	[kN]	225,5		-269,0		19,1		-251,6		-34,7		-269,0		19,1		-203,9		293,1		-349,7		24,8		-327,1		-45,1		-349,7		24,8		-265,0		
				i	My	[kNm]	-42,4	B	-483,7	B	404,9	B	-524,5	B	22,2	B	-483,7	B	404,9	B	-479,0	B	-55,2	B	-628,7	B	526,3	B	-681,8	B	28,8	B	-628,7	B	526,3	B	-622,6	B	
				X [m]	Mz	[kNm]	-1,2		-23,8		-6,8		-7,8		9,6		-23,8		-6,8		-6,5		-1,6		-31,0		-8,8		-10,2		12,4		-31,0		-8,8		-8,4		
				j	Vz	[kN]	5,0		-21,2		14,6		-21,8		-4,1		-21,2		14,6		-24,3		6,5		-27,6		18,9		-28,3		-5,4		-27,6		18,9		-31,6		
3	HN_03A	HN_03A	HLAVNÍ NOSNÍK 3A	PRUT	Nx	[kN]	901,2		-332,2		901,2		-332,2		-332,2		868,5		44,3		-284,8		1171,6		-431,8		1171,6		-431,8		-431,8		1129,1		57,5		-370,3		
				i	My	[kNm]	792,8	B	-903,7	B	792,8	B	-903,7	B	-903,7	B	690,2	B	-61,0	B	-841,1	B	1030,6	B	-1174,8	B	1030,6	B	-1174,8	B	-1174,8	B	897,3	B	-79,4	B	-1093,4	B	
				X [m]	Mz	[kNm]	-13,4		12,2		-13,4		12,2		12,2		-27,1		-3,7		9,8		-17,4		15,9		-17,4		15,9		15,9		-35,2		-4,9		12,7		
				j	Vz	[kN]	-21,0		-24,3		-21,0		-24,3		-24,3		-17,6		9,1		-26,7		-27,3		-31,6		-27,3		-31,6		-31,6		-22,9		11,8		-34,8		
4	HN_03B	HN_03B	HLAVNÍ NOSNÍK 3B	PRUT	Nx	[kN]	868,5		-332,2		868,5		-332,2		-332,2		868,5		44,3		-284,8		1129,1		-431,8		1129,1		-431,8		-431,8		1129,1		57,5		-370,3		
				i	My	[kNm]	697,6	B	-895,1	B	697,6	B	-895,1	B	-895,1	B	697,6	B	-56,4	B	-830,9	B	906,9	B	-1163,6	B	906,9	B	-1163,6	B	-1163,6	B	906,9	B	-73,3	B	-1080,2	B	
				X [m]	Mz	[kNm]	-27,1		7,8		-27,1		7,8		7,8		-27,1		-2,0		6,4		-35,2		10,2		-35,2		10,2		10,2		-35,2		-2,6		8,3		
				j	Vz	[kN]	-17,6		-24,3		-17,6		-24,3		-24,3		-17,6		9,1		-26,7		-22,9		-31,6		-22,9		-31,6		-31,6		-22,9		11,8		-34,8		
5	HN_04	HN_04	HLAVNÍ NOSNÍK 4	PRUT	Nx	[kN]	793,7		-812,3		717,4		-812,3		717,4		793,7		-812,3		717,4		1031,7		-1056,0		932,7		-1056,0		932,7		1031,7		-1056,0		932,7		
				i	My	[kNm]	455,6	B	-618,3	B	566,5	B	-618,3	B	566,5	B	455,6	B	-618,3	B	566,5	B	592,3	B	-803,8	B	736,4	B	-803,8	B	736,4	B	592,3	B	-803,8	B	736,4	B	
				X [m]	Mz	[kNm]	-25,0		1,6		29,9		1,6		29,9		-25,0		1,6		29,9		-32,4		2,1		38,8		2,1		38,8		-32,4		2,1		38,8		
				j	Vz	[kN]	-12,8		19,3		-16,6		19,3		-16,6		-12,8		19,3		-16,6		-16,6		25,1		-21,6		25,1		-21,6		-16,6		25,1		-21,6		
6	HN_05	HN_05	HLAVNÍ NOSNÍK 5	PRUT	Nx	[kN]	705,2		-707,6		705,2		-707,6		705,2		704,7		-707,6		705,2		916,8		-919,8		916,8		-919,8		916,8		916,1		-919,8		916,8		
				i	My	[kNm]	324,3	B	-251,8	B	324,3	B	-251,8	B	324,3	B	205,4	B	-251,8	B	324,3	B	421,6	B	-327,3	B	421,6	B	-327,3	B	421,6	B	267,0	B	-327,3	B	421,6	B	
				X [m]	Mz	[kNm]	23,1		9,2		23,1		9,2		23,1		-23,5		9,2		23,1		30,0		11,9		30,0		11,9		30,0		-30,5		11,9		30,0		
				j	Vz	[kN]	-14,9		14,1		-14,9		14,1		-14,9		-10,9		14,1		-14,9		-19,3		18,3		-19,3		18,3		-19,3		-14,1		18,3		-19,3		
7	HN_06	HN_06	HLAVNÍ NOSNÍK 6	PRUT	Nx	[kN]	721,5		-625,1		667,9		-613,9		667,9		721,5		-625,1		667,9		938,0		-912,6		868,3		-798,0		868,3		938,0		-812,6		868,3		
				i	My	[kNm]	96,7	B	-166,9	B	119,6	B	-176,5	B	119,6	B	96,7	B	-166,9	B	119,6	B	125,7	B	-217,0	B	155,5	B	-229,5	B	155,5	B	125,7	B	-217,0	B	155,5	B	
				X [m]	Mz	[kNm]	-24,1		-3,9		24,4		-3,9		24,4		-24,1		-3,9		24,4		-31,3		-5,0		31,7		-5,1		31,7		-31,3		-5,0		31,7		
				j	Vz	[kN]	-2,0		15,1		-11,6		12,0		-11,6		-2,0		15,1		-11,6		-2,6		19,7		-15,0		15,6		-15,0		-2,6		19,7		-15,0		
8	P_1	P_1	PŘÍČNÍK 1	PRUT	Nx	[kN]	0,8		-1,4		-0,7		0,6		-1,4		-0,8		-0,8		-0,6		1,0		-1,8		-0,9		0,7		-1,8		-1,0		-1,0		-0,8		
				i	My	[kNm]	0,1	B	-0,2	B	0,8	B	-0,7	B	-0,2	B	-0,1	B	-0,1	B	-0,1	B	0,1	B	-0,2	B	1,0	B	-0,9	B	-0,2	B	-0,1	B	-0,1	B	-0,1	B	
				X [m]	Mz	[kNm]	0,1		0,1		0,0		0,0		0,1		-0,1		0,1		-0,1		0,1		0,2		0,0		0,0		0,2		-0,1		0,1		-0,1		
				j	Vz	[kN]	0,0		0,0		0,4		0,3		0,0		0,0		0,4		-0,3		0,0		0,0		0,5		0,4		0,0		0,0		0,5		-0,4		
9	P_2	P_2	PŘÍČNÍK 2	PRUT	Nx	[kN]	15,3		-14,1		13,6		-9,6		-13,6		-14,1		13,0		-13,0		19,9		-18,3		17,7		-12,5		-17,7		-18,3		16,9		-16,9		
				i	My	[kNm]	1,8	B	-7,9	B	8,0	B	-9,0	B	1,3	B	-7,9	B	-3,8	B	3,8	B	2,4	B	-10,3	B	10,4	B	-11,7	B	1,7	B	-10,3	B	-4,9	B	4,9	B	
				X [m]	Mz	[kNm]	0,1		-8,2		8,2		-0,1		9,1		-8,2		-8,0		8,0		0,2		-10,6		10,6		-0,2		11,9		-10,6		-10,3		10,3		
				j	Vz	[kN]	-0,9		-1,3		-6,9		-0,7		6,9		-1,3		8,6		-8,6		-1,1		-1,7		-9,0		-0,9		9,0		-1,7		11,1		-11,1		
10	P_3	P_3	PŘÍČNÍK 3	PRUT	Nx	[kN]	34,1		-6,8		34,1		-0,2		5,2		-0,3		-6,8		1,9		44,3		-8,9		44,3		-0,3		6,8		-0,3		-8,9		2,5		
				i	My	[kNm]	10,0	B	0,0	B	10,0	B	-1,9	B	-1,7	B	7,0	B	0,0	B	-0,6	B	13,1	B	0,0	B	13,1	B	-2,5	B	-2,2	B	9,1	B	0,0	B	-0,8	B	
				X [m]	Mz	[kNm]	7,3		-6,2		7,3		-3,3		16,3		-20,4		-6,2		-2,3		9,5		-8,1		9,5		-4,2		21,2		-26,5		-8,1		-3,0		
				j	Vz	[kN]	0,1		3,5		0,1		2,3		-1,6		0,5		3,5		-3,9		0,1		4,6		0,1		3,0		-2,1		0,6		4,6		-5,1		
HORNÍ DÍLČÍ SOUČINITEL ZATÍŽENÍ (VČETNÉ ROZPTYLU NOMINÁLNÍCH HODNOT)							γ_{sup}	1,00	1,00	1,00	1,00	1,00	1,00	1,00	1,00	1,00	1,00	1,30	1,30	1,30	1,30	1,30	1,30	1,30	1,30	1,30	1,30	1,30	1,30	1,30	1,30	1,30	1,30	1,30	1,30	1,30	1,30		
DOLNÍ DÍLČÍ SOUČINITEL ZATÍŽENÍ (VČETNÉ ROZPTYLU NOMINÁLNÍCH HODNOT)							γ_{inf}	0,00	0,00	0,00	0,00	0,00	0,00	0,00	0,00	0,00	0,00	0,00	0,00	0,00	0,00	0,00	0,00	0,00	0,00	0,00	0,00	0,00	0,00	0,00	0,00	0,00	0,00	0,00	0,00	0,00	0,00	0,00	

TAB		2,5		1-10		VNITŘNÍ SÍLY Nx, My, Mz, Vz - ZÁKLADNÍ SKUPINY ZATĚŽOVACÍCH STAVŮ																																
ZATÍŽENÍ:		S		BOČNÍ RÁZ																																		
POSUDEK		POSUZOVANÝ PRŮŘEZ			VNITŘNÍ SÍLY		CHARAKTERISTICKÉ HODNOTY ZATÍŽENÍ																NÁVRHOVÉ HODNOTY ZATÍŽENÍ															
Č.	OZN.PRUTU	PRŮŘEZ	POPIS	PRUT - X	VELIČINA	JEDNOTKY	N _{x,max}	ZS č.	N _{x,min}	ZS č.	M _{y,max}	ZS č.	M _{y,min}	ZS č.	M _{z,max}	ZS č.	M _{z,min}	ZS č.	V _{z,max}	ZS č.	V _{z,min}	ZS č.	N _{x,max}	ZS č.	N _{x,min}	ZS č.	M _{y,max}	ZS č.	M _{y,min}	ZS č.	M _{z,max}	ZS č.	M _{z,min}	ZS č.	V _{z,max}	ZS č.	V _{z,min}	ZS č.
1	HN_01	HN_01	HLAVNÍ NOSNÍK 1	PRUT	Nx	[kN]	49,1		-41,5		40,4		-27,0		5,1		4,1		10,2		-6,4		60,3		-51,0		49,6		-33,2		6,3		5,0		12,6		-7,9	
				i	My	[kNm]	40,2	S	-12,8	S	146,0	S	-68,6	S	-16,4	S	71,5	S	2,8	S	-5,0	S	49,4	S	-15,7	S	179,6	S	-84,4	S	-20,2	S	87,9	S	3,4	S	-6,1	S
				X [m]	Mz	[kNm]	0,7		0,7		-5,3		1,2		4,1		-6,6		0,2		0,4		0,8		0,9		-6,5		1,5		5,1		-8,1		0,3		0,5	
				j	Vz	[kN]	0,2		-0,9		7,3		-9,8		-13,8		-12,9		14,7		-15,8		0,3		-1,2		9,0		-12,1		-17,0		-15,8		18,1		-19,4	
2	HN_02	HN_02	HLAVNÍ NOSNÍK 2	PRUT	Nx	[kN]	37,6		-29,7		35,4		-29,7		35,4		37,6		18,4		46,3		-36,5		43,5		-36,5		43,5		-36,5		43,5		46,3		22,7	
				i	My	[kNm]	138,6	S	-155,4	S	164,2	S	-155,4	S	-155,4	S	164,2	S	138,6	S	127,3	S	170,4	S	-191,1	S	201,9	S	-191,1	S	-191,1	S	201,9	S	170,4	S	156,5	S
				X [m]	Mz	[kNm]	-4,8		10,6		-13,5		10,6		10,6		-13,5		-4,8		-5,1		-5,9		13,0		-16,6		13,0		13,0		-16,6		-5,9		-6,2	
				j	Vz	[kN]	11,0		6,4		-8,5		6,4		6,4		-8,5		11,0		-10,3		13,5		7,9		-10,5		7,9		7,9		-10,5		13,5		-12,7	
3	HN_03A	HN_03A	HLAVNÍ NOSNÍK 3A	PRUT	Nx	[kN]	31,6		-41,5		30,1		-26,8		13,7		31,6		7,9		4,2		38,8		-51,1		37,0		-33,0		16,8		38,8		9,8		5,2	
				i	My	[kNm]	60,4	S	-10,4	S	63,8	S	-103,4	S	-19,8	S	60,4	S	-16,2	S	-27,7	S	74,3	S	-12,8	S	78,4	S	-127,2	S	-24,4	S	74,3	S	-19,9	S	-34,0	S
				X [m]	Mz	[kNm]	-3,6		-0,2		-1,8		0,7		5,6		-3,6		-2,5		2,1		-4,4		-0,2		-2,2		0,9		6,8		-4,4		-3,1		2,5	
				j	Vz	[kN]	0,9		-0,9		-0,2		-11,7		14,7		0,9		15,3		-16,1		1,2		-1,1		-0,2		-14,4		18,1		1,2		18,8		-19,9	
4	HN_03B	HN_03B	HLAVNÍ NOSNÍK 3B	PRUT	Nx	[kN]	30,4		-41,5		25,6		-26,9		13,7		30,4		8,0		4,2		37,3		-51,1		31,5		-33,1		16,8		37,3		9,8		5,2	
				i	My	[kNm]	63,2	S	-11,1	S	66,0	S	-98,2	S	-12,8	S	63,2	S	-8,7	S	-20,0	S	77,7	S	-13,7	S	81,1	S	-120,7	S	-15,7	S	77,7	S	-10,7	S	-24,6	S
				X [m]	Mz	[kNm]	-1,8		0,0		0,0		0,6		3,7		-1,8		-1,3		1,2		-2,2		0,0		0,0		0,8		4,6		-2,2		-1,6		1,4	
				j	Vz	[kN]	0,8		-0,9		6,6		-11,6		14,7		0,8		15,2		-16,1		1,0		-1,1		8,1		-14,3		18,1		1,0		18,7		-19,9	
5	HN_04	HN_04	HLAVNÍ NOSNÍK 4	PRUT	Nx	[kN]	55,4		-66,8		55,4		-66,8		38,8		55,4		26,3		12,2		68,1		-82,2		68,1		-82,2		47,8		68,1		32,4		15,0	
				i	My	[kNm]	122,4	S	-129,9	S	122,4	S	-129,9	S	105,6	S	122,4	S	63,9	S	49,3	S	150,6	S	-159,8	S	150,6	S	-159,8	S	129,8	S	150,6	S	78,6	S	60,7	S
				X [m]	Mz	[kNm]	-5,3		-4,6		-5,3		-4,6		7,2		-5,3		0,4		1,9		-6,6		-5,6		-6,6		-5,6		8,8		-6,6		0,4		2,3	
				j	Vz	[kN]	-7,3		-6,0		-7,3		-6,0		-8,8		-7,3		9,5		-10,7		-9,0		-7,3		-9,0		-7,3		-10,8		-9,0		11,7		-13,1	
6	HN_05	HN_05	HLAVNÍ NOSNÍK 5	PRUT	Nx	[kN]	78,5		-95,7		70,1		-53,2		32,4		78,5		70,1		-53,2		96,6		-117,7		86,3		-65,5		39,8		96,6		86,3		-65,5	
				i	My	[kNm]	122,5	S	-105,4	S	123,4	S	-115,2	S	105,3	S	122,5	S	123,4	S	-115,2	S	150,6	S	-129,7	S	151,8	S	-141,7	S	129,5	S	150,6	S	151,8	S	-141,7	S
				X [m]	Mz	[kNm]	-7,9		-0,7		-7,6		3,6		5,1		-7,9		-7,6		3,6		-9,7		-0,8		-9,4		4,4		6,2		-9,7		-9,4		4,4	
				j	Vz	[kN]	-8,0		5,8		9,4		-8,0		-7,5		-8,0		9,4		-8,0		-9,8		7,2		11,5		-9,8		-9,2		-9,8		11,5		-9,8	
7	HN_06	HN_06	HLAVNÍ NOSNÍK 6	PRUT	Nx	[kN]	93,2		-95,7		93,1		-95,7		81,1		-95,7		88,4		81,1		114,6		-117,7		114,6		-117,7		99,8		114,6		99,8			
				i	My	[kNm]	117,7	S	-118,6	S	117,8	S	-118,6	S	115,5	S	-118,6	S	117,2	S	115,5	S	144,8	S	-145,9	S	144,8	S	-145,9	S	142,0	S	-145,9	S	144,1	S	142,0	S
				X [m]	Mz	[kNm]	-10,2		-10,4		-10,3		-10,4		9,4		-10,4		-9,6		9,4		-12,6		-12,7		-12,6		-12,7		11,5		-12,7		-11,9		11,5	
				j	Vz	[kN]	-7,0		5,8		-7,1		5,8		-8,6		5,8		8,5		-8,6		-8,6		7,2		-8,8		7,2		-10,6		7,2		10,5		-10,6	
8	P_1	P_1	PŘÍČNÍK 1	PRUT	Nx	[kN]	0,5		-0,6		0,2		-0,4		0,5		-0,4		0,2		-0,3		0,6		-0,7		0,2		-0,5		0,6		-0,5		0,2		-0,3	
				i	My	[kNm]	-0,1	S	-0,1	S	0,9	S	-0,7	S	-0,1	S	-0,1	S	0,0	S	-0,1	S	-0,1	S	-0,1	S	1,1	S	-0,8	S	-0,1	S	-0,1	S	0,0	S	-0,1	S
				X [m]	Mz	[kNm]	0,0		0,0		0,0		0,0		0,0		0,0		0,0		0,0		0,0		0,0		0,0		0,0		0,0		0,0		0,0		0,0	
				j	Vz	[kN]	0,2		0,3		0,4		0,3		0,2		0,3		0,4		-0,3		0,3		0,4		0,4		0,3		0,3		0,3		0,4		-0,3	
9	P_2	P_2	PŘÍČNÍK 2	PRUT	Nx	[kN]	20,7		-44,1		-2,7		-20,3		-17,8		-22,5		-44,1		-2,7		25,5		-54,2		-3,3		-24,9		-21,9		-27,7		-54,2		-3,3	
				i	My	[kNm]	12,6	S	2,2	S	32,8	S	-18,8	S	-4,4	S	-6,9	S	2,2	S	32,8	S	15,4	S	2,7	S	40,3	S	-23,1	S	-5,4	S	-8,5	S	2,7	S	40,3	S
				X [m]	Mz	[kNm]	0,1		-0,7		-0,6		0,5		1,2		-0,8		-0,7		-0,6		0,1		-0,9		-0,7		0,6		1,5		-1,0		-0,9		-0,7	
				j	Vz	[kN]	1,5		16,6		-15,3		-1,8		-0,5		-3,0		16,6		-15,3		1,8		20,4		-18,9		-2,2		-0,6		-3,7		20,4		-18,9	
10	P_3	P_3	PŘÍČNÍK 3	PRUT	Nx	[kN]	22,6		-22,7		-5,8		22,6		1,2		0,0		22,6		-22,7		27,8		-27,9		-7,1		27,8		1,5		0,0		27,8		-27,9	
				i	My	[kNm]	-9,0	S	24,1	S	29,6	S	-9,0	S	-0,4	S	0,3	S	-9,0	S	24,1	S	-11,0	S	29,6	S	36,3	S	-11,0	S	-0,5	S	0,3	S	-11,0	S	29,6	S
				X [m]	Mz	[kNm]	1,1		0,6		0,0		1,1		1,5		-1,4		1,1		0,6		1,4		0,7		0,0		1,4		1,8		-1,7		1,4		0,7	
				j	Vz	[kN]	14,6		-14,6		-13,5		14,6		-1,1		0,7		14,6		-14,6		18,0		-18,0		-16,5		18,0		-1,3		0,8		18,0		-18,0	
HORNÍ DÍLČÍ SOUČINTEL ZATÍŽENÍ (VČETNĚ ROZPTYLU NOMINÁLNÍCH HODNOT)							γ _{sup}	1,00	1,00	1,00	1,00	1,00	1,00	1,00	1,00	1,00	1,00	1,00	1,00	1,23	1,23	1,23	1,23	1,23	1,23	1,23	1,23	1,23	1,23	1,23	1,23	1,23	1,23	1,23	1,23	1,23		
DOLNÍ DÍLČÍ SOUČINTEL ZATÍŽENÍ (VČETNĚ ROZPTYLU NOMINÁLNÍCH HODNOT)							γ _{inf}	0,00	0,00	0,00	0,00	0,00	0,00	0,00	0,00	0,00	0,00	0,00	0,00	0,00	0,00	0,00	0,00	0,00	0,00	0,00	0,00	0,00	0,00	0,00	0,00	0,00	0,00	0,00	0,00	0,00	0,00	0,00

TAB		2,7		1-10		VNITŘNÍ SÍLY Nx, My, Mz, Vz - ZÁKLADNÍ SKUPINY ZATĚŽOVACÍCH STAVŮ																																
ZATÍŽENÍ:		W-P		VÍTR																																		
POSUDEK		POSUZOVANÝ PRŮŘEZ				VNITŘNÍ SÍLY		CHARAKTERISTICKÉ HODNOTY ZATÍŽENÍ																NÁVRHOVÉ HODNOTY ZATÍŽENÍ														
Č.	OZN.PRUTU	PRŮŘEZ	POPIS	PRUT - X	VELIČINA	JEDNOTKY	N _{x,max}	ZS č.	N _{x,min}	ZS č.	M _{y,max}	ZS č.	M _{y,min}	ZS č.	M _{z,max}	ZS č.	M _{z,min}	ZS č.	V _{z,max}	ZS č.	V _{z,min}	ZS č.	N _{x,max}	ZS č.	N _{x,min}	ZS č.	M _{y,max}	ZS č.	M _{y,min}	ZS č.	M _{z,max}	ZS č.	M _{z,min}	ZS č.	V _{z,max}	ZS č.	V _{z,min}	ZS č.
1	HN_01	HN_01	HLAVNÍ NOSNÍK 1	PRUT	Nx	[kN]	342,6		-330,3		-27,8		-151,4		42,1		21,8		-151,8		-151,4		462,5		-445,9		-37,5		-204,4		56,8		29,4		-204,9		-204,4	
				i	My	[kNm]	509,2	W-P	-438,8	W-P	610,7	W-P	-538,2	W-P	87,2	W-P	155,8	W-P	-268,3	W-P	-538,2	W-P	687,4	W-P	-592,4	W-P	689,4	W-P	-726,6	W-P	117,7	W-P	210,4	W-P	-362,2	W-P	-726,6	W-P
				X [m]	Mz	[kNm]	0,4		4,2		-4,7		1,2		29,7		-8,2		5,5		1,2		0,5		5,7		-6,3		1,6		40,1		-11,0		7,4		1,6	
				j	Vz	[kN]	-66,1		30,7		16,6		-67,9		-41,1		-32,4		50,8		-67,9		-89,2		41,5		22,4		-91,7		-55,5		-43,7		68,5		-91,7	
2	HN_02	HN_02	HLAVNÍ NOSNÍK 2	PRUT	Nx	[kN]	256,2		-151,5		26,7		25,3		-55,7		-25,5		-151,5		-63,7		345,9		-204,5		36,0		34,2		-75,2		-34,4		-204,5		-86,0	
				i	My	[kNm]	288,3	W-P	96,9	W-P	638,7	W-P	-545,5	W-P	-215,6	W-P	569,0	W-P	96,9	W-P	-165,1	W-P	389,1	W-P	130,8	W-P	862,3	W-P	-736,5	W-P	-291,1	W-P	768,1	W-P	130,8	W-P	-222,9	W-P
				X [m]	Mz	[kNm]	2,2		-1,6		-4,1		4,1		5,2		-14,9		-1,6		0,4		2,9		-2,2		-5,5		5,5		7,1		-20,2		-2,2		0,5	
				j	Vz	[kN]	6,7		26,0		12,2		15,4		5,0		-5,2		26,0		-11,4		9,1		35,2		16,5		20,8		6,8		-7,0		35,2		-15,4	
3	HN_03A	HN_03A	HLAVNÍ NOSNÍK 3A	PRUT	Nx	[kN]	255,0		-333,2		115,4		-150,0		-258,3		-245,8		-245,8		-150,0		344,3		-449,8		155,7		-202,5		-348,6		-331,8		-331,8		-202,5	
				i	My	[kNm]	153,4	W-P	-558,6	W-P	661,3	W-P	-777,2	W-P	-517,2	W-P	-581,2	W-P	-581,2	W-P	-777,2	W-P	207,1	W-P	-754,1	W-P	892,7	W-P	-1049,3	W-P	-698,2	W-P	-784,6	W-P	-784,6	W-P	-1049,3	W-P
				X [m]	Mz	[kNm]	39,6		49,6		-23,9		73,7		82,9		-63,5		-63,5		73,7		53,4		66,9		-32,3		99,5		111,9		-85,7		-85,7		99,5	
				j	Vz	[kN]	0,4		32,8		-17,6		-87,6		-75,4		86,0		86,0		-87,6		0,5		44,3		-23,7		-118,2		-101,8		116,0		116,0		-118,2	
4	HN_03B	HN_03B	HLAVNÍ NOSNÍK 3B	PRUT	Nx	[kN]	246,8		-333,2		-53,7		-150,4		-280,3		-311,2		-311,2		-150,4		333,2		-449,8		-72,5		-203,0		-378,4		-420,1		-420,1		-203,0	
				i	My	[kNm]	149,3	W-P	-546,0	W-P	477,2	W-P	-737,5	W-P	-608,9	W-P	-712,8	W-P	-712,8	W-P	-737,5	W-P	201,5	W-P	-737,1	W-P	644,2	W-P	-995,7	W-P	-822,0	W-P	-962,3	W-P	-962,3	W-P	-995,7	W-P
				X [m]	Mz	[kNm]	-19,5		41,4		-3,5		60,2		67,3		-52,1		-52,1		60,2		-26,4		55,9		-4,7		81,3		90,8		-70,4		-70,4		81,3	
				j	Vz	[kN]	8,6		32,3		-2,5		-86,4		-78,4		88,8		88,8		-86,4		11,6		43,7		-3,4		-116,7		-105,9		119,9		119,9		-116,7	
5	HN_04	HN_04	HLAVNÍ NOSNÍK 4	PRUT	Nx	[kN]	280,2		-405,1		225,2		19,7		225,2		48,9		225,2		91,9		378,3		-546,8		304,0		26,6		304,0		66,0		304,0		124,1	
				i	My	[kNm]	92,2	W-P	-240,9	W-P	434,6	W-P	-428,2	W-P	434,6	W-P	252,3	W-P	434,6	W-P	12,8	W-P	124,5	W-P	-325,1	W-P	586,6	W-P	-578,1	W-P	586,6	W-P	340,6	W-P	586,6	W-P	17,3	W-P
				X [m]	Mz	[kNm]	12,4		-3,4		15,1		3,6		15,1		-12,8		15,1		11,0		16,7		-4,6		20,3		4,9		20,3		-17,3		20,3		14,8	
				j	Vz	[kN]	-2,6		-4,1		4,2		-2,1		4,2		-5,0		4,2		-8,0		-3,4		-5,5		5,7		-2,9		5,7		-6,8		5,7		-10,9	
6	HN_05	HN_05	HLAVNÍ NOSNÍK 5	PRUT	Nx	[kN]	403,7		-501,4		276,4		-83,7		36,0		264,0		314,7		-83,7		545,0		-676,9		373,2		-113,0		48,6		356,4		424,8		-113,0	
				i	My	[kNm]	161,1	W-P	-297,2	W-P	441,4	W-P	-457,7	W-P	396,0	W-P	437,6	W-P	25,3	W-P	-457,7	W-P	217,5	W-P	-401,2	W-P	595,9	W-P	-617,8	W-P	534,6	W-P	590,7	W-P	34,1	W-P	-617,8	W-P
				X [m]	Mz	[kNm]	3,2		-3,0		-8,0		4,9		9,8		-10,3		9,0		4,9		4,3		-4,1		-10,8		6,6		13,3		-13,9		12,1		6,6	
				j	Vz	[kN]	6,3		8,7		-11,0		-14,3		2,2		17,9		20,5		-14,3		8,5		11,7		-14,9		-19,4		2,9		24,1		27,6		-19,4	
7	HN_06	HN_06	HLAVNÍ NOSNÍK 6	PRUT	Nx	[kN]	488,9		-503,3		369,8		-279,8		253,0		353,7		353,7		253,0		660,0		-679,4		499,3		-377,7		341,6		477,5		477,5		341,6	
				i	My	[kNm]	256,7	W-P	-301,6	W-P	411,5	W-P	-446,7	W-P	378,1	W-P	387,6	W-P	387,6	W-P	378,1	W-P	346,6	W-P	-407,1	W-P	555,5	W-P	-603,0	W-P	510,4	W-P	523,3	W-P	523,3	W-P	510,4	W-P
				X [m]	Mz	[kNm]	-8,5		-8,0		-10,6		0,4		9,7		-12,4		-12,4		9,7		-11,4		-10,8		-14,3		0,5		13,1		-16,8		-16,8		13,1	
				j	Vz	[kN]	-1,8		6,2		-8,1		11,4		-21,8		19,5		19,5		-21,8		-2,5		8,3		-11,0		15,4		-29,5		26,3		26,3		-29,5	
8	P_1	P_1	PŘÍČNÍK 1	PRUT	Nx	[kN]	1,9		-3,0		-2,5		1,4		-3,0		-1,6		-2,5		-1,6		2,5		-4,0		-3,3		1,9		-4,0		-2,1		-3,3		-2,1	
				i	My	[kNm]	-1,1	W-P	-0,4	W-P	5,7	W-P	-3,7	W-P	-0,4	W-P	-0,2	W-P	5,7	W-P	-0,2	W-P	-1,4	W-P	-0,6	W-P	7,7	W-P	-5,0	W-P	-0,6	W-P	-0,2	W-P	7,7	W-P	-0,2	W-P
				X [m]	Mz	[kNm]	0,1		0,4		-0,1		0,1		0,4		-0,4		-0,1		-0,4		0,1		0,5		-0,1		0,2		0,5		-0,5		-0,1		-0,5	
				j	Vz	[kN]	1,5		2,3		2,6		1,7		2,3		-1,7		2,6		-1,7		2,0		3,1		3,5		2,3		3,1		-2,3		3,5		-2,3	
9	P_2	P_2	PŘÍČNÍK 2	PRUT	Nx	[kN]	95,7		-73,8		95,7		-73,8		-59,2		-63,0		-50,8		-73,8		129,2		-99,6		129,2		-99,6		-80,0		-85,0		-68,5		-99,6	
				i	My	[kNm]	41,7	W-P	-76,1	W-P	41,7	W-P	-76,1	W-P	24,0	W-P	13,0	W-P	0,2	W-P	-76,1	W-P	56,3	W-P	-102,8	W-P	56,3	W-P	-102,8	W-P	32,3	W-P	17,6	W-P	0,3	W-P	-102,8	W-P
				X [m]	Mz	[kNm]	-0,5		1,9		-0,5		1,9		4,0		-3,1		3,4		1,9		-0,7		2,6		-0,7		2,6		5,4		-4,2		4,6		2,6	
				j	Vz	[kN]	-0,7		-10,6		-0,7		-10,6		0,1		2,1		2,4		-10,6		-0,9		-14,3		-0,9		-14,3		0,1		2,8		3,3		-14,3	
10	P_3	P_3	PŘÍČNÍK 3	PRUT	Nx	[kN]	15,4		-13,6		15,4		0,8		-0,1		-0,6		0,8		15,4		20,8		-18,3		20,8		1,0		-0,2		-0,8		1,0		20,8	
				i	My	[kNm]	31,3	W-P	14,0	W-P	31,3	W-P	-7,7	W-P	-1,9	W-P	7,6	W-P	-7,7	W-P	31,3	W-P	42,2	W-P	18,9	W-P	42,2	W-P	-10,4	W-P	-2,5	W-P	10,3	W-P	-10,4	W-P	42,2	W-P
				X [m]	Mz	[kNm]	1,2		0,9		1,2		-1,9		4,7		-5,1		-1,9		1,2		1,6		1,3		1,6		-2,5		6,3		-6,9		-2,5		1,6	
				j	Vz	[kN]	-10,7		-5,7		-10,7		6,4		6,1		-6,4		6,4		-10,7		-14,4		-7,7		-14,4		8,6		8,2		-8,6		8,6		-14,4	
HORNÍ DÍLČÍ SOUČINITEL ZATÍŽENÍ (VČETNÉ ROZPTYLU NOMINÁLNÍCH HODNOT)							γ _{sup}	1,00		1,00		1,00		1,00		1,00		1,00		1,00		1,00		1,35		1,35		1,35		1,35		1,35		1,35		1,35		
DOLNÍ DÍLČÍ SOUČINITEL ZATÍŽENÍ (VČETNÉ ROZPTYLU NOMINÁLNÍCH HODNOT)							γ _{inf}	0,00		0,00		0,00		0,00		0,00		0,00		0,00		0,00		0,00		0,00		0,00		0,00		0,00		0,00		0,00		

TAB		2,8		1-10		VNITŘNÍ SÍLY Nx, My, Mz, Vz - ZÁKLADNÍ SKUPINY ZATĚŽOVACÍCH STAVŮ																																	
ZATÍŽENÍ:						T-E		ROVNOMĚR. TEPLOTA																															
POSUDEK		POSUZOVANÝ PRŮŘEZ			VNITŘNÍ SÍLY		CHARAKTERISTICKÉ HODNOTY ZATÍŽENÍ																NÁVRHOVÉ HODNOTY ZATÍŽENÍ																
Č.	OZN.PRUTU	PRŮŘEZ	POPIS	PRUT - X	VELIČINA	JEDNOTKY	N _{x,max}	ZS č.	N _{x,min}	ZS č.	M _{y,max}	ZS č.	M _{y,min}	ZS č.	M _{z,max}	ZS č.	M _{z,min}	ZS č.	V _{z,max}	ZS č.	V _{z,min}	ZS č.	N _{x,max}	ZS č.	N _{x,min}	ZS č.	M _{y,max}	ZS č.	M _{y,min}	ZS č.	M _{z,max}	ZS č.	M _{z,min}	ZS č.	V _{z,max}	ZS č.	V _{z,min}	ZS č.	
1	HN_01	HN_01	HLAVNÍ NOSNÍK 1	PRUT i X [m] j	Nx	[kN]	89,7		-61,4		55,0		76,8		76,2		-36,0		76,2		-36,0		121,0		-82,8		74,3		103,6		102,8		-48,6		102,8		-48,6		
					My	[kNm]	-963,3	T-E	734,2	T-E	1815,9	T-E	-2626,6	T-E	-2373,7	T-E	-2219,1	T-E	-2373,7	T-E	-2219,1	T-E	-1300,4	T-E	991,2	T-E	2451,4	T-E	-3545,9	T-E	-3204,5	T-E	-2995,8	T-E	-3204,5	T-E	-2995,8	T-E	
					Mz	[kNm]	-3,5		-2,2		2,6		1,3		10,2		-6,8		10,2		-6,8		-4,7		-2,9		3,6		1,7		13,7		-9,2		13,7		-9,2		
					Vz	[kN]	33,7		-19,8		31,5		-45,5		87,3		-58,8		87,3		-58,8		45,5		-26,8		42,6		-61,5		117,9		-79,4		117,9		-79,4		
2	HN_02	HN_02	HLAVNÍ NOSNÍK 2	PRUT i X [m] j	Nx	[kN]	50,2		-51,0		-25,4		37,1		-51,0		-38,0		-51,0		37,1		67,8		-68,9		-34,2		50,1		-68,9		-51,2		-68,9		50,1		
					My	[kNm]	368,7	T-E	-1188,2	T-E	957,2	T-E	-1764,8	T-E	-1188,2	T-E	-1467,0	T-E	-1188,2	T-E	-1764,8	T-E	497,8	T-E	-1604,0	T-E	1292,2	T-E	-2382,5	T-E	-1604,0	T-E	-1980,5	T-E	-1604,0	T-E	-2382,5	T-E	
					Mz	[kNm]	4,2		9,6		5,1		-4,8		9,6		-9,0		9,6		-4,8		5,7		12,9		6,8		-6,5		12,9		-12,1		12,9		-6,5		
					Vz	[kN]	-12,1		62,1		53,5		-68,8		62,1		-61,3		62,1		-68,8		-16,3		83,8		72,2		-92,9		83,8		-82,8		83,8		-92,9		
3	HN_03A	HN_03A	HLAVNÍ NOSNÍK 3A	PRUT i X [m] j	Nx	[kN]	80,6		-61,4		-30,3		74,8		-34,1		74,8		74,8		76,2		108,8		-82,9		-40,9		100,9		-46,0		100,9		100,9		102,9		
					My	[kNm]	488,6	T-E	763,7	T-E	1661,0	T-E	-2756,2	T-E	-2559,0	T-E	-2756,2	T-E	-2756,2	T-E	-2631,3	T-E	659,6	T-E	1030,9	T-E	2242,3	T-E	-3720,8	T-E	-3454,6	T-E	-3720,8	T-E	-3720,8	T-E	-3552,2	T-E	
					Mz	[kNm]	-4,0		-0,8		-1,1		-6,8		10,2		-6,8		-6,8		4,3		-5,4		-1,1		-1,5		-9,1		13,8		-9,1		-9,1		5,8		
					Vz	[kN]	16,2		-22,7		-28,4		95,0		62,1		95,0		95,0		-46,5		21,8		-30,7		-38,3		128,3		83,9		128,3		128,3		-62,8		
4	HN_03B	HN_03B	HLAVNÍ NOSNÍK 3B	PRUT i X [m] j	Nx	[kN]	80,4		-61,4		63,3		74,8		-34,1		74,8		74,8		76,2		108,5		-82,9		85,4		100,9		-46,0		100,9		100,9		102,9		
					My	[kNm]	548,6	T-E	752,4	T-E	1580,2	T-E	-2710,6	T-E	-2529,9	T-E	-2710,6	T-E	-2710,6	T-E	-2608,6	T-E	740,6	T-E	1015,7	T-E	2133,2	T-E	-3659,4	T-E	-3415,4	T-E	-3659,4	T-E	-3659,4	T-E	-3521,7	T-E	
					Mz	[kNm]	2,3		-1,2		-0,5		-6,2		8,2		-6,2		-6,2		3,7		3,1		-1,6		-0,6		-8,3		11,0		-8,3		-8,3		5,0		
					Vz	[kN]	11,6		-22,7		-11,4		95,0		62,1		95,0		95,0		-46,5		15,7		-30,7		-15,4		128,3		83,9		128,3		128,3		-62,8		
5	HN_04	HN_04	HLAVNÍ NOSNÍK 4	PRUT i X [m] j	Nx	[kN]	66,0		-87,8		66,0		-87,8		-23,7		-30,0		66,0		-87,8		89,1		-118,5		89,1		-118,5		-32,0		-40,5		89,1		-118,5		
					My	[kNm]	1679,3	T-E	-2406,2	T-E	1679,3	T-E	-2406,2	T-E	1656,1	T-E	1653,1	T-E	1679,3	T-E	-2406,2	T-E	2267,1	T-E	-3248,3	T-E	2267,1	T-E	-3248,3	T-E	2235,7	T-E	2231,6	T-E	2267,1	T-E	-3248,3	T-E	
					Mz	[kNm]	0,5		1,0		0,5		1,0		2,1		-2,0		0,5		1,0		0,7		1,4		0,7		1,4		2,9		-2,7		0,7		1,4		
					Vz	[kN]	13,7		-19,3		13,7		-19,3		-14,8		13,3		13,7		-19,3		18,5		-26,0		18,5		-26,0		-20,0		17,9		18,5		-26,0		
6	HN_05	HN_05	HLAVNÍ NOSNÍK 5	PRUT i X [m] j	Nx	[kN]	66,3		-75,7		66,3		-75,7		-61,2		-61,0		66,3		-75,7		89,5		-102,2		89,5		-102,2		-82,6		-82,4		89,5		-102,2		
					My	[kNm]	1531,3	T-E	-2193,4	T-E	1531,3	T-E	-2193,4	T-E	-780,6	T-E	-784,8	T-E	1531,3	T-E	-2193,4	T-E	2067,2	T-E	-2961,0	T-E	2067,2	T-E	-2961,0	T-E	-1053,9	T-E	-1059,4	T-E	2067,2	T-E	-2961,0	T-E	
					Mz	[kNm]	2,4		-1,9		2,4		-1,9		4,4		-4,1		2,4		-1,9		3,2		-2,6		3,2		-2,6		6,0		-5,5		3,2		-2,6		
					Vz	[kN]	11,2		-15,1		11,2		-15,1		1,1		-2,4		11,2		-15,1		15,1		-20,4		15,1		-20,4		1,5		-3,2		15,1		-20,4		
7	HN_06	HN_06	HLAVNÍ NOSNÍK 6	PRUT i X [m] j	Nx	[kN]	50,9		-79,0		50,9		-79,0		-55,2		-54,7		49,3		-54,7		68,8		-106,7		68,8		-106,7		-74,5		-73,8		66,6		-73,8		
					My	[kNm]	1473,4	T-E	-2056,1	T-E	1473,4	T-E	-2056,1	T-E	-770,0	T-E	-773,2	T-E	566,1	T-E	-773,2	T-E	1989,0	T-E	-2775,7	T-E	1989,0	T-E	-2775,7	T-E	-1039,5	T-E	-1043,9	T-E	764,2	T-E	-1043,9	T-E	
					Mz	[kNm]	2,5		-1,9		2,5		-1,9		5,2		-5,3		2,5		-5,3		3,3		-2,5		3,3		-2,5		7,0		-7,1		3,4		-7,1		
					Vz	[kN]	-1,0		2,0		-1,0		2,0		0,9		-1,1		2,5		-1,1		-1,3		2,8		-1,3		2,8		1,3		-1,4		3,3		-1,4		
8	P_1	P_1	PŘÍČNÍK 1	PRUT i X [m] j	Nx	[kN]	1,9		-2,4		-0,9		0,5		-2,4		-2,4		-0,9		-2,4		2,6		-3,3		-1,2		0,6		-3,3		-3,3		-1,2		-3,3		
					My	[kNm]	0,2	T-E	-0,3	T-E	4,1	T-E	-3,9	T-E	-0,3	T-E	-0,3	T-E	4,1	T-E	-0,3	T-E	0,3	T-E	-0,4	T-E	5,5	T-E	-5,3	T-E	-0,4	T-E	-0,4	T-E	5,5	T-E	-0,4	T-E	
					Mz	[kNm]	0,2		0,5		-0,1		0,0		0,5		-0,5		-0,1		-0,5		0,3		0,7		-0,1		0,7		-0,7		-0,1		-0,7				
					Vz	[kN]	0,0		0,2		1,8		1,7		0,2		-0,3		1,8		-0,3		0,0		0,3		2,4		2,3		0,3		-0,4		2,4		-0,4		
9	P_2	P_2	PŘÍČNÍK 2	PRUT i X [m] j	Nx	[kN]	74,2		-85,2		59,4		-0,2		-85,2		-84,3		-84,3		1,9		100,2		-115,1		80,2		-0,2		-115,1		-113,7		-113,7		2,5		
					My	[kNm]	6,4	T-E	-0,9	T-E	22,5	T-E	-39,0	T-E	-0,9	T-E	-3,4	T-E	-3,4	T-E	-20,6	T-E	8,6	T-E	-1,2	T-E	30,4	T-E	-52,6	T-E	-1,2	T-E	-4,6	T-E	-4,6	T-E	-27,8	T-E	
					Mz	[kNm]	1,6		2,6		-1,0		2,4		2,6		-2,1		-2,1		-0,5		2,2		3,5		-1,3		3,2		3,5		-2,9		-2,9		-0,7		
					Vz	[kN]	-0,6		-0,9		-0,8		-5,6		-0,9		0,8		0,8		-5,9		-0,8		-1,2		-1,0		-7,6		-1,2		1,1		1,1		-7,9		
10	P_3	P_3	PŘÍČNÍK 3	PRUT i X [m] j	Nx	[kN]	133,9		-138,5		121,7		-137,7		5,9		0,1		50,8		-138,5		180,8		-186,9		164,3		-185,9		8,0		0,2		68,5		-186,9		
					My	[kNm]	17,0	T-E	-36,9	T-E	38,3	T-E	-42,2	T-E	6,7	T-E	23,6	T-E	17,5	T-E	-36,9	T-E	22,9	T-E	-49,7	T-E	51,7	T-E	-56,9	T-E	9,0	T-E	31,8	T-E	23,6	T-E	-49,7	T-E	
					Mz	[kNm]	0,1		-0,3		1,4		1,3		2,3		-0,6		1,0		-0,3		0,1		-0,4		1,9		1,8		3,1		-0,8		1,4		-0,4		
					Vz	[kN]	0,0		-4,4		-3,6		-3,6		0,5		0,5		2,2		-4,4		0,0		-5,9		-4,9		-4,8		0,7		0,6		3,0		-5,9		
HORNÍ DÍLČÍ SOUČINITEL ZATÍŽENÍ (VČETNĚ ROZPTYLU NOMINÁLNÍCH HODNOT)						γ _{sup}	1,00		1,00		1,00		1,00		1,00		1,00		1,00		1,00		1,35		1,35		1,35		1,35		1,35		1,35		1,35				
DOLNÍ DÍLČÍ SOUČINITEL ZATÍŽENÍ (VČETNĚ ROZPTYLU NOMINÁLNÍCH HODNOT)						γ _{inf}	0,00		0,00		0,00		0,00		0,00		0,00		0,00		0,00		0,00		0,00		0,00		0,00		0,00		0,00		0,00				

TAB 2,12 1-10 VNITŘNÍ SÍLY Nx, My, Mz, Vz - ZÁKLADNÍ SKUPINY ZATĚŽOVACÍCH STAVŮ

ZATÍŽENÍ: R2 PŘECHODNOST C3-50

POSUDEK		POSUZOVANÝ PRŮŘEZ			VNITŘNÍ SÍLY		CHARAKTERISTICKÉ HODNOTY ZATÍŽENÍ																NÁVRHOVÉ HODNOTY ZATÍŽENÍ																§	Ld
Č.	OZN.PRUTU	PRŮŘEZ	POPIS	PRUT - X	VELIČINA	JEDNOTKY	N _{max}	ZS č.	N _{min}	ZS č.	M _{y,max}	ZS č.	M _{y,min}	ZS č.	V _{z,max}	ZS č.	V _{z,min}	ZS č.	N _{max}	ZS č.	N _{min}	ZS č.	M _{y,max}	ZS č.	M _{y,min}	ZS č.	M _{z,max}	ZS č.	M _{z,min}	ZS č.	V _{z,max}	ZS č.	V _{z,min}	ZS č.	[-]	[m]				
1	HN_01	HN_01	HLAVNÍ NOSNÍK 1	PRUT	Nx	[kN]	180,4		-323,0		-74,5	83,5	-45,6	-183,6	1,5	66,6		234,5	-419,9	-96,9	108,5	-59,3	-238,7	2,0	86,5	1,05	53,950													
				i	My	[kNm]	-2934,6	R2	-1936,7	R2	6116,6	R2	-5061,5	R2	-2153,8	R2	-395,9	R2	-4600,5	R2	-4875,3	R2	-3815,0	R2	-2517,7	R2	7951,6	R2	-6579,9	R2	-2799,9	R2	-514,7	R2	-5980,7	R2	-6337,9	R2	1,05	53,950
				X [m]	Mz	[kNm]	-16,9		18,3		-1,6	0,7	45,3		-51,1		7,9		8,6		-21,9		23,7		-2,1	0,9	58,8		-66,4		10,3		11,2		1,05	53,950				
				j	Vz	[kN]	103,1		73,3		296,8		-735,9		650,1		-596,9		879,7		-841,5		134,0		95,3		385,9		-956,7		845,1		-776,0		1143,7		-1094,0		1,05	53,950
					Nx	[kN]	128,1		-352,5		-220,5	124,4	-75,3	-218,7	-119,8	-21,2	166,5	-458,2	-286,6	161,7	-97,8	-284,3	-155,8	-27,5	1,05	53,950														
2	HN_02	HN_02	HLAVNÍ NOSNÍK 2	i	My	[kNm]	-1489,1	R2	5886,4	R2	6881,7	R2	-2012,6	R2	3251,5	R2	3624,9	R2	1982,6	R2	2045,3	R2	-1935,9	R2	7652,3	R2	8946,2	R2	-2616,4	R2	4226,9	R2	4712,3	R2	2577,4	R2	2658,8	R2	1,05	53,950
				X [m]	Mz	[kNm]	5,4		7,3		8,2	-6,1	36,8		-44,9		6,0		5,8		7,1		9,4		10,6	-7,9	47,9		-58,4		7,8		7,6		1,05	53,950				
				j	Vz	[kN]	67,3		-299,6		88,1	-90,2	-109,1	-113,2	464,7	-495,9	87,4	-389,4		114,5	-117,2	-141,8	-147,1	604,2	-644,7	1,05	53,950													
					Nx	[kN]	2552,0		-334,8		390,8	13,0	-145,3	-99,5	-5,1	17,8	3317,6	-435,3	508,1	16,9	-188,9	-129,3	-6,6	23,1	1,05	53,950														
				i	My	[kNm]	-2810,9	R2	-2201,1	R2	531,3	R2	-7654,4	R2	-5999,9	R2	-5699,7	R2	-7399,2	R2	-7504,9	R2	-3654,2	R2	-2861,5	R2	690,7	R2	-9950,7	R2	-7799,9	R2	-7409,6	R2	-9618,9	R2	-9756,4	R2	1,05	53,950
3	HN_03A	HN_03A	HLAVNÍ NOSNÍK 3A	X [m]	Mz	[kNm]	-39,7		26,3		7,5	30,0	60,6	-58,8	15,7	22,0	-51,6	34,2	9,7	39,0	78,8	-76,5	20,4	28,6	1,05	53,950														
				j	Vz	[kN]	358,9		80,9		44,8	-931,2	-750,5	732,1	990,0	-945,8	466,6	105,1	58,2	-1210,5	-975,6	951,8	1287,0	-1229,5	1,05	53,950														
					Nx	[kN]	2530,7		-334,8		123,5	12,3	-174,7	-83,2	-5,1	17,8	3290,0	-435,3	180,6	16,0	-227,1	-108,1	-6,6	23,1	1,05	53,950														
				i	My	[kNm]	-1491,1	R2	-2165,8	R2	1665,3	R2	-7109,7	R2	-5760,4	R2	-5699,9	R2	-6931,4	R2	-7057,9	R2	-1938,5	R2	-2815,5	R2	2164,9	R2	-9242,6	R2	-7488,5	R2	-7409,9	R2	-9010,8	R2	-9175,3	R2	1,05	53,950
				X [m]	Mz	[kNm]	-2,8		20,5		3,5	23,7	45,0	-43,5	17,7	17,8	-3,6	26,7		4,6	30,8	58,4	-56,5	22,9	23,1	1,05	53,950													
4	HN_03B	HN_03B	HLAVNÍ NOSNÍK 3B	j	Vz	[kN]	211,4		80,9		269,9	-928,4	-846,5	829,9	990,0	-945,8	274,8	105,1	350,8	-1206,9	-1100,5	1078,8	1287,0	-1229,5	1,05	53,950														
					Nx	[kN]	2439,0		-522,2		671,1	2027,3	1530,9	1598,6	746,0	677,4	3170,7	-678,9	872,5	2635,5	1990,1	2078,2	969,8	880,6	1,05	53,950														
				i	My	[kNm]	279,7	R2	-717,6	R2	4177,5	R2	-4689,3	R2	-498,0	R2	-108,6	R2	-2327,1	R2	-3037,0	R2	363,6	R2	-932,9	R2	5430,7	R2	-6096,1	R2	-647,5	R2	-141,2	R2	-3025,2	R2	-3948,1	R2	1,05	53,950
				X [m]	Mz	[kNm]	-20,4		-6,0		-1,0	-1,8	38,4		-38,8		1,1		-6,0		-26,5		-7,7		-1,3	-2,3	50,0		-50,4		1,4		-7,8		1,05	53,950				
				j	Vz	[kN]	-274,5		-126,7		37,1	-191,8	273,4	-248,7	612,9	-632,4	-356,9	-164,7		48,2	-249,3	355,4	-323,3	796,8	-822,1	1,05	53,950													
5	HN_04	HN_04	HLAVNÍ NOSNÍK 4	PRUT	Nx	[kN]	2439,0		-522,2		671,1	2027,3	1530,9	1598,6	746,0	677,4	3170,7	-678,9	872,5	2635,5	1990,1	2078,2	969,8	880,6	1,05	53,950														
				i	My	[kNm]	279,7	R2	-717,6	R2	4177,5	R2	-4689,3	R2	-498,0	R2	-108,6	R2	-2327,1	R2	-3037,0	R2	363,6	R2	-932,9	R2	5430,7	R2	-6096,1	R2	-647,5	R2	-141,2	R2	-3025,2	R2	-3948,1	R2	1,05	53,950
				X [m]	Mz	[kNm]	-20,4		-6,0		-1,0	-1,8	38,4		-38,8		1,1		-6,0		-26,5		-7,7		-1,3	-2,3	50,0		-50,4		1,4		-7,8		1,05	53,950				
				j	Vz	[kN]	-274,5		-126,7		37,1	-191,8	273,4	-248,7	612,9	-632,4	-356,9	-164,7		48,2	-249,3	355,4	-323,3	796,8	-822,1	1,05	53,950													
					Nx	[kN]	2368,1		-498,5		1007,9	1462,9	1726,1	1800,7	1593,9	1358,5	3074,7	-648,1	1310,3	1901,7	2244,0	2340,9	2072,1	1766,0	1,05	53,950														
6	HN_05	HN_05	HLAVNÍ NOSNÍK 5	i	My	[kNm]	1154,8	R2	406,8	R2	4362,6	R2	-3906,9	R2	-1294,2	R2	1189,5	R2	-2063,8	R2	-1339,9	R2	1501,2	R2	528,9	R2	5671,4	R2	-5079,0	R2	-1682,4	R2	1546,3	R2	-2682,9	R2	-1741,9	R2	1,05	53,950
				X [m]	Mz	[kNm]	-3,9		-1,4		-5,4	-5,7	27,3		-25,0		-6,3		-4,4		-5,0		-1,8		-7,0	-7,4	35,5		-32,5		-8,2		-5,7		1,05	53,950				
				j	Vz	[kN]	-55,6		-30,9		-112,1	-138,7	244,6		-112,4		440,5		-436,3		-72,2		-40,2		-145,7	-180,4	317,9		-146,2		572,6		-567,1		1,05	53,950				
					Nx	[kN]	2315,0		-498,5		1232,3	876,0	1778,5	1756,3	1474,8	1489,6	3009,5	-648,1	1602,0	1138,7	2312,0	2283,2	1917,2	1936,5	1,05	53,950														
				i	My	[kNm]	2190,9	R2	509,6	R2	3789,9	R2	-2020,1	R2	1528,7	R2	1786,4	R2	-835,9	R2	-744,2	R2	2848,2	R2	662,5	R2	4926,8	R2	-2626,1	R2	1987,2	R2	2322,3	R2	-1086,7	R2	-967,5	R2	1,05	53,950
7	HN_06	HN_06	HLAVNÍ NOSNÍK 6	X [m]	Mz	[kNm]	-5,0		1,3		-6,7	1,6	20,6		-21,1		1,3		-1,3		-6,4		1,6		-8,7	2,1	26,7		-27,4		1,7		-1,7		1,05	53,950				
				j	Vz	[kN]	-37,0		-30,9		-143,4	219,2	99,4		-88,1		425,5		-433,9		-48,1		-40,2		-186,4	285,0		129,2		-114,6		553,2		-564,1		1,05	53,950			
					Nx	[kN]	2,7		-7,1		-4,9	0,4	-6,9	-5,7	-5,0	-3,3	3,5	-9,2	-6,4	0,5	-9,0	-7,4	-6,6	-4,3	1,56	6,900														
				i	My	[kNm]	-4,0	R2	-0,8	R2	40,5	R2	-18,8	R2	-0,7	R2	-0,6	R2	-0,3	R2	-0,2	R2	-5,2	R2	-1,1	R2	52,6	R2	-24,5	R2	-1,0	R2	-0,8	R2	-0,4	R2	-0,2	R2	1,56	6,900
				X [m]	Mz	[kNm]	0,1		0,5		0,0	0,2	0,6		-0,5		0,5		-0,4		0,2		0,7		-0,1	0,3		0,7		-0,6		0,6		-0,5		1,56	6,900			
8	P_1	P_1	PŘÍČNÍK 1	j	Vz	[kN]	4,8		13,7		17,7	8,1	15,8		-10,8		17,7		-12,7		6,3	17,8		23,0	10,5	20,6		-14,1		23,0		-16,6		1,56	6,900					
					Nx	[kN]	235,8		-166,2		-76,5	-166,2	-84,9	7,6	-104,4	-108,4	306,6	-216,0	-99,5	-216,0	-110,3	9,9	-135,7	-140,9	1,56	3,600														
				i	My	[kNm]	115,1	R2	-203,0	R2	420,5	R2	-203,0	R2	26,4	R2	223,3	R2	-11,6	R2	-47,8	R2	149,7	R2	-264,0	R2	546,7	R2	-264,0	R2	34,3	R2	290,2	R2	-15,0	R2	-62,1	R2	1,56	3,600
				X [m]	Mz	[kNm]	0,2		4,7		-6,6	4,7	12,2		-11,0		3,9		-3,8		0,2		6,1		-8,6	6,1	15,8		-14,4		5,1		-4,9		1,56	3,600				
				j	Vz	[kN]	15,2		-24,1		-196,9	-24,1	-6,2	-5,4	240,6	-223,9	19,8	-31,3	-256,0	-31,3	-8,1	-7,0	312,8	-291,0	1,56	3,600														
9	P_2	P_2	PŘÍČNÍK 2	PRUT	Nx	[kN]	141,1		-224,4		8,3	-105,2	-7,7	-9,7	-113,6	-98,8	183,5	-291,7	10,8	-136,8	-10,0	-147,7	-128,5	1,38	8,800															
				i	My	[kNm]	297,6	R2	248,4	R2	433,1	R2	-42,9	R2	73,4	R2	106,6	R2	125,8	R2	105,5	R2	386,8	R2	322,9	R2	563,0	R2	-55,8	R2	95,4	R2	138,5	R2	163,5	R2	137,2	R2	1,38	8,800
				X [m]	Mz	[kNm]	2,1		-2,1		-0,1	4,3	18,3		-19,6		-1,8		4,6		2,7		-2,7		-0,2	5,7		23,8		-25,5		-2,1		5,9		1,38	8,800			
				j	Vz	[kN]	-14,3		-158,0																															

TAB		2,1		11-20		VNITŘNÍ SÍLY Nx, My, Mz, Vz - ZÁKLADNÍ SKUPINY ZATĚŽOVACÍCH STAVŮ																																	
ZATÍŽENÍ:		G1		STÁLÉ																																			
POSUDEK		POSUZOVANÝ PRŮŘEZ				VNITŘNÍ SÍLY		CHARAKTERISTICKÉ HODNOTY ZATÍŽENÍ																NÁVRHOVÉ HODNOTY ZATÍŽENÍ															
Č.	OZN.PRUTU	PRŮŘEZ	POPIS	PRUT - X	VELIČINA	JEDNOTKY	N _{x,max}	ZS č.	N _{x,min}	ZS č.	M _{y,max}	ZS č.	M _{y,min}	ZS č.	M _{z,max}	ZS č.	M _{z,min}	ZS č.	V _{z,max}	ZS č.	V _{z,min}	ZS č.	N _{x,max}	ZS č.	N _{x,min}	ZS č.	M _{y,max}	ZS č.	M _{y,min}	ZS č.	M _{z,max}	ZS č.	M _{z,min}	ZS č.	V _{z,max}	ZS č.	V _{z,min}	ZS č.	
11	P_4	P_4	PŘÍČNÍK 4	PRUT	Nx	[kN]	69,6		61,1		61,1		65,6		69,6		66,0		69,6		65,6		87,1		61,1		76,4		82,1		87,0		82,5		87,0		82,1		
				i	My	[kNm]	75,7	G1	75,2	G1	75,7	G1	-14,7	G1	21,5	G1	58,7	G1	21,5	G1	-14,7	G1	94,6	G1	75,2	G1	94,6	G1	-18,4	G1	26,9	G1	73,3	G1	26,9	G1	-18,4	G1	
				X [m]	Mz	[kNm]	2,5		-2,2		0,2		0,5		2,5		-7,2		2,5		0,5		3,1		-2,2		0,3		0,6		3,1		-9,0		3,1		0,6		
				j	Vz	[kN]	18,3		1,9		-1,2		-31,8		18,3		2,4		18,3		-31,8		22,9		1,9		-1,5		-39,8		22,9		3,0		22,9		-39,8		
12	P_5	P_5	PŘÍČNÍK 5	PRUT	Nx	[kN]	70,7		-54,5		64,1		-54,5		7,7		-9,8		70,7		7,7		88,3		-68,1		80,1		-54,5		9,6		-1,0		88,3		9,6		
				i	My	[kNm]	52,5	G1	16,4	G1	52,5	G1	16,4	G1	36,9	G1	27,0	G1	48,9	G1	17,2	G1	65,6	G1	20,5	G1	65,6	G1	16,4	G1	46,2	G1	33,7	G1	61,1	G1	21,5	G1	
				X [m]	Mz	[kNm]	7,3		-1,3		4,3		-1,3		7,3		-9,8		1,2		-8,9		9,2		-1,6		5,4		-1,3		9,2		-12,3		1,5		-11,1		
				j	Vz	[kN]	1,0		-13,7		-13,5		-13,7		-0,4		-13,2		1,0		-19,0		1,2		-17,1		-16,9		-13,7		-0,4		-16,4		1,2		-23,8		
13	B_1	B_1	BRZDNÉ ZTUŽIDLO 1	PRUT	Nx	[kN]	33,7		-36,3		33,7		33,7		33,7		33,7		33,7		33,7		42,1		-45,3		42,1		33,7		42,1		33,7		42,1		33,7		
				i	My	[kNm]	0,0	G1	0,0	G1	0,0	G1	0,0	G1	0,0	G1	0,0	G1	0,0	G1	0,0	G1	0,0	G1	0,0	G1	0,0	G1	0,0	G1	0,0	G1	0,0	G1	0,0	G1	0,0	G1	
				X [m]	Mz	[kNm]	0,0		0,0		0,0		0,0		0,0		0,0		0,0		0,0		0,0		0,0		0,0		0,0		0,0		0,0		0,0		0,0		
				j	Vz	[kN]	0,0		0,0		0,0		0,0		0,0		0,0		0,0		0,0		0,0		0,0		0,0		0,0		0,0		0,0		0,0		0,0		
14	B_2	B_2	BRZDNÉ ZTUŽIDLO 2	PRUT	Nx	[kN]	26,5		-28,9		26,5		26,5		26,5		26,5		26,5		26,5		33,1		-36,1		33,1		26,5		33,1		26,5		33,1		26,5		
				i	My	[kNm]	0,0	G1	0,0	G1	0,0	G1	0,0	G1	0,0	G1	0,0	G1	0,0	G1	0,0	G1	0,0	G1	0,0	G1	0,0	G1	0,0	G1	0,0	G1	0,0	G1	0,0	G1	0,0	G1	
				X [m]	Mz	[kNm]	0,0		0,0		0,0		0,0		0,0		0,0		0,0		0,0		0,0		0,0		0,0		0,0		0,0		0,0		0,0		0,0		
				j	Vz	[kN]	0,0		0,0		0,0		0,0		0,0		0,0		0,0		0,0		0,0		0,0		0,0		0,0		0,0		0,0		0,0		0,0		
15	B_3	B_3	BRZDNÉ ZTUŽIDLO 3	PRUT	Nx	[kN]	7,3		-4,6		7,3		7,3		7,3		7,3		7,3		7,3		9,1		-5,7		9,1		7,3		9,1		7,3		9,1		7,3		
				i	My	[kNm]	0,0	G1	0,0	G1	0,0	G1	0,0	G1	0,0	G1	0,0	G1	0,0	G1	0,0	G1	0,0	G1	0,0	G1	0,0	G1	0,0	G1	0,0	G1	0,0	G1	0,0	G1	0,0	G1	
				X [m]	Mz	[kNm]	0,0		0,0		0,0		0,0		0,0		0,0		0,0		0,0		0,0		0,0		0,0		0,0		0,0		0,0		0,0		0,0		
				j	Vz	[kN]	0,0		0,0		0,0		0,0		0,0		0,0		0,0		0,0		0,0		0,0		0,0		0,0		0,0		0,0		0,0		0,0		
16	B_4	B_4	BRZDNÉ ZTUŽIDLO 4	PRUT	Nx	[kN]	5,0		-2,4		5,0		5,0		5,0		5,0		5,0		5,0		6,3		-3,0		6,3		5,0		6,3		5,0		6,3		5,0		
				i	My	[kNm]	0,0	G1	0,0	G1	0,0	G1	0,0	G1	0,0	G1	0,0	G1	0,0	G1	0,0	G1	0,0	G1	0,0	G1	0,0	G1	0,0	G1	0,0	G1	0,0	G1	0,0	G1	0,0	G1	
				X [m]	Mz	[kNm]	0,0		0,0		0,0		0,0		0,0		0,0		0,0		0,0		0,0		0,0		0,0		0,0		0,0		0,0		0,0		0,0		
				j	Vz	[kN]	0,0		0,0		0,0		0,0		0,0		0,0		0,0		0,0		0,0		0,0		0,0		0,0		0,0		0,0		0,0		0,0		
17	K_1	K_1	ZTUŽENÍ OBLOUKU	PRUT	Nx	[kN]	2,8		-5,1		-3,2		-5,1		1,8		-4,5		-5,1		1,8		3,5		-6,3		-4,0		-6,3		2,2		-5,6		-6,3		2,2		
				i	My	[kNm]	17,8	G1	-14,4	G1	17,8	G1	-14,4	G1	-3,5	G1	-13,7	G1	-14,4	G1	-3,5	G1	22,3	G1	-18,0	G1	22,3	G1	-18,0	G1	-4,4	G1	-17,2	G1	-18,0	G1	-4,4	G1	
				X [m]	Mz	[kNm]	1,7		-1,8		1,6		-1,8		1,7		-1,8		-1,8		1,7		2,2		-2,2		2,0		-2,2		2,2		-2,2		2,2		2,2		
				j	Vz	[kN]	9,1		9,1		2,0		9,1		-5,2		8,7		9,1		-5,2		11,4		11,4		2,5		11,4		-6,5		10,9		11,4		-6,5		
18	O_1	O_1	OBLOUK 1	PRUT	Nx	[kN]	-1233,7		-1254,6		-1233,7		-1254,6		-1251,3		-1236,5		-1252,4		-1254,6		-1233,7		-1568,3		-1542,1		-1568,3		-1564,2		-1545,6		-1565,6		-1568,3		
				i	My	[kNm]	58,7	G1	-16,6	G1	58,7	G1	-16,6	G1	-6,3	G1	5,9	G1	-5,9	G1	-16,6	G1	58,7	G1	-20,7	G1	73,4	G1	-20,7	G1	-7,9	G1	7,4	G1	-7,4	G1	-20,7	G1	
				X [m]	Mz	[kNm]	7,3		-7,8		4,3		-7,8		7,3		-17,6		-5,3		-7,8		7,3		-9,7		5,4		-9,7		9,1		-22,0		-6,6		-9,7		
				j	Vz	[kN]	25,8		-26,0		6,9		-26,0		-25,8		-25,0		25,8		-26,0		25,8		-32,5		8,7		-32,5		-32,2		-31,2		32,2		-32,5		
19	O_2	O_2	OBLOUK 2	PRUT	Nx	[kN]	-1267,0		-1282,0		-1269,5		-1282,0		-1267,0		-1268,1		-1278,7		-1282,0		-1267,0		-1602,5		-1586,8		-1602,5		-1583,8		-1585,2		-1598,4		-1602,5		
				i	My	[kNm]	8,5	G1	-37,9	G1	8,5	G1	-37,9	G1	-6,0	G1	-5,6	G1	-28,4	G1	-37,9	G1	8,5	G1	-47,4	G1	10,6	G1	-47,4	G1	-7,5	G1	-7,0	G1	-35,5	G1	-47,4	G1	
				X [m]	Mz	[kNm]	12,4		-1,6		-9,0		-1,6		12,4		-10,3		0,1		-1,6		12,4		-2,0		-11,2		-2,0		15,5		-12,9		0,1		-2,0		
				j	Vz	[kN]	22,9		-22,7		-12,0		-22,7		16,9		-17,0		22,9		-22,7		22,9		-28,3		-15,0		-28,3		21,2		-21,2		28,6		-28,3		
20	O_3	O_3	OBLOUK 3	PRUT	Nx	[kN]	-1300,9		-1352,7		-1300,9		-1351,5		-1352,7		-1351,5		-1352,7		-1351,5		-1300,9		-1690,9		-1300,9		-1689,4		-1690,9		-1689,4		-1690,9		-1689,4		
				i	My	[kNm]	-28,4	G1	-77,9	G1	-28,4	G1	-79,1	G1	-77,9	G1	-79,1	G1	-77,9	G1	-79,1	G1	-28,4	G1	-97,3	G1	-28,4	G1	-98,8	G1	-97,3	G1	-98,8	G1	-97,3	G1	-98,8	G1	
				X [m]	Mz	[kNm]	21,3		21,3		-0,1		-23,4		21,3		-23,4		21,3		-23,4		21,3		26,7		-0,1		-29,2		26,7		-29,2		26,7		-29,2		
				j	Vz	[kN]	20,6		20,6		-14,4		-20,6		20,6		-20,6		20,6		-20,6		20,6		25,7		-14,4		-25,7		25,7		-25,7		25,7		-25,7		
HORNÍ DÍLČÍ SOUČINITEL ZATÍŽENÍ (VČETNÉ ROZPTYLU NOMINÁLNÍCH HODNOT)							γ _{sup}	1,00	1,00	1,00	1,00	1,00	1,00	1,00	1,00	1,00	1,00	1,00	1,00	1,00	1,00	1,00	1,00	1,00	1,00	1,00	1,00	1,00	1,00	1,00	1,00	1,00	1,00	1,00	1,00	1,00	1,00	1,00	
DOLNÍ DÍLČÍ SOUČINITEL ZATÍŽENÍ (VČETNÉ ROZPTYLU NOMINÁLNÍCH HODNOT)							γ _{inf}	1,00	1,00	1,00	1,00	1,00	1,00	1,00	1,00	1,00	1,00	1,00	1,00	1,00	1,00	1,00	1,00	1,00	1,00	1,00	1,00	1,00	1,00	1,00	1,00	1,00	1,00	1,00	1,00	1,00	1,00	1,00	1,00

TAB		2,1		11-20		VNITŘNÍ SÍLY Nx, My, Mz, Vz - ZÁKLADNÍ SKUPINY ZATĚŽOVACÍCH STAVŮ																																
ZATÍŽENÍ:		G2		STÁLÉ																																		
POSUDEK		POSUZOVANÝ PRŮŘEZ			VNITŘNÍ SÍLY		CHARAKTERISTICKÉ HODNOTY ZATÍŽENÍ																NÁVRHOVÉ HODNOTY ZATÍŽENÍ															
Č.	OZN.PRUTU	PRŮŘEZ	POPIS	PRUT - X	VELIČINA	JEDNOTKY	N _{x,max}	ZS č.	N _{x,min}	ZS č.	M _{y,max}	ZS č.	M _{y,min}	ZS č.	M _{z,max}	ZS č.	M _{z,min}	ZS č.	V _{z,max}	ZS č.	V _{z,min}	ZS č.	N _{x,max}	ZS č.	N _{x,min}	ZS č.	M _{y,max}	ZS č.	M _{y,min}	ZS č.	M _{z,max}	ZS č.	M _{z,min}	ZS č.	V _{z,max}	ZS č.	V _{z,min}	ZS č.
11	P_4	P_4	PŘÍČNÍK 4	PRUT	Nx	[kN]	1,7		0,8		0,8		1,2		1,7		1,2		1,7		1,2		2,2		0,8		1,0		1,2		2,2		1,6		2,2		1,5	
				i	My	[kNm]	2,7	G2	4,8	G2	4,8	G2	0,3	G2	2,7	G2	2,6	G2	2,7	G2	0,3	G2	3,4	G2	4,8	G2	5,9	G2	0,3	G2	3,4	G2	3,2	G2	3,4	G2	0,3	G2
				X [m]	Mz	[kNm]	0,0		-0,1		-0,1		-0,1		0,0		-0,2		0,0		-0,1		0,0		-0,1		0,0		-0,1		0,0		-0,3		0,0		-0,1	
				j	Vz	[kN]	0,5		-1,3		-1,3		-2,2		0,5		-1,1		0,5		-2,2		0,6		-1,3		-1,6		-2,2		0,6		-1,4		0,6		-2,7	
12	P_5	P_5	PŘÍČNÍK 5	PRUT	Nx	[kN]	2,1		-1,7		1,4		-0,1		0,6		-0,1		0,6		0,3		2,6		-2,2		1,8		-0,1		0,7		-0,1		0,7		0,3	
				i	My	[kNm]	3,9	G2	3,8	G2	4,3	G2	1,7	G2	3,0	G2	1,7	G2	3,0	G2	1,8	G2	4,9	G2	4,7	G2	5,4	G2	1,7	G2	3,7	G2	2,2	G2	3,7	G2	2,3	G2
				X [m]	Mz	[kNm]	0,0		0,0		0,1		-0,3		0,2		-0,3		0,2		-0,2		0,0		0,0		0,2		-0,3		0,2		-0,4		0,2		-0,3	
				j	Vz	[kN]	-0,1		-2,0		-1,9		-1,4		0,1		-1,4		0,1		-2,0		-0,1		-2,4		-2,3		-1,4		0,1		-1,8		0,1		-2,5	
13	B_1	B_1	BRZDNÉ ZTUŽIDLO 1	PRUT	Nx	[kN]	0,6		-1,0		0,6		0,6		0,6		0,6		0,6		0,6		0,8		-1,3		0,8		0,6		0,8		0,6		0,8		0,6	
				i	My	[kNm]	0,0	G2	0,0	G2	0,0	G2	0,0	G2	0,0	G2	0,0	G2	0,0	G2	0,0	G2	0,0	G2	0,0	G2	0,0	G2	0,0	G2	0,0	G2	0,0	G2	0,0	G2	0,0	G2
				X [m]	Mz	[kNm]	0,0		0,0		0,0		0,0		0,0		0,0		0,0		0,0		0,0		0,0		0,0		0,0		0,0		0,0		0,0		0,0	
				j	Vz	[kN]	0,0		0,0		0,0		0,0		0,0		0,0		0,0		0,0		0,0		0,0		0,0		0,0		0,0		0,0		0,0		0,0	
14	B_2	B_2	BRZDNÉ ZTUŽIDLO 2	PRUT	Nx	[kN]	0,4		-0,8		0,4		0,4		0,4		0,4		0,4		0,4		0,6		-1,0		0,6		0,4		0,6		0,4		0,6		0,4	
				i	My	[kNm]	0,0	G2	0,0	G2	0,0	G2	0,0	G2	0,0	G2	0,0	G2	0,0	G2	0,0	G2	0,0	G2	0,0	G2	0,0	G2	0,0	G2	0,0	G2	0,0	G2	0,0	G2	0,0	G2
				X [m]	Mz	[kNm]	0,0		0,0		0,0		0,0		0,0		0,0		0,0		0,0		0,0		0,0		0,0		0,0		0,0		0,0		0,0		0,0	
				j	Vz	[kN]	0,0		0,0		0,0		0,0		0,0		0,0		0,0		0,0		0,0		0,0		0,0		0,0		0,0		0,0		0,0		0,0	
15	B_3	B_3	BRZDNÉ ZTUŽIDLO 3	PRUT	Nx	[kN]	0,3		-0,1		0,3		0,3		0,3		0,3		0,3		0,3		0,3		-0,1		0,3		0,3		0,3		0,3		0,3		0,3	
				i	My	[kNm]	0,0	G2	0,0	G2	0,0	G2	0,0	G2	0,0	G2	0,0	G2	0,0	G2	0,0	G2	0,0	G2	0,0	G2	0,0	G2	0,0	G2	0,0	G2	0,0	G2	0,0	G2	0,0	G2
				X [m]	Mz	[kNm]	0,0		0,0		0,0		0,0		0,0		0,0		0,0		0,0		0,0		0,0		0,0		0,0		0,0		0,0		0,0		0,0	
				j	Vz	[kN]	0,0		0,0		0,0		0,0		0,0		0,0		0,0		0,0		0,0		0,0		0,0		0,0		0,0		0,0		0,0		0,0	
16	B_4	B_4	BRZDNÉ ZTUŽIDLO 4	PRUT	Nx	[kN]	0,0		-0,3		-0,1		-0,1		-0,1		-0,1		-0,1		-0,1		0,0		-0,4		-0,1		-0,1		-0,1		-0,1		-0,1		-0,1	
				i	My	[kNm]	0,0	G2	0,0	G2	0,0	G2	0,0	G2	0,0	G2	0,0	G2	0,0	G2	0,0	G2	0,0	G2	0,0	G2	0,0	G2	0,0	G2	0,0	G2	0,0	G2	0,0	G2	0,0	G2
				X [m]	Mz	[kNm]	0,0		0,0		0,0		0,0		0,0		0,0		0,0		0,0		0,0		0,0		0,0		0,0		0,0		0,0		0,0		0,0	
				j	Vz	[kN]	0,0		0,0		0,0		0,0		0,0		0,0		0,0		0,0		0,0		0,0		0,0		0,0		0,0		0,0		0,0		0,0	
17	K_1	K_1	ZTUŽENÍ OBLOUKU	PRUT	Nx	[kN]	0,1		-0,2		-0,2		-0,2		0,1		-0,2		-0,2		0,1		0,1		-0,2		-0,2		0,1		-0,2		0,1		-0,2		0,1	
				i	My	[kNm]	0,2	G2	-0,4	G2	0,6	G2	-0,4	G2	0,2	G2	-0,4	G2	-0,4	G2	-0,1	G2	0,3	G2	-0,4	G2	0,7	G2	-0,5	G2	0,3	G2	-0,4	G2	-0,5	G2	-0,1	G2
				X [m]	Mz	[kNm]	0,0		0,0		0,0		0,0		0,0		0,0		0,0		0,0		0,0		0,1		-0,1		0,0		-0,1		0,1		-0,1		0,1	
				j	Vz	[kN]	0,1		0,2		0,2		0,2		0,1		0,2		0,2		-0,1		0,1		0,2		0,2		0,2		0,1		0,2		0,2		-0,1	
18	O_1	O_1	OBLOUK 1	PRUT	Nx	[kN]	-27,0		-28,2		-27,0		-27,4		-28,2		-27,1		-27,4		-27,4		-27,0		-35,2		-33,8		-27,4		-35,2		-33,8		-34,2		-34,3	
				i	My	[kNm]	1,2	G2	0,5	G2	1,2	G2	0,2	G2	0,5	G2	0,9	G2	0,5	G2	0,9	G2	1,2	G2	0,6	G2	1,5	G2	0,2	G2	0,6	G2	1,1	G2	0,7	G2	1,1	G2
				X [m]	Mz	[kNm]	0,2		0,3		0,2		-0,2		0,3		-0,6		-0,3		-0,5		0,2		0,4		0,2		-0,2		0,4		-0,8		-0,4		-0,6	
				j	Vz	[kN]	0,0		-0,1		0,0		-0,1		-0,1		-0,1		0,1		-0,1		0,0		-0,1		0,0		-0,1		-0,1		-0,1		0,1		-0,1	
19	O_2	O_2	OBLOUK 2	PRUT	Nx	[kN]	-27,9		-28,7		-27,9		-28,0		-28,7		-27,9		-27,9		-28,0		-27,9		-35,9		-34,9		-35,0		-35,9		-34,9		-34,9		-35,0	
				i	My	[kNm]	-0,2	G2	0,5	G2	0,5	G2	-0,5	G2	0,5	G2	0,5	G2	-0,2	G2	0,2	G2	-0,2	G2	0,7	G2	0,7	G2	-0,6	G2	0,7	G2	0,7	G2	-0,3	G2	0,3	G2
				X [m]	Mz	[kNm]	0,0		0,5		-0,4		0,0		0,5		-0,4		0,0		-0,2		0,0		0,6		-0,5		0,1		0,6		-0,5		0,0		-0,3	
				j	Vz	[kN]	0,1		-0,1		0,1		-0,1		-0,1		0,1		0,1		-0,1		0,1		-0,1		0,1		-0,1		-0,1		0,1		0,1		-0,1	
20	O_3	O_3	OBLOUK 3	PRUT	Nx	[kN]	-28,7		-30,4		-28,7		-29,5		-29,5		-30,3		-28,7		-28,8		-28,7		-37,9		-28,7		-36,9		-36,9		-37,9		-35,8		-36,0	
				i	My	[kNm]	-0,2	G2	-1,7	G2	-0,2	G2	-1,9	G2	-1,9	G2	-1,8	G2	-0,2	G2	-0,5	G2	-0,2	G2	-2,2	G2	-0,2	G2	-2,4	G2	-2,4	G2	-2,2	G2	-0,3	G2	-0,6	G2
				X [m]	Mz	[kNm]	0,0		-0,4		0,0		0,8		0,8		-0,8		0,0		0,1		0,0		-0,6		0,0		1,0		1,0		-1,0		0,0		0,1	
				j	Vz	[kN]	0,1		0,1		0,1		0,1		0,1		-0,1		0,1		-0,1		0,1		0,1		0,1		0,1		0,1		-0,1		0,1		-0,1	
HORNÍ DÍLČÍ SOUČINTEL ZATÍŽENÍ (VČETNÉ ROZPTYLU NOMINÁLNÍCH HODNOT)							γ _{sup}	1,00		1,00		1,00		1,00		1,00		1,00		1,25		1,25		1,25		1,25		1,25		1,25		1,25		1,25		1,25		
DOLNÍ DÍLČÍ SOUČINTEL ZATÍŽENÍ (VČETNÉ ROZPTYLU NOMINÁLNÍCH HODNOT)							γ _{inf}	1,00		1,00		1,00		1,00		1,00		1,00		1,00		1,00		1,00		1,00		1,00		1,00		1,00		1,00		1,00		

112

TAB 2,1 11-20 VNITŘNÍ SÍLY N_x , M_y , M_z , V_z - ZÁKLADNÍ SKUPINY ZATĚŽOVACÍCH STAVŮ

ZATÍŽENÍ: G **STÁLÉ A NAHODILÉ DLOUHODOBÉ ZATÍŽENÍ - ZS01 - ZS05**

POSUDEK		POSUZOVANÝ PRŮŘEZ			VNITŘNÍ SÍLY		CHARAKTERISTICKÉ HODNOTY JEDNOTLIVÝCH ZATÍŽENÍ					NÁVRHOVÉ HODNOTY ZATÍŽENÍ - SUMA STÁLÉ A DLOUHODOBÉ NAHODILÉ																
Č.	OZN.PRUTU	PRŮŘEZ	POPIS	PRUT - X	VELIČINA	JEDNOTKY	ZS01	ZS02	ZS03	ZS04	ZS05	N _{x,max}	ZS č.	N _{x,min}	ZS č.	M _{y,max}	ZS č.	M _{y,min}	ZS č.	M _{z,max}	ZS č.	M _{z,min}	ZS č.	V _{z,max}	ZS č.	V _{z,min}	ZS č.	
11	P_4	P_4	PŘÍČNÍK 4	PRUT	N _x	[kN]	69,6	1,7	10,4	0,0	0,0	102,1	G	71,3	G	89,1	G	96,2	G	101,8	G	97,0	G	101,8	G	96,5	G	
				i	M _y	[kNm]	75,7	4,8	8,4	0,0	0,0	93,3		86,4		111,0		-22,8		29,6		83,2		29,6		-22,7		
				X [m]	M _z	[kNm]	-7,2	-0,2	-0,8	0,0	0,0	3,1		-2,4		0,0		0,4		3,4		-10,2		3,4		0,4		
				j	V _z	[kN]	-31,8	-2,2	-2,4	0,0	0,0	20,6		2,1		-1,2		-44,9		25,9		4,0		25,9		-45,5		
12	P_5	P_5	PŘÍČNÍK 5	PRUT	N _x	[kN]	70,7	2,1	11,2	0,0	0,0	104,9	G	-74,8	G	95,9	G	-59,2	G	10,5	G	-1,4	G	89,2	G	11,0	G	
				i	M _y	[kNm]	52,5	4,3	3,7	0,0	0,0	75,0		23,7		75,5		16,6		51,4		38,2		66,3		24,6		
				X [m]	M _z	[kNm]	-9,8	-0,3	-1,0	0,0	0,0	9,3		-1,7		5,7		-1,7		10,2		-13,8		2,6		-12,5		
				j	V _z	[kN]	-19,0	-2,0	-0,4	0,0	0,0	1,0		-19,8		-19,3		-15,3		0,1		-18,1		1,8		-26,7		
13	B_1	B_1	BRZDNÉ ZTUŽIDLO 1	PRUT	N _x	[kN]	-36,3	-1,0	3,4	0,0	0,0	47,1	G	-50,6	G	47,1	G	37,7	G	47,1	G	37,7	G	47,1	G	37,7	G	
				i	M _y	[kNm]	0,0	0,0	0,0	0,0	0,0	0,0		0,0		0,0		0,0		0,0		0,0		0,0		0,0		0,0
				X [m]	M _z	[kNm]	0,0	0,0	0,0	0,0	0,0	0,0		0,0		0,0		0,0		0,0		0,0		0,0		0,0		0,0
				j	V _z	[kN]	0,0	0,0	0,0	0,0	0,0	0,0		0,0		0,0		0,0		0,0		0,0		0,0		0,0		0,0
14	B_2	B_2	BRZDNÉ ZTUŽIDLO 2	PRUT	N _x	[kN]	-28,9	-0,8	2,6	0,0	0,0	36,9	G	-40,1	G	36,9	G	29,5	G	36,9	G	29,5	G	36,9	G	29,5	G	
				i	M _y	[kNm]	0,0	0,0	0,0	0,0	0,0	0,0		0,0		0,0		0,0		0,0		0,0		0,0		0,0		
				X [m]	M _z	[kNm]	0,0	0,0	0,0	0,0	0,0	0,0		0,0		0,0		0,0		0,0		0,0		0,0		0,0		
				j	V _z	[kN]	0,0	0,0	0,0	0,0	0,0	0,0		0,0		0,0		0,0		0,0		0,0		0,0		0,0		
15	B_3	B_3	BRZDNÉ ZTUŽIDLO 3	PRUT	N _x	[kN]	7,3	0,3	0,9	0,0	0,0	10,5	G	-6,6	G	10,5	G	8,4	G	10,5	G	8,4	G	10,5	G	8,4	G	
				i	M _y	[kNm]	0,0	0,0	0,0	0,0	0,0	0,0		0,0		0,0		0,0		0,0		0,0		0,0		0,0		
				X [m]	M _z	[kNm]	0,0	0,0	0,0	0,0	0,0	0,0		0,0		0,0		0,0		0,0		0,0		0,0		0,0		
				j	V _z	[kN]	0,0	0,0	0,0	0,0	0,0	0,0		0,0		0,0		0,0		0,0		0,0		0,0		0,0		
16	B_4	B_4	BRZDNÉ ZTUŽIDLO 4	PRUT	N _x	[kN]	5,0	-0,3	0,7	0,0	0,0	7,2	G	-3,5	G	7,0	G	5,6	G	7,0	G	5,6	G	7,0	G	5,6	G	
				i	M _y	[kNm]	0,0	0,0	0,0	0,0	0,0	0,0		0,0		0,0		0,0		0,0		0,0		0,0		0,0		
				X [m]	M _z	[kNm]	0,0	0,0	0,0	0,0	0,0	0,0		0,0		0,0		0,0		0,0		0,0		0,0		0,0		
				j	V _z	[kN]	0,0	0,0	0,0	0,0	0,0	0,0		0,0		0,0		0,0		0,0		0,0		0,0		0,0		
17	K_1	K_1	ZTUŽENÍ OBLOUKU	PRUT	N _x	[kN]	-5,1	-0,2	-0,5	0,0	0,0	4,0	G	-7,2	G	-4,7	G	-7,1	G	2,7	G	-6,4	G	-7,1	G	2,6	G	
				i	M _y	[kNm]	17,8	0,6	1,9	0,0	0,0	23,5		-20,5		25,4		-20,5		-3,3		-19,7		-20,5		-5,1		
				X [m]	M _z	[kNm]	-1,8	0,0	-0,2	0,0	0,0	2,4		-2,4		2,2		-2,4		2,4		-2,5		-2,4		2,4		
				j	V _z	[kN]	9,1	0,2	0,6	0,0	0,0	11,7		12,3		3,4		12,4		-6,2		11,9		12,4		-6,8		
18	O_1	O_1	OBLOUK 1	PRUT	N _x	[kN]	-1254,6	-28,2	-110,8	0,0	0,0	-1369,9	G	-1741,9	G	-1712,4	G	-1706,4	G	-1736,9	G	-1716,1	G	-1738,0	G	-1741,0	G	
				i	M _y	[kNm]	58,7	1,2	4,8	0,0	0,0	64,7		-15,8		80,9		-19,5		-4,7		12,8		-4,1		-15,3		
				X [m]	M _z	[kNm]	-17,6	-0,6	-1,9	0,0	0,0	7,9		-11,0		6,2		-10,7		10,6		-25,1		-7,8		-12,0		
				j	V _z	[kN]	-26,0	-0,1	-0,3	0,0	0,0	25,9		-33,0		8,8		-32,9		-32,7		-31,5		32,7		-33,0		
19	O_2	O_2	OBLOUK 2	PRUT	N _x	[kN]	-1282,0	-28,7	-113,1	0,0	0,0	-1407,2	G	-1779,8	G	-1762,8	G	-1778,8	G	-1760,0	G	-1761,1	G	-1774,3	G	-1777,8	G	
				i	M _y	[kNm]	-37,9	0,5	2,1	0,0	0,0	10,4		-45,5		13,9		-50,2		-4,2		-3,7		-36,7		-44,4		
				X [m]	M _z	[kNm]	12,4	0,5	1,4	0,0	0,0	13,8		-2,1		-13,2		-1,8		17,9		-14,8		0,0		-0,4		
				j	V _z	[kN]	22,9	0,1	-0,4	0,0	0,0	22,6		-28,9		-14,4		-28,9		20,6		-20,7		29,2		-28,9		
20	O_3	O_3	OBLOUK 3	PRUT	N _x	[kN]	-1352,7	-30,4	-119,2	0,0	0,0	-1445,4	G	-1877,8	G	-1445,4	G	-1874,5	G	-1876,7	G	-1875,5	G	-1871,5	G	-1870,7	G	
				i	M _y	[kNm]	-79,1	-1,9	-7,6	0,0	0,0	-29,4		-108,7		-29,4		-110,7		-108,9		-110,5		-98,6		-101,6		
				X [m]	M _z	[kNm]	-23,4	-0,8	-2,3	0,0	0,0	21,2		28,0		-0,2		-29,3		30,2		-33,1		26,5		-28,9		
				j	V _z	[kN]	-20,6	-0,1	0,4	0,0	0,0	21,1		25,4		-13,9		-25,2		26,3		-26,3		26,4		-26,4		
HORNÍ DÍLČÍ SOUČINTEL ZATÍŽENÍ (VČETNÉ ROZPTYLU NOMINÁLNÍCH HODNOT)					γ_{sup}		1,25	1,25	1,25	1,25	1,25																	
DOLNÍ DÍLČÍ SOUČINTEL ZATÍŽENÍ (VČETNÉ ROZPTYLU NOMINÁLNÍCH HODNOT)					γ_{inf}		1,00	1,00	1,00	1,00	1,00																	

TAB 2,2 11-20 VNITŘNÍ SÍLY Nx, My, Mz, Vz - ZÁKLADNÍ SKUPINY ZATĚŽOVACÍCH STAVŮ

ZATÍŽENÍ: P UIC 71

POSUDEK				POSUZOVANÝ PRŮŘEZ		VNITŘNÍ SÍLY		CHARAKTERISTICKÉ HODNOTY ZATÍŽENÍ																NÁVRHOVÉ HODNOTY ZATÍŽENÍ																•	Ld
Č.	OZN.PRUTU	PRŮŘEZ	POPIS	PRUT - X	VELIČNA	JEDNOTKY	N _{x,max}	ZS č.	N _{x,min}	ZS č.	M _{y,max}	ZS č.	M _{y,min}	ZS č.	M _{z,max}	ZS č.	M _{z,min}	ZS č.	V _{z,max}	ZS č.	V _{z,min}	ZS č.	N _{x,max}	ZS č.	N _{x,min}	ZS č.	M _{y,max}	ZS č.	M _{y,min}	ZS č.	M _{z,max}	ZS č.	M _{z,min}	ZS č.	V _{z,max}	ZS č.	V _{z,min}	ZS č.	[-]	[m]	
11	P_4	P_4	PŘÍČNÍK 4	PRUT	Nx	[kN]	317,7		-213,7		101,7		194,4		15,3		53,1		240,5		130,3		413,1		-277,9		132,2		252,7		19,9		69,0		312,7		169,4		1,37	8,800	
				i	My	[kNm]	274,1	P	585,1	P	898,5	P	-141,2	P	25,8	P	294,5	P	277,0	P	125,2	P	356,3	P	760,6	P	1168,1	P	-183,6	P	33,5	P	382,8	P	360,1	P	162,7	P	1,37	8,800	
				X [m]	Mz	[kNm]	-5,5		-1,1		1,3		-13,5		15,7		-30,2		-3,0		-19,3		-7,1		-1,5		1,7		-17,5		20,4		-39,3		-3,9		-25,1		1,37	8,800	
				j	Vz	[kN]	50,0		-307,4		-309,6		-56,1		9,0		-146,3		67,0		-415,8		65,0		-399,7		-402,5		-72,9		11,7		-190,2		87,1		-540,6		1,37	8,800	
12	P_5	P_5	PŘÍČNÍK 5	PRUT	Nx	[kN]	413,9		-436,1		141,5		-51,4		38,0		-17,6		197,4		46,5		538,1		-567,0		183,9		-66,8		49,4		-22,8		256,6		60,4		1,37	8,800	
				i	My	[kNm]	305,6	P	751,0	P	849,7	P	-44,0	P	213,1	P	220,5	P	61,9	P	349,6	P	397,3	P	976,3	P	1104,6	P	-57,2	P	277,1	P	286,6	P	80,4	P	454,5	P	1,37	8,800	
				X [m]	Mz	[kNm]	-2,8		-5,5		8,5		-6,0		25,7		-40,6		1,8		-12,3		-3,7		-7,2		11,0		-7,9		33,4		-52,8		2,4		-16,0		1,37	8,800	
				j	Vz	[kN]	-4,8		-412,3		-394,3		-2,1		0,9		-179,6		4,6		-424,7		-6,2		-536,0		-512,6		-2,8		1,1		-233,5		5,9		-552,2		1,37	8,800	
13	B_1	B_1	BRZDNÉ ZTUŽIDLO 1	PRUT	Nx	[kN]	151,7		-190,7		151,7		0,0		151,7		0,0		151,7		0,0		197,3		-247,9		197,3		0,0		197,3		0,0		197,3		0,0		1,79	2,700	
				i	My	[kNm]	0,0	P	0,0	P	0,0	P	0,0	P	0,0	P	0,0	P	0,0	P	0,0	P	0,0	P	0,0	P	0,0	P	0,0	P	0,0	P	0,0	P	0,0	P	0,0	P	1,79	2,700	
				X [m]	Mz	[kNm]	0,0		0,0		0,0		0,0		0,0		0,0		0,0		0,0		0,0		0,0		0,0		0,0		0,0		0,0		0,0		0,0		1,79	2,700	
				j	Vz	[kN]	0,0		0,0		0,0		0,0		0,0		0,0		0,0		0,0		0,0		0,0		0,0		0,0		0,0		0,0		0,0		0,0		1,79	2,700	
14	B_2	B_2	BRZDNÉ ZTUŽIDLO 2	PRUT	Nx	[kN]	122,5		-170,6		122,5		0,0		122,5		0,0		122,5		0,0		159,3		-221,8		159,3		0,0		159,3		0,0		159,3		0,0		1,79	1,560	
				i	My	[kNm]	0,0	P	0,0	P	0,0	P	0,0	P	0,0	P	0,0	P	0,0	P	0,0	P	0,0	P	0,0	P	0,0	P	0,0	P	0,0	P	0,0	P	0,0	P	0,0	P	1,79	1,560	
				X [m]	Mz	[kNm]	0,0		0,0		0,0		0,0		0,0		0,0		0,0		0,0		0,0		0,0		0,0		0,0		0,0		0,0		0,0		0,0		1,79	1,560	
				j	Vz	[kN]	0,0		0,0		0,0		0,0		0,0		0,0		0,0		0,0		0,0		0,0		0,0		0,0		0,0		0,0		0,0		0,0		1,79	1,560	
15	B_3	B_3	BRZDNÉ ZTUŽIDLO 3	PRUT	Nx	[kN]	53,6		-25,9		53,6		0,0		53,6		0,0		53,6		0,0		69,7		-33,6		69,7		0,0		69,7		0,0		69,7		0,0		1,79	2,300	
				i	My	[kNm]	0,0	P	0,0	P	0,0	P	0,0	P	0,0	P	0,0	P	0,0	P	0,0	P	0,0	P	0,0	P	0,0	P	0,0	P	0,0	P	0,0	P	0,0	P	0,0	P	1,79	2,300	
				X [m]	Mz	[kNm]	0,0		0,0		0,0		0,0		0,0		0,0		0,0		0,0		0,0		0,0		0,0		0,0		0,0		0,0		0,0		0,0		1,79	2,300	
				j	Vz	[kN]	0,0		0,0		0,0		0,0		0,0		0,0		0,0		0,0		0,0		0,0		0,0		0,0		0,0		0,0		0,0		0,0		1,79	2,300	
16	B_4	B_4	BRZDNÉ ZTUŽIDLO 4	PRUT	Nx	[kN]	33,4		-90,3		33,4		0,0		33,4		0,0		33,4		0,0		43,4		-117,4		43,4		0,0		43,4		0,0		43,4		0,0		1,79	2,400	
				i	My	[kNm]	0,0	P	0,0	P	0,0	P	0,0	P	0,0	P	0,0	P	0,0	P	0,0	P	0,0	P	0,0	P	0,0	P	0,0	P	0,0	P	0,0	P	0,0	P	0,0	P	1,79	2,400	
				X [m]	Mz	[kNm]	0,0		0,0		0,0		0,0		0,0		0,0		0,0		0,0		0,0		0,0		0,0		0,0		0,0		0,0		0,0		0,0		1,79	2,400	
				j	Vz	[kN]	0,0		0,0		0,0		0,0		0,0		0,0		0,0		0,0		0,0		0,0		0,0		0,0		0,0		0,0		0,0		0,0		1,79	2,400	
17	K_1	K_1	ZTUŽENÍ OBLOUKU	PRUT	Nx	[kN]	18,5		-28,3		-26,4		-23,0		-0,5		-0,7		-26,1		6,4		24,1		-36,8		-34,3		-29,9		-0,6		-0,9		-34,0		8,3		1,65	5,900	
				i	My	[kNm]	20,2	P	-60,6	P	99,2	P	-70,8	P	4,3	P	-5,6	P	-69,5	P	-40,9	P	26,2	P	-78,8	P	129,0	P	-92,0	P	5,6	P	-7,3	P	-90,3	P	-53,2	P	1,65	5,900	
				X [m]	Mz	[kNm]	-0,4		1,2		-2,3		1,4		9,6		-9,5		1,5		1,6		-0,6		1,6		-3,0		1,8		12,4		-12,4		2,0		2,1		1,65	5,900	
				j	Vz	[kN]	3,6		26,3		28,5		28,1		1,6		1,8		28,6		-15,3		4,6		34,2		37,1		36,5		2,1		2,4		37,2		-19,9		1,65	5,900	
18	O_1	O_1	OBLOUK 1	PRUT	Nx	[kN]	755,5		-3421,1		-1835,8		-1774,6		-748,1		-910,2		-1934,6		-1772,5		982,2		-4447,4		-2386,6		-2307,0		-972,6		-1183,3		-2515,0		-2304,3		1,08	40,500	
				i	My	[kNm]	6,7	P	29,6	P	195,4	P	-158,7	P	-94,4	P	123,3	P	-45,9	P	-39,6	P	8,7	P	38,5	P	254,0	P	-206,3	P	-122,7	P	160,3	P	-59,7	P	-51,5	P	1,08	40,500	
				X [m]	Mz	[kNm]	-14,9		-19,2		13,4		5,3		44,6		-75,4		-22,7		1,2		-19,4		-25,0		17,5		6,9		57,9		-98,0		-29,6		1,5		1,08	40,500	
				j	Vz	[kN]	-4,4		-5,5		-8,6		-7,7		-3,8		7,4		20,0		-19,9		-5,7		-7,1		-11,2		-10,0		-4,9		9,6		26,0		-25,8		1,08	40,500	
19	O_2	O_2	OBLOUK 2	PRUT	Nx	[kN]	770,6		-3492,0		-1158,0		-1809,6		-1420,4		-1495,4		-1059,3		-1033,4		1001,8		-4539,6		-1505,4		-2352,5		-1846,5		-1944,1		-1377,1		-1343,4		1,08	40,500	
				i	My	[kNm]	-27,0	P	1,6	P	213,4	P	-158,7	P	-112,5	P	-121,1	P	-18,5	P	-29,0	P	-35,1	P	2,1	P	277,4	P	-206,3	P	-146,3	P	-157,4	P	-24,0	P	-37,7	P	1,08	40,500	
				X [m]	Mz	[kNm]	-3,5		-12,4		7,3		8,8		54,0		-52,0		-7,5		3,5		4,6		-16,1		9,5		11,5		70,2		-67,6		-9,7		4,5		1,08	40,500	
				j	Vz	[kN]	-5,3		-3,6		11,1		1,1		-1,3		1,9		19,7		-19,5		-6,9		-4,7		14,4		1,4		-1,7		2,5		25,7		-25,4		1,08	40,500	
20	O_3	O_3	OBLOUK 3	PRUT	Nx	[kN]	791,5		-3678,2		-791,5		-467,9		-1560,0		-1345,5		-262,1		-178,5		1028,9		-4781,7		-1028,9		-608,2		-2028,0		-1749,2		-340,7		-232,0		1,08	40,500	
				i	My	[kNm]	-68,1	P	-22,2	P	164,6	P	-253,3	P	-169,4	P	-149,2	P	-229,8	P	-243,9	P	-88,5	P	-28,8	P	214,0	P	-329,3	P	-220,3	P	-193,9	P	-298,7	P	-317,1	P	1,08	40,500	
				X [m]	Mz	[kNm]	22,1		46,7		21,5		69,4		97,8		-102,0		-62,4		74,3		28,7		60,8		28,0		90,2		127,1		-132,6		-81,1		96,5		1,08	40,500	
				j	Vz	[kN]	-5,0		-0,8		14,4		-23,5		14,5		-15,4		29,9		-30,7		-6,6		-1,0		18,7		-30,5		18,9		-20,1		38,8		-39,9		1,08	40,500	
HORNÍ DÍLCÍ SOUČINITEL ZATÍŽENÍ (VČETNĚ ROZPTYLU NOMINÁLNÍCH HODNOT)						γ _{sup}	1,00		1,00		1,00		1,00		1,00		1,00		1,00		1,00		1,30		1,30		1,30		1,30		1,30		1,30		1,30						
DOLNÍ DÍLCÍ SOUČINITEL ZATÍŽENÍ (VČETNĚ ROZPTYLU NOMINÁLNÍCH HODNOT)						γ _{inf}	0,00		0,00		0,00		0,00		0,00		0,00		0,00		0,00		0,00		0,00		0,00		0,00		0,00		0,00		0,00		0,00				

115

116

[illegible]

TAB		2,7		11-20		VNITŘNÍ SÍLY Nx, My, Mz, Vz - ZÁKLADNÍ SKUPINY ZATĚŽOVACÍCH STAVŮ																																	
ZATÍŽENÍ:		W-P		VÍTR																																			
POSUDEK		POSUZOVANÝ PRŮŘEZ			VNITŘNÍ SÍLY		CHARAKTERISTICKÉ HODNOTY ZATÍŽENÍ																NÁVRHOVÉ HODNOTY ZATÍŽENÍ																
Č.	OZN.PRUTU	PRŮŘEZ	POPIS	PRUT - X	VELIČINA	JEDNOTKY	N _{x,max}	ZS č.	N _{x,min}	ZS č.	M _{y,max}	ZS č.	M _{y,min}	ZS č.	M _{z,max}	ZS č.	M _{z,min}	ZS č.	V _{z,max}	ZS č.	V _{z,min}	ZS č.	N _{x,max}	ZS č.	N _{x,min}	ZS č.	M _{y,max}	ZS č.	M _{y,min}	ZS č.	M _{z,max}	ZS č.	M _{z,min}	ZS č.	V _{z,max}	ZS č.	V _{z,min}	ZS č.	
11	P_4	P_4	PŘÍČNÍK 4	PRUT	Nx	[kN]	136,2		-182,3		100,1		-29,4		55,2		25,9		55,2		-152,3		183,8		-205,6		135,1		-39,6		74,5		34,9		74,5		-205,6		
				i	My	[kNm]	52,7	W-P	-46,7	W-P	93,0	W-P	-55,8	W-P	84,3	W-P	6,5	W-P	84,3	W-P	-46,7	W-P	71,2	W-P	-63,0	W-P	125,5	W-P	-75,3	W-P	113,8	W-P	8,7	W-P	113,8	W-P	-63,0	W-P	
				X [m]	Mz	[kNm]	-0,5		-1,2		1,5		-2,2		12,0		-4,2		12,0		-1,2		-0,6		-1,6		2,1		-3,0		16,1		-5,7		16,1		-1,6		
				j	Vz	[kN]	8,5		-26,1		15,6		-7,0		17,5		-2,7		17,5		-26,1		11,4		-35,2		21,0		-9,5		23,6		-3,7		23,6		-35,2		
12	P_5	P_5	PŘÍČNÍK 5	PRUT	Nx	[kN]	158,5		-156,8		137,3		-156,8		-156,8		-33,1		137,3		-156,8		214,0		-211,7		185,4		-211,7		-211,7		-44,7		185,4		-211,7		
				i	My	[kNm]	67,5	W-P	-134,4	W-P	116,4	W-P	-134,4	W-P	-134,4	W-P	7,7	W-P	116,4	W-P	-134,4	W-P	91,1	W-P	-181,4	W-P	157,1	W-P	-181,4	W-P	-181,4	W-P	10,4	W-P	157,1	W-P	-181,4	W-P	
				X [m]	Mz	[kNm]	-2,9		10,4		1,0		10,4		10,4		-5,9		1,0		10,4		-3,9		14,0		1,3		14,0		14,0		-8,0		1,3		14,0		
				j	Vz	[kN]	13,8		-24,7		24,3		-24,7		-24,7		-1,3		24,3		-24,7		18,6		-33,3		32,8		-33,3		-33,3		-1,7		32,8		-33,3		
13	B_1	B_1	BRZDNÉ ZTUŽIDLO 1	PRUT	Nx	[kN]	7,5		-6,2		7,5		0,0		7,5		0,0		7,5		0,0		10,1		-8,3		10,1		0,0		10,1		0,0		10,1		0,0		
				i	My	[kNm]	0,0	W-P	0,0	W-P	0,0	W-P	0,0	W-P	0,0	W-P	0,0	W-P	0,0	W-P	0,0	W-P	0,0	W-P	0,0	W-P	0,0	W-P	0,0	W-P	0,0	W-P	0,0	W-P	0,0	W-P	0,0	W-P	
				X [m]	Mz	[kNm]	0,0		0,0		0,0		0,0		0,0		0,0		0,0		0,0		0,0		0,0		0,0		0,0		0,0		0,0		0,0		0,0		
				j	Vz	[kN]	0,0		0,0		0,0		0,0		0,0		0,0		0,0		0,0		0,0		0,0		0,0		0,0		0,0		0,0		0,0		0,0		
14	B_2	B_2	BRZDNÉ ZTUŽIDLO 2	PRUT	Nx	[kN]	3,1		-3,6		3,1		0,0		3,1		0,0		3,1		0,0		4,1		-4,8		4,1		0,0		4,1		0,0		4,1		0,0		
				i	My	[kNm]	0,0	W-P	0,0	W-P	0,0	W-P	0,0	W-P	0,0	W-P	0,0	W-P	0,0	W-P	0,0	W-P	0,0	W-P	0,0	W-P	0,0	W-P	0,0	W-P	0,0	W-P	0,0	W-P	0,0	W-P	0,0	W-P	
				X [m]	Mz	[kNm]	0,0		0,0		0,0		0,0		0,0		0,0		0,0		0,0		0,0		0,0		0,0		0,0		0,0		0,0		0,0		0,0		
				j	Vz	[kN]	0,0		0,0		0,0		0,0		0,0		0,0		0,0		0,0		0,0		0,0		0,0		0,0		0,0		0,0		0,0		0,0		
15	B_3	B_3	BRZDNÉ ZTUŽIDLO 3	PRUT	Nx	[kN]	3,6		-3,6		3,6		0,0		3,6		0,0		3,6		0,0		4,8		-4,8		4,8		0,0		4,8		0,0		4,8		0,0		
				i	My	[kNm]	0,0	W-P	0,0	W-P	0,0	W-P	0,0	W-P	0,0	W-P	0,0	W-P	0,0	W-P	0,0	W-P	0,0	W-P	0,0	W-P	0,0	W-P	0,0	W-P	0,0	W-P	0,0	W-P	0,0	W-P	0,0	W-P	
				X [m]	Mz	[kNm]	0,0		0,0		0,0		0,0		0,0		0,0		0,0		0,0		0,0		0,0		0,0		0,0		0,0		0,0		0,0		0,0		
				j	Vz	[kN]	0,0		0,0		0,0		0,0		0,0		0,0		0,0		0,0		0,0		0,0		0,0		0,0		0,0		0,0		0,0		0,0		
16	B_4	B_4	BRZDNÉ ZTUŽIDLO 4	PRUT	Nx	[kN]	8,4		-9,1		8,4		0,0		8,4		0,0		8,4		0,0		11,4		-12,3		11,4		0,0		11,4		0,0		11,4		0,0		
				i	My	[kNm]	0,0	W-P	0,0	W-P	0,0	W-P	0,0	W-P	0,0	W-P	0,0	W-P	0,0	W-P	0,0	W-P	0,0	W-P	0,0	W-P	0,0	W-P	0,0	W-P	0,0	W-P	0,0	W-P	0,0	W-P	0,0	W-P	
				X [m]	Mz	[kNm]	0,0		0,0		0,0		0,0		0,0		0,0		0,0		0,0		0,0		0,0		0,0		0,0		0,0		0,0		0,0		0,0		
				j	Vz	[kN]	0,0		0,0		0,0		0,0		0,0		0,0		0,0		0,0		0,0		0,0		0,0		0,0		0,0		0,0		0,0		0,0		
17	K_1	K_1	ZTUŽENÍ OBLOUKU	PRUT	Nx	[kN]	6,7		-17,9		-17,9		-17,9		-2,4		-11,5		-17,9		-11,4		9,1		-24,1		-24,1		-24,1		-3,2		-15,5		-24,1		-15,4		
				i	My	[kNm]	6,4	W-P	-37,4	W-P	33,0	W-P	-37,4	W-P	0,1	W-P	-1,3	W-P	33,0	W-P	-6,1	W-P	8,6	W-P	-50,4	W-P	44,5	W-P	-50,4	W-P	0,2	W-P	-1,7	W-P	44,5	W-P	-8,2	W-P	
				X [m]	Mz	[kNm]	3,2		-6,8		6,4		-6,8		8,6		-8,4		6,4		8,1		4,4		-9,2		8,6		-9,2		11,6		-11,3		8,6		10,9		
				j	Vz	[kN]	2,1		11,9		11,9		11,9		0,7		-0,8		11,9		-0,9		2,9		16,1		16,1		16,1		1,0		-1,0		16,1		-1,2		
18	O_1	O_1	OBLOUK 1	PRUT	Nx	[kN]	303,4		-302,4		-135,3		82,4		17,8		-128,6		-135,3		101,2		409,6		-408,2		-182,6		111,3		24,0		-173,6		-182,6		136,6		
				i	My	[kNm]	-8,4	W-P	5,3	W-P	15,8	W-P	-16,7	W-P	-3,0	W-P	14,0	W-P	15,8	W-P	9,9	W-P	-11,4	W-P	7,2	W-P	21,3	W-P	-22,6	W-P	-4,0	W-P	18,9	W-P	21,3	W-P	13,3	W-P	
				X [m]	Mz	[kNm]	33,8		-18,5		-59,3		37,0		93,1		-67,5		-59,3		1,7		45,6		-24,9		-80,0		50,0		125,7		-91,1		-80,0		2,3		
				j	Vz	[kN]	0,5		-0,3		0,6		-0,3		-0,1		-0,1		0,6		-0,6		0,6		-0,4		0,9		-0,4		-0,1		-0,2		0,9		-0,9		
19	O_2	O_2	OBLOUK 2	PRUT	Nx	[kN]	310,6		-308,7		-94,4		84,4		-28,5		-39,0		-94,4		-196,7		419,4		-416,7		-127,4		113,9		-38,4		-52,6		-127,4		-265,6		
				i	My	[kNm]	-5,0	W-P	2,3	W-P	15,1	W-P	-16,7	W-P	-4,1	W-P	-5,1	W-P	15,1	W-P	6,7	W-P	-6,7	W-P	3,1	W-P	20,3	W-P	-22,6	W-P	-5,5	W-P	-6,9	W-P	20,3	W-P	9,1	W-P	
				X [m]	Mz	[kNm]	31,2		25,6		-83,3		36,6		106,4		-105,6		-83,3		23,3		42,1		34,6		-112,5		49,4		143,6		-142,6		-112,5		31,5		
				j	Vz	[kN]	0,4		-0,4		0,8		0,7		-0,5		0,6		0,8		-0,7		0,5		-0,5		1,1		0,9		-0,6		0,8		1,1		-1,0		
20	O_3	O_3	OBLOUK 3	PRUT	Nx	[kN]	320,2		-324,4		203,5		-63,9		-194,3		-150,5		-150,5		-63,9		432,3		-437,9		274,8		-86,2		-262,3		-203,2		-203,2		-86,2		
				i	My	[kNm]	-2,0	W-P	-3,8	W-P	14,5	W-P	-20,8	W-P	-5,0	W-P	-2,9	W-P	-2,9	W-P	-20,8	W-P	-2,8	W-P	-5,2	W-P	19,6	W-P	-28,0	W-P	-6,7	W-P	-4,0	W-P	-4,0	W-P	-28,0	W-P	
				X [m]	Mz	[kNm]	-3,0		150,7		22,3		98,5		163,8		-158,4		-158,4		98,5		-4,1		203,4		133,0		221,2		-213,8		-213,8		133,0				
				j	Vz	[kN]	0,6		-0,2		0,0		-2,3		-1,1		0,8		0,8		-2,3		0,8		-0,3		0,8		-3,1		-1,5		1,1		1,1		-1,1		
HORNÍ DÍLČÍ SOUČINITEL ZATÍŽENÍ (VČETNÉ ROZPTYLU NOMINÁLNÍCH HODNOT)							γ _{sup}	1,00	1,00	1,00	1,00	1,00	1,00	1,00	1,00	1,00	1,00	1,00	1,00	1,35	1,35	1,35	1,35	1,35	1,35	1,35	1,35	1,35	1,35	1,35	1,35	1,35	1,35	1,35	1,35	1,35	1,35		
DOLNÍ DÍLČÍ SOUČINITEL ZATÍŽENÍ (VČETNÉ ROZPTYLU NOMINÁLNÍCH HODNOT)							γ _{inf}	0,00	0,00	0,00	0,00	0,00	0,00	0,00	0,00	0,00	0,00	0,00	0,00	0,00	0,00	0,00	0,00	0,00	0,00	0,00	0,00	0,00	0,00	0,00	0,00	0,00	0,00	0,00	0,00	0,00	0,00	0,00	

TAB		2,8		11-20		VNITŘNÍ SÍLY Nx, My, Mz, Vz - ZÁKLADNÍ SKUPINY ZATĚŽOVACÍCH STAVŮ																																		
ZATÍŽENÍ:		T-E		ROVNOMĚR. TEPLOTA																																				
POSUDEK		POSUZOVANÝ PRŮŘEZ				VNITŘNÍ SÍLY		CHARAKTERISTICKÉ HODNOTY ZATÍŽENÍ															NÁVRHOVÉ HODNOTY ZATÍŽENÍ																	
Č.	OZN.PRUTU	PRŮŘEZ	POPIS	PRUT - X	VELIČINA	JEDNOTKY	N _{x,max}	ZS č.	N _{x,min}	ZS č.	M _{y,max}	ZS č.	M _{y,min}	ZS č.	M _{z,max}	ZS č.	M _{z,min}	ZS č.	V _{z,max}	ZS č.	V _{z,min}	ZS č.	N _{x,max}	ZS č.	N _{x,min}	ZS č.	M _{y,max}	ZS č.	M _{y,min}	ZS č.	M _{z,max}	ZS č.	M _{z,min}	ZS č.	V _{z,max}	ZS č.	V _{z,min}	ZS č.		
11	P_4	P_4	PŘÍČNÍK 4	PRUT	Nx	[kN]	181,7		-170,5		138,9		-135,6		-135,6		138,9		136,8		-108,8		245,2		-230,2		187,5		-183,0		-183,0		187,5		184,6		-146,9			
				i	My	[kNm]	24,5	T-E	-55,6	T-E	88,8	T-E	-80,4	T-E	-80,4	T-E	88,8	T-E	63,5	T-E	-72,7	T-E	33,0	T-E	-75,0	T-E	119,9	T-E	-108,5	T-E	-108,5	T-E	119,9	T-E	85,7	T-E	-98,1	T-E		
				X [m]	Mz	[kNm]	-0,3		0,0		-1,0		1,5		1,5		-1,0		0,4		-1,0		-0,4		-0,1		-1,4		2,0		2,0		-1,4		0,5		-1,3			
				j	Vz	[kN]	7,7		-9,8		23,5		-18,3		-18,3		23,5		24,0		-20,9		10,4		-13,3		31,7		-24,8		-24,8		31,7		32,4		-28,3			
12	P_5	P_5	PŘÍČNÍK 5	PRUT	Nx	[kN]	200,5		-188,3		186,1		-188,3		15,2		4,0		-3,0		-188,3		270,7		-254,2		251,2		-254,2		20,6		5,3		-4,1		-254,2			
				i	My	[kNm]	32,7	T-E	-58,6	T-E	52,7	T-E	-58,6	T-E	4,8	T-E	25,2	T-E	-19,9	T-E	-58,6	T-E	44,1	T-E	-79,1	T-E	71,2	T-E	-79,1	T-E	6,5	T-E	34,0	T-E	-26,9	T-E	-79,1	T-E		
				X [m]	Mz	[kNm]	-0,1		-0,2		0,2		-0,2		0,5		-0,6		0,2		-0,2		-0,1		-0,3		0,3		-0,3		0,7		-0,8		0,3		-0,3			
				j	Vz	[kN]	-0,5		-4,5		4,6		-4,5		-2,1		-4,2		4,6		-4,5		-0,7		-6,0		6,2		-6,0		-2,8		-5,7		6,2		-6,0			
13	B_1	B_1	BRZDNÉ ZTUŽIDLO 1	PRUT	Nx	[kN]	5,8		-1,5		5,8		0,0		5,8		0,0		5,8		0,0		7,8		-2,0		7,8		0,0		7,8		0,0		7,8		0,0			
				i	My	[kNm]	0,0	T-E	0,0	T-E	0,0	T-E	0,0	T-E	0,0	T-E	0,0	T-E	0,0	T-E	0,0	T-E	0,0	T-E	0,0	T-E	0,0	T-E	0,0	T-E	0,0	T-E	0,0	T-E	0,0	T-E	0,0	T-E		
				X [m]	Mz	[kNm]	0,0		0,0		0,0		0,0		0,0		0,0		0,0		0,0		0,0		0,0		0,0		0,0		0,0		0,0		0,0		0,0			
				j	Vz	[kN]	0,0		0,0		0,0		0,0		0,0		0,0		0,0		0,0		0,0		0,0		0,0		0,0		0,0		0,0		0,0		0,0			
14	B_2	B_2	BRZDNÉ ZTUŽIDLO 2	PRUT	Nx	[kN]	9,3		-13,6		9,3		0,0		9,3		0,0		9,3		0,0		12,6		-18,3		12,6		0,0		12,6		0,0		12,6		0,0			
				i	My	[kNm]	0,0	T-E	0,0	T-E	0,0	T-E	0,0	T-E	0,0	T-E	0,0	T-E	0,0	T-E	0,0	T-E	0,0	T-E	0,0	T-E	0,0	T-E	0,0	T-E	0,0	T-E	0,0	T-E	0,0	T-E	0,0	T-E		
				X [m]	Mz	[kNm]	0,0		0,0		0,0		0,0		0,0		0,0		0,0		0,0		0,0		0,0		0,0		0,0		0,0		0,0		0,0		0,0			
				j	Vz	[kN]	0,0		0,0		0,0		0,0		0,0		0,0		0,0		0,0		0,0		0,0		0,0		0,0		0,0		0,0		0,0		0,0			
15	B_3	B_3	BRZDNÉ ZTUŽIDLO 3	PRUT	Nx	[kN]	3,0		-1,7		3,0		0,0		3,0		0,0		3,0		0,0		4,0		-2,3		4,0		0,0		4,0		0,0		4,0		0,0			
				i	My	[kNm]	0,0	T-E	0,0	T-E	0,0	T-E	0,0	T-E	0,0	T-E	0,0	T-E	0,0	T-E	0,0	T-E	0,0	T-E	0,0	T-E	0,0	T-E	0,0	T-E	0,0	T-E	0,0	T-E	0,0	T-E	0,0	T-E		
				X [m]	Mz	[kNm]	0,0		0,0		0,0		0,0		0,0		0,0		0,0		0,0		0,0		0,0		0,0		0,0		0,0		0,0		0,0		0,0			
				j	Vz	[kN]	0,0		0,0		0,0		0,0		0,0		0,0		0,0		0,0		0,0		0,0		0,0		0,0		0,0		0,0		0,0		0,0			
16	B_4	B_4	BRZDNÉ ZTUŽIDLO 4	PRUT	Nx	[kN]	4,1		-0,8		4,1		0,0		4,1		0,0		4,1		0,0		5,5		-1,1		5,5		0,0		5,5		0,0		5,5		0,0			
				i	My	[kNm]	0,0	T-E	0,0	T-E	0,0	T-E	0,0	T-E	0,0	T-E	0,0	T-E	0,0	T-E	0,0	T-E	0,0	T-E	0,0	T-E	0,0	T-E	0,0	T-E	0,0	T-E	0,0	T-E	0,0	T-E	0,0	T-E		
				X [m]	Mz	[kNm]	0,0		0,0		0,0		0,0		0,0		0,0		0,0		0,0		0,0		0,0		0,0		0,0		0,0		0,0		0,0		0,0			
				j	Vz	[kN]	0,0		0,0		0,0		0,0		0,0		0,0		0,0		0,0		0,0		0,0		0,0		0,0		0,0		0,0		0,0		0,0			
17	K_1	K_1	ZTUŽENÍ OBLOUKU	PRUT	Nx	[kN]	0,8		-1,4		0,7		-1,4		0,7		-0,7		-1,4		0,7		1,1		-1,9		0,9		-1,9		0,9		-0,9		-1,9		0,9			
				i	My	[kNm]	1,6	T-E	-14,0	T-E	9,4	T-E	-14,0	T-E	9,4	T-E	-13,1	T-E	-14,0	T-E	9,4	T-E	2,2	T-E	-19,0	T-E	12,7	T-E	-19,0	T-E	12,7	T-E	-17,7	T-E	-19,0	T-E	12,7	T-E		
				X [m]	Mz	[kNm]	0,2		-0,4		0,4		-0,4		0,4		-0,5		-0,4		0,4		0,2		-0,6		0,5		-0,6		0,5		-0,6		0,5					
				j	Vz	[kN]	0,0		1,6		-0,8		1,6		-0,8		1,1		1,6		-0,8		0,0		2,1		-1,1		2,1		-1,1		1,5		2,1		-1,1			
18	O_1	O_1	OBLOUK 1	PRUT	Nx	[kN]	73,3		-52,4		-21,2		66,3		73,3		66,3		73,3		35,7		99,0		-70,8		-28,7		89,5		99,0		89,5		99,0		48,1			
				i	My	[kNm]	-295,2	T-E	214,9	T-E	223,7	T-E	-309,8	T-E	-295,2	T-E	-309,8	T-E	-295,2	T-E	-294,9	T-E	-398,6	T-E	290,1	T-E	302,0	T-E	-418,2	T-E	-398,6	T-E	-418,2	T-E	-398,6	T-E	-398,1	T-E		
				X [m]	Mz	[kNm]	10,5		6,0		8,1		-14,1		10,5		-14,1		10,5		-4,4		14,2		8,0		10,9		-19,1		14,2		-19,1		14,2		-6,0			
				j	Vz	[kN]	1,7		-1,1		-0,6		1,6		1,7		1,6		1,7		-2,2		2,3		-1,5		-0,8		2,2		2,3		2,2		2,3		-2,9			
19	O_2	O_2	OBLOUK 2	PRUT	Nx	[kN]	76,0		-54,7		-22,8		69,2		76,0		68,4		69,2		68,4		102,6		-73,8		-30,7		93,4		102,6		92,3		93,4		92,3			
				i	My	[kNm]	-295,2	T-E	176,2	T-E	210,1	T-E	-297,4	T-E	-295,2	T-E	-294,5	T-E	-297,4	T-E	-247,8	T-E	-398,5	T-E	237,9	T-E	283,6	T-E	-401,4	T-E	-398,5	T-E	-397,5	T-E	-401,4	T-E	-334,5	T-E		
				X [m]	Mz	[kNm]	14,9		1,1		5,8		-8,3		14,9		-12,5		-8,3		-6,2		20,2		1,5		7,8		-11,2		20,2		-16,8		-11,2		-8,4			
				j	Vz	[kN]	5,9		-5,0		3,0		6,4		5,9		-6,0		6,4		-6,0		8,0		-6,7		4,1		8,6		8,0		-8,1		8,6		-8,1			
20	O_3	O_3	OBLOUK 3	PRUT	Nx	[kN]	76,5		-68,0		-24,4		32,1		76,5		48,7		-68,0		32,1		103,3		-91,8		-32,9		43,3		103,3		65,7		-91,8		43,3			
				i	My	[kNm]	-188,3	T-E	121,3	T-E	189,5	T-E	-294,3	T-E	-188,3	T-E	-37,9	T-E	121,3	T-E	-294,3	T-E	-254,2	T-E	163,7	T-E	255,8	T-E	-397,3	T-E	-254,2	T-E	-51,2	T-E	163,7	T-E	-397,3	T-E		
				X [m]	Mz	[kNm]	9,8		4,5		6,0		3,2		9,8		-7,4		4,5		3,2		13,2		6,1		8,1		4,3		13,2		-9,9		6,1		4,3			
				j	Vz	[kN]	12,4		12,6		5,2		-13,3		12,4		9,4		12,6		-13,3		16,7		17,0		7,0		-18,0		16,7		12,6		17,0		-18,0			
HORNÍ DÍLČÍ SOUČINTEL ZATÍŽENÍ (VČETNÉ ROZPTYLU NOMINÁLNÍCH HODNOT)							γ _{sup}	1,00	1,00	1,00	1,00	1,00	1,00	1,00	1,00	1,00	1,00	1,00	1,00	1,00	1,00	1,00	1,00	1,00	1,00	1,00	1,00	1,00	1,00	1,00	1,00	1,00	1,00	1,00	1,00	1,00	1,00	1,00		
DOLNÍ DÍLČÍ SOUČINTEL ZATÍŽENÍ (VČETNÉ ROZPTYLU NOMINÁLNÍCH HODNOT)							γ _{inf}	0,00	0,00	0,00	0,00	0,00	0,00	0,00	0,00	0,00	0,00	0,00	0,00	0,00	0,00	0,00	0,00	0,00	0,00	0,00	0,00	0,00	0,00	0,00	0,00	0,00	0,00	0,00	0,00	0,00	0,00	0,00	0,00	0,00

TAB 2,12 11-20 VNITŘNÍ SÍLY Nx, My, Mz, Vz - ZÁKLADNÍ SKUPINY ZATĚŽOVACÍCH STAVŮ

ZATÍŽENÍ: R2 PŘECHODNOST C3-50

POSUDEK				POSUZOVANÝ PRŮŘEZ		VNITŘNÍ SÍLY		CHARAKTERISTICKÉ HODNOTY ZATÍŽENÍ																NÁVRHOVÉ HODNOTY ZATÍŽENÍ																⚡	Ld			
Č.	OZN.PRUTU	PRŮŘEZ	POPIS	PRUT - X	VELIČINA	JEDNOTKY	N _{x,max}	ZS č.	N _{x,min}	ZS č.	M _{y,max}	ZS č.	M _{y,min}	ZS č.	M _{z,max}	ZS č.	M _{z,min}	ZS č.	V _{z,max}	ZS č.	V _{z,min}	ZS č.	N _{x,max}	ZS č.	N _{x,min}	ZS č.	M _{y,max}	ZS č.	M _{y,min}	ZS č.	M _{z,max}	ZS č.	M _{z,min}	ZS č.	V _{z,max}	ZS č.	V _{z,min}	ZS č.	[-]	[m]				
11	P_4	P_4	PŘÍČNÍK 4	PRUT	Nx	[kN]	265,2		-149,0		151,4		185,0		21,1		101,2		187,7		169,9		344,8		-193,7		196,8		240,6		27,4		131,5		244,1		220,9		1,38	8,800				
				i	My	[kNm]	372,1	R2	277,1	R2	560,3	R2	-109,0	R2	31,3	R2	247,7	R2	188,6	R2	25,4	R2	483,7	R2	360,3	R2	728,4	R2	-141,7	R2	40,7	R2	322,0	R2	245,2	R2	33,0	R2	1,38	8,800				
				X [m]	Mz	[kNm]	-5,1		-2,0		0,2		-9,5		12,5		-24,7		-2,4		-14,4		-6,6		-2,6		0,2		-12,4		16,3		-32,1		-3,2		-18,7		1,38	8,800				
				j	Vz	[kN]	38,2		-148,2		-153,5		-46,4		9,4		-145,0		56,9		-259,3		49,6		-192,7		-199,5		-60,4		12,2		-188,4		73,9		-337,1		1,38	8,800				
				PRUT	Nx	[kN]	325,9		-313,4		186,6		-49,4		39,9		-2,9		191,7		34,2		423,7		-407,5		242,5		-64,2		51,9		-3,7		249,2		44,4		1,38	8,800				
12	P_5	P_5	PŘÍČNÍK 5	i	My	[kNm]	386,4	R2	239,8	R2	511,6	R2	-38,1	R2	179,7	R2	178,2	R2	59,7	R2	188,7	R2	502,3	R2	311,8	R2	665,1	R2	-49,5	R2	233,7	R2	231,7	R2	77,7	R2	245,3	R2	1,38	8,800				
				X [m]	Mz	[kNm]	-2,3		-3,9		6,9		-4,9		22,1		-32,8		0,9		-10,1		-3,0		-5,1		9,0		-6,3		28,7		-42,6		1,2		-13,2		1,38	8,800				
				j	Vz	[kN]	-6,2		-140,0		-217,1		-3,2		-1,4		-173,3		3,7		-237,2		-8,1		-182,0		-282,2		-4,2		-1,8		-225,2		4,8		-308,3		1,38	8,800				
				PRUT	Nx	[kN]	106,8		-132,2		106,8		0,0		106,8		0,0		106,8		0,0		138,8		-171,9		138,8		0,0		138,8		0,0		138,8		0,0		0,0		1,56	2,700		
				i	My	[kNm]	0,0	R2	0,0	R2	0,0	R2	0,0	R2	0,0	R2	0,0	R2	0,0	R2	0,0	R2	0,0	R2	0,0	R2	0,0	R2	0,0	R2	0,0	R2	0,0	R2	0,0	R2	0,0	R2	0,0	R2	0,0	1,56	2,700	
13	B_1	B_1	BRZDNÉ ZTUŽIDLO 1	X [m]	Mz	[kNm]	0,0		0,0		0,0		0,0		0,0		0,0		0,0		0,0		0,0		0,0		0,0		0,0		0,0		0,0		0,0		0,0		1,56	2,700				
				j	Vz	[kN]	0,0		0,0		0,0		0,0		0,0		0,0		0,0		0,0		0,0		0,0		0,0		0,0		0,0		0,0		0,0		0,0		1,56	2,700				
				PRUT	Nx	[kN]	85,8		-118,8		85,8		0,0		85,8		0,0		85,8		0,0		111,5		-154,4		111,5		0,0		111,5		0,0		111,5		0,0		111,5		0,0		1,56	1,560
				i	My	[kNm]	0,0	R2	0,0	R2	0,0	R2	0,0	R2	0,0	R2	0,0	R2	0,0	R2	0,0	R2	0,0	R2	0,0	R2	0,0	R2	0,0	R2	0,0	R2	0,0	R2	0,0	R2	0,0	R2	0,0	R2	0,0	1,56	1,560	
				X [m]	Mz	[kNm]	0,0		0,0		0,0		0,0		0,0		0,0		0,0		0,0		0,0		0,0		0,0		0,0		0,0		0,0		0,0		0,0		0,0		1,56	1,560		
14	B_2	B_2	BRZDNÉ ZTUŽIDLO 2	j	Vz	[kN]	0,0		0,0		0,0		0,0		0,0		0,0		0,0		0,0		0,0		0,0		0,0		0,0		0,0		0,0		0,0		0,0		1,56	1,560				
				PRUT	Nx	[kN]	35,9		-19,6		35,9		0,0		35,9		0,0		35,9		0,0		46,7		-25,5		46,7		0,0		46,7		0,0		46,7		0,0		0,0		1,56	2,300		
				i	My	[kNm]	0,0	R2	0,0	R2	0,0	R2	0,0	R2	0,0	R2	0,0	R2	0,0	R2	0,0	R2	0,0	R2	0,0	R2	0,0	R2	0,0	R2	0,0	R2	0,0	R2	0,0	R2	0,0	R2	0,0	R2	0,0	1,56	2,300	
				X [m]	Mz	[kNm]	0,0		0,0		0,0		0,0		0,0		0,0		0,0		0,0		0,0		0,0		0,0		0,0		0,0		0,0		0,0		0,0		0,0		1,56	2,300		
				j	Vz	[kN]	0,0		0,0		0,0		0,0		0,0		0,0		0,0		0,0		0,0		0,0		0,0		0,0		0,0		0,0		0,0		0,0		0,0		1,56	2,300		
15	B_3	B_3	BRZDNÉ ZTUŽIDLO 3	PRUT	Nx	[kN]	22,2		-51,7		22,2		0,0		22,2		0,0		22,2		0,0		28,8		-67,2		28,8		0,0		28,8		0,0		28,8		0,0		28,8		0,0		1,56	2,400
				i	My	[kNm]	0,0	R2	0,0	R2	0,0	R2	0,0	R2	0,0	R2	0,0	R2	0,0	R2	0,0	R2	0,0	R2	0,0	R2	0,0	R2	0,0	R2	0,0	R2	0,0	R2	0,0	R2	0,0	R2	0,0	R2	0,0	1,56	2,400	
				X [m]	Mz	[kNm]	0,0		0,0		0,0		0,0		0,0		0,0		0,0		0,0		0,0		0,0		0,0		0,0		0,0		0,0		0,0		0,0		0,0		1,56	2,400		
				j	Vz	[kN]	0,0		0,0		0,0		0,0		0,0		0,0		0,0		0,0		0,0		0,0		0,0		0,0		0,0		0,0		0,0		0,0		1,56	2,400				
				PRUT	Nx	[kN]	12,5		-19,4		-18,7		-16,9		-1,0		-1,4		-18,7		5,5		16,3		-25,3		-24,2		-22,0		-1,4		-1,9		-24,3		7,1		1,52	5,900				
17	K_1	K_1	ZTUŽENÍ OBLOUKU	i	My	[kNm]	14,0	R2	-46,6	R2	71,7	R2	-52,7	R2	6,9	R2	-9,3	R2	-52,3	R2	-30,1	R2	18,2	R2	-60,6	R2	93,2	R2	-66,5	R2	9,0	R2	-12,1	R2	-68,0	R2	-39,1	R2	1,52	5,900				
				X [m]	Mz	[kNm]	-0,2		0,8		-1,4		0,9		6,8		-6,8		0,9		0,8		-0,2		1,0		-1,8		1,1		8,9		-8,9		1,1		1,0		1,52	5,900				
				j	Vz	[kN]	2,5		19,5		21,0		20,7		2,6		3,1		21,0		-11,4		3,3		25,3		27,2		26,9		3,3		4,0		27,3		-14,8		1,52	5,900				
				PRUT	Nx	[kN]	595,5		-2717,1		-1299,2		-1321,5		-793,2		-774,9		-1450,8		-1328,5		774,2		-3532,3		-1688,9		-1718,0		-1031,2		-1007,4		-1886,1		-1727,0		1,07	40,500				
				i	My	[kNm]	7,9	R2	33,6	R2	138,4	R2	-124,7	R2	-85,1	R2	110,6	R2	-55,4	R2	-52,9	R2	10,2	R2	43,7	R2	180,0	R2	-162,2	R2	-110,7	R2	143,7	R2	-72,0	R2	-68,7	R2	1,07	40,500				
18	O_1	O_1	OBLOUK 1	X [m]	Mz	[kNm]	-15,0		-17,6		11,3		2,9		32,3		-55,0		-21,1		1,8		-19,5		-22,9		14,7		3,8		42,0		-71,5		-27,4		2,3		1,07	40,500				
				j	Vz	[kN]	-3,2		-3,4		-5,3		-6,5		-3,4		5,6		14,1		-14,0		-4,1		-4,5		-6,8		-8,5		-4,5		7,2		18,3		-18,2		1,07	40,500				
				PRUT	Nx	[kN]	607,4		-2773,6		-773,1		-1347,6		-1287,8		-1404,5		-653,9		-609,2		789,6		-3605,7		-1005,1		-1751,9		-1674,1		-1825,9		-850,1		-791,9		1,07	40,500				
				i	My	[kNm]	-16,4	R2	10,3	R2	147,7	R2	-124,7	R2	-97,7	R2	-106,3	R2	-31,9	R2	-34,5	R2	-21,3	R2	13,3	R2	192,0	R2	-162,2	R2	-127,0	R2	-138,2	R2	-41,5	R2	-44,9	R2	1,07	40,500				
				X [m]	Mz	[kNm]	1,0		-11,7		4,4		6,3		40,5		-39,4		-7,8		5,6		1,3		-15,2		5,7		8,2		52,6		-51,2		-10,1		7,3		1,07	40,500				
19	O_2	O_2	OBLOUK 2	j	Vz	[kN]	-4,0		-3,1		6,1		0,2		-0,8		1,6		13,7		-13,4		-5,2		-4,0		8,0		0,2		-1,1		2,0		17,8		-17,4		1,07	40,500				
				PRUT	Nx	[kN]	623,8		-2922,0		-583,0		-503,7		-1303,7		-1223,2		-140,0		-66,3		811,0		-3798,6		-757,9		-654,8		-1694,8		-1590,1		-182,0		-86,2		1,07	40,500				
				i	My	[kNm]	-47,9	R2	-25,3	R2	109,2	R2	-203,2	R2	-148,9	R2	-130,6	R2	-183,4	R2	-197,3	R2	-62,2	R2	-32,9	R2	142,0	R2	-264,2	R2	-193,6	R2	-169,8	R2	-238,4	R2	-255,5	R2	1,07	40,500				
				X [m]	Mz	[kNm]	17,0		40,6		17,5		52,4		68,9		-71,3		-47,4		56,7		22,2		52,8		22,8		68,1		89,6		-92,7		-61,7		73,7		1,07	40,500				
				j	Vz	[kN]	-3,9		1,3		9,0		-20,4		11,8		-12,1		20,6		-21,3		-5,0		1,6		11,7		-26,5		15,3		-15,8		26,7		-27,7		1,07	40,500				
20	O_3	O_3	OBLOUK 3	PRUT	Nx	[kN]	623,8		-2922,0		-583,0		-503,7		-1303,7		-1223,2		-140,0		-66,3		811,0		-3798,6		-757,9		-654,8		-1694,8		-1590,1		-182,0		-86,2		1,07	40,500				
				i	My	[kNm]	-47,9	R2	-25,3	R2	109,2	R2	-203,2	R2	-148,9	R2	-130,6	R2	-183,4	R2	-197,3	R2	-62,2	R2	-32,9	R2	142,0	R2	-264,2	R2	-193,6	R2	-169,8	R2	-238,4	R2	-255,5	R2	1,07	40,500				
				X [m]	Mz	[kNm]	17,0		40,6		17,5		52,4		68,9		-71,3		-47,4		56,7		22,2		52,8		22,8		68,1		89,6		-92,7		-61,7		73,7		1,07	40,500				
				j	Vz	[kN]	-3,9		1,3		9,0		-20,4		11,8		-12,1		20,6		-21,3		-5,0		1,6		11,7		-26,5		15,3		-15,8		26,7		-27,7		1,07	40,500				

121

123

TAB		2,1		21-30		VNITŘNÍ SÍLY N_x , M_y , M_z , V_z - ZÁKLADNÍ SKUPINY ZATĚŽOVACÍCH STAVŮ																											
ZATÍŽENÍ:		G		STÁLÉ A NAHODILÉ DLOUHODOBÉ ZATÍŽENÍ - ZS01 - ZS05																													
POSUDEK		POSUZOVANÝ PRŮŘEZ				VNITŘNÍ SÍLY		CHARAKTERISTICKÉ HODNOTY JEDNOTLIVÝCH ZATÍŽENÍ					NÁVRHOVÉ HODNOTY ZATÍŽENÍ - SUMA STÁLÉ A DLOUHODOBÉ NAHODILÉ																				
Č.	OZN.PRUTU	PRŮŘEZ	POPIS	PRUT - X	VELIČINA	JEDNOTKY	ZS01	ZS02	ZS03	ZS04	ZS05	$N_{x,max}$	ZS č.	$N_{x,min}$	ZS č.	$M_{y,max}$	ZS č.	$M_{y,min}$	ZS č.	$M_{z,max}$	ZS č.	$M_{z,min}$	ZS č.	$V_{z,max}$	ZS č.	$V_{z,min}$	ZS č.						
21	D_1	D_1	PODÉLNÍK 1	PRUT	N_x	[kN]	26,7	1,1	3,8	0,0	0,0	39,5	G	8,5	G	31,6	G	16,7	G	14,2	G	31,7	G	21,8	G	38,6	G						
				i	M_y	[kNm]	5,7	0,4	0,8	0,0	0,0	8,5		1,9		8,5		1,1		2,8		7,5		1,7		4,2							
				X [m]	M_z	[kNm]	0,4	0,0	0,0	0,0	0,0	0,5		0,4		0,0		0,2		0,6		-0,1		0,3		0,2							
				j	V_z	[kN]	4,2	0,8	0,2	0,0	0,0	5,3		4,2		1,0		5,4		5,1		-0,4		6,5		-5,1							
22	D_2	D_2	PODÉLNÍK 2	PRUT	N_x	[kN]	61,3	1,6	7,1	0,0	0,0	87,6	G	-1,2	G	12,7	G	25,2	G	12,0	G	63,1	G	39,3	G	0,1	G						
				i	M_y	[kNm]	-8,2	-0,6	-0,9	0,0	0,0	4,2		-1,2		4,9		-12,1		0,7		1,5		-9,4		-0,2							
				X [m]	M_z	[kNm]	-0,4	0,0	0,0	0,0	0,0	0,2		0,0		0,0		-0,3		0,2		-0,5		-0,3		0,0							
				j	V_z	[kN]	-5,6	0,8	-0,5	0,0	0,0	6,4		-6,8		-2,9		4,0		-5,6		7,8		8,3		-8,6							
23	D_3	D_3	PODÉLNÍK 3	PRUT	N_x	[kN]	46,3	1,6	5,5	0,0	0,0	66,8	G	29,5	G	65,2	G	48,4	G	42,2	G	66,8	G	37,8	G	63,4	G						
				i	M_y	[kNm]	7,3	0,4	0,9	0,0	0,0	10,7		3,0		10,7		2,3		5,0		10,7		4,0		3,2							
				X [m]	M_z	[kNm]	-0,2	0,0	0,0	0,0	0,0	0,2		0,1		-0,3		0,1		0,2		-0,3		0,2		0,0							
				j	V_z	[kN]	-5,6	-0,8	-0,2	0,0	0,0	3,3		3,7		-3,7		-4,7		-2,7		-4,0		4,6		-8,2							
24	D_4	D_4	PODÉLNÍK 4	PRUT	N_x	[kN]	60,7	1,8	6,8	0,0	0,0	86,7	G	37,8	G	63,0	G	46,3	G	85,9	G	48,2	G	56,7	G	85,9	G						
				i	M_y	[kNm]	7,2	0,4	0,9	0,0	0,0	10,4		-1,6		10,5		-2,1		9,2		4,7		0,7		9,3							
				X [m]	M_z	[kNm]	0,5	0,0	0,1	0,0	0,0	0,7		0,1		0,1		0,2		0,7		-0,3		0,4		0,7							
				j	V_z	[kN]	6,7	0,8	0,4	0,0	0,0	8,2		7,4		5,4		9,2		-2,5		1,5		9,9		-4,4							
25	D_5	D_5	PODÉLNÍK 5	PRUT	N_x	[kN]	56,9	1,7	6,5	0,0	0,0	81,2	G	20,3	G	76,0	G	25,4	G	38,7	G	77,4	G	25,4	G	77,6	G						
				i	M_y	[kNm]	-3,9	-0,4	0,4	0,0	0,0	3,9		-4,5		4,0		-5,7		-3,0		2,6		-5,7		3,1							
				X [m]	M_z	[kNm]	0,4	0,0	0,0	0,0	0,0	0,5		0,3		0,0		0,4		0,5		-0,3		0,4		0,0							
				j	V_z	[kN]	6,0	0,8	0,4	0,0	0,0	7,2		7,2		-3,2		9,0		7,6		0,0		9,0		-4,8							
26	D_6	D_6	PODÉLNÍK 6	PRUT	N_x	[kN]	26,8	-0,2	1,3	0,0	0,0	35,4	G	11,7	G	16,2	G	21,1	G	20,3	G	32,9	G	20,5	G	20,9	G						
				i	M_y	[kNm]	-6,5	-0,6	-0,8	0,0	0,0	-2,6		-5,2		-1,3		-9,8		-7,5		-8,9		-9,1		-9,0							
				X [m]	M_z	[kNm]	0,7	0,0	0,1	0,0	0,0	0,8		0,0		0,0		0,8		1,0		-0,3		0,8		0,8							
				j	V_z	[kN]	5,0	0,8	0,4	0,0	0,0	6,8		1,7		3,0		5,6		-1,1		6,0		7,7		-3,5							
27	D_7	D_7	PODÉLNÍK 7	PRUT	N_x	[kN]	96,8	2,3	8,6	0,0	0,0	134,6	G	16,4	G	134,1	G	23,7	G	46,9	G	133,3	G	118,5	G	106,6	G						
				i	M_y	[kNm]	-12,8	-0,8	-1,3	0,0	0,0	7,8		-5,7		7,9		-18,5		-7,4		0,6		-2,8		-5,0							
				X [m]	M_z	[kNm]	-0,8	0,1	-0,1	0,0	0,0	0,8		0,2		0,6		-0,7		0,8		-1,2		-0,2		-0,2							
				j	V_z	[kN]	-6,9	-1,0	0,3	0,0	0,0	8,8		0,0		2,5		9,0		6,4		8,7		10,0		-10,1							
28	D_8	D_8	PODÉLNÍK 8	PRUT	N_x	[kN]	31,6	1,2	3,8	0,0	0,0	45,7	G	16,9	G	45,7	G	33,5	G	45,1	G	21,5	G	41,9	G	34,1	G						
				i	M_y	[kNm]	8,1	0,4	1,0	0,0	0,0	11,5		2,6		11,8		0,6		11,1		3,8		1,2		5,9							
				X [m]	M_z	[kNm]	0,3	0,0	-0,1	0,0	0,0	0,4		-0,1		0,4		0,1		0,5		-0,1		0,2		0,1							
				j	V_z	[kN]	7,5	0,9	0,4	0,0	0,0	10,3		5,2		6,4		8,9		7,2		5,9		10,9		-4,0							
29	D_9	D_9	PODÉLNÍK 9	PRUT	N_x	[kN]	25,6	1,0	3,8	0,0	0,0	38,0	G	21,5	G	38,0	G	21,7	G	37,6	G	36,8	G	26,8	G	32,2	G						
				i	M_y	[kNm]	6,9	0,4	1,0	0,0	0,0	10,2		2,4		10,4		2,4		9,0		9,9		3,0		5,6							
				X [m]	M_z	[kNm]	0,1	0,0	0,0	0,0	0,0	0,2		0,1		-0,1		0,1		0,2		-0,1		0,1		0,1							
				j	V_z	[kN]	4,8	-0,8	0,2	0,0	0,0	6,2		5,7		0,4		5,9		3,0		0,4		7,1		-6,1							
30	D_10	D_10	PODÉLNÍK 10	PRUT	N_x	[kN]	19,9	0,8	2,9	0,0	0,0	29,6	G	4,0	G	28,1	G	4,9	G	29,5	G	18,0	G	24,2	G	5,0	G						
				i	M_y	[kNm]	5,9	0,4	0,8	0,0	0,0	8,8		1,4		8,9		1,1		7,5		5,6		2,7		1,8							
				X [m]	M_z	[kNm]	-0,2	0,0	0,0	0,0	0,0	0,1		0,0		0,0		0,0		0,2		-0,3		0,1		0,0							
				j	V_z	[kN]	-5,6	-0,8	-0,4	0,0	0,0	4,4		-6,9		-0,7		-5,1		1,2		0,9		5,3		-8,6							
HORNÍ DÍLČÍ SOUČINTEL ZATÍŽENÍ (VČETNÉ ROZPTYLU NOMINÁLNÍCH HODNOT)							γ_{disp}	1,25	1,25	1,25	1,25	1,25																					
DOLNÍ DÍLČÍ SOUČINTEL ZATÍŽENÍ (VČETNÉ ROZPTYLU NOMINÁLNÍCH HODNOT)							γ_{inf}	1,00	1,00	1,00	1,00	1,00																					

TAB 2,2 21-30 VNITŘNÍ SÍLY Nx, My, Mz, Vz - ZÁKLADNÍ SKUPINY ZATĚŽOVACÍCH STAVŮ

ZATÍŽENÍ: P UIC 71

POSUDEK				POSUZOVANÝ PRŮŘEZ			VNITŘNÍ SÍLY		CHARAKTERISTICKÉ HODNOTY ZATÍŽENÍ																NÁVRHOVÉ HODNOTY ZATÍŽENÍ																8	Ld
Č.	OZN.PRUTU	PRŮŘEZ	POPIS	PRUT - X	VELIČINA	JEDNOTKY	N _{max}	ZS č.	N _{min}	ZS č.	M _{y,max}	ZS č.	M _{y,min}	ZS č.	V _{z,max}	ZS č.	M _{z,max}	ZS č.	V _{z,min}	ZS č.	N _{max}	ZS č.	N _{min}	ZS č.	M _{y,max}	ZS č.	M _{y,min}	ZS č.	M _{z,max}	ZS č.	M _{z,min}	ZS č.	V _{z,max}	ZS č.	V _{z,min}	ZS č.	[-]	[m]				
21	D_1	D_1	PODÉLNÍK 1	PRUT	Nx	[kN]	204,8		-21,2		117,3		57,5		65,2		140,0		80,6		100,0		266,2		-27,5		152,5		74,8		84,7		182,1		104,8		130,0		1,50	9,000		
				i	My	[kNm]	89,7	P	-6,0	P	114,4	P	-67,1	P	-40,2	P	49,0	P	-47,7	P	-41,7	P	116,6	P	-7,8	P	148,7	P	-87,3	P	-52,3	P	63,7	P	-62,0	P	-54,2	P	1,50	9,000		
				X [m]	Mz	[kNm]	2,3		-0,1		-1,6		3,4		10,8		-6,6		4,9		4,5		3,0		-0,2		-2,1		4,4		14,1		-8,6		6,4		5,9		1,50	9,000		
				j	Vz	[kN]	1,5		0,9		84,6		125,9		149,1		16,0		168,5		-159,5		1,9		1,1		110,0		163,6		193,9		20,8		219,1		-207,4		1,50	9,000		
22	D_2	D_2	PODÉLNÍK 2	PRUT	Nx	[kN]	267,5		-173,0		52,2		-93,6		1,4		216,5		135,3		-18,9		347,8		-225,0		67,8		-121,7		1,8		281,4		175,9		-24,6		1,50	9,000		
				i	My	[kNm]	-23,5	P	-33,5	P	108,8	P	-111,3	P	28,3	P	-51,3	P	-94,0	P	-2,6	P	-30,6	P	-43,5	P	141,5	P	-144,7	P	36,8	P	-66,7	P	-122,2	P	-3,4	P	1,50	9,000		
				X [m]	Mz	[kNm]	-3,2		0,2		-0,2		-2,8		10,8		-12,8		-10,0		0,0		-4,1		0,2		-0,2		-3,6		14,0		-16,7		-12,9		0,0		1,50	9,000		
				j	Vz	[kN]	-184,9		-12,0		-64,3		120,2		-6,1		171,2		186,8		-287,1		-240,4		-15,6		-83,6		156,3		-7,9		222,6		242,8		-334,3		1,50	9,000		
23	D_3	D_3	PODÉLNÍK 3	PRUT	Nx	[kN]	272,9		-25,1		187,3		131,0		159,1		153,5		123,6		170,8		354,8		-32,7		243,5		170,3		206,8		199,5		160,6		222,0		1,50	9,000		
				i	My	[kNm]	91,1	P	-8,2	P	117,3	P	-61,0	P	-21,5	P	41,8	P	-38,7	P	-46,2	P	118,5	P	-10,6	P	152,5	P	-79,2	P	-27,9	P	54,3	P	-50,3	P	-60,1	P	1,50	9,000		
				X [m]	Mz	[kNm]	1,7		-0,1		-2,5		3,2		9,7		-6,7		4,5		4,4		2,2		-0,2		-3,3		4,1		12,7		-8,8		5,8		5,7		1,50	9,000		
				j	Vz	[kN]	-19,6		-4,2		-87,3		-117,0		-120,6		99,9		163,3		-165,2		-25,4		-5,5		-113,5		-152,1		-156,8		129,9		212,3		-214,8		1,50	9,000		
24	D_4	D_4	PODÉLNÍK 4	PRUT	Nx	[kN]	295,8		-65,5		212,0		61,3		67,4		213,3		180,0		124,4		384,6		-85,1		275,6		79,7		87,6		277,3		233,9		161,7		1,50	9,000		
				i	My	[kNm]	85,4	P	-6,4	P	115,4	P	-71,2	P	-43,9	P	48,0	P	-59,9	P	-45,1	P	111,0	P	-8,4	P	150,0	P	-92,6	P	-57,0	P	62,3	P	-77,8	P	-58,6	P	1,50	9,000		
				X [m]	Mz	[kNm]	4,7		0,3		2,4		3,8		12,6		-7,3		10,5		10,4		6,1		0,4		3,1		5,0		16,3		-9,5		13,7		13,5		1,50	9,000		
				j	Vz	[kN]	7,2		1,1		35,5		97,8		162,5		-77,8		188,2		-218,8		9,4		1,4		46,2		127,2		211,2		-101,1		244,6		-284,5		1,50	9,000		
25	D_5	D_5	PODÉLNÍK 5	PRUT	Nx	[kN]	279,8		-120,1		179,3		5,8		-5,4		166,9		102,8		54,2		363,7		-156,1		233,0		7,6		-7,0		217,0		133,6		70,5		1,50	9,000		
				i	My	[kNm]	74,2	P	-18,7	P	108,7	P	-80,7	P	-54,3	P	27,2	P	-71,6	P	-52,1	P	96,5	P	-24,3	P	141,4	P	-104,9	P	-70,6	P	35,4	P	-93,1	P	-67,8	P	1,50	9,000		
				X [m]	Mz	[kNm]	2,6		1,1		-1,7		12,0		13,0		-7,2		11,2		10,5		3,3		1,4		-2,3		15,5		16,9		-9,4		14,5		13,7		1,50	9,000		
				j	Vz	[kN]	7,0		6,0		-84,5		176,9		150,1		80,9		189,0		-214,9		9,0		7,8		-109,8		229,9		195,1		105,2		245,7		-279,3		1,50	9,000		
26	D_6	D_6	PODÉLNÍK 6	PRUT	Nx	[kN]	199,0		-210,2		132,3		-115,2		-115,7		157,3		39,2		-25,1		258,6		-273,2		171,9		-149,8		-150,4		204,5		51,0		-32,6		1,50	9,000		
				i	My	[kNm]	51,9	P	-40,3	P	90,2	P	-110,9	P	-80,2	P	18,5	P	-95,9	P	-87,3	P	67,4	P	-52,4	P	117,2	P	-144,2	P	-104,3	P	24,1	P	-124,7	P	-113,5	P	1,50	9,000		
				X [m]	Mz	[kNm]	-2,9		-0,9		-0,3		13,2		14,7		-6,0		11,9		10,6		-3,8		-1,2		-0,4		17,2		19,1		-7,8		15,4		13,7		1,50	9,000		
				j	Vz	[kN]	15,3		2,9		32,6		-202,9		-166,0		115,5		190,4		-227,6		19,9		3,7		42,3		-263,8		-215,8		150,2		247,6		-295,9		1,50	9,000		
27	D_7	D_7	PODÉLNÍK 7	PRUT	Nx	[kN]	395,6		-205,7		230,6		-14,6		-82,2		355,5		225,7		181,7		514,2		-267,4		299,7		-19,0		-106,9		462,2		293,4		236,2		1,41	11,250		
				i	My	[kNm]	77,8	P	-42,9	P	138,8	P	-131,2	P	-102,5	P	-90,7	P	-89,7	P	-92,3	P	101,1	P	-55,7	P	180,5	P	-170,6	P	-133,2	P	-118,0	P	-116,7	P	-120,0	P	1,41	11,250		
				X [m]	Mz	[kNm]	3,4		-0,9		1,9		-14,1		17,2		-17,5		12,3		12,0		4,5		-1,2		2,4		-18,3		22,3		-22,7		15,9		15,6		1,41	11,250		
				j	Vz	[kN]	40,5		-0,2		-40,4		168,0		167,5		202,1		258,5		-257,9		52,6		-0,3		-52,5		218,5		217,7		262,7		336,0		-335,3		1,41	11,250		
28	D_8	D_8	PODÉLNÍK 8	PRUT	Nx	[kN]	236,6		-50,8		188,8		89,2		86,5		126,6		182,5		143,0		307,5		-66,0		245,4		116,0		112,5		164,6		237,3		185,9		1,50	9,000		
				i	My	[kNm]	82,6	P	-9,5	P	120,8	P	-64,9	P	-50,1	P	53,3	P	-51,6	P	-35,6	P	107,4	P	-12,3	P	157,8	P	-84,4	P	-65,1	P	69,3	P	-67,0	P	-46,3	P	1,50	9,000		
				X [m]	Mz	[kNm]	-1,6		0,2		4,2		4,0		11,8		-6,8		10,6		9,7		-2,0		0,3		5,5		5,1		15,3		-8,9		13,8		12,6		1,50	9,000		
				j	Vz	[kN]	41,5		2,7		41,9		99,6		151,7		15,8		190,2		-219,4		53,9		3,6		54,5		129,5		197,3		20,5		247,2		-285,2		1,50	9,000		
29	D_9	D_9	PODÉLNÍK 9	PRUT	Nx	[kN]	209,5		-49,1		161,2		68,8		94,3		124,0		96,5		140,5		272,4		-52,2		209,6		89,4		122,6		161,2		125,4		182,7		1,50	9,000		
				i	My	[kNm]	99,5	P	-6,8	P	123,7	P	-62,8	P	-42,4	P	49,4	P	-34,4	P	-34,2	P	129,3	P	-8,9	P	160,8	P	-81,7	P	-55,1	P	64,2	P	-44,8	P	-44,5	P	1,50	9,000		
				X [m]	Mz	[kNm]	2,3		0,1		-0,5		3,6		11,4		-6,5		6,4		9,4		3,0		0,1		-0,6		4,7		14,8		-8,5		8,3		12,2		1,50	9,000		
				j	Vz	[kN]	29,9		1,7		-59,1		-99,4		147,2		14,2		179,6		-224,4		38,8		2,2		-76,9		-129,3		191,3		18,4		233,5		-291,8		1,50	9,000		
30	D_10	D_10	PODÉLNÍK 10	PRUT	Nx	[kN]	164,3		-23,5		133,4		68,6		100,4		86,3		84,2																							

TAB		2,3		21-30		VNITŘNÍ SÍLY Nx, My, Mz, Vz - - ZÁKLADNÍ SKUPINY ZATĚŽOVACÍCH STAVŮ																																
ZATÍŽENÍ:		O		ODSTŘEDIVÁ SÍLA																																		
POSUDEK	POSUZOVANÝ PRŮŘEZ				VNITŘNÍ SÍLY		CHARAKTERISTICKÉ HODNOTY ZATÍŽENÍ																NÁVRHOVÉ HODNOTY ZATÍŽENÍ															
Č.	OZN.PRUTU	PRŮŘEZ	POPIS	PRUT - X	VELIČINA	JEDNOTKY	N _{x,max}	ZS č.	N _{x,min}	ZS č.	M _{y,max}	ZS č.	M _{y,min}	ZS č.	M _{z,max}	ZS č.	M _{z,min}	ZS č.	V _{z,max}	ZS č.	V _{z,min}	ZS č.	N _{x,max}	ZS č.	N _{x,min}	ZS č.	M _{y,max}	ZS č.	M _{y,min}	ZS č.	M _{z,max}	ZS č.	M _{z,min}	ZS č.	V _{z,max}	ZS č.	V _{z,min}	ZS č.
21	D_1	D_1	PODÉLNÍK 1	PRUT i	Nx	[kN]	25,9		0,0		25,1		1,6		1,6		18,8		1,6		25,3		33,6		0,0		32,6		2,1		2,1		24,4		2,1		32,9	
					My	[kNm]	3,9	0	0,0	0	4,2	0	-12,7	0	-12,7	0	3,6	0	-12,7	0	-5,8	0	5,1	0	0,0	0	5,4	0	-16,5	0	-16,5	0	4,7	0	-16,5	0	-7,5	0
					X [m]	Mz	[kNm]	0,0	0,0	0,0	2,2	2,2	-0,8	2,2	1,4	0,0	0,0	0,0	2,8	2,8	-1,1	2,8	1,9															
					j	Vz	[kN]	0,4	0,0	0,7	16,6	16,6	6,7	16,6	-11,6	0,5	0,0	0,9	21,6	21,6	8,6	21,6	-15,1															
22	D_2	D_2	PODÉLNÍK 2	PRUT i	Nx	[kN]	16,9	-22,1	-22,1	-6,4	-22,1	-6,4	-5,0	-22,1	22,0	-28,7	-28,7	-8,3	-28,7	-8,3	-6,4	-28,7																
					My	[kNm]	2,2	0	5,0	0	5,0	0	-7,0	0	5,0	0	-7,0	0	3,1	0	5,0	0	2,8	0	6,5	0	6,5	0	-9,1	0	6,5	0	-9,1	0	4,0	0	6,5	0
					X [m]	Mz	[kNm]	0,5	1,1	1,1	-0,8	1,1	-0,8	0,0	1,1	0,7	1,4	-1,0	1,4	-1,0	0,0	1,4																
					j	Vz	[kN]	-2,2	-9,4	-9,4	3,7	-9,4	3,7	14,5	-9,4	-2,8	-12,2	-12,2	4,8	-12,2	4,8	18,9	-12,2															
23	D_3	D_3	PODÉLNÍK 3	PRUT i	Nx	[kN]	25,2	0,0	23,8	21,9	21,9	23,8	21,9	25,2	32,7	0,0	30,9	28,5	28,5	30,9	28,5	32,7																
					My	[kNm]	1,1	0	0,0	3,8	-7,1	-7,1	3,8	-7,1	1,1	1,5	0	0,0	4,9	-9,2	-9,2	4,9	-9,2	1,5	0													
					X [m]	Mz	[kNm]	-0,6	0,0	-0,6	1,4	1,4	-0,6	1,4	-0,6	-0,7	0,0	-0,7	1,9	1,9	-0,7	1,9	-0,7															
					j	Vz	[kN]	-10,6	0,0	-5,2	11,7	11,7	-5,2	11,7	-10,6	-13,8	0,0	-6,8	15,2	15,2	-6,8	15,2	-13,8															
24	D_4	D_4	PODÉLNÍK 4	PRUT i	Nx	[kN]	23,2	0,0	21,6	13,4	23,2	23,2	20,2	23,2	30,2	0,0	28,1	17,4	30,2	30,2	26,2	30,2																
					My	[kNm]	-4,3	0	0,0	3,2	-4,4	-4,3	1,2	0	-4,4	0	-4,3	0	-5,6	0	0,0	4,2	-5,7	-5,6	1,6	0	-5,7	0	-5,6	0								
					X [m]	Mz	[kNm]	1,2	0,0	-0,2	0,9	1,2	-0,5	0,9	1,2	1,5	0,0	-0,2	1,1	1,5	-0,7	1,2	1,5															
					j	Vz	[kN]	-11,1	0,0	-0,4	8,0	-11,1	-6,1	8,9	-11,1	-14,4	0,0	-0,5	10,3	-14,4	-8,0	11,6	-14,4															
25	D_5	D_5	PODÉLNÍK 5	PRUT i	Nx	[kN]	17,7	-0,9	7,4	7,0	17,7	7,5	7,0	17,7	23,0	-1,2	9,6	9,2	23,0	9,8	9,2	23,0																
					My	[kNm]	-2,9	0	-3,7	0	2,1	0	-4,2	0	-2,9	0	1,9	0	-4,2	0	-2,9	0	-3,8	0	-4,8	0	2,7	0	-5,4	0	-3,8	0	2,4	0	-5,4	0	-3,8	0
					X [m]	Mz	[kNm]	0,9	0,7	0,0	0,7	0,9	-0,4	0,7	0,9	1,1	0,9	0,0	0,8	1,1	-0,5	0,8	1,1															
					j	Vz	[kN]	-7,8	5,5	-0,5	6,7	-7,8	-3,5	6,7	-7,8	-10,1	7,1	-0,6	8,7	-10,1	-4,5	8,7	-10,1															
26	D_6	D_6	PODÉLNÍK 6	PRUT i	Nx	[kN]	5,4	-15,8	5,4	-15,8	-15,8	5,4	-15,8	-10,4	7,0	-20,6	7,0	-20,6	-20,6	7,0	-20,6	-13,5																
					My	[kNm]	0,8	0	-3,8	0	0,8	-3,8	-3,8	0,8	-3,8	0	0,8	-3,8	0	-1,8	0	1,0	-4,9	1,0	-4,9	1,0	-4,9	0	1,0	-4,9	0	-2,4	0					
					X [m]	Mz	[kNm]	-0,2	0,8	-0,2	0,8	0,8	-0,2	0,8	0,8	-0,2	1,0	-0,2	1,0	1,0	-0,2	1,0	1,0															
					j	Vz	[kN]	1,0	3,4	1,0	3,4	3,4	1,0	3,4	-2,8	1,2	4,5	1,2	4,5	4,5	1,2	4,5	-3,6															
27	D_7	D_7	PODÉLNÍK 7	PRUT i	Nx	[kN]	11,2	-9,4	11,2	-9,4	-7,4	11,2	0,0	11,2	14,6	-12,2	14,6	-12,2	-9,7	14,6	-0,1	14,6																
					My	[kNm]	0,8	0	-0,5	0	0,8	-0,5	0,1	0	0,8	0	-0,1	0	0,8	0	1,1	-0,6	1,1	-0,6	0,1	0	1,1	-0,1	0	1,1	0							
					X [m]	Mz	[kNm]	-0,1	0,0	-0,1	0,0	0,1	-0,1	0,0	-0,1	0,0	-0,1	0,0	-0,1	0,0	0,2	-0,1	0,0	-0,1														
					j	Vz	[kN]	-0,4	0,0	-0,4	0,0	-0,2	-0,4	0,1	-0,4	-0,6	0,0	-0,6	0,0	-0,2	-0,6	0,1	-0,6															
28	D_8	D_8	PODÉLNÍK 8	PRUT i	Nx	[kN]	24,3	0,0	22,9	20,9	20,9	23,2	24,3	20,9	31,5	0,0	29,8	27,2	27,2	30,2	31,5	27,2																
					My	[kNm]	-4,5	0	0,0	3,5	-6,5	-6,5	1,4	0	-4,5	0	-6,5	0	-5,9	0	0,0	4,6	-8,4	-8,4	1,9	0	-5,9	0	-8,4	0								
					X [m]	Mz	[kNm]	1,1	0,0	1,5	1,5	-0,6	1,1	1,5	1,4	0,0	0,0	1,9	1,9	-0,8	1,4	1,9																
					j	Vz	[kN]	10,6	0,0	1,5	-15,0	-15,0	-2,9	10,6	-15,0	13,8	0,0	1,9	-19,4	-19,4	-3,8	13,8	-19,4															
29	D_9	D_9	PODÉLNÍK 9	PRUT i	Nx	[kN]	24,3	0,0	17,9	10,1	10,1	18,0	24,3	10,1	31,6	0,0	23,2	13,2	13,2	23,3	31,6	13,2																
					My	[kNm]	-5,0	0	0,0	4,0	-9,3	-9,3	1,3	0	-5,0	0	-9,3	0	-6,4	0	0,0	5,2	-12,1	-12,1	1,7	0	-6,4	0	-12,1	0								
					X [m]	Mz	[kNm]	1,5	0,0	2,0	2,0	-0,7	1,5	2,0	1,9	0,0	0,0	2,6	2,6	-0,9	1,9	2,6																
					j	Vz	[kN]	11,8	0,0	1,0	-19,0	-19,0	-4,4	11,8	-19,0	15,3	0,0	1,2	-24,6	-24,6	-5,7	15,3	-24,6															
30	D_10	D_10	PODÉLNÍK 10	PRUT i	Nx	[kN]	18,0	-8,6	2,8	17,1	17,1	18,0	10,7	-8,6	23,4	-11,2	3,6	22,2	22,2	23,4	13,9	-11,2																
					My	[kNm]	3,4	0	-3,5	3,8	-6,3	-6,3	3,4	0	1,4	0	-3,5	0	4,5	-4,5	5,0	-8,2	-8,2	4,5	0	1,8	0	-4,5	0									
					X [m]	Mz	[kNm]	-0,9	0,0	-0,1	2,0	2,0	-0,9	-0,1	0,0	-1,1	0,0	-0,1	2,6	2,6	-1,1	0,0																
					j	Vz	[kN]	0,9	-15,9	0,8	13,7	13,7	0,9	17,2	-15,9	1,2	-20,6	1,0	17,8	17,8	1,2	22,4	-20,6															
HORNÍ DÍLČÍ SOUČINITEL ZATÍŽENÍ (VČETNÉ ROZPTYLU NOMINÁLNÍCH HODNOT)							γ _{sup}	1,00	1,00	1,00	1,00	1,00	1,00	1,00	1,00	1,30	1,30	1,30	1,30	1,30	1,30	1,30	1,30	1,30	1,30													
DOLNÍ DÍLČÍ SOUČINITEL ZATÍŽENÍ (VČETNÉ ROZPTYLU NOMINÁLNÍCH HODNOT)							γ _{inf}	0,00	0,00	0,00	0,00	0,00	0,00	0,00	0,00	0,00	0,00	0,00	0,00	0,00	0,00	0,00	0,00	0,00														

TAB		2,4 21-30		VNITŘNÍ SÍLY Nx, My, Mz, Vz - ZÁKLADNÍ SKUPINY ZATĚŽOVACÍCH STAVŮ																																				
ZATÍŽENÍ:		B		BRZDNÉ A ROZJ. SÍLY																																				
POSUDEK	POSUZOVANÝ PRŮŘEZ				VNITŘNÍ SÍLY		CHARAKTERISTICKÉ HODNOTY ZATÍŽENÍ																NÁVRHOVÉ HODNOTY ZATÍŽENÍ																	
	Č.	OZN.PRUTU	PRŮŘEZ	POPIS	PRUT - X	VELIČINA	JEDNOTKY	N _{x,max}	ZS č.	N _{x,min}	ZS č.	M _{y,max}	ZS č.	M _{y,min}	ZS č.	M _{z,max}	ZS č.	M _{z,min}	ZS č.	V _{z,max}	ZS č.	V _{z,min}	ZS č.	N _{x,max}	ZS č.	N _{x,min}	ZS č.	M _{y,max}	ZS č.	M _{y,min}	ZS č.	M _{z,max}	ZS č.	M _{z,min}	ZS č.	V _{z,max}	ZS č.	V _{z,min}	ZS č.	
21	D_1	D_1	PODÉLNÍK 1	PRUT	Nx	[kN]	52,4		-38,2		23,3		-38,2		52,4		-37,0		7,5		-38,2		68,2		-49,6		30,2		-49,6		68,2		-48,1		9,7		-49,6			
				i	My	[kNm]	-0,6	B	-4,9	B	4,3	B	-4,9	B	-0,6	B	0,8	B	-3,2	B	-4,9	B	-0,8	B	-6,3	B	5,6	B	-6,3	B	-0,8	B	1,0	B	-4,2	B	-6,3	B		
				X [m]	Mz	[kNm]	0,3		0,0		-0,1		0,0		0,3		-0,2		0,0		0,0		0,3		0,0		-0,1		0,0		0,3		-0,3		0,0		0,0			
				j	Vz	[kN]	0,5		-6,7		5,6		-6,7		0,5		-0,6		6,1		-6,7		0,6		-8,6		7,3		-8,6		0,6		-0,8		7,9		-8,6			
22	D_2	D_2	PODÉLNÍK 2	PRUT	Nx	[kN]	119,4		-154,1		-154,1		-66,3		-12,3		85,0		-66,3		-12,6		155,3		-200,4		-200,4		-86,1		-16,0		110,5		-86,1		-16,4			
				i	My	[kNm]	0,3	B	1,6	B	1,6	B	-4,7	B	-2,9	B	-0,4	B	-4,7	B	-4,0	B	0,4	B	2,1	B	2,1	B	-6,1	B	-3,7	B	-0,5	B	-6,1	B	-5,2	B		
				X [m]	Mz	[kNm]	-0,4		0,1		0,1		0,0		0,2		-0,5		0,0		0,0		-0,5		0,1		0,1		0,0		0,2		-0,7		0,0		0,0			
				j	Vz	[kN]	1,9		-0,7		-0,7		5,6		5,2		2,1		5,6		-6,9		2,5		-0,9		-0,9		7,3		6,8		2,8		7,3		-9,0			
23	D_3	D_3	PODÉLNÍK 3	PRUT	Nx	[kN]	108,1		-68,6		24,3		15,4		-55,0		36,7		36,7		16,3		140,5		-89,2		31,6		20,0		-71,5		47,7		47,7		21,2			
				i	My	[kNm]	2,6	B	1,3	B	7,2	B	-6,0	B	4,2	B	4,5	B	4,5	B	-5,9	B	3,4	B	1,7	B	9,4	B	-7,8	B	5,4	B	5,8	B	5,8	B	-7,7	B		
				X [m]	Mz	[kNm]	0,2		0,1		0,2		-0,2		0,5		-0,3		-0,3		-0,2		0,2		0,1		0,3		-0,3		0,6		-0,4		-0,4		-0,3			
				j	Vz	[kN]	-4,4		-1,7		-12,9		-13,6		2,1		13,5		13,5		-13,7		-5,7		-2,2		-16,7		-17,7		2,8		17,6		17,6		-17,8			
24	D_4	D_4	PODÉLNÍK 4	PRUT	Nx	[kN]	148,2		-118,1		53,2		33,3		148,2		3,9		53,2		-10,4		192,7		-153,6		69,1		43,2		192,7		5,1		69,1		-13,6			
				i	My	[kNm]	2,2	B	0,3	B	8,1	B	-3,0	B	2,2	B	-2,7	B	8,1	B	-1,8	B	2,9	B	0,4	B	10,5	B	-4,0	B	2,9	B	-3,5	B	10,5	B	-2,4	B		
				X [m]	Mz	[kNm]	0,8		0,6		0,6		-0,2		0,8		-0,4		0,6		0,1		1,0		0,8		0,7		-0,2		1,0		-0,5		0,7		0,1			
				j	Vz	[kN]	-5,8		0,2		10,1		5,9		-5,8		9,3		10,1		-10,6		-7,5		0,2		13,1		7,7		-7,5		12,1		13,1		-13,8			
25	D_5	D_5	PODÉLNÍK 5	PRUT	Nx	[kN]	148,3		-125,0		-79,3		148,3		-125,0		-79,3		14,3		-45,7		192,8		-162,5		-103,1		192,8		-162,5		-103,1		18,6		-59,4			
				i	My	[kNm]	-3,1	B	-0,1	B	3,6	B	-3,1	B	-0,1	B	3,6	B	-2,3	B	-1,7	B	-4,1	B	-0,1	B	4,6	B	-4,1	B	-0,1	B	4,6	B	-3,0	B	-2,2	B		
				X [m]	Mz	[kNm]	0,7		0,7		-0,2		0,7		0,7		-0,2		-0,1		0,2		0,8		0,9		-0,2		0,8		0,9		-0,2		-0,1		0,2			
				j	Vz	[kN]	-1,4		0,6		2,7		-1,4		0,6		2,7		5,2		-5,8		-1,8		0,7		3,5		-1,8		0,7		3,5		6,8		-7,5			
26	D_6	D_6	PODÉLNÍK 6	PRUT	Nx	[kN]	137,3		-137,1		-28,3		-6,4		-131,0		-137,1		-6,4		-7,6		178,5		-178,2		-36,8		-8,4		-170,3		-178,2		-8,4		-9,9			
				i	My	[kNm]	-0,5	B	0,5	B	1,5	B	-2,8	B	-0,8	B	0,5	B	-2,8	B	-2,1	B	-0,6	B	0,7	B	2,0	B	-3,6	B	-1,0	B	0,7	B	-3,6	B	-2,7	B		
				X [m]	Mz	[kNm]	0,2		-0,7		-0,1		0,2		0,7		-0,7		0,2		-0,2		0,3		-0,8		-0,2		0,3		0,9		-0,8		0,3		-0,3			
				j	Vz	[kN]	-0,2		0,2		2,6		5,2		-2,0		0,2		5,2		-5,3		-0,3		0,3		3,4		6,7		-2,6		0,3		6,7		-6,9			
27	D_7	D_7	PODÉLNÍK 7	PRUT	Nx	[kN]	198,7		-186,4		0,7		-20,3		-186,4		193,9		-52,1		41,2		258,2		-242,3		0,9		-26,4		-242,3		252,0		-67,7		53,5			
				i	My	[kNm]	-1,0	B	-2,7	B	3,0	B	-2,7	B	-2,7	B	1,1	B	-1,6	B	-2,6	B	-1,3	B	-3,5	B	3,9	B	-3,5	B	-3,5	B	1,4	B	-2,0	B	-3,3	B		
				X [m]	Mz	[kNm]	0,4		1,3		-0,1		0,0		1,3		-1,2		0,2		-0,3		0,6		1,7		-0,1		0,1		1,7		-1,5		0,3		-0,4			
				j	Vz	[kN]	-0,2		2,3		-4,3		4,4		2,3		-0,5		10,6		-5,5		-0,2		2,9		-5,6		5,7		2,9		-0,7		13,8		-7,1			
28	D_8	D_8	PODÉLNÍK 8	PRUT	Nx	[kN]	91,1		-89,4		9,1		-2,9		-89,4		9,1		-3,3		46,1		118,5		-116,2		11,8		-3,8		-116,2		11,8		-4,2		59,9			
				i	My	[kNm]	1,2	B	0,7	B	8,2	B	-3,1	B	0,7	B	8,2	B	-3,0	B	1,6	B	1,5	B	0,9	B	10,7	B	-4,1	B	0,9	B	10,7	B	-3,9	B	2,1	B		
				X [m]	Mz	[kNm]	0,2		0,5		-0,4		-0,1		0,5		-0,4		-0,1		-0,3		0,3		0,6		-0,5		-0,2		0,6		-0,5		-0,1		-0,4			
				j	Vz	[kN]	1,8		-1,8		10,2		10,6		-1,8		10,2		11,0		-10,3		2,3		-2,3		13,2		13,8		-2,3		13,2		14,3		-13,4			
29	D_9	D_9	PODÉLNÍK 9	PRUT	Nx	[kN]	52,5		-56,2		3,1		-39,0		-43,5		-39,8		-39,0		6,0		68,3		-73,0		4,0		-50,7		-56,5		-51,7		-50,7		7,9			
				i	My	[kNm]	-0,2	B	-0,2	B	1,3	B	-2,7	B	1,1	B	-0,6	B	-2,7	B	-1,6	B	-0,3	B	-0,2	B	1,7	B	-3,5	B	1,4	B	-0,7	B	-3,5	B	-2,0	B		
				X [m]	Mz	[kNm]	0,3		0,3		0,0		0,1		0,4		-0,1		0,1		0,0		0,3		0,4		0,0		0,1		0,5		-0,1		0,1		0,1			
				j	Vz	[kN]	-1,2		1,8		0,2		5,7		-0,4		-1,0		5,7		-5,1		-1,6		2,4		0,3		7,3		-0,6		-1,3		7,3		-6,6			
30	D_10	D_10	PODÉLNÍK 10	PRUT	Nx	[kN]	24,5		-23,0		-15,4		-7,8		-15,4		7,8		-17,9		-7,8		31,8		-30,0		-20,1		-10,1		-20,1		10,1		-23,2		-10,1			
				i	My	[kNm]	-0,3	B	-0,3	B	1,5	B	-3,0	B	1,5	B	-0,3	B	-2,4	B	-3,0	B	-0,4	B	-0,3	B	1,9	B	-3,8	B	1,9	B	-0,4	B	-3,1	B	-3,8	B		
				X [m]	Mz	[kNm]	0,1		0,0		0,3		0,0		0,3		-0,1		0,0		0,0		0,2		-0,1		0,3		0,0		0,3		-0,1		0,0		0,0			
				j	Vz	[kN]	-1,3		1,4		-0,6		-6,0		-0,6		-0,5		4,9		-6,0		-1,6		1,8		-0,8		-7,7		-0,8		-0,7		6,3		-7,7			
HORNÍ DÍLCÍ SOUČINTEL ZATÍŽENÍ (VČETNÉ ROZPTYLU NOMINÁLNÍCH HODNOT)							γ_{sup}	1,00		1,00		1,00		1,00		1,00		1,00		1,00		1,30		1,30		1,30		1,30		1,30		1,30		1,30		1,30				
DOLNÍ DÍLCÍ SOUČINTEL ZATÍŽENÍ (VČETNÉ ROZPTYLU NOMINÁLNÍCH HODNOT)							γ_{inf}	0,00		0,00		0,00		0,00		0,00		0,00		0,00		0,00		0,00		0,00		0,00		0,00		0,00		0,00		0,00		0,00		

128

TAB		2,7		21-30		VNITŘNÍ SÍLY Nx, My, Mz, Vz - ZÁKLADNÍ SKUPINY ZATĚŽOVACÍCH STAVŮ																																		
ZATÍŽENÍ:		W-P		VÍTR																																				
POSUDEK		POSUZOVANÝ PRŮŘEZ			VNITŘNÍ SÍLY		CHARAKTERISTICKÉ HODNOTY ZATÍŽENÍ																NÁVRHOVÉ HODNOTY ZATÍŽENÍ																	
Č.	OZN.PRUTU	PRŮŘEZ	POPIS	PRUT - X	VELIČINA	JEDNOTKY	N _{x,max}	ZS č.	N _{x,min}	ZS č.	M _{y,max}	ZS č.	M _{y,min}	ZS č.	M _{z,max}	ZS č.	M _{z,min}	ZS č.	V _{z,max}	ZS č.	V _{z,min}	ZS č.	N _{x,max}	ZS č.	N _{x,min}	ZS č.	M _{y,max}	ZS č.	M _{y,min}	ZS č.	M _{z,max}	ZS č.	M _{z,min}	ZS č.	V _{z,max}	ZS č.	V _{z,min}	ZS č.		
21	D_1	D_1	PODÉLNÍK 1	PRUT	Nx	[kN]	21,0		-19,0		8,0		-0,3		-0,3		13,6		4,2		2,6		28,4		-25,7		10,8		-0,4		-0,4		18,4		5,7		3,5			
				i	My	[kNm]	2,4	W-P	-2,1	W-P	5,4	W-P	-6,1	W-P	-6,1	W-P	3,6	W-P	-5,6	W-P	-2,8	W-P	3,3	W-P	-2,9	W-P	7,3	W-P	-8,2	W-P	-8,2	W-P	4,9	W-P	-7,6	W-P	-3,8	W-P		
				X [m]	Mz	[kNm]	0,0		0,0		-0,3		0,7		0,7		-0,5		0,5		0,6		0,0		0,0		-0,4		0,9		0,9		-0,7		0,7		0,8			
				j	Vz	[kN]	0,5		-1,0		3,5		7,4		7,4		1,4		8,2		-4,8		0,7		-1,3		4,7		10,0		10,0		1,9		11,0		-6,5			
22	D_2	D_2	PODÉLNÍK 2	PRUT	Nx	[kN]	22,8		-31,8		3,0		-31,8		9,6		0,8		0,8		22,8		30,7		-43,0		4,0		-43,0		13,0		1,0		1,0		30,7			
				i	My	[kNm]	-2,3	W-P	-8,5	W-P	5,3	W-P	-8,5	W-P	1,3	W-P	-3,9	W-P	-3,9	W-P	-2,3	W-P	-3,1	W-P	-11,5	W-P	7,1	W-P	-11,5	W-P	1,7	W-P	-5,2	W-P	-5,2	W-P	-3,1	W-P		
				X [m]	Mz	[kNm]	0,0		-0,5		0,1		-0,5		1,5		-0,7		-0,7		0,0		0,0		-0,7		0,1		-0,7		2,0		-0,9		-0,9		0,0			
				j	Vz	[kN]	-9,0		8,1		-1,7		8,1		-5,7		8,2		8,2		-9,0		-12,2		10,9		-2,3		10,9		-7,6		11,1		11,1		-12,2			
23	D_3	D_3	PODÉLNÍK 3	PRUT	Nx	[kN]	23,2		-22,7		14,9		1,0		-1,0		15,8		-1,0		1,0		31,3		-30,6		20,1		1,4		-1,4		21,3		-1,4		1,4			
				i	My	[kNm]	2,8	W-P	-1,3	W-P	5,9	W-P	-5,4	W-P	-4,3	W-P	3,7	W-P	-4,3	W-P	-5,4	W-P	3,7	W-P	-1,7	W-P	7,9	W-P	-7,3	W-P	-5,8	W-P	4,9	W-P	-5,8	W-P	-7,3	W-P		
				X [m]	Mz	[kNm]	-0,1		0,2		-0,4		0,6		0,7		-0,6		0,6		0,6		-0,1		0,3		-0,6		0,8		0,9		-0,7		0,8		0,8			
				j	Vz	[kN]	-0,3		5,6		-3,3		-8,1		-7,2		3,0		5,8		-8,1		-0,4		7,5		-4,4		-11,0		-9,7		4,1		7,8		-11,0			
24	D_4	D_4	PODÉLNÍK 4	PRUT	Nx	[kN]	23,8		-20,7		6,8		-5,2		-2,3		3,4		-2,3		2,0		32,1		-28,0		9,2		-7,1		-3,1		4,6		-3,1		2,7			
				i	My	[kNm]	2,7	W-P	2,9	W-P	5,9	W-P	-6,1	W-P	-5,3	W-P	4,1	W-P	-5,3	W-P	-4,0	W-P	3,6	W-P	4,0	W-P	8,0	W-P	-8,2	W-P	-7,1	W-P	5,6	W-P	-7,1	W-P	-5,4	W-P		
				X [m]	Mz	[kNm]	-0,1		-0,5		-0,3		0,6		0,8		-0,7		0,8		0,7		-0,1		-0,6		-0,4		0,8		1,0		-0,9		1,0		0,9			
				j	Vz	[kN]	-0,4		-7,0		1,7		9,2		9,4		-2,9		9,4		-9,8		-0,5		-9,5		2,2		12,4		12,7		-4,0		12,7		-13,2			
25	D_5	D_5	PODÉLNÍK 5	PRUT	Nx	[kN]	15,8		-22,5		7,7		-14,8		-13,8		15,8		-14,8		-2,5		21,3		-30,3		10,4		-20,0		-18,6		21,3		-20,0		-3,4			
				i	My	[kNm]	3,8	W-P	3,4	W-P	5,4	W-P	-5,6	W-P	-4,5	W-P	3,8	W-P	-5,6	W-P	-3,4	W-P	5,1	W-P	4,5	W-P	7,2	W-P	-7,6	W-P	-6,0	W-P	5,1	W-P	-7,6	W-P	-4,6	W-P		
				X [m]	Mz	[kNm]	-0,5		-0,5		-0,3		0,7		0,7		-0,5		0,7		0,6		-0,7		-0,6		-0,4		0,9		0,9		-0,7		0,9		0,8			
				j	Vz	[kN]	1,5		-7,0		-3,2		9,1		7,1		1,5		9,1		-8,2		2,0		-9,5		-4,3		12,3		9,6		2,0		12,3		-11,1			
26	D_6	D_6	PODÉLNÍK 6	PRUT	Nx	[kN]	38,3		-40,7		-6,5		-34,3		-21,7		33,5		-21,7		-34,3		51,7		-54,9		-8,7		-46,2		-29,3		45,2		-29,3		-46,2			
				i	My	[kNm]	4,0	W-P	-6,5	W-P	5,7	W-P	-10,5	W-P	-8,5	W-P	3,5	W-P	-8,5	W-P	-10,5	W-P	5,4	W-P	-8,7	W-P	7,6	W-P	-14,2	W-P	-11,4	W-P	4,8	W-P	-11,4	W-P	-14,2	W-P		
				X [m]	Mz	[kNm]	-0,4		-0,1		-0,1		1,3		1,6		-0,6		1,6		1,3		-0,5		-0,1		-0,1		1,8		2,1		-0,8		2,1		1,8			
				j	Vz	[kN]	4,0		-2,2		0,5		-12,9		9,6		5,0		9,6		-12,9		5,5		-2,9		0,6		-17,3		12,9		6,7		12,9		-17,3			
27	D_7	D_7	PODÉLNÍK 7	PRUT	Nx	[kN]	36,8		-35,9		2,9		-31,4		-3,5		-1,0		-1,0		-11,1		49,7		-48,4		3,9		-42,4		-4,7		-1,3		-1,3		-14,9			
				i	My	[kNm]	2,5	W-P	-8,1	W-P	7,8	W-P	-11,4	W-P	-8,4	W-P	-7,4	W-P	-7,4	W-P	-7,0	W-P	3,3	W-P	-10,9	W-P	10,5	W-P	-15,3	W-P	-11,4	W-P	-10,0	W-P	-10,0	W-P	-9,4	W-P		
				X [m]	Mz	[kNm]	0,4		0,1		0,0		-1,1		1,4		-1,2		-1,2		1,1		0,6		0,1		-0,1		-1,5		1,9		-1,6		-1,6		1,5			
				j	Vz	[kN]	1,3		5,8		-1,7		12,0		10,2		13,1		13,1		-11,2		1,8		7,8		-2,2		16,2		13,7		17,7		17,7		-15,2			
28	D_8	D_8	PODÉLNÍK 8	PRUT	Nx	[kN]	21,4		-20,9		5,8		-6,9		-5,2		12,1		-6,9		0,5		28,9		-28,2		7,9		-9,2		-7,0		16,3		-9,2		0,7			
				i	My	[kNm]	2,3	W-P	2,6	W-P	6,3	W-P	-5,9	W-P	-4,7	W-P	3,0	W-P	-5,9	W-P	-5,8	W-P	3,1	W-P	3,5	W-P	8,5	W-P	-7,9	W-P	-6,3	W-P	4,1	W-P	-7,9	W-P	-7,8	W-P		
				X [m]	Mz	[kNm]	-0,3		-0,3		0,3		0,7		0,8		-0,6		0,7		0,7		-0,4		-0,4		0,4		0,9		1,0		-0,8		0,9		1,0			
				j	Vz	[kN]	1,2		-6,7		1,8		9,2		7,9		0,4		9,2		-9,8		1,6		-9,1		2,4		12,5		10,7		0,5		12,5		-13,2			
29	D_9	D_9	PODÉLNÍK 9	PRUT	Nx	[kN]	15,4		-20,6		8,4		-3,1		-2,2		7,7		4,2		-3,1		20,8		-27,8		11,3		-4,2		-2,9		10,4		5,6		-4,2			
				i	My	[kNm]	2,7	W-P	2,6	W-P	5,9	W-P	-6,4	W-P	-5,7	W-P	2,6	W-P	-3,8	W-P	-6,4	W-P	3,7	W-P	3,4	W-P	8,0	W-P	-8,7	W-P	-7,7	W-P	3,5	W-P	-5,2	W-P	-8,7	W-P		
				X [m]	Mz	[kNm]	0,0		-0,4		-0,1		0,8		0,8		-0,6		0,7		0,8		0,0		-0,6		-0,2		1,1		1,1		-0,8		1,0		1,1			
				j	Vz	[kN]	0,5		-6,7		-2,2		-11,3		-9,9		0,7		7,5		-11,3		0,7		-9,1		-2,9		-15,2		-13,3		0,9		10,1		-15,2			
30	D_10	D_10	PODÉLNÍK 10	PRUT	Nx	[kN]	7,3		-15,6		5,9		-8,5		4,3		-0,8		-8,5		-5,4		9,8		-21,1		8,0		-11,4		5,7		-1,0		-11,4		-7,3			
				i	My	[kNm]	4,1	W-P	-3,1	W-P	5,9	W-P	-5,6	W-P	-3,1	W-P	2,2	W-P	-5,6	W-P	-2,1	W-P	5,5	W-P	-4,2	W-P	7,9	W-P	-7,6	W-P	-4,2	W-P	3,0	W-P	-7,6	W-P	-2,9	W-P		
				X [m]	Mz	[kNm]	0,1		0,3		-0,2		0,6		0,8		-0,5		0,6		0,0		0,1		0,3		-0,2		0,8		1,1		-0,6		0,8		0,0			
				j	Vz	[kN]	1,0		-1,5		-2,3		8,7		6,1		3,5		8,7		-7,5		1,3		-2,0		-3,1		11,7		8,3		4,7		11,7		-10,2			
HORNÍ DÍLCÍ SOUČINTEL ZATÍŽENÍ (VČETNÉ ROZPTYLU NOMINÁLNÍCH HODNOT)							γ _{sup}	1,00	1,00	1,00	1,00	1,00	1,00	1,00	1,00	1,00	1,00	1,00	1,00	1,35	1,35	1,35	1,35	1,35	1,35	1,35	1,35	1,35	1,35	1,35	1,35	1,35	1,35	1,35	1,35	1,35	1,35	1,35		
DOLNÍ DÍLCÍ SOUČINTEL ZATÍŽENÍ (VČETNÉ ROZPTYLU NOMINÁLNÍCH HODNOT)							γ _{inf}	0,00	0,00	0,00	0,00	0,00	0,00	0,00	0,00	0,00	0,00	0,00	0,00	0,00	0,00	0,00	0,00	0,00	0,00	0,00	0,00	0,00	0,00	0,00	0,00	0,00	0,00	0,00	0,00	0,00	0,00	0,00	0,00	0,00

TAB		2,8		21-30		VNITŘNÍ SÍLY Nx, My, Mz, Vz - ZÁKLADNÍ SKUPINY ZATĚŽOVACÍCH STAVŮ																																		
ZATÍŽENÍ:		T-E		ROVNOMĚR, TEPLOTA																																				
POSUDEK	POSUZOVANÝ PRŮŘEZ				VNITŘNÍ SÍLY		CHARAKTERISTICKÉ HODNOTY ZATÍŽENÍ																NÁVRHOVÉ HODNOTY ZATÍŽENÍ																	
Č.	OZN.PRUTU	PRŮŘEZ	POPIS	PRUT - X	VELIČINA	JEDNOTKY	N _{x,max}	ZS č.	N _{x,min}	ZS č.	M _{y,max}	ZS č.	M _{y,min}	ZS č.	M _{z,max}	ZS č.	M _{z,min}	ZS č.	V _{z,max}	ZS č.	V _{z,min}	ZS č.	N _{x,max}	ZS č.	N _{x,min}	ZS č.	M _{y,max}	ZS č.	M _{y,min}	ZS č.	M _{z,max}	ZS č.	M _{z,min}	ZS č.	V _{z,max}	ZS č.	V _{z,min}	ZS č.		
21	D_1	D_1	PODÉLNÍK 1	PRUT	i	Nx	[kN]	23,6		-16,5		16,9		-12,2		23,6		-16,5		-4,0		-2,0		31,9		-22,3		22,8		-16,5		31,9		-22,3		-5,4		-2,8		
						My	[kNm]	3,8	T-E	-3,2	T-E	5,1	T-E	-4,7	T-E	3,8	T-E	-3,2	T-E	1,5	T-E	2,5	T-E	5,1	T-E	-4,3	T-E	6,9	T-E	-6,3	T-E	5,1	T-E	-4,3	T-E	2,0	T-E	3,3	T-E	
						X [m]	Mz	[kNm]	2,8		-2,8		-0,2		-1,9		2,8		-2,8		2,4		2,5		3,7		-3,8		-0,3		-2,5		3,7		-3,8		3,2		3,4	
						j	Vz	[kN]	0,7		0,6		-0,6		1,3		0,7		0,6		2,4		-3,0		0,9		0,7		-0,8		1,7		0,9		0,7		3,3		-4,1	
22	D_2	D_2	PODÉLNÍK 2	PRUT	i	Nx	[kN]	15,5		-14,7		4,4		-13,6		-3,7		6,6		-13,6		4,4		20,9		-19,8		5,9		-18,3		-5,0		8,8		-18,3		5,9		
						My	[kNm]	0,9	T-E	-2,2	T-E	3,1	T-E	-4,1	T-E	-2,5	T-E	2,4	T-E	-4,1	T-E	3,1	T-E	1,2	T-E	-3,0	T-E	4,2	T-E	-5,5	T-E	-3,4	T-E	3,3	T-E	-5,5	T-E	4,2	T-E	
						X [m]	Mz	[kNm]	-1,1		-1,6		1,0		2,9		4,8		-6,3		2,9		1,0		-1,5		-2,2		1,3		4,0		6,5		-8,5		4,0		1,3	
						j	Vz	[kN]	-0,7		-2,6		-4,3		2,7		2,2		-1,3		2,7		-4,3		-1,0		-3,5		-5,8		3,7		3,0		-1,8		3,7		-5,8	
23	D_3	D_3	PODÉLNÍK 3	PRUT	i	Nx	[kN]	18,0		-16,0		6,7		-12,5		18,0		7,1		6,7		-2,6		24,3		-21,6		9,0		-16,8		24,3		9,6		9,0		-3,6		
						My	[kNm]	2,6	T-E	-2,5	T-E	3,0	T-E	-3,6	T-E	2,6	T-E	0,1	T-E	3,0	T-E	1,3	T-E	3,5	T-E	-3,3	T-E	4,1	T-E	-4,9	T-E	3,5	T-E	0,1	T-E	4,1	T-E	1,7	T-E	
						X [m]	Mz	[kNm]	3,1		1,6		3,0		-2,3		3,1		-2,7		3,0		2,4		4,1		2,1		4,0		-3,1		4,1		-3,7		4,0		3,3	
						j	Vz	[kN]	0,4		-0,1		1,9		-1,4		0,4		0,3		1,9		-2,3		0,5		-0,2		2,6		-1,8		0,5		0,4		2,6		-3,2	
24	D_4	D_4	PODÉLNÍK 4	PRUT	i	Nx	[kN]	16,8		-6,3		2,0		-2,4		-0,6		-2,4		1,7		2,0		22,7		-8,5		2,6		-3,2		-0,8		-3,2		2,3		2,6		
						My	[kNm]	2,2	T-E	-1,5	T-E	2,4	T-E	-2,4	T-E	1,0	T-E	-2,4	T-E	0,8	T-E	2,4	T-E	3,0	T-E	-2,0	T-E	3,3	T-E	-3,3	T-E	1,3	T-E	-3,3	T-E	1,1	T-E	3,3	T-E	
						X [m]	Mz	[kNm]	3,3		-2,9		3,8		-3,9		4,2		-3,9		-2,4		3,8		4,4		-3,9		5,1		-5,2		5,6		-5,2		-3,3		5,1	
						j	Vz	[kN]	-1,3		2,5		-1,6		1,7		0,7		1,7		2,5		-1,6		-1,7		3,3		-2,1		2,3		1,0		2,3		3,4		-2,1	
25	D_5	D_5	PODÉLNÍK 5	PRUT	i	Nx	[kN]	8,8		-11,6		0,2		-6,6		1,4		-6,6		-6,6		0,2		11,9		-15,6		0,3		-8,9		1,9		-8,9		-8,9		0,3		
						My	[kNm]	0,1	T-E	-2,6	T-E	2,4	T-E	-2,9	T-E	2,3	T-E	-2,9	T-E	-2,9	T-E	2,4	T-E	0,1	T-E	-3,4	T-E	3,3	T-E	-3,9	T-E	3,1	T-E	-3,9	T-E	-3,9	T-E	3,3	T-E	
						X [m]	Mz	[kNm]	2,6		-2,8		3,7		-3,8		3,8		-3,8		-3,8		3,7		3,5		-3,8		5,0		-5,1		5,1		-5,1		5,0			
						j	Vz	[kN]	-1,7		2,4		-2,1		2,6		1,2		2,6		2,6		-2,1		-2,3		3,2		-2,8		3,5		1,6		3,5		3,5		-2,8	
26	D_6	D_6	PODÉLNÍK 6	PRUT	i	Nx	[kN]	7,7		-13,4		-1,0		-5,9		-3,5		-5,9		-0,5		-1,0		10,4		-18,1		-1,3		-8,0		-4,7		-8,0		-0,7		-1,3		
						My	[kNm]	-0,4	T-E	-0,2	T-E	2,9	T-E	-2,9	T-E	-2,4	T-E	-2,9	T-E	-2,3	T-E	2,9	T-E	-0,5	T-E	-0,2	T-E	3,8	T-E	-3,9	T-E	-3,2	T-E	-3,9	T-E	-3,0	T-E	3,8	T-E	
						X [m]	Mz	[kNm]	-0,5		-2,7		3,5		-3,5		3,7		-3,5		-2,2		3,5		-0,7		-3,6		4,7		-4,7		5,0		-4,7		-3,0		4,7	
						j	Vz	[kN]	0,8		-0,6		-2,6		-1,2		-2,6		-1,2		1,6		-2,6		1,1		-0,8		-3,5		-1,6		-3,5		-1,6		2,1		-3,5	
27	D_7	D_7	PODÉLNÍK 7	PRUT	i	Nx	[kN]	4,6		-11,0		4,6		-7,1		-7,1		4,3		-7,1		-8,0		6,1		-14,8		6,1		-9,6		-9,6		5,8		-9,6		-10,9		
						My	[kNm]	3,4	T-E	-0,7	T-E	3,4	T-E	-4,4	T-E	-4,4	T-E	2,6	T-E	-4,4	T-E	0,6	T-E	4,6	T-E	-0,9	T-E	4,6	T-E	-6,0	T-E	-6,0	T-E	3,5	T-E	-6,0	T-E	0,8	T-E	
						X [m]	Mz	[kNm]	4,9		-3,4		4,9		6,2		6,2		-8,0		6,2		-2,6		6,7		-4,5		6,7		8,4		-10,7		8,4		-3,5			
						j	Vz	[kN]	1,1		1,4		1,1		3,1		3,1		-0,7		3,1		-0,8		1,4		1,8		1,4		4,1		4,1		-1,0		4,1		-1,1	
28	D_8	D_8	PODÉLNÍK 8	PRUT	i	Nx	[kN]	4,0		-3,6		2,8		-3,6		0,2		-2,1		2,8		0,2		5,4		-4,9		3,8		-4,9		0,2		-2,8		3,8		0,2		
						My	[kNm]	2,7	T-E	-3,0	T-E	3,2	T-E	-3,0	T-E	1,5	T-E	-2,7	T-E	3,2	T-E	1,5	T-E	3,6	T-E	-4,0	T-E	4,3	T-E	-4,0	T-E	2,0	T-E	-3,6	T-E	4,3	T-E	2,0	T-E	
						X [m]	Mz	[kNm]	-0,7		3,0		-2,8		3,0		4,2		-3,2		-2,8		4,2		-0,9		4,0		-3,8		4,0		5,7		-4,3		-3,8		5,7	
						j	Vz	[kN]	0,8		-0,1		1,9		-0,1		-2,0		0,3		1,9		-2,0		1,0		-0,1		2,5		-0,1		-2,6		0,4		2,5		-2,6	
29	D_9	D_9	PODÉLNÍK 9	PRUT	i	Nx	[kN]	13,5		-10,4		12,1		-10,4		-1,2		-6,2		12,1		-1,2		18,2		-14,0		16,4		-14,0		-1,6		-8,4		16,4		-1,6		
						My	[kNm]	4,2	T-E	-6,1	T-E	5,4	T-E	-6,1	T-E	1,5	T-E	-3,9	T-E	5,4	T-E	1,5	T-E	5,6	T-E	-8,3	T-E	7,2	T-E	-8,3	T-E	2,0	T-E	-5,3	T-E	7,2	T-E	2,0	T-E	
						X [m]	Mz	[kNm]	2,7		-2,6		-1,1		-2,6		3,7		-2,8		-1,1		3,7		3,7		-3,5		-1,5		-3,5		5,0		-3,7		-1,5		5,0	
						j	Vz	[kN]	-0,2		-0,8		1,9		-0,8		-2,2		0,7		1,9		-2,2		-0,2		-1,1		2,5		-1,1		-3,0		0,9		2,5		-3,0	
30	D_10	D_10	PODÉLNÍK 10	PRUT	i	Nx	[kN]	13,8		-7,0		12,5		-7,0		-1,4		-7,0		12,5		-1,4		18,6		-9,4		16,8		-9,4		-1,8		-9,4		16,8		-1,8		
						My	[kNm]	5,2	T-E	-5,6	T-E	5,9	T-E	-5,6	T-E	2,8	T-E	-5,6	T-E	5,9	T-E	2,8	T-E	7,0	T-E	-7,5	T-E	8,0	T-E	-7,5	T-E	3,8	T-E	-7,5	T-E	8,0	T-E	3,8	T-E	
						X [m]	Mz	[kNm]	2,8		-2,6		-1,1		-2,6		3,5		-2,6		-1,1		3,5		3,7		-3,5		-1,4		-3,5		4,8		-3,5		-1,4		4,8	
						j	Vz	[kN]	-1,3		1,7		1,8		1,7		-2,8		1,7		1,8		-2,8		-1,8		2,3		2,4		-3,8		2,3		2,4		-3,8			
HORNÍ DÍLČÍ SOUČINITEL ZATÍŽENÍ (VČETNÉ ROZPTYLU NOMINÁLNÍCH HODNOT)							γ _{sup}	1,00	1,00	1,00	1,00	1,00	1,00	1,00	1,00	1,00	1,00	1,00	1,00	1,35	1,35	1,35	1,35	1,35	1,35	1,35	1,35	1,35	1,35	1,35	1,35	1,35	1,35	1,35	1,35	1,35	1,35			
DOLNÍ DÍLČÍ SOUČINITEL ZATÍŽENÍ (VČETNÉ ROZPTYLU NOMINÁLNÍCH HODNOT)							γ _{inf}	0,00	0,00	0,00	0,00	0,00	0,00	0,00	0,00	0,00	0,00	0,00	0,00	0,00	0,00	0,00	0,00	0,00	0,00	0,00	0,00	0,00	0,00	0,00	0,00	0,00	0,00	0,00	0,00	0,00	0,00	0,00	0,00	

TAB 2,12 21-30 VNITŘNÍ SÍLY Nx, My, Mz, Vz - ZÁKLADNÍ SKUPINY ZATĚŽOVACÍCH STAVŮ

ZATÍŽENÍ: R2 PŘECHODNOST C3-50

POSUDEK				POSUZOVANÝ PRŮŘEZ			VNITŘNÍ SÍLY		CHARAKTERISTICKÉ HODNOTY ZATÍŽENÍ																NÁVRHOVÉ HODNOTY ZATÍŽENÍ																§	Ld
Č.	OZN.PRUTU	PRŮŘEZ	POPIS	PRUT - X	VELIČINA	JEDNOTKY	N _{x,max}	ZS č.	N _{x,min}	ZS č.	M _{y,max}	ZS č.	M _{y,min}	ZS č.	M _{z,max}	ZS č.	M _{z,min}	ZS č.	V _{z,max}	ZS č.	V _{z,min}	ZS č.	N _{x,max}	ZS č.	N _{x,min}	ZS č.	M _{y,max}	ZS č.	M _{y,min}	ZS č.	M _{z,max}	ZS č.	M _{z,min}	ZS č.	V _{z,max}	ZS č.	V _{z,min}	ZS č.	[-]	[m]		
21	D_1	D_1	PODÉLNÍK 1	PRUT	N _x	[kN]	140,2		-16,5		92,7		47,1		38,1		89,4		66,0		74,1		182,3		-21,4		120,5		61,2		49,6		116,3		85,8		96,4		1,47	9,000		
				i	M _y	[kNm]	70,6	R2	-5,2	R2	81,3	R2	-50,0	R2	-17,4	R2	45,8	R2	-38,0	R2	-33,8	R2	91,7	R2	-6,7	R2	105,8	R2	-65,1	R2	-22,7	R2	59,5	R2	-49,3	R2	-43,9	R2	1,47	9,000		
				X [m]	M _z	[kNm]	1,7		-0,1		-1,7		3,2		7,8		-5,1		3,8		3,6		2,2		-0,2		-2,3		4,2		10,2		-6,6		4,9		4,7		1,47	9,000		
				j	V _z	[kN]	13,2		0,5		66,9		93,3		83,8		8,8		124,2		-116,5		17,2		0,7		87,0		121,3		108,9		11,4		161,5		-151,4		1,47	9,000		
22	D_2	D_2	PODÉLNÍK 2	PRUT	N _x	[kN]	200,5		-134,5		39,8		-75,6		1,5		137,9		99,9		-15,6		260,7		-174,9		51,7		-98,2		1,9		179,3		129,8		-20,3		1,47	9,000		
				i	M _y	[kNm]	-7,3	R2	-24,2	R2	77,7	R2	-86,4	R2	22,1	R2	-22,8	R2	-58,7	R2	-2,8	R2	-9,5	R2	-31,5	R2	101,1	R2	-112,3	R2	28,8	R2	-29,7	R2	-76,3	R2	-3,7	R2	1,47	9,000		
				X [m]	M _z	[kNm]	-0,8		0,0		0,2		-2,7		8,5		-8,9		-4,5		0,0		-1,0		-0,1		0,3		-3,5		11,0		-11,5		-5,8		0,0		1,47	9,000		
				j	V _z	[kN]	-82,4		-3,8		89,4		-45,8		-8,8		94,5		135,0		-188,5		-107,2		-5,0		-59,6		116,2		-11,4		122,8		175,5		-245,1		1,47	9,000		
23	D_3	D_3	PODÉLNÍK 3	PRUT	N _x	[kN]	194,1		-18,9		148,8		99,0		102,0		94,1		102,1		132,5		252,3		-24,6		193,5		128,7		132,6		122,3		132,8		172,3		1,47	9,000		
				i	M _y	[kNm]	65,3	R2	-5,7	R2	84,5	R2	-47,6	R2	-4,2	R2	40,5	R2	-30,2	R2	-35,9	R2	84,9	R2	-7,4	R2	109,8	R2	-61,9	R2	-5,5	R2	52,6	R2	-39,3	R2	-46,6	R2	1,47	9,000		
				X [m]	M _z	[kNm]	1,0		-0,1		-2,2		3,1		6,9		-5,2		3,4		3,6		1,3		-0,1		-2,8		4,1		9,0		-6,8		4,4		4,6		1,47	9,000		
				j	V _z	[kN]	-11,5		-3,0		-62,7		-89,6		-73,5		78,9		119,7		-122,0		-14,9		-4,0		-81,5		-116,4		-95,5		102,6		155,6		-158,6		1,47	9,000		
24	D_4	D_4	PODÉLNÍK 4	PRUT	N _x	[kN]	221,7		-50,0		153,3		50,7		24,4		143,9		134,5		64,0		288,2		-65,0		199,3		65,9		31,8		187,1		174,9		83,2		1,47	9,000		
				i	M _y	[kNm]	62,6	R2	-5,3	R2	82,3	R2	-54,1	R2	-20,3	R2	43,8	R2	-35,0	R2	-22,8	R2	81,4	R2	-6,8	R2	107,0	R2	-70,3	R2	-26,4	R2	57,0	R2	-45,5	R2	-29,7	R2	1,47	9,000		
				X [m]	M _z	[kNm]	3,4		0,2		2,3		3,6		8,7		-5,5		4,7		5,5		4,5		0,2		3,0		4,6		11,4		-7,2		6,1		7,2		1,47	9,000		
				j	V _z	[kN]	-4,5		1,4		24,4		88,6		89,8		-61,8		137,4		-154,7		-5,9		1,8		31,8		115,2		116,8		-80,4		178,6		-201,2		1,47	9,000		
25	D_5	D_5	PODÉLNÍK 5	PRUT	N _x	[kN]	210,9		-95,5		150,6		-3,5		-22,4		125,5		73,1		22,4		274,2		-124,2		195,7		-4,6		-29,1		163,1		95,1		29,1		1,47	9,000		
				i	M _y	[kNm]	53,3	R2	-14,9	R2	78,1	R2	-61,0	R2	-27,5	R2	25,0	R2	-41,7	R2	-26,9	R2	69,4	R2	-19,4	R2	101,6	R2	-79,3	R2	-35,8	R2	32,4	R2	-54,2	R2	-35,0	R2	1,47	9,000		
				X [m]	M _z	[kNm]	1,6		0,9		-1,6		4,0		9,0		-5,4		5,1		5,7		2,0		1,2		-2,1		5,2		11,7		-7,0		6,7		7,5		1,47	9,000		
				j	V _z	[kN]	-6,1		2,5		-61,3		85,1		93,2		61,7		137,8		-152,2		-7,9		3,2		-79,7		110,6		121,1		80,2		179,2		-197,9		1,47	9,000		
26	D_6	D_6	PODÉLNÍK 6	PRUT	N _x	[kN]	159,1		-163,3		107,0		-106,8		-105,5		138,2		26,8		-20,9		206,8		-212,3		139,1		-138,8		-137,2		179,6		34,9		-27,1		1,47	9,000		
				i	M _y	[kNm]	39,8	R2	-40,2	R2	63,3	R2	-78,9	R2	-45,9	R2	13,0	R2	-58,9	R2	-42,9	R2	51,7	R2	-52,3	R2	82,3	R2	-102,6	R2	-59,6	R2	16,9	R2	-76,6	R2	-55,8	R2	1,47	9,000		
				X [m]	M _z	[kNm]	-2,2		-0,7		-0,1		5,4		10,4		-4,9		6,1		5,7		-2,8		-0,9		-0,1		7,0		13,6		-6,4		7,9		7,5		1,47	9,000		
				j	V _z	[kN]	4,5		-1,3		21,9		-97,8		-102,3		87,9		137,4		-158,5		5,8		-1,7		28,5		-127,2		-133,0		114,3		178,6		-206,1		1,47	9,000		
27	D_7	D_7	PODÉLNÍK 7	PRUT	N _x	[kN]	288,5		-160,7		165,5		-25,3		-85,0		245,1		137,2		115,0		375,1		-208,9		215,2		-32,9		-110,5		318,7		178,4		149,5		1,41	11,250		
				i	M _y	[kNm]	52,2	R2	-35,0	R2	94,6	R2	-102,9	R2	-51,4	R2	-36,8	R2	-52,5	R2	-54,8	R2	67,9	R2	-45,4	R2	123,0	R2	-133,7	R2	-66,8	R2	-47,8	R2	-68,2	R2	-71,2	R2	1,41	11,250		
				X [m]	M _z	[kNm]	4,1		-0,7		1,5		-5,8		12,9		-12,1		5,8		5,7		5,3		-1,0		2,0		-7,6		16,8		-15,7		7,6		7,4		1,41	11,250		
				j	V _z	[kN]	26,9		1,1		-22,6		90,5		103,8		115,5		178,6		-178,1		35,0		1,5		-29,3		117,6		135,0		150,2		232,2		-231,5		1,41	11,250		
28	D_8	D_8	PODÉLNÍK 8	PRUT	N _x	[kN]	165,6		-38,0		134,9		60,3		35,5		68,9		124,8		84,1		215,3		-49,4		175,3		78,4		46,1		89,5		162,2		109,3		1,47	9,000		
				i	M _y	[kNm]	63,0	R2	-7,4	R2	85,6	R2	-60,1	R2	-23,5	R2	45,0	R2	-29,2	R2	-15,6	R2	81,9	R2	-9,6	R2	111,3	R2	-65,2	R2	-30,5	R2	58,5	R2	-38,0	R2	-20,2	R2	1,47	9,000		
				X [m]	M _z	[kNm]	-0,9		0,2		3,4		3,8		8,2		-5,1		4,7		5,1		-1,2		0,2		4,5		4,9		10,6		-6,7		6,2		6,7		1,47	9,000		
				j	V _z	[kN]	17,6		2,1		28,3		90,6		92,4		8,0		138,6		-155,3		22,9		2,8		36,8		117,7		120,1		10,4		180,1		-201,9		1,47	9,000		
29	D_9	D_9	PODÉLNÍK 9	PRUT	N _x	[kN]	141,0		-29,9		116,3		50,4		43,3		91,9		73,1		98,7		183,3		-38,8		151,2		65,5		56,3		119,5		95,0		128,3		1,47	9,000		
				i	M _y	[kNm]	77,2	R2	-5,4	R2	87,6	R2	-46,8	R2	-19,2	R2	42,2	R2	-26,6	R2	-13,5	R2	100,4	R2	-7,0	R2	113,9	R2	-60,8	R2	-24,9	R2	54,9	R2	-34,6	R2	-17,5	R2	1,47	9,000		
				X [m]	M _z	[kNm]	1,4		0,1		-0,3		3,5		8,0		-4,9		4,8		4,8		1,8		0,1		-0,4		4,6		10,4		-6,3		6,2		6,2		1,47	9,000		
				j	V _z	[kN]	22,2		1,3		-43,9		-90,9		89,3		12,9		131,0		-168,8		28,9		1,7		-57,0		-118,1		116,1		16,7		170,3		-206,5		1,47	9,000		
30	D_10	D_10	PODÉLNÍK 10	PRUT	N _x	[kN]	111,5		-20,0		94,4		49,7		46,0		68,0		57,4		1,8		144,9		-26,0		122,8		64,6		59,8		88,4		74,6		2,3		1,47	9,000		
				i	M _y	[kNm]	68,9	R2	-7,0	R2	85,5	R2	-46,2	R2	-16,5	R2	40,9	R2	-31,8	R2	-1,3	R2	89,6	R2	-9,2	R2	111,1	R2	-60,0	R2	-21,5	R2	53,1	R2	-41,4	R2	-1,7	R2	1,47	9,000		
				X [m]	M _z	[kNm]	1,7		0,0		0,0		3,4		7,9		-5,2		5,0		0,0		2,2		0,0		0,0		0,0		4,5		10,2		-6,7		6,5		0,0		1,47	9,000
				j	V _z	[kN]	13,9		-2,3		-40,1		86,4		89,7		77,3		128,5		-193,6		18,1		-3,0		-52,1		112,3		116,6		100,5		167,0		-251,7		1,47	9,000		
HORNÍ DÍLCÍ SOUČINITEL ZATÍŽENÍ (VČETNÉ ROZPTYLU NOMINÁLNÍCH HODNOT)				γ _{sup}	1,00		1,00		1,00		1,00		1,00		1,00		1,00		1,00		1,00		1,00		1,00		1,00		1,00		1,00		1,00									

TAB		2,1		31-40		VNITŘNÍ SÍLY Nx, My, Mz, Vz - ZÁKLADNÍ SKUPINY ZATĚŽOVACÍCH STAVŮ																																		
ZATÍŽENÍ:		G1		STÁLÉ																																				
POSUDEK		POSUZOVANÝ PRŮŘEZ				VNITŘNÍ SÍLY		CHARAKTERISTICKÉ HODNOTY ZATÍŽENÍ																NÁVRHOVÉ HODNOTY ZATÍŽENÍ																
Č.	OZN.PRUTU	PRŮŘEZ	POPIS	PRUT - X	VELIČINA	JEDNOTKY	N _{x,max}	ZS č.	N _{x,min}	ZS č.	M _{y,max}	ZS č.	M _{y,min}	ZS č.	M _{z,max}	ZS č.	M _{z,min}	ZS č.	V _{z,max}	ZS č.	V _{z,min}	ZS č.	N _{x,max}	ZS č.	N _{x,min}	ZS č.	M _{y,max}	ZS č.	M _{y,min}	ZS č.	M _{z,max}	ZS č.	M _{z,min}	ZS č.	V _{z,max}	ZS č.	V _{z,min}	ZS č.		
31	S_1	S_1	SVISLICE	PRUT	Nx	[kN]	69,5		52,9		69,5		69,5		69,5		69,5		69,5		69,5		69,5		86,9		52,9		86,9		69,5		86,9		69,5		86,9		69,5	
				i	My	[kNm]	0,0	G1	0,0	G1	0,0	G1	0,0	G1	0,0	G1	0,0	G1	0,0	G1	0,0	G1	0,0	G1	0,0	G1	0,0	G1	0,0	G1	0,0	G1	0,0	G1	0,0	G1	0,0	G1	0,0	G1
				X [m]	Mz	[kNm]	0,0		0,0		0,0		0,0		0,0		0,0		0,0		0,0		0,0		0,0		0,0		0,0		0,0		0,0		0,0		0,0		0,0	
				j	Vz	[kN]	0,0		0,0		0,0		0,0		0,0		0,0		0,0		0,0		0,0		0,0		0,0		0,0		0,0		0,0		0,0		0,0		0,0	
32	T_1	T_1	ZTUŽIDLA PODÉLNÍKŮ 1	PRUT	Nx	[kN]	11,3		-11,0		11,3		11,3		11,3		11,3		11,3		11,3		14,1		-13,8		14,1		11,3		14,1		11,3		14,1		11,3		14,1	
				i	My	[kNm]	0,0	G1	0,0	G1	0,0	G1	0,0	G1	0,0	G1	0,0	G1	0,0	G1	0,0	G1	0,0	G1	0,0	G1	0,0	G1	0,0	G1	0,0	G1	0,0	G1	0,0	G1	0,0	G1	0,0	G1
				X [m]	Mz	[kNm]	0,0		0,0		0,0		0,0		0,0		0,0		0,0		0,0		0,0		0,0		0,0		0,0		0,0		0,0		0,0		0,0		0,0	
				j	Vz	[kN]	0,0		0,0		0,0		0,0		0,0		0,0		0,0		0,0		0,0		0,0		0,0		0,0		0,0		0,0		0,0		0,0		0,0	
33	T_2	T_2	ZTUŽIDLA PODÉLNÍKŮ 2	PRUT	Nx	[kN]	3,5		-3,4		3,5		3,5		3,5		3,5		3,5		3,5		4,4		-4,3		4,4		3,5		4,4		3,5		4,4		3,5			
				i	My	[kNm]	0,0	G1	0,0	G1	0,0	G1	0,0	G1	0,0	G1	0,0	G1	0,0	G1	0,0	G1	0,0	G1	0,0	G1	0,0	G1	0,0	G1	0,0	G1	0,0	G1	0,0	G1	0,0	G1	0,0	G1
				X [m]	Mz	[kNm]	0,0		0,0		0,0		0,0		0,0		0,0		0,0		0,0		0,0		0,0		0,0		0,0		0,0		0,0		0,0		0,0		0,0	
				j	Vz	[kN]	0,0		0,0		0,0		0,0		0,0		0,0		0,0		0,0		0,0		0,0		0,0		0,0		0,0		0,0		0,0		0,0		0,0	
34	T_3	T_3	ZTUŽIDLA PODÉLNÍKŮ 3	PRUT	Nx	[kN]	0,0		-3,8		-2,1		-2,1		-2,1		-2,1		-2,1		-2,1		0,0		-4,7		-2,6		-2,1		-2,6		-2,1		-2,6		-2,1			
				i	My	[kNm]	0,0	G1	0,0	G1	0,0	G1	0,0	G1	0,0	G1	0,0	G1	0,0	G1	0,0	G1	0,0	G1	0,0	G1	0,0	G1	0,0	G1	0,0	G1	0,0	G1	0,0	G1	0,0	G1	0,0	G1
				X [m]	Mz	[kNm]	0,0		0,0		0,0		0,0		0,0		0,0		0,0		0,0		0,0		0,0		0,0		0,0		0,0		0,0		0,0		0,0		0,0	
				j	Vz	[kN]	0,0		0,0		0,0		0,0		0,0		0,0		0,0		0,0		0,0		0,0		0,0		0,0		0,0		0,0		0,0		0,0		0,0	
35	T_4	T_4	ZTUŽIDLA PODÉLNÍKŮ 4	PRUT	Nx	[kN]	0,0		-5,9		-4,2		-4,2		-4,2		-4,2		-4,2		-4,2		0,0		-7,4		-5,2		-4,2		-5,2		-4,2		-5,2		-4,2			
				i	My	[kNm]	0,0	G1	0,0	G1	0,0	G1	0,0	G1	0,0	G1	0,0	G1	0,0	G1	0,0	G1	0,0	G1	0,0	G1	0,0	G1	0,0	G1	0,0	G1	0,0	G1	0,0	G1	0,0	G1	0,0	G1
				X [m]	Mz	[kNm]	0,0		0,0		0,0		0,0		0,0		0,0		0,0		0,0		0,0		0,0		0,0		0,0		0,0		0,0		0,0		0,0		0,0	
				j	Vz	[kN]	0,0		0,0		0,0		0,0		0,0		0,0		0,0		0,0		0,0		0,0		0,0		0,0		0,0		0,0		0,0		0,0		0,0	
36	Z_1	Z_1	DOLNÍ ZTUŽENÍ 1	PRUT	Nx	[kN]	1,1		-76,4		1,1		1,1		1,1		1,1		1,1		1,1		1,3		-95,5		1,3		1,1		1,3		1,1		1,3		1,1			
				i	My	[kNm]	0,0	G1	0,0	G1	0,0	G1	0,0	G1	0,0	G1	0,0	G1	0,0	G1	0,0	G1	0,0	G1	0,0	G1	0,0	G1	0,0	G1	0,0	G1	0,0	G1	0,0	G1	0,0	G1	0,0	G1
				X [m]	Mz	[kNm]	0,0		0,0		0,0		0,0		0,0		0,0		0,0		0,0		0,0		0,0		0,0		0,0		0,0		0,0		0,0		0,0		0,0	
				j	Vz	[kN]	0,0		0,0		0,0		0,0		0,0		0,0		0,0		0,0		0,0		0,0		0,0		0,0		0,0		0,0		0,0		0,0		0,0	
37	Z_2	Z_2	DOLNÍ ZTUŽENÍ 2	PRUT	Nx	[kN]	44,2		0,0		44,2		44,2		44,2		44,2		44,2		44,2		55,3		0,0		55,3		44,2		55,3		44,2		55,3		44,2			
				i	My	[kNm]	0,0	G1	0,0	G1	0,0	G1	0,0	G1	0,0	G1	0,0	G1	0,0	G1	0,0	G1	0,0	G1	0,0	G1	0,0	G1	0,0	G1	0,0	G1	0,0	G1	0,0	G1	0,0	G1	0,0	G1
				X [m]	Mz	[kNm]	0,0		0,0		0,0		0,0		0,0		0,0		0,0		0,0		0,0		0,0		0,0		0,0		0,0		0,0		0,0		0,0		0,0	
				j	Vz	[kN]	0,0		0,0		0,0		0,0		0,0		0,0		0,0		0,0		0,0		0,0		0,0		0,0		0,0		0,0		0,0		0,0		0,0	
38	Z_3	Z_3	DOLNÍ ZTUŽENÍ 3	PRUT	Nx	[kN]	24,2		0,0		24,2		24,2		24,2		24,2		24,2		24,2		30,3		0,0		30,3		24,2		30,3		24,2		30,3		24,2			
				i	My	[kNm]	0,0	G1	0,0	G1	0,0	G1	0,0	G1	0,0	G1	0,0	G1	0,0	G1	0,0	G1	0,0	G1	0,0	G1	0,0	G1	0,0	G1	0,0	G1	0,0	G1	0,0	G1	0,0	G1	0,0	G1
				X [m]	Mz	[kNm]	0,0		0,0		0,0		0,0		0,0		0,0		0,0		0,0		0,0		0,0		0,0		0,0		0,0		0,0		0,0		0,0		0,0	
				j	Vz	[kN]	0,0		0,0		0,0		0,0		0,0		0,0		0,0		0,0		0,0		0,0		0,0		0,0		0,0		0,0		0,0		0,0		0,0	
39	Z_4	Z_4	DOLNÍ ZTUŽENÍ 4	PRUT	Nx	[kN]	73,0		0,0		73,0		73,0		73,0		73,0		73,0		73,0		91,2		0,0		91,2		73,0		91,2		73,0		91,2		73,0			
				i	My	[kNm]	0,0	G1	0,0	G1	0,0	G1	0,0	G1	0,0	G1	0,0	G1	0,0	G1	0,0	G1	0,0	G1	0,0	G1	0,0	G1	0,0	G1	0,0	G1	0,0	G1	0,0	G1	0,0	G1	0,0	G1
				X [m]	Mz	[kNm]	0,0		0,0		0,0		0,0		0,0		0,0		0,0		0,0		0,0		0,0		0,0		0,0		0,0		0,0		0,0		0,0		0,0	
				j	Vz	[kN]	0,0		0,0		0,0		0,0		0,0		0,0		0,0		0,0		0,0		0,0		0,0		0,0		0,0		0,0		0,0		0,0		0,0	
40	Z_5	Z_5	DOLNÍ ZTUŽENÍ 5	PRUT	Nx	[kN]	67,6		-43,3		67,6		67,6		67,6		67,6		67,6		67,6		84,5		-54,1		84,5		67,6		84,5		67,6		84,5		67,6			
				i	My	[kNm]	0,0	G1	0,0	G1	0,0	G1	0,0	G1	0,0	G1	0,0	G1	0,0	G1	0,0	G1	0,0	G1	0,0	G1	0,0	G1	0,0	G1	0,0	G1	0,0	G1	0,0	G1	0,0	G1	0,0	G1
				X [m]	Mz	[kNm]	0,0		0,0		0,0		0,0		0,0		0,0		0,0		0,0		0,0		0,0		0,0		0,0		0,0		0,0		0,0		0,0		0,0	
				j	Vz	[kN]	0,0		0,0		0,0		0,0		0,0		0,0		0,0		0,0		0,0		0,0		0,0		0,0		0,0		0,0		0,0		0,0		0,0	
HORNÍ DÍLČÍ SOUČINTEL ZATÍŽENÍ (VČETNÉ ROZPTYLU NOMINÁLNÍCH HODNOT)							γ_{sup}	1,00		1,00		1,00		1,00		1,00		1,00		1,00		1,25		1,25		1,25		1,25		1,25		1,25		1,25		1,25				
DOLNÍ DÍLČÍ SOUČINTEL ZATÍŽENÍ (VČETNÉ ROZPTYLU NOMINÁLNÍCH HODNOT)							γ_{inf}	1,00		1,00		1,00		1,00		1,00		1,00		1,00		1,00		1,00		1,00		1,00		1,00		1,00		1,00		1,00		1,00		

133

TAB		2,1		31-40		VNITŘNÍ SÍLY Nx, My, Mz, Vz - ZÁKLADNÍ SKUPINY ZATĚŽOVACÍCH STAVŮ																																	
ZATÍŽENÍ:		G3		STÁLÉ																																			
POSUDEK		POSUZOVANÝ PRŮŘEZ			VNITŘNÍ SÍLY		CHARAKTERISTICKÉ HODNOTY ZATÍŽENÍ																NÁVRHOVÉ HODNOTY ZATÍŽENÍ																
Č.	OZN.PRUTU	PRŮŘEZ	POPIS	PRUT - X	VELIČINA	JEDNOTKY	N _{x,max}	ZS č.	N _{x,min}	ZS č.	M _{y,max}	ZS č.	M _{y,min}	ZS č.	M _{z,max}	ZS č.	M _{z,min}	ZS č.	V _{z,max}	ZS č.	V _{z,min}	ZS č.	N _{x,max}	ZS č.	N _{x,min}	ZS č.	M _{y,max}	ZS č.	M _{y,min}	ZS č.	M _{z,max}	ZS č.	M _{z,min}	ZS č.	V _{z,max}	ZS č.	V _{z,min}	ZS č.	
31	S_1	S_1	SVISLICE	PRUT	Nx	[kN]	10,8		9,4		10,8		10,8		10,8		10,8		10,8		10,8		13,5		9,4		13,5		10,8		13,5		10,8		13,5		10,8		
				i	My	[kNm]	0,0	G3	0,0	G3	0,0	G3	0,0	G3	0,0	G3	0,0	G3	0,0	G3	0,0	G3	0,0	G3	0,0	G3	0,0	G3	0,0	G3	0,0	G3	0,0	G3	0,0	G3	0,0	G3	
				X [m]	Mz	[kNm]	0,0		0,0		0,0		0,0		0,0		0,0		0,0		0,0		0,0		0,0		0,0		0,0		0,0		0,0		0,0		0,0		
				j	Vz	[kN]	0,0		0,0		0,0		0,0		0,0		0,0		0,0		0,0		0,0		0,0		0,0		0,0		0,0		0,0		0,0		0,0		
32	T_1	T_1	ZTUŽIDLA PODÉLNÍKŮ 1	PRUT	Nx	[kN]	1,4		-1,4		1,4		1,4		1,4		1,4		1,4		1,4		1,7		-1,7		1,7		1,4		1,7		1,4		1,7		1,4		
				i	My	[kNm]	0,0	G3	0,0	G3	0,0	G3	0,0	G3	0,0	G3	0,0	G3	0,0	G3	0,0	G3	0,0	G3	0,0	G3	0,0	G3	0,0	G3	0,0	G3	0,0	G3	0,0	G3	0,0	G3	
				X [m]	Mz	[kNm]	0,0		0,0		0,0		0,0		0,0		0,0		0,0		0,0		0,0		0,0		0,0		0,0		0,0		0,0		0,0		0,0		
				j	Vz	[kN]	0,0		0,0		0,0		0,0		0,0		0,0		0,0		0,0		0,0		0,0		0,0		0,0		0,0		0,0		0,0		0,0		
33	T_2	T_2	ZTUŽIDLA PODÉLNÍKŮ 2	PRUT	Nx	[kN]	0,4		-0,4		0,4		0,4		0,4		0,4		0,4		0,4		0,5		-0,5		0,5		0,4		0,5		0,4		0,5		0,4		
				i	My	[kNm]	0,0	G3	0,0	G3	0,0	G3	0,0	G3	0,0	G3	0,0	G3	0,0	G3	0,0	G3	0,0	G3	0,0	G3	0,0	G3	0,0	G3	0,0	G3	0,0	G3	0,0	G3	0,0	G3	
				X [m]	Mz	[kNm]	0,0		0,0		0,0		0,0		0,0		0,0		0,0		0,0		0,0		0,0		0,0		0,0		0,0		0,0		0,0		0,0		
				j	Vz	[kN]	0,0		0,0		0,0		0,0		0,0		0,0		0,0		0,0		0,0		0,0		0,0		0,0		0,0		0,0		0,0		0,0		
34	T_3	T_3	ZTUŽIDLA PODÉLNÍKŮ 3	PRUT	Nx	[kN]	0,2		0,0		0,2		0,2		0,2		0,2		0,2		0,2		0,2		-0,1		0,2		0,2		0,2		0,2		0,2		0,2		
				i	My	[kNm]	0,0	G3	0,0	G3	0,0	G3	0,0	G3	0,0	G3	0,0	G3	0,0	G3	0,0	G3	0,0	G3	0,0	G3	0,0	G3	0,0	G3	0,0	G3	0,0	G3	0,0	G3	0,0	G3	
				X [m]	Mz	[kNm]	0,0		0,0		0,0		0,0		0,0		0,0		0,0		0,0		0,0		0,0		0,0		0,0		0,0		0,0		0,0		0,0		
				j	Vz	[kN]	0,0		0,0		0,0		0,0		0,0		0,0		0,0		0,0		0,0		0,0		0,0		0,0		0,0		0,0		0,0		0,0		
35	T_4	T_4	ZTUŽIDLA PODÉLNÍKŮ 4	PRUT	Nx	[kN]	0,0		-0,2		0,0		0,0		0,0		0,0		0,0		0,0		0,0		-0,3		0,0		0,0		0,0		0,0		0,0		0,0		
				i	My	[kNm]	0,0	G3	0,0	G3	0,0	G3	0,0	G3	0,0	G3	0,0	G3	0,0	G3	0,0	G3	0,0	G3	0,0	G3	0,0	G3	0,0	G3	0,0	G3	0,0	G3	0,0	G3	0,0	G3	
				X [m]	Mz	[kNm]	0,0		0,0		0,0		0,0		0,0		0,0		0,0		0,0		0,0		0,0		0,0		0,0		0,0		0,0		0,0		0,0		
				j	Vz	[kN]	0,0		0,0		0,0		0,0		0,0		0,0		0,0		0,0		0,0		0,0		0,0		0,0		0,0		0,0		0,0		0,0		
36	Z_1	Z_1	DOLNÍ ZTUŽENÍ 1	PRUT	Nx	[kN]	0,0		-11,8		-3,5		-3,5		-3,5		-3,5		-3,5		-3,5		0,0		-14,8		-4,4		-3,5		-4,4		-3,5		-4,4		-3,5		
				i	My	[kNm]	0,0	G3	0,0	G3	0,0	G3	0,0	G3	0,0	G3	0,0	G3	0,0	G3	0,0	G3	0,0	G3	0,0	G3	0,0	G3	0,0	G3	0,0	G3	0,0	G3	0,0	G3	0,0	G3	
				X [m]	Mz	[kNm]	0,0		0,0		0,0		0,0		0,0		0,0		0,0		0,0		0,0		0,0		0,0		0,0		0,0		0,0		0,0		0,0		
				j	Vz	[kN]	0,0		0,0		0,0		0,0		0,0		0,0		0,0		0,0		0,0		0,0		0,0		0,0		0,0		0,0		0,0		0,0		
37	Z_2	Z_2	DOLNÍ ZTUŽENÍ 2	PRUT	Nx	[kN]	2,4		0,0		2,4		2,4		2,4		2,4		2,4		2,4		3,0		0,0		3,0		2,4		3,0		2,4		3,0		2,4		
				i	My	[kNm]	0,0	G3	0,0	G3	0,0	G3	0,0	G3	0,0	G3	0,0	G3	0,0	G3	0,0	G3	0,0	G3	0,0	G3	0,0	G3	0,0	G3	0,0	G3	0,0	G3	0,0	G3	0,0	G3	
				X [m]	Mz	[kNm]	0,0		0,0		0,0		0,0		0,0		0,0		0,0		0,0		0,0		0,0		0,0		0,0		0,0		0,0		0,0		0,0		
				j	Vz	[kN]	0,0		0,0		0,0		0,0		0,0		0,0		0,0		0,0		0,0		0,0		0,0		0,0		0,0		0,0		0,0		0,0		
38	Z_3	Z_3	DOLNÍ ZTUŽENÍ 3	PRUT	Nx	[kN]	4,2		0,0		4,2		4,2		4,2		4,2		4,2		4,2		5,3		0,0		5,3		4,2		5,3		4,2		5,3		4,2		
				i	My	[kNm]	0,0	G3	0,0	G3	0,0	G3	0,0	G3	0,0	G3	0,0	G3	0,0	G3	0,0	G3	0,0	G3	0,0	G3	0,0	G3	0,0	G3	0,0	G3	0,0	G3	0,0	G3	0,0	G3	
				X [m]	Mz	[kNm]	0,0		0,0		0,0		0,0		0,0		0,0		0,0		0,0		0,0		0,0		0,0		0,0		0,0		0,0		0,0		0,0		
				j	Vz	[kN]	0,0		0,0		0,0		0,0		0,0		0,0		0,0		0,0		0,0		0,0		0,0		0,0		0,0		0,0		0,0		0,0		
39	Z_4	Z_4	DOLNÍ ZTUŽENÍ 4	PRUT	Nx	[kN]	6,2		0,0		6,2		6,2		6,2		6,2		6,2		6,2		7,7		0,0		7,7		6,2		7,7		6,2		7,7		6,2		
				i	My	[kNm]	0,0	G3	0,0	G3	0,0	G3	0,0	G3	0,0	G3	0,0	G3	0,0	G3	0,0	G3	0,0	G3	0,0	G3	0,0	G3	0,0	G3	0,0	G3	0,0	G3	0,0	G3	0,0	G3	
				X [m]	Mz	[kNm]	0,0		0,0		0,0		0,0		0,0		0,0		0,0		0,0		0,0		0,0		0,0		0,0		0,0		0,0		0,0		0,0		
				j	Vz	[kN]	0,0		0,0		0,0		0,0		0,0		0,0		0,0		0,0		0,0		0,0		0,0		0,0		0,0		0,0		0,0		0,0		
40	Z_5	Z_5	DOLNÍ ZTUŽENÍ 5	PRUT	Nx	[kN]	5,3		-4,7		5,3		5,3		5,3		5,3		5,3		5,3		6,7		-5,9		6,7		5,3		6,7		5,3		6,7		5,3		
				i	My	[kNm]	0,0	G3	0,0	G3	0,0	G3	0,0	G3	0,0	G3	0,0	G3	0,0	G3	0,0	G3	0,0	G3	0,0	G3	0,0	G3	0,0	G3	0,0	G3	0,0	G3	0,0	G3	0,0	G3	
				X [m]	Mz	[kNm]	0,0		0,0		0,0		0,0		0,0		0,0		0,0		0,0		0,0		0,0		0,0		0,0		0,0		0,0		0,0		0,0		
				j	Vz	[kN]	0,0		0,0		0,0		0,0		0,0		0,0		0,0		0,0		0,0		0,0		0,0		0,0		0,0		0,0		0,0		0,0		
HORNÍ DÍLČÍ SOUČINTEL ZATÍŽENÍ (VČETNÉ ROZPTYLU NOMINÁLNÍCH HODNOT)																																							
γ_{sup} 1,001,001,001,001,001,001,001,001,001,001,001,251,251,251,251,251,251,251,251,25																																							
DOLNÍ DÍLČÍ SOUČINTEL ZATÍŽENÍ (VČETNÉ ROZPTYLU NOMINÁLNÍCH HODNOT)																																							
γ_{inf} 1,00																																							

TAB 2,1 31-40 VNITŘNÍ SÍLY N_x , M_y , M_z , V_z - ZÁKLADNÍ SKUPINY ZATĚŽOVACÍCH STAVŮ

ZATÍŽENÍ: G **STÁLÉ A NAHODILÉ DLOUHODOBÉ ZATÍŽENÍ - ZS01 - ZS05**

POSUDEK		POSUZOVANÝ PRŮŘEZ			VNITŘNÍ SÍLY		CHARAKTERISTICKÉ HODNOTY JEDNOTLIVÝCH ZATÍŽENÍ					NÁVRHOVÉ HODNOTY ZATÍŽENÍ - SUMA STÁLÉ A DLOUHODOBÉ NAHODILÉ																								
Č.	OZN.PRUTU	PRŮŘEZ	POPIS	PRUT - X	VELIČINA	JEDNOTKY	ZS01	ZS02	ZS03	ZS04	ZS05	N _{x,max}	ZS č.	N _{x,min}	ZS č.	M _{y,max}	ZS č.	M _{y,min}	ZS č.	M _{z,max}	ZS č.	M _{z,min}	ZS č.	V _{z,max}	ZS č.	V _{z,min}	ZS č.									
31	S_1	S_1	SVISLICE	PRUT	N _x	[kN]	69,5	2,7	10,8	0,0	0,0	103,7	G	64,6	G	103,7	G	83,0	G	103,7	G	83,0	G	103,7	G	83,0	G									
				i	M _y	[kNm]	0,0	0,0	0,0	0,0	0,0	0,0		0,0		0,0		0,0		0,0		0,0		0,0		0,0		0,0	0,0	0,0	0,0	0,0	0,0	0,0	0,0	
				X [m]	M _z	[kNm]	0,0	0,0	0,0	0,0	0,0	0,0		0,0		0,0		0,0		0,0		0,0		0,0		0,0		0,0	0,0	0,0	0,0	0,0	0,0	0,0	0,0	0,0
				j	V _z	[kN]	0,0	0,0	0,0	0,0	0,0	0,0		0,0		0,0		0,0		0,0		0,0		0,0		0,0		0,0	0,0	0,0	0,0	0,0	0,0	0,0	0,0	0,0
32	T_1	T_1	ZTUŽIDLA PODÉLNÍKŮ 1	PRUT	N _x	[kN]	11,3	-0,4	-1,4	0,0	0,0	16,2	G	-15,9	G	16,2	G	13,0	G	16,2	G	13,0	G	16,2	G	13,0	G									
				i	M _y	[kNm]	0,0	0,0	0,0	0,0	0,0	0,0		0,0		0,0		0,0		0,0		0,0		0,0		0,0		0,0	0,0	0,0	0,0	0,0	0,0	0,0	0,0	
				X [m]	M _z	[kNm]	0,0	0,0	0,0	0,0	0,0	0,0		0,0		0,0		0,0		0,0		0,0		0,0		0,0		0,0	0,0	0,0	0,0	0,0	0,0	0,0	0,0	0,0
				j	V _z	[kN]	0,0	0,0	0,0	0,0	0,0	0,0		0,0		0,0		0,0		0,0		0,0		0,0		0,0		0,0	0,0	0,0	0,0	0,0	0,0	0,0	0,0	0,0
33	T_2	T_2	ZTUŽIDLA PODÉLNÍKŮ 2	PRUT	N _x	[kN]	3,5	-0,1	-0,4	0,0	0,0	4,9	G	-5,0	G	4,9	G	4,0	G	4,9	G	4,0	G	4,9	G	4,0	G									
				i	M _y	[kNm]	0,0	0,0	0,0	0,0	0,0	0,0		0,0		0,0		0,0		0,0		0,0		0,0		0,0		0,0	0,0	0,0	0,0	0,0	0,0	0,0	0,0	
				X [m]	M _z	[kNm]	0,0	0,0	0,0	0,0	0,0	0,0		0,0		0,0		0,0		0,0		0,0		0,0		0,0		0,0	0,0	0,0	0,0	0,0	0,0	0,0	0,0	0,0
				j	V _z	[kN]	0,0	0,0	0,0	0,0	0,0	0,0		0,0		0,0		0,0		0,0		0,0		0,0		0,0		0,0	0,0	0,0	0,0	0,0	0,0	0,0	0,0	0,0
34	T_3	T_3	ZTUŽIDLA PODÉLNÍKŮ 3	PRUT	N _x	[kN]	-3,8	-0,5	0,2	0,0	0,0	0,2	G	-5,4	G	-2,8	G	-2,2	G	-2,8	G	-2,2	G	-2,8	G	-2,2	G									
				i	M _y	[kNm]	0,0	0,0	0,0	0,0	0,0	0,0		0,0		0,0		0,0		0,0		0,0		0,0		0,0		0,0	0,0	0,0	0,0	0,0	0,0	0,0	0,0	
				X [m]	M _z	[kNm]	0,0	0,0	0,0	0,0	0,0	0,0		0,0		0,0		0,0		0,0		0,0		0,0		0,0		0,0	0,0	0,0	0,0	0,0	0,0	0,0	0,0	0,0
				j	V _z	[kN]	0,0	0,0	0,0	0,0	0,0	0,0		0,0		0,0		0,0		0,0		0,0		0,0		0,0		0,0	0,0	0,0	0,0	0,0	0,0	0,0	0,0	0,0
35	T_4	T_4	ZTUŽIDLA PODÉLNÍKŮ 4	PRUT	N _x	[kN]	-5,9	-0,6	-0,2	0,0	0,0	0,0	G	-8,5	G	-6,0	G	-4,8	G	-6,0	G	-4,8	G	-6,0	G	-4,8	G									
				i	M _y	[kNm]	0,0	0,0	0,0	0,0	0,0	0,0		0,0		0,0		0,0		0,0		0,0		0,0		0,0		0,0	0,0	0,0	0,0	0,0	0,0	0,0	0,0	
				X [m]	M _z	[kNm]	0,0	0,0	0,0	0,0	0,0	0,0		0,0		0,0		0,0		0,0		0,0		0,0		0,0		0,0	0,0	0,0	0,0	0,0	0,0	0,0	0,0	0,0
				j	V _z	[kN]	0,0	0,0	0,0	0,0	0,0	0,0		0,0		0,0		0,0		0,0		0,0		0,0		0,0		0,0	0,0	0,0	0,0	0,0	0,0	0,0	0,0	0,0
36	Z_1	Z_1	DOLNÍ ZTUŽENÍ 1	PRUT	N _x	[kN]	-76,4	-1,9	-11,8	0,0	0,0	1,3	G	-112,6	G	-3,2	G	-2,6	G	-3,2	G	-2,6	G	-3,2	G	-2,6	G									
				i	M _y	[kNm]	0,0	0,0	0,0	0,0	0,0	0,0		0,0		0,0		0,0		0,0		0,0		0,0		0,0		0,0	0,0	0,0	0,0	0,0	0,0	0,0	0,0	
				X [m]	M _z	[kNm]	0,0	0,0	0,0	0,0	0,0	0,0		0,0		0,0		0,0		0,0		0,0		0,0		0,0		0,0	0,0	0,0	0,0	0,0	0,0	0,0	0,0	0,0
				j	V _z	[kN]	0,0	0,0	0,0	0,0	0,0	0,0		0,0		0,0		0,0		0,0		0,0		0,0		0,0		0,0	0,0	0,0	0,0	0,0	0,0	0,0	0,0	0,0
37	Z_2	Z_2	DOLNÍ ZTUŽENÍ 2	PRUT	N _x	[kN]	44,2	1,3	2,4	0,0	0,0	59,9	G	0,0	G	59,9	G	47,9	G	59,9	G	47,9	G	59,9	G	47,9	G									
				i	M _y	[kNm]	0,0	0,0	0,0	0,0	0,0	0,0		0,0		0,0		0,0		0,0		0,0		0,0		0,0		0,0	0,0	0,0	0,0	0,0	0,0	0,0	0,0	
				X [m]	M _z	[kNm]	0,0	0,0	0,0	0,0	0,0	0,0		0,0		0,0		0,0		0,0		0,0		0,0		0,0		0,0	0,0	0,0	0,0	0,0	0,0	0,0	0,0	
				j	V _z	[kN]	0,0	0,0	0,0	0,0	0,0	0,0		0,0		0,0		0,0		0,0		0,0		0,0		0,0		0,0	0,0	0,0	0,0	0,0	0,0	0,0	0,0	
38	Z_3	Z_3	DOLNÍ ZTUŽENÍ 3	PRUT	N _x	[kN]	24,2	1,5	4,2	0,0	0,0	37,5	G	0,0	G	37,5	G	30,0	G	37,5	G	30,0	G	37,5	G	30,0	G									
				i	M _y	[kNm]	0,0	0,0	0,0	0,0	0,0	0,0		0,0		0,0		0,0		0,0		0,0		0,0		0,0		0,0	0,0	0,0	0,0	0,0	0,0	0,0	0,0	
				X [m]	M _z	[kNm]	0,0	0,0	0,0	0,0	0,0	0,0		0,0		0,0		0,0		0,0		0,0		0,0		0,0		0,0	0,0	0,0	0,0	0,0	0,0	0,0	0,0	
				j	V _z	[kN]	0,0	0,0	0,0	0,0	0,0	0,0		0,0		0,0		0,0		0,0		0,0		0,0		0,0		0,0	0,0	0,0	0,0	0,0	0,0	0,0	0,0	
39	Z_4	Z_4	DOLNÍ ZTUŽENÍ 4	PRUT	N _x	[kN]	73,0	2,1	6,2	0,0	0,0	101,5	G	0,0	G	101,5	G	81,2	G	101,5	G	81,2	G	101,5	G	81,2	G									
				i	M _y	[kNm]	0,0	0,0	0,0	0,0	0,0	0,0		0,0		0,0		0,0		0,0		0,0		0,0		0,0		0,0	0,0	0,0	0,0	0,0	0,0	0,0	0,0	
				X [m]	M _z	[kNm]	0,0	0,0	0,0	0,0	0,0	0,0		0,0		0,0		0,0		0,0		0,0		0,0		0,0		0,0	0,0	0,0	0,0	0,0	0,0	0,0	0,0	
				j	V _z	[kN]	0,0	0,0	0,0	0,0	0,0	0,0		0,0		0,0		0,0		0,0		0,0		0,0		0,0		0,0	0,0	0,0	0,0	0,0	0,0	0,0	0,0	
40	Z_5	Z_5	DOLNÍ ZTUŽENÍ 5	PRUT	N _x	[kN]	67,6	2,0	5,3	0,0	0,0	93,6	G	-60,8	G	93,6	G	74,9	G	93,6	G	74,9	G	93,6	G	74,9	G									
				i	M _y	[kNm]	0,0	0,0	0,0	0,0	0,0	0,0		0,0		0,0		0,0		0,0		0,0		0,0		0,0		0,0	0,0	0,0	0,0	0,0	0,0	0,0	0,0	
				X [m]	M _z	[kNm]	0,0	0,0	0,0	0,0	0,0	0,0		0,0		0,0		0,0		0,0		0,0		0,0		0,0		0,0	0,0	0,0	0,0	0,0	0,0	0,0	0,0	
				j	V _z	[kN]	0,0	0,0	0,0	0,0	0,0	0,0		0,0		0,0		0,0		0,0		0,0		0,0		0,0		0,0	0,0	0,0	0,0	0,0	0,0	0,0	0,0	
HORNÍ DÍLČÍ SOUČINITEL ZATÍŽENÍ (VČETNÉ ROZPTYLU NOMINÁLNÍCH HODNOT)					γ _{sup}		1,25	1,25	1,25	1,25	1,25																									
DOLNÍ DÍLČÍ SOUČINITEL ZATÍŽENÍ (VČETNÉ ROZPTYLU NOMINÁLNÍCH HODNOT)					γ _{inf}		1,00	1,00	1,00	1,00	1,00																									

136

TAB 2,3 31-40		VNITŘNÍ SÍLY Nx, My, Mz, Vz - ZÁKLADNÍ SKUPINY ZATĚŽOVACÍCH STAVŮ																																				
ZATÍŽENÍ:		O ODSTŘEDIVÁ SÍLA																																				
POSUDEK	POSUZOVANÝ PRŮŘEZ			VNITŘNÍ SÍLY		CHARAKTERISTICKÉ HODNOTY ZATÍŽENÍ																NÁVRHOVÉ HODNOTY ZATÍŽENÍ																
Č.	OZN.PRUTU	PRŮŘEZ	POPIS	PRUT - X	VELIČINA	JEDNOTKY	N _{x,max}	ZS č.	N _{x,min}	ZS č.	M _{y,max}	ZS č.	M _{y,min}	ZS č.	M _{z,max}	ZS č.	M _{z,min}	ZS č.	V _{z,max}	ZS č.	V _{z,min}	ZS č.	N _{x,max}	ZS č.	N _{x,min}	ZS č.	M _{y,max}	ZS č.	M _{y,min}	ZS č.	M _{z,max}	ZS č.	M _{z,min}	ZS č.	V _{z,max}	ZS č.	V _{z,min}	ZS č.
31	S_1	S_1	SVISLICE	PRUT	Nx	[kN]	3,4		-4,7		-4,7		0,0		-4,7		0,0		-4,7		0,0		4,4		-6,2		-6,2		0,0		-6,2		0,0		-6,2		0,0	
				i	My	[kNm]	0,0	O	0,0	O	0,0	O	0,0	O	0,0	O	0,0	O	0,0	O	0,0	O	0,0	O	0,0	O	0,0	O	0,0	O	0,0	O	0,0	O	0,0	O	0,0	O
				X [m]	Mz	[kNm]	0,0		0,0		0,0		0,0		0,0		0,0		0,0		0,0		0,0		0,0		0,0		0,0		0,0		0,0		0,0		0,0	
				j	Vz	[kN]	0,0		0,0		0,0		0,0		0,0		0,0		0,0		0,0		0,0		0,0		0,0		0,0		0,0		0,0		0,0		0,0	
32	T_1	T_1	ZTUŽIDLA PODÉLNÍKŮ 1	PRUT	Nx	[kN]	2,8		-3,2		-3,2		0,0		-3,2		0,0		-3,2		0,0		3,6		-4,1		-4,1		0,0		-4,1		0,0		-4,1		0,0	
				i	My	[kNm]	0,0	O	0,0	O	0,0	O	0,0	O	0,0	O	0,0	O	0,0	O	0,0	O	0,0	O	0,0	O	0,0	O	0,0	O	0,0	O	0,0	O	0,0	O	0,0	O
				X [m]	Mz	[kNm]	0,0		0,0		0,0		0,0		0,0		0,0		0,0		0,0		0,0		0,0		0,0		0,0		0,0		0,0		0,0		0,0	
				j	Vz	[kN]	0,0		0,0		0,0		0,0		0,0		0,0		0,0		0,0		0,0		0,0		0,0		0,0		0,0		0,0		0,0		0,0	
33	T_2	T_2	ZTUŽIDLA PODÉLNÍKŮ 2	PRUT	Nx	[kN]	0,0		-1,8		-1,8		0,0		-1,8		0,0		-1,8		0,0		0,0		-2,4		-2,4		0,0		-2,4		0,0		-2,4		0,0	
				i	My	[kNm]	0,0	O	0,0	O	0,0	O	0,0	O	0,0	O	0,0	O	0,0	O	0,0	O	0,0	O	0,0	O	0,0	O	0,0	O	0,0	O	0,0	O	0,0	O	0,0	O
				X [m]	Mz	[kNm]	0,0		0,0		0,0		0,0		0,0		0,0		0,0		0,0		0,0		0,0		0,0		0,0		0,0		0,0		0,0		0,0	
				j	Vz	[kN]	0,0		0,0		0,0		0,0		0,0		0,0		0,0		0,0		0,0		0,0		0,0		0,0		0,0		0,0		0,0		0,0	
34	T_3	T_3	ZTUŽIDLA PODÉLNÍKŮ 3	PRUT	Nx	[kN]	0,0		-2,3		-2,3		0,0		-2,3		0,0		-2,3		0,0		0,0		-3,0		-3,0		0,0		-3,0		0,0		-3,0		0,0	
				i	My	[kNm]	0,0	O	0,0	O	0,0	O	0,0	O	0,0	O	0,0	O	0,0	O	0,0	O	0,0	O	0,0	O	0,0	O	0,0	O	0,0	O	0,0	O	0,0	O	0,0	O
				X [m]	Mz	[kNm]	0,0		0,0		0,0		0,0		0,0		0,0		0,0		0,0		0,0		0,0		0,0		0,0		0,0		0,0		0,0		0,0	
				j	Vz	[kN]	0,0		0,0		0,0		0,0		0,0		0,0		0,0		0,0		0,0		0,0		0,0		0,0		0,0		0,0		0,0		0,0	
35	T_4	T_4	ZTUŽIDLA PODÉLNÍKŮ 4	PRUT	Nx	[kN]	0,0		-0,2		0,0		0,0		0,0		0,0		0,0		0,0		0,0		-0,3		0,0		0,0		0,0		0,0		0,0			
				i	My	[kNm]	0,0	O	0,0	O	0,0	O	0,0	O	0,0	O	0,0	O	0,0	O	0,0	O	0,0	O	0,0	O	0,0	O	0,0	O	0,0	O	0,0	O	0,0	O	0,0	O
				X [m]	Mz	[kNm]	0,0		0,0		0,0		0,0		0,0		0,0		0,0		0,0		0,0		0,0		0,0		0,0		0,0		0,0		0,0		0,0	
				j	Vz	[kN]	0,0		0,0		0,0		0,0		0,0		0,0		0,0		0,0		0,0		0,0		0,0		0,0		0,0		0,0		0,0		0,0	
36	Z_1	Z_1	DOLNÍ ZTUŽENÍ 1	PRUT	Nx	[kN]	4,3		-3,1		4,3		0,0		4,3		0,0		4,3		0,0		5,6		-4,1		5,6		0,0		5,6		0,0		5,6		0,0	
				i	My	[kNm]	0,0	O	0,0	O	0,0	O	0,0	O	0,0	O	0,0	O	0,0	O	0,0	O	0,0	O	0,0	O	0,0	O	0,0	O	0,0	O	0,0	O	0,0	O	0,0	O
				X [m]	Mz	[kNm]	0,0		0,0		0,0		0,0		0,0		0,0		0,0		0,0		0,0		0,0		0,0		0,0		0,0		0,0		0,0		0,0	
				j	Vz	[kN]	0,0		0,0		0,0		0,0		0,0		0,0		0,0		0,0		0,0		0,0		0,0		0,0		0,0		0,0		0,0		0,0	
37	Z_2	Z_2	DOLNÍ ZTUŽENÍ 2	PRUT	Nx	[kN]	3,8		0,0		3,8		0,0		3,8		0,0		3,8		0,0		4,9		0,0		4,9		0,0		4,9		0,0		4,9		0,0	
				i	My	[kNm]	0,0	O	0,0	O	0,0	O	0,0	O	0,0	O	0,0	O	0,0	O	0,0	O	0,0	O	0,0	O	0,0	O	0,0	O	0,0	O	0,0	O	0,0	O	0,0	O
				X [m]	Mz	[kNm]	0,0		0,0		0,0		0,0		0,0		0,0		0,0		0,0		0,0		0,0		0,0		0,0		0,0		0,0		0,0		0,0	
				j	Vz	[kN]	0,0		0,0		0,0		0,0		0,0		0,0		0,0		0,0		0,0		0,0		0,0		0,0		0,0		0,0		0,0		0,0	
38	Z_3	Z_3	DOLNÍ ZTUŽENÍ 3	PRUT	Nx	[kN]	0,0		-12,5		-12,5		0,0		-12,5		0,0		-12,5		0,0		0,0		-16,3		-16,3		0,0		-16,3		0,0		-16,3		0,0	
				i	My	[kNm]	0,0	O	0,0	O	0,0	O	0,0	O	0,0	O	0,0	O	0,0	O	0,0	O	0,0	O	0,0	O	0,0	O	0,0	O	0,0	O	0,0	O	0,0	O	0,0	O
				X [m]	Mz	[kNm]	0,0		0,0		0,0		0,0		0,0		0,0		0,0		0,0		0,0		0,0		0,0		0,0		0,0		0,0		0,0		0,0	
				j	Vz	[kN]	0,0		0,0		0,0		0,0		0,0		0,0		0,0		0,0		0,0		0,0		0,0		0,0		0,0		0,0		0,0	</		

139

140

TAB		2,8		31-40		VNITŘNÍ SÍLY Nx, My, Mz, Vz - ZÁKLADNÍ SKUPINY ZATĚŽOVACÍCH STAVŮ																																	
ZATÍŽENÍ:		T-E		ROVNOMĚR. TEPLOTA																																			
POSUDEK		POSUZOVANÝ PRŮŘEZ				VNITŘNÍ SÍLY		CHARAKTERISTICKÉ HODNOTY ZATÍŽENÍ																NÁVRHOVÉ HODNOTY ZATÍŽENÍ															
Č.	OZN.PRUTU	PRŮŘEZ	POPIS	PRUT - X	VELIČINA	JEDNOTKY	N _{x,max}	ZS č.	N _{x,min}	ZS č.	M _{y,max}	ZS č.	M _{y,min}	ZS č.	M _{z,max}	ZS č.	M _{z,min}	ZS č.	V _{z,max}	ZS č.	V _{z,min}	ZS č.	N _{x,max}	ZS č.	N _{x,min}	ZS č.	M _{y,max}	ZS č.	M _{y,min}	ZS č.	M _{z,max}	ZS č.	M _{z,min}	ZS č.	V _{z,max}	ZS č.	V _{z,min}	ZS č.	
31	S_1	S_1	SVISLICE	PRUT	Nx	[kN]	7,3		-11,6		5,0		0,0		5,0		0,0		5,0		0,0		9,8		-15,6		6,8		0,0		6,8		0,0		6,8		0,0		
				i	My	[kNm]	0,0	T-E	0,0	T-E	0,0	T-E	0,0	T-E	0,0	T-E	0,0	T-E	0,0	T-E	0,0	T-E	0,0	0,0	T-E	0,0	T-E	0,0	T-E	0,0	T-E	0,0	T-E	0,0	T-E	0,0	T-E	0,0	T-E
				X [m]	Mz	[kNm]	0,0		0,0		0,0		0,0		0,0		0,0		0,0		0,0		0,0		0,0		0,0		0,0		0,0		0,0		0,0		0,0		
				j	Vz	[kN]	0,0		0,0		0,0		0,0		0,0		0,0		0,0		0,0		0,0		0,0		0,0		0,0		0,0		0,0		0,0		0,0		
32	T_1	T_1	ZTUŽIDLA PODÉLNÍKŮ 1	PRUT	Nx	[kN]	6,1		-4,9		6,1		0,0		6,1		0,0		6,1		0,0		8,2		-6,6		8,2		0,0		8,2		0,0		8,2		0,0		
				i	My	[kNm]	0,0	T-E	0,0	T-E	0,0	T-E	0,0	T-E	0,0	T-E	0,0	T-E	0,0	T-E	0,0	T-E	0,0	0,0	T-E	0,0	T-E	0,0	T-E	0,0	T-E	0,0	T-E	0,0	T-E	0,0	T-E	0,0	T-E
				X [m]	Mz	[kNm]	0,0		0,0		0,0		0,0		0,0		0,0		0,0		0,0		0,0		0,0		0,0		0,0		0,0		0,0		0,0		0,0		
				j	Vz	[kN]	0,0		0,0		0,0		0,0		0,0		0,0		0,0		0,0		0,0		0,0		0,0		0,0		0,0		0,0		0,0		0,0		
33	T_2	T_2	ZTUŽIDLA PODÉLNÍKŮ 2	PRUT	Nx	[kN]	35,3		-36,0		35,3		0,0		35,3		0,0		35,3		0,0		47,6		-48,6		47,6		0,0		47,6		0,0		47,6		0,0		
				i	My	[kNm]	0,0	T-E	0,0	T-E	0,0	T-E	0,0	T-E	0,0	T-E	0,0	T-E	0,0	T-E	0,0	T-E	0,0	0,0	T-E	0,0	T-E	0,0	T-E	0,0	T-E	0,0	T-E	0,0	T-E	0,0	T-E	0,0	T-E
				X [m]	Mz	[kNm]	0,0		0,0		0,0		0,0		0,0		0,0		0,0		0,0		0,0		0,0		0,0		0,0		0,0		0,0		0,0		0,0		
				j	Vz	[kN]	0,0		0,0		0,0		0,0		0,0		0,0		0,0		0,0		0,0		0,0		0,0		0,0		0,0		0,0		0,0		0,0		
34	T_3	T_3	ZTUŽIDLA PODÉLNÍKŮ 3	PRUT	Nx	[kN]	24,1		-28,0		24,1		0,0		24,1		0,0		24,1		0,0		32,5		-37,8		32,5		0,0		32,5		0,0		32,5		0,0		
				i	My	[kNm]	0,0	T-E	0,0	T-E	0,0	T-E	0,0	T-E	0,0	T-E	0,0	T-E	0,0	T-E	0,0	T-E	0,0	0,0	T-E	0,0	T-E	0,0	T-E	0,0	T-E	0,0	T-E	0,0	T-E	0,0	T-E	0,0	T-E
				X [m]	Mz	[kNm]	0,0		0,0		0,0		0,0		0,0		0,0		0,0		0,0		0,0		0,0		0,0		0,0		0,0		0,0		0,0		0,0		
				j	Vz	[kN]	0,0		0,0		0,0		0,0		0,0		0,0		0,0		0,0		0,0		0,0		0,0		0,0		0,0		0,0		0,0		0,0		
35	T_4	T_4	ZTUŽIDLA PODÉLNÍKŮ 4	PRUT	Nx	[kN]	34,8		-29,5		34,8		0,0		34,8		0,0		34,8		0,0		46,9		-39,8		46,9		0,0		46,9		0,0		46,9		0,0		
				i	My	[kNm]	0,0	T-E	0,0	T-E	0,0	T-E	0,0	T-E	0,0	T-E	0,0	T-E	0,0	T-E	0,0	T-E	0,0	0,0	T-E	0,0	T-E	0,0	T-E	0,0	T-E	0,0	T-E	0,0	T-E	0,0	T-E	0,0	T-E
				X [m]	Mz	[kNm]	0,0		0,0		0,0		0,0		0,0		0,0		0,0		0,0		0,0		0,0		0,0		0,0		0,0		0,0		0,0		0,0		
				j	Vz	[kN]	0,0		0,0		0,0		0,0		0,0		0,0		0,0		0,0		0,0		0,0		0,0		0,0		0,0		0,0		0,0		0,0		
36	Z_1	Z_1	DOLNÍ ZTUŽENÍ 1	PRUT	Nx	[kN]	135,2		-142,1		135,2		0,0		135,2		0,0		135,2		0,0		182,5		-191,8		182,5		0,0		182,5		0,0		182,5		0,0		
				i	My	[kNm]	0,0	T-E	0,0	T-E	0,0	T-E	0,0	T-E	0,0	T-E	0,0	T-E	0,0	T-E	0,0	T-E	0,0	0,0	T-E	0,0	T-E	0,0	T-E	0,0	T-E	0,0	T-E	0,0	T-E	0,0	T-E	0,0	T-E
				X [m]	Mz	[kNm]	0,0		0,0		0,0		0,0		0,0		0,0		0,0		0,0		0,0		0,0		0,0		0,0		0,0		0,0		0,0		0,0		
				j	Vz	[kN]	0,0		0,0		0,0		0,0		0,0		0,0		0,0		0,0		0,0		0,0		0,0		0,0		0,0		0,0		0,0		0,0		
37	Z_2	Z_2	DOLNÍ ZTUŽENÍ 2	PRUT	Nx	[kN]	106,8		-103,9		106,8		0,0		106,8		0,0		106,8		0,0		144,2		-140,3		144,2		0,0		144,2		0,0		144,2		0,0		
				i	My	[kNm]	0,0	T-E	0,0	T-E	0,0	T-E	0,0	T-E	0,0	T-E	0,0	T-E	0,0	T-E	0,0	T-E	0,0	0,0	T-E	0,0	T-E	0,0	T-E	0,0	T-E	0,0	T-E	0,0	T-E	0,0	T-E	0,0	T-E
				X [m]	Mz	[kNm]	0,0		0,0		0,0		0,0		0,0		0,0		0,0		0,0		0,0		0,0		0,0		0,0		0,0		0,0		0,0		0,0		
				j	Vz	[kN]	0,0		0,0		0,0		0,0		0,0		0,0		0,0		0,0		0,0		0,0		0,0		0,0		0,0		0,0		0,0		0,0		
38	Z_3	Z_3	DOLNÍ ZTUŽENÍ 3	PRUT	Nx	[kN]	76,9		-74,3		76,9		0,0		76,9		0,0		76,9		0,0		103,9		-100,3		103,9		0,0		103,9		0,0		103,9		0,0		
				i	My	[kNm]	0,0	T-E	0,0	T-E	0,0	T-E	0,0	T-E	0,0	T-E	0,0	T-E	0,0	T-E	0,0	T-E	0,0	0,0	T-E	0,0	T-E	0,0	T-E	0,0	T-E	0,0	T-E	0,0	T-E	0,0	T-E	0,0	T-E
				X [m]	Mz	[kNm]	0,0		0,0		0,0		0,0		0,0		0,0		0,0		0,0		0,0		0,0		0,0		0,0		0,0		0,0		0,0		0,0		
				j	Vz	[kN]	0,0		0,0		0,0		0,0		0,0		0,0		0,0		0,0		0,0		0,0		0,0		0,0		0,0		0,0		0,0		0,0		
39	Z_4	Z_4	DOLNÍ ZTUŽENÍ 4	PRUT	Nx	[kN]	88,4		-79,5		88,4		0,0		88,4		0,0		88,4		0,0		119,4		-107,4		119,4		0,0		119,4		0,0		119,4		0,0		
				i	My	[kNm]	0,0	T-E	0,0	T-E	0,0	T-E	0,0	T-E	0,0	T-E	0,0	T-E	0,0	T-E	0,0	T-E	0,0	0,0	T-E	0,0	T-E	0,0	T-E	0,0	T-E	0,0	T-E	0,0	T-E	0,0	T-E	0,0	T-E
				X [m]	Mz	[kNm]	0,0		0,0		0,0		0,0		0,0		0,0		0,0		0,0		0,0		0,0		0,0		0,0		0,0		0,0		0,0		0,0		
				j	Vz	[kN]	0,0		0,0		0,0		0,0		0,0		0,0		0,0		0,0		0,0		0,0		0,0		0,0		0,0		0,0		0,0		0,0		
40	Z_5	Z_5	DOLNÍ ZTUŽENÍ 5	PRUT	Nx	[kN]	98,1		-101,2		98,1		0,0		98,1		0,0		98,1		0,0		132,4		-136,6		132,4		0,0		132,4		0,0		132,4		0,0		
				i	My	[kNm]	0,0	T-E	0,0	T-E	0,0	T-E	0,0	T-E	0,0	T-E	0,0	T-E	0,0	T-E	0,0	T-E	0,0	0,0	T-E	0,0	T-E	0,0	T-E	0,0	T-E	0,0	T-E	0,0	T-E	0,0	T-E	0,0	T-E
				X [m]	Mz	[kNm]	0,0		0,0		0,0		0,0		0,0		0,0		0,0		0,0		0,0		0,0		0,0		0,0		0,0		0,0		0,0		0,0		
				j	Vz	[kN]	0,0		0,0		0,0		0,0		0,0		0,0		0,0		0,0		0,0		0,0		0,0		0,0		0,0		0,0		0,0		0,0		
HORNÍ DÍLCI SOUČINITEL ZATÍŽENÍ (VČETNÉ ROZPTYLU NOMINÁLNÍCH HODNOT)							γ _{sup}	1,00		1,00		1,00		1,00		1,00		1,00		1,00		1,35		1,35		1,35		1,35		1,35		1,35		1,35		1,35			
DOLNÍ DÍLCI SOUČINITEL ZATÍŽENÍ (VČETNÉ ROZPTYLU NOMINÁLNÍCH HODNOT)							γ _{inf}	0,00		0,00		0,00		0,00		0,00		0,00		0,00		0,00		0,00		0,00		0,00		0,00		0,00		0,00		0,00			

142

TAB 2,1 41-10 VNITŘNÍ SÍLY Nx, My, Mz, Vz - ZÁKLADNÍ SKUPINY ZATĚŽOVACÍCH STAVŮ

ZATÍŽENÍ: G1 STÁLÉ

POSUDEK	POSUZOVANÝ PRŮŘEZ				VNITŘNÍ SÍLY		CHARAKTERISTICKÉ HODNOTY ZATÍŽENÍ																NÁVRHOVÉ HODNOTY ZATÍŽENÍ																	
	Č.	OZN.PRUTU	PRŮŘEZ	POPIS	PRUT - X	VELIČINA	JEDNOTKY	N _{x,max}	ZS č.	N _{x,min}	ZS č.	M _{y,max}	ZS č.	M _{y,min}	ZS č.	M _{z,max}	ZS č.	M _{z,min}	ZS č.	V _{z,max}	ZS č.	V _{z,min}	ZS č.	N _{x,max}	ZS č.	N _{x,min}	ZS č.	M _{y,max}	ZS č.	M _{y,min}	ZS č.	M _{z,max}	ZS č.	M _{z,min}	ZS č.	V _{z,max}	ZS č.	V _{z,min}	ZS č.	
41	Z_6	Z_6	DOLNÍ ZTUŽENÍ 6	PRUT	Nx	[kN]	29,7		0,0			29,7		29,7		29,7		29,7		29,7		29,7		37,1		0,0		37,1		29,7		37,1		29,7		37,1		29,7		
				i	My	[kNm]	0,0	G1	0,0	G1	0,0	G1	0,0	G1	0,0	G1	0,0	G1	0,0	G1	0,0	G1	0,0	G1	0,0	G1	0,0	G1	0,0	G1	0,0	G1	0,0	G1	0,0	G1	0,0	G1	0,0	
				X [m]	Mz	[kNm]	0,0		0,0		0,0		0,0		0,0		0,0		0,0		0,0		0,0		0,0		0,0		0,0		0,0		0,0		0,0		0,0		0,0	
				j	Vz	[kN]	0,0		0,0		0,0		0,0		0,0		0,0		0,0		0,0		0,0		0,0		0,0		0,0		0,0		0,0		0,0		0,0		0,0	

TAB 2,1 41-10 VNITŘNÍ SÍLY Nx, My, Mz, Vz - ZÁKLADNÍ SKUPINY ZATĚŽOVACÍCH STAVŮ

ZATÍŽENÍ: G2 STÁLÉ

POSUDEK		POSUZOVANÝ PRŮŘEZ			VNITŘNÍ SÍLY		CHARAKTERISTICKÉ HODNOTY ZATÍŽENÍ																NÁVRHOVÉ HODNOTY ZATÍŽENÍ															
Č.	OZN.PRUTU	PRŮŘEZ	POPIS	PRUT - X	VELIČINA	JEDNOTKY	N _{x,max}	ZS č.	N _{x,min}	ZS č.	M _{y,max}	ZS č.	M _{y,min}	ZS č.	M _{z,max}	ZS č.	M _{z,min}	ZS č.	V _{z,max}	ZS č.	V _{z,min}	ZS č.	N _{x,max}	ZS č.	N _{x,min}	ZS č.	M _{y,max}	ZS č.	M _{y,min}	ZS č.	M _{z,max}	ZS č.	M _{z,min}	ZS č.	V _{z,max}	ZS č.	V _{z,min}	ZS č.
41	Z_6	Z_6	DOLNÍ ZTUŽENÍ 6	PRUT	N _x	[kN]	1,6		0,0		1,6		1,6		1,6		1,6		1,6		1,6		2,0		0,0		2,0		1,6		2,0		1,6		2,0		1,6	
				i	M _y	[kNm]	0,0	G2	0,0	G2	0,0	G2	0,0	G2	0,0	G2	0,0	G2	0,0	G2	0,0	G2	0,0	G2	0,0	G2	0,0	G2	0,0	G2	0,0	G2	0,0	G2	0,0	G2	0,0	G2
				X [m]	M _z	[kNm]	0,0		0,0		0,0		0,0		0,0		0,0		0,0		0,0		0,0		0,0		0,0		0,0		0,0		0,0		0,0		0,0	
				j	V _z	[kN]	0,0		0,0		0,0		0,0		0,0		0,0		0,0		0,0		0,0		0,0		0,0		0,0		0,0		0,0		0,0		0,0	

TAB 2,1 41-10 VNITŘNÍ SÍLY Nx, My, Mz, Vz - ZÁKLADNÍ SKUPINY ZATĚŽOVACÍCH STAVŮ

ZATÍŽENÍ: G3 STÁLÉ

POSUDEK		POSUZOVANÝ PRŮŘEZ			VNITŘNÍ SÍLY		CHARAKTERISTICKÉ HODNOTY ZATÍŽENÍ																NÁVRHOVÉ HODNOTY ZATÍŽENÍ															
Č.	OZN.PRUTU	PRŮŘEZ	POPIS	PRUT - X	VELIČINA	JEDNOTKY	N _{x,max}	ZS č.	N _{x,min}	ZS č.	M _{y,max}	ZS č.	M _{y,min}	ZS č.	M _{z,max}	ZS č.	M _{z,min}	ZS č.	V _{z,max}	ZS č.	V _{z,min}	ZS č.	N _{x,max}	ZS č.	N _{x,min}	ZS č.	M _{y,max}	ZS č.	M _{y,min}	ZS č.	M _{z,max}	ZS č.	M _{z,min}	ZS č.	V _{z,max}	ZS č.	V _{z,min}	ZS č.
41	Z_6	Z_6	DOLNÍ ZTUŽENÍ 6	PRUT	N _x	[kN]	4,9		0,0		4,9		4,9		4,9		4,9		4,9		4,9		6,1		0,0		6,1		4,9		6,1		4,9		6,1		4,9	
				i	M _y	[kNm]	0,0	G3	0,0	G3	0,0	G3	0,0	G3	0,0	G3	0,0	G3	0,0	G3	0,0	G3	0,0	G3	0,0	G3	0,0	G3	0,0	G3	0,0	G3	0,0	G3	0,0	G3	0,0	G3
				X [m]	M _z	[kNm]	0,0		0,0		0,0		0,0		0,0		0,0		0,0		0,0		0,0		0,0		0,0		0,0		0,0		0,0		0,0		0,0	
				j	V _z	[kN]	0,0		0,0		0,0		0,0		0,0		0,0		0,0		0,0		0,0		0,0		0,0		0,0		0,0		0,0		0,0		0,0	

TAB 2,1 41-10 VNITŘNÍ SÍLY Nx, My, Mz, Vz - ZÁKLADNÍ SKUPINY ZATĚŽOVACÍCH STAVŮ

ZATÍŽENÍ: G STÁLÉ A NAHODILÉ DLOUHODOBÉ ZATÍŽENÍ - ZS01 - ZS05

POSUDEK					POSUZOVANÝ PRŮŘEZ		VNITŘNÍ SÍLY		CHARAKTERISTICKÉ HODNOTY JEDNOTLIVÝCH ZATÍŽENÍ					NÁVRHOVÉ HODNOTY ZATÍŽENÍ - SUMA STÁLÉ A DLOUHODOBÉ NAHODILÉ																																										
Č.	OZN.PRUTU	PRŮŘEZ	POPIS	PRUT - X	VELIČINA	JEDNOTKY	ZS01	ZS02	ZS03	ZS04	ZS05	N _{x,max}	ZS č.	N _{x,min}	ZS č.	M _{y,max}	ZS č.	M _{y,min}	ZS č.	M _{z,max}	ZS č.	M _{z,min}	ZS č.	N _{x,max}	ZS č.	N _{x,min}	ZS č.	M _{y,max}	ZS č.	M _{y,min}	ZS č.	M _{z,max}	ZS č.	M _{z,min}	ZS č.	V _{x,max}	ZS č.	V _{x,min}	ZS č.																	
41	Z_6	Z_6	DOLNÍ ZTUŽENÍ 6	PRUT	N _x	[kN]	29,7	1,6	4,9	0,0	0,0	45,2	G	0,0	G	45,2	G	36,2	G	45,2	G	36,2	G	45,2	G	0,0	G	0,0	G	0,0	G	0,0	G	0,0	G	0,0	G	0,0	G																	
				i	M _y	[kNm]	0,0	0,0	0,0	0,0	0,0	0,0		0,0		0,0		0,0		0,0		0,0		0,0		0,0		0,0		0,0		0,0		0,0		0,0		0,0		0,0	0,0	0,0	0,0	0,0	0,0	0,0	0,0	0,0	0,0	0,0	0,0	0,0	0,0			
				X [m]	M _z	[kNm]	0,0	0,0	0,0	0,0	0,0	0,0		0,0		0,0		0,0		0,0		0,0		0,0		0,0		0,0		0,0		0,0		0,0		0,0		0,0		0,0	0,0	0,0	0,0	0,0	0,0	0,0	0,0	0,0	0,0	0,0	0,0	0,0	0,0	0,0	0,0	0,0
				j	V _z	[kN]	0,0	0,0	0,0	0,0	0,0	0,0		0,0		0,0		0,0		0,0		0,0		0,0		0,0		0,0		0,0		0,0		0,0		0,0		0,0		0,0	0,0	0,0	0,0	0,0	0,0	0,0	0,0	0,0	0,0	0,0	0,0	0,0	0,0	0,0	0,0	0,0

TAB 2,2₄₁₋₁₀ VNITŘNÍ SÍLY Nx, My, Mz, Vz - ZÁKLADNÍ SKUPINY ZATĚŽOVACÍCH STAVŮ

ZATÍŽENÍ: P UIC 71

POSUDEK					VNITŘNÍ SÍLY		CHARAKTERISTICKÉ HODNOTY ZATÍŽENÍ																NÁVRHOVÉ HODNOTY ZATÍŽENÍ																8	Ld	
POSUZOVANÝ PRŮŘEZ																																									
Č.	OZN.PRUTU	PRŮŘEZ	POPIS	PRUT - X	VELIČINA	JEDNOTKY	N _{x,max}	ZS č.	N _{x,min}	ZS č.	M _{y,max}	ZS č.	M _{y,min}	ZS č.	M _{z,max}	ZS č.	M _{z,min}	ZS č.	V _{x,max}	ZS č.	V _{x,min}	ZS č.	N _{x,max}	ZS č.	N _{x,min}	ZS č.	M _{y,max}	ZS č.	M _{y,min}	ZS č.	M _{z,max}	ZS č.	M _{z,min}	ZS č.	V _{x,max}	ZS č.	V _{x,min}	ZS č.	[-]	[m]	
41	Z_6	Z_6	DOLNÍ ZTUŽENÍ 6	PRUT	Nx	[kN]	414,0		-101,5		414,0		0,0		414,0		0,0		414,0		0,0		538,1		-131,9		538,1		0,0		538,1		0,0		538,1		0,0		1,79	4,160	
				i	My	[kNm]	0,0	P	0,0	P	0,0	P	0,0	P	0,0	P	0,0	P	0,0	P	0,0	P	0,0	P	0,0	P	0,0	P	0,0	P	0,0	P	0,0	P	0,0	P	0,0	P	1,79	4,160	
				X [m]	Mz	[kNm]	0,0		0,0			0,0		0,0		0,0		0,0		0,0		0,0		0,0		0,0		0,0		0,0		0,0		0,0		0,0		0,0		1,79	4,160
				j	Vz	[kN]	0,0		0,0			0,0		0,0		0,0		0,0		0,0		0,0		0,0		0,0		0,0		0,0		0,0		0,0		0,0		0,0		1,79	4,160

TAB 2,3₄₁₋₁₀ VNITŘNÍ SÍLY Nx, My, Mz, Vz - ZÁKLADNÍ SKUPINY ZATĚŽOVACÍCH STAVŮ

ZATÍŽENÍ: O ODSŤŘEDIVÁ SÍLA

POSUDEK	POSUZOVANÝ PRŮŘEZ			VNITŘNÍ SÍLY		CHARAKTERISTICKÉ HODNOTY ZATÍŽENÍ																NÁVRHOVÉ HODNOTY ZATÍŽENÍ																																																																																																																																																																																																																																																																																																																																																																																																																																																																																																																																																																																																																																																																																																																																																																																																																																																																																																													
	Č.	OZN.PRUTU	PRŮŘEZ	POPIS	PRUT - X	VELIČINA	JEDNOTKY	N _{x,max}	ZS č.	N _{x,min}	ZS č.	M _{y,max}	ZS č.	M _{y,min}	ZS č.	M _{z,max}	ZS č.	M _{z,min}	ZS č.	V _{x,max}	ZS č.	V _{x,min}	ZS č.	N _{x,max}	ZS č.	N _{x,min}	ZS č.	M _{y,max}	ZS č.	M _{y,min}	ZS č.	M _{z,max}	ZS č.	M _{z,min}	ZS č.	V _{x,max}	ZS č.	V _{x,min}	ZS č.																																																																																																																																																																																																																																																																																																																																																																																																																																																																																																																																																																																																																																																																																																																																																																																																																																																																																												
41	Z_6	Z_6	DOLNÍ ZTUŽENÍ 6	PRUT i X [m] j	N _x	[kN]	5,3	O	0,0	O	5,3	O	0,0	O	0,0	O	5,3	O	0,0	O	5,3	O	0,0	O	6,8	O	0,0	O	6,8	O	0,0	O	6,8	O	0,0	O	6,8	O	0,0	O																																																																																																																																																																																																																																																																																																																																																																																																																																																																																																																																																																																																																																																																																																																																																																																																																																																																																											
					M _y	[kNm]	0,0		0,0		0,0		0,0		0,0		0,0		0,0		0,0		0,0		0,0		0,0		0,0		0,0		0,0		0,0		0,0		0,0		0,0	0,0	0,0	0,0	0,0	0,0	0,0	0,0	0,0	0,0	0,0	0,0	0,0	0,0	0,0	0,0	0,0	0,0	0,0	0,0	0,0	0,0	0,0	0,0	0,0	0,0	0,0	0,0	0,0	0,0	0,0	0,0	0,0	0,0	0,0	0,0	0,0	0,0	0,0	0,0	0,0	0,0	0,0	0,0	0,0	0,0	0,0	0,0	0,0	0,0	0,0	0,0	0,0	0,0	0,0	0,0	0,0	0,0	0,0	0,0	0,0	0,0	0,0	0,0	0,0	0,0	0,0	0,0	0,0	0,0	0,0	0,0	0,0	0,0	0,0	0,0	0,0	0,0	0,0	0,0	0,0	0,0	0,0	0,0	0,0	0,0	0,0	0,0	0,0	0,0	0,0	0,0	0,0	0,0	0,0	0,0	0,0	0,0	0,0	0,0	0,0	0,0	0,0	0,0	0,0	0,0	0,0	0,0	0,0	0,0	0,0	0,0	0,0	0,0	0,0	0,0	0,0	0,0	0,0	0,0	0,0	0,0	0,0	0,0	0,0	0,0	0,0	0,0	0,0	0,0	0,0	0,0	0,0	0,0	0,0	0,0	0,0	0,0	0,0	0,0	0,0	0,0	0,0	0,0	0,0	0,0	0,0	0,0	0,0	0,0	0,0	0,0	0,0	0,0	0,0	0,0	0,0	0,0	0,0	0,0	0,0	0,0	0,0	0,0	0,0	0,0	0,0	0,0	0,0	0,0	0,0	0,0	0,0	0,0	0,0	0,0	0,0	0,0	0,0	0,0	0,0	0,0	0,0	0,0	0,0	0,0	0,0	0,0	0,0	0,0	0,0	0,0	0,0	0,0	0,0	0,0	0,0	0,0	0,0	0,0	0,0	0,0	0,0	0,0	0,0	0,0	0,0	0,0	0,0	0,0	0,0	0,0	0,0	0,0	0,0	0,0	0,0	0,0	0,0	0,0	0,0	0,0	0,0	0,0	0,0	0,0	0,0	0,0	0,0	0,0	0,0	0,0	0,0	0,0	0,0	0,0	0,0	0,0	0,0	0,0	0,0	0,0	0,0	0,0	0,0	0,0	0,0	0,0	0,0	0,0	0,0	0,0	0,0	0,0	0,0	0,0	0,0	0,0	0,0	0,0	0,0	0,0	0,0	0,0	0,0	0,0	0,0	0,0	0,0	0,0	0,0	0,0	0,0	0,0	0,0	0,0	0,0	0,0	0,0	0,0	0,0	0,0	0,0	0,0	0,0	0,0	0,0	0,0	0,0	0,0	0,0	0,0	0,0	0,0	0,0	0,0	0,0	0,0	0,0	0,0	0,0	0,0	0,0	0,0	0,0	0,0	0,0	0,0	0,0	0,0	0,0	0,0	0,0	0,0	0,0	0,0	0,0	0,0	0,0	0,0	0,0	0,0	0,0	0,0	0,0	0,0	0,0	0,0	0,0	0,0	0,0	0,0	0,0	0,0	0,0	0,0	0,0	0,0	0,0	0,0	0,0	0,0	0,0	0,0	0,0	0,0	0,0	0,0	0,0	0,0	0,0	0,0	0,0	0,0	0,0	0,0	0,0	0,0	0,0	0,0	0,0	0,0	0,0	0,0	0,0	0,0	0,0	0,0	0,0	0,0	0,0	0,0	0,0	0,0	0,0	0,0	0,0	0,0	0,0	0,0	0,0	0,0	0,0	0,0	0,0	0,0	0,0	0,0	0,0	0,0	0,0	0,0	0,0	0,0	0,0	0,0	0,0	0,0	0,0	0,0	0,0	0,0	0,0	0,0	0,0	0,0	0,0	0,0	0,0	0,0	0,0	0,0	0,0	0,0	0,0	0,0	0,0	0,0	0,0	0,0	0,0	0,0	0,0	0,0	0,0	0,0	0,0	0,0	0,0	0,0	0,0	0,0	0,0	0,0	0,0	0,0	0,0	0,0	0,0	0,0	0,0	0,0	0,0	0,0	0,0	0,0	0,0	0,0	0,0	0,0	0,0	0,0	0,0	0,0	0,0	0,0	0,0	0,0	0,0	0,0	0,0	0,0	0,0	0,0	0,0	0,0	0,0	0,0	0,0	0,0	0,0	0,0	0,0	0,0	0,0	0,0	0,0	0,0	0,0	0,0	0,0	0,0	0,0	0,0	0,0	0,0	0,0	0,0	0,0	0,0	0,0	0,0	0,0	0,0	0,0	0,0	0,0	0,0	0,0	0,0	0,0	0,0	0,0	0,0	0,0	0,0	0,0	0,0	0,0	0,0	0,0	0,0	0,0	0,0	0,0	0,0	0,0	0,0	0,0	0,0	0,0	0,0	0,0	0,0	0,0	0,0	0,0	0,0	0,0	0,0	0,0	0,0	0,0	0,0	0,0	0,0	0,0	0,0	0,0	0,0	0,0	0,0	0,0	0,0	0,0	0,0	0,0	0,0	0,0	0,0	0,0	0,0	0,0	0,0	0,0	0,0	0,0	0,0	0,0	0,0	0,0	0,0	0,0	0,0	0,0	0,0	0,0	0,0	0,0	0,0	0,0	0,0	0,0	0,0	0,0	0,0	0,0	0,0	0,0	0,0	0,0	0,0	0,0	0,0	0,0	0,0	0,0	0,0	0,0	0,0	0,0	0,0	0,0	0,0	0,0	0,0	0,0	0,0	0,0	0,0	0,0	0,0	0,0	0,0	0,0	0,0	0,0	0,0	0,0	0,0	0,0	0,0	0,0	0,0	0,0	0,0	0,0	0,0	0,0	0,0	0,0	0,0	0,0	0,0	0,0	0,0	0,0	0,0	0,0	0,0	0,0	0,0	0,0	0,0	0,0	0,0	0,0	0,0	0,0	0,0	0,0	0,0	0,0	0,0	0,0	0,0	0,0	0,0	0,0	0,0	0,0	0,0	0,0	0,0	0,0	0,0	0,0	0,0	0,0	0,0	0,0	0,0	0,0	0,0	0,0	0,0	0,0	0,0	0,0	0,0	0,0	0,0	0,0	0,0	0,0	0,0	0,0	0,0	0,0	0,0	0,0	0,0	0,0	0,0	0,0	0,0	0,0	0,0	0,0	0,0	0,0	0,0	0,0	0,0	0,0	0,0	0,0	0,0	0,0	0,0	0,0	0,0	0,0	0,0	0,0	0,0	0,0	0,0	0,0	0,0	0,0	0,0	0,0	0,0	0,0	0,0	0,0	0,0	0,0	0,0	0,0	0,0	0,0	0,0	0,0	0,0	0,0	0,0	0,0	0,0	0,0	0,0	0,0	0,0	0,0	0,0	0,0	0,0	0,0	0,0	0,0	0,0	0,0	0,0	0,0	0,0	0,0	0,0	0,0	0,0	0,0	0,0	0,0	0,0	0,0	0,0	0,0	0,0	0,0	0,0	0,0	0,0	0,0	0,0	0,0	0,0	0,0	0,0	0,0	0,0	0,0	0,0	0,0	0,0	0,0	0,0	0,0	0,0	0,0	0,0	0,0	0,0	0,0	0,0	0,0	0,0	0,0	0,0	0,0	0,0	0,0	0,0	0,0	0,0	0,0	0,0	0,0	0,0	0,0	0,0	0,0	0,0	0,0	0,0	0,0	0,0	0,0	0,0	0,0	0,0	0,0	0,0	0,0	0,0	0,0	0,0	0,0	0,0	0,0	0,0	0,0	0,0	0,0	0,0	0,0	0,0	0,0	0,0	0,0	0,0	0,0	0,0	0,0	0,0	0,0	0,0	0,0	0,0	0,0	0,0	0,0	0,0	0,0	0,0	0,0	0,0	0,0	0,0	0,0	0,0	0,0	0,0	0,0	0,0	0,0	0,0	0,0	0,0	0

TAB 2,4₄₁₋₁₀ VNITŘNÍ SÍLY Nx, My, Mz, Vz - ZÁKLADNÍ SKUPINY ZATĚŽOVACÍCH STAVŮ

ZATÍŽENÍ: B BRZDNÉ A ROZJ. SÍLY

POSUDEK	POSUZOVANÝ PRŮŘEZ				VNITŘNÍ SÍLY		CHARAKTERISTICKÉ HODNOTY ZATÍŽENÍ																NÁVRHOVÉ HODNOTY ZATÍŽENÍ																	
Č.	OZN.PRUTU	PRŮŘEZ	POPIS	PRUT - X	VELIČINA	JEDNOTKY	N _{s,max}	ZS č.	N _{s,min}	ZS č.	M _{y,max}	ZS č.	M _{y,min}	ZS č.	M _{z,max}	ZS č.	M _{z,min}	ZS č.	V _{x,max}	ZS č.	V _{x,min}	ZS č.	N _{s,max}	ZS č.	N _{s,min}	ZS č.	M _{y,max}	ZS č.	M _{y,min}	ZS č.	M _{z,max}	ZS č.	M _{z,min}	ZS č.	V _{x,max}	ZS č.	V _{x,min}	ZS č.		
41	Z_6	Z_6	DOLNÍ ZTUŽENÍ 6	PRUT	Nx	[kN]	7,7		-7,7		7,7		0,0		7,7		0,0		7,7		0,0		10,0		-10,0		10,0		0,0		10,0		0,0		10,0		0,0			
				i	My	[kNm]	0,0	B	0,0	B	0,0	B	0,0	B	0,0	B	0,0	B	0,0	B	0,0	B	0,0	B	0,0	B	0,0	B	0,0	B	0,0	B	0,0	B	0,0	B	0,0	B		
				X [m]	Mz	[kNm]	0,0		0,0		0,0		0,0		0,0		0,0		0,0		0,0		0,0		0,0		0,0		0,0		0,0		0,0		0,0		0,0		0,0	
				j	Vz	[kN]	0,0		0,0		0,0		0,0		0,0		0,0		0,0		0,0		0,0		0,0		0,0		0,0		0,0		0,0		0,0		0,0		0,0	

TAB 2,5₄₁₋₁₀ VNITŘNÍ SÍLY Nx, My, Mz, Vz - ZÁKLADNÍ SKUPINY ZATĚŽOVACÍCH STAVŮ

ZATÍŽENÍ: S BOČNÍ RÁZ

POSUDEK	POSUZOVANÝ PRŮŘEZ			VNITŘNÍ SÍLY		CHARAKTERISTICKÉ HODNOTY ZATÍŽENÍ																NÁVRHOVÉ HODNOTY ZATÍŽENÍ																																																																																																																																																																																																																																																																																																																																																																																																																																																																																																																																																																																																																																																																																																																																																																																																																																																																																																												
	Č.	OZN.PRUTU	PRŮŘEZ	POPIS	PRUT - X	VELIČINA	JEDNOTKY	N _{x,max}	ZS č.	N _{x,min}	ZS č.	M _{y,max}	ZS č.	M _{y,min}	ZS č.	M _{z,max}	ZS č.	M _{z,min}	ZS č.	V _{x,max}	ZS č.	V _{x,min}	ZS č.	N _{x,max}	ZS č.	N _{x,min}	ZS č.	M _{y,max}	ZS č.	M _{y,min}	ZS č.	M _{z,max}	ZS č.	M _{z,min}	ZS č.	V _{x,max}	ZS č.	V _{x,min}	ZS č.																																																																																																																																																																																																																																																																																																																																																																																																																																																																																																																																																																																																																																																																																																																																																																																																																																																																																											
41	Z_6	Z_6	DOLNÍ ZTUŽENÍ 6	PRUT i X [m] j	Nx	[kN]	12,8	S	-12,8	S	0,0	S	0,0	S	0,0	S	0,0	S	0,0	S	0,0	S	0,0	S	15,8	S	-15,8	S	15,8	S	0,0	S	15,8	S	0,0	S	0,0	S	0,0	S	0,0	S																																																																																																																																																																																																																																																																																																																																																																																																																																																																																																																																																																																																																																																																																																																																																																																																																																																																																								
					My	[kNm]	0,0		0,0		0,0		0,0		0,0		0,0		0,0		0,0		0,0		0,0		0,0		0,0		0,0		0,0		0,0		0,0		0,0		0,0		0,0	0,0	0,0	0,0	0,0	0,0	0,0	0,0	0,0	0,0	0,0	0,0	0,0	0,0	0,0	0,0	0,0	0,0	0,0	0,0	0,0	0,0	0,0	0,0	0,0	0,0	0,0	0,0	0,0	0,0	0,0	0,0	0,0	0,0	0,0	0,0	0,0	0,0	0,0	0,0	0,0	0,0	0,0	0,0	0,0	0,0	0,0	0,0	0,0	0,0	0,0	0,0	0,0	0,0	0,0	0,0	0,0	0,0	0,0	0,0	0,0	0,0	0,0	0,0	0,0	0,0	0,0	0,0	0,0	0,0	0,0	0,0	0,0	0,0	0,0	0,0	0,0	0,0	0,0	0,0	0,0	0,0	0,0	0,0	0,0	0,0	0,0	0,0	0,0	0,0	0,0	0,0	0,0	0,0	0,0	0,0	0,0	0,0	0,0	0,0	0,0	0,0	0,0	0,0	0,0	0,0	0,0	0,0	0,0	0,0	0,0	0,0	0,0	0,0	0,0	0,0	0,0	0,0	0,0	0,0	0,0	0,0	0,0	0,0	0,0	0,0	0,0	0,0	0,0	0,0	0,0	0,0	0,0	0,0	0,0	0,0	0,0	0,0	0,0	0,0	0,0	0,0	0,0	0,0	0,0	0,0	0,0	0,0	0,0	0,0	0,0	0,0	0,0	0,0	0,0	0,0	0,0	0,0	0,0	0,0	0,0	0,0	0,0	0,0	0,0	0,0	0,0	0,0	0,0	0,0	0,0	0,0	0,0	0,0	0,0	0,0	0,0	0,0	0,0	0,0	0,0	0,0	0,0	0,0	0,0	0,0	0,0	0,0	0,0	0,0	0,0	0,0	0,0	0,0	0,0	0,0	0,0	0,0	0,0	0,0	0,0	0,0	0,0	0,0	0,0	0,0	0,0	0,0	0,0	0,0	0,0	0,0	0,0	0,0	0,0	0,0	0,0	0,0	0,0	0,0	0,0	0,0	0,0	0,0	0,0	0,0	0,0	0,0	0,0	0,0	0,0	0,0	0,0	0,0	0,0	0,0	0,0	0,0	0,0	0,0	0,0	0,0	0,0	0,0	0,0	0,0	0,0	0,0	0,0	0,0	0,0	0,0	0,0	0,0	0,0	0,0	0,0	0,0	0,0	0,0	0,0	0,0	0,0	0,0	0,0	0,0	0,0	0,0	0,0	0,0	0,0	0,0	0,0	0,0	0,0	0,0	0,0	0,0	0,0	0,0	0,0	0,0	0,0	0,0	0,0	0,0	0,0	0,0	0,0	0,0	0,0	0,0	0,0	0,0	0,0	0,0	0,0	0,0	0,0	0,0	0,0	0,0	0,0	0,0	0,0	0,0	0,0	0,0	0,0	0,0	0,0	0,0	0,0	0,0	0,0	0,0	0,0	0,0	0,0	0,0	0,0	0,0	0,0	0,0	0,0	0,0	0,0	0,0	0,0	0,0	0,0	0,0	0,0	0,0	0,0	0,0	0,0	0,0	0,0	0,0	0,0	0,0	0,0	0,0	0,0	0,0	0,0	0,0	0,0	0,0	0,0	0,0	0,0	0,0	0,0	0,0	0,0	0,0	0,0	0,0	0,0	0,0	0,0	0,0	0,0	0,0	0,0	0,0	0,0	0,0	0,0	0,0	0,0	0,0	0,0	0,0	0,0	0,0	0,0	0,0	0,0	0,0	0,0	0,0	0,0	0,0	0,0	0,0	0,0	0,0	0,0	0,0	0,0	0,0	0,0	0,0	0,0	0,0	0,0	0,0	0,0	0,0	0,0	0,0	0,0	0,0	0,0	0,0	0,0	0,0	0,0	0,0	0,0	0,0	0,0	0,0	0,0	0,0	0,0	0,0	0,0	0,0	0,0	0,0	0,0	0,0	0,0	0,0	0,0	0,0	0,0	0,0	0,0	0,0	0,0	0,0	0,0	0,0	0,0	0,0	0,0	0,0	0,0	0,0	0,0	0,0	0,0	0,0	0,0	0,0	0,0	0,0	0,0	0,0	0,0	0,0	0,0	0,0	0,0	0,0	0,0	0,0	0,0	0,0	0,0	0,0	0,0	0,0	0,0	0,0	0,0	0,0	0,0	0,0	0,0	0,0	0,0	0,0	0,0	0,0	0,0	0,0	0,0	0,0	0,0	0,0	0,0	0,0	0,0	0,0	0,0	0,0	0,0	0,0	0,0	0,0	0,0	0,0	0,0	0,0	0,0	0,0	0,0	0,0	0,0	0,0	0,0	0,0	0,0	0,0	0,0	0,0	0,0	0,0	0,0	0,0	0,0	0,0	0,0	0,0	0,0	0,0	0,0	0,0	0,0	0,0	0,0	0,0	0,0	0,0	0,0	0,0	0,0	0,0	0,0	0,0	0,0	0,0	0,0	0,0	0,0	0,0	0,0	0,0	0,0	0,0	0,0	0,0	0,0	0,0	0,0	0,0	0,0	0,0	0,0	0,0	0,0	0,0	0,0	0,0	0,0	0,0	0,0	0,0	0,0	0,0	0,0	0,0	0,0	0,0	0,0	0,0	0,0	0,0	0,0	0,0	0,0	0,0	0,0	0,0	0,0	0,0	0,0	0,0	0,0	0,0	0,0	0,0	0,0	0,0	0,0	0,0	0,0	0,0	0,0	0,0	0,0	0,0	0,0	0,0	0,0	0,0	0,0	0,0	0,0	0,0	0,0	0,0	0,0	0,0	0,0	0,0	0,0	0,0	0,0	0,0	0,0	0,0	0,0	0,0	0,0	0,0	0,0	0,0	0,0	0,0	0,0	0,0	0,0	0,0	0,0	0,0	0,0	0,0	0,0	0,0	0,0	0,0	0,0	0,0	0,0	0,0	0,0	0,0	0,0	0,0	0,0	0,0	0,0	0,0	0,0	0,0	0,0	0,0	0,0	0,0	0,0	0,0	0,0	0,0	0,0	0,0	0,0	0,0	0,0	0,0	0,0	0,0	0,0	0,0	0,0	0,0	0,0	0,0	0,0	0,0	0,0	0,0	0,0	0,0	0,0	0,0	0,0	0,0	0,0	0,0	0,0	0,0	0,0	0,0	0,0	0,0	0,0	0,0	0,0	0,0	0,0	0,0	0,0	0,0	0,0	0,0	0,0	0,0	0,0	0,0	0,0	0,0	0,0	0,0	0,0	0,0	0,0	0,0	0,0	0,0	0,0	0,0	0,0	0,0	0,0	0,0	0,0	0,0	0,0	0,0	0,0	0,0	0,0	0,0	0,0	0,0	0,0	0,0	0,0	0,0	0,0	0,0	0,0	0,0	0,0	0,0	0,0	0,0	0,0	0,0	0,0	0,0	0,0	0,0	0,0	0,0	0,0	0,0	0,0	0,0	0,0	0,0	0,0	0,0	0,0	0,0	0,0	0,0	0,0	0,0	0,0	0,0	0,0	0,0	0,0	0,0	0,0	0,0	0,0	0,0	0,0	0,0	0,0	0,0	0,0	0,0	0,0	0,0	0,0	0,0	0,0	0,0	0,0	0,0	0,0	0,0	0,0	0,0	0,0	0,0	0,0	0,0	0,0	0,0	0,0	0,0	0,0	0,0	0,0	0,0	0,0	0,0	0,0	0,0	0,0	0,0	0,0	0,0	0,0	0,0	0,0	0,0	0,0	0,0	0,0	0,0	0,0	0,0	0,0	0,0	0,0	0,0	0,0	0,0	0,0	0,0	0,0	0,0	0,0	0,0	0,0	0,0	0,0	0,0	0,0	0,0	0,0	0,0	0,0	0,0	0,0	0,0	0,0	0,0	0,0	0,0	0,0	0,0	0,0	0,0

TAB2,741-10VNITŘNÍ SÍLY Nx, My, Mz, Vz - ZÁKLADNÍ SKUPINY ZATĚŽOVACÍCH STAVŮ

ZATÍŽENÍ:W-PVÍTR

POSUDEK	POSUZOVANÝ PRŮŘEZ				VNITŘNÍ SÍLY		CHARAKTERISTICKÉ HODNOTY ZATÍŽENÍ																NÁVRHOVÉ HODNOTY ZATÍŽENÍ																	
Č.	OZN.PRUTU	PRŮŘEZ	POPIS	PRUT - X	VELIČINA	JEDNOTKY	N _{x,max}	ZS č.	N _{x,min}	ZS č.	M _{y,max}	ZS č.	M _{y,min}	ZS č.	M _{z,max}	ZS č.	M _{z,min}	ZS č.	V _{x,max}	ZS č.	V _{x,min}	ZS č.	N _{x,max}	ZS č.	N _{x,min}	ZS č.	M _{y,max}	ZS č.	M _{y,min}	ZS č.	M _{z,max}	ZS č.	M _{z,min}	ZS č.	V _{x,max}	ZS č.	V _{x,min}	ZS č.		
41	Z_6	Z_6	DOLNÍ ZTUŽENÍ 6	PRUT	N _x	[kN]	50,0		-48,8		50,0		0,0		50,0		0,0		50,0		0,0		67,4		-65,9		67,4		0,0		67,4		0,0		67,4		0,0			
				i	M _y	[kNm]	0,0	W-P	0,0	W-P	0,0	W-P	0,0	W-P	0,0	W-P	0,0	W-P	0,0	W-P	0,0	W-P	0,0	W-P	0,0	W-P	0,0	W-P	0,0	W-P	0,0	W-P	0,0	W-P	0,0	W-P	0,0	W-P		
				X [m]	M _z	[kNm]	0,0		0,0		0,0		0,0		0,0		0,0		0,0		0,0		0,0		0,0		0,0		0,0		0,0		0,0		0,0		0,0		0,0	
				j	V _z	[kN]	0,0		0,0		0,0		0,0		0,0		0,0		0,0		0,0		0,0		0,0		0,0		0,0		0,0		0,0		0,0		0,0		0,0	

TAB2,841-10VNITŘNÍ SÍLY Nx, My, Mz, Vz - ZÁKLADNÍ SKUPINY ZATĚŽOVACÍCH STAVŮ

ZATÍŽENÍ:T-EROVNOMĚR. TEPLOTA

POSUDEK		POSUZOVANÝ PRŮŘEZ			VNITŘNÍ SÍLY		CHARAKTERISTICKÉ HODNOTY ZATÍŽENÍ																NÁVRHOVÉ HODNOTY ZATÍŽENÍ															
Č.	OZN.PRUTU	PRŮŘEZ	POPIS	PRUT - X	VELIČINA	JEDNOTKY	N _{x,max}	ZS č.	N _{x,min}	ZS č.	M _{y,max}	ZS č.	M _{y,min}	ZS č.	M _{z,max}	ZS č.	M _{z,min}	ZS č.	V _{x,max}	ZS č.	V _{x,min}	ZS č.	N _{x,max}	ZS č.	N _{x,min}	ZS č.	M _{y,max}	ZS č.	M _{y,min}	ZS č.	M _{z,max}	ZS č.	M _{z,min}	ZS č.	V _{x,max}	ZS č.	V _{x,min}	ZS č.
41	Z_6	Z_6	DOLNÍ ZTUŽENÍ 6	PRUT	Nx	[kN]	77.2		-73.7		77.2		0.0		77.2		0.0		77.2		0.0		104.2		-99.5		104.2		0.0		104.2		0.0		104.2		0.0	
				i	My	[kNm]	0.0	T-E	0.0	T-E	0.0	T-E	0.0	T-E	0.0	T-E	0.0	T-E	0.0	T-E	0.0	T-E	0.0	T-E	0.0	T-E	0.0	T-E	0.0	T-E	0.0	T-E	0.0	T-E	0.0	T-E		
				X [m]	Mz	[kNm]	0.0		0.0		0.0		0.0		0.0		0.0		0.0		0.0		0.0		0.0		0.0		0.0		0.0		0.0		0.0		0.0	
				j	Vz	[kN]	0.0		0.0		0.0		0.0		0.0		0.0		0.0		0.0		0.0		0.0		0.0		0.0		0.0		0.0		0.0		0.0	

TAB2,1241-10VNITŘNÍ SÍLY Nx, My, Mz, Vz - ZÁKLADNÍ SKUPINY ZATĚŽOVACÍCH STAVŮ

ZATÍŽENÍ:R2PŘECHODNOST C3-50

POSUDEK		POSUZOVANÝ PRŮŘEZ			VNITŘNÍ SÍLY		CHARAKTERISTICKÉ HODNOTY ZATÍŽENÍ																NÁVRHOVÉ HODNOTY ZATÍŽENÍ																§	Ld
Č.	OZN.PRUTU	PRŮŘEZ	POPIS	PRUT - X	VELIČINA	JEDNOTKY	N _{x,max}	ZS Č.	N _{x,min}	ZS Č.	M _{y,max}	ZS Č.	M _{y,min}	ZS Č.	M _{z,max}	ZS Č.	M _{z,min}	ZS Č.	V _{x,max}	ZS Č.	V _{x,min}	ZS Č.	N _{x,max}	ZS Č.	N _{x,min}	ZS Č.	M _{y,max}	ZS Č.	M _{y,min}	ZS Č.	M _{z,max}	ZS Č.	M _{z,min}	ZS Č.	V _{x,max}	ZS Č.	V _{x,min}	ZS Č.	[-]	[m]
41	Z_6	Z_6	DOLNÍ ZTUŽENÍ 6	PRUT	N _x	[kN]	252,0		-67,3		252,0		0,0		252,0		0,0		252,0		0,0		327,6		-87,5		327,6		0,0		327,6		0,0		327,6		0,0		1,56	4,160
				i	M _y	[kNm]	0,0	R2		0,0	R2	0,0	R2	0,0	R2	0,0	R2	0,0	R2	0,0	R2	0,0	R2	0,0	R2	0,0	R2	0,0	R2	0,0	R2	0,0	R2	0,0	R2	0,0	R2	1,56	4,160	
				X [m]	M _z	[kNm]	0,0		0,0		0,0		0,0		0,0		0,0		0,0		0,0		0,0		0,0		0,0		0,0		0,0		0,0		0,0		0,0		1,56	4,160
				j	V _z	[kN]	0,0		0,0		0,0		0,0		0,0		0,0		0,0		0,0		0,0		0,0		0,0		0,0		0,0		0,0		0,0		0,0		1,56	4,160

8.3. Kombinace zatížení pro přechodnost C3/70

TAB 3,2 1-10 ROZHODUJÍCÍ LINEÁRNÍ KOMBINACE VNITŘNÍCH SIL N_x , M_y , M_x , V_z

ZATÍŽENÍ [NÁVRHOVÉ HODNOTY](#)

POSUDEK Č.	POSUZOVANÝ PRŮŘEZ			PRUT - X	VNITŘNÍ SÍLY		ROZHODUJÍCÍ KOMBINACE VNITŘNÍCH SIL N_x , M_y , M_x , V_z - NÁVRHOVÉ HODNOTY															
	OZN.PRUTU	PRŮŘEZ	POPIS		VELIČINA	JEDNOTKY	$N_{x,max}$	K.č.	$N_{x,min}$	K.č.	$M_{y,max}$	K.č.	$M_{y,min}$	K.č.	$M_{z,max}$	K.č.	$M_{z,min}$	K.č.	$V_{z,max}$	K.č.	$V_{z,min}$	K.č.
1	HN_01	HN_01	HLAVNÍ NOSNÍK 1	PRUT	N_x	[kN]	1092,2	37	-1309,6	37	-182,2	26	-392,5	25	-338,6	25	-623,2	25	175,8	26	-348,8	26
				i	M_y	[kNm]	-1984,7		-1553,3		12104,1		-12631,3		-6932,6		-3275,1		-10631,5		-11614,8	
				X [m]	M_z	[kNm]	10,5		62,7		-6,0		62,2		155,5		-137,0		24,5		8,2	
				j	V_z	[kN]	443,1		208,5		621,2		-1459,8		1183,8		-1158,8		1728,0		-1645,0	
2	HN_02	HN_02	HLAVNÍ NOSNÍK 2	PRUT	N_x	[kN]	796,8	37	-1114,3	25	-179,6	26	-147,9	41	-294,2	26	-455,9	26	-174,5	26	-189,9	26
				i	M_y	[kNm]	1050,9		7289,6		13455,3		-4591,6		5030,5		6261,6		4069,8		2842,3	
				X [m]	M_z	[kNm]	11,4		-10,4		-7,4		-13,5		86,4		-139,4		-0,3		-15,7	
				j	V_z	[kN]	204,3		-251,3		182,4		-111,9		-63,4		-353,2		891,8		-937,0	
3	HN_03A	HN_03A	HLAVNÍ NOSNÍK 3A	PRUT	N_x	[kN]	6205,3	25	-1347,7	37	2549,8	41	-534,0	25	-700,4	38	545,3	37	-74,3	26	-322,8	26
				i	M_y	[kNm]	-4617,9		-6970,2		2508,2		-17729,3		-13343,3		-11804,6		-16282,6		-17047,1	
				X [m]	M_z	[kNm]	-33,5		119,8		-24,9		79,8		229,5		-205,9		-37,5		113,8	
				j	V_z	[kN]	888,7		489,4		140,5		-843,0		-1188,2		1394,2		1969,1		-1850,2	
4	HN_03B	HN_03B	HLAVNÍ NOSNÍK 3B	PRUT	N_x	[kN]	6114,4	25	-1347,7	37	2203,7	41	-535,1	25	-760,7	38	464,1	37	-118,4	26	-323,1	26
				i	M_y	[kNm]	-1983,9		-6702,0		4090,5		-16716,7		-12960,2		-11584,8		-15469,1		-16177,6	
				X [m]	M_z	[kNm]	-36,3		96,6		-26,5		62,3		178,1		-166,5		-22,9		90,1	
				j	V_z	[kN]	685,7		481,8		413,9		-845,7		-1285,2		1483,3		1963,9		-1842,4	
5	HN_04	HN_04	HLAVNÍ NOSNÍK 4	PRUT	N_x	[kN]	5872,6	25	-1122,4	25	3359,3	25	2749,9	25	4332,6	25	4506,7	25	2073,5	26	2605,6	26
				i	M_y	[kNm]	2839,2		-4811,1		8566,2		-11103,6		503,1		1057,0		-3234,5		-7511,6	
				X [m]	M_z	[kNm]	-41,6		0,5		43,2		-1,1		118,8		-108,6		13,9		20,7	
				j	V_z	[kN]	-124,2		-58,4		164,2		-487,4		493,4		-556,9		1089,3		-1120,7	
6	HN_05	HN_05	HLAVNÍ NOSNÍK 5	PRUT	N_x	[kN]	5695,8	25	-1062,0	37	3783,2	25	1835,9	41	4378,8	25	4686,6	25	3291,4	26	3271,4	26
				i	M_y	[kNm]	4761,9		-2086,5		9271,0		-7754,1		-1673,6		2318,7		-745,9		-3312,8	
				X [m]	M_z	[kNm]	32,0		9,1		14,1		-0,4		89,2		-87,6		-1,9		16,4	
				j	V_z	[kN]	50,0		72,1		-254,8		-281,7		431,2		-253,5		780,4		-785,3	
7	HN_06	HN_06	PŘÍČNÍK 1	PRUT	N_x	[kN]	5672,4	25	-976,3	37	3721,6	26	930,1	41	4585,0	25	4612,2	25	2676,0	25	3850,7	26
				i	M_y	[kNm]	6058,7		-570,7		8364,9		-4471,2		3357,0		3456,7		739,7		69,3	
				X [m]	M_z	[kNm]	-41,7		-13,8		-14,2		-11,0		83,0		-86,3		-17,0		28,2	
				j	V_z	[kN]	39,4		37,2		-176,7		339,4		145,7		-154,6		701,0		-707,6	
8	P_1	P_1	PŘÍČNÍK 1	PRUT	N_x	[kN]	8,2	26	-19,1	26	-13,2	26	1,9	26	-16,4	42	-13,0	41	-13,5	26	-10,0	25
				i	M_y	[kNm]	-5,1		-2,5		68,0		-35,0		1,3		-1,6		6,1		-0,8	
				X [m]	M_z	[kNm]	0,6		1,6		-0,1		0,7		2,0		-1,7		0,7		-1,4	
				j	V_z	[kN]	10,9		24,2		28,6		17,6		22,4		-14,9		31,2		-20,8	
9	P_2	P_2	PŘÍČNÍK 2	PRUT	N_x	[kN]	593,8	26	-551,3	26	143,8	26	-413,9	26	-308,2	25	-111,7	25	-208,8	26	-314,1	26
				i	M_y	[kNm]	298,0		-436,9		738,1		-498,7		47,1		298,8		70,9		-99,2	
				X [m]	M_z	[kNm]	4,4		6,0		-4,8		13,6		39,5		-35,5		0,4		-1,6	
				j	V_z	[kN]	40,6		-42,9		-268,0		-65,5		-7,9		-15,1		362,6		-356,8	
10	P_3	P_3	PŘÍČNÍK 3	PRUT	N_x	[kN]	411,9	41	-521,2	42	114,5	26	-298,5	42	6,8	25	-25,0	25	-134,3	26	-313,7	26
				i	M_y	[kNm]	396,6		280,9		737,0		-135,8		91,8		200,8		180,1		195,4	
				X [m]	M_z	[kNm]	19,2		-5,3		5,1		13,6		60,1		-66,7		-11,7		10,6	
				j	V_z	[kN]	6,8		-215,6		-309,3		20,4		-110,7		-155,0		333,3		-353,8	

TAB 3,2 11-20 ROZHODUJÍCÍ LINEÁRNÍ KOMBINACE VNITŘNÍCH SIL Nx, My, Mx, Vz

ZATÍŽENÍ NÁVRHOVÉ HODNOTY

POSUDEK	POSUZOVANÝ PRŮŘEZ				VNITŘNÍ SILY		ROZHODUJÍCÍ KOMBINACE VNITŘNÍCH SIL Nx, My, Mx, Vz - NÁVRHOVÉ HODNOTY																
	Č.	OZN.PRUTU	PRŮŘEZ	POPIS	PRUT - X	VELIČINA	JEDNOTKY	Nx,max	K č.	Nx,min	K č.	My,max	K č.	My,min	K č.	Mz,max	K č.	Mz,min	K č.	Vz,max	K č.	Vz,min	K č.
11	P_4	P_4	PŘÍČNÍK 4	PRUT	Nx	[kN]	779,6	42	-533,3	38	478,5	26	-3,9	42	34,5	37	403,1	25	561,8	26	-4,8	26	
				i	My	[kNm]	584,6		261,9		1034,9		-308,9		87,7		516,6		412,7		-88,9		
				X [m]	Mz	[kNm]	-17,1		-9,8		-15,7		-6,6		46,7		-68,9		4,9		-20,1		
				j	Vz	[kN]	83,1		-218,8		-175,7		-125,3		32,4		-156,8		151,2		-442,8		
12	P_5	P_5	PŘÍČNÍK 5	PRUT	Nx	[kN]	860,4	41	-824,5	37	568,8	26	-524,6	37	-10,7	25	-6,3	25	425,0	38	-243,0	26	
				i	My	[kNm]	573,0		37,3		903,5		-277,1		210,2		290,9		241,0		159,1		
				X [m]	Mz	[kNm]	-8,4		-2,7		8,7		-3,2		82,3		-93,3		9,1		-35,5		
				j	Vz	[kN]	3,3		-210,4		-297,7		-51,5		-35,6		-254,5		50,0		-379,4		
13	B_1	B_1	BRZDNÉ ZTUŽIDLO 1	PRUT	Nx	[kN]	358,9	25	-431,7	25	47,1	1	47,1	1	47,1	1	47,1	1	47,1	1	47,1	1	
				i	My	[kNm]	0,0		0,0		0,0		0,0		0,0		0,0		0,0		0,0		0,0
				X [m]	Mz	[kNm]	0,0		0,0		0,0		0,0		0,0		0,0		0,0		0,0		0,0
				j	Vz	[kN]	0,0		0,0		0,0		0,0		0,0		0,0		0,0		0,0		0,0
14	B_2	B_2	BRZDNÉ ZTUŽIDLO 2	PRUT	Nx	[kN]	330,0	25	-379,0	25	36,9	1	36,9	1	36,9	1	36,9	1	36,9	1	36,9	1	
				i	My	[kNm]	0,0		0,0		0,0		0,0		0,0		0,0		0,0		0,0		0,0
				X [m]	Mz	[kNm]	0,0		0,0		0,0		0,0		0,0		0,0		0,0		0,0		0,0
				j	Vz	[kN]	0,0		0,0		0,0		0,0		0,0		0,0		0,0		0,0		0,0
15	B_3	B_3	BRZDNÉ ZTUŽIDLO 3	PRUT	Nx	[kN]	85,3	25	-62,4	25	10,5	1	10,5	1	10,5	1	10,5	1	10,5	1	10,5	1	
				i	My	[kNm]	0,0		0,0		0,0		0,0		0,0		0,0		0,0		0,0		0,0
				X [m]	Mz	[kNm]	0,0		0,0		0,0		0,0		0,0		0,0		0,0		0,0		0,0
				j	Vz	[kN]	0,0		0,0		0,0		0,0		0,0		0,0		0,0		0,0		0,0
16	B_4	B_4	BRZDNÉ ZTUŽIDLO 4	PRUT	Nx	[kN]	247,9	25	-290,9	25	7,0	1	7,0	1	7,0	1	7,0	1	7,0	1	7,0	1	
				i	My	[kNm]	0,0		0,0		0,0		0,0		0,0		0,0		0,0		0,0		0,0
				X [m]	Mz	[kNm]	0,0		0,0		0,0		0,0		0,0		0,0		0,0		0,0		0,0
				j	Vz	[kN]	0,0		0,0		0,0		0,0		0,0		0,0		0,0		0,0		0,0
17	K_1	K_1	OBLOUK 1	PRUT	Nx	[kN]	28,3	38	-53,7	38	-46,3	38	-51,1	38	-0,9	38	-24,0	38	-52,9	38	4,8	26	
				i	My	[kNm]	42,5		-135,0		157,1		-141,4		6,0		-32,4		-46,1		-42,3		
				X [m]	Mz	[kNm]	6,5		-10,1		8,7		-10,1		21,7		-21,5		7,8		9,1		
				j	Vz	[kN]	12,6		50,8		39,5		52,1		-2,9		15,0		52,5		-25,3		
18	O_1	O_1	OBLOUK 1	PRUT	Nx	[kN]	13,2	38	-5370,8	26	-2919,0	42	-2632,6	41	-2170,7	38	-2356,7	37	-3298,2	21	-2973,0	22	
				i	My	[kNm]	-186,5		205,9		533,0		-587,8		-340,0		-113,9		-298,8		-303,3		
				X [m]	Mz	[kNm]	49,1		-40,3		-10,2		-2,7		182,5		-187,0		-65,3		-7,9		
				j	Vz	[kN]	20,5		-33,6		1,3		-32,6		-30,7		-19,1		49,9		-50,7		
19	O_2	O_2	OBLOUK 2	PRUT	Nx	[kN]	7,6	38	-5484,7	26	-2407,5	41	-2713,8	41	-2801,6	37	-2944,3	37	-2457,0	21	-2499,4	21	
				i	My	[kNm]	-254,6		116,3		471,5		-605,0		-342,5		-370,5		-318,5		-266,9		
				X [m]	Mz	[kNm]	68,9		1,2		-49,3		17,0		220,4		-213,2		-73,5		22,8		
				j	Vz	[kN]	20,0		-32,5		-1,8		-14,3		19,9		-19,1		50,5		-49,5		
20	O_3	O_3	OBLOUK 3	PRUT	Nx	[kN]	9,1	38	-5788,3	26	-1784,1	41	-2074,5	41	-3205,3	38	-3025,6	37	-1878,2	42	-1697,5	42	
				i	My	[kNm]	-236,3		-11,8		377,4		-742,8		-389,1		-277,8		-132,6		-695,6		
				X [m]	Mz	[kNm]	40,2		179,9		43,8		86,4		334,0		-337,7		-133,2		104,6		
				j	Vz	[kN]	25,1		32,1		4,3		-61,5		43,3		-25,8		62,7		-65,4		

TAB 3,2 21-30 **ROZHODUJÍCÍ LINEÁRNÍ KOMBINACE VNITŘNÍCH SIL Nx, My, Mx, Vz**

ZATÍŽENÍ NÁVRHOVÉ HODNOTY

POSUDEK	POSUZOVANÝ PRŮŘEZ				VNITŘNÍ SILY		ROZHODUJÍCÍ KOMBINACE VNITŘNÍCH SIL Nx, My, Mx, Vz - NÁVRHOVÉ HODNOTY																
	Č.	OZN.PRUTU	PRŮŘEZ	POPIS	PRUT - X	VELIČINA	JEDNOTKY	Nx,max	K č.	Nx,min	K č.	My,max	K č.	My,min	K č.	Mz,max	K č.	Mz,min	K č.	Vz,max	K č.	Vz,min	K č.
21	D_1	D_1	PODÉLNÍK 1	PRUT i	Nx	[kN]	340,9	25	-96,7	25	225,1	26	49,9	26	124,3	26	151,2	26	119,3	26	148,7	26	
					My	[kNm]	105,2		-15,0		140,8		-98,7		-44,2		78,9		-74,7		-55,2		
					X [m]	Mz	[kNm]		5,1		-1,9		-7,3		9,2		19,8		-15,6		13,7		12,2
					j	Vz	[kN]		23,4		-4,5		108,1		166,0		160,0		21,5		220,3		-201,0
22	D_2	D_2	PODÉLNÍK 2	PRUT i	Nx	[kN]	540,5	25	-430,9	25	-41,4	26	-147,8	26	-19,3	26	252,3	42	113,5	26	-36,4	26	
					My	[kNm]	-6,4		-35,5		133,0		-150,5		38,3		-32,5		-93,2		1,7		
					X [m]	Mz	[kNm]		-2,5		-1,2		6,0		-5,5		21,8		-22,5		-7,7		2,2
					j	Vz	[kN]		-115,1		-7,1		-89,1		152,2		-25,5		130,6		234,1		-305,4
23	D_3	D_3	PODÉLNÍK 3	PRUT i	Nx	[kN]	504,0	25	-124,4	25	323,9	26	210,3	26	189,2	26	263,4	26	233,4	26	281,7	26	
					My	[kNm]	102,5		-5,0		147,8		-85,5		-13,0		79,4		-48,1		-53,4		
					X [m]	Mz	[kNm]		3,8		0,9		-6,8		7,6		17,8		-15,9		12,2		9,5
					j	Vz	[kN]		-24,2		0,7		-114,9		-137,5		-87,0		122,9		209,2		-216,1
24	D_4	D_4	PODÉLNÍK 4	PRUT i	Nx	[kN]	606,5	25	-212,2	25	334,0	26	147,5	26	241,8	26	275,3	26	295,0	26	197,2	26	
					My	[kNm]	92,4		-6,2		142,7		-91,8		-30,6		70,4		-52,3		-32,4		
					X [m]	Mz	[kNm]		10,8		-2,7		5,1		6,0		21,7		-18,1		10,0		15,7
					j	Vz	[kN]		-27,6		3,2		50,5		161,2		123,6		-99,7		235,5		-259,4
25	D_5	D_5	PODÉLNÍK 5	PRUT i	Nx	[kN]	571,3	25	-299,1	25	232,9	26	113,9	26	-55,1	26	203,4	26	127,1	26	98,9	26	
					My	[kNm]	67,8		-24,8		127,4		-103,6		-47,0		47,4		-75,7		-40,5		
					X [m]	Mz	[kNm]		6,9		-1,1		-4,2		6,7		20,8		-16,3		8,7		14,7
					j	Vz	[kN]		-21,5		8,1		-98,7		136,6		145,3		99,2		228,8		-248,1
26	D_6	D_6	PODÉLNÍK 6	PRUT i	Nx	[kN]	454,8	25	-430,9	25	143,9	26	-173,6	26	-241,6	26	148,1	26	14,0	26	-49,1	26	
					My	[kNm]	57,6		-63,0		101,0		-133,6		-84,4		16,3		-103,9		-75,1		
					X [m]	Mz	[kNm]		-4,1		-3,4		-0,7		9,8		23,4		-14,0		12,5		15,5
					j	Vz	[kN]		19,7		0,2		40,7		-141,0		-104,4		143,8		222,7		-252,5
27	D_7	D_7	PODÉLNÍK 8	PRUT i	Nx	[kN]	799,7	25	-480,0	25	363,5	26	-70,4	26	-177,3	26	583,4	26	256,2	26	278,7	26	
					My	[kNm]	83,3		-60,7		156,0		-171,4		-73,8		-54,5		-83,2		-83,4		
					X [m]	Mz	[kNm]		13,5		-2,1		2,6		-8,6		29,9		-29,8		14,9		8,6
					j	Vz	[kN]		47,3		8,0		-40,7		142,1		158,1		167,3		285,1		-278,6
28	D_8	D_8	PODÉLNÍK 8	PRUT i	Nx	[kN]	414,2	25	-175,9	25	268,5	26	136,1	26	63,6	26	164,3	26	239,3	26	208,0	26	
					My	[kNm]	94,3		-6,0		150,3		-87,1		-35,9		77,6		-49,9		-28,3		
					X [m]	Mz	[kNm]		-0,8		1,6		1,7		12,8		20,9		-16,8		9,4		15,0
					j	Vz	[kN]		41,9		-0,2		62,1		135,6		130,2		20,9		240,2		-265,1
29	D_9	D_9	PODÉLNÍK 9	PRUT i	Nx	[kN]	328,3	25	-123,2	25	235,0	26	68,1	26	85,1	26	160,8	26	149,0	26	178,2	26	
					My	[kNm]	108,7		-7,0		149,8		-88,9		-35,6		71,8		-41,9		-32,1		
					X [m]	Mz	[kNm]		7,1		-3,4		-4,7		8,7		20,3		-16,0		11,1		15,2
					j	Vz	[kN]		41,0		3,3		-67,8		-159,3		86,3		13,9		223,6		-274,8
30	D_10	D_10	PODÉLNÍK 10	PRUT i	Nx	[kN]	236,4	26	-79,7	25	161,0	26	80,4	26	109,9	26	131,2	26	107,2	26	-14,8	26	
					My	[kNm]	103,9		-17,4		145,8		-83,1		-26,5		66,6		-30,4		-7,0		
					X [m]	Mz	[kNm]		7,2		-1,9		-4,2		8,0		20,1		-14,8		1,7		2,9
					j	Vz	[kN]		22,8		-16,6		-64,6		145,8		137,9		127,9		226,4		-319,1

TAB 3,2 31-40 ROZHODUJÍCÍ LINEÁRNÍ KOMBINACE VNITŘNÍCH SIL Nx, My, Mx, Vz

ZATÍŽENÍ NÁVRHOVÉ HODNOTY

POSUDEK	POSUZOVANÝ PRŮŘEZ				VNITŘNÍ SILY		ROZHODUJÍCÍ KOMBINACE VNITŘNÍCH SIL Nx, My, Mx, Vz - NÁVRHOVÉ HODNOTY															
	Č.	OZN.PRUTU	PRŮŘEZ	POPIS	PRUT - X	VELIČINA	JEDNOTKY	Nx,max	K č.	Nx,min	K č.	My,max	K č.	My,min	K č.	Mz,max	K č.	Mz,min	K č.	Vz,max	K č.	Vz,min
31	S_1	S_1	SVISLICE	PRUT i X [m] j	Nx	[kN]	458,5	26	-64,4	26	375,3	37	69,6	37	103,7	1	103,7	1	354,2	37	57,2	37
					My	[kNm]	0,0		0,0		1,5		-1,5		0,0		0,0		1,2		0,0	
					Mz	[kNm]	0,0		0,0		0,0		0,0		0,0		0,0		0,0		0,0	
					Vz	[kN]	0,0		-0,3		0,0		0,0		0,0		0,1		-0,7			
32	T_1	T_1	ZTUŽIDLA PODÉLNÍKŮ 1	PRUT i X [m] j	Nx	[kN]	115,3	26	-119,8	26	16,2	1	16,2	1	16,2	1	16,2	1	16,2	1	16,2	1
					My	[kNm]	0,0		0,0		0,0		0,0		0,0		0,0		0,0		0,0	
					Mz	[kNm]	0,0		0,0		0,0		0,0		0,0		0,0		0,0		0,0	
					Vz	[kN]	0,0		0,0		0,0		0,0		0,0		0,0		0,0			
33	T_2	T_2	ZTUŽIDLA PODÉLNÍKŮ 2	PRUT i X [m] j	Nx	[kN]	115,7	41	-89,1	41	4,9	1	4,9	1	4,9	1	4,9	1	4,9	1	4,9	1
					My	[kNm]	0,0		0,0		0,0		0,0		0,0		0,0		0,0		0,0	
					Mz	[kNm]	0,0		0,0		0,0		0,0		0,0		0,0		0,0		0,0	
					Vz	[kN]	0,0		0,0		0,0		0,0		0,0		0,0		0,0			
34	T_3	T_3	ZTUŽIDLA PODÉLNÍKŮ 3	PRUT i X [m] j	Nx	[kN]	52,6	42	-116,8	26	-2,8	1	-2,8	1	-2,8	1	-2,8	1	-2,8	1	-2,8	1
					My	[kNm]	0,0		0,0		0,0		0,0		0,0		0,0		0,0		0,0	
					Mz	[kNm]	0,0		0,0		0,0		0,0		0,0		0,0		0,0		0,0	
					Vz	[kN]	0,0		0,0		0,0		0,0		0,0		0,0		0,0			
35	T_4	T_4	ZTUŽIDLA PODÉLNÍKŮ 4	PRUT i X [m] j	Nx	[kN]	58,1	42	-138,1	26	-6,0	1	-6,0	1	-6,0	1	-6,0	1	-6,0	1	-6,0	1
					My	[kNm]	0,0		0,0		0,0		0,0		0,0		0,0		0,0		0,0	
					Mz	[kNm]	0,0		0,0		0,0		0,0		0,0		0,0		0,0		0,0	
					Vz	[kN]	0,0		0,0		0,0		0,0		0,0		0,0		0,0			
36	Z_1	Z_1	DOLNÍ ZTUŽENÍ 1	PRUT i X [m] j	Nx	[kN]	690,6	37	-767,6	25	-3,2	1	-3,2	1	-3,2	1	-3,2	1	-3,2	1	-3,2	1
					My	[kNm]	0,0		0,0		0,0		0,0		0,0		0,0		0,0		0,0	
					Mz	[kNm]	0,0		0,0		0,0		0,0		0,0		0,0		0,0		0,0	
					Vz	[kN]	0,0		0,0		0,0		0,0		0,0		0,0		0,0			
37	Z_2	Z_2	DOLNÍ ZTUŽENÍ 3	PRUT i X [m] j	Nx	[kN]	693,1	25	-487,8	37	59,9	1	59,9	1	59,9	1	59,9	1	59,9	1	59,9	1
					My	[kNm]	0,0		0,0		0,0		0,0		0,0		0,0		0,0		0,0	
					Mz	[kNm]	0,0		0,0		0,0		0,0		0,0		0,0		0,0		0,0	
					Vz	[kN]	0,0		0,0		0,0		0,0		0,0		0,0		0,0			
38	Z_3	Z_3	DOLNÍ ZTUŽENÍ 3	PRUT i X [m] j	Nx	[kN]	497,0	26	-260,2	38	37,5	1	37,5	1	37,5	1	37,5	1	37,5	1	37,5	1
					My	[kNm]	0,0		0,0		0,0		0,0		0,0		0,0		0,0		0,0	
					Mz	[kNm]	0,0		0,0		0,0		0,0		0,0		0,0		0,0		0,0	
					Vz	[kN]	0,0		0,0		0,0		0,0		0,0		0,0		0,0			
39	Z_4	Z_4	DOLNÍ ZTUŽENÍ 4	PRUT i X [m] j	Nx	[kN]	621,9	25	-337,9	38	101,5	1	101,5	1	101,5	1	101,5	1	101,5	1	101,5	1
					My	[kNm]	0,0		0,0		0,0		0,0		0,0		0,0		0,0		0,0	
					Mz	[kNm]	0,0		0,0		0,0		0,0		0,0		0,0		0,0		0,0	
					Vz	[kN]	0,0		0,0		0,0		0,0		0,0		0,0		0,0			
40	Z_5	Z_5	DOLNÍ ZTUŽENÍ 5	PRUT i X [m] j	Nx	[kN]	766,5	26	-509,4	25	93,6	1	93,6	1	93,6	1	93,6	1	93,6	1	93,6	1
					My	[kNm]	0,0		0,0		0,0		0,0		0,0		0,0		0,0		0,0	
					Mz	[kNm]	0,0		0,0		0,0		0,0		0,0		0,0		0,0		0,0	
					Vz	[kN]	0,0		0,0		0,0		0,0		0,0		0,0		0,0			

TAB 3,2₄₁₋₁₀ ROZHODUJÍCÍ LINEÁRNÍ KOMBINACE VNITŘNÍCH SIL Nx, My, Mx, Vz

ZATÍŽENÍ NÁVRHOVÉ HODNOTY

POSUDEK	POSUZOVANÝ PRŮŘEZ				VNITŘNÍ SILY		ROZHODUJÍCÍ KOMBINACE VNITŘNÍCH SIL Nx, My, Mx, Vz - NÁVRHOVÉ HODNOTY															
	Č.	OZN.PRUTU	PRŮŘEZ	POPIS	PRUT - X	VELIČINA	JEDNOTKY	Nx,max	K č.	Nx,min	K č.	My,max	K č.	My,min	K č.	Mz,max	K č.	Mz,min	K č.	Vz,max	K č.	Vz,min
41	Z_6	Z_6	DOLNÍ ZTUŽENÍ 6	PRUT	Nx	[kN]	489,8	26	-219,0	42	45,2	1	45,2	1	45,2	1	45,2	1	45,2	1	45,2	1
				i	My	[kNm]	0,0		0,0		0,0		0,0		0,0		0,0		0,0			
				X [m]	Mz	[kNm]	0,0		0,0		0,0		0,0		0,0		0,0		0,0			
				j	Vz	[kN]	0,0		0,0		0,0		0,0		0,0		0,0		0,0			
2	HN_02	HN_02	HLAVNÍ NOSNÍK 2	PRUT	Nx	[kN]	796,8	37	-1114,3	25	-179,6	26	-147,9	41	-294,2	26	-455,9	26	-174,5	26	-189,9	26
				i	My	[kNm]	1050,9		7289,6		13455,3		-4591,6		5030,5		6261,6		4069,8		2842,3	
				X [m]	Mz	[kNm]	11,4		-10,4		-7,4		-13,5		86,4		-139,4		-0,3		-15,7	
				j	Vz	[kN]	204,3		-251,3		182,4		-111,9		-63,4		-353,2		891,8		-937,0	
3	HN_03A	HN_03A	HLAVNÍ NOSNÍK 3A	PRUT	Nx	[kN]	6205,3	25	-1347,7	37	2549,8	41	-534,0	25	-700,4	38	545,3	37	-74,3	26	-322,8	26
				i	My	[kNm]	-4617,9		-6970,2		2508,2		-17729,3		-13343,3		-11804,6		-16282,6		-17047,1	
				X [m]	Mz	[kNm]	-33,5		119,8		-24,9		79,8		229,5		-205,9		-37,5		113,8	
				j	Vz	[kN]	888,7		489,4		140,5		-843,0		-1188,2		1394,2		1969,1		-1850,2	
4	HN_03B	HN_03B	HLAVNÍ NOSNÍK 3B	PRUT	Nx	[kN]	6114,4	25	-1347,7	37	2203,7	41	-535,1	25	-760,7	38	464,1	37	-118,4	26	-323,1	26
				i	My	[kNm]	-1983,9		-6702,0		4090,5		-16716,7		-12960,2		-11584,8		-15469,1		-16177,6	
				X [m]	Mz	[kNm]	-36,3		96,6		-26,5		62,3		178,1		-166,5		-22,9		90,1	
				j	Vz	[kN]	685,7		481,8		413,9		-845,7		-1285,2		1483,3		1963,9		-1842,4	
5	HN_04	HN_04	HLAVNÍ NOSNÍK 4	PRUT	Nx	[kN]	5872,6	25	-1122,4	25	3359,3	25	2749,9	25	4332,6	25	4506,7	25	2073,5	26	2605,6	26
				i	My	[kNm]	2839,2		-4811,1		8566,2		-11103,6		503,1		1057,0		-3234,5		-7511,6	
				X [m]	Mz	[kNm]	-41,6		0,5		43,2		-1,1		118,8		-108,6		13,9		20,7	
				j	Vz	[kN]	-124,2		-58,4		164,2		-487,4		493,4		-556,9		1089,3		-1120,7	
6	HN_05	HN_05	HLAVNÍ NOSNÍK 5	PRUT	Nx	[kN]	5695,8	25	-1062,0	37	3783,2	25	1835,9	41	4378,8	25	4686,6	25	3291,4	26	3271,4	26
				i	My	[kNm]	4761,9		-2086,5		9271,0		-7754,1		-1673,6		2318,7		-745,9		-3312,8	
				X [m]	Mz	[kNm]	32,0		9,1		14,1		-0,4		89,2		-87,6		-1,9		16,4	
				j	Vz	[kN]	50,0		72,1		-254,8		-281,7		431,2		-253,5		780,4		-785,3	
7	HN_06	HN_06	PŘÍČNÍK 1	PRUT	Nx	[kN]	5672,4	25	-976,3	37	3721,6	26	930,1	41	4585,0	25	4612,2	25	2676,0	25	3850,7	26
				i	My	[kNm]	6058,7		-570,7		8364,9		-4471,2		3357,0		3456,7		739,7		69,3	
				X [m]	Mz	[kNm]	-41,7		-13,8		-14,2		-11,0		83,0		-86,3		-17,0		28,2	
				j	Vz	[kN]	39,4		37,2		-176,7		339,4		145,7		-154,6		701,0		-707,6	
8	P_1	P_1	PŘÍČNÍK 1	PRUT	Nx	[kN]	8,2	26	-19,1	26	-13,2	26	1,9	26	-16,4	42	-13,0	41	-13,5	26	-10,0	25
				i	My	[kNm]	-5,1		-2,5		68,0		-35,0		1,3		-1,6		6,1		-0,8	
				X [m]	Mz	[kNm]	0,6		1,6		-0,1		0,7		2,0		-1,7		0,7		-1,4	
				j	Vz	[kN]	10,9		24,2		28,6		17,6		22,4		-14,9		31,2		-20,8	
9	P_2	P_2	PŘÍČNÍK 2	PRUT	Nx	[kN]	593,8	26	-551,3	26	143,8	26	-413,9	26	-308,2	25	-111,7	25	-208,8	26	-314,1	26
				i	My	[kNm]	298,0		-436,9		738,1		-498,7		47,1		298,8		70,9		-99,2	
				X [m]	Mz	[kNm]	4,4		6,0		-4,8		13,6		39,5		-35,5		0,4		-1,6	
				j	Vz	[kN]	40,6		-42,9		-268,0		-65,5		-7,9		-15,1		362,6		-356,8	
10	P_3	P_3	PŘÍČNÍK 3	PRUT	Nx	[kN]	411,9	41	-521,2	42	114,5	26	-298,5	42	6,8	25	-25,0	25	-134,3	26	-313,7	26
				i	My	[kNm]	396,6		280,9		737,0		-135,8		91,8		200,8		180,1		195,4	
				X [m]	Mz	[kNm]	19,2		-5,3		5,1		13,6		60,1		-66,7		-11,7		10,6	
				j	Vz	[kN]	6,8		-215,6		-309,3		20,4		-110,7		-155,0		333,3		-353,8	

8.4. Kombinace zatížení pro zatížitelnost UIC71

TAB 3,2 1-10 ROZHODUJÍCÍ LINEÁRNÍ KOMBINACE VNITŘNÍCH SIL N_x , M_y , M_x , V_z

ZATÍŽENÍ [NÁVRHOVÉ HODNOTY](#)

POSUDEK	POSUZOVANÝ PRŮŘEZ				VNITŘNÍ SILY		ROZHODUJÍCÍ KOMBINACE VNITŘNÍCH SIL N_x , M_y , M_x , V_z - NÁVRHOVÉ HODNOTY															
	Č.	OZN.PRUTU	PRŮŘEZ	POPIS	PRUT - X	VELIČINA	JEDNOTKY	$N_{x,max}$	K.č.	$N_{x,min}$	K.č.	$M_{y,max}$	K.č.	$M_{y,min}$	K.č.	$M_{z,max}$	K.č.	$M_{z,min}$	K.č.	$V_{z,max}$	K.č.	$V_{z,min}$
1	HN_01	HN_01	HLAVNÍ NOSNÍK 1	PRUT	N_x	[kN]	1157,5	37	-1387,4	37	-200,7	26	-306,8	25	-349,1	25	-719,8	25	207,7	26	-391,5	26
				i	M_y	[kNm]	-2888,5		-2098,4		15312,9		-14215,9		-7284,1		-2706,9		-11384,4		-12507,9	
				X [m]	M_z	[kNm]	7,2		65,9		8,3		70,0		169,9		-152,8		31,2		8,6	
				j	V_z	[kN]	475,5		223,0		765,5		-1568,5		1274,7		-1510,1		2118,3		-2021,5	
2	HN_02	HN_02	HLAVNÍ NOSNÍK 2	PRUT	N_x	[kN]	835,9	37	-1267,7	25	-292,2	26	-105,0	41	-344,2	26	-536,0	26	-198,6	26	-269,6	26
				i	M_y	[kNm]	-151,6		10221,2		17154,8		-5249,7		7284,9		7888,1		6297,7		5041,9	
				X [m]	M_z	[kNm]	-2,5		-2,3		5,0		-15,4		106,7		-158,0		-0,3		-16,8	
				j	V_z	[kN]	10,9		-284,4		286,9		-141,6		-137,2		-276,7		1128,9		-1190,0	
3	HN_03A	HN_03A	HLAVNÍ NOSNÍK 3A	PRUT	N_x	[kN]	7015,6	25	-1427,7	37	2647,4	41	-567,7	25	-768,7	38	537,7	37	-60,1	26	-381,2	26
				i	M_y	[kNm]	-5026,9		-7731,1		2874,5		-20277,5		-14490,1		-12779,4		-18169,8		-19062,7	
				X [m]	M_z	[kNm]	-28,4		113,1		-11,0		104,0		256,0		-231,9		-25,0		130,3	
				j	V_z	[kN]	891,3		599,7		212,1		-1189,2		-1374,0		1570,6		2393,9		-2254,3	
4	HN_03B	HN_03B	HLAVNÍ NOSNÍK 3B	PRUT	N_x	[kN]	6919,9	25	-1427,7	37	2618,9	25	-567,7	25	-813,9	38	445,7	37	-104,2	26	-381,5	26
				i	M_y	[kNm]	-2353,0		-7411,4		5084,7		-19238,8		-13763,3		-12088,4		-17155,4		-18002,7	
				X [m]	M_z	[kNm]	-40,8		92,7		-20,6		79,6		199,1		-187,2		-12,1		102,7	
				j	V_z	[kN]	672,8		592,1		635,6		-1190,3		-1402,5		1579,9		2388,7		-2246,5	
5	HN_04	HN_04	HLAVNÍ NOSNÍK 4	PRUT	N_x	[kN]	6669,5	25	-1296,3	25	3755,9	25	2966,2	25	4631,2	25	4778,2	25	2262,2	26	2629,9	26
				i	M_y	[kNm]	2401,7		-5218,9		10807,8		-12724,8		1030,0		1366,9		-2812,5		-7298,7	
				X [m]	M_z	[kNm]	-34,7		-1,3		46,8		-0,1		137,2		-127,4		13,2		16,9	
				j	V_z	[kN]	-139,5		-105,0		137,0		-523,1		680,1		-763,6		1359,8		-1404,6	
6	HN_05	HN_05	HLAVNÍ NOSNÍK 5	PRUT	N_x	[kN]	6463,1	25	-1213,1	25	4216,0	25	2594,2	25	4666,2	25	5174,9	25	3837,0	26	3697,8	26
				i	M_y	[kNm]	4815,0		-1815,2		11498,4		-8864,8		-509,7		3079,1		-169,5		-2617,5	
				X [m]	M_z	[kNm]	24,0		12,8		13,9		0,8		100,9		-97,1		-3,5		13,6	
				j	V_z	[kN]	-27,7		41,5		-352,8		-307,2		345,4		-385,2		965,0		-969,4	
7	HN_06	HN_06	PŘÍČNÍK 1	PRUT	N_x	[kN]	6402,3	25	-1105,2	37	4253,4	26	1289,0	41	5157,2	25	5162,3	25	3216,9	25	4379,5	26
				i	M_y	[kNm]	6791,0		-478,6		10418,3		-5165,7		4099,2		4228,5		1435,3		810,5	
				X [m]	M_z	[kNm]	-47,3		-14,1		-14,9		-10,8		89,7		-93,0		-17,0		27,9	
				j	V_z	[kN]	163,4		21,5		-287,8		400,2		269,4		-275,8		878,3		-886,5	
8	P_1	P_1	PŘÍČNÍK 1	PRUT	N_x	[kN]	11,2	26	-23,8	26	-16,5	26	2,9	42	-19,5	41	-15,4	26	-16,8	26	-12,1	25
				i	M_y	[kNm]	-9,6		-3,4		98,8		-58,4		1,1		-1,8		5,9		-0,8	
				X [m]	M_z	[kNm]	0,8		1,8		-0,2		0,9		2,2		-2,0		1,1		-1,6	
				j	V_z	[kN]	16,3		23,6		42,0		27,7		31,8		-21,5		44,6		-31,4	
9	P_2	P_2	PŘÍČNÍK 2	PRUT	N_x	[kN]	849,2	26	-698,4	26	71,8	26	-561,0	26	-336,6	25	-197,3	25	-325,3	26	-445,6	26
				i	M_y	[kNm]	431,7		-629,7		1172,6		-691,5		34,6		97,5		87,1		-131,7	
				X [m]	M_z	[kNm]	4,5		10,1		-6,5		17,7		49,5		-43,4		4,9		-6,3	
				j	V_z	[kN]	59,3		-65,8		-447,6		-88,4		-29,9		-47,9		610,0		-581,2	
10	P_3	P_3	PŘÍČNÍK 3	PRUT	N_x	[kN]	438,3	41	-631,1	26	116,3	26	-285,0	26	-7,9	25	-32,9	25	-271,3	26	-413,0	26
				i	M_y	[kNm]	306,0		673,5		1134,6		-156,7		122,7		234,2		330,3		335,0	
				X [m]	M_z	[kNm]	19,7		-5,4		6,0		16,3		65,1		-71,8		-14,8		13,3	
				j	V_z	[kN]	11,1		-421,5		-496,3		27,5		-121,5		-180,6		533,0		-566,3	

TAB 3,2 11-20 ROZHODUJÍCÍ LINEÁRNÍ KOMBINACE VNITŘNÍCH SIL Nx, My, Mx, Vz

ZATÍŽENÍ NÁVRHOVÉ HODNOTY

POSUDEK	POSUZOVANÝ PRŮŘEZ				VNITŘNÍ SILY		ROZHODUJÍCÍ KOMBINACE VNITŘNÍCH SIL Nx, My, Mx, Vz - NÁVRHOVÉ HODNOTY																
	Č.	OZN.PRUTU	PRŮŘEZ	POPIS	PRUT - X	VELIČINA	JEDNOTKY	Nx,max	K č.	Nx,min	K č.	My,max	K č.	My,min	K č.	Mz,max	K č.	Mz,min	K č.	Vz,max	K č.	Vz,min	K č.
11	P_4	P_4	PŘÍČNÍK 4	PRUT	Nx	[kN]	838,7	26	-600,6	38	413,8	26	110,8	26	28,5	37	340,6	25	630,4	26	-56,3	26	
				i	My	[kNm]	553,1		582,2		1474,6		-343,2		81,9		577,5		527,6		40,8		
				X [m]	Mz	[kNm]	-22,2		-8,9		-14,3		-14,4		50,0		-76,0		4,2		-26,4		
				j	Vz	[kN]	106,7		-384,4		-378,6		-142,4		32,1		-158,5		164,4		-646,3		
12	P_5	P_5	PŘÍČNÍK 5	PRUT	Nx	[kN]	965,0	25	-977,3	25	510,2	26	-526,7	37	-13,1	25	-25,4	25	431,0	38	-227,0	26	
				i	My	[kNm]	555,2		853,9		1343,1		-283,3		253,6		345,8		243,2		368,3		
				X [m]	Mz	[kNm]	-12,6		-15,6		10,8		-4,4		87,0		-103,5		10,0		-38,3		
				j	Vz	[kN]	3,9		-586,9		-528,1		-50,4		-32,7		-262,8		50,9		-623,3		
13	B_1	B_1	BRZDNÉ ZTUŽIDLO 1	PRUT	Nx	[kN]	417,3	25	-507,7	25	47,1	1	47,1	1	47,1	1	47,1	1	47,1	1	47,1	1	
				i	My	[kNm]	0,0		0,0		0,0		0,0		0,0		0,0		0,0		0,0		0,0
				X [m]	Mz	[kNm]	0,0		0,0		0,0		0,0		0,0		0,0		0,0		0,0		0,0
				j	Vz	[kN]	0,0		0,0		0,0		0,0		0,0		0,0		0,0		0,0		0,0
14	B_2	B_2	BRZDNÉ ZTUŽIDLO 2	PRUT	Nx	[kN]	377,8	25	-446,4	25	36,9	1	36,9	1	36,9	1	36,9	1	36,9	1	36,9	1	
				i	My	[kNm]	0,0		0,0		0,0		0,0		0,0		0,0		0,0		0,0		0,0
				X [m]	Mz	[kNm]	0,0		0,0		0,0		0,0		0,0		0,0		0,0		0,0		0,0
				j	Vz	[kN]	0,0		0,0		0,0		0,0		0,0		0,0		0,0		0,0		0,0
15	B_3	B_3	BRZDNÉ ZTUŽIDLO 3	PRUT	Nx	[kN]	108,3	25	-70,5	25	10,5	1	10,5	1	10,5	1	10,5	1	10,5	1	10,5	1	
				i	My	[kNm]	0,0		0,0		0,0		0,0		0,0		0,0		0,0		0,0		0,0
				X [m]	Mz	[kNm]	0,0		0,0		0,0		0,0		0,0		0,0		0,0		0,0		0,0
				j	Vz	[kN]	0,0		0,0		0,0		0,0		0,0		0,0		0,0		0,0		0,0
16	B_4	B_4	BRZDNÉ ZTUŽIDLO 4	PRUT	Nx	[kN]	262,5	25	-341,2	25	7,0	1	7,0	1	7,0	1	7,0	1	7,0	1	7,0	1	
				i	My	[kNm]	0,0		0,0		0,0		0,0		0,0		0,0		0,0		0,0		0,0
				X [m]	Mz	[kNm]	0,0		0,0		0,0		0,0		0,0		0,0		0,0		0,0		0,0
				j	Vz	[kN]	0,0		0,0		0,0		0,0		0,0		0,0		0,0		0,0		0,0
17	K_1	K_1	OBLOUK 1	PRUT	Nx	[kN]	35,3	26	-62,9	38	-49,0	26	-57,4	38	-0,2	38	-23,2	38	-55,9	26	6,0	26	
				i	My	[kNm]	49,4		-149,6		191,6		-160,2		3,3		-28,6		-106,0		-56,4		
				X [m]	Mz	[kNm]	4,0		-9,7		2,7		-9,5		24,5		-24,4		4,6		10,1		
				j	Vz	[kN]	12,5		58,0		46,6		59,8		-3,9		13,7		60,4		-30,4		
18	O_1	O_1	OBLOUK 1	PRUT	Nx	[kN]	193,6	26	-6285,9	26	-3477,1	42	-3103,8	41	-2123,8	38	-2497,4	37	-4048,5	25	-3621,4	26	
				i	My	[kNm]	-180,2		200,7		592,2		-623,1		-349,6		-100,6		-302,3		-297,7		
				X [m]	Mz	[kNm]	23,6		-42,4		-8,0		-0,1		195,2		-208,2		-72,7		-5,2		
				j	Vz	[kN]	17,7		-36,3		-2,2		-33,7		-31,1		-17,2		56,6		-57,3		
19	O_2	O_2	OBLOUK 2	PRUT	Nx	[kN]	190,8	26	-6418,7	26	-2807,8	41	-3194,3	41	-2939,5	37	-3038,9	37	-2886,6	25	-2945,3	25	
				i	My	[kNm]	-269,4		105,1		539,8		-640,3		-358,0		-385,9		-308,3		-259,7		
				X [m]	Mz	[kNm]	51,9		0,4		-46,2		19,6		234,5		-226,3		-75,8		23,2		
				j	Vz	[kN]	17,1		-33,1		3,3		-13,3		19,4		-18,8		57,8		-57,0		
20	O_3	O_3	OBLOUK 3	PRUT	Nx	[kN]	196,7	26	-6771,4	26	-2001,0	41	-2037,2	41	-3471,9	38	-3152,8	37	-2023,7	26	-1887,5	26	
				i	My	[kNm]	-275,2		-7,7		435,0		-794,9		-410,4		-297,1		-311,0		-646,8		
				X [m]	Mz	[kNm]	53,4		187,8		47,9		104,0		364,0		-369,6		-168,7		140,3		
				j	Vz	[kN]	22,3		29,4		9,9		-64,7		46,1		-29,2		73,7		-76,3		

TAB 3,2 21-30 **ROZHODUJÍCÍ LINEÁRNÍ KOMBINACE VNITŘNÍCH SIL Nx, My, Mx, Vz**

ZATÍŽENÍ NÁVRHOVÉ HODNOTY

POSUDEK	POSUZOVANÝ PRŮŘEZ				VNITŘNÍ SILY		ROZHODUJÍCÍ KOMBINACE VNITŘNÍCH SIL Nx, My, Mx, Vz - NÁVRHOVÉ HODNOTY															
	Č.	OZN.PRUTU	PRŮŘEZ	POPIS	PRUT - X	VELIČINA	JEDNOTKY	Nx,max	K č.	Nx,min	K č.	My,max	K č.	My,min	K č.	Mz,max	K č.	Mz,min	K č.	Vz,max	K č.	Vz,min
21	D_1	D_1	PODÉLNÍK 1	PRUT	Nx	[kN]	424,9	25	-102,8	25	257,2	26	63,5	26	159,5	26	217,0	26	138,3	26	182,3	26
				i	My	[kNm]	130,1		-16,2		183,8		-120,9		-73,8		83,2		-87,5		-65,5	
				X [m]	Mz	[kNm]	6,0		-1,9		-7,2		9,5		23,7		-17,6		15,1		13,3	
				j	Vz	[kN]	8,1		-4,0		131,1		208,4		245,0		30,9		277,8		-256,9	
22	D_2	D_2	PODÉLNÍK 2	PRUT	Nx	[kN]	627,6	25	-481,0	25	-25,4	26	-171,3	26	-19,5	26	398,2	26	159,6	26	-40,8	26
				i	My	[kNm]	-27,4		-47,6		173,4		-183,0		46,3		-79,5		-139,1		2,0	
				X [m]	Mz	[kNm]	-5,7		-1,0		5,5		-5,6		24,8		-27,5		-14,8		2,2	
				j	Vz	[kN]	-248,3		-17,7		-113,1		192,3		-21,9		261,1		301,4		-394,6	
23	D_3	D_3	PODÉLNÍK 3	PRUT	Nx	[kN]	606,5	25	-132,5	25	374,0	26	251,9	26	263,4	26	340,7	26	261,3	26	331,5	26
				i	My	[kNm]	136,1		-8,2		190,5		-102,9		-35,4		81,2		-59,1		-66,8	
				X [m]	Mz	[kNm]	4,8		0,8		-7,2		7,7		21,5		-17,9		13,5		10,6	
				j	Vz	[kN]	-34,7		-0,8		-146,8		-173,1		-148,2		150,1		265,9		-272,2	
24	D_4	D_4	PODÉLNÍK 4	PRUT	Nx	[kN]	703,0	25	-232,3	25	410,4	26	161,3	26	297,6	26	365,5	26	354,1	26	275,6	26
				i	My	[kNm]	122,0		-7,7		185,7		-114,0		-61,3		75,7		-84,6		-61,3	
				X [m]	Mz	[kNm]	12,5		-2,5		5,2		6,3		26,6		-20,3		17,5		21,9	
				j	Vz	[kN]	-12,3		2,9		64,9		173,2		218,1		-120,5		301,5		-342,7	
25	D_5	D_5	PODÉLNÍK 5	PRUT	Nx	[kN]	660,9	25	-331,0	25	270,2	26	126,1	26	-33,0	26	257,2	26	165,7	26	140,3	26
				i	My	[kNm]	95,0		-29,7		167,2		-129,2		-81,8		50,3		-114,6		-73,3	
				X [m]	Mz	[kNm]	8,2		-0,9		-4,4		17,1		25,9		-18,7		16,5		21,0	
				j	Vz	[kN]	-4,5		12,7		-128,9		256,0		219,3		124,1		295,3		-329,5	
26	D_6	D_6	PODÉLNÍK 6	PRUT	Nx	[kN]	506,6	25	-491,8	25	176,7	26	-184,6	26	-254,9	26	173,0	26	30,0	26	-54,6	26
				i	My	[kNm]	73,4		-63,2		135,9		-175,2		-129,1		23,5		-152,0		-132,9	
				X [m]	Mz	[kNm]	-5,0		-3,8		-1,0		19,9		28,9		-15,5		20,0		21,8	
				j	Vz	[kN]	33,7		5,7		54,6		-277,6		-187,2		179,7		291,7		-342,3	
27	D_7	D_7	PODÉLNÍK 8	PRUT	Nx	[kN]	938,9	25	-538,4	25	448,1	26	-56,5	26	-173,7	26	726,9	26	371,1	26	365,5	26
				i	My	[kNm]	116,6		-71,0		213,4		-208,3		-140,2		-124,6		-131,7		-132,2	
				X [m]	Mz	[kNm]	12,6		-2,4		3,0		-19,4		35,4		-36,8		23,2		16,9	
				j	Vz	[kN]	64,9		6,3		-63,9		242,9		240,9		279,8		389,0		-382,4	
28	D_8	D_8	PODÉLNÍK 8	PRUT	Nx	[kN]	506,4	25	-192,5	25	338,6	26	173,7	26	130,0	26	239,3	26	314,4	26	284,6	26
				i	My	[kNm]	119,7		-8,7		196,0		-106,3		-70,5		88,4		-78,9		-54,4	
				X [m]	Mz	[kNm]	-1,6		1,6		2,7		13,1		25,5		-19,0		17,1		20,9	
				j	Vz	[kN]	73,0		0,6		79,8		147,4		207,4		31,0		307,3		-348,4	
29	D_9	D_9	PODÉLNÍK 9	PRUT	Nx	[kN]	417,3	25	-136,6	25	293,4	26	92,0	26	151,4	26	202,5	26	179,4	26	232,6	26
				i	My	[kNm]	137,6		-8,9		196,7		-109,8		-65,8		81,2		-52,1		-59,1	
				X [m]	Mz	[kNm]	8,3		-3,4		-4,9		8,8		24,8		-18,2		13,2		21,2	
				j	Vz	[kN]	50,9		3,7		-87,6		-170,5		161,5		15,6		286,8		-360,0	
30	D_10	D_10	PODÉLNÍK 10	PRUT	Nx	[kN]	305,2	26	-84,2	25	211,6	26	104,9	26	180,6	26	155,0	26	142,0	26	-15,7	26
				i	My	[kNm]	138,6		-19,5		192,9		-103,5		-57,1		83,8		-40,9		-8,3	
				X [m]	Mz	[kNm]	8,5		-1,9		-5,2		8,1		24,5		-16,5		3,7		2,9	
				j	Vz	[kN]	18,9		-17,5		-93,4		181,8		206,7		163,7		289,1		-416,1	

TAB 3,2 31-40 ROZHODUJÍCÍ LINEÁRNÍ KOMBINACE VNITŘNÍCH SIL Nx, My, Mx, Vz

ZATÍŽENÍ NÁVRHOVÉ HODNOTY

POSUDEK	POSUZOVANÝ PRŮŘEZ				VNITŘNÍ SILY		ROZHODUJÍCÍ KOMBINACE VNITŘNÍCH SIL Nx, My, Mx, Vz - NÁVRHOVÉ HODNOTY															
	Č.	OZN.PRUTU	PRŮŘEZ	POPIS	PRUT - X	VELIČINA	JEDNOTKY	Nx,max	K č.	Nx,min	K č.	My,max	K č.	My,min	K č.	Mz,max	K č.	Mz,min	K č.	Vz,max	K č.	Vz,min
31	S_1	S_1	SVISLICE	PRUT i X [m] j	Nx	[kN]	565,7	26	-88,6	26	461,0	37	69,6	37	103,7	1	103,7	1	439,9	37	57,2	37
					My	[kNm]	0,0		0,0		1,5		-1,5		0,0		0,0		1,2		0,0	
					Mz	[kNm]	0,0		0,0		0,0		0,0		0,0		0,0		0,0		0,0	
					Vz	[kN]	0,0		-0,3		0,0		0,0		0,0		0,0		0,1		-0,7	
32	T_1	T_1	ZTUŽIDLA PODÉLNÍKŮ 1	PRUT i X [m] j	Nx	[kN]	153,0	26	-159,8	26	16,2	1	16,2	1	16,2	1	16,2	1	16,2	1	16,2	1
					My	[kNm]	0,0		0,0		0,0		0,0		0,0		0,0		0,0		0,0	
					Mz	[kNm]	0,0		0,0		0,0		0,0		0,0		0,0		0,0		0,0	
					Vz	[kN]	0,0		0,0		0,0		0,0		0,0		0,0		0,0		0,0	
33	T_2	T_2	ZTUŽIDLA PODÉLNÍKŮ 2	PRUT i X [m] j	Nx	[kN]	153,5	25	-98,0	41	4,9	1	4,9	1	4,9	1	4,9	1	4,9	1	4,9	1
					My	[kNm]	0,0		0,0		0,0		0,0		0,0		0,0		0,0		0,0	
					Mz	[kNm]	0,0		0,0		0,0		0,0		0,0		0,0		0,0		0,0	
					Vz	[kN]	0,0		0,0		0,0		0,0		0,0		0,0		0,0		0,0	
34	T_3	T_3	ZTUŽIDLA PODÉLNÍKŮ 3	PRUT i X [m] j	Nx	[kN]	59,4	42	-172,6	26	-2,8	1	-2,8	1	-2,8	1	-2,8	1	-2,8	1	-2,8	1
					My	[kNm]	0,0		0,0		0,0		0,0		0,0		0,0		0,0		0,0	
					Mz	[kNm]	0,0		0,0		0,0		0,0		0,0		0,0		0,0		0,0	
					Vz	[kN]	0,0		0,0		0,0		0,0		0,0		0,0		0,0		0,0	
35	T_4	T_4	ZTUŽIDLA PODÉLNÍKŮ 4	PRUT i X [m] j	Nx	[kN]	60,9	42	-202,8	26	-6,0	1	-6,0	1	-6,0	1	-6,0	1	-6,0	1	-6,0	1
					My	[kNm]	0,0		0,0		0,0		0,0		0,0		0,0		0,0		0,0	
					Mz	[kNm]	0,0		0,0		0,0		0,0		0,0		0,0		0,0		0,0	
					Vz	[kN]	0,0		0,0		0,0		0,0		0,0		0,0		0,0		0,0	
36	Z_1	Z_1	DOLNÍ ZTUŽENÍ 1	PRUT i X [m] j	Nx	[kN]	890,8	25	-983,5	25	-3,2	1	-3,2	1	-3,2	1	-3,2	1	-3,2	1	-3,2	1
					My	[kNm]	0,0		0,0		0,0		0,0		0,0		0,0		0,0		0,0	
					Mz	[kNm]	0,0		0,0		0,0		0,0		0,0		0,0		0,0		0,0	
					Vz	[kN]	0,0		0,0		0,0		0,0		0,0		0,0		0,0		0,0	
37	Z_2	Z_2	DOLNÍ ZTUŽENÍ 3	PRUT i X [m] j	Nx	[kN]	947,1	25	-575,5	37	59,9	1	59,9	1	59,9	1	59,9	1	59,9	1	59,9	1
					My	[kNm]	0,0		0,0		0,0		0,0		0,0		0,0		0,0		0,0	
					Mz	[kNm]	0,0		0,0		0,0		0,0		0,0		0,0		0,0		0,0	
					Vz	[kN]	0,0		0,0		0,0		0,0		0,0		0,0		0,0		0,0	
38	Z_3	Z_3	DOLNÍ ZTUŽENÍ 3	PRUT i X [m] j	Nx	[kN]	713,6	26	-306,8	26	37,5	1	37,5	1	37,5	1	37,5	1	37,5	1	37,5	1
					My	[kNm]	0,0		0,0		0,0		0,0		0,0		0,0		0,0		0,0	
					Mz	[kNm]	0,0		0,0		0,0		0,0		0,0		0,0		0,0		0,0	
					Vz	[kN]	0,0		0,0		0,0		0,0		0,0		0,0		0,0		0,0	
39	Z_4	Z_4	DOLNÍ ZTUŽENÍ 4	PRUT i X [m] j	Nx	[kN]	838,3	25	-404,6	26	101,5	1	101,5	1	101,5	1	101,5	1	101,5	1	101,5	1
					My	[kNm]	0,0		0,0		0,0		0,0		0,0		0,0		0,0		0,0	
					Mz	[kNm]	0,0		0,0		0,0		0,0		0,0		0,0		0,0		0,0	
					Vz	[kN]	0,0		0,0		0,0		0,0		0,0		0,0		0,0		0,0	
40	Z_5	Z_5	DOLNÍ ZTUŽENÍ 5	PRUT i X [m] j	Nx	[kN]	1024,3	26	-625,9	25	93,6	1	93,6	1	93,6	1	93,6	1	93,6	1	93,6	1
					My	[kNm]	0,0		0,0		0,0		0,0		0,0		0,0		0,0		0,0	
					Mz	[kNm]	0,0		0,0		0,0		0,0		0,0		0,0		0,0		0,0	
					Vz	[kN]	0,0		0,0		0,0		0,0		0,0		0,0		0,0		0,0	

TAB 3,2₄₁₋₁₀ ROZHODUJÍCÍ LINEÁRNÍ KOMBINACE VNITŘNÍCH SIL Nx, My, Mx, Vz

ZATÍŽENÍ NÁVRHOVÉ HODNOTY

POSUDEK	POSUZOVANÝ PRŮŘEZ				VNITŘNÍ SILY		ROZHODUJÍCÍ KOMBINACE VNITŘNÍCH SIL Nx, My, Mx, Vz - NÁVRHOVÉ HODNOTY															
	Č.	OZN.PRUTU	PRŮŘEZ	POPIS	PRUT - X	VELIČINA	JEDNOTKY	Nx,max	K č.	Nx,min	K č.	My,max	K č.	My,min	K č.	Mz,max	K č.	Mz,min	K č.	Vz,max	K č.	Vz,min
41	Z_6	Z_6	DOLNÍ ZTUŽENÍ 6	PRUT	Nx	[kN]	700,4	26	-254,6	42	45,2	1	45,2	1	45,2	1	45,2	1	45,2	1	45,2	1
				i	My	[kNm]	0,0		0,0		0,0		0,0		0,0		0,0		0,0			
				X [m]	Mz	[kNm]	0,0		0,0		0,0		0,0		0,0		0,0		0,0			
				j	Vz	[kN]	0,0		0,0		0,0		0,0		0,0		0,0		0,0			
2	HN_02	HN_02	HLAVNÍ NOSNÍK 2	PRUT	Nx	[kN]	835,9	37	-1267,7	25	-292,2	26	-105,0	41	-344,2	26	-536,0	26	-198,6	26	-269,6	26
				i	My	[kNm]	-151,6		10221,2		17154,8		-5249,7		7284,9		7888,1		6297,7		5041,9	
				X [m]	Mz	[kNm]	-2,5		-2,3		5,0		-15,4		106,7		-158,0		-0,3		-16,8	
				j	Vz	[kN]	10,9		-284,4		286,9		-141,6		-137,2		-276,7		1128,9		-1190,0	
3	HN_03A	HN_03A	HLAVNÍ NOSNÍK 3A	PRUT	Nx	[kN]	7015,6	25	-1427,7	37	2647,4	41	-567,7	25	-768,7	38	537,7	37	-60,1	26	-381,2	26
				i	My	[kNm]	-5026,9		-7731,1		2874,5		-20277,5		-14490,1		-12779,4		-18169,8		-19062,7	
				X [m]	Mz	[kNm]	-28,4		113,1		-11,0		104,0		256,0		-231,9		-25,0		130,3	
				j	Vz	[kN]	891,3		599,7		212,1		-1189,2		-1374,0		1570,6		2393,9		-2254,3	
4	HN_03B	HN_03B	HLAVNÍ NOSNÍK 3B	PRUT	Nx	[kN]	6919,9	25	-1427,7	37	2618,9	25	-567,7	25	-813,9	38	445,7	37	-104,2	26	-381,5	26
				i	My	[kNm]	-2353,0		-7411,4		5084,7		-19238,8		-13763,3		-12088,4		-17155,4		-18002,7	
				X [m]	Mz	[kNm]	-40,8		92,7		-20,6		79,6		199,1		-187,2		-12,1		102,7	
				j	Vz	[kN]	672,8		592,1		635,6		-1190,3		-1402,5		1579,9		2388,7		-2246,5	
5	HN_04	HN_04	HLAVNÍ NOSNÍK 4	PRUT	Nx	[kN]	6669,5	25	-1296,3	25	3755,9	25	2966,2	25	4631,2	25	4778,2	25	2262,2	26	2629,9	26
				i	My	[kNm]	2401,7		-5218,9		10807,8		-12724,8		1030,0		1366,9		-2812,5		-7298,7	
				X [m]	Mz	[kNm]	-34,7		-1,3		46,8		-0,1		137,2		-127,4		13,2		16,9	
				j	Vz	[kN]	-139,5		-105,0		137,0		-523,1		680,1		-763,6		1359,8		-1404,6	
6	HN_05	HN_05	HLAVNÍ NOSNÍK 5	PRUT	Nx	[kN]	6463,1	25	-1213,1	25	4216,0	25	2594,2	25	4666,2	25	5174,9	25	3837,0	26	3697,8	26
				i	My	[kNm]	4815,0		-1815,2		11498,4		-8864,8		-509,7		3079,1		-169,5		-2617,5	
				X [m]	Mz	[kNm]	24,0		12,8		13,9		0,8		100,9		-97,1		-3,5		13,6	
				j	Vz	[kN]	-27,7		41,5		-352,8		-307,2		345,4		-385,2		965,0		-969,4	
7	HN_06	HN_06	PŘÍČNÍK 1	PRUT	Nx	[kN]	6402,3	25	-1105,2	37	4253,4	26	1289,0	41	5157,2	25	5162,3	25	3216,9	25	4379,5	26
				i	My	[kNm]	6791,0		-478,6		10418,3		-5165,7		4099,2		4228,5		1435,3		810,5	
				X [m]	Mz	[kNm]	-47,3		-14,1		-14,9		-10,8		89,7		-93,0		-17,0		27,9	
				j	Vz	[kN]	163,4		21,5		-287,8		400,2		269,4		-275,8		878,3		-886,5	
8	P_1	P_1	PŘÍČNÍK 1	PRUT	Nx	[kN]	11,2	26	-23,8	26	-16,5	26	2,9	26	-19,5	42	-15,4	41	-16,8	26	-12,1	25
				i	My	[kNm]	-9,6		-3,4		98,8		-58,4		1,1		-1,8		5,9		-0,8	
				X [m]	Mz	[kNm]	0,8		1,8		-0,2		0,9		2,2		-2,0		1,1		-1,6	
				j	Vz	[kN]	16,3		23,6		42,0		27,7		31,8		-21,5		44,6		-31,4	
9	P_2	P_2	PŘÍČNÍK 2	PRUT	Nx	[kN]	849,2	26	-698,4	26	71,8	26	-561,0	26	-336,6	25	-197,3	25	-325,3	26	-445,6	26
				i	My	[kNm]	431,7		-629,7		1172,6		-691,5		34,6		97,5		87,1		-131,7	
				X [m]	Mz	[kNm]	4,5		10,1		-6,5		17,7		49,5		-43,4		4,9		-6,3	
				j	Vz	[kN]	59,3		-65,8		-447,6		-88,4		-29,9		-47,9		610,0		-581,2	
10	P_3	P_3	PŘÍČNÍK 3	PRUT	Nx	[kN]	438,3	41	-631,1	26	116,3	26	-285,0	26	-7,9	25	-32,9	25	-271,3	26	-413,0	26
				i	My	[kNm]	306,0		673,5		1134,6		-156,7		122,7		234,2		330,3		335,0	
				X [m]	Mz	[kNm]	19,7		-5,4		6,0		16,3		65,1		-71,8		-14,8		13,3	
				j	Vz	[kN]	11,1		-421,5		-496,3		27,5		-121,5		-180,6		533,0		-566,3	

8.5.

[illegible]

TAB 6 3 A. POSOUZENÍ - 1.MS - ÚNOSNOST

POSUDEK: 3 PRŮŘEZ: HN_03A PRUT X[m]
OZNAČENÍ: HN_03A POPIS: HLAVNÍ NOSNÍK 3A i j

SOUCÍNITEL KOROZE k = 1,00

POUŽITÁ OBLIČNÁ METODA POSUDKU KOMBINACE TLAKU A OHYBU ČSN EN 1993-1-1 6.3.4

Konzervativně uvažován $C_{my}=C_{m1}=1.0$

Pokud se jedná o tah jsou příslušné hodnoty součinitelů rovny 1.0

TAB A		PRŮŘEZOVÉ CHARAKTERISTIKY KRITICKÉHO PRŮŘEZU											
KRITICKÉ BODY PRŮŘEZU PRO POSOUZENÍ NAPĚTÍ		TAH, TLAK N_x			OHYB M_y, M_z						SMYK V_z		
		A_x	$A_{x,at,Nx}$	$A_{x,at,Mx}$	W_y	W_z	$W_{y,at,Mx}$	$W_{y,at,Mz}$	$W_{z,at,Mx}$	$W_{z,at,Mz}$	S_y	I_y	I_z
OZN.	POPIS	[mm ²]	[mm ²]	[mm ²]	[mm ³]	[mm ³]	[mm ³]	[mm ³]	[mm ³]	[mm ³]	[mm ³]	[mm ⁴]	[mm ⁴]
1-DL	bod 1- dolní vlákná průřezu, levý okraj	1.301E+05	1.301E+05	1.301E+05	1.002E+08	3.933E+06	1.002E+08	1.002E+08	3.933E+06	3.933E+06	-	-	-
2-DP	bod 2- dolní vlákná průřezu, levý okraj	1.301E+05	1.301E+05	1.301E+05	1.002E+08	3.933E+06	1.002E+08	1.002E+08	3.933E+06	3.933E+06	-	-	-
3-HL	bod 3- horní vlákná průřezu, levý okraj	1.301E+05	1.301E+05	1.301E+05	-1.043E+08	4.327E+06	-1.043E+08	-1.043E+08	4.327E+06	4.327E+06	-	-	-
4-HP	bod 4- horní vlákná průřezu, pravý okraj	1.301E+05	1.301E+05	1.301E+05	-1.043E+08	4.327E+06	-1.043E+08	-1.043E+08	4.327E+06	4.327E+06	-	-	-
5-SD1	bod 5- dolní vlákná stěny 1	1.301E+05	1.301E+05	1.301E+05	1.030E+08	7.211E+07	1.030E+08	1.030E+08	7.211E+07	7.211E+07	3.164E+07	1.481E+11	30,0
6-SH1	bod 6- horní vlákná stěny 1	1.301E+05	1.301E+05	1.301E+05	1.030E+08	7.211E+07	1.030E+08	1.030E+08	7.211E+07	7.211E+07	3.164E+07	1.481E+11	30,0
7-SD2	bod 7- dolní vlákná stěny 2	1.301E+05	1.301E+05	1.301E+05	-1.081E+08	7.211E+07	-1.081E+08	-1.081E+08	7.211E+07	7.211E+07	3.442E+07	1.481E+11	30,0
8-SH2	bod 8- horní vlákná stěny 2	1.301E+05	1.301E+05	1.301E+05	-1.081E+08	7.211E+07	-1.081E+08	-1.081E+08	7.211E+07	7.211E+07	3.442E+07	1.481E+11	30,0
9-T	bod 9- těžiště plného průřezu	1.301E+05	1.301E+05	1.301E+05	-	-	-	-	-	-	6.162E+07	1.481E+11	30,0

TAB B		STABILITA PRUTU							TAB C		ROZHODUJÍCÍ LINEÁRNÍ KOMBINACE VNITŘNÍCH SIL				
		TLAK - VZPĚR		OHYB - INTERAKCE S TLAKEM+KLOPENÍ					ROUČ. MAT.		Nx, My, Mx, Vz				
POSUDEK		χ	χ	k_{ϕ}	$k_{\phi}=\chi k_{\phi}$	k_{ϕ}	χ	χ	χ	POSUDEK		ŘÍDÍCÍ		K.č.	
NAPĚTÍ		[]	[]	[]	[]	[]	[]	[]	[]	NAPĚTÍ		VNITŘNÍ SÍLA			

TAB 6 4 A. POSOUZENÍ - 1.MS - ÚNOSNOST

POSUDEK: 4 PRŮŘEZ: HN_03B PRUT X[m] X[mm]
OZNAČENÍ: HN_03B POPIS: HLAVNÍ NOSNÍK 3B i j



SOUCÍNITEL KOROZE k = 1,00

POUŽITÁ OBLASTNÍ METODA POSUDKU KOMBINACE TLAKU A OHYBU ČSN EN 1993-1-1 6.3.4

Konzervativně uvažován $C_{my}=C_{m1}=1.0$

Pokud se jedná o tah jsou příslušné hodnoty součinitelů rovny 1.0

TAB A	PRŮŘEZOVÉ CHARAKTERISTIKY KRITICKÉHO PRŮŘEZU											
	TAH, TLAK N_x			OHYB M_y, M_z						SMYK V_z		
	A_x	$A_{y,at,Nx}$	$A_{z,at,Nx}$	W_y	W_z	W_{y,at,M_y}	W_{y,at,M_z}	W_{z,at,M_y}	W_{z,at,M_z}	S_y	I_y	I_z
OZN. POPIS	[mm ²]	[mm ²]	[mm ²]	[mm ³]	[mm ³]	[mm ³]	[mm ³]	[mm ³]	[mm ³]	[mm ³]	[mm ⁴]	[mm ⁴]
1-DL bod 1- dolní vlákná průřezu, levý okraj	1,024E+05	1,024E+05	1,024E+05	8,749E+07	3,917E+08	8,749E+07	8,749E+07	3,917E+08	3,917E+08	-	-	-
2-DP bod 2- dolní vlákná průřezu, pravý okraj	1,024E+05	1,024E+05	1,024E+05	8,749E+07	3,917E+08	8,749E+07	8,749E+07	3,917E+08	3,917E+08	-	-	-
3-HL bod 3- horní vlákná průřezu, levý okraj	1,024E+05	1,024E+05	1,024E+05	8,219E+07	4,309E+08	8,219E+07	8,219E+07	4,309E+08	4,309E+08	-	-	-
4-HP bod 4- horní vlákná průřezu, pravý okraj	1,024E+05	1,024E+05	1,024E+05	8,219E+07	4,309E+08	8,219E+07	8,219E+07	4,309E+08	4,309E+08	-	-	-
5-SD1 bod 5- dolní vlákná stěny 1	1,024E+05	1,024E+05	1,024E+05	8,994E+07	1,077E+08	8,994E+07	8,994E+07	1,077E+08	1,077E+08	3,194E+07	1,284E+11	20,0
6-SH1 bod 6- horní vlákná stěny 1	1,024E+05	1,024E+05	1,024E+05	8,994E+07	1,077E+08	8,994E+07	8,994E+07	1,077E+08	1,077E+08	3,194E+07	1,284E+11	20,0
7-SD2 bod 7- dolní vlákná stěny 2	1,024E+05	1,024E+05	1,024E+05	8,962E+07	1,077E+08	8,962E+07	8,962E+07	1,077E+08	1,077E+08	3,419E+07	1,284E+11	20,0
8-SH2 bod 8- horní vlákná stěny 2	1,024E+05	1,024E+05	1,024E+05	8,962E+07	1,077E+08	8,962E+07	8,962E+07	1,077E+08	1,077E+08	3,419E+07	1,284E+11	20,0
9-T bod 9- těžiště plného průřezu	1,024E+05	1,024E+05	1,024E+05	-	-	-	-	-	-	5,222E+07	1,284E+11	20,0

TAB B	STABILITA PRUTU							TAB C	ROZHODUJÍCÍ LINEÁRNÍ KOMBINACE VNITŘNÍCH SIL					
	TLAK - VZPĚR		OHYB - INTERAKCE S TLAKEM+KLOPENÍ				ROUČ. MAT		Nx, My, Mz, Vz					
	k_{ϕ}	$k_{\phi,cr}$	k_{ϕ}	$k_{\phi,cr}$	k_{ϕ}	$k_{\phi,cr}$	k_{ϕ}		Nx	My	Mz	Vz	K	
POSUDEK NAPĚTÍ	$\frac{N}{N_{lim}}$	$\frac{M}{M_{lim}}$	$\frac{N}{N_{lim}}$	$\frac{M}{M_{lim}}$	$\frac{N}{N_{lim}}$	$\frac{M}{M_{lim}}$	$\frac{N}{N_{lim}}$	NAPĚTÍ	VNITŘNÍ SÍLA	[kN]	[kNm]	[kNm]	[kN]	
A	1,000	1,000	1,000	1,000	1,000	1,000	1,000	A	Nx,max	6 114,4	-1 983,9	-36,3	685,7	25
B	1,000	1,000	1,001	1,006	0,999	1,000	1,000	B	Nx,min	-1 347,7	-6 702,0	96,6	481,8	37
C	1,000	1,000	1,000	1,000	1,000	1,000	1,000	C	My,max	2 203,7	4 090,5	-26,5	413,9	41
D	1,000	1,000	1,000	1,002	1,000	1,000	1,000	D	My,min	-535,1	-16 716,7	62,3	-845,7	25
E	1,000	1,000	1,000	1,003	1,000	1,000	1,000	E	Mz,max	-760,7	-12 960,2	178,1	-1 285,2	38
F	1,000	1,000	1,000	1,000	1,000	1,000	1,000	F	Mz,min	464,1	-11 584,8	-166,5	1 483,3	37
G	1,000	1,000	1,000	1,001	1,000	1,000	1,000	G	Vz,max	-118,4	-15 469,1	-22,9	1 963,9	26
H	1,000	1,000	1,000	1,001	1,000	1,000	1,000	H	Vz,min	-323,1	-16 177,6	90,1	-1 842,4	26
ZATÍŽITELNOST 	1,000	1,000	1,000	1,004	1,000	1,000	1,000							
ZATÍŽITELNOST 	1,000	1,000	1,000	1,004	1,000	1,000	1,000							

TAB D		PŘEHLED NAPĚTÍ V KRITICKÝCH BODECH PRŮŘEZU OD ROZHODUJÍCÍ LINEÁRNÍ KOMBINACE ZATÍŽENÍ																																																																																																																																																																																																																																																																																																																																																																																																																																																																																																																																																																																																																																																																																																																																																																																										
KRITICKÉ BODY PRŮŘEZU PRO POSOUZENÍ NAPĚTÍ		POSUDEK A				POSUDEK B				POSUDEK C				POSUDEK D				POSUDEK E				POSUDEK F				POSUDEK G				POSUDEK H				MAXIMÁLNÍ HODNOTY NAPĚTÍ V KRITICKÝCH BODECH PRŮŘEZU																																																																																																																																																																																																																																																																																																																																																																																																																																																																																																																																																																																																																																																																																																																																																										
		σ_x	σ_y	σ_z	τ_{xy}	σ_x	σ_y	σ_z	τ_{xy}	σ_x	σ_y	σ_z	τ_{xy}	σ_x	σ_y	σ_z	τ_{xy}	σ_x	σ_y	σ_z	τ_{xy}	σ_x	σ_y	σ_z	τ_{xy}	σ_x	σ_y	σ_z	τ_{xy}	σ_{MAX}	f_{yk}	$f_{yk}^{0,95}$	σ_{MAX}	f_{yk}	ROZHODUJE																																																																																																																																																																																																																																																																																																																																																																																																																																																																																																																																																																																																																																																																																																																																																									
OZN.	POPIS	[MPa]	[MPa]	[MPa]	[MPa]	[MPa]	[MPa]	[MPa]	[MPa]	[MPa]	[MPa]	[MPa]	[MPa]	[MPa]	[MPa]	[MPa]	[MPa]	[MPa]	[MPa]	[MPa]	[MPa]	[MPa]	[MPa]	[MPa]	[MPa]	[MPa]	[MPa]	[MPa]	[MPa]	[MPa]	[MPa]	[MPa]	[MPa]	[MPa]	[MPa]	[MPa]	[MPa]	[MPa]	[MPa]	[MPa]	[MPa]	[MPa]	[MPa]	[MPa]	[MPa]	[MPa]	[MPa]	[MPa]	[MPa]	[MPa]	[MPa]	[MPa]	[MPa]	[MPa]	[MPa]	[MPa]	[MPa]	[MPa]	[MPa]	[MPa]	[MPa]	[MPa]	[MPa]	[MPa]	[MPa]	[MPa]	[MPa]	[MPa]	[MPa]	[MPa]	[MPa]	[MPa]	[MPa]	[MPa]	[MPa]	[MPa]	[MPa]	[MPa]	[MPa]	[MPa]	[MPa]	[MPa]	[MPa]	[MPa]	[MPa]	[MPa]	[MPa]	[MPa]	[MPa]	[MPa]	[MPa]	[MPa]	[MPa]	[MPa]	[MPa]	[MPa]	[MPa]	[MPa]	[MPa]	[MPa]	[MPa]	[MPa]	[MPa]	[MPa]	[MPa]	[MPa]	[MPa]	[MPa]	[MPa]	[MPa]	[MPa]	[MPa]	[MPa]	[MPa]	[MPa]	[MPa]	[MPa]	[MPa]	[MPa]	[MPa]	[MPa]	[MPa]	[MPa]	[MPa]	[MPa]	[MPa]	[MPa]	[MPa]	[MPa]	[MPa]	[MPa]	[MPa]	[MPa]	[MPa]	[MPa]	[MPa]	[MPa]	[MPa]	[MPa]	[MPa]	[MPa]	[MPa]	[MPa]	[MPa]	[MPa]	[MPa]	[MPa]	[MPa]	[MPa]	[MPa]	[MPa]	[MPa]	[MPa]	[MPa]	[MPa]	[MPa]	[MPa]	[MPa]	[MPa]	[MPa]	[MPa]	[MPa]	[MPa]	[MPa]	[MPa]	[MPa]	[MPa]	[MPa]	[MPa]	[MPa]	[MPa]	[MPa]	[MPa]	[MPa]	[MPa]	[MPa]	[MPa]	[MPa]	[MPa]	[MPa]	[MPa]	[MPa]	[MPa]	[MPa]	[MPa]	[MPa]	[MPa]	[MPa]	[MPa]	[MPa]	[MPa]	[MPa]	[MPa]	[MPa]	[MPa]	[MPa]	[MPa]	[MPa]	[MPa]	[MPa]	[MPa]	[MPa]	[MPa]	[MPa]	[MPa]	[MPa]	[MPa]	[MPa]	[MPa]	[MPa]	[MPa]	[MPa]	[MPa]	[MPa]	[MPa]	[MPa]	[MPa]	[MPa]	[MPa]	[MPa]	[MPa]	[MPa]	[MPa]	[MPa]	[MPa]	[MPa]	[MPa]	[MPa]	[MPa]	[MPa]	[MPa]	[MPa]	[MPa]	[MPa]	[MPa]	[MPa]	[MPa]	[MPa]	[MPa]	[MPa]	[MPa]	[MPa]	[MPa]	[MPa]	[MPa]	[MPa]	[MPa]	[MPa]	[MPa]	[MPa]	[MPa]	[MPa]	[MPa]	[MPa]	[MPa]	[MPa]	[MPa]	[MPa]	[MPa]	[MPa]	[MPa]	[MPa]	[MPa]	[MPa]	[MPa]	[MPa]	[MPa]	[MPa]	[MPa]	[MPa]	[MPa]	[MPa]	[MPa]	[MPa]	[MPa]	[MPa]	[MPa]	[MPa]	[MPa]	[MPa]	[MPa]	[MPa]	[MPa]	[MPa]	[MPa]	[MPa]	[MPa]	[MPa]	[MPa]	[MPa]	[MPa]	[MPa]	[MPa]	[MPa]	[MPa]	[MPa]	[MPa]	[MPa]	[MPa]	[MPa]	[MPa]	[MPa]	[MPa]	[MPa]	[MPa]	[MPa]	[MPa]	[MPa]	[MPa]	[MPa]	[MPa]	[MPa]	[MPa]	[MPa]	[MPa]	[MPa]	[MPa]	[MPa]	[MPa]	[MPa]	[MPa]	[MPa]	[MPa]	[MPa]	[MPa]	[MPa]	[MPa]	[MPa]	[MPa]	[MPa]	[MPa]	[MPa]	[MPa]	[MPa]	[MPa]	[MPa]	[MPa]	[MPa]	[MPa]	[MPa]	[MPa]	[MPa]	[MPa]	[MPa]	[MPa]	[MPa]	[MPa]	[MPa]	[MPa]	[MPa]	[MPa]	[MPa]	[MPa]	[MPa]	[MPa]	[MPa]	[MPa]	[MPa]	[MPa]	[MPa]	[MPa]	[MPa]	[MPa]	[MPa]	[MPa]	[MPa]	[MPa]	[MPa]	[MPa]	[MPa]	[MPa]	[MPa]	[MPa]	[MPa]	[MPa]	[MPa]	[MPa]	[MPa]	[MPa]	[MPa]	[MPa]	[MPa]	[MPa]	[MPa]	[MPa]	[MPa]	[MPa]	[MPa]	[MPa]	[MPa]	[MPa]	[MPa]	[MPa]	[MPa]	[MPa]	[MPa]	[MPa]	[MPa]	[MPa]	[MPa]	[MPa]	[MPa]	[MPa]	[MPa]	[MPa]	[MPa]	[MPa]	[MPa]	[MPa]	[MPa]	[MPa]	[MPa]	[MPa]	[MPa]	[MPa]	[MPa]	[MPa]	[MPa]	[MPa]	[MPa]	[MPa]	[MPa]	[MPa]	[MPa]	[MPa]	[MPa]	[MPa]	[MPa]	[MPa]	[MPa]	[MPa]	[MPa]	[MPa]	[MPa]	[MPa]	[MPa]	[MPa]	[MPa]	[MPa]	[MPa]	[MPa]	[MPa]	[MPa]	[MPa]	[MPa]	[MPa]	[MPa]	[MPa]	[MPa]	[MPa]	[MPa]	[MPa]	[MPa]	[MPa]	[MPa]	[MPa]	[MPa]	[MPa]	[MPa]	[MPa]	[MPa]	[MPa]	[MPa]	[MPa]	[MPa]	[MPa]	[MPa]	[MPa]	[MPa]	[MPa]	[MPa]	[MPa]	[MPa]	[MPa]	[MPa]	[MPa]	[MPa]	[MPa]	[MPa]	[MPa]	[MPa]	[MPa]	[MPa]	[MPa]	[MPa]	[MPa]	[MPa]	[MPa]	[MPa]	[MPa]	[MPa]	[MPa]	[MPa]	[MPa]	[MPa]	[MPa]	[MPa]	[MPa]	[MPa]	[MPa]	[MPa]	[MPa]	[MPa]	[MPa]	[MPa]	[MPa]	[MPa]	[MPa]	[MPa]	[MPa]	[MPa]	[MPa]	[MPa]	[MPa]	[MPa]	[MPa]	[MPa]	[MPa]	[MPa]	[MPa]	[MPa]	[MPa]	[MPa]	[MPa]	[MPa]	[MPa]	[MPa]	[MPa]	[MPa]	[MPa]	[MPa]	[MPa]	[MPa]	[MPa]	[MPa]	[MPa]	[MPa]	[MPa]	[MPa]	[MPa]	[MPa]	[MPa]	[MPa]	[MPa]	[MPa]	[MPa]	[MPa]	[MPa]	[MPa]	[MPa]	[MPa]	[MPa]	[MPa]	[MPa]	[MPa]	[MPa]	[MPa]	[MPa]	[MPa]	[MPa]	[MPa]	[MPa]	[MPa]	[MPa]	[MPa]	[MPa]	[MPa]	[MPa]	[MPa]	[MPa]	[MPa]	[MPa]	[MPa]	[MPa]	[MPa]	[MPa]	[MPa]	[MPa]	[MPa]	[MPa]	[MPa]	[MPa]	[MPa]	[MPa]	[MPa]	[MPa]	[MPa]	[MPa]	[MPa]	[MPa]	[MPa]	[MPa]	[MPa]	[MPa]	[MPa]	[MPa]	[MPa]	[MPa]	[MPa]	[MPa]	[MPa]	[MPa]	[MPa]	[MPa]	[MPa]	[MPa]	[MPa]	[MPa]	[MPa]	[MPa]	[MPa]	[MPa]	[MPa]	[MPa]	[MPa]	[MPa]	[MPa]	[MPa]	[MPa]	[MPa]	[MPa]	[MPa]	[MPa]	[MPa]	[MPa]	[MPa]	[MPa]	[MPa]	[MPa]	[MPa]	[MPa]	[MPa]	[MPa]	[MPa]	[MPa]	[MPa]	[MPa]	[MPa]	[MPa]	[MPa]	[MPa]	[MPa]	[MPa]	[MPa]	[MPa]	[MPa]	[MPa]	[MPa]	[MPa]	[MPa]	[MPa]	[MPa]	[MPa]	[MPa]	[MPa]	[MPa]	[MPa]	[MPa]	[MPa]	[MPa]	[MPa]	[MPa]	[MPa]	[MPa]	[MPa]	[MPa]	[MPa]	[MPa]	[MPa]	[MPa]	[MPa]	[MPa]	[MPa]	[MPa]	[MPa]	[MPa]	[MPa]	[MPa]	[MPa]	[MPa]	[MPa]	[MPa]	[MPa]	[MPa]	[MPa]	[MPa]	[MPa]	[MPa]	[MPa]	[MPa]	[MPa]	[MPa]	[MPa]	[MPa]	[MPa]	[MPa]	[MPa]	[MPa]	[MPa]	[MPa]	[MPa]	[MPa]	[MPa]	[MPa]	[MPa]	[MPa]	[MPa]	[MPa]	[MPa]	[MPa]	[MPa]	[MPa]	[MPa]	[MPa]	[MPa]	[MPa]	[MPa]	[MPa]	[MPa]	[MPa]	[MPa]	[MPa]	[MPa]	[MPa]	[MPa]	[MPa]	[MPa]	[MPa]	[MPa]	[MPa]	[MPa]	[MPa]	[MPa]	[MPa]	[MPa]	[MPa]	[MPa]	[MPa]	[MPa]	[MPa]	[MPa]	[MPa]	[MPa]	[MPa]	[MPa]	[MPa]	[MPa]	[MPa]	[MPa]	[MPa]	[MPa]	[MPa]	[MPa]	[MPa]	[MPa]	[MPa]	[MPa]	[MPa]	[MPa]	[MPa]	[MPa]	[MPa]	[MPa]	[

TAB 7 4 B. ZATÍŽITELNOST - 1.MS - ÚNOSNOST

TAB E		1. ZATÍŽITELNOST - NORMÁLOVÉ NAPĚTÍ											KZ č. 25				2. ZATÍŽITELNOST - SMYKOVÉ NAPĚTÍ											KZ č. 26				3. ZATÍŽITELNOST - SROVNÁVACÍ NAPĚTÍ											KZ č. 25																																																																																																																																																																																																																																																																																																																																																																																																																																																																																																																																																																																																																																																																																																																																																																																																																																																																																																																																																																																																																																																																																																																																																																																																																																																																																																																																						
SKUPINA		Nx	My	Mz		Nx	My	Mz																																																																																																																																																																																																																																																																																																																																																																																																																																																																																																																																																																																																																																																																																																																																																																																																																																																																																																																																																																																																																																																																																																																																																																																																																																																																																																																																																																									

Pokud se jedná o tah jsou příslušné hodnoty součinitelů rovny 1.0

TAB G	B. ZATÍŽITELNOST - 1.MS - ÚŠNOST			
DRUH NAPĚTÍ	1. NORMÁLOVÉ σ_n	2. SMYKOVÉ τ	3. SROVNÁVACÍ σ_n	4. MINIMUM 1-3
ZATÍŽITELNOST Z_p	1,60	>5	1,60	1,60
POSUDEK NAPĚTÍ	D	H	D	D
ŘÍDÍCÍ VNITŘNÍ SÍLA	My,min	Vz,min	My,min	My,min
KRITICKÝ BOD PRŮŘEZU	4-HP	9-T	4-HP	4-HP
LINEÁRNÍ KOMBINACE	26	26	26	26

Pokud se jedná o tah jsou příslušné hodnoty součinitelů rovny 1.0

TAB G	B. ZATÍŽITELNOST - 1.MS - ÚNOSNOST			
DRUH NAPĚTÍ	1. NORMÁLOVÉ σ_x	2. SMYKOVÉ τ	3. SROVNÁVACÍ σ_a	4. MINIMUM 1-3
ZATÍŽITELNOST Z_p	2,16	>5	2,16	2,16
POSUDEK NAPĚTÍ	C	G	C	C
ŘÍDICÍ VNITŘNÍ SÍLA	My,max	Vz,max	My,max	My,max
KRITICKÝ BOD PRŮŘEZU	1-DL	9-T	1-DL	1-DL
LINEÁRNÍ KOMBINACE	25	26	25	25

TAB 6 7 A. POSOUZENÍ - 1.MS - ÚNOSNOST

POSUDEK: 7 PRŮŘEZ: HN_06 PRUT X[m] OZNAČENÍ: HN_06 POPIS: HLAVNÍ NOSNÍK 6 i j

SOUCÍNITEL KOROZE k = 1,00

POUŽITÁ OBLIČNÁ METODA POSUDKU KOMBINACE TLAKU A OHYBU ČSN EN 1993-1-1 6.3.4

Konzervativně uvažován C_{int}=C_{int,L}=1.0

Pokud se jedná o tah jsou příslušné hodnoty součinitelů rovny 1.0

TAB A	PRŮŘEZOVÉ CHARAKTERISTIKY KRITICKÉHO PRŮŘEZU											
	TAH, TLAK N _x			OHYB M _y , M _z						SMYK V _z		
	A _x	A _y at N _x	A _z at N _x	W _y	W _z	W _{pl,y} at M _y	W _{pl,z} at M _y	W _{pl,y} at M _z	W _{pl,z} at M _z	S _y	I _y	I _z
OZN. POPIS	[mm ²]	[mm ²]	[mm ²]	[mm ³]	[mm ³]	[mm ³]	[mm ³]	[mm ³]	[mm ³]	[mm ³]	[mm ⁴]	[mm ⁴]
1-DL bod 1- dolní vlákna průřezu, levý okraj	1,024E+05	1,024E+05	1,024E+05	1,053E+08	4,807E+08	1,053E+08	1,053E+08	4,807E+08	4,807E+08	-	-	-
2-DP bod 2- dolní vlákna průřezu, pravý okraj	1,024E+05	1,024E+05	1,024E+05	1,053E+08	4,808E+08	1,053E+08	1,053E+08	4,808E+08	4,808E+08	-	-	-
3-HL bod 3- horní vlákna průřezu, levý okraj	1,024E+05	1,024E+05	1,024E+05	-8,317E+07	6,248E+08	-8,317E+07	-8,317E+07	6,248E+08	6,248E+08	-	-	-
4-HP bod 4- horní vlákna průřezu, pravý okraj	1,024E+05	1,024E+05	1,024E+05	-8,317E+07	6,248E+08	-8,317E+07	-8,317E+07	6,248E+08	6,248E+08	-	-	-
5-SD1 bod 5- dolní vlákna stěny 1	1,024E+05	1,024E+05	1,024E+05	1,097E+08	1,734E+08	1,097E+08	1,097E+08	1,734E+08	1,734E+08	4,020E+07	1,329E+11	18,0
6-SH1 bod 6- horní vlákna stěny 1	1,024E+05	1,024E+05	1,024E+05	1,097E+08	-1,737E+08	1,097E+08	1,097E+08	-1,737E+08	-1,737E+08	4,020E+07	1,329E+11	18,0
7-SD2 bod 7- dolní vlákna stěny 2	1,024E+05	1,024E+05	1,024E+05	-8,530E+07	1,734E+08	-8,530E+07	-8,530E+07	1,734E+08	1,734E+08	3,159E+07	1,329E+11	18,0
8-SH2 bod 8- horní vlákna stěny 2	1,024E+05	1,024E+05	1,024E+05	-8,530E+07	-1,737E+08	-8,530E+07	-8,530E+07	-1,737E+08	-1,737E+08	3,159E+07	1,329E+11	18,0
9-T bod 9- těžiště plného průřezu	1,024E+05	1,024E+05	1,024E+05	-	-	-	-	-	-	5,341E+07	1,329E+11	18,0

TAB B	STABILITA PRUTU								TAB C						ROZHODUJÍCÍ LINEÁRNÍ KOMBINACE VNITŘNÍCH SIL				
	TLAK - VZPĚR				OHYB - INTERAKCE S TLAKEM+KLOPENÍ				ROUČ. MAT		POSUDEK				N _x , M _y , M _z , V _z				
	POSUDEK	☒	☒	☒	k _φ	k _φ =k _κ	k _φ	☒	☒	☒	POSUDEK	ŘÍDÍCÍ	VNITŘNÍ SÍLA		N _x	M _y	M _z	V _z	K.č.
NAPĚTÍ	☒	☒	☒	☒	☒	☒	☒	☒	☒	☒	NAPĚTÍ	☒	☒		[kN]	[kNm]	[kNm]	[kN]	[-]
A	1,000	1,000	1,000	1,000	1,000	1,000	1,000	1,000	1,000	1,000	A	N _{x,max}	5 672,4		6 058,7	-41,7	39,4	25	
B	1,000	0,945	1,004	1,009	0,999	1,000	1,083	B	N _{x,min}	-976,3	-570,7	-13,8	37,2	37					
C	1,000	1,000	1,000	1,000	1,000	1,000	1,000	C	M _{y,max}	3 721,6	8 364,9	-14,2	-176,7	26					
D	1,000	1,000	1,000	1,000	1,000	1,000	1,000	D	M _{y,min}	930,1	-4 471,2	-11,0	339,4	41					
E	1,000	1,000	1,000	1,000	1,000	1,000	1,000	E	M _{z,max}	4 585,0	3 357,0	83,0	145,7	25					
F	1,000	1,000	1,000	1,000	1,000	1,000	1,000	F	M _{z,min}	4 612,2	3 456,7	-86,3	-154,6	25					
G	1,000	1,000	1,000	1,000	1,000	1,000	1,000	G	V _{z,max}	2 676,0	739,7	-17,0	701,0	25					
H	1,000	1,000	1,000	1,000	1,000	1,000	1,000	H	V _{z,min}	3 850,7	69,3	28,2	-707,6	26					
ZATÍŽITELNOST	1,000	1,000	1,000	1,000	1,000	1,000	1,000												
ZATÍŽITELNOST	1,000	1,000	1,000	1,000	1,000	1,000	1,000												

TAB D		PŘEHLED NAPĚTÍ V KRITICKÝCH BODECH PRŮŘEZU OD ROZHODUJÍCÍ LINEÁRNÍ KOMBINACE ZATÍŽENÍ																																																																																																																																																																																																																																																																																																																																																																																											
KRITICKÉ BODY PRŮŘEZU PRO POSOUZENÍ NAPĚTÍ		POSUDEK A		POSUDEK B		POSUDEK C		POSUDEK D		POSUDEK E		POSUDEK F		POSUDEK G		POSUDEK H		MAXIMÁLNÍ HODNOTY NAPĚTÍ V KRITICKÝCH BODECH PRŮŘEZU																																																																																																																																																																																																																																																																																																																																																																											

TAB 7 7 B. ZATÍŽITELNOST - 1.MS - ÚNOSNOST

TAB E		1. ZATÍŽITELNOST - NORMÁLOVÉ NAPĚTÍ												2. ZATÍŽITELNOST - SMYKOVÉ NAPĚTÍ												3. ZATÍŽITELNOST - SROVNÁVACÍ NAPĚTÍ													
		KZ č. 26												KZ č. 26												KZ č. 26													
SKUPINA		N _x	M _y	M _z	☐	☐* N _x	☐* M _y	☐* M _z	☐ _{Nx}	☐ _{My}	☐ _{Mz}	☐	ZATÍŽITELNOST			V _z	☐	☐* V _z	☐	ZATÍŽITELNOST			N _x	M _y	M _z	V _z	☐	☐* N _x	☐* M _y	☐* M _z	☐* V _z	☐ _{Nx}	☐ _{My}	☐ _{Mz}	☐	☐	ZATÍŽITELNOST		
ZATĚŽ STAVŮ		[kN]	[kNm]	[kNm]	[-]	[kN]	[kNm]	[kNm]	[MPa]	[MPa]	[MPa]	[MPa]	[-]	[-]	[kN]	[-]	[kN]	[MPa]	[-]	[-]	[kN]	[kNm]	[kNm]	[kN]	[-]	[kN]	[kNm]	[kNm]	[kN]	[MPa]	[MPa]	[MPa]	[MPa]	[MPa]	[MPa]	[-]	[-]	[-]	
☐ ₁ (E+E ₁)	G	1 515,4	1 974,3	-3,1	0,85	1 288,1	1 678,1	-2,6	12,6	15,9	0,5	29,1	R ₊	213,6 MPa	-121,8	0,85	-103,5	2,3	R ₋	123,3 MPa	1 515,4	1 974,3	-3,1	33,9	0,85	1 288,1	1 678,1	-2,6	28,8	12,6	15,9	0,5	29,1	0,0	29,1	R ₋	213,6 MPa		
	CH	0,0	0,0	0,0	0,00	0,0	0,0	0,0	0,0	0,0	0,0	0,0	☐ _{K,FS}	43,2 MPa	0,0	0,00	0,0	0,0	☐ _{FS}	3,2 MPa	0,0	0,0	0,0	0,0	0,0	0,0	0,0	0,0	0,0	0,0	0,0	0,0	0,0	0,0	0,0	☐ _{K,FS}	43,2 MPa		
	W-P	499,3	555,5	-14,3	0,50	249,6	277,8	-7,2	2,4	2,6	1,5	6,6	☐ _{FS}	43,2 MPa	-29,5	0,50	-14,7	0,3	☐ _{FS}	3,2 MPa	499,3	555,5	-14,3	-11,0	0,50	249,6	277,8	-7,2	-5,5	2,4	2,6	1,5	6,6	0,0	6,6	☐ _{FS}	0,0 MPa		
	RL	0,0	0,0	0,0	0,00	0,0	0,0	0,0	0,0	0,0	0,0	0,0	☐ _{LM1+}	64,2 MPa	0,0	0,00	0,0	0,0	☐ _{LM1+}	12,6 MPa	0,0	0,0	0,0	0,0	0,0	0,0	0,0	0,0	0,0	0,0	0,0	0,0	0,0	0,0	0,0	☐ _{LM1+}	0,0 MPa		
	T-N	0,0	0,0	0,0	0,00	0,0	0,0	0,0	0,0	0,0	0,0	0,0	☐ _{LM1+}	64,2 MPa	0,0	0,00	0,0	0,0	☐ _{LM1+}	12,6 MPa	0,0	0,0	0,0	0,0	0,0	0,0	0,0	0,0	0,0	0,0	0,0	0,0	0,0	0,0	0,0	☐ _{LM1+}	0,0 MPa		
	O	-8,1	66,2	-0,9	1,00	-8,1	66,2	-0,9	-0,1	0,6	0,2	0,7	0,0	Z _{LM1+}	2,48	-6,2	1,00	-6,2	0,1	0,0	≥5	868,3	155,5	31,7	-15,0	0,50	434,1	77,7	15,8	-7,5	4,2	0,7	-3,3	1,7	0,0	1,7	Z _{LM1+}	2,48	
	B	868,3	155,5	31,7	0,50	434,1	77,7	15,8	4,2	0,7	-3,3	1,7	Z _{LM1+}	2,48	-10,6	1,00	-10,6	0,2	0,0	114,6	144,8	-12,6	-8,8	1,00	114,6	144,8	-12,6	-8,8	1,1	1,4	2,6	5,1	0,0	5,1	☐ _{LM1+}	64,2 MPa			
	S	114,6	144,8	-12,6	1,00	114,6	144,8	-12,6	1,1	1,4	2,6	5,1	☐ _{LM1+}	64,2 MPa	0,0	0,00	0,0	0,0	☐ _{LM1+}	12,6 MPa	0,0	0,0	0,0	0,0	0,0	0,0	0,0	0,0	0,0	0,0	0,0	0,0	0,0	0,0	0,0	0,0	☐ _{LM1+}	0,0 MPa	
K	0,0	0,0	0,0	0,00	0,0	0,0	0,0	0,0	0,0	0,0	0,0	☐ _{LM1+}	64,2 MPa	0,0	0,00	0,0	0,0	☐ _{LM1+}	12,6 MPa	0,0	0,0	0,0	0,0	0,0	0,0	0,0	0,0	0,0	0,0	0,0	0,0	0,0	0,0	0,0	0,0	☐ _{LM1+}	0,0 MPa		
☐ _{LM1,FS}	R2	1 602,0	4 926,8	-8,7	1,00	1 602,0	4 926,8	-8,7	15,7	46,8	1,8	64,2	☐ _{LM1,FS}	64,2 MPa	-564,1	1,00	-564,1	12,6	☐ _{LM1,FS}	12,6 MPa	1 602,0	4 926,8	-8,7	-186,4	1,00	1 602,0	4 926,8	-8,7	-186,4	15,7	46,8	1,8	64,2	0,0	64,2	☐ _{LM1,FS}	64,2 MPa		

TAB 6 8 A. POSOUZENÍ - 1.MS - ÚNOSNOST

POSUDEK: 8 PRŮŘEZ: P_1 PRUT X[m] OZNAČENÍ: P_1 POPIS: PŘÍČNÍK 1 i j

SOUCÍNITEL KOROZE k = 1,00

POUŽITÁ OBLIČNÁ METODA POSUDKU KOMBINACE TLAKU A OHYBU ČSN EN 1993-1-1 6.3.4

Konzervativně uvažován C_{my}=C_{myL}=1.0

Pokud se jedná o tah jsou příslušné hodnoty součinitelů rovny 1.0

TAB A	PRŮŘEZOVÉ CHARAKTERISTIKY KRITICKÉHO PRŮŘEZU											
	TAH, TLAK N _x			OHYB M _y , M _z						SMYK V _z		
	PRO POSOUZENÍ NAPĚTÍ											
	A _x	A _y	A _{rot}	W _y	W _z	W _y	W _z	W _y	W _z	S _y	I _y	I _z
OZN. POPIS	[mm ²]	[mm ²]	[mm ²]	[mm ³]	[mm ³]	[mm ³]	[mm ³]	[mm ³]	[mm ³]	[mm ³]	[mm ⁴]	[mm ⁴]
1-DL bod 1- dolní vlákná průřezu, levý okraj	1,101E+04	1,101E+04	1,101E+04	2,642E+06	1,603E+05	2,642E+06	2,642E+06	1,603E+05	1,603E+05	-	-	-
2-DP bod 2- dolní vlákná průřezu, pravý okraj	1,101E+04	1,101E+04	1,101E+04	2,642E+06	1,603E+05	2,642E+06	2,642E+06	1,603E+05	1,603E+05	-	-	-
3-HL bod 3- horní vlákná průřezu, levý okraj	1,101E+04	1,101E+04	1,101E+04	2,642E+06	1,603E+05	2,642E+06	2,642E+06	1,603E+05	1,603E+05	-	-	-
4-HP bod 4- horní vlákná průřezu, pravý okraj	1,101E+04	1,101E+04	1,101E+04	2,642E+06	1,603E+05	2,642E+06	2,642E+06	1,603E+05	1,603E+05	-	-	-
5-SD1 bod 5- dolní vlákná stěny 1	1,101E+04	1,101E+04	1,101E+04	2,723E+06	4,008E+05	2,723E+06	2,723E+06	4,008E+05	4,008E+05	9,456E+05	1,057E+09	8,0
6-SH1 bod 6- horní vlákná stěny 1	1,101E+04	1,101E+04	1,101E+04	2,723E+06	4,008E+05	2,723E+06	2,723E+06	4,008E+05	4,008E+05	9,456E+05	1,057E+09	8,0
7-SD2 bod 7- dolní vlákná stěny 2	1,101E+04	1,101E+04	1,101E+04	2,723E+06	4,008E+05	2,723E+06	2,723E+06	4,008E+05	4,008E+05	9,456E+05	1,057E+09	8,0
8-SH2 bod 8- horní vlákná stěny 2	1,101E+04	1,101E+04	1,101E+04	2,723E+06	4,008E+05	2,723E+06	2,723E+06	4,008E+05	4,008E+05	9,456E+05	1,057E+09	8,0
9-T bod 9- těžiště plného průřezu	1,101E+04	1,101E+04	1,101E+04	-	-	-	-	-	-	1,548E+06	1,057E+09	8,0







TAB B	STABILITA PRUTU								ROZHODUJÍCÍ LINEÁRNÍ KOMBINACE VNITŘNÍCH SIL					
	TLAK - VZPĚR		OHYB - INTERAKCE S TLAKEM-KLOUPENÍ				ROUČ. MAT		Nx, My, Mx, Vz					
	POSUDEK		POSUDEK				POSUDEK		POSUDEK					
	NAPĚTÍ	[-]	[-]	[-]	[-]	[-]	[-]	[-]	NAPĚTÍ	ŘÍDÍCÍ VNITŘNÍ SÍLA	Nx	My	Mz	Vz
A	1,000	1,000	1,000	1,000	1,000	1,000	1,000	1,000	A	Nx,max	8,2	-5,1	0,6	10,9
B	1,000	0,832	1,000	1,004	1,000	1,000	1,083	1,083	B	Nx,min	-19,1	-2,5	1,6	24,2
C	1,000	0,832	1,000	1,003	1,000	1,000	1,083	1,083	C	My,max	-13,2	68,0	-0,1	28,6
D	1,000	1,000	1,000	1,000	1,000	1,000	1,000	1,000	D	My,min	1,9	-35,0	0,7	17,6
E	1,000	0,832	1,000	1,003	1,000	1,000	1,083	1,083	E	Mz,max	-16,4	1,3	2,0	22,4
F	1,000	0,832	1,000	1,003	1,000	1,000	1,083	1,083	F	Mz,min	-13,0	-1,6	-1,7	-14,9
G	1,000	0,832	1,000	1,003	1,000	1,000	1,083	1,083	G	Vz,max	-13,5	6,1	0,7	31,2
H	1,000	0,832	1,000	1,002	1,000	1,000	1,083	1,083	H	Vz,min	-10,0	-0,8	-1,4	-20,8
ZATÍŽITELNOST	1,000	0,832	1,001	1,013	0,999	1,000	1,083	1,083						
ZATÍŽITELNOST	1,000	0,832	1,001	1,013	0,999	1,000	1,083	1,083						

TAB D		PŘEHLED NAPĚTÍ V KRITICKÝCH BODECH PRŮŘEZU OD ROZHODUJÍCÍ LINEÁRNÍ KOMBINACE ZATÍŽENÍ																																																																																																																																																																																																																																																																																																																																																																																																																																																																																																																																																																																																																																																																																																																																																																																				
KRITICKÉ BODY PRŮŘEZU PRO POSOUZENÍ NAPĚTÍ		POSUDEK A			POSUDEK B			POSUDEK C			POSUDEK D			POSUDEK E			POSUDEK F			POSUDEK G			POSUDEK H			MAXIMÁLNÍ HODNOTY NAPĚTÍ V KRITICKÝCH BODECH PRŮŘEZU																																																																																																																																																																																																																																																																																																																																																																																																																																																																																																																																																																																																																																																																																																																																																												
		σ_{\perp}	σ_{\parallel}	σ_{45}	σ_{\perp}	σ_{\parallel}	σ_{45}	σ_{\perp}	σ_{\parallel}	σ_{45}	σ_{\perp}	σ_{\parallel}	σ_{45}	σ_{\perp}	σ_{\parallel}	σ_{45}	σ_{\perp}	σ_{\parallel}	σ_{45}	σ_{\perp}	σ_{\parallel}	σ_{45}	σ_{\perp}	σ_{\parallel}	σ_{45}	σ_{\perp}	σ_{\parallel}	σ_{45}	σ_{\perp}	σ_{\parallel}	σ_{45}	ROZHODUJÍCÍ																																																																																																																																																																																																																																																																																																																																																																																																																																																																																																																																																																																																																																																																																																																																																						
OZN.	POPIS	[MPa]	[MPa]	[MPa]	[MPa]	[MPa]	[MPa]	[MPa]	[MPa]	[MPa]	[MPa]	[MPa]	[MPa]	[MPa]	[MPa]	[MPa]	[MPa]	[MPa]	[MPa]	[MPa]	[MPa]	[MPa]	[MPa]	[MPa]	[MPa]	[MPa]	[MPa]	[MPa]	[MPa]	[MPa]	[MPa]	[MPa]	[MPa]	[MPa]	[MPa]	[MPa]	[MPa]	[MPa]	[MPa]	[MPa]	[MPa]	[MPa]	[MPa]	[MPa]	[MPa]	[MPa]	[MPa]	[MPa]	[MPa]	[MPa]	[MPa]	[MPa]	[MPa]	[MPa]	[MPa]	[MPa]	[MPa]	[MPa]	[MPa]	[MPa]	[MPa]	[MPa]	[MPa]	[MPa]	[MPa]	[MPa]	[MPa]	[MPa]	[MPa]	[MPa]	[MPa]	[MPa]	[MPa]	[MPa]	[MPa]	[MPa]	[MPa]	[MPa]	[MPa]	[MPa]	[MPa]	[MPa]	[MPa]	[MPa]	[MPa]	[MPa]	[MPa]	[MPa]	[MPa]	[MPa]	[MPa]	[MPa]	[MPa]	[MPa]	[MPa]	[MPa]	[MPa]	[MPa]	[MPa]	[MPa]	[MPa]	[MPa]	[MPa]	[MPa]	[MPa]	[MPa]	[MPa]	[MPa]	[MPa]	[MPa]	[MPa]	[MPa]	[MPa]	[MPa]	[MPa]	[MPa]	[MPa]	[MPa]	[MPa]	[MPa]	[MPa]	[MPa]	[MPa]	[MPa]	[MPa]	[MPa]	[MPa]	[MPa]	[MPa]	[MPa]	[MPa]	[MPa]	[MPa]	[MPa]	[MPa]	[MPa]	[MPa]	[MPa]	[MPa]	[MPa]	[MPa]	[MPa]	[MPa]	[MPa]	[MPa]	[MPa]	[MPa]	[MPa]	[MPa]	[MPa]	[MPa]	[MPa]	[MPa]	[MPa]	[MPa]	[MPa]	[MPa]	[MPa]	[MPa]	[MPa]	[MPa]	[MPa]	[MPa]	[MPa]	[MPa]	[MPa]	[MPa]	[MPa]	[MPa]	[MPa]	[MPa]	[MPa]	[MPa]	[MPa]	[MPa]	[MPa]	[MPa]	[MPa]	[MPa]	[MPa]	[MPa]	[MPa]	[MPa]	[MPa]	[MPa]	[MPa]	[MPa]	[MPa]	[MPa]	[MPa]	[MPa]	[MPa]	[MPa]	[MPa]	[MPa]	[MPa]	[MPa]	[MPa]	[MPa]	[MPa]	[MPa]	[MPa]	[MPa]	[MPa]	[MPa]	[MPa]	[MPa]	[MPa]	[MPa]	[MPa]	[MPa]	[MPa]	[MPa]	[MPa]	[MPa]	[MPa]	[MPa]	[MPa]	[MPa]	[MPa]	[MPa]	[MPa]	[MPa]	[MPa]	[MPa]	[MPa]	[MPa]	[MPa]	[MPa]	[MPa]	[MPa]	[MPa]	[MPa]	[MPa]	[MPa]	[MPa]	[MPa]	[MPa]	[MPa]	[MPa]	[MPa]	[MPa]	[MPa]	[MPa]	[MPa]	[MPa]	[MPa]	[MPa]	[MPa]	[MPa]	[MPa]	[MPa]	[MPa]	[MPa]	[MPa]	[MPa]	[MPa]	[MPa]	[MPa]	[MPa]	[MPa]	[MPa]	[MPa]	[MPa]	[MPa]	[MPa]	[MPa]	[MPa]	[MPa]	[MPa]	[MPa]	[MPa]	[MPa]	[MPa]	[MPa]	[MPa]	[MPa]	[MPa]	[MPa]	[MPa]	[MPa]	[MPa]	[MPa]	[MPa]	[MPa]	[MPa]	[MPa]	[MPa]	[MPa]	[MPa]	[MPa]	[MPa]	[MPa]	[MPa]	[MPa]	[MPa]	[MPa]	[MPa]	[MPa]	[MPa]	[MPa]	[MPa]	[MPa]	[MPa]	[MPa]	[MPa]	[MPa]	[MPa]	[MPa]	[MPa]	[MPa]	[MPa]	[MPa]	[MPa]	[MPa]	[MPa]	[MPa]	[MPa]	[MPa]	[MPa]	[MPa]	[MPa]	[MPa]	[MPa]	[MPa]	[MPa]	[MPa]	[MPa]	[MPa]	[MPa]	[MPa]	[MPa]	[MPa]	[MPa]	[MPa]	[MPa]	[MPa]	[MPa]	[MPa]	[MPa]	[MPa]	[MPa]	[MPa]	[MPa]	[MPa]	[MPa]	[MPa]	[MPa]	[MPa]	[MPa]	[MPa]	[MPa]	[MPa]	[MPa]	[MPa]	[MPa]	[MPa]	[MPa]	[MPa]	[MPa]	[MPa]	[MPa]	[MPa]	[MPa]	[MPa]	[MPa]	[MPa]	[MPa]	[MPa]	[MPa]	[MPa]	[MPa]	[MPa]	[MPa]	[MPa]	[MPa]	[MPa]	[MPa]	[MPa]	[MPa]	[MPa]	[MPa]	[MPa]	[MPa]	[MPa]	[MPa]	[MPa]	[MPa]	[MPa]	[MPa]	[MPa]	[MPa]	[MPa]	[MPa]	[MPa]	[MPa]	[MPa]	[MPa]	[MPa]	[MPa]	[MPa]	[MPa]	[MPa]	[MPa]	[MPa]	[MPa]	[MPa]	[MPa]	[MPa]	[MPa]	[MPa]	[MPa]	[MPa]	[MPa]	[MPa]	[MPa]	[MPa]	[MPa]	[MPa]	[MPa]	[MPa]	[MPa]	[MPa]	[MPa]	[MPa]	[MPa]	[MPa]	[MPa]	[MPa]	[MPa]	[MPa]	[MPa]	[MPa]	[MPa]	[MPa]	[MPa]	[MPa]	[MPa]	[MPa]	[MPa]	[MPa]	[MPa]	[MPa]	[MPa]	[MPa]	[MPa]	[MPa]	[MPa]	[MPa]	[MPa]	[MPa]	[MPa]	[MPa]	[MPa]	[MPa]	[MPa]	[MPa]	[MPa]	[MPa]	[MPa]	[MPa]	[MPa]	[MPa]	[MPa]	[MPa]	[MPa]	[MPa]	[MPa]	[MPa]	[MPa]	[MPa]	[MPa]	[MPa]	[MPa]	[MPa]	[MPa]	[MPa]	[MPa]	[MPa]	[MPa]	[MPa]	[MPa]	[MPa]	[MPa]	[MPa]	[MPa]	[MPa]	[MPa]	[MPa]	[MPa]	[MPa]	[MPa]	[MPa]	[MPa]	[MPa]	[MPa]	[MPa]	[MPa]	[MPa]	[MPa]	[MPa]	[MPa]	[MPa]	[MPa]	[MPa]	[MPa]	[MPa]	[MPa]	[MPa]	[MPa]	[MPa]	[MPa]	[MPa]	[MPa]	[MPa]	[MPa]	[MPa]	[MPa]	[MPa]	[MPa]	[MPa]	[MPa]	[MPa]	[MPa]	[MPa]	[MPa]	[MPa]	[MPa]	[MPa]	[MPa]	[MPa]	[MPa]	[MPa]	[MPa]	[MPa]	[MPa]	[MPa]	[MPa]	[MPa]	[MPa]	[MPa]	[MPa]	[MPa]	[MPa]	[MPa]	[MPa]	[MPa]	[MPa]	[MPa]	[MPa]	[MPa]	[MPa]	[MPa]	[MPa]	[MPa]	[MPa]	[MPa]	[MPa]	[MPa]	[MPa]	[MPa]	[MPa]	[MPa]	[MPa]	[MPa]	[MPa]	[MPa]	[MPa]	[MPa]	[MPa]	[MPa]	[MPa]	[MPa]	[MPa]	[MPa]	[MPa]	[MPa]	[MPa]	[MPa]	[MPa]	[MPa]	[MPa]	[MPa]	[MPa]	[MPa]	[MPa]	[MPa]	[MPa]	[MPa]	[MPa]	[MPa]	[MPa]	[MPa]	[MPa]	[MPa]	[MPa]	[MPa]	[MPa]	[MPa]	[MPa]	[MPa]	[MPa]	[MPa]	[MPa]	[MPa]	[MPa]	[MPa]	[MPa]	[MPa]	[MPa]	[MPa]	[MPa]	[MPa]	[MPa]	[MPa]	[MPa]	[MPa]	[MPa]	[MPa]	[MPa]	[MPa]	[MPa]	[MPa]	[MPa]	[MPa]	[MPa]	[MPa]	[MPa]	[MPa]	[MPa]	[MPa]	[MPa]	[MPa]	[MPa]	[MPa]	[MPa]	[MPa]	[MPa]	[MPa]	[MPa]	[MPa]	[MPa]	[MPa]	[MPa]	[MPa]	[MPa]	[MPa]	[MPa]	[MPa]	[MPa]	[MPa]	[MPa]	[MPa]	[MPa]	[MPa]	[MPa]	[MPa]	[MPa]	[MPa]	[MPa]	[MPa]	[MPa]	[MPa]	[MPa]	[MPa]	[MPa]	[MPa]	[MPa]	[MPa]	[MPa]	[MPa]	[MPa]	[MPa]	[MPa]	[MPa]	[MPa]	[MPa]	[MPa]	[MPa]	[MPa]	[MPa]	[MPa]	[MPa]	[MPa]	[MPa]	[MPa]	[MPa]	[MPa]	[MPa]	[MPa]	[MPa]	[MPa]	[MPa]	[MPa]	[MPa]	[MPa]	[MPa]	[MPa]	[MPa]	[MPa]	[MPa]	[MPa]	[MPa]	[MPa]	[MPa]	[MPa]	[MPa]	[MPa]	[MPa]	[MPa]	[MPa]	[MPa]	[MPa]	[MPa]	[MPa]	[MPa]	[MPa]	[MPa]	[MPa]	[MPa]	[MPa]	[MPa]	[MPa]	[MPa]	[MPa]	[MPa]	[MPa]	[MPa]	[MPa]	[MPa]	[MPa]	[MPa]	[MPa]	[MPa]	[MPa]	[MPa]	[MPa]	[MPa]	[MPa]	[MPa]	[MPa]	[MPa]	[MPa]	[MPa]	[MPa]	[MPa]	[MPa]	[MPa]	[MPa]	[MPa]	[MPa]	[MPa]	[MPa]	[MPa]	[MPa]	[MPa]	[MPa]	[MPa]

TAB 7 8 B. ZATÍŽITELNOST - 1.MS - ÚNOSNOST

TAB E		1. ZATÍŽITELNOST - NORMÁLOVÉ NAPĚTÍ												2. ZATÍŽITELNOST - SMYKOVÉ NAPĚTÍ												3. ZATÍŽITELNOST - SROVNÁVACÍ NAPĚTÍ																																																																																																																																																																																																																																																																																																																																																																																																																																																																																																																																																																																																																																																																																																																																																																																																																																																																													
		KZ č. 26												KZ č. 26												KZ č. 26																																																																																																																																																																																																																																																																																																																																																																																																																																																																																																																																																																																																																																																																																																																																																																																																																																																																													
SKUPINA		Nx	My	Mz	Vz	Nx	My	Mz	σ _{xx}	σ _{yy}	σ _{zz}	τ _{xy}	ZATÍŽITELNOST												ZATÍŽITELNOST												ZATÍŽITELNOST																																																																																																																																																																																																																																																																																																																																																																																																																																																																																																																																																																																																																																																																																																																																																																																																																																																																		
ZATĚŽ STAVŮ		[kN]	[kNm]	[kNm]	[-]	[kN]	[kNm]	[kNm]	[MPa]	[MPa]	[MPa]	[MPa]	[-]	[kN]	[-]	[kN]	[MPa]	[-]	[kN]	[kNm]	[kNm]	[kN]	[kN]	[kNm]	[kNm]	[kN]	[MPa]	[MPa]	[MPa]	[MPa]	[MPa]	[MPa]	[MPa]	[MPa]	[MPa]	[MPa]	[-]																																																																																																																																																																																																																																																																																																																																																																																																																																																																																																																																																																																																																																																																																																																																																																																																																																																																		
E ₁ =E ₂ =E ₃	G	-2,2	3,1	-0,1	0,85	-1,8	2,7	-0,1	-0,2	-1,0	-0,4	-1,6	R _s	197,2 MPa	2,9	0,85	2,4	0,4	R _s	123,3 MPa	-2,2	3,1	-0,1	-0,2	0,85	-1,8	2,7	-0,1	-0,1	-0,2	-1,0	0,0	-1,2	0,0	1,2	R _s	197,2 MPa	2,9	0,85	2,4	0,4	R _s	123,3 MPa																																																																																																																																																																																																																																																																																																																																																																																																																																																																																																																																																																																																																																																																																																																																																																																																																																																												
	CH	0,0	0,0	0,0	0,00	0,0	0,0	0,0	0,0	0,0	0,0	0,0	0,0	0,0	0,0	0,0	0,0	0,0	0,0	0,0	0,0	0,0	0,0	0,0	0,0	0,0	0,0	0,0	0,0	0,0	0,0	0,0	0,0	0,0	0,0	0,0	0,0	0,0	0,0	0,0	0,0	0,0	0,0	0,0	0,0	0,0	0,0	0,0	0,0	0,0	0,0	0,0	0,0	0,0	0,0	0,0	0,0	0,0	0,0	0,0	0,0	0,0	0,0	0,0	0,0	0,0	0,0	0,0	0,0	0,0	0,0	0,0	0,0	0,0	0,0	0,0	0,0	0,0	0,0	0,0	0,0	0,0	0,0	0,0	0,0	0,0	0,0	0,0	0,0	0,0	0,0	0,0	0,0	0,0	0,0	0,0	0,0	0,0	0,0	0,0	0,0	0,0	0,0	0,0	0,0	0,0	0,0	0,0	0,0	0,0	0,0	0,0	0,0	0,0	0,0	0,0	0,0	0,0	0,0	0,0	0,0	0,0	0,0	0,0	0,0	0,0	0,0	0,0	0,0	0,0	0,0	0,0	0,0	0,0	0,0	0,0	0,0	0,0	0,0	0,0	0,0	0,0	0,0	0,0	0,0	0,0	0,0	0,0	0,0	0,0	0,0	0,0	0,0	0,0	0,0	0,0	0,0	0,0	0,0	0,0	0,0	0,0	0,0	0,0	0,0	0,0	0,0	0,0	0,0	0,0	0,0	0,0	0,0	0,0	0,0	0,0	0,0	0,0	0,0	0,0	0,0	0,0	0,0	0,0	0,0	0,0	0,0	0,0	0,0	0,0	0,0	0,0	0,0	0,0	0,0	0,0	0,0	0,0	0,0	0,0	0,0	0,0	0,0	0,0	0,0	0,0	0,0	0,0	0,0	0,0	0,0	0,0	0,0	0,0	0,0	0,0	0,0	0,0	0,0	0,0	0,0	0,0	0,0	0,0	0,0	0,0	0,0	0,0	0,0	0,0	0,0	0,0	0,0	0,0	0,0	0,0	0,0	0,0	0,0	0,0	0,0	0,0	0,0	0,0	0,0	0,0	0,0	0,0	0,0	0,0	0,0	0,0	0,0	0,0	0,0	0,0	0,0	0,0	0,0	0,0	0,0	0,0	0,0	0,0	0,0	0,0	0,0	0,0	0,0	0,0	0,0	0,0	0,0	0,0	0,0	0,0	0,0	0,0	0,0	0,0	0,0	0,0	0,0	0,0	0,0	0,0	0,0	0,0	0,0	0,0	0,0	0,0	0,0	0,0	0,0	0,0	0,0	0,0	0,0	0,0	0,0	0,0	0,0	0,0	0,0	0,0	0,0	0,0	0,0	0,0	0,0	0,0	0,0	0,0	0,0	0,0	0,0	0,0	0,0	0,0	0,0	0,0	0,0	0,0	0,0	0,0	0,0	0,0	0,0	0,0	0,0	0,0	0,0	0,0	0,0	0,0	0,0	0,0	0,0	0,0	0,0	0,0	0,0	0,0	0,0	0,0	0,0	0,0	0,0	0,0	0,0	0,0	0,0	0,0	0,0	0,0	0,0	0,0	0,0	0,0	0,0	0,0	0,0	0,0	0,0	0,0	0,0	0,0	0,0	0,0	0,0	0,0	0,0	0,0	0,0	0,0	0,0	0,0	0,0	0,0	0,0	0,0	0,0	0,0	0,0	0,0	0,0	0,0	0,0	0,0	0,0	0,0	0,0	0,0	0,0	0,0	0,0	0,0	0,0	0,0	0,0	0,0	0,0	0,0	0,0	0,0	0,0	0,0	0,0	0,0	0,0	0,0	0,0	0,0	0,0	0,0	0,0	0,0	0,0	0,0	0,0	0,0	0,0	0,0	0,0	0,0	0,0	0,0	0,0	0,0	0,0	0,0	0,0	0,0	0,0	0,0	0,0	0,0	0,0	0,0	0,0	0,0	0,0	0,0	0,0	0,0	0,0	0,0	0,0	0,0	0,0	0,0	0,0	0,0	0,0	0,0	0,0	0,0	0,0	0,0	0,0	0,0	0,0	0,0	0,0	0,0	0,0	0,0	0,0	0,0	0,0	0,0	0,0	0,0	0,0	0,0	0,0	0,0	0,0	0,0	0,0	0,0	0,0	0,0	0,0	0,0	0,0	0,0	0,0	0,0	0,0	0,0	0,0	0,0	0,0	0,0	0,0	0,0	0,0	0,0	0,0	0,0	0,0	0,0	0,0	0,0	0,0	0,0	0,0	0,0	0,0	0,0	0,0	0,0	0,0	0,0	0,0	0,0	0,0	0,0	0,0	0,0	0,0	0,0	0,0	0,0	0,0	0,0	0,0	0,0	0,0	0,0	0,0	0,0	0,0	0,0	0,0	0,0	0,0	0,0	0,0	0,0	0,0	0,0	0,0	0,0	0,0	0,0	0,0	0,0	0,0	0,0	0,0	0,0	0,0	0,0	0,0	0,0	0,0	0,0	0,0	0,0	0,0	0,0	0,0	0,0	0,0	0,0	0,0	0,0	0,0	0,0	0,0	0,0	0,0	0,0	0,0	0,0	0,0	0,0	0,0	0,0	0,0	0,0	0,0	0,0	0,0	0,0	0,0	0,0	0,0	0,0	0,0	0,0	0,0	0,0	0,0	0,0	0,0	0,0	0,0	0,0	0,0	0,0	0,0	0,0	0,0	0,0	0,0	0,0	0,0	0,0	0,0	0,0	0,0	0,0	0,0	0,0	0,0	0,0	0,0	0,0	0,0	0,0	0,0	0,0	0,0	0,0	0,0	0,0	0,0	0,0	0,0	0,0	0,0	0,0	0,0	0,0	0,0	0,0	0,0	0,0	0,0	0,0	0,0	0,0	0,0	0,0	0,0	0,0	0,0	0,0	0,0	0,0	0,0	0,0	0,0	0,0	0,0	0,0	0,0	0,0	0,0	0,0	0,0	0,0	0,0	0,0	0,0	0,0	0,0	0,0	0,0	0,0	0,0	0,0	0,0	0,0	0,0	0,0	0,0	0,0	0,0	0,0	0,0	0,0	0,0	0,0	0,0	0,0	0,0	0,0	0,0	0,0	0,0	0,0	0,0	0,0	0,0	0,0	0,0	0,0	0,0	0,0	0,0	0,0	0,0	0,0	0,0	0,0	0,0	0,0	0,0	0,0	0,0	0,0	0,0	0,0	0,0	0,0	0,0	0,0	0,0	0,0	0,0	0,0	0,0	0,0	0,0	0,0	0,0	0,0	0,0	0,0	0,0	0,0	0,0	0,0	0,0	0,0	0,0	0,0	0,0	0,0	0,0	0,0	0,0	0,0	0,0	0,0	0,0	0,0	0,0	0,0	0,0	0,0	0,0	0,0	0,0	0,0	0,0	0,0	0,0	0,0	0,0	0,0	0,0	0,0	0,0	0,0	0,0	0,0	0,0	0,0	0,0	0,0	0,0	0,0	0,0	0,0	0,0	0,0	0,0	0,0	0,0	0,0	0,0	0,0	0,0	0,0	0,0	0,0	0,0	0,0	0,0	0,0	0,0	0,0	0,0	0,0	0,0	0,0	0,0	0,0	0,0	0,0	0,0	0,0	0,0	0,0	0,0	0,0	0,0	0,0	0,0	0,0	0,0	0,0	0,0	0,0	0,0	0,0	0,0	0,0	0,0	0,0	0,0	0,0	0,0	0,0	0,0	0,0	0,0	0,0	0,0	0,0	0,0	0,0	0,0	0,0	0,0	0,0	0,0	0,0	0,0	0,0	0,0	0,0	0,0	0,0	0,0	0,0	0,0	0,0	0,0	0,0	0,0	0,0	0,0	0,0	0,0	0,0	0,0	0,0	0,0	0,0	0,0	0,0	0,0	0,0	0,0

Pokud se jedná o tah jsou příslušné hodnoty součinitelů rovny 1.0

TAB B		STABILITA PRUTU							TAB C		ROZHODUJÍCÍ LINEÁRNÍ KOMBINACE VNITŘNÍCH SIL				
TLAK - VZPER		OHYB - INTERAKCE S TLAKEM+KLOPENÍ						SOUC. MAT		Nx, My, Mx, Vz					
POSUDEK NAPĚTÍ			k_{yy}	k_{yy}/k_{zz}	k_{yz}			POSUDEK NAPĚTÍ	Řídící VNITŘNÍ SILA	Nx	My	Mz	Vz	K	
	[N]	[N]	[N]	[N]	[N]	[N]	[N]			[kN]	[kNm]	[kNm]	[kN]	[N]	
A	1,000	1,000	1,000	1,000	1,000	1,000	1,000	A	Nx,max	593,8	298,0	4,4	40,6	26	
B	1,000	0,926	1,009	1,032	0,996	1,000	1,083	B	Nx,min	-551,3	-436,9	6,0	-42,9	26	
C	1,000	1,000	1,000	1,000	1,000	1,000	1,000	C	My,max	143,8	738,1	-4,8	-268,0	26	
D	1,000	0,926	1,007	1,024	0,997	1,000	1,083	D	My,min	-413,9	-498,7	13,6	-65,5	26	
E	1,000	0,926	1,005	1,018	0,998	1,000	1,083	E	Mz,max	-308,2	47,1	39,5	-7,9	25	
F	1,000	0,926	1,002	1,006	0,999	1,000	1,083	F	Mz,min	-111,7	298,8	-35,5	-15,1	25	
G	1,000	0,926	1,004	1,012	0,999	1,000	1,083	G	Vz,max	-208,8	70,9	0,4	362,6	26	
H	1,000	0,926	1,005	1,018	0,998	1,000	1,083	H	Vz,min	-314,1	-99,2	-1,6	-356,8	26	
ZATÍŽITELNOST 	1,000	0,926	1,000	1,002	1,000	1,000	1,083								
ZATÍŽITELNOST 	1,000	0,926	1,000	1,001	1,000	1,000	1,083								

TAB D		PŘEHLED NAPĚTÍ V KRITICKÝCH BODECH PRŮŘEZU OD ROZHODUJÍCÍ LINEÁRNÍ KOMBINACE ZATÍŽENÍ																																				
KRITICKÉ BODY PRŮŘEZU PRO POSOUZENÍ NAPĚTÍ		POSUDEK A			POSUDEK B			POSUDEK C			POSUDEK D			POSUDEK E			POSUDEK F			POSUDEK G			POSUDEK H			MAXIMÁLNÍ HODNOTY NAPĚTÍ V KRITICKÝCH BODECH PRŮŘEZU												
		M _{pA}	f _{y,d}	s _A	M _{pB}	f _{y,d}	s _B	M _{pC}	f _{y,d}	s _C	M _{pD}	f _{y,d}	s _D	M _{pE}	f _{y,d}	s _E	M _{pF}	f _{y,d}	s _F	M _{pG}	f _{y,d}	s _G	M _{pH}	f _{y,d}	s _H	t _{b,max}	f _d	-	t _{b,max}	f _d +SLS	-	t _{b,max}	f _d	-	ROZHODNUTÉ			
OZN.	POPIS	[MPa]	[MPa]		[MPa]	[MPa]		[MPa]	[MPa]		[MPa]	[MPa]		[MPa]	[MPa]		[MPa]	[MPa]		[MPa]	[MPa]		[MPa]	[MPa]		[MPa]	[MPa]		[MPa]	[MPa]		[MPa]	[MPa]		[MPa]	[MPa]		{-}
1-DL	bod 1 - dolní vlákná průřezu, levý okraj	71,0	0,0	71,0	-71,4	0,0	71,4	93,9	0,0	93,9	-61,5	0,0	61,5	53,5	0,0	53,5	-20,6	0,0	20,6	0,5	0,0	0,5	-29,1	0,0	29,1	93,9	213,6	0,439	0,0	123,3	0,000	93,9	213,6	0,439	normál.napětí			
2-DP	bod 2 - dolní vlákná průřezu, pravý okraj	57,7	0,0	57,7	-90,2	0,0	90,2	108,3	0,0	108,3	-103,8	0,0	103,8	-68,4	0,0	68,4	87,6	0,0	87,6	-0,6	0,0	0,6	-24,1	0,0	24,1	-103,8	197,2	0,526	0,0	123,3	0,000	103,8	197,2	0,526	normál.napětí			
3-HL	bod 3 - horní vlákná průřezu, levý okraj	-5,5	0,0	5,5	41,8	0,0	41,8	-95,6	0,0	95,6	67,5	0,0	67,5	41,3	0,0	41,3	-97,4	0,0	97,4	-17,7	0,0	17,7	-3,5	0,0	3,5	-97,4	197,2	0,494	0,0	123,3	0,000	97,4	197,2	0,494	normál.napětí			
4-HP	bod 4 - horní vlákná průřezu, pravý okraj	-18,8	0,0	18,8	23,0	0,0	23,0	-81,2	0,0	81,2	-25,1	0,0	25,2	-80,5	0,0	80,5	10,7	0,0	10,7	-18,8	0,0	18,8	1,5	0,0	1,5	-80,5	197,2	0,408	0,0	123,3	0,000	80,5	197,2	0,408	normál.napětí			
S-D01	bod 5 - dolní vlákná stěny 1	62,9	4,2	63,3	-78,0	4,5	78,4	96,7	28,0	108,1	-79,1	6,8	80,0	-5,7	0,8	5,9	30,0	1,6	30,2	-4,0	37,8	65,6	-26,1	37,2	69,6	96,7	213,6	0,453	37,8	123,3	0,307	108,1	213,6	0,506	sovrn. napětí			
6-SH1	bod 6 - horní vlákná stěny 1	62,4	4,2	62,9	-78,6	4,5	79,0	97,1	28,0	108,6	-80,5	6,8	81,4	-9,7	0,8	9,8	33,6	1,6	33,8	-0,5	37,8	65,6	-25,9	37,2	69,5	97,1	213,6	0,455	37,8	123,3	0,307	108,6	213,6	0,508	sovrn. napětí			
7-SD2	bod 7 - dolní vlákná stěny 2	-10,3	4,2	12,6	30,2	4,5	31,2	-84,5	28,0	97,4	44,2	6,8	45,7	-17,3	0,8	17,4	-43,5	1,6	43,5	-17,9	37,8	67,9	-1,6	37,2	64,5	-84,5	213,6	0,396	37,8	123,3	0,307	97,4	213,6	0,456	sovrn. napětí			
8-SH2	bod 8 - horní vlákná stěny 2	-10,7	4,2	13,0	29,6	4,5	30,6	-84,0	28,0	97,0	42,8	6,8	44,4	-21,4	0,8	21,4	-39,8	1,6	39,9	-17,9	37,8	68,0	-1,5	37,2	64,5	-84,0	213,6	0,393	37,8	123,3	0,307	97,0	213,6	0,454	sovrn. napětí			
9-T	bod 9 - těžiště plného průřezu	26,1	4,6	27,2	-24,2	4,8	25,6	6,3	30,1	52,5	-18,2	7,3	22,2	-13,5	0,9	13,6	-4,9	1,7	5,7	-9,2	40,7	71,1	-13,8	40,1	70,7	-24,2	197,2	0,123	40,7	123,3	0,330	71,1	197,2	0,361	sovrn. napětí			

[illegible]

TAB G	B. ZATÍŽITELNOST - 1.MS - ÚNOSNOST			
DRUH NAPĚTÍ	1. NORMÁLOVÉ σ_x	2. SMYKOVÉ τ	3. SROVNÁVACÍ σ_p	4. MINIMUM 1-3
ZATÍŽITELNOST Z_p	2,31	3,35	2,21	2,21
POSUDEK NAPĚTÍ	C	G	C	C
ŘÍDICÍ VNITŘNÍ SÍLA	My,max	Vz,max	My,max	My,max
KRITICKÝ BOD PRŮŘEZU	3-HL	9-D	7-SD2	7-SD2
LINEÁRNÍ KOMBINACE	25	26	25	25

Pokud se jedná o tah jsou příslušné hodnoty součinitelů rovny 1.0







TAB G	B. ZATÍŽITELNOST - 1.MS - ÚNOSNOST			
DRUH NAPĚTÍ	1. NORMÁLOVÉ σ_x	2. SMYKOVÉ τ	3. SROVNÁVACÍ σ_a	4.MINIMUM 1-3
ZATÍŽITELNOST Z_p	1,92	3,58	1,92	1,92
POSUDEK NAPĚTÍ	F	H	F	F
ŘÍDÍCÍ VNITŘNÍ SÍLA	Mz,min	Vz,min	Mz,min	Mz,min
KRITICKÝ BOD PRŮŘEZU	3-HL	9-T	3-HL	3-HL
LINEÁRNÍ KOMBINACE	25	26	25	25

Pokud se jedná o tah jsou příslušné hodnoty součinitelů rovny 1.0

TAB B		STABILITA PRUTU							TAB C		ROZHODUJÍCÍ LINEÁRNÍ KOMBINACE VNITŘNÍCH SIL				
TLAK - VZPER		OHYB - INTERAKCE S TLAKEM+KLOPENÍ						SOUC. MAT	Nx, My, Mx, Vz						
POSUDEK NAPĚTÍ			k_{yy}	k_{yy}/k_{zz}	k_{yz}				POSUDEK NAPĚTÍ	Řídící VNITŘNÍ SILA	Nx	My	Mz	Vz	K
	[N]	[N]	[N]	[N]	[N]	[N]	[N]	[N]			[kN]	[kNm]	[kNm]	[kN]	[N]
A	1,000	1,000	1,000	1,000	1,000	1,000	1,000	1,000	A	Nx,max	779,6	584,6	-17,1	83,1	42
B	1,000	0,979	1,006	1,016	0,998	1,000	1,083	1,000	B	Nx,min	-533,3	261,9	-9,8	-218,8	38
C	1,000	1,000	1,000	1,000	1,000	1,000	1,000	1,000	C	My,max	478,5	1 034,9	-15,7	-175,7	26
D	1,000	0,979	1,000	1,000	1,000	1,000	1,083	1,000	D	My,min	-3,9	-308,9	-6,6	-125,3	42
E	1,000	1,000	1,000	1,000	1,000	1,000	1,000	1,000	E	Mz,max	34,5	87,7	46,7	32,4	37
F	1,000	1,000	1,000	1,000	1,000	1,000	1,000	1,000	F	Mz,min	403,1	516,6	-68,9	-156,8	25
G	1,000	1,000	1,000	1,000	1,000	1,000	1,000	1,000	G	Vz,max	561,8	412,7	4,9	151,2	26
H	1,000	0,979	1,000	1,000	1,000	1,000	1,083	1,000	H	Vz,min	-4,8	-88,9	-20,1	-442,8	26
ZATÍŽITELNOST	1,000	1,000	1,000	1,000	1,000	1,000	1,000	1,000							
ZATÍŽITELNOST	1,000	1,000	1,000	1,000	1,000	1,000	1,000	1,000							

TAB G	B. ZATÍŽITELNOST - 1.MS - ÚNOSNOST			
DRUH NAPĚTÍ	1. NORMÁLOVÉ σ_x	2. SMYKOVÉ τ	3. SROVNÁVACÍ σ_p	4. MINIMUM 1-3
ZATÍŽITELNOST Z_p	1,71	3,58	1,71	1,71
POSUDEK NAPĚTÍ	C	H	C	C
ŘÍDICÍ VNITŘNÍ SÍLA	My,max	Vz,min	My,max	My,max
KRITICKÝ BOD PRŮŘEZU	2-DP	9-T	2-DP	2-DP
LINEÁRNÍ KOMBINACE	25	26	25	25

Pokud se jedná o tah jsou příslušné hodnoty součinitelů rovny 1.0









TAB B		STABILITA PRUTU							TAB C		ROZHODUJÍCÍ LINEÁRNÍ KOMBINACE VNITŘNÍCH SIL				
TLAK - VZPER		OHYB - INTERAKCE S TLAKEM+KLOPENÍ						SOUC. MAT		Nx, My, Mx, Vz					
POSUDEK NAPĚTÍ			k_{xy}	k_{yz}	k_{yz}			POSUDEK NAPĚTÍ	Řídící VNITŘNÍ SILA	Nx	My	Mz	Vz	K	
	[N]	[N]	[N]	[N]	[N]	[N]	[N]			[kN]	[kNm]	[kNm]	[kN]	[N]	
A	1,000	1,000	1,000	1,000	1,000	1,000	1,000	A	Nx,max	860,4	573,0	-8,4	3,3	41	
B	1,000	0,980	1,011	1,028	0,997	1,000	1,083	B	Nx,min	-824,5	37,3	-2,7	-210,4	37	
C	1,000	1,000	1,000	1,000	1,000	1,000	1,000	C	My,max	568,8	903,5	8,7	-297,7	26	
D	1,000	0,980	1,007	1,018	0,998	1,000	1,083	D	My,min	-524,6	-277,1	-3,2	-51,5	37	
E	1,000	0,980	1,000	1,000	1,000	1,000	1,083	E	Mz,max	-10,7	210,2	82,3	-35,6	25	
F	1,000	0,980	1,000	1,000	1,000	1,000	1,083	F	Mz,min	-6,3	290,9	-93,3	-254,5	25	
G	1,000	1,000	1,000	1,000	1,000	1,000	1,000	G	Vz,max	425,0	241,0	9,1	50,0	38	
H	1,000	0,980	1,003	1,008	0,999	1,000	1,083	H	Vz,min	-243,0	159,1	-35,5	-379,4	26	
ZATÍŽITELNOST 	1,000	0,980	1,000	1,000	1,000	1,000	1,083								
ZATÍŽITELNOST 	1,000	0,980	1,000	1,000	1,000	1,000	1,083								

TAB 7₁₂ B. ZATÍŽITELNOST - 1.MS - ÚNOSNOST

TAB	8 ₁₂	C. SHRnutí VÝSLEDKŮ
------------	------------------------	----------------------------









TAB G	B. ZATÍŽITELNOST - 1.MS - ÚNOSNOST			
DRUH NAPĚTÍ	1. NORMÁLOVÉ σ_n	2. SMYKOVÉ τ	3. SROVNÁVACÍ σ_n	4. MINIMUM 1-3
ZATÍŽITELNOST Z_p	1,44	3,35	1,44	1,44
POSUDEK NAPĚTÍ	F	F	F	F
ŘÍDICÍ VNITŘNÍ SÍLA	Mz,min	Vz,min	Mz,min	Mz,min
KRITICKÝ BOD PRŮŘEZU	3-HL	9-T	3-HL	3-HL
LINEÁRNÍ KOMBINACE	25	26	25	25

Pokud se jedná o tah jsou příslušné hodnoty součinitelů rovny 1.0

TAB B		STABILITA PRUTU							TAB C		ROZHODUJÍCÍ LINEÁRNÍ KOMBINACE VNITŘNÍCH SIL				
		TLAK - VZPER		OHYB - INTERAKCE S TLAKEM+KLOPENÍ							Nx, My, Mx, Vz				
POSUDEK NAPĚTÍ			k_{yy}	$k_{yy}+k_{zz}$	k_{yz}			POSUDEK NAPĚTÍ	Řídící VNITŘNÍ SILA	Nx	My	Mz	Vz	K	
			[H]	[H]	[H]	[H]	[H]			[kN]	[kNm]	[kNm]	[kN]	[H]	
A	1,000	1,000	1,000	1,000	1,000	1,000	1,000	A	Nx,max	358,9	0,0	0,0	0,0	25	
B	0,606	0,840	1,508	1,208	0,977	1,000	1,083	B	Nx,min	-431,7	0,0	0,0	0,0	25	
C	1,000	1,000	1,000	1,000	1,000	1,000	1,000	C	My,max	47,1	0,0	0,0	0,0	1	
D	1,000	1,000	1,000	1,000	1,000	1,000	1,000	D	My,min	47,1	0,0	0,0	0,0	1	
E	1,000	1,000	1,000	1,000	1,000	1,000	1,000	E	Mz,max	47,1	0,0	0,0	0,0	1	
F	1,000	1,000	1,000	1,000	1,000	1,000	1,000	F	Mz,min	47,1	0,0	0,0	0,0	1	
G	1,000	1,000	1,000	1,000	1,000	1,000	1,000	G	Vz,max	47,1	0,0	0,0	0,0	1	
H	1,000	1,000	1,000	1,000	1,000	1,000	1,000	H	Vz,min	47,1	0,0	0,0	0,0	1	
ZATÍŽITELNOST 	0,606	0,840	1,534	1,219	0,976	1,000	1,083								
ZATÍŽITELNOST 	0,606	0,840	1,534	1,219	0,976	1,000	1,083								










TAB G	B. ZATÍŽITELNOST - 1.MS - ÚNOSNOST			
DRUH NAPĚTÍ	1. NORMÁLOVÉ σ_x	2. SMYKOVÉ τ	3. SROVNÁVACÍ σ_p	4. MINIMUM 1-3
ZATÍŽITELNOST Z_p	1,13	>5	1,13	1,13
POSUDEK NAPĚTÍ	B	A	B	B
ŘÍDICÍ VNITŘNÍ SÍLA	$N_{x,min}$	$N_{x,max}$	$N_{x,min}$	$N_{x,min}$
KRITICKÝ BOD PRŮŘEZU	1-DL	1-DL	1-DL	1-DL
LINEÁRNÍ KOMBINACE	25	21	25	25

Pokud se jedná o tah jsou příslušné hodnoty součinitelů rovny 1.0

TAB B								TAB C			ROZHODUJÍCÍ LINEÁRNÍ KOMBINACE VNITŘNÍCH SIL				
POSUDEK NAPĚTÍ		STABILITA PRUTU						POSUDEK NAPĚTÍ		Řídící VNITŘNÍ SILA		Nx, My, Mx, Vz			
		TLAK - VZPĚR		OHYB - INTERAKCE S TLAKEM+KLOPENÍ								SOUD. MAT.			
			k_{xy}	k_{yz}/k_{xz}	k_{yz}					Nx	My	Mz	Vz	K _{crit}	
			[H]	[H]	[H]	[H]	[H]			[kN]	[kNm]	[kNm]	[kN]	[H]	
A	1,000	1,000	1,000	1,000	1,000	1,000	1,000	A	Nx,max	330,0	0,0	0,0	0,0	25	
B	0.571	0.823	1.564	1.220	0.976	1,000	1.083	B	Nx,min	-379,0	0,0	0,0	0,0	25	
C	1,000	1,000	1,000	1,000	1,000	1,000	1,000	C	My,max	36,9	0,0	0,0	0,0	1	
D	1,000	1,000	1,000	1,000	1,000	1,000	1,000	D	My,min	36,9	0,0	0,0	0,0	1	
E	1,000	1,000	1,000	1,000	1,000	1,000	1,000	E	Mz,max	36,9	0,0	0,0	0,0	1	
F	1,000	1,000	1,000	1,000	1,000	1,000	1,000	F	Mz,min	36,9	0,0	0,0	0,0	1	
G	1,000	1,000	1,000	1,000	1,000	1,000	1,000	G	Vz,max	36,9	0,0	0,0	0,0	1	
H	1,000	1,000	1,000	1,000	1,000	1,000	1,000	H	Vz,min	36,9	0,0	0,0	0,0	1	
ZATÍŽITELNOST 	0.571	0.823	1.569	1.223	0.975	1,000	1.083								
ZATÍŽITELNOST 	0.571	0.823	1.569	1.223	0.975	1,000	1.083								

TAB G	B. ZATÍŽITELNOST - 1.MS - ÚNOSNOST			
DRUH NAPĚTÍ	1. NORMÁLOVÉ σ_x	2. SMYKOVÉ τ	3. SROVNÁVACÍ σ_p	4. MINIMUM 1-3
ZATÍŽITELNOST Z_p	1,02	>5	1,02	1,02
POSUDEK NAPĚTÍ	B	A	B	B
ŘÍDICÍ VNITŘNÍ SÍLA	$N_{x,min}$	$N_{x,max}$	$N_{x,min}$	$N_{x,min}$
KRITICKÝ BOD PRŮŘEZU	1-DL	1-DL	1-DL	1-DL
LINEÁRNÍ KOMBINACE	25	21	25	25

Pokud se jedná o tah jsou příslušné hodnoty součinitelů rovny 1.0

TAB B		STABILITA PRUTU							TAB C		ROZHODUJÍCÍ LINEÁRNÍ KOMBINACE VNITŘNÍCH SIL				
		TLAK - VZPER		OHYB - INTERAKCE S TLAKEM+KLOPENÍ							Nx, My, Mx, Vz				
POSUDEK NAPĚTÍ	 	k_{yy}	k_{yy}/k_{zz}	k_{yz}				POSUDEK NAPĚTÍ	Řídící VNITŘNÍ SILA	Nx	My	Mz	Vz	K	
	 	[H]	[H]	[H]	[H]	[H]	[H]			[kN]	[kNm]	[kNm]	[kN]	[H]	
A		1,000	1,000	1,000	1,000	1,000	1,000	A	Nx,max	85,3	0,0	0,0	0,0	25	
B		0.813	0.902	1.122	1.078	0.991	1,000	B	Nx,min	-62,4	0,0	0,0	0,0	25	
C		1,000	1,000	1,000	1,000	1,000	1,000	C	My,max	10,5	0,0	0,0	0,0	1	
D		1,000	1,000	1,000	1,000	1,000	1,000	D	My,min	10,5	0,0	0,0	0,0	1	
E		1,000	1,000	1,000	1,000	1,000	1,000	E	Mz,max	10,5	0,0	0,0	0,0	1	
F		1,000	1,000	1,000	1,000	1,000	1,000	F	Mz,min	10,5	0,0	0,0	0,0	1	
G		1,000	1,000	1,000	1,000	1,000	1,000	G	Vz,max	10,5	0,0	0,0	0,0	1	
H		1,000	1,000	1,000	1,000	1,000	1,000	H	Vz,min	10,5	0,0	0,0	0,0	1	
ZATÍŽITELNOST 		1,000	1,000	1,000	1,000	1,000	1,000								
ZATÍŽITELNOST 		1,000	1,000	1,000	1,000	1,000	1,000								

[illegible]

TAB E		1. ZATÍŽITELNOST - NORMÁLOVÉ NAPĚTÍ									2. ZATÍŽITELNOST - SMYKOVÉ NAPĚTÍ						3. ZATÍŽITELNOST - SROVNÁVACÍ NAPĚTÍ																				
SKUPINA ZATĚŽ STAVŮ		Nx	My	Mz	V	V° Nx	V° My	V° Mz	Nx	My	Mz	KZ č. 25	ZATÍŽITELNOST	Vz	V° Vz	KZ č. 21	ZATÍŽITELNOST	Nx	My	Mz	Vz	V	V° Nx	V° My	V° Mz	V° Vz	Nx	My	Mz	V	V°	KZ č. 25	ZATÍŽITELNOST				
		[kNm]	[kNm]	[kNm]	[-]	[kNm]	[kNm]	[kNm]	[MPa]	[MPa]	[MPa]	[MPa]	[-]	[kNm]	[-]	[kNm]	[MPa]	[-]	[kNm]	[kNm]	[kNm]	[kNm]	[-]	[kNm]	[kNm]	[kNm]	[kNm]	[MPa]	[MPa]	[MPa]	[MPa]	[MPa]	[-]				
 σ_{E-Ed}	G	10,5	0,0	0,0	0,85	8,9	0,0	0,0	8,4	0,0	0,0	8,4	R _e = 213,6 MPa	0,0	1,00	0,0	0,0	R _e = 123,3 MPa	10,5	0,0	0,0	0,0	0,85	8,9	0,0	0,0	0,0	8,4	0,0	0,0	8,4	0,0	8,4	R _e = 213,6 MPa			
	CH	0,0	0,0	0,0	0,0	0,0	0,0	0,0	0,0	0,0	0,0	0,0	0,0	0,0	0,0	0,0	0,0	0,0	0,0	0,0	0,0	0,0	0,0	0,0	0,0	0,0	0,0	0,0	0,0	0,0	0,0	0,0	0,0	R _s = 34,2 MPa			
	W-P	4,8	0,0	0,0	0,50	2,4	0,0	0,0	2,3	0,0	0,0	2,3	R _s = 34,2 MPa	0,0	0,50	0,0	0,0	S= 0,0 MPa	4,8	0,0	0,0	0,0	0,50	2,4	0,0	0,0	0,0	2,3	0,0	2,3	0,0	2,3	0,0	2,3	S= 0,0 MPa		
	RL	0,0	0,0	0,0	0,0	0,0	0,0	0,0	0,0	0,0	0,0	0,0	0,0	0,0	0,0	0,0	0,0	0,0	0,0	0,0	0,0	0,0	0,0	0,0	0,0	0,0	0,0	0,0	0,0	0,0	0,0	0,0	0,0	0,0	R _s = 34,2 MPa		
	T-N	0,0	0,0	0,0	0,0	0,0	0,0	0,0	0,0	0,0	0,0	0,0	0,0	0,0	0,0	0,0	0,0	0,0	0,0	0,0	0,0	0,0	0,0	0,0	0,0	0,0	0,0	0,0	0,0	0,0	0,0	0,0	0,0	0,0	0,0	R _s = 34,2 MPa	
	O	0,0	0,0	0,0	0,50	0,0	0,0	0,0	0,0	0,0	0,0	0,0	0,0	0,0	0,0	0,40	0,0	0,0	0,0	0,0	0,0	0,0	0,0	0,0	0,0	0,0	0,0	0,0	0,0	0,0	0,0	0,0	0,0	0,0	0,0	0,0	R _s = 34,2 MPa
	B	21,3	0,0	0,0	1,00	21,3	0,0	0,0	20,1	0,0	0,0	20,1	Z _{LMT1} = 4,00	0,0	0,80	0,0	0,0	Z _{LMT1} = ≥5	21,3	0,0	0,0	0,0	1,00	21,3	0,0	0,0	0,0	20,1	0,0	20,1	0,0	20,1	0,0	20,1	Z _{LMT1} = 4,00		
	S	7,2	0,0	0,0	0,50	3,6	0,0	0,0	3,4	0,0	0,0	3,4	0,0	0,0	0,40	0,0	0,0	0,0	0,0	7,2	0,0	0,0	0,0	0,50	3,6	0,0	0,0	0,0	3,4	0,0	3,4	0,0	3,4	0,0	3,4	0,0	3,4
K	0,0	0,0	0,0	0,0	0,0	0,0	0,0	0,0	0,0	0,0	0,0	0,0	0,0	0,0	0,0	0,0	0,0	0,0	0,0	0,0	0,0	0,0	0,0	0,0	0,0	0,0	0,0	0,0	0,0	0,0	0,0	0,0	0,0	0,0	0,0		
E _{MPT1.5d}	R2	46,7	0,0	0,0	1,00	46,7	0,0	0,0	44,3	0,0	0,0	44,3	0,0	0,80	0,0	0,0	0,0	0,0	46,7	0,0	0,0	0,0	1,00	46,7	0,0	0,0	0,0	44,3	0,0	44,3	0,0	44,3	0,0	44,3	0,0	44,3	

TAB G	B. ZATÍŽITELNOST - 1.MS - ÚNOSNOST			
DRUH NAPĚTÍ	1. NORMÁLOVÉ σ_x	2. SMYKOVÉ τ	3. SROVNÁVACÍ σ_p	4. MINIMUM 1-3
ZATÍŽITELNOST Z_p	4,00	>5	4,00	4,00
POSUDEK NAPĚTÍ	A	A	A	A
ŘÍDICÍ VNITŘNÍ SÍLA	N_x, \max	N_x, \max	N_x, \max	N_x, \max
KRITICKÝ BOD PRŮŘEZU	1-DL	1-DL	1-DL	1-DL
LINÉÁRNÍ KOMBINACE	25	21	25	25

Pokud se jedná o tah jsou příslušné hodnoty součinitelů rovny 1.0

TAB B		STABILITA PRUTU							TAB C		ROZHODUJÍCÍ LINEÁRNÍ KOMBINACE VNITŘNÍCH SIL					
		TLAK - VZPĚR		OHYB - INTERAKCE S TLAKEM+KLOPENÍ					ROUD.MAT.		Nx, My, Mx, Vz					
POSUDEK NAPĚTÍ			k _{yy}	k _{yz} =k _{zy}	k _{zz}			POSUDEK NAPĚTÍ	ŘÍDICI VNITŘNÍ SÍLA	Nx	My	Mz	Vz	K _f		
	[H]	[H]	[H]	[H]	[H]	[H]	[H]			[kN]	[kNm]	[kNm]	[kN]	[kN]		
A	1,000	1,000	1,000	1,000	1,000	1,000	1,000	A	Nx,max	247,9	0,0	0,0	0,0	25		
B	0.773	0.832	1.130	1.101	0.989	1,000	1.063	B	Nx,min	-290,9	0,0	0,0	0,0	25		
C	1,000	1,000	1,000	1,000	1,000	1,000	1,000	C	My,max	7,0	0,0	0,0	0,0	1		
D	1,000	1,000	1,000	1,000	1,000	1,000	1,000	D	My,min	7,0	0,0	0,0	0,0	1		
E	1,000	1,000	1,000	1,000	1,000	1,000	1,000	E	Mz,max	7,0	0,0	0,0	0,0	1		
F	1,000	1,000	1,000	1,000	1,000	1,000	1,000	F	Mz,min	7,0	0,0	0,0	0,0	1		
G	1,000	1,000	1,000	1,000	1,000	1,000	1,000	G	Vz,max	7,0	0,0	0,0	0,0	1		
H	1,000	1,000	1,000	1,000	1,000	1,000	1,000	H	Vz,min	7,0	0,0	0,0	0,0	1		
ZATÍŽENOST	0.773	0.832	1.373	1.290	0.968	1,000	1.083									
ZATÍŽENOST	0.773	0.832	1.373	1.290	0.968	1,000	1.083									

TAB G	B. ZATÍŽITELNOST - 1.MS - ÚNOSNOST			
DRUH NAPĚTÍ	1. NORMÁLOVÉ σ_x	2. SMYKOVÉ τ	3. SROVNÁVACÍ σ_a	4. MINIMUM 1-3
ZATÍŽITELNOST Z_p	>5	>5	>5	>5
POSUDEK NAPĚTÍ	B	A	B	B
ŘÍDICÍ VNITŘNÍ SÍLA	$N_{x,min}$	$N_{x,max}$	$N_{x,min}$	$N_{x,min}$
KRITICKÝ BOD PRŮŘEZU	1-DL	1-DL	1-DL	1-DL
LINEÁRNÍ KOMBINACE	25	21	25	25

Pokud se jedná o tah jsou příslušné hodnoty součinitelů rovny 1.0

TAB B		STABILITA PRUTU							TAB C		ROZHODUJÍCÍ LINEÁRNÍ KOMBINACE VNITŘNÍCH SIL				
TLAK - VZPER		OHYB - INTERAKCE S TLAKEM+KLOPENÍ						SOUC.MAT		Nx, My, Mx, Vz					
POSUDEK NAPĚTÍ			k_{xy}	k_{yz}/k_{zy}	k_{yz}			POSUDEK NAPĚTÍ	Řídící VNITŘNÍ SILA	Nx	My	Mz	Vz	K	
			[H]	[H]	[H]	[H]	[H]			[kN]	[kNm]	[kNm]	[kN]	[H]	
A	1,000	1,000	1,000	1,000	1,000	1,000	1,000	A	Nx,max	28,3	42,5	6,5	12,6	38	
B	0,997	0,512	1,003	1,024	0,997	1,000	1,083	B	Nx,min	-53,7	-135,0	-10,1	50,8	38	
C	0,997	0,512	1,002	1,020	0,998	1,000	1,083	C	My,max	-46,3	157,1	8,7	39,5	38	
D	0,997	0,512	1,002	1,023	0,997	1,000	1,083	D	My,min	-51,1	-141,4	-10,1	52,1	38	
E	0,997	0,512	1,000	1,000	1,000	1,000	1,083	E	Mz,max	-0,9	6,0	21,7	-2,9	38	
F	0,997	0,512	1,001	1,011	0,999	1,000	1,083	F	Mz,min	-24,0	-32,4	-21,5	15,0	38	
G	0,997	0,512	1,003	1,023	0,997	1,000	1,083	G	Vz,max	-52,9	-46,1	7,8	52,5	38	
H	1,000	1,000	1,000	1,000	1,000	1,000	1,000	H	Vz,min	4,8	-42,3	9,1	-25,3	26	
ZATÍŽITELNOST	0,997	0,512	1,001	1,009	0,999	1,000	1,083								
ZATÍŽITELNOST	0,997	0,512	1,001	1,009	0,999	1,000	1,083								








TAB G	B. ZATÍŽITELNOST - 1.MS - ÚNOSNOST			
DRUH NAPĚTÍ	1. NORMÁLOVÉ σ_x	2. SMYKOVÉ τ	3. SROVNÁVACÍ σ_p	4. MINIMUM 1-3
ZATÍŽITELNOST Z_p	4,01	>5	4,01	4,01
POSUDEK NAPĚTÍ	F	G	F	F
ŘÍDICÍ VNITŘNÍ SÍLA	Mz,min	Vz,max	Mz,min	Mz,min
KRITICKÝ BOD PRŮŘEZU	1-DL	9-T	1-DL	1-DL
LINEÁRNÍ KOMBINACE	25	26	25	25

Pokud se jedná o tah jsou příslušné hodnoty součinitelů rovny 1.0

TAB B		STABILITA PRUTU							TAB C		ROZHODUJÍCÍ LINEÁRNÍ KOMBINACE VNITŘNÍCH SIL					
		TLAK - VZPĚR		OHYB - INTERAKCE S TLAKEM+KLOPENÍ				SOUD. MAT.			Nx, My, Mx, Vz					
POSUDEK NAPĚTÍ			k_{yy}	k_{xx}	k_{yz}	k_{xy}	k_{zz}			POSUDEK NAPĚTÍ	ŘÍDÍCÍ VNITŘNÍ SILA	Nx	My	Mz	Vz	K.č.
	[N]	[N]	[N]	[N]	[N]	[N]	[N]	[N]	[N]			[kN]	[kNm]	[kNm]	[kN]	[N]
A	1,000	1,000	1,000	1,000	1,000	1,000	1,000	1,000	1,000	A	Nx,max	13,2	-186,5	49,1	20,5	38
B	0,974	0,822	1,064	1,176	0,980	1,000	1,083	1,000	1,083	B	Nx,min	-5 370,8	205,9	-40,3	-33,6	26
C	0,974	0,822	1,035	1,096	0,989	1,000	1,083	1,000	1,083	C	My,max	-2 919,0	533,0	-10,2	1,3	42
D	0,974	0,822	1,032	1,086	0,990	1,000	1,083	1,000	1,083	D	My,min	-2 632,6	-587,8	-2,7	-32,6	41
E	0,974	0,822	1,026	1,071	0,992	1,000	1,083	1,000	1,083	E	Mz,max	-2 170,7	-340,0	182,5	-30,7	38
F	0,974	0,822	1,028	1,077	0,991	1,000	1,083	1,000	1,083	F	Mz,min	-2 356,7	-113,9	-187,0	-19,1	37
G	0,974	0,822	1,040	1,108	0,988	1,000	1,083	1,000	1,083	G	Vz,max	-3 298,2	-298,8	-65,3	49,9	21
H	0,974	0,822	1,036	1,097	0,989	1,000	1,083	1,000	1,083	H	Vz,min	-2 973,0	-303,3	-7,9	-50,7	22
ZATÍŽITELNOST σ_x	0,974	0,822	1,139	1,380	0,958	1,000	1,083	1,000	1,083							
ZATÍŽITELNOST σ_y	0,974	0,822	1,139	1,380	0,958	1,000	1,083	1,000	1,083							

TAB G	B. ZATÍŽITELNOST - 1.MS - ÚNOSNOST			
DRUH NAPĚTÍ	1. NORMÁLOVÉ σ_N	2. SMYKOVÉ τ	3. SROVNÁVACÍ σ_N	4. MINIMUM 1-3
ZATÍŽITELNOST Z_p	2,76	>5	2,76	2,76
POSUDEK NAPĚTÍ	B	G	B	B
ŘÍDÍCÍ VNITŘNÍ SÍLA	$N_{x,min}$	$V_{z,max}$	$N_{x,min}$	$N_{x,min}$
KRITICKÝ BOD PRŮŘEZU	3-HL	9-T	3-HL	3-HL
LINEÁRNÍ KOMBINACE	26	25	26	26

Pokud se jedná o tah jsou příslušné hodnoty součinitelů rovny 1.0

TAB B		STABILITA PRUTU							TAB C		ROZHODUJÍCÍ LINEÁRNÍ KOMBINACE VNITŘNÍCH SIL				
		TLAK - VZPĚR		OHYB - INTERAKCE S TLAKEM+KLOPENÍ					ROUD. MAT.		Nx, My, Mx, Vz				
POSUDEK			k_{yy}	$k_{yz}=k_{zy}$	k_{zz}	α_T		POSUDEK	ŘÍDÍCI	Nx	My	Mz	Vz	K	
NAPĚTÍ			[H]	[H]	[H]	[H]	[H]	NAPĚTÍ	VNITŘNÍ SILA	[kN]	[kNm]	[kNm]	[kN]	[kN]	
A	1,000	1,000	1,000	1,000	1,000	1,000	1,000	A	Nx,max	7,6	-254,6	68,9	20,0	38	
B	0,975	0,816	1,075	1,213	0,976	1,000	1,083	B	Nx,min	-5 484,7	116,3	1,2	-32,5	26	
C	0,975	0,816	1,033	1,094	0,990	1,000	1,083	C	My,max	-2 407,5	471,5	-49,3	-1,8	41	
D	0,975	0,816	1,037	1,106	0,988	1,000	1,083	D	My,min	-2 713,8	-605,0	17,0	-14,3	41	
E	0,975	0,816	1,038	1,109	0,988	1,000	1,083	E	Mz,max	-2 801,6	-342,5	220,4	19,9	37	
F	0,975	0,816	1,040	1,114	0,987	1,000	1,083	F	Mz,min	-2 944,3	-370,5	-213,2	-19,1	37	
G	0,975	0,816	1,034	1,096	0,989	1,000	1,083	G	Vz,max	-2 457,0	-318,5	-73,5	50,5	21	
H	0,975	0,816	1,034	1,097	0,989	1,000	1,083	H	Vz,min	-2 499,4	-266,9	22,8	-49,5	21	
ZATÍŽITELNOST 	0,975	0,816	1,149	1,424	0,953	1,000	1,083								
ZATÍŽITELNOST 	0,975	0,816	1,149	1,424	0,953	1,000	1,083								

[illegible][illegible]

TAB G	B. ZATÍŽITELNOST - 1.MS - ÚNOSNOST			
DRUH NAPĚTÍ	1. NORMÁLOVÉ σ_x	2. SMYKOVÉ τ	3. SROVNÁVACÍ σ_a	4.MINIMUM 1-3
ZATÍŽITELNOST Z_p	2,51	>5	2,51	2,51
POSUDEK NAPĚTÍ	B	G	B	B
ŘÍDICÍ VNITŘNÍ SÍLA	$N_{x,min}$	$V_{z,max}$	$N_{x,min}$	$N_{x,min}$
KRITICKÝ BOD PRŮŘEZU	3-HL	9-T	3-HL	3-HL
LINEÁRNÍ KOMBINACE	26	21	26	26

TAB 6 20 A. POSOUZENÍ - 1.MS - ÚNOSNOST

POSUDEK: 20 PRŮŘEZ: O_3 PRUT X[m] OZNAČENÍ: O_3 POPIS: OBLOUK 3 i j

SOUČINITEL KOROZE k = 1,00

POUŽITÁ OBLIČNÁ METODA POSUDKU KOMBINACE TLAKU A OHYBU ČSN EN 1993-1-1 6.3.4

Konzervativně uvažován C_{en}=C_{enL}=1.0

Pokud se jedná o tah jsou příslušné hodnoty součinitelů rovny 1.0

TAB A		PRŮŘEZOVÉ CHARAKTERISTIKY KRITICKÉHO PRŮŘEZU											
KRITICKÉ BODY PRŮŘEZU PRO POSOUZENÍ NAPĚTÍ		TAH, TLAK N_x				OHYB M_y, M_z					SMYK V_z		
		A_x	$A_{y,rot}$	$A_{x,rot}$	W_y	W_z	$W_{y,rot}$	$W_{x,rot}$	$W_{z,rot}$	$W_{x,rot}$	S_y	I_y	I_z
OZN.	POPIS	[mm ²]	[mm ²]	[mm ²]	[mm ³]	[mm ³]	[mm ³]	[mm ³]	[mm ³]	[mm ³]	[mm ⁴]	[mm ⁴]	[mm ⁴]
1-DL	bod 1- dolní vlákná průřezu, levý okraj	5,600E+04	5,600E+04	5,600E+04	1,090E+07	1,122E+07	1,090E+07	1,090E+07	1,122E+07	1,122E+07	-	-	-
2-DP	bod 2- dolní vlákná průřezu, pravý okraj	5,600E+04	5,600E+04	5,600E+04	1,090E+07	1,122E+07	1,090E+07	1,090E+07	1,122E+07	1,122E+07	-	-	-
3-HL	bod 3- horní vlákná průřezu, levý okraj	5,600E+04	5,600E+04	5,600E+04	-1,090E+07	1,122E+07	-1,090E+07	-1,090E+07	1,122E+07	1,122E+07	-	-	-
4-HP	bod 4- horní vlákná průřezu, pravý okraj	5,600E+04	5,600E+04	5,600E+04	-1,090E+07	1,122E+07	-1,090E+07	-1,090E+07	1,122E+07	1,122E+07	-	-	-
5-SD1	bod 5- dolní vlákná stěny 1	5,600E+04	5,600E+04	5,600E+04	1,158E+07	1,122E+07	1,158E+07	1,158E+07	1,122E+07	1,122E+07	3,961E+06	3,707E+09	50,0
6-SH1	bod 6- horní vlákná stěny 1	5,600E+04	5,600E+04	5,600E+04	1,158E+07	1,122E+07	1,158E+07	1,158E+07	1,122E+07	1,122E+07	3,961E+06	3,707E+09	50,0
7-SD2	bod 7- dolní vlákná stěny 2	5,600E+04	5,600E+04	5,600E+04	1,158E+07	1,122E+07	1,158E+07	1,158E+07	1,122E+07	1,122E+07	3,961E+06	3,707E+09	50,0
8-SH2	bod 8- horní vlákná stěny 2	5,600E+04	5,600E+04	5,600E+04	-1,158E+07	1,122E+07	-1,158E+07	-1,158E+07	1,122E+07	1,122E+07	3,961E+06	3,707E+09	50,0
9-T	bod 9- těžiště plného průřezu	5,600E+04	5,600E+04	5,600E+04	-	-	-	-	-	-	6,520E+06	3,707E+09	50,0

TAB B		STABILITA PRUTU								TAB C		ROZHODUJÍCÍ LINEÁRNÍ KOMBINACE VNITŘNÍCH SIL					
POSUDEK		TLAK - VZPĚR		OHYB - INTERAKCE S TLAKEM+KLOPENÍ				ROUČ. MAT		POSUDEK		ŘÍDÍCÍ		Nx, My, Mz, Vz			
NAPĚTÍ		[k]	[k]	k _{ty}	k _{ty} =k _{ty}	k _{ty}	k _{ty}	[k]	[k]	NAPĚTÍ		VNITŘNÍ SÍLA		Nx	My	Mz	Vz
		[k]	[k]	[k]	[k]	[k]	[k]	[k]	[k]					[kN]	[kNm]	[kNm]	[kN]
A	1,000	1,000	1,000	1,000	1,000	1,000	1,000	1,000	1,000	A	Nx,max	9,1		-236,3	40,2	25,1	38
B	0,973	0,825	1,089	1,238	0,974	1,000	1,083	B	Nx,min	-5 788,3		-11,8		179,9	32,1	26	
C	0,973	0,825	1,027	1,073	0,992	1,000	1,083	C	My,max	-1 784,1		377,4		43,8	4,3	41	
D	0,973	0,825	1,032	1,085	0,991	1,000	1,083	D	My,min	-2 074,5		-742,8		86,4	-61,5	41	
E	0,973	0,825	1,049	1,132	0,985	1,000	1,083	E	Mz,max	-3 205,3		-389,1		334,0	43,3	38	
F	0,973	0,825	1,047	1,124	0,986	1,000	1,083	F	Mz,min	-3 025,6		-277,8		-337,7	-25,8	37	
G	0,973	0,825	1,029	1,077	0,991	1,000	1,083	G	Vz,max	-1 878,2		-132,6		-133,2	62,7	42	
H	0,973	0,825	1,026	1,070	0,992	1,000	1,083	H	Vz,min	-1 697,5		-695,6		104,6	-65,4	42	
ZATÍŽITELNOST	0,973	0,825	1,139	1,371	0,959	1,000	1,083										
ZATÍŽITELNOST	0,973	0,825	1,139	1,371	0,959	1,000	1,083										

TAB D		PŘEHLED NAPĚTÍ V KRITICKÝCH BODECH PRŮŘEZU OD ROZHODUJÍCÍ LINEÁRNÍ KOMBINACE ZATÍŽENÍ																																																																																																																																																																																																																																																																																																																																																																																																																																																																																																																																																																																																																																																																																																																																																															
KRITICKÉ BODY PRŮŘEZU PRO POSOUZENÍ NAPĚTÍ		POSUDEK A				POSUDEK B				POSUDEK C				POSUDEK D				POSUDEK E				POSUDEK F				POSUDEK G				POSUDEK H				MAXIMÁLNÍ HODNOTY NAPĚTÍ V KRITICKÝCH BODECH PRŮŘEZU																																																																																																																																																																																																																																																																																																																																																																																																																																																																																																																																																																																																																																																																																																																															
		σ_{\perp}	σ_{\parallel}	$\tau_{\perp\parallel}$	$\tau_{\parallel\perp}$	σ_{\perp}	σ_{\parallel}	$\tau_{\perp\parallel}$	$\tau_{\parallel\perp}$	σ_{\perp}	σ_{\parallel}	$\tau_{\perp\parallel}$	$\tau_{\parallel\perp}$	σ_{\perp}	σ_{\parallel}	$\tau_{\perp\parallel}$	$\tau_{\parallel\perp}$	σ_{\perp}	σ_{\parallel}	$\tau_{\perp\parallel}$	$\tau_{\parallel\perp}$	σ_{\perp}	σ_{\parallel}	$\tau_{\perp\parallel}$	$\tau_{\parallel\perp}$	σ_{\perp}	σ_{\parallel}	$\tau_{\perp\parallel}$	$\tau_{\parallel\perp}$	σ_{\perp}	σ_{\parallel}	$\tau_{\perp\parallel}$	$\tau_{\parallel\perp}$	σ_{\perp}	σ_{\parallel}	$\tau_{\perp\parallel}$	$\tau_{\parallel\perp}$	ROZHODUJÍ																																																																																																																																																																																																																																																																																																																																																																																																																																																																																																																																																																																																																																																																																																																											
OZN.	POPIS	[MPa]	[MPa]	[MPa]	[MPa]	[MPa]	[MPa]	[MPa]	[MPa]	[MPa]	[MPa]	[MPa]	[MPa]	[MPa]	[MPa]	[MPa]	[MPa]	[MPa]	[MPa]	[MPa]	[MPa]	[MPa]	[MPa]	[MPa]	[MPa]	[MPa]	[MPa]	[MPa]	[MPa]	[MPa]	[MPa]	[MPa]	[MPa]	[MPa]	[MPa]	[MPa]	[MPa]	[MPa]	[MPa]	[MPa]	[MPa]	[MPa]	[MPa]	[MPa]	[MPa]	[MPa]	[MPa]	[MPa]	[MPa]	[MPa]	[MPa]	[MPa]	[MPa]	[MPa]	[MPa]	[MPa]	[MPa]	[MPa]	[MPa]	[MPa]	[MPa]	[MPa]	[MPa]	[MPa]	[MPa]	[MPa]	[MPa]	[MPa]	[MPa]	[MPa]	[MPa]	[MPa]	[MPa]	[MPa]	[MPa]	[MPa]	[MPa]	[MPa]	[MPa]	[MPa]	[MPa]	[MPa]	[MPa]	[MPa]	[MPa]	[MPa]	[MPa]	[MPa]	[MPa]	[MPa]	[MPa]	[MPa]	[MPa]	[MPa]	[MPa]	[MPa]	[MPa]	[MPa]	[MPa]	[MPa]	[MPa]	[MPa]	[MPa]	[MPa]	[MPa]	[MPa]	[MPa]	[MPa]	[MPa]	[MPa]	[MPa]	[MPa]	[MPa]	[MPa]	[MPa]	[MPa]	[MPa]	[MPa]	[MPa]	[MPa]	[MPa]	[MPa]	[MPa]	[MPa]	[MPa]	[MPa]	[MPa]	[MPa]	[MPa]	[MPa]	[MPa]	[MPa]	[MPa]	[MPa]	[MPa]	[MPa]	[MPa]	[MPa]	[MPa]	[MPa]	[MPa]	[MPa]	[MPa]	[MPa]	[MPa]	[MPa]	[MPa]	[MPa]	[MPa]	[MPa]	[MPa]	[MPa]	[MPa]	[MPa]	[MPa]	[MPa]	[MPa]	[MPa]	[MPa]	[MPa]	[MPa]	[MPa]	[MPa]	[MPa]	[MPa]	[MPa]	[MPa]	[MPa]	[MPa]	[MPa]	[MPa]	[MPa]	[MPa]	[MPa]	[MPa]	[MPa]	[MPa]	[MPa]	[MPa]	[MPa]	[MPa]	[MPa]	[MPa]	[MPa]	[MPa]	[MPa]	[MPa]	[MPa]	[MPa]	[MPa]	[MPa]	[MPa]	[MPa]	[MPa]	[MPa]	[MPa]	[MPa]	[MPa]	[MPa]	[MPa]	[MPa]	[MPa]	[MPa]	[MPa]	[MPa]	[MPa]	[MPa]	[MPa]	[MPa]	[MPa]	[MPa]	[MPa]	[MPa]	[MPa]	[MPa]	[MPa]	[MPa]	[MPa]	[MPa]	[MPa]	[MPa]	[MPa]	[MPa]	[MPa]	[MPa]	[MPa]	[MPa]	[MPa]	[MPa]	[MPa]	[MPa]	[MPa]	[MPa]	[MPa]	[MPa]	[MPa]	[MPa]	[MPa]	[MPa]	[MPa]	[MPa]	[MPa]	[MPa]	[MPa]	[MPa]	[MPa]	[MPa]	[MPa]	[MPa]	[MPa]	[MPa]	[MPa]	[MPa]	[MPa]	[MPa]	[MPa]	[MPa]	[MPa]	[MPa]	[MPa]	[MPa]	[MPa]	[MPa]	[MPa]	[MPa]	[MPa]	[MPa]	[MPa]	[MPa]	[MPa]	[MPa]	[MPa]	[MPa]	[MPa]	[MPa]	[MPa]	[MPa]	[MPa]	[MPa]	[MPa]	[MPa]	[MPa]	[MPa]	[MPa]	[MPa]	[MPa]	[MPa]	[MPa]	[MPa]	[MPa]	[MPa]	[MPa]	[MPa]	[MPa]	[MPa]	[MPa]	[MPa]	[MPa]	[MPa]	[MPa]	[MPa]	[MPa]	[MPa]	[MPa]	[MPa]	[MPa]	[MPa]	[MPa]	[MPa]	[MPa]	[MPa]	[MPa]	[MPa]	[MPa]	[MPa]	[MPa]	[MPa]	[MPa]	[MPa]	[MPa]	[MPa]	[MPa]	[MPa]	[MPa]	[MPa]	[MPa]	[MPa]	[MPa]	[MPa]	[MPa]	[MPa]	[MPa]	[MPa]	[MPa]	[MPa]	[MPa]	[MPa]	[MPa]	[MPa]	[MPa]	[MPa]	[MPa]	[MPa]	[MPa]	[MPa]	[MPa]	[MPa]	[MPa]	[MPa]	[MPa]	[MPa]	[MPa]	[MPa]	[MPa]	[MPa]	[MPa]	[MPa]	[MPa]	[MPa]	[MPa]	[MPa]	[MPa]	[MPa]	[MPa]	[MPa]	[MPa]	[MPa]	[MPa]	[MPa]	[MPa]	[MPa]	[MPa]	[MPa]	[MPa]	[MPa]	[MPa]	[MPa]	[MPa]	[MPa]	[MPa]	[MPa]	[MPa]	[MPa]	[MPa]	[MPa]	[MPa]	[MPa]	[MPa]	[MPa]	[MPa]	[MPa]	[MPa]	[MPa]	[MPa]	[MPa]	[MPa]	[MPa]	[MPa]	[MPa]	[MPa]	[MPa]	[MPa]	[MPa]	[MPa]	[MPa]	[MPa]	[MPa]	[MPa]	[MPa]	[MPa]	[MPa]	[MPa]	[MPa]	[MPa]	[MPa]	[MPa]	[MPa]	[MPa]	[MPa]	[MPa]	[MPa]	[MPa]	[MPa]	[MPa]	[MPa]	[MPa]	[MPa]	[MPa]	[MPa]	[MPa]	[MPa]	[MPa]	[MPa]	[MPa]	[MPa]	[MPa]	[MPa]	[MPa]	[MPa]	[MPa]	[MPa]	[MPa]	[MPa]	[MPa]	[MPa]	[MPa]	[MPa]	[MPa]	[MPa]	[MPa]	[MPa]	[MPa]	[MPa]	[MPa]	[MPa]	[MPa]	[MPa]	[MPa]	[MPa]	[MPa]	[MPa]	[MPa]	[MPa]	[MPa]	[MPa]	[MPa]	[MPa]	[MPa]	[MPa]	[MPa]	[MPa]	[MPa]	[MPa]	[MPa]	[MPa]	[MPa]	[MPa]	[MPa]	[MPa]	[MPa]	[MPa]	[MPa]	[MPa]	[MPa]	[MPa]	[MPa]	[MPa]	[MPa]	[MPa]	[MPa]	[MPa]	[MPa]	[MPa]	[MPa]	[MPa]	[MPa]	[MPa]	[MPa]	[MPa]	[MPa]	[MPa]	[MPa]	[MPa]	[MPa]	[MPa]	[MPa]	[MPa]	[MPa]	[MPa]	[MPa]	[MPa]	[MPa]	[MPa]	[MPa]	[MPa]	[MPa]	[MPa]	[MPa]	[MPa]	[MPa]	[MPa]	[MPa]	[MPa]	[MPa]	[MPa]	[MPa]	[MPa]	[MPa]	[MPa]	[MPa]	[MPa]	[MPa]	[MPa]	[MPa]	[MPa]	[MPa]	[MPa]	[MPa]	[MPa]	[MPa]	[MPa]	[MPa]	[MPa]	[MPa]	[MPa]	[MPa]	[MPa]	[MPa]	[MPa]	[MPa]	[MPa]	[MPa]	[MPa]	[MPa]	[MPa]	[MPa]	[MPa]	[MPa]	[MPa]	[MPa]	[MPa]	[MPa]	[MPa]	[MPa]	[MPa]	[MPa]	[MPa]	[MPa]	[MPa]	[MPa]	[MPa]	[MPa]	[MPa]	[MPa]	[MPa]	[MPa]	[MPa]	[MPa]	[MPa]	[MPa]	[MPa]	[MPa]	[MPa]	[MPa]	[MPa]	[MPa]	[MPa]	[MPa]	[MPa]	[MPa]	[MPa]	[MPa]	[MPa]	[MPa]	[MPa]	[MPa]	[MPa]	[MPa]	[MPa]	[MPa]	[MPa]	[MPa]	[MPa]	[MPa]	[MPa]	[MPa]	[MPa]	[MPa]	[MPa]	[MPa]	[MPa]	[MPa]	[MPa]	[MPa]	[MPa]	[MPa]	[MPa]	[MPa]	[MPa]	[MPa]	[MPa]	[MPa]	[MPa]	[MPa]	[MPa]	[MPa]	[MPa]	[MPa]	[MPa]	[MPa]	[MPa]	[MPa]	[MPa]	[MPa]	[MPa]	[MPa]	[MPa]	[MPa]	[MPa]	[MPa]	[MPa]	[MPa]	[MPa]	[MPa]	[MPa]	[MPa]	[MPa]	[MPa]	[MPa]	[MPa]	[MPa]	[MPa]	[MPa]	[MPa]	[MPa]	[MPa]	[MPa]	[MPa]	[MPa]	[MPa]	[MPa]	[MPa]	[MPa]	[MPa]	[MPa]	[MPa]	[MPa]	[MPa]	[MPa]	[MPa]	[MPa]	[MPa]	[MPa]	[MPa]	[MPa]	[MPa]	[MPa]	[MPa]	[MPa]	[MPa]	[MPa]	[MPa]	[MPa]	[MPa]	[MPa]	[MPa]	[MPa]	[MPa]	[MPa]	[MPa]	[MPa]	[MPa]	[MPa]	[MPa]	[MPa]	[MPa]	[MPa]	[MPa]	[MPa]	[MPa]	[MPa]	[MPa]	[MPa]	[MPa]	[MPa]	[MPa]	[MPa]	[MPa]	[MPa]	[MPa]	[MPa]	[MPa]	[MPa]	[MPa]	[MPa]	[MPa]	[MPa]	[MPa]	[MPa]	[MPa]	[MPa]	[MPa]	[MPa]	[MPa]	[MPa]	[MPa]	[MPa]	[MPa]	[MPa]	[MPa]	[MPa]	[MPa]	[MPa]	[MPa]	[MPa]	[MPa]	[

TAB 7 20 B. ZATÍŽITELNOST - 1.MS - ÚNOSNOST

TAB E		1. ZATÍŽITELNOST - NORMÁLOVÉ NAPĚTÍ												2. ZATÍŽITELNOST - SMYKOVÉ NAPĚTÍ												3. ZATÍŽITELNOST - SROVNÁVACÍ NAPĚTÍ															
		KZ č. 26												KZ č. 21												KZ č. 26															
SKUPINA		Nx	My	Mz	Vz	Nx	My	Mz	Vz	Nx	My	Mz	Vz	Nx	My	Mz	Vz	Nx	My	Mz	Vz	Nx	My	Mz	Vz	Nx	My	Mz	Vz	Nx	My	Mz	Vz	Nx	My	Mz	Vz				
ZATĚŽ. STAVŮ		[kN]	[kNm]	[kNm]	[k]	[kN]	[kNm]	[kNm]	[MPa]	[MPa]	[MPa]	[MPa]	[MPa]	[kN]	[kNm]	[kNm]	[MPa]	[MPa]	[MPa]	[MPa]	[MPa]	[MPa]	[MPa]	[MPa]	[MPa]	[kN]	[kNm]	[kNm]	[MPa]	[MPa]	[MPa]	[MPa]	[MPa]	[MPa]	[MPa]	[MPa]					
E ₁ =E ₂ =E ₃	G	-1 877,8	-108,7	28,0	0,85	-1 596,1	-92,4	23,8	-29,3	-9,7	-2,9	-41,9	0,0	R _s =	197,2	MPa	-26,4	1,00	-26,4	0,9	R _s =	123,3	MPa	-1 877,8	-108,7	28,0	25,4	0,85	-1 596,1	-92,4	23,8	21,6	-29,3	-9,7	-2,9	-41,9	0,0	41,9	R _s =	197,2	MPa
	CH	0,0	0,0	0,0	0,00	0,0	0,0	0,0	0,0	0,0	0,0	0,0	0,0	0,0	0,0	0,0	0,0	0,0	0,0	0,0	0,0	0,0	0,0	0,0	0,0	0,0	0,0	0,0	0,0	0,0	0,0	0,0	0,0	0,0	0,0	0,0	0,0	0,0	0,0		
	W-P	-437,9	-5,2	203,4	0,50	-219,0	-2,6	101,7	-4,0	-0,3	-12,4	-16,7	0,0	R _s =	-58,6	MPa	-3,1	0,50	-1,5	0,1	R _s =	1,0	MPa	-437,9	-5,2	203,4	-0,3	0,50	-219,0	-2,6	101,7	-0,2	-4,0	-0,3	-12,4	-16,7	0,0	16,7	R _s =	-58,6	MPa
	RL	0,0	0,0	0,0	0,00	0,0	0,0	0,0	0,0	0,0	0,0	0,0	0,0	0,0	0,0	0,0	0,0	0,0	0,0	0,0	0,0	0,0	0,0	0,0	0,0	0,0	0,0	0,0	0,0	0,0	0,0	0,0	0,0	0,0	0,0	0,0	0,0	0,0	0,0		
	T-N	0,0	0,0	0,0	0,00	0,0	0,0	0,0	0,0	0,0	0,0	0,0	0,0	0,0	0,0	0,0	0,0	0,0	0,0	0,0	0,0	0,0	0,0	0,0	0,0	0,0	0,0	0,0	0,0	0,0	0,0	0,0	0,0	0,0	0,0	0,0	0,0	0,0	0,0		
	O	-58,4	12,8	-2,0	1,00	-58,4	12,8	-2,0	-1,1	1,3	0,2	0,5	0,0	0,0	0,0	0,0	0,0	0,0	0,0	0,0	0,0	0,0	0,0	0,0	0,0	0,0	0,0	0,0	0,0	0,0	0,0	0,0	0,0	0,0	0,0	0,0	0,0	0,0	0,0		
	B	-44,9	10,3	-1,9	0,50	-22,5	5,1	-0,9	-0,4	0,5	0,1	0,2	0,0	0,0	0,0	0,0	0,0	0,0	0,0	0,0	0,0	0,0	0,0	0,0	0,0	0,0	0,0	0,0	0,0	0,0	0,0	0,0	0,0	0,0	0,0	0,0	0,0	0,0			
	S	-38,7	-0,1	0,8	1,00	-38,7	-0,1	0,8	-0,7	0,0	-0,1	-0,8	0,0	0,0	0,0	0,0	0,0	0,0	0,0	0,0	0,0	0,0	0,0	0,0	0,0	0,0	0,0	0,0	0,0	0,0	0,0	0,0	0,0	0,0	0,0	0,0	0,0	0,0	0,0		
E ₁ ≠E ₂ ≠E ₃	K	0,0	0,0	0,0	0,00	0,0	0,0	0,0	0,0	0,0	0,0	0,0	0,0	0,0	0,0	0,0	0,0	0,0	0,0	0,0	0,0	0,0	0,0	0,0	0,0	0,0	0,0	0,0	0,0	0,0	0,0	0,0	0,0	0,0	0,0	0,0	0,0	0,0			
E ₁ ≠E ₂ ≠E ₃	R2	-3 798,6	-32,9	52,8	1,00	-3 798,6	-32,9	52,8	-69,7	-3,4	-6,5	-79,6	0,0	0,0	0,0	0,0	0,0	0,0	0,0	0,0	0,0	0,0	0,0	0,0	0,0	0,0	0,0	0,0	0,0	0,0	0,0	0,0	0,0	0,0	0,0	0,0	0,0	0,0	0,0		
E ₁ ≠E ₂ ≠E ₃	R2	-3 798,6	-32,9	52,8	1,6	1,00	-3 798,6	-32,9	52,8	1,6	-69,7	-3,4	-6,5	-79,6	0,0	0,0	0,0	0,0	0,0	0,0	0,0	0,0	0,0	0,0	0,0	0,0	0,0	0,0	0,0	0,0	0,0	0,0	0,0	0,0	0,0	0,0	0,0	0,0	0,0		

Pokud se jedná o tah jsou příslušné hodnoty součinitelů rovny 1.0

TAB B		STABILITA PRUTU							TAB C		ROZHODUJÍCÍ LINEÁRNÍ KOMBINACE VNITŘNÍCH SIL				
TLAK - VZPER		OHYB - INTERAKCE S TLAKEM+KLOPENÍ						SOUC.MAT		Nx, My, Mx, Vz					
POSUDEK NAPĚTÍ			k_{yy}	$k_{yy}+k_{zz}$	k_{yz}			POSUDEK NAPĚTÍ	Řídící VNITŘNÍ SILA	Nx	My	Mz	Vz	K	
	[H]	[H]	[H]	[H]	[H]	[H]	[H]			[kN]	[kNm]	[kNm]	[kN]	[kN]	
A	1,000	1,000	1,000	1,000	1,000	1,000	1,000	A	Nx,max	340,9	105,2	5,1	23,4	25	
B	1,000	0,962	1,004	1,008	0,999	1,000	1,083	B	Nx,min	-96,7	-15,0	-1,9	-4,5	25	
C	1,000	1,000	1,000	1,000	1,000	1,000	1,000	C	My,max	225,1	140,8	-7,3	108,1	26	
D	1,000	1,000	1,000	1,000	1,000	1,000	1,000	D	My,min	49,9	-98,7	9,2	166,0	26	
E	1,000	1,000	1,000	1,000	1,000	1,000	1,000	E	Mz,max	124,3	-44,2	19,8	160,0	26	
F	1,000	1,000	1,000	1,000	1,000	1,000	1,000	F	Mz,min	151,2	78,9	-15,6	21,5	26	
G	1,000	1,000	1,000	1,000	1,000	1,000	1,000	G	Vz,max	119,3	-74,7	13,7	220,3	26	
H	1,000	1,000	1,000	1,000	1,000	1,000	1,000	H	Vz,min	148,7	-55,2	12,2	-201,0	26	
ZATÍŽITELNOST	1,000	1,000	1,000	1,000	1,000	1,000	1,000								
ZATÍŽITELNOST	1,000	1,000	1,000	1,000	1,000	1,000	1,000								

[illegible]

TAB G	B. ZATÍŽITELNOST - 1.MS - ÚNOSNOST			
DRUH NAPĚTÍ	1. NORMÁLOVÉ σ_x	2. SMYKOVÉ τ	3. SROVNÁVACÍ σ_p	4. MINIMUM 1-3
ZATÍŽITELNOST Z_p	2,18	2,84	2,18	2,18
POSUDEK NAPĚTÍ	C	G	C	C
ŘÍDICÍ VNITŘNÍ SÍLA	My,max	Vz,max	My,max	My,max
KRITICKÝ BOD PRŮŘEZU	2-DP	9-T	2-DP	2-DP
LINEÁRNÍ KOMBINACE	26	26	26	26

A. POSOUZENÍ - 1.MS - ÚNOSNOST

POSUDEK: 22 PRŮŘEZ: D_2
OZNAČENÍ: D_2 POPIS: PODÉLNÍK 2

PRUT	X[m]
i	j



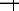







SOUČINITEL KOROZE k = 1,00

POUŽITÁ OBECNÁ METODA POSUDKU KOMBINACE TLAKU A OHYBU ČSN EN 1993-1-1 6.3.4

Konzervativně uvažován $C_{my}=C_{mz}=C_{mLT}=1.0$

Pokud se jedná o tah jsou příslušné hodnoty součinitelů rovny 1.0

TAB A		PRŮŘEZOVÉ CHARAKTERISTIKY KRITICKÉHO PRŮŘEŽU											
KRITICKÉ BODY PRŮŘEŽU PRO POSOUZENÍ NAPĚTÍ		TAH, TLAK Nx				OHYB My, Mz				SMYK Vz			
		A _x	A _{y,rot.1}	A _{y,rot.2}	W _y	W _{x,rot.1}	W _{x,rot.2}	W _{y,rot.1}	W _{y,rot.2}	S _y	I _y	I _z	
QZN.	POPIS	[mm ²]	[mm ²]	[mm ²]	[mm ³]	[mm ³]	[mm ³]	[mm ³]	[mm ³]	[mm ³]	[mm ⁴]	[mm ⁴]	[mm ⁴]
1-DL	bod 1- dolní vlákna průřezu, levý okraj	1,072E+04	1,072E+04	1,072E+04	1,500E+06	2,594E+05	1,500E+06	1,500E+06	2,594E+05	2,594E+05	-	-	-
2-DP	bod 2- dolní vlákna průřezu, levý okraj	1,072E+04	1,072E+04	1,072E+04	1,500E+06	2,594E+05	1,500E+06	1,500E+06	2,594E+05	2,594E+05	-	-	-
3-HL	bod 3- horní vlákna průřezu, levý okraj	1,072E+04	1,072E+04	1,072E+04	-1,500E+06	2,594E+05	-1,500E+06	-1,500E+06	2,594E+05	2,594E+05	-	-	-
4-HP	bod 4- horní vlákna průřezu, pravý okraj	1,072E+04	1,072E+04	1,072E+04	-1,500E+06	2,594E+05	-1,500E+06	-1,500E+06	2,594E+05	2,594E+05	-	-	-
5-SD1	bod 5- dolní vlákna stěny 1	1,972E+04	1,072E+04	1,072E+04	1,637E+06	5,685E+05	1,637E+06	1,637E+06	5,685E+05	5,685E+05	6,735E+05	3,012E+08	10,0
6-SH1	bod 6- horní vlákna stěny 1	1,972E+04	1,072E+04	1,072E+04	-1,637E+06	-5,685E+05	-1,637E+06	-1,637E+06	-5,685E+05	-5,685E+05	6,735E+05	3,012E+08	10,0
7-SD2	bod 7- dolní vlákna stěny 2	1,972E+04	1,072E+04	1,072E+04	1,637E+06	5,685E+05	1,637E+06	-1,637E+06	5,685E+05	5,685E+05	6,735E+05	3,012E+08	10,0
8-SH2	bod 8- horní vlákna stěny 2	1,972E+04	1,072E+04	1,072E+04	-1,637E+06	-5,685E+05	-1,637E+06	-1,637E+06	-5,685E+05	-5,685E+05	6,735E+05	3,012E+08	10,0
9-T	bod 9- těžiště plného průřezu	1,072E+04	1,072E+04	1,072E+04	-	-	-	-	-	-	8,451E+05	3,012E+08	10,0

TAB B									TAB C		ROZHODUJÍCÍ LINEÁRNÍ KOMBINACE VNITŘNÍCH SIL					
STABILITA PRUTU											Nx, My, Mx, Vz					
TLAK - VZPĚR		OHÝB - INTERAKCE S TLAKEM+KLOPENÍ							BOČN. MAT.							
POSUDEK NAPĚTÍ									POSUDEK NAPĚTÍ	ŘIDIČI VNITŘNÍ SÍLA	Nx	My	Mz	Vz	K _φ	
	[kN]	[kNm]	[kNm]	[kN]	[kN]											
A	1,000	1,000	1,000	1,000	1,000	1,000	1,000	1,000	A	Nx,max	540,5	-6,4	-2,5	-115,1	25	
B	1,000	0,966	1,022	1,037	0,996	1,000	1,083	1,083	B	Nx,min	-430,9	-35,5	-1,2	-7,1	25	
C	1,000	0,966	1,002	1,004	1,000	1,000	1,083	1,083	C	My,max	-41,4	133,0	6,0	-89,1	26	
D	1,000	0,966	1,008	1,013	0,999	1,000	1,083	1,083	D	My,min	-147,8	-150,5	-5,5	152,2	26	
E	1,000	0,966	1,001	1,002	1,000	1,000	1,083	1,083	E	Mz,max	-19,3	38,3	21,8	-25,26	26	
F	1,000	1,000	1,000	1,000	1,000	1,000	1,000	1,000	F	Mz,min	252,3	-32,5	-22,5	130,6	42	
G	1,000	1,000	1,000	1,000	1,000	1,000	1,000	1,000	G	Vz,max	113,5	-93,2	-7,7	234,1	26	
H	1,000	0,966	1,002	1,003	1,000	1,000	1,083	1,083	H	Vz,min	-36,4	1,7	2,2	-305,4	26	
ZATÍŽELNOST 	1,000	0,966	1,011	1,018	0,998	1,000	1,083	1,083								
ZATÍŽELNOST 	1,000	0,966	1,002	1,004	1,000	1,000	1,083	1,083								

TAB D		PŘEHLED NAPĚTÍ V KRITICKÝCH BODECH PRŮŘEZU OD ROZHODUJÍCÍ LINEÁRNÍ KOMBINACE ZATÍŽENÍ																																								
KRITICKÉ BODY PRŮŘEZU PRO POUSOZENÍ NAPĚTÍ		POSUDEK A			POSUDEK B			POSUDEK C			POSUDEK D			POSUDEK E			POSUDEK F			POSUDEK G			POSUDEK H			MAXIMÁLNÍ HODNOTY NAPĚTÍ V KRITICKÝCH BODECH PRŮŘEZU																
		σ_{\perp}	σ_{\parallel}	τ_{\parallel}	σ_{\perp}	σ_{\parallel}	τ_{\parallel}	σ_{\perp}	σ_{\parallel}	τ_{\parallel}	σ_{\perp}	σ_{\parallel}	τ_{\parallel}	σ_{\perp}	σ_{\parallel}	τ_{\parallel}	σ_{\perp}	σ_{\parallel}	τ_{\parallel}	σ_{\perp}	σ_{\parallel}	τ_{\parallel}	σ_{\perp}	σ_{\parallel}	τ_{\parallel}	σ_{\perp}	σ_{\parallel}	τ_{\parallel}	σ_{\perp}	σ_{\parallel}	τ_{\parallel}	σ_{\max}	f_{jd}	σ_{\perp}	σ_{\max}	$f_{t,3^{0.5}}$	σ_{\perp}	σ_{\max}	f_{jd}	ROZHODU		
OZN.	POPIS	[MPa]	[MPa]	[MPa]	[MPa]	[MPa]	[MPa]	[MPa]	[MPa]	[MPa]	[MPa]	[MPa]	[MPa]	[MPa]	[MPa]	[MPa]	[MPa]	[MPa]	[MPa]	[MPa]	[MPa]	[MPa]	[MPa]	[MPa]	[MPa]	[MPa]	[MPa]	[MPa]	[MPa]	[MPa]	[MPa]	[MPa]	[MPa]	[MPa]	-	[MPa]	[MPa]	-	[MPa]	[MPa]	-	[{-}]
1-DL	bod 1- dolní vlákná průřezu, levý okraj	36,3	0,0	36,3	-69,2	0,0	69,2	108,1	0,0	108,1	-136,2	0,0	136,2	108,2	0,0	108,2	-85,1	0,0	85,1	-81,1	0,0	81,1	6,1	0,0	6,1	-136,2	197,2	0,691	0,0	123,3	0,000	136,2	197,2	0,691	normál.napětí							
2-DP	bod 2- dolní vlákná průřezu, pravý okraj	56,0	0,0	56,0	-59,5	0,0	59,5	61,2	0,0	61,2	-92,9	0,0	92,9	-60,9	0,0	60,9	89,0	0,0	89,0	-21,5	0,0	21,5	-10,6	0,0	10,6	-92,9	197,2	0,471	0,0	123,3	0,000	92,9	197,2	0,471	normál.napětí							
3-HL	bod 3- horní vlákná průřezu, levý okraj	44,9	0,0	44,9	-20,9	0,0	20,9	-68,9	0,0	68,9	65,3	0,0	65,3	-67,3	0,0	67,3	-41,9	0,0	41,9	42,6	0,0	42,6	3,8	0,0	3,8	-68,9	197,2	0,350	0,0	123,3	0,000	68,9	197,2	0,350	normál.napětí							
4-HP	bod 4- horní vlákná průřezu, pravý okraj	64,5	0,0	64,5	-11,2	0,0	11,2	-115,8	0,0	115,8	108,6	0,0	108,6	-111,8	0,0	111,8	132,2	0,0	132,2	102,3	0,0	102,3	-12,9	0,0	12,9	132,2	213,6	0,619	0,0	123,3	0,000	132,2	213,6	0,619	normál.napětí							
5-SD1	bod 5- dolní vlákná stěny 1	46,1	31,3	71,1	-62,6	1,9	62,7	78,6	24,2	89,1	-107,4	41,4	129,1	25,5	6,9	28,1	-0,3	35,5	61,5	-47,7	63,6	120,1	-2,0	83,0	143,8	-107,4	197,2	0,545	83,0	123,3	0,673	143,8	197,2	0,729	srovn. napětí							
6-SH1	bod 6- horní vlákná stěny 1	47,0	41,3	71,1	-62,2	1,9	62,2	76,5	24,2	87,2	-105,5	41,4	127,5	17,8	6,9	21,4	7,6	35,5	61,9	-45,0	63,6	119,0	-2,7	83,0	143,8	-105,5	197,2	0,535	83,0	123,3	0,673	143,8	197,2	0,729	srovn. napětí							
7-SD2	bod 7- dolní vlákná stěny 2	53,9	31,3	76,4	-18,2	1,9	18,5	-84,2	24,2	94,1	77,9	41,4	105,8	-21,4	6,9	24,5	39,4	35,5	73,0	66,2	63,6	128,5	-4,1	83,0	143,8	-84,2	197,2	0,427	83,0	123,3	0,673	143,8	197,2	0,729	srovn. napětí							
8-SH2	bod 8- horní vlákná stěny 2	54,8	31,3	77,0	-17,8	1,9	18,1	-86,4	24,2	96,0	79,9	41,4	107,3	-29,1	6,9	31,4	47,4	35,5	77,6	68,9	63,6	129,9	-4,8	83,0	143,8	-86,4	197,2	0,438	83,0	123,3	0,673	143,8	197,2	0,729	srovn. napětí							
9-T	bod 9- těžiště plného průřezu	50,4	32,3	75,3	-40,2	2,0	40,3	-3,9	25,0	43,5	-13,8	42,7	75,2	-1,8	7,2	12,5	23,5	36,6	67,7	10,6	65,7	114,3	-3,4	85,7	148,5	50,4	213,6	0,236	85,7	123,3	0,695	148,5	197,2	0,753	srovn. napětí							

B. ZATÍŽITELNOST - 1.MS - ÚNOSNOST







[illegible]

C. SHRUTÍ VÝSLEDKŮ

Tab F	A. POSOUZENÍ - 1.MS - ÚNOSNOST			
Druh napětí	1. NORMÁLOVÉ η_1	2. SMYKOVÉ η_2	3. SROVNÁVACÍ η_3	4. MAXIMUM 1-3
MAXIMÁLNÍ VYUŽITÍ	0,691	0,695	0,753	0,753
POSUDEK NAPĚTÍ	H	H	H	H
ŘÍDICÍ VNITŘNÍ SILA	My,min	Vz,min	Vz,min	Vz,min
KRITICKÝ BOD PRŮŘEZU	1-DL	9-T	9-T	9-T
LINEÁRNÍ KOMBINACE	26	26	26	26

TAB G	B. ZATÍŽITELNOST - 1.MS - ÚNOSNOST			
DRUH NAPĚTÍ	1. NORMÁLOVÉ σ_x	2. SMYKOVÉ τ	3. SROVNÁVACÍ σ_p	4. MINIMUM 1-3
ZATÍŽITELNOST Z_p	1,62	1,55	1,41	1,41
POSUDEK NAPĚTÍ	D	H	H	H
ŘÍDICÍ VNITŘNÍ SÍLA	My,min	Vz,min	Vz,min	Vz,min
KRITICKÝ BOD PRŮŘEZU	1-DL	9-T	9-T	9-T
LINEÁRNÍ KOMBINACE	26	26	26	26

Pokud se jedná o tah jsou příslušné hodnoty součinitelů rovny 1.0

TAB B		STABILITA PRUTU							TAB C		ROZHODUJÍCÍ LINEÁRNÍ KOMBINACE VNITŘNÍCH SIL				
TLAK - VZPER		OHYB - INTERAKCE S TLAKEM+KLOPENÍ						SOUC. MAT		Nx, My, Mx, Vz					
POSUDEK NAPĚTÍ			k_{xy}	k_{yz}/k_{xz}	k_{yz}			POSUDEK NAPĚTÍ	Řídící VNITŘNÍ SILA	Nx	My	Mz	Vz	K	
	[N]	[N]	[N]	[N]	[N]	[N]	[N]			[kN]	[kNm]	[kNm]	[kN]	[N]	
A	1,000	1,000	1,000	1,000	1,000	1,000	1,000	A	Nx,max	504,0	102,5	3,8	-24,2	25	
B	1,000	0,962	1,005	1,010	0,999	1,000	1,083	B	Nx,min	-124,4	-5,0	0,9	0,7	25	
C	1,000	1,000	1,000	1,000	1,000	1,000	1,000	C	My,max	323,9	147,8	-6,8	-114,9	26	
D	1,000	1,000	1,000	1,000	1,000	1,000	1,000	D	My,min	210,3	-85,5	7,6	-137,5	26	
E	1,000	1,000	1,000	1,000	1,000	1,000	1,000	E	Mz,max	189,2	-13,0	17,8	-87,0	26	
F	1,000	1,000	1,000	1,000	1,000	1,000	1,000	F	Mz,min	263,4	79,4	-15,9	122,9	26	
G	1,000	1,000	1,000	1,000	1,000	1,000	1,000	G	Vz,max	233,4	-48,1	12,2	209,2	26	
H	1,000	1,000	1,000	1,000	1,000	1,000	1,000	H	Vz,min	281,7	-53,4	9,5	-216,1	26	
ZATÍŽITELNOST 	1,000	1,000	1,000	1,000	1,000	1,000	1,000								
ZATÍŽITELNOST 	1,000	1,000	1,000	1,000	1,000	1,000	1,000								

TAB G	B. ZATÍŽITELNOST - 1.MS - ÚNOSNOST			
DRUH NAPĚTÍ	1. NORMÁLOVÉ σ_x	2. SMYKOVÉ τ	3. SROVNÁVACÍ σ_p	4. MINIMUM 1-3
ZATÍŽITELNOST Z_p	1,92	2,90	1,92	1,92
POSUDEK NAPĚTÍ	C	H	C	C
ŘÍDICÍ VNITŘNÍ SÍLA	My,max	Vz,min	My,max	My,max
KRITICKÝ BOD PRŮŘEZU	2-DP	9-T	2-DP	2-DP
LINEÁRNÍ KOMBINACE	26	26	26	26

Pokud se jedná o tah jsou příslušné hodnoty součinitelů rovny 1.0

TAB B		STABILITA PRUTU							TAB C		ROZHODUJÍCÍ LINEÁRNÍ KOMBINACE VNITŘNÍCH SIL					
		TLAK - VZPER		OHYB - INTERAKCE S TLAKEM+KLOPENÍ				BOČN. MAT.			Nx, My, Mx, Vz					
POSUDEK				K _{yy}	K _{yy} +K _{zz}	K _{zz}			POSUDEK	ŘÍDÍCI	Nx	My	Mz	Vz	K	
NAPĚTÍ				[H]	[H]	[H]	[H]	[H]	NAPĚTÍ	VNITŘNÍ SÍLA	[kN]	[kNm]	[kNm]	[kN]	[kN]	
A	1,000	1,000	1,000	1,000	1,000	1,000	1,000	1,000	A	Nx,max	606,5	92,4	10,8	-27,6	25	
B	1,000	0,963	1,009	1,018	0,998	1,000	1,083	1,000	B	Nx,min	-212,2	-6,2	-2,7	3,2	25	
C	1,000	1,000	1,000	1,000	1,000	1,000	1,000	1,000	C	My,max	334,0	142,7	5,1	50,5	26	
D	1,000	1,000	1,000	1,000	1,000	1,000	1,000	1,000	D	My,min	147,5	-91,8	6,0	161,2	26	
E	1,000	1,000	1,000	1,000	1,000	1,000	1,000	1,000	E	Mz,max	241,8	-30,6	21,7	123,6	26	
F	1,000	1,000	1,000	1,000	1,000	1,000	1,000	1,000	F	Mz,min	275,3	70,4	-18,1	-99,7	26	
G	1,000	1,000	1,000	1,000	1,000	1,000	1,000	1,000	G	Vz,max	295,0	-52,3	10,0	235,5	26	
H	1,000	1,000	1,000	1,000	1,000	1,000	1,000	1,000	H	Vz,min	197,2	-32,4	15,7	-259,4	26	
ZATÍŽITELNOST		1,000	1,000	1,000	1,000	1,000	1,000	1,000								
ZATÍŽITELNOST		1,000	1,000	1,000	1,000	1,000	1,000	1,000								











TAB G	B. ZATÍŽITELNOST - 1.MS - ÚNOSNOST			
DRUH NAPĚTÍ	1. NORMÁLOVÉ σ_x	2. SMYKOVÉ τ	3. SROVNÁVACÍ σ_p	4. MINIMUM 1-3
ZATÍŽITELNOST Z_p	1,76	2,22	1,76	1,76
POSUDEK NAPĚTÍ	A	H	A	A
ŘÍDICÍ VNITŘNÍ SÍLA	$N_{x,max}$	$V_{z,min}$	$N_{x,max}$	$N_{x,max}$
KRITICKÝ BOD PRŮŘEZU	1-DL	9-T	1-DL	1-DL
LINÉÁRNÍ KOMBINACE	25	26	25	25

A. POSOUZENÍ - 1.MS - ÚNOSNOST

POUŽITÁ OBECNÁ METODA POSUDKU KOMBINACE TLAKU A OHYBU ČSN EN 1993-1-1 6.3.4

Pokud se jedná o tah jsou příslušné hodnoty součinitelů rovny 1.0

TAB A		PRŮŘEZOVÉ CHARAKTERISTIKY KRITICKÉHO PRŮŘEZU											
KRITICKÉ BODY PRŮŘEZU PRO POŠOUZENÍ NAPĚTÍ		TAH, TLAK N_x				OHYB M_y, M_z						SMYK V_z	
		A_y	$A_{y,el,2nd}$	N_x	W_y	W_z	$W_{y,el,2nd}$	$W_{y,el,1st}$	$W_{z,el,2nd}$	$W_{z,el,1st}$	S_y	I_y	I_z
QZN.	POPIS	[mm ²]	[mm ²]	[mm ²]	[mm ³]	[mm ³]	[mm ³]	[mm ³]	[mm ³]	[mm ³]	[mm ³]	[mm ³]	[mm ³]
1-DL	bod 1- dolní vlákna průřezu, levý okraj	1.115E+04	1.115E+04	1.115E+04	1.711E+06	2.584E+05	1.711E+06	1.711E+06	2.584E+05	2.584E+05	-	-	-
2-DP	bod 2- horní vlákna průřezu, levý okraj	1.115E+04	1.115E+04	1.115E+04	1.711E+06	2.584E+05	1.711E+06	1.711E+06	2.584E+05	2.584E+05	-	-	-
3-HL	bod 3- horní vlákna průřezu, levý okraj	1.115E+04	1.115E+04	1.115E+04	-1.711E+06	2.584E+05	-1.711E+06	-1.711E+06	2.584E+05	2.584E+05	-	-	-
4-HP	bod 4- horní vlákna průřezu, pravý okraj	1.115E+04	1.115E+04	1.115E+04	-1.711E+06	2.584E+05	-1.711E+06	-1.711E+06	2.584E+05	2.584E+05	-	-	-
5-SD1	bod 5- dolní vlákna stěny 1	1.115E+04	1.115E+04	1.115E+04	1.844E+06	5.686E+05	1.844E+06	1.844E+06	5.686E+05	5.686E+05	7.515E+03	3.789E+08	10.0
6-SH1	bod 6- horní vlákna stěny 1	1.115E+04	1.115E+04	1.115E+04	1.844E+06	-5.686E+05	1.844E+06	1.844E+06	-5.686E+05	-5.686E+05	7.515E+03	3.789E+08	10.0
7-SD2	bod 7- dolní vlákna stěny 2	1.115E+04	1.115E+04	1.115E+04	-1.844E+06	5.686E+05	-1.844E+06	-1.844E+06	5.686E+05	5.686E+05	7.515E+03	3.789E+08	10.0
8-SH2	bod 8- horní vlákna stěny 2	1.115E+04	1.115E+04	1.115E+04	-1.844E+06	-5.686E+05	-1.844E+06	-1.844E+06	-5.686E+05	-5.686E+05	7.515E+03	3.789E+08	10.0
9-T	bod 9- ložistiště plného průřezu	1.115E+04	1.115E+04	1.115E+04	-	-	-	-	-	-	9.627E+05	3.789E+08	10.0

TAB B		STABILITA PRUTU							TAB C		ROZHODUJÍCÍ LINEÁRNÍ KOMBINACE VNITŘNÍCH SIL				
		TLAK - VZPĚR		OHYB - INTERAKCE S TLAKEM+KLOPENÍ							Nx, My, Mx, Vz				
POSUDEK NAPĚTÍ									POSUDEK NAPĚTÍ	ŘÍDÍČÍ VNITŘNÍ SÍLA	Nx	My	Mz	Vz	K
A	1,000	1,000	1,000	1,000	1,000	1,000	1,000	1,000	A	Nx,max	571,3	67,8	6,9	-21,5	25
B	1,000	0,964	1,013	1,026	0,997	1,000	1,083	1,000	B	Nx,min	-299,1	-24,8	-1,1	8,1	25
C	1,000	1,000	1,000	1,000	1,000	1,000	1,000	1,000	C	My,max	232,9	127,4	-4,2	-98,7	26
D	1,000	1,000	1,000	1,000	1,000	1,000	1,000	1,000	D	My,min	113,9	-103,6	6,7	136,6	26
E	1,000	0,964	1,002	1,005	0,999	1,000	1,083	1,000	E	Mz,max	-55,1	-47,0	20,8	145,3	26
F	1,000	1,000	1,000	1,000	1,000	1,000	1,000	1,000	F	Mz,min	203,4	47,4	-16,3	99,2	26
G	1,000	1,000	1,000	1,000	1,000	1,000	1,000	1,000	G	Vz,max	127,1	-75,7	8,7	228,8	26
H	1,000	1,000	1,000	1,000	1,000	1,000	1,000	1,000	H	Vz,min	98,9	-40,5	14,7	-248,1	26
ZATÍŽITELNOST 	1,000	0,964	1,008	1,016	0,998	1,000	1,083	1,000							
ZATÍŽITELNOST 	1,000	1,000	1,000	1,000	1,000	1,000	1,000	1,000							

TAB D		PŘEHLED NAPĚTÍ V KRITICKÝCH BODECH PRŮŘEZU OD ROZHOUDJÍCÍ LINEÁRNÍ KOMBINACE ZATÍŽENÍ																																																																																																																																																																																																																																																																																																																																																																																																																																																																																																																																																																																																																																																																																																																																																																																								
KRITICKÉ BODY PRŮŘEZU PRO POSOUZENÍ NAPĚTÍ		POSUDEK A				POSUDEK B				POSUDEK C				POSUDEK D				POSUDEK E				POSUDEK F				POSUDEK G				POSUDEK H				MAXIMÁLNÍ HODNOTY NAPĚTÍ V KRITICKÝCH BODECH PRŮŘEZU												ROZHODUJE																																																																																																																																																																																																																																																																																																																																																																																																																																																																																																																																																																																																																																																																																																																																												
		σ_x	σ_y	τ_{xy}	σ_z	σ_θ	τ_{xz}	τ_{yz}	σ_r	σ_t	τ_{rt}	σ_ϕ	σ_ψ	$\tau_{\phi\psi}$	σ_{xx}^m	σ_{yy}^m	τ_{xy}^m	σ_{zz}^m	$\sigma_{\theta\theta}^m$	$\tau_{z\theta}^m$	σ_{rr}^m	σ_{tt}^m	τ_{rt}^m	$\sigma_{\phi\phi}^m$	$\sigma_{\psi\psi}^m$	$\tau_{\phi\psi}^m$	f_{yk}	R_{yk}	$f_{yk}^{3,5}$	$R_{yk}^{3,5}$	f_{yk}	R_{yk}																																																																																																																																																																																																																																																																																																																																																																																																																																																																																																																																																																																																																																																																																																																																																										
OZN.	POPIS	[MPa]	[MPa]	[MPa]	[MPa]	[MPa]	[MPa]	[MPa]	[MPa]	[MPa]	[MPa]	[MPa]	[MPa]	[MPa]	[MPa]	[MPa]	[MPa]	[MPa]	[MPa]	[MPa]	[MPa]	[MPa]	[MPa]	[MPa]	[MPa]	[MPa]	[MPa]	[MPa]	[MPa]	[MPa]	[MPa]	[MPa]	[MPa]	[MPa]	[MPa]	[MPa]	[MPa]	[MPa]	[MPa]	[MPa]	[MPa]	[MPa]	[MPa]	[MPa]	[MPa]	[MPa]	[MPa]	[MPa]	[MPa]	[MPa]	[MPa]	[MPa]	[MPa]	[MPa]	[MPa]	[MPa]	[MPa]	[MPa]	[MPa]	[MPa]	[MPa]	[MPa]	[MPa]	[MPa]	[MPa]	[MPa]	[MPa]	[MPa]	[MPa]	[MPa]	[MPa]	[MPa]	[MPa]	[MPa]	[MPa]	[MPa]	[MPa]	[MPa]	[MPa]	[MPa]	[MPa]	[MPa]	[MPa]	[MPa]	[MPa]	[MPa]	[MPa]	[MPa]	[MPa]	[MPa]	[MPa]	[MPa]	[MPa]	[MPa]	[MPa]	[MPa]	[MPa]	[MPa]	[MPa]	[MPa]	[MPa]	[MPa]	[MPa]	[MPa]	[MPa]	[MPa]	[MPa]	[MPa]	[MPa]	[MPa]	[MPa]	[MPa]	[MPa]	[MPa]	[MPa]	[MPa]	[MPa]	[MPa]	[MPa]	[MPa]	[MPa]	[MPa]	[MPa]	[MPa]	[MPa]	[MPa]	[MPa]	[MPa]	[MPa]	[MPa]	[MPa]	[MPa]	[MPa]	[MPa]	[MPa]	[MPa]	[MPa]	[MPa]	[MPa]	[MPa]	[MPa]	[MPa]	[MPa]	[MPa]	[MPa]	[MPa]	[MPa]	[MPa]	[MPa]	[MPa]	[MPa]	[MPa]	[MPa]	[MPa]	[MPa]	[MPa]	[MPa]	[MPa]	[MPa]	[MPa]	[MPa]	[MPa]	[MPa]	[MPa]	[MPa]	[MPa]	[MPa]	[MPa]	[MPa]	[MPa]	[MPa]	[MPa]	[MPa]	[MPa]	[MPa]	[MPa]	[MPa]	[MPa]	[MPa]	[MPa]	[MPa]	[MPa]	[MPa]	[MPa]	[MPa]	[MPa]	[MPa]	[MPa]	[MPa]	[MPa]	[MPa]	[MPa]	[MPa]	[MPa]	[MPa]	[MPa]	[MPa]	[MPa]	[MPa]	[MPa]	[MPa]	[MPa]	[MPa]	[MPa]	[MPa]	[MPa]	[MPa]	[MPa]	[MPa]	[MPa]	[MPa]	[MPa]	[MPa]	[MPa]	[MPa]	[MPa]	[MPa]	[MPa]	[MPa]	[MPa]	[MPa]	[MPa]	[MPa]	[MPa]	[MPa]	[MPa]	[MPa]	[MPa]	[MPa]	[MPa]	[MPa]	[MPa]	[MPa]	[MPa]	[MPa]	[MPa]	[MPa]	[MPa]	[MPa]	[MPa]	[MPa]	[MPa]	[MPa]	[MPa]	[MPa]	[MPa]	[MPa]	[MPa]	[MPa]	[MPa]	[MPa]	[MPa]	[MPa]	[MPa]	[MPa]	[MPa]	[MPa]	[MPa]	[MPa]	[MPa]	[MPa]	[MPa]	[MPa]	[MPa]	[MPa]	[MPa]	[MPa]	[MPa]	[MPa]	[MPa]	[MPa]	[MPa]	[MPa]	[MPa]	[MPa]	[MPa]	[MPa]	[MPa]	[MPa]	[MPa]	[MPa]	[MPa]	[MPa]	[MPa]	[MPa]	[MPa]	[MPa]	[MPa]	[MPa]	[MPa]	[MPa]	[MPa]	[MPa]	[MPa]	[MPa]	[MPa]	[MPa]	[MPa]	[MPa]	[MPa]	[MPa]	[MPa]	[MPa]	[MPa]	[MPa]	[MPa]	[MPa]	[MPa]	[MPa]	[MPa]	[MPa]	[MPa]	[MPa]	[MPa]	[MPa]	[MPa]	[MPa]	[MPa]	[MPa]	[MPa]	[MPa]	[MPa]	[MPa]	[MPa]	[MPa]	[MPa]	[MPa]	[MPa]	[MPa]	[MPa]	[MPa]	[MPa]	[MPa]	[MPa]	[MPa]	[MPa]	[MPa]	[MPa]	[MPa]	[MPa]	[MPa]	[MPa]	[MPa]	[MPa]	[MPa]	[MPa]	[MPa]	[MPa]	[MPa]	[MPa]	[MPa]	[MPa]	[MPa]	[MPa]	[MPa]	[MPa]	[MPa]	[MPa]	[MPa]	[MPa]	[MPa]	[MPa]	[MPa]	[MPa]	[MPa]	[MPa]	[MPa]	[MPa]	[MPa]	[MPa]	[MPa]	[MPa]	[MPa]	[MPa]	[MPa]	[MPa]	[MPa]	[MPa]	[MPa]	[MPa]	[MPa]	[MPa]	[MPa]	[MPa]	[MPa]	[MPa]	[MPa]	[MPa]	[MPa]	[MPa]	[MPa]	[MPa]	[MPa]	[MPa]	[MPa]	[MPa]	[MPa]	[MPa]	[MPa]	[MPa]	[MPa]	[MPa]	[MPa]	[MPa]	[MPa]	[MPa]	[MPa]	[MPa]	[MPa]	[MPa]	[MPa]	[MPa]	[MPa]	[MPa]	[MPa]	[MPa]	[MPa]	[MPa]	[MPa]	[MPa]	[MPa]	[MPa]	[MPa]	[MPa]	[MPa]	[MPa]	[MPa]	[MPa]	[MPa]	[MPa]	[MPa]	[MPa]	[MPa]	[MPa]	[MPa]	[MPa]	[MPa]	[MPa]	[MPa]	[MPa]	[MPa]	[MPa]	[MPa]	[MPa]	[MPa]	[MPa]	[MPa]	[MPa]	[MPa]	[MPa]	[MPa]	[MPa]	[MPa]	[MPa]	[MPa]	[MPa]	[MPa]	[MPa]	[MPa]	[MPa]	[MPa]	[MPa]	[MPa]	[MPa]	[MPa]	[MPa]	[MPa]	[MPa]	[MPa]	[MPa]	[MPa]	[MPa]	[MPa]	[MPa]	[MPa]	[MPa]	[MPa]	[MPa]	[MPa]	[MPa]	[MPa]	[MPa]	[MPa]	[MPa]	[MPa]	[MPa]	[MPa]	[MPa]	[MPa]	[MPa]	[MPa]	[MPa]	[MPa]	[MPa]	[MPa]	[MPa]	[MPa]	[MPa]	[MPa]	[MPa]	[MPa]	[MPa]	[MPa]	[MPa]	[MPa]	[MPa]	[MPa]	[MPa]	[MPa]	[MPa]	[MPa]	[MPa]	[MPa]	[MPa]	[MPa]	[MPa]	[MPa]	[MPa]	[MPa]	[MPa]	[MPa]	[MPa]	[MPa]	[MPa]	[MPa]	[MPa]	[MPa]	[MPa]	[MPa]	[MPa]	[MPa]	[MPa]	[MPa]	[MPa]	[MPa]	[MPa]	[MPa]	[MPa]	[MPa]	[MPa]	[MPa]	[MPa]	[MPa]	[MPa]	[MPa]	[MPa]	[MPa]	[MPa]	[MPa]	[MPa]	[MPa]	[MPa]	[MPa]	[MPa]	[MPa]	[MPa]	[MPa]	[MPa]	[MPa]	[MPa]	[MPa]	[MPa]	[MPa]	[MPa]	[MPa]	[MPa]	[MPa]	[MPa]	[MPa]	[MPa]	[MPa]	[MPa]	[MPa]	[MPa]	[MPa]	[MPa]	[MPa]	[MPa]	[MPa]	[MPa]	[MPa]	[MPa]	[MPa]	[MPa]	[MPa]	[MPa]	[MPa]	[MPa]	[MPa]	[MPa]	[MPa]	[MPa]	[MPa]	[MPa]	[MPa]	[MPa]	[MPa]	[MPa]	[MPa]	[MPa]	[MPa]	[MPa]	[MPa]	[MPa]	[MPa]	[MPa]	[MPa]	[MPa]	[MPa]	[MPa]	[MPa]	[MPa]	[MPa]	[MPa]	[MPa]	[MPa]	[MPa]	[MPa]	[MPa]	[MPa]	[MPa]	[MPa]	[MPa]	[MPa]	[MPa]	[MPa]	[MPa]	[MPa]	[MPa]	[MPa]	[MPa]	[MPa]	[MPa]	[MPa]	[MPa]	[MPa]	[MPa]	[MPa]	[MPa]	[MPa]	[MPa]	[MPa]	[MPa]	[MPa]	[MPa]	[MPa]	[MPa]	[MPa]	[MPa]	[MPa]	[MPa]	[MPa]	[MPa]	[MPa]	[MPa]	[MPa]	[MPa]	[MPa]	[MPa]	[MPa]	[MPa]	[MPa]	[MPa]	[MPa]	[MPa]	[MPa]	[MPa]	[MPa]	[MPa]	[MPa]	[MPa]	[MPa]	[MPa]	[MPa]	[MPa]	[MPa]	[MPa]	[MPa]	[MPa]	[MPa]	[MPa]	[MPa]	[MPa]	[MPa]	[MPa]	[MPa]	[MPa]	[MPa]	[MPa]	[MPa]	[MPa]	[MPa]	[MPa]	[MPa]	[MPa]	[MPa]	[MPa]	[MPa]	[MPa]	[MPa]	[MPa]	[MPa]	[MPa]	[MPa]	[MPa]	[MPa]	[MPa]	[MPa]	[MPa]	[MPa]	[MPa]	[MPa]	[MPa]	[MPa]	[MPa]	[MPa]	[MPa]	[MPa]	[MPa]	[MPa]	[MPa]	[MPa]	[MPa]	[MPa]	[MPa]	[MPa]	[MPa]	[MPa]	[MPa]	[MPa]	[MPa]	[MPa]	[MPa]	[MPa]	[MPa]	[MPa]	[MPa]	[MPa]	[MPa]	[MPa]	[MPa]	[MPa]	[MPa]	[MPa]	[MPa]	[MPa]	[MPa]	[MPa]	[MPa]	[MPa]	[MPa]	[MPa]	[MPa]	[MPa]	[MPa]	[MPa]	[MPa]	[MPa]	[MPa]	[MPa]	[MPa]	[MPa]

B. ZATÍŽITELNOST - 1.MS - ÚNOSNOST

[illegible]

C. SHRUTÍ VÝSLEDKŮ





TAB F	A. POSOUZENÍ - 1.MS - ÚNOSNOST			
DRUH NAPĚTÍ	1. NORMÁLOVÉ η_1	2. SMYKOVÉ η_3	3. SROVNÁVACÍ η_6	4. MAXIMUM 1-3
MAXIMÁLNÍ VYUŽITÍ	0,575	0,511	0,575	0,575
POSUDEK NAPĚTÍ	E	H	E	E
ŘÍDICÍ VNITŘNÍ SILA	Mz,max	Vz,min	Mz,max	Mz,max
KRITICKÝ BOD PRŮŘEZU	2-DP	9-T	2-DP	2-DP
LINEÁRNÍ KOMBINACE	26	26	26	26

TAB G	B. ZATÍŽITELNOST - 1.MS - ÚSNOST			
DRUH NAPĚTÍ	1. NORMÁLOVÉ σ_x	2. SMYKOVÉ τ	3. SROVNÁVACÍ σ_x	4.MINIMUM 1-3
ZATÍŽITELNOST Z_p	2,20	2,20	2,20	2,20
POSUDEK NAPĚTÍ	E	H	H	H
ŘÍDICÍ VNITŘNÍ SÍLA	$M_{z,max}$	$V_{z,min}$	$V_{z,min}$	$V_{z,min}$
KRITICKÝ BOD PRŮŘEZU	2-DP	9-T	9-T	9-T
LINEÁRNÍ KOMBINACE	25	26	26	26

A. POSOUZENÍ - 1.MS - ÚNOSNOST

POUŽITÁ OBECNÁ METODA POSUDKU KOMBINACE TLAKU A OHYBU ČSN EN 1993-1-1 6.3.4

Pokud se jedná o tah jsou příslušné hodnoty součinitelů rovny 1.0

TAB B		STABILITA PRUTU							TAB C		ROZHODUJÍCÍ LINEÁRNÍ KOMBINACE VNITŘNÍCH SIL				
		TLAK - VZPĚR		OHYB - INTERAKCE S TLAKEM+KLOPENÍ							Nx, My, Mx, Vz				
POSUDEK NAPĚTÍ			k_{yy}	k_{xx}	k_{ϕ}	k_{ϕ}	k_{ϕ}	k_{ϕ}	POSUDEK NAPĚTÍ	ŘÍDICÍ VNITŘNÍ SÍLA	Nx	My	Mz	Vz	K.č.
A	1,000	1,000	1,000	1,000	1,000	1,000	1,000	1,000	A	Nx,max	454,8	57,6	-4,1	19,7	25
B	1,000	0,966	1,022	1,037	0,996	1,000	1,083	1,083	B	Nx,min	-430,9	-63,0	-3,4	0,2	25
C	1,000	1,000	1,000	1,000	1,000	1,000	1,000	1,000	C	My,max	143,9	101,0	-0,7	40,7	26
D	1,000	0,966	1,009	1,015	0,998	1,000	1,083	1,083	D	My,min	-173,6	-133,6	9,8	-141,0	26
E	1,000	0,966	1,012	1,021	0,998	1,000	1,083	1,083	E	Mz,max	-241,6	-84,4	23,4	-104,4	26
F	1,000	1,000	1,000	1,000	1,000	1,000	1,000	1,000	F	Mz,min	148,1	16,3	-14,0	143,8	26
G	1,000	1,000	1,000	1,000	1,000	1,000	1,000	1,000	G	Vz,max	14,0	-103,9	12,5	222,7	26
H	1,000	0,966	1,003	1,004	1,000	1,000	1,083	1,083	H	Vz,min	-49,1	-75,1	15,5	-252,5	26
ZATÍŽITELNOST 	1,000	0,966	1,014	1,024	0,997	1,000	1,083								
ZATÍŽITELNOST 	1,000	0,966	1,014	1,024	0,997	1,000	1,083								

[illegible]

B. ZATÍŽITELNOST - 1.MS - ÚNOSNOST

[illegible]

C. SHRUTÍ VÝSLEDKŮ

TAB G	B. ZATÍŽITELNOST - 1.MS - ÚNOSNOST			
DRUH NAPĚTÍ	1. NORMÁLOVÉ σ_n	2. SMYKOVÉ τ	3. SROVNÁVACÍ σ_n	4. MINIMUM 1-3
ZATÍŽITELNOST Z_p	1,24	1,91	1,24	1,24
POSUDEK NAPĚTÍ	E	H	E	E
ŘÍDICÍ VNITŘNÍ SILA	Mz,max	Vz,min	Mz,max	Mz,max
KRITICKÝ BOD PRŮŘEZU	2-DP	9-T	2-DP	2-DP
LINEÁRNÍ KOMBINACE	26	26	26	26

TAB 6 27 A. POSOUZENÍ - 1.MS - ÚNOSNOST

POSUDEK: 27 PRŮŘEZ: D_7 PRUT X[m] OZNAČENÍ: D_7 POPIS: PODÉLNÍK 7 i j





SOUČINITEL KOROZE k = 1,00

POUŽITÁ OBLIČNÁ METODA POSUDKU KOMBINACE TLAKU A OHYBU ČSN EN 1993-1-1 6.3.4

Konzervativně uvažován C_{int}=C_{intL}=1.0

Pokud se jedná o tah jsou příslušné hodnoty součinitelů rovny 1.0

TAB A	PRŮŘEZOVÉ CHARAKTERISTIKY KRITICKÉHO PRŮŘEZU											
	TAH, TLAK N _x			OHYB M _y , M _z						SMYK V _z		
	PRO POSOUZENÍ NAPĚTÍ											
	A _x	A _y at N _x	A _z at N _x	W _y	W _z	W _{el} at M _y	W _{el} at M _z	W _{pl} at M _y	W _{pl} at M _z	S _y	I _y	I _z
OZN.	POPIS	[mm ²]	[mm ²]	[mm ³]	[mm ³]	[mm ³]	[mm ³]	[mm ³]	[mm ³]	[mm ³]	[mm ⁴]	[mm ⁴]
1-DL	bod 1- dolní vlákná průřezu, levý okraj	1,284E+04	1,284E+04	1,284E+04	1,957E+06	3,753E+05	1,957E+06	1,957E+06	3,753E+05	-	-	-
2-DP	bod 2- dolní vlákná průřezu, pravý okraj	1,284E+04	1,284E+04	1,284E+04	1,957E+06	3,753E+05	1,957E+06	1,957E+06	3,753E+05	-	-	-
3-HL	bod 3- horní vlákná průřezu, levý okraj	1,284E+04	1,284E+04	1,284E+04	-1,957E+06	3,753E+05	-1,957E+06	-1,957E+06	3,753E+05	-	-	-
4-HP	bod 4- horní vlákná průřezu, pravý okraj	1,284E+04	1,284E+04	1,284E+04	-1,957E+06	3,753E+05	-1,957E+06	-1,957E+06	3,753E+05	-	-	-
5-SD1	bod 5- dolní vlákná stěny 1	1,284E+04	1,284E+04	1,284E+04	2,141E+06	9,381E+06	2,141E+06	9,381E+06	9,381E+06	9,045E+05	4,110E+08	10,0
6-SH1	bod 6- horní vlákná stěny 1	1,284E+04	1,284E+04	1,284E+04	2,141E+06	-9,381E+06	2,141E+06	-9,381E+06	-9,381E+06	9,045E+05	4,110E+08	10,0
7-SD2	bod 7- dolní vlákná stěny 2	1,284E+04	1,284E+04	1,284E+04	2,141E+06	9,381E+06	2,141E+06	9,381E+06	9,381E+06	9,045E+05	4,110E+08	10,0
8-SH2	bod 8- horní vlákná stěny 2	1,284E+04	1,284E+04	1,284E+04	-2,141E+06	-9,381E+06	-2,141E+06	-9,381E+06	-9,381E+06	9,045E+05	4,110E+08	10,0
9-T	bod 9- těžiště plného průřezu	1,284E+04	1,284E+04	1,284E+04	-	-	-	-	-	1,089E+06	4,110E+08	10,0

TAB B		STABILITA PRUTU							TAB C		ROZHODUJÍCÍ LINEÁRNÍ KOMBINACE VNITŘNÍCH SIL				
		TLAK - VZPĚR		OHYB - INTERAKCE S TLAKEM+KLOPENÍ							N _x , M _y , M _z , V _z				
POSUDEK				k_{yy}	$k_{yz}=k_{zy}$	k_{zz}	$k_{\Sigma,T}$	$\phi_{0,0.05}$	POSUDEK	ŘÍDÍCÍ	N _x	M _y	M _z	V _z	K č.
NAPĚTÍ		[+]	[+]	[+]	[+]	[+]	[+]	[+]	NAPĚTÍ	VNITŘNÍ SÍLA	[kN]	[kNm]	[kNm]	[kN]	[-]
A		1,000	1,000	1,000	1,000	1,000	1,000	1,000	A	N _{x,max}	799,7	83,3	13,5	47,3	25
B		0,996	0,959	1,024	1,037	0,996	1,000	1,083	B	N _{x,min}	-480,0	-60,7	-2,1	8,0	25
C		1,000	1,000	1,000	1,000	1,000	1,000	1,000	C	M _{y,max}	363,5	156,0	2,6	-40,7	26
D		0,996	0,959	1,004	1,005	0,999	1,000	1,083	D	M _{y,min}	-70,4	-171,4	-8,6	142,1	26
E		0,996	0,959	1,009	1,014	0,998	1,000	1,083	E	M _{z,max}	-177,3	-73,8	29,9	158,1	26
F		1,000	1,000	1,000	1,000	1,000	1,000	1,000	F	M _{z,min}	583,4	-54,5	-29,8	167,3	26
G		1,000	1,000	1,000	1,000	1,000	1,000	1,000	G	V _{z,max}	256,2	-83,2	14,9	285,1	26
H		1,000	1,000	1,000	1,000	1,000	1,000	1,000	H	V _{z,min}	278,7	-83,4	8,6	-278,6	26
ZATÍŽITELNOST 		0,996	0,959	1,019	1,029	0,997	1,000	1,083							
ZATÍŽITELNOST 		0,996	0,959	1,019	1,029	0,997	1,000	1,083							

TAB D		PŘEHLED NAPĚTÍ V KRITICKÝCH BODECH PRŮŘEZU OD ROZHODUJÍCÍ LINEÁRNÍ KOMBINACE ZATÍŽENÍ																																																																																																																																																																																																																																																																																																																		
KRITICKÉ BODY PRŮŘEZU PRO POSOUZENÍ NAPĚTÍ		POSUDEK A		POSUDEK B		POSUDEK C		POSUDEK D		POSUDEK E		POSUDEK F		POSUDEK G		POSUDEK H		MAXIMÁLNÍ HODNOTY NAPĚTÍ V KRITICKÝCH BODECH PRŮŘEZU								ROZHODUJÍCÍ																																																																																																																																																																																																																																																																																										
		σ_{\perp}	σ_{\parallel}	σ_{\perp}	σ_{\parallel}	σ_{\perp}	σ_{\parallel}	σ_{\perp}	σ_{\parallel}	σ_{\perp}	σ_{\parallel}	σ_{\perp}	σ_{\parallel}	σ_{\perp}	σ_{\parallel}	σ_{\perp}	σ_{\parallel}	σ_{\perp}	σ_{\parallel}	σ_{\perp}	σ_{\parallel}	σ_{\perp}	σ_{\parallel}	σ_{\perp}	σ_{\parallel}		σ_{\perp}	σ_{\parallel}	σ_{\perp}	σ_{\parallel}	σ_{\perp}	σ_{\parallel}	σ_{\perp}	σ_{\parallel}	σ_{\perp}	σ_{\parallel}	σ_{\perp}	σ_{\parallel}	σ_{\perp}	σ_{\parallel}	σ_{\perp}	σ_{\parallel}	σ_{\perp}	σ_{\parallel}	σ_{\perp}	σ_{\parallel}	σ_{\perp}	σ_{\parallel}	σ_{\perp}	σ_{\parallel}	σ_{\perp}	σ_{\parallel}	σ_{\perp}	σ_{\parallel}	σ_{\perp}	σ_{\parallel}	σ_{\perp}	σ_{\parallel}	σ_{\perp}	σ_{\parallel}	σ_{\perp}	σ_{\parallel}	σ_{\perp}	σ_{\parallel}	σ_{\perp}	σ_{\parallel}	σ_{\perp}	σ_{\parallel}	σ_{\perp}	σ_{\parallel}	σ_{\perp}	σ_{\parallel}	σ_{\perp}	σ_{\parallel}	σ_{\perp}	σ_{\parallel}	σ_{\perp}	σ_{\parallel}	σ_{\perp}	σ_{\parallel}	σ_{\perp}	σ_{\parallel}	σ_{\perp}	σ_{\parallel}	σ_{\perp}	σ_{\parallel}	σ_{\perp}	σ_{\parallel}	σ_{\perp}	σ_{\parallel}	σ_{\perp}	σ_{\parallel}	σ_{\perp}	σ_{\parallel}	σ_{\perp}	σ_{\parallel}	σ_{\perp}	σ_{\parallel}	σ_{\perp}	σ_{\parallel}	σ_{\perp}	σ_{\parallel}	σ_{\perp}	σ_{\parallel}	σ_{\perp}	σ_{\parallel}	σ_{\perp}	σ_{\parallel}	σ_{\perp}	σ_{\parallel}	σ_{\perp}	σ_{\parallel}	σ_{\perp}	σ_{\parallel}	σ_{\perp}	σ_{\parallel}	σ_{\perp}	σ_{\parallel}	σ_{\perp}	σ_{\parallel}	σ_{\perp}	σ_{\parallel}	σ_{\perp}	σ_{\parallel}	σ_{\perp}	σ_{\parallel}	σ_{\perp}	σ_{\parallel}	σ_{\perp}	σ_{\parallel}	σ_{\perp}	σ_{\parallel}	σ_{\perp}	σ_{\parallel}	σ_{\perp}	σ_{\parallel}	σ_{\perp}	σ_{\parallel}	σ_{\perp}	σ_{\parallel}	σ_{\perp}	σ_{\parallel}	σ_{\perp}	σ_{\parallel}	σ_{\perp}	σ_{\parallel}	σ_{\perp}	σ_{\parallel}	σ_{\perp}	σ_{\parallel}	σ_{\perp}	σ_{\parallel}	σ_{\perp}	σ_{\parallel}	σ_{\perp}	σ_{\parallel}	σ_{\perp}	σ_{\parallel}	σ_{\perp}	σ_{\parallel}	σ_{\perp}	σ_{\parallel}	σ_{\perp}	σ_{\parallel}	σ_{\perp}	σ_{\parallel}	σ_{\perp}	σ_{\parallel}	σ_{\perp}	σ_{\parallel}	σ_{\perp}	σ_{\parallel}	σ_{\perp}	σ_{\parallel}	σ_{\perp}	σ_{\parallel}	σ_{\perp}	σ_{\parallel}	σ_{\perp}	σ_{\parallel}	σ_{\perp}	σ_{\parallel}	σ_{\perp}	σ_{\parallel}	σ_{\perp}	σ_{\parallel}	σ_{\perp}	σ_{\parallel}	σ_{\perp}	σ_{\parallel}	σ_{\perp}	σ_{\parallel}	σ_{\perp}	σ_{\parallel}	σ_{\perp}	σ_{\parallel}	σ_{\perp}	σ_{\parallel}	σ_{\perp}	σ_{\parallel}	σ_{\perp}	σ_{\parallel}	σ_{\perp}	σ_{\parallel}	σ_{\perp}	σ_{\parallel}	σ_{\perp}	σ_{\parallel}	σ_{\perp}	σ_{\parallel}	σ_{\perp}	σ_{\parallel}	σ_{\perp}	σ_{\parallel}	σ_{\perp}	σ_{\parallel}	σ_{\perp}	σ_{\parallel}	σ_{\perp}	σ_{\parallel}	σ_{\perp}	σ_{\parallel}	σ_{\perp}	σ_{\parallel}	σ_{\perp}	σ_{\parallel}	σ_{\perp}	σ_{\parallel}	σ_{\perp}	σ_{\parallel}	σ_{\perp}	σ_{\parallel}	σ_{\perp}	σ_{\parallel}	σ_{\perp}	σ_{\parallel}	σ_{\perp}	σ_{\parallel}	σ_{\perp}	σ_{\parallel}	σ_{\perp}	σ_{\parallel}	σ_{\perp}	σ_{\parallel}	σ_{\perp}	σ_{\parallel}	σ_{\perp}	σ_{\parallel}	σ_{\perp}	σ_{\parallel}	σ_{\perp}	σ_{\parallel}	σ_{\perp}	σ_{\parallel}	σ_{\perp}	σ_{\parallel}	σ_{\perp}	σ_{\parallel}	σ_{\perp}	σ_{\parallel}	σ_{\perp}	σ_{\parallel}	σ_{\perp}	σ_{\parallel}	σ_{\perp}	σ_{\parallel}	σ_{\perp}	σ_{\parallel}	σ_{\perp}	σ_{\parallel}	σ_{\perp}	σ_{\parallel}	σ_{\perp}	σ_{\parallel}	σ_{\perp}	σ_{\parallel}	σ_{\perp}	σ_{\parallel}	σ_{\perp}	σ_{\parallel}	σ_{\perp}	σ_{\parallel}	σ_{\perp}	σ_{\parallel}	σ_{\perp}	σ_{\parallel}	σ_{\perp}	σ_{\parallel}	σ_{\perp}	σ_{\parallel}	σ_{\perp}	σ_{\parallel}	σ_{\perp}	σ_{\parallel}	σ_{\perp}	σ_{\parallel}	σ_{\perp}	σ_{\parallel}	σ_{\perp}	σ_{\parallel}	σ_{\perp}	σ_{\parallel}	σ_{\perp}	σ_{\parallel}	σ_{\perp}	σ_{\parallel}	σ_{\perp}	σ_{\parallel}

TAB 7 27 B. ZATÍŽITELNOST - 1.MS - ÚNOSNOST

TAB E		1. ZATÍŽITELNOST - NORMÁLOVÉ NAPĚTÍ												2. ZATÍŽITELNOST - SMYKOVÉ NAPĚTÍ												3. ZATÍŽITELNOST - SROVNÁVACÍ NAPĚTÍ																																																																																																																																																																																																																																																																																																																																																																																																																																																																																																																																																																																																																																																																																																																																																											
		KZ č. 25												KZ č. 26												KZ č. 25																																																																																																																																																																																																																																																																																																																																																																																																																																																																																																																																																																																																																																																																																																																																																											
		ZATÍŽITELNOST												ZATÍŽITELNOST												ZATÍŽITELNOST																																																																																																																																																																																																																																																																																																																																																																																																																																																																																																																																																																																																																																																																																																																																																											
		N _x	M _y	M _z	V _z	N _x	M _y	M _z	V _z	σ _{Nx}	σ _{My}	σ _{Mz}	τ _{Vz}	V _z	V _z	N _x	M _y	M _z	V _z	V _z	N _x	M _y	M _z	V _z	V _z	σ _{Nx}	σ _{My}	σ _{Mz}	τ _{Vz}	V _z	V _z	σ _{Nx}	σ _{My}	σ _{Mz}	τ _{Vz}	V _z	V _z	σ _{Nx}	σ _{My}	σ _{Mz}	τ _{Vz}	V _z	V _z																																																																																																																																																																																																																																																																																																																																																																																																																																																																																																																																																																																																																																																																																																																																										
SKUPINA		[kN]	[kNm]	[kNm]	[-]	[kN]	[kNm]	[kNm]	[MPa]	[MPa]	[MPa]	[MPa]		[kN]	[-]	[kN]	[MPa]					[kN]	[kNm]	[kNm]	[kN]	[-]	[kN]	[kNm]	[kNm]	[kN]	[MPa]	[MPa]	[MPa]	[MPa]	[MPa]	[MPa]																																																																																																																																																																																																																																																																																																																																																																																																																																																																																																																																																																																																																																																																																																																																																	
ZATĚŽ STAVŮ																																																																																																																																																																																																																																																																																																																																																																																																																																																																																																																																																																																																																																																																																																																																																																																					
F ₁ (E ₁)	G	46,9	-7,4	0,8	0,85	39,9	-6,3	0,7	3,1	-3,3	-2,0	-2,1	R _e	197,2 MPa	10,0	0,85	8,5	2,3	R _e	123,3 MPa	46,9	-7,4	0,8	6,4	0,85	39,9	-6,3	0,7	5,4	3,1	-3,3	-2,0	-2,1	0,0	2,1	R _e	197,2 MPa	10,0	0,85	8,5	2,3	R _e	123,3 MPa	46,9	-7,4	0,8	6,4	0,85	39,9	-6,3	0,7	5,4	3,1	-3,3	-2,0	-2,1	0,0	2,1	R _e	197,2 MPa																																																																																																																																																																																																																																																																																																																																																																																																																																																																																																																																																																																																																																																																																																																									
	CH	0,0	0,0	0,0	0,0	0,0	0,0	0,0	0,0	0,0	0,0	0,0	0,0	0,0	0,0	0,0	0,0	0,0	0,0	0,0	0,0	0,0	0,0	0,0	0,0	0,0	0,0	0,0	0,0	0,0	0,0	0,0	0,0	0,0	0,0	0,0	0,0	0,0	0,0	0,0	0,0	0,0	0,0	0,0	0,0	0,0	0,0	0,0	0,0	0,0	0,0	0,0	0,0	0,0	0,0	0,0	0,0	0,0	0,0	0,0	0,0	0,0	0,0	0,0	0,0	0,0	0,0	0,0	0,0	0,0	0,0	0,0	0,0	0,0	0,0	0,0	0,0	0,0	0,0	0,0	0,0	0,0	0,0	0,0	0,0	0,0	0,0	0,0	0,0	0,0	0,0	0,0	0,0	0,0	0,0	0,0	0,0	0,0	0,0	0,0	0,0	0,0	0,0	0,0	0,0	0,0	0,0	0,0	0,0	0,0	0,0	0,0	0,0	0,0	0,0	0,0	0,0	0,0	0,0	0,0	0,0	0,0	0,0	0,0	0,0	0,0	0,0	0,0	0,0	0,0	0,0	0,0	0,0	0,0	0,0	0,0	0,0	0,0	0,0	0,0	0,0	0,0	0,0	0,0	0,0	0,0	0,0	0,0	0,0	0,0	0,0	0,0	0,0	0,0	0,0	0,0	0,0	0,0	0,0	0,0	0,0	0,0	0,0	0,0	0,0	0,0	0,0	0,0	0,0	0,0	0,0	0,0	0,0	0,0	0,0	0,0	0,0	0,0	0,0	0,0	0,0	0,0	0,0	0,0	0,0	0,0	0,0	0,0	0,0	0,0	0,0	0,0	0,0	0,0	0,0	0,0	0,0	0,0	0,0	0,0	0,0	0,0	0,0	0,0	0,0	0,0	0,0	0,0	0,0	0,0	0,0	0,0	0,0	0,0	0,0	0,0	0,0	0,0	0,0	0,0	0,0	0,0	0,0	0,0	0,0	0,0	0,0	0,0	0,0	0,0	0,0	0,0	0,0	0,0	0,0	0,0	0,0	0,0	0,0	0,0	0,0	0,0	0,0	0,0	0,0	0,0	0,0	0,0	0,0	0,0	0,0	0,0	0,0	0,0	0,0	0,0	0,0	0,0	0,0	0,0	0,0	0,0	0,0	0,0	0,0	0,0	0,0	0,0	0,0	0,0	0,0	0,0	0,0	0,0	0,0	0,0	0,0	0,0	0,0	0,0	0,0	0,0	0,0	0,0	0,0	0,0	0,0	0,0	0,0	0,0	0,0	0,0	0,0	0,0	0,0	0,0	0,0	0,0	0,0	0,0	0,0	0,0	0,0	0,0	0,0	0,0	0,0	0,0	0,0	0,0	0,0	0,0	0,0	0,0	0,0	0,0	0,0	0,0	0,0	0,0	0,0	0,0	0,0	0,0	0,0	0,0	0,0	0,0	0,0	0,0	0,0	0,0	0,0	0,0	0,0	0,0	0,0	0,0	0,0	0,0	0,0	0,0	0,0	0,0	0,0	0,0	0,0	0,0	0,0	0,0	0,0	0,0	0,0	0,0	0,0	0,0	0,0	0,0	0,0	0,0	0,0	0,0	0,0	0,0	0,0	0,0	0,0	0,0	0,0	0,0	0,0	0,0	0,0	0,0	0,0	0,0	0,0	0,0	0,0	0,0	0,0	0,0	0,0	0,0	0,0	0,0	0,0	0,0	0,0	0,0	0,0	0,0	0,0	0,0	0,0	0,0	0,0	0,0	0,0	0,0	0,0	0,0	0,0	0,0	0,0	0,0	0,0	0,0	0,0	0,0	0,0	0,0	0,0	0,0	0,0	0,0	0,0	0,0	0,0	0,0	0,0	0,0	0,0	0,0	0,0	0,0	0,0	0,0	0,0	0,0	0,0	0,0	0,0	0,0	0,0	0,0	0,0	0,0	0,0	0,0	0,0	0,0	0,0	0,0	0,0	0,0	0,0	0,0	0,0	0,0	0,0	0,0	0,0	0,0	0,0	0,0	0,0	0,0	0,0	0,0	0,0	0,0	0,0	0,0	0,0	0,0	0,0	0,0	0,0	0,0	0,0	0,0	0,0	0,0	0,0	0,0	0,0	0,0	0,0	0,0	0,0	0,0	0,0	0,0	0,0	0,0	0,0	0,0	0,0	0,0	0,0	0,0	0,0	0,0	0,0	0,0	0,0	0,0	0,0	0,0	0,0	0,0	0,0	0,0	0,0	0,0	0,0	0,0	0,0	0,0	0,0	0,0	0,0	0,0	0,0	0,0	0,0	0,0	0,0	0,0	0,0	0,0	0,0	0,0	0,0	0,0	0,0	0,0	0,0	0,0	0,0	0,0	0,0	0,0	0,0	0,0	0,0	0,0	0,0	0,0	0,0	0,0	0,0	0,0	0,0	0,0	0,0	0,0	0,0	0,0	0,0	0,0	0,0	0,0	0,0	0,0	0,0	0,0	0,0	0,0	0,0	0,0	0,0	0,0	0,0	0,0	0,0	0,0	0,0	0,0	0,0	0,0	0,0	0,0	0,0	0,0	0,0	0,0	0,0	0,0	0,0	0,0	0,0	0,0	0,0	0,0	0,0	0,0	0,0	0,0	0,0	0,0	0,0	0,0	0,0	0,0	0,0	0,0	0,0	0,0	0,0	0,0	0,0	0,0	0,0	0,0	0,0	0,0	0,0	0,0	0,0	0,0	0,0	0,0	0,0	0,0	0,0	0,0	0,0	0,0	0,0	0,0	0,0	0,0	0,0	0,0	0,0	0,0	0,0	0,0	0,0	0,0	0,0	0,0	0,0	0,0	0,0	0,0	0,0	0,0	0,0	0,0	0,0	0,0	0,0	0,0	0,0	0,0	0,0	0,0	0,0	0,0	0,0	0,0	0,0	0,0	0,0	0,0	0,0	0,0	0,0	0,0	0,0	0,0	0,0	0,0	0,0	0,0	0,0	0,0	0,0	0,0	0,0	0,0	0,0	0,0	0,0	0,0	0,0	0,0	0,0	0,0	0,0	0,0	0,0	0,0	0,0	0,0	0,0	0,0	0,0	0,0	0,0	0,0	0,0	0,0	0,0	0,0	0,0	0,0	0,0	0,0	0,0	0,0	0,0	0,0	0,0	0,0	0,0	0,0	0,0	0,0	0,0	0,0	0,0	0,0	0,0	0,0	0,0	0,0	0,0	0,0	0,0	0,0	0,0	0,0	0,0	0,0	0,0	0,0	0,0	0,0	0,0	0,0	0,0	0,0	0,0	0,0	0,0	0,0	0,0	0,0	0,0	0,0	0,0	0,0	0,0	0,0	0,0	0,0	0,0	0,0	0,0	0,0	0,0	0,0	0,0

A. POSOUZENÍ - 1.MS - ÚNOSNOST

POSUDEK: 28	PRŮŘEZ: D_8	PRUT	X[m]
OZNAČENÍ: D_8	POPIS: PODÉLNÍK 8	i	j








SOUČINITEL KOROZE k = 1,00

POUŽITÁ OBECNÁ METODA POSUDKU KOMBINACE TLAKU A OHYBU ČSN EN 1993-1-1 6.3.4

Konzervativně uvažován $C_{my}=C_{mz}=C_{mLT}=1.0$

Pokud se jedná o tah jsou příslušné hodnoty součinitelů rovny 1.0

TAB A		PRŮŘEZOVÉ CHARAKTERISTIKY KRITICKÉHO PRŮŘEZU											
KRITICKÉ BODY PRŮŘEZU PRO POŠOUZENÍ NAPĚTÍ		TAH, TLAK N_x			OHYB M_y, M_z					SMYK V_z			
		A_x	$A_{x,rel}$	N_x	W_y	W_z	$W_{y,rel}$	$W_{z,rel}$	$W_{x,rel}$	S_y	I_y	L	
OZN.	POPIS	[mm ²]	[mm ²]	[mm ²]	[mm ³]	[mm ³]	[mm ³]	[mm ³]	[mm ³]	[mm ³]	[mm ³]	[mm ⁴]	[mm]
1-DL	bod 1- dolní vlákná průřezu, levý okraj	1,151E+04	1,151E+04	1,151E+04	1,887E+05	2,586E+05	1,887E+05	1,887E+05	2,586E+05	2,586E+05	-	-	-
2-DP	bod 2- dolní vlákná průřezu, levý okraj	1,151E+04	1,151E+04	1,151E+04	1,887E+05	2,586E+05	1,887E+05	1,887E+05	2,586E+05	2,586E+05	-	-	-
3-HL	bod 3- horní vlákná průřezu, levý okraj	1,151E+04	1,151E+04	1,151E+04	1,887E+05	2,586E+05	1,887E+05	1,887E+05	2,586E+05	2,586E+05	-	-	-
4-HP	bod 4- horní vlákná průřezu, pravý okraj	1,151E+04	1,151E+04	1,151E+04	1,887E+05	2,586E+05	1,887E+05	1,887E+05	2,586E+05	2,586E+05	-	-	-
5-SD1	bod 5- dolní vlákná stěny 1	1,151E+04	1,151E+04	1,151E+04	2,022E+05	5,686E+06	2,022E+05	2,022E+05	5,686E+06	5,686E+06	8,149E+05	4,519E+06	10,0
6-SH1	bod 6- horní vlákná stěny 1	1,151E+04	1,151E+04	1,151E+04	2,022E+05	5,686E+06	2,022E+05	2,022E+05	5,686E+06	5,686E+06	8,149E+05	4,519E+06	10,0
7-SD2	bod 7- dolní vlákná stěny 2	1,151E+04	1,151E+04	1,151E+04	2,022E+05	5,686E+06	2,022E+05	2,022E+05	5,686E+06	5,686E+06	8,149E+05	4,519E+06	10,0
8-SH2	bod 8- horní vlákná stěny 2	1,151E+04	1,151E+04	1,151E+04	2,022E+05	5,686E+06	2,022E+05	2,022E+05	5,686E+06	5,686E+06	8,149E+05	4,519E+06	10,0
9-T	bod 9- těžiště plného průřezu	1,151E+04	1,151E+04	1,151E+04	-	-	-	-	-	-	1,0605E+06	4,519E+06	10,0

TAB B		STABILITA PRUTU						TAB C		ROZHODUJÍCÍ LINEÁRNÍ KOMBINACE VNITŘNÍCH SIL				
		TLAK - VZPĚR		OHYB - INTERAKCE S TLAKEM+KLOPEN						Nx, My, Mx, Vz				
POSUDEK NAPĚTÍ			k_{yy}	$k_{yz}=k_{zy}$	k_{zz}	σ_{cr}		POSUDEK NAPĚTÍ	ŘÍDICÍ VNITŘNÍ SÍLA	Nx	My	Mz	Vz	K.č.
			[]	[]	[]	[]	[]			[kN]	[kNm]	[kNm]	[kN]	[]
A	1,000	1,000	1,000	1,000	1,000	1,000	1,000	A	Nx,max	414,2	94,3	-0,8	41,9	25
B	1,000	0,962	1,007	1,015	0,998	1,000	1,083	B	Nx,min	-175,9	-6,0	1,6	-0,2	25
C	1,000	1,000	1,000	1,000	1,000	1,000	1,000	C	My,max	268,5	150,3	1,7	62,1	26
D	1,000	1,000	1,000	1,000	1,000	1,000	1,000	D	My,min	136,1	-87,1	12,8	135,6	26
E	1,000	1,000	1,000	1,000	1,000	1,000	1,000	E	Mz,max	63,6	-35,9	20,9	130,2	26
F	1,000	1,000	1,000	1,000	1,000	1,000	1,000	F	Mz,min	164,3	77,6	-16,8	20,9	26
G	1,000	1,000	1,000	1,000	1,000	1,000	1,000	G	Vz,max	239,3	-49,9	9,4	240,2	26
H	1,000	1,000	1,000	1,000	1,000	1,000	1,000	H	Vz,min	208,0	-28,3	15,0	-265,1	26
ZATÍŽENOST 	1,000	1,000	1,000	1,000	1,000	1,000	1,000							
ZATÍŽENOST 	1,000	1,000	1,000	1,000	1,000	1,000	1,000							

TAB D		PŘEHLED NAPĚTÍ V KRITICKÝCH BODECH PRŮŘEZU OD ROZHODUJÍCÍ LINEÁRNÍ KOMBINACE ZATÍŽENÍ																																																																																																																																																																																																																																																																																																																																																																																																																																																																																																																																																																																																																																																																																																																																																																																									
KRITICKÉ BODY PRŮŘEZU PRO POUSOZENÍ NAPĚTÍ		POSUDEK A			POSUDEK B			POSUDEK C			POSUDEK D			POSUDEK E			POSUDEK F			POSUDEK G			POSUDEK H			MAXIMÁLNÍ HODNOTY NAPĚTÍ V KRITICKÝCH BODECH PRŮŘEZU						ROZHODNUTÍ																																																																																																																																																																																																																																																																																																																																																																																																																																																																																																																																																																																																																																																																																																																																																											
		σ_x	σ_y	τ_{xy}	σ_x	σ_y	τ_{xy}	σ_x	σ_y	τ_{xy}	σ_x	σ_y	τ_{xy}	σ_x	σ_y	τ_{xy}	σ_x	σ_y	τ_{xy}	σ_x	σ_y	τ_{xy}	σ_x	σ_y	τ_{xy}	σ_x	σ_y	τ_{xy}	$\sigma_{x,MAX}$	$f_{t,y}$	$\sigma_{y,MAX}$		$f_{c,y}$	$\tau_{xy,MAX}$	$f_{v,y}$																																																																																																																																																																																																																																																																																																																																																																																																																																																																																																																																																																																																																																																																																																																																																								
OZN.	POPIS	[MPa]	[MPa]	[MPa]	[MPa]	[MPa]	[MPa]	[MPa]	[MPa]	[MPa]	[MPa]	[MPa]	[MPa]	[MPa]	[MPa]	[MPa]	[MPa]	[MPa]	[MPa]	[MPa]	[MPa]	[MPa]	[MPa]	[MPa]	[MPa]	[MPa]	[MPa]	[MPa]	[MPa]	[MPa]	[MPa]	[MPa]	[MPa]	[MPa]	[MPa]	[MPa]	[MPa]	[MPa]	[MPa]	[MPa]	[MPa]	[MPa]	[MPa]	[MPa]	[MPa]	[MPa]	[MPa]	[MPa]	[MPa]	[MPa]	[MPa]	[MPa]	[MPa]	[MPa]	[MPa]	[MPa]	[MPa]	[MPa]	[MPa]	[MPa]	[MPa]	[MPa]	[MPa]	[MPa]	[MPa]	[MPa]	[MPa]	[MPa]	[MPa]	[MPa]	[MPa]	[MPa]	[MPa]	[MPa]	[MPa]	[MPa]	[MPa]	[MPa]	[MPa]	[MPa]	[MPa]	[MPa]	[MPa]	[MPa]	[MPa]	[MPa]	[MPa]	[MPa]	[MPa]	[MPa]	[MPa]	[MPa]	[MPa]	[MPa]	[MPa]	[MPa]	[MPa]	[MPa]	[MPa]	[MPa]	[MPa]	[MPa]	[MPa]	[MPa]	[MPa]	[MPa]	[MPa]	[MPa]	[MPa]	[MPa]	[MPa]	[MPa]	[MPa]	[MPa]	[MPa]	[MPa]	[MPa]	[MPa]	[MPa]	[MPa]	[MPa]	[MPa]	[MPa]	[MPa]	[MPa]	[MPa]	[MPa]	[MPa]	[MPa]	[MPa]	[MPa]	[MPa]	[MPa]	[MPa]	[MPa]	[MPa]	[MPa]	[MPa]	[MPa]	[MPa]	[MPa]	[MPa]	[MPa]	[MPa]	[MPa]	[MPa]	[MPa]	[MPa]	[MPa]	[MPa]	[MPa]	[MPa]	[MPa]	[MPa]	[MPa]	[MPa]	[MPa]	[MPa]	[MPa]	[MPa]	[MPa]	[MPa]	[MPa]	[MPa]	[MPa]	[MPa]	[MPa]	[MPa]	[MPa]	[MPa]	[MPa]	[MPa]	[MPa]	[MPa]	[MPa]	[MPa]	[MPa]	[MPa]	[MPa]	[MPa]	[MPa]	[MPa]	[MPa]	[MPa]	[MPa]	[MPa]	[MPa]	[MPa]	[MPa]	[MPa]	[MPa]	[MPa]	[MPa]	[MPa]	[MPa]	[MPa]	[MPa]	[MPa]	[MPa]	[MPa]	[MPa]	[MPa]	[MPa]	[MPa]	[MPa]	[MPa]	[MPa]	[MPa]	[MPa]	[MPa]	[MPa]	[MPa]	[MPa]	[MPa]	[MPa]	[MPa]	[MPa]	[MPa]	[MPa]	[MPa]	[MPa]	[MPa]	[MPa]	[MPa]	[MPa]	[MPa]	[MPa]	[MPa]	[MPa]	[MPa]	[MPa]	[MPa]	[MPa]	[MPa]	[MPa]	[MPa]	[MPa]	[MPa]	[MPa]	[MPa]	[MPa]	[MPa]	[MPa]	[MPa]	[MPa]	[MPa]	[MPa]	[MPa]	[MPa]	[MPa]	[MPa]	[MPa]	[MPa]	[MPa]	[MPa]	[MPa]	[MPa]	[MPa]	[MPa]	[MPa]	[MPa]	[MPa]	[MPa]	[MPa]	[MPa]	[MPa]	[MPa]	[MPa]	[MPa]	[MPa]	[MPa]	[MPa]	[MPa]	[MPa]	[MPa]	[MPa]	[MPa]	[MPa]	[MPa]	[MPa]	[MPa]	[MPa]	[MPa]	[MPa]	[MPa]	[MPa]	[MPa]	[MPa]	[MPa]	[MPa]	[MPa]	[MPa]	[MPa]	[MPa]	[MPa]	[MPa]	[MPa]	[MPa]	[MPa]	[MPa]	[MPa]	[MPa]	[MPa]	[MPa]	[MPa]	[MPa]	[MPa]	[MPa]	[MPa]	[MPa]	[MPa]	[MPa]	[MPa]	[MPa]	[MPa]	[MPa]	[MPa]	[MPa]	[MPa]	[MPa]	[MPa]	[MPa]	[MPa]	[MPa]	[MPa]	[MPa]	[MPa]	[MPa]	[MPa]	[MPa]	[MPa]	[MPa]	[MPa]	[MPa]	[MPa]	[MPa]	[MPa]	[MPa]	[MPa]	[MPa]	[MPa]	[MPa]	[MPa]	[MPa]	[MPa]	[MPa]	[MPa]	[MPa]	[MPa]	[MPa]	[MPa]	[MPa]	[MPa]	[MPa]	[MPa]	[MPa]	[MPa]	[MPa]	[MPa]	[MPa]	[MPa]	[MPa]	[MPa]	[MPa]	[MPa]	[MPa]	[MPa]	[MPa]	[MPa]	[MPa]	[MPa]	[MPa]	[MPa]	[MPa]	[MPa]	[MPa]	[MPa]	[MPa]	[MPa]	[MPa]	[MPa]	[MPa]	[MPa]	[MPa]	[MPa]	[MPa]	[MPa]	[MPa]	[MPa]	[MPa]	[MPa]	[MPa]	[MPa]	[MPa]	[MPa]	[MPa]	[MPa]	[MPa]	[MPa]	[MPa]	[MPa]	[MPa]	[MPa]	[MPa]	[MPa]	[MPa]	[MPa]	[MPa]	[MPa]	[MPa]	[MPa]	[MPa]	[MPa]	[MPa]	[MPa]	[MPa]	[MPa]	[MPa]	[MPa]	[MPa]	[MPa]	[MPa]	[MPa]	[MPa]	[MPa]	[MPa]	[MPa]	[MPa]	[MPa]	[MPa]	[MPa]	[MPa]	[MPa]	[MPa]	[MPa]	[MPa]	[MPa]	[MPa]	[MPa]	[MPa]	[MPa]	[MPa]	[MPa]	[MPa]	[MPa]	[MPa]	[MPa]	[MPa]	[MPa]	[MPa]	[MPa]	[MPa]	[MPa]	[MPa]	[MPa]	[MPa]	[MPa]	[MPa]	[MPa]	[MPa]	[MPa]	[MPa]	[MPa]	[MPa]	[MPa]	[MPa]	[MPa]	[MPa]	[MPa]	[MPa]	[MPa]	[MPa]	[MPa]	[MPa]	[MPa]	[MPa]	[MPa]	[MPa]	[MPa]	[MPa]	[MPa]	[MPa]	[MPa]	[MPa]	[MPa]	[MPa]	[MPa]	[MPa]	[MPa]	[MPa]	[MPa]	[MPa]	[MPa]	[MPa]	[MPa]	[MPa]	[MPa]	[MPa]	[MPa]	[MPa]	[MPa]	[MPa]	[MPa]	[MPa]	[MPa]	[MPa]	[MPa]	[MPa]	[MPa]	[MPa]	[MPa]	[MPa]	[MPa]	[MPa]	[MPa]	[MPa]	[MPa]	[MPa]	[MPa]	[MPa]	[MPa]	[MPa]	[MPa]	[MPa]	[MPa]	[MPa]	[MPa]	[MPa]	[MPa]	[MPa]	[MPa]	[MPa]	[MPa]	[MPa]	[MPa]	[MPa]	[MPa]	[MPa]	[MPa]	[MPa]	[MPa]	[MPa]	[MPa]	[MPa]	[MPa]	[MPa]	[MPa]	[MPa]	[MPa]	[MPa]	[MPa]	[MPa]	[MPa]	[MPa]	[MPa]	[MPa]	[MPa]	[MPa]	[MPa]	[MPa]	[MPa]	[MPa]	[MPa]	[MPa]	[MPa]	[MPa]	[MPa]	[MPa]	[MPa]	[MPa]	[MPa]	[MPa]	[MPa]	[MPa]	[MPa]	[MPa]	[MPa]	[MPa]	[MPa]	[MPa]	[MPa]	[MPa]	[MPa]	[MPa]	[MPa]	[MPa]	[MPa]	[MPa]	[MPa]	[MPa]	[MPa]	[MPa]	[MPa]	[MPa]	[MPa]	[MPa]	[MPa]	[MPa]	[MPa]	[MPa]	[MPa]	[MPa]	[MPa]	[MPa]	[MPa]	[MPa]	[MPa]	[MPa]	[MPa]	[MPa]	[MPa]	[MPa]	[MPa]	[MPa]	[MPa]	[MPa]	[MPa]	[MPa]	[MPa]	[MPa]	[MPa]	[MPa]	[MPa]	[MPa]	[MPa]	[MPa]	[MPa]	[MPa]	[MPa]	[MPa]	[MPa]	[MPa]	[MPa]	[MPa]	[MPa]	[MPa]	[MPa]	[MPa]	[MPa]	[MPa]	[MPa]	[MPa]	[MPa]	[MPa]	[MPa]	[MPa]	[MPa]	[MPa]	[MPa]	[MPa]	[MPa]	[MPa]	[MPa]	[MPa]	[MPa]	[MPa]	[MPa]	[MPa]	[MPa]	[MPa]	[MPa]	[MPa]	[MPa]	[MPa]	[MPa]	[MPa]	[MPa]	[MPa]	[MPa]	[MPa]	[MPa]	[MPa]	[MPa]	[MPa]	[MPa]	[MPa]	[MPa]	[MPa]	[MPa]	[MPa]	[MPa]	[MPa]	[MPa]	[MPa]	[MPa]	[MPa]	[MPa]	[MPa]	[MPa]	[MPa]	[MPa]	[MPa]	[MPa]	[MPa]	[MPa]	[MPa]	[MPa]	[MPa]	[MPa]	[MPa]	[MPa]	[MPa]	[MPa]	[MPa]	[MPa]	[MPa]	[MPa]	[MPa]	[MPa]	[MPa]	[MPa]	[MPa]	[MPa]	[MPa]	[MPa]	[MPa]	[MPa]	[MPa]	[MPa]	[MPa]	[MPa]	[MPa]	[MPa]	[MPa]	[MPa]	[MPa]	[MPa]	[MPa]	[MPa]	[MPa]	[MPa]	[MPa]	[MPa]	[MPa]	[MPa]	[MPa]	[MPa]	[MPa]	[MPa]	[MPa]	[MPa]	[MPa]	[MPa]	[MPa]	[MPa]	[MPa]	[MPa]	[MPa]	[MPa]	[MPa]	[MPa]	[MPa]	[MPa]	[MPa]	[MPa]	[MPa]	[MPa]	[MPa]	[MPa]	[MPa]	[MPa]	[MPa]	[MPa]</

B. ZATÍŽITELNOST - 1.MS - ÚNOSNOST

[illegible]

C. SHRUTÍ VÝSLEDKŮ

TAB F	A. POSOUZENÍ - 1.MS - ÚNOSNOST			
DRUH NAPĚTÍ	1. NORMÁLOVÉ η_1	2. SMYKOVÉ η_3	3. SROVNÁVACÍ η_e	4.MAXIMUM 1-3
MAXIMÁLNÍ VYUŽITÍ	0,564	0,507	0,564	0,564
POSUDEK NAPĚTÍ	F	H	F	F
ŘÍDICÍ VNITŘNÍ SILA	Mz,min	Vz,min	Mz,min	Mz,min
KRITICKÝ BOD PRŮŘEZU	2-DP	9-T	2-DP	2-DP
LINEÁRNÍ KOMBINACE	26	26	26	26

TAB G	B. ZATÍŽITELNOST - 1.MS - ÚŠNOST			
DRUH NAPĚTÍ	1. NORMÁLOVÉ σ_n	2. SMYKOVÉ τ	3. SROVNÁVACÍ σ_n	4.MINIMUM 1-3
ZATÍŽITELNOST Z _p	2,13	2,28	2,13	2,13
POSUDEK NAPĚTÍ	C	H	C	C
ŘÍDÍCÍ VNITŘNÍ SÍLA	My,max	Vz,min	My,max	My,max
KRITICKÝ BOD PRŮŘEZU	1-DL	9-T	1-DL	1-DL
LINEÁRNÍ KOMBINACE	26	26	26	26

TAB 6 29 A. POSOUZENÍ - 1.MS - ÚNOSNOST

POSUDEK: 29 PRŮŘEZ: D_9 PRUT X[m] OZNAČENÍ: D_9 POPIS: PODÉLNÍK 9 i j

SOUČINITEL KOROZE k = 1,00

POUŽITÁ OBLIČNÁ METODA POSUDKU KOMBINACE TLAKU A OHYBU ČSN EN 1993-1-1 6.3.4

Konzervativně uvažován C_{int}=C_{intL}=1.0

Pokud se jedná o tah jsou příslušné hodnoty součinitelů rovny 1.0

TAB A	PRŮŘEZOVÉ CHARAKTERISTIKY KRITICKÉHO PRŮŘEZU											
	TAH, TLAK N _x			OHYB M _y , M _z						SMYK V _z		
	PRO POSOUZENÍ NAPĚTÍ											
	A _x	A _y	A _{rot-Nx}	W _y	W _z	W _{y,ef-My}	W _{y,ef-Mz}	W _{z,ef-Mx}	W _{z,ef-My}	S _y	I _y	I _z
OZN. POPIS	[mm ²]	[mm ²]	[mm ²]	[mm ³]	[mm ³]	[mm ³]	[mm ³]	[mm ³]	[mm ³]	[mm ³]	[mm ⁴]	[mm ⁴]
1-DL bod 1- dolní vlákná průřezu, levý okraj	1,163E+04	1,163E+04	1,163E+04	1,946E+06	2,585E+05	1,946E+06	1,946E+06	2,585E+05	2,585E+05	-	-	-
2-DP bod 2- dolní vlákná průřezu, pravý okraj	1,163E+04	1,163E+04	1,163E+04	1,946E+06	2,585E+05	1,946E+06	1,946E+06	2,585E+05	2,585E+05	-	-	-
3-HL bod 3- horní vlákná průřezu, levý okraj	1,163E+04	1,163E+04	1,163E+04	-1,946E+06	2,585E+05	-1,946E+06	-1,946E+06	2,585E+05	2,585E+05	-	-	-
4-HP bod 4- horní vlákná průřezu, pravý okraj	1,163E+04	1,163E+04	1,163E+04	-1,946E+06	2,585E+05	-1,946E+06	-1,946E+06	2,585E+05	2,585E+05	-	-	-
5-SD1 bod 5- dolní vlákná stěny 1	1,163E+04	1,163E+04	1,163E+04	2,082E+06	5,687E+06	2,082E+06	2,082E+06	5,687E+06	5,687E+06	8,360E+05	4,778E+09	10,0
6-SH1 bod 6- horní vlákná stěny 1	1,163E+04	1,163E+04	1,163E+04	2,082E+06	-5,687E+06	2,082E+06	2,082E+06	-5,687E+06	-5,687E+06	8,360E+05	4,778E+09	10,0
7-SD2 bod 7- dolní vlákná stěny 2	1,163E+04	1,163E+04	1,163E+04	2,082E+06	5,687E+06	2,082E+06	2,082E+06	5,687E+06	5,687E+06	8,360E+05	4,778E+09	10,0
8-SH2 bod 8- horní vlákná stěny 2	1,163E+04	1,163E+04	1,163E+04	2,082E+06	-5,687E+06	2,082E+06	2,082E+06	-5,687E+06	-5,687E+06	8,360E+05	4,778E+09	10,0
9-T bod 9- těžiště plného průřezu	1,163E+04	1,163E+04	1,163E+04	-	-	-	-	-	-	1,099E+06	4,778E+09	10,0

TAB B	STABILITA PRUTU								TAB C						ROZHODUJÍCÍ LINEÁRNÍ KOMBINACE VNITŘNÍCH SIL				
	TLAK - VZPĚR				OHYB - INTERAKCE S TLAKEM+KLOPENÍ				ROUČ. MAT						Nx, My, Mx, Vz				
	POSUDEK	☒	☒	☒	☒	☒	☒	☒	☒	☒	POSUDEK	ŘÍDÍCÍ	VNITŘNÍ SÍLA		Nx	My	Mz	Vz	K.č.
NAPĚTÍ	☒	☒	☒	☒	☒	☒	☒	☒	☒	☒	NAPĚTÍ				[kN]	[kNm]	[kNm]	[kN]	[-]
A	1,000	1,000	1,000	1,000	1,000	1,000	1,000	1,000	1,000	1,000	A	Nx,max			328,3	108,7	7,1	41,0	25
B	1,000	0,961	1,005	1,010	0,999	1,000	1,083				B	Nx,min			-123,2	-7,0	-3,4	3,3	25
C	1,000	1,000	1,000	1,000	1,000	1,000	1,000				C	My,max			235,0	149,8	-4,7	-67,8	26
D	1,000	1,000	1,000	1,000	1,000	1,000	1,000				D	My,min			68,1	-88,9	8,7	-159,3	26
E	1,000	1,000	1,000	1,000	1,000	1,000	1,000				E	Mz,max			85,1	-35,6	20,3	86,3	26
F	1,000	1,000	1,000	1,000	1,000	1,000	1,000				F	Mz,min			160,8	71,8	-16,0	13,9	26
G	1,000	1,000	1,000	1,000	1,000	1,000	1,000				G	Vz,max			149,0	-41,9	11,1	223,6	26
H	1,000	1,000	1,000	1,000	1,000	1,000	1,000				H	Vz,min			178,2	-32,1	15,2	-274,8	26
ZATÍŽITELNOST	1,000	1,000	1,000	1,000	1,000	1,000	1,000												
ZATÍŽITELNOST	1,000	1,000	1,000	1,000	1,000	1,000	1,000												

TAB D		PŘEHLED NAPĚTÍ V KRITICKÝCH BODECH PRŮŘEZU OD ROZHODUJÍCÍ LINEÁRNÍ KOMBINACE ZATÍŽENÍ																																																																																																																																																																																																																																																																																																																																																																																																																																																																																																																																																																																																																																																																																																																																																																																																									
KRITICKÉ BODY PRŮŘEZU PRO POSOUZENÍ NAPĚTÍ		POSUDEK A			POSUDEK B			POSUDEK C			POSUDEK D			POSUDEK E			POSUDEK F			POSUDEK G			POSUDEK H			MAXIMÁLNÍ HODNOTY NAPĚTÍ V KRITICKÝCH BODECH PRŮŘEZU																																																																																																																																																																																																																																																																																																																																																																																																																																																																																																																																																																																																																																																																																																																																																																																	
																																			ROZHODUJÍ																																																																																																																																																																																																																																																																																																																																																																																																																																																																																																																																																																																																																																																																																																																																																																								
OZN.	POPIS	[MPa]	[MPa]	[MPa]	[MPa]	[MPa]	[MPa]	[MPa]	[MPa]	[MPa]	[MPa]	[MPa]	[MPa]	[MPa]	[MPa]	[MPa]	[MPa]	[MPa]	[MPa]	[MPa]	[MPa]	[MPa]	[MPa]	[MPa]	[MPa]	[MPa]	[MPa]	[MPa]	[MPa]	[MPa]	[MPa]	[MPa]	[MPa]	[MPa]	[MPa]	[MPa]	[MPa]	[MPa]	[MPa]	[MPa]	[MPa]	[MPa]	[MPa]	[MPa]	[MPa]	[MPa]	[MPa]	[MPa]	[MPa]	[MPa]	[MPa]	[MPa]	[MPa]	[MPa]	[MPa]	[MPa]	[MPa]	[MPa]	[MPa]	[MPa]	[MPa]	[MPa]	[MPa]	[MPa]	[MPa]	[MPa]	[MPa]	[MPa]	[MPa]	[MPa]	[MPa]	[MPa]	[MPa]	[MPa]	[MPa]	[MPa]	[MPa]	[MPa]	[MPa]	[MPa]	[MPa]	[MPa]	[MPa]	[MPa]	[MPa]	[MPa]	[MPa]	[MPa]	[MPa]	[MPa]	[MPa]	[MPa]	[MPa]	[MPa]	[MPa]	[MPa]	[MPa]	[MPa]	[MPa]	[MPa]	[MPa]	[MPa]	[MPa]	[MPa]	[MPa]	[MPa]	[MPa]	[MPa]	[MPa]	[MPa]	[MPa]	[MPa]	[MPa]	[MPa]	[MPa]	[MPa]	[MPa]	[MPa]	[MPa]	[MPa]	[MPa]	[MPa]	[MPa]	[MPa]	[MPa]	[MPa]	[MPa]	[MPa]	[MPa]	[MPa]	[MPa]	[MPa]	[MPa]	[MPa]	[MPa]	[MPa]	[MPa]	[MPa]	[MPa]	[MPa]	[MPa]	[MPa]	[MPa]	[MPa]	[MPa]	[MPa]	[MPa]	[MPa]	[MPa]	[MPa]	[MPa]	[MPa]	[MPa]	[MPa]	[MPa]	[MPa]	[MPa]	[MPa]	[MPa]	[MPa]	[MPa]	[MPa]	[MPa]	[MPa]	[MPa]	[MPa]	[MPa]	[MPa]	[MPa]	[MPa]	[MPa]	[MPa]	[MPa]	[MPa]	[MPa]	[MPa]	[MPa]	[MPa]	[MPa]	[MPa]	[MPa]	[MPa]	[MPa]	[MPa]	[MPa]	[MPa]	[MPa]	[MPa]	[MPa]	[MPa]	[MPa]	[MPa]	[MPa]	[MPa]	[MPa]	[MPa]	[MPa]	[MPa]	[MPa]	[MPa]	[MPa]	[MPa]	[MPa]	[MPa]	[MPa]	[MPa]	[MPa]	[MPa]	[MPa]	[MPa]	[MPa]	[MPa]	[MPa]	[MPa]	[MPa]	[MPa]	[MPa]	[MPa]	[MPa]	[MPa]	[MPa]	[MPa]	[MPa]	[MPa]	[MPa]	[MPa]	[MPa]	[MPa]	[MPa]	[MPa]	[MPa]	[MPa]	[MPa]	[MPa]	[MPa]	[MPa]	[MPa]	[MPa]	[MPa]	[MPa]	[MPa]	[MPa]	[MPa]	[MPa]	[MPa]	[MPa]	[MPa]	[MPa]	[MPa]	[MPa]	[MPa]	[MPa]	[MPa]	[MPa]	[MPa]	[MPa]	[MPa]	[MPa]	[MPa]	[MPa]	[MPa]	[MPa]	[MPa]	[MPa]	[MPa]	[MPa]	[MPa]	[MPa]	[MPa]	[MPa]	[MPa]	[MPa]	[MPa]	[MPa]	[MPa]	[MPa]	[MPa]	[MPa]	[MPa]	[MPa]	[MPa]	[MPa]	[MPa]	[MPa]	[MPa]	[MPa]	[MPa]	[MPa]	[MPa]	[MPa]	[MPa]	[MPa]	[MPa]	[MPa]	[MPa]	[MPa]	[MPa]	[MPa]	[MPa]	[MPa]	[MPa]	[MPa]	[MPa]	[MPa]	[MPa]	[MPa]	[MPa]	[MPa]	[MPa]	[MPa]	[MPa]	[MPa]	[MPa]	[MPa]	[MPa]	[MPa]	[MPa]	[MPa]	[MPa]	[MPa]	[MPa]	[MPa]	[MPa]	[MPa]	[MPa]	[MPa]	[MPa]	[MPa]	[MPa]	[MPa]	[MPa]	[MPa]	[MPa]	[MPa]	[MPa]	[MPa]	[MPa]	[MPa]	[MPa]	[MPa]	[MPa]	[MPa]	[MPa]	[MPa]	[MPa]	[MPa]	[MPa]	[MPa]	[MPa]	[MPa]	[MPa]	[MPa]	[MPa]	[MPa]	[MPa]	[MPa]	[MPa]	[MPa]	[MPa]	[MPa]	[MPa]	[MPa]	[MPa]	[MPa]	[MPa]	[MPa]	[MPa]	[MPa]	[MPa]	[MPa]	[MPa]	[MPa]	[MPa]	[MPa]	[MPa]	[MPa]	[MPa]	[MPa]	[MPa]	[MPa]	[MPa]	[MPa]	[MPa]	[MPa]	[MPa]	[MPa]	[MPa]	[MPa]	[MPa]	[MPa]	[MPa]	[MPa]	[MPa]	[MPa]	[MPa]	[MPa]	[MPa]	[MPa]	[MPa]	[MPa]	[MPa]	[MPa]	[MPa]	[MPa]	[MPa]	[MPa]	[MPa]	[MPa]	[MPa]	[MPa]	[MPa]	[MPa]	[MPa]	[MPa]	[MPa]	[MPa]	[MPa]	[MPa]	[MPa]	[MPa]	[MPa]	[MPa]	[MPa]	[MPa]	[MPa]	[MPa]	[MPa]	[MPa]	[MPa]	[MPa]	[MPa]	[MPa]	[MPa]	[MPa]	[MPa]	[MPa]	[MPa]	[MPa]	[MPa]	[MPa]	[MPa]	[MPa]	[MPa]	[MPa]	[MPa]	[MPa]	[MPa]	[MPa]	[MPa]	[MPa]	[MPa]	[MPa]	[MPa]	[MPa]	[MPa]	[MPa]	[MPa]	[MPa]	[MPa]	[MPa]	[MPa]	[MPa]	[MPa]	[MPa]	[MPa]	[MPa]	[MPa]	[MPa]	[MPa]	[MPa]	[MPa]	[MPa]	[MPa]	[MPa]	[MPa]	[MPa]	[MPa]	[MPa]	[MPa]	[MPa]	[MPa]	[MPa]	[MPa]	[MPa]	[MPa]	[MPa]	[MPa]	[MPa]	[MPa]	[MPa]	[MPa]	[MPa]	[MPa]	[MPa]	[MPa]	[MPa]	[MPa]	[MPa]	[MPa]	[MPa]	[MPa]	[MPa]	[MPa]	[MPa]	[MPa]	[MPa]	[MPa]	[MPa]	[MPa]	[MPa]	[MPa]	[MPa]	[MPa]	[MPa]	[MPa]	[MPa]	[MPa]	[MPa]	[MPa]	[MPa]	[MPa]	[MPa]	[MPa]	[MPa]	[MPa]	[MPa]	[MPa]	[MPa]	[MPa]	[MPa]	[MPa]	[MPa]	[MPa]	[MPa]	[MPa]	[MPa]	[MPa]	[MPa]	[MPa]	[MPa]	[MPa]	[MPa]	[MPa]	[MPa]	[MPa]	[MPa]	[MPa]	[MPa]	[MPa]	[MPa]	[MPa]	[MPa]	[MPa]	[MPa]	[MPa]	[MPa]	[MPa]	[MPa]	[MPa]	[MPa]	[MPa]	[MPa]	[MPa]	[MPa]	[MPa]	[MPa]	[MPa]	[MPa]	[MPa]	[MPa]	[MPa]	[MPa]	[MPa]	[MPa]	[MPa]	[MPa]	[MPa]	[MPa]	[MPa]	[MPa]	[MPa]	[MPa]	[MPa]	[MPa]	[MPa]	[MPa]	[MPa]	[MPa]	[MPa]	[MPa]	[MPa]	[MPa]	[MPa]	[MPa]	[MPa]	[MPa]	[MPa]	[MPa]	[MPa]	[MPa]	[MPa]	[MPa]	[MPa]	[MPa]	[MPa]	[MPa]	[MPa]	[MPa]	[MPa]	[MPa]	[MPa]	[MPa]	[MPa]	[MPa]	[MPa]	[MPa]	[MPa]	[MPa]	[MPa]	[MPa]	[MPa]	[MPa]	[MPa]	[MPa]	[MPa]	[MPa]	[MPa]	[MPa]	[MPa]	[MPa]	[MPa]	[MPa]	[MPa]	[MPa]	[MPa]	[MPa]	[MPa]	[MPa]	[MPa]	[MPa]	[MPa]	[MPa]	[MPa]	[MPa]	[MPa]	[MPa]	[MPa]	[MPa]	[MPa]	[MPa]	[MPa]	[MPa]	[MPa]	[MPa]	[MPa]	[MPa]	[MPa]	[MPa]	[MPa]	[MPa]	[MPa]	[MPa]	[MPa]	[MPa]	[MPa]	[MPa]	[MPa]	[MPa]	[MPa]	[MPa]	[MPa]	[MPa]	[MPa]	[MPa]	[MPa]	[MPa]	[MPa]	[MPa]	[MPa]	[MPa]	[MPa]	[MPa]	[MPa]	[MPa]	[MPa]	[MPa]	[MPa]	[MPa]	[MPa]	[MPa]	[MPa]	[MPa]	[MPa]	[MPa]	[MPa]	[MPa]	[MPa]	[MPa]	[MPa]	[MPa]	[MPa]	[MPa]	[MPa]	[MPa]	[MPa]	[MPa]	[MPa]	[MPa]	[MPa]	[MPa]	[MPa]	[MPa]	[MPa]	[MPa]	[MPa]	[MPa]	[MPa]	[MPa]	[MPa]	[MPa]	[MPa]	[MPa]	[MPa]	[MPa]	[MPa]	[MPa]	[MPa]	[MPa]	[MPa]	[MPa]	[MPa]	[MPa]	[MPa]	[MPa]	[MPa]	[MPa]	[MPa]	[MPa]	[MPa]	[MPa]	[MPa]	[MPa]	[MPa]	[MPa]	[MPa]	[MPa]	[MPa]	[MPa]	[MPa]	[MPa]	[MPa]	[MPa]	[MPa]	[MPa]	[MPa]	[MPa]	[MPa]	[MPa]	[MPa]	[MPa]	[MPa]	[MPa]	[MPa]	[MPa]	[MPa]	[MPa]	[MPa]	[MPa]	[MPa]	[MPa]	[MPa]	[MPa]	[MPa]	[MPa]	[MPa]	[MPa]	[MPa]	[MPa]	[MPa]

TAB 7 29 B. ZATÍŽITELNOST - 1.MS - ÚNOSNOST

TAB E		1. ZATÍŽITELNOST - NORMÁLOVÉ NAPĚTÍ												KZ č. 26				2. ZATÍŽITELNOST - SMYKOVÉ NAPĚTÍ												KZ č. 26				3. ZATÍŽITELNOST - SROVNÁVACÍ NAPĚTÍ												KZ č. 26																																																																																																																																																																																																																																																																																																																																																																																																																																																																																																																																																																																																																																																																																																																																																																																																																																																																																																																																																																																																																																																																																																																																																																															
		ZATÍŽITELNOST																ZATÍŽITELNOST																ZATÍŽITELNOST																																																																																																																																																																																																																																																																																																																																																																																																																																																																																																																																																																																																																																																																																																																																																																																																																																																																																																																																																																																																																																																																																																																																																																																											
SKUPINA		Nx	My	Mz	☐	☐	Nx	My	☐	Mz	☐	☐	☐	☐	☐	☐	☐	☐	☐	☐	☐	☐	☐	☐	☐	☐	☐	☐	☐	☐	☐	☐	☐	☐	☐	☐	☐	☐	☐	☐	☐	☐	☐	☐	☐	☐	☐	☐	☐	☐	☐	☐	☐	☐	☐	☐	☐	☐	☐	☐	☐	☐	☐	☐	☐	☐	☐	☐	☐	☐	☐	☐	☐	☐	☐	☐	☐	☐	☐	☐	☐	☐	☐	☐	☐	☐	☐	☐	☐	☐	☐	☐	☐	☐	☐	☐	☐	☐	☐	☐	☐	☐	☐	☐	☐	☐	☐	☐	☐	☐	☐	☐	☐	☐	☐	☐	☐	☐	☐	☐	☐	☐	☐	☐	☐	☐	☐	☐	☐	☐	☐	☐	☐	☐	☐	☐	☐	☐	☐	☐	☐	☐	☐	☐	☐	☐	☐	☐	☐	☐	☐	☐	☐	☐	☐	☐	☐	☐	☐	☐	☐	☐	☐	☐	☐	☐	☐	☐	☐	☐	☐	☐	☐	☐	☐	☐	☐	☐	☐	☐	☐	☐	☐	☐	☐	☐	☐	☐	☐	☐	☐	☐	☐	☐	☐	☐	☐	☐	☐	☐	☐	☐	☐	☐	☐	☐	☐	☐	☐	☐	☐	☐	☐	☐	☐	☐	☐	☐	☐	☐	☐	☐	☐	☐	☐	☐	☐	☐	☐	☐	☐	☐	☐	☐	☐	☐	☐	☐	☐	☐	☐	☐	☐	☐	☐	☐	☐	☐	☐	☐	☐	☐	☐	☐	☐	☐	☐	☐	☐	☐	☐	☐	☐	☐	☐	☐	☐	☐	☐	☐	☐	☐	☐	☐	☐	☐	☐	☐	☐	☐	☐	☐	☐	☐	☐	☐	☐	☐	☐	☐	☐	☐	☐	☐	☐	☐	☐	☐	☐	☐	☐	☐	☐	☐	☐	☐	☐	☐	☐	☐	☐	☐	☐	☐	☐	☐	☐	☐	☐	☐	☐	☐	☐	☐	☐	☐	☐	☐	☐	☐	☐	☐	☐	☐	☐	☐	☐	☐	☐	☐	☐	☐	☐	☐	☐	☐	☐	☐	☐	☐	☐	☐	☐	☐	☐	☐	☐	☐	☐	☐	☐	☐	☐	☐	☐	☐	☐	☐	☐	☐	☐	☐	☐	☐	☐	☐	☐	☐	☐	☐	☐	☐	☐	☐	☐	☐	☐	☐	☐	☐	☐	☐	☐	☐	☐	☐	☐	☐	☐	☐	☐	☐	☐	☐	☐	☐	☐	☐	☐	☐	☐	☐	☐	☐	☐	☐	☐	☐	☐	☐	☐	☐	☐	☐	☐	☐	☐	☐	☐	☐	☐	☐	☐	☐	☐	☐	☐	☐	☐	☐	☐	☐	☐	☐	☐	☐	☐	☐	☐	☐	☐	☐	☐	☐	☐	☐	☐	☐	☐	☐	☐	☐	☐	☐	☐	☐	☐	☐	☐	☐	☐	☐	☐	☐	☐	☐	☐	☐	☐	☐	☐	☐	☐	☐	☐	☐	☐	☐	☐	☐	☐	☐	☐	☐	☐	☐	☐	☐	☐	☐	☐	☐	☐	☐	☐	☐	☐	☐	☐	☐	☐	☐	☐	☐	☐	☐	☐	☐	☐	☐	☐	☐	☐	☐	☐	☐	☐	☐	☐	☐	☐	☐	☐	☐	☐	☐	☐	☐	☐	☐	☐	☐	☐	☐	☐	☐	☐	☐	☐	☐	☐	☐	☐	☐	☐	☐	☐	☐	☐	☐	☐	☐	☐	☐	☐	☐	☐	☐	☐	☐	☐	☐	☐	☐	☐	☐	☐	☐	☐	☐	☐	☐	☐	☐	☐	☐	☐	☐	☐	☐	☐	☐	☐	☐	☐	☐	☐	☐	☐	☐	☐	☐	☐	☐	☐	☐	☐	☐	☐	☐	☐	☐	☐	☐	☐	☐	☐	☐	☐	☐	☐	☐	☐	☐	☐	☐	☐	☐	☐	☐	☐	☐	☐	☐	☐	☐	☐	☐	☐	☐	☐	☐	☐	☐	☐	☐	☐	☐	☐	☐	☐	☐	☐	☐	☐	☐	☐	☐	☐	☐	☐	☐	☐	☐	☐	☐	☐	☐	☐	☐	☐	☐	☐	☐	☐	☐	☐	☐	☐	☐	☐	☐	☐	☐	☐	☐	☐	☐	☐	☐	☐	☐	☐	☐	☐	☐	☐	☐	☐	☐	☐	☐	☐	☐	☐	☐	☐	☐	☐	☐	☐	☐	☐	☐	☐	☐	☐	☐	☐	☐	☐	☐	☐	☐	☐	☐	☐	☐	☐	☐	☐	☐	☐	☐	☐	☐	☐	☐	☐	☐	☐	☐	☐	☐	☐	☐	☐	☐	☐	☐	☐	☐	☐	☐	☐	☐	☐	☐	☐	☐	☐	☐	☐	☐	☐	☐	☐	☐	☐	☐	☐	☐	☐	☐	☐	☐	☐	☐	☐	☐	☐	☐	☐	☐	☐	☐	☐	☐	☐	☐	☐	☐	☐	☐	☐	☐	☐	☐	☐	☐	☐	☐	☐	☐	☐	☐	☐	☐	☐	☐	☐	☐	☐	☐	☐	☐	☐	☐	☐	☐	☐	☐	☐	☐	☐	☐	☐	☐	☐	☐	☐	☐	☐	☐	☐	☐	☐	☐	☐	☐	☐	☐	☐	☐	☐	☐	☐	☐	☐	☐	☐	☐	☐	☐	☐	☐	☐	☐	☐	☐	☐	☐	☐	☐	☐	☐	☐	☐	☐	☐	☐	☐	☐	☐	☐	☐	☐	☐	☐	☐	☐	☐	☐	☐	☐	☐	☐	☐	☐	☐	☐	☐	☐	☐	☐	☐	☐	☐	☐	☐	☐	☐	☐	☐	☐	☐	☐	☐	☐	☐	☐	☐	☐	☐	☐	☐	☐	☐	☐	☐	☐	☐	☐	☐	☐	☐	☐	☐	☐	☐	☐	☐	☐	☐	☐	☐	☐	☐	☐	☐	☐	☐	☐	☐	☐	☐	☐	☐	☐	☐	☐	☐	☐	☐	☐	☐	☐	☐	☐	☐	☐	☐	☐	☐	☐	☐	☐	☐	☐	☐	☐	☐	☐	☐	☐	☐	☐	☐	☐	☐	☐	☐	☐	☐	☐	☐	☐	☐	☐	☐	☐	☐	☐	☐	☐	☐	☐	☐	☐	☐	☐	☐	☐	☐	☐	☐	☐	☐	☐	☐	☐	☐	☐	☐	☐	☐	☐	☐	☐	☐	☐	☐	☐	☐	☐	☐	☐	☐	☐	☐	☐	☐	☐	☐	☐	☐	☐	☐	☐	☐	☐	☐	☐	☐	☐	☐	☐	☐	☐	☐	☐	☐	☐	☐	☐	☐	☐	☐	☐	☐	☐	☐	☐	☐	☐	☐	☐	☐	☐	☐	☐	☐	☐	☐	☐	☐	☐	☐	☐	☐	☐	☐	☐	☐	☐	☐	☐	☐	☐	☐	☐	☐	☐	☐	☐	☐	☐	☐	☐	☐	☐	☐	☐	☐	☐	☐	☐	☐	☐	☐	☐	☐	☐	☐	☐	☐	☐	☐	☐	☐	☐	☐	☐	☐	☐	☐	☐	☐	☐	☐	☐	☐	☐	☐	☐	☐	☐	☐	☐	☐	☐	☐	☐	☐	☐	☐	☐	☐	☐	☐	☐	☐	☐	☐	☐	☐	☐	☐	☐	☐	☐	☐	☐	☐	☐	☐	☐	☐	☐	☐	☐	☐	☐	☐	☐	☐	☐	☐	☐	☐	

Pokud se jedná o tah jsou příslušné hodnoty součinitelů rovny 1.0

TAB B		STABILITA PRUTU							TAB C		ROZHODUJÍCÍ LINEÁRNÍ KOMBINACE VNITŘNÍCH SIL				
TLAK - VZPER		OHYB - INTERAKCE S TLAKEM+KLOPENÍ						SOUC. MAT		Nx, My, Mx, Vz					
POSUDEK NAPĚTÍ			k_{yy}	k_{yy}/k_{zz}	k_{yz}			POSUDEK NAPĚTÍ	Řídící VNITŘNÍ SILA	Nx	My	Mz	Vz	K	
			[H]	[H]	[H]	[H]	[H]			[kN]	[kNm]	[kNm]	[kN]	[H]	
A	1,000	1,000	1,000	1,000	1,000	1,000	1,000	A	Nx,max	236,4	103,9	7,2	22,8	26	
B	1,000	0,961	1,003	1,007	0,999	1,000	1,083	B	Nx,min	-79,7	-17,4	-1,9	-16,6	25	
C	1,000	1,000	1,000	1,000	1,000	1,000	1,000	C	My,max	161,0	145,8	-4,2	-64,6	26	
D	1,000	1,000	1,000	1,000	1,000	1,000	1,000	D	My,min	80,4	-83,1	8,0	145,8	26	
E	1,000	1,000	1,000	1,000	1,000	1,000	1,000	E	Mz,max	109,9	-26,5	20,1	137,9	26	
F	1,000	1,000	1,000	1,000	1,000	1,000	1,000	F	Mz,min	131,2	66,6	-14,8	127,9	26	
G	1,000	1,000	1,000	1,000	1,000	1,000	1,000	G	Vz,max	107,2	-30,4	1,7	226,4	26	
H	1,000	0,961	1,001	1,001	1,000	1,000	1,083	H	Vz,min	-14,8	-7,0	2,9	-319,1	26	
ZATÍŽITELNOST	1,000	1,000	1,000	1,000	1,000	1,000	1,000								
ZATÍŽITELNOST	1,000	0,961	1,001	1,001	1,000	1,000	1,083								

TAB G	B. ZATÍŽITELNOST - 1.MS - ÚNOSNOST			
DRUH NAPĚTÍ	1. NORMÁLOVÉ σ_x	2. SMYKOVÉ τ	3. SROVNÁVACÍ σ_p	4. MINIMUM 1-3
ZATÍŽITELNOST Z_p	2,61	1,86	1,70	1,70
POSUDEK NAPĚTÍ	C	H	H	H
ŘÍDICÍ VNITŘNÍ SÍLA	My,max	Vz,min	Vz,min	Vz,min
KRITICKÝ BOD PRŮŘEZU	2-DP	9-T	9-T	9-T
LINEÁRNÍ KOMBINACE	26	26	26	26

Pokud se jedná o tah jsou příslušné hodnoty součinitelů rovny 1.0

TAB G	B. ZATÍŽITELNOST - 1.MS - ÚNOSNOST			
DRUH NAPĚTÍ	1. NORMÁLOVÉ σ_x	2. SMYKOVÉ τ	3. SROVNÁVACÍ σ_p	4. MINIMUM 1-3
ZATÍŽITELNOST Z_p	>5	>5	>5	>5
POSUDEK NAPĚTÍ	A	H	A	A
ŘÍDICÍ VNITŘNÍ SÍLA	$N_{x,max}$	$V_{z,min}$	$N_{x,max}$	$N_{x,max}$
KRITICKÝ BOD PRŮŘEZU	1-DL	9-T	1-DL	1-DL
LINÉÁRNÍ KOMBINACE	26	21	26	26

186

A. POSOUZENÍ - 1.MS - ÚNOSNOST

$$X[m]$$

SOUČINITEL KOROZE $k = 1,00$

POUŽITÁ OBECNÁ METODA POSUDKU KOMBINACE TLAKU A OHYBU ČSN EN 1993-1-1 6.3.4

Konzervativně uvažován $C_{my}=C_{mz}=C_{mLT}=1.0$

Pokud se jedná o tah jsou příslušné hodnoty součinitelů rovny 1.0

TAB A		PRŮŘEZOVÉ CHARAKTERISTIKY KRITICKÉHO PRŮŘEŽU												
KRITICKÉ BODY PRŮŘEŽU PRO POSOUZENÍ NAPĚTÍ		TAH, TLAK Nx				OHYB My, Mz				SMYK Vz				
		A _x	A _{x,ef,Nx}	A _{y,ef,Nx}	W _y	W _{y,ef,Mx}	W _{y,ef,Mz}	W _{z,ef,Mx}	W _{z,ef,Mz}	S _y	l _y	t		
OZN.	POPIS	[mm ²]	[mm ²]	[mm ²]	[mm ³]	[mm ³]	[mm ³]	[mm ³]	[mm ³]	[mm ³]	[mm ³]	[mm ³]	[mm]	[mm]
1-DL	bod 1- dolní vlákná průřež, levý okraj	1.798E+03	1.798E+03	1.798E+03	6.524E+04	2.897E+04	6.524E+04	6.524E+04	2.897E+04	2.897E+04	-	-	-	-
2-OP	bod 2- dolní vlákná průřež, levý okraj	1.798E+03	1.798E+03	1.798E+03	6.524E+04	-1.427E+04	6.524E+04	6.524E+04	-1.427E+04	-1.427E+04	-	-	-	-
3-HL	bod 3- horní vlákná průřež, levý okraj	1.798E+03	1.798E+03	1.798E+03	6.524E+04	2.897E+04	6.524E+04	6.524E+04	2.897E+04	2.897E+04	-	-	-	-
4-HP	bod 4- horní vlákná průřež, pravý okraj	1.798E+03	1.798E+03	1.798E+03	6.524E+04	-1.427E+04	6.524E+04	6.524E+04	-1.427E+04	-1.427E+04	-	-	-	-
5-SD1	bod 5- dolní vlákná stěny 1	1.798E+03	1.798E+03	1.798E+03	7.825E+04	2.897E+04	7.825E+04	7.825E+04	2.897E+04	2.897E+04	3.019E+04	3.014E+06	7.0	-
6-SH1	bod 6- horní vlákná stěny 1	1.798E+03	1.798E+03	1.798E+03	7.825E+04	4.715E+04	7.825E+04	7.825E+04	4.715E+04	4.715E+04	3.019E+04	3.014E+06	7.0	-
7-SD2	bod 7- dolní vlákná stěny 2	1.798E+03	1.798E+03	1.798E+03	7.825E+04	2.897E+04	7.825E+04	7.825E+04	2.897E+04	2.897E+04	3.019E+04	3.014E+06	7.0	-
8-SH2	bod 8- horní vlákná stěny 2	1.798E+03	1.798E+03	1.798E+03	7.825E+04	4.715E+04	7.825E+04	7.825E+04	4.715E+04	4.715E+04	3.019E+04	3.014E+06	7.0	-
9-T	bod 9- těžiště plného průřež	1.798E+03	1.798E+03	1.798E+03	-	-	-	-	-	-	3.804E+04	3.014E+06	7.0	-

TAB B	STABILITA PRUTU							TAB C	ROZHODUJÍCÍ LINEÁRNÍ KOMBINACE VNITŘNÍCH SIL					
	TLAK - VZPER		OHYB - INTERAKCE S TLAKEM+KLOPENÍ				BOČ. MAT.		Nx, My, Mx, Vz					
POSUDEK NAPĚTÍ			k_{yy}	$k_{yy}+k_{zz}$	k_{yy}			POSUDEK NAPĚTÍ	ŘÍDÍCÍ VNITŘNÍ SÍLA	Nx	My	Mz	Vz	K
A	1,000	1,000	1,000	1,000	1,000	1,000	1,000	A	Nx,max	115,7	0,0	0,0	0,0	41
B	0,910	0,774	1,062	1,121	0,987	1,000	1,083	B	Nx,min	-89,1	0,0	0,0	0,0	41
C	1,000	1,000	1,000	1,000	1,000	1,000	1,000	C	My,max	4,9	0,0	0,0	0,0	1
D	1,000	1,000	1,000	1,000	1,000	1,000	1,000	D	My,min	4,9	0,0	0,0	0,0	1
E	1,000	1,000	1,000	1,000	1,000	1,000	1,000	E	Mz,max	4,9	0,0	0,0	0,0	1
F	1,000	1,000	1,000	1,000	1,000	1,000	1,000	F	Mz,min	4,9	0,0	0,0	0,0	1
G	1,000	1,000	1,000	1,000	1,000	1,000	1,000	G	Vz,max	4,9	0,0	0,0	0,0	1
H	1,000	1,000	1,000	1,000	1,000	1,000	1,000	H	Vz,min	4,9	0,0	0,0	0,0	1
ZATÍŽITELNOST	1,000	1,000	1,000	1,000	1,000	1,000	1,000							
ZATÍŽITELNOST	1,000	1,000	1,000	1,000	1,000	1,000	1,000							

[illegible]

B. ZATÍŽITELNOST - 1.MS - ÚNOSNOST

TAB E		1. ZATÍŽITELNOST - NORMÁLOVÉ NAPĚTÍ											2. ZATÍŽITELNOST - SMYKOVÉ NAPĚTÍ											3. ZATÍŽITELNOST - SROVNÁVACÍ NAPĚTÍ													
SKUPINA ZATÍŽ. STAVU		KZ č. 25 ZATÍŽITELNOST										KZ č. 21 ZATÍŽITELNOST				KZ č. 25 ZATÍŽITELNOST																					
		Nx	My	Mz	V	V°	Nx	My	Mz	σ _{xx}	σ _{yy}	σ _{zz}	Vz	V°	V°	Vz	Nx	My	Mz	Vz	V	V°	Nx	My	Mz	V°	Vz	σ _{xx}	σ _{yy}	σ _{zz}	σ _{xy}	σ _{yz}	σ _{xz}	τ _{xy}	τ _{yz}	τ _{xz}	
		[kN]	[kNm]	[kNm]	[-]	[kN]	[kNm]	[kNm]	[MPa]	[MPa]	[MPa]	[MPa]	[-]	[kN]	[MPa]	[-]	[kN]	[kNm]	[kNm]	[kN]	[-]	[kN]	[kNm]	[kNm]	[kN]	[MPa]	[MPa]	[MPa]	[MPa]	[MPa]	[MPa]	[MPa]	[MPa]	[MPa]	[MPa]	[MPa]	
E ₆ , E ₄	G	4.9	0.0	0.0	0.85	4.2	0.0	0.0	2.3	0.0	0.0	2.3	R _{cp}	213,6 MPa	0.0	1.00	0.0	0.0	R _{cp}	123,3 MPa	4.9	0.0	0.0	0.0	0.85	4.2	0.0	0.0	0.0	2.3	0.0	0.0	2.3	0.0	2.3	R _{cp}	213,6 MPa
	CH	0.0	0.0	0.0	0.00	0.0	0.0	0.0	0.0	0.0	0.0	0.0	0.0	0.0	0.0	0.0	0.0	0.0	0.0	0.0	0.0	0.0	0.0	0.0	0.0	0.0	0.0	0.0	0.0	0.0	0.0	0.0	0.0	0.0	0.0	0.0	
	W-P	4.0	0.0	0.0	0.50	2.0	0.0	0.0	1.1	0.0	0.0	1.1	σ _{cp}	14,1 MPa	0.0	0.50	0.0	0.0	σ _{cp}	0,0 MPa	4.0	0.0	0.0	0.0	0.50	2.0	0.0	0.0	0.0	1.1	0.0	0.0	1.1	0.0	1.1	σ _{cp}	14,1 MPa
	RL	0.0	0.0	0.0	0.00	0.0	0.0	0.0	0.0	0.0	0.0	0.0	0.0	0.0	0.0	0.0	0.0	0.0	0.0	0.00	0.0	0.0	0.0	0.0	0.0	0.0	0.0	0.0	0.0	0.0	0.0	0.0	0.0	0.0	0.0	0.0	
	T-N	0.0	0.0	0.0	0.00	0.0	0.0	0.0	0.0	0.0	0.0	0.0	0.0	0.0	0.0	0.0	0.0	0.0	0.0	0.0	0.0	0.0	0.0	0.0	0.0	0.0	0.0	0.0	0.0	0.0	0.0	0.0	0.0	0.0	0.0	0.0	
	O	0.0	0.0	0.0	0.50	0.0	0.0	0.0	0.0	0.0	0.0	0.0	0.0	0.0	0.0	0.0	0.0	0.0	0.0	0.50	0.0	0.0	0.0	0.0	0.0	0.0	0.0	0.0	0.0	0.0	0.0	0.0	0.0	0.0	0.0	0.0	
	B	14.7	0.0	0.0	1.00	14.7	0.0	0.0	8.2	0.0	0.0	8.2	Z _{LM71}	≥5	0.0	0.80	0.0	0.0	Z _{LM71}	≥5	14.7	0.0	0.0	0.0	1.00	14.7	0.0	0.0	0.0	8.2	0.0	0.0	8.2	0.0	8.2	Z _{LM71}	≥5
	S	9.1	0.0	0.0	0.50	4.5	0.0	0.0	2.5	0.0	0.0	2.5	0.0	0.40	0.0	0.0	0.40	0.0	0.0	0.50	0.0	0.0	0.0	0.0	2.5	0.0	0.0	2.5	0.0	2.5	0.0	2.5	0.0	2.5	0.0	2.5	
K	0.0	0.0	0.0	0.00	0.0	0.0	0.0	0.0	0.0	0.0	0.0	0.0	0.0	0.0	0.0	0.0	0.0	0.0	0.00	0.0	0.0	0.0	0.0	0.0	0.0	0.0	0.0	0.0	0.0	0.0	0.0	0.0	0.0	0.0	0.0		
E _{LM71.63}	R2	58.1	0.0	0.0	1.00	58.1	0.0	0.0	32.3	0.0	0.0	32.3	0.0	0.80	0.0	0.0	0.80	0.0	0.0	58.1	0.0	0.0	0.0	1.00	58.1	0.0	0.0	0.0	32.3	0.0	0.0	32.3	0.0	32.3	0.0	32.3	

C. SHRUTÍ VÝSLEDKŮ

Tab F	A. POSOUZENÍ - 1.MS - ÚNOSNOST			
Druh napětí	1. NORMÁLOVÉ η_1	2. SMYKOVÉ η_2	3. SROVNÁVACÍ η_3	4. MAXIMUM 1-3
MAXIMÁLNÍ VYUŽITÍ	0,301	0,000	0,301	0,301
POSUDEK NAPĚTÍ	A	A	A	A
ŘÍDICÍ VNITŘNÍ SILA	Nx,max	Nx,max	Nx,max	Nx,max
KRITICKÝ BOD PRŮŘEZU	1-DL	1-DL	1-DL	1-DL
LINEÁRNÍ KOMBINACE	41	41	41	41

TAB G	B. ZATÍŽITELNOST - 1.MS - ÚNOSNOST			
DRUH NAPĚTÍ	1. NORMÁLOVÉ σ_x	2. SMYKOVÉ τ	3. SROVNÁVACÍ σ_p	4. MINIMUM 1-3
ZATÍŽITELNOST Z_p	>5	>5	>5	>5
POSUDEK NAPĚTÍ	A	A	A	A
ŘÍDICÍ VNITŘNÍ SÍLA	N_x, \max	N_x, \max	N_x, \max	N_x, \max
KRITICKÝ BOD PRŮŘEZU	1-DL	1-DL	1-DL	1-DL
LINEÁRNÍ KOMBINACE	25	21	25	25

TAB 6 34 A. POSOUZENÍ - 1.MS - ÚNOSNOST

POSUDEK: 34 PRŮŘEZ: T_3 PRUT X[m] OZNAČENÍ: T_3 POPIS: ZTUŽIDLA PODÉLNÍK 3 i j

SOUCÍNITEL KOROZE k = 1,00

POUŽITÁ OBECNÁ METODA POSUDKU KOMBINACE TLAKU A OHYBU ČSN EN 1993-1-1 6.3.4

Konzervativně uvažován C_{int}=C_{int,T}=1.0

Pokud se jedná o tah jsou příslušné hodnoty součinitelů rovny 1.0

TAB A	PRŮŘEZOVÉ CHARAKTERISTIKY KRITICKÉHO PRŮŘEZU										
	TAH, TLAK N _x			OHYB M _y , M _z						SMYK V _z	
	PRO POSOUZENÍ NAPĚTÍ										
	A _x	A _y	A _{rot,Nx}	W _y	W _z	W _{rot,My}	W _{rot,Mz}	W _{rot,My}	W _{rot,Mz}	S _y	t _y
OZN. POPIS	[mm ²]	[mm ²]	[mm ²]	[mm ³]	[mm ³]	[mm ³]	[mm ³]	[mm ³]	[mm ³]	[mm ³]	[mm]
1-DL bod 1- dolní vlákna průřezu, levý okraj	2,511E+03	2,511E+03	2,511E+03	1,226E+05	4,964E+04	1,226E+05	1,226E+05	4,964E+04	4,964E+04	-	-
2-DP bod 2- dolní vlákna průřezu, pravý okraj	2,511E+03	2,511E+03	2,511E+03	1,226E+05	2,322E+04	1,226E+05	1,226E+05	2,322E+04	2,322E+04	-	-
3-HL bod 3- horní vlákna průřezu, levý okraj	2,511E+03	2,511E+03	2,511E+03	-1,226E+05	4,964E+04	-1,226E+05	-1,226E+05	4,964E+04	4,964E+04	-	-
4-HP bod 4- horní vlákna průřezu, pravý okraj	2,511E+03	2,511E+03	2,511E+03	-1,226E+05	2,322E+04	-1,226E+05	-1,226E+05	2,322E+04	2,322E+04	-	-
5-SD1 bod 5- dolní vlákna stěny 1	2,511E+03	2,511E+03	2,511E+03	1,430E+05	4,964E+04	1,430E+05	1,430E+05	4,964E+04	4,964E+04	5,504E+04	9,809E+04
6-SH1 bod 6- horní vlákna stěny 1	2,511E+03	2,511E+03	2,511E+03	1,430E+05	7,781E+04	1,430E+05	1,430E+05	7,781E+04	7,781E+04	5,504E+04	9,809E+04
7-SD2 bod 7- dolní vlákna stěny 2	2,511E+03	2,511E+03	2,511E+03	1,430E+05	4,964E+04	1,430E+05	1,430E+05	4,964E+04	4,964E+04	5,504E+04	9,809E+04
8-SH2 bod 8- horní vlákna stěny 2	2,511E+03	2,511E+03	2,511E+03	-1,430E+05	7,781E+04	-1,430E+05	-1,430E+05	7,781E+04	7,781E+04	5,504E+04	9,809E+04
9-T bod 9- těžiště plného průřezu	2,511E+03	2,511E+03	2,511E+03	-	-	-	-	-	-	7,269E+04	9,809E+04

TAB B	STABILITA PRUTU								ROZHODUJÍCÍ LINEÁRNÍ KOMBINACE VNITŘNÍCH SIL					
	TLAK - VZPĚR		OHYB - INTERAKCE S TLAKEM-KLOUPENÍ				ROUČ. MAT		Nx, My, Mx, Vz					
	PRO POSUDEK		PRO POSUDEK				PRO POSUDEK		Napětí					
	[-]	[-]	k _{ED}	k _{ED} =k _{ED}	k _{ED}	k _{ED}	[-]	[-]	Nx	My	Mz	Vz	K č.	[-]
A	1,000	1,000	1,000	1,000	1,000	1,000	1,000	1,000	A	Nx,max	52,6	0,0	0,0	0,0 42
B	0,934	0,866	1,050	1,075	0,992	1,000	1,083	1,083	B	Nx,min	-116,8	0,0	0,0	0,0 26
C	0,934	0,866	1,001	1,002	1,000	1,000	1,083	1,083	C	My,max	-2,8	0,0	0,0	0,0 1
D	0,934	0,866	1,001	1,002	1,000	1,000	1,083	1,083	D	My,min	-2,8	0,0	0,0	0,0 1
E	0,934	0,866	1,001	1,002	1,000	1,000	1,083	1,083	E	Mz,max	-2,8	0,0	0,0	0,0 1
F	0,934	0,866	1,001	1,002	1,000	1,000	1,083	1,083	F	Mz,min	-2,8	0,0	0,0	0,0 1
G	0,934	0,866	1,001	1,002	1,000	1,000	1,083	1,083	G	Vz,max	-2,8	0,0	0,0	0,0 1
H	0,934	0,866	1,001	1,002	1,000	1,000	1,083	1,083	H	Vz,min	-2,8	0,0	0,0	0,0 1
ZATÍŽITELNOST	0,934	0,866	1,197	1,296	0,967	1,000	1,083	1,083						
ZATÍŽITELNOST	0,934	0,866	1,197	1,296	0,967	1,000	1,083	1,083						

TAB D		PŘEHLED NAPĚTÍ V KRITICKÝCH BODECH PRŮŘEZU OD ROZHODUJÍCÍ LINEÁRNÍ KOMBINACE ZATÍŽENÍ																																																																																																																																																																																																																																																																																																																																																																		
KRITICKÉ BODY PRŮŘEZU PRO POSOUZENÍ NAPĚTÍ		POSUDEK A			POSUDEK B			POSUDEK C			POSUDEK D			POSUDEK E			POSUDEK F			POSUDEK G			POSUDEK H			MAXIMÁLNÍ HODNOTY NAPĚTÍ V KRITICKÝCH BODECH PRŮŘEZU																																																																																																																																																																																																																																																																																																																																										

TAB 7 34 B. ZATÍŽITELNOST - 1.MS - ÚNOSNOST

TAB E		1. ZATÍŽITELNOST - NORMÁLOVÉ NAPĚTÍ											2. ZATÍŽITELNOST - SMYKOVÉ NAPĚTÍ											3. ZATÍŽITELNOST - SROVNÁVACÍ NAPĚTÍ														
		KZ č. 26											KZ č. 21											KZ č. 26														
SKUPINA		Nx	My	Mz	☐	☐	Nx	My	Mz	☐	☐	☐	Vz	☐	☐	Vz	Nx	My	Mz	Vz	☐	☐	☐	Nx	My	Mz	Vz	☐	☐	☐	☐	☐	☐	☐	☐			
ZATĚŽ. STAVŮ		[kN]	[kNm]	[kNm]	[-]	[-]	[kN]	[kNm]	[kNm]	[MPa]	[MPa]	[MPa]	[kN]	[-]	[kN]	[MPa]	[-]	[kN]	[kNm]	[kNm]	[kN]	[-]	[kN]	[kNm]	[kNm]	[kN]	[kNm]	[kNm]	[MPa]	[MPa]	[MPa]	[MPa]	[MPa]	[MPa]	[-]			
E ₁ =E ₂	G	-5,4	0,0	0,0	0,85	-4,6	0,0	0,0	0,0	-2,0	0,0	0,0	-2,0	0,0	1,00	0,0	0,0	R _{Ed}	197,2 MPa	0,0	0,0	0,0	0,0	0,0	0,0	0,0	0,0	0,0	0,0	0,0	0,0	0,0	0,0	0,0	R _{Ed}	197,2 MPa		
	CH	0,0	0,0	0,0	0,00	0,0	0,0	0,0	0,0	0,0	0,0	0,0	0,0	0,0	0,0	0,0	0,0	☐ _{Ed}	0,0 MPa	0,0	0,0	0,0	0,0	0,0	0,0	0,0	0,0	0,0	0,0	0,0	0,0	0,0	0,0	0,0	☐ _{Ed}	-5,9 MPa		
	W-P	-2,3	0,0	0,0	0,50	-1,2	0,0	0,0	0,0	-0,5	0,0	0,0	-0,5	0,0	0,50	0,0	0,0	☐ _{Ed}	0,0 MPa	-2,3	0,0	0,0	0,50	-1,2	0,0	0,0	0,0	0,0	0,0	0,0	-0,5	0,0	0,0	-0,5	0,0	0,5	☐ _{Ed}	0,0 MPa
	RL	0,0	0,0	0,0	0,00	0,0	0,0	0,0	0,0	0,0	0,0	0,0	0,0	0,0	0,0	0,0	0,0	☐ _{Ed}	-34,2 MPa	0,0	0,0	0,0	0,00	0,0	0,0	0,0	0,0	0,0	0,0	0,0	0,0	0,0	0,0	0,0	☐ _{Ed}	-34,2 MPa		
	T-N	0,0	0,0	0,0	0,00	0,0	0,0	0,0	0,0	0,0	0,0	0,0	0,0	0,0	0,0	0,0	0,0	☐ _{Ed}	0,0 MPa	0,0	0,0	0,0	0,00	0,0	0,0	0,0	0,0	0,0	0,0	0,0	0,0	0,0	0,0	0,0	☐ _{Ed}	0,0 MPa		
	O	-3,0	0,0	0,0	1,00	-3,0	0,0	0,0	0,0	-1,3	0,0	0,0	-1,3	0,0	0,40	0,0	0,0	Z _{LM71}	≥5	-3,0	0,0	0,0	1,00	-3,0	0,0	0,0	0,0	0,0	0,0	0,0	-1,3	0,0	0,0	-1,3	0,0	1,3	Z _{LM71}	≥5
	B	-2,2	0,0	0,0	0,50	-1,1	0,0	0,0	0,0	-0,5	0,0	0,0	-0,5	0,0	0,40	0,0	0,0	Z _{LM71}	≥5	-2,2	0,0	0,0	0,50	-1,1	0,0	0,0	0,0	0,0	0,0	0,0	-0,5	0,0	0,0	-0,5	0,0	0,5	Z _{LM71}	≥5
	S	-4,1	0,0	0,0	1,00	-4,1	0,0	0,0	0,0	-1,7	0,0	0,0	-1,7	0,0	0,40	0,0	0,0	Z _{LM71}	≥5	-4,1	0,0	0,0	1,00	-4,1	0,0	0,0	0,0	0,0	0,0	0,0	-1,7	0,0	0,0	-1,7	0,0	1,7	Z _{LM71}	≥5
E _{LM71} =E ₃	K	0,0	0,0	0,0	0,00	0,0	0,0	0,0	0,0	0,0	0,0	0,0	0,0	0,0	0,0	0,0	0,0	0,0	0,0	0,0	0,0	0,0	0,0	0,0	0,0	0,0	0,0	0,0	0,0	0,0	0,0	0,0	0,0	0,0	0,0			
	R2	-80,1	0,0	0,0	1,00	-80,1	0,0	0,0	0,0	-34,2	0,0	0,0	-34,2	0,0	0,80	0,0	0,0	0,0	0,0	0,0	0,0	0,0	0,0	0,0	0,0	0,0	0,0	0,0	0,0	0,0	0,0	0,0	0,0	0,0	34,2			

189

A. POSOUZENÍ - 1.MS - ÚNOSNOST

POPIS: DOLNÍ ZTUŽENÍ 1

PRUT X[m]

SOUČINITEL KOROZE k = 1,00

POUŽITÁ OBEZNÁ METODA POSUDKU KOMBINACE TLAKU A OHYBU ČSN EN 1993-1-1 6.3.4

Konzervativně uvažován $C_{my}=C_{mz}=C_{mLT}=1.0$

Pokud se jedná o tah jsou příslušné hodnoty součinitelů rovny 1.0

TAB A		PRŮŘEZOVÉ CHARAKTERISTIKY KRITICKÉHO PRŮŘEZU										
KROKOVÉ BODY PRŮŘEZU PRO POSOUZENÍ NAPĚTÍ		TAH, TLAK N_x			OHYB M_y, M_z						SMYK V_z	
		A_x	A_y, A_z	$A_{x,rot}$	W_y	W_z	$W_{y,rot}$	$W_{z,rot}$	$W_{x,rot}$	S_y	t	
OZN.	POPIS	[mm ²]	[mm ²]	[mm ²]	[mm ³]	[mm ³]	[mm ³]	[mm ³]	[mm ³]	[mm ³]	[mm ²]	[mm]
1-DL	bod 1- dolní vlákna průřezu, levý okraj	7.950E+03	7.950E+03	7.950E+03	3.602E+05	1.980E+05	3.602E+05	3.602E+05	1.980E+05	1.980E+05	-	-
2-OP	bod 2- dolní vlákna průřezu, pravý okraj	7.950E+03	7.950E+03	7.950E+03	3.602E+05	1.980E+05	3.602E+05	3.602E+05	1.980E+05	1.980E+05	-	-
3-HL	bod 3- horní vlákna průřezu, levý okraj	7.950E+03	7.950E+03	7.950E+03	-1.475E+05	1.848E+06	-1.475E+05	-1.475E+05	1.848E+06	1.848E+06	-	-
4-HP	bod 4- horní vlákna průřezu, pravý okraj	7.950E+03	7.950E+03	7.950E+03	-1.475E+05	1.848E+06	-1.475E+05	-1.475E+05	1.848E+06	1.848E+06	-	-
5-SD1	bod 5- dolní vlákna stěny 1	7.950E+03	7.950E+03	7.950E+03	5.748E+05	1.848E+06	5.748E+05	5.748E+05	1.848E+06	1.848E+06	1.387E+05	30,0
6-SH1	bod 6- horní vlákna stěny 1	7.950E+03	7.950E+03	7.950E+03	5.748E+05	1.848E+06	5.748E+05	5.748E+05	1.848E+06	1.848E+06	1.387E+05	30,0
7-SD2	bod 7- dolní vlákna stěny 2	7.950E+03	7.950E+03	7.950E+03	-1.475E+05	1.848E+06	-1.475E+05	-1.475E+05	1.848E+06	1.848E+06	0,000E+00	1.487E+07
8-SH2	bod 8- horní vlákna stěny 2	7.950E+03	7.950E+03	7.950E+03	-1.475E+05	1.848E+06	-1.475E+05	-1.475E+05	1.848E+06	1.848E+06	0,000E+00	1.487E+07
9-T	bod 9- těžiště plného průřezu	7.950E+03	7.950E+03	7.950E+03	-	-	-	-	-	-	1.484E+05	1.487E+07

TAB B		STABILITA PRUTU							TAB C		ROZHODUJÍCÍ LINEÁRNÍ KOMBINACE VNITŘNÍCH SIL				
		TLAK - VZPĚR		OHYB - INTERAKCE S TLAKEM+KLOPEN							Nx, My, Mx, Vz				
POSUDEK NAPĚTÍ			k _{yy}	k _{zz} =k _{xz}	k _{xy}			POSUDEK NAPĚTÍ	ŘIDIČI VNITŘNÍ SÍLA	Nx	My	Mz	Vz	K.č.	
										[kN]	[kNm]	[kNm]	[kN]	[-]	
A	1,000	1,000	1,000	1,000	1,000	1,000	1,000	A	Nx,max	690,6	0,0	0,0	0,0	37	
B	0,693	0,842	1,318	1,175	0,981	1,000	1,083	B	Nx,min	-767,6	0,0	0,0	0,0	25	
C	0,693	0,842	1,001	1,001	1,000	1,000	1,083	C	My,max	-3,2	0,0	0,0	0,0	1	
D	0,693	0,842	1,001	1,001	1,000	1,000	1,083	D	My,min	-3,2	0,0	0,0	0,0	1	
E	0,693	0,842	1,001	1,001	1,000	1,000	1,083	E	Mz,max	-3,2	0,0	0,0	0,0	1	
F	0,693	0,842	1,001	1,001	1,000	1,000	1,083	F	Mz,min	-3,2	0,0	0,0	0,0	1	
G	0,693	0,842	1,001	1,001	1,000	1,000	1,083	G	Vz,max	-3,2	0,0	0,0	0,0	1	
H	0,693	0,842	1,001	1,001	1,000	1,000	1,083	H	Vz,min	-3,2	0,0	0,0	0,0	1	
ZATÍŽITELNOST	0,693	0,842	1,451	1,248	0,972	1,000	1,083								
ZATÍŽITELNOST	0,693	0,842	1,451	1,248	0,972	1,000	1,083								

TAB D		PŘEHLED NAPĚTÍ V KRITICKÝCH BODECH PRŮŘEZU OD ROZHODUJÍCÍ LINEÁRNÍ KOMBINACE ZATÍŽENÍ																																				
KRITICKÉ BODY PRŮŘEZU PRO POSOUZENÍ NAPĚTÍ		POSUDEK A			POSUDEK B			POSUDEK C			POSUDEK D			POSUDEK E			POSUDEK F			POSUDEK G			POSUDEK H			MAXIMÁLNÍ HODNOTY NAPĚTÍ V KRITICKÝCH BODECH PRŮŘEZU						ROZHODUJE						
		σ_1	σ_2	σ_3	σ_1	σ_2	σ_3	σ_1	σ_2	σ_3	σ_1	σ_2	σ_3	σ_1	σ_2	σ_3	σ_1	σ_2	σ_3	σ_1	σ_2	σ_3	σ_1	σ_2	σ_3	$\sigma_{1,MAX}$	f_{td}	$\sigma_{2,MAX}$	$f_{td}^{3/4}$	$\sigma_{3,MAX}$	f_{td}		$\sigma_{4,MAX}$	f_{td}				
OZN.	POPIS	[MPa]	[MPa]	[MPa]	[MPa]	[MPa]	[MPa]	[MPa]	[MPa]	[MPa]	[MPa]	[MPa]	[MPa]	[MPa]	[MPa]	[MPa]	[MPa]	[MPa]	[MPa]	[MPa]	[MPa]	[MPa]	[MPa]	[MPa]	[MPa]	[MPa]	[MPa]	[MPa]	[MPa]	[MPa]	-	[MPa]	[MPa]	-	[MPa]	[MPa]	-	{}
1-DL	bod 1- dolní vlákná průřezu, levý okraj	86,9	0,0	86,9	-139,4	0,0	139,4	-0,6	0,0	0,6	-0,6	0,0	0,6	-0,6	0,0	0,6	-0,6	0,0	0,6	-0,6	0,0	0,6	-0,6	0,0	0,6	-0,6	0,0	0,6	-139,4	197,2	0,707	0,0	123,3	0,000	139,4	197,2	0,707	normální napětí
2-DP	bod 2- dolní vlákná průřezu, pravý okraj	86,9	0,0	86,9	-139,4	0,0	139,4	-0,6	0,0	0,6	-0,6	0,0	0,6	-0,6	0,0	0,6	-0,6	0,0	0,6	-0,6	0,0	0,6	-0,6	0,0	0,6	-0,6	0,0	0,6	-139,4	197,2	0,707	0,0	123,3	0,000	139,4	197,2	0,707	normální napětí
3-HL	bod 3- horní vlákná průřezu, levý okraj	86,9	0,0	86,9	-139,4	0,0	139,4	-0,6	0,0	0,6	-0,6	0,0	0,6	-0,6	0,0	0,6	-0,6	0,0	0,6	-0,6	0,0	0,6	-0,6	0,0	0,6	-0,6	0,0	0,6	-139,4	197,2	0,707	0,0	123,3	0,000	139,4	197,2	0,707	normální napětí
4-HP	bod 4- horní vlákná průřezu, pravý okraj	86,9	0,0	86,9	-139,4	0,0	139,4	-0,6	0,0	0,6	-0,6	0,0	0,6	-0,6	0,0	0,6	-0,6	0,0	0,6	-0,6	0,0	0,6	-0,6	0,0	0,6	-0,6	0,0	0,6	-139,4	197,2	0,707	0,0	123,3	0,000	139,4	197,2	0,707	normální napětí
5-SD1	bod 5- dolní vlákná stěny 1	86,9	0,0	86,9	-139,4	0,0	139,4	-0,6	0,0	0,6	-0,6	0,0	0,6	-0,6	0,0	0,6	-0,6	0,0	0,6	-0,6	0,0	0,6	-0,6	0,0	0,6	-0,6	0,0	0,6	-139,4	197,2	0,707	0,0	123,3	0,000	139,4	197,2	0,707	normální napětí
6-SH1	bod 6- horní vlákná stěny 1	86,9	0,0	86,9	-139,4	0,0	139,4	-0,6	0,0	0,6	-0,6	0,0	0,6	-0,6	0,0	0,6	-0,6	0,0	0,6	-0,6	0,0	0,6	-0,6	0,0	0,6	-0,6	0,0	0,6	-139,4	197,2	0,707	0,0	123,3	0,000	139,4	197,2	0,707	normální napětí
7-SD2	bod 7- dolní vlákná stěny 2	86,9	0,0	86,9	-139,4	0,0	139,4	-0,6	0,0	0,6	-0,6	0,0	0,6	-0,6	0,0	0,6	-0,6	0,0	0,6	-0,6	0,0	0,6	-0,6	0,0	0,6	-0,6	0,0	0,6	-139,4	197,2	0,707	0,0	123,3	0,000	139,4	197,2	0,707	normální napětí
8-SH2	bod 8- horní vlákná stěny 2	86,9	0,0	86,9	-139,4	0,0	139,4	-0,6	0,0	0,6	-0,6	0,0	0,6	-0,6	0,0	0,6	-0,6	0,0	0,6	-0,6	0,0	0,6	-0,6	0,0	0,6	-0,6	0,0	0,6	-139,4	197,2	0,707	0,0	123,3	0,000	139,4	197,2	0,707	normální napětí
9-T	bod 9- těžiště plného průřezu	86,9	0,0	86,9	-139,4	0,0	139,4	-0,6	0,0	0,6	-0,6	0,0	0,6	-0,6	0,0	0,6	-0,6	0,0	0,6	-0,6	0,0	0,6	-0,6	0,0	0,6	-0,6	0,0	0,6	-139,4	197,2	0,707	0,0	123,3	0,000	139,4	197,2	0,707	normální napětí

B. ZATÍŽITELNOST - 1.MS - ÚNOSNOST

[illegible]

C. SHRNU TÍ VÝSLEDKŮ

TAB F	A. POSOUZENÍ - 1.MS - ÚŠNOST			
DRUH NAPĚTÍ	1. NORMÁLOVÉ η_1	2. SMYKOVÉ η_3	3. SROVNÁVACÍ η_e	4.MAXIMUM 1-3
MAXIMÁLNÍ VYUŽITÍ	0,707	0,000	0,707	0,707
POSUDEK NAPĚTÍ	B	A	B	B
ŘÍDICÍ VNITŘNÍ SÍLA	Nx,min	Nx,max	Nx,min	Nx,min
KRITICKÝ BOD PRŮŘEZU	1-DL	1-DL	1-DL	1-DL
LINEÁRNÍ KOMBINACE	25	37	25	25

TAB G	B. ZAŽITĚLNOST - 1.MS - ÚNOSNOST			
DRUH NAPĚTÍ	1. NORMÁLOVÉ σ_n	2. SMYKOVÉ τ	3. SROVNÁVACÍ σ_n	4.MINIMUM 1-3
ZAŽITĚLNOST Z_p	1,65	>5	1,65	1,65
POSUDEK NAPĚTÍ	B	A	B	B
ŘÍDICÍ VNITŘNÍ SÍLA	Nx,min	Nx,max	Nx,min	Nx,min
KRITICKÝ BOD PRŮŘEZU	1-DL	1-DL	1-DL	1-DL
LINEÁRNÍ KOMBINACE	25	21	25	25

Pokud se jedná o tah jsou příslušné hodnoty součinitelů rovny 1.0

TAB B		STABILITA PRUTU							TAB C		ROZHODUJÍCÍ LINEÁRNÍ KOMBINACE VNITŘNÍCH SIL				
TLAK - VZPĚR		OHYB - INTERAKCE S TLAKEM+KLOPENÍ						ROUČ. MAT.			Nx, My, Mx, Vz				
POSUDEK NAPĚTÍ			k_{yy}	$k_{zz}=k_{zz}$	k_{yz}	σ_F		POSUDEK NAPĚTÍ	ŘÍDÍCÍ VNITŘNÍ SÍLA	Nx	My	Mz	Vz	K	
			[H]	[H]	[H]	[H]	[H]			[kN]	[kNm]	[kNm]	[kN]	[kN]	
A	1,000	1,000	1,000	1,000	1,000	1,000	1,000	A	Nx,max	693,1	0,0	0,0	0,0	25	
B	0.688	0.832	1.275	1.158	0.983	1,000	1.063	B	Nx,min	-487,8	0,0	0,0	0,0	37	
C	1,000	1,000	1,000	1,000	1,000	1,000	1,000	C	My,max	59,9	0,0	0,0	0,0	1	
D	1,000	1,000	1,000	1,000	1,000	1,000	1,000	D	My,min	59,9	0,0	0,0	0,0	1	
E	1,000	1,000	1,000	1,000	1,000	1,000	1,000	E	Mz,max	59,9	0,0	0,0	0,0	1	
F	1,000	1,000	1,000	1,000	1,000	1,000	1,000	F	Mz,min	59,9	0,0	0,0	0,0	1	
G	1,000	1,000	1,000	1,000	1,000	1,000	1,000	G	Vz,max	59,9	0,0	0,0	0,0	1	
H	1,000	1,000	1,000	1,000	1,000	1,000	1,000	H	Vz,min	59,9	0,0	0,0	0,0	1	
ZATÍŽITELNOST	1,000	1,000	1,000	1,000	1,000	1,000	1,000								
ZATÍŽITELNOST	1,000	1,000	1,000	1,000	1,000	1,000	1,000								

TAB G	B. ZATÍŽITELNOST - 1.MS - ÚNOSNOST			
DRUH NAPĚTÍ	1. NORMÁLOVÉ σ_x	2. SMYKOVÉ τ	3. SROVNÁVACÍ σ_a	4.MINIMUM 1-3
ZATÍŽITELNOST Z_p	2,50	>5	2,50	2,50
POSUDEK NAPĚTÍ	A	A	A	A
ŘÍDICÍ VNITŘNÍ SÍLA	Nx,max	Nx,max	Nx,max	Nx,max
KRITICKÝ BOD PRŮŘEZU	1-DL	1-DL	1-DL	1-DL
LINEÁRNÍ KOMBINACE	25	21	25	25

638

A. POSOUZENÍ - 1.MS - ÚNOSNOST

POSUDEK: 38

PRŮŘEZ: Z_3

OZNAČENÍ: Z_3

POPIS: DOLNÍ ZTUŽENÍ 3

PRUT

i

X[m]

j

SOUCÍNELE KOROZE k = 1,00

POUŽITÁ OBECNÁ METODA POSOUZENÍ KOMBINACE TLAKU A OHYBU ČSN EN 1993-1-1 6.3.4

Konzervativně uvažováno C_{my}=C_{my}=C_{red}=1.0

Pokud se jedná o tah jsou příslušné hodnoty součinitelů rovny 1.0

TAB A

KRITICKÉ BODY PRŮŘEZU PRO POSOUZENÍ NAPĚTÍ

OZN.

POPIS

3,800E+03

3,800E+03

3,800E+03

1,255E+05

6,727E+04

1,255E+05

1,255E+05

6,727E+04

6,727E+04

-

-

-

2-DP

bod 2 - dolní vlákná průřezu, pravý okraj

3,800E+03

3,800E+03

3,800E+03

1,255E+05

6,727E+04

1,255E+05

1,255E+05

6,727E+04

6,727E+04

-

-

-

3-HL

bod 3 - horní vlákná průřezu, levý okraj

3,800E+03

3,800E+03

3,800E+03

-5,048E+04

6,727E+05

-5,048E+04

-5,048E+04

6,727E+05

6,727E+05

-

-

-

4-HP

bod 4 - horní vlákná průřezu, pravý okraj

3,800E+03

3,800E+03

3,800E+03

-5,048E+04

6,727E+05

-5,048E+04

-5,048E+04

6,727E+05

6,727E+05

-

-

-

5-SD1

bod 5 - dolní vlákná stěny 1

3,800E+03

3,800E+03

3,800E+03

1,927E+05

6,727E+05

1,927E+05

1,927E+05

6,727E+05

6,727E+05

4,737E+04

3,600E+06

20,0

6-SH1

bod 6 - horní vlákná stěny 1

3,800E+03

3,800E+03

3,800E+03

1,927E+05

6,727E+05

1,927E+05

1,927E+05

6,727E+05

6,727E+05

4,737E+04

3,600E+06

20,0

7-SD2

bod 7 - dolní vlákná stěny 2

3,800E+03

3,800E+03

3,800E+03

-5,048E+04

6,727E+05

-5,048E+04

-5,048E+04

6,727E+05

6,727E+05

7,279E+12

3,600E+06

20,0

8-SH2

bod 8 - horní vlákná stěny 2

3,800E+03

3,800E+03

3,800E+03

-5,048E+04

6,727E+05

-5,048E+04

-5,048E+04

6,727E+05

6,727E+05

0,000E+00

3,600E+06

20,0

9-T

bod 9 - těžiště plného průřezu

3,800E+03

3,800E+03

3,800E+03

-

-

-

-

-

-

-

5,096E+04

3,600E+06

20,0

TAH, TLAK N_x

A₀

A_{0,rel,Nx}

A_{0,rel,Nx}

W_y

W_z

W_{y,rel,M_y}

W_{y,rel,M_y}

W_{z,rel,M_z}

W_{z,rel,M_z}

S_y

I_y

I_z

SMYK V_z

S_z

I_{yz}

I_{zy}

TAB B

POSUDEK NAPĚTÍ

A

1,000

1,000

1,000

1,000

1,000

1,000

1,000

1,000

1,000

1,000

1,000

1,000

1,000

B

0,613

0,728

1,298

1,199

0,978

1,000

1,083

1,000

1,000

1,000

1,000

1,000

1,000

C

1,000

1,000

1,000

1,000

1,000

1,000

1,000

1,000

1,000

1,000

1,000

1,000

1,000

D

1,000

1,000

1,000

1,000

1,000

1,000

1,000

1,000

1,000

1,000

1,000

1,000

1,000

E

1,000

1,000

1,000

1,000

1,000

1,000

1,000

1,000

1,000

1,000

1,000

1,000

1,000

F

1,000

1,000

1,000

1,000

1,000

1,000

1,000

1,000

1,000

1,000

1,000

1,000

1,000

G

1,000

1,000

1,000

1,000

1,000

1,000

1,000

1,000

1,000

1,000

1,000

1,000

1,000

H

1,000

1,000

1,000

1,000

1,000

1,000

1,000

1,000

1,000

1,000

1,000

1,000

1,000

ZATÍŽITELNOST

ZATÍŽITELNOST

TLAK - VZPĚR

k_{yy}

k_{xx}=k_{yz}

k_{yy}

k_{xx}

k_{yz}

k_{xx}

OHYB - INTERAKCE S TLAKEM+KLOPENÍ

SOUC. MAX

TAB C

POSUDEK NAPĚTÍ

A

Nx,max

497,0

0,0

0,0

0,0

26

B

Nx,min

-260,2

0,0

0,0

0,0

38

C

My,max

37,5

0,0

0,0

0,0

1

D

My,min

37,5

0,0

0,0

0,0

1

E

Mz,max

37,5

0,0

0,0

0,0

1

F

Mz,min

37,5

0,0

0,0

0,0

1

G

Vz,max

37,5

0,0

0,0

0,0

1

H

Vz,min

37,5

0,0

0,0

0,0

1

RIDICI VNITŘNÍ SÍLA

Nx

My

Mz

Vz

K č.

TAB D

KRITICKÉ BODY PRŮŘEZU PRO POSOUZENÍ NAPĚTÍ

OZN.

POPIS

130,8

0,0

130,8

-111,7

0,0

111,7

9,9

0,0

9,9

9,9

0,0

9,9

9,9

0,0

9,9

9,9

0,0

9,9

9,9

0,0

9,9

9,9

0,0

9,9

9,9

0,0

9,9

9,9

0,0

9,9

9,9

0,0

9,9

9,9

0,0

9,9

9,9

0,0

9,9

9,9

0,0

9,9

9,9

0,0

9,9

9,9

0,0

9,9

9,9

0,0

9,9

9,9

0,0

9,9

9,9

0,0

9,9

9,9

0,0

9,9

9,9

0,0

9,9

9,9

0,0

9,9

9,9

0,0

9,9

9,9

0,0

9,9

9,9

0,0

9,9

9,9

0,0

9,9

9,9

0,0

9,9

9,9

0,0

9,9

9,9

0,0

9,9

9,9

0,0

9,9

9,9

0,0

9,9

9,9

0,0

9,9

9,9

0,0

9,9

9,9

0,0

9,9

9,9

0,0

9,9

9,9

0,0

9,9

9,9

0,0

9,9

9,9

0,0

9,9

9,9

0,0

9,9

9,9

0,0

9,9

9,9

0,0

9,9

9,9

0,0

9,9

9,9

0,0

9,9

9,9

0,0

9,9

9,9

0,0

9,9

9,9

0,0

9,9

9,9

0,0

9,9

9,9

0,0

9,9

9,9

0,0

9,9

9,9

0,0

9,9

9,9

0,0

9,9

9,9

0,0

9,9

9,9

0,0

9,9

9,9

0,0

9,9

9,9

0,0

9,9

9,9

0,0

9,9

9,9

0,0

9,9

9,9

0,0

9,9

9,9

0,0

9,9

9,9

0,0

9,9

9,9

0,0

9,9

9,9

0,0

9,9

9,9

0,0

9,9

9,9

0,0

9,9

9,9

0,0

9,9

9,9

0,0

9,9

9,9

0,0

9,9

9,9

0,0

9,9

9,9

0,0

9,9

9,9

0,0

9,9

9,9

0,0

9,9

9,9

0,0

9,9

9,9

0,0

9,9

9,9

0,0

9,9

9,9

0,0

9,9

9,9

0,0

9,9

9,9

0,0

9,9

9,9

0,0

9,9

9,9

0,0

9,9

9,9

0,0

9,9

9,9

0,0

9,9

9,9

0,0

9,9

9,9

0,0

9,9

9,9

0,0

9,9

9,9

0,0

9,9

9,9

0,0

9,9

9,9

0,0

9,9

9,9

0,0

9,9

9,9

0,0

9,9

9,9

0,0

9,9

9,9

0,0

9,9

9,9

0,0

9,9

9,9

0,0

9,9

9,9

0,0

9,9

9,9

0,0

9,9

9,9

0,0

9,9

9,9

0,0

9,9

9,9

0,0

9,9

9,9

0,0

9,9

9,9

0,0

9,9

9,9

0,0

9,9

9,9

0,0

9,9

9,9

0,0

9,9

9,9

0,0

9,9

9,9

0,0

9,9

9,9

0,0

9,9

9,9

0,0

9,9

9,9

0,0

9,9

9,9

0,0

9,9

9,9

0,0

9,9

9,9

0,0

9,9

9,9

0,0

9,9

9,9

0,0

9,9

9,9

0,0

9,9

9,9

0,0

9,9

9,9

0,0

9,9

9,9

0,0

9,9

9,9

0,0

9,9

9,9

0,0

9,9

9,9

0,0

9,9

9,9

0,0

<

TAB

639

A. POSOUZENÍ - 1.MS - ÚNOSNOST

POSUDEK: 39

PRŮŘEZ: Z_4

OZNAČENÍ: Z_4

POPIS: DOLNÍ ZTUŽENÍ 4

PRUT

i

X[m]

j

SOUCÍNETEL KOROZE k =

1,00

POUŽITA OBECNÁ METODA POSOUZENÍ KOMBINACE TLAKU A OHYBU ČSN EN 1993-1-1 6.3.4

Konzervativně uvažován $C_{my}=C_{m1}=C_{m2}=1.0$

Pokud se jedná o tah jsou příslušné hodnoty součinitelů rovny 1.0

TAB A		PRŮŘEZOVÉ CHARAKTERISTIKY KRITICKÉHO PRŮŘEZU											
KRITICKÉ BODY PRŮŘEZU PRO POSOUZENÍ NAPĚTÍ		TAH, TLAK N_x			OHYB M_y, M_z						SMYK V_z		
		A_b	$A_{c,rel,Nx}$	$A_{c,rel,Mx}$	W_y	W_z	W_{y,rel,M_y}	W_{y,rel,M_z}	W_{z,rel,M_y}	W_{z,rel,M_z}	S_y	I_y	I_z
OZN.	POPIS	[mm ²]	[mm ²]	[mm ²]	[mm ³]	[mm ³]	[mm ³]	[mm ³]	[mm ³]	[mm ³]	[mm ³]	[mm ³]	[mm ³]
1-DL	bod 1 - dolní vlákná průřezu, levý okraj	4.512E+03	4.512E+03	4.512E+03	1.428E+05	8.101E+04	1.428E+05	1.428E+05	8.101E+04	8.101E+04	-	-	-
2-DP	bod 2 - dolní vlákná průřezu, pravý okraj	4.512E+03	4.512E+03	4.512E+03	1.428E+05	8.101E+04	1.428E+05	1.428E+05	8.101E+04	8.101E+04	-	-	-
3-HL	bod 3 - horní vlákná průřezu, levý okraj	4.512E+03	4.512E+03	4.512E+03	-5.950E+04	6.751E+05	-5.950E+04	-5.950E+04	6.751E+05	6.751E+05	-	-	-
4-HP	bod 4 - horní vlákná průřezu, pravý okraj	4.512E+03	4.512E+03	4.512E+03	-5.950E+04	6.751E+05	-5.950E+04	-5.950E+04	6.751E+05	6.751E+05	-	-	-
5-SD1	bod 5 - dolní vlákná stěny 1	4.512E+03	4.512E+03	4.512E+03	2.413E+05	6.751E+05	2.413E+05	2.413E+05	6.751E+05	6.751E+05	5.617E+04	4.200E+06	24.0
6-SH1	bod 6 - horní vlákná stěny 1	4.512E+03	4.512E+03	4.512E+03	2.413E+05	6.751E+05	2.413E+05	2.413E+05	6.751E+05	6.751E+05	5.617E+04	4.200E+06	24.0
7-SD2	bod 7 - dolní vlákná stěny 2	4.512E+03	4.512E+03	4.512E+03	-5.950E+04	6.751E+05	-5.950E+04	-5.950E+04	6.751E+05	6.751E+05	1.455E+11	4.200E+06	24.0
8-SH2	bod 8 - horní vlákná stěny 2	4.512E+03	4.512E+03	4.512E+03	-5.950E+04	6.751E+05	-5.950E+04	-5.950E+04	6.751E+05	6.751E+05	0.000E+00	4.200E+06	24.0
9-T	bod 9 - těžiště plného průřezu	4.512E+03	4.512E+03	4.512E+03	-	-	-	-	-	-	5.981E+04	4.200E+06	24.0

TAB D		PŘEHLED NAPĚTÍ V KRITICKÝCH BODECH PRŮŘEZU OD ROZHODUJÍCÍ LINEÁRNÍ KOMBINACE ZATÍŽENÍ																											
KRITICKÉ BODY PRŮŘEZU PRO POSOUZENÍ NAPĚTÍ		POSUDEK A		POSUDEK B		POSUDEK C		POSUDEK D		POSUDEK E		POSUDEK F		POSUDEK G		POSUDEK H		MAXIMÁLNÍ HODNOTY NAPĚTÍ V KRITICKÝCH BODECH PRŮŘEZU						ROZHODUJE					
		σ_{Ax}	σ_{Ay}	σ_{Bx}	σ_{By}	σ_{Cx}	σ_{Cy}	σ_{Dx}	σ_{Dy}	σ_{Ex}	σ_{Ey}	σ_{Fx}	σ_{Fy}	σ_{Gx}	σ_{Gy}	σ_{Hx}	σ_{Hy}	σ_{MAX}	f_{y0}	σ_{MAX}	$f_{y0}^{0.5}$	σ_{MAX}	f_{y0}		σ_{MAX}	f_{y0}			
OZN.	POPIS	[MPa]	[MPa]	[MPa]	[MPa]	[MPa]	[MPa]	[MPa]	[MPa]	[MPa]	[MPa]	[MPa]	[MPa]	[MPa]	[MPa]	[MPa]	[MPa]	[MPa]	[MPa]	[MPa]	-	[MPa]	[MPa]	-	[MPa]	[MPa]	-		
1-DL	bod 1 - dolní vlákná průřezu, levý okraj	137,8	0,0	137,8	-127,3	0,0	127,3	22,5	0,0	22,5	22,5	0,0	22,5	22,5	0,0	22,5	22,5	0,0	22,5	-127,3	197,2	0,645	0,0	123,3	0,000	127,3	197,2	0,645	normální napětí
2-DP	bod 2 - dolní vlákná průřezu, pravý okraj	137,8	0,0	137,8	-127,3	0,0	127,3	22,5	0,0	22,5	22,5	0,0	22,5	22,5	0,0	22,5	22,5	0,0	22,5	-127,3	197,2	0,645	0,0	123,3	0,000	127,3	197,2	0,645	normální napětí
3-HL	bod 3 - horní vlákná průřezu, levý okraj	137,8	0,0	137,8	-127,3	0,0	127,3	22,5	0,0	22,5	22,5	0,0	22,5	22,5	0,0	22,5	22,5	0,0	22,5	-127,3	197,2	0,645	0,0	123,3	0,000	127,3	197,2	0,645	normální napětí
4-HP	bod 4 - horní vlákná průřezu, pravý okraj	137,8	0,0	137,8	-127,3	0,0	127,3	22,5	0,0	22,5	22,5	0,0	22,5	22,5	0,0	22,5	22,5	0,0	22,5	-127,3	197,2	0,645	0,0	123,3	0,000	127,3	197,2	0,645	normální napětí
5-SD1	bod 5 - dolní vlákná stěny 1	137,8	0,0	137,8	-127,3	0,0	127,3	22,5	0,0	22,5	22,5	0,0	22,5	22,5	0,0	22,5	22,5	0,0	22,5	-127,3	197,2	0,645	0,0	123,3	0,000	127,3	197,2	0,645	normální napětí
6-SH1	bod 6 - horní vlákná stěny 1	137,8	0,0	137,8	-127,3	0,0	127,3	22,5	0,0	22,5	22,5	0,0	22,5	22,5	0,0	22,5	22,5	0,0	22,5	-127,3	197,2	0,645	0,0	123,3	0,000	127,3	197,2	0,645	normální napětí
7-SD2	bod 7 - dolní vlákná stěny 2	137,8	0,0	137,8	-127,3	0,0	127,3	22,5	0,0	22,5	22,5	0,0	22,5	22,5	0,0	22,5	22,5	0,0	22,5	-127,3	197,2	0,645	0,0	123,3	0,000	127,3	197,2	0,645	normální napětí
8-SH2	bod 8 - horní vlákná stěny 2	137,8	0,0	137,8	-127,3	0,0	127,3	22,5	0,0	22,5	22,5	0,0	22,5	22,5	0,0	22,5	22,5	0,0	22,5	-127,3	197,2	0,645	0,0	123,3	0,000	127,3	197,2	0,645	normální napětí
9-T	bod 9 - těžiště plného průřezu	137,8	0,0	137,8	-127,3	0,0	127,3	22,5	0,0	22,5	22,5	0,0	22,5	22,5	0,0	22,5	22,5	0,0	22,5	-127,3	197,2	0,645	0,0	123,3	0,000	127,3	197,2	0,645	normální napětí

TAB

739

B. ZATÍŽITELNOST - 1.MS - ÚNOSNOST

TAB E		1. ZATÍŽITELNOST - NORMÁLOVÉ NAPĚTÍ										2. ZATÍŽITELNOST - SMYKOVÉ NAPĚTÍ										3. ZATÍŽITELNOST - SROVNÁVACÍ NAPĚTÍ																																																																																																																																																																																																																																																																																																																																																																																																																																																																																																																															
SKUPINA ZATĚŽ STAVŮ		Nx		My		Mz		V _y		V _z		KZ č. 25		Vz		V _y		V _z		KZ č. 21		Nx		My		Mz		V _y		V _z		KZ č. 25																																																																																																																																																																																																																																																																																																																																																																																																																																																																																																																					
		[kN]	[kNm]	[kNm]	[-]	[kN]	[kNm]	[kNm]	[MPa]	[MPa]	[MPa]	[MPa]	[-]	[kN]	[-]	[kN]	[MPa]	[-]	[kN]	[kNm]	[kNm]	[MPa]	[MPa]	[MPa]	[MPa]	[MPa]	[MPa]	[MPa]	[MPa]	[MPa]	[MPa]	[MPa]	[-]																																																																																																																																																																																																																																																																																																																																																																																																																																																																																																																				
E _{LM7,Ed}	G	101,5	0,0	0,0	0,85	86,3	0,0	0,0	19,1	0,0	0,0	19,1	R _{cr}	0,0	1,00	0,0	0,0	0,0	0,0	R _{cr}	123,3	MPa	101,5	0,0	0,0	0,0	0,0	0,85	86,3	0,0	0,0	19,1	0,0	0,0	19,1	R _{cr}	213,6	MPa																																																																																																																																																																																																																																																																																																																																																																																																																																																																																																															
	CH	0,0	0,0	0,0	0,00	0,0	0,0	0,0	0,0	0,0	0,0	0,0	0,0	0,0	0,0	0,0	0,0	0,0	0,0	0,0	0,0	0,0	0,0	0,0	0,0	0,0	0,0	0,0	0,0	0,0	0,0	0,0	0,0	0,0	0,0	0,0	41,5	MPa																																																																																																																																																																																																																																																																																																																																																																																																																																																																																																															
	W-P	84,1	0,0	0,0	0,50	42,0	0,0	0,0	9,3	0,0	0,0	9,3	σ _{cr,FB}	0,0	0,50	0,0	0,0	0,0	0,0	σ _{cr,FB}	0,0	MPa	84,1	0,0	0,0	0,0	0,50	42,0	0,0	0,0	9,3	0,0	0,0	9,3	0,0	0,0	9,3	0,0	0,0	0,0	0,0	0,0	0,0	0,0	0,0	0,0	0,0	0,0	0,0	0,0	0,0	0,0	0,0	0,0	0,0	0,0	0,0	0,0	0,0	0,0	0,0	0,0	0,0	0,0	0,0	0,0	0,0	0,0	0,0	0,0	0,0	0,0	0,0	0,0	0,0	0,0	0,0	0,0	0,0	0,0	0,0	0,0	0,0	0,0	0,0	0,0	0,0	0,0	0,0	0,0	0,0	0,0	0,0	0,0	0,0	0,0	0,0	0,0	0,0	0,0	0,0	0,0	0,0	0,0	0,0	0,0	0,0	0,0	0,0	0,0	0,0	0,0	0,0	0,0	0,0	0,0	0,0	0,0	0,0	0,0	0,0	0,0	0,0	0,0	0,0	0,0	0,0	0,0	0,0	0,0	0,0	0,0	0,0	0,0	0,0	0,0	0,0	0,0	0,0	0,0	0,0	0,0	0,0	0,0	0,0	0,0	0,0	0,0	0,0	0,0	0,0	0,0	0,0	0,0	0,0	0,0	0,0	0,0	0,0	0,0	0,0	0,0	0,0	0,0	0,0	0,0	0,0	0,0	0,0	0,0	0,0	0,0	0,0	0,0	0,0	0,0	0,0	0,0	0,0	0,0	0,0	0,0	0,0	0,0	0,0	0,0	0,0	0,0	0,0	0,0	0,0	0,0	0,0	0,0	0,0	0,0	0,0	0,0	0,0	0,0	0,0	0,0	0,0	0,0	0,0	0,0	0,0	0,0	0,0	0,0	0,0	0,0	0,0	0,0	0,0	0,0	0,0	0,0	0,0	0,0	0,0	0,0	0,0	0,0	0,0	0,0	0,0	0,0	0,0	0,0	0,0	0,0	0,0	0,0	0,0	0,0	0,0	0,0	0,0	0,0	0,0	0,0	0,0	0,0	0,0	0,0	0,0	0,0	0,0	0,0	0,0	0,0	0,0	0,0	0,0	0,0	0,0	0,0	0,0	0,0	0,0	0,0	0,0	0,0	0,0	0,0	0,0	0,0	0,0	0,0	0,0	0,0	0,0	0,0	0,0	0,0	0,0	0,0	0,0	0,0	0,0	0,0	0,0	0,0	0,0	0,0	0,0	0,0	0,0	0,0	0,0	0,0	0,0	0,0	0,0	0,0	0,0	0,0	0,0	0,0	0,0	0,0	0,0	0,0	0,0	0,0	0,0	0,0	0,0	0,0	0,0	0,0	0,0	0,0	0,0	0,0	0,0	0,0	0,0	0,0	0,0	0,0	0,0	0,0	0,0	0,0	0,0	0,0	0,0	0,0	0,0	0,0	0,0	0,0	0,0	0,0	0,0	0,0	0,0	0,0	0,0	0,0	0,0	0,0	0,0	0,0	0,0	0,0	0,0	0,0	0,0	0,0	0,0	0,0	0,0	0,0	0,0	0,0	0,0	0,0	0,0	0,0	0,0	0,0	0,0	0,0	0,0	0,0	0,0	0,0	0,0	0,0	0,0	0,0	0,0	0,0	0,0	0,0	0,0	0,0	0,0	0,0	0,0	0,0	0,0	0,0	0,0	0,0	0,0	0,0	0,0	0,0	0,0	0,0	0,0	0,0	0,0	0,0	0,0	0,0	0,0	0,0	0,0	0,0	0,0	0,0	0,0	0,0	0,0	0,0	0,0	0,0	0,0	0,0	0,0	0,0	0,0	0,0	0,0	0,0	0,0	0,0	0,0	0,0	0,0	0,0	0,0	0,0	0,0	0,0	0,0	0,0	0,0	0,0	0,0	0,0	0,0	0,0	0,0	0,0	0,0	0,0	0,0	0,0	0,0	0,0	0,0	0,0	0,0	0,0	0,0	0,0	0,0	0,0	0,0	0,0	0,0	0,0	0,0	0,0	0,0	0,0	0,0	0,0	0,0	0,0	0,0	0,0	0,0	0,0	0,0	0,0	0,0	0,0	0,0	0,0	0,0	0,0	0,0	0,0	0,0	0,0	0,0	0,0	0,0	0,0	0,0	0,0	0,0	0,0	0,0	0,0	0,0	0,0	0,0	0,0	0,0	0,0	0,0	0,0	0,0	0,0	0,0	0,0	0,0	0,0	0,0	0,0	0,0	0,0	0,0	0,0	0,0	0,0	0,0	0,0	0,0	0,0	0,0	0,0	0,0	0,0	0,0	0,0	0,0	0,0	0,0	0,0	0,0	0,0	0,0	0,0	

640

A. POSOUZENÍ - 1.MS - ÚNOSNOST

POSUDEK: 40

PRŮŘEZ: Z_5

OZNAČENÍ: Z_5

POPIS: DOLNÍ ŽTUŽENÍ 5

PRUT

i

X[m]

j

SOUCÍNEK KOROZE k = 1,00

POUŽITÁ OBECNÁ METODA POSUDKU KOMBINACE TLAKU A OHYBU ČSN EN 1993-1-1 6.3.4

Konzervativně uvažován C_{obj}=C_{obj}=C_{obj}=1.0

Pokud se jedná o tah jsou příslušné hodnoty součinitelů rovny 1.0

TAB A		PRŮŘEZOVÉ CHARAKTERISTIKY KRITICKÉHO PRŮŘEZU											
KRITICKÉ BODY PRŮŘEZU PRO POSOUZENÍ NAPĚTÍ		TAH, TLAK N _x			OHYB M _y , M _z							SMYK V _z	
		A _x	A _{xx,rot}	A _{yy,rot}	W _y	W _z	W _{xx,rot}	W _{yy,rot}	W _{zz,rot}	W _{xy,rot}	S _y	I _y	I _{xy}
OZN.	POPIS	[mm ²]	[mm ²]	[mm ²]	[mm ³]	[mm ³]	[mm ³]	[mm ³]	[mm ³]	[mm ³]	[mm ³]	[mm ³]	[mm ³]
1-DL	bod 1 - dolní vlákná průřezu, levý okraj	5,472E+03	5,472E+03	5,472E+03	2,169E+05	1,162E+05	2,169E+05	2,169E+05	1,162E+05	1,162E+05	-	-	-
2-DP	bod 2 - dolní vlákná průřezu, pravý okraj	5,472E+03	5,472E+03	5,472E+03	2,169E+05	1,162E+05	2,169E+05	2,169E+05	1,162E+05	1,162E+05	-	-	-
3-HL	bod 3 - horní vlákná průřezu, levý okraj	5,472E+03	5,472E+03	5,472E+03	-8,723E+04	1,162E+05	-8,723E+04	-8,723E+04	1,162E+05	1,162E+05	-	-	-
4-HP	bod 4 - horní vlákná průřezu, pravý okraj	5,472E+03	5,472E+03	5,472E+03	-8,723E+04	1,162E+05	-8,723E+04	-8,723E+04	1,162E+05	1,162E+05	-	-	-
5-SD1	bod 5 - dolní vlákná stěny 1	5,472E+03	5,472E+03	5,472E+03	3,330E+05	1,162E+05	3,330E+05	3,330E+05	1,162E+05	1,162E+05	8,185E+04	7,4655E+05	24,0
6-SH1	bod 6 - horní vlákná stěny 1	5,472E+03	5,472E+03	5,472E+03	3,330E+05	1,162E+05	3,330E+05	3,330E+05	1,162E+05	1,162E+05	8,185E+04	7,4655E+05	24,0
7-SD2	bod 7 - dolní vlákná stěny 2	5,472E+03	5,472E+03	5,472E+03	-8,723E+04	1,162E+05	-8,723E+04	-8,723E+04	1,162E+05	1,162E+05	-2,910E+11	7,4655E+05	24,0
8-SH2	bod 8 - horní vlákná stěny 2	5,472E+03	5,472E+03	5,472E+03	-8,723E+04	1,162E+05	-8,723E+04	-8,723E+04	1,162E+05	1,162E+05	0,000E+00	7,4655E+05	24,0
9-T	bod 9 - těžiště plného průřezu	5,472E+03	5,472E+03	5,472E+03	-	-	-	-	-	-	8,7896E+04	7,4655E+05	24,0

TAB B		STABILITA PRUTU										TAB C		ROZHODUJÍCÍ LINEÁRNÍ KOMBINACE VNITŘNÍCH SIL							
POSUDEK NAPĚTÍ		TLAK - VZPĚR		OHYB - INTERAKCE S TLAKEM+KLOPENÍ						SOUC. MAT		POSUDEK NAPĚTÍ		ŘÍDÍCÍ VNITŘNÍ SÍLA		N _x , M _y , M _z , V _z					
		[-]	[-]	[-]	[-]	[-]	[-]	[-]	[-]	[-]	[-]					N _x	M _y	M _z	V _z	K č.	
A	1,000	1,000	1,000	1,000	1,000	1,000	1,000	1,000	1,000	1,000	1,000	A	N _{x,max}	766,5	0,0	0,0	0,0	26			
B	0,852	0,811	1,355	1,195	0,978	1,000	1,083	B	N _{x,min}	-509,4	0,0	0,0	0,0	25							
C	1,000	1,000	1,000	1,000	1,000	1,000	1,000	C	M _{y,max}	93,6	0,0	0,0	0,0	1							
D	1,000	1,000	1,000	1,000	1,000	1,000	1,000	D	M _{y,min}	93,6	0,0	0,0	0,0	1							
E	1,000	1,000	1,000	1,000	1,000	1,000	1,000	E	M _{z,max}	93,6	0,0	0,0	0,0	1							
F	1,000	1,000	1,000	1,000	1,000	1,000	1,000	F	M _{z,min}	93,6	0,0	0,0	0,0	1							
G	1,000	1,000	1,000	1,000	1,000	1,000	1,000	G	V _{z,max}	93,6	0,0	0,0	0,0	1							
H	1,000	1,000	1,000	1,000	1,000	1,000	1,000	H	V _{z,min}	93,6	0,0	0,0	0,0	1							
ZATÍŽITELNOST		0,652	0,811	1,490	1,269	0,970	1,000	1,083													
ZATÍŽITELNOST		0,652	0,811	1,490	1,269	0,970	1,000	1,083													

TAB D

PŘEHLED NAPĚTÍ V KRITICKÝCH BODECH PRŮŘEZU OD ROZHODUJÍCÍ LINEÁRNÍ KOMBINACE ZATÍŽENÍ

KRITICKÉ BODY PRŮŘEZU PRO POSOUZENÍ NAPĚTÍ		POSUDEK A		POSUDEK B		POSUDEK C		POSUDEK D		POSUDEK E		POSUDEK F		POSUDEK G		POSUDEK H		MAXIMÁLNÍ HODNOTY NAPĚTÍ V KRITICKÝCH BODECH PRŮŘEZU											
		☞	☜	☞	☜	☞	☜	☞	☜	☞	☜	☞	☜	☞	☜	☞	☜	☞	☞ _{MAX}	☞ _y	☞ _z	☞ _{MAX}	☞ _y ²⁺³	☞ _z	☞ _{MAX}	☞ _y	☞ _z	ROZHODUJE	
OZN.	POPIS	[MPa]	[MPa]	[MPa]	[MPa]	[MPa]	[MPa]	[MPa]	[MPa]	[MPa]	[MPa]	[MPa]	[MPa]	[MPa]	[MPa]	[MPa]	[MPa]	[MPa]	☞ _{MAX}	[MPa]	☞ _y	☞ _z	☞ _{MAX}	☞ _y ²⁺³	☞ _z	☞ _{MAX}	☞ _y	☞ _z	[-]
1-DL	bod 1 - dolní vlákná průřezu, levý okraj	140,1	0,0	140,1	-142,8	0,0	142,8	17,1	0,0	17,1	17,1	0,0	17,1	17,1	0,0	17,1	17,1	0,0	17,1	-142,8	197,2	0,724	0,0	123,3	0,000	142,8	197,2	0,724	normální napětí
2-DP	bod 2 - dolní vlákná průřezu, pravý okraj	140,1	0,0	140,1	-142,8	0,0	142,8	17,1	0,0	17,1	17,1	0,0	17,1	17,1	0,0	17,1	17,1	0,0	17,1	-142,8	197,2	0,724	0,0	123,3	0,000	142,8	197,2	0,724	normální napětí
3-HL	bod 3 - horní vlákná průřezu, levý okraj	140,1	0,0	140,1	-142,8	0,0	142,8	17,1	0,0	17,1	17,1	0,0	17,1	17,1	0,0	17,1	17,1	0,0	17,1	-142,8	197,2	0,724	0,0	123,3	0,000	142,8	197,2	0,724	normální napětí
4-HP	bod 4 - horní vlákná průřezu, pravý okraj	140,1	0,0	140,1	-142,8	0,0	142,8	17,1	0,0	17,1	17,1	0,0	17,1	17,1	0,0	17,1	17,1	0,0	17,1	-142,8	197,2	0,724	0,0	123,3	0,000	142,8	197,2	0,724	normální napětí
5-SD1	bod 5 - dolní vlákná stěny 1	140,1	0,0	140,1	-142,8	0,0	142,8	17,1	0,0	17,1	17,1	0,0	17,1	17,1	0,0	17,1	17,1	0,0	17,1	-142,8	197,2	0,724	0,0	123,3	0,000	142,8	197,2	0,724	normální napětí
6-SH1	bod 6 - horní vlákná stěny 1	140,1	0,0	140,1	-142,8	0,0	142,8	17,1	0,0	17,1	17,1	0,0	17,1	17,1	0,0	17,1	17,1	0,0	17,1	-142,8	197,2	0,724	0,0	123,3	0,000	142,8	197,2	0,724	normální napětí
7-SD2	bod 7 - dolní vlákná stěny 2	140,1	0,0	140,1	-142,8	0,0	142,8	17,1	0,0	17,1	17,1	0,0	17,1	17,1	0,0	17,1	17,1	0,0	17,1	-142,8	197,2	0,724	0,0	123,3	0,000	142,8	197,2	0,724	normální napětí
8-SH2	bod 8 - horní vlákná stěny 2	140,1	0,0	140,1	-142,8	0,0	142,8	17,1	0,0	17,1	17,1	0,0	17,1	17,1	0,0	17,1	17,1	0,0	17,1	-142,8	197,2	0,724	0,0	123,3	0,000	142,8	197,2	0,724	normální napětí
9-T	bod 9 - těžiště plného průřezu	140,1	0,0	140,1	-142,8	0,0	142,8	17,1	0,0	17,1	17,1	0,0	17,1	17,1	0,0	17,1	17,1	0,0	17,1	-142,8	197,2	0,724	0,0	123,3	0,000	142,8	197,2	0,724	normální napětí

TAB

740

B. ZATÍŽITELNOST - 1.MS - ÚNOSNOST

TAB E		1. ZATÍŽITELNOST - NORMÁLOVÉ NAPĚTÍ										2. ZATÍŽITELNOST - SMYKOVÉ NAPĚTÍ										3. ZATÍŽITELNOST - SROVNÁVACÍ NAPĚTÍ											
SKUPINA ZATĚŽ STAVŮ		N _x		M _y		M _z		☞		☜		N _x		M _y		M _z		☞		☜		N _x		M _y		M _z		☞		☜		ZATÍŽITELNOST	
		[kN]	[kNm]	[kNm]	[-]	[kN]	[kNm]	[kNm]	[MPa]	[MPa]	[MPa]	[MPa]	[kN]	[-]	[kN]	[MPa]	[kN]	[-]	[kN]	[MPa]	[kN]	[-]	[kN]	[kNm]	[kNm]	[MPa]	[MPa]	[MPa]	[MPa]	[MPa]	[MPa]	[-]	
E ₁ E ₂ E ₃	G	-60,8	0,0	0,0	0,85	-51,7	0,0	0,0	-14,5	0,0	0,0	-14,5	0,0	0,0	0,0	0,0	0,0	0,0	0,0	0,0	0,0	-60,8	0,0	0,0	0,0	0,85	-51,7	0,0	0,0	-14,5	0,0	0,0	14,5
	CH	0,0	0,0	0,0	0,00	0,0	0,0	0,0	0,0	0,0	0,0	0,0	0,0	0,0	0,0	0,0	0,0	0,0	0,0	0,0	0,0	0,0	0,0	0,0	0,0	0,0	0,0	0,0	0,0	0,0	0,0	R _x 197,2 MPa	
	W-P	-105,1	0,0	0,0	0,50	-52,5	0,0	0,0	-14,7	0,0	0,0	-14,7	0,0	0,0	0,0	0,0	0,0	0,0	0,0	0,0	0,0	-105,1	0,0	0,0	0,0	0,50	-52,5	0,0	0,0	-14,7	0,0	0,0	R _x -50,4 MPa
	TL	0,0	0,0	0,0	0,00	0,0	0,0	0,0	0,0	0,0	0,0	0,0	0,0	0,0	0,0	0,0	0,0	0,0	0,0	0,0	0,0	0,0	0,0	0,0	0,0	0,0	0,0	0,0	0,0	0,0	0,0	R _y 0,0 MPa	
	RN	0,0	0,0	0,0	0,00	0,0	0,0	0,0	0,0	0,0	0,0	0,0	0,0	0,0	0,0	0,0	0,0	0,0	0,0	0,0	0,0	0,0	0,0	0,0	0,0	0,0	0,0	0,0	0,0	0,0	0,0	R _z -69,4 MPa	
	RN	0,0	0,0	0,0	0,00	0,0	0,0	0,0	0,0	0,0	0,0	0,0	0,0	0,0	0,0	0,0	0,0	0,0	0,0	0,0	0,0	0,0	0,0	0,0	0,0	0,0	0,0	0,0	0,0	0,0	0,0	0,0	R _z 0,0 MPa
	O	0,0	0,0	0,0	0,50	0,0	0,0	0,0	0,0	0,0	0,0	0,0	0,0	0,0	0,0	0,0	0,0	0,0	0,0	0,0	0,0	0,0	0,0	0,0	0,0	0,0	0,0	0,0	0,0	0,0	0,0	0,0	0,0
	B	-59,6	0,0	0,0	1,00	-59,6	0,0	0,0	-16,7	0,0	0,0	-16,7	0,0	0,0	0,0	0,0	0,0	0,0	0,0	0,0	0,0	-59,6	0,0	0,0	0,0	1,00	-59,6	0,0	0,0	-16,7	0,0	0,0	16,7
S	-32,2	0,0	0,0	0,50	-16,1	0,0	0,0	-4,5	0,0	0,0	-4,5	0,0	0,0	0,0	0,0	0,0	0,0	0,0	0,0	0,0	-32,2	0,0	0,0	0,0	0,50	-16,1	0,0	0,0	-4,5	0,0	0,0	4,5	
K	0,0	0,0	0,0	0,00	0,0	0,0	0,0	0,0	0,0	0,0	0,0	0,0	0,0	0,0	0,0	0,0	0,0	0,0	0,0	0,0	0,0	0,0	0,0	0,0	0,0	0,0	0,0	0,0	0,0	0,0	0,0	0,0	
E ₁ M ₁ E ₃	R2	-247,5	0,0	0,0	1,00	-247,5	0,0	0,0	-69,4	0,0	0,0	-69,4	0,0	0,0	0,0	0,0	0,0	0,0	0,0	0,0	0,0	0,0	0,0	0,0	0,0	0,0	0,0	0,0	0,0	0,0	0,0	0,0	69,4

TAB

840

C. SHRNTÍ VÝSLEDKŮ

TAB F		A. POSOUZENÍ - 1.MS - ÚNOSNOST			
DRUH NAPĚTÍ	1. NORMÁLOVÉ η_1	2. SMYKOVÉ η_2	3. SROVNÁVACÍ η_3	4. MAXIMUM 1-3	
MAXIMÁLNÍ VYUŽITÍ	0,724	0,000	0,724	0,724	
POSUDEK NAPĚTÍ	B	A	B	B	
ŘÍDÍCÍ VNITŘNÍ SÍLA	N _{x,min}	N _{x,max}	N _{x,min}	N _{x,min}	
KRITICKÝ BOD PRŮŘEZU	1-DL	1-DL	1-DL	1-DL	
LINEÁRNÍ KOMBINACE	25	26	25	25	

TAB G		B. ZATÍŽITELNOST - 1.MS - ÚNOSNOST			
DRUH NAPĚTÍ	1. NORMÁLOVÉ σ_x	2. SMYKOVÉ τ	3. SROVNÁVACÍ σ_x	4. MINIMUM 1-3	
ZATÍŽITELNOST Z_p	1,78	>5	1,78	1,78	
POSUDEK NAPĚTÍ	B	A	B	B	
ŘÍDÍCÍ VNITŘNÍ SÍLA	N _{x,min}	N _{x,max}	N _{x,min}	N _{x,min}	
KRITICKÝ BOD PRŮŘEZU	1-DL	1-DL	1-DL	1-DL	
LINEÁRNÍ KOMBINACE	21	21	25	25	

A. POSOUZENÍ - 1.MS - ÚNOSNOST

PRUT	X[m]
i	i











1,00

POUŽITÁ OBEZNÁ METODA POSUDKU KOMBINACE TLAKU A OHYBU ČSN EN 1993-1-1 6.3.4

Konzervativně uvažován $C_{my}=C_{mz}=C_{mLT}=1.0$

Pokud se jedná o tah jsou příslušné hodnoty součinitelů rovny 1.0

TAB A		PRŮŘEZOVÉ CHARAKTERISTIKY KRITICKÉHO PRŮŘEZU												
KRITICKÉ BODY PRŮŘEZU PRO POŠOUZENÍ NAPĚTÍ		TAH, TLAK N_x				OHYB M_y, M_z						SMYK V_z		
		A_y	$A_{y,rel.}$	$A_{x,rel.}$	$A_{x,rel.}$	W_y	W_z	$W_{y,rel.}$	$W_{y,rel.}$	$W_{z,rel.}$	$W_{z,rel.}$	S_y	I_y	I_z
QZN.	POPIS	[mm ²]	[mm ²]	[mm ²]	[mm ²]	[mm ³]	[mm ³]	[mm ³]	[mm ³]	[mm ³]	[mm ³]	[mm ³]	[mm ⁴]	[mm ⁴]
1-DL	bod 1- dolní vlákná průřezu, levý okraj	3.400E+03	3.400E+03	3.400E+03	9.870E+04	5.459E+04	8.970E+04	9.870E+04	5.459E+04	8.970E+04	5.459E+04	8.970E+04	-	-
2-DP	bod 2- dolní vlákná průřezu, levý okraj	3.400E+03	3.400E+03	3.400E+03	9.870E+04	5.459E+04	8.970E+04	9.870E+04	5.459E+04	8.970E+04	5.459E+04	8.970E+04	-	-
3-HL	bod 3- horní vlákná průřezu, levý okraj	3.400E+03	3.400E+03	3.400E+03	-0.468E+04	4.913E+05	-0.468E+04	-0.468E+04	4.913E+05	-0.468E+04	4.913E+05	-0.468E+04	-	-
4-HP	bod 4- horní vlákná průřezu, pravý okraj	3.400E+03	3.400E+03	3.400E+03	-0.468E+04	4.913E+05	-0.468E+04	-0.468E+04	4.913E+05	-0.468E+04	4.913E+05	-0.468E+04	-	-
5-SD1	bod 5- dolní vlákná stěny 1	3.400E+03	3.400E+03	3.400E+03	1.597E+05	4.913E+05	1.597E+05	1.597E+05	4.913E+05	1.597E+05	4.913E+05	3.812E+04	2.584E+06	20.0
6-SH1	bod 6- horní vlákná stěny 1	3.400E+03	3.400E+03	3.400E+03	1.597E+05	4.913E+05	1.597E+05	1.597E+05	4.913E+05	1.597E+05	4.913E+05	3.812E+04	2.584E+06	20.0
7-SD2	bod 7- dolní vlákná stěny 2	3.400E+03	3.400E+03	3.400E+03	-0.468E+04	4.913E+05	-0.468E+04	-0.468E+04	4.913E+05	-0.468E+04	4.913E+05	2.276E+12	2.584E+06	-
8-SH2	bod 8- horní vlákná stěny 2	3.400E+03	3.400E+03	3.400E+03	-0.468E+04	4.913E+05	-0.468E+04	-0.468E+04	4.913E+05	-0.468E+04	4.913E+05	0.000E+00	2.584E+06	20.0
9-T	bod 9- těžiště plného průřezu	3.400E+03	3.400E+03	3.400E+03	-	-	-	-	-	-	-	4.708E+04	2.584E+06	20.0

TAB B		STABILITA PRUTU							TAB C		ROZHODUJÍCÍ LINEÁRNÍ KOMBINACE VNITŘNÍCH SIL				
		TLAK - VZPĚR		OHYB - INTERAKCE S TLAKEM+KLOPENÍ							Nx, My, Mx, Vz				
POSUDEK NAPĚTÍ									POSUDEK NAPĚTÍ	ŘÍDICÍ VNITŘNÍ SÍLA	Nx	My	Mz	Vz	K
A	1,000	1,000	1,000	1,000	1,000	1,000	1,000	1,000	A	Nx,max	489,8	0,0	0,0	0,0	26
B	0,517	0,657	1,379	1,241	0,973	1,000	1,083	1,000	B	Nx,min	-219,0	0,0	0,0	0,0	42
C	1,000	1,000	1,000	1,000	1,000	1,000	1,000	1,000	C	My,max	45,2	0,0	0,0	0,0	1
D	1,000	1,000	1,000	1,000	1,000	1,000	1,000	1,000	D	My,min	45,2	0,0	0,0	0,0	1
E	1,000	1,000	1,000	1,000	1,000	1,000	1,000	1,000	E	Mz,max	45,2	0,0	0,0	0,0	1
F	1,000	1,000	1,000	1,000	1,000	1,000	1,000	1,000	F	Mz,min	45,2	0,0	0,0	0,0	1
G	1,000	1,000	1,000	1,000	1,000	1,000	1,000	1,000	G	Vz,max	45,2	0,0	0,0	0,0	1
H	1,000	1,000	1,000	1,000	1,000	1,000	1,000	1,000	H	Vz,min	45,2	0,0	0,0	0,0	1
ZATÍŽITELNOST 	1,000	1,000	1,000	1,000	1,000	1,000	1,000	1,000							
ZATÍŽITELNOST 	1,000	1,000	1,000	1,000	1,000	1,000	1,000	1,000							

TAB D		PŘEHLED NAPĚTÍ V KRITICKÝCH BODECH PRŮŘEZU OD ROZHODUJÍCÍ LINEÁRNÍ KOMBINACE ZATÍŽENÍ																																																																																																																																																																																																																																																																																																																																																																																																																																																																																																																																																																																																																																																																																																																																																									
KRITICKÉ BODY PRŮŘEZU PRO POUSOZENÍ NAPĚTÍ		POSUDEK A			POSUDEK B			POSUDEK C			POSUDEK D			POSUDEK E			POSUDEK F			POSUDEK G			POSUDEK H			MAXIMÁLNÍ HODNOTY NAPĚTÍ V KRITICKÝCH BODECH PRŮŘEZU								ROZHODU																																																																																																																																																																																																																																																																																																																																																																																																																																																																																																																																																																																																																																																																																																																									
		σ_{\perp}	σ_{\parallel}	τ_{\parallel}	σ_{\perp}	σ_{\parallel}	τ_{\parallel}	σ_{\perp}	σ_{\parallel}	τ_{\parallel}	σ_{\perp}	σ_{\parallel}	τ_{\parallel}	σ_{\perp}	σ_{\parallel}	τ_{\parallel}	σ_{\perp}	σ_{\parallel}	τ_{\parallel}	σ_{\perp}	σ_{\parallel}	τ_{\parallel}	σ_{\perp}	σ_{\parallel}	τ_{\parallel}	σ_{\perp}	σ_{\parallel}	τ_{\parallel}	σ_{\perp}	σ_{\parallel}	τ_{\parallel}	σ_{\perp}	σ_{\parallel}		τ_{\parallel}	σ_{\perp}	σ_{\parallel}	τ_{\parallel}	σ_{\perp}	σ_{\parallel}	τ_{\parallel}																																																																																																																																																																																																																																																																																																																																																																																																																																																																																																																																																																																																																																																																																																																		
OZN.	POPIS	[MPa]	[MPa]	[MPa]	[MPa]	[MPa]	[MPa]	[MPa]	[MPa]	[MPa]	[MPa]	[MPa]	[MPa]	[MPa]	[MPa]	[MPa]	[MPa]	[MPa]	[MPa]	[MPa]	[MPa]	[MPa]	[MPa]	[MPa]	[MPa]	[MPa]	[MPa]	[MPa]	[MPa]	[MPa]	[MPa]	[MPa]	[MPa]	[MPa]	[MPa]	[MPa]	[MPa]	[MPa]	[MPa]	[MPa]	[MPa]	[MPa]	[MPa]	[MPa]	[MPa]	[MPa]	[MPa]	[MPa]	[MPa]	[MPa]	[MPa]	[MPa]	[MPa]	[MPa]	[MPa]	[MPa]	[MPa]	[MPa]	[MPa]	[MPa]	[MPa]	[MPa]	[MPa]	[MPa]	[MPa]	[MPa]	[MPa]	[MPa]	[MPa]	[MPa]	[MPa]	[MPa]	[MPa]	[MPa]	[MPa]	[MPa]	[MPa]	[MPa]	[MPa]	[MPa]	[MPa]	[MPa]	[MPa]	[MPa]	[MPa]	[MPa]	[MPa]	[MPa]	[MPa]	[MPa]	[MPa]	[MPa]	[MPa]	[MPa]	[MPa]	[MPa]	[MPa]	[MPa]	[MPa]	[MPa]	[MPa]	[MPa]	[MPa]	[MPa]	[MPa]	[MPa]	[MPa]	[MPa]	[MPa]	[MPa]	[MPa]	[MPa]	[MPa]	[MPa]	[MPa]	[MPa]	[MPa]	[MPa]	[MPa]	[MPa]	[MPa]	[MPa]	[MPa]	[MPa]	[MPa]	[MPa]	[MPa]	[MPa]	[MPa]	[MPa]	[MPa]	[MPa]	[MPa]	[MPa]	[MPa]	[MPa]	[MPa]	[MPa]	[MPa]	[MPa]	[MPa]	[MPa]	[MPa]	[MPa]	[MPa]	[MPa]	[MPa]	[MPa]	[MPa]	[MPa]	[MPa]	[MPa]	[MPa]	[MPa]	[MPa]	[MPa]	[MPa]	[MPa]	[MPa]	[MPa]	[MPa]	[MPa]	[MPa]	[MPa]	[MPa]	[MPa]	[MPa]	[MPa]	[MPa]	[MPa]	[MPa]	[MPa]	[MPa]	[MPa]	[MPa]	[MPa]	[MPa]	[MPa]	[MPa]	[MPa]	[MPa]	[MPa]	[MPa]	[MPa]	[MPa]	[MPa]	[MPa]	[MPa]	[MPa]	[MPa]	[MPa]	[MPa]	[MPa]	[MPa]	[MPa]	[MPa]	[MPa]	[MPa]	[MPa]	[MPa]	[MPa]	[MPa]	[MPa]	[MPa]	[MPa]	[MPa]	[MPa]	[MPa]	[MPa]	[MPa]	[MPa]	[MPa]	[MPa]	[MPa]	[MPa]	[MPa]	[MPa]	[MPa]	[MPa]	[MPa]	[MPa]	[MPa]	[MPa]	[MPa]	[MPa]	[MPa]	[MPa]	[MPa]	[MPa]	[MPa]	[MPa]	[MPa]	[MPa]	[MPa]	[MPa]	[MPa]	[MPa]	[MPa]	[MPa]	[MPa]	[MPa]	[MPa]	[MPa]	[MPa]	[MPa]	[MPa]	[MPa]	[MPa]	[MPa]	[MPa]	[MPa]	[MPa]	[MPa]	[MPa]	[MPa]	[MPa]	[MPa]	[MPa]	[MPa]	[MPa]	[MPa]	[MPa]	[MPa]	[MPa]	[MPa]	[MPa]	[MPa]	[MPa]	[MPa]	[MPa]	[MPa]	[MPa]	[MPa]	[MPa]	[MPa]	[MPa]	[MPa]	[MPa]	[MPa]	[MPa]	[MPa]	[MPa]	[MPa]	[MPa]	[MPa]	[MPa]	[MPa]	[MPa]	[MPa]	[MPa]	[MPa]	[MPa]	[MPa]	[MPa]	[MPa]	[MPa]	[MPa]	[MPa]	[MPa]	[MPa]	[MPa]	[MPa]	[MPa]	[MPa]	[MPa]	[MPa]	[MPa]	[MPa]	[MPa]	[MPa]	[MPa]	[MPa]	[MPa]	[MPa]	[MPa]	[MPa]	[MPa]	[MPa]	[MPa]	[MPa]	[MPa]	[MPa]	[MPa]	[MPa]	[MPa]	[MPa]	[MPa]	[MPa]	[MPa]	[MPa]	[MPa]	[MPa]	[MPa]	[MPa]	[MPa]	[MPa]	[MPa]	[MPa]	[MPa]	[MPa]	[MPa]	[MPa]	[MPa]	[MPa]	[MPa]	[MPa]	[MPa]	[MPa]	[MPa]	[MPa]	[MPa]	[MPa]	[MPa]	[MPa]	[MPa]	[MPa]	[MPa]	[MPa]	[MPa]	[MPa]	[MPa]	[MPa]	[MPa]	[MPa]	[MPa]	[MPa]	[MPa]	[MPa]	[MPa]	[MPa]	[MPa]	[MPa]	[MPa]	[MPa]	[MPa]	[MPa]	[MPa]	[MPa]	[MPa]	[MPa]	[MPa]	[MPa]	[MPa]	[MPa]	[MPa]	[MPa]	[MPa]	[MPa]	[MPa]	[MPa]	[MPa]	[MPa]	[MPa]	[MPa]	[MPa]	[MPa]	[MPa]	[MPa]	[MPa]	[MPa]	[MPa]	[MPa]	[MPa]	[MPa]	[MPa]	[MPa]	[MPa]	[MPa]	[MPa]	[MPa]	[MPa]	[MPa]	[MPa]	[MPa]	[MPa]	[MPa]	[MPa]	[MPa]	[MPa]	[MPa]	[MPa]	[MPa]	[MPa]	[MPa]	[MPa]	[MPa]	[MPa]	[MPa]	[MPa]	[MPa]	[MPa]	[MPa]	[MPa]	[MPa]	[MPa]	[MPa]	[MPa]	[MPa]	[MPa]	[MPa]	[MPa]	[MPa]	[MPa]	[MPa]	[MPa]	[MPa]	[MPa]	[MPa]	[MPa]	[MPa]	[MPa]	[MPa]	[MPa]	[MPa]	[MPa]	[MPa]	[MPa]	[MPa]	[MPa]	[MPa]	[MPa]	[MPa]	[MPa]	[MPa]	[MPa]	[MPa]	[MPa]	[MPa]	[MPa]	[MPa]	[MPa]	[MPa]	[MPa]	[MPa]	[MPa]	[MPa]	[MPa]	[MPa]	[MPa]	[MPa]	[MPa]	[MPa]	[MPa]	[MPa]	[MPa]	[MPa]	[MPa]	[MPa]	[MPa]	[MPa]	[MPa]	[MPa]	[MPa]	[MPa]	[MPa]	[MPa]	[MPa]	[MPa]	[MPa]	[MPa]	[MPa]	[MPa]	[MPa]	[MPa]	[MPa]	[MPa]	[MPa]	[MPa]	[MPa]	[MPa]	[MPa]	[MPa]	[MPa]	[MPa]	[MPa]	[MPa]	[MPa]	[MPa]	[MPa]	[MPa]	[MPa]	[MPa]	[MPa]	[MPa]	[MPa]	[MPa]	[MPa]	[MPa]	[MPa]	[MPa]	[MPa]	[MPa]	[MPa]	[MPa]	[MPa]	[MPa]	[MPa]	[MPa]	[MPa]	[MPa]	[MPa]	[MPa]	[MPa]	[MPa]	[MPa]	[MPa]	[MPa]	[MPa]	[MPa]	[MPa]	[MPa]	[MPa]	[MPa]	[MPa]	[MPa]	[MPa]	[MPa]	[MPa]	[MPa]	[MPa]	[MPa]	[MPa]	[MPa]	[MPa]	[MPa]	[MPa]	[MPa]	[MPa]	[MPa]	[MPa]	[MPa]	[MPa]	[MPa]	[MPa]	[MPa]	[MPa]	[MPa]	[MPa]	[MPa]	[MPa]	[MPa]	[MPa]	[MPa]	[MPa]	[MPa]	[MPa]	[MPa]	[MPa]	[MPa]	[MPa]	[MPa]	[MPa]	[MPa]	[MPa]	[MPa]	[MPa]	[MPa]	[MPa]	[MPa]	[MPa]	[MPa]	[MPa]	[MPa]	[MPa]	[MPa]	[MPa]	[MPa]	[MPa]	[MPa]	[MPa]	[MPa]	[MPa]	[MPa]	[MPa]	[MPa]	[MPa]	[MPa]	[MPa]	[MPa]	[MPa]	[MPa]	[MPa]	[MPa]	[MPa]	[MPa]	[MPa]	[MPa]	[MPa]	[MPa]	[MPa]	[MPa]	[MPa]	[MPa]	[MPa]	[MPa]	[MPa]	[MPa]	[MPa]	[MPa]	[MPa]	[MPa]	[MPa]	[MPa]	[MPa]	[MPa]	[MPa]	[MPa]	[MPa]	[MPa]	[MPa]	[MPa]	[MPa]	[MPa]	[MPa]	[MPa]	[MPa]	[MPa]	[MPa]	[MPa]	[MPa]	[MPa]	[MPa]	[MPa]	[MPa]	[MPa]	[MPa]	[MPa]	[MPa]	[MPa]	[MPa]	[MPa]	[MPa]	[MPa]	[MPa]	[MPa]	[MPa]	[MPa]	[MPa]	[MPa]	[MPa]	[MPa]	[MPa]	[MPa]	[MPa]	[MPa]	[MPa]	[MPa]	[MPa]	[MPa]	[MPa]	[MPa]	[MPa]	[MPa]	[MPa]	[MPa]	[MPa]	[MPa]	[MPa]	[MPa]	[MPa]	[MPa]	[MPa]	[MPa]	[MPa]	[MPa]	[MPa]	[MPa]	[MPa]	[MPa]	[MPa]	[MPa]	[MPa]	[MPa]	[MPa]	[MPa]	[MPa]	[MPa]	[MPa]	[MPa]	[MPa]	[MPa]	[MPa]	[MPa]	[MPa]	[MPa]	[MPa]	[MPa]	[MPa]	[MPa]	[MPa]	[MP

B. ZATÍŽITELNOST - 1.MS - ÚNOSNOST

[illegible]

C. SHRUTÍ VÝSLEDKŮ

Tab F	A. POSOUZENÍ - 1.MS - ÚNOSNOST			
Druh napětí	1. NORMÁLOVÉ η_1	2. SMYKOVÉ η_2	3. SROVNÁVACÍ η_3	4. MAXIMUM 1-3
MAXIMÁLNÍ VYUŽITÍ	0,674	0,000	0,674	0,674
POSUDEK NAPĚTÍ	A	A	A	A
ŘÍDICÍ VNITŘNÍ SILA	Nx,max	Nx,max	Nx,max	Nx,max
KRITICKÝ BOD PRŮŘEZU	1-DL	1-DL	1-DL	1-DL
LINEÁRNÍ KOMBINACE	26	26	26	26

TAB G	B. ZATÍŽITELNOST - 1.MS - ÚNOSNOST			
DRUH NAPĚTÍ	1. NORMÁLOVÉ σ_x	2. SMYKOVÉ τ	3. SROVNÁVACÍ σ_p	4. MINIMUM 1-3
ZATÍŽITELNOST Z_p	1,72	>5	1,72	1,72
POSUDEK NAPĚTÍ	A	A	A	A
ŘÍDICÍ VNITŘNÍ SÍLA	N_x, \max	N_x, \max	N_x, \max	N_x, \max
KRITICKÝ BOD PRŮŘEZU	1-DL	1-DL	1-DL	1-DL
LINEÁRNÍ KOMBINACE	26	21	26	26

8.6. Přechodnost C3/70 – souhrn

TAB 9 1 URČENÍ PŘECHODNOSTI - 1.MS - ÚNOSNOST - C3-50

POSUDEK	OZNACENÍ	ZATÍŽENÍ	DYNAMICKÝ SOUČINITEL				1. NORMÁLOVÉ NAPĚTÍ σ_s										2. SMYKOVÉ NAPĚTÍ τ_s					3. SROVNÁVACÍ NAPĚTÍ σ_{eq}														
			$\phi_1(N_x)$	$\phi_2(M_y)$	$\phi_3(M_z)$	$\phi_4(V_z)$	N_x	M_y	M_z	$k_1(N_x)$	$k_2(M_y)$	$k_3(M_z)$	$k_4(V_z)$	$Z_{C3/50}$	VYUŽITÍ	POSUDEK	V_z	$k_4(V_z)$	$k_1(\tau_s)$	$k_2(\tau_s)$	$Z_{C3/50}$	VYUŽITÍ	POSUDEK	N_x	M_y	M_z	V_z	$k_1(N_x)$	$k_2(M_y)$	$k_3(M_z)$	$k_4(V_z)$	$k_1(\tau_s)$	$k_2(\tau_s)$	$Z_{C3/50}$	VYUŽITÍ	POSUDEK
			-	-	-	-	[kN]	[kNm]	[kNm]	-	-	-	-	-	[%]	-	[kN]	-	-	-	[%]	-	-	-	[kN]	[kNm]	[kNm]	[kN]	-	-	-	-	-	-	[%]	-
1	HN_01	C3/50	1,05	1,05	1,05	1,05	103,4	-6 266,6	0,8	0,017	0,981	0,002	1,00	1,61	62,2	OK	1 089,2	1,000	1,00	3,61	27,7	OK	82,4	-6 036,1	10,7	-1 041,9	0,013	0,757	0,000	0,229	1,00	1,60	62,3	OK		
2	HN_02	C3/50	1,05	1,05	1,05	1,05	-273,0	8 520,2	10,1	0,032	0,951	0,017	1,00	1,70	58,7	OK	-614,0	1,000	1,00	>5	20,0	OK	-273,0	8 520,2	10,1	109,1	0,032	0,951	0,017	0,000	1,00	1,70	58,7	OK		
3	HN_03A	C3/50	1,05	1,05	1,05	1,05	16,1	-9 476,9	37,2	-0,002	0,932	0,070	1,00	1,07	93,1	OK	1 225,7	1,000	1,00	>5	20,0	OK	16,1	-9 476,9	37,2	-1 152,9	-0,002	0,932	0,070	0,000	1,00	1,07	93,1	OK		
4	HN_03B	C3/50	1,05	1,05	1,05	1,05	15,2	-8 802,5	29,3	0,022	0,833	0,146	1,00	1,01	99,2	OK	1 225,7	1,000	1,00	4,19	23,9	OK	15,2	-8 802,5	29,3	-1 149,5	0,022	0,833	0,146	0,000	1,00	1,01	99,2	OK		
5	HN_04	C3/50	1,05	1,05	1,05	1,05	2 510,0	-5 805,8	-2,2	0,284	0,710	0,006	1,00	1,60	62,6	OK	-783,0	1,000	1,00	>5	20,0	OK	2 510,0	-5 805,8	-2,2	-237,4	0,284	0,710	0,006	0,000	1,00	1,60	62,6	OK		
6	HN_05	C3/50	1,05	1,05	1,05	1,05	1 247,9	5 401,3	-6,6	0,192	0,831	-0,023	1,00	2,16	46,2	OK	545,3	1,000	1,00	>5	20,0	OK	1 247,9	5 401,3	-6,6	-138,7	0,192	0,831	-0,023	0,000	1,00	2,16	46,2	OK		
7	HN_06	C3/50	1,05	1,05	1,05	1,05	1 525,7	4 692,2	-8,2	0,244	0,728	0,028	1,00	2,48	40,4	OK	-537,3	1,000	1,00	>5	20,0	OK	1 525,7	4 692,2	-8,2	-177,5	0,244	0,728	0,028	0,000	1,00	2,48	40,4	OK		
8	P_1	C3/50	1,56	1,56	1,56	1,56	-4,1	33,7	0,0	0,028	0,954	0,018	1,00	>5	20,0	OK	14,7	1,000	1,00	>5	20,0	OK	-4,1	33,7	0,0	14,7	0,028	0,879	0,001	0,094	1,00	>5	20,0	OK		
9	P_2	C3/50	1,56	1,56	1,56	1,56	-63,8	350,4	-5,5	0,050	0,802	0,149	1,00	2,31	43,3	OK	200,5	1,000	1,00	3,35	29,8	OK	-63,8	350,4	-5,5	-164,1	0,043	0,660	0,004	0,293	1,00	2,21	45,1	OK		
10	P_3	C3/50	1,38	1,38	1,38	1,38	7,8	408,0	-0,1	0,009	0,308	0,683	1,00	1,92	52,2	OK	-207,0	1,000	1,00	3,58	27,9	OK	7,8	408,0	-0,1	-180,1	0,009	0,308	0,683	0,000	1,00	1,92	52,2	OK		
11	P_4	C3/50	1,38	1,38	1,38	1,38	142,6	527,9	0,2	0,084	0,919	-0,003	1,00	1,71	58,6	OK	-244,3	1,000	1,00	3,58	27,9	OK	142,6	527,9	0,2	-144,6	0,084	0,919	-0,003	0,000	1,00	1,71	58,6	OK		
12	P_5	C3/50	1,38	1,38	1,38	1,38	-2,7	167,9	-30,9	0,002	0,332	0,666	1,00	1,44	69,5	OK	-223,4	1,000	1,00	3,35	29,9	OK	-2,7	167,9	-30,9	-163,2	0,002	0,332	0,666	0,000	1,00	1,44	69,5	OK		
13	B_1	C3/50	1,56	1,56	1,56	1,56	-110,2	0,0	0,0	1,000	0,000	0,000	1,00	1,13	88,5	OK	0,0	1,000	1,00	>5	20,0	OK	-110,2	0,0	0,0	0,0	1,000	0,000	0,000	0,000	1,00	1,13	88,5	OK		
14	B_2	C3/50	1,56	1,56	1,56	1,56	-99,0	0,0	0,0	1,000	0,000	0,000	1,00	1,02	97,7	OK	0,0	1,000	1,00	>5	20,0	OK	-99,0	0,0	0,0	0,0	1,000	0,000	0,000	0,000	1,00	1,02	97,7	OK		
15	B_3	C3/50	1,56	1,56	1,56	1,56	30,0	0,0	0,0	1,000	0,000	0,000	1,00	4,00	25,0	OK	0,0	1,000	1,00	>5	20,0	OK	30,0	0,0	0,0	0,0	1,000	0,000	0,000	0,000	1,00	4,00	25,0	OK		
16	B_4	C3/50	1,56	1,56	1,56	1,56	-43,1	0,0	0,0	1,000	0,000	0,000	1,00	>5	20,0	OK	0,0	1,000	1,00	>5	20,0	OK	-43,1	0,0	0,0	0,0	1,000	0,000	0,000	0,000	1,00	>5	20,0	OK		
17	K_1	C3/50	1,52	1,52	1,52	1,52	-1,2	-8,0	-5,8	0,004	0,119	0,877	1,00	4,01	25,0	OK	18,0	1,000	1,00	>5	20,0	OK	-1,2	-8,0	-5,8	2,6	0,004	0,119	0,877	0,000	1,00	4,01	25,0	OK		
18	O_1	C3/50	1,07	1,07	1,07	1,07	-3 301,2	40,9	-21,4	0,899	0,060	0,040	1,00	2,76	36,2	OK	17,1	1,000	1,00	>5	20,0	OK	-3 301,2	40,9	-21,4	-4,2	0,899	0,060	0,040	0,000	1,00	2,76	36,2	OK		
19	O_2	C3/50	1,07	1,07	1,07	1,07	-3 369,8	12,5	-14,2	0,951	0,019	0,029	1,00	2,51	39,9	OK	16,7	1,000	1,00	>5	20,0	OK	-3 369,8	12,5	-14,2	-3,7	0,951	0,019	0,029	0,000	1,00	2,51	39,9	OK		
20	O_3	C3/50	1,07	1,07	1,07	1,07	-3 550,1	-30,8	49,4	0,876	0,043	0,081	1,00	1,85	54,0	OK	-25,9	1,000	1,00	>5	20,0	OK	-3 550,1	-30,8	49,4	1,5	0,876	0,043	0,081	0,000	1,00	1,85	54,0	OK		

TAB 9 2 URČENÍ PŘECHODNOSTI - 1.MS - ÚNOSNOST - C3-50

POSUDEK	OZNAČENÍ	ZATÍŽENÍ	DYNAMICKÝ SOUČINITEL				1. NORMÁLOVÉ NAPĚTÍ σ_x										2. SMYKOVÉ NAPĚTÍ τ					3. SROVNÁVACÍ NAPĚTÍ σ_s													
			$\phi_1(Nx)$	$\phi_2(My)$	$\phi_3(Mz)$	$\phi_4(Vz)$	N_x	My	Mz	$k_1(Nx)$	$k_2(My)$	$k_3(Mz)$	$\Sigma k_i \phi_i$	$Z_{C3/50}$	VYUŽITÍ	POSUDEK	V_z	$k_4(Vz)$	$\Sigma k_i \phi_i$	$Z_{C3/50}$	VYUŽITÍ	POSUDEK	N_x	My	Mz	V_z	$k_1(Nx)$	$k_2(My)$	$k_3(Mz)$	$k_4(Vz)$	$\Sigma k_i \phi_i$	$Z_{C3/50}$	VYUŽITÍ	POSUDEK	
			-	-	-	-	[kN]	[kNm]	[kNm]	-	-	-	-	-	[%]	-	[kN]	-	-	-	[%]	-	[kN]	[kNm]	[kNm]	[kN]	-	-	-	-	-	-	[%]	-	
21	D_1	C3/50	1,47	1,47	1,47	1,47	81,9	71,9	-1,5	0,138	0,747	0,115	1,00	2,18	45,8	OK	109,9	1,000	1,00	2,84	35,2	OK	81,9	71,9	-1,5	59,2	0,138	0,747	0,115	0,000	1,00	2,18	45,8	OK	
22	D_2	C3/50	1,47	1,47	1,47	1,47	-66,8	-76,4	-2,4	0,093	0,765	0,141	1,00	1,62	61,9	OK	-166,7	1,000	1,00	1,55	64,6	OK	-13,8	-2,5	0,0	-166,7	0,000	0,000	0,000	1,000	1,00	1,41	71,0	OK	
23	D_3	C3/50	1,47	1,47	1,47	1,47	131,6	74,7	-1,9	0,194	0,679	0,127	1,00	1,92	52,1	OK	-107,9	1,000	1,00	2,90	34,4	OK	131,6	74,7	-1,9	-55,4	0,194	0,679	0,127	0,000	1,00	1,92	52,1	OK	
24	D_4	C3/50	1,47	1,47	1,47	1,47	135,6	72,8	2,0	0,289	0,514	0,197	1,00	1,76	56,8	OK	-136,8	1,000	1,00	2,22	45,1	OK	135,6	72,8	2,0	21,6	0,289	0,514	0,197	0,000	1,00	1,76	56,8	OK	
25	D_5	C3/50	1,47	1,47	1,47	1,47	-19,8	-24,4	8,0	0,037	0,302	0,660	1,00	2,20	45,5	OK	-134,6	1,000	1,00	2,20	45,5	OK	19,8	-23,8	5,1	-134,6	0,001	0,000	0,000	0,999	1,00	2,20	45,5	OK	
26	D_6	C3/50	1,47	1,47	1,47	1,47	-94,4	-69,8	4,8	0,120	0,376	0,504	1,00	1,24	80,9	OK	-140,2	1,000	1,00	1,91	52,4	OK	-94,4	-69,8	4,8	-86,5	0,120	0,376	0,504	0,000	1,00	1,24	80,9	OK	
27	D_7	C3/50	1,41	1,41	1,41	1,41	-78,4	-47,4	11,9	0,097	0,389	0,515	1,00	1,61	62,2	OK	164,7	1,000	1,00	1,78	56,3	OK	-78,4	-47,4	11,9	95,7	0,097	0,389	0,515	0,000	1,00	1,61	62,2	OK	
28	D_8	C3/50	1,47	1,47	1,47	1,47	119,3	75,7	3,0	0,166	0,645	0,189	1,00	2,13	46,8	OK	-137,3	1,000	1,00	2,28	43,9	OK	119,3	75,7	3,0	25,0	0,166	0,645	0,189	0,000	1,00	2,13	46,8	OK	
29	D_9	C3/50	1,47	1,47	1,47	1,47	124,7	68,3	1,2	0,212	0,694	0,094	1,00	2,29	43,6	OK	-140,5	1,000	1,00	2,27	44,1	OK	87,3	-11,9	4,2	-140,5	0,018	0,000	0,000	0,982	1,00	2,24	44,6	OK	
30	D_10	C3/50	1,47	1,47	1,47	1,47	83,5	75,6	0,0	0,156	0,846	-0,002	1,00	2,61	38,4	OK	-171,2	1,000	1,00	1,86	53,7	OK	1,6	-1,1	0,0	-171,2	0,000	0,000	0,000	1,000	1,00	1,70	58,9	OK	
31	S_1	C3/50	1,09	1,09	1,09	1,09	#DIV/0!	#DIV/0!	#DIV/0!	#DIV/0!	#DIV/0!	#DIV/0!	#DIV/0!	1,00	>5	20,0	OK	0,0	1,000	1,00	>5	20,0	OK	307,3	0,0	0,0	0,0	1,000	0,000	0,000	0,000	1,00	>5	20,0	OK
32	T_1	C3/50	1,56	1,56	1,56	1,56	-41,0	0,0	0,0	1,000	0,000	0,000	1,00	1,47	68,0	OK	0,0	1,000	1,00	>5	20,0	OK	-41,0	0,0	0,0	0,0	1,000	0,000	0,000	0,000	1,00	1,47	68,0	OK	
33	T_2	C3/50	1,56	1,56	1,56	1,56	37,3	0,0	0,0	1,000	0,000	0,000	1,00	>5	20,0	OK	0,0	1,000	1,00	>5	20,0	OK	37,3	0,0	0,0	0,0	1,000	0,000	0,000	0,000	1,00	>5	20,0	OK	
34	T_3	C3/50	1,56	1,56	1,56	1,56	-51,4	0,0	0,0	1,000	0,000	0,000	1,00	>5	20,0	OK	0,0	1,000	1,00	>5	20,0	OK	-51,4	0,0	0,0	0,0	1,000	0,000	0,000	0,000	1,00	>5	20,0	OK	
35	T_4	C3/50	1,56	1,56	1,56	1,56	-62,1	0,0	0,0	1,000	0,000	0,000	1,00	>5	20,0	OK	0,0	1,000	1,00	>5	20,0	OK	-62,1	0,0	0,0	0,0	1,000	0,000	0,000	0,000	1,00	>5	20,0	OK	
36	Z_1	C3/50	1,56	1,56	1,56	1,56	-315,1	0,0	0,0	1,000	0,000	0,000	1,00	1,65	60,7	OK	0,0	1,000	1,00	>5	20,0	OK	-315,1	0,0	0,0	0,0	1,000	0,000	0,000	0,000	1,00	1,65	60,7	OK	
37	Z_2	C3/50	1,56	1,56	1,56	1,56	247,1	0,0	0,0	1,000	0,000	0,000	1,00	2,50	40,0	OK	0,0	1,000	1,00	>5	20,0	OK	247,1	0,0	0,0	0,0	1,000	0,000	0,000	0,000	1,00	2,50	40,0	OK	
38	Z_3	C3/50	1,56	1,56	1,56	1,56	219,6	0,0	0,0	1,000	0,000	0,000	1,00	1,92	52,1	OK	0,0	1,000	1,00	>5	20,0	OK	219,6	0,0	0,0	0,0	1,000	0,000	0,000	0,000	1,00	1,92	52,1	OK	
39	Z_4	C3/50	1,56	1,56	1,56	1,56	232,6	0,0	0,0	1,000	0,000	0,000	1,00	1,94	51,5	OK	0,0	1,000	1,00	>5	20,0	OK	232,6	0,0	0,0	0,0	1,000	0,000	0,000	0,000	1,00	1,94	51,5	OK	
40	Z_5	C3/50	1,56	1,56	1,56	1,56	-158,7	0,0	0,0	1,000	0,000	0,000	1,00	1,78	56,0	OK	0,0	1,000	1,00	>5	20,0	OK	-158,7	0,0	0,0	0,0	1,000	0,000	0,000	0,000	1,00	1,78	56,0	OK	

Pokud se jedná o tah jsou příslušné hodnoty součinitelů rovny 1.0

TAB G	B. ZATÍŽITELNOST - 1.MS - ÚNOSNOST			
DRUH NAPĚTÍ	1. NORMÁLOVÉ σ_n	2. SMYKOVÉ τ	3. SROVNÁVACÍ σ_n	4. MINIMUM 1-3
ZATÍŽITELNOST Z_p	1,19	4,99	1,19	1,19
POSUDEK NAPĚTÍ	C	H	C	C
ŘÍDÍCÍ VNITŘNÍ SÍLA	My,max	Vz,min	My,max	My,max
KRITICKÝ BOD PRŮŘEZU	4-HP	9-T	4-HP	4-HP
LINEÁRNÍ KOMBINACE	26	26	26	26

TAB 10 A. POSOUZENÍ - 1.MS - ÚNOSNOST

POSUDEK: 3 PRŮŘEZ: HN_03A PRUT X[m] OZNAČENÍ: HN_03A POPIS: HLAVNÍ NOSNÍK 3A i j



SOUCÍNITEL KOROZE k = 1,00

POUŽITÁ OBLIČNÁ METODA POSUDKU KOMBINACE TLAKU A OHYBU ČSN EN 1993-1-1 6.3.4

Konzervativně uvažován C_{int}=C_{int,T}=1.0

Pokud se jedná o tah jsou příslušné hodnoty součinitelů rovny 1.0

TAB A	PRŮŘEZOVÉ CHARAKTERISTIKY KRITICKÉHO PRŮŘEZU											
	TAH, TLAK N _x			OHYB M _y , M _z						SMYK V _z		
	PRO POSOUZENÍ NAPĚTÍ											
	A _x	A _y at N _x	A _z at N _x	W _y	W _z	W _{el} at M _y	W _{el} at M _z	W _{pl} at M _y	W _{pl} at M _z	S _y	I _y	I _z
OZN.	POPIS	[mm ²]	[mm ²]	[mm ³]	[mm ³]	[mm ³]	[mm ³]	[mm ³]	[mm ³]	[mm ³]	[mm ⁴]	[mm ⁴]
1-DL	bod 1- dolní vlákná průřezu, levý okraj	1,301E+05	1,301E+05	1,301E+05	1,002E+08	3,933E+06	1,002E+08	1,002E+08	3,933E+06	-	-	-
2-DP	bod 2- dolní vlákná průřezu, pravý okraj	1,301E+05	1,301E+05	1,301E+05	1,002E+08	3,933E+06	1,002E+08	1,002E+08	3,933E+06	-	-	-
3-HL	bod 3- horní vlákná průřezu, levý okraj	1,301E+05	1,301E+05	1,301E+05	-1,043E+08	4,327E+06	-1,043E+08	-1,043E+08	4,327E+06	-	-	-
4-HP	bod 4- horní vlákná průřezu, pravý okraj	1,301E+05	1,301E+05	1,301E+05	-1,043E+08	4,327E+06	-1,043E+08	-1,043E+08	4,327E+06	-	-	-
5-SD1	bod 5- dolní vlákná stěny 1	1,301E+05	1,301E+05	1,301E+05	1,030E+08	7,211E+07	1,030E+08	1,030E+08	7,211E+07	7,211E+07	3,164E+07	1,481E+11
6-SH1	bod 6- horní vlákná stěny 1	1,301E+05	1,301E+05	1,301E+05	1,030E+08	-7,211E+07	1,030E+08	-7,211E+07	-7,211E+07	7,211E+07	3,164E+07	1,481E+11
7-SD2	bod 7- dolní vlákná stěny 2	1,301E+05	1,301E+05	1,301E+05	-1,081E+08	7,211E+07	-1,081E+08	-1,081E+08	7,211E+07	7,211E+07	3,442E+07	1,481E+11
8-SH2	bod 8- horní vlákná stěny 2	1,301E+05	1,301E+05	1,301E+05	-1,081E+08	-7,211E+07	-1,081E+08	-7,211E+07	-7,211E+07	7,211E+07	3,442E+07	1,481E+11
9-T	bod 9- těžiště plného průřezu	1,301E+05	1,301E+05	1,301E+05	-	-	-	-	-	6,162E+07	1,481E+11	30,0

TAB B	STABILITA PRUTU							TAB C	ROZHODUJÍCÍ LINEÁRNÍ KOMBINACE VNITŘNÍCH SIL						
	TLAK - VZPĚR		OHYB - INTERAKCE S TLAKEM+KLOPENÍ				SOUČ. MAX		POSUDEK	ŘÍDÍCÍ	Nx, My, Mz, Vz				
	K ₁	K ₂	K ₃ = $\pi^2 E I_x / L^2$	K ₄	K ₅	K ₆					Nx	My	Mz	Vz	K.č.
POSUDEK	K ₁	K ₂	K ₃	K ₄	K ₅	K ₆	POSUDEK	ŘÍDÍCÍ	Nx	My	Mz	Vz	K.č.		
NAPĚTÍ	[N]	[N]	[N]	[N]	[N]	[N]	NAPĚTÍ	VNITŘNÍ SILA	[kN]	[kNm]	[kNm]	[kN]	[-]		
A	1,000	1,000	1,000	1,000	1,000	1,000	A	Nx,max	6 205,3	-4 617,9	-33,5	888,7	25		
B	1,000	1,000	1,000	1,005	0,999	1,000	B	Nx,min	-1 347,7	-6 970,2	119,8	489,4	37		
C	1,000	1,000	1,000	1,000	1,000	1,000	C	My,max	2 549,8	2 508,2	-24,9	140,5	41		
D	1,000	1,000	1,000	1,002	1,000	1,000	D	My,min	-534,0	-17 729,3	79,8	-843,0	25		
E	1,000	1,000	1,000	1,003	1,000	1,000	E	Mz,max	-700,4	-13 343,3	229,5	-1 188,2	38		
F	1,000	1,000	1,000	1,000	1,000	1,000	F	Mz,min	545,3	-11 804,6	-205,9	1 394,2	37		
G	1,000	1,000	1,000	1,000	1,000	1,000	G	Vz,max	-74,3	-16 282,6	-37,5	1 969,1	26		
H	1,000	1,000	1,000	1,001	1,000	1,000	H	Vz,min	-322,8	-17 047,1	113,8	-1 850,2	26		
ZATÍŽITELNOST 	1,000	1,000	1,000	1,002	1,000	1,000									
ZATÍŽITELNOST 	1,000	1,000	1,000	1,002	1,000	1,000									

TAB D	PŘEHLED NAPĚTÍ V KRITICKÝCH BODECH PRŮŘEZU OD ROZHODUJÍCÍ LINEÁRNÍ KOMBINACE ZATÍŽENÍ																											
	POSUDEK A				POSUDEK B				POSUDEK C				POSUDEK D				POSUDEK E				POSUDEK F				POSUDEK G			
	PRO POSOUZENÍ NAPĚTÍ																											
	[MPa]	[MPa]	[MPa]	[MPa]	[MPa]	[MPa]	[MPa]	[MPa]	[MPa]	[MPa]	[MPa]	[MPa]	[MPa]	[MPa]	[MPa]	[MPa]	[MPa]	[MPa]	[MPa]	[MPa]	[MPa]	[MPa]	[MPa]	[MPa]	[MPa]	[MPa]	[MPa]	[MPa]
OZN.	POPIS	[MPa]	[MPa]	[MPa]	[MPa]	[MPa]	[MPa]	[MPa]	[MPa]	[MPa]	[MPa]	[MPa]	[MPa]	[MPa]	[MPa]	[MPa]	[MPa]	[MPa]	[MPa]	[MPa]	[MPa]	[MPa]	[MPa]	[MPa]	[MPa]	[MPa]	[MPa]	[MPa]
1-DL	bod 1- dolní vlákná průřezu, levý okraj	-6,9	0,0	6,9	-49,3	0,0	49,3	38,3	0,0	38,3	-160,7	0,0	160,7	-80,1	0,0	80,1	-166,0	0,0	166,0	-172,6	0,0	172,6	-143,7	0,0	143,7	-172,6	213,6	0,808
2-DP	bod 2- dolní vlákná průřezu, pravý okraj	10,1	0,0	10,1	-110,6	0,0	110,6	0,0	51,0	-201,4	0,0	201,4	-197,1	0,0	197,1	-61,3	0,0	61,3	-153,5	0,0	153,5	-201,6	0,0	201,6	-201,6	213,6	0,944	0,0
3-HL	bod 3- horní vlákná průřezu, levý okraj	84,2	0,0	84,2	84,4	0,0	84,4	-10,2	0,0	10,2	184,5	0,0	184,5	175,8	0,0	175,8	69,8	0,0	69,8	146,9	0,0	146,9	187,4	0,0	187,4	187,4	213,6	0,877
4-HP	bod 4- horní vlákná průřezu, pravý okraj	99,7	0,0	99,7	28,7	0,0	28,7	1,3	0,0	1,3	147,5	0,0	147,5	69,4	0,0	69,4	165,0	0,0	165,0	164,3	0,0	164,3	134,7	0,0	134,7	165,0	213,6	0,772
5-SD1	bod 5- dolní vlákná stěny 1	2,4	10,7	18,7	-76,4	5,9	77,1	43,6	1,7	43,7	-175,1	10,1	176,0	-131,7	14,3	134,0	-113,2	16,8	116,9	-159,1	23,7	164,3	-166,4	22,3	170,8	-175,1	213,6	0,820
6-SH1	bod 6- horní vlákná stěny 1	3,3	10,7	18,8	-79,7	5,9	80,4	44,3	1,7	44,4	-177,3	10,1	178,2	-138,1	14,3	140,3	-107,5	16,8	111,4	-158,1	23,7	163,3	-169,5	22,3	173,9	-177,3	213,6	0,830
7-SD2	bod 7- dolní vlákná stěny 2	89,9	10,7	91,8	55,8	5,9	56,7	-3,9	1,7	4,9	161,0	10,1	162,0	121,3	14,3	123,8	110,5	16,8	114,3	149,5	23,7	155,1	156,8	22,3	161,5	161,0	213,6	0,754
8-SH2	bod 8- horní vlákná stěny 2	90,9	10,7	92,7	52,5	5,9	53,5	-3,3	1,7	4,4	158,8	10,1	159,8	114,9	14,3	117,5	116,2	16,8	119,8	150,6	23,7	156,1	153,6	22,3	158,4	158,8	213,6	0,743
9-T	bod 9- těžiště plného průřezu	47,7	12,5	52,4	-10,4	6,9	15,8	19,6	2,0	19,9	-4,1	11,9	21,0	-5,4	16,8	29,5	4,2	19,7	34,3	-0,6	27,8	48,1	-2,5	26,1	45,3	47,7	213,6	0,223

TAB 11 B. ZATÍŽITELNOST - 1.MS - ÚNOSNOST

TAB E		1. ZATÍŽITELNOST - NORMÁLOVÉ NAPĚTÍ												2. ZATÍŽITELNOST - SMYKOVÉ NAPĚTÍ												3. ZATÍŽITELNOST - SROVNÁVACÍ NAPĚTÍ																																																																																																																																																																																																																																																																																																																																																																																																																																																																																																																																																																																																																																																																																																																																																																																																																																																																																																																																																																																																																																																																																																																																																																																																																																																																																				
		KZ č. 25												KZ č. 26												KZ č. 25																																																																																																																																																																																																																																																																																																																																																																																																																																																																																																																																																																																																																																																																																																																																																																																																																																																																																																																																																																																																																																																																																																																																																																																																																																																																																				
SKUPINA		N _x	M _y	M _z	V _z	N _x	M _y	M _z	V _z	σ _{Nx}	σ _{My}	σ _{Mz}	τ _{Vz}	ZATÍŽITELNOST												ZATÍŽITELNOST												ZATÍŽITELNOST																																																																																																																																																																																																																																																																																																																																																																																																																																																																																																																																																																																																																																																																																																																																																																																																																																																																																																																																																																																																																																																																																																																																																																																																																																																																								
ZATĚŽ. STAVŮ		[kN]	[kNm]	[kNm]	[-]	[kN]	[kNm]	[kNm]	[MPa]	[MPa]	[MPa]	[MPa]	[-]	ZATÍŽITELNOST												ZATÍŽITELNOST												ZATÍŽITELNOST																																																																																																																																																																																																																																																																																																																																																																																																																																																																																																																																																																																																																																																																																																																																																																																																																																																																																																																																																																																																																																																																																																																																																																																																																																																																								
		[kN]	[kNm]	[kNm]	[-]	[kN]	[kNm]	[kNm]	[MPa]	[MPa]	[MPa]	[MPa]	[-]	ZATÍŽITELNOST												ZATÍŽITELNOST												ZATÍŽITELNOST																																																																																																																																																																																																																																																																																																																																																																																																																																																																																																																																																																																																																																																																																																																																																																																																																																																																																																																																																																																																																																																																																																																																																																																																																																																																								
E ₁ =E ₂	G	-10,2	-4 086,7	-24,6	0,85	-8,7	-3 473,7	-20,9	-0,1	-34,7	5,3	-29,4	R _x	213,6	MPa	528,5	0,85	449,2	6,3	R _y	123,3	MPa	-10,2	-4 086,7	-24,6	498,0	0,85	-8,7	-3 473,7	-20,9	423,3	-0,1	-34,7	5,3	-29,4	0,0	29,4	R _z	213,6	MPa	-10,2	-4 086,7	-24,6	498,0	0,85	-8,7	-3 473,7	-20,9	423,3	-0,1	-34,7	5,3	-29,4	0,0	29,4	R _z	213,6	MPa	-10,2	-4 086,7	-24,6	498,0	0,85	-8,7	-3 473,7	-20,9	423,3	-0,1	-34,7	5,3	-29,4	0,0	29,4	R _z	213,6	MPa	-10,2	-4 086,7	-24,6	498,0	0,85	-8,7	-3 473,7	-20,9	423,3	-0,1	-34,7	5,3	-29,4	0,0	29,4	R _z	213,6	MPa	-10,2	-4 086,7	-24,6	498,0	0,85	-8,7	-3 473,7	-20,9	423,3	-0,1	-34,7	5,3	-29,4	0,0	29,4	R _z	213,6	MPa	-10,2	-4 086,7	-24,6	498,0	0,85	-8,7	-3 473,7	-20,9	423,3	-0,1	-34,7	5,3	-29,4	0,0	29,4	R _z	213,6	MPa	-10,2	-4 086,7	-24,6	498,0	0,85	-8,7	-3 473,7	-20,9	423,3	-0,1	-34,7	5,3	-29,4	0,0	29,4	R _z	213,6	MPa	-10,2	-4 086,7	-24,6	498,0	0,85	-8,7	-3 473,7	-20,9	423,3	-0,1	-34,7	5,3	-29,4	0,0	29,4	R _z	213,6	MPa	-10,2	-4 086,7	-24,6	498,0	0,85	-8,7	-3 473,7	-20,9	423,3	-0,1	-34,7	5,3	-29,4	0,0	29,4	R _z	213,6	MPa	-10,2	-4 086,7	-24,6	498,0	0,85	-8,7	-3 473,7	-20,9	423,3	-0,1	-34,7	5,3	-29,4	0,0	29,4	R _z	213,6	MPa	-10,2	-4 086,7	-24,6	498,0	0,85	-8,7	-3 473,7	-20,9	423,3	-0,1	-34,7	5,3	-29,4	0,0	29,4	R _z	213,6	MPa	-10,2	-4 086,7	-24,6	498,0	0,85	-8,7	-3 473,7	-20,9	423,3	-0,1	-34,7	5,3	-29,4	0,0	29,4	R _z	213,6	MPa	-10,2	-4 086,7	-24,6	498,0	0,85	-8,7	-3 473,7	-20,9	423,3	-0,1	-34,7	5,3	-29,4	0,0	29,4	R _z	213,6	MPa	-10,2	-4 086,7	-24,6	498,0	0,85	-8,7	-3 473,7	-20,9	423,3	-0,1	-34,7	5,3	-29,4	0,0	29,4	R _z	213,6	MPa	-10,2	-4 086,7	-24,6	498,0	0,85	-8,7	-3 473,7	-20,9	423,3	-0,1	-34,7	5,3	-29,4	0,0	29,4	R _z	213,6	MPa	-10,2	-4 086,7	-24,6	498,0	0,85	-8,7	-3 473,7	-20,9	423,3	-0,1	-34,7	5,3	-29,4	0,0	29,4	R _z	213,6	MPa	-10,2	-4 086,7	-24,6	498,0	0,85	-8,7	-3 473,7	-20,9	423,3	-0,1	-34,7	5,3	-29,4	0,0	29,4	R _z	213,6	MPa	-10,2	-4 086,7	-24,6	498,0	0,85	-8,7	-3 473,7	-20,9	423,3	-0,1	-34,7	5,3	-29,4	0,0	29,4	R _z	213,6	MPa	-10,2	-4 086,7	-24,6	498,0	0,85	-8,7	-3 473,7	-20,9	423,3	-0,1	-34,7	5,3	-29,4	0,0	29,4	R _z	213,6	MPa	-10,2	-4 086,7	-24,6	498,0	0,85	-8,7	-3 473,7	-20,9	423,3	-0,1	-34,7	5,3	-29,4	0,0	29,4	R _z	213,6	MPa	-10,2	-4 086,7	-24,6	498,0	0,85	-8,7	-3 473,7	-20,9	423,3	-0,1	-34,7	5,3	-29,4	0,0	29,4	R _z	213,6	MPa	-10,2	-4 086,7	-24,6	498,0	0,85	-8,7	-3 473,7	-20,9	423,3	-0,1	-34,7	5,3	-29,4	0,0	29,4	R _z	213,6	MPa	-10,2	-4 086,7	-24,6	498,0	0,85	-8,7	-3 473,7	-20,9	423,3	-0,1	-34,7	5,3	-29,4	0,0	29,4	R _z	213,6	MPa	-10,2	-4 086,7	-24,6	498,0	0,85	-8,7	-3 473,7	-20,9	423,3	-0,1	-34,7	5,3	-29,4	0,0	29,4	R _z	213,6	MPa	-10,2	-4 086,7	-24,6	498,0	0,85	-8,7	-3 473,7	-20,9	423,3	-0,1	-34,7	5,3	-29,4	0,0	29,4	R _z	213,6	MPa	-10,2	-4 086,7	-24,6	498,0	0,85	-8,7	-3 473,7	-20,9	423,3	-0,1	-34,7	5,3	-29,4	0,0	29,4	R _z	213,6	MPa	-10,2	-4 086,7	-24,6	498,0	0,85	-8,7	-3 473,7	-20,9	423,3	-0,1	-34,7	5,3	-29,4	0,0	29,4	R _z	213,6	MPa	-10,2	-4 086,7	-24,6	498,0	0,85	-8,7	-3 473,7	-20,9	423,3	-0,1	-34,7	5,3	-29,4	0,0	29,4	R _z	213,6	MPa	-10,2	-4 086,7	-24,6	498,0	0,85	-8,7	-3 473,7	-20,9	423,3	-0,1	-34,7	5,3	-29,4	0,0	29,4	R _z	213,6	MPa	-10,2	-4 086,7	-24,6	498,0	0,85	-8,7	-3 473,7	-20,9	423,3	-0,1	-34,7	5,3	-29,4	0,0	29,4	R _z	213,6	MPa	-10,2	-4 086,7	-24,6	498,0	0,85	-8,7	-3 473,7	-20,9	423,3	-0,1	-34,7	5,3	-29,4	0,0	29,4	R _z	213,6	MPa	-10,2	-4 086,7	-24,6	498,0	0,85	-8,7	-3 473,7	-20,9	423,3	-0,1	-34,7	5,3	-29,4	0,0	29,4	R _z	213,6	MPa	-10,2	-4 086,7	-24,6	498,0	0,85	-8,7	-3 473,7	-20,9	423,3	-0,1	-34,7	5,3	-29,4	0,0	29,4	R _z	213,6	MPa	-10,2	-4 086,7	-24,6	498,0	0,85	-8,7	-3 473,7	-20,9	423,3	-0,1	-34,7	5,3	-29,4	0,0	29,4	R _z	213,6	MPa	-10,2	-4 086,7	-24,6	498,0	0,85	-8,7	-3 473,7	-20,9	423,3	-0,1	-34,7	5,3	-29,4	0,0	29,4	R _z	213,6	MPa	-10,2	-4 086,7	-24,6	498,0	0,85	-8,7	-3 473,7	-20,9	423,3	-0,1	-34,7	5,3	-29,4	0,0	29,4	R _z	213,6	MPa	-10,2	-4 086,7	-24,6	498,0	0,85	-8,7	-3 473,7	-20,9	423,3	-0,1	-34,7	5,3	-29,4	0,0	29,4	R _z	213,6	MPa	-10,2	-4 086,7	-24,6	498,0	0,85	-8,7	-3 473,7	-20,9	423,3	-0,1	-34,7	5,3	-29,4	0,0	29,4	R _z	213,6	MPa	-10,2	-4 086,7	-24,6	498,0	0,85	-8,7	-3 473,7	-20,9	423,3	-0,1	-34,7	5,3	-29,4	0,0	29,4	R _z	213,6	MPa	-10,2	-4 086,7	-24,6	498,0	0,85	-8,7	-3 473,7	-20,9	423,3	-0,1	-34,7	5,3	-29,4	0,0	29,4	R _z	213,6	MPa	-10,2	-4 086,7	-24,6	498,0	0,85	-8,7	-3 473,7	-20,9	423,3	-0,1	-34,7	5,3	-29,4	0,0	29,4	R _z	213,6	MPa	-10,2	-4 086,7	-24,6	498,0	0,85	-8,7	-3 473,7	-20,9	423,3	-0,1	-34,7	5,3	-29,4	0,0	29,4	R _z	213,6	MPa	-10,2	-4 086,7	-24,6	498,0	0,85	-8,7	-3 473,7	-20,9	423,3	-0,1	-34,7	5,3	-29,4	0,0	29,4	R _z	213,6	MPa	-10,2	-4 086,7	-24,6	498,0	0,85	-8,7	-3 473,7	-20,9	423,3	-0,1	-34,7	5,3	-29,4	0,0	29,4	R _z	213,6	MPa	-10,2	-4 086,7	-24,6	498,0	0,85	-8,7	-3 473,7	-20,9	423,3	-0,1	-34,7	5,3	-29,4	0,0	29,4	R _z	213,6	MPa	-10,2	-4 086,7	-24,6	498,0	0,85	-8,7	-3 473,7	-20,9	423,3	-0,1	-34,7	5,3	-29,4	0,0	29,4	R _z	213,6	MPa	-10,2	-4 086,7	-24,6	498,0	0,85	-8,7	-3 473,7	-20,9	423,3	-0,1	-34,7	5,3	-29,4	0,0	29,4	R _z	213,6	MPa	-10,2	-4 086,7	-24,6	498,0	0,85	-8,7	-3 473,7	-20,9	423,3	-0,1	-34,7	5,3	-29,4	0,0	29,4	R _z	213,6	MPa	-10,2	-4 086,7	-24,6	498,0	0,85	-8,7	-3 473,7	-20,9	423,3	-0,1	-34,7	5,3	-29,4	0,0	29,4	R _z	213,6	MPa	-10,2	-4 086,7	-24,6	498,0	0,85	-8,7	-3 473,7	-20,9	423,3	-0,1	-34,7	5,3	-29,4	0,0	29,4	R _z	213,6	MPa	-10,2	-4 086,7	-24,6	498,0	0,85	-8,7	-3 473,7	-20,9	423,3	-0,1	-34,7	5,3	-29,4	0,0	29,4	R _z	213,6	MPa	-10,2	-4 086,7	-24,6	498,0	0,85	-8,7	-3 473,7	-20,9	423,3	-0,1	-34,7	5,3	-29,4	0,0	29,4	R _z	213,6	MPa	-10,2	-4 086,7	-24,6	498,0	0,85	-8,7	-3 473,7	-20,9	423,3	-0,1	-34,7	5,3	-29,4	0,0	29,4	R _z	213,6	MPa	-10,2	-4 086,7	-24,6	498,0	0,85	-8,7	-3 473,7	-20,9	423,3	-0,1	-34,7	5,3	-29,4	0,0	29,4	R _z	213,6	MPa	-10,2	-4 086,7	-24,6	498,0	0,85	-8,7	-3 473,7	-20,9	423,3	-0,1	-34,7	5,3	-29,4	0,0	29,4	R _z	213,6	MPa	-10,2	-4 086,7	-24,6	498,0	0,85	-8,7	-3 473,7	-20,9	423,3	-0,1	-34,7	5,3	-29,4	0,0	29,4	R _z	213,6	MPa	-10,2	-4 086,7	-24,6	498,0	0,85	-8,7	-3 473,7	-20,9	423,3	-0,1	-34,7	5,3	-29,4	0,0	29,4	R _z	213,6	MPa	-10,2	-4 086,7	-24,6	498,0	0,85	-8,7	-3 473,7	-20,9	423,3	-0,1	-34,7	5,3	-29,4	0,0	29,4	R _z	213,6	MPa	-10,2	-4 086,7	-24,6	498,0	0,85	-8,7	-3 473,7	-20,9	423,3	-0,1	-34,7	5,3	-29,4	0,0	29,4	R _z	213,6	MPa	-10,2	-4 086,7	-24,6	498,0	0,85	-8,7	-3 473,7	-20,9	423,3	-0,1	-34,7	5,3	-29,4	0,0	29,4	R _z	213,6	MPa	-10,2	-4 086,7	-24,6	498,0	0,85	-8,7	-3 473,7	-20,9	423,3	-0,1	-34,7	5,3	-29,4	0,0	29,4	R _z	213,6	MPa	-10,2	-4 086,7	-24,6	498,0	0,85	-8,7	-3 473,7	-20,9	423,3	-0,1	-34,7	5,3	-29,4	0,0	29,4	R _z	213,6	MPa	-10,2	-4 086,7	-24,6	498,0	0,85	-8,7	-3 473,7	-20,9	423,3	-0,1	-34,7	5,3	-29,4	0,0	29,4	R _z	213,6	MPa	-10,2	-4 086,7	-24,6	498,0	0,85	-8,7	-3 473,7	-20,9	423,3	-0,1	-34,7	5,3	-29,4	0,0	29,4	R _z	213,6	MPa	-10,2	-4 086,7	-24,6	498,0	0,85	-8,7	-3 473,7	-20,9	423,3	-0,1	-34,7	5,3	-29,4	0,0	29,4	R _z	213,6	MPa	-10,2	-4 086,7	-24,6	498,0	0,85	-8,7	-3 473,7	-20,9	423,3	-0,1	-34,7	5,3	-29,4	0,0	29,4	R _z	213,6	MPa	-10,2	-4 086,7	-24,6	498,0	0,85	-8,7	-3 473,7	-20,9	423,3	-0,1	-34,7	5,3	-29,4	0,0	29,4	R _z	213,6	MPa	-10,2	-4 086,7	-24,6	498,0	0,85	-8,7	-3 473,7	-20,9	423,3	-0,1	-34,7	5,3	-29,4	0,0	29,4	R _z	213,6	MPa	-10,2	-4 086,7	-24,6	498,0	0,85	-8,7	-3 473,7	-20,9	423,3	-0,1	-34,7	5,3	-29,4	0,0	29,4	R

TAB 10 4 A. POSOUZENÍ - 1.MS - ÚNOSNOST

POSUDEK: 4 PRŮŘEZ: HN_03B PRUT X[m] OZNAČENÍ: HN_03B POPIS: HLAVNÍ NOSNÍK 3B i j

SOUČINITEL KOROZE k = 1,00

POUŽITÁ OBLIČNÁ METODA POSUDKU KOMBINACE TLAKU A OHYBU ČSN EN 1993-1-1 6.3.4

Konzervativně uvažován C_{int}=C_{int,L}=1.0

Pokud se jedná o tah jsou příslušné hodnoty součinitelů rovny 1.0

TAB A	PRŮŘEZOVÉ CHARAKTERISTIKY KRITICKÉHO PRŮŘEZU												
	TAH, TLAK N _x			OHYB M _y , M _z							SMYK V _z		
	PRO POSOUZENÍ NAPĚTÍ												
	A _o	A _{o,at,Nx}	A _{o,at,Mx}	W _y	W _z	W _{y,at,Mx}	W _{y,at,Mz}	W _{z,at,Mx}	W _{z,at,Mz}	S _y	I _y	I _z	I _{yz}
OZN.	POPIS	[mm ²]	[mm ²]	[mm ³]	[mm ³]	[mm ³]	[mm ³]	[mm ³]	[mm ³]	[mm ³]	[mm ⁴]	[mm ⁴]	[mm ⁴]
1-DL	bod 1- dolní vlákná průřezu, levý okraj	1,024E+05	1,024E+05	1,024E+05	8,749E+07	3,917E+08	8,749E+07	8,749E+07	3,917E+08	-	-	-	-
2-DP	bod 2- dolní vlákná průřezu, pravý okraj	1,024E+05	1,024E+05	1,024E+05	8,749E+07	3,917E+08	8,749E+07	8,749E+07	3,917E+08	-	-	-	-
3-HL	bod 3- horní vlákná průřezu, levý okraj	1,024E+05	1,024E+05	1,024E+05	8,219E+07	4,309E+08	8,219E+07	8,219E+07	4,309E+08	-	-	-	-
4-HP	bod 4- horní vlákná průřezu, pravý okraj	1,024E+05	1,024E+05	1,024E+05	8,219E+07	4,309E+08	8,219E+07	8,219E+07	4,309E+08	-	-	-	-
5-SD1	bod 5- dolní vlákná stěny 1	1,024E+05	1,024E+05	1,024E+05	8,994E+07	1,077E+08	8,994E+07	8,994E+07	1,077E+08	1,077E+08	3,194E+11	1,284E+11	20,0
6-SH1	bod 6- horní vlákná stěny 1	1,024E+05	1,024E+05	1,024E+05	8,994E+07	1,077E+08	8,994E+07	8,994E+07	1,077E+08	1,077E+08	3,194E+11	1,284E+11	20,0
7-SD2	bod 7- dolní vlákná stěny 2	1,024E+05	1,024E+05	1,024E+05	8,962E+07	1,077E+08	8,962E+07	8,962E+07	1,077E+08	1,077E+08	3,194E+11	1,284E+11	20,0
8-SH2	bod 8- horní vlákná stěny 2	1,024E+05	1,024E+05	1,024E+05	8,962E+07	1,077E+08	8,962E+07	8,962E+07	1,077E+08	1,077E+08	3,194E+11	1,284E+11	20,0
9-T	bod 9- těžiště plného průřezu	1,024E+05	1,024E+05	1,024E+05	-	-	-	-	-	5,222E+07	1,284E+11	20,0	20,0

TAB B	STABILITA PRUTU								TAB C						ROZHODUJÍCÍ LINEÁRNÍ KOMBINACE VNITŘNÍCH SIL				
	TLAK - VZPĚR				OHYB - INTERAKCE S TLAKEM+KLOPENÍ				ROUČ. MAT.						Nx, My, Mx, Vz				
	POSUDEK				POSUDEK				POSUDEK		ŘÍDÍCÍ								
	NAPĚTÍ	[N]	[N]	[N]	k _{ED}	k _{ED} =k _{ED}	k _{ED}	k _{ED}	[N]	[N]	NAPĚTÍ	VNITŘNÍ SÍLA	[N]	[N]	Nx	My	Mz	Vz	K.č.
A	1,000	1,000	1,000	1,000	1,000	1,000	1,000	1,000	1,000	1,000	A	Nx,max	6 114,4	-1 983,9	-36,3	685,7	25	-	
B	1,000	1,000	1,001	1,006	0,999	1,000	1,000	1,000	1,000	1,000	B	Nx,min	-1 347,7	-6 702,0	96,6	481,8	37		
C	1,000	1,000	1,000	1,000	1,000	1,000	1,000	1,000	1,000	1,000	C	My,max	2 203,7	4 090,5	-26,5	413,9	41		
D	1,000	1,000	1,000	1,002	1,000	1,000	1,000	1,000	1,000	1,000	D	My,min	-535,1	-16 716,7	62,3	-845,7	25		
E	1,000	1,000	1,000	1,003	1,000	1,000	1,000	1,000	1,000	1,000	E	Mz,max	-760,7	-12 960,2	178,1	-1 285,2	38		
F	1,000	1,000	1,000	1,000	1,000	1,000	1,000	1,000	1,000	1,000	F	Mz,min	464,1	-11 584,8	-166,5	1 483,3	37		
G	1,000	1,000	1,000	1,001	1,000	1,000	1,000	1,000	1,000	1,000	G	Vz,max	-118,4	-15 469,1	-22,9	1 963,9	26		
H	1,000	1,000	1,000	1,001	1,000	1,000	1,000	1,000	1,000	1,000	H	Vz,min	-323,1	-16 177,6	90,1	-1 842,4	26		
ZATÍŽITELNOST	1,000	1,000	1,000	1,002	1,000	1,000	1,000	1,000	1,000	1,000									
ZATÍŽITELNOST	1,000	1,000	1,000	1,002	1,000	1,000	1,000	1,000	1,000	1,000									

TAB D		PŘEHLED NAPĚTÍ V KRITICKÝCH BODECH PRŮŘEZU OD ROZHODUJÍCÍ LINEÁRNÍ KOMBINACE ZATÍŽENÍ																																																																																																																																																																																																																																																																																																																																																																																																																																																																																																																																																																																																																																																																																																																																																																																
KRITICKÉ BODY PRŮŘEZU PRO POSOUZENÍ NAPĚTÍ		POSUDEK A		POSUDEK B		POSUDEK C		POSUDEK D		POSUDEK E		POSUDEK F		POSUDEK G		POSUDEK H		MAXIMÁLNÍ HODNOTY NAPĚTÍ V KRITICKÝCH BODECH PRŮŘEZU																																																																																																																																																																																																																																																																																																																																																																																																																																																																																																																																																																																																																																																																																																																																																																
		σ_{\perp}	σ_{\parallel}	σ_{\perp}	σ_{\parallel}	σ_{\perp}	σ_{\parallel}	σ_{\perp}	σ_{\parallel}	σ_{\perp}	σ_{\parallel}	σ_{\perp}	σ_{\parallel}	σ_{\perp}	σ_{\parallel}	σ_{\perp}	σ_{\parallel}	σ_{\perp}	σ_{\parallel}	σ_{\perp}	σ_{\parallel}	σ_{\perp}	σ_{\parallel}	σ_{\perp}	σ_{\parallel}	σ_{\perp}	σ_{\parallel}	σ_{\perp}	σ_{\parallel}	σ_{\perp}	σ_{\parallel}	ROZHODUJÍ																																																																																																																																																																																																																																																																																																																																																																																																																																																																																																																																																																																																																																																																																																																																																		
OZN.	POPIS	[MPa]	[MPa]	[MPa]	[MPa]	[MPa]	[MPa]	[MPa]	[MPa]	[MPa]	[MPa]	[MPa]	[MPa]	[MPa]	[MPa]	[MPa]	[MPa]	[MPa]	[MPa]	[MPa]	[MPa]	[MPa]	[MPa]	[MPa]	[MPa]	[MPa]	[MPa]	[MPa]	[MPa]	[MPa]	[MPa]	[MPa]	[MPa]	[MPa]	[MPa]	[MPa]	[MPa]	[MPa]	[MPa]	[MPa]	[MPa]	[MPa]	[MPa]	[MPa]	[MPa]	[MPa]	[MPa]	[MPa]	[MPa]	[MPa]	[MPa]	[MPa]	[MPa]	[MPa]	[MPa]	[MPa]	[MPa]	[MPa]	[MPa]	[MPa]	[MPa]	[MPa]	[MPa]	[MPa]	[MPa]	[MPa]	[MPa]	[MPa]	[MPa]	[MPa]	[MPa]	[MPa]	[MPa]	[MPa]	[MPa]	[MPa]	[MPa]	[MPa]	[MPa]	[MPa]	[MPa]	[MPa]	[MPa]	[MPa]	[MPa]	[MPa]	[MPa]	[MPa]	[MPa]	[MPa]	[MPa]	[MPa]	[MPa]	[MPa]	[MPa]	[MPa]	[MPa]	[MPa]	[MPa]	[MPa]	[MPa]	[MPa]	[MPa]	[MPa]	[MPa]	[MPa]	[MPa]	[MPa]	[MPa]	[MPa]	[MPa]	[MPa]	[MPa]	[MPa]	[MPa]	[MPa]	[MPa]	[MPa]	[MPa]	[MPa]	[MPa]	[MPa]	[MPa]	[MPa]	[MPa]	[MPa]	[MPa]	[MPa]	[MPa]	[MPa]	[MPa]	[MPa]	[MPa]	[MPa]	[MPa]	[MPa]	[MPa]	[MPa]	[MPa]	[MPa]	[MPa]	[MPa]	[MPa]	[MPa]	[MPa]	[MPa]	[MPa]	[MPa]	[MPa]	[MPa]	[MPa]	[MPa]	[MPa]	[MPa]	[MPa]	[MPa]	[MPa]	[MPa]	[MPa]	[MPa]	[MPa]	[MPa]	[MPa]	[MPa]	[MPa]	[MPa]	[MPa]	[MPa]	[MPa]	[MPa]	[MPa]	[MPa]	[MPa]	[MPa]	[MPa]	[MPa]	[MPa]	[MPa]	[MPa]	[MPa]	[MPa]	[MPa]	[MPa]	[MPa]	[MPa]	[MPa]	[MPa]	[MPa]	[MPa]	[MPa]	[MPa]	[MPa]	[MPa]	[MPa]	[MPa]	[MPa]	[MPa]	[MPa]	[MPa]	[MPa]	[MPa]	[MPa]	[MPa]	[MPa]	[MPa]	[MPa]	[MPa]	[MPa]	[MPa]	[MPa]	[MPa]	[MPa]	[MPa]	[MPa]	[MPa]	[MPa]	[MPa]	[MPa]	[MPa]	[MPa]	[MPa]	[MPa]	[MPa]	[MPa]	[MPa]	[MPa]	[MPa]	[MPa]	[MPa]	[MPa]	[MPa]	[MPa]	[MPa]	[MPa]	[MPa]	[MPa]	[MPa]	[MPa]	[MPa]	[MPa]	[MPa]	[MPa]	[MPa]	[MPa]	[MPa]	[MPa]	[MPa]	[MPa]	[MPa]	[MPa]	[MPa]	[MPa]	[MPa]	[MPa]	[MPa]	[MPa]	[MPa]	[MPa]	[MPa]	[MPa]	[MPa]	[MPa]	[MPa]	[MPa]	[MPa]	[MPa]	[MPa]	[MPa]	[MPa]	[MPa]	[MPa]	[MPa]	[MPa]	[MPa]	[MPa]	[MPa]	[MPa]	[MPa]	[MPa]	[MPa]	[MPa]	[MPa]	[MPa]	[MPa]	[MPa]	[MPa]	[MPa]	[MPa]	[MPa]	[MPa]	[MPa]	[MPa]	[MPa]	[MPa]	[MPa]	[MPa]	[MPa]	[MPa]	[MPa]	[MPa]	[MPa]	[MPa]	[MPa]	[MPa]	[MPa]	[MPa]	[MPa]	[MPa]	[MPa]	[MPa]	[MPa]	[MPa]	[MPa]	[MPa]	[MPa]	[MPa]	[MPa]	[MPa]	[MPa]	[MPa]	[MPa]	[MPa]	[MPa]	[MPa]	[MPa]	[MPa]	[MPa]	[MPa]	[MPa]	[MPa]	[MPa]	[MPa]	[MPa]	[MPa]	[MPa]	[MPa]	[MPa]	[MPa]	[MPa]	[MPa]	[MPa]	[MPa]	[MPa]	[MPa]	[MPa]	[MPa]	[MPa]	[MPa]	[MPa]	[MPa]	[MPa]	[MPa]	[MPa]	[MPa]	[MPa]	[MPa]	[MPa]	[MPa]	[MPa]	[MPa]	[MPa]	[MPa]	[MPa]	[MPa]	[MPa]	[MPa]	[MPa]	[MPa]	[MPa]	[MPa]	[MPa]	[MPa]	[MPa]	[MPa]	[MPa]	[MPa]	[MPa]	[MPa]	[MPa]	[MPa]	[MPa]	[MPa]	[MPa]	[MPa]	[MPa]	[MPa]	[MPa]	[MPa]	[MPa]	[MPa]	[MPa]	[MPa]	[MPa]	[MPa]	[MPa]	[MPa]	[MPa]	[MPa]	[MPa]	[MPa]	[MPa]	[MPa]	[MPa]	[MPa]	[MPa]	[MPa]	[MPa]	[MPa]	[MPa]	[MPa]	[MPa]	[MPa]	[MPa]	[MPa]	[MPa]	[MPa]	[MPa]	[MPa]	[MPa]	[MPa]	[MPa]	[MPa]	[MPa]	[MPa]	[MPa]	[MPa]	[MPa]	[MPa]	[MPa]	[MPa]	[MPa]	[MPa]	[MPa]	[MPa]	[MPa]	[MPa]	[MPa]	[MPa]	[MPa]	[MPa]	[MPa]	[MPa]	[MPa]	[MPa]	[MPa]	[MPa]	[MPa]	[MPa]	[MPa]	[MPa]	[MPa]	[MPa]	[MPa]	[MPa]	[MPa]	[MPa]	[MPa]	[MPa]	[MPa]	[MPa]	[MPa]	[MPa]	[MPa]	[MPa]	[MPa]	[MPa]	[MPa]	[MPa]	[MPa]	[MPa]	[MPa]	[MPa]	[MPa]	[MPa]	[MPa]	[MPa]	[MPa]	[MPa]	[MPa]	[MPa]	[MPa]	[MPa]	[MPa]	[MPa]	[MPa]	[MPa]	[MPa]	[MPa]	[MPa]	[MPa]	[MPa]	[MPa]	[MPa]	[MPa]	[MPa]	[MPa]	[MPa]	[MPa]	[MPa]	[MPa]	[MPa]	[MPa]	[MPa]	[MPa]	[MPa]	[MPa]	[MPa]	[MPa]	[MPa]	[MPa]	[MPa]	[MPa]	[MPa]	[MPa]	[MPa]	[MPa]	[MPa]	[MPa]	[MPa]	[MPa]	[MPa]	[MPa]	[MPa]	[MPa]	[MPa]	[MPa]	[MPa]	[MPa]	[MPa]	[MPa]	[MPa]	[MPa]	[MPa]	[MPa]	[MPa]	[MPa]	[MPa]	[MPa]	[MPa]	[MPa]	[MPa]	[MPa]	[MPa]	[MPa]	[MPa]	[MPa]	[MPa]	[MPa]	[MPa]	[MPa]	[MPa]	[MPa]	[MPa]	[MPa]	[MPa]	[MPa]	[MPa]	[MPa]	[MPa]	[MPa]	[MPa]	[MPa]	[MPa]	[MPa]	[MPa]	[MPa]	[MPa]	[MPa]	[MPa]	[MPa]	[MPa]	[MPa]	[MPa]	[MPa]	[MPa]	[MPa]	[MPa]	[MPa]	[MPa]	[MPa]	[MPa]	[MPa]	[MPa]	[MPa]	[MPa]	[MPa]	[MPa]	[MPa]	[MPa]	[MPa]	[MPa]	[MPa]	[MPa]	[MPa]	[MPa]	[MPa]	[MPa]	[MPa]	[MPa]	[MPa]	[MPa]	[MPa]	[MPa]	[MPa]	[MPa]	[MPa]	[MPa]	[MPa]	[MPa]	[MPa]	[MPa]	[MPa]	[MPa]	[MPa]	[MPa]	[MPa]	[MPa]	[MPa]	[MPa]	[MPa]	[MPa]	[MPa]	[MPa]	[MPa]	[MPa]	[MPa]	[MPa]	[MPa]	[MPa]	[MPa]	[MPa]	[MPa]	[MPa]	[MPa]	[MPa]	[MPa]	[MPa]	[MPa]	[MPa]	[MPa]	[MPa]	[MPa]	[MPa]	[MPa]	[MPa]	[MPa]	[MPa]	[MPa]	[MPa]	[MPa]	[MPa]	[MPa]	[MPa]	[MPa]	[MPa]	[MPa]	[MPa]	[MPa]	[MPa]	[MPa]	[MPa]	[MPa]	[MPa]	[MPa]	[MPa]	[MPa]	[MPa]	[MPa]	[MPa]	[MPa]	[MPa]	[MPa]	[MPa]	[MPa]	[MPa]	[MPa]	[MPa]	[MPa]	[MPa]	[MPa]	[MPa]	[MPa]	[MPa]	[MPa]	[MPa]	[MPa]	[MPa]	[MPa]	[MPa]	[MPa]	[MPa]	[MPa]	[MPa]	[MPa]	[MPa]	[MPa]	[MPa]	[MPa]	[MPa]	[MPa]	[MPa]	[MPa]	[MPa]	[MPa]	[MPa]	[MPa]	[MPa]	[MPa]	[MPa]	[MPa]	[MPa]	[MPa]	[MPa]	[MPa]	[MPa]	[MPa]	[MPa]	[MPa]	[MPa]	[MPa]	[MPa]	[MPa]	[MPa]	[MPa]	[MPa]	[MPa]	[MPa]	[MPa]	[MPa]	[MPa]	[MPa]	[MPa]	[MPa]	[MPa]	[MPa]	[MPa]	[MPa]	[MPa]	[MPa]	[MPa]	[MPa]	[MPa]	[MPa]	[MPa]	[MPa]	[MPa]	[MPa]	[MPa]	[MPa]	[MPa]	[MPa]	[MPa]	[MPa]	[MPa]

TAB 11 4 B. ZATÍŽITELNOST - 1.MS - ÚNOSNOST

TAB. E		1. ZATÍŽITELNOST - NORMÁLOVÉ NAPĚTÍ												2. ZATÍŽITELNOST - SMYKOVÉ NAPĚTÍ												3. ZATÍŽITELNOST - SROVNÁVACÍ NAPĚTÍ																																																																																																																																																																																																																																																																																																																																																																																																																																																																																																																																																																																																																																																																																																																																																																																																																																																																																	
		KZ č. 25												KZ č. 26												KZ č. 25																																																																																																																																																																																																																																																																																																																																																																																																																																																																																																																																																																																																																																																																																																																																																																																																																																																																																	
SKUPINA		Nx	My	Mz	Vz	Vz	Nx	My	Mz	σ _{xx}	σ _{yy}	σ _{zz}	τ _{xy}	τ _{yz}	τ _{xz}	ZATÍŽITELNOST																																																																																																																																																																																																																																																																																																																																																																																																																																																																																																																																																																																																																																																																																																																																																																																																																																																																																											
ZATĚŽ. STAVŮ		[kN]	[kNm]	[kNm]	[-]	[-]	[kN]	[kNm]	[kNm]	[MPa]	[MPa]	[MPa]	[MPa]	[MPa]	[MPa]	[-]	ZATÍŽITELNOST																																																																																																																																																																																																																																																																																																																																																																																																																																																																																																																																																																																																																																																																																																																																																																																																																																																																																										
		[kN]	[kNm]	[kNm]	[-]	[-]	[kN]	[kNm]	[kNm]	[MPa]	[MPa]	[MPa]	[MPa]	[MPa]	[MPa]	[-]	ZATÍŽITELNOST																																																																																																																																																																																																																																																																																																																																																																																																																																																																																																																																																																																																																																																																																																																																																																																																																																																																																										
E ₁ =E ₂ =E ₃	G	-10,2	-3 839,3	-18,7	0,85	-8,7	-3 263,4	-15,9	-0,1	-37,3	4,1	-33,3	R _o =	213,6 MPa	520,2	0,85	442,2	9,0	R _o =	123,3 MPa	-10,2	-3 839,3	-18,7	489,7	0,85	-8,7	-3 263,4	-15,9	416,3	-0,1	-37,3	4,1	-33,3	0,0	33,3	R _o =	213,6 MPa																																																																																																																																																																																																																																																																																																																																																																																																																																																																																																																																																																																																																																																																																																																																																																																																																																																																						
	CH	0,0	0,0	0,0	0,0	0,0	0,0	0,0	0,0	0,0	0,0	0,0	0,0	0,0	0,0	0,0	0,0	0,0	0,0	0,0	0,0	0,0	0,0	0,0	0,0	0,0	0,0	0,0	0,0	0,0	0,0	0,0	0,0	0,0	0,0	0,0	0,0	0,0	0,0	0,0	0,0	0,0	0,0	0,0	0,0	0,0	0,0	0,0	0,0	0,0	0,0	0,0	0,0	0,0	0,0	0,0	0,0	0,0	0,0	0,0	0,0	0,0	0,0	0,0	0,0	0,0	0,0	0,0	0,0	0,0	0,0	0,0	0,0	0,0	0,0	0,0	0,0	0,0	0,0	0,0	0,0	0,0	0,0	0,0	0,0	0,0	0,0	0,0	0,0	0,0	0,0	0,0	0,0	0,0	0,0	0,0	0,0	0,0	0,0	0,0	0,0	0,0	0,0	0,0	0,0	0,0	0,0	0,0	0,0	0,0	0,0	0,0	0,0	0,0	0,0	0,0	0,0	0,0	0,0	0,0	0,0	0,0	0,0	0,0	0,0	0,0	0,0	0,0	0,0	0,0	0,0	0,0	0,0	0,0	0,0	0,0	0,0	0,0	0,0	0,0	0,0	0,0	0,0	0,0	0,0	0,0	0,0	0,0	0,0	0,0	0,0	0,0	0,0	0,0	0,0	0,0	0,0	0,0	0,0	0,0	0,0	0,0	0,0	0,0	0,0	0,0	0,0	0,0	0,0	0,0	0,0	0,0	0,0	0,0	0,0	0,0	0,0	0,0	0,0	0,0	0,0	0,0	0,0	0,0	0,0	0,0	0,0	0,0	0,0	0,0	0,0	0,0	0,0	0,0	0,0	0,0	0,0	0,0	0,0	0,0	0,0	0,0	0,0	0,0	0,0	0,0	0,0	0,0	0,0	0,0	0,0	0,0	0,0	0,0	0,0	0,0	0,0	0,0	0,0	0,0	0,0	0,0	0,0	0,0	0,0	0,0	0,0	0,0	0,0	0,0	0,0	0,0	0,0	0,0	0,0	0,0	0,0	0,0	0,0	0,0	0,0	0,0	0,0	0,0	0,0	0,0	0,0	0,0	0,0	0,0	0,0	0,0	0,0	0,0	0,0	0,0	0,0	0,0	0,0	0,0	0,0	0,0	0,0	0,0	0,0	0,0	0,0	0,0	0,0	0,0	0,0	0,0	0,0	0,0	0,0	0,0	0,0	0,0	0,0	0,0	0,0	0,0	0,0	0,0	0,0	0,0	0,0	0,0	0,0	0,0	0,0	0,0	0,0	0,0	0,0	0,0	0,0	0,0	0,0	0,0	0,0	0,0	0,0	0,0	0,0	0,0	0,0	0,0	0,0	0,0	0,0	0,0	0,0	0,0	0,0	0,0	0,0	0,0	0,0	0,0	0,0	0,0	0,0	0,0	0,0	0,0	0,0	0,0	0,0	0,0	0,0	0,0	0,0	0,0	0,0	0,0	0,0	0,0	0,0	0,0	0,0	0,0	0,0	0,0	0,0	0,0	0,0	0,0	0,0	0,0	0,0	0,0	0,0	0,0	0,0	0,0	0,0	0,0	0,0	0,0	0,0	0,0	0,0	0,0	0,0	0,0	0,0	0,0	0,0	0,0	0,0	0,0	0,0	0,0	0,0	0,0	0,0	0,0	0,0	0,0	0,0	0,0	0,0	0,0	0,0	0,0	0,0	0,0	0,0	0,0	0,0	0,0	0,0	0,0	0,0	0,0	0,0	0,0	0,0	0,0	0,0	0,0	0,0	0,0	0,0	0,0	0,0	0,0	0,0	0,0	0,0	0,0	0,0	0,0	0,0	0,0	0,0	0,0	0,0	0,0	0,0	0,0	0,0	0,0	0,0	0,0	0,0	0,0	0,0	0,0	0,0	0,0	0,0	0,0	0,0	0,0	0,0	0,0	0,0	0,0	0,0	0,0	0,0	0,0	0,0	0,0	0,0	0,0	0,0	0,0	0,0	0,0	0,0	0,0	0,0	0,0	0,0	0,0	0,0	0,0	0,0	0,0	0,0	0,0	0,0	0,0	0,0	0,0	0,0	0,0	0,0	0,0	0,0	0,0	0,0	0,0	0,0	0,0	0,0	0,0	0,0	0,0	0,0	0,0	0,0	0,0	0,0	0,0	0,0	0,0	0,0	0,0	0,0	0,0	0,0	0,0	0,0	0,0	0,0	0,0	0,0	0,0	0,0	0,0	0,0	0,0	0,0	0,0	0,0	0,0	0,0	0,0	0,0	0,0	0,0	0,0	0,0	0,0	0,0	0,0	0,0	0,0	0,0	0,0	0,0	0,0	0,0	0,0	0,0	0,0	0,0	0,0	0,0	0,0	0,0	0,0	0,0	0,0	0,0	0,0	0,0	0,0	0,0	0,0	0,0	0,0	0,0	0,0	0,0	0,0	0,0	0,0	0,0	0,0	0,0	0,0	0,0	0,0	0,0	0,0	0,0	0,0	0,0	0,0	0,0	0,0	0,0	0,0	0,0	0,0	0,0	0,0	0,0	0,0	0,0	0,0	0,0	0,0	0,0	0,0	0,0	0,0	0,0	0,0	0,0	0,0	0,0	0,0	0,0	0,0	0,0	0,0	0,0	0,0	0,0	0,0	0,0	0,0	0,0	0,0	0,0	0,0	0,0	0,0	0,0	0,0	0,0	0,0	0,0	0,0	0,0	0,0	0,0	0,0	0,0	0,0	0,0	0,0	0,0	0,0	0,0	0,0	0,0	0,0	0,0	0,0	0,0	0,0	0,0	0,0	0,0	0,0	0,0	0,0	0,0	0,0	0,0	0,0	0,0	0,0	0,0	0,0	0,0	0,0	0,0	0,0	0,0	0,0	0,0	0,0	0,0	0,0	0,0	0,0	0,0	0,0	0,0	0,0	0,0	0,0	0,0	0,0	0,0	0,0	0,0	0,0	0,0	0,0	0,0	0,0	0,0	0,0	0,0	0,0	0,0	0,0	0,0	0,0	0,0	0,0	0,0	0,0	0,0	0,0	0,0	0,0	0,0	0,0	0,0	0,0	0,0	0,0	0,0	0,0	0,0	0,0	0,0	0,0	0,0	0,0	0,0	0,0	0,0	0,0	0,0	0,0	0,0	0,0	0,0	0,0	0,0	0,0	0,0	0,0	0,0	0,0	0,0	0,0	0,0	0,0	0,0	0,0	0,0	0,0	0,0	0,0	0,0	0,0	0,0	0,0	0,0	0,0	0,0	0,0	0,0	0,0	0,0	0,0	0,0	0,0	0,0	0,0	0,0	0,0	0,0	0,0	0,0	0,0	0,0	0,0	0,0	0,0	0,0	0,0	0,0	0,0	0,0	0,0	0,0	0,0	0,0	0,0	0,0	0,0	0,0	0,0	0,0	0,0	0,0	0,0	0,0	0,0	0,0	0,0	0,0	0,0	0,0	0,0	0,0	0,0	0,0	0,0	0,0	0,0	0,0	0,0	0,0	0,0	0,0	0,0	0,0	0,0	0,0	0,0	0,0	0,0	0,0	0,0	0,0	0,0	0,0	0,0	0,0	0,0	0,0	0,0	0,0	0,0	0,0	0,0	0,0	0,0	0,0	0,0	0,0	0,0	0,0	0,0	0,0	0,0	0,0	0,0	0,0	0,0	0,0	0,0	0,0	0,0	0,0	0,0	0,0	0,0	0,0	0,0	0,0	0,0	0,0	0,0	0,0	0,0	0,0	0,0	0,0	0,0	0,0	0,0	0,0	0,0	0,0	0,0	0,0	0,0	0,0	0,0	0,0	0,0	0,0	0,0	0,0	0,0	0,0	0,0	0,0	0,0	0,0	0,0	0,0	0,0	0,0	0,0	0,0	0,0	0,0	0,0	0,0

Pokud se jedná o tah jsou příslušné hodnoty součinitelů rovny 1.0

TAB G	B. ZATÍŽITELNOST - 1.MS - ÚNOSNOST			
DRUH NAPĚTÍ	1. NORMÁLOVÉ σ_n	2. SMYKOVÉ τ	3. SROVNÁVACÍ σ_n	4. MINIMUM 1-3
ZATÍŽITELNOST Z_p	1,32	4,71	1,32	1,32
POSUDEK NAPĚTÍ	D	D	D	D
ŘÍDÍCÍ VNITŘNÍ SÍLA	My,min	Vz,min	My,min	My,min
KRITICKÝ BOD PRŮŘEZU	4-HP	9-T	4-HP	4-HP
LINEÁRNÍ KOMBINACE	26	26	26	26

Pokud se jedná o tah jsou příslušné hodnoty součinitelů rovny 1.0

TAB B		STABILITA PRUTU							TAB C		ROZHODUJÍCÍ LINEÁRNÍ KOMBINACE VNITŘNÍCH SIL				
TLAK - VZPER		OHYB - INTERAKCE S TLAKEM+KLOPENÍ						SOUD. MAT.		Nx, My, Mx, Vz					
POSUDEK			k_{yy}	k_{yy}/k_{zz}	k_{yz}			POSUDEK	Řídící						
NAPĚTÍ			[H]	[H]	[H]	[H]	[H]	NAPĚTÍ	VNITŘNÍ SILA	Nx	My	Mz	Vz	K	
			[kN]	[kN]	[kN]	[kN]	[kN]			[kN]	[kNm]	[kNm]	[kN]	[kN]	
A	1,000	1,000	1,000	1,000	1,000	1,000	1,000	A	Nx,max	5 695,8	4 761,9	32,0	50,0	25	
B	1,000	0,933	1,004	1,011	0,999	1,000	1,083	B	Nx,min	-1 062,0	-2 086,5	9,1	72,1	37	
C	1,000	1,000	1,000	1,000	1,000	1,000	1,000	C	My,max	3 783,2	9 271,0	14,1	-254,5	25	
D	1,000	1,000	1,000	1,000	1,000	1,000	1,000	D	My,min	1 835,9	-7 754,1	-0,4	-281,7	41	
E	1,000	1,000	1,000	1,000	1,000	1,000	1,000	E	Mz,max	4 378,8	-1 673,6	89,2	431,2	25	
F	1,000	1,000	1,000	1,000	1,000	1,000	1,000	F	Mz,min	4 686,6	2 318,7	-87,6	-253,5	25	
G	1,000	1,000	1,000	1,000	1,000	1,000	1,000	G	Vz,max	3 291,4	-745,9	-1,9	780,4	26	
H	1,000	1,000	1,000	1,000	1,000	1,000	1,000	H	Vz,min	3 271,4	-3 312,8	16,4	-785,3	26	
ZATÍŽITELNOST	1,000	1,000	1,000	1,000	1,000	1,000	1,000								
ZATÍŽITELNOST	1,000	1,000	1,000	1,000	1,000	1,000	1,000								

TAB G	B. ZATÍŽITELNOST - 1.MS - ÚNOSNOST			
DRUH NAPĚTÍ	1. NORMÁLOVÉ σ_x	2. SMYKOVÉ τ	3. SROVNÁVACÍ σ_x	4. MINIMUM 1-3
ZATÍŽITELNOST Z_p	1,56	>5	1,56	1,56
POSUDEK NAPĚTÍ	C	G	C	C
ŘÍDICÍ VNITŘNÍ SÍLA	My,max	Vz,max	My,max	My,max
KRITICKÝ BOD PRŮŘEZU	1-DL	9-T	1-DL	1-DL
LINEÁRNÍ KOMBINACE	25	26	25	25

Pokud se jedná o tah jsou příslušné hodnoty součinitelů rovny 1.0

TAB G	B. ZATÍŽITELNOST - 1.MS - ÚNOSNOST			
DRUH NAPĚTÍ	1. NORMÁLOVÉ σ_x	2. SMYKOVÉ τ	3. SROVNÁVACÍ σ_p	4. MINIMUM 1-3
ZATÍŽITELNOST Z_p	1,79	>5	1,79	1,79
POSUDEK NAPĚTÍ	C	H	C	C
ŘÍDICÍ VNITŘNÍ SÍLA	My,max	Vz,min	My,max	My,max
KRITICKÝ BOD PRŮŘEZU	2-DP	9-T	2-DP	2-DP
LINEÁRNÍ KOMBINACE	26	26	26	26

Pokud se jedná o tah jsou příslušné hodnoty součinitelů rovny 1.0







TAB B		STABILITA PRUTU							TAB C		ROZHODUJÍCÍ LINEÁRNÍ KOMBINACE VNITŘNÍCH SIL				
TLAK - VZPĚR		OHYB - INTERAKCE S TLAKEM+KLOPENÍ						ROUČ. MAT.			Nx, My, Mx, Vz				
POSUDEK NAPĚTÍ			k_{yy}	$k_{zz}=k_{xx}$	k_{xy}	σ_F		POSUDEK NAPĚTÍ	ŘÍDÍCÍ VNITŘNÍ SÍLA	Nx	My	Mz	Vz	K	
			[H]	[H]	[H]	[H]	[H]			[kN]	[kNm]	[kNm]	[kN]	[kN]	
A	1,000	1,000	1,000	1,000	1,000	1,000	1,000	A	Nx,max	8,2	-5,1	0,6	10,9	26	
B	1,000	0,832	1,000	1,004	1,000	1,000	1,083	B	Nx,min	-19,1	-2,5	1,6	24,2	26	
C	1,000	0,832	1,000	1,003	1,000	1,000	1,083	C	My,max	-13,2	68,0	-0,1	28,6	26	
D	1,000	1,000	1,000	1,000	1,000	1,000	1,000	D	My,min	1,9	-35,0	0,7	17,6	26	
E	1,000	0,832	1,000	1,003	1,000	1,000	1,083	E	Mz,max	-16,4	1,3	2,0	22,4	42	
F	1,000	0,832	1,000	1,003	1,000	1,000	1,083	F	Mz,min	-13,0	-1,6	-1,7	-14,9	41	
G	1,000	0,832	1,000	1,003	1,000	1,000	1,083	G	Vz,max	-13,5	6,1	0,7	31,2	26	
H	1,000	0,832	1,000	1,002	1,000	1,000	1,083	H	Vz,min	-10,0	-0,8	-1,4	-20,8	25	
ZATÍŽITELNOST	1,000	0,832	1,001	1,013	0,999	1,000	1,083								
ZATÍŽITELNOST	1,000	0,832	1,001	1,013	0,999	1,000	1,083								

TAB G	B. ZATÍŽITELNOST - 1.MS - ÚNOSNOST			
DRUH NAPĚTÍ	1. NORMÁLOVÉ σ_n	2. SMYKOVÉ τ	3. SROVNÁVACÍ σ_n	4. MINIMUM 1-3
ZATÍŽITELNOST Z_p	>5	>5	>5	>5
POSUDEK NAPĚTÍ	C	C	C	C
ŘÍDICÍ VNITŘNÍ SÍLA	My,max	Vz,max	My,max	My,max
KRITICKÝ BOD PRŮŘEZU	3-HL	9-T	3-HL	3-HL
LINEÁRNÍ KOMBINACE	26	26	26	26

Pokud se jedná o tah jsou příslušné hodnoty součinitelů rovny 1.0

TAB G	B. ZATÍŽITELNOST - 1.MS - ÚŠNOST			
DRUH NAPĚTÍ	1. NORMÁLOVÉ σ_n	2. SMYKOVÉ τ	3. SROVNÁVACÍ σ_n	4. MINIMUM 1-3
ZATÍŽITELNOST Z_p	1,36	1,87	1,26	1,26
POSUDEK NAPĚTÍ	C	G	C	C
ŘÍDÍCÍ VNITŘNÍ SÍLA	My,max	Vz,max	My,max	My,max
KRITICKÝ BOD PRŮŘEZU	3-HL	9-T	7-SD2	7-SD2
LINEÁRNÍ KOMBINACE	25	26	25	25

Pokud se jedná o tah jsou příslušné hodnoty součinitelů rovny 1.0

TAB B		STABILITA PRUTU							TAB C		ROZHODUJÍCÍ LINEÁRNÍ KOMBINACE VNITŘNÍCH SIL				
TLAK - VZPĚR		OHYB - INTERAKCE S TLAKEM+KLOPENÍ						ROUD. MAT.			Nx, My, Mx, Vz				
POSUDEK			k_{yy}	$k_{yz}=k_{zy}$	k_{zz}	α_T	β_T	POSUDEK	ŘÍDÍCI		My	Mz	Vz	K	
NAPĚTÍ			[H]	[H]	[H]	[H]	[H]	NAPĚTÍ	VNITŘNÍ SÍLA	[kN]	[kNm]	[kNm]	[kN]	[H]	
A	1,000	1,000	1,000	1,000	1,000	1,000	1,000	A	Nx,max	411,9	396,6	19,2	6,8	41	
B	1,000	0,970	1,008	1,021	0,998	1,000	1,083	B	Nx,min	-521,2	280,9	-5,3	-215,6	42	
C	1,000	1,000	1,000	1,000	1,000	1,000	1,000	C	My,max	114,5	737,0	5,1	-309,3	26	
D	1,000	0,970	1,005	1,012	0,999	1,000	1,083	D	My,min	-298,5	-135,8	13,6	20,4	42	
E	1,000	1,000	1,000	1,000	1,000	1,000	1,000	E	Mz,max	6,8	91,8	60,1	-110,7	25	
F	1,000	0,970	1,000	1,001	1,000	1,000	1,083	F	Mz,min	-25,0	200,8	-66,7	-155,5	20	
G	1,000	0,970	1,002	1,006	0,999	1,000	1,083	G	Vz,max	-134,3	180,1	-11,7	333,3	26	
H	1,000	0,970	1,005	1,013	0,999	1,000	1,083	H	Vz,min	-313,7	195,4	10,6	-353,8	26	
ZATÍŽITELNOST 	1,000	1,000	1,000	1,000	1,000	1,000	1,000								
ZATÍŽITELNOST 	1,000	1,000	1,000	1,000	1,000	1,000	1,000								

TAB G	B. ZATÍŽITELNOST - 1.MS - ÚNOSNOST			
DRUH NAPĚTÍ	1. NORMÁLOVÉ σ_n	2. SMYKOVÉ τ	3. SROVNÁVACÍ σ_n	4. MINIMUM 1-3
ZATÍŽITELNOST Z_p	1,27	2,05	1,22	1,22
POSUDEK NAPĚTÍ	C	H	C	C
ŘÍDÍCÍ VNITŘNÍ SÍLA	My,max	Vz,min	My,max	My,max
KRITICKÝ BOD PRŮŘEZU	1-DL	9-T	5-SD1	5-SD1
LINEÁRNÍ KOMBINACE	25	26		26

TAB 10 11 A. POSOUZENÍ - 1.MS - ÚNOSNOST















POSUDEK: 11 PRŮŘEZ: P_4 PRUT X[m] SOUČINITEL KOROZE k = 1,00
OZNAČENÍ: P_4 POPIS: PŘÍČNÍK 4 i j

POUŽITÁ OBLIČNÁ METODA POSUDKU KOMBINACE TLAKU A OHYBU ČSN EN 1993-1-1 6.3.4

Konzervativně uvažován $C_{my}=C_{m1}=1.0$

Pokud se jedná o tah jsou příslušné hodnoty součinitelů rovny 1.0

TAB A	PRŮŘEZOVÉ CHARAKTERISTIKY KRITICKÉHO PRŮŘEZU											
	TAH, TLAK N_x			OHYB M_y, M_z						SMYK V_z		
	PRO POSOUZENÍ NAPĚTÍ											
	A_x	$A_{y,at,Nx}$	$A_{z,at,Nx}$	W_y	W_z	W_{y,at,M_y}	W_{y,at,M_z}	W_{z,at,M_y}	W_{z,at,M_z}	S_y	I_y	I_z
OZN.	POPIS	[mm ²]	[mm ²]	[mm ³]	[mm ³]	[mm ³]	[mm ³]	[mm ³]	[mm ³]	[mm ³]	[mm ⁴]	[mm ⁴]
1-DL	bod 1- dolní vlákná průřezu, levý okraj	2.740E+04	2.740E+04	2.740E+04	9.321E+05	8.542E+05	9.321E+05	9.321E+05	8.542E+05	-	-	-
2-DP	bod 2- dolní vlákná průřezu, pravý okraj	2.740E+04	2.740E+04	2.740E+04	9.321E+05	8.542E+05	9.321E+05	9.321E+05	8.542E+05	-	-	-
3-HL	bod 3- horní vlákná průřezu, levý okraj	2.740E+04	2.740E+04	2.740E+04	9.321E+05	8.542E+05	9.321E+05	9.321E+05	8.542E+05	-	-	-
4-HP	bod 4- horní vlákná průřezu, pravý okraj	2.740E+04	2.740E+04	2.740E+04	9.321E+05	8.542E+05	9.321E+05	9.321E+05	8.542E+05	-	-	-
5-SD1	bod 5- dolní vlákná stěny 1	2.740E+04	2.740E+04	2.740E+04	9.812E+05	2.278E+07	9.812E+05	9.812E+05	2.278E+07	3.900E+05	4.661E+09	12,0
6-SH1	bod 6- horní vlákná stěny 1	2.740E+04	2.740E+04	2.740E+04	9.812E+05	2.278E+07	9.812E+05	9.812E+05	2.278E+07	3.900E+05	4.661E+09	12,0
7-SD2	bod 7- dolní vlákná stěny 2	2.740E+04	2.740E+04	2.740E+04	9.812E+05	2.278E+07	9.812E+05	9.812E+05	2.278E+07	3.900E+05	4.661E+09	12,0
8-SH2	bod 8- horní vlákná stěny 2	2.740E+04	2.740E+04	2.740E+04	9.812E+05	2.278E+07	9.812E+05	9.812E+05	2.278E+07	3.900E+05	4.661E+09	12,0
9-T	bod 9- těžiště plného průřezu	2.740E+04	2.740E+04	2.740E+04	-	-	-	-	-	5,254E+06	4.661E+09	12,0

TAB B	STABILITA PRUTU							TAB C	ROZHODUJÍCÍ LINEÁRNÍ KOMBINACE VNITŘNÍCH SIL					
	TLAK - VZPĚR		OHYB - INTERAKCE S TLAKEM+KLOPENÍ				ROUČ. MAT		Nx, My, Mx, Vz					
	POSUDEK								POSUDEK	ŘÍDÍCÍ	Nx	My	Mz	Vz
NAPĚTÍ							NAPĚTÍ	VNITŘNÍ SÍLA	[kN]	[kNm]	[kNm]	[kN]	[-]	
A	1,000	1,000	1,000	1,000	1,000	1,000	1,000	A	Nx,max	779,6	584,6	-17,1	83,1	42
B	1,000	0,979	1,006	1,016	0,998	1,000	1,083	B	Nx,min	-533,3	261,9	-9,8	-218,8	38
C	1,000	1,000	1,000	1,000	1,000	1,000	1,000	C	My,max	478,5	1 034,9	-15,7	-175,7	26
D	1,000	0,979	1,000	1,000	1,000	1,000	1,083	D	My,min	-3,9	-308,9	-6,6	-125,3	42
E	1,000	1,000	1,000	1,000	1,000	1,000	1,000	E	Mz,max	34,5	87,7	46,7	32,4	37
F	1,000	1,000	1,000	1,000	1,000	1,000	1,000	F	Mz,min	403,1	516,6	-68,9	-156,8	25
G	1,000	1,000	1,000	1,000	1,000	1,000	1,000	G	Vz,max	561,8	412,7	4,9	151,2	26
H	1,000	0,979	1,000	1,000	1,000	1,000	1,083	H	Vz,min	-4,8	-88,9	-20,1	-442,8	26
ZATÍŽITELNOST 	1,000	1,000	1,000	1,000	1,000	1,000	1,000							
ZATÍŽITELNOST 	1,000	1,000	1,000	1,000	1,000	1,000	1,000							

TAB D		PŘEHLED NAPĚTÍ V KRITICKÝCH BODECH PRŮŘEZU OD ROZHODUJÍCÍ LINEÁRNÍ KOMBINACE ZATÍŽENÍ																																																																																																																																																																																																																																																																																																																																																																																																																																																																																																																																																																																																																																																																																																																																																																																	
KRITICKÉ BODY PRŮŘEZU PRO POSOUZENÍ NAPĚTÍ		POSUDEK A		POSUDEK B		POSUDEK C		POSUDEK D		POSUDEK E		POSUDEK F		POSUDEK G		POSUDEK H		MAXIMÁLNÍ HODNOTY NAPĚTÍ V KRITICKÝCH BODECH PRŮŘEZU																																																																																																																																																																																																																																																																																																																																																																																																																																																																																																																																																																																																																																																																																																																																																																	
																																ROZHODUJÍ																																																																																																																																																																																																																																																																																																																																																																																																																																																																																																																																																																																																																																																																																																																																																			
OZN.	POPIS	[MPa]	[MPa]	[MPa]	[MPa]	[MPa]	[MPa]	[MPa]	[MPa]	[MPa]	[MPa]	[MPa]	[MPa]	[MPa]	[MPa]	[MPa]	[MPa]	[MPa]	[MPa]	[MPa]	[MPa]	[MPa]	[MPa]	[MPa]	[MPa]	[MPa]	[MPa]	[MPa]	[MPa]	[MPa]	[MPa]	[MPa]	[MPa]	[MPa]	[MPa]	[MPa]	[MPa]	[MPa]	[MPa]	[MPa]	[MPa]	[MPa]	[MPa]	[MPa]	[MPa]	[MPa]	[MPa]	[MPa]	[MPa]	[MPa]	[MPa]	[MPa]	[MPa]	[MPa]	[MPa]	[MPa]	[MPa]	[MPa]	[MPa]	[MPa]	[MPa]	[MPa]	[MPa]	[MPa]	[MPa]	[MPa]	[MPa]	[MPa]	[MPa]	[MPa]	[MPa]	[MPa]	[MPa]	[MPa]	[MPa]	[MPa]	[MPa]	[MPa]	[MPa]	[MPa]	[MPa]	[MPa]	[MPa]	[MPa]	[MPa]	[MPa]	[MPa]	[MPa]	[MPa]	[MPa]	[MPa]	[MPa]	[MPa]	[MPa]	[MPa]	[MPa]	[MPa]	[MPa]	[MPa]	[MPa]	[MPa]	[MPa]	[MPa]	[MPa]	[MPa]	[MPa]	[MPa]	[MPa]	[MPa]	[MPa]	[MPa]	[MPa]	[MPa]	[MPa]	[MPa]	[MPa]	[MPa]	[MPa]	[MPa]	[MPa]	[MPa]	[MPa]	[MPa]	[MPa]	[MPa]	[MPa]	[MPa]	[MPa]	[MPa]	[MPa]	[MPa]	[MPa]	[MPa]	[MPa]	[MPa]	[MPa]	[MPa]	[MPa]	[MPa]	[MPa]	[MPa]	[MPa]	[MPa]	[MPa]	[MPa]	[MPa]	[MPa]	[MPa]	[MPa]	[MPa]	[MPa]	[MPa]	[MPa]	[MPa]	[MPa]	[MPa]	[MPa]	[MPa]	[MPa]	[MPa]	[MPa]	[MPa]	[MPa]	[MPa]	[MPa]	[MPa]	[MPa]	[MPa]	[MPa]	[MPa]	[MPa]	[MPa]	[MPa]	[MPa]	[MPa]	[MPa]	[MPa]	[MPa]	[MPa]	[MPa]	[MPa]	[MPa]	[MPa]	[MPa]	[MPa]	[MPa]	[MPa]	[MPa]	[MPa]	[MPa]	[MPa]	[MPa]	[MPa]	[MPa]	[MPa]	[MPa]	[MPa]	[MPa]	[MPa]	[MPa]	[MPa]	[MPa]	[MPa]	[MPa]	[MPa]	[MPa]	[MPa]	[MPa]	[MPa]	[MPa]	[MPa]	[MPa]	[MPa]	[MPa]	[MPa]	[MPa]	[MPa]	[MPa]	[MPa]	[MPa]	[MPa]	[MPa]	[MPa]	[MPa]	[MPa]	[MPa]	[MPa]	[MPa]	[MPa]	[MPa]	[MPa]	[MPa]	[MPa]	[MPa]	[MPa]	[MPa]	[MPa]	[MPa]	[MPa]	[MPa]	[MPa]	[MPa]	[MPa]	[MPa]	[MPa]	[MPa]	[MPa]	[MPa]	[MPa]	[MPa]	[MPa]	[MPa]	[MPa]	[MPa]	[MPa]	[MPa]	[MPa]	[MPa]	[MPa]	[MPa]	[MPa]	[MPa]	[MPa]	[MPa]	[MPa]	[MPa]	[MPa]	[MPa]	[MPa]	[MPa]	[MPa]	[MPa]	[MPa]	[MPa]	[MPa]	[MPa]	[MPa]	[MPa]	[MPa]	[MPa]	[MPa]	[MPa]	[MPa]	[MPa]	[MPa]	[MPa]	[MPa]	[MPa]	[MPa]	[MPa]	[MPa]	[MPa]	[MPa]	[MPa]	[MPa]	[MPa]	[MPa]	[MPa]	[MPa]	[MPa]	[MPa]	[MPa]	[MPa]	[MPa]	[MPa]	[MPa]	[MPa]	[MPa]	[MPa]	[MPa]	[MPa]	[MPa]	[MPa]	[MPa]	[MPa]	[MPa]	[MPa]	[MPa]	[MPa]	[MPa]	[MPa]	[MPa]	[MPa]	[MPa]	[MPa]	[MPa]	[MPa]	[MPa]	[MPa]	[MPa]	[MPa]	[MPa]	[MPa]	[MPa]	[MPa]	[MPa]	[MPa]	[MPa]	[MPa]	[MPa]	[MPa]	[MPa]	[MPa]	[MPa]	[MPa]	[MPa]	[MPa]	[MPa]	[MPa]	[MPa]	[MPa]	[MPa]	[MPa]	[MPa]	[MPa]	[MPa]	[MPa]	[MPa]	[MPa]	[MPa]	[MPa]	[MPa]	[MPa]	[MPa]	[MPa]	[MPa]	[MPa]	[MPa]	[MPa]	[MPa]	[MPa]	[MPa]	[MPa]	[MPa]	[MPa]	[MPa]	[MPa]	[MPa]	[MPa]	[MPa]	[MPa]	[MPa]	[MPa]	[MPa]	[MPa]	[MPa]	[MPa]	[MPa]	[MPa]	[MPa]	[MPa]	[MPa]	[MPa]	[MPa]	[MPa]	[MPa]	[MPa]	[MPa]	[MPa]	[MPa]	[MPa]	[MPa]	[MPa]	[MPa]	[MPa]	[MPa]	[MPa]	[MPa]	[MPa]	[MPa]	[MPa]	[MPa]	[MPa]	[MPa]	[MPa]	[MPa]	[MPa]	[MPa]	[MPa]	[MPa]	[MPa]	[MPa]	[MPa]	[MPa]	[MPa]	[MPa]	[MPa]	[MPa]	[MPa]	[MPa]	[MPa]	[MPa]	[MPa]	[MPa]	[MPa]	[MPa]	[MPa]	[MPa]	[MPa]	[MPa]	[MPa]	[MPa]	[MPa]	[MPa]	[MPa]	[MPa]	[MPa]	[MPa]	[MPa]	[MPa]	[MPa]	[MPa]	[MPa]	[MPa]	[MPa]	[MPa]	[MPa]	[MPa]	[MPa]	[MPa]	[MPa]	[MPa]	[MPa]	[MPa]	[MPa]	[MPa]	[MPa]	[MPa]	[MPa]	[MPa]	[MPa]	[MPa]	[MPa]	[MPa]	[MPa]	[MPa]	[MPa]	[MPa]	[MPa]	[MPa]	[MPa]	[MPa]	[MPa]	[MPa]	[MPa]	[MPa]	[MPa]	[MPa]	[MPa]	[MPa]	[MPa]	[MPa]	[MPa]	[MPa]	[MPa]	[MPa]	[MPa]	[MPa]	[MPa]	[MPa]	[MPa]	[MPa]	[MPa]	[MPa]	[MPa]	[MPa]	[MPa]	[MPa]	[MPa]	[MPa]	[MPa]	[MPa]	[MPa]	[MPa]	[MPa]	[MPa]	[MPa]	[MPa]	[MPa]	[MPa]	[MPa]	[MPa]	[MPa]	[MPa]	[MPa]	[MPa]	[MPa]	[MPa]	[MPa]	[MPa]	[MPa]	[MPa]	[MPa]	[MPa]	[MPa]	[MPa]	[MPa]	[MPa]	[MPa]	[MPa]	[MPa]	[MPa]	[MPa]	[MPa]	[MPa]	[MPa]	[MPa]	[MPa]	[MPa]	[MPa]	[MPa]	[MPa]	[MPa]	[MPa]	[MPa]	[MPa]	[MPa]	[MPa]	[MPa]	[MPa]	[MPa]	[MPa]	[MPa]	[MPa]	[MPa]	[MPa]	[MPa]	[MPa]	[MPa]	[MPa]	[MPa]	[MPa]	[MPa]	[MPa]	[MPa]	[MPa]	[MPa]	[MPa]	[MPa]	[MPa]	[MPa]	[MPa]	[MPa]	[MPa]	[MPa]	[MPa]	[MPa]	[MPa]	[MPa]	[MPa]	[MPa]	[MPa]	[MPa]	[MPa]	[MPa]	[MPa]	[MPa]	[MPa]	[MPa]	[MPa]	[MPa]	[MPa]	[MPa]	[MPa]	[MPa]	[MPa]	[MPa]	[MPa]	[MPa]	[MPa]	[MPa]	[MPa]	[MPa]	[MPa]	[MPa]	[MPa]	[MPa]	[MPa]	[MPa]	[MPa]	[MPa]	[MPa]	[MPa]	[MPa]	[MPa]	[MPa]	[MPa]	[MPa]	[MPa]	[MPa]	[MPa]	[MPa]	[MPa]	[MPa]	[MPa]	[MPa]	[MPa]	[MPa]	[MPa]	[MPa]	[MPa]	[MPa]	[MPa]	[MPa]	[MPa]	[MPa]	[MPa]	[MPa]	[MPa]	[MPa]	[MPa]	[MPa]	[MPa]	[MPa]	[MPa]	[MPa]	[MPa]	[MPa]	[MPa]	[MPa]	[MPa]	[MPa]	[MPa]	[MPa]	[MPa]	[MPa]	[MPa]	[MPa]	[MPa]	[MPa]	[MPa]	[MPa]	[MPa]	[MPa]	[MPa]	[MPa]	[MPa]	[MPa]	[MPa]	[MPa]	[MPa]	[MPa]	[MPa]	[MPa]	[MPa]	[MPa]	[MPa]	[MPa]	[MPa]	[MPa]	[MPa]	[MPa]	[MPa]	[MPa]	[MPa]	[MPa]	[MPa]	[MPa]	[MPa]	[MPa]	[MPa]	[MPa]	[MPa]	[MPa]	[MPa]	[MPa]	[MPa]	[MPa]	[MPa]	[MPa]	[MPa]	[MPa]	[MPa]	[MPa]	[MPa]	[MPa]	[MPa]	[MPa]	[MPa]	[MPa]	[MPa]	[MPa]	[MPa]	[MPa]	[MPa]	[MPa]	[MPa]	[MPa]	[MPa]	[MPa]	[MPa]	[MPa]	[MPa]	[MPa]	[MPa]	[MPa]	[MPa]	[MPa]	[MPa]	[MPa]	[MPa]	[MPa]	[MPa]	[MPa]	[MPa]	[MPa]	[MPa]	[MPa]	[MPa]	[MPa]	[MPa]	[MPa]	[MPa]	[MPa]	[MP

TAB 11 11 B. ZATÍŽITELNOST - 1.MS - ÚNOSNOST

TAB E		1. ZATÍŽITELNOST - NORMÁLOVÉ NAPĚTÍ												2. ZATÍŽITELNOST - SMYKOVÉ NAPĚTÍ												3. ZATÍŽITELNOST - SROVNÁVACÍ NAPĚTÍ													
SKUPINA		Nx	My	Mz	χ	χ* Nx	χ* My	χ* Mz	σ _{Nx}	σ _{My}	σ _{Mz}	σ _τ	KZ č. 25		ZATÍŽITELNOST	Vz	χ	χ* Vz	σ _τ	KZ č. 26		ZATÍŽITELNOST	Nx	My	Mz	Vz	χ	χ* Nx	χ* My	χ* Mz	χ* Vz	σ _{Nx}	σ _{My}	σ _{Mz}	σ _τ	KZ č. 25		ZATÍŽITELNOST	
ZATĚŽ STAVŮ		[kN]	[kNm]	[kNm]	[-]	[kN]	[kNm]	[kNm]	[MPa]	[MPa]	[MPa]	[MPa]	[-]			[kN]	[-]	[kN]	[MPa]		[-]			[kN]	[kNm]	[kNm]	[kN]	[-]	[kN]	[kNm]	[kNm]	[kN]	[MPa]	[MPa]	[MPa]	[MPa]	[MPa]	[MPa]	
E ₁ =E ₂	G	89,1	111,0	0,0	0,85	75,7	94,4	0,0	2,8	10,1	0,0	12,9	R ₀ =	213,6 MPa	-45,5	0,85	-38,6	3,6	R ₀ =	123,3 MPa	89,1	111,0	0,0	-1,2	0,85	75,7	94,4	0,0	-1,0	2,8	10,1	0,0	12,9	0,0	12,9	R ₀ =	213,6 MPa		
	CH	0,0	0,0	0,0	0,00	0,0	0,0	0,0	0,0	0,0	0,0	0,0	σ _{τ,RS} =	55,7 MPa	0,0	0,00	0,0	0,0	0,0	σ _{τ,RS} =	8,3 MPa	0,0	0,0	0,0	0,0	0,00	0,0	0,0	0,0	0,0	0,0	0,0	0,0	0,0	0,0	0,0	0,0	σ _{τ,RS} =	55,7 MPa
	W-P	135,1	125,5	2,1	0,50	67,5	62,7	1,0	2,5	6,7	-1,2	8,0	σ _{τ,RS} =	55,7 MPa	-35,2	0,50	-17,6	1,7	σ _{τ,RS} =	8,3 MPa	135,1	125,5	2,1	21,0	0,50	67,5	62,7	1,0	10,5	2,5	6,7	-1,2	8,0	0,0	8,0	0,0	8,0	σ _{τ,RS} =	0,0 MPa
	RL	0,0	0,0	0,0	0,00	0,0	0,0	0,0	0,0	0,0	0,0	0,0	σ _{τ,RS} =	55,7 MPa	0,0	0,00	0,0	0,0	0,0	σ _{τ,RS} =	8,3 MPa	0,0	0,0	0,0	0,0	0,00	0,0	0,0	0,0	0,0	0,0	0,0	0,0	0,0	0,0	0,0	0,0	σ _{τ,RS} =	128,2 MPa
	T-N	0,0	0,0	0,0	0,00	0,0	0,0	0,0	0,0	0,0	0,0	0,0	σ _{τ,RS} =	128,2 MPa	0,0	0,00	0,0	0,0	0,0	σ _{τ,RS} =	50,8 MPa	0,0	0,0	0,0	0,0	0,00	0,0	0,0	0,0	0,0	0,0	0,0	0,0	0,0	0,0	0,0	0,0	σ _{τ,RS} =	0,0 MPa
	O	65,4	40,3	-5,8	0,50	32,7	20,2	-2,9	1,2	2,2	3,4	6,7	Z _{LM71} =	1,13	-8,0	1,00	-8,0	0,8	Z _{LM71} =	2,23	65,4	40,3	-5,8	12,7	0,50	32,7	20,2	-2,9	6,4	1,2	2,2	3,4	6,7	0,0	6,7	Z _{LM71} =	1,13		
E _{LM71} =E ₃	B	16,3	25,8	-20,8	1,00	16,3	25,8	-20,8	0,6	2,8	24,3	27,7	-20,4	1,00	-20,4	1,9	-47,7	24,2	-20,4	0,50	-23,8	12,1	0,0	-10,0	-0,9	1,3	0,0	0,4	0,0	0,4	0,0	0,0	0,0	0,0	0,0	0,4	0,0	0,4	
	S	-47,7	24,2	0,0	0,50	-23,8	12,1	0,0	-0,9	1,3	0,0	0,4	0,0	0,0	0,0	0,0	0,0	0,0	0,0	0,0	0,0	0,0	0,0	0,0	0,0	0,0	0,0	0,0	0,0	0,0	0,0	0,0	0,0	0,0	0,0	0,0	0,0		
	P	132,2	1168,1	1,7	1,00	132,2	1168,1	1,7	4,8	125,3	-1,9	128,2	-540,6	1,00	-540,6	50,8	132,2	1168,1	1,7	-402,5	4,8	125,3	-1,9	128,2	0,0	128,2													

Pokud se jedná o tah jsou příslušné hodnoty součinitelů rovny 1.0

TAB B		STABILITA PRUTU							TAB C		ROZHODUJÍCÍ LINEÁRNÍ KOMBINACE VNITŘNÍCH SIL				
TLAK - VZPĚR		OHYB - INTERAKCE S TLAKEM+KLOPENÍ						ROUD. MAT.			Nx, My, Mx, Vz				
POSUDEK NAPĚTÍ				k_{yy}	$k_{zz}=k_{xx}$	k_{xy}	α_T		POSUDEK NAPĚTÍ	ŘÍDÍCÍ VNITŘNÍ SÍLA	Nx	My	Mz	Vz	K
	[kN]	[kN]	[kN]	[kN]	[kN]	[kN]	[kN]	[kN]			[kNm]	[kNm]	[kNm]	[kN]	[kN]
A	1,000	1,000	1,000	1,000	1,000	1,000	1,000	1,000	A	Nx,max	860,4	573,0	-8,4	3,3	41
B	1,000	0,980	1,011	1,028	0,997	1,000	1,083	1,000	B	Nx,min	-824,5	37,3	-2,7	-210,4	37
C	1,000	1,000	1,000	1,000	1,000	1,000	1,000	1,000	C	My,max	568,8	903,5	8,7	-297,7	26
D	1,000	0,980	1,007	1,018	0,998	1,000	1,083	1,000	D	My,min	-524,6	-277,1	-3,2	-51,5	37
E	1,000	0,980	1,000	1,000	1,000	1,000	1,083	1,000	E	Mz,max	-10,7	210,2	82,3	-35,6	25
F	1,000	0,980	1,000	1,000	1,000	1,000	1,083	1,000	F	Mz,min	-6,3	290,9	-93,3	-254,5	25
G	1,000	1,000	1,000	1,000	1,000	1,000	1,000	1,000	G	Vz,max	425,0	241,0	9,1	50,0	38
H	1,000	0,980	1,003	1,008	0,999	1,000	1,083	1,000	H	Vz,min	-243,0	159,1	-35,5	-379,4	26
ZATÍŽITELNOST	1,000	1,000	1,000	1,000	1,000	1,000	1,000	1,000							
ZATÍŽITELNOST	1,000	1,000	1,000	1,000	1,000	1,000	1,000	1,000							

TAB D		PŘEHLED NAPĚTÍ V KRITICKÝCH BODECH PRŮŘEZU OD ROZHODUJÍCÍ LINEÁRNÍ KOMBINACE ZATÍŽENÍ																																						
KRITICKÉ BODY PRŮŘEZU		POSUDEK A			POSUDEK B			POSUDEK C			POSUDEK D			POSUDEK E			POSUDEK F			POSUDEK G			POSUDEK H			MAXIMÁLNÍ HODNOTY NAPĚTÍ V KRITICKÝCH BODECH PRŮŘEZU														
PRO POSOUZENÍ NAPĚTÍ		σ_{Ed}	σ_{tEd}	σ_{cEd}	σ_{Ed}	σ_{tEd}	σ_{cEd}	σ_{Ed}	σ_{tEd}	σ_{cEd}	σ_{Ed}	σ_{tEd}	σ_{cEd}	σ_{Ed}	σ_{tEd}	σ_{cEd}	σ_{Ed}	σ_{tEd}	σ_{cEd}	σ_{Ed}	σ_{tEd}	σ_{cEd}	σ_{Ed}	σ_{tEd}	σ_{cEd}	σ_{Ed}	σ_{tEd}	σ_{cEd}	σ_{Ed}	σ_{tEd}	σ_{cEd}	$\sigma_{s,max}$	f_{yd}	$\sigma_{s,max}$	f_{yd}^{3+5}	$\sigma_{s,max}$	f_{yd}	ROZHODNUTÉ		
OZN.	POPIS	[MPa]	[MPa]	[MPa]	[MPa]	[MPa]	[MPa]	[MPa]	[MPa]	[MPa]	[MPa]	[MPa]	[MPa]	[MPa]	[MPa]	[MPa]	[MPa]	[MPa]	[MPa]	[MPa]	[MPa]	[MPa]	[MPa]	[MPa]	[MPa]	[MPa]	[MPa]	[MPa]	[MPa]	[MPa]	[MPa]	[MPa]	-	[MPa]	[MPa]	-	[MPa]	[MPa]	-	{-}
1-DL	bod 1 - dolní vlákná průřezu, levý okraj	94,9	0,0	94,9	-33,9	0,0	33,9	145,7	0,0	145,7	-60,5	0,0	60,5	134,7	0,0	134,7	-89,0	0,0	89,0	59,4	0,0	59,4	-38,5	0,0	38,5	134,7	197,2	0,683	0,0	123,3	0,000	134,7	197,2	0,683	normál.napětí					
2-DP	bod 2 - dolní vlákná průřezu, pravý okraj	117,4	0,0	117,4	-26,6	0,0	26,6	122,5	0,0	122,5	-51,8	0,0	51,8	-84,4	0,0	84,4	159,3	0,0	159,3	35,2	0,0	35,2	56,9	0,0	56,9	159,3	197,2	0,808	0,0	123,3	0,000	159,3	197,2	0,808	normál.napětí					
3-HL	bod 3 - horní vlákná průřezu, levý okraj	-44,6	0,0	44,6	-43,1	0,0	43,1	-74,4	0,0	74,4	7,4	0,0	7,4	83,5	0,0	83,5	-159,9	0,0	159,9	0,7	0,0	0,7	-77,4	0,0	77,4	-159,9	197,2	0,811	0,0	123,3	0,000	159,9	197,2	0,811	normál.napětí					
4-HP	bod 4 - horní vlákná průřezu, pravý okraj	-22,2	0,0	22,2	-35,8	0,0	35,8	-97,6	0,0	97,6	16,2	0,0	16,2	-135,6	0,0	135,6	88,5	0,0	88,5	-23,5	0,0	23,5	18,0	0,0	18,0	-135,6	197,2	0,688	0,0	123,3	0,000	135,6	197,2	0,688	normál.napětí					
5-SD1	bod 5 - dolní vlákná stěny 1	102,7	0,3	102,7	-30,6	22,0	48,6	-129,6	31,1	140,3	-54,8	5,4	55,6	27,5	3,7	28,2	29,7	26,6	54,8	46,4	5,2	47,3	6,8	39,6	68,9	128,9	213,6	0,607	39,6	123,3	0,321	140,3	197,2	0,657	sovrn. napětí					
6-SH1	bod 6 - horní vlákná stěny 1	103,4	0,3	103,4	-30,3	22,0	48,7	-128,9	31,1	139,7	-54,5	5,4	55,3	20,6	3,7	21,6	37,5	26,6	59,4	45,6	5,2	46,5	9,8	39,6	69,3	128,9	213,6	0,603	39,6	123,3	0,321	139,7	213,6	0,654	sovrn. napětí					
7-SD2	bod 7 - dolní vlákná stěny 2	-30,7	0,3	30,7	-39,4	22,0	54,7	-80,8	31,1	97,1	10,2	5,4	13,8	-21,5	3,7	22,4	-38,0	26,6	59,7	-9,7	5,2	13,3	-30,3	39,6	75,0	-80,8	213,6	0,378	39,6	123,3	0,321	97,1	213,6	0,455	sovrn. napětí					
8-SH2	bod 8 - horní vlákná stěny 2	-30,0	0,3	30,0	-39,1	22,0	54,6	-81,5	31,1	97,7	10,5	5,4	14,0	-28,4	3,7	29,1	-30,3	26,6	55,1	-10,5	5,2	13,8	-27,4	39,6	73,9	-81,5	213,6	0,382	39,6	123,3	0,321	97,7	213,6	0,457	sovrn. napětí					
9-T	bod 9 - těžiště plného průřezu	36,4	0,4	36,4	-34,8	23,5	53,6	24,0	33,3	62,4	-22,2	5,8	24,3	-0,5	4,0	6,9	-0,3	28,4	49,3	18,0	5,6	20,4	-10,3	42,4	74,1	-34,8	197,2	0,177	42,4	123,3	0,344	74,1	197,2	0,376	sovrn. napětí					













TAB E													1. ZATÍŽITELNOST - NORMÁLOVÉ NAPĚTÍ													2. ZATÍŽITELNOST - SMYKOVÉ NAPĚTÍ													3. ZATÍŽITELNOST - SROVNÁVACÍ NAPĚTÍ												
SKUPINA ZATĚŽ STAVŮ		KZ č. 26												KZ č. 26												KZ č. 26												KZ č. 26													
		Nx	My	Mz	V	V°	Nx	My	Mz	σ _{Nx}	σ _{My}	σ _{Mz}	τ _V	Vz	V°	V°	Vz	τ _{Vz}	τ _{V°}	Nx	My	Mz	Vz	V	V°	Nx	My	Mz	V°	Vz	σ _{Nx}	σ _{My}	σ _{Mz}	τ _V	τ _{V°}	τ _{Vz}	τ _{V°}	τ _{Vz}	τ _{V°}												
		[kN]	[kNm]	[kNm]	[-]	[kN]	[kNm]	[kNm]	[MPa]	[MPa]	[MPa]	[MPa]	[-]	[kN]	[-]	[kN]	[MPa]	[-]	[-]	[kN]	[kNm]	[kNm]	[kN]	[-]	[-]	[kN]	[kNm]	[kNm]	[kN]	[MPa]	[MPa]	[MPa]	[MPa]	[MPa]	[MPa]	[MPa]	[MPa]														
E ₂₆ E ₄₁	G	95,9	75,5	5,7	0,85	81,5	64,2	4,8	3,4	7,8	6,4	17,7	R _e	213,6	MPa	-26,7	0,85	-22,7	2,5	R _e	123,3	MPa	95,9	75,5	5,7	-19,3	0,85	81,5	64,2	4,8	-16,4	3,4	7,5	0,2	11,1	1,7	11,5	R _e	213,6	MPa											
	CH	0,0	0,0	0,0	0,0	0,0	0,0	0,0	0,0	0,0	0,0	0,0	0,0	0,0	0,0	0,0	0,0	0,0	0,0	0,0	0,0	0,0	0,0	0,0	0,0	0,0	0,0	0,0	0,0	0,0	0,0	0,0	0,0	0,0	0,0	0,0	0,0	0,0	0,0												
	W-P	185,4	157,1	1,3	0,50	92,7	78,6	0,6	3,9	9,6	9,9	14,3	σ _{L175}	30,7	MPa	-33,3	0,50	-16,7	1,9	σ _{L175}	7,5	MPa	185,4	157,1	1,3	32,8	0,50	92,7	78,6	0,6	16,4	3,9	9,1	0,0	13,1	-1,7	13,4	σ _{L175}	30,2	MPa											
	RL	0,0	0,0	0,0	0,0	0,0	0,0	0,0	0,0	0,0	0,0	0,0	0,0	0,0	0,0	0,0	0,0	0,0	0,0	0,0	0,0	0,0	0,0	0,0	0,0	0,0	0,0	0,0	0,0	0,0	0,0	0,0	0,0	0,0	0,0	0,0	0,0	0,0	0,0												
	T-N	0,0	0,0	0,0	0,0	0,0	0,0	0,0	0,0	0,0	0,0	0,0	0,0	0,0	0,0	0,0	0,0	0,0	0,0	0,0	0,0	0,0	0,0	0,0	0,0	0,0	0,0	0,0	0,0	0,0	0,0	0,0	0,0	0,0	0,0	0,0	0,0	0,0	0,0												
	O	3,8	10,1	-0,5	1,00	3,8	10,1	-0,5	0,2	1,2	-0,7	0,7	0,0	0,0	0,0	0,0	0,0	0,0	0,0	0,0	0,0	0,0	0,0	0,0	0,0	0,0	0,0	0,0	0,0	0,0	0,0	0,0	0,0	0,0	0,0	0,0	0,0	0,0	0,0												
	B	47,1	21,6	-11,5	0,50	23,5	10,8	-5,7	1,0	1,3	-7,6	-5,3	Z _{L171}	1,09		-7,7	0,50	-3,9	0,4	Z _{L171}	1,87		47,1	21,6	-11,5	-2,5	0,50	23,5	10,8	-5,7	-1,2	1,0	1,3	-0,2	2,0	0,1	2,0	Z _{L171}	1,07												
	S	-25,9	32,1	0,4	1,00	-25,9	32,1	0,4	-1,1	3,9	0,5	3,3				-20,4	1,00	-20,4	2,3				-25,9	32,1	0,4	-18,1	1,00	-25,9	32,1	0,4	-18,1	-1,1	3,7	0,0	2,7	1,9	4,2														
K	0,0	0,0	0,0	0,0	0,0	0,0	0,0	0,0	0,0	0,0	0,0	0,0	0,0	0,0	0,0	0,0	0,0	0,0	0,0	0,0	0,0	0,0	0,0	0,0	0,0	0,0	0,0	0,0	0,0	0,0	0,0	0,0	0,0	0,0	0,0	0,0	0,0	0,0													
E _{M171,50}	P	183,9	1104,6	11,0	1,00	183,9	1104,6	11,0	7,8	134,5	14,7	157,0				-552,2	1,00	-552,2	61,7				183,9	1104,6	11,0	-512,6	1,00	183,9	1104,6	11,0	-512,6	7,8	128,6	0,5	136,8	53,5	165,3														

TAB G	B. ZATÍŽITELNOST - 1.MS - ÚNOSNOST			
DRUH NAPĚTÍ	1. NORMÁLOVÉ σ_x	2. SMYKOVÉ τ	3. SROVNÁVACÍ σ_a	4.MINIMUM 1-3
ZATÍŽITELNOST Z_p	1,09	1,87	1,07	1,07
POSUDEK NAPĚTÍ	C	H	C	C
ŘÍDICÍ VNITŘNÍ SÍLA	My,max	Vz,min	My,max	My,max
KRITICKÝ BOD PRŮŘEZU	1-DL	9-T	5-SD1	5-SD1
LINEÁRNÍ KOMBINACE	26	26	26	26

Pokud se jedná o tah jsou příslušné hodnoty součinitelů rovny 1.0

TAB G	B. ZATÍŽITELNOST - 1.MS - ÚNOSNOST			
DRUH NAPĚTÍ	1. NORMÁLOVÉ σ_n	2. SMYKOVÉ τ	3. SROVNÁVACÍ σ_n	4.MINIMUM 1-3
ZATÍŽITELNOST Z_p	0,88	>5	0,88	0,88
POSUDEK NAPĚTÍ	B	A	B	B
ŘÍDÍCÍ VNITŘNÍ SÍLA	$N_{x,min}$	$N_{x,max}$	$N_{x,min}$	$N_{x,min}$
KRITICKÝ BOD PRŮŘEZU	1-DL	1-DL	1-DL	1-DL
LINEÁRNÍ KOMBINACE	25	21	25	25

Pokud se jedná o tah jsou příslušné hodnoty součinitelů rovny 1.0

TAB B	STABILITA PRUTU							TAB C		ROZHODUJÍCÍ LINEÁRNÍ KOMBINACE VNITŘNÍCH SIL					
	TLAK - VZPĚR		OHYB - INTERAKCE S TLAKEM+KLOPENÍ							Nx, My, Mx, Vz					
			K_{yy}	$K_{zz}=K_{zz}$	K_{yz}				POSUDEK	ŘÍDICÍ	Nx	My	Mz	Vz	K.č.
POSUDEK NAPĚTÍ			K_{yy}	$K_{zz}=K_{zz}$	K_{yz}				NAPĚTÍ	VNITŘNÍ SÍLA	[kN]	[kNm]	[kNm]	[kN]	(-)
A	1,000	1,000	1,000	1,000	1,000	1,000	1,000		A	Nx,max	330,0	0,0	0,0	0,0	25
B	0,571	0,823	1,564	1,220	0,976	1,000	1,083		B	Nx,min	-379,0	0,0	0,0	0,0	25
C	1,000	1,000	1,000	1,000	1,000	1,000	1,000		C	My,max	36,9	0,0	0,0	0,0	1
D	1,000	1,000	1,000	1,000	1,000	1,000	1,000		D	My,min	36,9	0,0	0,0	0,0	1
E	1,000	1,000	1,000	1,000	1,000	1,000	1,000		E	Mz,max	36,9	0,0	0,0	0,0	1
F	1,000	1,000	1,000	1,000	1,000	1,000	1,000		F	Mz,min	36,9	0,0	0,0	0,0	1
G	1,000	1,000	1,000	1,000	1,000	1,000	1,000		G	Vz,max	36,9	0,0	0,0	0,0	1
H	1,000	1,000	1,000	1,000	1,000	1,000	1,000		H	Vz,min	36,9	0,0	0,0	0,0	1
ZATÍŽITELNOST 	0,571	0,823	1,569	1,223	0,975	1,000	1,083								
ZATÍŽITELNOST 	0,571	0,823	1,569	1,223	0,975	1,000	1,083								

TAB G	B. ZATÍŽITELNOST - 1.MS - ÚNOSNOST			
DRUH NAPĚTÍ	1. NORMÁLOVÉ σ_N	2. SMYKOVÉ τ	3. SROVNÁVACÍ σ_E	4.MINIMUM 1-3
ZATÍŽITELNOST Z_p	0,84	>5	0,84	0,84
POSUDEK NAPĚTÍ	B	A	B	B
ŘÍDÍCÍ VNITŘNÍ SÍLA	$N_{x,min}$	$N_{x,max}$	$N_{x,min}$	$N_{x,min}$
KRITICKÝ BOD PRŮŘEZU	1-DL	1-DL	1-DL	1-DL
LINEÁRNÍ KOMBINACE	25	21	25	25

Pokud se jedná o tah jsou příslušné hodnoty součinitelů rovny 1.0

TAB B		STABILITA PRUTU							TAB C		ROZHODUJÍCÍ LINEÁRNÍ KOMBINACE VNITŘNÍCH SIL				
TLAK - VZPĚR		OHYB - INTERAKCE S TLAKEM+KLOPENÍ						ROUČ. MAT.			Nx, My, Mx, Vz				
POSUDEK NAPĚTÍ			k_{yy}	$k_{yz}=k_{zy}$	k_{zz}				POSUDEK NAPĚTÍ	ŘÍDÍCÍ VNITŘNÍ SÍLA	Nx	My	Mz	Vz	K
			[H]	[H]	[H]	[H]	[H]	[H]			[kN]	[kNm]	[kNm]	[kN]	[kN]
A	1,000	1,000	1,000	1,000	1,000	1,000	1,000	1,000	A	Nx,max	85,3	0,0	0,0	0,0	25
B	0,813	0,902	1,122	1,078	0,991	1,000	1,063	1,000	B	Nx,min	-62,4	0,0	0,0	0,0	25
C	1,000	1,000	1,000	1,000	1,000	1,000	1,000	1,000	C	My,max	10,5	0,0	0,0	0,0	1
D	1,000	1,000	1,000	1,000	1,000	1,000	1,000	1,000	D	My,min	10,5	0,0	0,0	0,0	1
E	1,000	1,000	1,000	1,000	1,000	1,000	1,000	1,000	E	Mz,max	10,5	0,0	0,0	0,0	1
F	1,000	1,000	1,000	1,000	1,000	1,000	1,000	1,000	F	Mz,min	10,5	0,0	0,0	0,0	1
G	1,000	1,000	1,000	1,000	1,000	1,000	1,000	1,000	G	Vz,max	10,5	0,0	0,0	0,0	1
H	1,000	1,000	1,000	1,000	1,000	1,000	1,000	1,000	H	Vz,min	10,5	0,0	0,0	0,0	1
ZATÍŽITELNOST	1,000	1,000	1,000	1,000	1,000	1,000	1,000	1,000							
ZATÍŽITELNOST	1,000	1,000	1,000	1,000	1,000	1,000	1,000	1,000							

[illegible]

TAB E		1. ZATÍŽITELNOST - NORMÁLOVÉ NAPĚTÍ											2. ZATÍŽITELNOST - SMYKOVÉ NAPĚTÍ						3. ZATÍŽITELNOST - SROVNÁVACÍ NAPĚTÍ														
		KZ č. 25											KZ č. 21						KZ č. 25														
SKUPINA ZATĚŽ STAVŮ		Nx	My	Mz		V° Nx	V° My	V° Mz				ZATÍŽITELNOST	Vz		V° Vz	ZATÍŽITELNOST	Nx	My	Mz	Vz		V° Nx	V° My	V° Mz	V° Vz						ZATÍŽITELNOST		
		[kN]	[kNm]	[kNm]	[-]	[kN]	[kNm]	[kNm]	[MPa]	[MPa]	[MPa]	[MPa]	[-]	[kN]	[-]	[kN]	[MPa]	[-]	[kN]	[kNm]	[kNm]	[kN]	[-]	[kN]	[kNm]	[kNm]	[kN]	[MPa]	[MPa]	[MPa]	[MPa]	[MPa]	
E _{m,EdU}	G	10,5	0,0	0,0	0,85	8,9	0,0	0,0	8,4	0,0	0,0	8,4	R _e = 213,6 MPa	0,0	1,00	0,0	0,0	R _e = 123,3 MPa	10,5	0,0	0,0	0,0	0,85	8,9	0,0	0,0	0,0	8,4	0,0	8,4	R _e = 213,6 MPa		
	CH	0,0	0,0	0,0	0,00	0,0	0,0	0,0	0,0	0,0	0,0	0,0	0,0	0,0	0,0	0,0	0,0	0,0	0,0	0,0	0,0	0,0	0,0	0,0	0,0	0,0	0,0	0,0	0,0	0,0	R _s = 34,2 MPa		
	W-P	4,8	0,0	0,0	0,50	2,4	0,0	0,0	2,3	0,0	0,0	2,3	R _s = 34,2 MPa	0,0	0,50	0,0	0,0	R _s = 0,0 MPa	4,8	0,0	0,0	0,0	0,50	2,4	0,0	0,0	0,0	2,3	0,0	2,3	0,0	2,3	R _s = 0,0 MPa
	RL	0,0	0,0	0,0	0,00	0,0	0,0	0,0	0,0	0,0	0,0	0,0	0,0	0,0	0,0	0,0	0,0	0,0	0,0	0,0	0,0	0,0	0,0	0,0	0,0	0,0	0,0	0,0	0,0	0,0	66,0 MPa		
	T-N	0,0	0,0	0,0	0,00	0,0	0,0	0,0	0,0	0,0	0,0	0,0	0,0	0,0	0,0	0,0	0,0	0,0	0,0	0,0	0,0	0,0	0,0	0,0	0,0	0,0	0,0	0,0	0,0	0,0	R _s = 0,0 MPa		
	O	0,0	0,0	0,0	0,50	0,0	0,0	0,0	0,0	0,0	0,0	0,0	0,0	0,0	0,40	0,0	0,0	0,0	0,0	0,0	0,0	0,0	0,0	0,0	0,0	0,0	0,0	0,0	0,0	0,0	0,0		
	B	21,3	0,0	0,0	1,00	21,3	0,0	0,0	20,1	0,0	0,0	20,1	Z _{Lm71} = 2,68	0,0	0,80	0,0	0,0	Z _{Lm71} = ≥5	21,3	0,0	0,0	0,0	1,00	21,3	0,0	0,0	0,0	20,1	0,0	20,1	0,0	20,1	Z _{Lm71} = 2,68
	S	7,2	0,0	0,0	0,50	3,6	0,0	0,0	3,4	0,0	0,0	3,4	0,0	0,40	0,0	0,0	0,0	0,0	7,2	0,0	0,0	0,0	0,50	3,6	0,0	0,0	0,0	3,4	0,0	3,4	0,0	3,4	
K	0,0	0,0	0,0	0,00	0,0	0,0	0,0	0,0	0,0	0,0	0,0	0,0	0,0	0,0	0,0	0,0	0,0	0,0	0,0	0,0	0,0	0,0	0,0	0,0	0,0	0,0	0,0	0,0	0,0	0,0			
E _{m71,Ed}	P	69,7	0,0	0,0	1,00	69,7	0,0	0,0	66,0	0,0	0,0	66,0	0,0	0,80	0,0	0,0	0,0	69,7	0,0	0,0	0,0	1,00	69,7	0,0	0,0	0,0	66,0	0,0	66,0	0,0	66,0		

TAB G	B. ZATÍŽITELNOST - 1.MS - ÚNOSNOST			
DRUH NAPĚTÍ	1. NORMÁLOVÉ σ_x	2. SMYKOVÉ τ	3. SROVNÁVACÍ σ_a	4.MINIMUM 1-3
ZATÍŽITELNOST Z_p	2,68	>5	2,68	2,68
POSUDEK NAPĚTÍ	A	A	A	A
ŘÍDICÍ VNITŘNÍ SÍLA	Nx,max	Nx,max	Nx,max	Nx,max
KRITICKÝ BOD PRŮŘEZU	1-DL	1-DL	1-DL	1-DL
LINEÁRNÍ KOMBINACE	25	21	25	25

Pokud se jedná o tah jsou příslušné hodnoty součinitelů rovny 1.0

TAB G	B. ZATÍŽITELNOST - 1.MS - ÚNOSNOST			
DRUH NAPĚTÍ	1. NORMÁLOVÉ σ_x	2. SMYKOVÉ τ	3. SROVNÁVACÍ σ_a	4.MINIMUM 1-3
ZATÍŽITELNOST Z_p	>5	>5	>5	>5
POSUDEK NAPĚTÍ	B	A	B	B
ŘÍDICÍ VNITŘNÍ SÍLA	$N_{x,min}$	$N_{x,max}$	$N_{x,min}$	$N_{x,min}$
KRITICKÝ BOD PRŮŘEZU	1-DL	1-DL	1-DL	1-DL
LINEÁRNÍ KOMBINACE	25	21	25	25

TAB 10 17 A. POSOUZENÍ - 1.MS - ÚNOSNOST

















POSUDEK: 17 PRŮŘEZ: K_1 PRUT X[m] SOUČINITEL KOROZE k = 1,00
OZNAČENÍ: K_1 POPIS: ZTUŽENÍ OBLOUKU i j

POUŽITÁ OBLASTNÍ METODA POSUDKU KOMBINACE TLAKU A OHYBU ČSN EN 1993-1-1 6.3.4

Konzervativně uvažován $C_{m1}=C_{m2}=C_{mLT}=1.0$

Pokud se jedná o tah jsou příslušné hodnoty součinitelů rovny 1.0

TAB A	PRŮŘEZOVÉ CHARAKTERISTIKY KRITICKÉHO PRŮŘEZU											
	TAH, TLAK N_x			OHYB M_y, M_z						SMYK V_z		
	PRO POSOUZENÍ NAPĚTÍ											
	A_x	$A_{y,at,Nx}$	$A_{z,at,Nx}$	W_y	W_z	W_{y,at,M_y}	W_{y,at,M_z}	W_{z,at,M_y}	W_{z,at,M_z}	S_y	I_y	I_z
OZN.	POPIS	[mm ²]	[mm ²]	[mm ²]	[mm ³]	[mm ³]	[mm ³]	[mm ³]	[mm ³]	[mm ³]	[mm ⁴]	[mm ⁴]
1-DL	bod 1- dolní vlákná průřezu, levý okraj	1,350E+04	1,350E+04	1,350E+04	2,674E+06	2,671E+05	2,674E+06	2,674E+06	2,671E+05	-	-	-
2-DP	bod 2- dolní vlákná průřezu, pravý okraj	1,350E+04	1,350E+04	1,350E+04	2,674E+06	2,671E+05	2,674E+06	2,674E+06	2,671E+05	-	-	-
3-HL	bod 3- horní vlákná průřezu, levý okraj	1,350E+04	1,350E+04	1,350E+04	2,674E+06	2,671E+05	2,674E+06	2,674E+06	2,671E+05	-	-	-
4-HP	bod 4- horní vlákná průřezu, pravý okraj	1,350E+04	1,350E+04	1,350E+04	2,674E+06	2,671E+05	2,674E+06	2,674E+06	2,671E+05	-	-	-
5-SD1	bod 5- dolní vlákná stěny 1	1,350E+04	1,350E+04	1,350E+04	2,669E+06	5,342E+06	2,669E+06	2,669E+06	5,342E+06	5,342E+06	1,140E+08	7,887E+08
6-SH1	bod 6- horní vlákná stěny 1	1,350E+04	1,350E+04	1,350E+04	2,669E+06	5,342E+06	2,669E+06	2,669E+06	5,342E+06	5,342E+06	1,140E+08	7,887E+08
7-SD2	bod 7- dolní vlákná stěny 2	1,350E+04	1,350E+04	1,350E+04	2,669E+06	5,342E+06	2,669E+06	2,669E+06	5,342E+06	5,342E+06	1,140E+08	7,887E+08
8-SH2	bod 8- horní vlákná stěny 2	1,350E+04	1,350E+04	1,350E+04	2,669E+06	5,342E+06	2,669E+06	2,669E+06	5,342E+06	5,342E+06	1,140E+08	7,887E+08
9-T	bod 9- těžiště plného průřezu	1,350E+04	1,350E+04	1,350E+04	-	-	-	-	-	1,518E+08	7,887E+08	10,0



TAB B		STABILITA PRUTU							TAB C		ROZHODUJÍCÍ LINEÁRNÍ KOMBINACE VNITŘNÍCH SIL				
		TLAK - VZPĚR		OHYB - INTERAKCE S TLAKEM+KLOPENÍ				SOUČ. MAT			Nx, My, Mz, Vz				
POSUDEK											Nx	My	Mz	Vz	K č.
NAPĚTÍ		[	[	[	[	[	[	[	NAPĚTÍ	VNITŘNÍ SÍLA	[kN]	[kNm]	[kNm]	[kN]	[-]
A		1,000	1,000	1,000	1,000	1,000	1,000	1,000	A	Nx,max	28,3	42,5	6,5	12,6	38
B		0,997	0,512	1,003	1,024	0,997	1,000	1,083	B	Nx,min	-53,7	-135,0	-10,1	50,8	38
C		0,997	0,512	1,002	1,020	0,998	1,000	1,083	C	My,max	-46,3	157,1	8,7	39,5	38
D		0,997	0,512	1,002	1,023	0,997	1,000	1,083	D	My,min	-51,1	-141,4	-10,1	52,1	38
E		0,997	0,512	1,000	1,000	1,000	1,000	1,083	E	Mz,max	-0,9	6,0	21,7	-2,9	38
F		0,997	0,512	1,001	1,011	0,999	1,000	1,083	F	Mz,min	-24,0	-32,4	-21,5	15,0	38
G		0,997	0,512	1,003	1,023	0,997	1,000	1,083	G	Vz,max	-52,9	-46,1	7,8	52,5	38
H		1,000	1,000	1,000	1,000	1,000	1,000	1,000	H	Vz,min	4,8	-42,3	9,1	-25,3	26
ZATÍŽITELNOST 		0,997	0,512	1,001	1,007	0,999	1,000	1,083							
ZATÍŽITELNOST 		0,997	0,512	1,001	1,007	0,999	1,000	1,083							

Pokud se jedná o tah jsou příslušné hodnoty součinitelů rovny 1.0

TAB B		STABILITA PRUTU							TAB C		ROZHODUJÍCÍ LINEÁRNÍ KOMBINACE VNITŘNÍCH SIL				
		TLAK - VZPĚR		OHYB - INTERAKCE S TLAKEM+KLOPENÍ							Nx, My, Mx, Vz				
POSUDEK		k_{yy}	k_{xx}	k_{yy}	k_{xx}	k_{yz}	k_{xy}	k_{zz}	POSUDEK	ŘÍDICÍ	Nx	My	Mz	Vz	K.č.
NAPĚTÍ		σ_x	σ_y	σ_x	σ_y	σ_{xy}	σ_{yz}	σ_{xz}	NAPĚTÍ	VNITŘNÍ SÍLA	[kN]	[kNm]	[kNm]	[kN]	[-]
A	1,000	1,000	1,000	1,000	1,000	1,000	1,000	1,000	A	Nx,max	13,2	-186,5	49,1	20,5	38
B	0,974	0,822	1,064	1,176	0,980	1,000	1,083		B	Nx,min	-5 370,8	205,9	-40,3	-33,6	26
C	0,974	0,822	1,035	1,096	0,989	1,000	1,083		C	My,max	-2 919,0	533,0	-10,2	1,3	42
D	0,974	0,822	1,032	1,086	0,990	1,000	1,083		D	My,min	-2 632,6	-587,8	-2,7	-32,6	41
E	0,974	0,822	1,026	1,071	0,992	1,000	1,083		E	Mz,max	-2 170,7	-340,0	182,5	-30,7	38
F	0,974	0,822	1,028	1,077	0,991	1,000	1,083		F	Mz,min	-2 356,7	-113,9	-187,0	-19,1	37
G	0,974	0,822	1,040	1,108	0,988	1,000	1,083		G	Vz,max	-3 298,2	-298,8	-65,3	49,9	21
H	0,974	0,822	1,036	1,097	0,989	1,000	1,083		H	Vz,min	-2 973,0	-303,3	-7,9	-50,7	22
ZATÍŽITELNOST σ_x	0,974	0,822	1,142	1,387	0,957	1,000	1,083								
ZATÍŽITELNOST σ_y	0,974	0,822	1,142	1,387	0,957	1,000	1,083								

TAB G	B. ZATÍŽITELNOST - 1.MS - ÚŠNOST			
DRUH NAPĚTÍ	1. NORMÁLOVÉ σ_n	2. SMYKOVÉ τ	3. SROVNÁVACÍ σ_n	4. MINIMUM 1-3
ZATÍŽITELNOST Z_p	2,24	>5	2,24	2,24
POSUDEK NAPĚTÍ	B	G	B	B
ŘÍDICÍ VNITŘNÍ SÍLA	$N_{x,min}$	$V_{z,max}$	$N_{x,min}$	$N_{x,min}$
KRITICKÝ BOD PRŮŘEZU	3-HL	9-T	3-HL	3-HL
LINEÁRNÍ KOMBINACE	26	25	26	26

Pokud se jedná o tah jsou příslušné hodnoty součinitelů rovny 1.0

TAB B		STABILITA PRUTU							TAB C		ROZHODUJÍCÍ LINEÁRNÍ KOMBINACE VNITŘNÍCH SIL				
		TLAK - VZPĚR		OHYB - INTERAKCE S TLAKEM+KLOPENÍ							Nx, My, Mx, Vz				
POSUDEK NAPĚTÍ			k_{yy}	k_{xx}	k_{zz}	k_{xy}	k_{yz}	k_{xz}	POSUDEK NAPĚTÍ	ŘÍDÍCÍ VNITŘNÍ SÍLA	Nx	My	Mz	Vz	K č.
	[N]	[N]	[N]	[N]	[N]	[N]	[N]	[N]			[kN]	[kNm]	[kNm]	[kN]	[-]
A	1,000	1,000	1,000	1,000	1,000	1,000	1,000	1,000	A	Nx,max	7,6	-254,6	68,9	20,0	38
B	0,975	0,816	1,075	1,213	0,976	1,000	1,083	1,083	B	Nx,min	-5 484,7	116,3	1,2	-32,5	26
C	0,975	0,816	1,033	1,094	0,990	1,000	1,083	1,083	C	My,max	-2 407,5	471,5		-1,8	41
D	0,975	0,816	1,037	1,106	0,988	1,000	1,083	1,083	D	My,min	-2 713,8	-605,0	17,0	-14,3	41
E	0,975	0,816	1,038	1,109	0,988	1,000	1,083	1,083	E	Mz,max	-2 801,6	-342,5	220,4	19,9	37
F	0,975	0,816	1,040	1,114	0,987	1,000	1,083	1,083	F	Mz,min	-2 944,3	-370,5	-213,2	-19,1	37
G	0,975	0,816	1,034	1,096	0,989	1,000	1,083	1,083	G	Vz,max	-2 457,0	-318,5	-73,5	50,5	21
H	0,975	0,816	1,034	1,097	0,989	1,000	1,083	1,083	H	Vz,min	-2 499,4	-266,9	22,8	-49,5	21
ZATÍŽITELNOST σ_x	0,975	0,816	1,152	1,432	0,952	1,000	1,083								
ZATÍŽITELNOST σ_y	0,975	0,816	1,152	1,432	0,952	1,000	1,083								

TAB G	B. ZATÍŽITELNOST - 1.MS - ÚŠNOST			
DRUH NAPĚTÍ	1. NORMÁLOVÉ σ_n	2. SMYKOVÉ τ	3. SROVNÁVACÍ σ_n	4. MINIMUM 1-3
ZATÍŽITELNOST Z_p	2,03	>5	2,03	2,03
POSUDEK NAPĚTÍ	B	G	B	B
ŘÍDÍCÍ VNITŘNÍ SÍLA	$N_{x,min}$	$V_{z,max}$	$N_{x,min}$	$N_{x,min}$
KRITICKÝ BOD PRŮŘEZU	3-HL	9-T	3-HL	3-HL
LINEÁRNÍ KOMBINACE	26	25	26	26

Pokud se jedná o tah jsou příslušné hodnoty součinitelů rovny 1.0

TAB B		STABILITA PRUTU							TAB C	ROZHODUJÍCÍ LINEÁRNÍ KOMBINACE VNITŘNÍCH SIL					
		TLAK - VZPĚR		DŮVYB - INTERAKCE S TLAKEM+KLOPENÍ							Nx, My, Mx, Vz				
POSUDEK NAPĚTÍ				k _{yy}	k _{xx} +k _{zz}	k _{xy}			POSUDEK NAPĚTÍ	RÍDICÍ VNITŘNÍ SÍLA	Nx	My	Mz	Vz	K. ě.
A		1,000	1,000	1,000	1,000	1,000	1,000	1,000	A	Nx,max	9,1	-236,3	40,2	25,1	38
B		0,973	0,825	1,089	1,238	0,974	1,000	1,083	B	Nx,min	-5 788,3	-11,8	179,9	32,1	26
C		0,973	0,825	1,027	1,073	0,992	1,000	1,083	C	My,max	-1 784,1	377,4	43,8	4,3	41
D		0,973	0,825	1,032	1,085	0,991	1,000	1,083	D	My,min	-2 074,5	-742,8	86,4	-61,5	41
E		0,973	0,825	1,049	1,132	0,985	1,000	1,083	E	Mz,max	-3 205,3	-389,1	334,0	43,3	38
F		0,973	0,825	1,047	1,124	0,986	1,000	1,083	F	Mz,min	-3 025,6	-277,8	-337,7	-25,8	37
G		0,973	0,825	1,029	1,077	0,991	1,000	1,083	G	Vz,max	-1 878,2	-132,6	-133,2	62,7	42
H		0,973	0,825	1,026	1,070	0,992	1,000	1,083	H	Vz,min	-1 697,5	-695,6	104,6	-65,4	42
ZATÍŽITELNOST		0,973	0,825	1,141	1,377	0,958	1,000	1,083							
ZATÍŽITELNOST		0,973	0,825	1,141	1,377	0,958	1,000	1,083							

TAB G	B. ZATÍŽITELNOST - 1.MS - ÚŠNOST			
DRUH NAPĚTÍ	1. NORMÁLOVÉ σ_n	2. SMYKOVÉ τ	3. SROVNÁVACÍ σ_n	4. MINIMUM 1-3
ZATÍŽITELNOST Z_p	1,50	>5	1,50	1,50
POSUDEK NAPĚTÍ	B	H	B	B
ŘÍDICÍ VNITŘNÍ SÍLA	$N_{x,min}$	$V_{z,min}$	$N_{x,min}$	$N_{x,min}$
KRITICKÝ BOD PRŮŘEZU	2-DP	9-T	2-DP	2-DP
LINEÁRNÍ KOMBINACE	26	26	26	26

TAB 10 21 A. POSOUZENÍ - 1.MS - ÚNOSNOST

POSUDEK: 21 PRŮŘEZ: D_1 PRUT X[m] OZNAČENÍ: D_1 POPIS: PODÉLNÍK 1 i j

SOUČINITEL KOROZE k = 1,00

POUŽITÁ OBLIČNÁ METODA POSUDKU KOMBINACE TLAKU A OHYBU ČSN EN 1993-1-1 6.3.4

Konzervativně uvažován C_{my}=C_{mz}=C_{my,t}=1.0

Pokud se jedná o tah jsou příslušné hodnoty součinitelů rovny 1.0

TAB A	PRŮŘEZOVÉ CHARAKTERISTIKY KRITICKÉHO PRŮŘEZU											
	TAH, TLAK N _x			OHYB M _y , M _z						SMYK V _z		
	PRO POSOUZENÍ NAPĚTÍ											
	A _x	A _y	A _z	W _y	W _z	W _{pl,y}	W _{pl,z}	W _{el,y}	W _{el,z}	S _y	I _y	I _z
OZN. POPIS	[mm ²]	[mm ²]	[mm ²]	[mm ³]	[mm ³]	[mm ³]	[mm ³]	[mm ³]	[mm ³]	[mm ³]	[mm ⁴]	[mm ⁴]
1-DL bod 1- dolní vlákna průřezu, levý okraj	1,148E+04	1,148E+04	1,148E+04	1,862E+06	2,585E+05	1,862E+06	1,862E+06	2,585E+05	2,585E+05	-	-	-
2-DP bod 2- dolní vlákna průřezu, pravý okraj	1,148E+04	1,148E+04	1,148E+04	1,862E+06	2,585E+05	1,862E+06	1,862E+06	2,585E+05	2,585E+05	-	-	-
3-HL bod 3- horní vlákna průřezu, levý okraj	1,148E+04	1,148E+04	1,148E+04	-1,862E+06	2,585E+05	-1,862E+06	-1,862E+06	2,585E+05	2,585E+05	-	-	-
4-HP bod 4- horní vlákna průřezu, pravý okraj	1,148E+04	1,148E+04	1,148E+04	-1,862E+06	2,585E+05	-1,862E+06	-1,862E+06	2,585E+05	2,585E+05	-	-	-
5-SD1 bod 5- dolní vlákna stěny 1	1,148E+04	1,148E+04	1,148E+04	1,997E+06	5,686E+06	1,997E+06	1,997E+06	5,686E+06	5,686E+06	8,061E+05	4,413E+08	10,0
6-SH1 bod 6- horní vlákna stěny 1	1,148E+04	1,148E+04	1,148E+04	1,997E+06	-5,686E+06	1,997E+06	1,997E+06	-5,686E+06	-5,686E+06	8,061E+05	4,413E+08	10,0
7-SD2 bod 7- dolní vlákna stěny 2	1,148E+04	1,148E+04	1,148E+04	1,997E+06	5,686E+06	1,997E+06	1,997E+06	5,686E+06	5,686E+06	8,061E+05	4,413E+08	10,0
8-SH2 bod 8- horní vlákna stěny 2	1,148E+04	1,148E+04	1,148E+04	-1,997E+06	-5,686E+06	-1,997E+06	-1,997E+06	-5,686E+06	-5,686E+06	8,061E+05	4,413E+08	10,0
9-T bod 9- těžiště plného průřezu	1,148E+04	1,148E+04	1,148E+04	-	-	-	-	-	-	1,050E+06	4,413E+08	10,0

TAB B	STABILITA PRUTU								TAB C						ROZHODUJÍCÍ LINEÁRNÍ KOMBINACE VNITŘNÍCH SIL				
	TLAK - VZPĚR				OHYB - INTERAKCE S TLAKEM+KLOPENÍ				ROUČ. MAT.						Nx, My, Mx, Vz				
	POSUDEK										POSUDEK				Napětí				
	NAPĚTÍ	[-]	[-]	[-]	k _{ty}	k _{ty} =k _{ty}	k _{ty}	[-]	[-]	[-]	NAPĚTÍ	[-]	[-]	[-]	Nx	My	Mz	Vz	K.č.
A	1,000	1,000	1,000	1,000	1,000	1,000	1,000	1,000	1,000	1,000	A	Nx,max			340,9	105,2	5,1	23,4	25
B	1,000	0,962	1,004	1,008	0,999	1,000	1,083				B	Nx,min			-96,7	-15,0	-1,9	-4,5	25
C	1,000	1,000	1,000	1,000	1,000	1,000	1,000				C	My,max			225,1	140,8	-7,3	108,1	26
D	1,000	1,000	1,000	1,000	1,000	1,000	1,000				D	My,min			49,9	-98,7	9,2	166,0	26
E	1,000	1,000	1,000	1,000	1,000	1,000	1,000				E	Mz,max			124,3	-44,2	19,8	160,0	26
F	1,000	1,000	1,000	1,000	1,000	1,000	1,000				F	Mz,min			151,2	78,9	-15,6	21,5	26
G	1,000	1,000	1,000	1,000	1,000	1,000	1,000				G	Vz,max			119,3	-74,7	13,7	220,3	26
H	1,000	1,000	1,000	1,000	1,000	1,000	1,000				H	Vz,min			148,7	-55,2	12,2	-201,0	26
ZATÍŽITELNOST	1,000	1,000	1,000	1,000	1,000	1,000	1,000												
ZATÍŽITELNOST	1,000	1,000	1,000	1,000	1,000	1,000	1,000												

TAB D		PŘEHLED NAPĚTÍ V KRITICKÝCH BODECH PRŮŘEZU OD ROZHODUJÍCÍ LINEÁRNÍ KOMBINACE ZATÍŽENÍ																																																																																																																																																																																																																																																																																																																																																																																																																																																																																																																																																																																																																																																																																																																																																																								
KRITICKÉ BODY PRŮŘEZU PRO POSOUZENÍ NAPĚTÍ		POSUDEK A			POSUDEK B			POSUDEK C			POSUDEK D			POSUDEK E			POSUDEK F			POSUDEK G			POSUDEK H			MAXIMÁLNÍ HODNOTY NAPĚTÍ V KRITICKÝCH BODECH PRŮŘEZU																																																																																																																																																																																																																																																																																																																																																																																																																																																																																																																																																																																																																																																																																																																																																
		σ_{\perp}	σ_{\parallel}	τ_{\parallel}	σ_{\perp}	σ_{\parallel}	τ_{\parallel}	σ_{\perp}	σ_{\parallel}	τ_{\parallel}	σ_{\perp}	σ_{\parallel}	τ_{\parallel}	σ_{\perp}	σ_{\parallel}	τ_{\parallel}	σ_{\perp}	σ_{\parallel}	τ_{\parallel}	σ_{\perp}	σ_{\parallel}	τ_{\parallel}	σ_{\perp}	σ_{\parallel}	τ_{\parallel}	σ_{\perp}	σ_{\parallel}	τ_{\parallel}	σ_{\perp}	σ_{\parallel}	τ_{\parallel}	σ_{\perp}	σ_{\parallel}	τ_{\parallel}	ROZHODUJÍCÍ																																																																																																																																																																																																																																																																																																																																																																																																																																																																																																																																																																																																																																																																																																																																							
OZN.	POPIS	[MPa]	[MPa]	[MPa]	[MPa]	[MPa]	[MPa]	[MPa]	[MPa]	[MPa]	[MPa]	[MPa]	[MPa]	[MPa]	[MPa]	[MPa]	[MPa]	[MPa]	[MPa]	[MPa]	[MPa]	[MPa]	[MPa]	[MPa]	[MPa]	[MPa]	[MPa]	[MPa]	[MPa]	[MPa]	[MPa]	[MPa]	[MPa]	[MPa]	[MPa]	[MPa]	[MPa]	[MPa]	[MPa]	[MPa]	[MPa]	[MPa]	[MPa]	[MPa]	[MPa]	[MPa]	[MPa]	[MPa]	[MPa]	[MPa]	[MPa]	[MPa]	[MPa]	[MPa]	[MPa]	[MPa]	[MPa]	[MPa]	[MPa]	[MPa]	[MPa]	[MPa]	[MPa]	[MPa]	[MPa]	[MPa]	[MPa]	[MPa]	[MPa]	[MPa]	[MPa]	[MPa]	[MPa]	[MPa]	[MPa]	[MPa]	[MPa]	[MPa]	[MPa]	[MPa]	[MPa]	[MPa]	[MPa]	[MPa]	[MPa]	[MPa]	[MPa]	[MPa]	[MPa]	[MPa]	[MPa]	[MPa]	[MPa]	[MPa]	[MPa]	[MPa]	[MPa]	[MPa]	[MPa]	[MPa]	[MPa]	[MPa]	[MPa]	[MPa]	[MPa]	[MPa]	[MPa]	[MPa]	[MPa]	[MPa]	[MPa]	[MPa]	[MPa]	[MPa]	[MPa]	[MPa]	[MPa]	[MPa]	[MPa]	[MPa]	[MPa]	[MPa]	[MPa]	[MPa]	[MPa]	[MPa]	[MPa]	[MPa]	[MPa]	[MPa]	[MPa]	[MPa]	[MPa]	[MPa]	[MPa]	[MPa]	[MPa]	[MPa]	[MPa]	[MPa]	[MPa]	[MPa]	[MPa]	[MPa]	[MPa]	[MPa]	[MPa]	[MPa]	[MPa]	[MPa]	[MPa]	[MPa]	[MPa]	[MPa]	[MPa]	[MPa]	[MPa]	[MPa]	[MPa]	[MPa]	[MPa]	[MPa]	[MPa]	[MPa]	[MPa]	[MPa]	[MPa]	[MPa]	[MPa]	[MPa]	[MPa]	[MPa]	[MPa]	[MPa]	[MPa]	[MPa]	[MPa]	[MPa]	[MPa]	[MPa]	[MPa]	[MPa]	[MPa]	[MPa]	[MPa]	[MPa]	[MPa]	[MPa]	[MPa]	[MPa]	[MPa]	[MPa]	[MPa]	[MPa]	[MPa]	[MPa]	[MPa]	[MPa]	[MPa]	[MPa]	[MPa]	[MPa]	[MPa]	[MPa]	[MPa]	[MPa]	[MPa]	[MPa]	[MPa]	[MPa]	[MPa]	[MPa]	[MPa]	[MPa]	[MPa]	[MPa]	[MPa]	[MPa]	[MPa]	[MPa]	[MPa]	[MPa]	[MPa]	[MPa]	[MPa]	[MPa]	[MPa]	[MPa]	[MPa]	[MPa]	[MPa]	[MPa]	[MPa]	[MPa]	[MPa]	[MPa]	[MPa]	[MPa]	[MPa]	[MPa]	[MPa]	[MPa]	[MPa]	[MPa]	[MPa]	[MPa]	[MPa]	[MPa]	[MPa]	[MPa]	[MPa]	[MPa]	[MPa]	[MPa]	[MPa]	[MPa]	[MPa]	[MPa]	[MPa]	[MPa]	[MPa]	[MPa]	[MPa]	[MPa]	[MPa]	[MPa]	[MPa]	[MPa]	[MPa]	[MPa]	[MPa]	[MPa]	[MPa]	[MPa]	[MPa]	[MPa]	[MPa]	[MPa]	[MPa]	[MPa]	[MPa]	[MPa]	[MPa]	[MPa]	[MPa]	[MPa]	[MPa]	[MPa]	[MPa]	[MPa]	[MPa]	[MPa]	[MPa]	[MPa]	[MPa]	[MPa]	[MPa]	[MPa]	[MPa]	[MPa]	[MPa]	[MPa]	[MPa]	[MPa]	[MPa]	[MPa]	[MPa]	[MPa]	[MPa]	[MPa]	[MPa]	[MPa]	[MPa]	[MPa]	[MPa]	[MPa]	[MPa]	[MPa]	[MPa]	[MPa]	[MPa]	[MPa]	[MPa]	[MPa]	[MPa]	[MPa]	[MPa]	[MPa]	[MPa]	[MPa]	[MPa]	[MPa]	[MPa]	[MPa]	[MPa]	[MPa]	[MPa]	[MPa]	[MPa]	[MPa]	[MPa]	[MPa]	[MPa]	[MPa]	[MPa]	[MPa]	[MPa]	[MPa]	[MPa]	[MPa]	[MPa]	[MPa]	[MPa]	[MPa]	[MPa]	[MPa]	[MPa]	[MPa]	[MPa]	[MPa]	[MPa]	[MPa]	[MPa]	[MPa]	[MPa]	[MPa]	[MPa]	[MPa]	[MPa]	[MPa]	[MPa]	[MPa]	[MPa]	[MPa]	[MPa]	[MPa]	[MPa]	[MPa]	[MPa]	[MPa]	[MPa]	[MPa]	[MPa]	[MPa]	[MPa]	[MPa]	[MPa]	[MPa]	[MPa]	[MPa]	[MPa]	[MPa]	[MPa]	[MPa]	[MPa]	[MPa]	[MPa]	[MPa]	[MPa]	[MPa]	[MPa]	[MPa]	[MPa]	[MPa]	[MPa]	[MPa]	[MPa]	[MPa]	[MPa]	[MPa]	[MPa]	[MPa]	[MPa]	[MPa]	[MPa]	[MPa]	[MPa]	[MPa]	[MPa]	[MPa]	[MPa]	[MPa]	[MPa]	[MPa]	[MPa]	[MPa]	[MPa]	[MPa]	[MPa]	[MPa]	[MPa]	[MPa]	[MPa]	[MPa]	[MPa]	[MPa]	[MPa]	[MPa]	[MPa]	[MPa]	[MPa]	[MPa]	[MPa]	[MPa]	[MPa]	[MPa]	[MPa]	[MPa]	[MPa]	[MPa]	[MPa]	[MPa]	[MPa]	[MPa]	[MPa]	[MPa]	[MPa]	[MPa]	[MPa]	[MPa]	[MPa]	[MPa]	[MPa]	[MPa]	[MPa]	[MPa]	[MPa]	[MPa]	[MPa]	[MPa]	[MPa]	[MPa]	[MPa]	[MPa]	[MPa]	[MPa]	[MPa]	[MPa]	[MPa]	[MPa]	[MPa]	[MPa]	[MPa]	[MPa]	[MPa]	[MPa]	[MPa]	[MPa]	[MPa]	[MPa]	[MPa]	[MPa]	[MPa]	[MPa]	[MPa]	[MPa]	[MPa]	[MPa]	[MPa]	[MPa]	[MPa]	[MPa]	[MPa]	[MPa]	[MPa]	[MPa]	[MPa]	[MPa]	[MPa]	[MPa]	[MPa]	[MPa]	[MPa]	[MPa]	[MPa]	[MPa]	[MPa]	[MPa]	[MPa]	[MPa]	[MPa]	[MPa]	[MPa]	[MPa]	[MPa]	[MPa]	[MPa]	[MPa]	[MPa]	[MPa]	[MPa]	[MPa]	[MPa]	[MPa]	[MPa]	[MPa]	[MPa]	[MPa]	[MPa]	[MPa]	[MPa]	[MPa]	[MPa]	[MPa]	[MPa]	[MPa]	[MPa]	[MPa]	[MPa]	[MPa]	[MPa]	[MPa]	[MPa]	[MPa]	[MPa]	[MPa]	[MPa]	[MPa]	[MPa]	[MPa]	[MPa]	[MPa]	[MPa]	[MPa]	[MPa]	[MPa]	[MPa]	[MPa]	[MPa]	[MPa]	[MPa]	[MPa]	[MPa]	[MPa]	[MPa]	[MPa]	[MPa]	[MPa]	[MPa]	[MPa]	[MPa]	[MPa]	[MPa]	[MPa]	[MPa]	[MPa]	[MPa]	[MPa]	[MPa]	[MPa]	[MPa]	[MPa]	[MPa]	[MPa]	[MPa]	[MPa]	[MPa]	[MPa]	[MPa]	[MPa]	[MPa]	[MPa]	[MPa]	[MPa]	[MPa]	[MPa]	[MPa]	[MPa]	[MPa]	[MPa]	[MPa]	[MPa]	[MPa]	[MPa]	[MPa]	[MPa]	[MPa]	[MPa]	[MPa]	[MPa]	[MPa]	[MPa]	[MPa]	[MPa]	[MPa]	[MPa]	[MPa]	[MPa]	[MPa]	[MPa]	[MPa]	[MPa]	[MPa]	[MPa]	[MPa]	[MPa]	[MPa]	[MPa]	[MPa]	[MPa]	[MPa]	[MPa]	[MPa]	[MPa]	[MPa]	[MPa]	[MPa]	[MPa]	[MPa]	[MPa]	[MPa]	[MPa]	[MPa]	[MPa]	[MPa]	[MPa]	[MPa]	[MPa]	[MPa]	[MPa]	[MPa]	[MPa]	[MPa]	[MPa]	[MPa]	[MPa]	[MPa]	[MPa]	[MPa]	[MPa]	[MPa]	[MPa]	[MPa]	[MPa]	[MPa]	[MPa]	[MPa]	[MPa]	[MPa]	[MPa]	[MPa]	[MPa]	[MPa]	[MPa]	[MPa]	[MPa]	[MPa]	[MPa]	[MPa]	[MPa]	[MPa]	[MPa]	[MPa]	[MPa]	[MPa]	[MPa]	[MPa]	[MPa]	[MPa]	[MPa]	[MPa]	[MPa]	[MPa]	[MPa]	[MPa]	[MPa]	[MPa]	[MPa]	[MPa]	[MPa]	[MPa]	[MPa]	[MPa]	[MPa]	[MPa]	[MPa]	[MPa]	[MPa]	[MPa]	[MPa]	[MPa]	[MPa]	[MPa]	[MPa]	[MPa]	[MPa]	[MPa]	[MPa]	[MPa]	[MPa]	[MPa]	[MPa]	[MPa]	[MPa]	[MPa]	[MPa]	[MPa]	[MPa]	[MPa]	[MPa]	[MPa]	[MPa]	[MPa]	[MPa]	[MPa]	[MPa]






TAB 11 21 B. ZATÍŽITELNOST - 1.MS - ÚNOSNOST

TAB E		1. ZATÍŽITELNOST - NORMÁLOVÉ NAPĚTÍ												2. ZATÍŽITELNOST - SMYKOVÉ NAPĚTÍ												3. ZATÍŽITELNOST - SROVNÁVACÍ NAPĚTÍ																																																																																																																																																																																																																																																																																																																																																																																																																																																																																																																																																																																																																																																																																																																																																																																																																																																																																																																																																																																																																																																																
		KZ č. 26												KZ č. 26												KZ č. 26																																																																																																																																																																																																																																																																																																																																																																																																																																																																																																																																																																																																																																																																																																																																																																																																																																																																																																																																																																																																																																																																
		ZATÍŽITELNOST												ZATÍŽITELNOST												ZATÍŽITELNOST																																																																																																																																																																																																																																																																																																																																																																																																																																																																																																																																																																																																																																																																																																																																																																																																																																																																																																																																																																																																																																																																
		Nx	My	Mz	[-]	Nx	My	Mz	σ _{xx}	σ _{yy}	σ _{zz}	τ _{xy}	τ _{yz}	Vz	[-]	Vz	[-]	Nx	My	Mz	Vz	[-]	Nx	My	Mz	Vz	[-]	Nx	My	Mz	Vz	[-]	Nx	My	Mz	Vz	[-]	Nx	My	Mz	Vz	[-]	Nx	My	Mz	Vz	[-]	Nx	My	Mz	Vz	[-]	Nx	My	Mz	Vz	[-]	Nx	My	Mz	Vz	[-]	Nx	My	Mz	Vz	[-]	Nx	My	Mz	Vz	[-]	Nx	My	Mz	Vz	[-]	Nx	My	Mz	Vz	[-]	Nx	My	Mz	Vz	[-]	Nx	My	Mz	Vz	[-]	Nx	My	Mz	Vz	[-]	Nx	My	Mz	Vz	[-]	Nx	My	Mz	Vz	[-]	Nx	My	Mz	Vz	[-]	Nx	My	Mz	Vz	[-]	Nx	My	Mz	Vz	[-]	Nx	My	Mz	Vz	[-]	Nx	My	Mz	Vz	[-]	Nx	My	Mz	Vz	[-]	Nx	My	Mz	Vz	[-]	Nx	My	Mz	Vz	[-]	Nx	My	Mz	Vz	[-]	Nx	My	Mz	Vz	[-]	Nx	My	Mz	Vz	[-]	Nx	My	Mz	Vz	[-]	Nx	My	Mz	Vz	[-]	Nx	My	Mz	Vz	[-]	Nx	My	Mz	Vz	[-]	Nx	My	Mz	Vz	[-]	Nx	My	Mz	Vz	[-]	Nx	My	Mz	Vz	[-]	Nx	My	Mz	Vz	[-]	Nx	My	Mz	Vz	[-]	Nx	My	Mz	Vz	[-]	Nx	My	Mz	Vz	[-]	Nx	My	Mz	Vz	[-]	Nx	My	Mz	Vz	[-]	Nx	My	Mz	Vz	[-]	Nx	My	Mz	Vz	[-]	Nx	My	Mz	Vz	[-]	Nx	My	Mz	Vz	[-]	Nx	My	Mz	Vz	[-]	Nx	My	Mz	Vz	[-]	Nx	My	Mz	Vz	[-]	Nx	My	Mz	Vz	[-]	Nx	My	Mz	Vz	[-]	Nx	My	Mz	Vz	[-]	Nx	My	Mz	Vz	[-]	Nx	My	Mz	Vz	[-]	Nx	My	Mz	Vz	[-]	Nx	My	Mz	Vz	[-]	Nx	My	Mz	Vz	[-]	Nx	My	Mz	Vz	[-]	Nx	My	Mz	Vz	[-]	Nx	My	Mz	Vz	[-]	Nx	My	Mz	Vz	[-]	Nx	My	Mz	Vz	[-]	Nx	My	Mz	Vz	[-]	Nx	My	Mz	Vz	[-]	Nx	My	Mz	Vz	[-]	Nx	My	Mz	Vz	[-]	Nx	My	Mz	Vz	[-]	Nx	My	Mz	Vz	[-]	Nx	My	Mz	Vz	[-]	Nx	My	Mz	Vz	[-]	Nx	My	Mz	Vz	[-]	Nx	My	Mz	Vz	[-]	Nx	My	Mz	Vz	[-]	Nx	My	Mz	Vz	[-]	Nx	My	Mz	Vz	[-]	Nx	My	Mz	Vz	[-]	Nx	My	Mz	Vz	[-]	Nx	My	Mz	Vz	[-]	Nx	My	Mz	Vz	[-]	Nx	My	Mz	Vz	[-]	Nx	My	Mz	Vz	[-]	Nx	My	Mz	Vz	[-]	Nx	My	Mz	Vz	[-]	Nx	My	Mz	Vz	[-]	Nx	My	Mz	Vz	[-]	Nx	My	Mz	Vz	[-]	Nx	My	Mz	Vz	[-]	Nx	My	Mz	Vz	[-]	Nx	My	Mz	Vz	[-]	Nx	My	Mz	Vz	[-]	Nx	My	Mz	Vz	[-]	Nx	My	Mz	Vz	[-]	Nx	My	Mz	Vz	[-]	Nx	My	Mz	Vz	[-]	Nx	My	Mz	Vz	[-]	Nx	My	Mz	Vz	[-]	Nx	My	Mz	Vz	[-]	Nx	My	Mz	Vz	[-]	Nx	My	Mz	Vz	[-]	Nx	My	Mz	Vz	[-]	Nx	My	Mz	Vz	[-]	Nx	My	Mz	Vz	[-]	Nx	My	Mz	Vz	[-]	Nx	My	Mz	Vz	[-]	Nx	My	Mz	Vz	[-]	Nx	My	Mz	Vz	[-]	Nx	My	Mz	Vz	[-]	Nx	My	Mz	Vz	[-]	Nx	My	Mz	Vz	[-]	Nx	My	Mz	Vz	[-]	Nx	My	Mz	Vz	[-]	Nx	My	Mz	Vz	[-]	Nx	My	Mz	Vz	[-]	Nx	My	Mz	Vz	[-]	Nx	My	Mz	Vz	[-]	Nx	My	Mz	Vz	[-]	Nx	My	Mz	Vz	[-]	Nx	My	Mz	Vz	[-]	Nx	My	Mz	Vz	[-]	Nx	My	Mz	Vz	[-]	Nx	My	Mz	Vz	[-]	Nx	My	Mz	Vz	[-]	Nx	My	Mz	Vz	[-]	Nx	My	Mz	Vz	[-]	Nx	My	Mz	Vz	[-]	Nx	My	Mz	Vz	[-]	Nx	My	Mz	Vz	[-]	Nx	My	Mz	Vz	[-]	Nx	My	Mz	Vz	[-]	Nx	My	Mz	Vz	[-]	Nx	My	Mz	Vz	[-]	Nx	My	Mz	Vz	[-]	Nx	My	Mz	Vz	[-]	Nx	My	Mz	Vz	[-]	Nx	My	Mz	Vz	[-]	Nx	My	Mz	Vz	[-]	Nx	My	Mz	Vz	[-]	Nx	My	Mz	Vz	[-]	Nx	My	Mz	Vz	[-]	Nx	My	Mz	Vz	[-]	Nx	My	Mz	Vz	[-]	Nx	My	Mz	Vz	[-]	Nx	My	Mz	Vz	[-]	Nx	My	Mz	Vz	[-]	Nx	My	Mz	Vz	[-]	Nx	My	Mz	Vz	[-]	Nx	My	Mz	Vz	[-]	Nx	My	Mz	Vz	[-]	Nx	My	Mz	Vz	[-]	Nx	My	Mz	Vz	[-]	Nx	My	Mz	Vz	[-]	Nx	My	Mz	Vz	[-]	Nx	My	Mz	Vz	[-]	Nx	My	Mz	Vz	[-]	Nx	My	Mz	Vz	[-]	Nx	My	Mz	Vz	[-]	Nx	My	Mz	Vz	[-]	Nx	My	Mz	Vz	[-]	Nx	My	Mz	Vz	[-]	Nx	My	Mz	Vz	[-]	Nx	My	Mz	Vz	[-]	Nx	My	Mz	Vz	[-]	Nx	My	Mz	Vz	[-]	Nx	My	Mz	Vz	[-]	Nx	My	Mz	Vz	[-]	Nx	My	Mz	Vz	[-]	Nx	My	Mz	Vz	[-]	Nx	My	Mz	Vz	[-]	Nx	My	Mz	Vz	[-]	Nx	My	Mz	Vz	[-]	Nx	My	Mz	Vz	[-]	Nx	My	Mz	Vz	[-]	Nx	My	Mz	Vz	[-]	Nx	My	Mz	Vz	[-]	Nx	My	Mz	Vz	[-]	Nx	My	Mz	Vz	[-]	Nx	My	Mz	Vz	[-]	Nx	My	Mz	Vz	[-]	Nx	My	Mz	Vz	[-]	Nx	My	Mz	Vz	[-]	Nx	My	Mz	Vz	[-]	Nx	My	Mz	Vz	[-]	Nx	My	Mz	Vz	[-]	Nx	My	Mz	Vz	[-]	Nx	My	Mz	Vz	[-]	Nx	My	Mz	Vz	[-]	Nx	My	Mz	Vz	[-]	Nx	My	Mz	Vz	[-]	Nx	My	Mz	Vz	[-]	Nx	My	Mz	Vz	[-]	Nx	My	Mz	Vz	[-]	Nx	My	Mz	Vz	[-]	Nx	My	Mz	Vz	[-]	Nx	My	Mz	Vz	[-]	Nx	My	Mz	Vz	[-]	Nx	My	Mz	Vz	[-]	Nx	My	Mz	Vz	[-]	Nx	My	Mz	Vz	[-]	Nx	My	Mz	Vz	[-]	Nx	My	Mz	Vz	[-]	Nx	My	Mz	Vz	[-]	Nx	My	Mz	Vz	[-]	Nx	My	Mz	Vz	[-]	Nx	My	Mz	Vz	[-]	Nx	My	Mz	Vz	[-]	Nx	My	Mz	Vz	[-]	Nx	My	Mz

A. POSOUZENÍ - 1.MS - ÚNOSNOST

POUŽITÁ OBECNÁ METODA POSUDKU KOMBINACE TLAKU A OHYBU ČSN EN 1993-1-1 6.3.4

Pokud se jedná o tah jsou příslušné hodnoty součinitelů rovny 1.0

TAB B		STABILITA PRUTU							TAB C		ROZHODUJÍCÍ LINEÁRNÍ KOMBINACE VNITŘNÍCH SIL				
TLAK - VZPĚR		OHYB - INTERAKCE S TLAKEM+KLOPENÍ						SOUD. MAT.		Nx, My, Mx, Vz					
POSUDEK NAPĚTÍ			K_{yy}	$K_{zz}=K_{x2}$	K_{xy}	α		POSUDEK NAPĚTÍ	ŘÍDICI VNITŘNÍ SÍLA	Nx	My	Mz	Vz	K.č.	
	[kN]	[kN]	[-]	[-]	[-]	[-]	[kN]			[kNm]	[kNm]	[kN]	[-]		
A	1,000	1,000	1,000	1,000	1,000	1,000	1,000	A	Nx,max	540,5	-6,4	-2,5	-115,1	25	
B	1,000	0,966	1,022	1,037	0,996	1,000	1,083	B	Nx,min	-430,9	-35,5	-1,2	-7,1	25	
C	1,000	0,966	1,002	1,004	1,000	1,000	1,083	C	My,max	-41,4	133,0	6,0	-89,1	26	
D	1,000	0,966	1,008	1,013	0,999	1,000	1,083	D	My,min	-147,8	-150,5	-5,5	152,2	26	
E	1,000	0,966	1,001	1,002	1,000	1,000	1,083	E	Mz,max	-19,3	38,3	21,8	-25,5	26	
F	1,000	1,000	1,000	1,000	1,000	1,000	1,000	F	Mz,min	252,3	-32,5	-22,5	130,6	42	
G	1,000	1,000	1,000	1,000	1,000	1,000	1,000	G	Vz,max	113,5	-93,2	-7,7	234,1	26	
H	1,000	0,966	1,002	1,003	1,000	1,000	1,083	H	Vz,min	-36,4	1,7	2,2	-305,4	26	
ZATÍŽITELNOST 	1,000	1,000	1,000	1,000	1,000	1,000	1,000								
ZATÍŽITELNOST 	1,000	0,966	1,002	1,004	1,000	1,000	1,083								

[illegible]

B. ZATÍŽITELNOST - 1.MS - ÚNOSNOST

[illegible]

C. SHRUTÍ VÝSLEDKŮ

TAB G	B. ZAŽÍTELNOST - 1.MS - ÚNOSNOST			
DRUH NAPĚTÍ	1. NORMÁLOVÉ σ_n	2. SMYKOVÉ τ	3. SROVNÁVACÍ σ_n	4.MINIMUM 1-3
ZAŽÍTELNOST Z_p	1,13	1,13	1,03	1,03
POSUDEK NAPĚTÍ	F	H	H	H
ŘÍDÍCÍ VNITŘNÍ SÍLA	Mz,min	Vz,min	Vz,min	Vz,min
KRITICKÝ BOD PRŮŘEZU	4-HP	9-T	9-T	9-T
LINEÁRNÍ KOMBINACE	26	26	26	26

Pokud se jedná o tah jsou příslušné hodnoty součinitelů rovny 1.0

TAB B		STABILITA PRUTU							TAB C		ROZHODUJÍCÍ LINEÁRNÍ KOMBINACE VNITŘNÍCH SIL				
TLAK - VZPĚR		OHYB - INTERAKCE S TLAKEM+KLOPENÍ						ROUD. MAT.			Nx, My, Mx, Vz				
POSUDEK NAPĚTÍ			k_{yy}	$k_{yz}=k_{zy}$	k_{zz}	k_{xy}	k_{xz}	k_{yz}	POSUDEK NAPĚTÍ	ŘÍDÍCÍ VNITŘNÍ SÍLA	Nx	My	Mz	Vz	K
			[H]	[H]	[H]	[H]	[H]	[H]			[kN]	[kNm]	[kNm]	[kN]	[kN]
A	1,000	1,000	1,000	1,000	1,000	1,000	1,000	1,000	A	Nx,max	504,0	102,5	3,8	-24,2	25
B	1,000	0,962	1,005	1,010	0,999	1,000	1,063	1,000	B	Nx,min	-124,4	-5,0	0,9	0,7	25
C	1,000	1,000	1,000	1,000	1,000	1,000	1,000	1,000	C	My,max	323,9	147,8	-6,8	-114,9	26
D	1,000	1,000	1,000	1,000	1,000	1,000	1,000	1,000	D	My,min	210,3	-85,5	7,6	-137,5	26
E	1,000	1,000	1,000	1,000	1,000	1,000	1,000	1,000	E	Mz,max	189,2	-13,0	17,8	-87,0	26
F	1,000	1,000	1,000	1,000	1,000	1,000	1,000	1,000	F	Mz,min	263,4	79,4	-15,9	122,9	26
G	1,000	1,000	1,000	1,000	1,000	1,000	1,000	1,000	G	Vz,max	233,4	-48,1	12,2	209,2	26
H	1,000	1,000	1,000	1,000	1,000	1,000	1,000	1,000	H	Vz,min	281,7	-53,4	9,5	-216,1	26
ZATÍŽITELNOST	1,000	1,000	1,000	1,000	1,000	1,000	1,000	1,000							
ZATÍŽITELNOST	1,000	1,000	1,000	1,000	1,000	1,000	1,000	1,000							

TAB D		PŘEHLED NAPĚTÍ V KRITICKÝCH BODECH PRŮŘEZU OD ROZHODUJÍCÍ LINEÁRNÍ KOMBINACE ZATÍŽENÍ																																	
KRITICKÉ BODY PRŮŘEZU PRO POSOUZENÍ NAPĚTÍ		POSUDEK A		POSUDEK B		POSUDEK C		POSUDEK D		POSUDEK E		POSUDEK F		POSUDEK G		POSUDEK H		MAXIMÁLNÍ HODNOTY NAPĚTÍ V KRITICKÝCH BODECH PRŮŘEZU																	
		M _A	f _{y,d}	M _B	f _{y,d}	M _C	f _{y,d}	M _D	f _{y,d}	M _E	f _{y,d}	M _F	f _{y,d}	M _G	f _{y,d}	M _H	f _{y,d}	M _{max}	f _{y,d}	M _{max}	f _{y,d}	M _{max}	f _{y,d}	M _{max}	f _{y,d}	M _{max}	f _{y,d}	M _{max}	f _{y,d}	ROZHODNUTÍ					
OZN.	POPIS	[MPa]	[MPa]	[MPa]	[MPa]	[MPa]	[MPa]	[MPa]	[MPa]	[MPa]	[MPa]	[MPa]	[MPa]	[MPa]	[MPa]	[MPa]	[MPa]	[MPa]	[MPa]	[MPa]	[MPa]	[MPa]	[MPa]	[MPa]	[MPa]	[MPa]	[MPa]	[MPa]	[MPa]	[MPa]	{-}				
1-DL	bod 1 - dolní vlákná průřezu, levý okraj	113,8	0,0	113,8	-10,1	0,0	10,1	81,4	0,0	81,4	1,8	0,0	1,8	78,4	0,0	78,4	4,0	0,0	4,0	41,6	0,0	41,6	32,8	0,0	32,8	113,8	213,6	0,533	0,0	123,3	0,000	113,8	213,6	0,533	normál.napětí
2-DP	bod 2 - dolní vlákná průřezu, pravý okraj	84,3	0,0	84,3	-17,0	0,0	17,0	133,9	0,0	133,9	-57,0	0,0	57,0	-59,3	0,0	59,3	127,3	0,0	127,3	-52,5	0,0	52,5	-41,0	0,0	41,0	133,9	213,6	0,627	0,0	123,3	0,000	133,9	213,6	0,627	normál.napětí
3-HL	bod 3 - horní vlákná průřezu, levý okraj	3,7	0,0	3,7	-4,7	0,0	4,7	-77,3	0,0	77,3	93,7	0,0	93,7	92,3	0,0	92,3	-81,4	0,0	81,4	93,2	0,0	93,2	90,1	0,0	90,1	93,7	213,6	0,438	0,0	123,3	0,000	93,7	213,6	0,438	normál.napětí
4-HP	bod 4 - horní vlákná průřezu, pravý okraj	-25,9	0,0	25,9	-11,6	0,0	11,6	-24,9	0,0	24,9	34,9	0,0	34,9	-45,4	0,0	45,4	42,0	0,0	42,0	-0,8	0,0	0,8	16,3	0,0	16,3	-45,4	213,6	0,212	0,0	123,3	0,000	45,4	213,6	0,212	norm.napětí
5-SD1	bod 5 - dolní vlákná stěny 1	96,0	5,5	96,5	-13,2	0,2	13,2	101,1	26,0	110,7	-23,2	31,1	58,6	13,1	19,7	36,5	60,0	27,8	76,9	-1,6	47,3	82,0	-0,5	48,9	84,7	101,1	213,6	0,473	48,9	123,3	0,396	110,7	213,6	0,518	srovn.napětí
6-SH1	bod 6 - horní vlákná stěny 1	94,7	5,5	95,1	-13,5	0,2	13,5	103,5	26,0	112,9	-25,8	31,1	59,7	6,9	19,7	34,8	65,6	27,8	81,4	-5,9	47,3	82,2	-3,8	48,9	84,7	103,5	213,6	0,485	48,9	123,3	0,396	112,9	213,6	0,528	srovn.napětí
7-SD2	bod 7 - dolní vlákná stěny 2	-6,7	5,5	11,6	-8,2	0,2	8,2	-47,0	26,0	65,0	62,5	31,1	82,5	26,1	19,7	43,0	-19,6	27,8	52,0	46,6	47,3	94,3	53,0	48,9	99,9	62,5	213,6	0,293	48,9	123,3	0,396	99,9	213,6	0,468	srovn.napětí
8-SH2	bod 8 - horní vlákná stěny 2	-8,0	5,5	12,4	-8,5	0,2	8,5	-44,6	26,0	63,3	59,8	31,1	80,5	19,9	19,7	39,5	-14,0	27,8	50,1	42,3	47,3	92,2	49,6	48,9	99,1	59,8	213,6	0,280	48,9	123,3	0,396	99,1	213,6	0,459	srovn.napětí
9-T	bod 9 - těžiště plného průřezu	44,0	5,8	45,1	-10,9	0,2	10,9	28,3	55,1	18,3	32,7	59,6	16,5	20,7	39,5	23,0	29,2	55,6	20,4	49,8	88,6	24,6	51,4	92,4	44,0	213,6	0,206	51,4	123,3	0,417	92,4	213,6	0,433	srovn.napětí	

[illegible]

TAB G	B. ZATÍŽITELNOST - 1.MS - ÚNOSNOST			
DRUH NAPĚTÍ	1. NORMÁLOVÉ σ_x	2. SMYKOVÉ τ	3. SROVNÁVACÍ σ_a	4.MINIMUM 1-3
ZATÍŽITELNOST Z_p	1,44	2,15	1,44	1,44
POSUDEK NAPĚTÍ	C	H	C	C
ŘÍDICÍ VNITŘNÍ SÍLA	My,max	Vz,min	My,max	My,max
KRITICKÝ BOD PRŮŘEZU	2-DP	9-T	2-DP	2-DP
LINEÁRNÍ KOMBINACE	26	26	26	26

Pokud se jedná o tah jsou příslušné hodnoty součinitelů rovny 1.0

TAB B		STABILITA PRUTU							TAB C		ROZHODUJÍCÍ LINEÁRNÍ KOMBINACE VNITŘNÍCH SIL					
		TLAK - VZPER		OHYB - INTERAKCE S TLAKEM+KLOPENÍ				BOČ. MAT.			Nx, My, Mx, Vz					
POSUDEK			K_{yy}	$K_{xx}K_{zz}$	K_{yz}			POSUDEK	ŘÍDÍCI	Nx	My	Mz	Vz	K		
NAPĚTÍ								NAPĚTÍ	VNITŘNÍ SÍLA	[kN]	[kNm]	[kNm]	[kN]			
A	1,000	1,000	1,000	1,000	1,000	1,000	1,000	A	Nx,max	606,5	92,4	10,8	-27,6	25		
B	1,000	0,963	1,009	1,018	0,998	1,000	1,083	B	Nx,min	-212,2	-6,2	-2,7	3,2	25		
C	1,000	1,000	1,000	1,000	1,000	1,000	1,000	C	My,max	334,0	142,7	5,1	50,5	26		
D	1,000	1,000	1,000	1,000	1,000	1,000	1,000	D	My,min	147,5	-91,8	6,0	161,2	26		
E	1,000	1,000	1,000	1,000	1,000	1,000	1,000	E	Mz,max	241,8	-30,6	21,7	123,6	26		
F	1,000	1,000	1,000	1,000	1,000	1,000	1,000	F	Mz,min	275,3	70,4	-18,1	-99,7	26		
G	1,000	1,000	1,000	1,000	1,000	1,000	1,000	G	Vz,max	295,0	-52,3	10,0	235,5	26		
H	1,000	1,000	1,000	1,000	1,000	1,000	1,000	H	Vz,min	197,2	-32,4	15,7	-259,4	26		
ZATÍŽITELNOST	1,000	1,000	1,000	1,000	1,000	1,000	1,000									
ZATÍŽITELNOST	1,000	1,000	1,000	1,000	1,000	1,000	1,000									

TAB G	B. ZATÍŽITELNOST - 1.MS - ÚNOSNOST			
DRUH NAPĚTÍ	1. NORMÁLOVÉ σ_x	2. SMYKOVÉ τ	3. SROVNÁVACÍ σ_p	4. MINIMUM 1-3
ZATÍŽITELNOST Z_p	1,30	1,57	1,30	1,30
POSUDEK NAPĚTÍ	A	H	A	A
ŘÍDICÍ VNITŘNÍ SÍLA	$N_{x,max}$	$V_{z,min}$	$N_{x,max}$	$N_{x,max}$
KRITICKÝ BOD PRŮŘEZU	1-DL	9-T	1-DL	1-DL
LINEÁRNÍ KOMBINACE	25	26	25	25

Pokud se jedná o tah jsou příslušné hodnoty součinitelů rovny 1.0

TAB B		STABILITA PRUTU							TAB C		ROZHODUJÍCÍ LINEÁRNÍ KOMBINACE VNITŘNÍCH SIL				
TLAK - VZPĚR		OHYB - INTERAKCE S TLAKEM+KLOPENÍ						ROUD. MAT.			Nx, My, Mx, Vz				
POSUDEK			k_{yy}	$k_{yz}=k_{zy}$	k_{zz}	$k_{\phi T}$	$k_{\phi \phi}$		POSUDEK	ŘÍDÍCI					
NAPĚTÍ			[kN]	[kN]	[kN]	[kN]	[kN]	[kN]	NAPĚTÍ	VNITŘNÍ SÍLA	Nx	My	Mz	Vz	K
			[kN]	[kN]	[kN]	[kN]	[kN]	[kN]			[kN]	[kNm]	[kNm]	[kN]	[kN]
A	1,000	1,000	1,000	1,000	1,000	1,000	1,000	1,000	A	Nx,max	571,3	67,8	6,9	-21,5	25
B	1,000	0,964	1,013	1,026	0,997	1,000	1,083	1,083	B	Nx,min	-299,1	-24,8	-1,1	8,1	25
C	1,000	1,000	1,000	1,000	1,000	1,000	1,000	1,000	C	My,max	232,9	127,4	-4,2	-98,7	26
D	1,000	1,000	1,000	1,000	1,000	1,000	1,000	1,000	D	My,min	113,9	-103,6	6,7	136,6	26
E	1,000	0,964	1,002	1,005	0,999	1,000	1,083	1,083	E	Mz,max	-55,1	-47,0	20,8	145,3	26
F	1,000	1,000	1,000	1,000	1,000	1,000	1,000	1,000	F	Mz,min	203,4	47,4	-16,3	99,2	26
G	1,000	1,000	1,000	1,000	1,000	1,000	1,000	1,000	G	Vz,max	127,1	-75,7	8,7	228,8	26
H	1,000	1,000	1,000	1,000	1,000	1,000	1,000	1,000	H	Vz,min	98,9	-40,5	14,7	-248,1	26
ZATÍŽITELNOST	1,000	0,964	1,006	1,011	0,999	1,000	1,083	1,083							
ZATÍŽITELNOST	1,000	0,964	1,006	1,011	0,999	1,000	1,083	1,083							

TAB G	B. ZATÍŽITELNOST - 1.MS - ÚNOSNOST			
DRUH NAPĚTÍ	1. NORMÁLOVÉ σ_x	2. SMYKOVÉ τ	3. SROVNÁVACÍ σ_a	4.MINIMUM 1-3
ZATÍŽITELNOST Z_p	1,42	1,56	1,42	1,42
POSUDEK NAPĚTÍ	E	H	E	E
ŘÍDICÍ VNITŘNÍ SÍLA	Mz,max	Vz,min	Mz,max	Mz,max
KRITICKÝ BOD PRŮŘEZU	2-DP	9-T	2-DP	2-DP
LINEÁRNÍ KOMBINACE	25	26	25	25

Pokud se jedná o tah jsou příslušné hodnoty součinitelů rovny 1.0

TAB G	B. ZATÍŽITELNOST - 1.MS - ÚŠOSNOST			
DRUH NAPĚTÍ	1. NORMÁLOVÉ σ_n	2. SMYKOVÉ τ	3. SROVNÁVACÍ σ_n	4. MINIMUM 1-3
ZATÍŽITELNOST Z_p	0,96	1,23	0,96	0,96
POSUDEK NAPĚTÍ	F	G	F	F
ŘÍDÍCÍ VNITŘNÍ SÍLA	M_z, \min	V_z, \max	M_z, \min	M_z, \min
KRITICKÝ BOD PRŮŘEZU	4-HP	9-T	4-HP	4-HP
LINEÁRNÍ KOMBINACE	25	26	25	25

<

TAB 10 29 A. POSOUZENÍ - 1.MS - ÚNOSNOST

POSUDEK: 29 PRŮŘEZ: D_9 PRUT X[m] OZNAČENÍ: D_9 POPIS: PODÉLNÍK 9 i j

SOUČINITEL KOROZE k = 1,00

POUŽITÁ OŘECNÁ METODA POSUDKU KOMBINACE TLAKU A OHYBU ČSN EN 1993-1-1 6.3.4

Konzervativně uvažován C_{int}=C_{intL}=1.0

Pokud se jedná o tah jsou příslušné hodnoty součinitelů rovny 1.0

TAB A	PRŮŘEZOVÉ CHARAKTERISTIKY KRITICKÉHO PRŮŘEZU											
	TAH, TLAK N _x			OHYB M _y , M _z						SMYK V _z		
	PRO POSOUZENÍ NAPĚTÍ											
	A ₀	A _{0,at,Nx}	A _{0,at,Mx}	W _y	W _z	W _{y,at,Mx}	W _{y,at,Mz}	W _{z,at,Mx}	W _{z,at,Mz}	S _y	I _y	I _z
OZN.	POPIS	[mm ²]	[mm ²]	[mm ³]	[mm ³]	[mm ³]	[mm ³]	[mm ³]	[mm ³]	[mm ³]	[mm ⁴]	[mm ⁴]
1-DL	bod 1- dolní vlákná průřezu, levý okraj	1,163E+04	1,163E+04	1,163E+04	1,946E+06	2,585E+05	1,946E+06	1,946E+06	2,585E+05	-	-	-
2-DP	bod 2- dolní vlákná průřezu, pravý okraj	1,163E+04	1,163E+04	1,163E+04	1,946E+06	2,585E+05	1,946E+06	1,946E+06	2,585E+05	-	-	-
3-HL	bod 3- horní vlákná průřezu, levý okraj	1,163E+04	1,163E+04	1,163E+04	-1,946E+06	2,585E+05	-1,946E+06	-1,946E+06	2,585E+05	-	-	-
4-HP	bod 4- horní vlákná průřezu, pravý okraj	1,163E+04	1,163E+04	1,163E+04	-1,946E+06	2,585E+05	-1,946E+06	-1,946E+06	2,585E+05	-	-	-
5-SD1	bod 5- dolní vlákná stěny 1	1,163E+04	1,163E+04	1,163E+04	2,082E+06	5,687E+06	2,082E+06	2,082E+06	5,687E+06	5,687E+06	8,360E+05	4,778E+08
6-SH1	bod 6- horní vlákná stěny 1	1,163E+04	1,163E+04	1,163E+04	2,082E+06	-5,687E+06	2,082E+06	2,082E+06	-5,687E+06	5,687E+06	8,360E+05	4,778E+08
7-SD2	bod 7- dolní vlákná stěny 2	1,163E+04	1,163E+04	1,163E+04	2,082E+06	5,687E+06	2,082E+06	2,082E+06	5,687E+06	5,687E+06	8,360E+05	4,778E+08
8-SH2	bod 8- horní vlákná stěny 2	1,163E+04	1,163E+04	1,163E+04	2,082E+06	-5,687E+06	2,082E+06	2,082E+06	-5,687E+06	5,687E+06	8,360E+05	4,778E+08
9-T	bod 9- těžiště plného průřezu	1,163E+04	1,163E+04	1,163E+04	-	-	-	-	-	1,099E+06	4,778E+08	10,0

TAB B	STABILITA PRUTU								ROZHODUJÍCÍ LINEÁRNÍ KOMBINACE VNITŘNÍCH SIL					
	TLAK - VZPĚR				OHYB - INTERAKCE S TLAKEM+KLOPENÍ				ROUČ. MAT		Nx, My, Mx, Vz			
	POSUDEK										POSUDEK			
	NAPĚTÍ	[-]	[-]	[-]	k _{ED}	k _{ED} =k _{kl}	k _{ED}	[-]	[-]	[-]	NAPĚTÍ	ŘÍDÍCÍ VNITŘNÍ SÍLA	Nx	My
A	1,000	1,000	1,000	1,000	1,000	1,000	1,000	1,000	1,000	1,000	A	Nx,max	328,3	108,7
B	1,000	0,961	1,005	1,010	0,999	1,000	1,083				B	Nx,min	-123,2	-7,0
C	1,000	1,000	1,000	1,000	1,000	1,000	1,000				C	My,max	235,0	149,8
D	1,000	1,000	1,000	1,000	1,000	1,000	1,000				D	My,min	68,1	-88,9
E	1,000	1,000	1,000	1,000	1,000	1,000	1,000				E	Mz,max	85,1	-35,6
F	1,000	1,000	1,000	1,000	1,000	1,000	1,000				F	Mz,min	160,8	71,8
G	1,000	1,000	1,000	1,000	1,000	1,000	1,000				G	Vz,max	149,0	-41,9
H	1,000	1,000	1,000	1,000	1,000	1,000	1,000				H	Vz,min	178,2	-32,1
ZATÍŽITELNOST	1,000	1,000	1,000	1,000	1,000	1,000	1,000							
ZATÍŽITELNOST	1,000	1,000	1,000	1,000	1,000	1,000	1,000							

TAB D	PŘEHLED NAPĚTÍ V KRITICKÝCH BODECH PRŮŘEZU OD ROZHODUJÍCÍ LINEÁRNÍ KOMBINACE ZATÍŽENÍ																											
	POSUDEK A				POSUDEK B				POSUDEK C				POSUDEK D				POSUDEK E				POSUDEK F				POSUDEK G			
	PRO POSOUZENÍ NAPĚTÍ																											
	MPa	MPa	MPa	MPa	MPa	MPa	MPa	MPa	MPa	MPa	MPa	MPa	MPa	MPa	MPa	MPa	MPa	MPa	MPa	MPa	MPa	MPa	MPa	MPa	MPa	MPa	MPa	MPa
OZN.	POPIS	[MPa]	[MPa]	[MPa]	[MPa]	[MPa]	[MPa]	[MPa]	[MPa]	[MPa]	[MPa]	[MPa]	[MPa]	[MPa]	[MPa]	[MPa]	[MPa]	[MPa]	[MPa]	[MPa]	[MPa]	[MPa]	[MPa]	[MPa]	[MPa]	[MPa]	[MPa]	[MPa]
1-DL	bod 1- dolní vlákná průřezu, levý okraj	111,5	0,0	111,5	-27,6	0,0	27,6	78,8	0,0	78,8	-6,1	0,0	6,1	67,5	0,0	67,5	-11,2	0,0	11,2	34,4	0,0	34,4	57,6	0,0	57,6	111,5	213,6	0,522
2-DP	bod 2- dolní vlákná průřezu, pravý okraj	56,6	0,0	56,6	-0,8	0,0	0,8	115,5	0,0	115,5	-73,6	0,0	73,6	-89,5	0,0	89,5	112,7	0,0	112,7	-51,8	0,0	51,8	-59,9	0,0	59,9	115,5	213,6	0,541
3-HL	bod 3- horní vlákná průřezu, levý okraj	-0,1	0,0	0,1	-20,4	0,0	20,4	-75,1	0,0	75,1	85,3	0,0	85,3	104,1	0,0	104,1	-85,0	0,0	85,0	77,5	0,0	77,5	90,5	0,0	90,5	104,1	213,6	0,487
4-HP	bod 4- horní vlákná průřezu, pravý okraj	-55,1	0,0	55,1	6,4	0,0	6,4	-38,4	0,0	38,4	17,8	0,0	17,8	-52,9	0,0	52,9	38,9	0,0	38,9	-8,7	0,0	8,7	-26,9	0,0	26,9	-55,1	213,6	0,258
5-SD1	bod 5- dolní vlákná stěny 1	81,7	8,9	83,1	-14,6	0,7	14,6	91,3	14,8	94,8	-35,3	34,7	69,7	-6,2	18,8	33,1	45,5	3,0	45,8	-5,4	48,7	84,5	2,6	59,9	103,7	91,3	213,6	0,428
6-SH1	bod 6- horní vlákná stěny 1	79,2	8,9	80,7	-13,3	0,7	13,4	93,0	14,8	96,4	-38,4	34,7	71,3	-13,3	18,8	35,2	51,1	3,0	51,4	-9,3	48,7	84,9	-2,8	59,9	103,7	93,0	213,6	0,435
7-SD2	bod 7- dolní vlákná stěny 2	-22,7	8,9	27,5	-7,8	0,7	7,9	-52,6	14,8	58,5	50,1	34,7	78,3	28,0	18,8	42,9	-23,5	3,0	24,1	34,9	48,7	91,3	33,4	59,9	108,9	-52,6	213,6	0,246
8-SH2	bod 8- horní vlákná stěny 2	-25,2	8,9	29,6	-6,6	0,7	6,7	-50,9	14,8	57,0	47,0	34,7	76,3	20,8	18,8	38,7	-17,9	3,0	18,6	31,0	48,7	89,9	28,1	59,9	107,4	-50,9	213,6	0,238
9-T	bod 9- těžiště plného průřezu	28,2	9,4	32,6	-10,6	0,8	10,7	20,2	15,6	33,7	5,9	36,7	63,8	7,3	19,9	35,2	13,8	3,2	14,9	12,8	51,4	90,0	15,3	63,2	110,6	28,2	213,6	0,132

TAB 11 29 B. ZATÍŽITELNOST - 1.MS - ÚNOSNOST

TAB E		1. ZATÍŽITELNOST - NORMÁLOVÉ NAPĚTÍ											2. ZATÍŽITELNOST - SMYKOVÉ NAPĚTÍ											3. ZATÍŽITELNOST - SROVNÁVACÍ NAPĚTÍ											KZ č. 26																																																																																																																																																																																																																																																																																																																																																																																																																																																																																																																																																																																																																																																																																																																																																																																																																																																																																																																																																																																																																																																																																	
		KZ č. 26											KZ č. 26											KZ č. 26																																																																																																																																																																																																																																																																																																																																																																																																																																																																																																																																																																																																																																																																																																																																																																																																																																																																																																																																																																																																																																																																																												
SKUPINA		Nx	My	Mz	Vz	Nx	My	Mz	σ _{xx}	σ _{yy}	σ _{zz}	τ _{xy}	τ _{yz}	τ _{xz}	ZATÍŽITELNOST		Vz	Vz	Vz	Vz	Nx	My	Mz	Vz	Vz	Nx	My	Mz	Vz	Vz	Nx	My	Mz	Vz	Vz	Nx	My	Mz	Vz	Vz	Nx	My	Mz	Vz	Vz	Nx	My	Mz	Vz	Vz	Nx	My	Mz	Vz	Vz	Nx	My	Mz	Vz	Vz	Nx	My	Mz	Vz	Vz	Nx	My	Mz	Vz	Vz	Nx	My	Mz	Vz	Vz	Nx	My	Mz	Vz	Vz	Nx	My	Mz	Vz	Vz	Nx	My	Mz	Vz	Vz	Nx	My	Mz	Vz	Vz	Nx	My	Mz	Vz	Vz	Nx	My	Mz	Vz	Vz	Nx	My	Mz	Vz	Vz	Nx	My	Mz	Vz	Vz	Nx	My	Mz	Vz	Vz	Nx	My	Mz	Vz	Vz	Nx	My	Mz	Vz	Vz	Nx	My	Mz	Vz	Vz	Nx	My	Mz	Vz	Vz	Nx	My	Mz	Vz	Vz	Nx	My	Mz	Vz	Vz	Nx	My	Mz	Vz	Vz	Nx	My	Mz	Vz	Vz	Nx	My	Mz	Vz	Vz	Nx	My	Mz	Vz	Vz	Nx	My	Mz	Vz	Vz	Nx	My	Mz	Vz	Vz	Nx	My	Mz	Vz	Vz	Nx	My	Mz	Vz	Vz	Nx	My	Mz	Vz	Vz	Nx	My	Mz	Vz	Vz	Nx	My	Mz	Vz	Vz	Nx	My	Mz	Vz	Vz	Nx	My	Mz	Vz	Vz	Nx	My	Mz	Vz	Vz	Nx	My	Mz	Vz	Vz	Nx	My	Mz	Vz	Vz	Nx	My	Mz	Vz	Vz	Nx	My	Mz	Vz	Vz	Nx	My	Mz	Vz	Vz	Nx	My	Mz	Vz	Vz	Nx	My	Mz	Vz	Vz	Nx	My	Mz	Vz	Vz	Nx	My	Mz	Vz	Vz	Nx	My	Mz	Vz	Vz	Nx	My	Mz	Vz	Vz	Nx	My	Mz	Vz	Vz	Nx	My	Mz	Vz	Vz	Nx	My	Mz	Vz	Vz	Nx	My	Mz	Vz	Vz	Nx	My	Mz	Vz	Vz	Nx	My	Mz	Vz	Vz	Nx	My	Mz	Vz	Vz	Nx	My	Mz	Vz	Vz	Nx	My	Mz	Vz	Vz	Nx	My	Mz	Vz	Vz	Nx	My	Mz	Vz	Vz	Nx	My	Mz	Vz	Vz	Nx	My	Mz	Vz	Vz	Nx	My	Mz	Vz	Vz	Nx	My	Mz	Vz	Vz	Nx	My	Mz	Vz	Vz	Nx	My	Mz	Vz	Vz	Nx	My	Mz	Vz	Vz	Nx	My	Mz	Vz	Vz	Nx	My	Mz	Vz	Vz	Nx	My	Mz	Vz	Vz	Nx	My	Mz	Vz	Vz	Nx	My	Mz	Vz	Vz	Nx	My	Mz	Vz	Vz	Nx	My	Mz	Vz	Vz	Nx	My	Mz	Vz	Vz	Nx	My	Mz	Vz	Vz	Nx	My	Mz	Vz	Vz	Nx	My	Mz	Vz	Vz	Nx	My	Mz	Vz	Vz	Nx	My	Mz	Vz	Vz	Nx	My	Mz	Vz	Vz	Nx	My	Mz	Vz	Vz	Nx	My	Mz	Vz	Vz	Nx	My	Mz	Vz	Vz	Nx	My	Mz	Vz	Vz	Nx	My	Mz	Vz	Vz	Nx	My	Mz	Vz	Vz	Nx	My	Mz	Vz	Vz	Nx	My	Mz	Vz	Vz	Nx	My	Mz	Vz	Vz	Nx	My	Mz	Vz	Vz	Nx	My	Mz	Vz	Vz	Nx	My	Mz	Vz	Vz	Nx	My	Mz	Vz	Vz	Nx	My	Mz	Vz	Vz	Nx	My	Mz	Vz	Vz	Nx	My	Mz	Vz	Vz	Nx	My	Mz	Vz	Vz	Nx	My	Mz	Vz	Vz	Nx	My	Mz	Vz	Vz	Nx	My	Mz	Vz	Vz	Nx	My	Mz	Vz	Vz	Nx	My	Mz	Vz	Vz	Nx	My	Mz	Vz	Vz	Nx	My	Mz	Vz	Vz	Nx	My	Mz	Vz	Vz	Nx	My	Mz	Vz	Vz	Nx	My	Mz	Vz	Vz	Nx	My	Mz	Vz	Vz	Nx	My	Mz	Vz	Vz	Nx	My	Mz	Vz	Vz	Nx	My	Mz	Vz	Vz	Nx	My	Mz	Vz	Vz	Nx	My	Mz	Vz	Vz	Nx	My	Mz	Vz	Vz	Nx	My	Mz	Vz	Vz	Nx	My	Mz	Vz	Vz	Nx	My	Mz	Vz	Vz	Nx	My	Mz	Vz	Vz	Nx	My	Mz	Vz	Vz	Nx	My	Mz	Vz	Vz	Nx	My	Mz	Vz	Vz	Nx	My	Mz	Vz	Vz	Nx	My	Mz	Vz	Vz	Nx	My	Mz	Vz	Vz	Nx	My	Mz	Vz	Vz	Nx	My	Mz	Vz	Vz	Nx	My	Mz	Vz	Vz	Nx	My	Mz	Vz	Vz	Nx	My	Mz	Vz	Vz	Nx	My	Mz	Vz	Vz	Nx	My	Mz	Vz	Vz	Nx	My	Mz	Vz	Vz	Nx	My	Mz	Vz	Vz	Nx	My	Mz	Vz	Vz	Nx	My	Mz	Vz	Vz	Nx	My	Mz	Vz	Vz	Nx	My	Mz	Vz	Vz	Nx	My	Mz	Vz	Vz	Nx	My	Mz	Vz	Vz	Nx	My	Mz	Vz	Vz	Nx	My	Mz	Vz	Vz	Nx	My	Mz	Vz	Vz	Nx	My	Mz	Vz	Vz	Nx	My	Mz	Vz	Vz	Nx	My	Mz	Vz	Vz	Nx	My	Mz	Vz	Vz	Nx	My	Mz	Vz	Vz	Nx	My	Mz	Vz	Vz	Nx	My	Mz	Vz	Vz	Nx	My	Mz	Vz	Vz	Nx	My	Mz	Vz	Vz	Nx	My	Mz	Vz	Vz	Nx	My	Mz	Vz	Vz	Nx	My	Mz	Vz	Vz	Nx	My	Mz	Vz	Vz	Nx	My	Mz	Vz	Vz	Nx	My	Mz	Vz	Vz	Nx	My	Mz	Vz	Vz	Nx	My	Mz	Vz	Vz	Nx	My	Mz	Vz	Vz	Nx	My	Mz	Vz	Vz	Nx	My	Mz	Vz	Vz	Nx	My	Mz	Vz	Vz	Nx	My	Mz	Vz	Vz	Nx	My	Mz	Vz	Vz	Nx	My	Mz	Vz	Vz	Nx	My	Mz	Vz	Vz	Nx	My	Mz	Vz	Vz	Nx	My	Mz	Vz	Vz	Nx	My	Mz	Vz	Vz	Nx	My	Mz	Vz	Vz	Nx	My	Mz	Vz	Vz	Nx	My	Mz	Vz	Vz	Nx	My	Mz	Vz	Vz	Nx	My	Mz	Vz	Vz	Nx	My	Mz	Vz	Vz	Nx	My	Mz	Vz	Vz	Nx	My	Mz	Vz	Vz	Nx	My	Mz	Vz	Vz	Nx	My	Mz	Vz	Vz	Nx	My	Mz	Vz	Vz	Nx	My	Mz	Vz	Vz	Nx	My	Mz	Vz	Vz	Nx	My	Mz	Vz	Vz	Nx	My	Mz	Vz	Vz	Nx	My	Mz	Vz	Vz	Nx	My	Mz	Vz	Vz	Nx	My	Mz	Vz	Vz	Nx	My	Mz	Vz	Vz	Nx	My	Mz	Vz	Vz	Nx	My	Mz	Vz	Vz	Nx	My	Mz	Vz	Vz	Nx	My	Mz	Vz	Vz	Nx	My	Mz	Vz	Vz	Nx	My	Mz	Vz	Vz	Nx	My	Mz	Vz	Vz	Nx	My	Mz	Vz	Vz	Nx	My	Mz	Vz	Vz	Nx	My	Mz	Vz	Vz	Nx	My	Mz	Vz	Vz	Nx	My	Mz	Vz	Vz	Nx	My	Mz	Vz	Vz	Nx	My	Mz	Vz	Vz	Nx	My	Mz	Vz	Vz	Nx	My	Mz	Vz	Vz	Nx	My	Mz	Vz	Vz	Nx	My	Mz	Vz	Vz	Nx	My	Mz	Vz	Vz	N

TAB 12 29 C. SHRNU TÍ VÝSLEDKŮ

TAB F	A. POSOUZENÍ - 1.MS - ÚNOSNOST			
	1. NORMÁLOVÉ η_1	2. SMYKOVÉ η_2	3. SROVNÁVACÍ η_3	4. MAXIMUM 1-3
MAXIMÁLNÍ VYUŽITÍ	0,541	0,513	0,541	0,541
POSUDEK NAPĚTÍ	C	H	C	C
ŘÍDÍCÍ VNITŘNÍ SÍLA	My,max	Vz,min	My,max	My,max
KRITICKÝ BOD PRŮŘEZU	2-DP	9-T	2-DP	2-DP
LINEÁRNÍ KOMBINACE	26	26	26	26

TAB G	B. ZATÍŽITELNOST - 1.MS - ÚNOSNOST			
	1. NORMÁLOVÉ σ_1	2. SMYKOVÉ τ	3. SROVNÁVACÍ σ_3	4. MINIMUM 1-3
ZATÍŽITELNOST Z _p	1,66	1,60	1,58	1,58
POSUDEK NAPĚTÍ	C	H	H	H
ŘÍDÍCÍ VNITŘNÍ SÍLA	My,max	Vz,min	Vz,min	Vz,min
KRITICKÝ BOD PRŮŘEZU	2-DP	9-T	7-SD2	7-SD2
LINEÁRNÍ KOMBINACE	26	26	26	26

TAB 10 30 A. POSOUZENÍ - 1.MS - ÚNOSNOST

POSUDEK: 30 PRŮŘEZ: D_10 PRUT X[m] OZNAČENÍ: D_10 POPIS: PODÉLNÍK 10 i j










SOUCÍNITEL KOROZE k = 1,00

POUŽITÁ OŘECNÁ METODA POSUDKU KOMBINACE TLAKU A OHYBU ČSN EN 1993-1-1 6.3.4

Konzervativně uvažován C_{int}=C_{int,1}=1.0

Pokud se jedná o tah jsou příslušné hodnoty součinitelů rovny 1.0

TAB A	PRŮŘEZOVÉ CHARAKTERISTIKY KRITICKÉHO PRŮŘEZU											
	TAH, TLAK N _x			OHYB M _y , M _z						SMYK V _z		
	PRO POSOUZENÍ NAPĚTÍ											
	A _x	A _y	A _z	W _y	W _z	W _{pl,y}	W _{pl,z}	W _{el,y}	W _{el,z}	S _y	I _y	I _z
OZN. POPIS	[mm ²]	[mm ²]	[mm ²]	[mm ³]	[mm ³]	[mm ³]	[mm ³]	[mm ³]	[mm ³]	[mm ³]	[mm ⁴]	[mm ⁴]
1-DL bod 1- dolní vlákná průřezu, levý okraj	1,163E+04	1,163E+04	1,163E+04	1,946E+06	2,585E+05	1,946E+06	1,946E+06	2,585E+05	2,585E+05	-	-	-
2-DP bod 2- dolní vlákná průřezu, pravý okraj	1,163E+04	1,163E+04	1,163E+04	1,946E+06	2,585E+05	1,946E+06	1,946E+06	2,585E+05	2,585E+05	-	-	-
3-HL bod 3- horní vlákná průřezu, levý okraj	1,163E+04	1,163E+04	1,163E+04	-1,946E+06	2,585E+05	-1,946E+06	-1,946E+06	2,585E+05	2,585E+05	-	-	-
4-HP bod 4- horní vlákná průřezu, pravý okraj	1,163E+04	1,163E+04	1,163E+04	-1,946E+06	2,585E+05	-1,946E+06	-1,946E+06	2,585E+05	2,585E+05	-	-	-
5-SD1 bod 5- dolní vlákná stěny 1	1,163E+04	1,163E+04	1,163E+04	2,082E+06	5,687E+06	2,082E+06	2,082E+06	5,687E+06	5,687E+06	8,360E+05	4,778E+09	10,0
6-SH1 bod 6- horní vlákná stěny 1	1,163E+04	1,163E+04	1,163E+04	2,082E+06	-5,687E+06	2,082E+06	2,082E+06	-5,687E+06	-5,687E+06	8,360E+05	4,778E+09	10,0
7-SD2 bod 7- dolní vlákná stěny 2	1,163E+04	1,163E+04	1,163E+04	2,082E+06	5,687E+06	2,082E+06	2,082E+06	5,687E+06	5,687E+06	8,360E+05	4,778E+09	10,0
8-SH2 bod 8- horní vlákná stěny 2	1,163E+04	1,163E+04	1,163E+04	2,082E+06	-5,687E+06	2,082E+06	2,082E+06	-5,687E+06	-5,687E+06	8,360E+05	4,778E+09	10,0
9-T bod 9- těžiště plného průřezu	1,163E+04	1,163E+04	1,163E+04	-	-	-	-	-	-	1,099E+06	4,778E+09	10,0

TAB B		STABILITA PRUTU							TAB C		ROZHODUJÍCÍ LINEÁRNÍ KOMBINACE VNITŘNÍCH SIL					
		TLAK - VZPĚR		OHYB - INTERAKCE S TLAKEM+KLOPENÍ				SOUC. MAT			Nx, My, Mx, Vz					
POSUDEK NAPĚTÍ								POSUDEK NAPĚTÍ	ŘÍDÍCÍ VNITŘNÍ SÍLA	Nx	My	Mz	Vz	K.č.		
	[+]	[+]	[+]	[+]	[+]	[+]	[+]			[kN]	[kNm]	[kNm]	[kN]	[-]		
A	1,000	1,000	1,000	1,000	1,000	1,000	1,000	A	Nx,max	236,4	103,9	7,2	22,8	26		
B	1,000	0,961	1,003	1,007	0,999	1,000	1,083	B	Nx,min	-79,7	-17,4	-1,9	-16,6	26		
C	1,000	1,000	1,000	1,000	1,000	1,000	1,000	C	My,max	161,0	145,8	-4,2	-64,6	26		
D	1,000	1,000	1,000	1,000	1,000	1,000	1,000	D	My,min	80,4	-83,1	8,0	145,8	26		
E	1,000	1,000	1,000	1,000	1,000	1,000	1,000	E	Mx,max	109,9	-26,5	20,1	137,9	26		
F	1,000	1,000	1,000	1,000	1,000	1,000	1,000	F	Mz,min	131,2	66,6	-14,8	127,9	26		
G	1,000	1,000	1,000	1,000	1,000	1,000	1,000	G	Vz,max	107,2	-30,4	1,7	226,4	26		
H	1,000	0,961	1,001	1,001	1,000	1,000	1,083	H	Vz,min	-14,8	-7,0	2,9	-319,1	26		
ZATÍŽITELNOST 																
ZATÍŽITELNOST 																

A. POSOUZENÍ - 1.MS - ÚNOSNOST

PRUT X[m]









1,00

POUŽITÁ OBEZNÁ METODA POSUDKU KOMBINACE TLAKU A OHYBU ČSN EN 1993-1-1 6.3.4

Konzervativně uvažován $C_{my}=C_{mz}=C_{mLT}=1.0$

Pokud se jedná o tah jsou příslušné hodnoty součinitelů rovny 1.0

TAB A		PRŮŘEZOVÉ CHARAKTERISTIKY KRITICKÉHO PRŮŘEZU										
Kritické body průřezu PRO POSOUZENÍ NAPĚTÍ		TAH, TLAK N _x			OHYB My, Mz					SMYK Vy, Vz		
		A _x	A _y , A _{rot.Nx}	A _{rot.Ny}	W _x	W _y	W _{y,rot.Ny}	W _{z,rot.Nx}	W _{z,rot.Ny}	S _y	I _y	I _z
OZN.	POPIS	[mm ²]	[mm ²]	[mm ²]	[mm ³]	[mm ³]	[mm ³]	[mm ³]	[mm ³]	[mm ³]	[mm ⁴]	[mm ⁴]
1-DL	bod 1- dolní vlákná průřezu, levý okraj	1,270E+04	1,270E+04	1,270E+04	2,456E+06	2,405E+06	2,456E+06	2,496E+06	2,405E+06	2,405E+06	-	-
2-OD	bod 2- dolní vlákná průřezu, pravý okraj	1,270E+04	1,270E+04	1,270E+04	2,456E+06	2,405E+06	2,456E+06	2,496E+06	2,405E+06	2,405E+06	-	-
3-HL	bod 3- horní vlákná průřezu, levý okraj	1,270E+04	1,270E+04	1,270E+04	2,456E+06	2,405E+06	2,456E+06	2,496E+06	2,405E+06	2,405E+06	-	-
4-HP	bod 4- horní vlákná průřezu, pravý okraj	1,270E+04	1,270E+04	1,270E+04	2,456E+06	2,405E+06	2,456E+06	2,496E+06	2,405E+06	2,405E+06	-	-
5-SD1	bod 5- dolní vlákna stěny 1	1,270E+04	1,270E+04	1,270E+04	2,456E+06	8,806E+06	2,617E+06	2,617E+06	8,806E+06	1,022E+06	7,196E+06	10,0
6-SH1	bod 6- horní vlákna stěny 1	1,270E+04	1,270E+04	1,270E+04	2,617E+06	8,806E+06	2,617E+06	2,617E+06	8,806E+06	1,022E+06	7,196E+06	10,0
7-SD2	bod 7- dolní vlákna stěny 2	1,270E+04	1,270E+04	1,270E+04	2,617E+06	8,806E+06	2,617E+06	2,617E+06	8,806E+06	1,022E+06	7,196E+06	10,0
8-SH2	bod 8- horní vlákna stěny 2	1,270E+04	1,270E+04	1,270E+04	2,617E+06	8,806E+06	2,617E+06	2,617E+06	8,806E+06	1,022E+06	7,196E+06	10,0
9-T	bod 9- těžiště plného průřezu	1,270E+04	1,270E+04	1,270E+04	-	-	-	-	-	1,401E+06	7,196E+06	10,0

TAB B		STABILITA PRUTU						TAB C		ROZHODUJÍCÍ LINEÁRNÍ KOMBINACE VNITŘNÍCH SIL				
		TLAK - VZPĚR		OHYB - INTERAKCE S TLAKEM+KLOPEN						Nx, My, Mx, Vz				
POSUDEK								POSUDEK	ŘÍDICÍ	Nx	My	Mz	Vz	K.č.
NAPĚTÍ		[]	[]	[]	[]	[]	[]	NAPĚTÍ	VNITŘNÍ SÍLA	[kN]	[kNm]	[kNm]	[kN]	[]
A		1,000	1,000	1,000	1,000	1,000	1,000	A	Nx,max	458,5	0,0	0,0	0,0	26
B		1,000	0,946	1,002	1,006	0,999	1,000	B	Nx,min	-64,4	0,0	0,0	-0,3	26
C		1,000	1,000	1,000	1,000	1,000	1,000	C	My,max	375,3	1,5	0,0	0,0	37
D		1,000	1,000	1,000	1,000	1,000	1,000	D	My,min	69,6	-1,5	0,0	0,0	37
E		1,000	1,000	1,000	1,000	1,000	1,000	E	Mz,max	103,7	0,0	0,0	0,0	1
F		1,000	1,000	1,000	1,000	1,000	1,000	F	Mz,min	103,7	0,0	0,0	0,0	1
G		1,000	1,000	1,000	1,000	1,000	1,000	G	Vz,max	354,2	1,2	0,0	0,1	37
H		1,000	1,000	1,000	1,000	1,000	1,000	H	Vz,min	57,2	0,0	0,0	-0,7	37
ZATÍŽITELNOST 		1,000	1,000	1,000	1,000	1,000	1,000							
ZATÍŽITELNOST 		1,000	1,000	1,000	1,000	1,000	1,000							

TAB D		PŘEHLED NAPĚTÍ V KRITICKÝCH BODECH PRŮŘEZU OD ROZHODUJÍCÍ LINEÁRNÍ KOMBINACE ZATÍŽENÍ																																	
KRITICKÉ BODY PRŮŘEZU PRO POUSOZENÍ NAPĚTÍ		POSUDEK A			POSUDEK B			POSUDEK C			POSUDEK D			POSUDEK E			POSUDEK F			POSUDEK G			POSUDEK H			MAXIMÁLNÍ HODNOTY NAPĚTÍ V KRITICKÝCH BODECH PRŮŘEZU									
																																ROZHODUJE			
OZN.	POPIS	[MPa]	[MPa]	[MPa]	[MPa]	[MPa]	[MPa]	[MPa]	[MPa]	[MPa]	[MPa]	[MPa]	[MPa]	[MPa]	[MPa]	[MPa]	[MPa]	[MPa]	[MPa]	[MPa]	[MPa]	[MPa]	[MPa]	[MPa]	[MPa]	[MPa]	[MPa]	-	[MPa]	[MPa]	-	[MPa]	[MPa]	-	{-}
1-DL	bod 1- dolní vlákna průřezu, levý okraj	36,1	0,0	36,1	-5,1	0,0	5,1	30,2	0,0	30,2	4,9	0,0	4,9	8,2	0,0	8,2	8,2	0,0	8,2	28,4	0,0	28,4	4,5	0,0	4,5	36,1	213,6	0,169	0,0	123,3	0,000	36,1	213,6	0,169	normální napětí
2-DD	bod 2- dolní vlákna průřezu, pravý okraj	36,1	0,0	36,1	-5,1	0,0	5,1	30,2	0,0	30,2	4,9	0,0	4,9	8,2	0,0	8,2	8,2	0,0	8,2	28,4	0,0	28,4	4,5	0,0	4,5	36,1	213,6	0,169	0,0	123,3	0,000	36,1	213,6	0,169	normální napětí
3-HL	bod 3- horní vlákna průřezu, levý okraj	36,1	0,0	36,1	-5,1	0,0	5,1	29,0	0,0	29,0	6,1	0,0	6,1	8,2	0,0	8,2	8,2	0,0	8,2	27,4	0,0	27,4	4,5	0,0	4,5	36,1	213,6	0,169	0,0	123,3	0,000	36,1	213,6	0,169	normální napětí
4-HP	bod 4- horní vlákna průřezu, pravý okraj	36,1	0,0	36,1	-5,1	0,0	5,1	29,0	0,0	29,0	6,1	0,0	6,1	8,2	0,0	8,2	8,2	0,0	8,2	27,4	0,0	27,4	4,5	0,0	4,5	36,1	213,6	0,169	0,0	123,3	0,000	36,1	213,6	0,169	normální napětí
5-SD1	bod 5- dolní vlákna stěny 1	36,1	0,0	36,1	-5,1	0,1	5,1	30,1	0,0	30,1	4,9	0,0	4,9	8,2	0,0	8,2	8,2	0,0	8,2	28,4	0,0	28,4	4,5	0,1	4,5	36,1	213,6	0,169	0,1	123,3	0,001	36,1	213,6	0,169	normální napětí
6-SH1	bod 6- horní vlákna stěny 1	36,1	0,0	36,1	-5,1	0,1	5,1	30,1	0,0	30,1	4,9	0,0	4,9	8,2	0,0	8,2	8,2	0,0	8,2	28,4	0,0	28,4	4,5	0,1	4,5	36,1	213,6	0,169	0,1	123,3	0,001	36,1	213,6	0,169	normální napětí
7-SD2	bod 7- dolní vlákna stěny 2	36,1	0,0	36,1	-5,1	0,1	5,1	29,0	0,0	29,0	6,0	0,0	6,0	8,2	0,0	8,2	8,2	0,0	8,2	27,4	0,0	27,4	4,5	0,1	4,5	36,1	213,6	0,169	0,1	123,3	0,001	36,1	213,6	0,169	normální napětí
8-SH2	bod 8- horní vlákna stěny 2	36,1	0,0	36,1	-5,1	0,1	5,1	29,0	0,0	29,0	6,0	0,0	6,0	8,2	0,0	8,2	8,2	0,0	8,2	27,4	0,0	27,4	4,5	0,1	4,5	36,1	213,6	0,169	0,1	123,3	0,001	36,1	213,6	0,169	normální napětí
9-T	bod 9- těžiště plného průřezu	36,1	0,0	36,1	-5,1	0,1	5,1	29,6	0,0	29,6	5,5	0,0	5,5	8,2	0,0	8,2	8,2	0,0	8,2	27,9	0,0	27,9	4,5	0,1	4,5	36,1	213,6	0,169	0,1	123,3	0,001	36,1	213,6	0,169	normální napětí

B. ZATÍŽITELNOST - 1.MS - ÚNOSNOST

[illegible]

C. SHRUTÍ VÝSLEDKŮ

TAB F	A. POSOUZENÍ - 1.MS - ÚNOSNOST			
DRUH NAPĚTÍ	1. NORMÁLOVÉ η_1	2. SMYKOVÉ η_2	3. SROVNÁVACÍ η_e	4.MAXIMUM 1-3
MAXIMÁLNÍ VYUŽITÍ	0,169	0,001	0,169	0,169
POSUDEK NAPĚTÍ	A	H	A	A
ŘÍDÍCÍ VNITŘNÍ SÍLA	Nx,max	Vz,min	Nx,max	Nx,max
KRITICKÝ BOD PRŮŘEZU	1-DL	9-T	1-DL	1-DL
LINEÁRNÍ KOMBINACE	26	37	26	26

TABLE G	B. ZAŽITĚLNOST - 1.MS - ÚNOSNOST			
Druh napětí	1. NORMÁLOVE σ_x	2. SMYKOVÉ τ	3. SROVNÁVACÍ σ_x	4.MINIMUM 1-3
ZAŽITĚLNOST Z_p	>5	>5	>5	>5
POSUDEK NAPĚTÍ	A	H	A	A
ŘÍDICÍ VNITŘNÍ SÍLA	$N_{x,max}$	$V_{z,min}$	$N_{x,max}$	$N_{x,max}$
KRITICKÝ BOD PRŮŘEZU	1-DL	9-T	1-DL	1-DL
LINEÁRNÍ KOMBINACE	26	21	26	26

231

TAB 10 33 A. POSOUZENÍ - 1.MS - ÚNOSNOST

POSUDEK: 33 PRŮŘEZ: T_2 PRUT X[m] OZNAČENÍ: T_2 POPIS: ZTUŽIDLA PODÉLNÍKŮ 2 i j

SOUČINITEL KOROZE k = 1,00

POUŽITÁ OBECNÁ METODA POSUDKU KOMBINACE TLAKU A OHYBU ČSN EN 1993-1-1 6.3.4

Konzervativně uvažován C_{int}=C_{int,1}=1.0

Pokud se jedná o tah jsou příslušné hodnoty součinitelů rovny 1.0

TAB A	PRŮŘEZOVÉ CHARAKTERISTIKY KRITICKÉHO PRŮŘEZU										
	TAH, TLAK N _x			OHYB M _y , M _z						SMYK V _z	
	PRO POSOUZENÍ NAPĚTÍ										
	A ₀	A _{0,at,Nx}	A _{0,at,Mz}	W _y	W _z	W _{0,at,M_y}	W _{0,at,M_z}	W _{0,at,M_y}	W _{0,at,M_z}	S _y	t _z
OZN. POPIS	[mm ²]	[mm ²]	[mm ²]	[mm ³]	[mm ³]	[mm ³]	[mm ³]	[mm ³]	[mm ³]	[mm ³]	[mm]
1-DL bod 1- dolní vlákná průřezu, levý okraj	1,798E+03	1,798E+03	1,798E+03	6,524E+04	2,897E+04	6,524E+04	6,524E+04	2,897E+04	2,897E+04	-	-
2-DP bod 2- dolní vlákná průřezu, pravý okraj	1,798E+03	1,798E+03	1,798E+03	6,524E+04	1,427E+04	6,524E+04	6,524E+04	1,427E+04	1,427E+04	-	-
3-HL bod 3- horní vlákná průřezu, levý okraj	1,798E+03	1,798E+03	1,798E+03	6,524E+04	2,897E+04	6,524E+04	6,524E+04	2,897E+04	2,897E+04	-	-
4-HP bod 4- horní vlákná průřezu, pravý okraj	1,798E+03	1,798E+03	1,798E+03	6,524E+04	1,427E+04	6,524E+04	6,524E+04	1,427E+04	1,427E+04	-	-
5-SD1 bod 5- dolní vlákná stěny 1	1,798E+03	1,798E+03	1,798E+03	7,825E+04	2,897E+04	7,825E+04	2,897E+04	2,897E+04	3,019E+04	3,914E+06	7,0
6-SH1 bod 6- horní vlákná stěny 1	1,798E+03	1,798E+03	1,798E+03	7,825E+04	4,715E+04	7,825E+04	4,715E+04	4,715E+04	3,019E+04	3,914E+06	7,0
7-SD2 bod 7- dolní vlákná stěny 2	1,798E+03	1,798E+03	1,798E+03	7,825E+04	2,897E+04	7,825E+04	2,897E+04	2,897E+04	3,019E+04	3,914E+06	7,0
8-SH2 bod 8- horní vlákná stěny 2	1,798E+03	1,798E+03	1,798E+03	7,825E+04	4,715E+04	7,825E+04	4,715E+04	4,715E+04	3,019E+04	3,914E+06	7,0
9-T bod 9- těžiště plného průřezu	1,798E+03	1,798E+03	1,798E+03	-	-	-	-	-	3,894E+04	3,914E+06	7,0

TAB B	STABILITA PRUTU								ROZHODUJÍCÍ LINEÁRNÍ KOMBINACE VNITŘNÍCH SIL					
	TLAK - VZPĚR		OHYB - INTERAKCE S TLAKEM+KLOPENÍ				SOUC. MAT		Nx, My, Mx, Vz					
	POSUDEK								POSUDEK		ŘÍDÍČÍ			
	NAPĚTÍ	[]	[]	[]	[]	[]	[]	[]	NAPĚTÍ	VNITŘNÍ SILA	Nx	My	Mz	Vz
A	1,000	1,000	1,000	1,000	1,000	1,000	1,000	1,000	A	Nx,max	115,7	0,0	0,0	0,0
B	0,910	0,774	1,062	1,121	0,987	1,000	1,083	1,000	B	Nx,min	-89,1	0,0	0,0	0,0
C	1,000	1,000	1,000	1,000	1,000	1,000	1,000	1,000	C	My,max	4,9	0,0	0,0	0,0
D	1,000	1,000	1,000	1,000	1,000	1,000	1,000	1,000	D	My,min	4,9	0,0	0,0	0,0
E	1,000	1,000	1,000	1,000	1,000	1,000	1,000	1,000	E	Mz,max	4,9	0,0	0,0	0,0
F	1,000	1,000	1,000	1,000	1,000	1,000	1,000	1,000	F	Mz,min	4,9	0,0	0,0	0,0
G	1,000	1,000	1,000	1,000	1,000	1,000	1,000	1,000	G	Vz,max	4,9	0,0	0,0	0,0
H	1,000	1,000	1,000	1,000	1,000	1,000	1,000	1,000	H	Vz,min	4,9	0,0	0,0	0,0
ZATÍŽITELNOST	1,000	1,000	1,000	1,000	1,000	1,000	1,000	1,000						
ZATÍŽITELNOST	1,000	1,000	1,000	1,000	1,000	1,000	1,000	1,000						

TAB D		PŘEHLED NAPĚTÍ V KRITICKÝCH BODECH PRŮŘEZU OD ROZHODUJÍCÍ LINEÁRNÍ KOMBINACE ZATÍŽENÍ																																	
KRITICKÉ BODY PRŮŘEZU PRO POSOUZENÍ NAPĚTÍ		POSUDEK A			POSUDEK B			POSUDEK C			POSUDEK D			POSUDEK E			POSUDEK F			POSUDEK G			POSUDEK H			MAXIMÁLNÍ HODNOTY NAPĚTÍ V KRITICKÝCH BODECH PRŮŘEZU									
		σ_{\perp}	σ_{\parallel}	σ_{45}	σ_{\perp}	σ_{\parallel}	σ_{45}	σ_{\perp}	σ_{\parallel}	σ_{45}	σ_{\perp}	σ_{\parallel}	σ_{45}	σ_{\perp}	σ_{\parallel}	σ_{45}	σ_{\perp}	σ_{\parallel}	σ_{45}	σ_{\perp}	σ_{\parallel}	σ_{45}	σ_{\perp}	σ_{\parallel}	σ_{45}	σ_{\perp}	σ_{\parallel}	σ_{45}	σ_{\perp}	σ_{\parallel}	σ_{45}	ROZHODUJÍCÍ			
OZN.	POPIS	[MPa]	[MPa]	[MPa]	[MPa]	[MPa]	[MPa]	[MPa]	[MPa]	[MPa]	[MPa]	[MPa]	[MPa]	[MPa]	[MPa]	[MPa]	[MPa]	[MPa]	[MPa]	[MPa]	[MPa]	[MPa]	[MPa]	[MPa]	[MPa]	[MPa]	[MPa]	[MPa]	[MPa]	[MPa]	[MPa]	[MPa]	[MPa]	[MPa]	
1-DL	bod 1- dolní vlákná průřezu, levý okraj	64,4	0,0	64,4	-54,4	0,0	54,4	2,7	0,0	2,7	2,7	0,0	2,7	2,7	0,0	2,7	2,7	0,0	2,7	2,7	0,0	2,7	2,7	0,0	2,7	64,4	213,6	0,301	0,0	123,3	0,000	64,4	213,6	0,301	normální napětí
2-DP	bod 2- dolní vlákná průřezu, pravý okraj	64,4	0,0	64,4	-54,4	0,0	54,4	2,7	0,0	2,7	2,7	0,0	2,7	2,7	0,0	2,7	2,7	0,0	2,7	2,7	0,0	2,7	2,7	0,0	2,7	64,4	213,6	0,301	0,0	123,3	0,000	64,4	213,6	0,301	normální napětí
3-HL	bod 3- horní vlákná průřezu, levý okraj	64,4	0,0	64,4	-54,4	0,0	54,4	2,7	0,0	2,7	2,7	0,0	2,7	2,7	0,0	2,7	2,7	0,0	2,7	2,7	0,0	2,7	2,7	0,0	2,7	64,4	213,6	0,301	0,0	123,3	0,000	64,4	213,6	0,301	normální napětí
4-HP	bod 4- horní vlákná průřezu, pravý okraj	64,4	0,0	64,4	-54,4	0,0	54,4	2,7	0,0	2,7	2,7	0,0	2,7	2,7	0,0	2,7	2,7	0,0	2,7	2,7	0,0	2,7	2,7	0,0	2,7	64,4	213,6	0,301	0,0	123,3	0,000	64,4	213,6	0,301	normální napětí
5-SD1	bod 5- dolní vlákná stěny 1	64,4	0,0	64,4	-54,4	0,0	54,4	2,7	0,0	2,7	2,7	0,0	2,7	2,7	0,0	2,7	2,7	0,0	2,7	2,7	0,0	2,7	2,7	0,0	2,7	64,4	213,6	0,301	0,0	123,3	0,000	64,4	213,6	0,301	normální napětí
6-SH1	bod 6- horní vlákná stěny 1	64,4	0,0	64,4	-54,4	0,0	54,4	2,7	0,0	2,7	2,7	0,0	2,7	2,7	0,0	2,7	2,7	0,0	2,7	2,7	0,0	2,7	2,7	0,0	2,7	64,4	213,6	0,301	0,0	123,3	0,000	64,4	213,6	0,301	normální napětí
7-SD2	bod 7- dolní vlákná stěny 2	64,4	0,0	64,4	-54,4	0,0	54,4	2,7	0,0	2,7	2,7	0,0	2,7	2,7	0,0	2,7	2,7	0,0	2,7	2,7	0,0	2,7	2,7	0,0	2,7	64,4	213,6	0,301	0,0	123,3	0,000	64,4	213,6	0,301	normální napětí
8-SH2	bod 8- horní vlákná stěny 2	64,4	0,0	64,4	-54,4	0,0	54,4	2,7	0,0	2,7	2,7	0,0	2,7	2,7	0,0	2,7	2,7	0,0	2,7	2,7	0,0	2,7	2,7	0,0	2,7	64,4	213,6	0,301	0,0	123,3	0,000	64,4	213,6	0,301	normální napětí
9-T	bod 9- těžiště plného průřezu	64,4	0,0	64,4	-54,4	0,0	54,4	2,7	0,0	2,7	2,7	0,0	2,7	2,7	0,0	2,7	2,7	0,0	2,7	2,7	0,0	2,7	2,7	0,0	2,7	64,4	213,6	0,301	0,0	123,3	0,000	64,4	213,6	0,301	normální napětí

TAB 11 33 B. ZATÍŽITELNOST - 1.MS - ÚNOSNOST

TAB E		1. ZATÍŽITELNOST - NORMÁLOVÉ NAPĚTÍ												KZ č. 25				2. ZATÍŽITELNOST - SMYKOVÉ NAPĚTÍ												KZ č. 21				3. ZATÍŽITELNOST - SROVNÁVACÍ NAPĚTÍ												KZ č. 25																																																																																																																																																																																																																																																																																																																																																																																																																																																																																																																																																																																																																																																																																																																																																																																																																				
		ZATÍŽITELNOST												ZATÍŽITELNOST				ZATÍŽITELNOST												ZATÍŽITELNOST																																																																																																																																																																																																																																																																																																																																																																																																																																																																																																																																																																																																																																																																																																																																																																																																																																				
SKUPINA		Nx	My	Mz	τ	τ	Nx	My	τ	Mz	σ ₁₀	σ ₂₀	σ ₃₀	σ ₄₀	σ ₅₀	Vz	τ	τ	Vz	σ ₁₀	σ ₂₀	σ ₃₀	σ ₄₀	σ ₅₀	σ ₆₀	σ ₇₀	σ ₈₀	Nx	My	Mz	Vz	τ	τ	Nx	My	τ	Mz	σ ₁₀	σ ₂₀	σ ₃₀	σ ₄₀	σ ₅₀	σ ₆₀	σ ₇₀	σ ₈₀	σ ₉₀	σ ₁₀₀	σ ₁₁₀	σ ₁₂₀	σ ₁₃₀	σ ₁₄₀	σ ₁₅₀	σ ₁₆₀	σ ₁₇₀	σ ₁₈₀	σ ₁₉₀	σ ₂₀₀	σ ₂₁₀	σ ₂₂₀	σ ₂₃₀	σ ₂₄₀	σ ₂₅₀	σ ₂₆₀	σ ₂₇₀	σ ₂₈₀	σ ₂₉₀	σ ₃₀₀	σ ₃₁₀	σ ₃₂₀	σ ₃₃₀	σ ₃₄₀	σ ₃₅₀	σ ₃₆₀	σ ₃₇₀	σ ₃₈₀	σ ₃₉₀	σ ₄₀₀	σ ₄₁₀	σ ₄₂₀	σ ₄₃₀	σ ₄₄₀	σ ₄₅₀	σ ₄₆₀	σ ₄₇₀	σ ₄₈₀	σ ₄₉₀	σ ₅₀₀	σ ₅₁₀	σ ₅₂₀	σ ₅₃₀	σ ₅₄₀	σ ₅₅₀	σ ₅₆₀	σ ₅₇₀	σ ₅₈₀	σ ₅₉₀	σ ₆₀₀	σ ₆₁₀	σ ₆₂₀	σ ₆₃₀	σ ₆₄₀	σ ₆₅₀	σ ₆₆₀	σ ₆₇₀	σ ₆₈₀	σ ₆₉₀	σ ₇₀₀	σ ₇₁₀	σ ₇₂₀	σ ₇₃₀	σ ₇₄₀	σ ₇₅₀	σ ₇₆₀	σ ₇₇₀	σ ₇₈₀	σ ₇₉₀	σ ₈₀₀	σ ₈₁₀	σ ₈₂₀	σ ₈₃₀	σ ₈₄₀	σ ₈₅₀	σ ₈₆₀	σ ₈₇₀	σ ₈₈₀	σ ₈₉₀	σ ₉₀₀	σ ₉₁₀	σ ₉₂₀	σ ₉₃₀	σ ₉₄₀	σ ₉₅₀	σ ₉₆₀	σ ₉₇₀	σ ₉₈₀	σ ₉₉₀	σ ₁₀₀₀	σ ₁₀₁₀	σ ₁₀₂₀	σ ₁₀₃₀	σ ₁₀₄₀	σ ₁₀₅₀	σ ₁₀₆₀	σ ₁₀₇₀	σ ₁₀₈₀	σ ₁₀₉₀	σ ₁₁₀₀	σ ₁₁₁₀	σ ₁₁₂₀	σ ₁₁₃₀	σ ₁₁₄₀	σ ₁₁₅₀	σ ₁₁₆₀	σ ₁₁₇₀	σ ₁₁₈₀	σ ₁₁₉₀	σ ₁₂₀₀	σ ₁₂₁₀	σ ₁₂₂₀	σ ₁₂₃₀	σ ₁₂₄₀	σ ₁₂₅₀	σ ₁₂₆₀	σ ₁₂₇₀	σ ₁₂₈₀	σ ₁₂₉₀	σ ₁₃₀₀	σ ₁₃₁₀	σ ₁₃₂₀	σ ₁₃₃₀	σ ₁₃₄₀	σ ₁₃₅₀	σ ₁₃₆₀	σ ₁₃₇₀	σ ₁₃₈₀	σ ₁₃₉₀	σ ₁₄₀₀	σ ₁₄₁₀	σ ₁₄₂₀	σ ₁₄₃₀	σ ₁₄₄₀	σ ₁₄₅₀	σ ₁₄₆₀	σ ₁₄₇₀	σ ₁₄₈₀	σ ₁₄₉₀	σ ₁₅₀₀	σ ₁₅₁₀	σ ₁₅₂₀	σ ₁₅₃₀	σ ₁₅₄₀	σ ₁₅₅₀	σ ₁₅₆₀	σ ₁₅₇₀	σ ₁₅₈₀	σ ₁₅₉₀	σ ₁₆₀₀	σ ₁₆₁₀	σ ₁₆₂₀	σ ₁₆₃₀	σ ₁₆₄₀	σ ₁₆₅₀	σ ₁₆₆₀	σ ₁₆₇₀	σ ₁₆₈₀	σ ₁₆₉₀	σ ₁₇₀₀	σ ₁₇₁₀	σ ₁₇₂₀	σ ₁₇₃₀	σ ₁₇₄₀	σ ₁₇₅₀	σ ₁₇₆₀	σ ₁₇₇₀	σ ₁₇₈₀	σ ₁₇₉₀	σ ₁₈₀₀	σ ₁₈₁₀	σ ₁₈₂₀	σ ₁₈₃₀	σ ₁₈₄₀	σ ₁₈₅₀	σ ₁₈₆₀	σ ₁₈₇₀	σ ₁₈₈₀	σ ₁₈₉₀	σ ₁₉₀₀	σ ₁₉₁₀	σ ₁₉₂₀	σ ₁₉₃₀	σ ₁₉₄₀	σ ₁₉₅₀	σ ₁₉₆₀	σ ₁₉₇₀	σ ₁₉₈₀	σ ₁₉₉₀	σ ₂₀₀₀	σ ₂₀₁₀	σ ₂₀₂₀	σ ₂₀₃₀	σ ₂₀₄₀	σ ₂₀₅₀	σ ₂₀₆₀	σ ₂₀₇₀	σ ₂₀₈₀	σ ₂₀₉₀	σ ₂₁₀₀	σ ₂₁₁₀	σ ₂₁₂₀	σ ₂₁₃₀	σ ₂₁₄₀	σ ₂₁₅₀	σ ₂₁₆₀	σ ₂₁₇₀	σ ₂₁₈₀	σ ₂₁₉₀	σ ₂₂₀₀	σ ₂₂₁₀	σ ₂₂₂₀	σ ₂₂₃₀	σ ₂₂₄₀	σ ₂₂₅₀	σ ₂₂₆₀	σ ₂₂₇₀	σ ₂₂₈₀	σ ₂₂₉₀	σ ₂₃₀₀	σ ₂₃₁₀	σ ₂₃₂₀	σ ₂₃₃₀	σ ₂₃₄₀	σ ₂₃₅₀	σ ₂₃₆₀	σ ₂₃₇₀	σ ₂₃₈₀	σ ₂₃₉₀	σ ₂₄₀₀	σ ₂₄₁₀	σ ₂₄₂₀	σ ₂₄₃₀	σ ₂₄₄₀	σ ₂₄₅₀	σ ₂₄₆₀	σ ₂₄₇₀	σ ₂₄₈₀	σ ₂₄₉₀	σ ₂₅₀₀	σ ₂₅₁₀	σ ₂₅₂₀	σ ₂₅₃₀	σ ₂₅₄₀	σ ₂₅₅₀	σ ₂₅₆₀	σ ₂₅₇₀	σ ₂₅₈₀	σ ₂₅₉₀	σ ₂₆₀₀	σ ₂₆₁₀	σ ₂₆₂₀	σ ₂₆₃₀	σ ₂₆₄₀	σ ₂₆₅₀	σ ₂₆₆₀	σ ₂₆₇₀	σ ₂₆₈₀	σ ₂₆₉₀	σ ₂₇₀₀	σ ₂₇₁₀	σ ₂₇₂₀	σ ₂₇₃₀	σ ₂₇₄₀	σ ₂₇₅₀	σ ₂₇₆₀	σ ₂₇₇₀	σ ₂₇₈₀	σ ₂₇₉₀	σ ₂₈₀₀	σ ₂₈₁₀	σ ₂₈₂₀	σ ₂₈₃₀	σ ₂₈₄₀	σ ₂₈₅₀	σ ₂₈₆₀	σ ₂₈₇₀	σ ₂₈₈₀	σ ₂₈₉₀	σ ₂₉₀₀	σ ₂₉₁₀	σ ₂₉₂₀	σ ₂₉₃₀	σ ₂₉₄₀	σ ₂₉₅₀	σ ₂₉₆₀	σ ₂₉₇₀	σ ₂₉₈₀	σ ₂₉₉₀	σ ₃₀₀₀	σ ₃₀₁₀	σ ₃₀₂₀	σ ₃₀₃₀	σ ₃₀₄₀	σ ₃₀₅₀	σ ₃₀₆₀	σ ₃₀₇₀	σ ₃₀₈₀	σ ₃₀₉₀	σ ₃₁₀₀	σ ₃₁₁₀	σ ₃₁₂₀	σ ₃₁₃₀	σ ₃₁₄₀	σ ₃₁₅₀	σ ₃₁₆₀	σ ₃₁₇₀	σ ₃₁₈₀	σ ₃₁₉₀	σ ₃₂₀₀	σ ₃₂₁₀	σ ₃₂₂₀	σ ₃₂₃₀	σ ₃₂₄₀	σ ₃₂₅₀	σ ₃₂₆₀	σ ₃₂₇₀	σ ₃₂₈₀	σ ₃₂₉₀	σ ₃₃₀₀	σ ₃₃₁₀	σ ₃₃₂₀	σ ₃₃₃₀	σ ₃₃₄₀	σ ₃₃₅₀	σ ₃₃₆₀	σ ₃₃₇₀	σ ₃₃₈₀	σ ₃₃₉₀	σ ₃₄₀₀	σ ₃₄₁₀	σ ₃₄₂₀	σ ₃₄₃₀	σ ₃₄₄₀	σ ₃₄₅₀	σ ₃₄₆₀	σ ₃₄₇₀	σ ₃₄₈₀	σ ₃₄₉₀	σ ₃₅₀₀	σ ₃₅₁₀	σ ₃₅₂₀	σ ₃₅₃₀	σ ₃₅₄₀	σ ₃₅₅₀	σ ₃₅₆₀	σ ₃₅₇₀	σ ₃₅₈₀	σ ₃₅₉₀	σ ₃₆₀₀	σ ₃₆₁₀	σ ₃₆₂₀	σ ₃₆₃₀	σ ₃₆₄₀	σ ₃₆₅₀	σ ₃₆₆₀	σ ₃₆₇₀	σ ₃₆₈₀	σ ₃₆₉₀	σ ₃₇₀₀	σ ₃₇₁₀	σ ₃₇₂₀	σ ₃₇₃₀	σ ₃₇₄₀	σ ₃₇₅₀	σ ₃₇₆₀	σ ₃₇₇₀	σ ₃₇₈₀	σ ₃₇₉₀	σ ₃₈₀₀	σ ₃₈₁₀	σ ₃₈₂₀	σ ₃₈₃₀	σ ₃₈₄₀	σ ₃₈₅₀	σ ₃₈₆₀	σ ₃₈₇₀	σ ₃₈₈₀	σ ₃₈₉₀	σ ₃₉₀₀	σ ₃₉₁₀	σ ₃₉₂₀	σ ₃₉₃₀	σ ₃₉₄₀	σ ₃₉₅₀	σ ₃₉₆₀	σ ₃₉₇₀	σ ₃₉₈₀	σ ₃₉₉₀	σ ₄₀₀₀	σ ₄₀₁₀	σ ₄₀₂₀	σ ₄₀₃₀	σ ₄₀₄₀	σ ₄₀₅₀	σ ₄₀₆₀	σ ₄₀₇₀	σ ₄₀₈₀	σ ₄₀₉₀	σ ₄₁₀₀	σ ₄₁₁₀	σ ₄₁₂₀	σ ₄₁₃₀	σ ₄₁₄₀	σ ₄₁₅₀	σ ₄₁₆₀	σ ₄₁₇₀	σ ₄₁₈₀	σ ₄₁₉₀	σ ₄₂₀₀	σ ₄₂₁₀	σ ₄₂₂₀	σ ₄₂₃₀	σ ₄₂₄₀	σ ₄₂₅₀	σ ₄₂₆₀	σ ₄₂₇₀	σ ₄₂₈₀	σ ₄₂₉₀	σ ₄₃₀₀	σ ₄₃₁₀	σ ₄₃₂₀	σ ₄₃₃₀	σ ₄₃₄₀	σ ₄₃₅₀	σ ₄₃₆₀	σ ₄₃₇₀	σ ₄₃₈₀	σ ₄₃₉₀	σ ₄₄₀₀	σ ₄₄₁₀	σ ₄₄₂₀	σ ₄₄₃₀	σ ₄₄₄₀	σ ₄₄₅₀	σ ₄₄₆₀	σ ₄₄₇₀	σ ₄₄₈₀	σ ₄₄₉₀	σ ₄₅₀₀	σ ₄₅₁₀	σ ₄₅₂₀	σ ₄₅₃₀	σ ₄₅₄₀	σ ₄₅₅₀	σ ₄₅₆₀	σ ₄₅₇₀	σ ₄₅₈₀	σ ₄₅₉₀	σ ₄₆₀₀	σ ₄₆₁₀	σ ₄₆₂₀	σ ₄₆₃₀	σ ₄₆₄₀	σ ₄₆₅₀	σ ₄₆₆₀	σ ₄₆₇₀	σ ₄₆₈₀	σ ₄₆₉₀	σ ₄₇₀₀	σ ₄₇₁₀	σ ₄₇₂₀	σ ₄₇₃₀	σ ₄₇₄₀	σ ₄₇₅₀	σ ₄₇₆₀	σ ₄₇₇₀	σ ₄₇₈₀	σ ₄₇₉₀	σ ₄₈₀₀	σ ₄₈₁₀	σ ₄₈₂₀	σ ₄₈₃₀	σ ₄₈₄₀	σ ₄₈₅₀	σ ₄₈₆₀	σ ₄₈₇₀	σ ₄₈₈₀	σ ₄₈₉₀	σ ₄₉₀₀	σ ₄₉₁₀	σ ₄₉₂₀	σ ₄₉₃₀	σ ₄₉₄₀	σ ₄₉₅₀	σ ₄₉₆₀	σ ₄₉₇₀	σ ₄₉₈₀	σ ₄₉₉₀	σ ₅₀₀₀	σ ₅₀₁₀	σ ₅₀₂₀	σ ₅₀₃₀	σ ₅₀₄₀	σ ₅₀₅₀	σ ₅₀₆₀	σ ₅₀₇₀	σ ₅₀₈₀	σ ₅₀₉₀	σ ₅₁₀₀	σ ₅₁₁₀	σ ₅₁₂₀	σ ₅₁₃₀	σ ₅₁₄₀	σ ₅₁₅₀	σ ₅₁₆₀	σ ₅₁₇₀	σ ₅₁₈₀	σ ₅₁₉₀	σ ₅₂₀₀	σ ₅₂₁₀	σ ₅₂₂₀	σ ₅₂₃₀	σ ₅₂₄₀	σ ₅₂₅₀	σ ₅₂₆₀	σ ₅₂₇₀	σ ₅₂₈₀	σ ₅₂₉₀	σ ₅₃₀₀	σ ₅₃₁₀	σ ₅₃₂₀	σ ₅₃₃₀	σ ₅₃₄₀	σ ₅₃₅₀	σ ₅₃₆₀	σ ₅₃₇₀	σ ₅₃₈₀	σ ₅₃₉₀	σ ₅₄₀₀	σ ₅₄₁₀	σ ₅₄₂₀	σ ₅₄₃₀	σ ₅₄₄₀	σ ₅₄₅₀	σ ₅₄₆₀	σ ₅₄₇₀	σ ₅₄₈₀	σ ₅₄₉₀	σ ₅₅₀₀	σ ₅₅₁₀	σ ₅₅₂₀	σ ₅₅₃₀	σ ₅₅₄₀	σ ₅₅₅₀	σ ₅₅₆₀	σ ₅₅₇₀	σ ₅₅₈₀	σ ₅₅₉₀	σ ₅₆₀₀	σ ₅₆₁₀	σ ₅₆₂₀	σ ₅₆₃₀	σ ₅₆₄₀	σ ₅₆₅₀	σ ₅₆₆₀	σ ₅₆₇₀	σ ₅₆₈₀	σ ₅₆₉₀	σ ₅₇₀₀	σ ₅₇₁₀	σ ₅₇₂₀	σ ₅₇₃₀	σ ₅₇₄₀	σ ₅₇₅₀	σ ₅₇₆₀	σ ₅₇₇₀	σ ₅₇₈₀	σ ₅₇₉₀	σ ₅₈₀₀	σ ₅₈₁₀	σ ₅₈₂₀	σ ₅₈₃₀	σ ₅₈₄₀	σ ₅₈₅₀	σ ₅₈₆₀	σ ₅₈₇₀	σ ₅₈₈₀	σ ₅₈₉₀	σ ₅₉₀₀	σ ₅₉₁₀	σ ₅₉₂₀	σ ₅₉₃₀	σ ₅₉₄₀	σ ₅₉₅₀	σ ₅₉₆₀	σ ₅₉₇₀	σ ₅₉₈₀	σ ₅₉₉₀	σ ₆₀₀₀	σ ₆₀₁₀	σ ₆₀₂₀	σ ₆₀₃₀	σ ₆₀₄₀	σ ₆₀₅₀	σ ₆₀₆₀	σ ₆₀₇₀	σ ₆₀₈₀	σ ₆₀₉₀	σ ₆₁₀₀	σ ₆₁₁₀	σ ₆₁₂₀	σ ₆₁₃₀	σ ₆₁₄₀	σ ₆₁₅₀	σ ₆₁₆₀	σ ₆₁₇₀	σ ₆₁₈₀	σ ₆₁₉₀	σ ₆₂₀₀	σ ₆₂₁₀	σ ₆₂₂₀	σ ₆₂₃₀	σ ₆₂₄₀	σ ₆₂₅₀	σ ₆₂₆₀	σ ₆₂₇₀	σ ₆₂₈₀	σ ₆₂₉₀	σ ₆₃₀₀	σ ₆₃₁₀	σ ₆₃₂₀	σ ₆₃₃₀	σ ₆₃₄₀	σ ₆₃₅₀	σ ₆₃₆₀	σ ₆₃₇₀	σ ₆₃₈₀	σ ₆₃₉₀	σ ₆₄₀₀	σ ₆₄₁₀	σ ₆₄₂₀	σ ₆₄₃₀	σ ₆₄₄₀	σ ₆₄₅₀	σ ₆₄₆₀	σ ₆₄₇₀	σ ₆₄₈₀	σ ₆₄₉₀	σ ₆₅₀₀	σ ₆₅₁₀	σ ₆₅₂₀	σ ₆₅₃₀	σ ₆₅₄₀	σ ₆₅₅₀	σ ₆₅₆₀	σ ₆₅₇₀	σ ₆₅₈₀	σ ₆₅₉₀	σ ₆₆₀₀	σ ₆₆₁₀	σ ₆₆₂₀	σ ₆₆₃₀	σ ₆₆₄₀	σ ₆₆₅₀	σ ₆₆₆₀	σ ₆₆₇₀	σ ₆₆₈₀	σ ₆₆₉₀	σ ₆₇₀₀	σ ₆₇₁₀	σ ₆₇₂₀	σ ₆₇₃₀	σ ₆₇₄₀	σ ₆₇₅₀	σ ₆₇₆₀	σ ₆₇₇₀	σ ₆₇₈₀	σ ₆₇₉₀	σ ₆₈₀₀	σ ₆₈₁₀	σ ₆₈₂₀	σ ₆₈₃₀	σ ₆₈₄₀	σ ₆₈₅₀	σ ₆₈₆₀	σ ₆₈₇₀	σ ₆₈₈₀	σ ₆₈₉₀	σ ₆₉₀₀	σ ₆₉₁₀	σ ₆₉₂₀	σ ₆₉₃₀	σ ₆₉₄₀	σ ₆₉₅₀	σ ₆₉₆₀	σ ₆₉₇₀	σ ₆₉₈₀	σ ₆₉₉₀	σ ₇₀₀₀	σ ₇₀₁₀	σ ₇₀₂₀	σ ₇₀₃₀	σ ₇₀₄₀	σ ₇₀₅₀	σ ₇₀₆₀	σ ₇₀₇₀	σ ₇₀₈₀	σ ₇₀₉₀	σ ₇₁₀₀	σ ₇₁₁₀	σ ₇₁₂₀	σ ₇₁₃₀	σ ₇₁₄₀	σ ₇₁₅₀	σ ₇₁₆₀	σ ₇₁₇₀	σ ₇₁₈₀	σ ₇₁₉₀	σ ₇₂₀₀	σ ₇₂₁₀	σ ₇₂₂₀	σ ₇₂₃₀	σ ₇₂₄₀	σ ₇₂₅₀	σ ₇₂₆₀	σ ₇₂₇₀	σ ₇₂₈₀	σ ₇₂₉₀	σ ₇₃₀₀	σ ₇₃₁₀	σ ₇₃₂₀	σ ₇₃₃₀	σ ₇₃₄₀	σ ₇₃₅₀	σ ₇₃₆₀	σ ₇₃₇₀	σ ₇₃₈₀	σ ₇₃₉₀	σ ₇₄₀₀	σ ₇₄₁₀	σ ₇₄₂₀	σ ₇₄₃₀	σ ₇₄₄₀	σ ₇₄₅₀	σ ₇₄₆₀	σ ₇₄₇₀	σ ₇₄₈₀	σ ₇₄₉₀	σ ₇₅₀₀	σ ₇₅₁₀	σ ₇₅₂₀	σ ₇₅₃₀	σ ₇₅₄₀	σ ₇₅₅₀	σ ₇₅₆₀	σ ₇₅₇₀	σ ₇₅₈₀	σ ₇₅₉₀	σ ₇₆₀₀	σ ₇₆₁₀	σ ₇₆₂₀	σ ₇₆₃₀	σ ₇₆₄₀	σ ₇₆₅₀	σ ₇₆₆₀	σ ₇₆₇₀	σ ₇₆₈₀	σ ₇₆₉₀	σ ₇₇₀₀	σ ₇₇₁₀	σ ₇₇₂₀	σ ₇₇₃₀	σ ₇₇₄₀	σ ₇₇₅₀	σ ₇₇₆₀	σ ₇₇₇₀	σ ₇₇₈₀	σ ₇₇₉₀	σ ₇₈₀₀	σ ₇₈₁₀	σ ₇₈₂₀	σ ₇₈₃₀	σ ₇₈₄₀	σ ₇₈₅₀	σ ₇₈₆₀	σ ₇₈₇₀	σ ₇₈₈₀	σ ₇₈₉₀	σ ₇₉₀₀	σ ₇₉₁₀	σ ₇₉₂₀	σ ₇₉₃₀	σ ₇₉₄₀	σ ₇₉₅₀	σ ₇₉₆₀	σ

A. POSOUZENÍ - 1.MS - ÚNOSNOST

X[m]







1,00









































POUŽITÁ OBEČNÁ METODA POSUDKU KOMBINACE TLAKU A OHYBU ČSN EN 1993-1-1 6.3.4

Konzervativně uvažován $C_{my}=C_{mz}=C_{mLT}=1.0$

Pokud se jedná o tah jsou příslušné hodnoty součinitelů rovny 1.0

TAB A		PRŮŘEZOVÉ CHARAKTERISTIKY KRITICKÉHO PRŮŘEZU												
		KRITICKÉ BODY PRŮŘEZU PRO POŠOUZENÍ NAPĚTÍ				OHYB M_y, M_z						SMYK V_y, V_z		
		A_x	A_{x,ef,M_y}	A_{x,ef,M_z}	W_y	W_{y,ef,M_y}	W_{y,ef,M_z}	W_{z,ef,M_y}	W_{z,ef,M_z}	S_y	I_y	I_{wy}		
QZN.	POPIS	[mm ²]	[mm ²]	[mm ²]	[mm ³]	[mm ³]	[mm ³]	[mm ³]	[mm ³]	[mm ³]	[mm ⁴]	[mm ⁴]	[mm ⁴]	
1-DL	bod 1 - dolní vlákná průřezu, levý okraj	2,511E+03	2,511E+03	2,511E+03	1,226E+05	4,964E+04	1,226E+05	1,226E+05	4,964E+04	4,964E+04	-	-	-	
2-DP	bod 2 - dolní vlákná průřezu, pravý okraj	2,511E+03	2,511E+03	2,511E+03	1,226E+05	3,232E+04	1,226E+05	1,226E+05	3,232E+04	3,232E+04	-	-	-	
3-HL	bod 3 - horní vlákná průřezu, levý okraj	2,511E+03	2,511E+03	2,511E+03	1,226E+05	4,964E+04	1,226E+05	1,226E+05	4,964E+04	4,964E+04	-	-	-	
4-HP	bod 4 - horní vlákná průřezu, pravý okraj	2,511E+03	2,511E+03	2,511E+03	1,226E+05	3,232E+04	1,226E+05	1,226E+05	3,232E+04	3,232E+04	-	-	-	
5-SD1	bod 5 - dolní vlákná stěny 1	2,511E+03	2,511E+03	2,511E+03	1,430E+05	4,964E+04	1,430E+05	1,430E+05	4,964E+04	4,964E+04	8,909E+06	7,5	-	
6-SH1	bod 6 - horní vlákná stěny 1	2,511E+03	2,511E+03	2,511E+03	1,430E+05	7,781E+04	1,430E+05	1,430E+05	7,781E+04	7,781E+04	8,909E+06	7,5	-	
7-SD2	bod 7 - dolní vlákná stěny 2	2,511E+03	2,511E+03	2,511E+03	1,430E+05	4,964E+04	1,430E+05	1,430E+05	4,964E+04	4,964E+04	8,909E+06	7,5	-	
8-SH2	bod 8 - horní vlákná stěny 2	2,511E+03	2,511E+03	2,511E+03	1,430E+05	7,781E+04	1,430E+05	1,430E+05	7,781E+04	7,781E+04	8,909E+06	7,5	-	
9-T	bod 9 - těžiště plného průřezu	2,511E+03	2,511E+03	2,511E+03	-	-	-	-	-	-	7,299E+04	8,909E+06	7,5	

TAB B		STABILITA PRUTU							TAB C		ROZHODUJÍCÍ LINEÁRNÍ KOMBINACE VNITŘNÍCH SIL						
		TLAK - VZPĚR		OHYB - INTERAKCE S TLAKEM+KLOPEN							Nx, My, Mx, Vz						
POSUDEK				k_{xy}	k_{yz}	k_{yx}	k_{zx}	k_{zy}	k_{xz}								
NAPĚTÍ		[N]	[N]	[N]	[N]	[N]	[N]	[N]	[N]				[kN]	[kNm]	[kNm]	[kN]	[-]
A	1,000	1,000	1,000	1,000	1,000	1,000	1,000	1,000	1,000	A	Nx,max	52,6	0,0	0,0	0,0	0,0	42
B	0,934	0,866	1,050	1,075	0,992	1,000	1,083	1,083	1,083	B	Nx,min	-116,8	0,0	0,0	0,0	0,0	26
C	0,934	0,866	1,001	1,002	1,000	1,000	1,083	1,083	1,083	C	My,max	-2,8	0,0	0,0	0,0	0,0	1
D	0,934	0,866	1,001	1,002	1,000	1,000	1,083	1,083	1,083	D	My,min	-2,8	0,0	0,0	0,0	0,0	1
E	0,934	0,866	1,001	1,002	1,000	1,000	1,083	1,083	1,083	E	Mz,max	-2,8	0,0	0,0	0,0	0,0	1
F	0,934	0,866	1,001	1,002	1,000	1,000	1,083	1,083	1,083	F	Mz,min	-2,8	0,0	0,0	0,0	0,0	1
G	0,934	0,866	1,001	1,002	1,000	1,000	1,083	1,083	1,083	G	Vz,max	-2,8	0,0	0,0	0,0	0,0	1
H	0,934	0,866	1,001	1,002	1,000	1,000	1,083	1,083	1,083	H	Vz,min	-2,8	0,0	0,0	0,0	0,0	1
ZATÍŽITELNOST 	0,934	0,866	1,197	1,296	0,967	1,000	1,083	1,083	1,083								
ZATÍŽITELNOST 	0,934	0,866	1,197	1,296	0,967	1,000	1,083	1,083	1,083								

TAB D		PŘEHLED NAPĚTÍ V KRITICKÝCH BODECH PRŮŘEZU OD ROZHODUJÍCÍ LINEÁRNÍ KOMBINACE ZATÍŽENÍ																																																																																																																																																																																												
KRITICKÉ BODY PRŮŘEZU PRO POUSOZENÍ NAPĚTÍ		POSUDEK A		POSUDEK B		POSUDEK C		POSUDEK D		POSUDEK E		POSUDEK F		POSUDEK G		POSUDEK H		MAXIMÁLNÍ HODNOTY NAPĚTÍ V KRITICKÝCH BODECH PRŮŘEZU										ROZHODUJE																																																																																																																																																																		
																																																																																																																																																																																														

B. ZATÍŽITELNOST - 1.MS - ÚNOSNOST

[illegible]

C. SHRNUTÍ VÝSLEDKŮ

TAB F	A. POSOUZENÍ - 1.MS - ÚNOSNOST			
DRUH NAPĚTÍ	1. NORMÁLOVÉ η_1	2. SMYKOVÉ η_2	3. SROVNÁVACÍ η_n	4. MAXIMUM 1-3
MAXIMÁLNÍ VYUŽITÍ	0,253	0,000	0,253	0,253
POSUDEK NAPĚTÍ	B	A	B	B
ŘÍDICÍ VNITŘNÍ SILA	Nx,min	Nx,max	Nx,min	Nx,min
KRITICKÝ BOD PRŮŘEZU	1-DL	1-DL	1-DL	1-DL
LINEÁRNÍ KOMBINACE	26	42	26	26

TAB G	B. ZATÍŽITELNOST - 1.MS - ÚNOSNOST			
DRUH NAPĚTÍ	1. NORMÁLOVÉ σ_n	2. SMYKOVÉ τ	3. SROVNÁVACÍ σ_n	4.MINIMUM 1-3
ZATÍŽITELNOST Z_p	3,13	>5	3,13	3,13
POSUDEK NAPĚTÍ	B	A	B	B
ŘÍDICÍ VNITŘNÍ SÍLA	$N_{x,min}$	$N_{x,max}$	$N_{x,min}$	$N_{x,min}$
KRITICKÝ BOD PRŮŘEZU	1-DL	1-DL	1-DL	1-DL
LINEÁRNÍ KOMBINACE	26	21	26	26

234

Pokud se jedná o tah jsou příslušné hodnoty součinitelů rovny 1.0

Pokud se jedná o tah jsou příslušné hodnoty součinitelů rovny 1.0

TAB B		STABILITA PRUTU							TAB C		ROZHODUJÍCÍ LINEÁRNÍ KOMBINACE VNITŘNÍCH SIL				
TLAK - VZPĚR		OHYB - INTERAKCE S TLAKEM+KLOPENÍ						ROUČ. MAT.			Nx, My, Mx, Vz				
POSUDEK NAPĚTÍ			k_{yy}	$k_{zz}=k_{zz}$	k_{yz}	σ_F		POSUDEK NAPĚTÍ	ŘÍDÍCÍ VNITŘNÍ SÍLA	Nx	My	Mz	Vz	K	
			[H]	[H]	[H]	[H]	[H]			[kN]	[kNm]	[kNm]	[kN]	[kN]	
A	1,000	1,000	1,000	1,000	1,000	1,000	1,000	A	Nx,max	693,1	0,0	0,0	0,0	25	
B	0.688	0.832	1.275	1.158	0.983	1,000	1.063	B	Nx,min	-487,8	0,0	0,0	0,0	37	
C	1,000	1,000	1,000	1,000	1,000	1,000	1,000	C	My,max	59,9	0,0	0,0	0,0	1	
D	1,000	1,000	1,000	1,000	1,000	1,000	1,000	D	My,min	59,9	0,0	0,0	0,0	1	
E	1,000	1,000	1,000	1,000	1,000	1,000	1,000	E	Mz,max	59,9	0,0	0,0	0,0	1	
F	1,000	1,000	1,000	1,000	1,000	1,000	1,000	F	Mz,min	59,9	0,0	0,0	0,0	1	
G	1,000	1,000	1,000	1,000	1,000	1,000	1,000	G	Vz,max	59,9	0,0	0,0	0,0	1	
H	1,000	1,000	1,000	1,000	1,000	1,000	1,000	H	Vz,min	59,9	0,0	0,0	0,0	1	
ZATÍŽITELNOST	1,000	1,000	1,000	1,000	1,000	1,000	1,000								
ZATÍŽITELNOST	1,000	1,000	1,000	1,000	1,000	1,000	1,000								

TAB G	B. ZATÍŽITELNOST - 1.MS - ÚNOSNOST			
DRUH NAPĚTÍ	1. NORMÁLOVÉ σ_x	2. SMYKOVÉ τ	3. SROVNÁVACÍ σ_p	4. MINIMUM 1-3
ZATÍŽITELNOST Z_p	1,51	>5	1,51	1,51
POSUDEK NAPĚTÍ	A	A	A	A
ŘÍDICÍ VNITŘNÍ SÍLA	N_x, \max	N_x, \max	N_x, \max	N_x, \max
KRITICKÝ BOD PRŮŘEZU	1-DL	1-DL	1-DL	1-DL
LINEÁRNÍ KOMBINACE	25	21	25	25

Pokud se jedná o tah jsou příslušné hodnoty součinitelů rovny 1.0

TAB G	B. ZATÍŽITELNOST - 1.MS - ÚNOSNOST			
DRUH NAPĚTÍ	1. NORMÁLOVÉ σ_N	2. SMYKOVÉ τ	3. SROVNÁVACÍ σ_N	4. MINIMUM 1-3
ZATÍŽITELNOST Z_p	1,18	>5	1,18	1,18
POSUDEK NAPĚTÍ	A	A	A	A
ŘÍDÍCÍ VNITŘNÍ SÍLA	$N_{x,max}$	$N_{x,max}$	$N_{x,max}$	$N_{x,max}$
KRITICKÝ BOD PRŮŘEZU	1-DL	1-DL	1-DL	1-DL
LINEÁRNÍ KOMBINACE	26	21	26	26

A. POSOUZENÍ - 1.MS - ÚNOSNOST

$$X_j[m]$$

1,00

POUŽITÁ OBECNÁ METODA POSUDKU KOMBINACE TLAKU A OHYBU ČSN EN 1993-1-1 6.3.4

Konzervativně uvažován $C_{my}=C_{mz}=C_{mLT}=1.0$

Pokud se jedná o tah jsou příslušné hodnoty součinitelů rovny 1.0

TAB A		PŮRŮZNÉ CHARAKTERISTIKY KRITICKÉHO PŮRŮZU												
		Kritické body průřezu PRO POUSOZENÍ NAPĚTÍ		TAH, TLAK Nx						OHYB My, Mz			SMYK Vz	
				A _x	A _{y,ot.Nx}	A _{z,ot.Nx}	W _x	W _y	W _{y,ot.Nx}	W _{z,ot.Nx}	W _{z,ot.Nx}			
OZN.	POPIS	[mm ²]	[mm ²]	[mm ²]	[mm ³]	[mm ³]	[mm ³]	[mm ³]	[mm ³]	[mm ³]	[mm ³]	[mm ⁴]	[mm ⁴]	
1-DL	bod 1- dolní vlákna průřezu, levý okraj	4,51E+03	4,51E+03	4,51E+03	1,42E+05	8,10E+04	1,42E+05	1,42E+05	8,10E+04	8,10E+04	-	-	-	
2-DP	bod 2- dolní vlákna průřezu, pravý okraj	4,51E+03	4,51E+03	4,51E+03	1,42E+05	8,10E+04	1,42E+05	1,42E+05	8,10E+04	8,10E+04	-	-	-	
3-HL	bod 3- horní vlákna průřezu, levý okraj	4,51E+03	4,51E+03	4,51E+03	-9,90E+04	6,75E+03	-9,90E+04	-9,90E+04	6,75E+03	6,75E+03	-	-	-	
4-HP	bod 4- horní vlákna průřezu, pravý okraj	4,51E+03	4,51E+03	4,51E+03	-9,90E+04	6,75E+03	-9,90E+04	-9,90E+04	6,75E+03	6,75E+03	-	-	-	
5-SD1	bod 5- dolní vlákna stěny 1	4,51E+03	4,51E+03	4,51E+03	2,41E+05	2,41E+05	2,41E+05	6,75E+05	6,75E+05	6,75E+05	5,61E+04	4,20E+06	24,0	
6-SH1	bod 6- horní vlákna stěny 1	4,51E+03	4,51E+03	4,51E+03	2,41E+05	-8,75E+05	2,41E+05	2,41E+05	-8,75E+05	-8,75E+05	5,61E+04	4,20E+06	24,0	
7-SD2	bod 7- dolní vlákna stěny 2	4,51E+03	4,51E+03	4,51E+03	-9,90E+04	6,75E+03	-9,90E+04	-9,90E+04	6,75E+03	6,75E+03	1,45E+11	4,00E+05	24,0	
8-SH2	bod 8- horní vlákna stěny 2	4,51E+03	4,51E+03	4,51E+03	-9,90E+04	6,75E+03	-9,90E+04	-9,90E+04	6,75E+03	6,75E+03	1,45E+11	4,00E+05	24,0	
9-T	bod 9- těžiště plného průřezu	4,51E+03	4,51E+03	4,51E+03	-	-	-	-	-	-	5,98E+10	4,20E+06	24,0	

TAB B		STABILITA PRUTU							TAB C		ROZHODUJÍCÍ LINEÁRNÍ KOMBINACE VNITŘNÍCH SIL				
		TLAK - VZPĚR		OHYB - INTERAKCE S TLAKEM+KLOPEN							Nx, My, Mx, Vz				
POSUDEK		k_{yy}	$k_{yy}+k_{xz}$	k_{yy}	k_{zz}	k_{yz}	k_{xy}	POSUDEK	ŘÍDÍCI	Nx	My	Mz	Vz	K.č.	
NAPĚTÍ		[-]	[-]	[-]	[-]	[-]	[-]	NAPĚTÍ	VNITŘNÍ SÍLA	[kN]	[kNm]	[kNm]	[kN]	[-]	
A	1,000	1,000	1,000	1,000	1,000	1,000	1,000	A	Nx,max	621,9	0,0	0,0	0,0	25	
B	0,589	0,759	1,356	1,193	0,979	1,000	1,083	B	Nx,min	-337,9	0,0	0,0	0,0	38	
C	1,000	1,000	1,000	1,000	1,000	1,000	1,000	C	My,max	101,5	0,0	0,0	0,0	1	
D	1,000	1,000	1,000	1,000	1,000	1,000	1,000	D	My,min	101,5	0,0	0,0	0,0	1	
E	1,000	1,000	1,000	1,000	1,000	1,000	1,000	E	Mz,max	101,5	0,0	0,0	0,0	1	
F	1,000	1,000	1,000	1,000	1,000	1,000	1,000	F	Mz,min	101,5	0,0	0,0	0,0	1	
G	1,000	1,000	1,000	1,000	1,000	1,000	1,000	G	Vz,max	101,5	0,0	0,0	0,0	1	
H	1,000	1,000	1,000	1,000	1,000	1,000	1,000	H	Vz,min	101,5	0,0	0,0	0,0	1	
ZATÍŽITELNOST σ_x	1,000	1,000	1,000	1,000	1,000	1,000	1,000								
ZATÍŽITELNOST σ_y	1,000	1,000	1,000	1,000	1,000	1,000	1,000								

[illegible]

B. ZATÍŽITELNOST - 1.MS - ÚNOSNOST

TAB E																																							
1. ZATÍŽITELNOST - NORMÁLOVÉ NAPĚTÍ												2. ZATÍŽITELNOST - SMYKOVÉ NAPĚTÍ				3. ZATÍŽITELNOST - SROVNÁVACÍ NAPĚTÍ																							
		KZ č. 25										KZ č. 21				KZ č. 25																							
SKUPINA		Nx	My	Mz	Vx	Vy	Nx	My	Mz	Vx	Vy	ZATÍŽITELNOST				V2	V1	V2	ZATÍŽITELNOST				Nx	My	Mz	V2	V1	V2	Nx	My	Mz	V2	V1	V2	ZATÍŽITELNOST				
ZATĚŽ.STAVŮ		[kN]	[kNm]	[kNm]	[-]	[kN]	[kNm]	[kNm]	[MPa]	[MPa]	[MPa]	[MPa]	[MPa]	[-]	[kN]	[-]	[kN]	[MPa]	[-]	[-]	[kN]	[kNm]	[kNm]	[kN]	[-]	[kN]	[kNm]	[kNm]	[kN]	[MPa]	[MPa]	[MPa]	[MPa]	[MPa]	[MPa]	[-]			
E _{CEL}	G	101.5	0.0	0.0	0.85	86.3	0.0	0.0	19.1	0.0	0.0	19.1	R _e = 213,6 MPa	0.0	1.00	0.0	0.0	R _s = 123,3 MPa	101.5	0.0	0.0	0.0	0.85	86.3	0.0	0.0	0.0	19.1	0.0	0.0	19.1	0.0	19.1	R _e = 213,6 MPa					
	CH	0.0	0.0	0.0	0.00	0.0	0.0	0.0	0.0	0.0	0.0	0.0	0.0	0.0	0.0	0.0	0.0	0.0	0.0	0.0	0.0	0.0	0.0	0.0	0.0	0.0	0.0	0.0	0.0	0.0	0.0	0.0	0.0	0.0	0.0	R _s = 41,5 MPa			
	W-P	84.1	0.0	0.0	0.50	42.0	0.0	0.0	9.3	0.0	0.0	9.3	0.0	0.50	0.0	0.0	0.0	0.0	0.0	84.1	0.0	0.0	0.0	0.50	42.0	0.0	0.0	0.0	9.3	0.0	0.0	9.3	0.0	9.3	0.0	9.3	0.0	0.0	
	RL	0.0	0.0	0.0	0.00	0.0	0.0	0.0	0.0	0.0	0.0	0.0	0.0	0.0	0.0	0.0	0.0	0.0	0.0	0.0	0.0	0.0	0.0	0.0	0.0	0.0	0.0	0.0	0.0	0.0	0.0	0.0	0.0	0.0	0.0	0.0	R _{m1+} = 128,4 MPa		
	T-N	0.0	0.0	0.0	0.00	0.0	0.0	0.0	0.0	0.0	0.0	0.0	0.0	0.0	0.0	0.0	0.0	0.0	0.0	0.0	0.0	0.0	0.0	0.0	0.0	0.0	0.0	0.0	0.0	0.0	0.0	0.0	0.0	0.0	0.0	0.0	R _{m1+} = 0,0 MPa		
	O	4.3	0.0	0.0	0.50	2.1	0.0	0.0	0.5	0.0	0.0	0.0	0.5	0.0	0.40	0.0	0.0	0.0	0.0	4.3	0.0	0.0	0.0	0.50	2.1	0.0	0.0	0.0	0.5	0.0	0.0	0.5	0.0	0.5	0.0	0.5	0.0	0.0	
	B	44.5	0.0	0.0	1.00	44.5	0.0	0.0	9.9	0.0	0.0	9.9	0.0	1.00	0.0	0.0	0.0	0.0	0.0	44.5	0.0	0.0	0.0	1.00	44.5	0.0	0.0	0.0	9.9	0.0	0.0	9.9	0.0	9.9	0.0	9.9	0.0	0.0	
	S	24.8	0.0	0.0	0.50	12.4	0.0	0.0	2.7	0.0	0.0	2.7	0.0	0.50	0.0	0.0	0.0	0.0	0.0	24.8	0.0	0.0	0.0	0.50	12.4	0.0	0.0	0.0	2.7	0.0	0.0	2.7	0.0	2.7	0.0	2.7	0.0	0.0	
E _{LIM1+E}	P	579.3	0.0	0.0	1.00	579.3	0.0	0.0	128.4	0.0	0.0	128.4	0.0	0.80	0.0	0.0	0.0	0.0	579.3	0.0	0.0	0.0	1.00	579.3	0.0	0.0	0.0	128.4	0.0	0.0	128.4	0.0	128.4	0.0	128.4	0.0	128.4	0.0	0.0

C. SHRUTÍ VÝSLEDKŮ

TAB F	A. POSOUZENÍ - 1.MS - ÚNOSNOST			
DRUH NAPĚTÍ	1. NORMÁLOVÉ η_1	2. SMYKOVÉ η_3	3. SROVNÁVACÍ η_e	4. MAXIMUM 1-3
MAXIMÁLNÍ VYUŽITÍ	0,645	0,000	0,645	0,645
POSUDEK NAPĚTÍ	B	A	B	B
ŘÍDICÍ VNITŘNÍ SILA	Nx,min	Nx,max	Nx,min	Nx,min
KRITICKÝ BOD PRŮŘEZU	1-DL	1-DL	1-DL	1-DL
LINEÁRNÍ KOMBINACE	38	25	38	38

TAB G	B. ZAŽITELNOST - 1.MS - ÚNOSNOST			
DRUH NAPĚTÍ	1. NORMÁLOVÉ σ_x	2. SMYKOVÉ τ	3. SROVNÁVACÍ σ_x	4.MINIMUM 1-3
ZAŽITELNOST z_p	1,22	>5	1,22	1,22
POSUDEK NAPĚTÍ	A	A	A	A
RÍDICÍ VNITŘNÍ SÍLA	$N_{x,max}$	$N_{x,max}$	$N_{x,max}$	$N_{x,max}$
KRITICKÝ BOD PRŮŘEZU	1-DL	1-DL	1-DL	1-DL
LINEÁRNÍ KOMBINACE	25	21	25	25

Pokud se jedná o tah jsou příslušné hodnoty součinitelů rovny 1.0

TAB B		STABILITA PRUTU							TAB C		ROZHODUJÍCÍ LINEÁRNÍ KOMBINACE VNITŘNÍCH SIL				
TLAK - VZPĚR		OHYB - INTERAKCE S TLAKEM+KLOPENÍ						ROUČ. MAT.			Nx, My, Mx, Vz				
POSUDEK NAPĚTÍ			k_{yy}	$k_{yz}=k_{zy}$	k_{zz}			POSUDEK NAPĚTÍ	ŘÍDICI VNITŘNÍ SÍLA	Nx	My	Mz	Vz	K	
	[N]	[N]	[N]	[N]	[N]	[N]	[N]			[kN]	[kNm]	[kNm]	[kN]	[N]	
A	1,000	1,000	1,000	1,000	1,000	1,000	1,000	A	Nx,max	766,5	0,0	0,0	0,0	26	
B	0.652	0.811	1.355	1.195	0.978	1,000	1.083	B	Nx,min	-509,4	0,0	0,0	0,0	25	
C	1,000	1,000	1,000	1,000	1,000	1,000	1,000	C	My,max	93,6	0,0	0,0	0,0	1	
D	1,000	1,000	1,000	1,000	1,000	1,000	1,000	D	My,min	93,6	0,0	0,0	0,0	1	
E	1,000	1,000	1,000	1,000	1,000	1,000	1,000	E	Mz,max	93,6	0,0	0,0	0,0	1	
F	1,000	1,000	1,000	1,000	1,000	1,000	1,000	F	Mz,min	93,6	0,0	0,0	0,0	1	
G	1,000	1,000	1,000	1,000	1,000	1,000	1,000	G	Vz,max	93,6	0,0	0,0	0,0	1	
H	1,000	1,000	1,000	1,000	1,000	1,000	1,000	H	Vz,min	93,6	0,0	0,0	0,0	1	
ZATÍŽITELNOST	0.652	0.811	1.490	1.269	0.970	1,000	1.083								
ZATÍŽITELNOST	0.652	0.811	1.490	1.269	0.970	1,000	1.083								

[illegible]

TAB 11₄₀ B. ZATÍŽITELNOST - 1.MS - ÚNOSNOST

TAB E		1. ZATÍŽITELNOST - NORMÁLOVÉ NAPĚTÍ												2. ZATÍŽITELNOST - SMYKOVÉ NAPĚTÍ					3. ZATÍŽITELNOST - SROVNÁVACÍ NAPĚTÍ														
		KZ č. 25												KZ č. 21					KZ č. 25														
SKUPINA		Nx	My	Mz		▼* Nx	▼* My	▼* Mz					V2	▼* V2		Nx	My	Mz	V2		▼* Nx	▼* My	▼* Mz	▼* V2									
ZATĚŽ STAVŮ		[kN]	[kNm]	[kNm]	[-]	[kN]	[kNm]	[kNm]	[MPa]	[MPa]	[MPa]	[MPa]	[kN]	[-]	[kN]	[MPa]	[kN]	[kNm]	[kNm]	[kN]	[-]	[kN]	[kNm]	[kNm]	[kN]	[MPa]	[MPa]	[MPa]	[MPa]	[MPa]			
E _{27.60}	G	-60,8	0,0	0,0	0,85	-51,7	0,0	0,0	-14,5	0,0	0,0	-14,5	R _{pe}	197,2 MPa	0,0	1,00	0,0	0,0	R _{pe}	123,3 MPa	-60,8	0,0	0,0	0,0	0,85	-51,7	0,0	0,0	-14,5	0,0	14,5	R _{pe}	197,2 MPa
	CH	0,0	0,0	0,0	0,0	0,0	0,0	0,0	0,0	0,0	0,0	0,0	0,0	0,0	0,0	0,0	0,0	0,0	0,0	0,0	0,0	0,0	0,0	0,0	0,0	0,0	0,0	0,0	0,0	0,0	0,0	R _{pe}	-50,4 MPa
	W-P	-105,1	0,0	0,0	0,50	-52,5	0,0	0,0	-14,7	0,0	0,0	-14,7	R _{pe}	-50,4 MPa	0,0	0,50	0,0	0,0	0,0	0,0	0,0	0,0	0,0	0,0	0,0	0,0	0,0	0,0	-14,7	0,0	14,7	R _{pe}	0,0 MPa
	RL	0,0	0,0	0,0	0,00	0,0	0,0	0,0	0,0	0,0	0,0	0,0	0,0	0,0	0,0	0,0	0,0	0,0	0,0	0,0	0,0	0,0	0,0	0,0	0,0	0,0	0,0	0,0	0,0	0,0	0,0	0,0	-102,0 MPa
	T-N	0,0	0,0	0,0	0,00	0,0	0,0	0,0	0,0	0,0	0,0	0,0	0,0	0,0	0,0	0,0	0,0	0,0	0,0	0,0	0,0	0,0	0,0	0,0	0,0	0,0	0,0	0,0	0,0	0,0	0,0	0,0	0,0 MPa
	O	0,0	0,0	0,0	0,50	0,0	0,0	0,0	0,0	0,0	0,0	0,0	0,0	0,0	0,40	0,0	0,0	0,0	0,50	0,0	0,0	0,0	0,0	0,0	0,0	0,0	0,0	0,0	0,0	0,0	0,0	0,0	0,0
	B	-59,6	0,0	0,0	1,00	-59,6	0,0	0,0	-16,7	0,0	0,0	-16,7	Z _{LM71}	1,21	0,0	0,80	0,0	0,0	1,00	-59,6	0,0	0,0	0,0	0,0	0,0	0,0	0,0	0,0	-16,7	0,0	16,7	Z _{LM71}	1,21
	S	-32,2	0,0	0,0	0,50	-16,1	0,0	0,0	-4,5	0,0	0,0	-4,5	0,0	0,40	0,0	0,0	0,40	0,0	0,50	-16,1	0,0	0,0	0,0	0,0	0,0	0,0	0,0	0,0	-4,5	0,0	4,5	0,0	4,5
K	0,0	0,0	0,0	0,00	0,0	0,0	0,0	0,0	0,0	0,0	0,0	0,0	0,0	0,0	0,0	0,0	0,0	0,0	0,0	0,0	0,0	0,0	0,0	0,0	0,0	0,0	0,0	0,0	0,0	0,0	0,0	0,0	
EM71.53	P	-364,1	0,0	0,0	1,00	-364,1	0,0	0,0	-102,0	0,0	0,0	-102,0	0,0	0,80	0,0	0,0	0,0	1,00	-364,1	0,0	0,0	0,0	0,0	0,0	0,0	0,0	0,0	0,0	-102,0	0,0	102,0	0,0	102,0

TAB	12₄₀	C. SHRNU TÍ VÝSLEDKŮ
------------	------------------------	-----------------------------

TAB F	A. POSOUZENÍ - 1.MS - ÚNOSNOST			
Druh napětí	1. NORMÁLOVÉ η_1	2. SMYKOVÉ η_2	3. SROVNÁVACÍ η_e	4. MAXIMUM 1-3
MAXIMÁLNÍ VYUŽITÍ	0,724	0,000	0,724	0,724
POSUDEK NAPĚTÍ	B	A	B	B
ŘÍDICÍ VNITŘNÍ SILA	Nx,min	Nx,max	Nx,min	Nx,min
KRITICKÝ BOD PRŮŘEZU	1-DL	1-DL	1-DL	1-DL
LINEÁRNÍ KOMBINACE	25	26	25	25

TAB G	B. ZATÍŽITELNOST - 1.MS - ÚNOSNOST			
DRUH NAPĚTÍ	1. NORMÁLOVÉ σ_x	2. SMYKOVÉ τ	3. SROVNÁVACÍ σ_p	4. MINIMUM 1-3
ZATÍŽITELNOST Z_p	1,21	>5	1,21	1,21
POSUDEK NAPĚTÍ	B	A	B	B
ŘÍDÍCÍ VNITŘNÍ SÍLA	$N_{x,min}$	$N_{x,max}$	$N_{x,min}$	$N_{x,min}$
KRITICKÝ BOD PRŮŘEZU	1-DL	1-DL	1-DL	1-DL
LINEÁRNÍ KOMBINACE	25	21	25	25

Pokud se jedná o tah jsou příslušné hodnoty součinitelů rovny 1.0

TAB G	B. ZATÍŽITELNOST - 1.MS - ÚNOSNOST			
DRUH NAPĚTÍ	1. NORMÁLOVÉ σ_x	2. SMYKOVÉ τ	3. SROVNÁVACÍ σ_p	4. MINIMUM 1-3
ZATÍŽITELNOST Z_p	1,05	>5	1,05	1,05
POSUDEK NAPĚTÍ	A	A	A	A
ŘÍDICÍ VNITŘNÍ SÍLA	N_x, \max	N_x, \max	N_x, \max	N_x, \max
KRITICKÝ BOD PRŮŘEZU	1-DL	1-DL	1-DL	1-DL
LINEÁRNÍ KOMBINACE	26	21	26	26

8.8. Zatížitelnost UIC71 – souhrn

TAB 13 - PŘEHLED ZATÍŽITELNOSTI PRO ČÁST MOSTU													strana: 1		
ČÍSLO POSUDKU	PRVEK (včetně umístění)	BOD PRŮŘEZU	NAMÁHÁNÍ	ki	PŘÍČINKOVÁ ČÁRA ŘIDÍCÍ SILY			Lp	δ	Ld	VIZ TABULKA	POZNÁMKY	Z uic		
					typ	číslo	řídící síla						viz strana		
1	2	3	4	5	6			7	8	9	10	11	12		
1	popis: HLAVNÍ NOSNÍK 1	C	σ _x	σ _{xNx}	0,010	S	My	-	1,05	53,950	12 ₁	1.MS - normálové napětí - část od Nx	1,13	1,13	
	označení: HN_01 průřez: HN_01 prut: i	G		τ	σ _{xMy}			0,970	-	1,05		53,950			1.MS - normálové napětí - část od My
					σ _{xMz}			0,019	-	1,05		53,950			1.MS - normálové napětí - část od Mz
			C		σ _o	σ _{xNx}	0,010	-	1,05	53,950		1.MS - smykové napětí - část od Vz			
	σ _{xMy}	0,970		-		1,05	53,950	1.MS - srovnávací napětí - část od Nx							
	σ _{xMz}	0,019		-		1,05	53,950	1.MS - srovnávací napětí - část od My							
x = j [m]			±	0,000	-	1,05	53,950	1.MS - srovnávací napětí - část od Mz							
2	popis: HLAVNÍ NOSNÍK 2	C	σ _x	σ _{xNx}	0,032	S	My	-	1,05	53,950	12 ₂	1.MS - normálové napětí - část od Nx	1,19	1,19	
	označení: HN_02 průřez: HN_02 prut: i	H		τ	σ _{xMy}			0,942	-	1,05		53,950			1.MS - normálové napětí - část od My
					σ _{xMz}			0,026	-	1,05		53,950			1.MS - normálové napětí - část od Mz
			C		σ _o	σ _{xNx}	0,032	-	1,05	53,950		1.MS - smykové napětí - část od Vz			
	x = j [m]			±	0,000	-	1,05	53,950	1.MS - srovnávací napětí - část od Nx						
					σ _{xMy}	0,942	-	1,05	53,950	1.MS - srovnávací napětí - část od My					
				σ _{xMz}	0,026	-	1,05	53,950	1.MS - srovnávací napětí - část od Mz						
3	popis: HLAVNÍ NOSNÍK 3A	D	σ _x	σ _{xNx}	0,001	S	My	-	1,05	53,950	12 ₃	1.MS - normálové napětí - část od Nx	0,88	0,88	
	označení: HN_03A průřez: HN_03A prut: i	G		τ	σ _{xMy}			0,885	-	1,05		53,950			1.MS - normálové napětí - část od My
					σ _{xMz}			0,114	-	1,05		53,950			1.MS - normálové napětí - část od Mz
			D		σ _o	σ _{xNx}	0,001	-	1,05	53,950		1.MS - smykové napětí - část od Vz			
	x = j [m]			±	0,000	-	1,05	53,950	1.MS - srovnávací napětí - část od Nx						
					σ _{xMy}	0,885	-	1,05	53,950	1.MS - srovnávací napětí - část od My					
				σ _{xMz}	0,114	-	1,05	53,950	1.MS - srovnávací napětí - část od Mz						
4	popis: HLAVNÍ NOSNÍK 3B	D	σ _x	σ _{xNx}	0,001	S	My	-	1,05	53,950	12 ₄	1.MS - normálové napětí - část od Nx	0,81	0,81	
	označení: HN_03B průřez: HN_03B prut: i	G		τ	σ _{xMy}			0,915	-	1,05		53,950			1.MS - normálové napětí - část od My
					σ _{xMz}			0,084	-	1,05		53,950			1.MS - normálové napětí - část od Mz
			D		σ _o	σ _{xNx}	0,001	-	1,05	53,950		1.MS - smykové napětí - část od Vz			
	x = j [m]			±	0,000	-	1,05	53,950	1.MS - srovnávací napětí - část od Nx						
					σ _{xMy}	0,915	-	1,05	53,950	1.MS - srovnávací napětí - část od My					
				σ _{xMz}	0,084	-	1,05	53,950	1.MS - srovnávací napětí - část od Mz						
5	popis: HLAVNÍ NOSNÍK 4	D	σ _x	σ _{xNx}	0,254	S	My	-	1,05	53,950	12 ₅	1.MS - normálové napětí - část od Nx	1,32	1,32	
	označení: HN_04 průřez: HN_04 prut: i	H		τ	σ _{xMy}			0,743	-	1,05		53,950			1.MS - normálové napětí - část od My
					σ _{xMz}			0,003	-	1,05		53,950			1.MS - normálové napětí - část od Mz
			D		σ _o	σ _{xNx}	0,254	-	1,05	53,950		1.MS - smykové napětí - část od Vz			
	x = j [m]			±	0,000	-	1,05	53,950	1.MS - srovnávací napětí - část od Nx						
					σ _{xMy}	0,743	-	1,05	53,950	1.MS - srovnávací napětí - část od My					
				σ _{xMz}	0,003	-	1,05	53,950	1.MS - srovnávací napětí - část od Mz						
6	popis: HLAVNÍ NOSNÍK 5	C	σ _x	σ _{xNx}	0,184	S	My	-	1,05	53,950	12 ₆	1.MS - normálové napětí - část od Nx	1,56	1,56	
	označení: HN_05 průřez: HN_05 prut: i	G		τ	σ _{xMy}			0,833	-	1,05		53,950			1.MS - normálové napětí - část od My
					σ _{xMz}			-0,017	-	1,05		53,950			1.MS - normálové napětí - část od Mz
			C		σ _o	σ _{xNx}	0,184	-	1,05	53,950		1.MS - smykové napětí - část od Vz			
	x = j [m]			±	0,000	-	1,05	53,950	1.MS - srovnávací napětí - část od Nx						
					σ _{xMy}	0,833	-	1,05	53,950	1.MS - srovnávací napětí - část od My					
				σ _{xMz}	-0,017	-	1,05	53,950	1.MS - srovnávací napětí - část od Mz						
7	popis: HLAVNÍ NOSNÍK 6	C	σ _x	σ _{xNx}	0,234	S	My	-	1,05	53,950	12 ₇	1.MS - normálové napětí - část od Nx	1,79	1,79	
	označení: HN_06 průřez: HN_06 prut: i	H		τ	σ _{xMy}			0,744	-	1,05		53,950			1.MS - normálové napětí - část od My
					σ _{xMz}			0,022	-	1,05		53,950			1.MS - normálové napětí - část od Mz
			C		σ _o	σ _{xNx}	0,234	-	1,05	53,950		1.MS - smykové napětí - část od Vz			
	x = j [m]			±	0,000	-	1,05	53,950	1.MS - srovnávací napětí - část od Nx						
					σ _{xMy}	0,744	-	1,05	53,950	1.MS - srovnávací napětí - část od My					
				σ _{xMz}	0,022	-	1,05	53,950	1.MS - srovnávací napětí - část od Mz						
8	popis: PŘÍČNÍK 1	C	σ _x	σ _{xNx}	0,026	S	My	-	2,00	6,900	12 ₈	1.MS - normálové napětí - část od Nx	>5	>5	
	označení: P_1 průřez: P_1 prut: i	G		τ	σ _{xMy}			0,944	-	2,00		6,900			1.MS - normálové napětí - část od My
					σ _{xMz}			0,029	-	2,00		6,900			1.MS - normálové napětí - část od Mz
			C		σ _o	σ _{xNx}	0,026	-	2,00	6,900		1.MS - smykové napětí - část od Vz			
	x = j [m]			±	0,000	-	2,00	6,900	1.MS - srovnávací napětí - část od Nx						
					σ _{xMy}	0,944	-	2,00	6,900	1.MS - srovnávací napětí - část od My					
				σ _{xMz}	0,029	-	2,00	6,900	1.MS - srovnávací napětí - část od Mz						
9	popis: PŘÍČNÍK 2	C	σ _x	σ _{xNx}	0,050	S	My	-	2,00	3,600	12 ₉	1.MS - normálové napětí - část od Nx	1,36	1,26	
	označení: P_2 průřez: P_2 prut: i	G		τ	σ _{xMy}			0,845	-	2,00		3,600			1.MS - normálové napětí - část od My
					σ _{xMz}			0,105	-	2,00		3,600			1.MS - normálové napětí - část od Mz
			C		σ _o	σ _{xNx}	0,043	-	2,00	3,600		1.MS - smykové napětí - část od Vz			
	x = j [m]			±	0,273	-	2,00	3,600	1.MS - srovnávací napětí - část od Nx						
					σ _{xMy}	0,681	-	2,00	3,600	1.MS - srovnávací napětí - část od My					
				σ _{xMz}	0,003	-	2,00	3,600	1.MS - srovnávací napětí - část od Mz						
10	popis: PŘÍČNÍK 3	C	σ _x	σ _{xNx}	0,004	S	My	-	1,37	8,800	12 ₁₀	1.MS - normálové napětí - část od Nx	1,27	1,22	
	označení: P_3 průřez: P_3 prut: i	H		τ	σ _{xMy}			0,986	-	1,37		8,800			1.MS - normálové napětí - část od My
					σ _{xMz}			0,010	-	1,37		8,800			1.MS - normálové napětí - část od Mz
			C		σ _o	σ _{xNx}	0,003	-	1,37	8,800		1.MS - smykové napětí - část od Vz			
	x = j [m]			±	0,273	-	1,37	8,800	1.MS - srovnávací napětí - část od Nx						
					σ _{xMy}	0,723	-	1,37	8,800	1.MS - srovnávací napětí - část od My					
				σ _{xMz}	0,000	-	1,37	8,800	1.MS - srovnávací napětí - část od Mz						

TAB 13 - PŘEHLED ZATÍŽITELNOSTI PRO ČÁST MOSTU

strana: 2

ČÍSLO POSUDKU	PRVEK (včetně umístění)	BOD PRŮŘEZU	NAMÁHÁNÍ	ki	PŘÍČINKOVÁ ČARA ŘIDÍCÍ SILY			Lp	δ	Ld	VIZ TABULKA	POZNÁMKY	Z uic
					typ	číslo	řídící síla						
1	2	3	4	5	6			7	8	9	10	11	12
11	popis: PŘÍČNÍK 4	C	σ_x	σ_{xNk}	0,038	S	My	-	1,37	8,800	12 ¹¹	1.MS - normálové napětí - část od Nx	1,13
				σ_{xMy}	0,978				1,37	8,800		1.MS - normálové napětí - část od My	
				σ_{xMz}	-0,015				1,37	8,800		1.MS - normálové napětí - část od Mz	
	označení: P_4 průřez: P_4 prut: i	H	τ	σ_{xNk}	1,000	S	Vz	-	1,37	8,800		1.MS - smykové napětí - část od Vz	2,23
				σ_{xNk}	0,038				1,37	8,800		1.MS - srovnávací napětí - část od Nx	
				σ_{xMy}	0,978				1,37	8,800		1.MS - srovnávací napětí - část od My	
12	popis: PŘÍČNÍK 5	C	σ_x	σ_{xNk}	0,050	S	My	-	1,37	8,800	12 ¹²	1.MS - normálové napětí - část od Nx	1,09
				σ_{xMy}	0,857				1,37	8,800		1.MS - normálové napětí - část od My	
				σ_{xMz}	0,094				1,37	8,800		1.MS - normálové napětí - část od Mz	
	označení: P_5 průřez: P_5 prut: i	H	τ	σ_{xNk}	1,000	S	Vz	-	1,37	8,800		1.MS - smykové napětí - část od Vz	1,87
				σ_{xNk}	0,039				1,37	8,800		1.MS - srovnávací napětí - část od Nx	
				σ_{xMy}	0,644				1,37	8,800		1.MS - srovnávací napětí - část od My	
13	popis: BRZDNÉ ZTUŽIDLO 1	B	σ_x	σ_{xNk}	1,000	S	Nx	-	1,79	2,700	12 ¹³	1.MS - normálové napětí - část od Nx	0,88
				σ_{xMy}	0,000				1,79	2,700		1.MS - normálové napětí - část od My	
				σ_{xMz}	0,000				1,79	2,700		1.MS - normálové napětí - část od Mz	
	označení: B_1 průřez: B_1 prut: i	A	τ	σ_{xNk}	1,000	S	Vz	-	1,79	2,700		1.MS - smykové napětí - část od Vz	>5
				σ_{xNk}	1,000				1,79	2,700		1.MS - srovnávací napětí - část od Nx	
				σ_{xMy}	0,000				1,79	2,700		1.MS - srovnávací napětí - část od My	
14	popis: BRZDNÉ ZTUŽIDLO 2	B	σ_x	σ_{xNk}	1,000	S	Nx	-	1,79	1,560	12 ¹⁴	1.MS - normálové napětí - část od Nx	0,84
				σ_{xMy}	0,000				1,79	1,560		1.MS - normálové napětí - část od My	
				σ_{xMz}	0,000				1,79	1,560		1.MS - normálové napětí - část od Mz	
	označení: B_2 průřez: B_2 prut: i	A	τ	σ_{xNk}	1,000	S	Vz	-	1,79	1,560		1.MS - smykové napětí - část od Vz	>5
				σ_{xNk}	1,000				1,79	1,560		1.MS - srovnávací napětí - část od Nx	
				σ_{xMy}	0,000				1,79	1,560		1.MS - srovnávací napětí - část od My	
15	popis: BRZDNÉ ZTUŽIDLO 3	A	σ_x	σ_{xNk}	1,000	S	Nx	-	1,79	2,300	12 ¹⁵	1.MS - normálové napětí - část od Nx	2,68
				σ_{xMy}	0,000				1,79	2,300		1.MS - normálové napětí - část od My	
				σ_{xMz}	0,000				1,79	2,300		1.MS - normálové napětí - část od Mz	
	označení: B_3 průřez: B_3 prut: i	A	τ	σ_{xNk}	1,000	S	Vz	-	1,79	2,300		1.MS - smykové napětí - část od Vz	>5
				σ_{xNk}	1,000				1,79	2,300		1.MS - srovnávací napětí - část od Nx	
				σ_{xMy}	0,000				1,79	2,300		1.MS - srovnávací napětí - část od My	
16	popis: BRZDNÉ ZTUŽIDLO 4	B	σ_x	σ_{xNk}	1,000	S	Nx	-	1,79	2,400	12 ¹⁶	1.MS - normálové napětí - část od Nx	>5
				σ_{xMy}	0,000				1,79	2,400		1.MS - normálové napětí - část od My	
				σ_{xMz}	0,000				1,79	2,400		1.MS - normálové napětí - část od Mz	
	označení: B_4 průřez: B_4 prut: i	A	τ	σ_{xNk}	1,000	S	Vz	-	1,79	2,400		1.MS - smykové napětí - část od Vz	>5
				σ_{xNk}	1,000				1,79	2,400		1.MS - srovnávací napětí - část od Nx	
				σ_{xMy}	0,000				1,79	2,400		1.MS - srovnávací napětí - část od My	
17	popis: ZTUŽENÍ OBLOUKU	F	σ_x	σ_{xNk}	0,001	S	Mz	-	1,65	5,900	12 ¹⁷	1.MS - normálové napětí - část od Nx	3,09
				σ_{xMy}	0,055				1,65	5,900		1.MS - normálové napětí - část od My	
				σ_{xMz}	0,943				1,65	5,900		1.MS - normálové napětí - část od Mz	
	označení: K_1 průřez: K_1 prut: i	G	τ	σ_{xNk}	1,000	S	Vz	-	1,65	5,900		1.MS - smykové napětí - část od Vz	>5
				σ_{xNk}	0,001				1,65	5,900		1.MS - srovnávací napětí - část od Nx	
				σ_{xMy}	0,055				1,65	5,900		1.MS - srovnávací napětí - část od My	
18	popis: OBLOUK 1	B	σ_x	σ_{xNk}	0,921	S	Nx	-	1,08	40,500	12 ¹⁸	1.MS - normálové napětí - část od Nx	2,24
				σ_{xMy}	0,043				1,08	40,500		1.MS - normálové napětí - část od My	
				σ_{xMz}	0,036				1,08	40,500		1.MS - normálové napětí - část od Mz	
	označení: O_1 průřez: O_1 prut: i	G	τ	σ_{xNk}	1,000	S	Vz	-	1,08	40,500		1.MS - smykové napětí - část od Vz	>5
				σ_{xNk}	0,921				1,08	40,500		1.MS - srovnávací napětí - část od Nx	
				σ_{xMy}	0,043				1,08	40,500		1.MS - srovnávací napětí - část od My	
19	popis: OBLOUK 2	B	σ_x	σ_{xNk}	0,972	S	Nx	-	1,08	40,500	12 ¹⁹	1.MS - normálové napětí - část od Nx	2,03
				σ_{xMy}	0,003				1,08	40,500		1.MS - normálové napětí - část od My	
				σ_{xMz}	0,025				1,08	40,500		1.MS - normálové napětí - část od Mz	
	označení: O_2 průřez: O_2 prut: i	G	τ	σ_{xNk}	1,000	S	Vz	-	1,08	40,500		1.MS - smykové napětí - část od Vz	>5
				σ_{xNk}	0,972				1,08	40,500		1.MS - srovnávací napětí - část od Nx	
				σ_{xMy}	0,003				1,08	40,500		1.MS - srovnávací napětí - část od My	
20	popis: OBLOUK 3	B	σ_x	σ_{xNk}	0,893	S	Nx	-	1,08	40,500	12 ²⁰	1.MS - normálové napětí - část od Nx	1,50
				σ_{xMy}	0,031				1,08	40,500		1.MS - normálové napětí - část od My	
				σ_{xMz}	0,076				1,08	40,500		1.MS - normálové napětí - část od Mz	
	označení: O_3 průřez: O_3 prut: i	H	τ	σ_{xNk}	1,000	S	Vz	-	1,08	40,500		1.MS - smykové napětí - část od Vz	>5
				σ_{xNk}	0,893				1,08	40,500		1.MS - srovnávací napětí - část od Nx	
				σ_{xMy}	0,031				1,08	40,500		1.MS - srovnávací napětí - část od My	

TAB 13 - PŘEHLED ZATÍŽITELNOSTI PRO ČÁST MOSTU

strana: 3

ČÍSLO POSUDKU	PRVEK (včetně umístění)	BOD PRŮŘEZU	NAMÁHÁNÍ	ki	PŘÍČINKOVÁ ČARA ŘÍDÍCÍ SILY				Lp	8	Ld	VIZ TABULKA	POZNÁMKY	Z UIC	
					typ	číslo	řídící síla	viz strana							
1	2	3	4	5	6				7	8	9	10	11	12	
21	popis: PODÉLNÍK 1	C	σ_x	σ_{xNk} 0,131 σ_{xMy} 0,788 σ_{xMz} 0,080	S		My		-	1,50	9,000	12 ₂₁	1.MS - normálové napětí - část od Nx 1.MS - normálové napětí - část od My 1.MS - normálové napětí - část od Mz 1.MS - smykové napětí - část od Vz	1,64 2,10 1,64	
	označení: D_1 průřez: D_1 prut: i	G	τ	1,000	S		Vz		-	1,50	9,000		1.MS - srovnávací napětí - část od Nx 1.MS - srovnávací napětí - část od My 1.MS - srovnávací napětí - část od Mz 1.MS - srovnávací napětí - část od Vz		
	x = j [m]			C	σ_e	σ_{xNk} 0,131 σ_{xMy} 0,788 σ_{xMz} 0,080 τ 0,000	S		My		-		1,50		9,000
											-		1,50		9,000
											-		1,50		9,000
	22	popis: PODÉLNÍK 2	F	σ_x	σ_{xNk} 0,194 σ_{xMy} 0,328 σ_{xMz} 0,477	S		Mz		-	1,50		9,000		12 ₂₂
označení: D_2 průřez: D_2 prut: i		H	τ	1,000	S		Vz		-	1,50	9,000	1.MS - srovnávací napětí - část od Nx 1.MS - srovnávací napětí - část od My 1.MS - srovnávací napětí - část od Mz 1.MS - srovnávací napětí - část od Vz			
x = j [m]				H	σ_e	σ_{xNk} 0,000 σ_{xMy} 0,000 σ_{xMz} 0,000 τ 1,000	S		Vz		-	1,50	9,000		
											-	1,50	9,000		
											-	1,50	9,000		
23		popis: PODÉLNÍK 3	C	σ_x	σ_{xNk} 0,183 σ_{xMy} 0,707 σ_{xMz} 0,110	S		My		-	1,50	9,000	12 ₂₃	1.MS - normálové napětí - část od Nx 1.MS - normálové napětí - část od My 1.MS - normálové napětí - část od Mz 1.MS - smykové napětí - část od Vz	
	označení: D_3 průřez: D_3 prut: i	H	τ	1,000	S		Vz		-	1,50	9,000	1.MS - srovnávací napětí - část od Nx 1.MS - srovnávací napětí - část od My 1.MS - srovnávací napětí - část od Mz 1.MS - srovnávací napětí - část od Vz			
	x = j [m]			C	σ_e	σ_{xNk} 0,183 σ_{xMy} 0,707 σ_{xMz} 0,110 τ 0,000	S		My		-	1,50		9,000	
											-	1,50		9,000	
											-	1,50		9,000	
	24	popis: PODÉLNÍK 4	A	σ_x	σ_{xNk} 0,285 σ_{xMy} 0,517 σ_{xMz} 0,198	S		My		-	1,50	9,000		12 ₂₄	1.MS - normálové napětí - část od Nx 1.MS - normálové napětí - část od My 1.MS - normálové napětí - část od Mz 1.MS - smykové napětí - část od Vz
označení: D_4 průřez: D_4 prut: i		H	τ	1,000	S		Vz		-	1,50	9,000	1.MS - srovnávací napětí - část od Nx 1.MS - srovnávací napětí - část od My 1.MS - srovnávací napětí - část od Mz 1.MS - srovnávací napětí - část od Vz			
x = j [m]				A	σ_e	σ_{xNk} 0,285 σ_{xMy} 0,517 σ_{xMz} 0,198 τ 0,000	S		My		-	1,50	9,000		
											-	1,50	9,000		
											-	1,50	9,000		
25		popis: PODÉLNÍK 5	E	σ_x	σ_{xNk} 0,006 σ_{xMy} 0,384 σ_{xMz} 0,610	S		Mz		-	1,50	9,000	12 ₂₅		1.MS - normálové napětí - část od Nx 1.MS - normálové napětí - část od My 1.MS - normálové napětí - část od Mz 1.MS - smykové napětí - část od Vz
	označení: D_5 průřez: D_5 prut: i	H	τ	1,000	S		Vz		-	1,50	9,000	1.MS - srovnávací napětí - část od Nx 1.MS - srovnávací napětí - část od My 1.MS - srovnávací napětí - část od Mz 1.MS - srovnávací napětí - část od Vz			
	x = j [m]			E	σ_e	σ_{xNk} 0,006 σ_{xMy} 0,384 σ_{xMz} 0,610 τ 0,000	S		Mz		-	1,50		9,000	
											-	1,50		9,000	
											-	1,50		9,000	
	26	popis: PODÉLNÍK 6	E	σ_x	σ_{xNk} 0,088 σ_{xMy} 0,440 σ_{xMz} 0,472	S		Mz		-	1,50	9,000		12 ₂₆	1.MS - normálové napětí - část od Nx 1.MS - normálové napětí - část od My 1.MS - normálové napětí - část od Mz 1.MS - smykové napětí - část od Vz
označení: D_6 průřez: D_6 prut: i		H	τ	1,000	S		Vz		-	1,50	9,000	1.MS - srovnávací napětí - část od Nx 1.MS - srovnávací napětí - část od My 1.MS - srovnávací napětí - část od Mz 1.MS - srovnávací napětí - část od Vz			
x = j [m]				E	σ_e	σ_{xNk} 0,088 σ_{xMy} 0,440 σ_{xMz} 0,472 τ 0,000	S		Mz		-	1,50	9,000		
											-	1,50	9,000		
											-	1,50	9,000		
27		popis: PODÉLNÍK 7	F	σ_x	σ_{xNk} 0,230 σ_{xMy} 0,384 σ_{xMz} 0,386	S		Mz		-	1,41	11,250	12 ₂₇		1.MS - normálové napětí - část od Nx 1.MS - normálové napětí - část od My 1.MS - normálové napětí - část od Mz 1.MS - smykové napětí - část od Vz
	označení: D_7 průřez: D_7 prut: i	G	τ	1,000	S		Vz		-	1,41	11,250	1.MS - srovnávací napětí - část od Nx 1.MS - srovnávací napětí - část od My 1.MS - srovnávací napětí - část od Mz 1.MS - srovnávací napětí - část od Vz			
	x = j [m]			F	σ_e	σ_{xNk} 0,230 σ_{xMy} 0,384 σ_{xMz} 0,386 τ 0,000	S		Mz		-	1,41		11,250	
											-	1,41		11,250	
											-	1,41		11,250	
	28	popis: PODÉLNÍK 8	C	σ_x	σ_{xNk} 0,170 σ_{xMy} 0,662 σ_{xMz} 0,169	S		My		-	1,50	9,000		12 ₂₈	1.MS - normálové napětí - část od Nx 1.MS - normálové napětí - část od My 1.MS - normálové napětí - část od Mz 1.MS - smykové napětí - část od Vz
označení: D_8 průřez: D_8 prut: i		H	τ	1,000	S		Vz		-	1,50	9,000	1.MS - srovnávací napětí - část od Nx 1.MS - srovnávací napětí - část od My 1.MS - srovnávací napětí - část od Mz 1.MS - srovnávací napětí - část od Vz			
x = j [m]				C	σ_e	σ_{xNk} 0,170 σ_{xMy} 0,662 σ_{xMz} 0,169 τ 0,000	S		My		-	1,50	9,000		
											-	1,50	9,000		
											-	1,50	9,000		
29		popis: PODÉLNÍK 9	C	σ_x	σ_{xNk} 0,175 σ_{xMy} 0,802 σ_{xMz} 0,023	S		My		-	1,50	9,000	12 ₂₉		1.MS - normálové napětí - část od Nx 1.MS - normálové napětí - část od My 1.MS - normálové napětí - část od Mz 1.MS - smykové napětí - část od Vz
	označení: D_9 průřez: D_9 prut: i	H	τ	1,000	S		Vz		-	1,50	9,000	1.MS - srovnávací napětí - část od Nx 1.MS - srovnávací napětí - část od My 1.MS - srovnávací napětí - část od Mz 1.MS - srovnávací napětí - část od Vz			
	x = j [m]			H	σ_e	σ_{xNk} 0,045 σ_{xMy} 0,061 σ_{xMz} 0,006 τ 0,887	S		Vz		-	1,50		9,000	
											-	1,50		9,000	
											-	1,50		9,000	
	30	popis: PODÉLNÍK 10	C	σ_x	σ_{xNk} 0,149 σ_{xMy} 0,815 σ_{xMz} 0,036	S		My		-	1,50	9,000		12 ₃₀	1.MS - normálové napětí - část od Nx 1.MS - normálové napětí - část od My 1.MS - normálové napětí - část od Mz 1.MS - smykové napětí - část od Vz
označení: D_10 průřez: D_10 prut: i		H	τ	1,000	S		Vz		-	1,50	9,000	1.MS - srovnávací napětí - část od Nx 1.MS - srovnávací napětí - část od My 1.MS - srovnávací napětí - část od Mz 1.MS - srovnávací napětí - část od Vz			
x = j [m]				H	σ_e	σ_{xNk} 0,000 σ_{xMy} 0,000 σ_{xMz} 0,000 τ 1,000	S		Vz		-	1,50	9,000		
											-	1,50	9,000		
											-	1,50	9,000		

TAB 13 - PŘEHLED ZATÍŽITELNOSTI PRO ČÁST MOSTU

strana: 4

ČÍSLO POSUDKU	PRVEK (včetně umístění)	BOD PRŮŘEZU	NAMÁHÁNÍ	ki	PŘÍČINKOVÁ ČARA ŘÍDICÍ SILY				Lp	8	Ld	VIZ TABULKA	POZNÁMKY	Z UIC			
					typ	číslo	řídící síla	viz strana									
1	2	3	4	5	6				7	8	9	10	11	12			
31	popis: SVISLICE	A	σ_x	σ_{xNx} #DIV/0! σ_{xMy} #DIV/0! σ_{xMz} #DIV/0!	S		#DIV/0!		-	1,14	8,500	12 ₃₁	1.MS - normálové napětí - část od Nx 1.MS - normálové napětí - část od My 1.MS - normálové napětí - část od Mz 1.MS - smykové napětí - část od Vz	>5	>5		
	označení: S_1	H	τ	1,000	S		Vz		-	1,14	8,500		1.MS - srovnávací napětí - část od Nx				
	průřez: S_1	A	σ_e	σ_{xNx} 1,000	S		Nx		-	1,14	8,500		1.MS - srovnávací napětí - část od My				
	prut: i			σ_{xMy} 0,000					-	1,14	8,500		1.MS - srovnávací napětí - část od Mz				
	x = j [m]			σ_{xMz} 0,000					-	1,14	8,500		1.MS - srovnávací napětí - část od Vz				
				τ 0,000					-	1,14	8,500						
32	popis: ZTUŽIDLA PODÉLNÍKŮ 1	B	σ_x	σ_{xNx} 1,000 σ_{xMy} 0,000 σ_{xMz} 0,000	S		Nx		-	2,00	2,400	12 ₃₂	1.MS - normálové napětí - část od Nx 1.MS - normálové napětí - část od My 1.MS - normálové napětí - část od Mz 1.MS - smykové napětí - část od Vz	0,92	0,92		
	označení: T_1	A	τ	1,000	S		Vz		-	2,00	2,400		1.MS - srovnávací napětí - část od Nx				
	průřez: T_1	B	σ_e	σ_{xNx} 1,000	S		Nx		-	2,00	2,400		1.MS - srovnávací napětí - část od My				
	prut: i			σ_{xMy} 0,000					-	2,00	2,400		1.MS - srovnávací napětí - část od Mz				
	x = j [m]			σ_{xMz} 0,000					-	2,00	2,400		1.MS - srovnávací napětí - část od Vz				
				τ 0,000					-	2,00	2,400						
33	popis: ZTUŽIDLA PODÉLNÍKŮ 2	A	σ_x	σ_{xNx} 1,000 σ_{xMy} 0,000 σ_{xMz} 0,000	S		Nx		-	2,00	1,800	12 ₃₃	1.MS - normálové napětí - část od Nx 1.MS - normálové napětí - část od My 1.MS - normálové napětí - část od Mz 1.MS - smykové napětí - část od Vz	3,32	3,32		
	označení: T_2	A	τ	1,000	S		Vz		-	2,00	1,800		1.MS - srovnávací napětí - část od Nx				
	průřez: T_2	A	σ_e	σ_{xNx} 1,000	S		Nx		-	2,00	1,800		1.MS - srovnávací napětí - část od My				
	prut: i			σ_{xMy} 0,000					-	2,00	1,800		1.MS - srovnávací napětí - část od Mz				
	x = j [m]			σ_{xMz} 0,000					-	2,00	1,800		1.MS - srovnávací napětí - část od Vz				
				τ 0,000					-	2,00	1,800						
34	popis: ZTUŽIDLA PODÉLNÍKŮ 3	B	σ_x	σ_{xNx} 1,000 σ_{xMy} 0,000 σ_{xMz} 0,000	S		Nx		-	2,00	1,800	12 ₃₄	1.MS - normálové napětí - část od Nx 1.MS - normálové napětí - část od My 1.MS - normálové napětí - část od Mz 1.MS - smykové napětí - část od Vz	3,13	3,13		
	označení: T_3	A	τ	1,000	S		Vz		-	2,00	1,800		1.MS - srovnávací napětí - část od Nx				
	průřez: T_3	B	σ_e	σ_{xNx} 1,000	S		Nx		-	2,00	1,800		1.MS - srovnávací napětí - část od My				
	prut: i			σ_{xMy} 0,000					-	2,00	1,800		1.MS - srovnávací napětí - část od Mz				
	x = j [m]			σ_{xMz} 0,000					-	2,00	1,800		1.MS - srovnávací napětí - část od Vz				
				τ 0,000					-	2,00	1,800						
35	popis: ZTUŽIDLA PODÉLNÍKŮ 4	B	σ_x	σ_{xNx} 1,000 σ_{xMy} 0,000 σ_{xMz} 0,000	S		Nx		-	2,00	1,800	12 ₃₅	1.MS - normálové napětí - část od Nx 1.MS - normálové napětí - část od My 1.MS - normálové napětí - část od Mz 1.MS - smykové napětí - část od Vz	3,98	3,98		
	označení: T_4	A	τ	1,000	S		Vz		-	2,00	1,800		1.MS - srovnávací napětí - část od Nx				
	průřez: T_4	B	σ_e	σ_{xNx} 1,000	S		Nx		-	2,00	1,800		1.MS - srovnávací napětí - část od My				
	prut: i			σ_{xMy} 0,000					-	2,00	1,800		1.MS - srovnávací napětí - část od Mz				
	x = j [m]			σ_{xMz} 0,000					-	2,00	1,800		1.MS - srovnávací napětí - část od Vz				
				τ 0,000					-	2,00	1,800						
36	popis: DOLNÍ ZTUŽENÍ 1	B	σ_x	σ_{xNx} 1,000 σ_{xMy} 0,000 σ_{xMz} 0,000	S		Nx		-	1,79	4,160	12 ₃₆	1.MS - normálové napětí - část od Nx 1.MS - normálové napětí - část od My 1.MS - normálové napětí - část od Mz 1.MS - smykové napětí - část od Vz	1,15	1,15		
	označení: Z_1	A	τ	1,000	S		Vz		-	1,79	4,160		1.MS - srovnávací napětí - část od Nx				
	průřez: Z_1	B	σ_e	σ_{xNx} 1,000	S		Nx		-	1,79	4,160		1.MS - srovnávací napětí - část od My				
	prut: i			σ_{xMy} 0,000					-	1,79	4,160		1.MS - srovnávací napětí - část od Mz				
	x = j [m]			σ_{xMz} 0,000					-	1,79	4,160		1.MS - srovnávací napětí - část od Vz				
				τ 0,000					-	1,79	4,160						
37	popis: DOLNÍ ZTUŽENÍ 2	A	σ_x	σ_{xNx} 1,000 σ_{xMy} 0,000 σ_{xMz} 0,000	S		Nx		-	1,79	4,160	12 ₃₇	1.MS - normálové napětí - část od Nx 1.MS - normálové napětí - část od My 1.MS - normálové napětí - část od Mz 1.MS - smykové napětí - část od Vz	1,51	1,51		
	označení: Z_2	A	τ	1,000	S		Vz		-	1,79	4,160		1.MS - srovnávací napětí - část od Nx				
	průřez: Z_2	A	σ_e	σ_{xNx} 1,000	S		Nx		-	1,79	4,160		1.MS - srovnávací napětí - část od My				
	prut: i			σ_{xMy} 0,000					-	1,79	4,160		1.MS - srovnávací napětí - část od Mz				
	x = j [m]			σ_{xMz} 0,000					-	1,79	4,160		1.MS - srovnávací napětí - část od Vz				
				τ 0,000					-	1,79	4,160						
38	popis: DOLNÍ ZTUŽENÍ 3	A	σ_x	σ_{xNx} 1,000 σ_{xMy} 0,000 σ_{xMz} 0,000	S		Nx		-	1,79	3,750	12 ₃₈	1.MS - normálové napětí - část od Nx 1.MS - normálové napětí - část od My 1.MS - normálové napětí - část od Mz 1.MS - smykové napětí - část od Vz	1,18	1,18		
	označení: Z_3	A	τ	1,000	S		Vz		-	1,79	3,750		1.MS - srovnávací napětí - část od Nx				
	průřez: Z_3	A	σ_e	σ_{xNx} 1,000	S		Nx		-	1,79	3,750		1.MS - srovnávací napětí - část od My				
	prut: i			σ_{xMy} 0,000					-	1,79	3,750		1.MS - srovnávací napětí - část od Mz				
	x = j [m]			σ_{xMz} 0,000					-	1,79	3,750		1.MS - srovnávací napětí - část od Vz				
				τ 0,000					-	1,79	3,750						
39	popis: DOLNÍ ZTUŽENÍ 4	A	σ_x	σ_{xNx} 1,000 σ_{xMy} 0,000 σ_{xMz} 0,000	S		Nx		-	1,79	4,160	12 ₃₉	1.MS - normálové napětí - část od Nx 1.MS - normálové napětí - část od My 1.MS - normálové napětí - část od Mz 1.MS - smykové napětí - část od Vz	1,22	1,22		
	označení: Z_4	A	τ	1,000	S		Vz		-	1,79	4,160		1.MS - srovnávací napětí - část od Nx				
	průřez: Z_4	A	σ_e	σ_{xNx} 1,000	S		Nx		-	1,79	4,160		1.MS - srovnávací napětí - část od My				
	prut: i			σ_{xMy} 0,000					-	1,79	4,160		1.MS - srovnávací napětí - část od Mz				
	x = j [m]			σ_{xMz} 0,000					-	1,79	4,160		1.MS - srovnávací napětí - část od Vz				
				τ 0,000					-	1,79	4,160						
40	popis: DOLNÍ ZTUŽENÍ 5	B	σ_x	σ_{xNx} 1,000 σ_{xMy} 0,000 σ_{xMz} 0,000	S		Nx		-	1,79	4,160	12 ₄₀	1.MS - normálové napětí - část od Nx 1.MS - normálové napětí - část od My 1.MS - normálové napětí - část od Mz 1.MS - smykové napětí - část od Vz	1,21	1,21		
	označení: Z_5	A	τ	1,000	S		Vz		-	1,79	4,160		1.MS - srovnávací napětí - část od Nx				
	průřez: Z_5	B	σ_e	σ_{xNx} 1,000	S		Nx		-	1,79	4,160		1.MS - srovnávací napětí - část od My				
	prut: i			σ_{xMy} 0,000					-	1,79	4,160		1.MS - srovnávací napětí - část od Mz				
	x = j [m]			σ_{xMz} 0,000					-	1,79	4,160		1.MS - srovnávací napětí - část od Vz				
				τ 0,000					-	1,79	4,160						

TAB 13 - PŘEHLED ZATÍŽITELNOSTI PRO ČÁST MOSTU

ČÍSLO POSUDKU	PRVEK (včetně umístění)	BOD PRŮŘEZU	NAMÁHÁNÍ	ki	PŘÍČINKOVÁ ČARA ŘÍDÍCÍ SILY				Lp	δ	Ld	VIZ TABULKA	POZNÁMKY	Z _{UIC}		
					typ	číslo	řídící síla	viz strana						12		
1	2	3	4	5	6				7	8	9	10	11	12		
41	popis: DOLNÍ ZTUŽENÍ 6	A	σ _x	σ _{xNx}	1,000	S		Nx		-	1,79	4,160	12 ⁴¹	1.MS - normálové napětí - část od Nx	1,05	1,05
				σ _{xMy}	0,000					-	1,79	4,160		1.MS - normálové napětí - část od My		
				σ _{xMz}	0,000					-	1,79	4,160		1.MS - normálové napětí - část od Mz		
	označení: Z_6	A	τ		1,000	S	Vz		-	1,79	4,160	1.MS - smykové napětí - část od Vz	>5			
									-	1,79	4,160	1.MS - srovnávací napětí - část od Nx				
	průřez: Z_6	A	σ _e	σ _{xNx}	1,000	S		Nx		-	1,79	4,160	1.MS - srovnávací napětí - část od Nx	1,05		
				σ _{xMy}	0,000					-	1,79	4,160	1.MS - srovnávací napětí - část od My			
	prut: i	A	σ _e	σ _{xMz}	0,000	S		Nx		-	1,79	4,160	1.MS - srovnávací napětí - část od Mz	1,05		
				τ	0,000					-	1,79	4,160	1.MS - srovnávací napětí - část od Vz			
	x = j [m]	A	σ _e	τ	0,000	S		Nx		-	1,79	4,160		1.MS - srovnávací napětí - část od Vz		